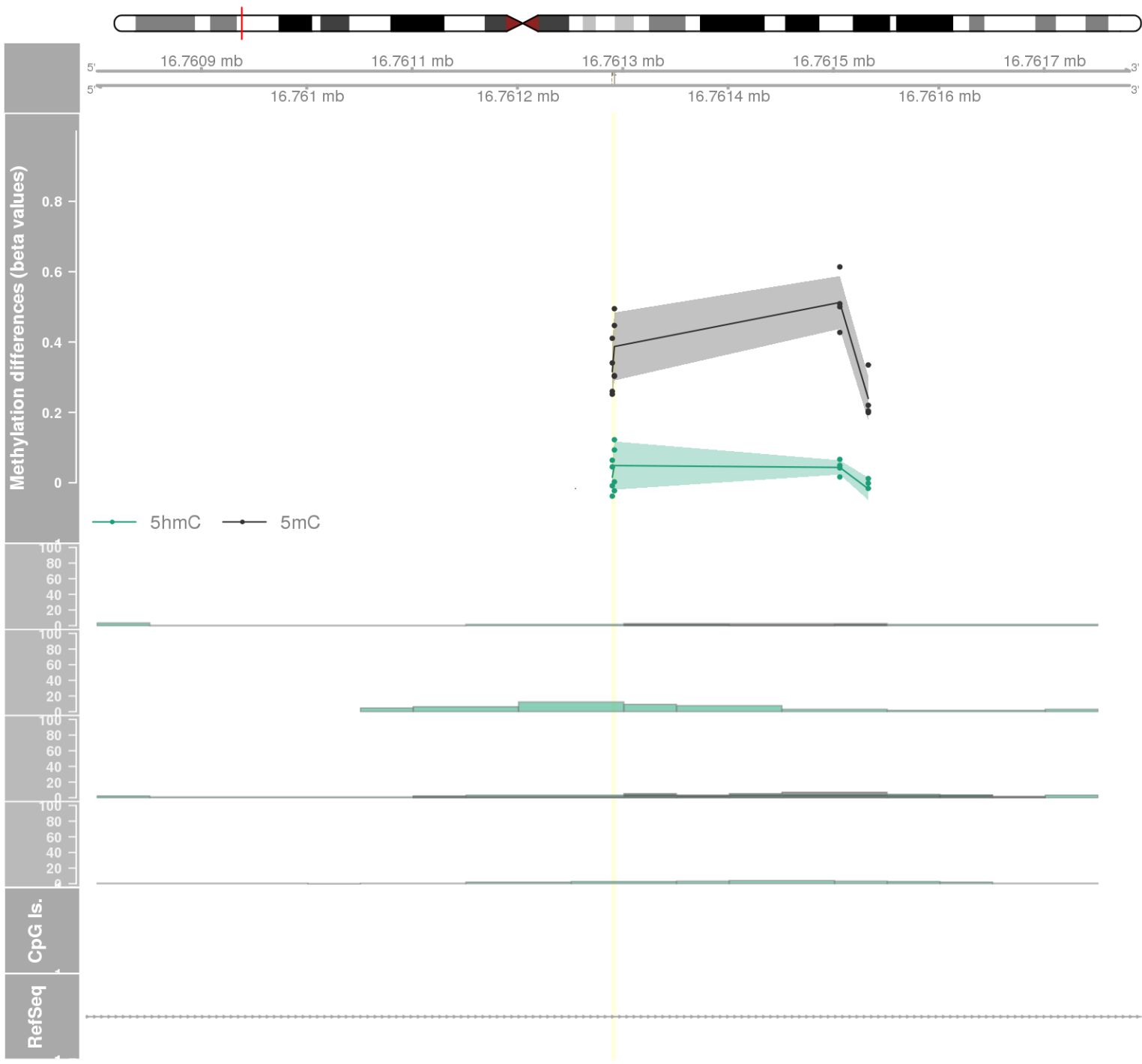
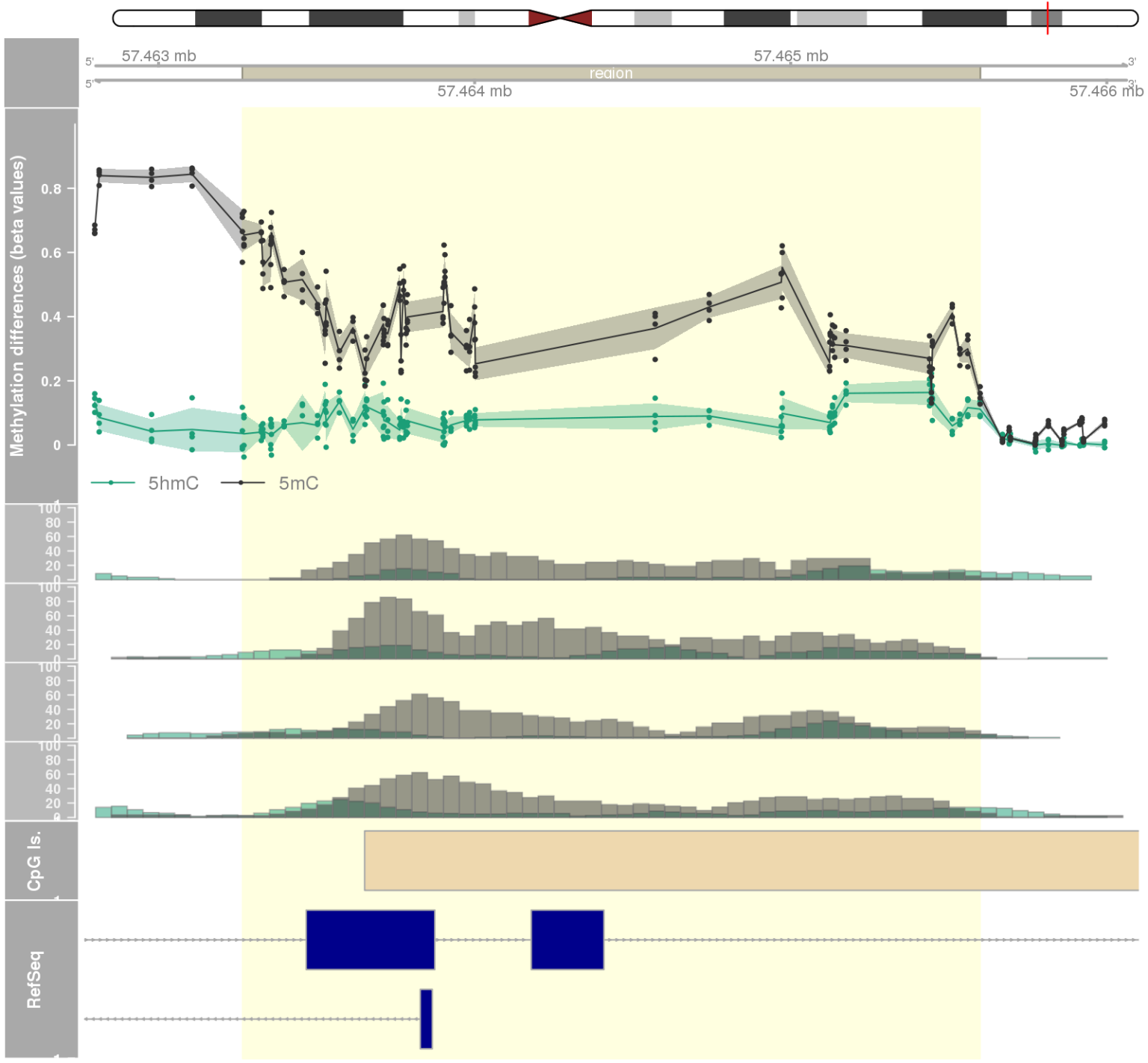


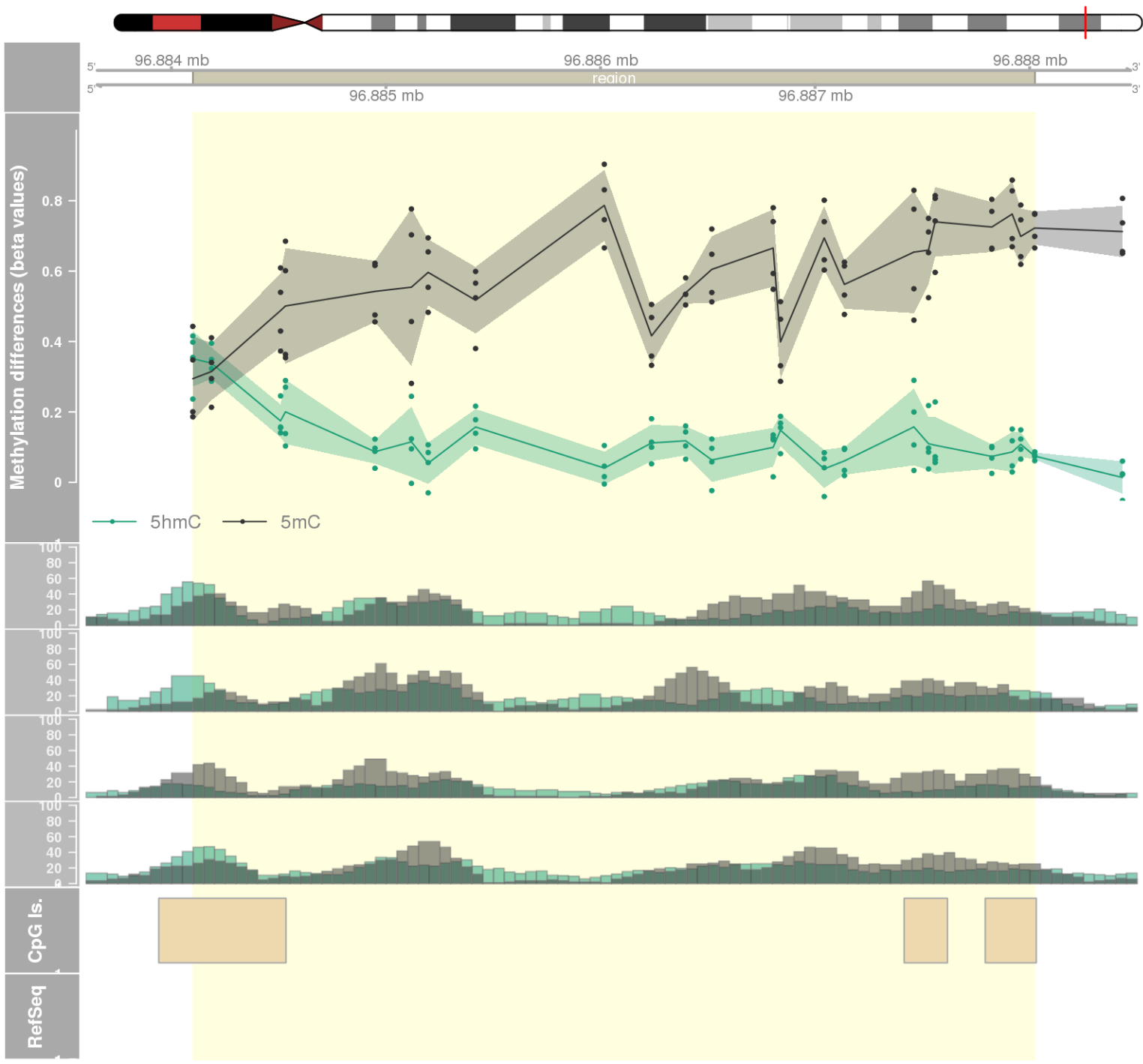
DMR 1 // chr11:16761290-16761292 // 2 pb. (2 probes) // pvalue: 0 // fwer: 0.422 // pvalueArea: 0 // fwerArea: 0.422
- genes: C11orf58 -



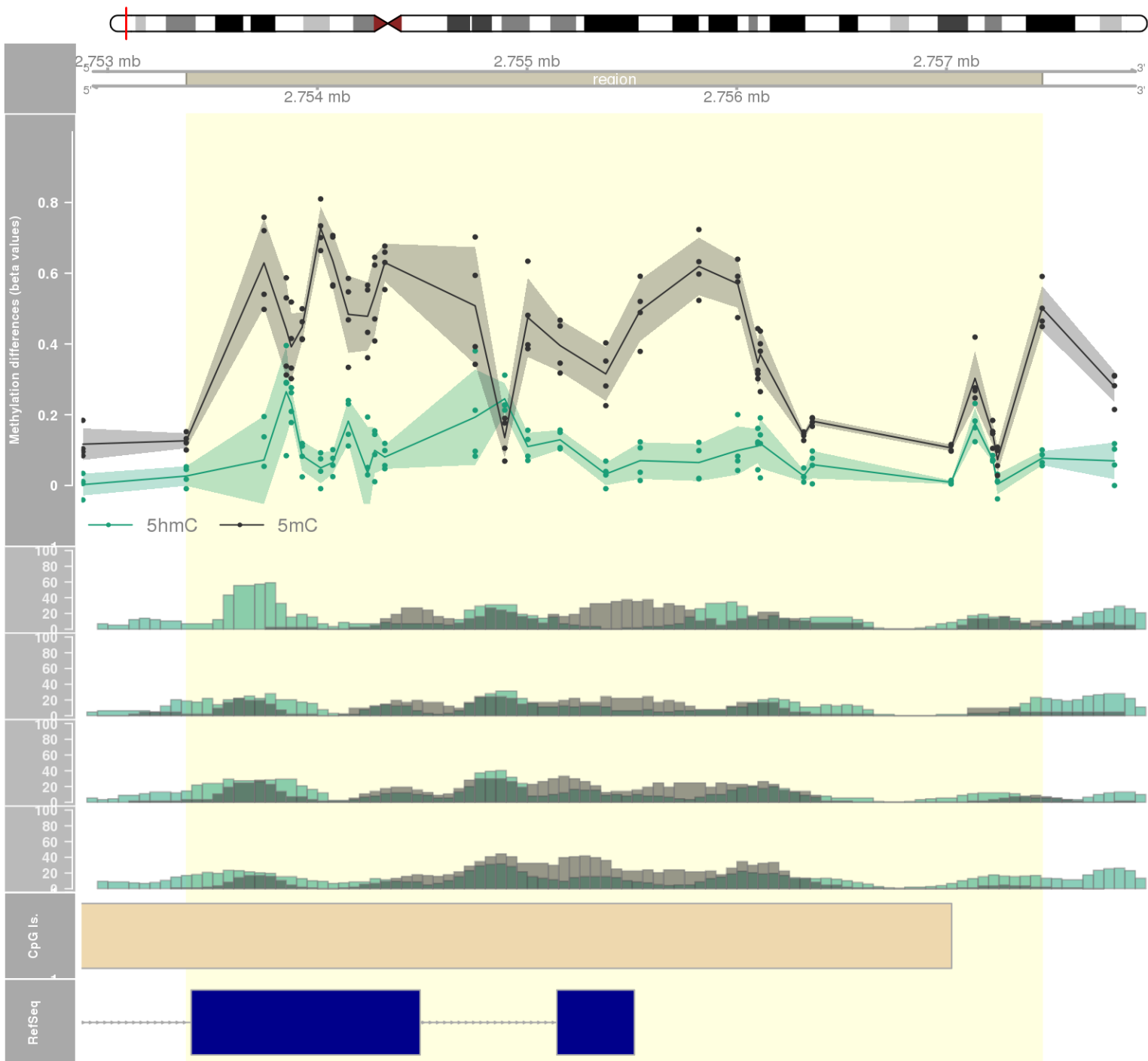
DMR 2 // chr20:57463265-57465599 // 2334 pb. (47 probes) // pvalue: 0 // fwer: 0.219 // pvalueArea: 0 // fwerArea: 0.422
- genes: GNAS -



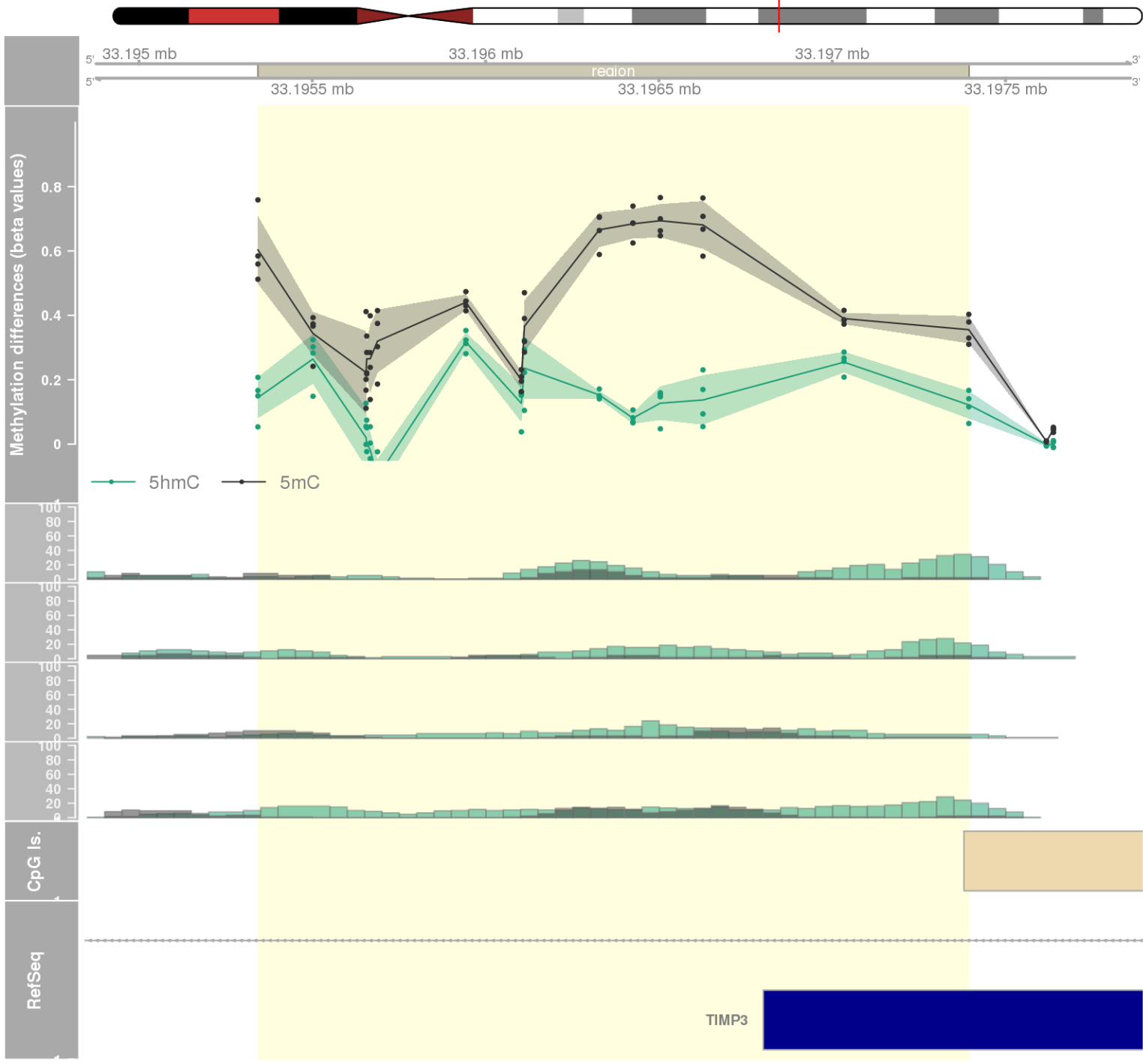
DMR 3 // chr15:96884100-96888024 // 3924 pb. (23 probes) // pvalue: 0 // fwer: 0.219 // pvalueArea: 0 // fwerArea: 0.595



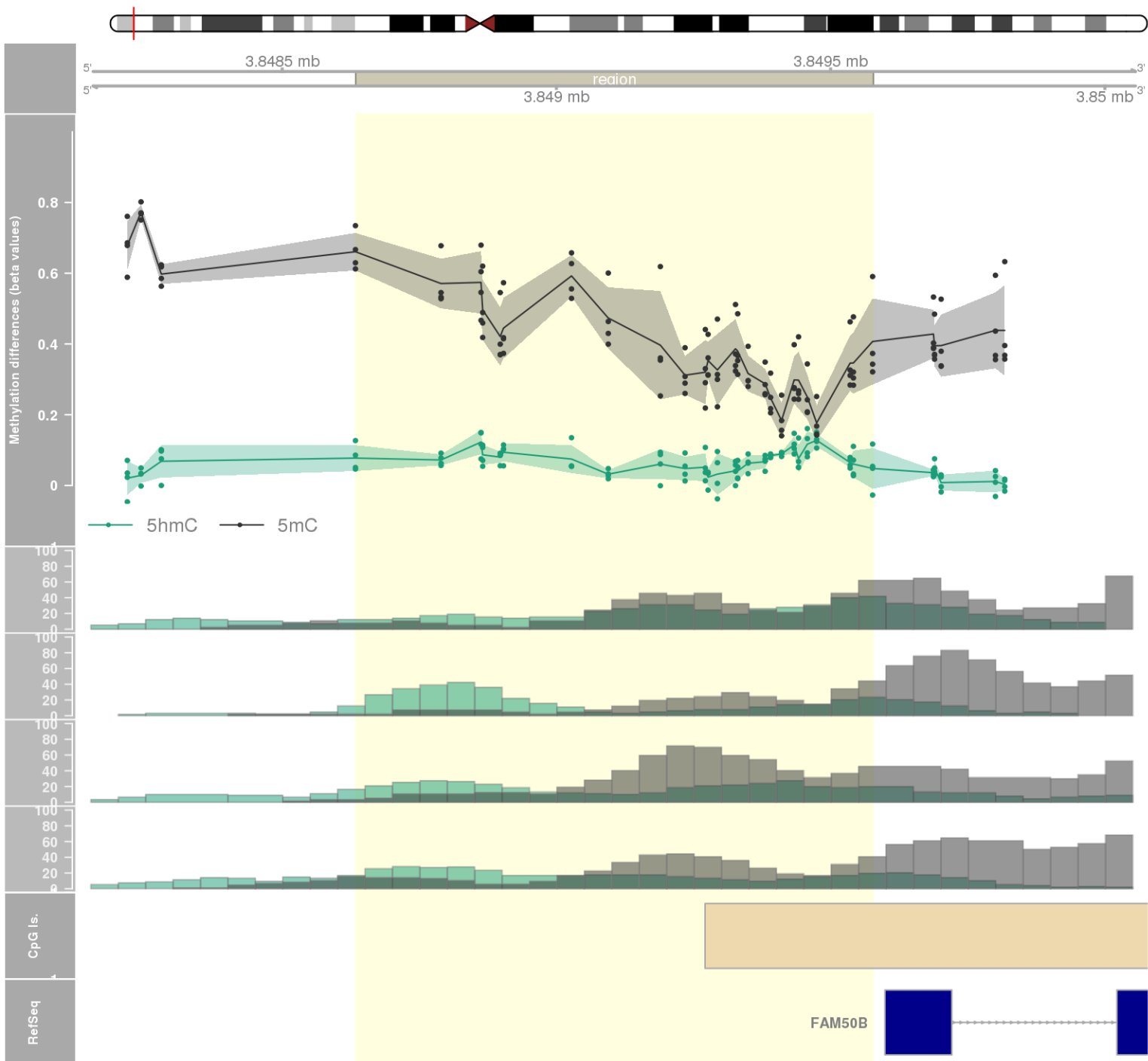
DMR 4 // chr5:2753375-2757457 // 4082 pb. (28 probes) // pvalue: 0 // fwer: 0.219 // pvalueArea: 0.001 // fwerArea: 0.595
- genes: C5orf38 -



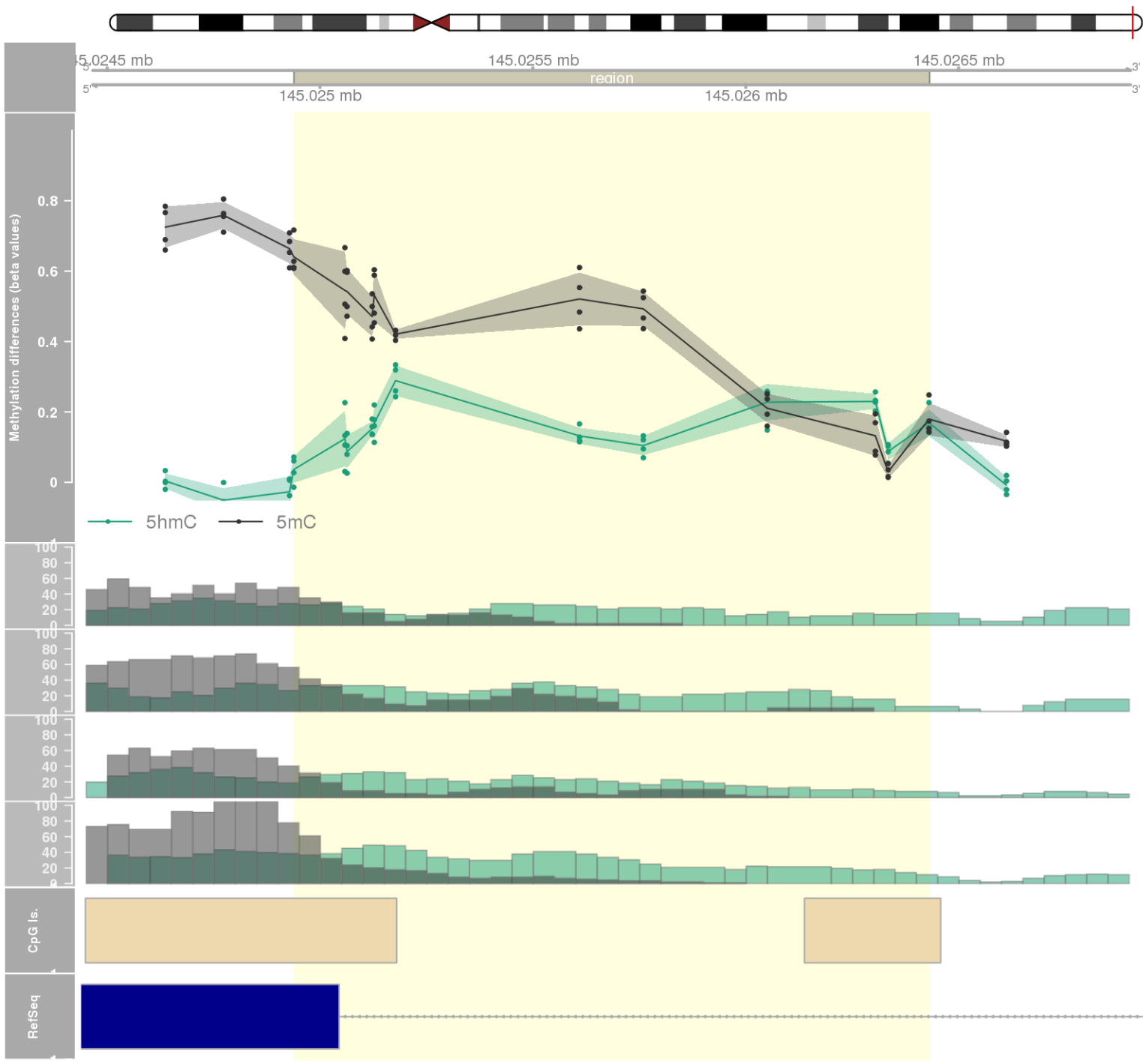
DMR 5 // chr22:33195343-33197394 // 2051 pb. (15 probes) // pvalue: 0 // fwer: 0.219 // pvalueArea: 0.001 // fwerArea: 0.788
- genes: SYN3 -



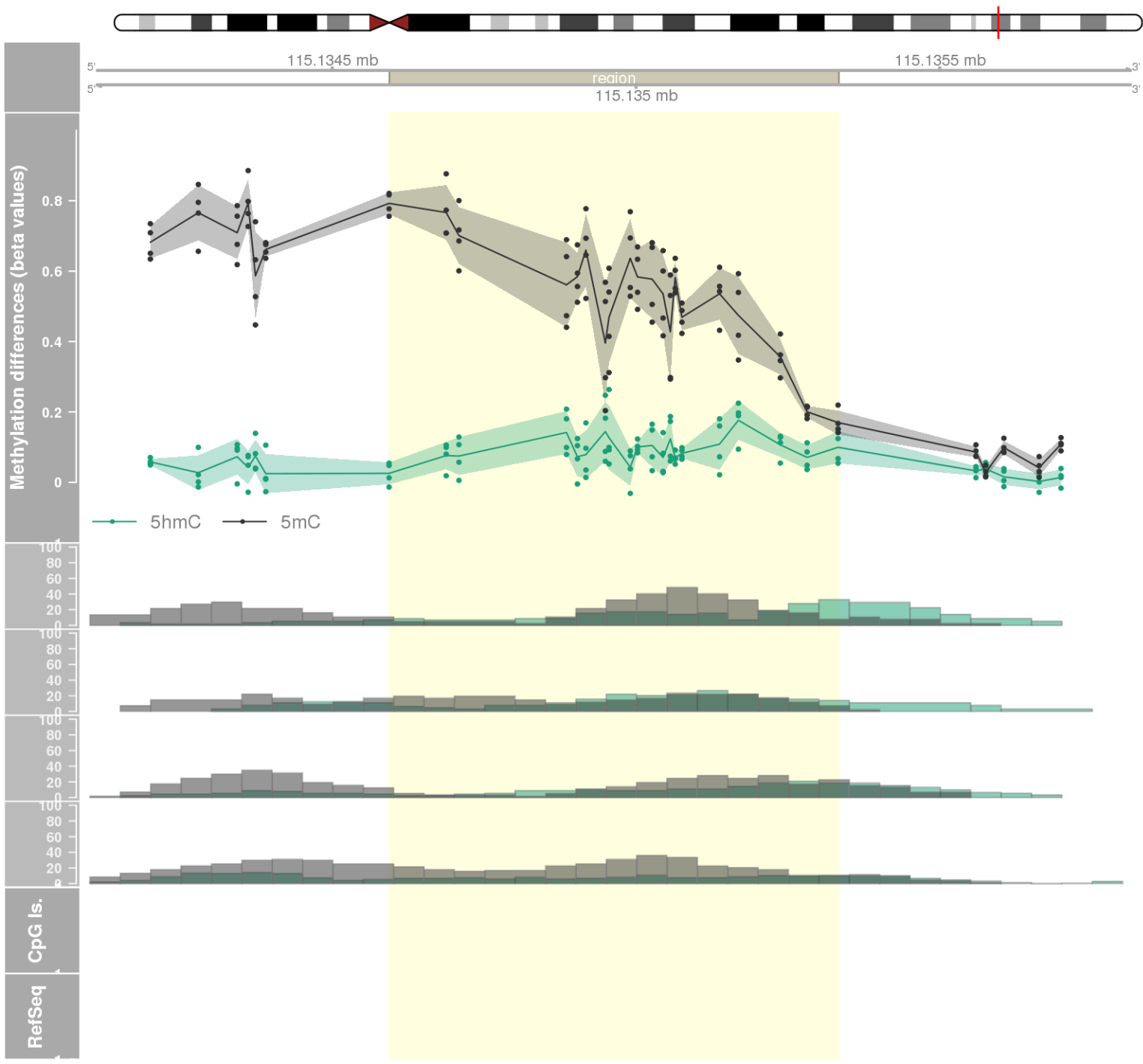
DMR 6 // chr6:3848634-3849577 // 943 pb. (26 probes) // pvalue: 0 // fwer: 0.219 // pvalueArea: 0.001 // fwerArea: 0.788



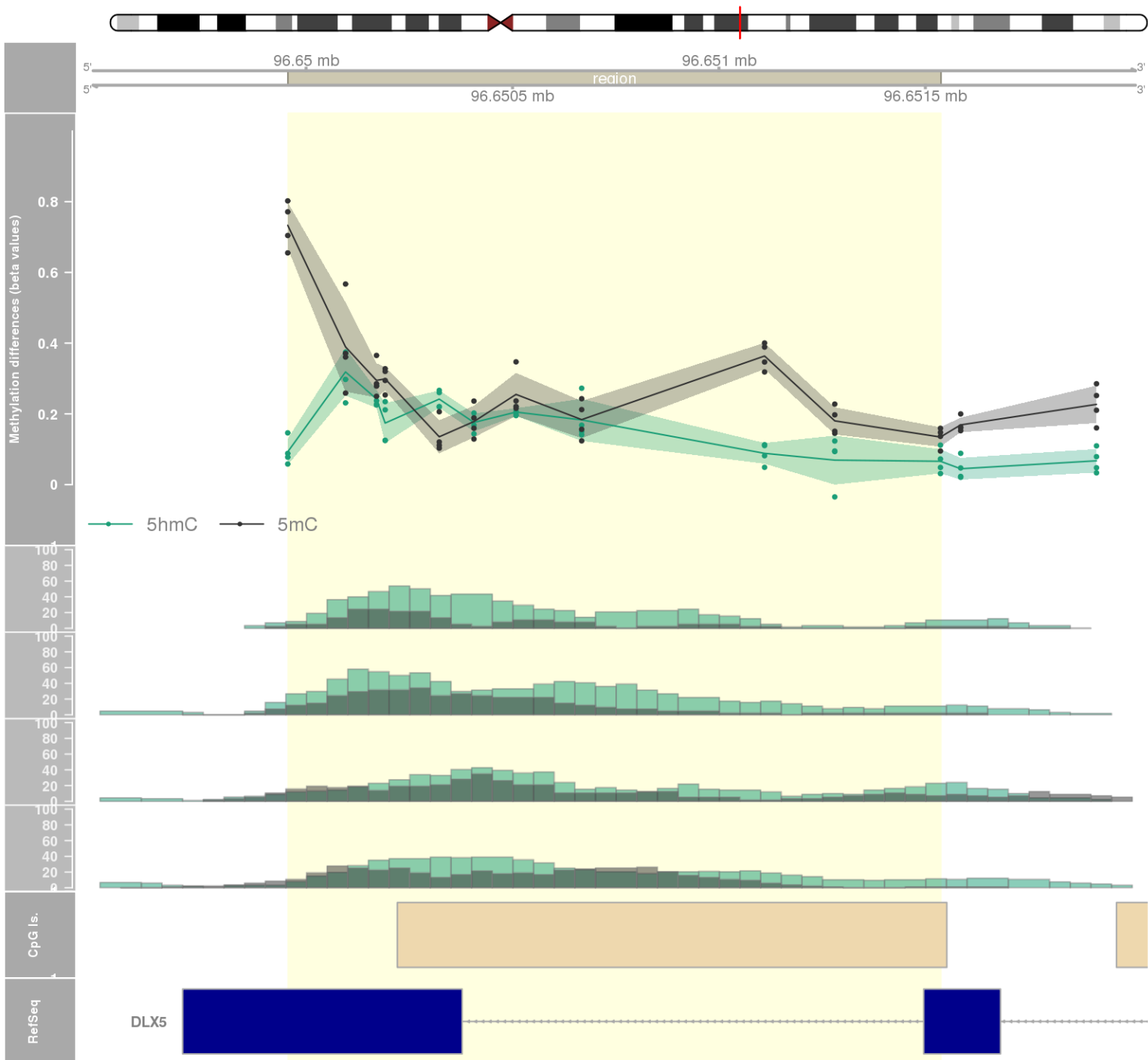
DMR 7 // chr8:145024939-145026431 // 1492 pb. (12 probes) // pvalue: 0 // fwer: 0.219 // pvalueArea: 0.001 // fwerArea: 0.788
- genes: PLEC -



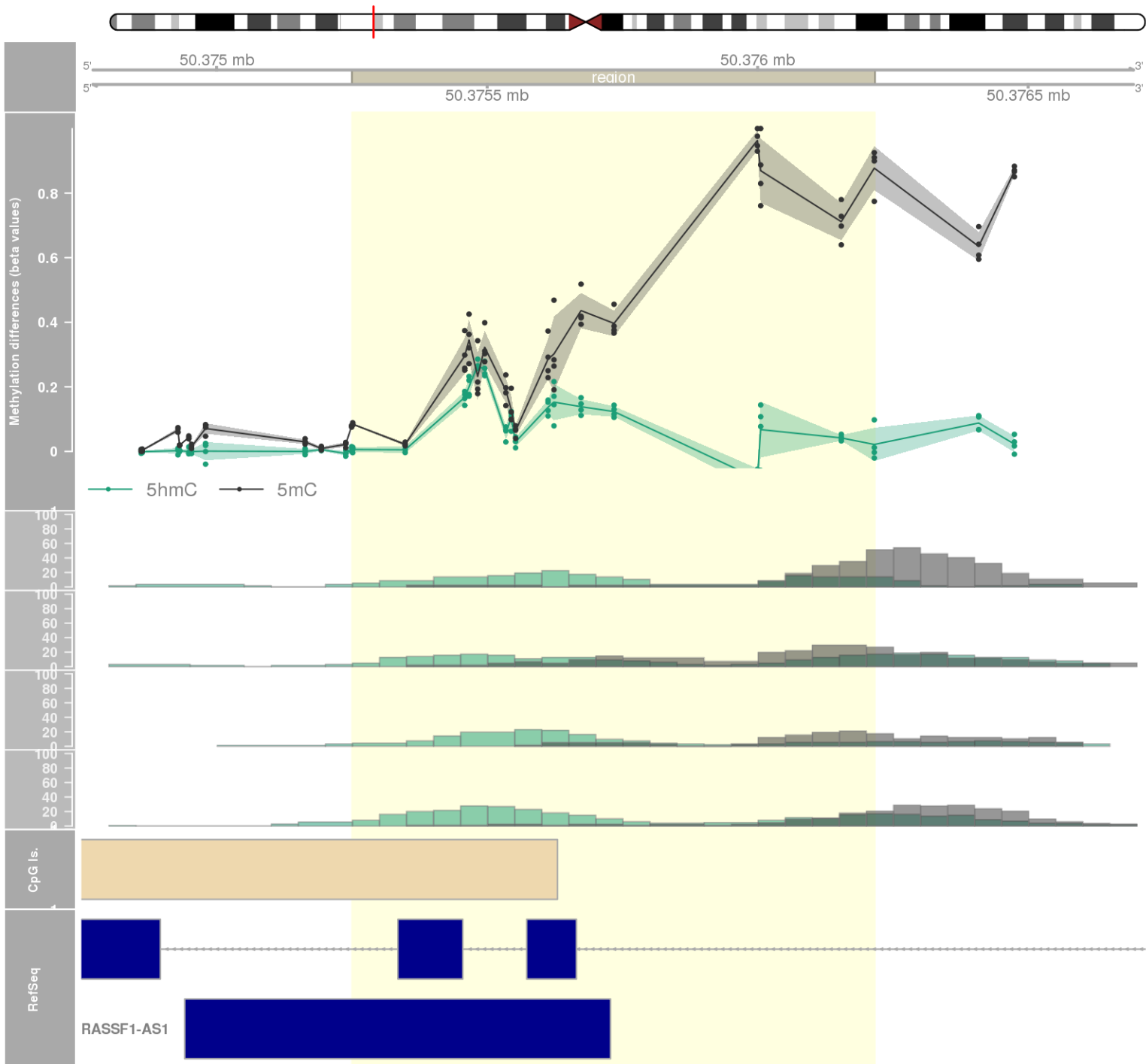
DMR 8 // chr12:115134594-115135333 // 739 pb. (20 probes) // pvalue: 0 // fwer: 0.412 // pvalueArea: 0.001 // fwerArea: 0.788



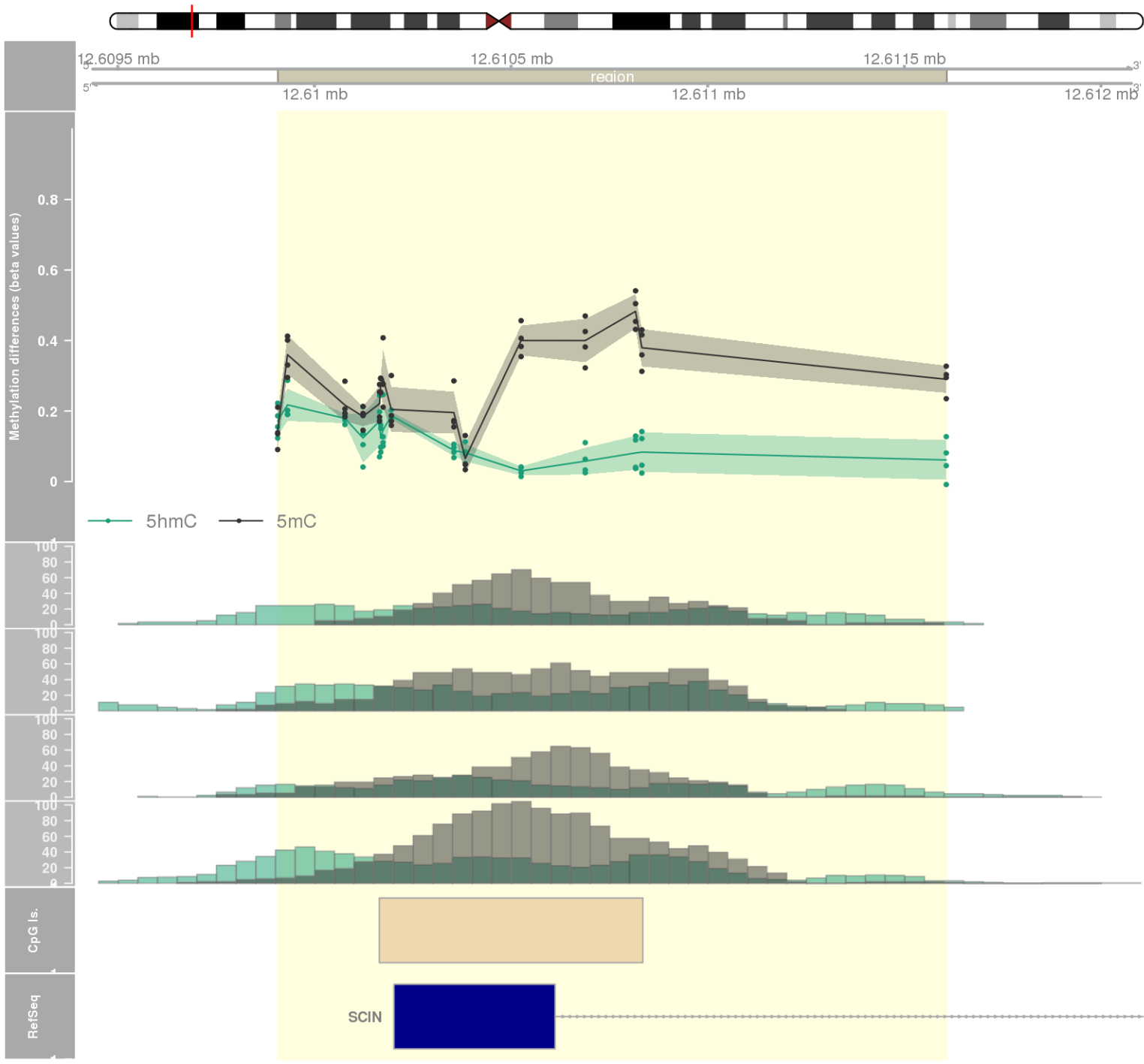
DMR 9 // chr7:96649956-96651537 // 1581 pb. (11 probes) // pvalue: 0 // fwer: 0.219 // pvalueArea: 0.001 // fwerArea: 0.788
- genes: DLX5 -



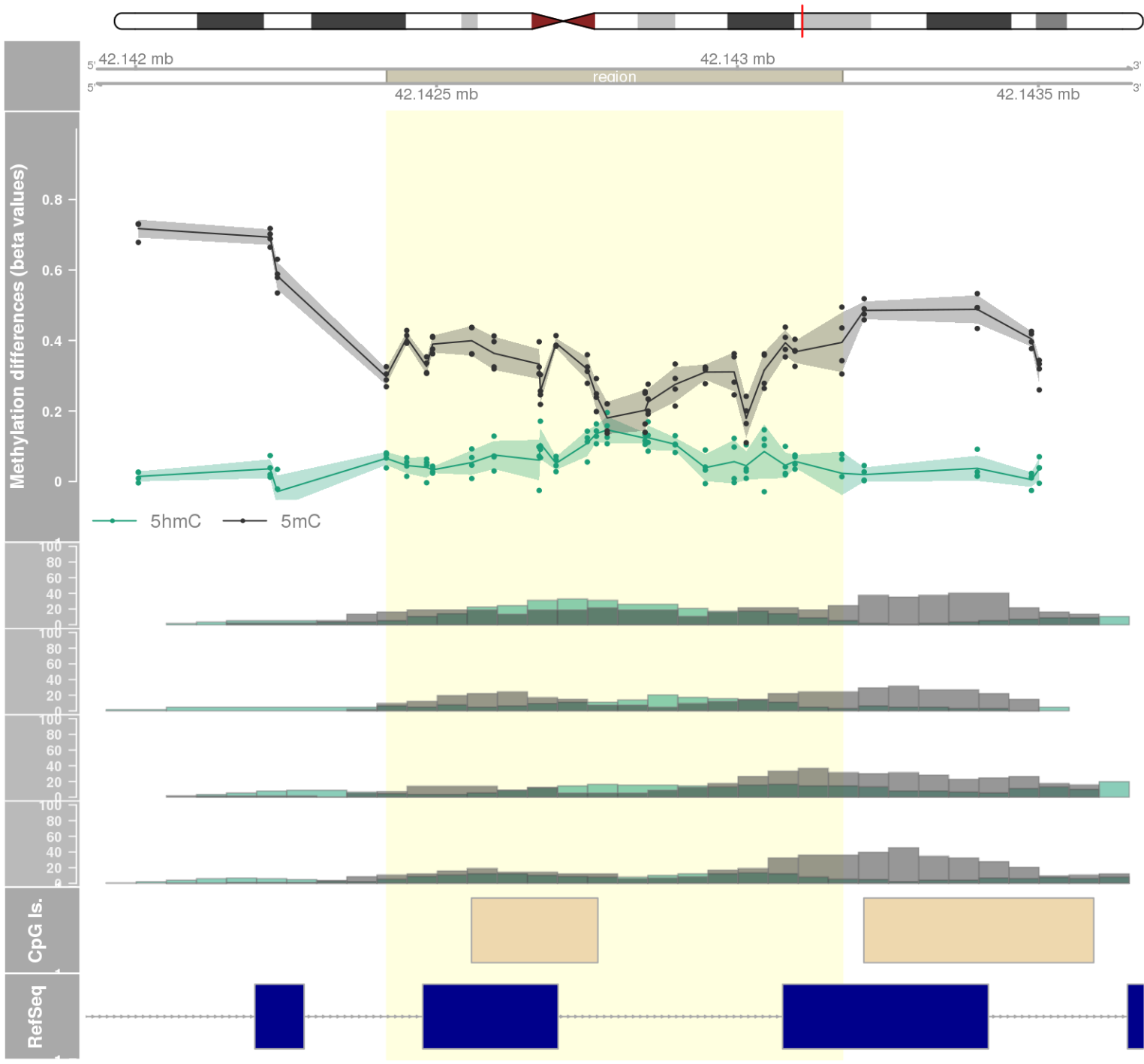
DMR 10 // chr3:50375250-50376216 // 966 pb. (18 probes) // pvalue: 0 // fwer: 0.219 // pvalueArea: 0.001 // fwerArea: 0.788
- genes: RASSF1 -

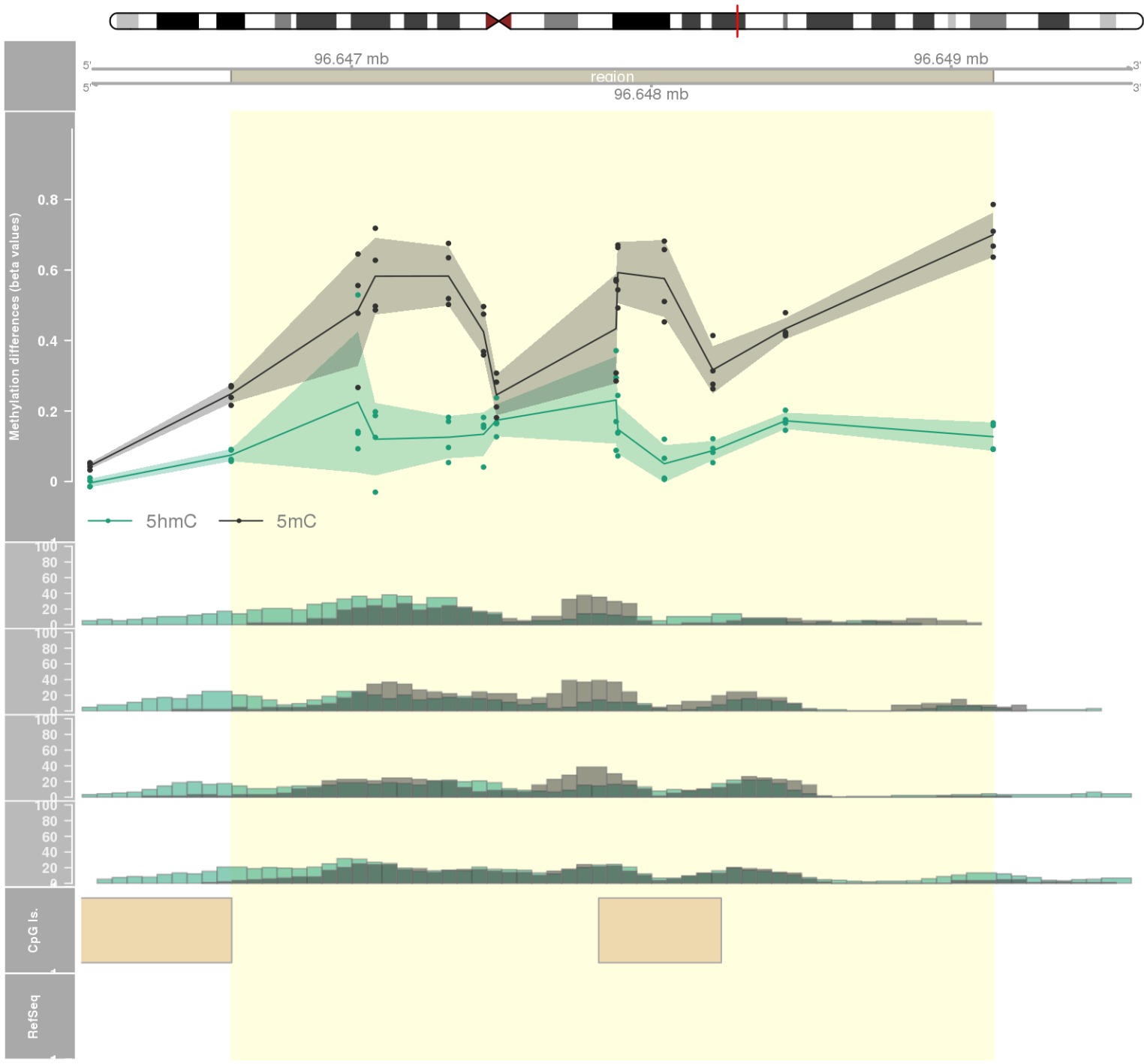


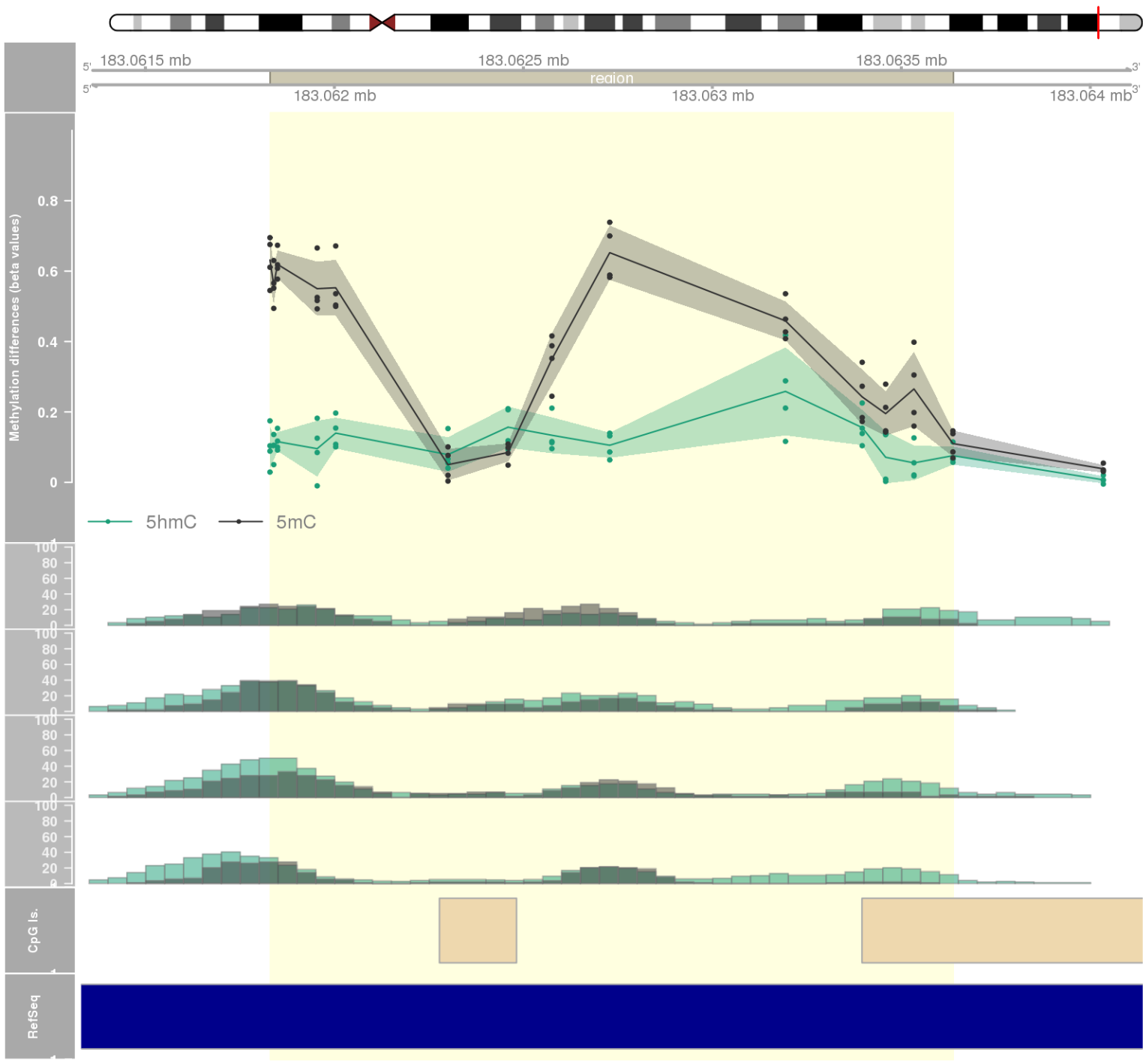
DMR 11 // chr7:12609907-12611607 // 1700 pb. (15 probes) // pvalue: 0 // fwer: 0.219 // pvalueArea: 0.001 // fwerArea: 0.788
- genes: SCIN -



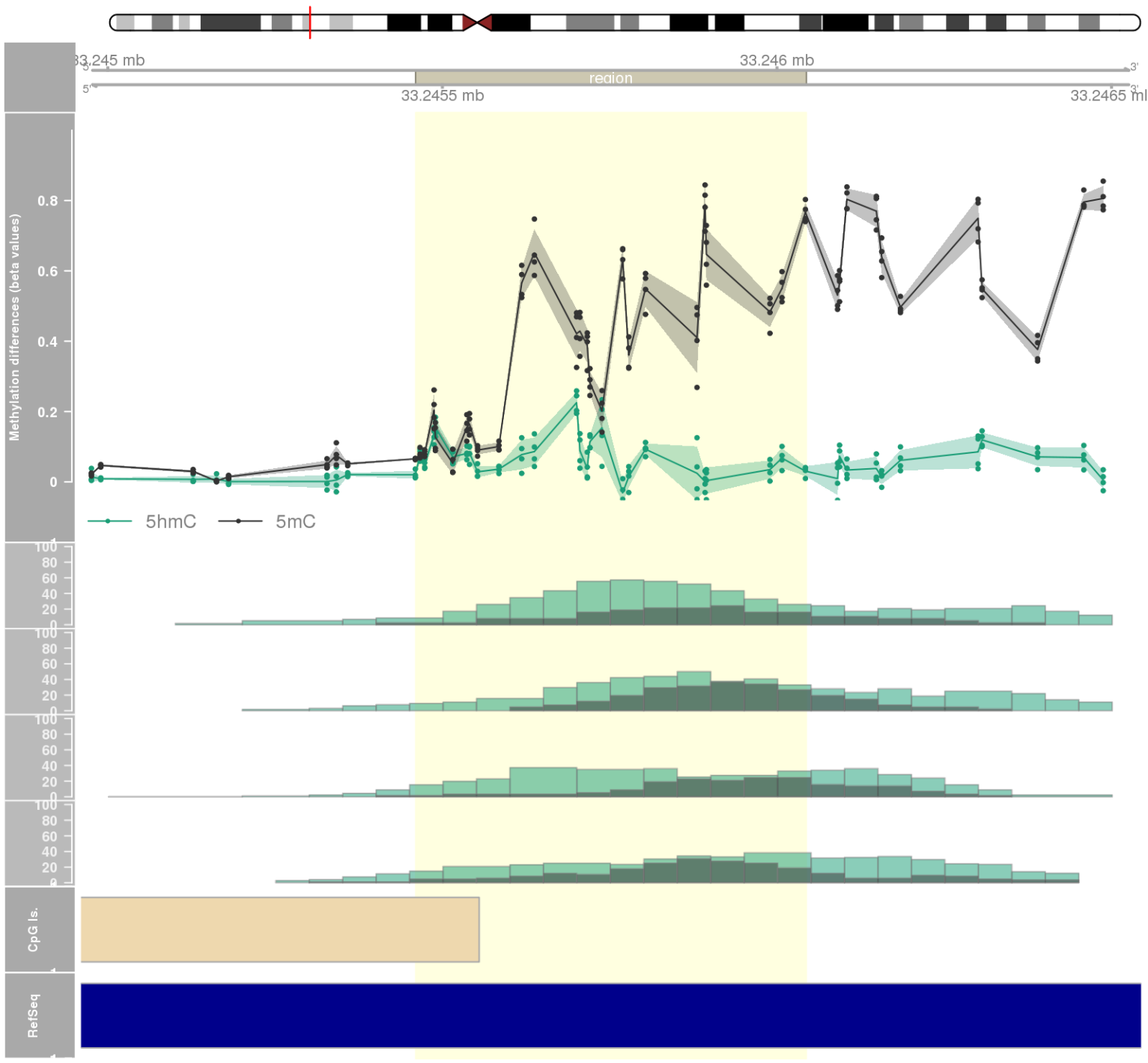
DMR 12 // chr20:42142417-42143174 // 757 pb. (22 probes) // pvalue: 0 // fwer: 0.219 // pvalueArea: 0.002 // fwerArea: 1
- genes: L3MBTL1 -



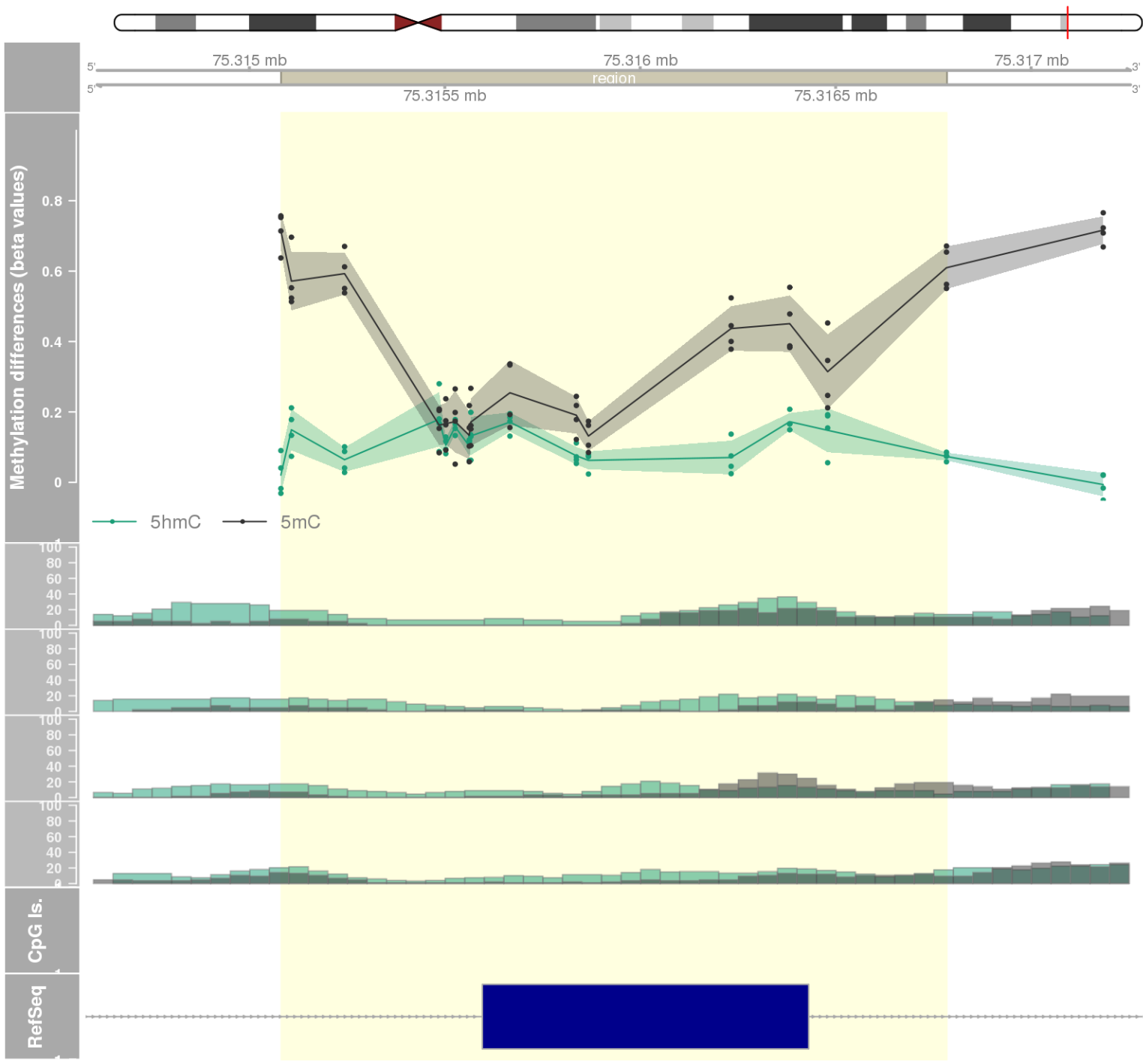




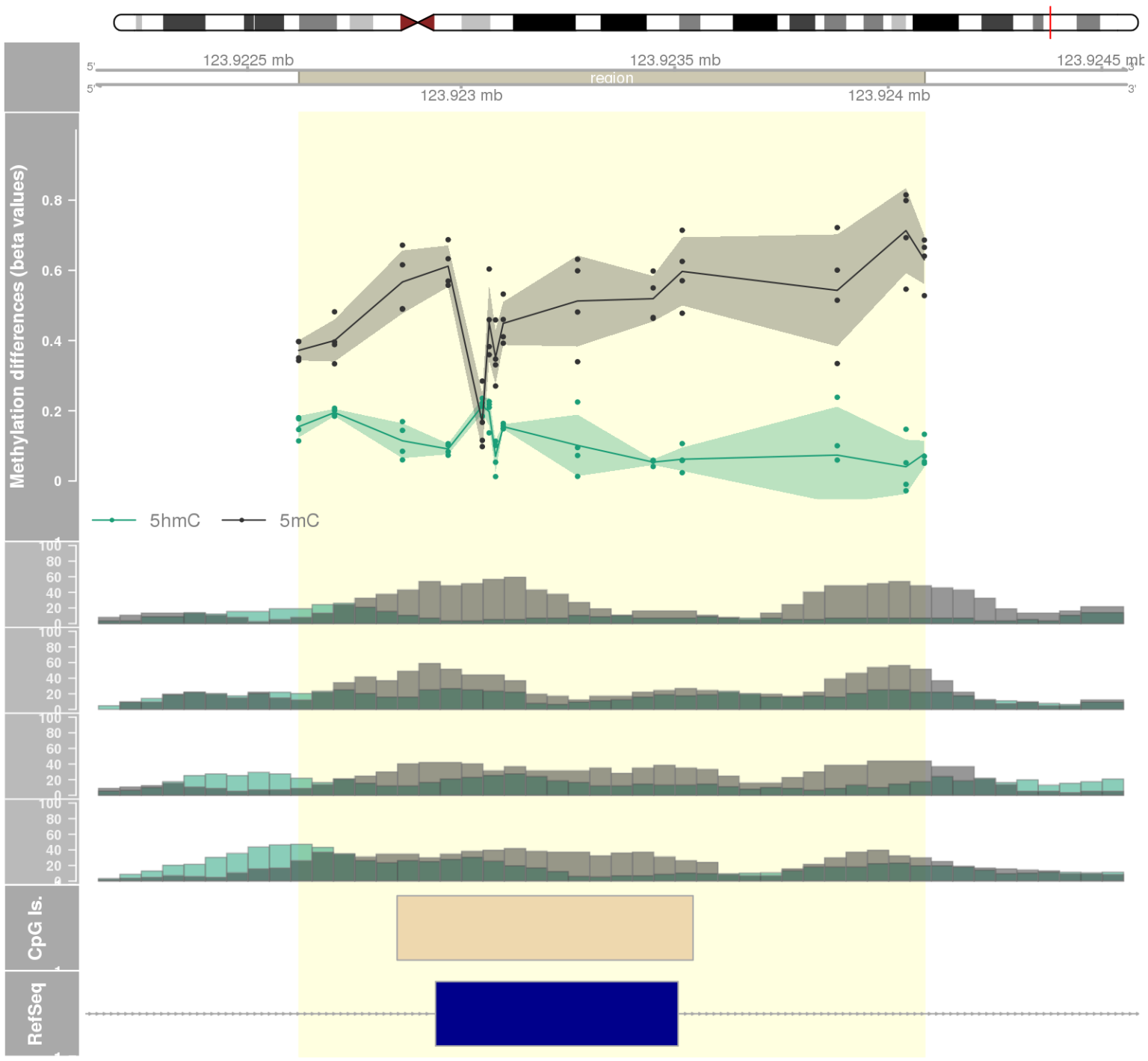
DMR 15 // chr6:33245460-33246043 // 583 pb. (26 probes) // pvalue: 0 // fwer: 0.219 // pvalueArea: 0.002 // fwerArea: 1
- genes: B3GALT4 -



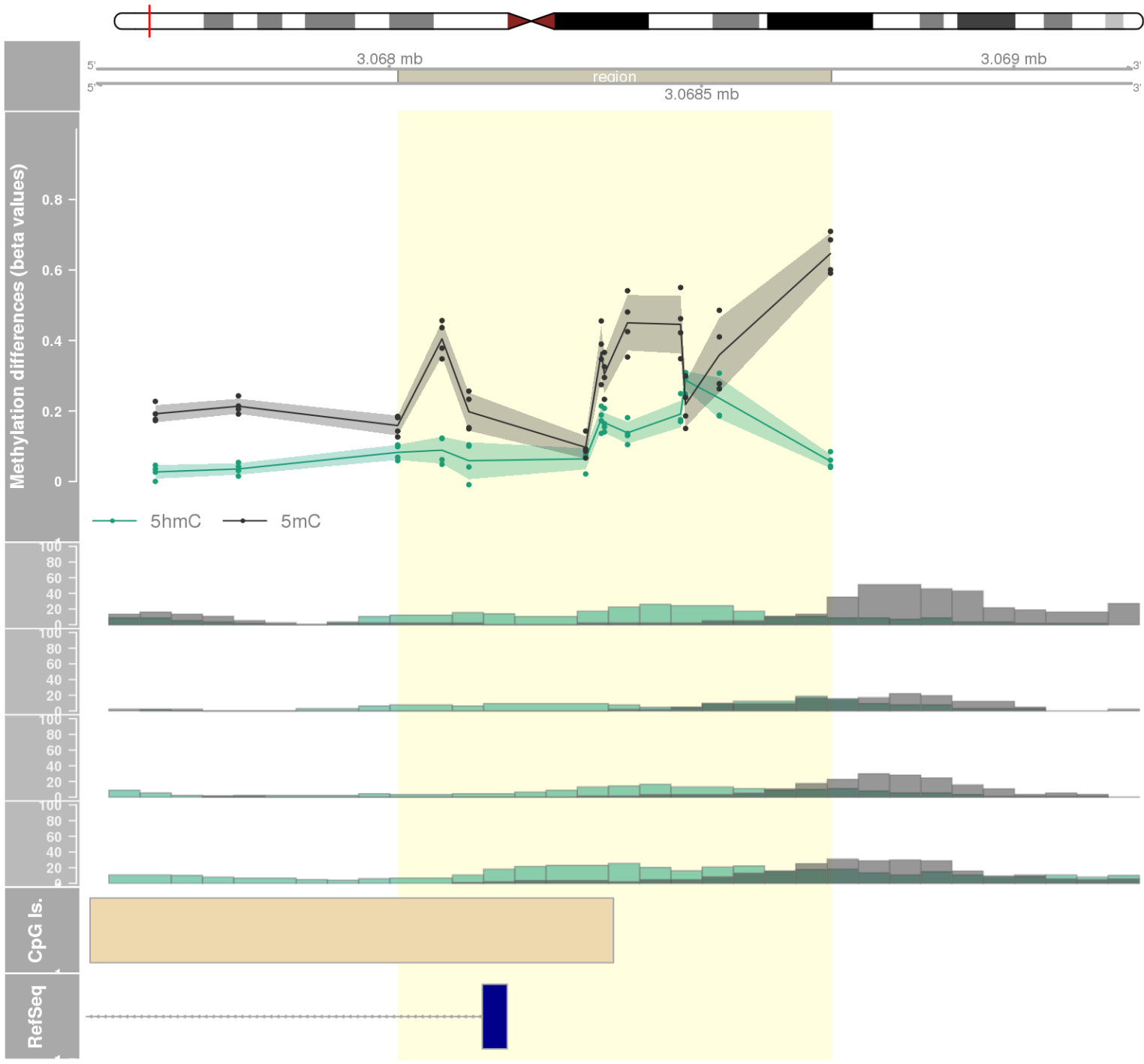
DMR 16 // chr17:75315081-75316784 // 1703 pb. (15 probes) // pvalue: 0 // fwer: 0.219 // pvalueArea: 0.002 // fwerArea: 1
- genes: SEPT9 -



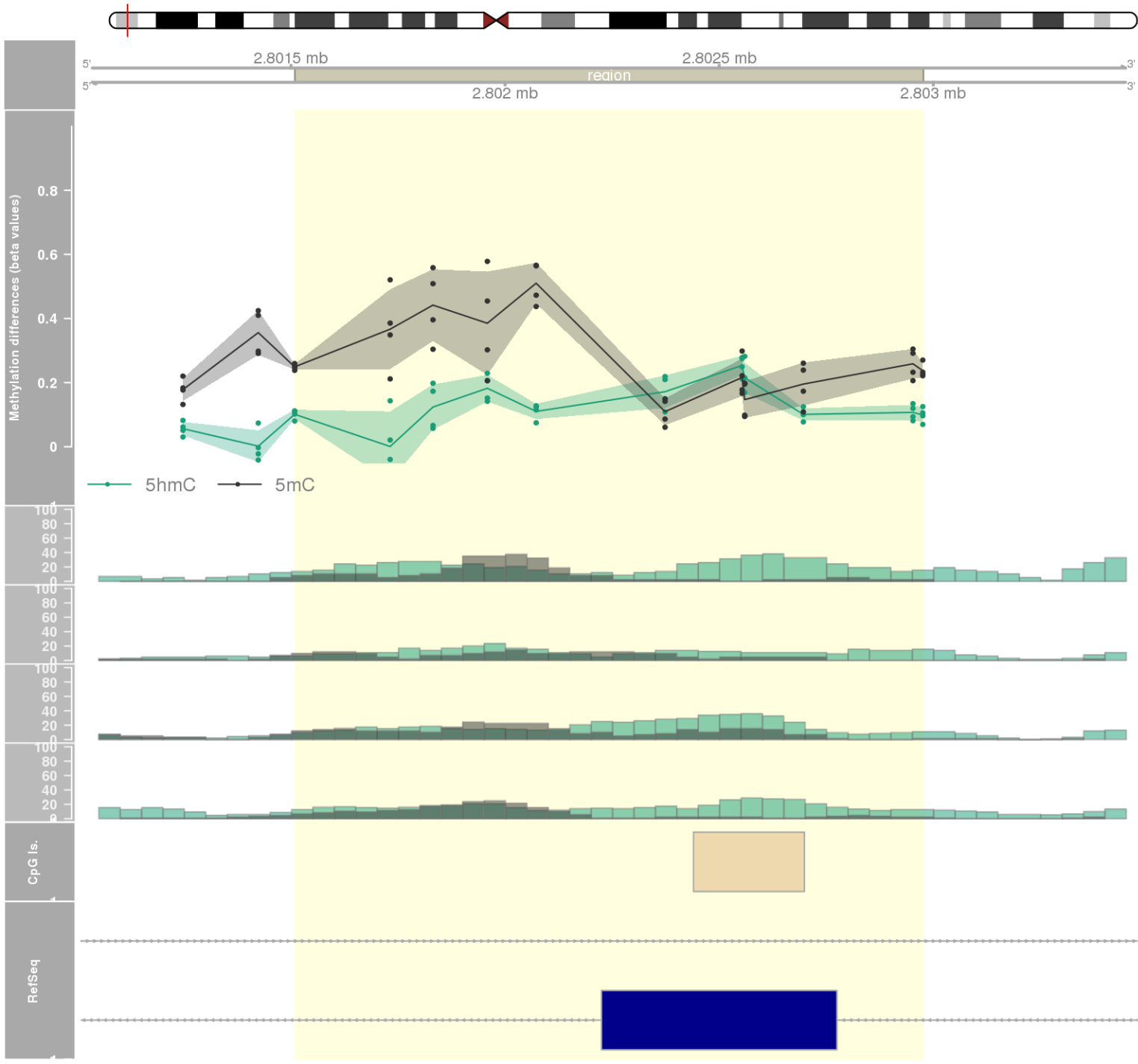
DMR 17 // chr10:123922620-123924085 // 1465 pb. (14 probes) // pvalue: 0 // fwer: 0.219 // pvalueArea: 0.002 // fwerArea: 1
- genes: TACC2 -



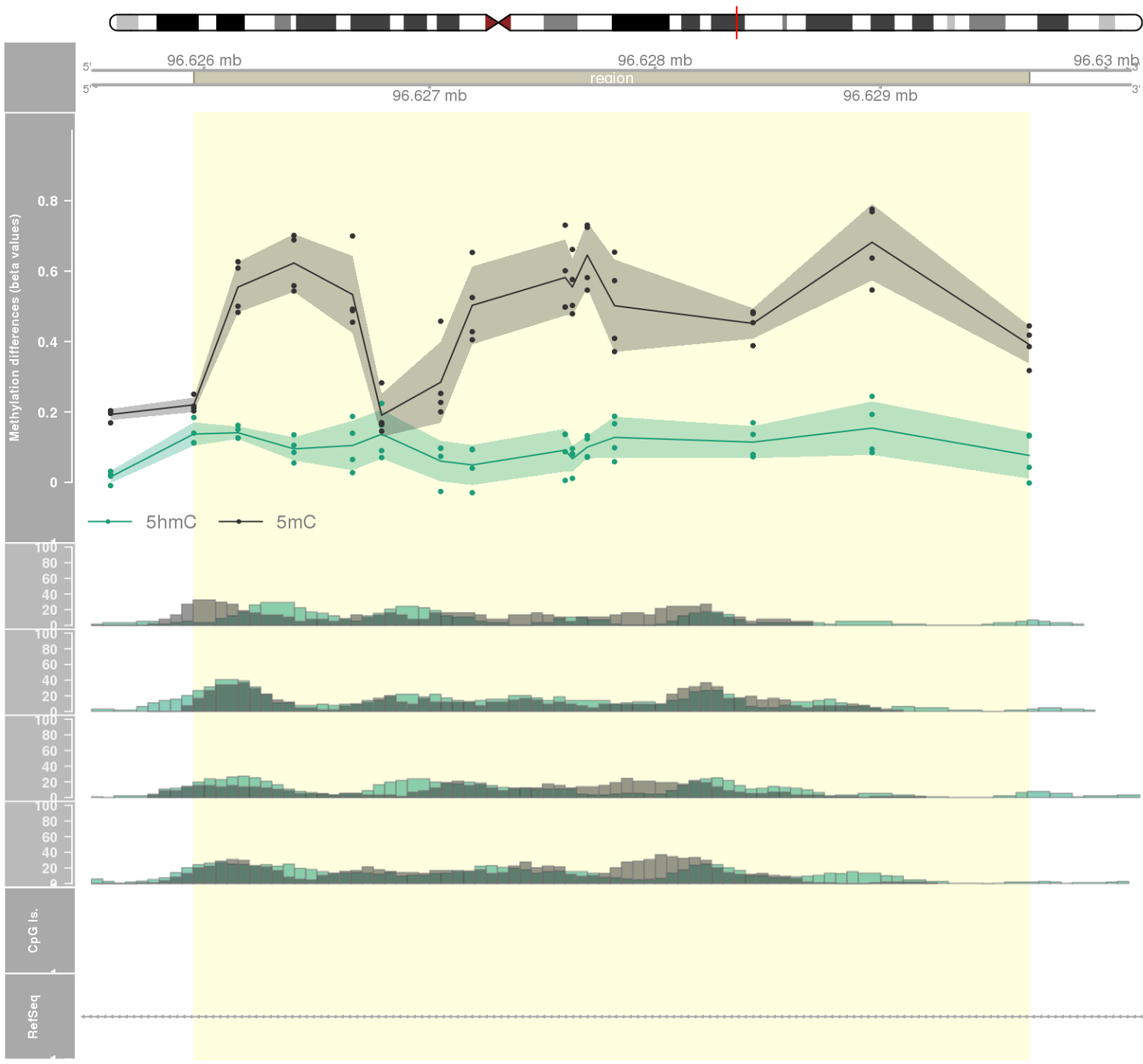
DMR 18 // chr16:3068014-3068707 // 693 pb. (11 probes) // pvalue: 0 // fwer: 0.412 // pvalueArea: 0.002 // fwerArea: 1
- genes: CLDN6 / TNFRSF12A -



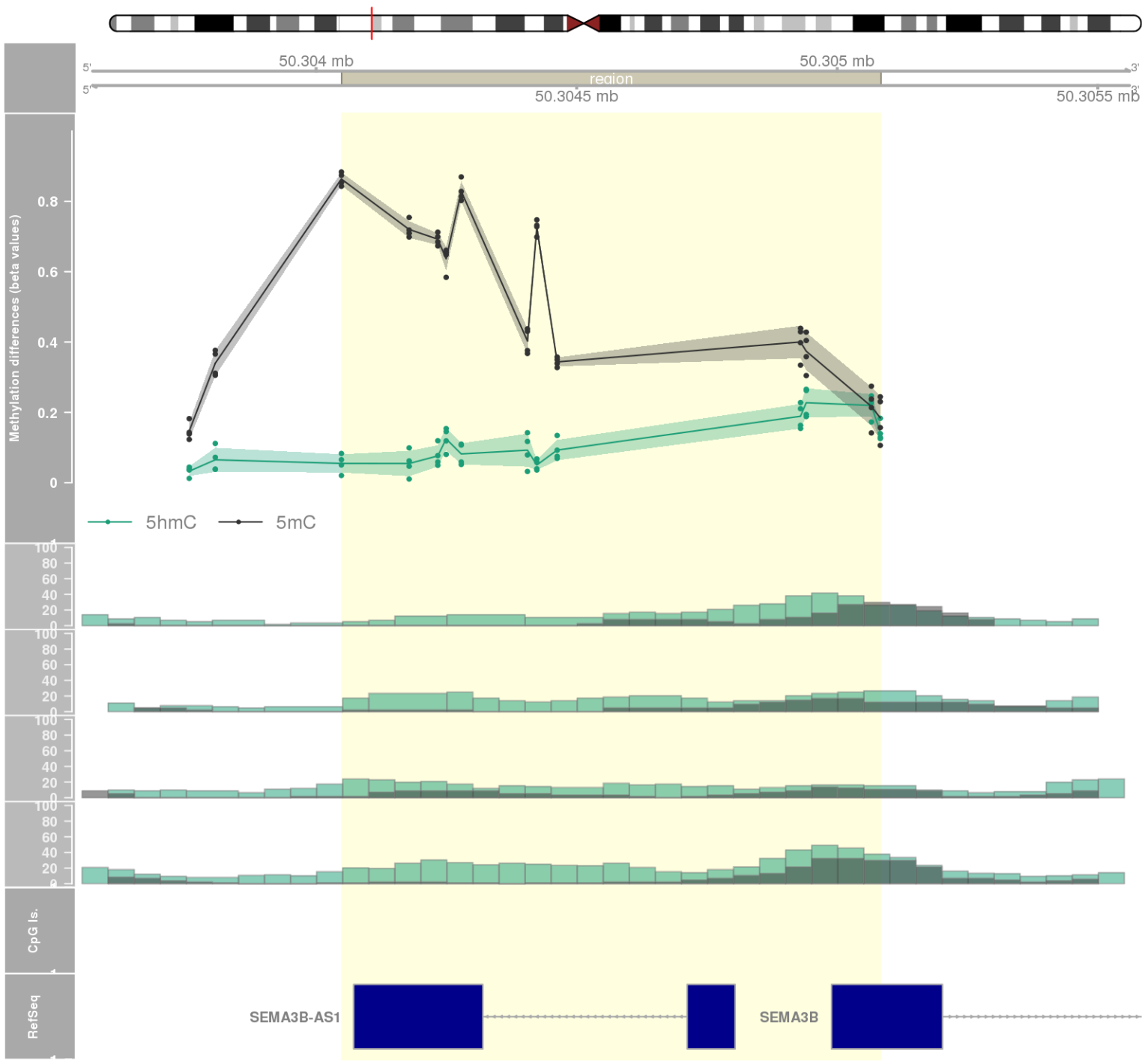
DMR 19 // chr7:2801509-2802976 // 1467 pb. (11 probes) // pvalue: 0.001 // fwer: 0.412 // pvalueArea: 0.002 // fwerArea: 1
- genes: AMZ1 / GNA12 -



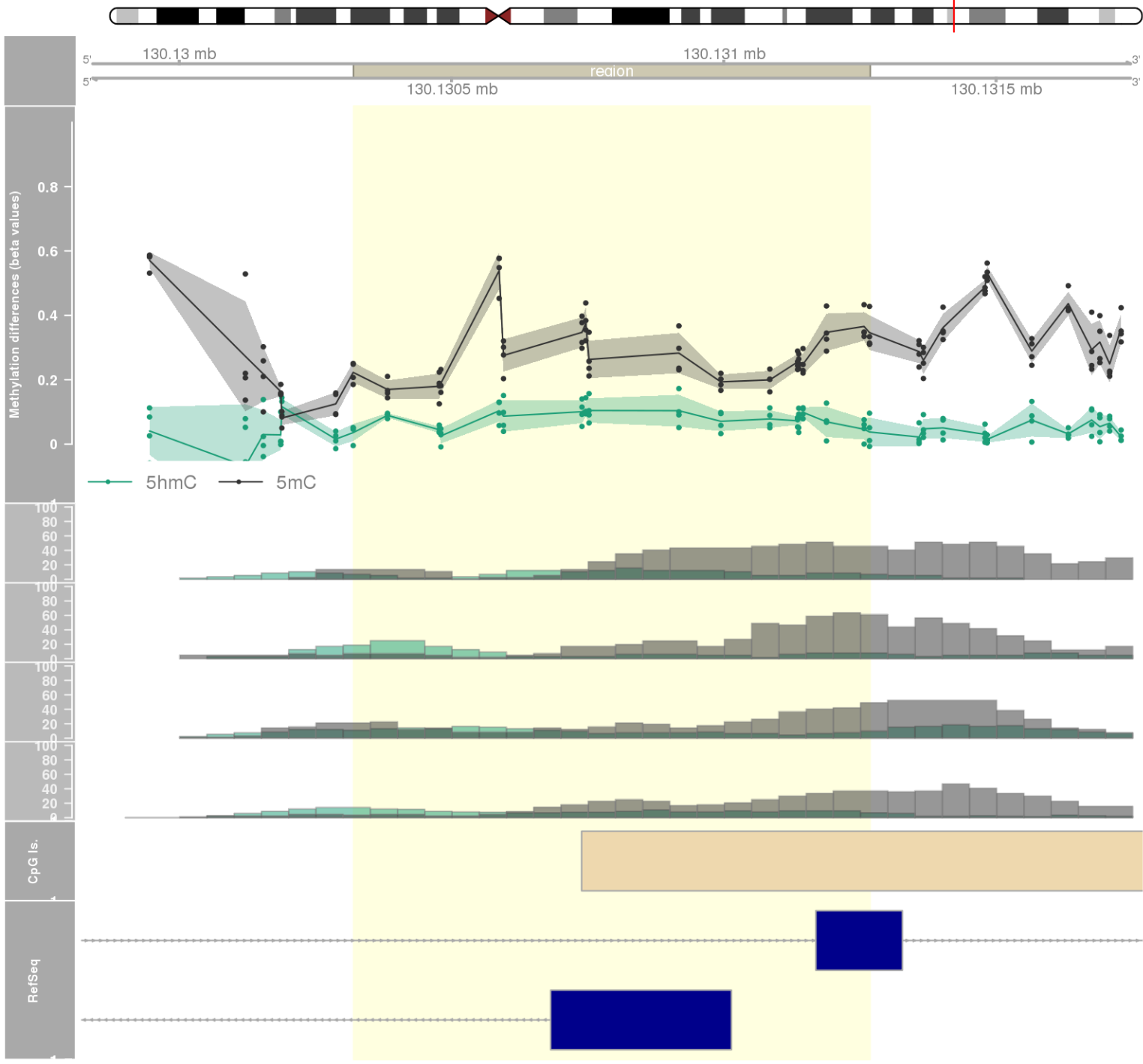
DMR 20 // chr7:96625955-96629660 // 3705 pb. (14 probes) // pvalue: 0.001 // fwer: 0.219 // pvalueArea: 0.002 // fwerArea: 1
- genes: DLX6-AS1 -



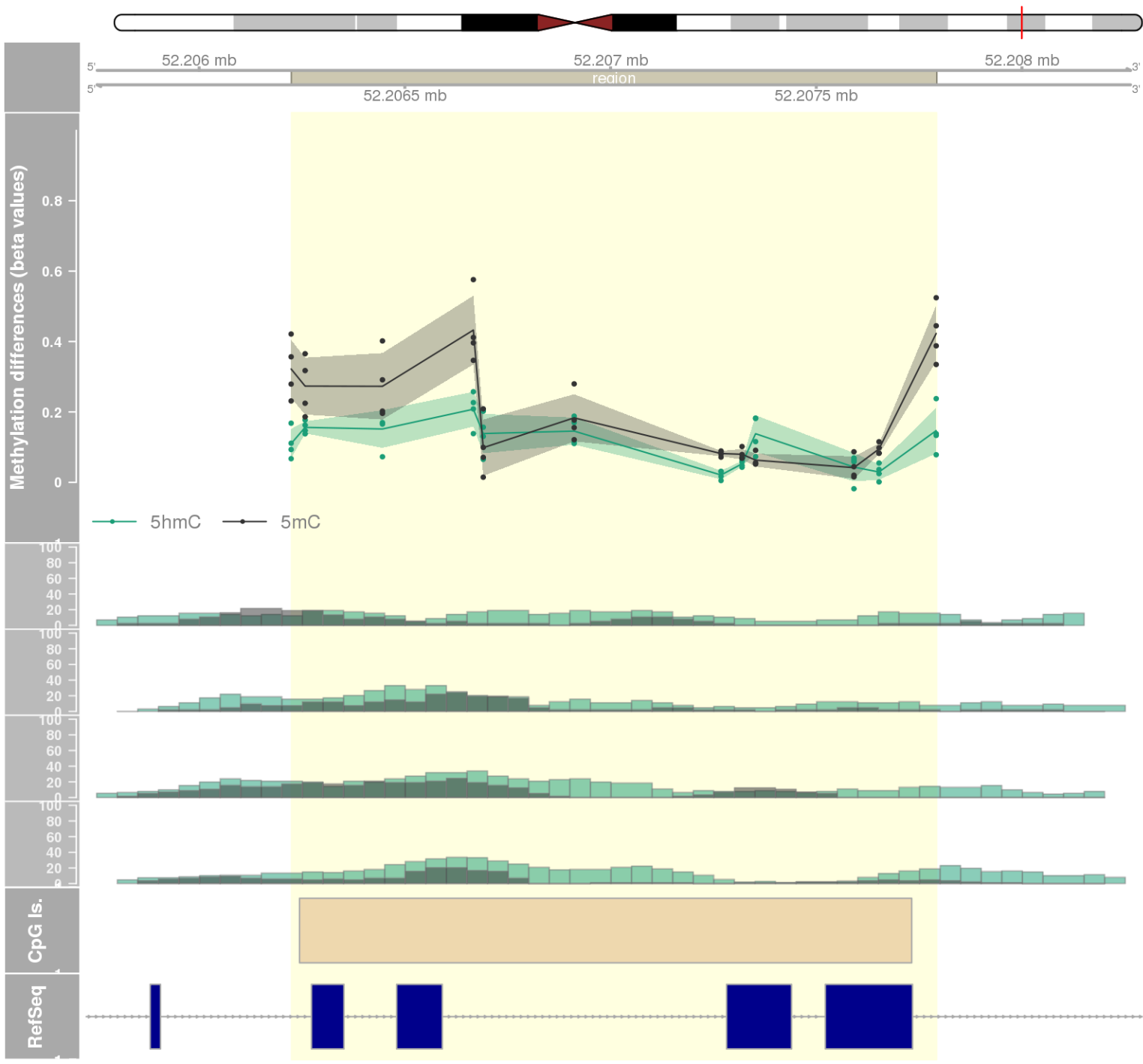
DMR 21 // chr3:50304049-50305083 // 1034 pb. (12 probes) // pvalue: 0.001 // fwer: 0.412 // pvalueArea: 0.002 // fwerArea: 1
- genes: SEMA3B-AS1 / SEMA3B -



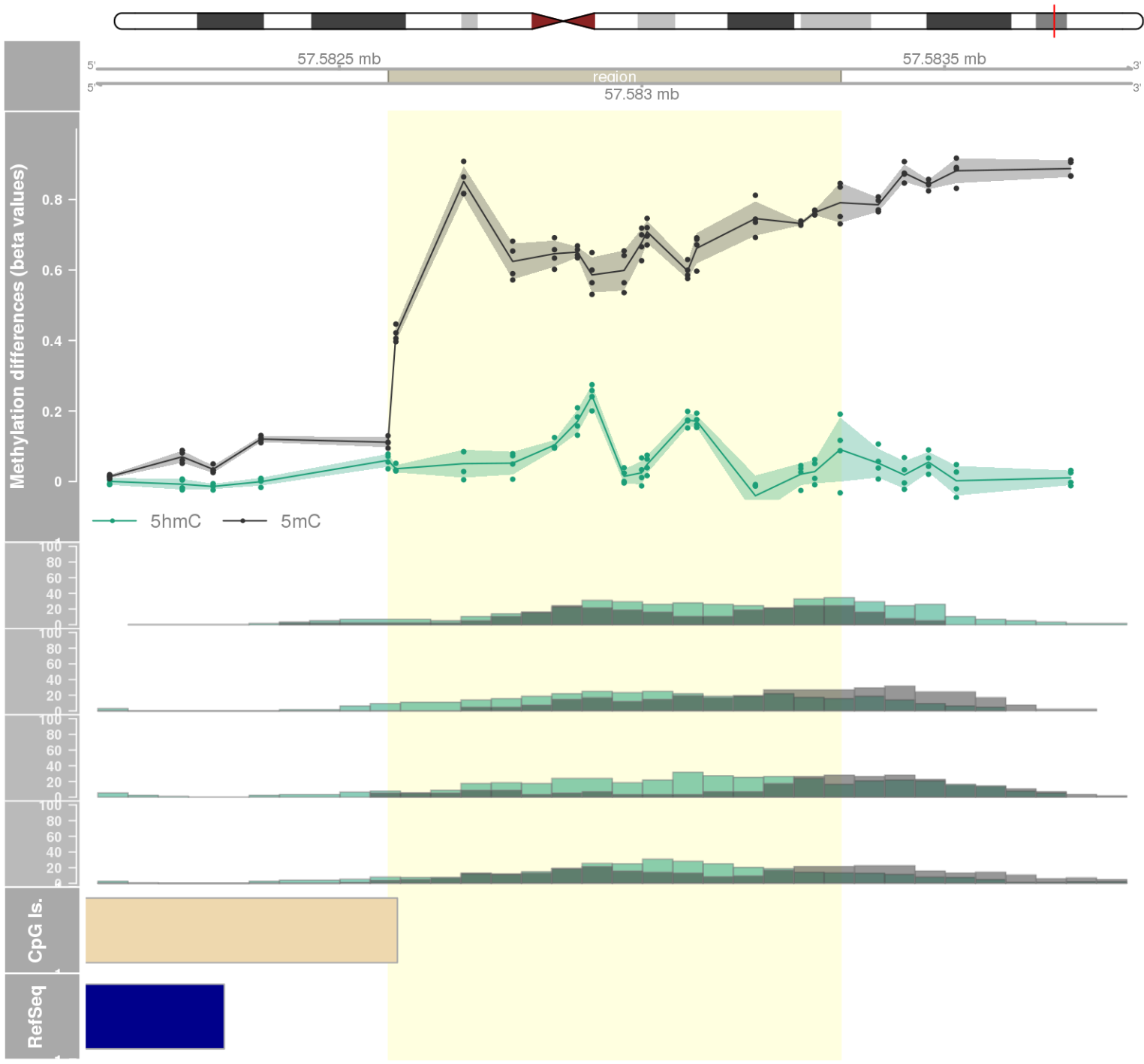
DMR 22 // chr7:130130320-130131268 // 948 pb. (18 probes) // pvalue: 0.001 // fwer: 0.412 // pvalueArea: 0.002 // fwerArea: 1
- genes: MEST -



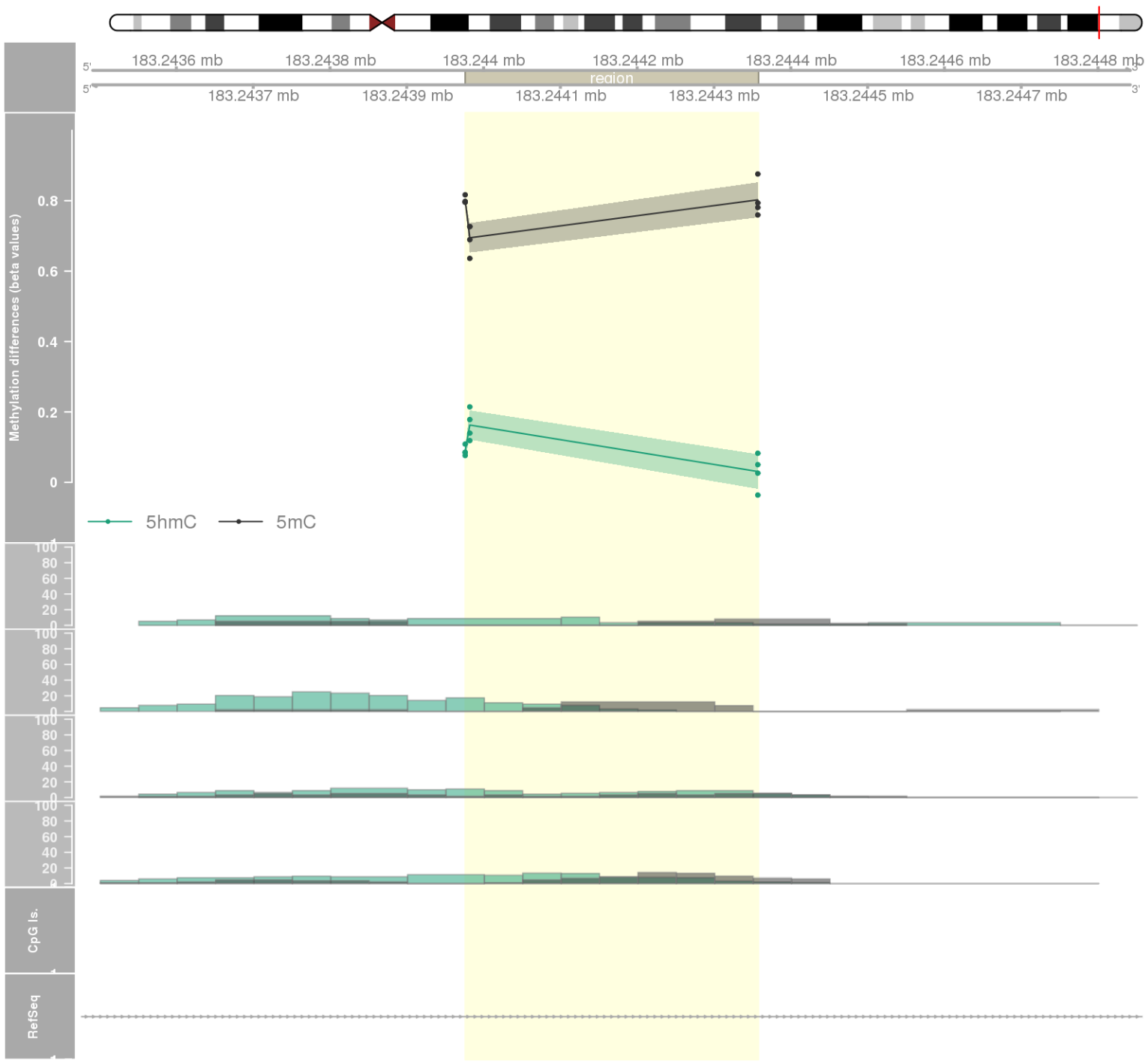
DMR 23 // chr19:52206224-52207792 // 1568 pb. (12 probes) // pvalue: 0.001 // fwer: 0.412 // pvalueArea: 0.003 // fwerArea: 1
- genes: SPACA6P -



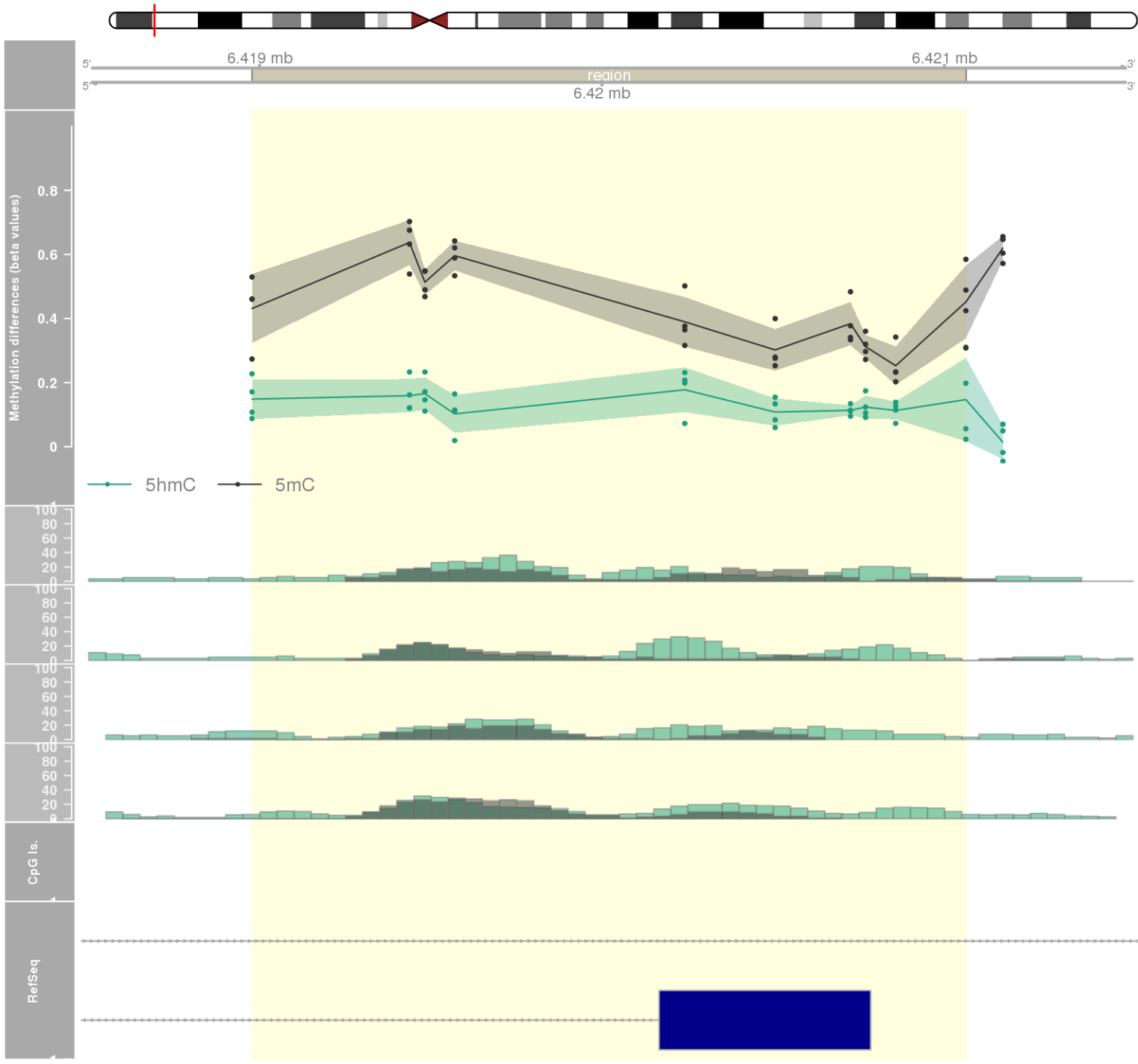
DMR 24 // chr20:57582581-57583328 // 747 pb. (16 probes) // pvalue: 0.001 // fwer: 0.412 // pvalueArea: 0.003 // fwerArea: 1



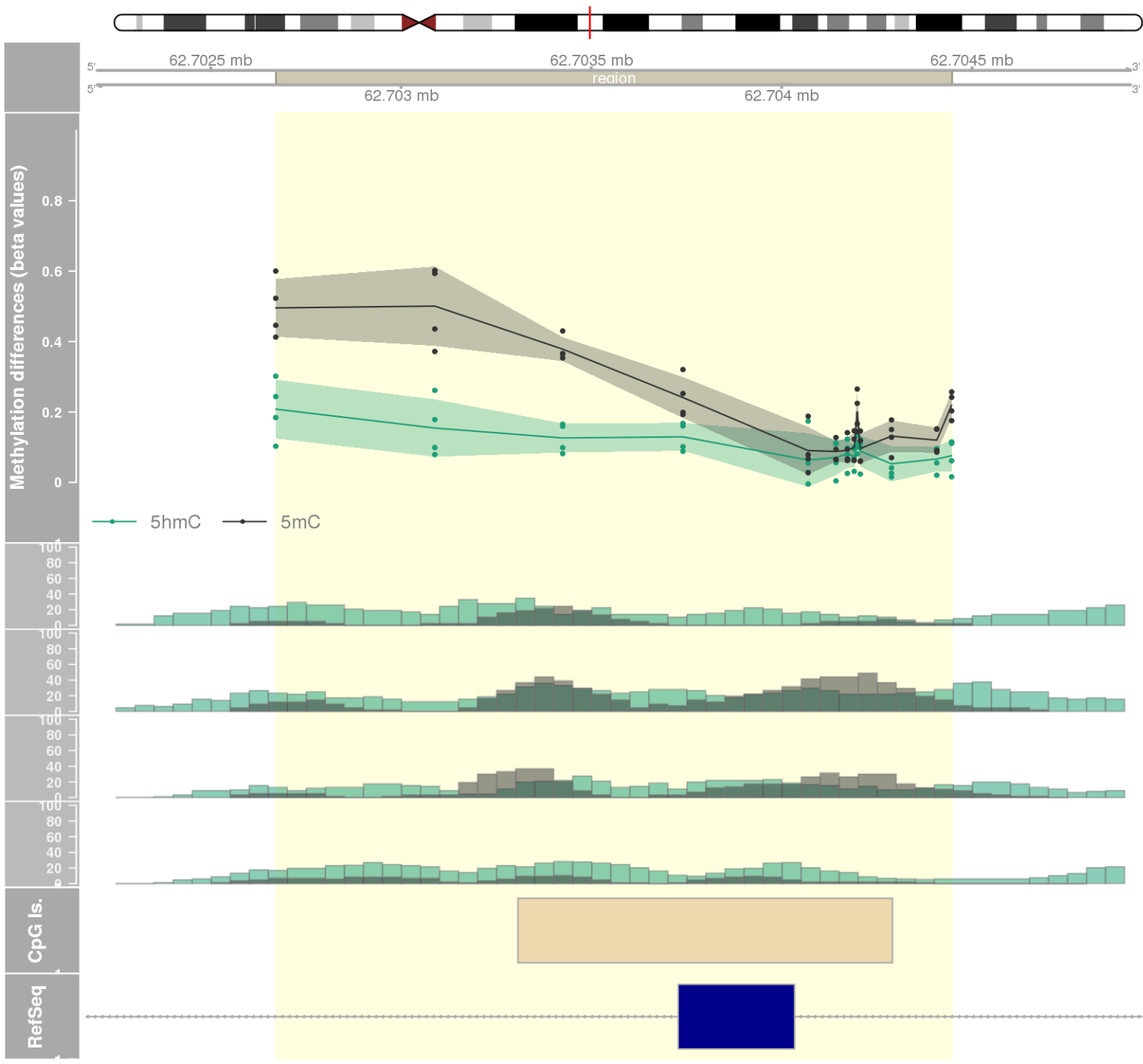
DMR 25 // chr4:183243976-183244357 // 381 pb. (3 probes) // pvalue: 0 // fwer: 0.595 // pvalueArea: 0.003 // fwerArea: 1
- genes: TENM3 -



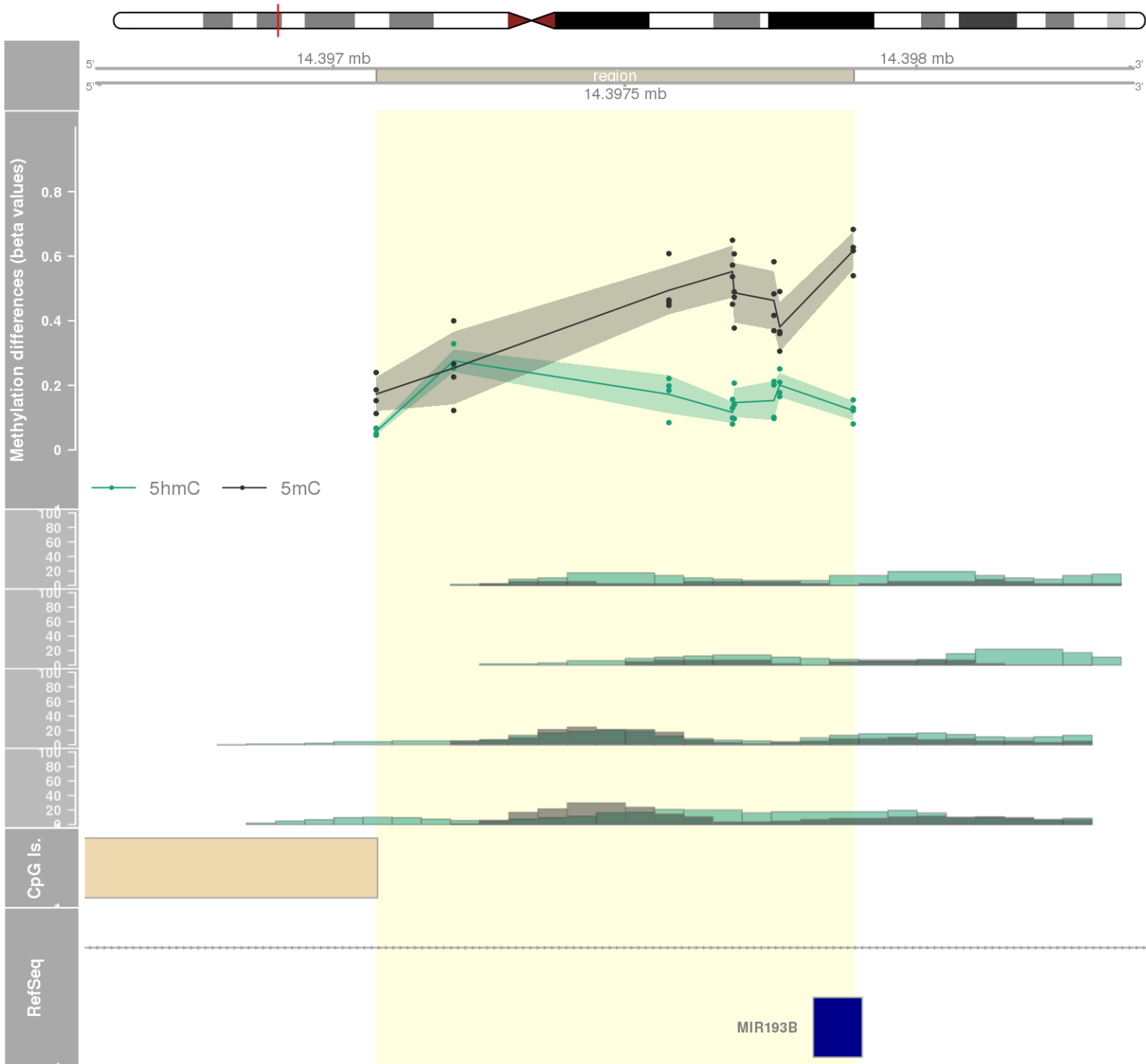
DMR 26 // chr8:6418978-6421063 // 2085 pb. (10 probes) // pvalue: 0.001 // fwer: 0.412 // pvalueArea: 0.003 // fwerArea: 1
- genes: MCPH1 / ANGPT2 -



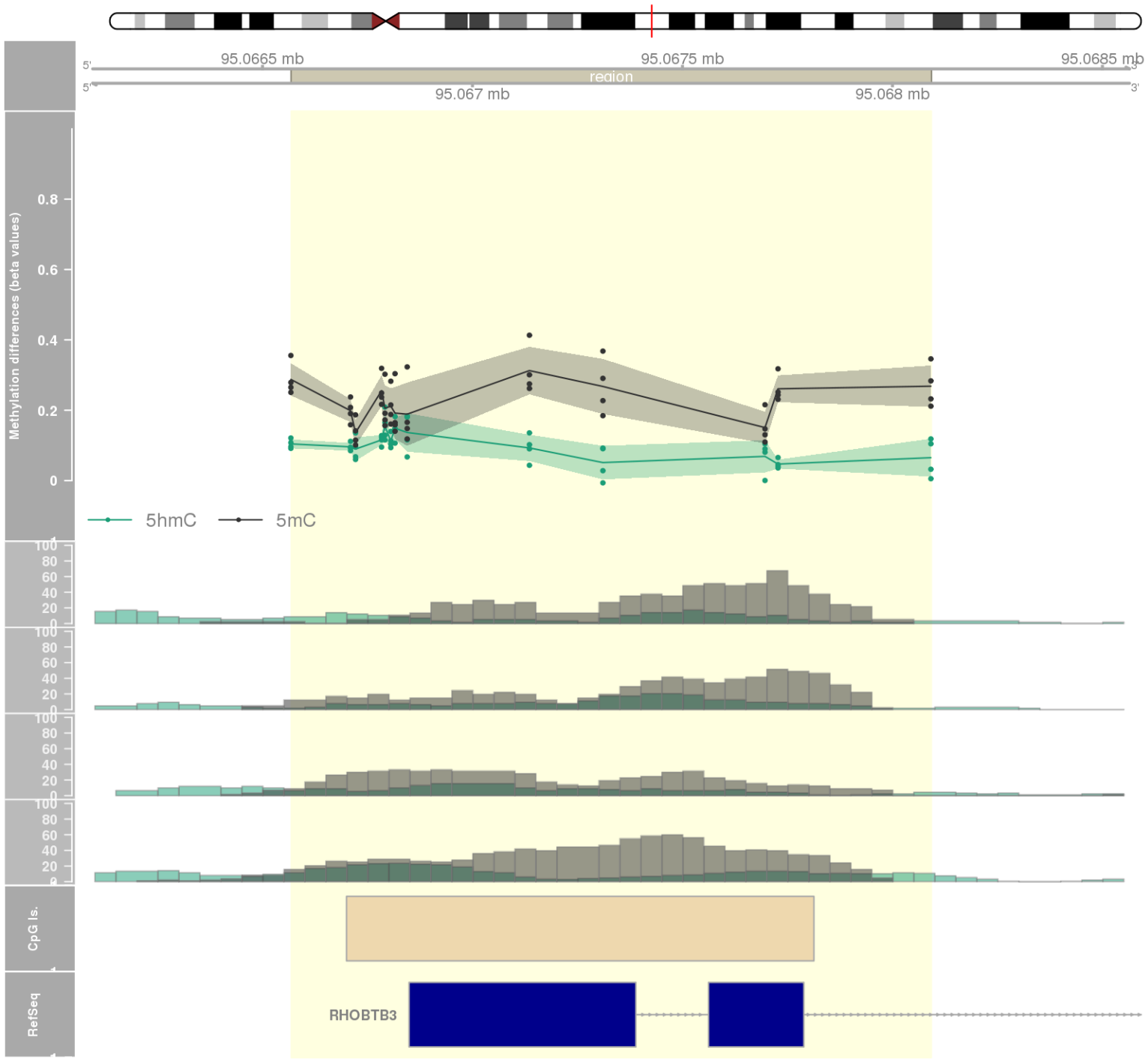
DMR 27 // chr10:62702671-62704447 // 1776 pb. (13 probes) // pvalue: 0.001 // fwer: 0.219 // pvalueArea: 0.003 // fwerArea: 1
- genes: RHOBTB1 -



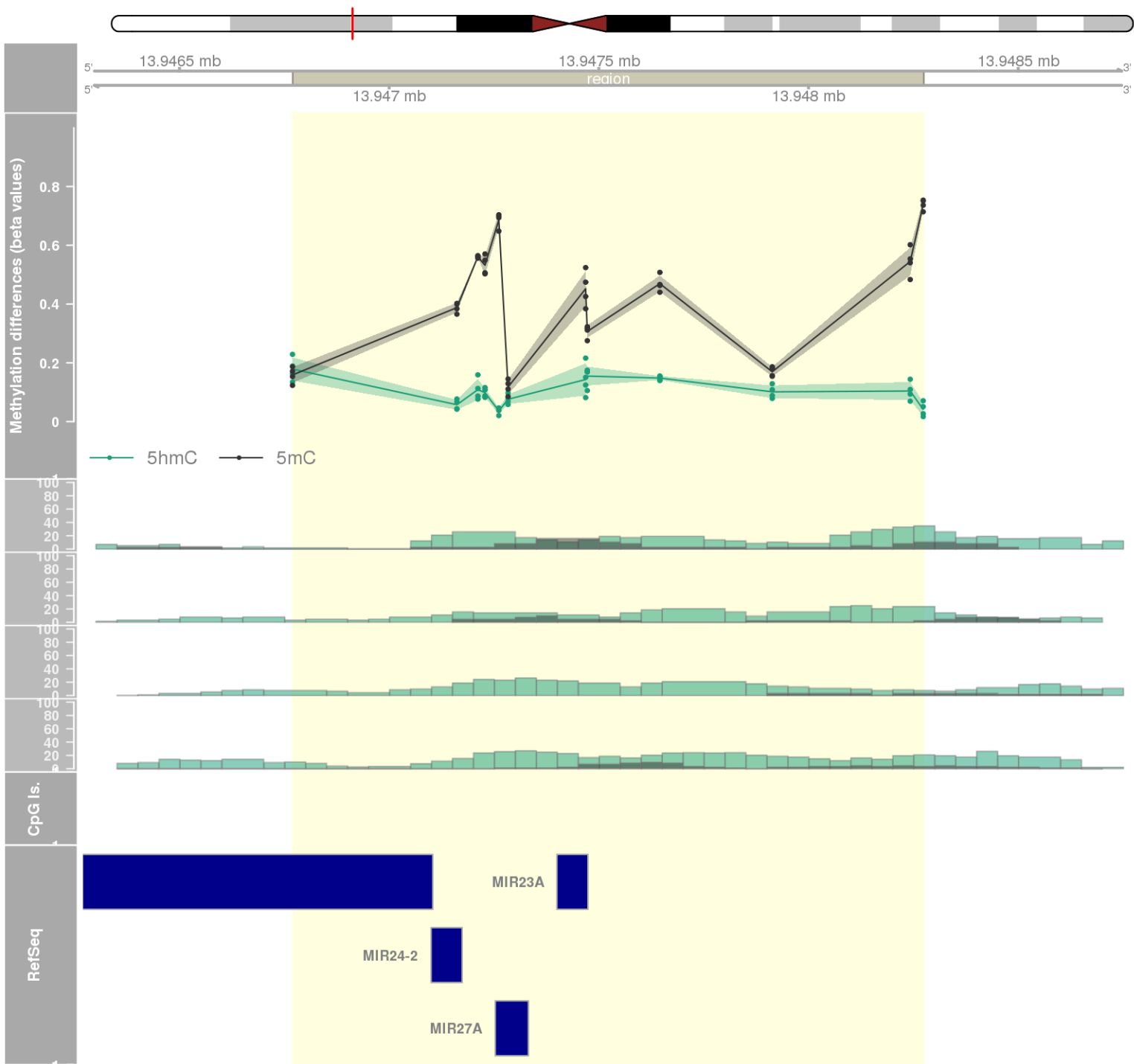
DMR 28 // chr16:14397074-14397892 // 818 pb. (8 probes) // pvalue: 0 // fwer: 0.219 // pvalueArea: 0.003 // fwerArea: 1
- genes: MIR193B -



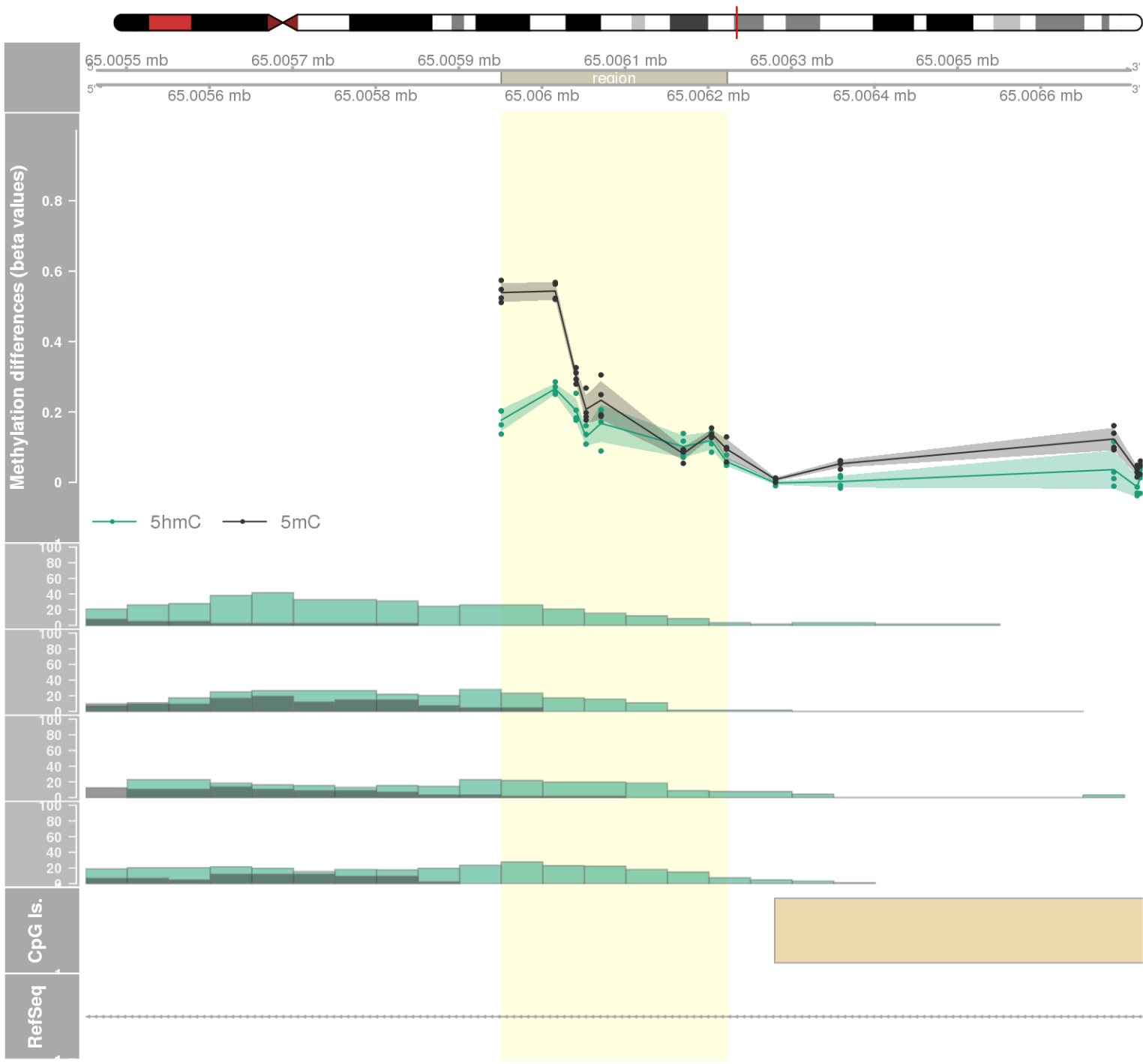
DMR 29 // chr5:95066568-95068092 // 1524 pb. (13 probes) // pvalue: 0.001 // fwer: 0.412 // pvalueArea: 0.003 // fwerArea: 1
- genes: RHOBTB3 -



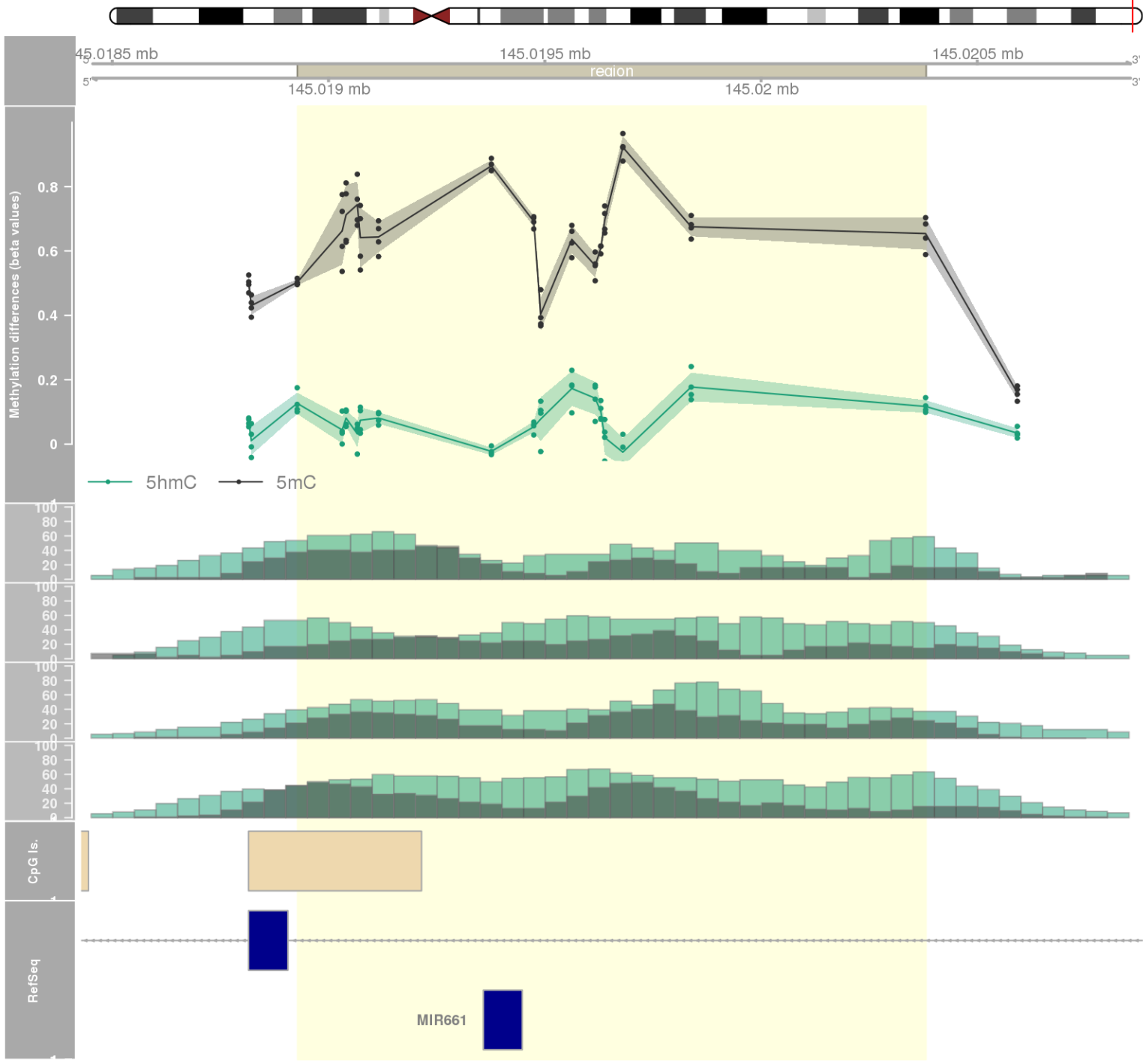
DMR 30 // chr19:13946770-13948274 // 1504 pb. (12 probes) // pvalue: 0.001 // fwer: 0.412 // pvalueArea: 0.003 // fwerArea: 1
- genes: MIR24-2 / MIR27A / MIR23A -



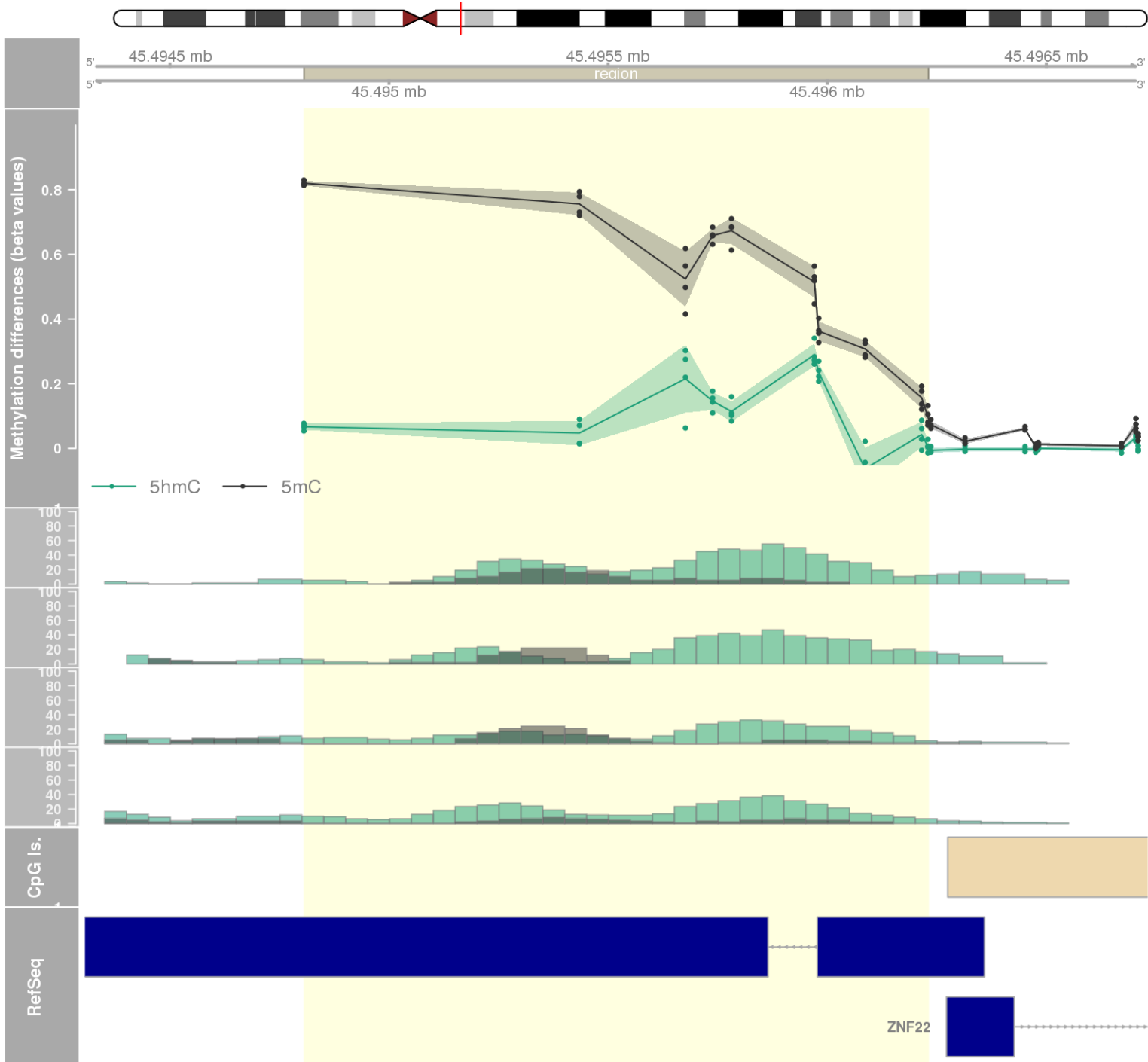
DMR 31 // chr14:65005951-65006222 // 271 pb. (8 probes) // pvalue: 0 // fwer: 0.219 // pvalueArea: 0.003 // fwerArea: 1
- genes: HSPA2 -



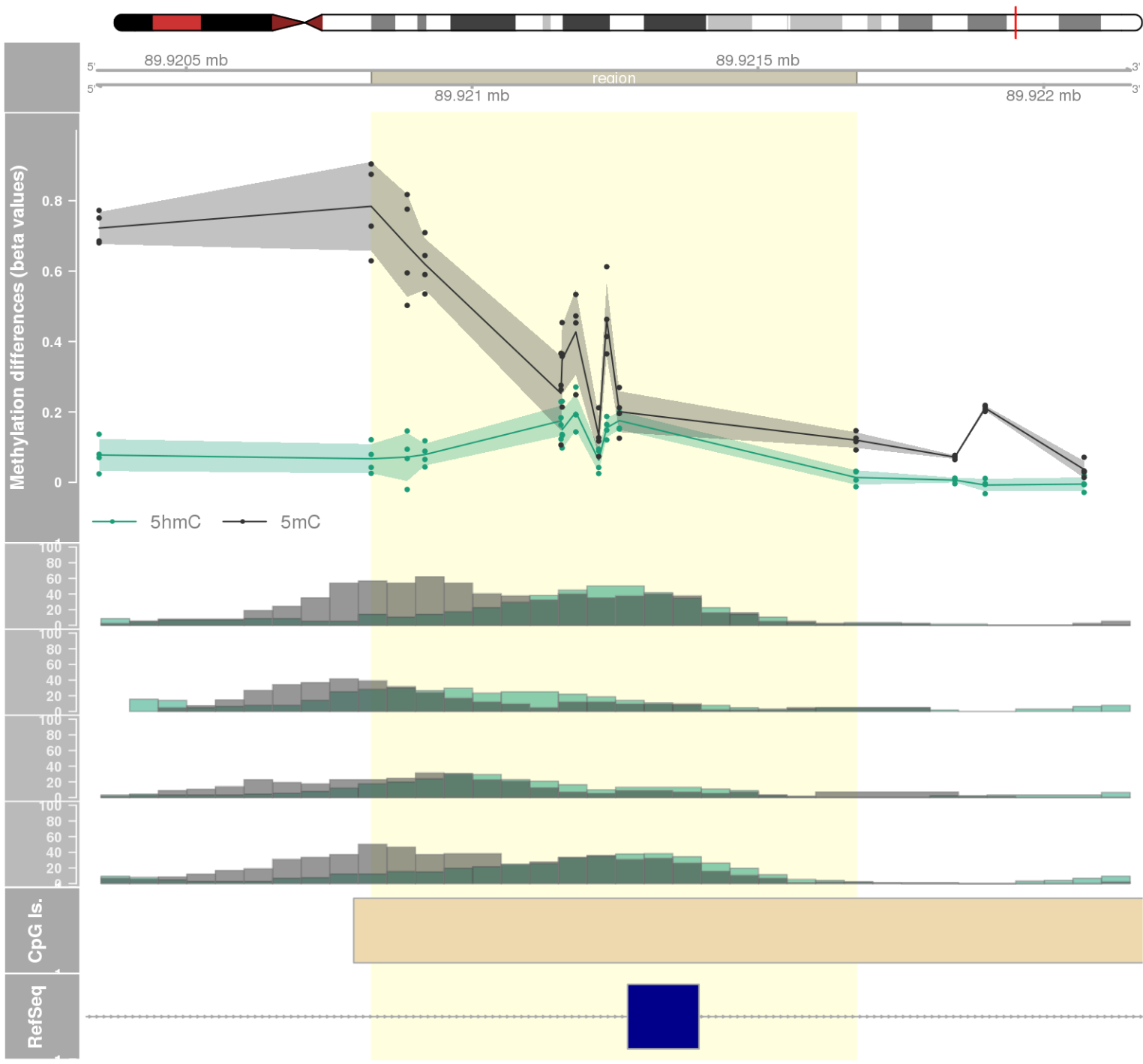
DMR 32 // chr8:145018928-145020381 // 1453 pb. (16 probes) // pvalue: 0.001 // fwer: 0.412 // pvalueArea: 0.003 // fwerArea: 1
- genes: MIR661 / PLEC -



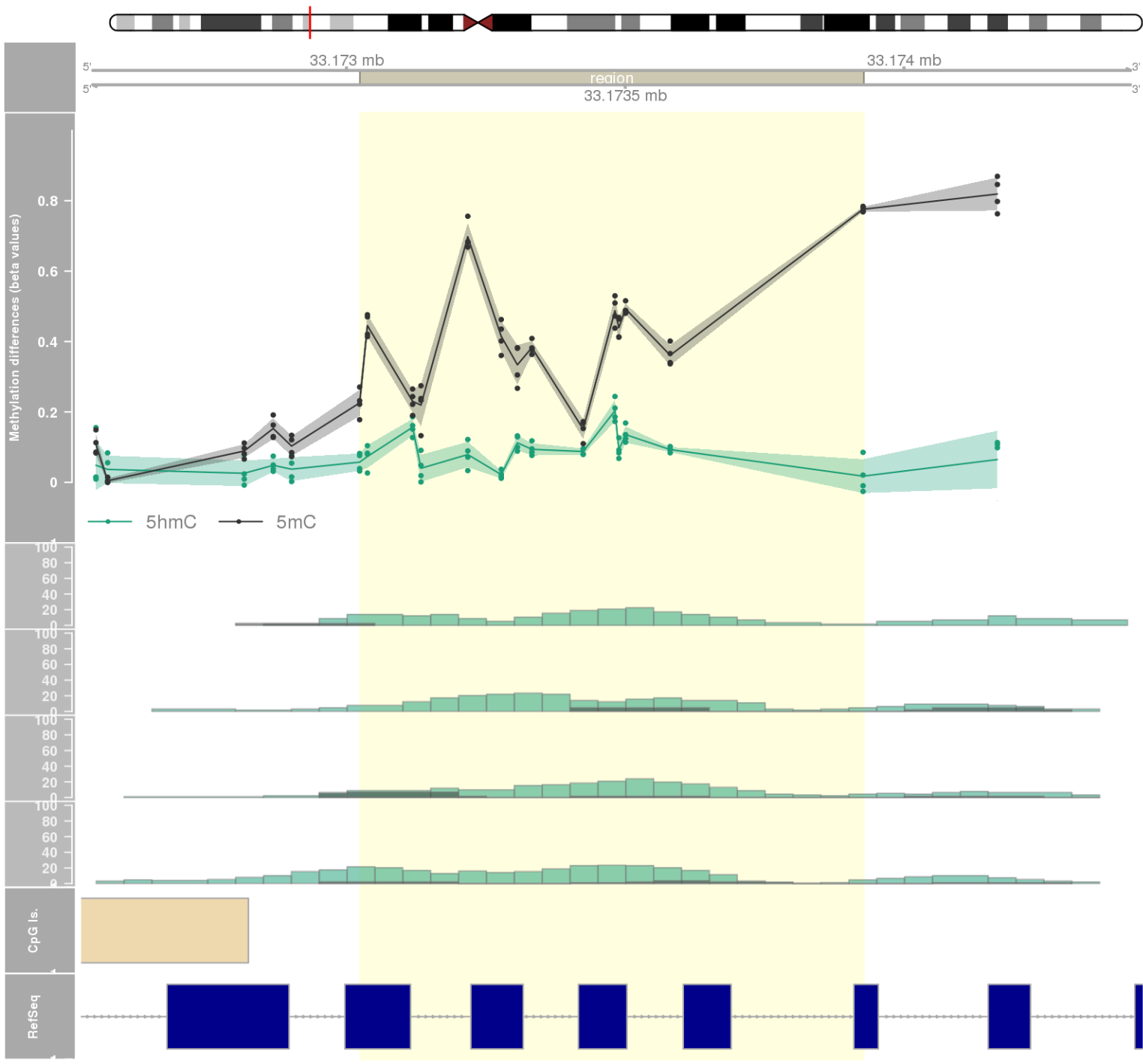
DMR 33 // chr10:45494806-45496230 // 1424 pb. (10 probes) // pvalue: 0.001 // fwer: 0.412 // pvalueArea: 0.003 // fwerArea: 1
- genes: C10orf25 / ZNF22 -



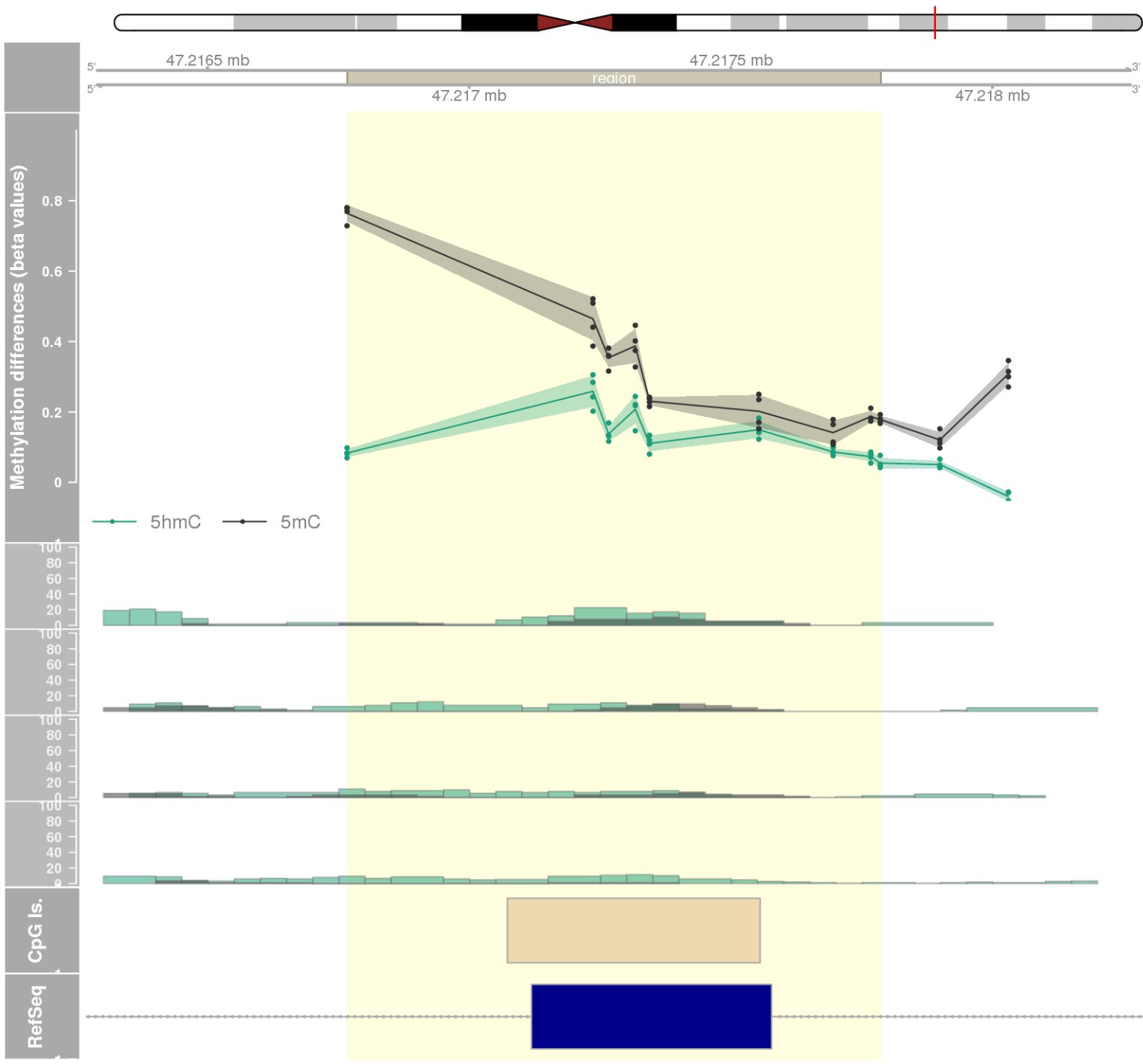
DMR 34 // chr15:89920824-89921672 // 848 pb. (10 probes) // pvalue: 0.001 // fwer: 0.412 // pvalueArea: 0.003 // fwerArea: 1
- genes: LINC00925 -



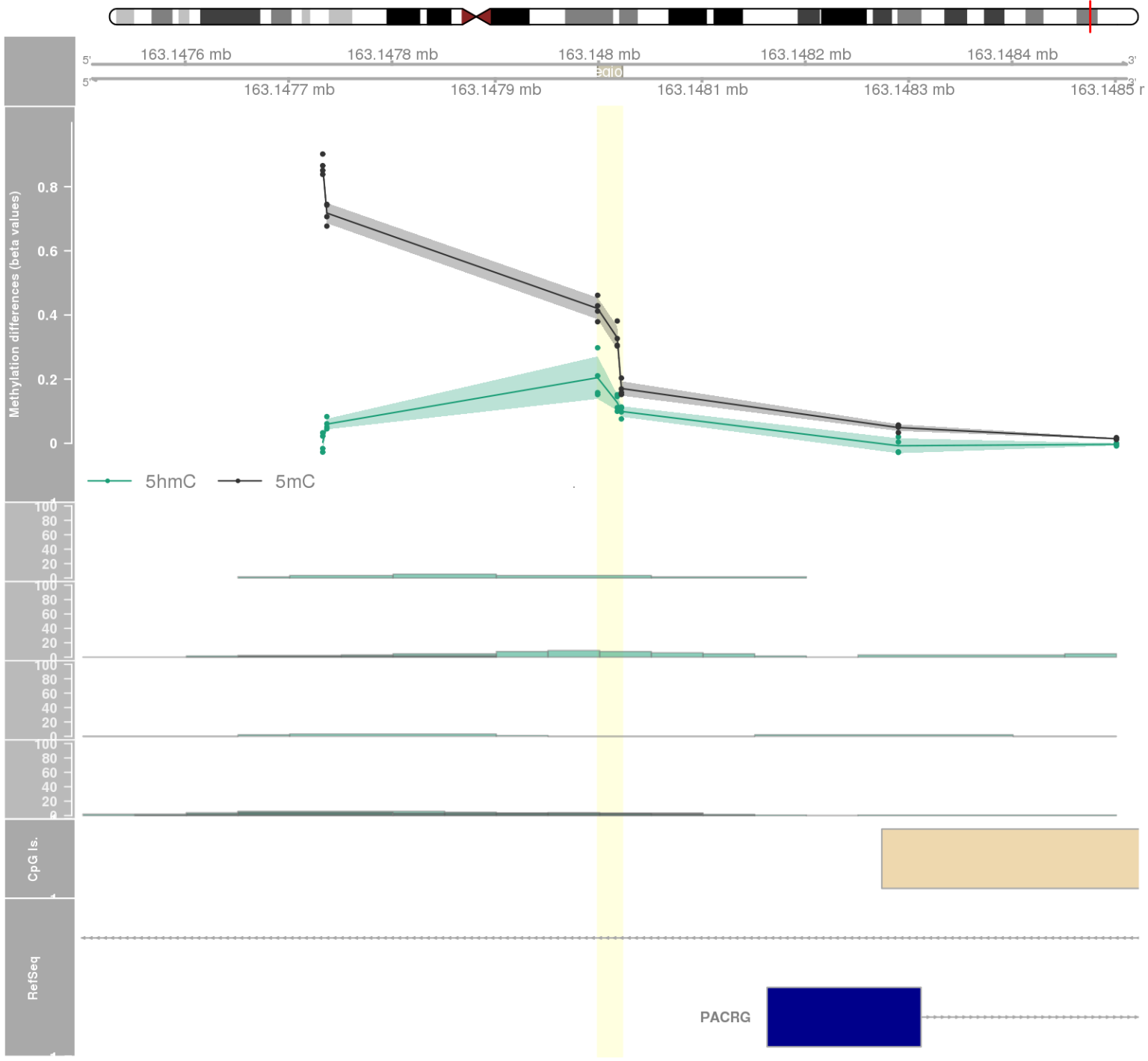
DMR 35 // chr6:33173024-33173927 // 903 pb. (14 probes) // pvalue: 0.001 // fwer: 0.412 // pvalueArea: 0.004 // fwerArea: 1
- genes: HSD17B8 -



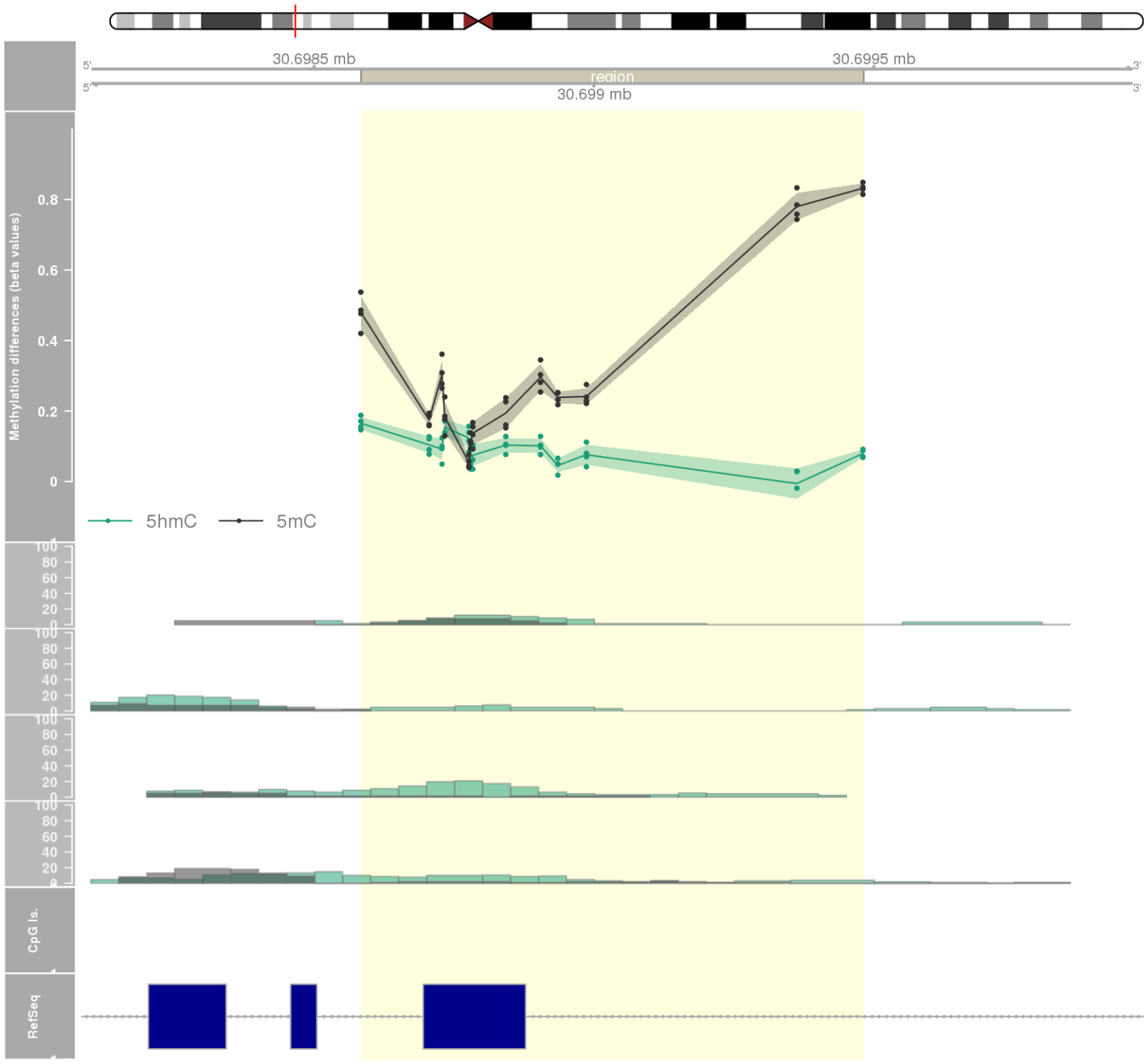
DMR 36 // chr19:47216767-47217786 // 1019 pb. (9 probes) // pvalue: 0.001 // fwer: 0.412 // pvalueArea: 0.004 // fwerArea: 1
- genes: PRKD2 -



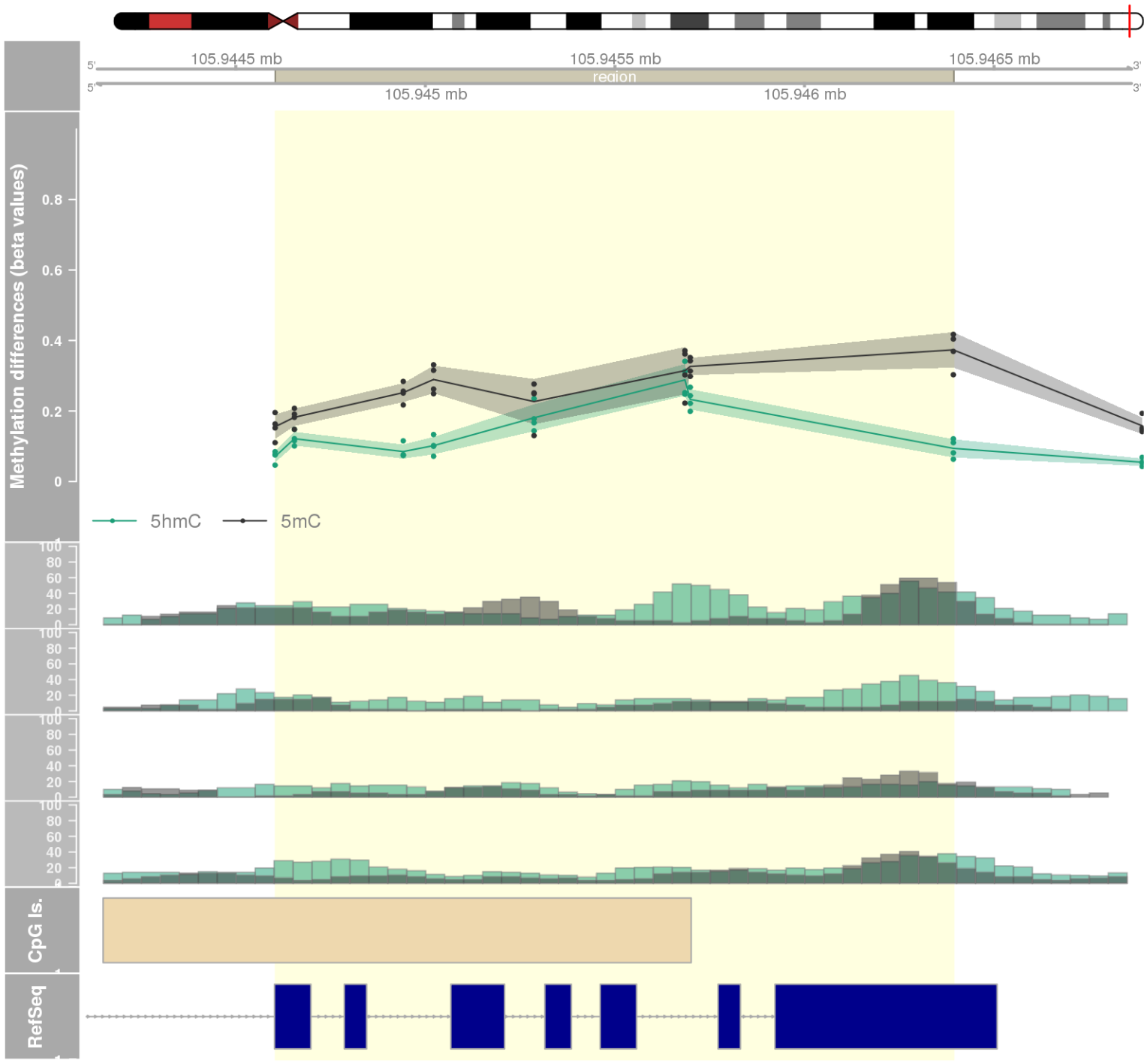
DMR 37 // chr6:163147999-163148022 // 23 pb. (3 probes) // pvalue: 0 // fwer: 0.595 // pvalueArea: 0.004 // fwerArea: 1
- genes: PARK2 -



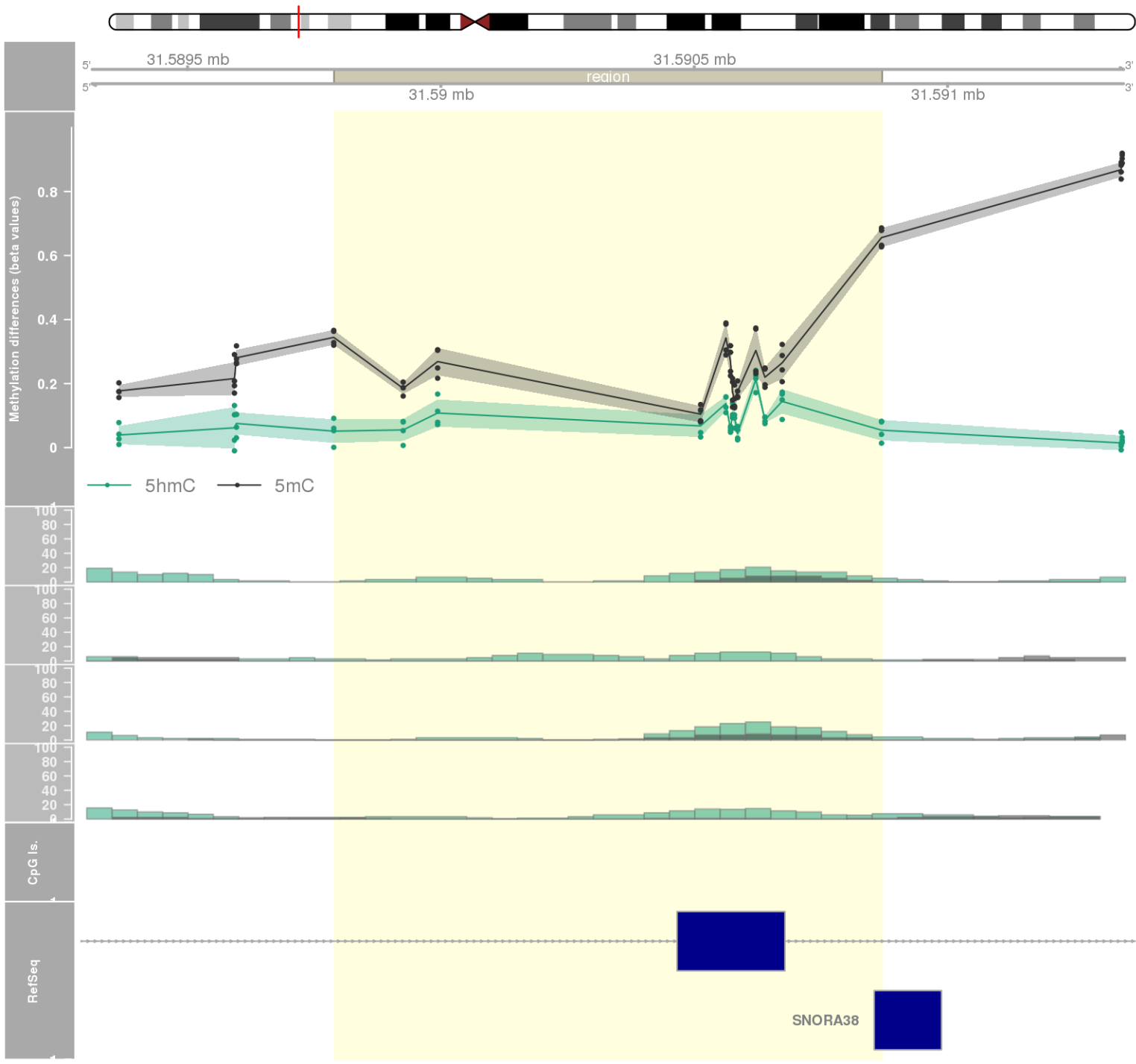
DMR 38 // chr6:30698584-30699481 // 897 pb. (13 probes) // pvalue: 0.001 // fwer: 0.412 // pvalueArea: 0.004 // fwerArea: 1
- genes: FLOT1 -



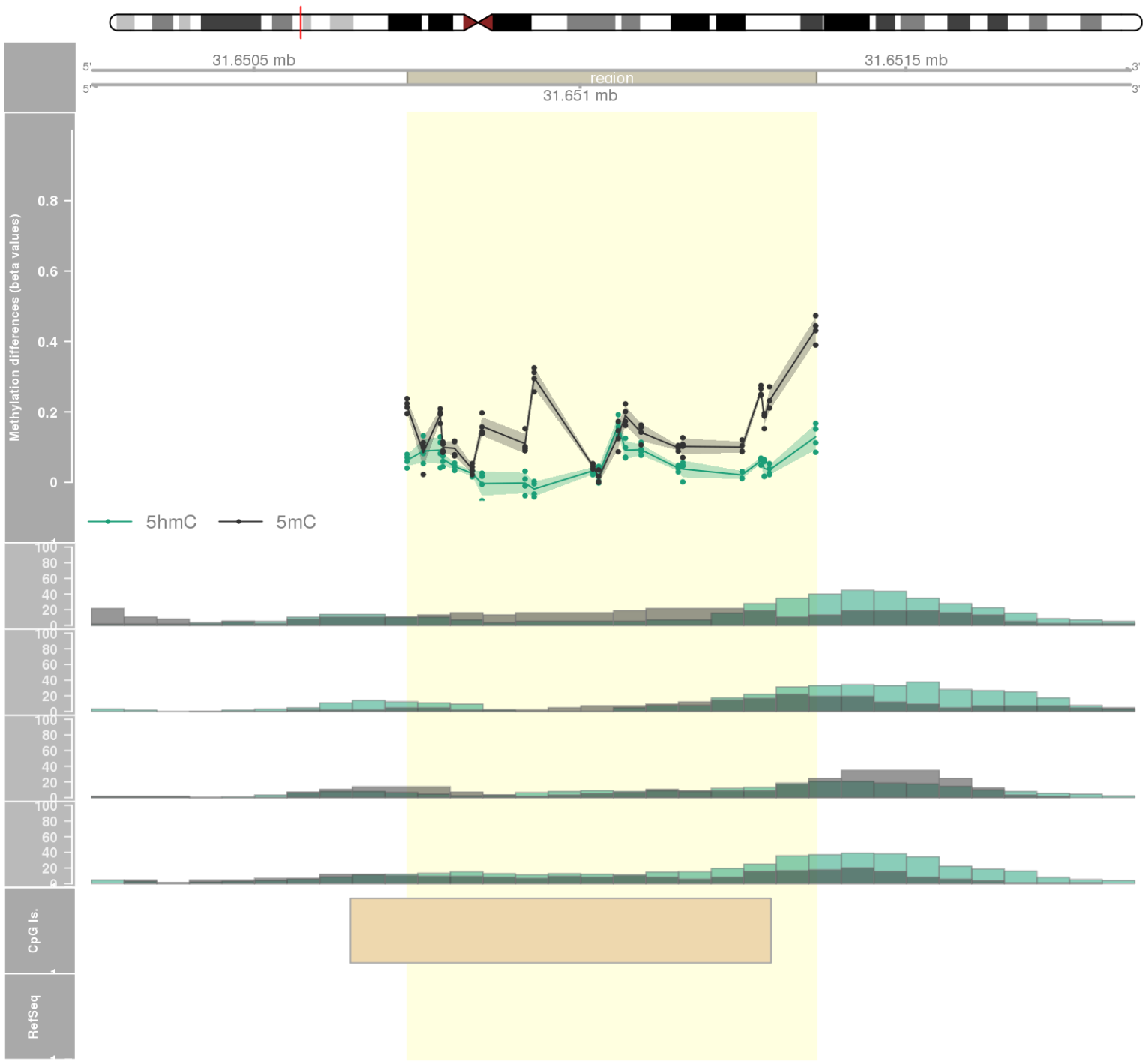
DMR 39 // chr14:105944604-105946393 // 1789 pb. (8 probes) // pvalue: 0.001 // fwer: 0.412 // pvalueArea: 0.004 // fwerArea: 1
- genes: CRIP2 -



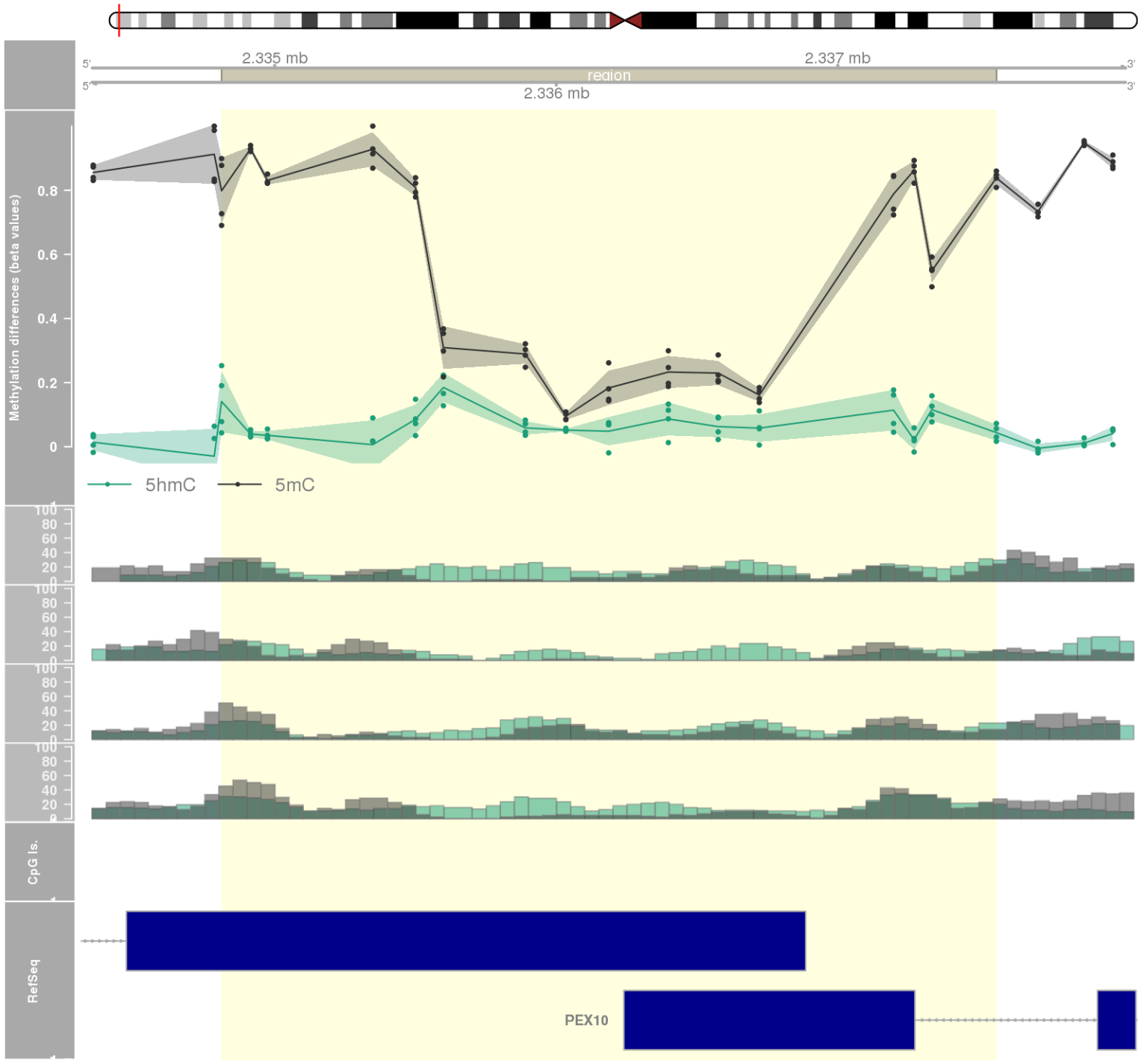
DMR 40 // chr6:31589789-31590870 // 1081 pb. (13 probes) // pvalue: 0.001 // fwer: 0.412 // pvalueArea: 0.004 // fwerArea: 1
- genes: SNORA38 / PRRC2A -



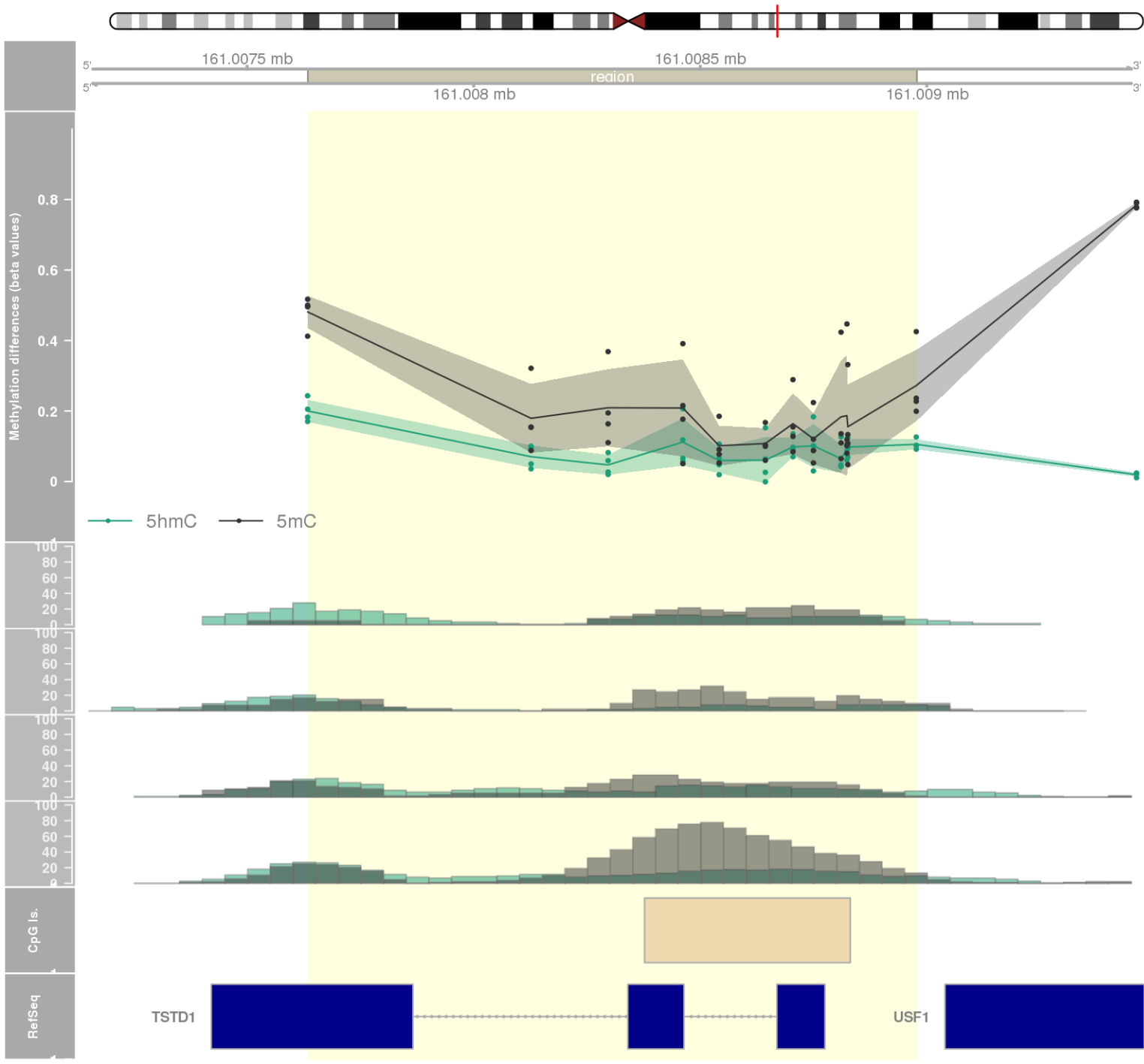
DMR 41 // chr6:31650735-31651362 // 627 pb. (21 probes) // pvalue: 0.001 // fwer: 0.412 // pvalueArea: 0.004 // fwerArea: 1
- genes: LY6G5C -



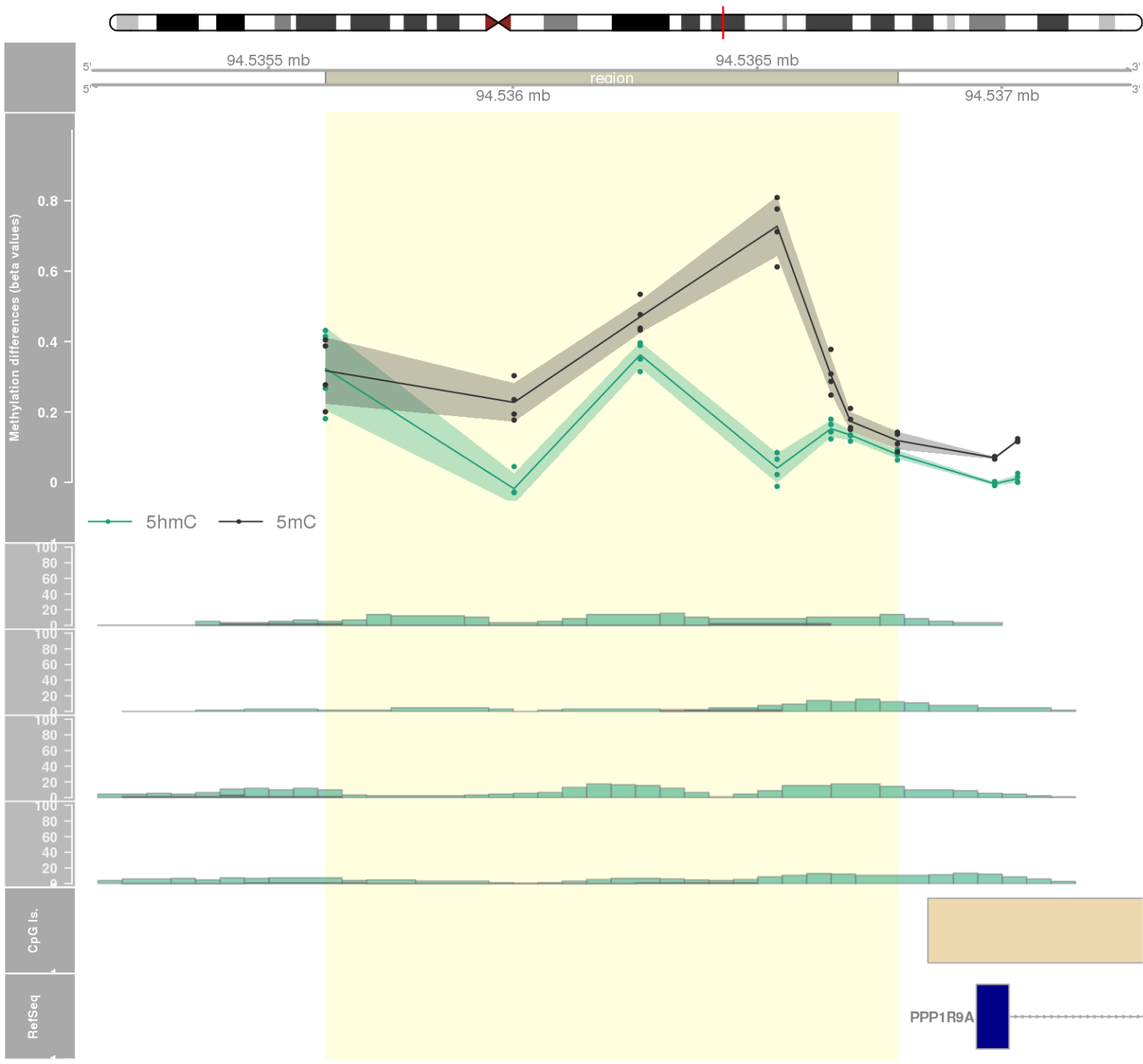
DMR 42 // chr1:2334811-2337563 // 2752 pb. (16 probes) // pvalue: 0.001 // fwer: 0.412 // pvalueArea: 0.004 // fwerArea: 1
- genes: RER1 / PEX10 -



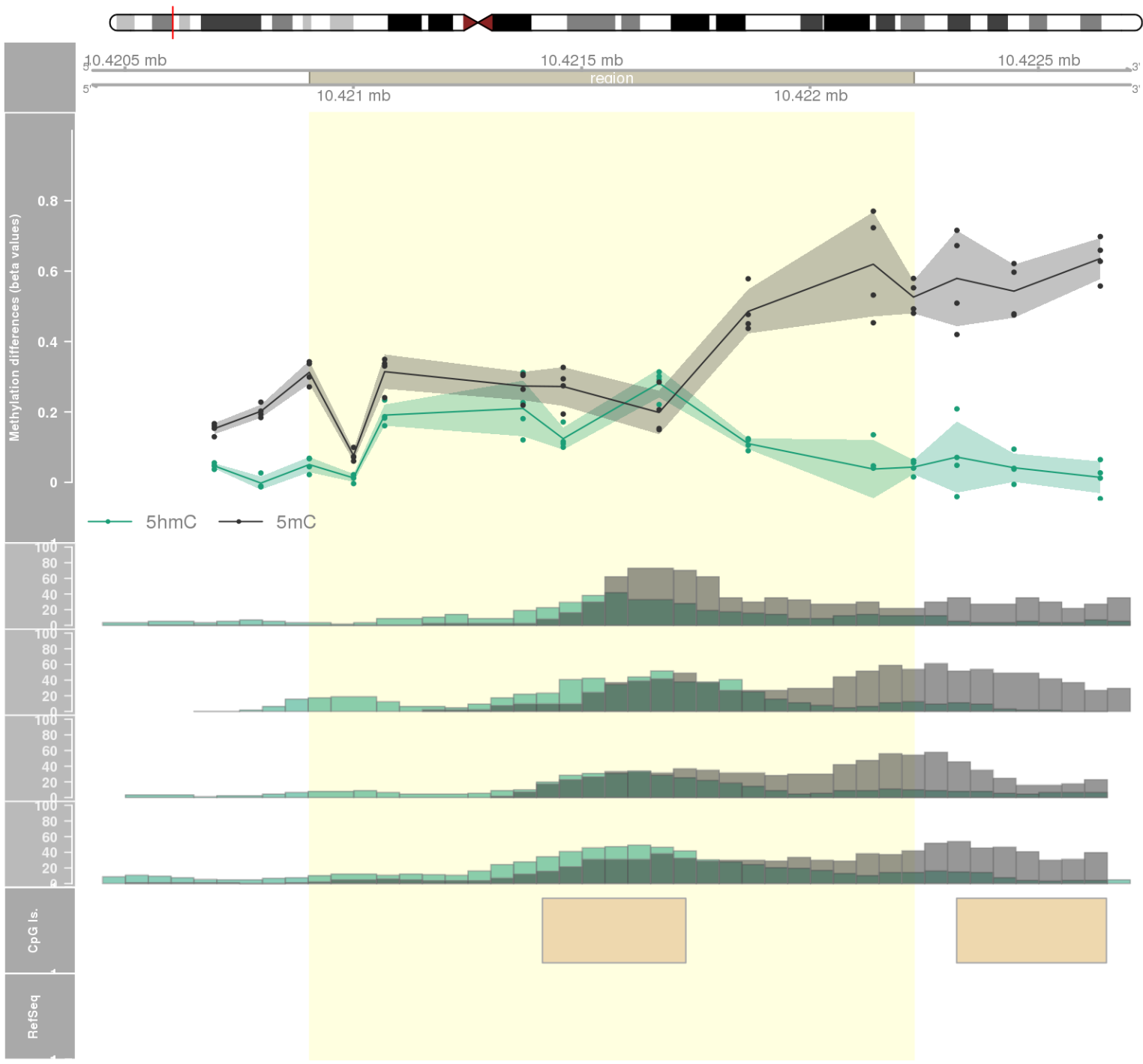
DMR 43 // chr1:161007634-161008977 // 1343 pb. (12 probes) // pvalue: 0.002 // fwer: 0.412 // pvalueArea: 0.004 // fwerArea: 1
- genes: TSTD1 -



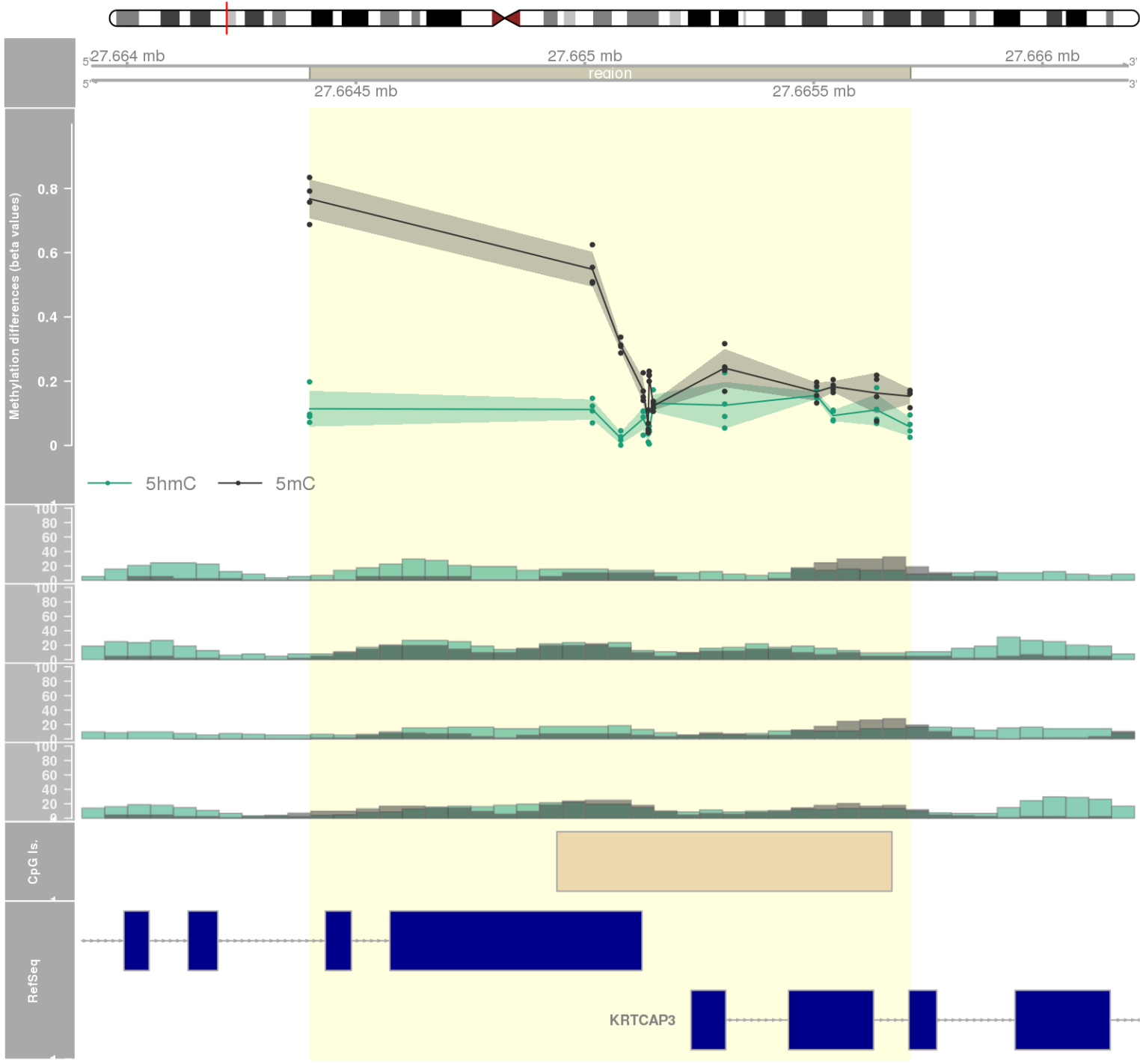
DMR 44 // chr7:94535617-94536787 // 1170 pb. (7 probes) // pvalue: 0 // fwer: 0.219 // pvalueArea: 0.004 // fwerArea: 1
- genes: PPP1R9A -



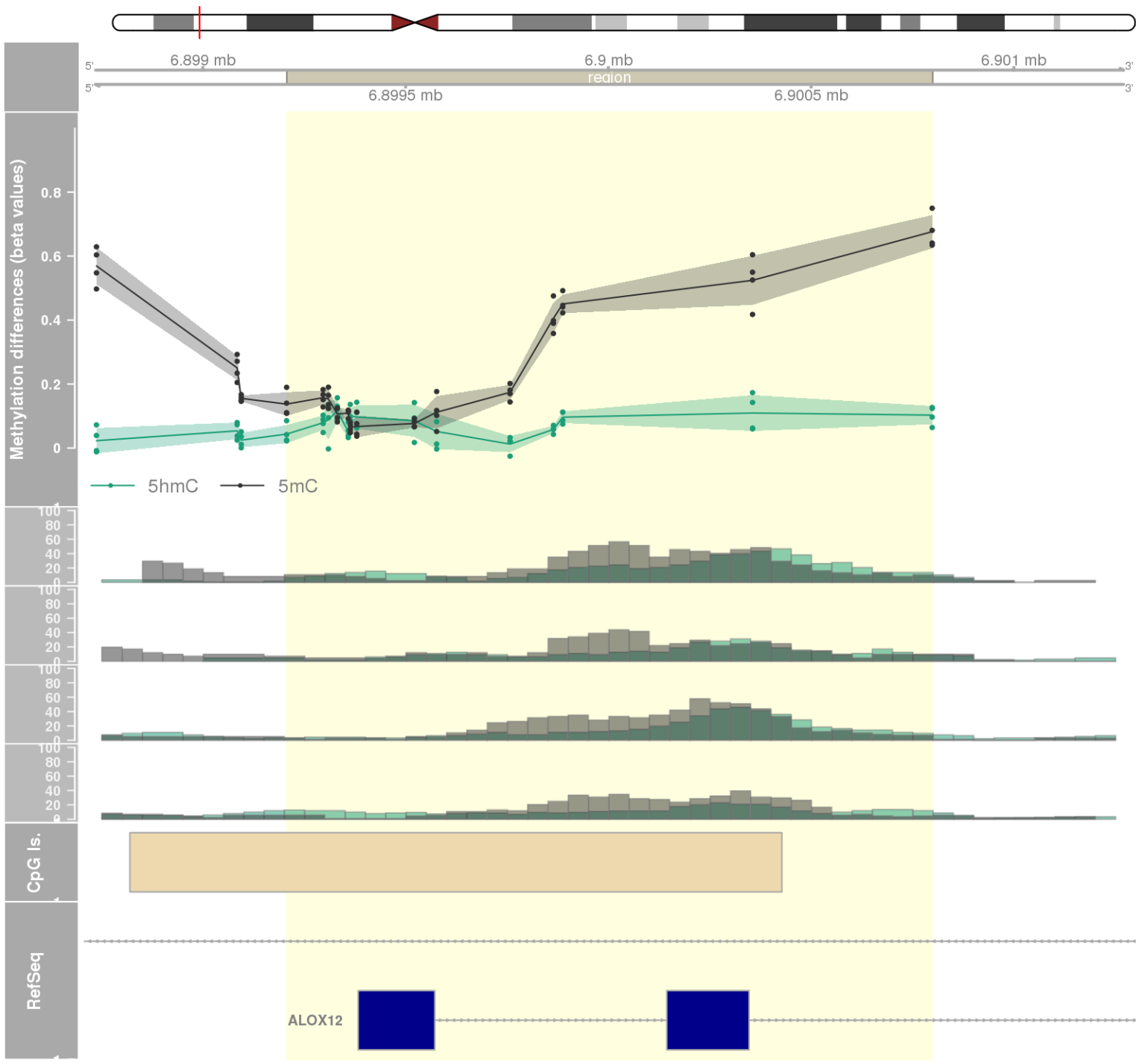
DMR 45 // chr6:10420904-10422227 // 1323 pb. (9 probes) // pvalue: 0.001 // fwer: 0.412 // pvalueArea: 0.004 // fwerArea: 1



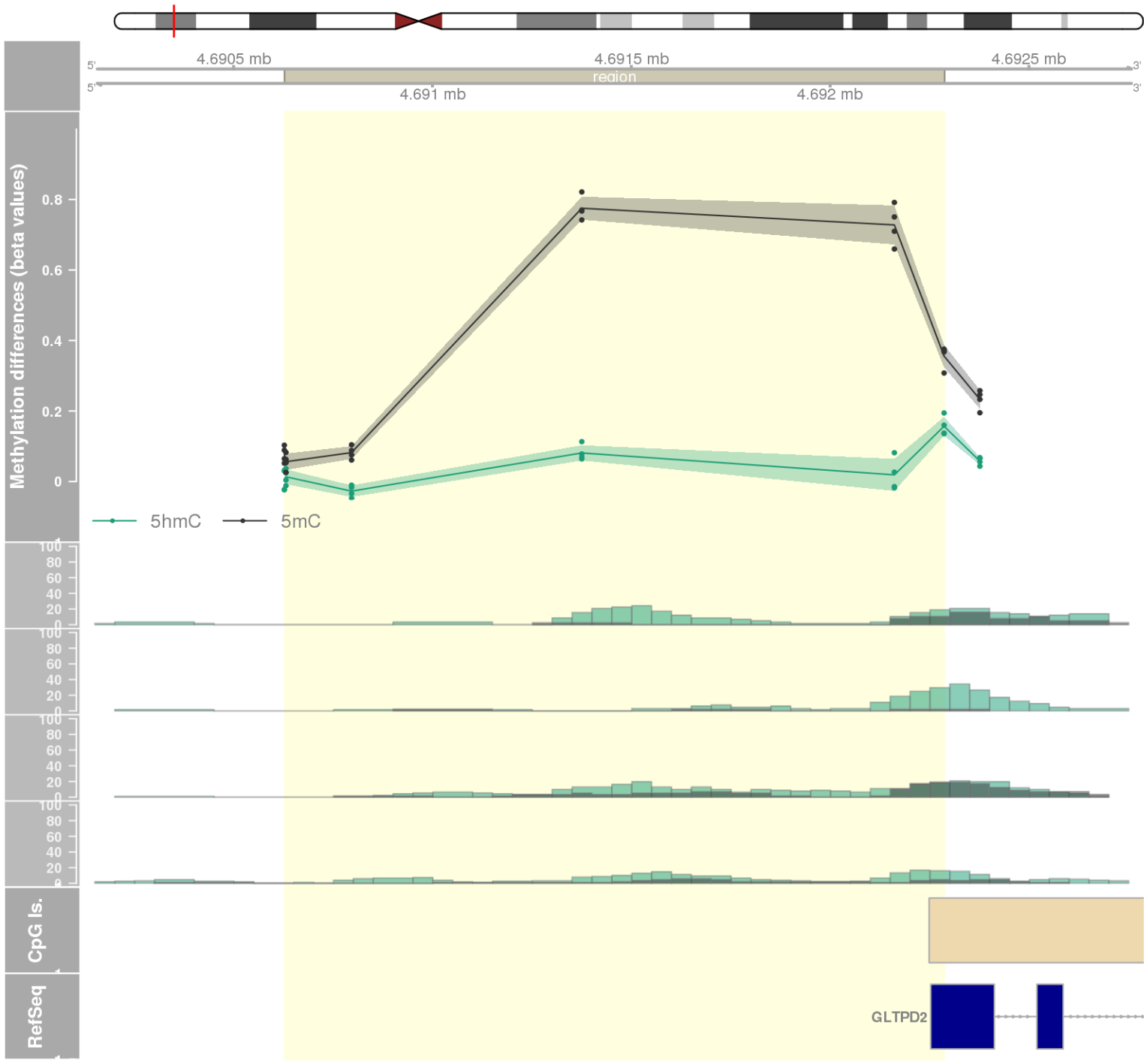
DMR 46 // chr2:27664399-27665711 // 1312 pb. (12 probes) // pvalue: 0.002 // fwer: 0.412 // pvalueArea: 0.005 // fwerArea: 1
- genes: NRBP1 / KRTCAP3 -



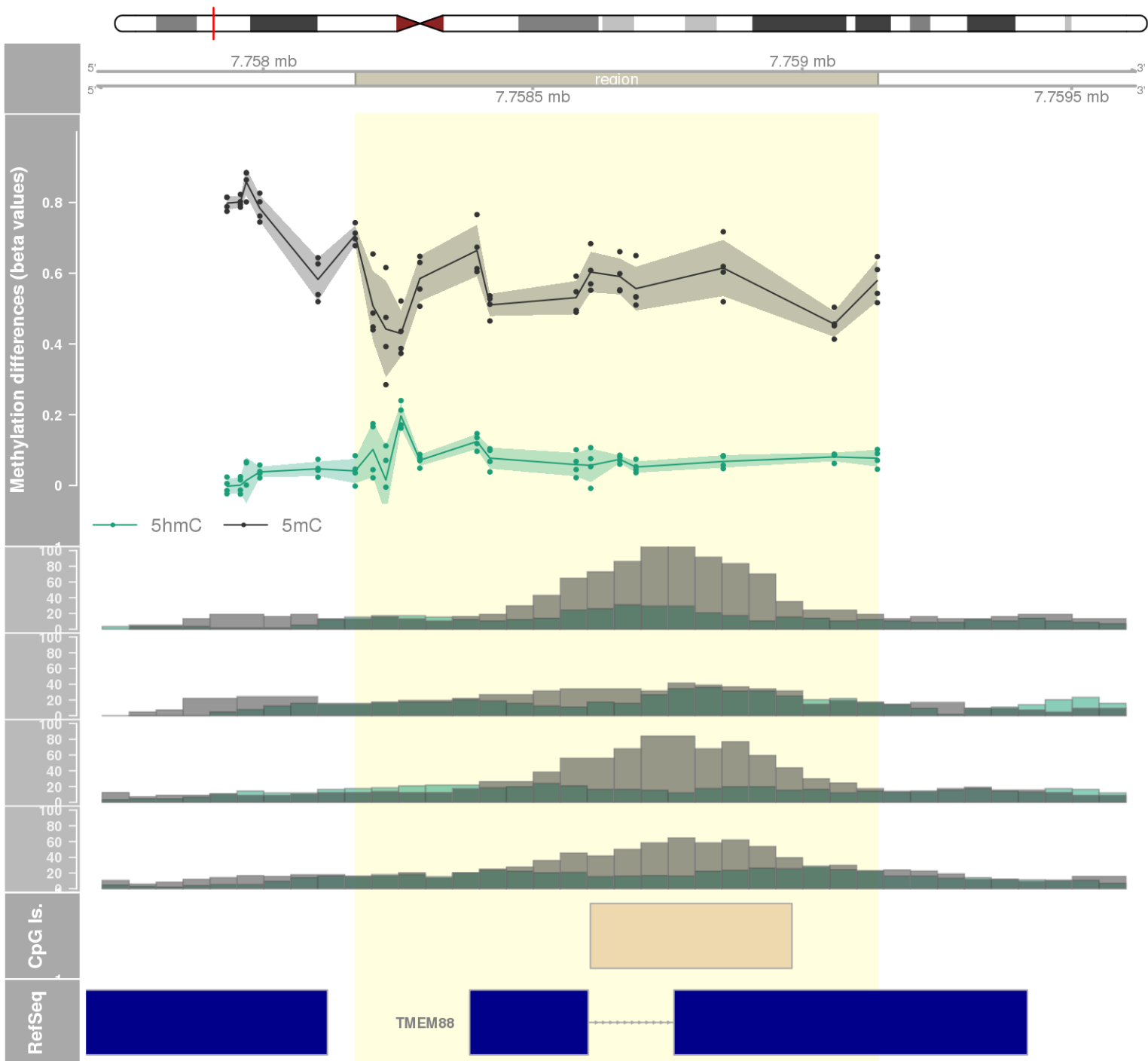
DMR 47 // chr17:6899207-6900799 // 1592 pb. (14 probes) // pvalue: 0.001 // fwer: 0.624 // pvalueArea: 0.005 // fwerArea: 1
- genes: ALOX12 -



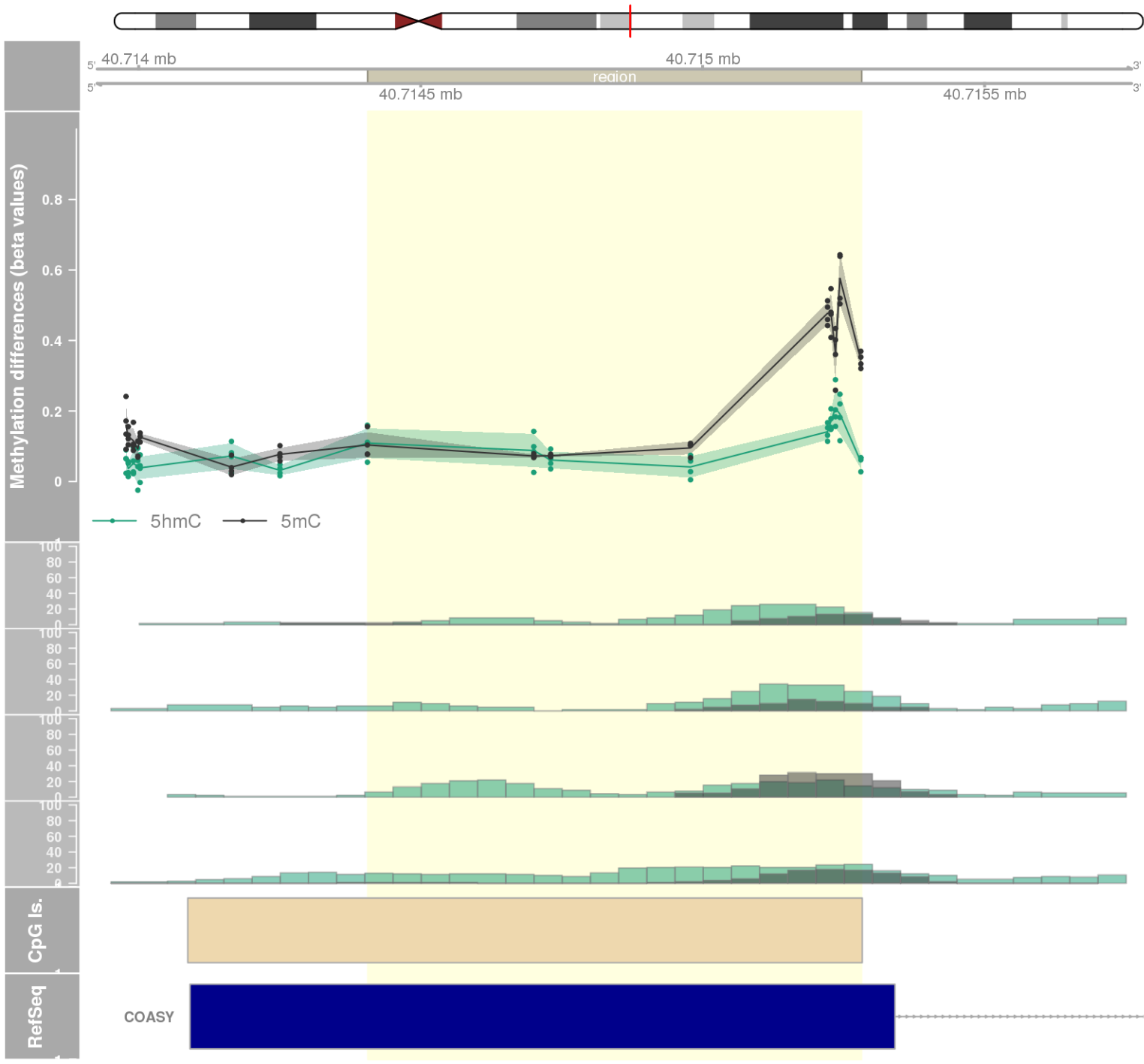
DMR 48 // chr17:4690628-4692287 // 1659 pb. (6 probes) // pvalue: 0 // fwer: 0.422 // pvalueArea: 0.005 // fwerArea: 1
- genes: GLTPD2 -



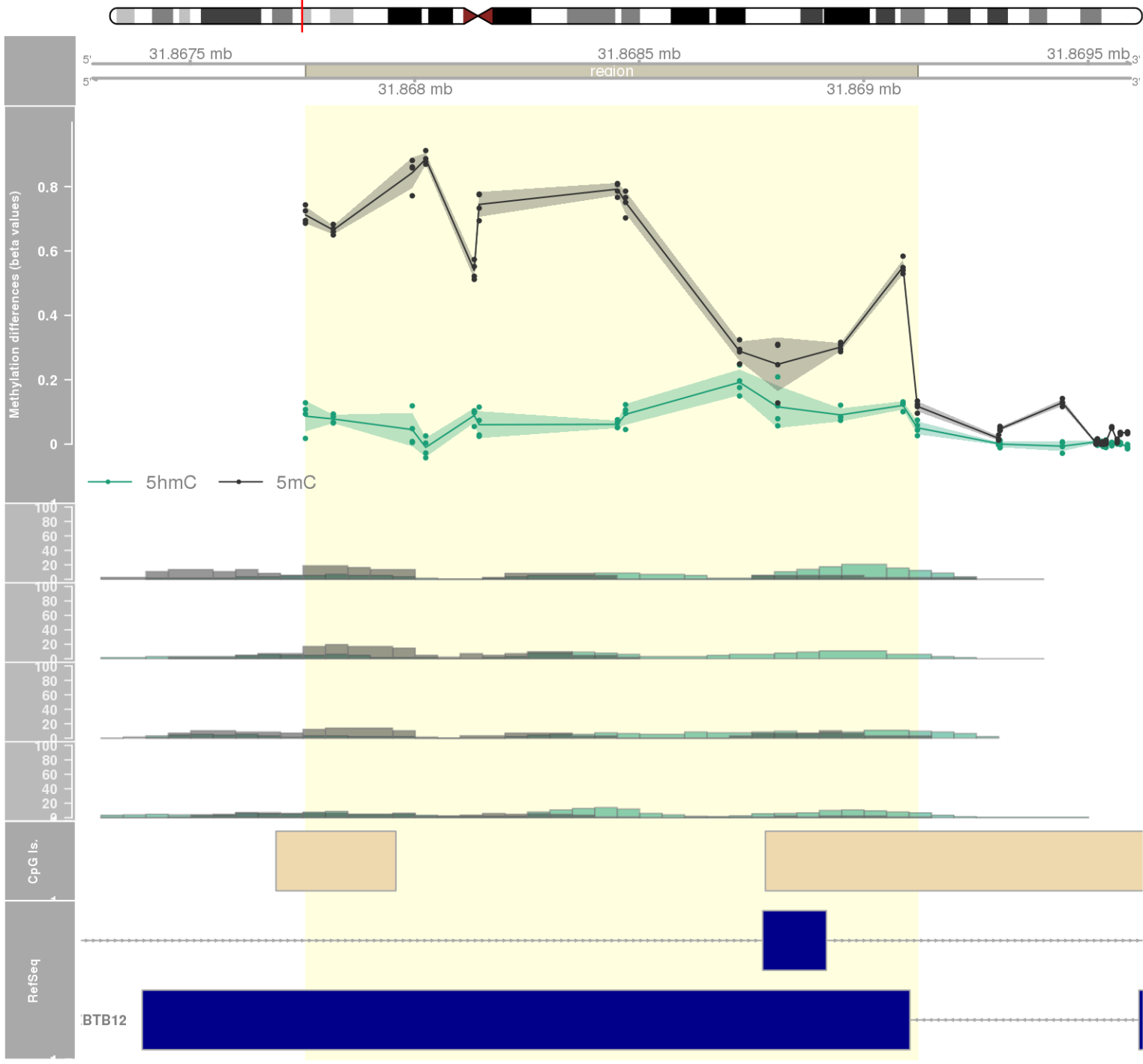
DMR 49 // chr17:7758171-7759140 // 969 pb. (14 probes) // pvalue: 0.002 // fwer: 0.624 // pvalueArea: 0.005 // fwerArea: 1
- genes: TMEM88 -



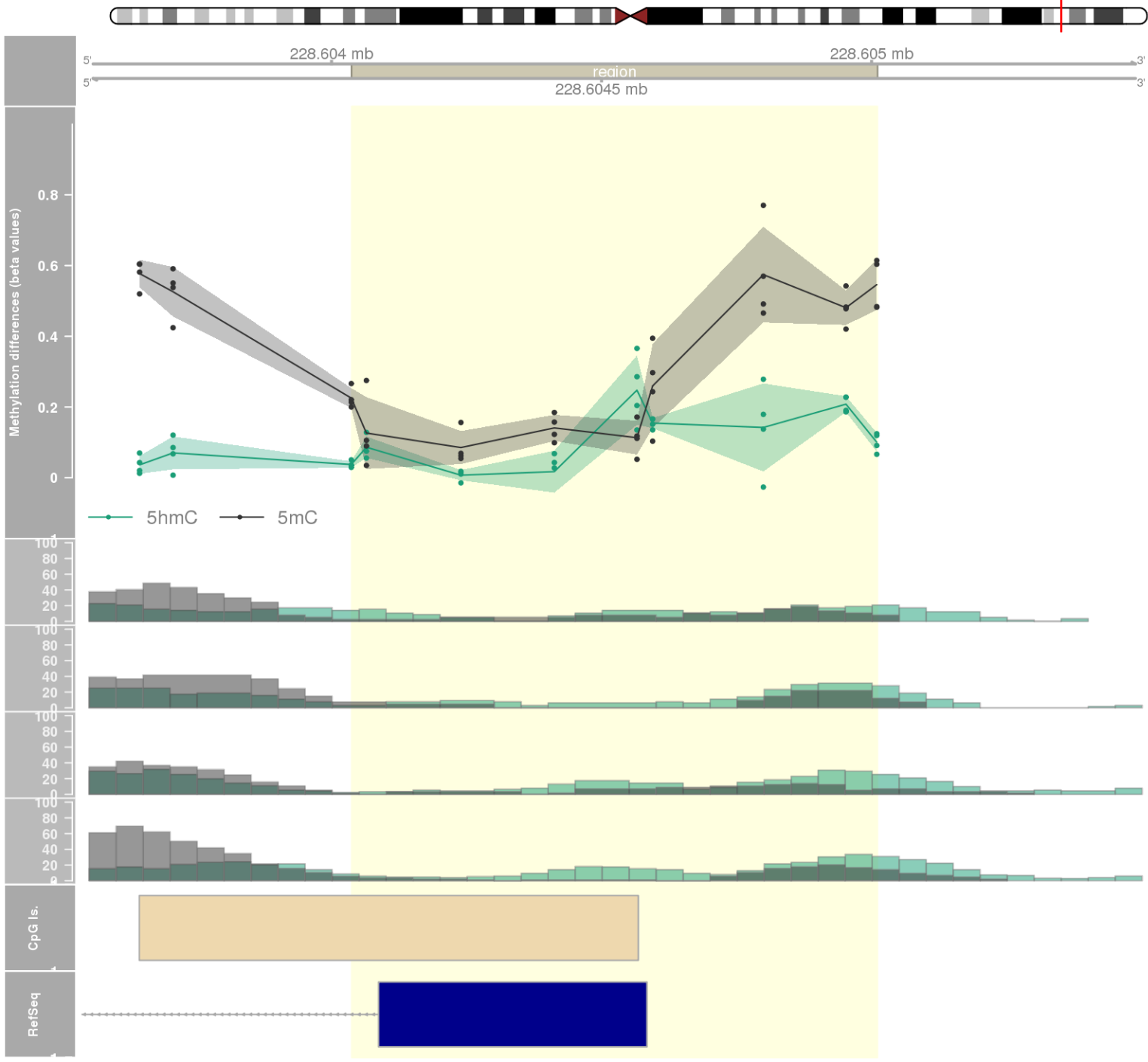
DMR 50 // chr17:40714406-40715281 // 875 pb. (9 probes) // pvalue: 0.001 // fwer: 0.412 // pvalueArea: 0.005 // fwerArea: 1
- genes: COASY -



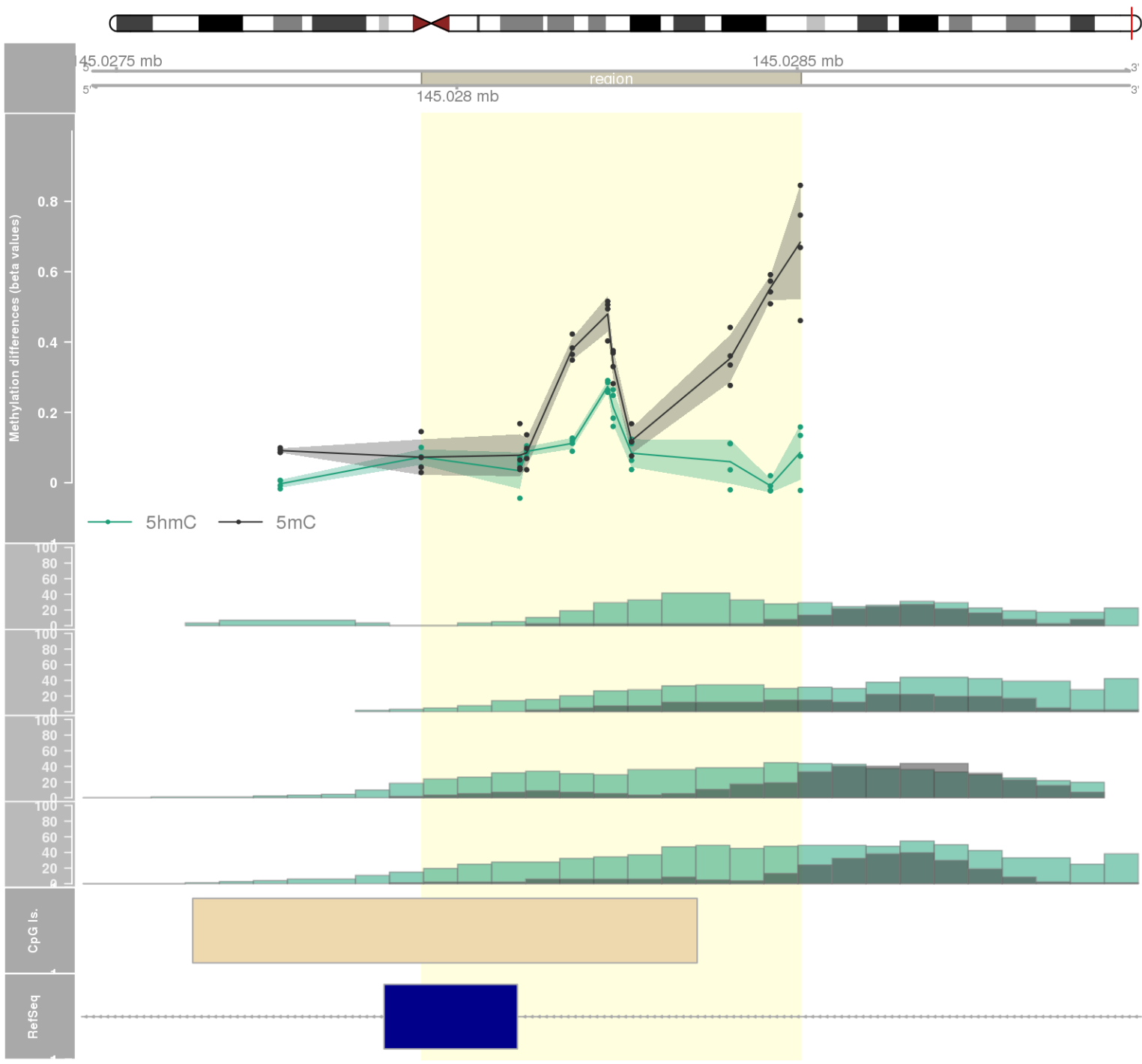
DMR 51 // chr6:31867757-31869120 // 1363 pb. (13 probes) // pvalue: 0.002 // fwer: 0.412 // pvalueArea: 0.005 // fwerArea: 1
- genes: C2 / ZBTB12 -



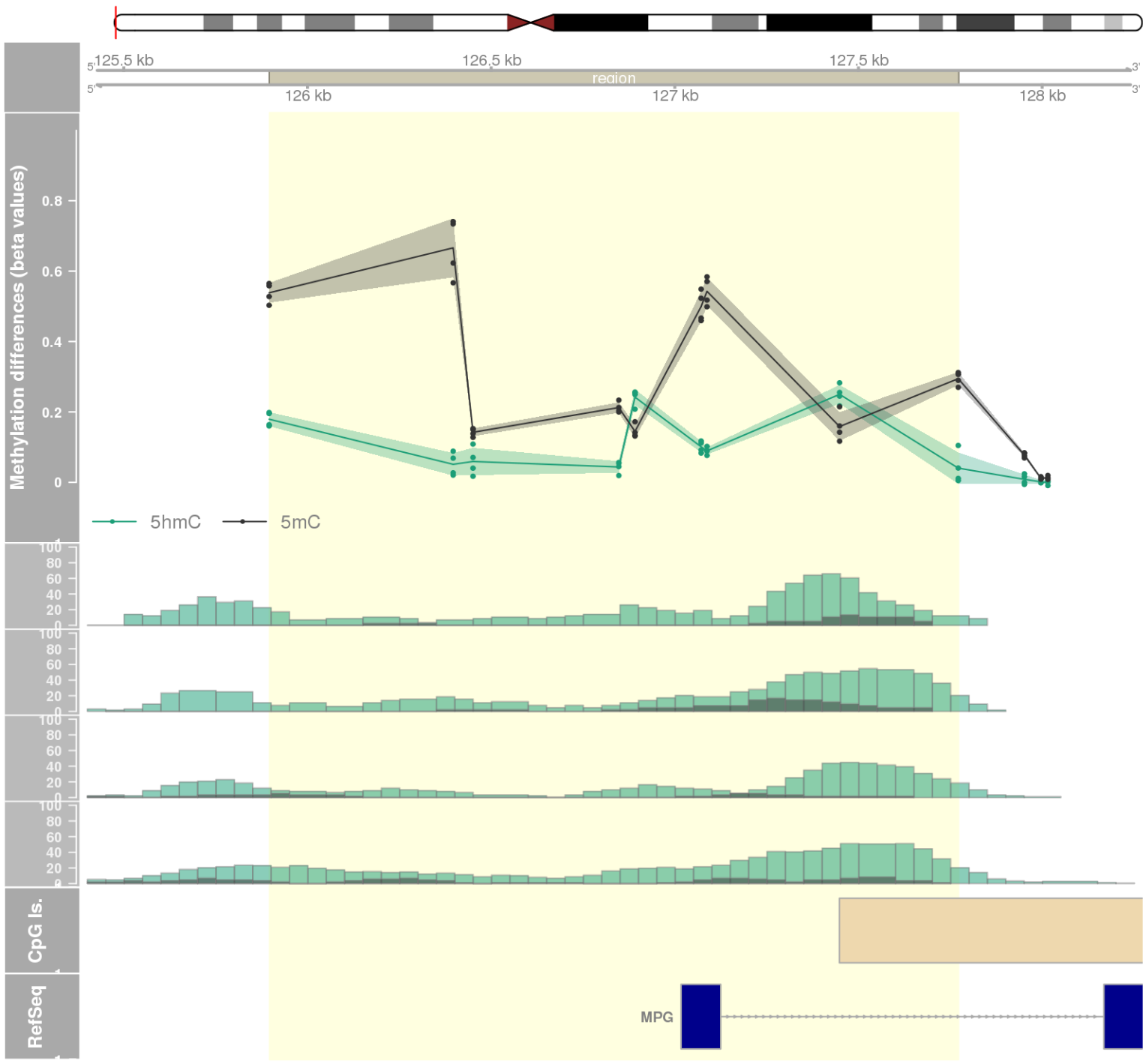
DMR 52 // chr1:228604037-228605010 // 973 pb. (9 probes) // pvalue: 0.001 // fwer: 0.412 // pvalueArea: 0.005 // fwerArea: 1
- genes: TRIM17 -

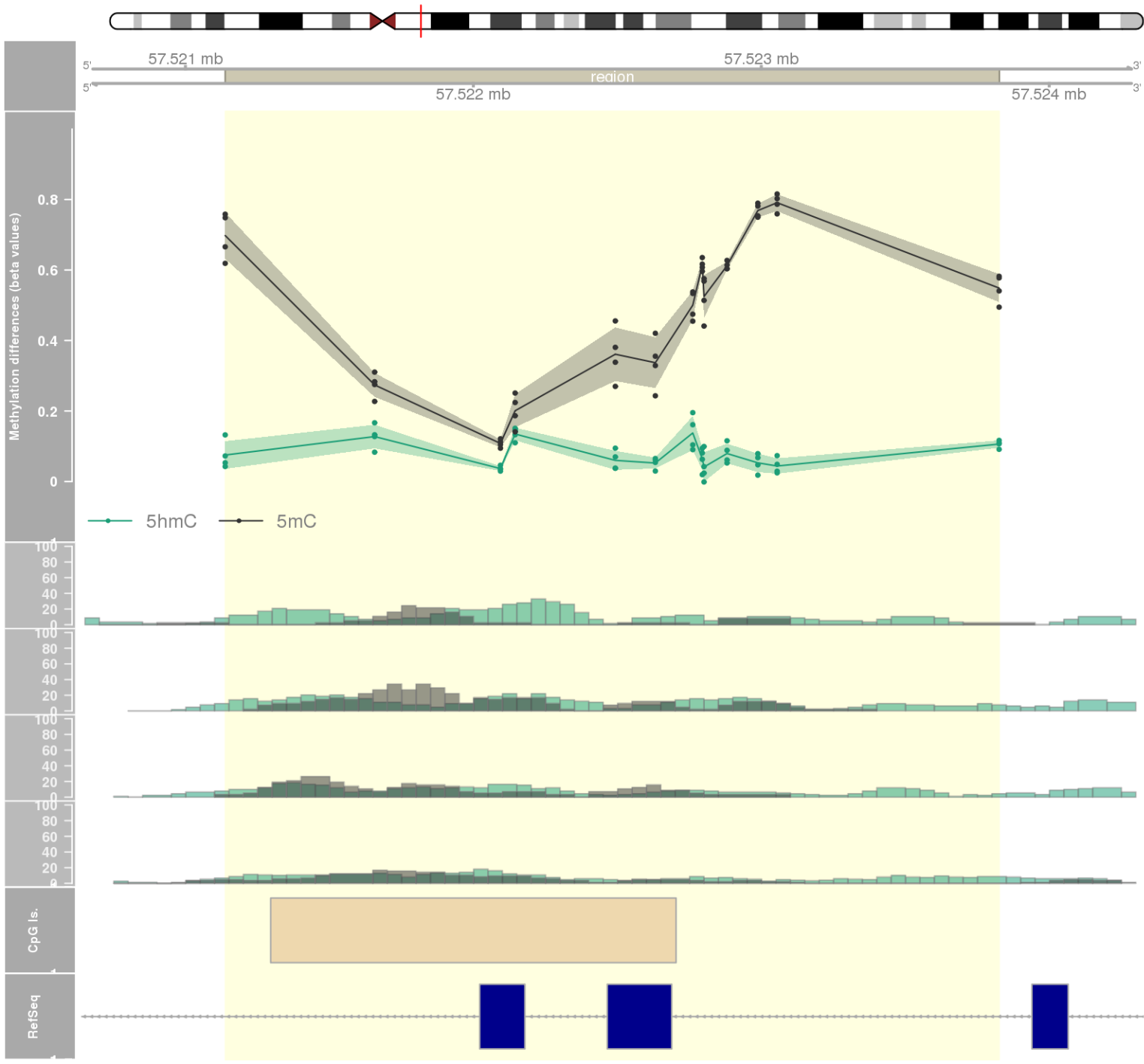


DMR 53 // chr8:145027948-145028505 // 557 pb. (10 probes) // pvalue: 0.001 // fwer: 0.412 // pvalueArea: 0.005 // fwerArea: 1
- genes: PLEC -

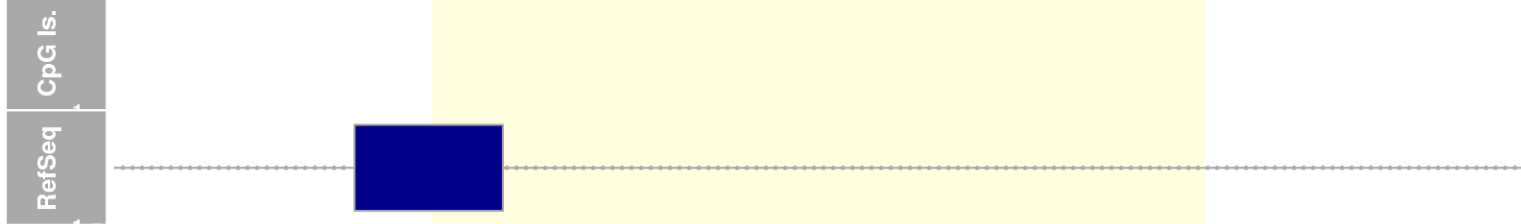
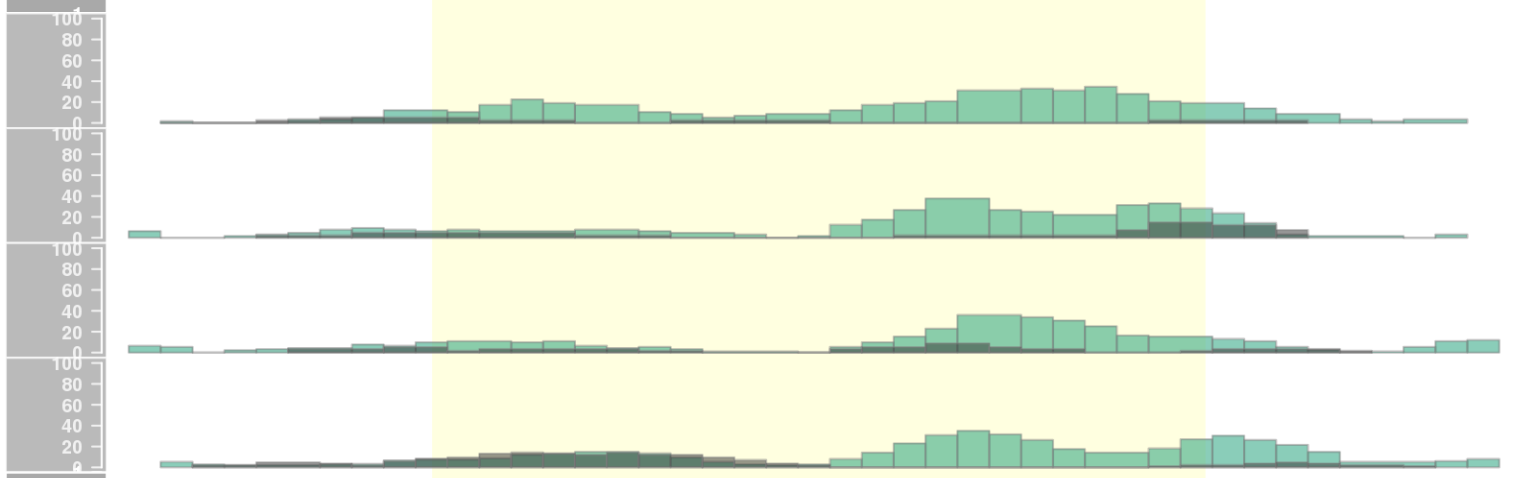
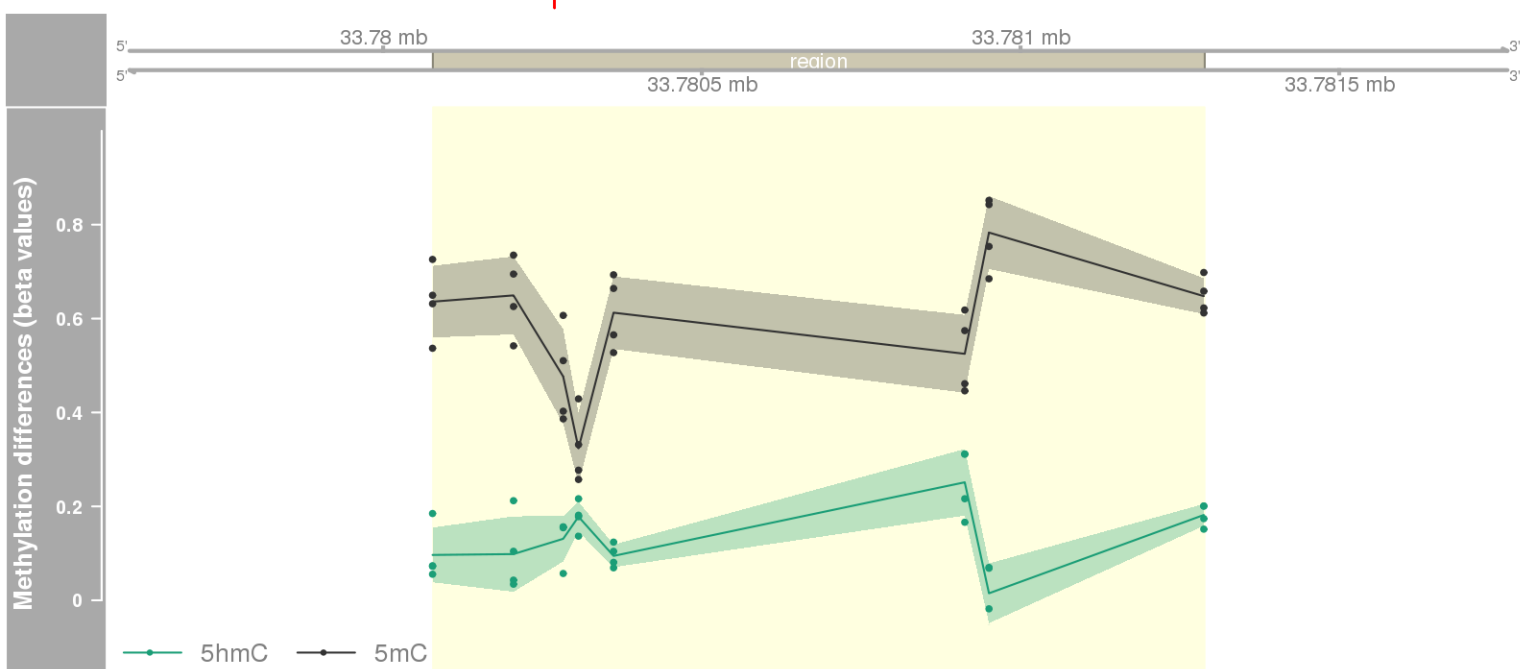


DMR 54 // chr16:125896-127772 // 1876 pb. (9 probes) // pvalue: 0.002 // fwer: 0.412 // pvalueArea: 0.005 // fwerArea: 1
- genes: RHBDF1 / MPG -

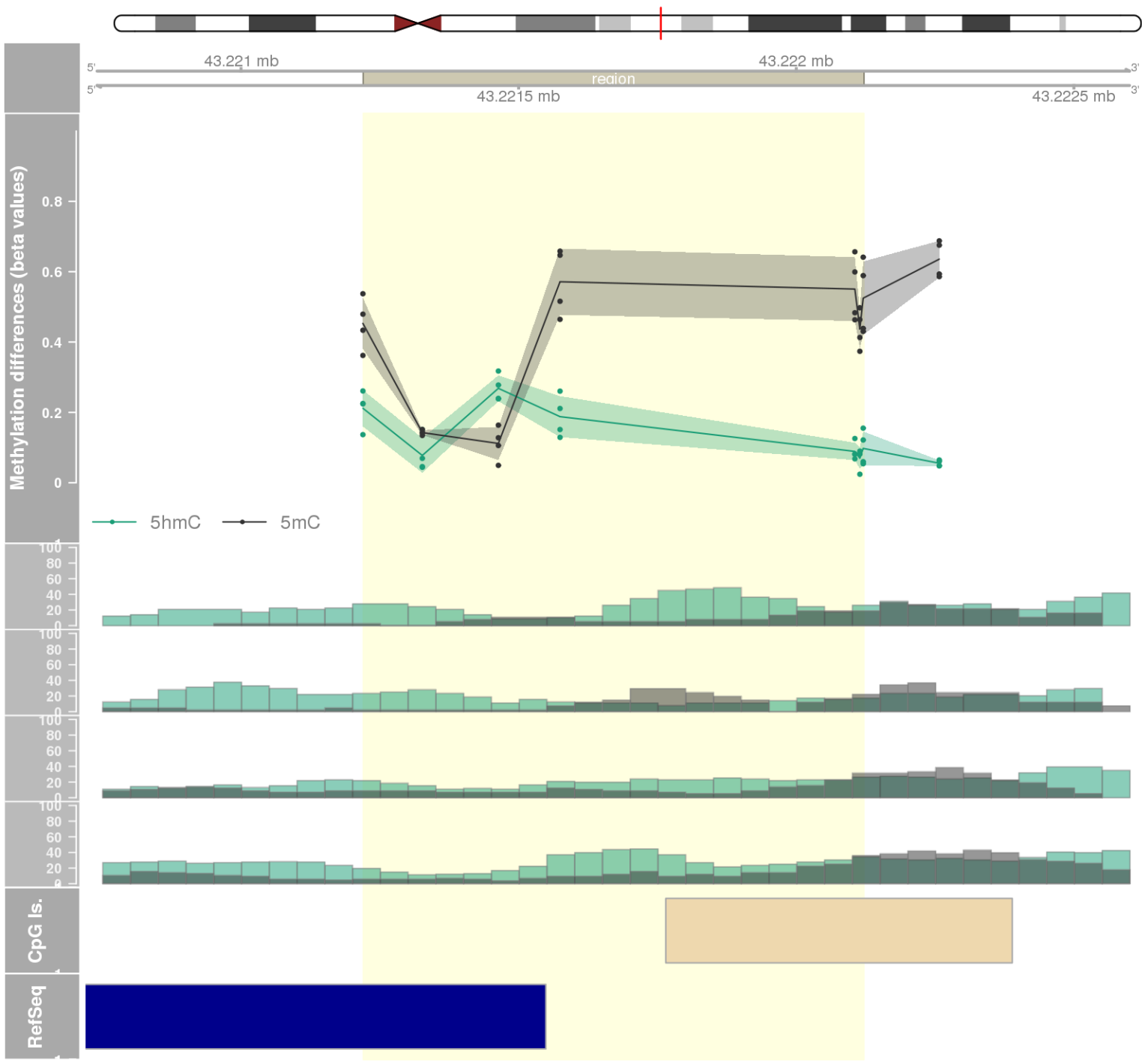




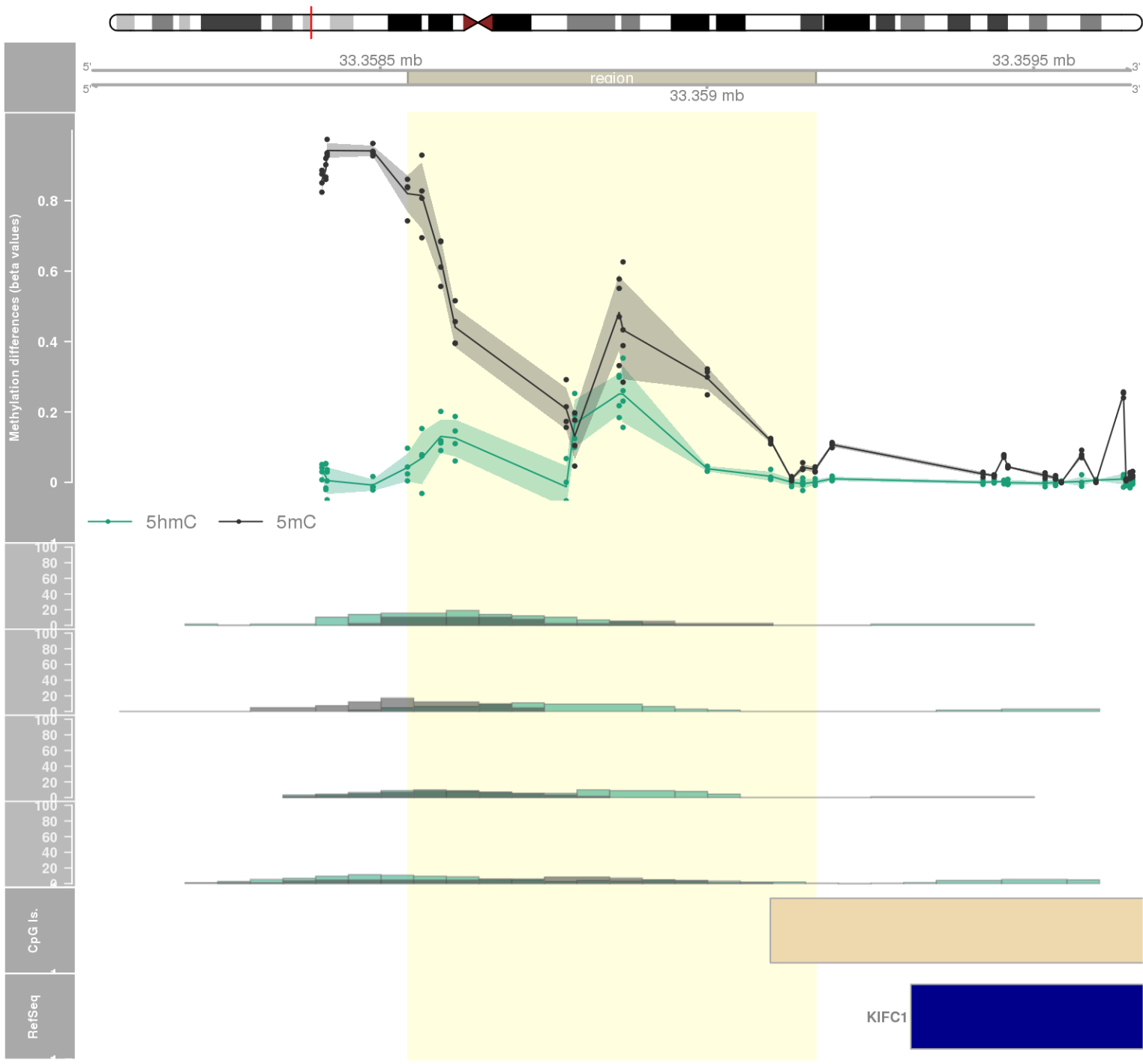
DMR 56 // chr13:33780078-33781288 // 1210 pb. (8 probes) // pvalue: 0.001 // fwer: 0.412 // pvalueArea: 0.006 // fwerArea: 1
- genes: STARD13 -



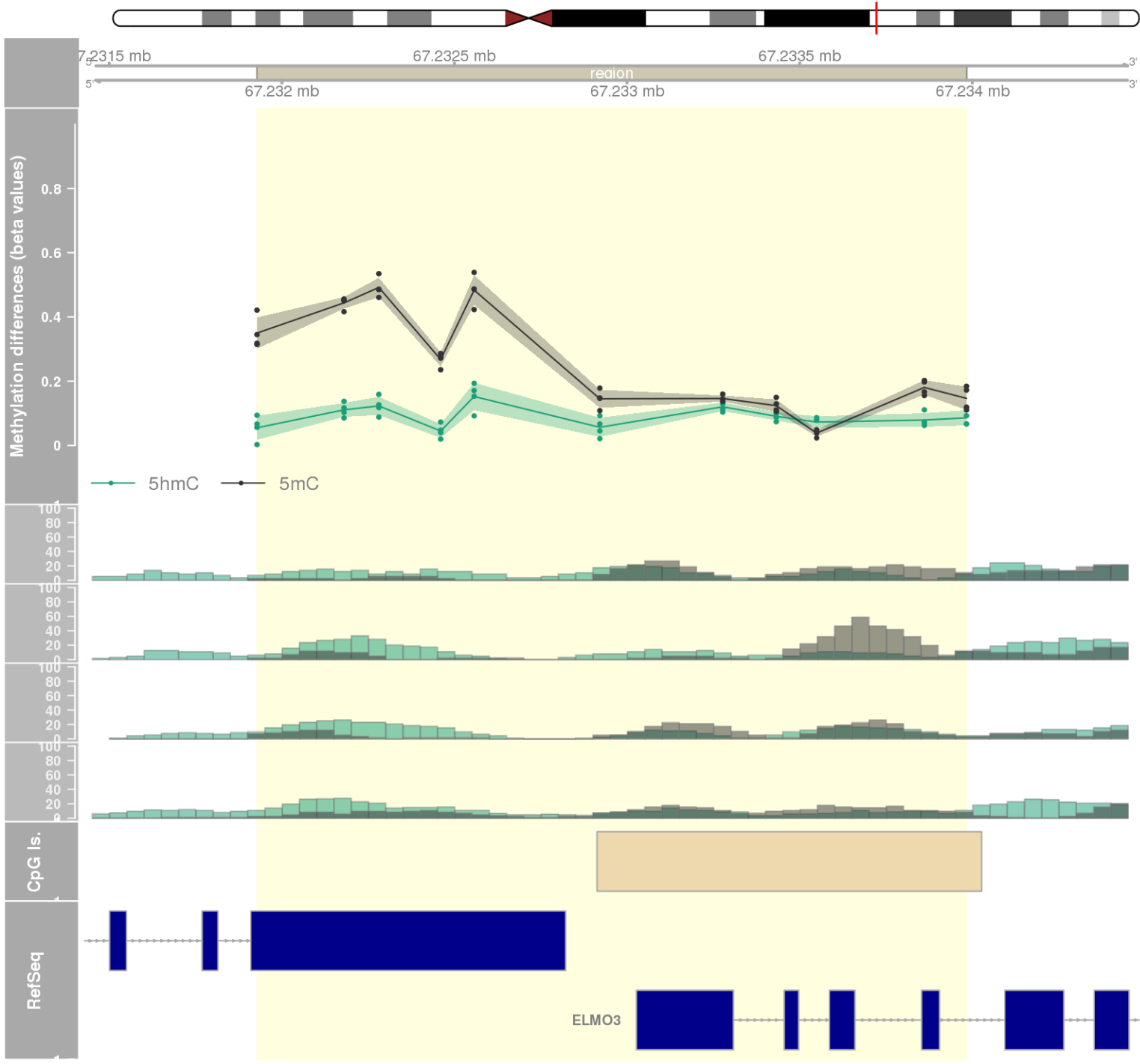
DMR 57 // chr17:43221220-43222121 // 901 pb. (7 probes) // pvalue: 0.001 // fwer: 0.412 // pvalueArea: 0.006 // fwerArea: 1
- genes: ACBD4 -



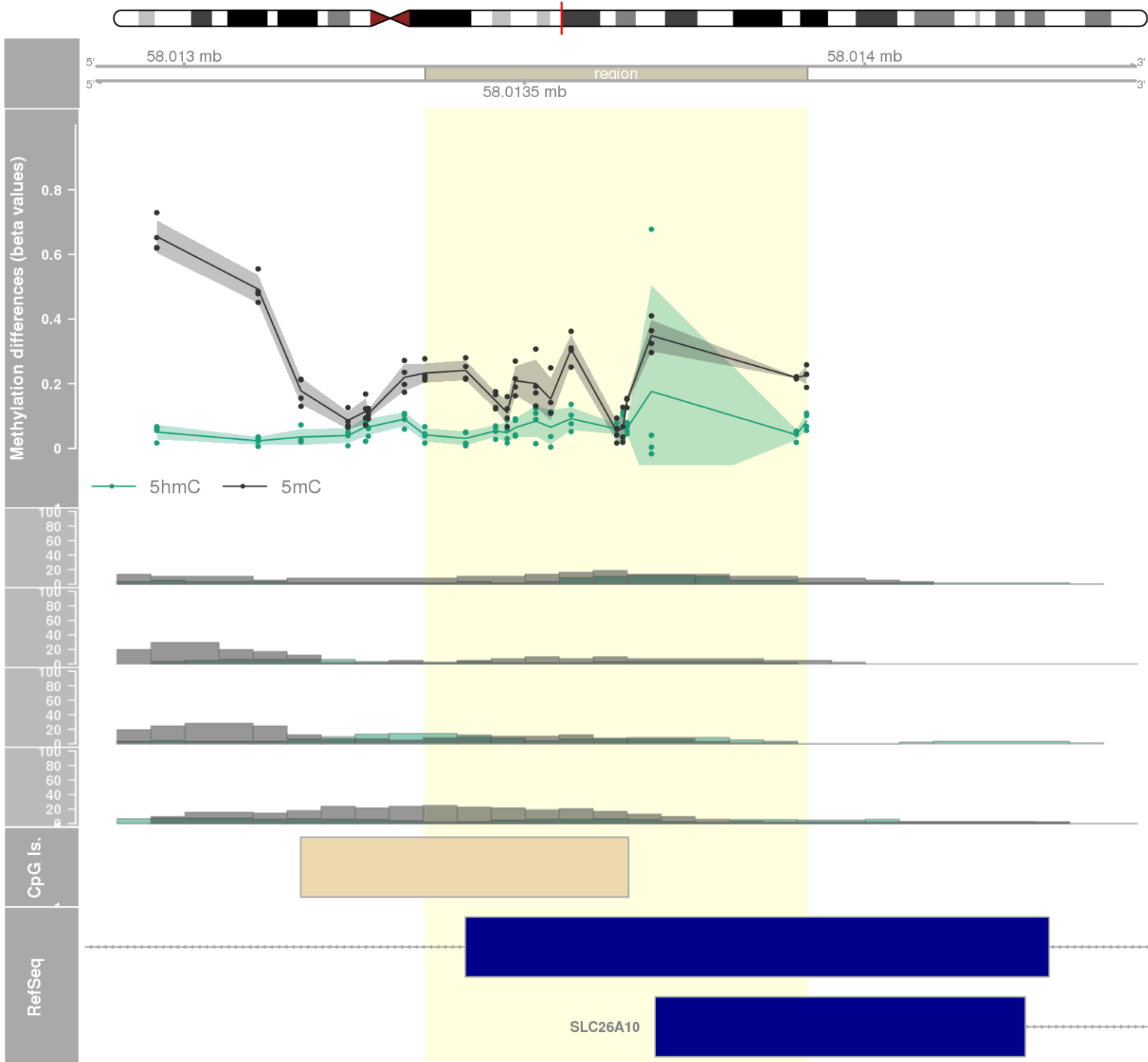
DMR 58 // chr6:33358542-33359166 // 624 pb. (13 probes) // pvalue: 0.002 // fwer: 0.412 // pvalueArea: 0.006 // fwerArea: 1



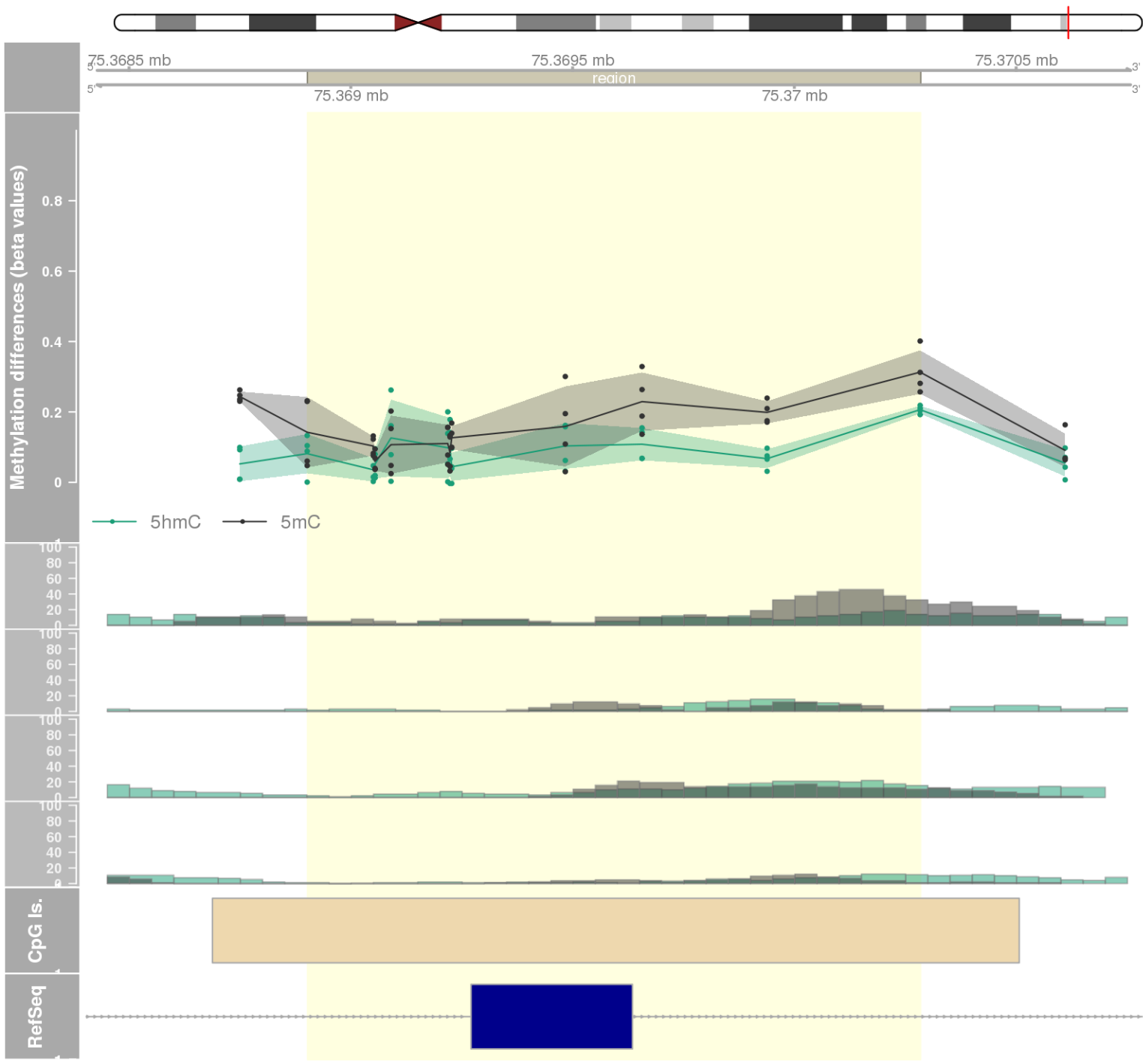
DMR 59 // chr16:67231928-67233983 // 2055 pb. (11 probes) // pvalue: 0.002 // fwer: 0.412 // pvalueArea: 0.006 // fwerArea: 1
- genes: E2F4 / ELMO3 -



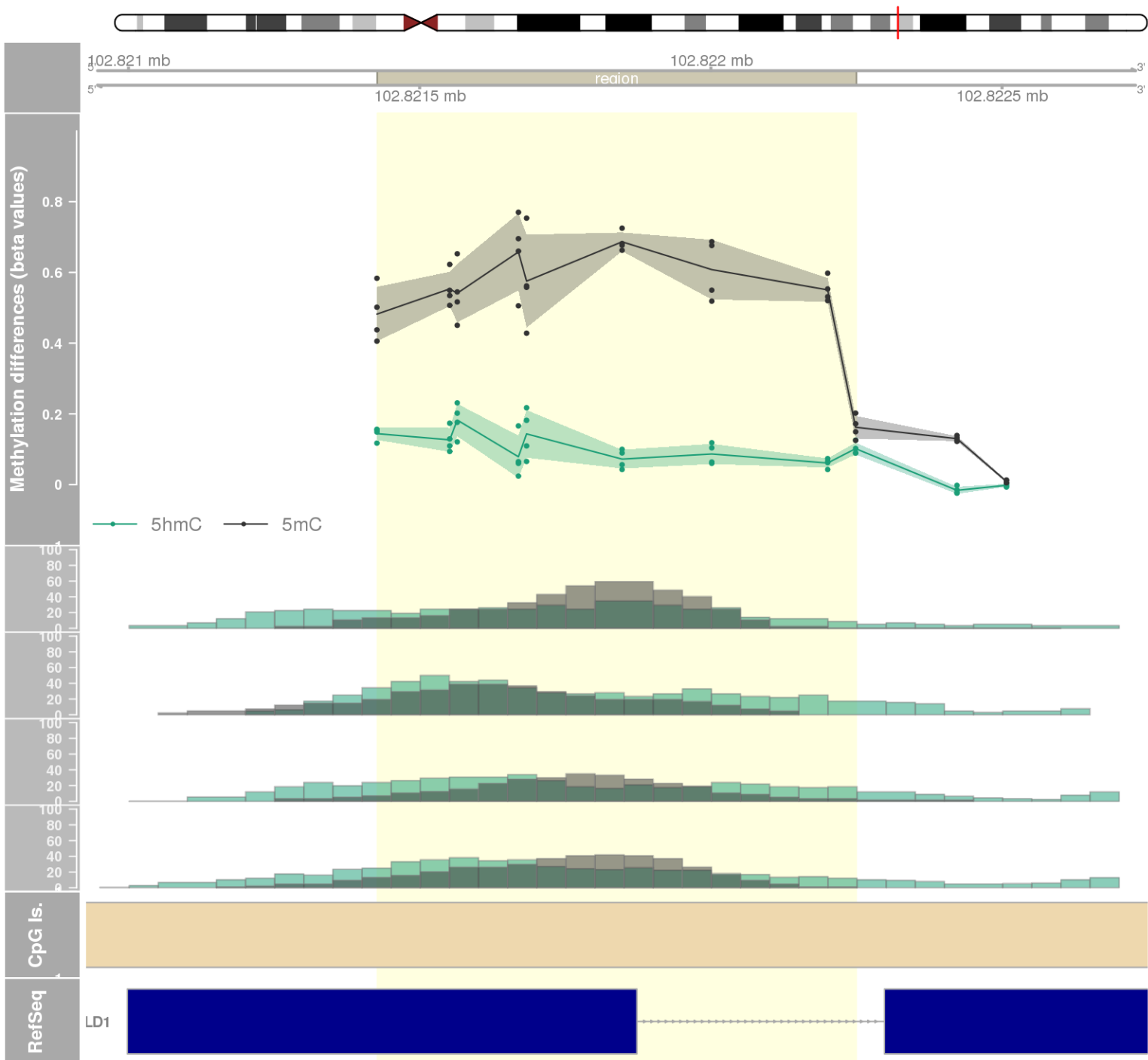
DMR 60 // chr12:58013354-58013915 // 561 pb. (14 probes) // pvalue: 0.002 // fwer: 0.624 // pvalueArea: 0.006 // fwerArea: 1
- genes: SLC26A10 -



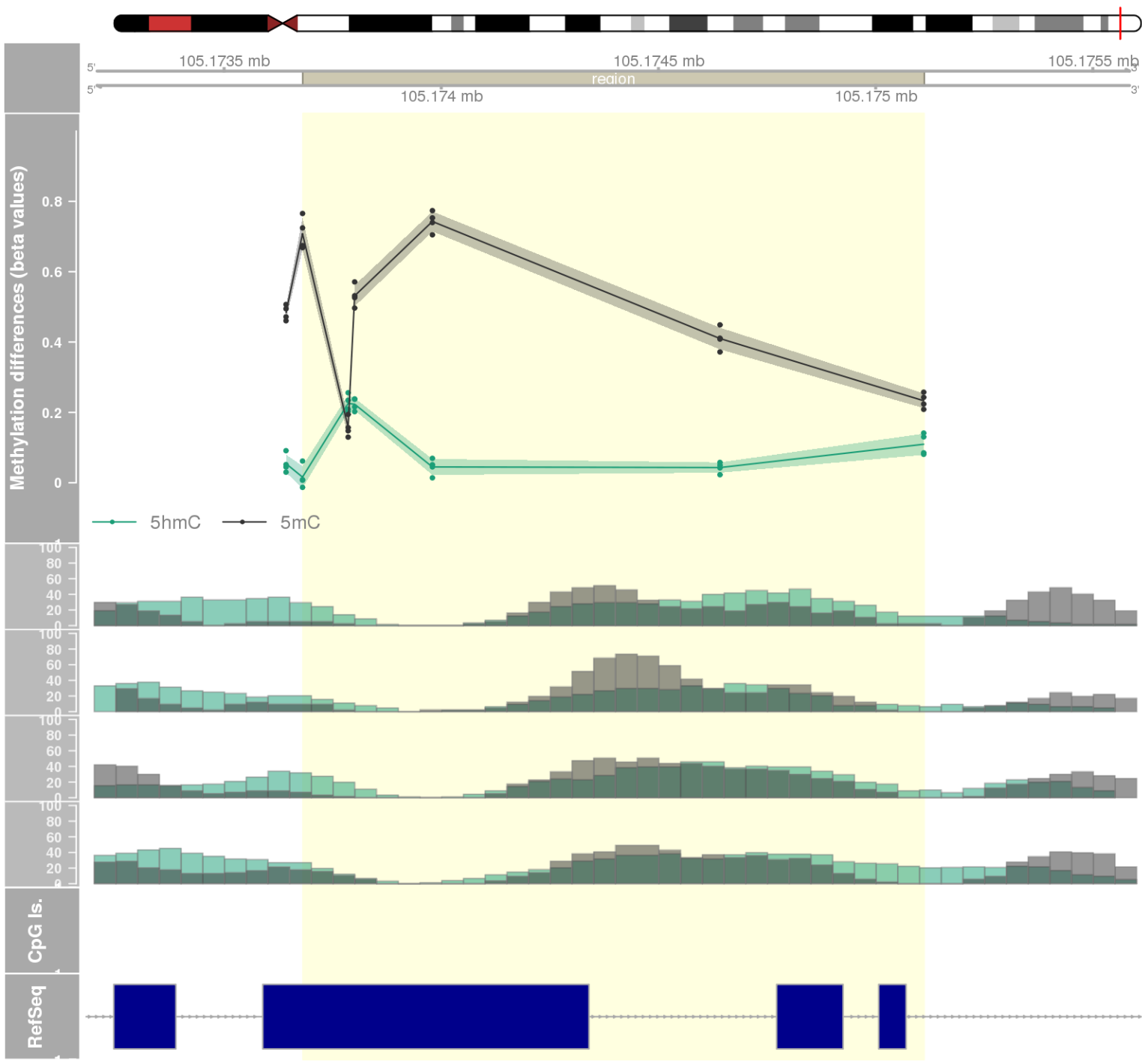
DMR 61 // chr17:75368902-75370284 // 1382 pb. (11 probes) // pvalue: 0.002 // fwer: 0.412 // pvalueArea: 0.006 // fwerArea: 1
- genes: SEPT9 -



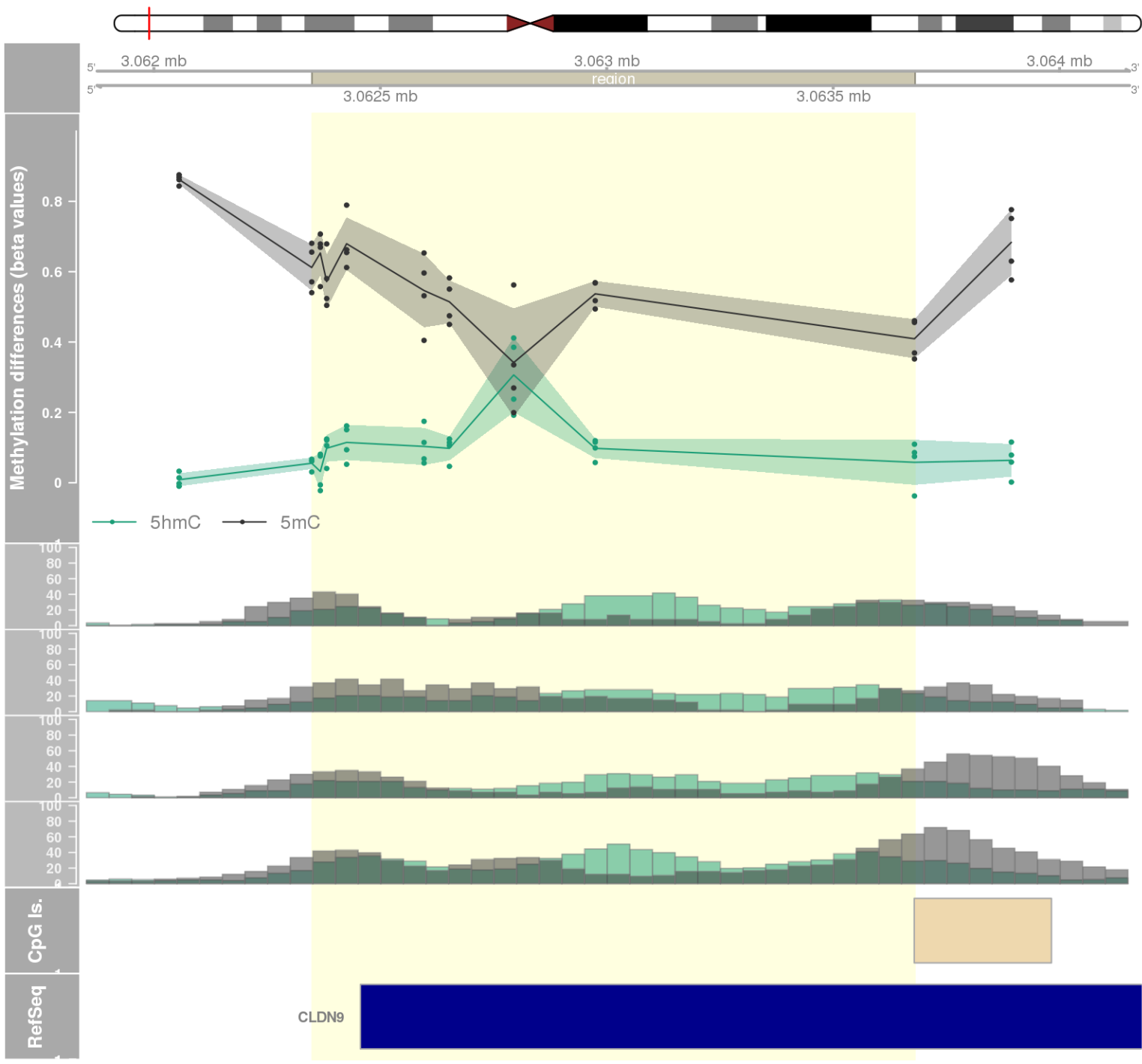
DMR 62 // chr10:102821427-102822249 // 822 pb. (9 probes) // pvalue: 0.002 // fwer: 0.412 // pvalueArea: 0.006 // fwerArea: 1
- genes: KAZALD1 -



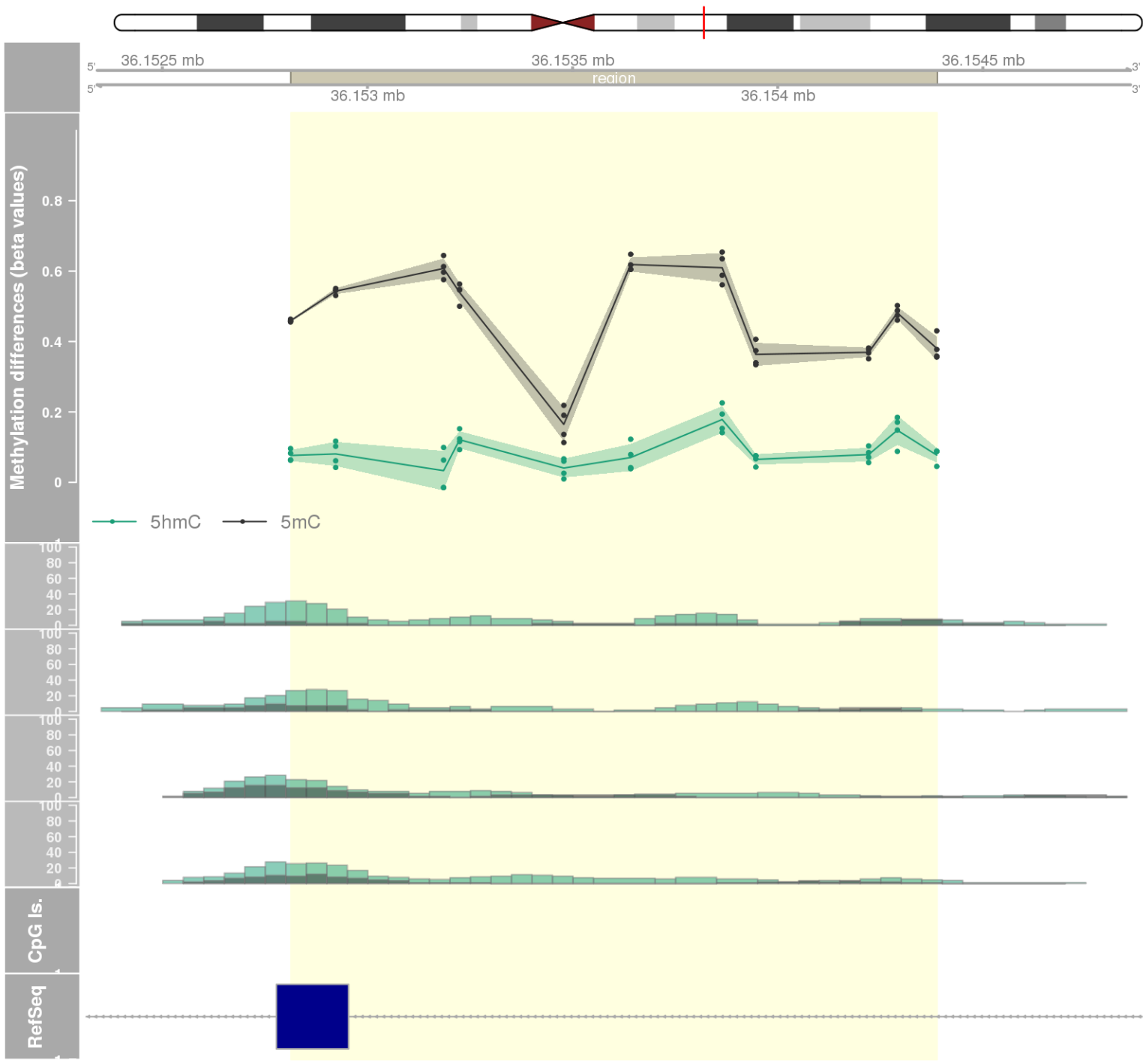
DMR 63 // chr14:105173681-105175111 // 1430 pb. (6 probes) // pvalue: 0 // fwer: 0.219 // pvalueArea: 0.006 // fwerArea: 1
- genes: INF2 -



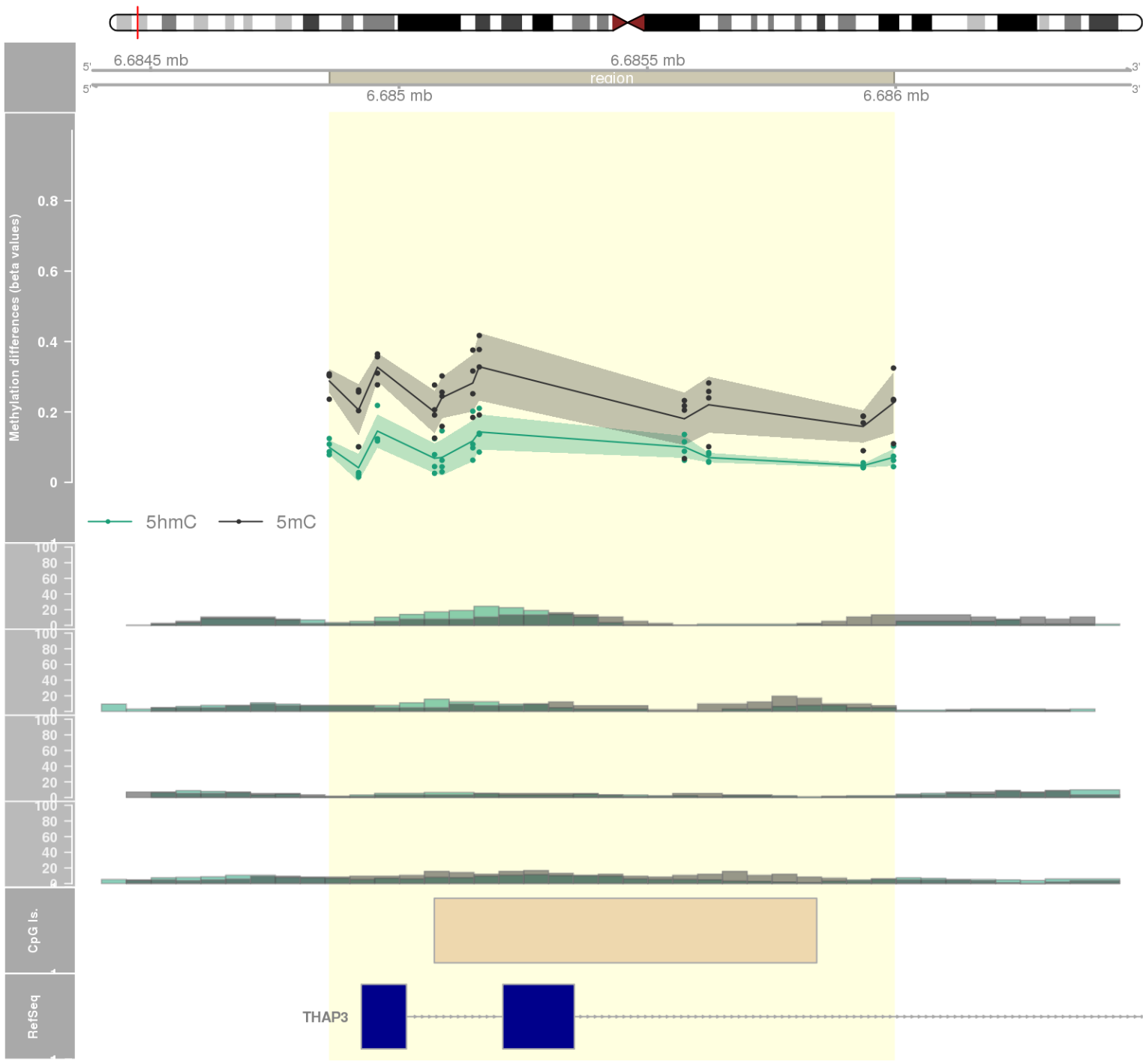
DMR 64 // chr16:3062349-3063680 // 1331 pb. (9 probes) // pvalue: 0.002 // fwer: 0.412 // pvalueArea: 0.006 // fwerArea: 1
- genes: CLDN9 -



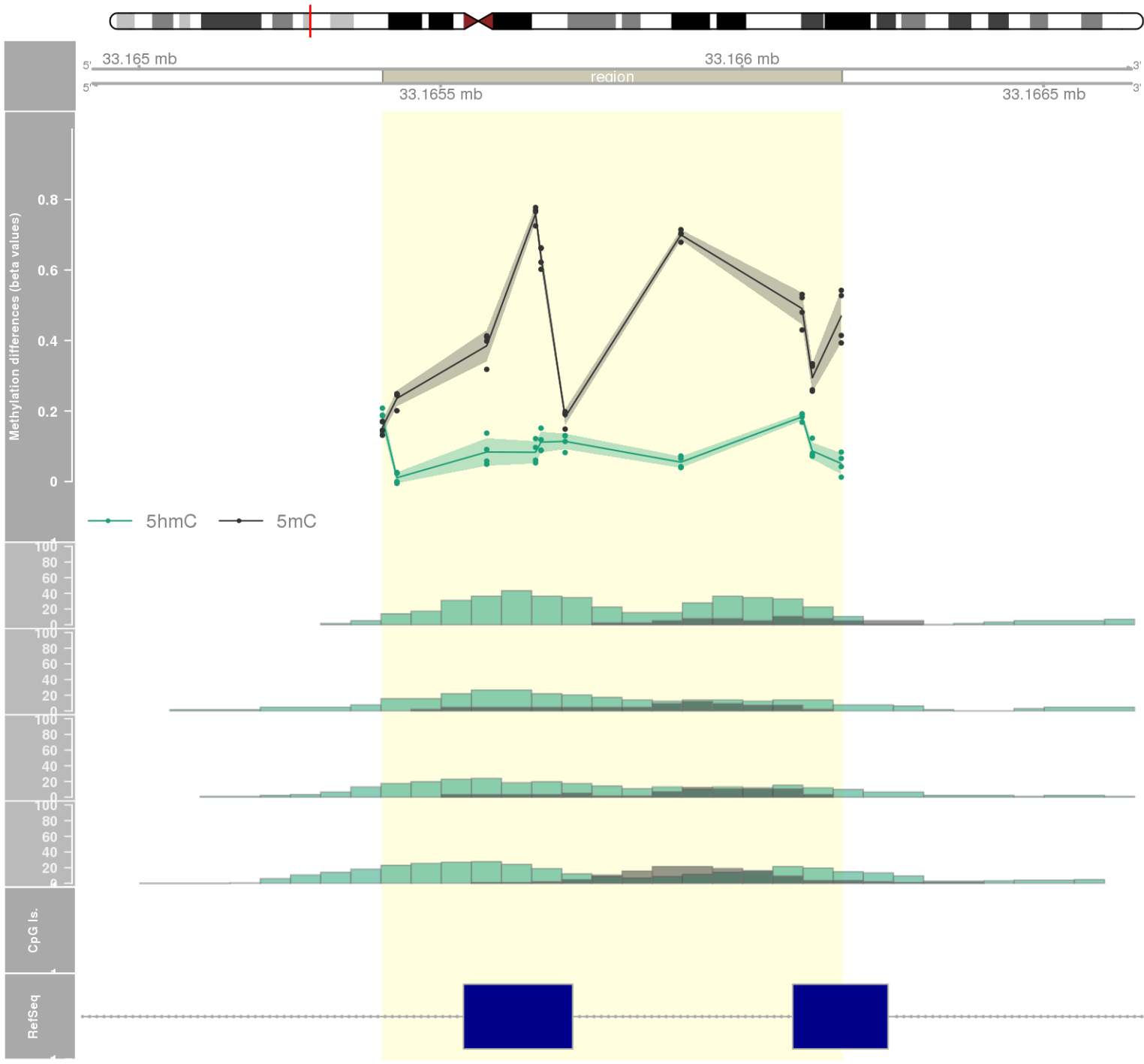
DMR 65 // chr20:36152813-36154388 // 1575 pb. (11 probes) // pvalue: 0.002 // fwer: 0.412 // pvalueArea: 0.006 // fwerArea: 1
- genes: BLCAP -



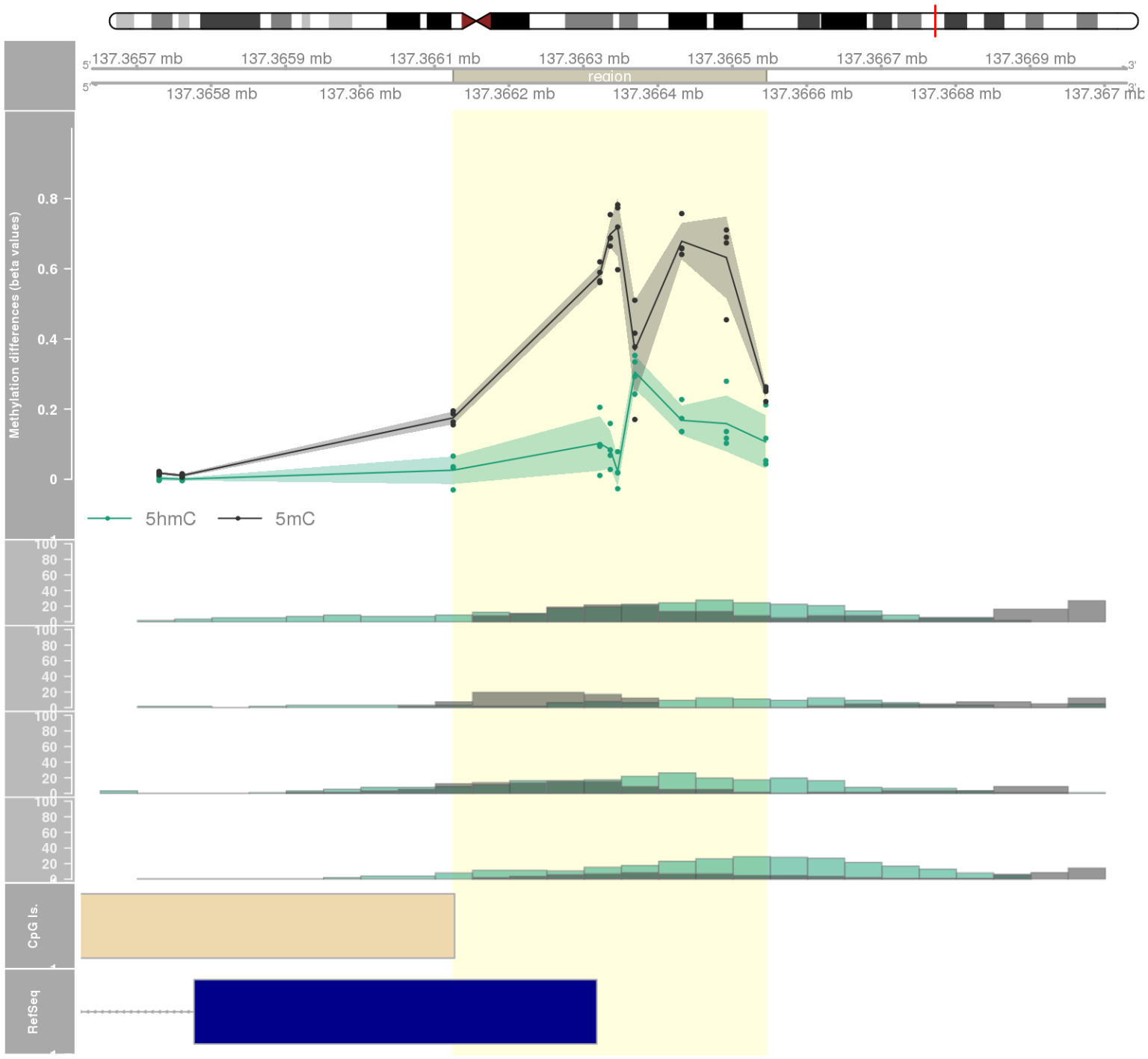
DMR 66 // chr1:6684860-6685996 // 1136 pb. (11 probes) // pvalue: 0.003 // fwer: 0.412 // pvalueArea: 0.007 // fwerArea: 1
- genes: THAP3 -

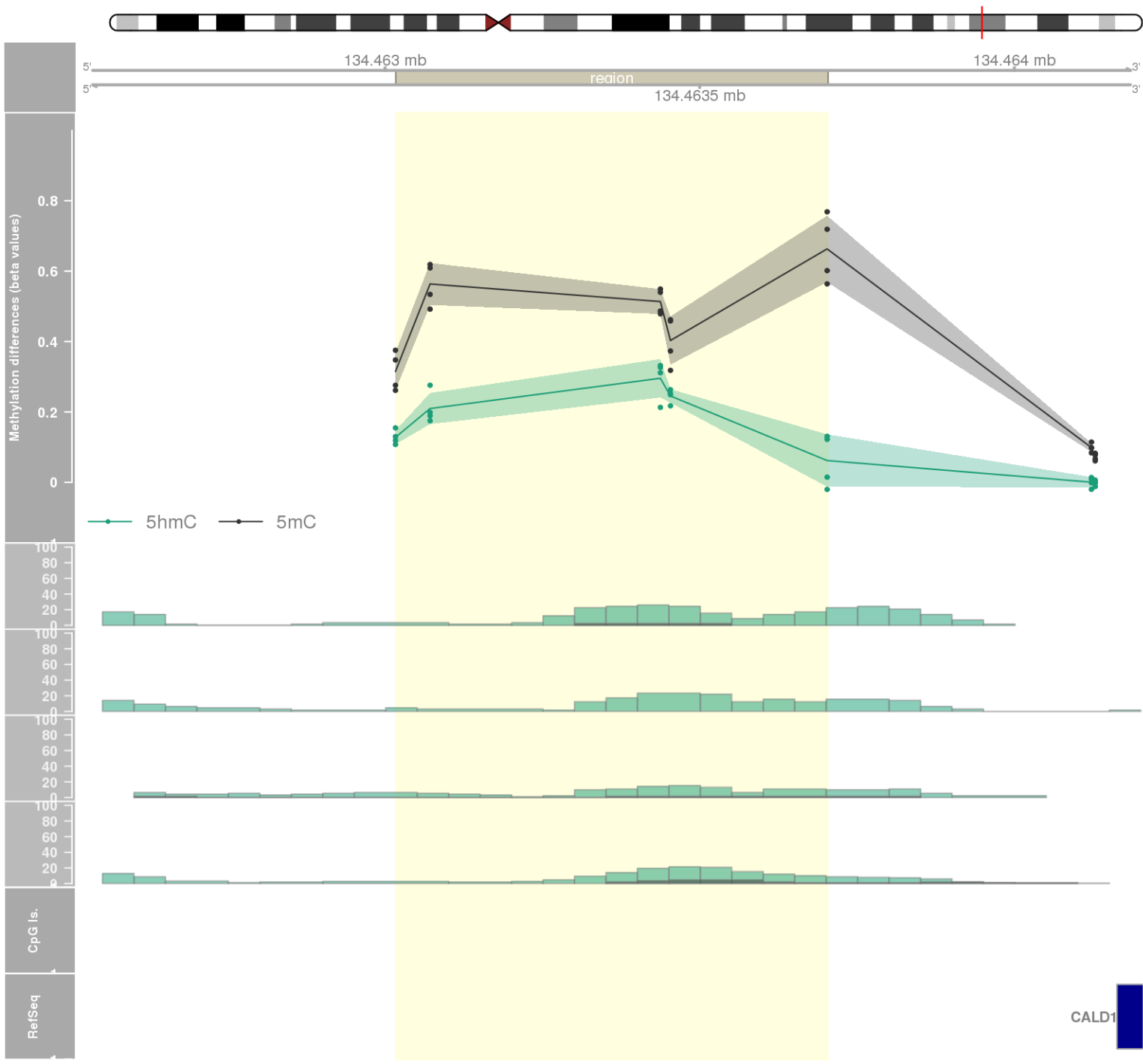


DMR 67 // chr6:33165404-33166165 // 761 pb. (10 probes) // pvalue: 0.002 // fwer: 0.585 // pvalueArea: 0.007 // fwerArea: 1
- genes: RXRB -

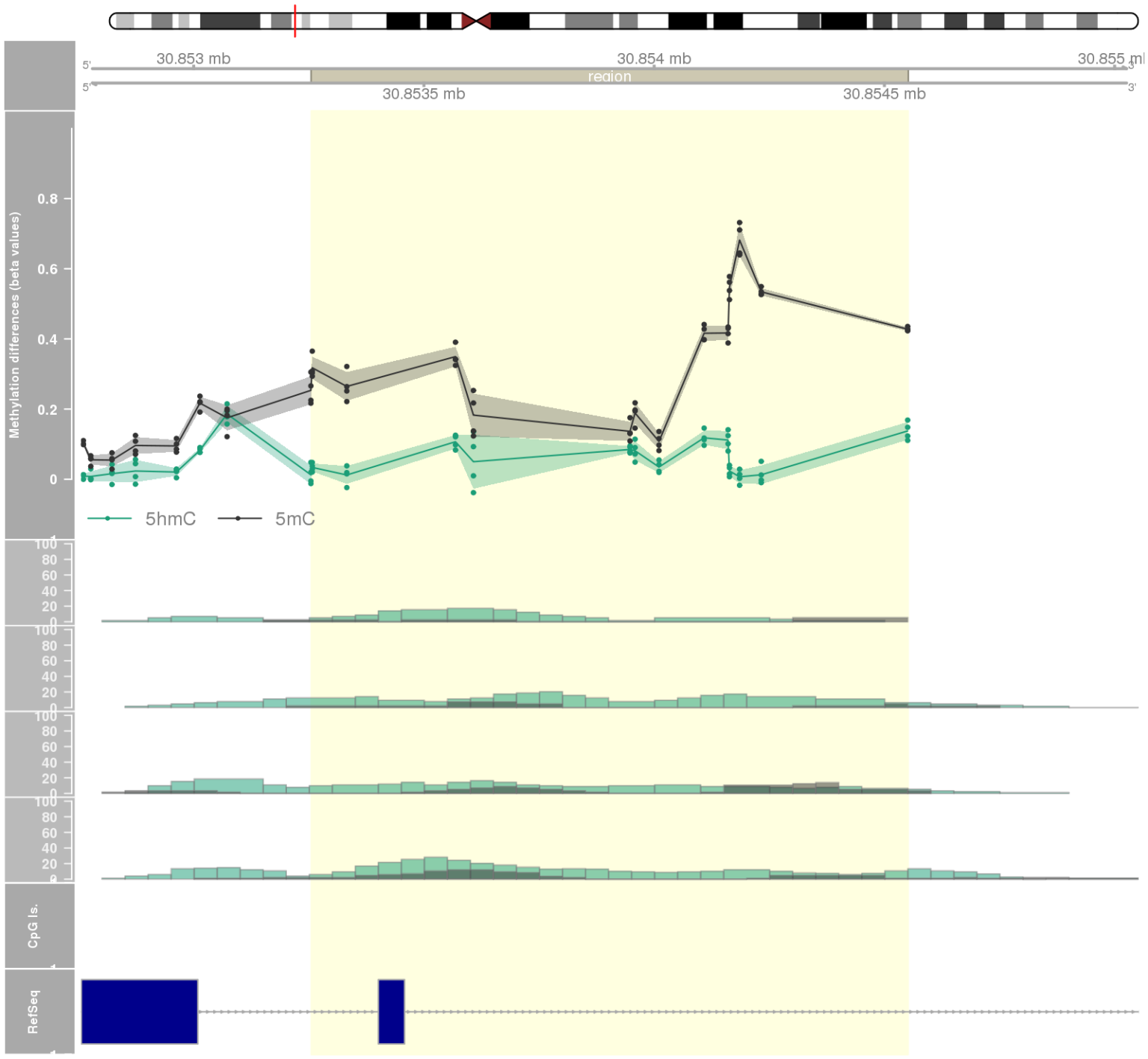


DMR 68 // chr6:137366125-137366545 // 420 pb. (8 probes) // pvalue: 0.001 // fwer: 0.412 // pvalueArea: 0.007 // fwerArea: 1
- genes: IL20RA -

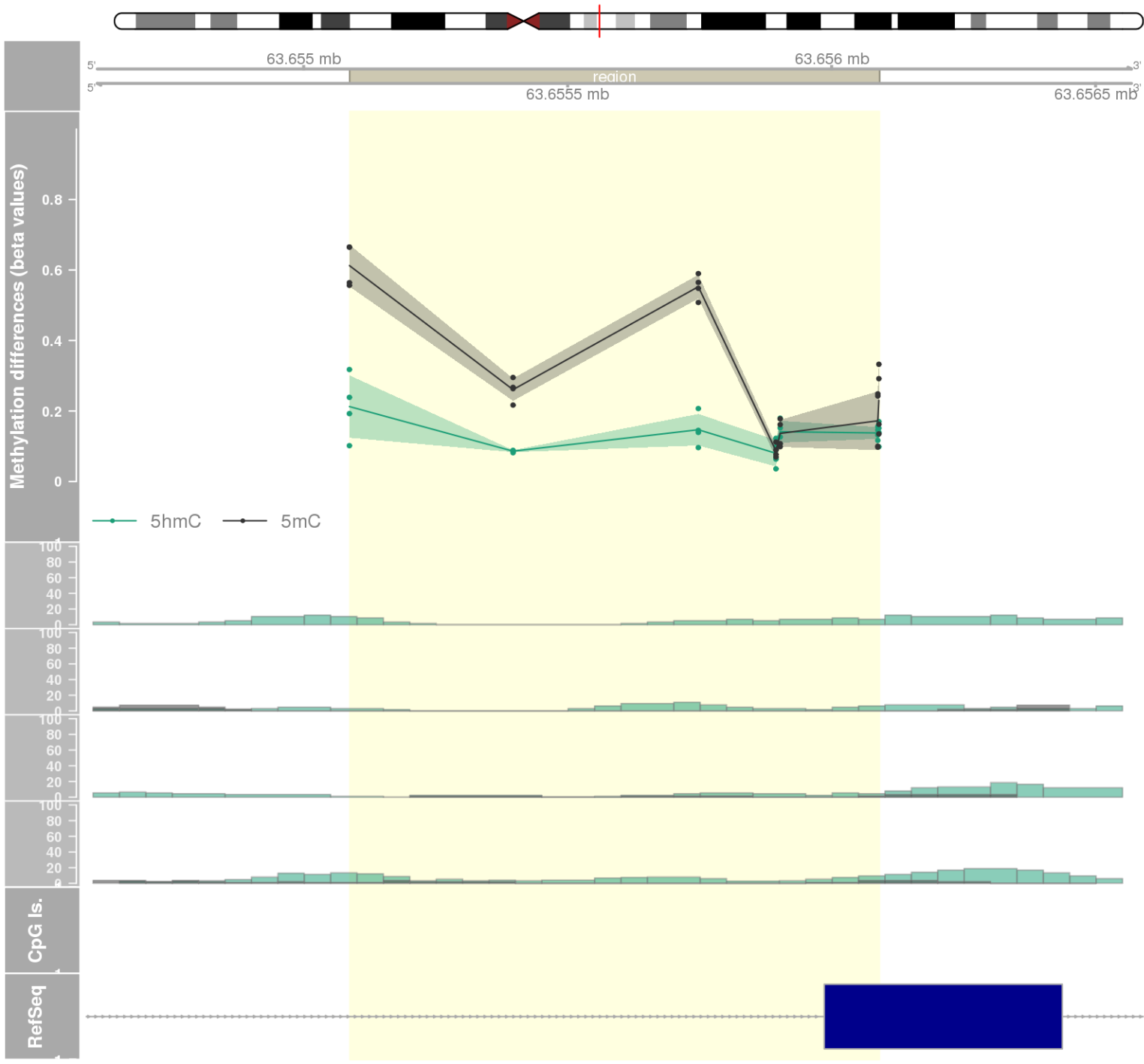




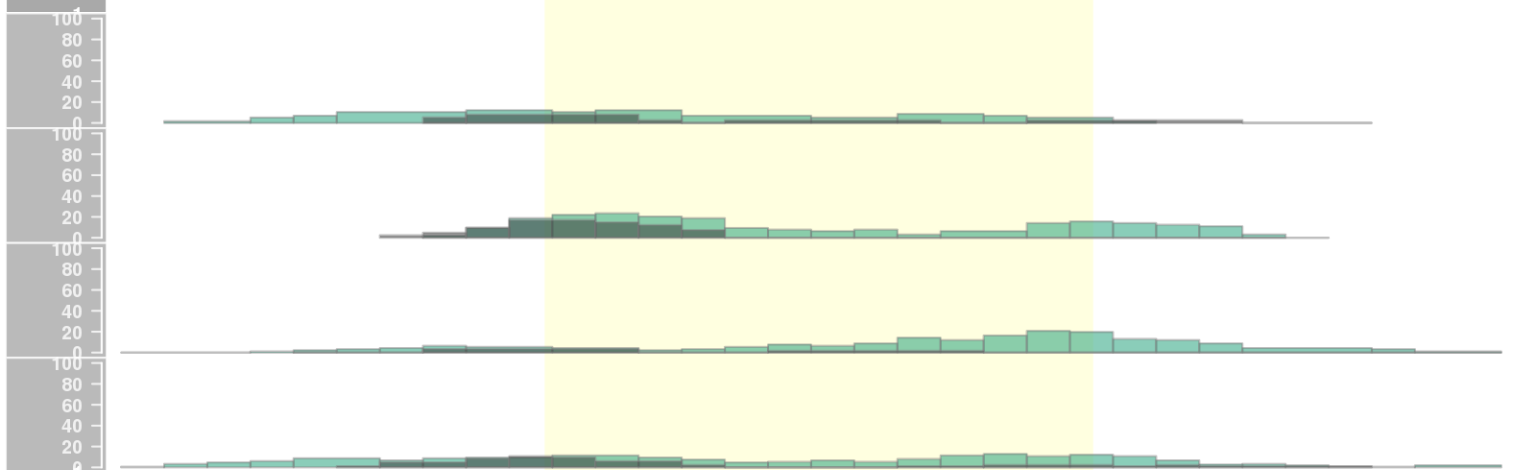
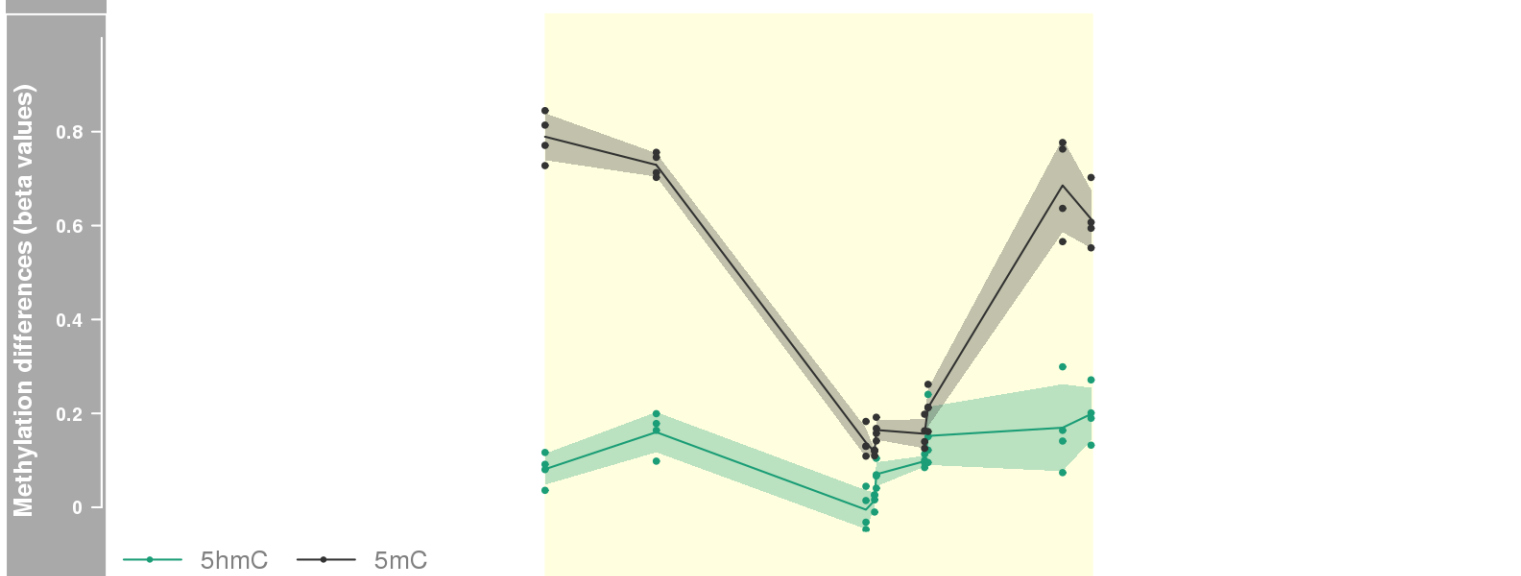
DMR 70 // chr6:30853255-30854551 // 1296 pb. (14 probes) // pvalue: 0.002 // fwer: 0.827 // pvalueArea: 0.007 // fwerArea: 1
- genes: DDR1 -



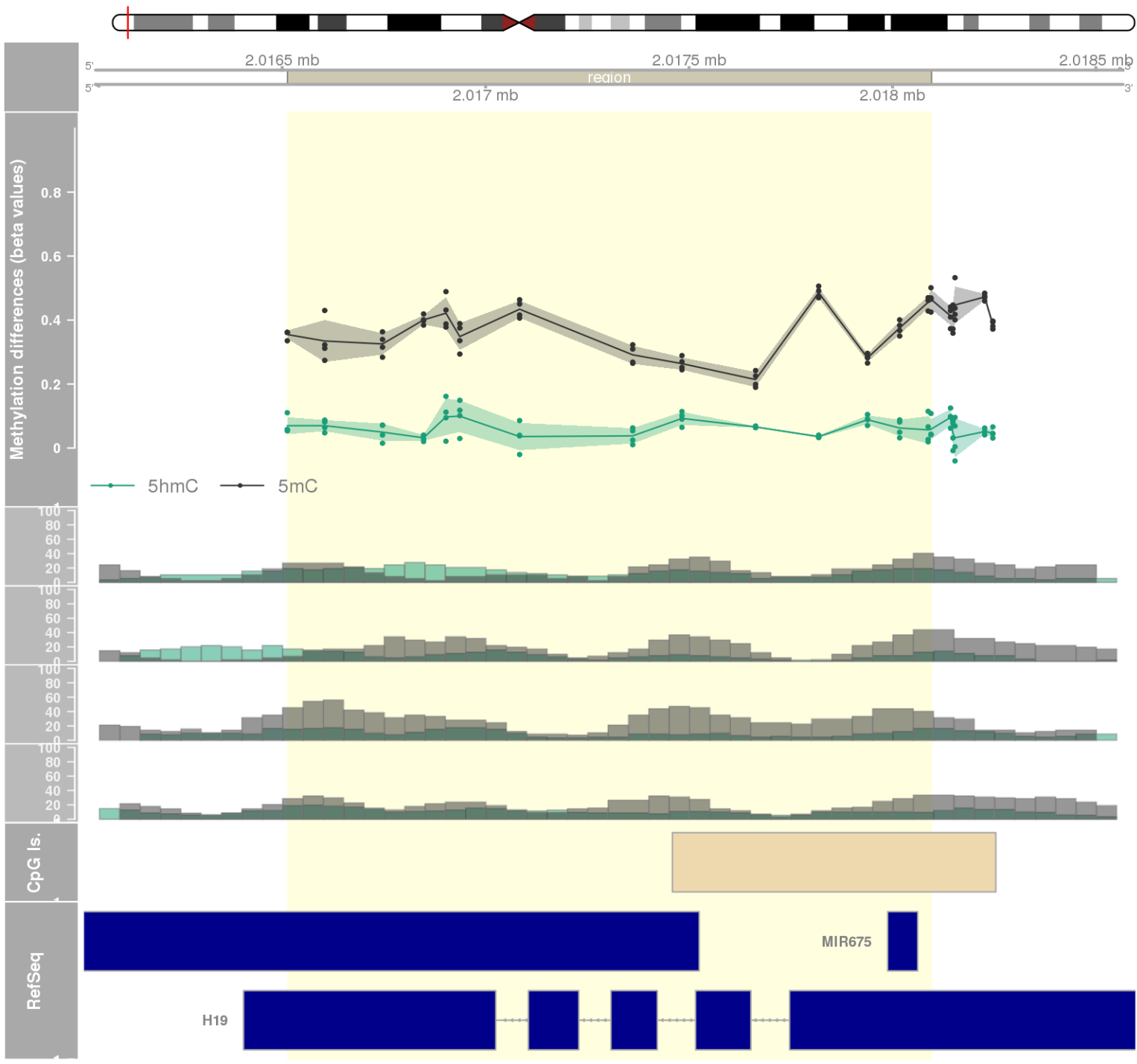
DMR 71 // chr11:63655087-63656090 // 1003 pb. (7 probes) // pvalue: 0.001 // fwer: 0.412 // pvalueArea: 0.007 // fwerArea: 1
- genes: MARK2 -



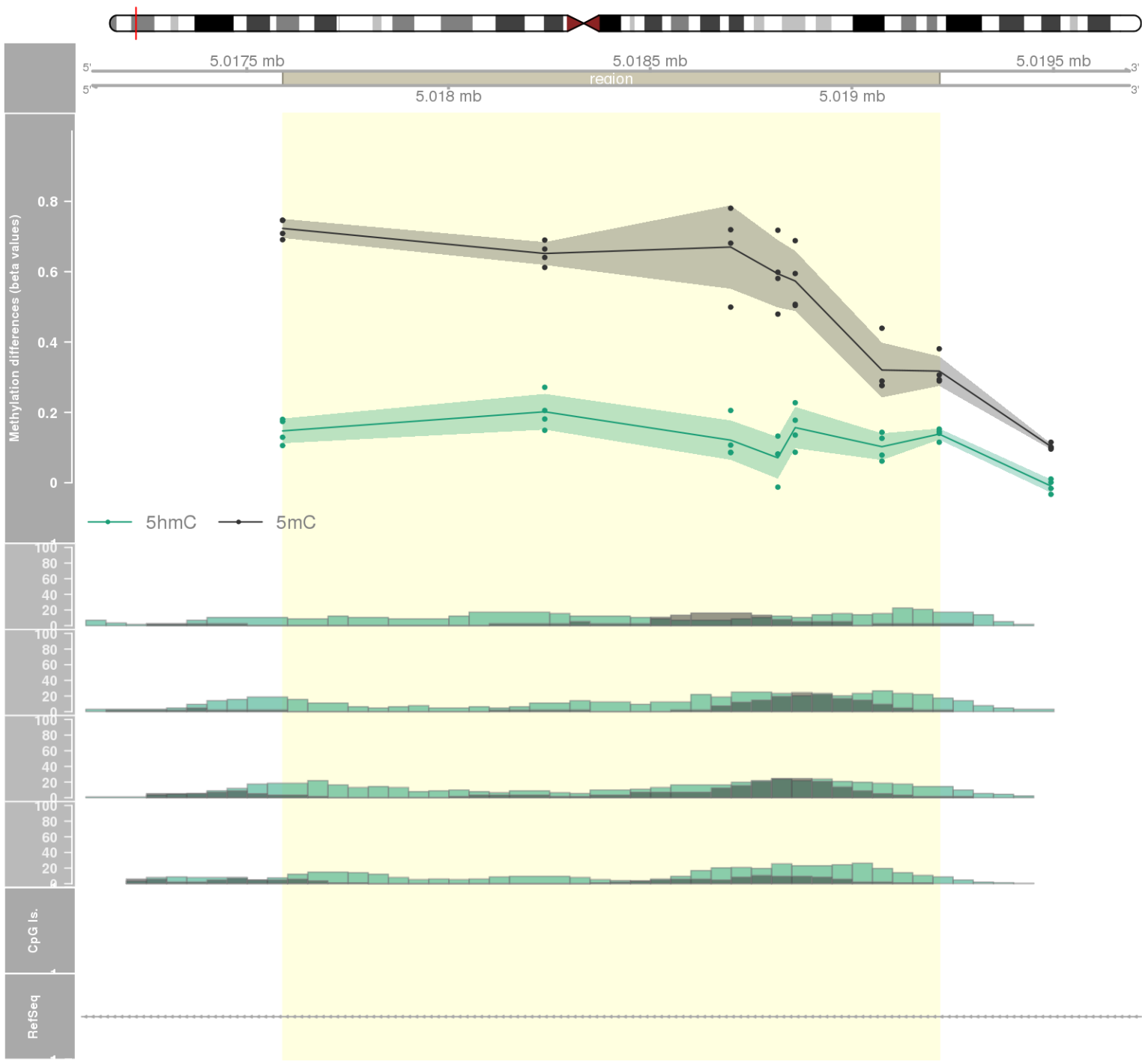
DMR 72 // chr12:14996143-14996776 // 633 pb. (9 probes) // pvalue: 0.002 // fwer: 0.412 // pvalueArea: 0.007 // fwerArea: 1
- genes: C12orf60 / ART4 -

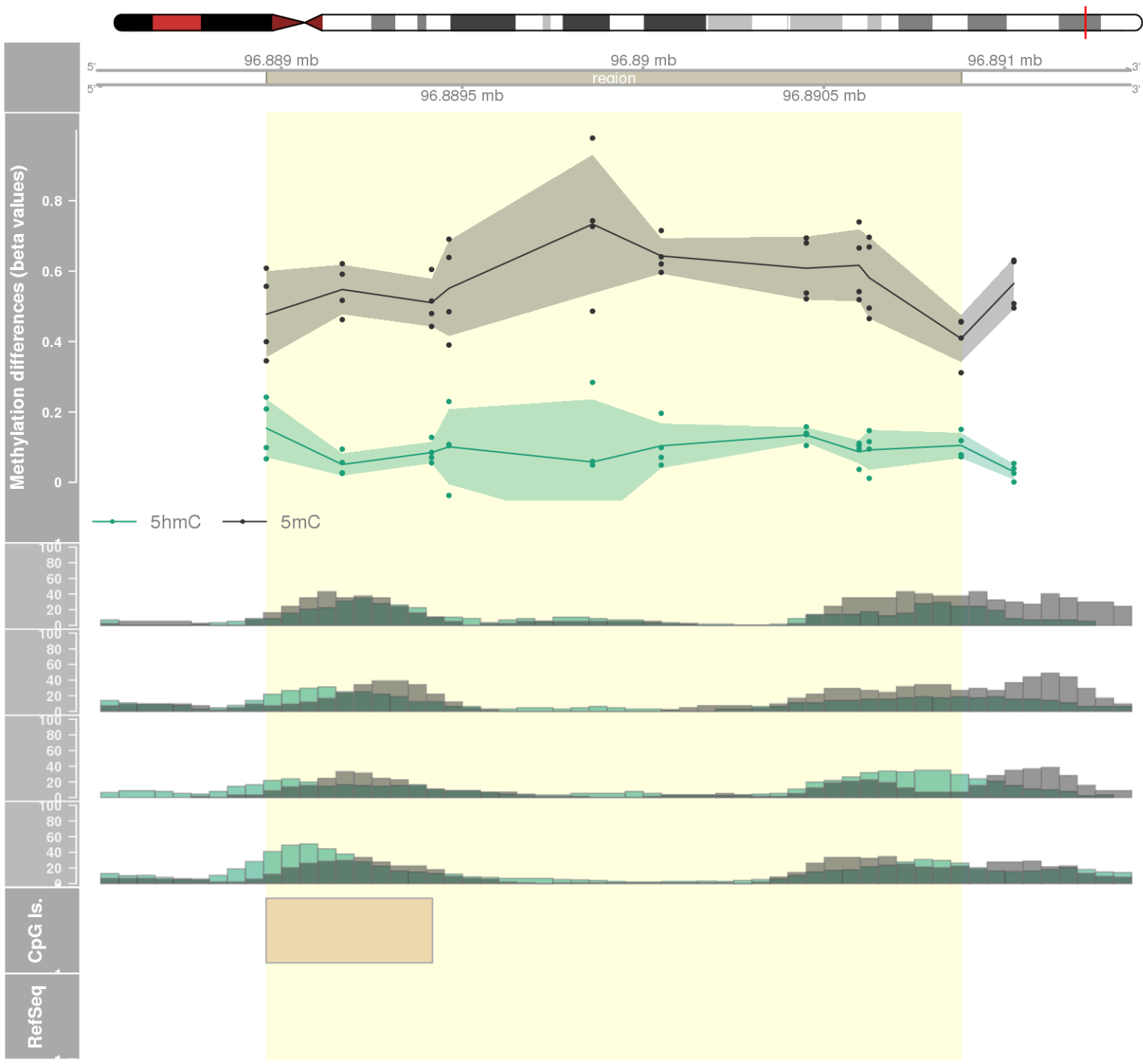


DMR 73 // chr11:2016513-2018095 // 1582 pb. (15 probes) // pvalue: 0.001 // fwer: 0.412 // pvalueArea: 0.007 // fwerArea: 1
- genes: H19 -

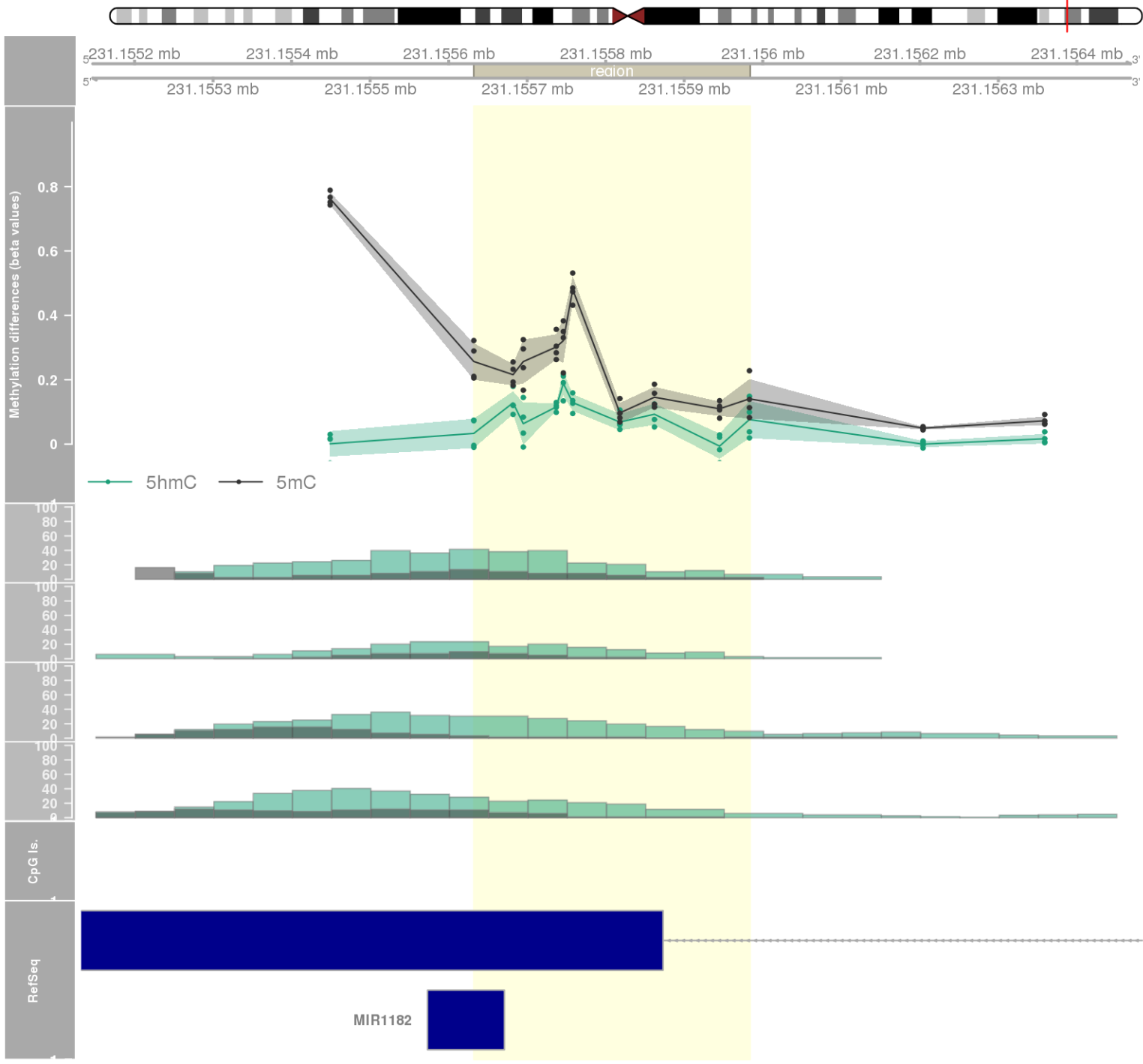


DMR 74 // chr3:5017589-5019217 // 1628 pb. (7 probes) // pvalue: 0.001 // fwer: 0.412 // pvalueArea: 0.007 // fwerArea: 1
- genes: BHLHE40-AS1 -

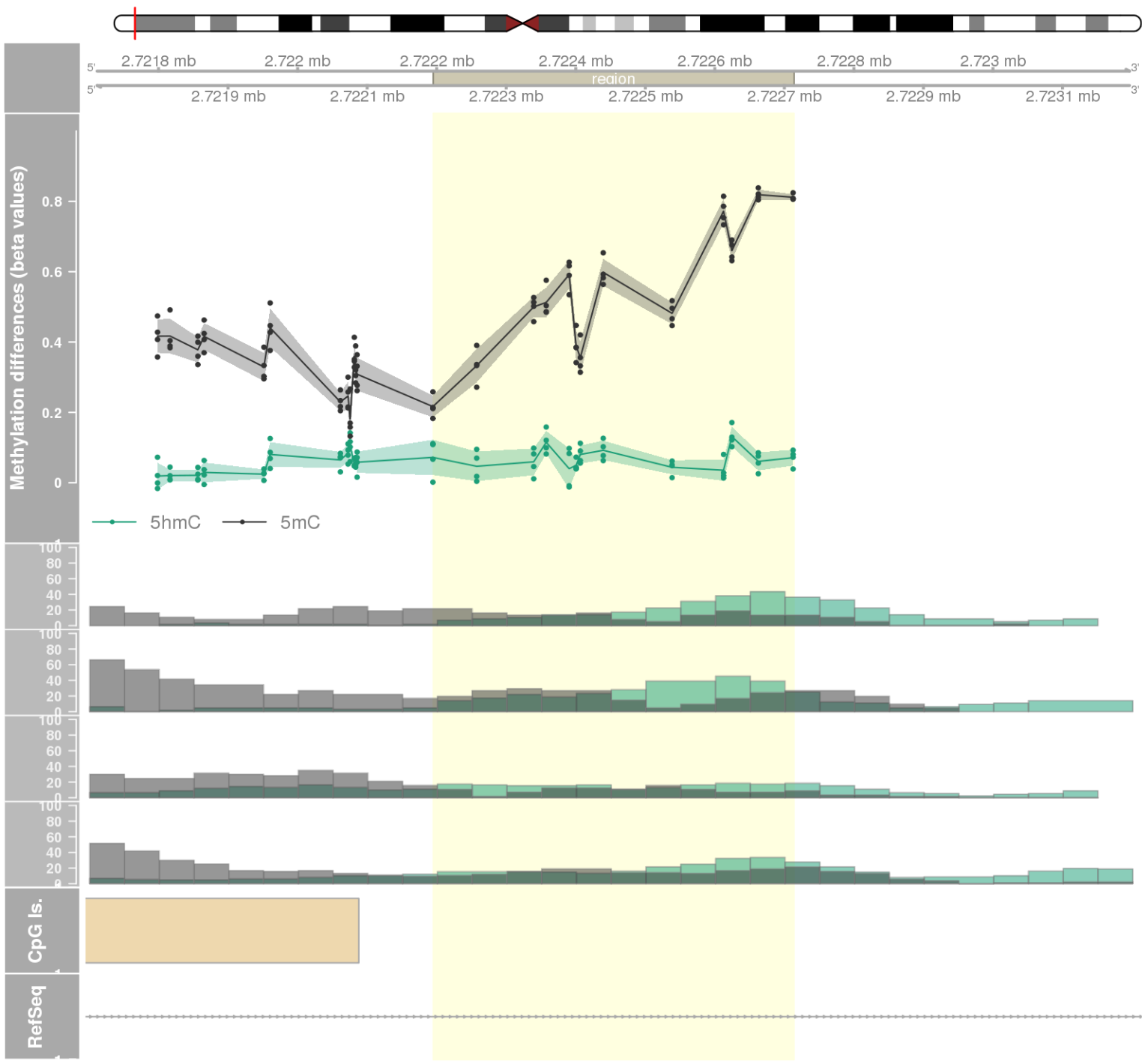




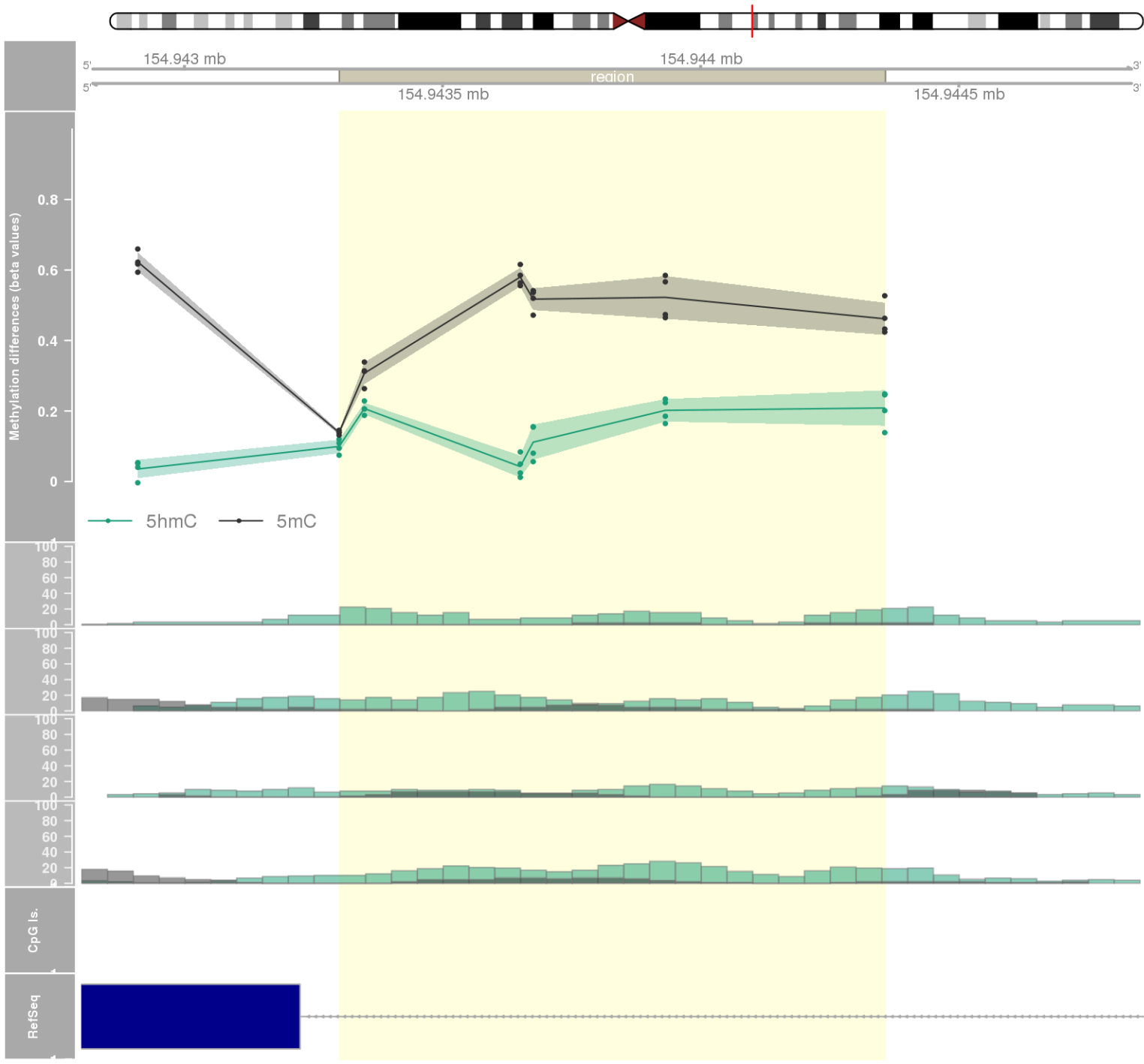
DMR 76 // chr1:231155632-231155983 // 351 pb. (10 probes) // pvalue: 0.002 // fwer: 0.412 // pvalueArea: 0.008 // fwerArea: 1
- genes: MIR1182 / FAM89A -



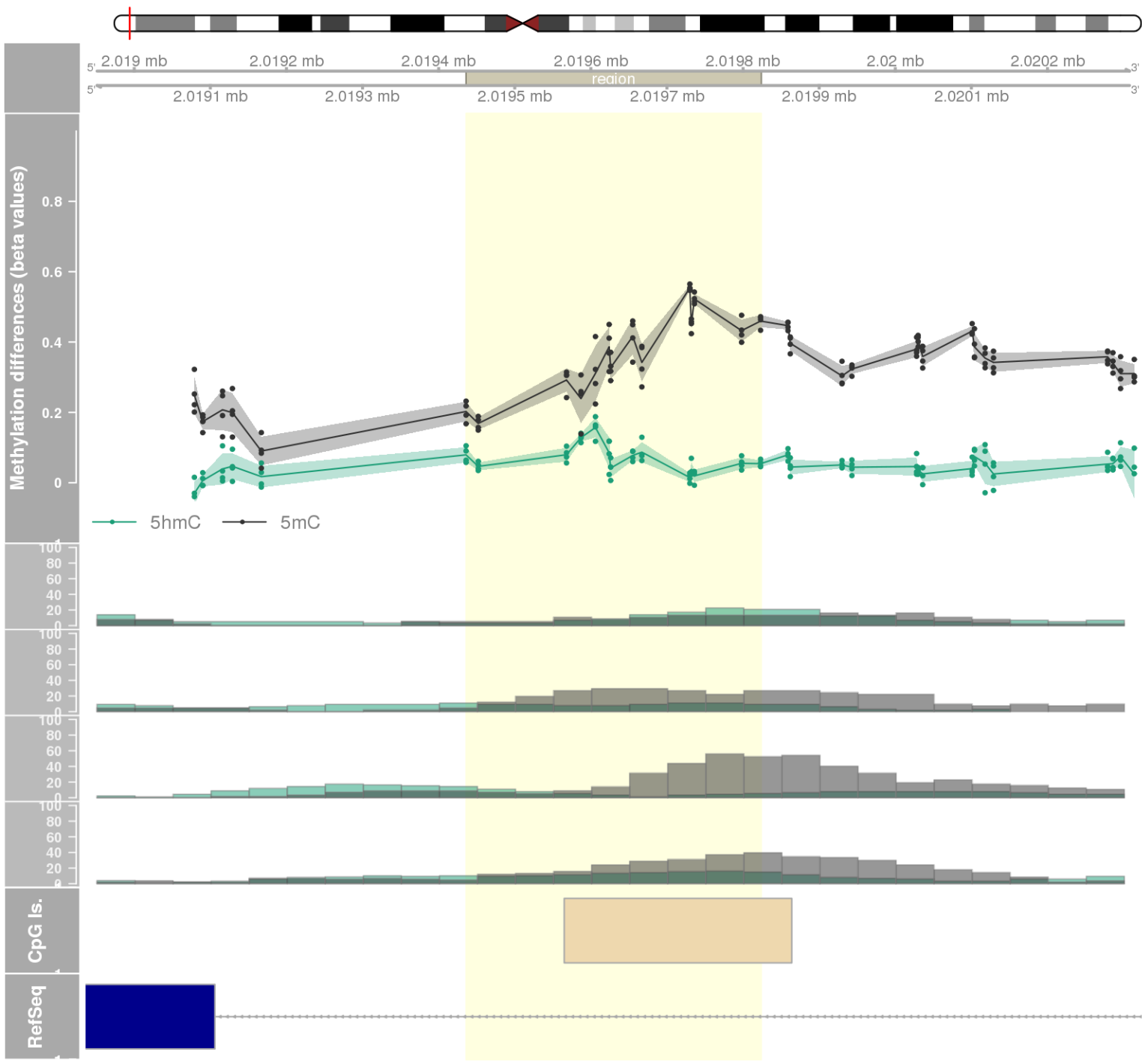
DMR 77 // chr11:2722195-2722713 // 518 pb. (13 probes) // pvalue: 0.002 // fwer: 0.827 // pvalueArea: 0.008 // fwerArea: 1
- genes: KCNQ1 -



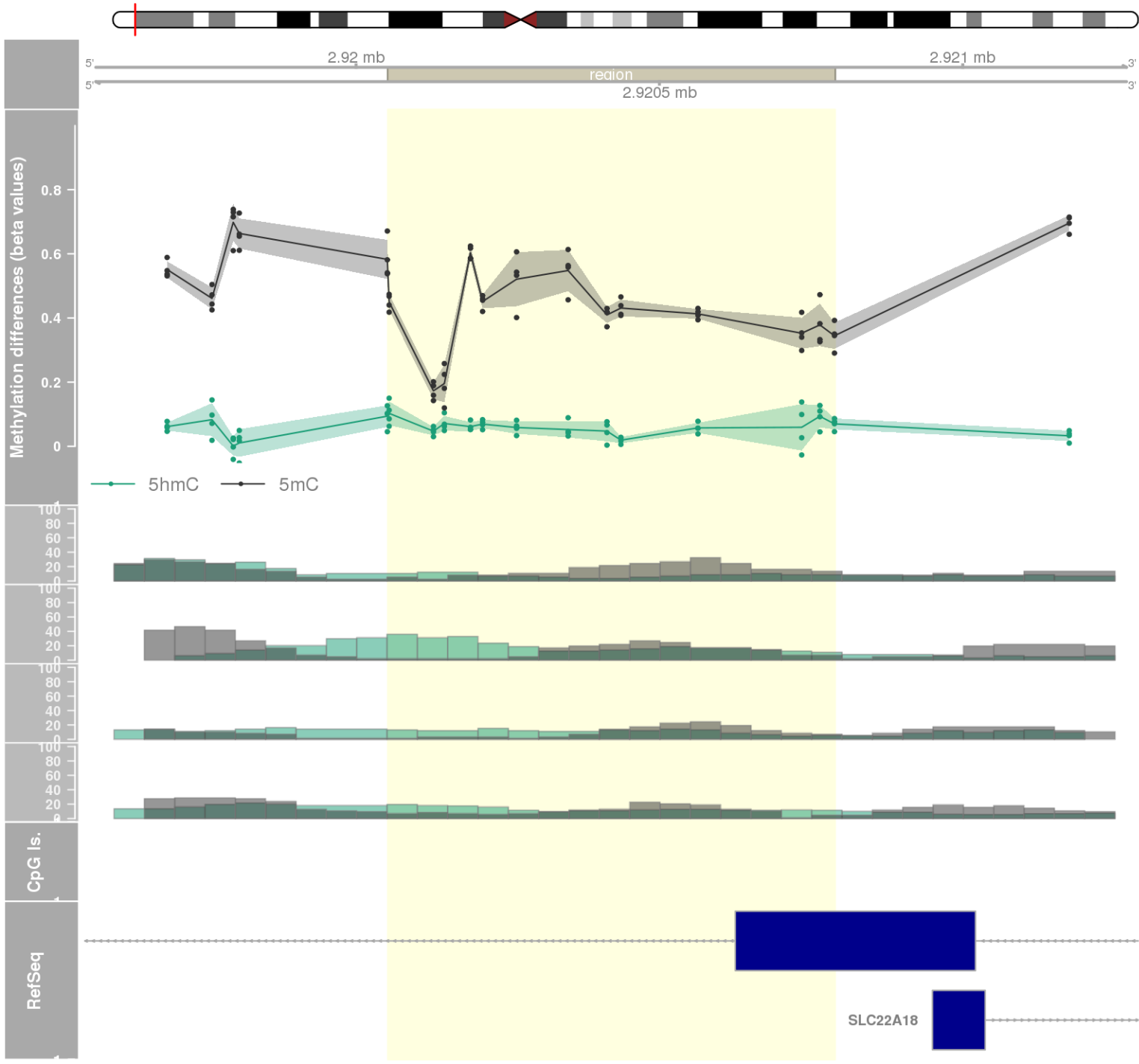
DMR 78 // chr1:154943300-154944357 // 1057 pb. (6 probes) // pvalue: 0.001 // fwer: 0.219 // pvalueArea: 0.008 // fwerArea: 1
- genes: SHC1 -



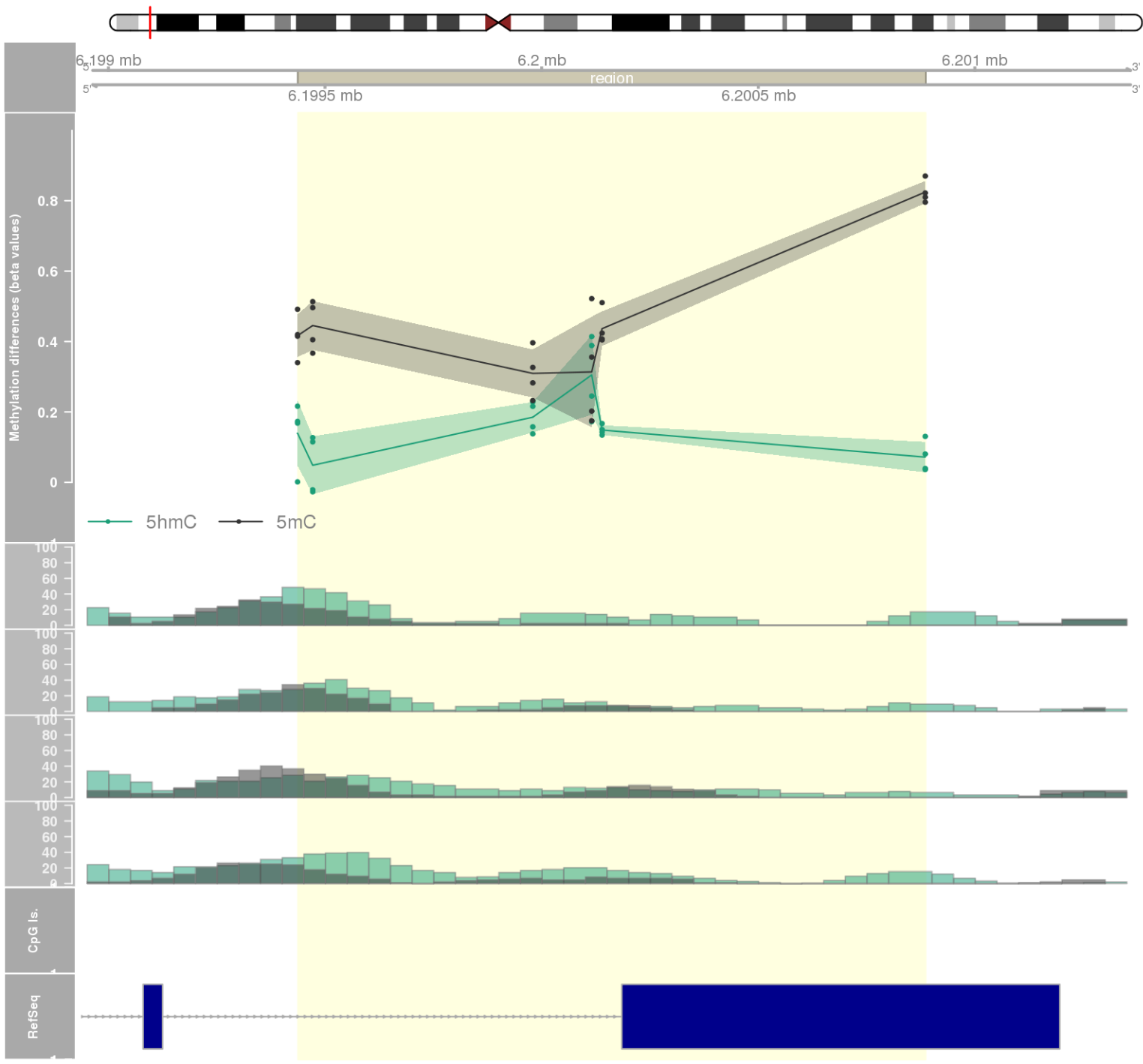
DMR 79 // chr11:2019436-2019823 // 387 pb. (14 probes) // pvalue: 0.002 // fwer: 0.827 // pvalueArea: 0.008 // fwerArea: 1
- genes: H19 -



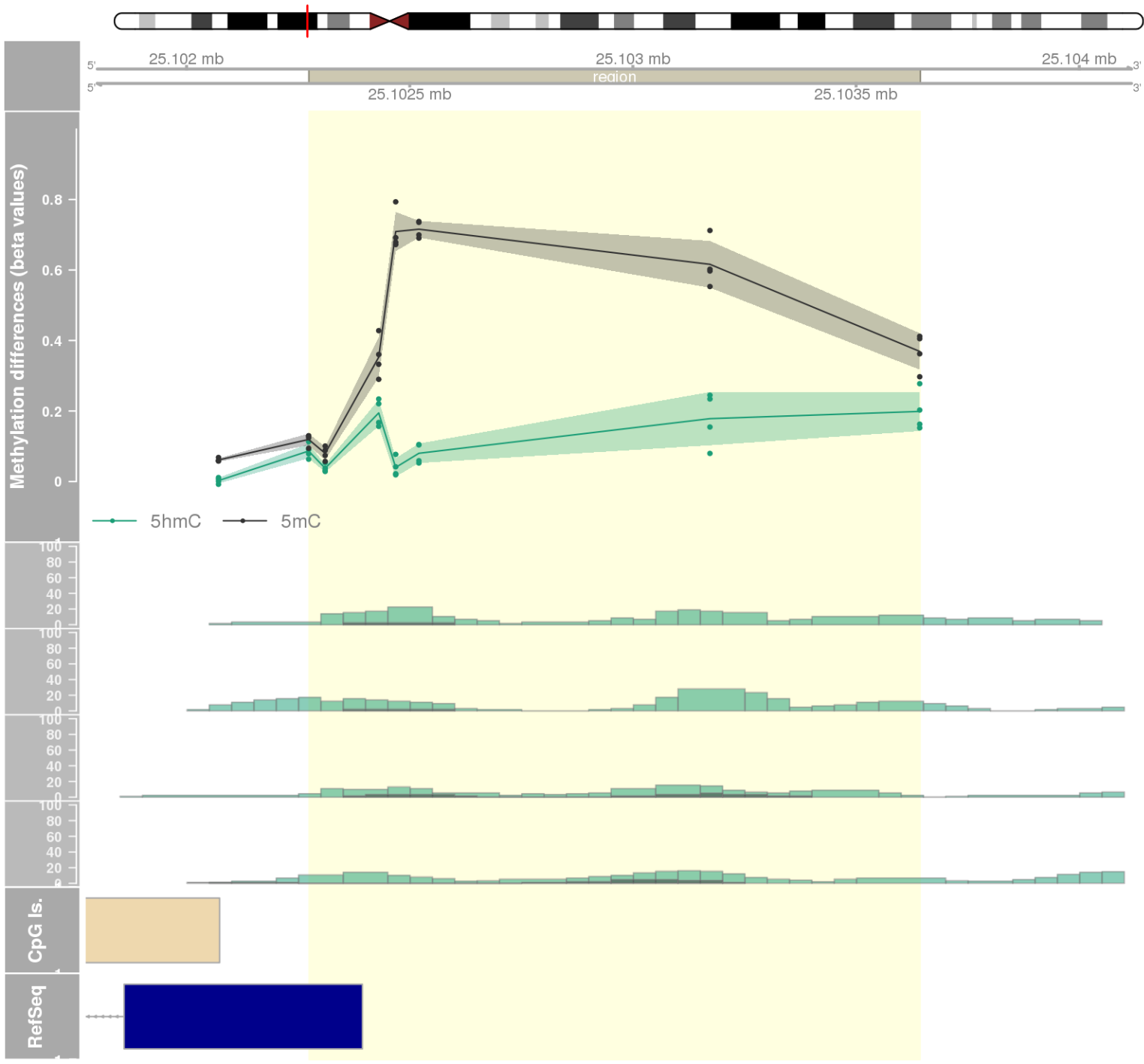
DMR 80 // chr11:2920052-2920789 // 737 pb. (14 probes) // pvalue: 0.002 // fwer: 0.827 // pvalueArea: 0.008 // fwerArea: 1
- genes: SLC22A18AS -



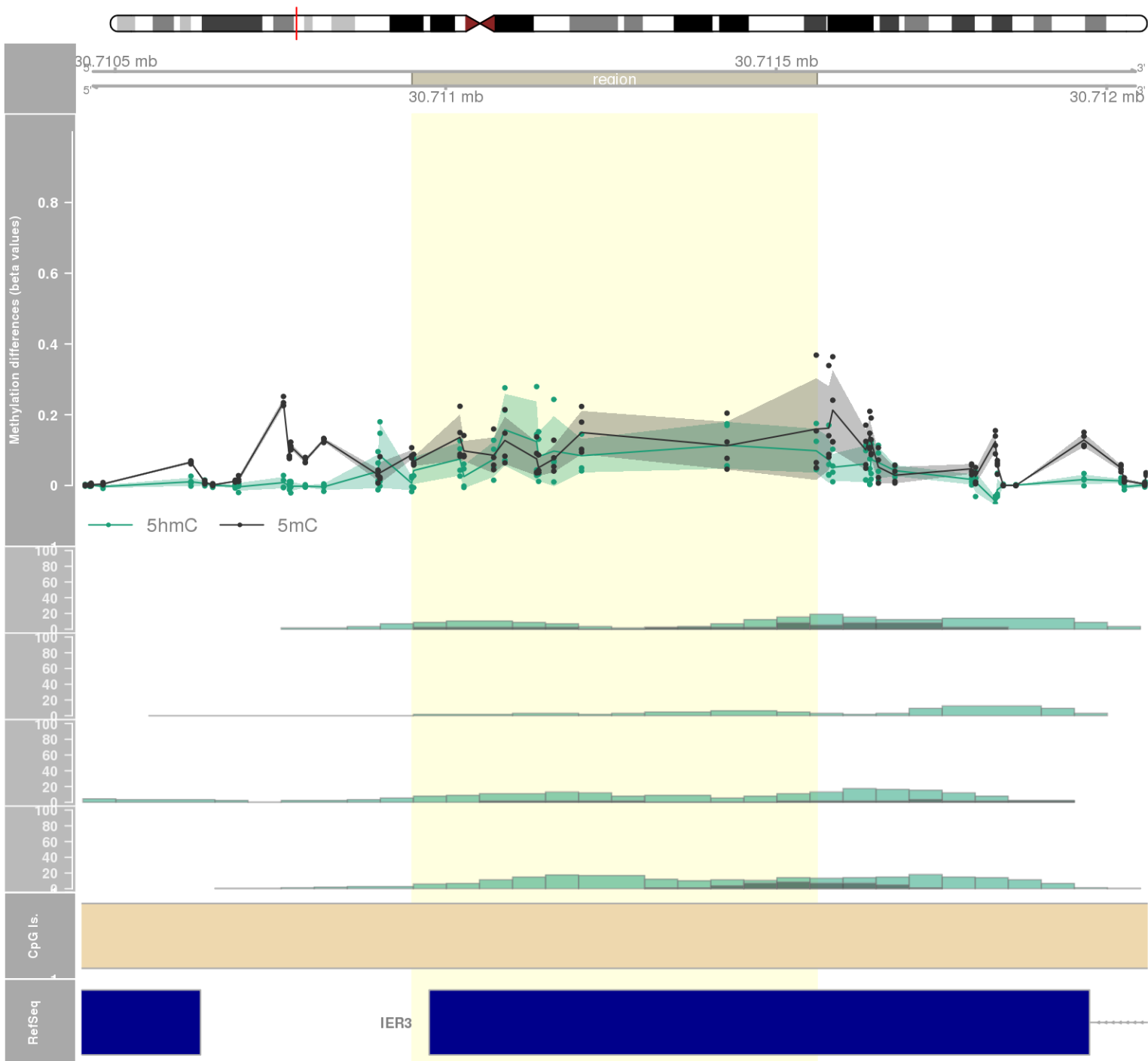
DMR 81 // chr7:6199437-6200886 // 1449 pb. (6 probes) // pvalue: 0.001 // fwer: 0.219 // pvalueArea: 0.008 // fwerArea: 1
- genes: USP42 -



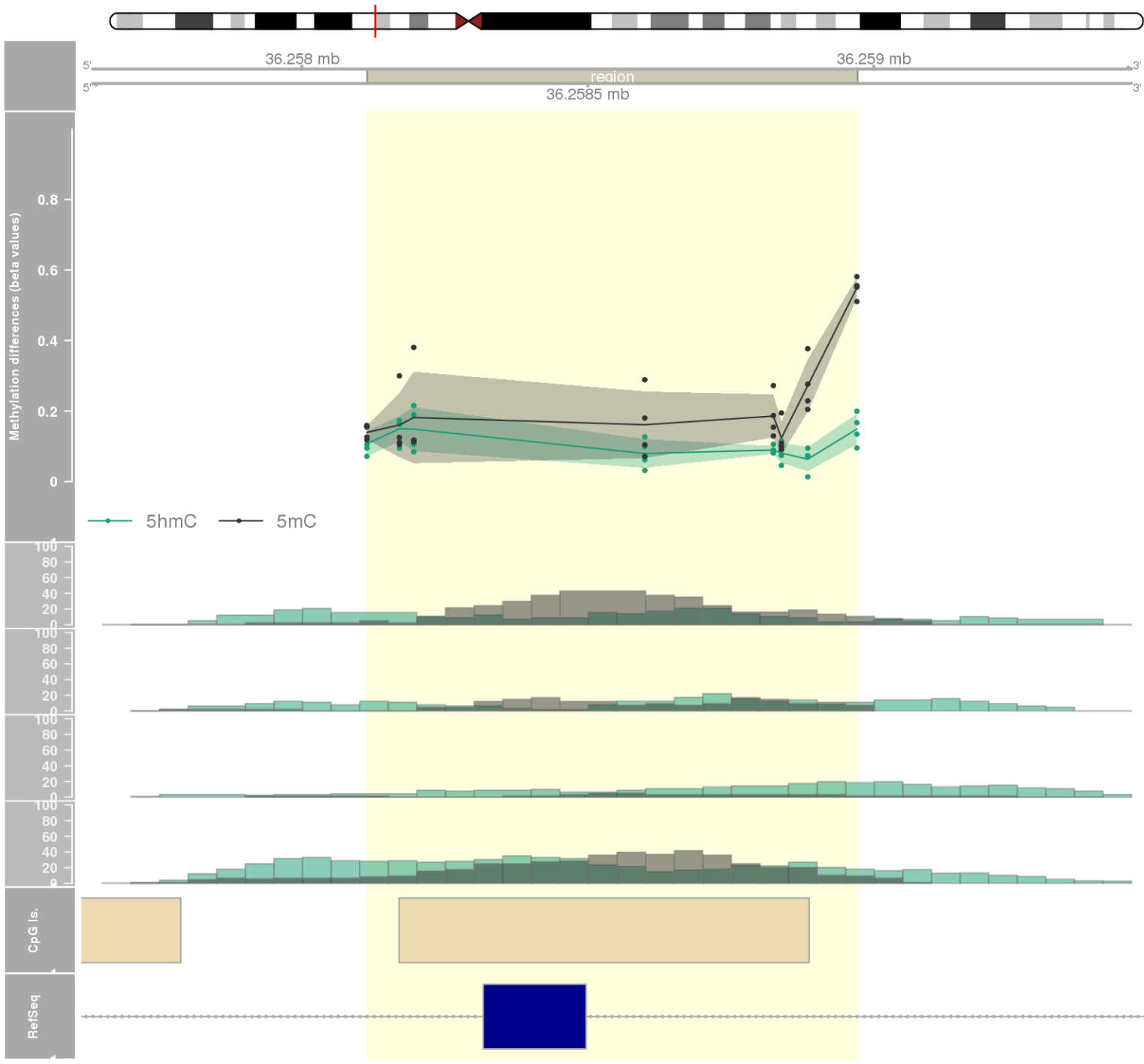
DMR 82 // chr12:25102274-25103643 // 1369 pb. (7 probes) // pvalue: 0.001 // fwer: 0.412 // pvalueArea: 0.008 // fwerArea: 1
- genes: BCAT1 -

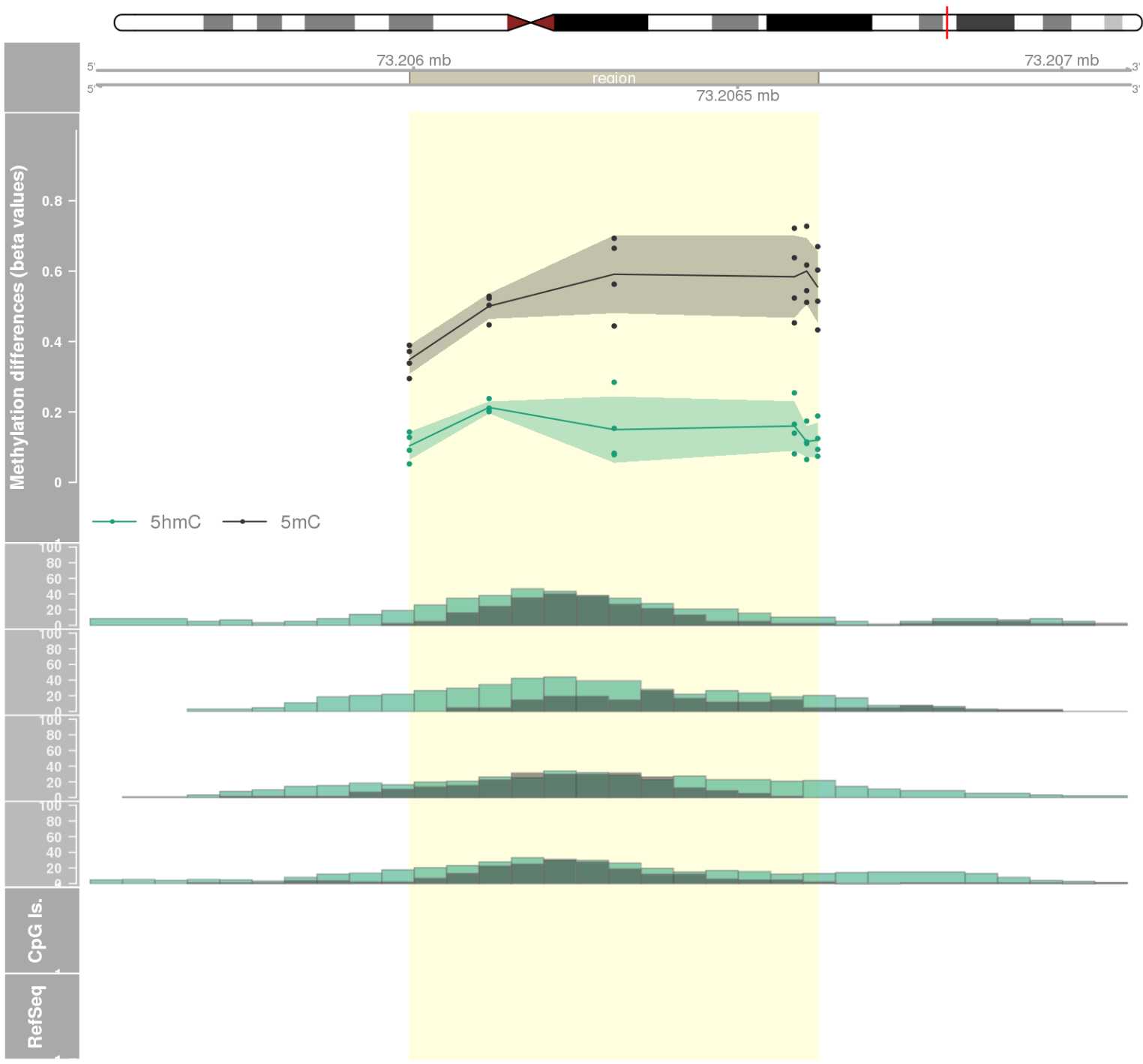


DMR 83 // chr6:30710949-30711561 // 612 pb. (12 probes) // pvalue: 0.003 // fwer: 0.797 // pvalueArea: 0.008 // fwerArea: 1
- genes: IER3 -

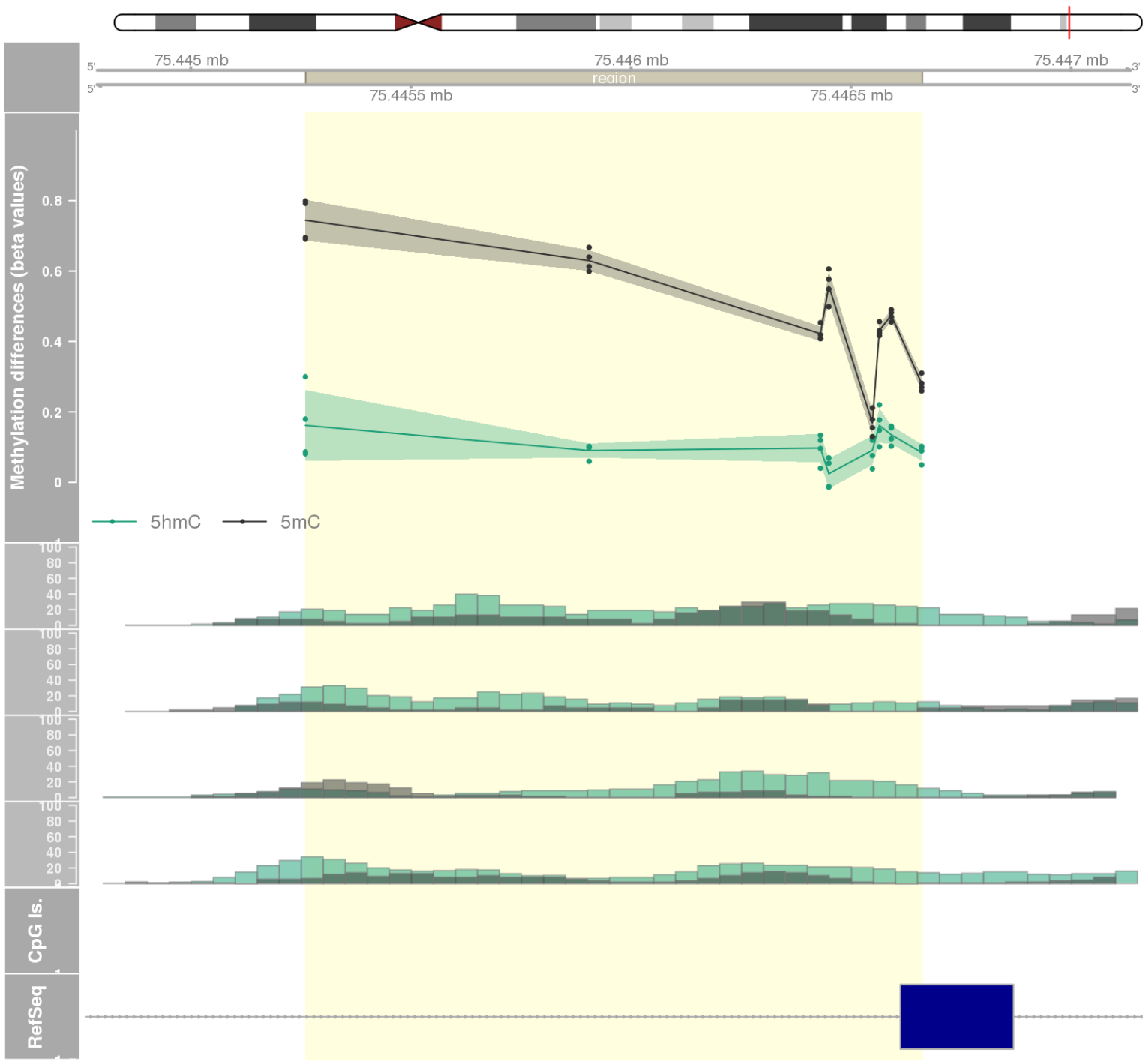


DMR 84 // chr9:36258114-36258971 // 857 pb. (8 probes) // pvalue: 0.002 // fwer: 0.412 // pvalueArea: 0.008 // fwerArea: 1
- genes: CLTA / GNE -

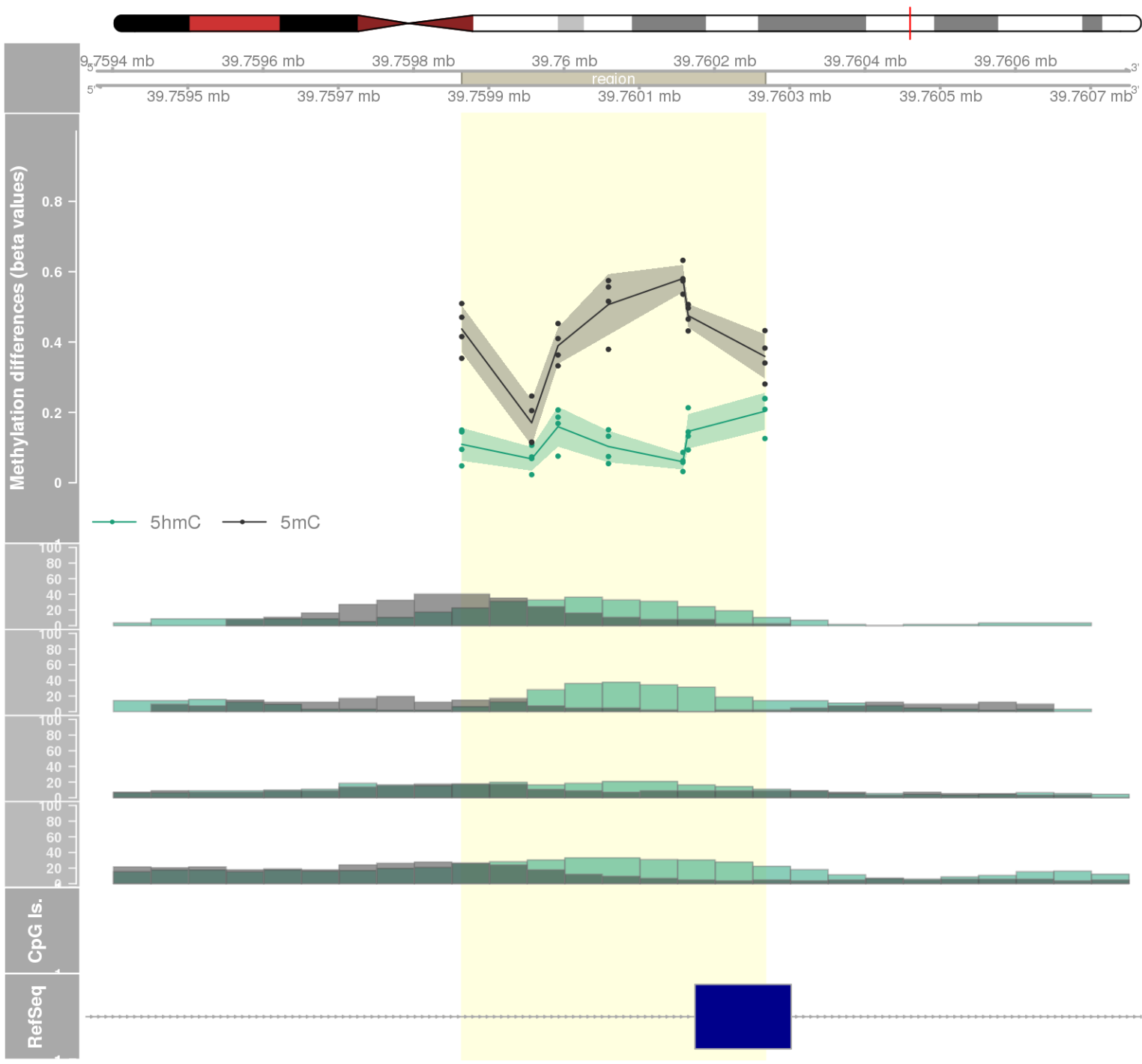




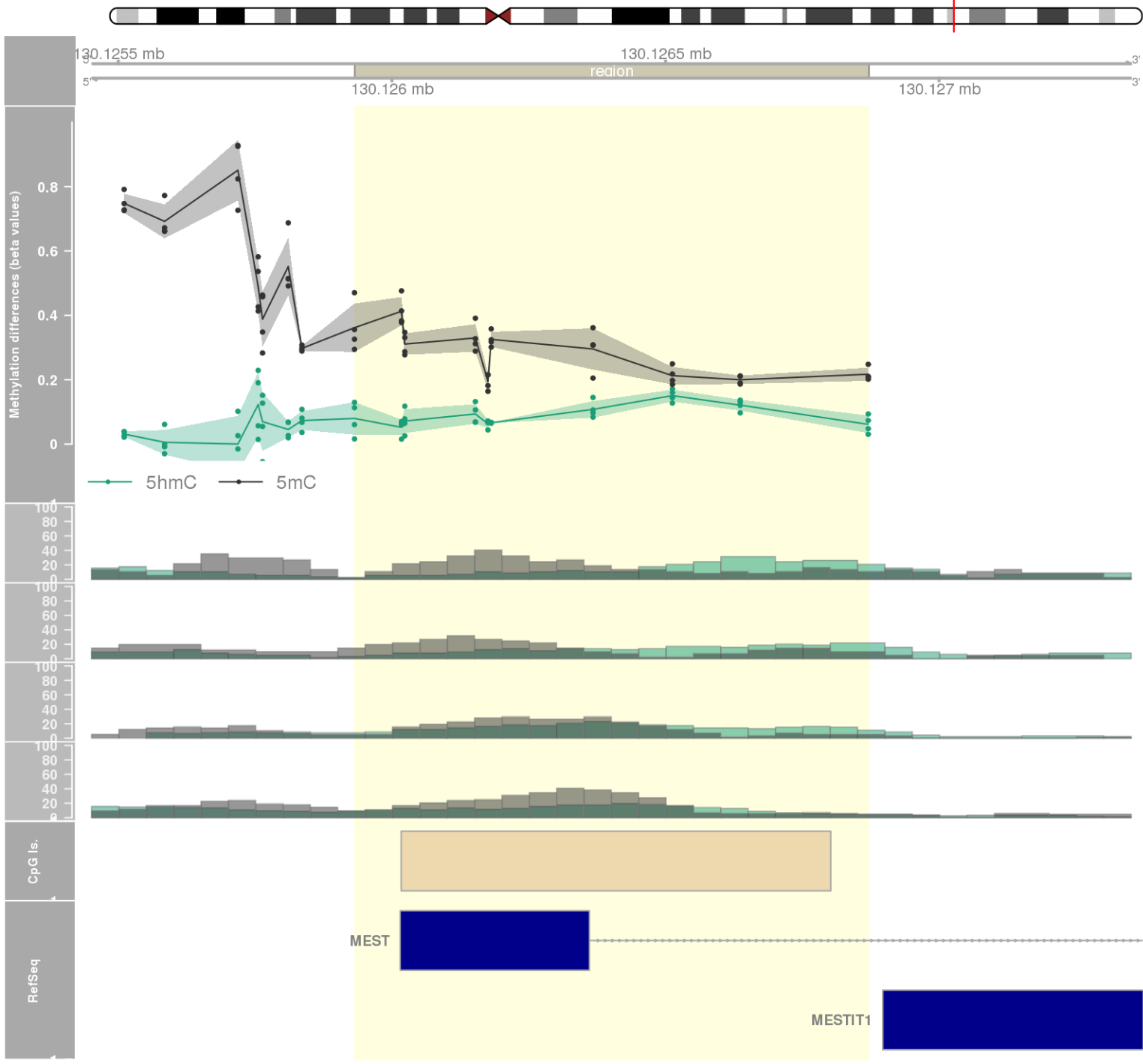
DMR 86 // chr17:75445261-75446661 // 1400 pb. (8 probes) // pvalue: 0.003 // fwer: 0.412 // pvalueArea: 0.009 // fwerArea: 1
- genes: SEPT9 -



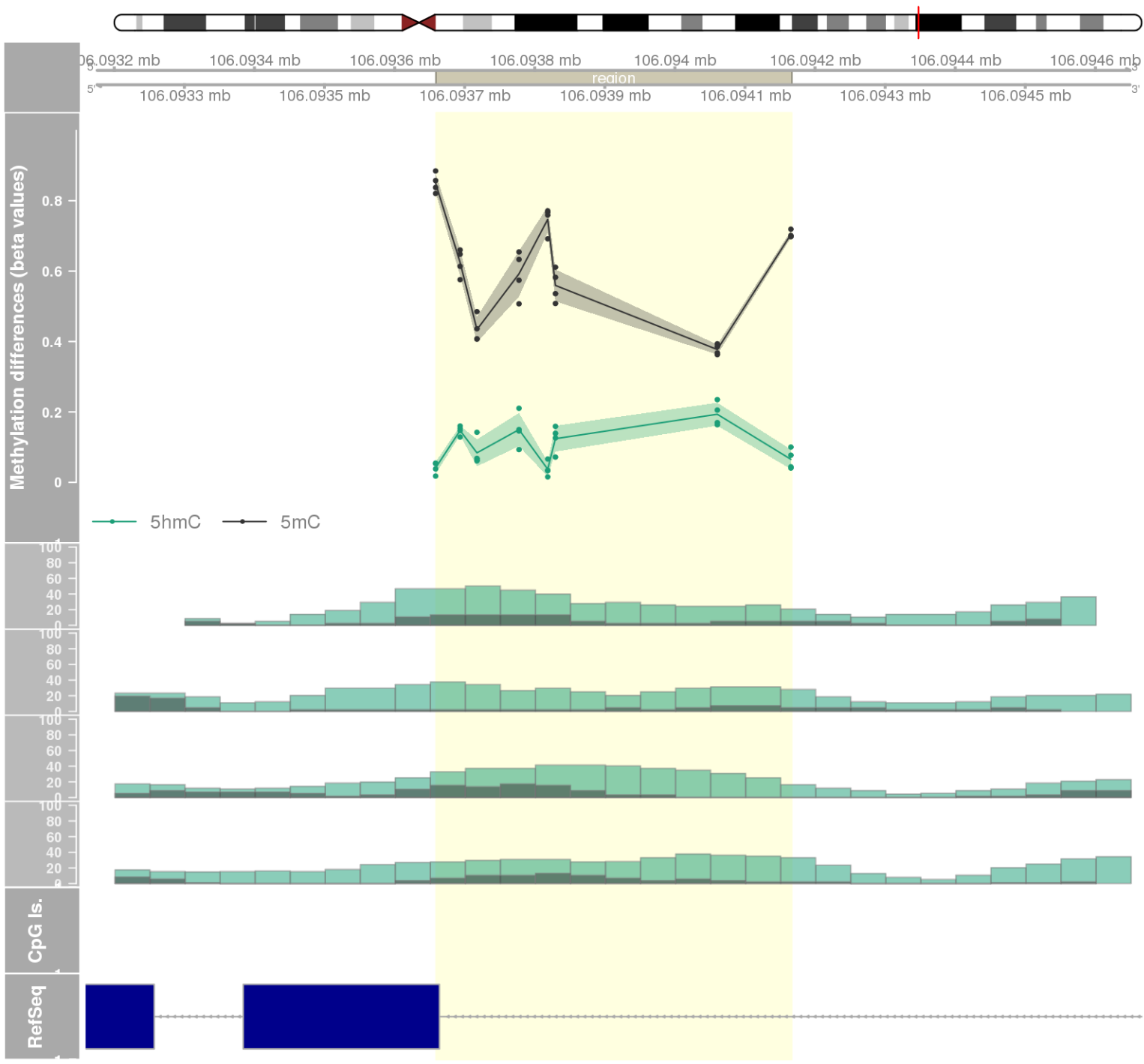
DMR 87 // chr22:39759864-39760267 // 403 pb. (7 probes) // pvalue: 0.002 // fwer: 0.615 // pvalueArea: 0.009 // fwerArea: 1
- genes: SYNGR1 -



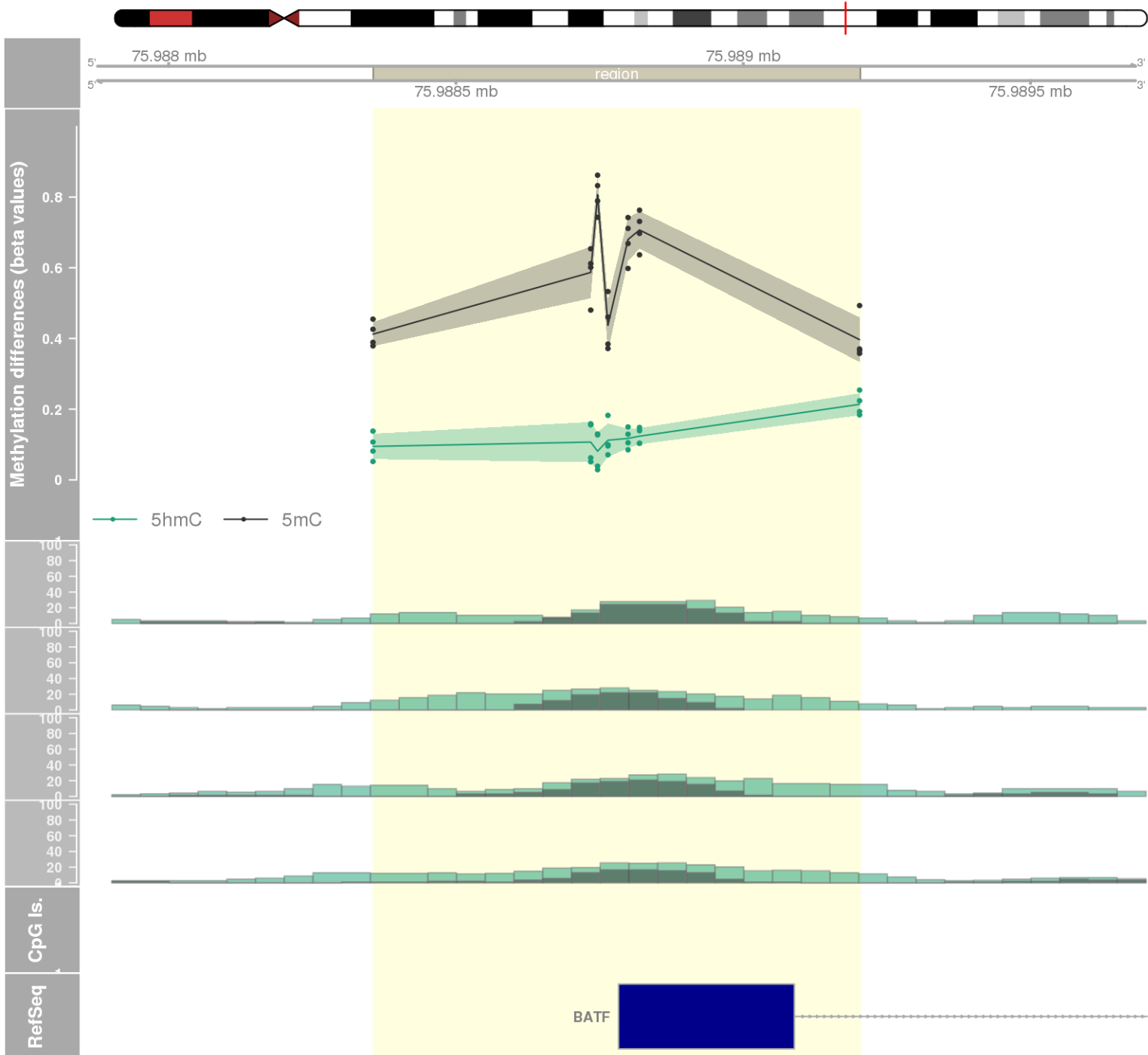
DMR 88 // chr7:130125932-130126871 // 939 pb. (10 probes) // pvalue: 0.003 // fwer: 0.585 // pvalueArea: 0.009 // fwerArea: 1
- genes: MEST -



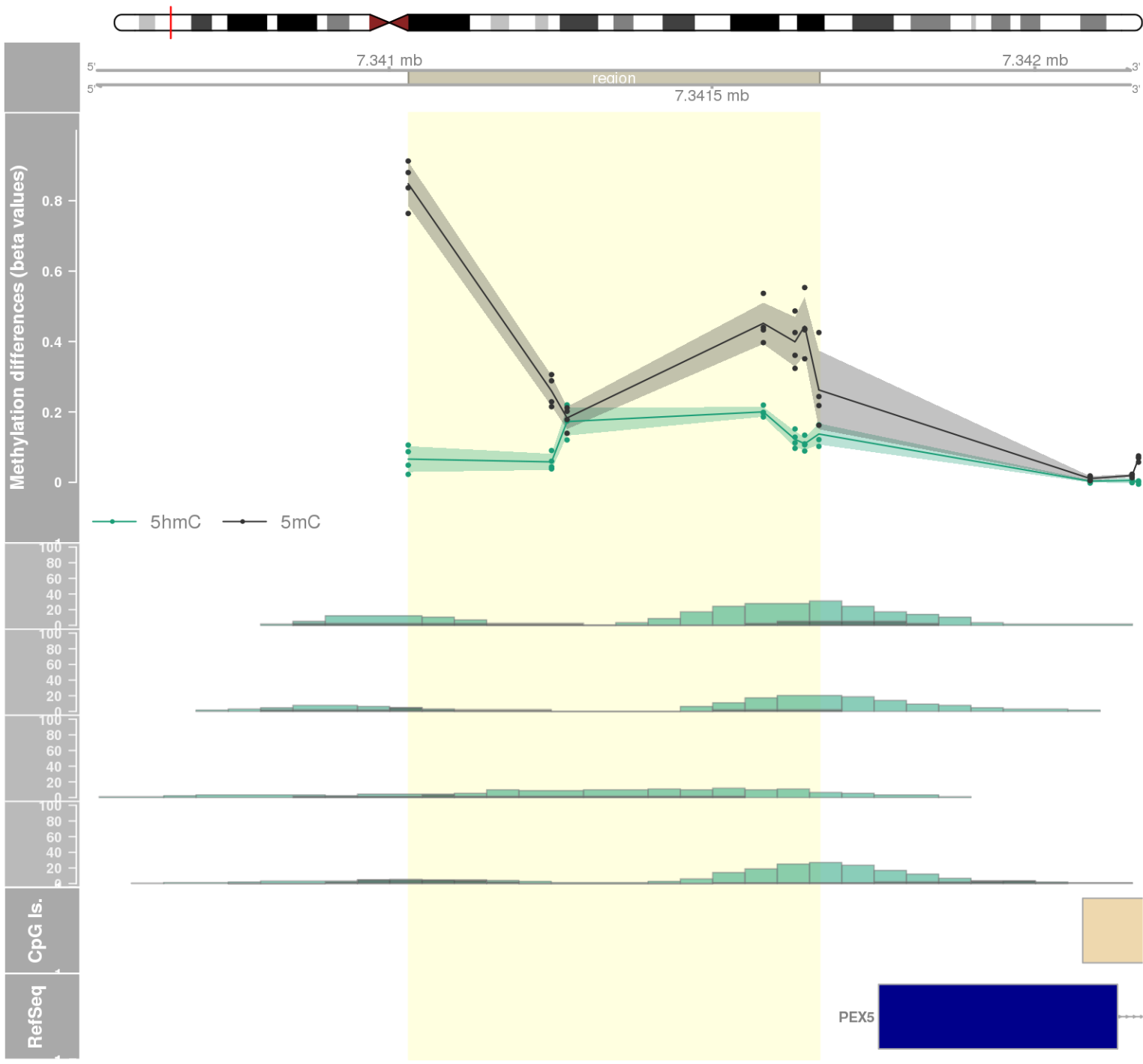
DMR 89 // chr10:106093659-106094166 // 507 pb. (8 probes) // pvalue: 0.003 // fwer: 0.412 // pvalueArea: 0.009 // fwerArea: 1
- genes: ITPRIP -



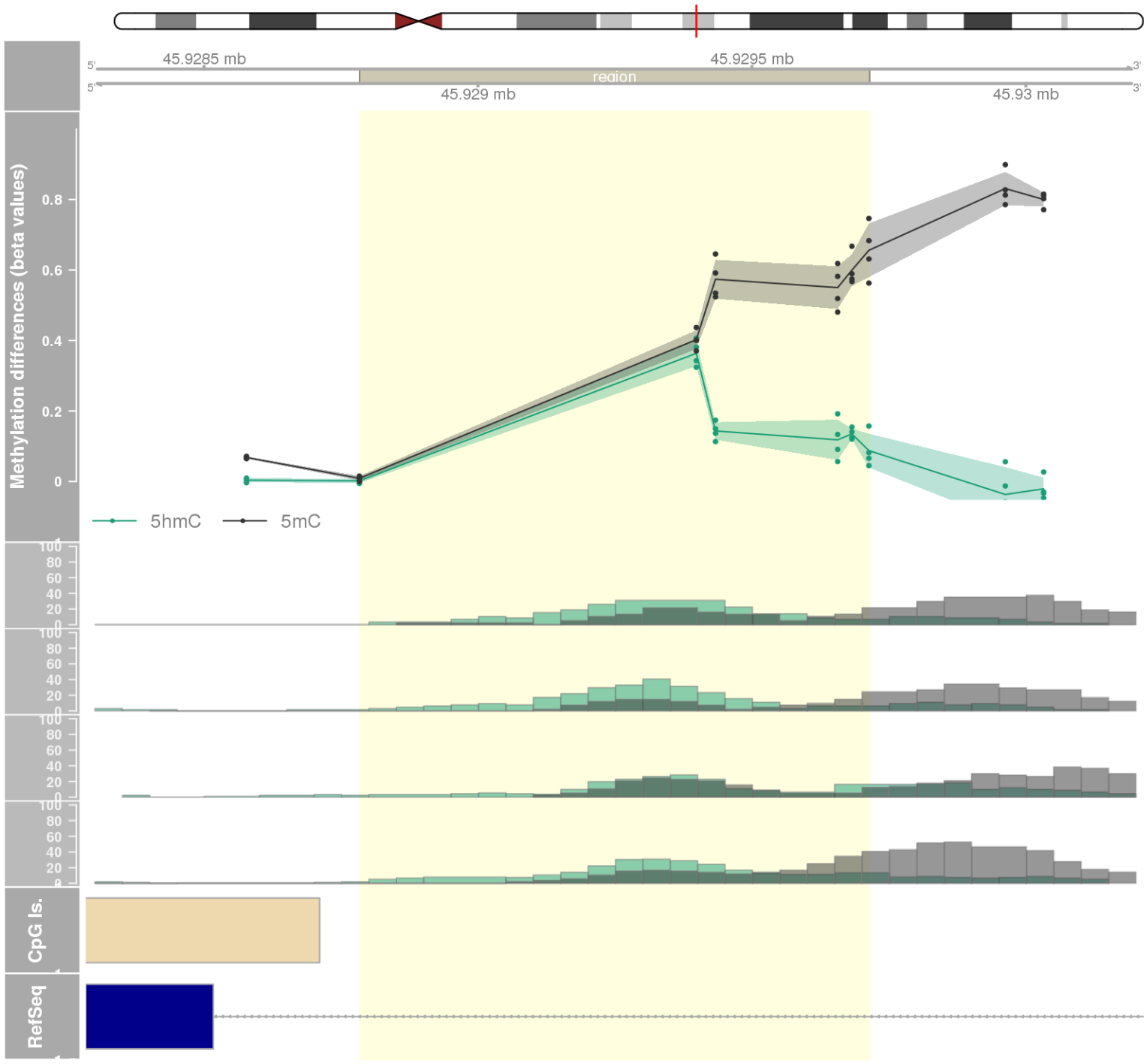
DMR 90 // chr14:75988356-75989203 // 847 pb. (7 probes) // pvalue: 0.002 // fwer: 0.615 // pvalueArea: 0.009 // fwerArea: 1
- genes: BATF -



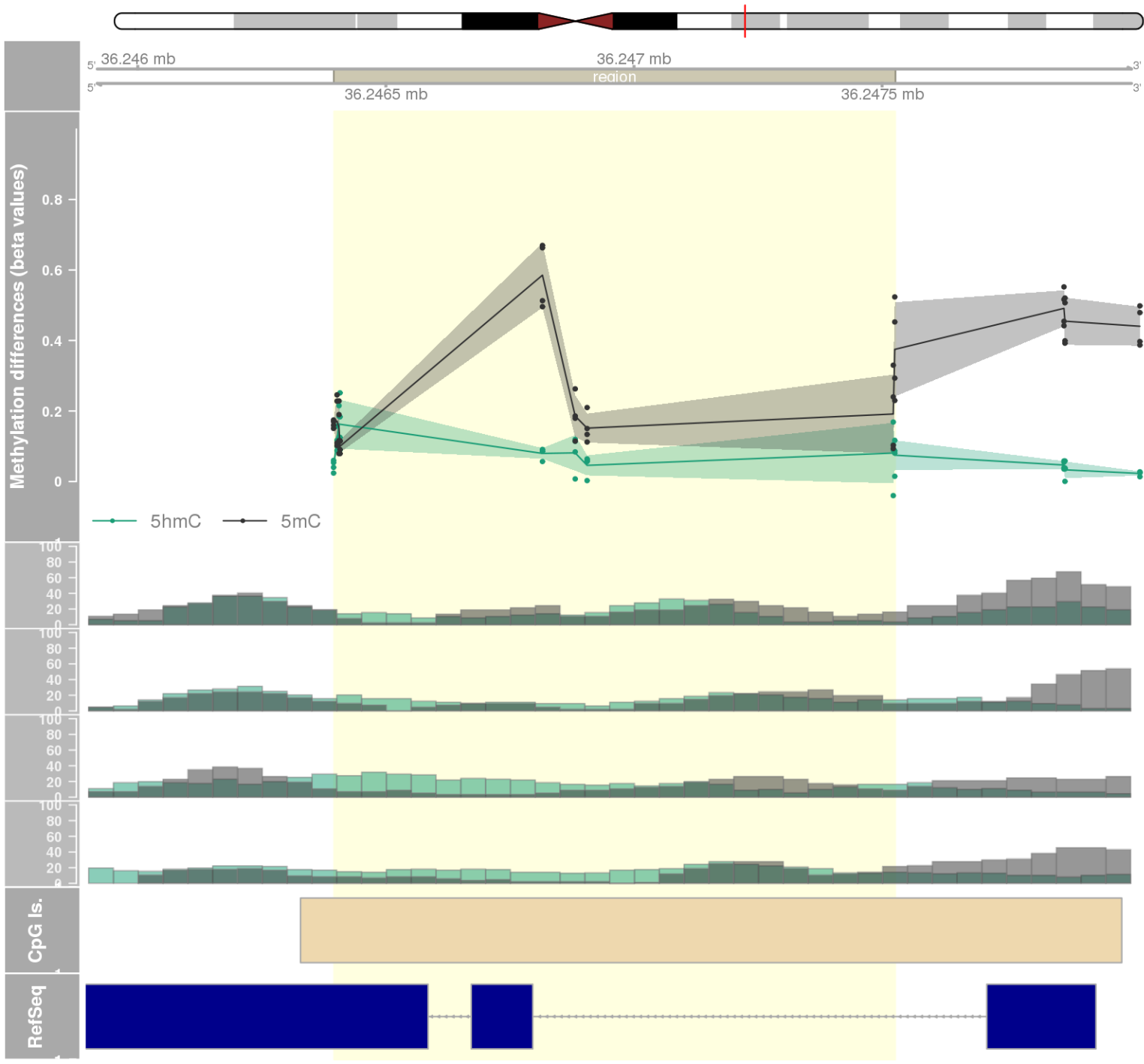
DMR 91 // chr12:7341030-7341666 // 636 pb. (7 probes) // pvalue: 0.002 // fwer: 0.615 // pvalueArea: 0.009 // fwerArea: 1
- genes: PEX5 -



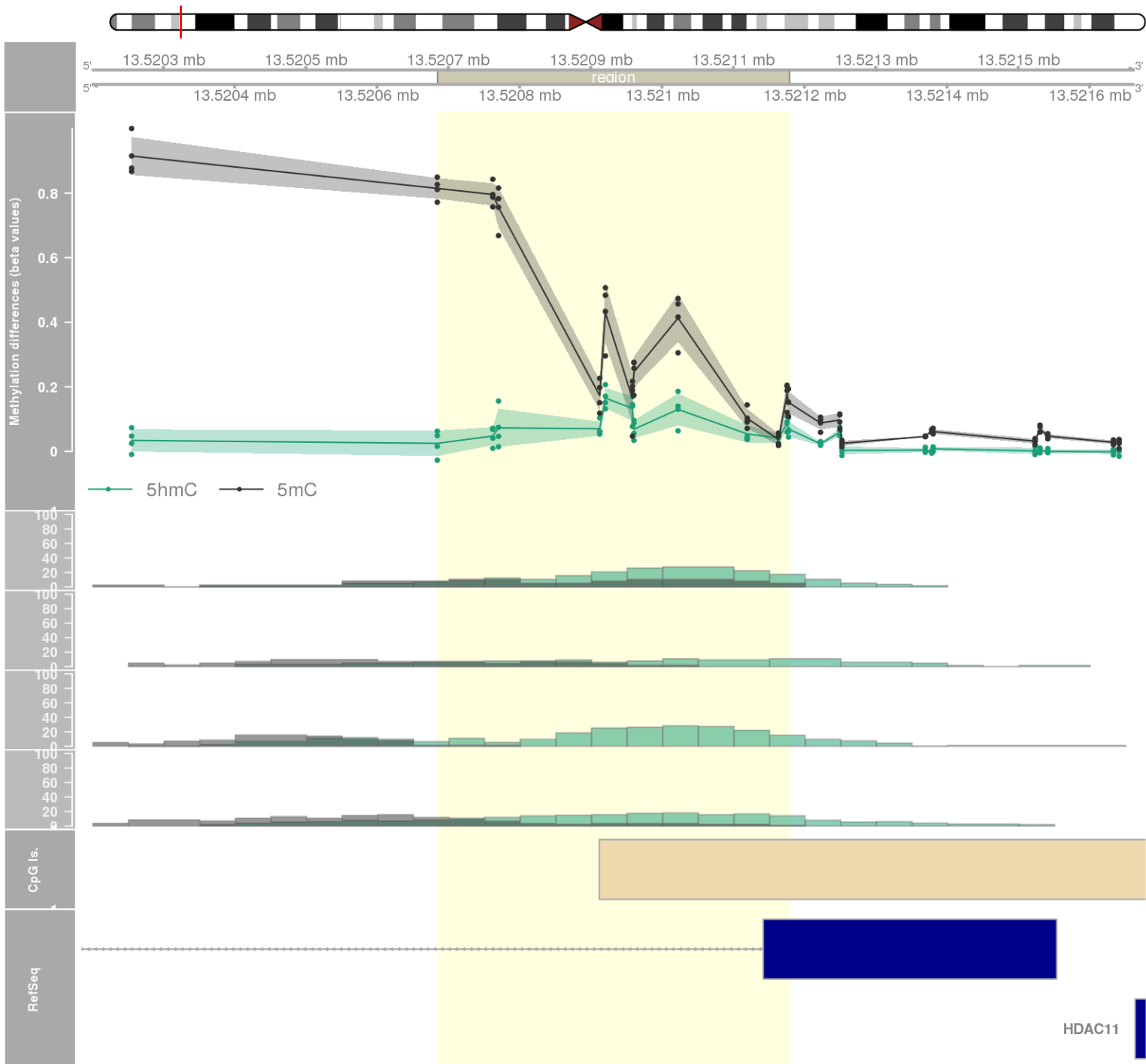
DMR 92 // chr17:45928784-45929714 // 930 pb. (6 probes) // pvalue: 0.001 // fwer: 0.615 // pvalueArea: 0.009 // fwerArea: 1
- genes: SP6 -

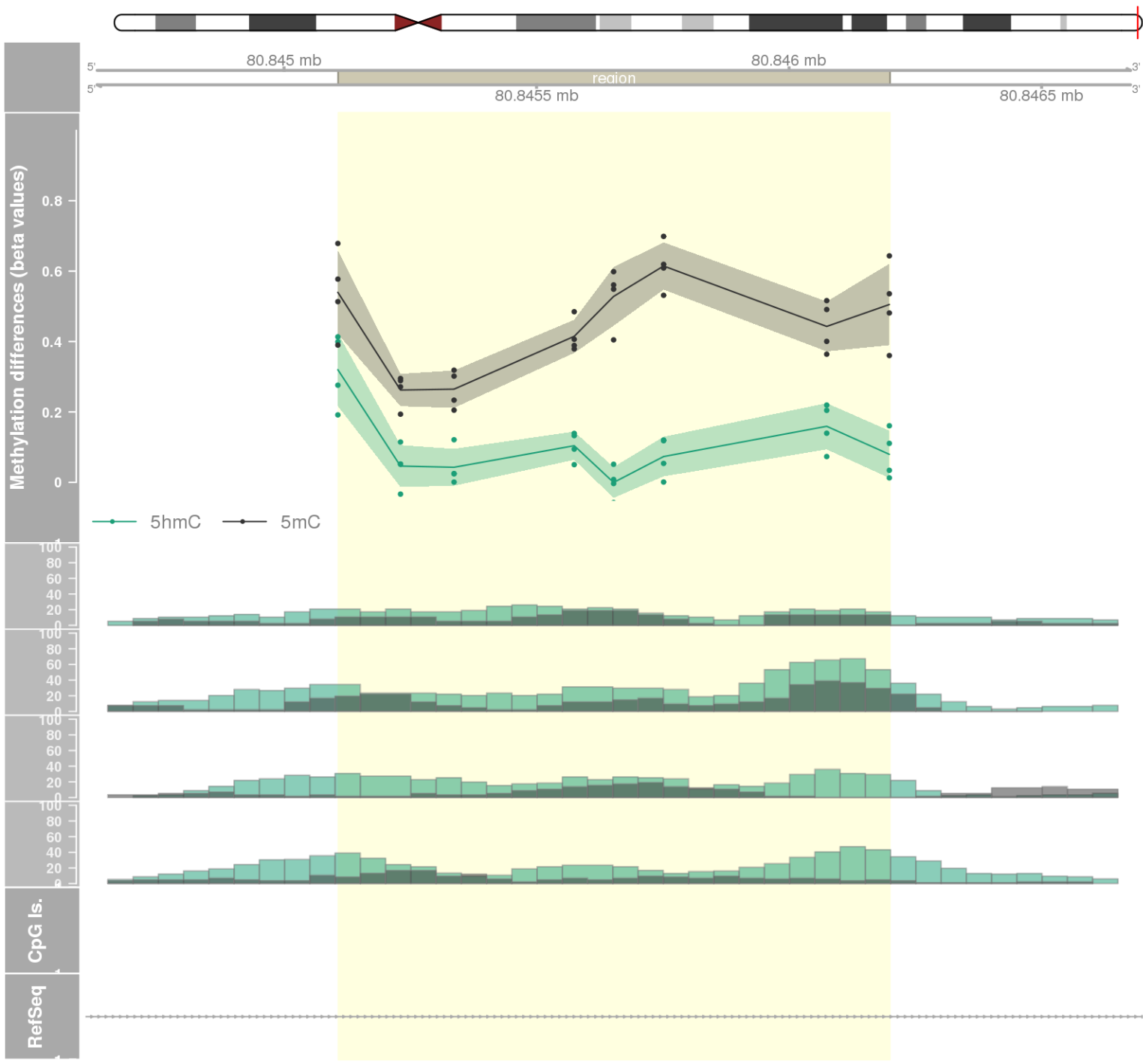


DMR 93 // chr19:36246395-36247526 // 1131 pb. (9 probes) // pvalue: 0.003 // fwer: 0.585 // pvalueArea: 0.009 // fwerArea: 1
- genes: HSPB6 -

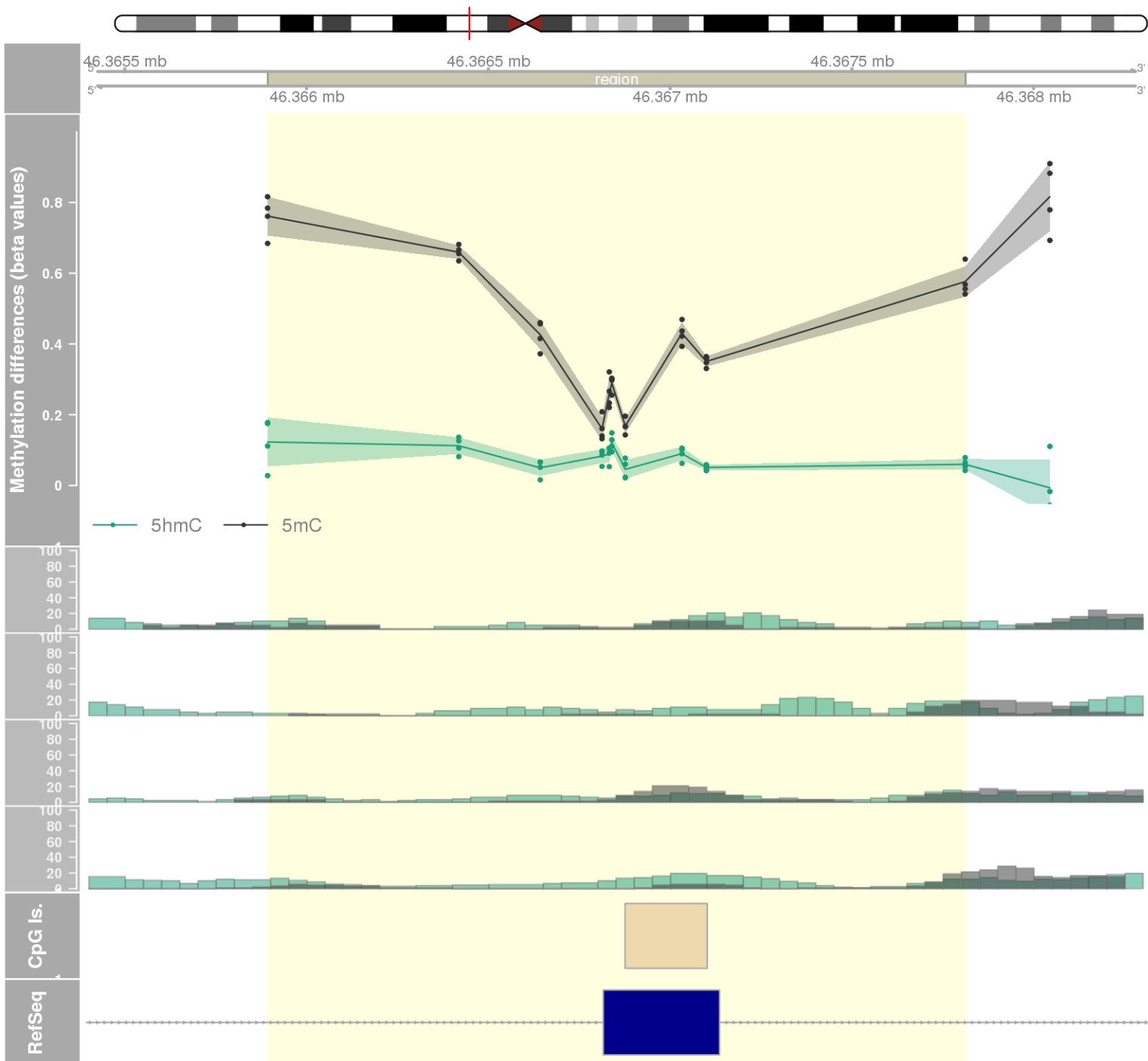


DMR 94 // chr3:13520685-13521178 // 493 pb. (12 probes) // pvalue: 0.003 // fwer: 1 // pvalueArea: 0.009 // fwerArea: 1
- genes: HDAC11-AS1 -

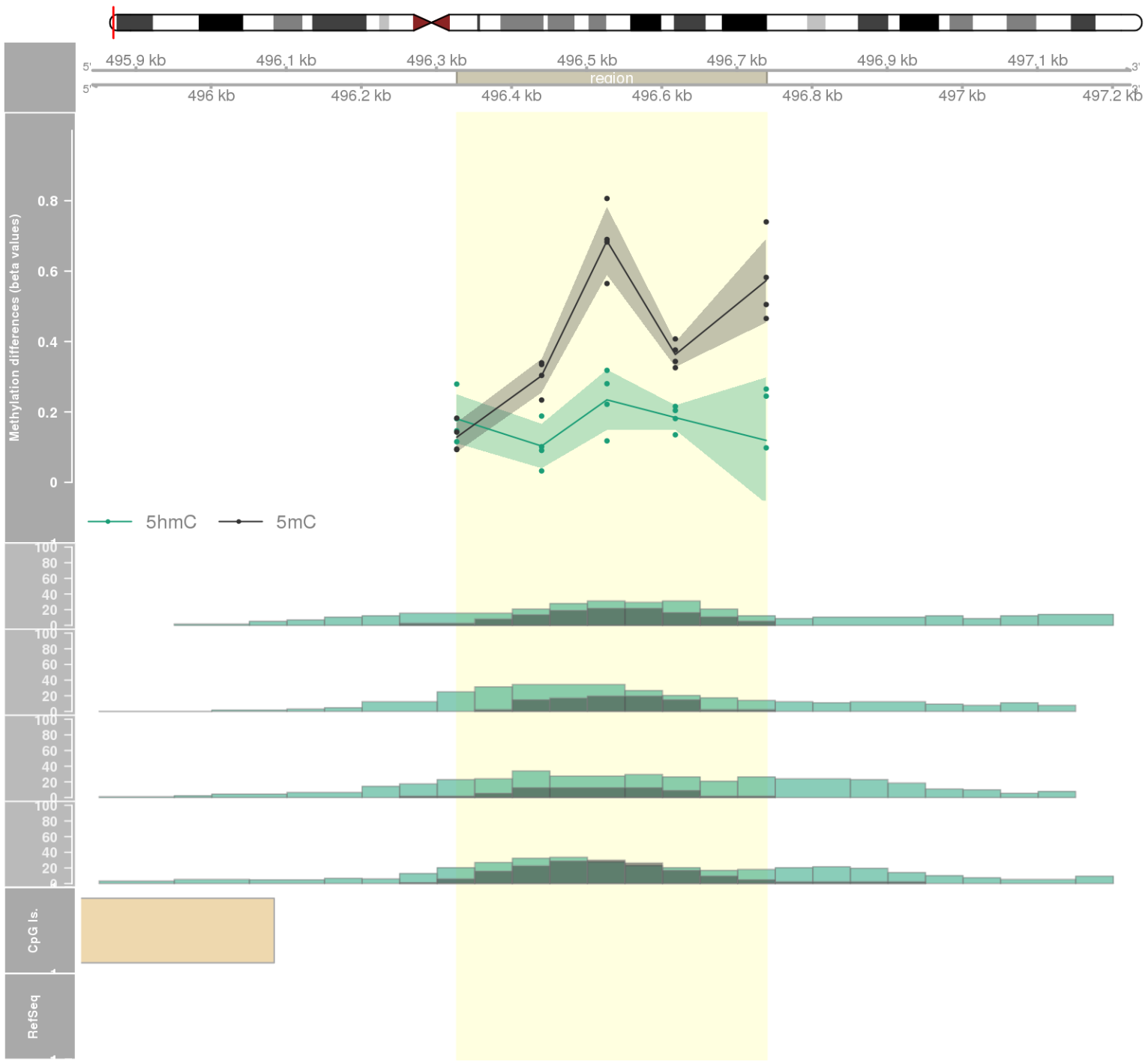


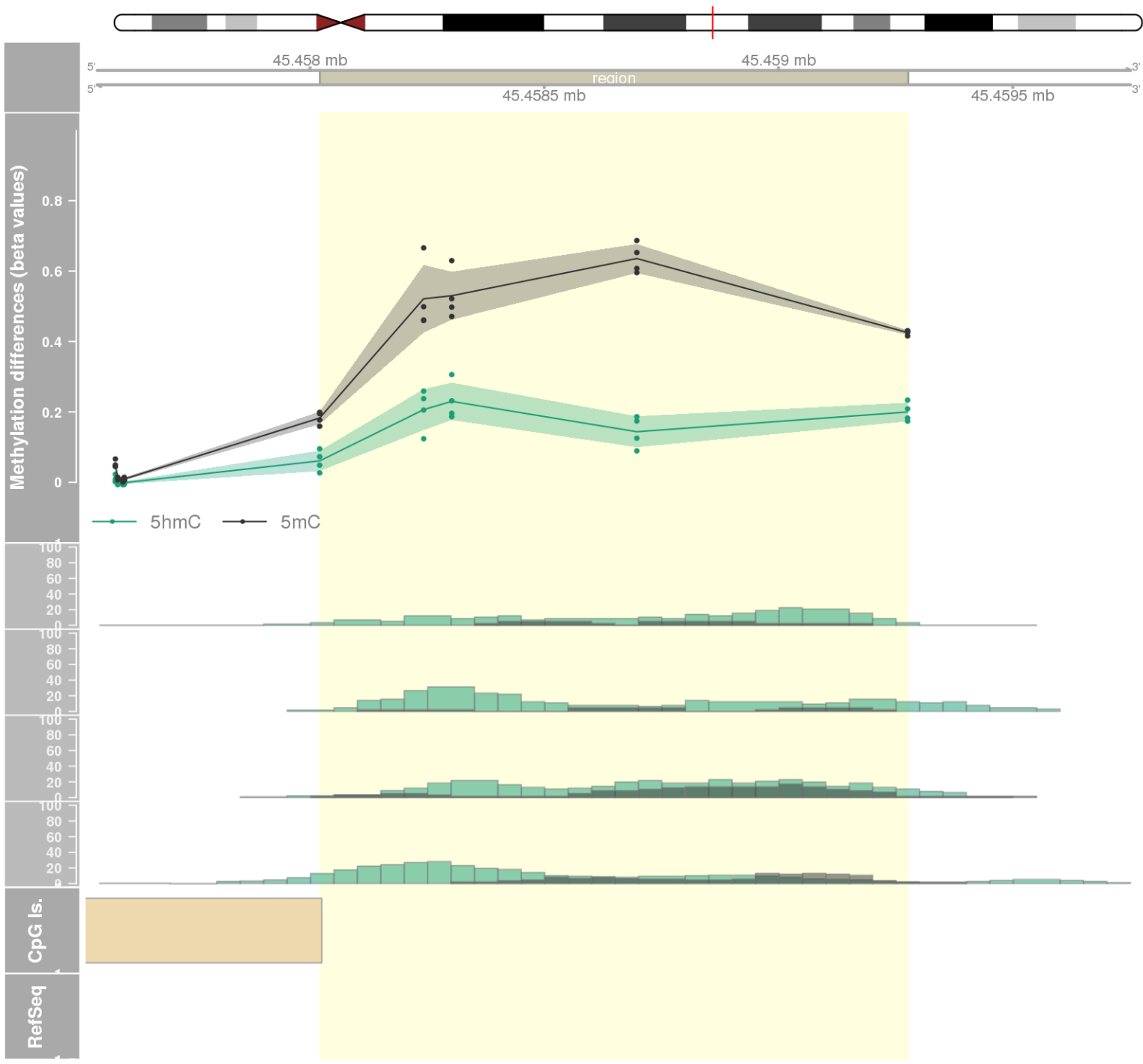


DMR 96 // chr11:46365893-46367812 // 1919 pb. (10 probes) // pvalue: 0.003 // fwer: 0.788 // pvalueArea: 0.01 // fwerArea: 1
- genes: DGKZ -

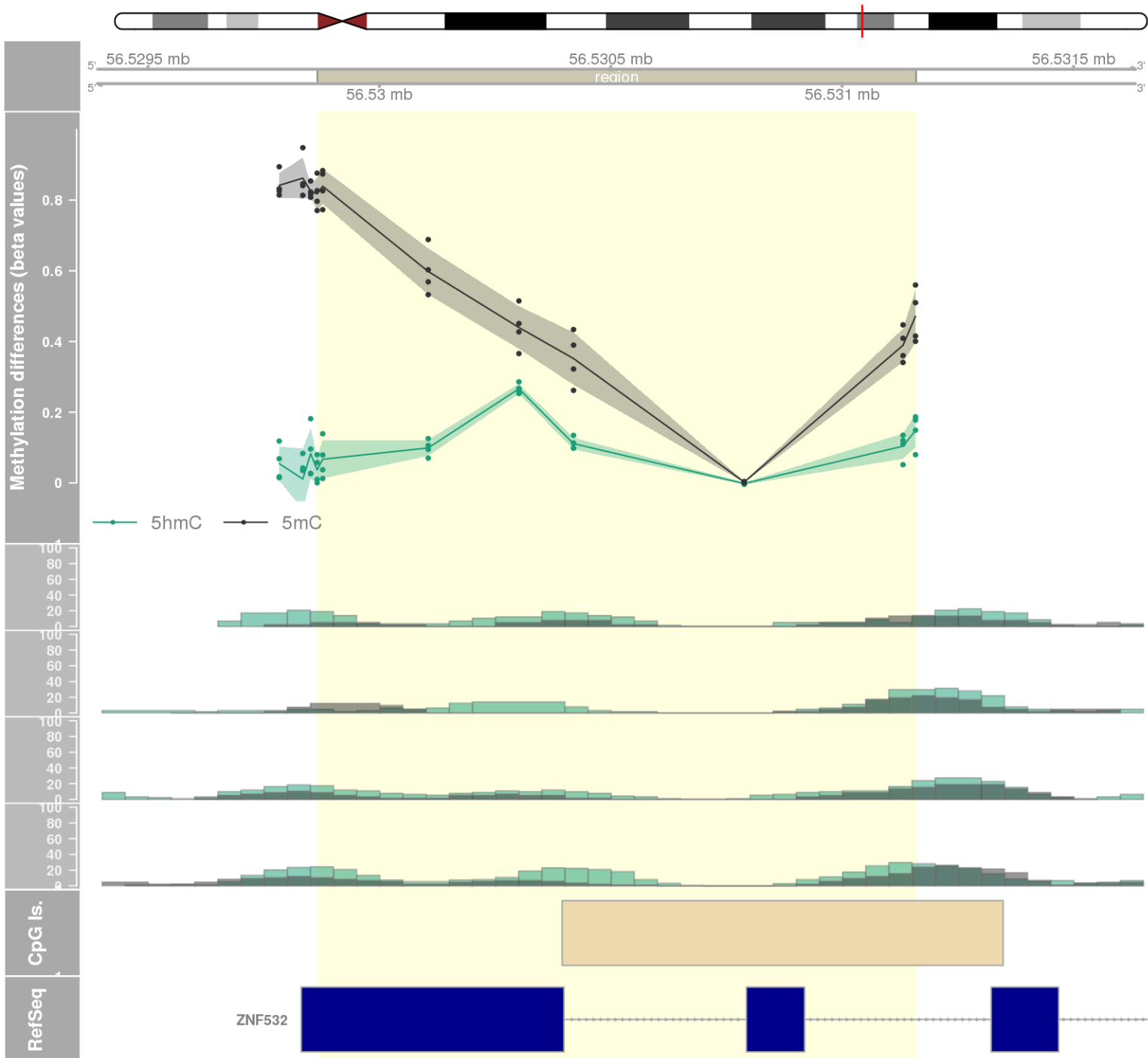


DMR 97 // chr8:496327-496739 // 412 pb. (5 probes) // pvalue: 0.001 // fwer: 0.422 // pvalueArea: 0.01 // fwerArea: 1

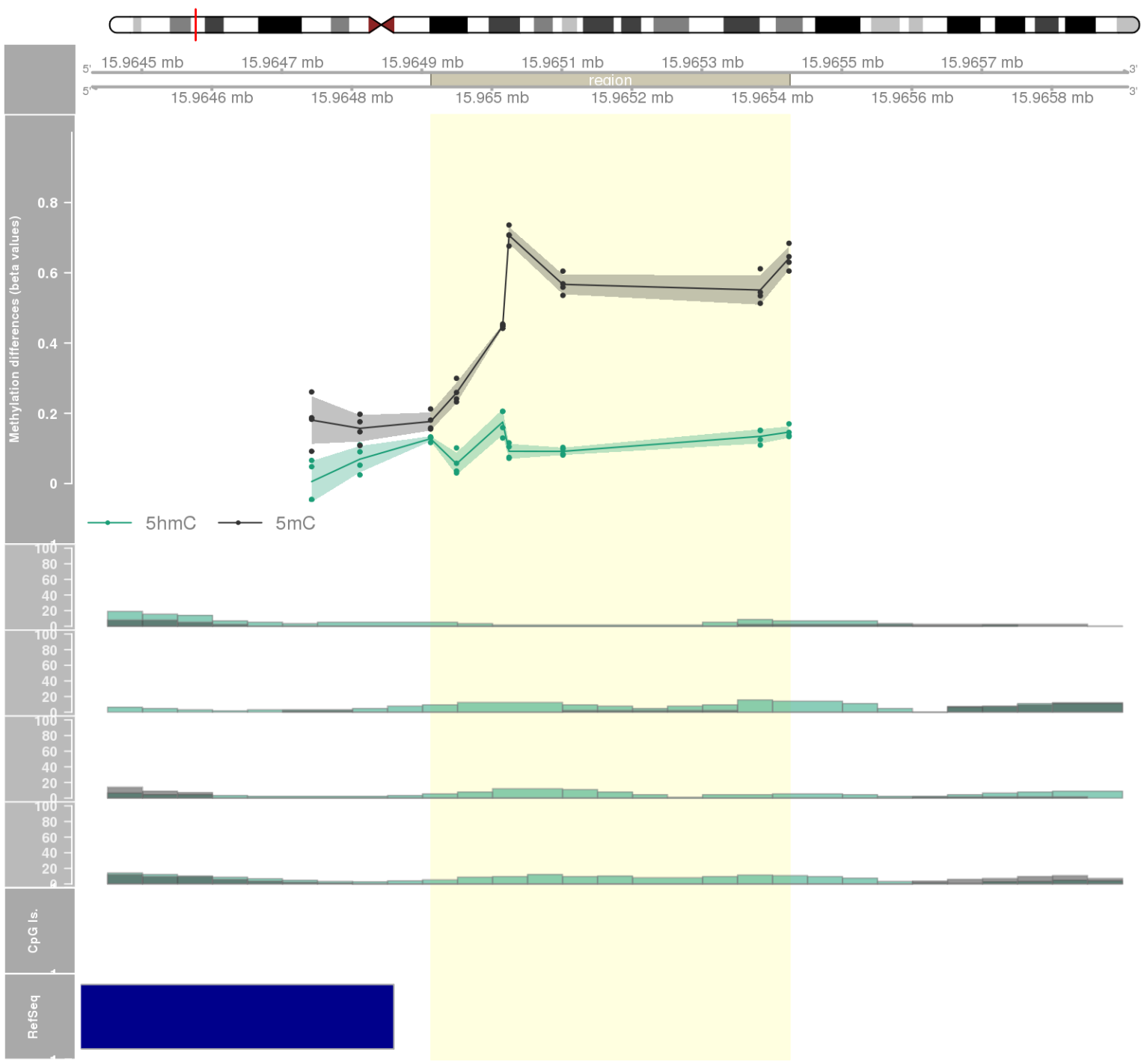




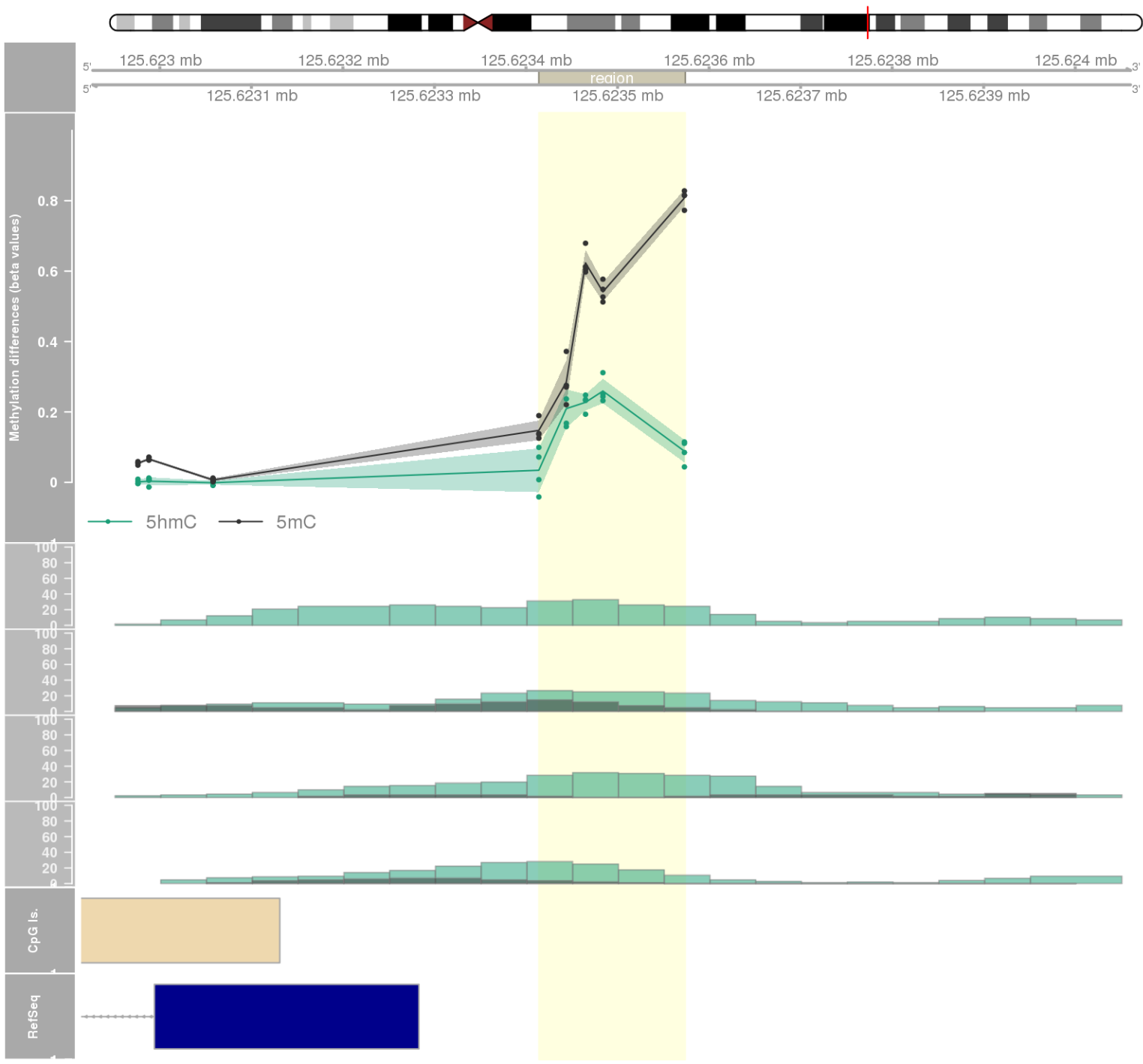
DMR 99 // chr18:56529866-56531159 // 1293 pb. (8 probes) // pvalue: 0.003 // fwer: 0.615 // pvalueArea: 0.01 // fwerArea: 1
- genes: ZNF532 -



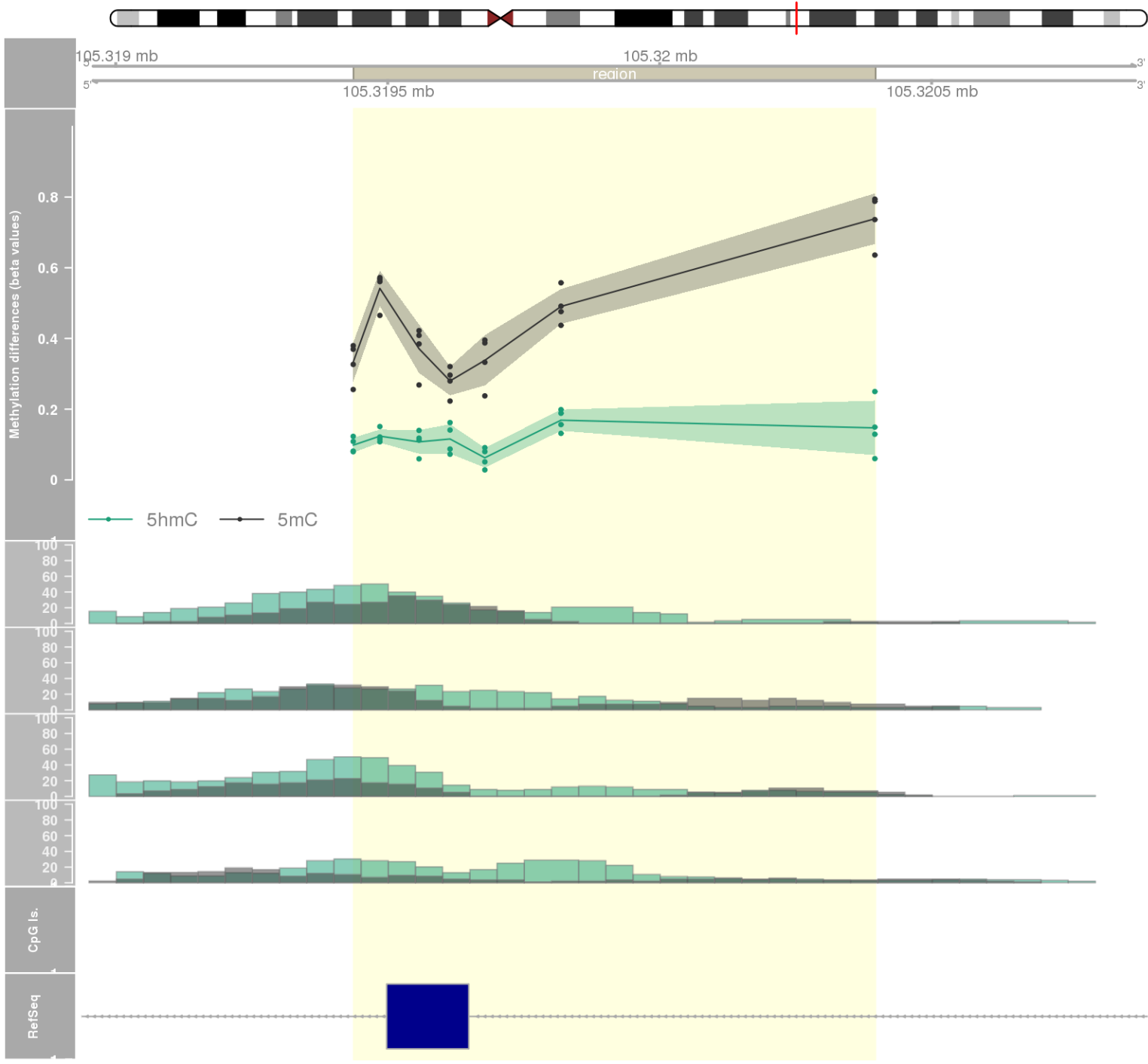
DMR 100 // chr4:15964913-15965425 // 512 pb. (7 probes) // pvalue: 0.003 // fwer: 0.615 // pvalueArea: 0.01 // fwerArea: 1
- genes: FGFBP2 / PROM1 -

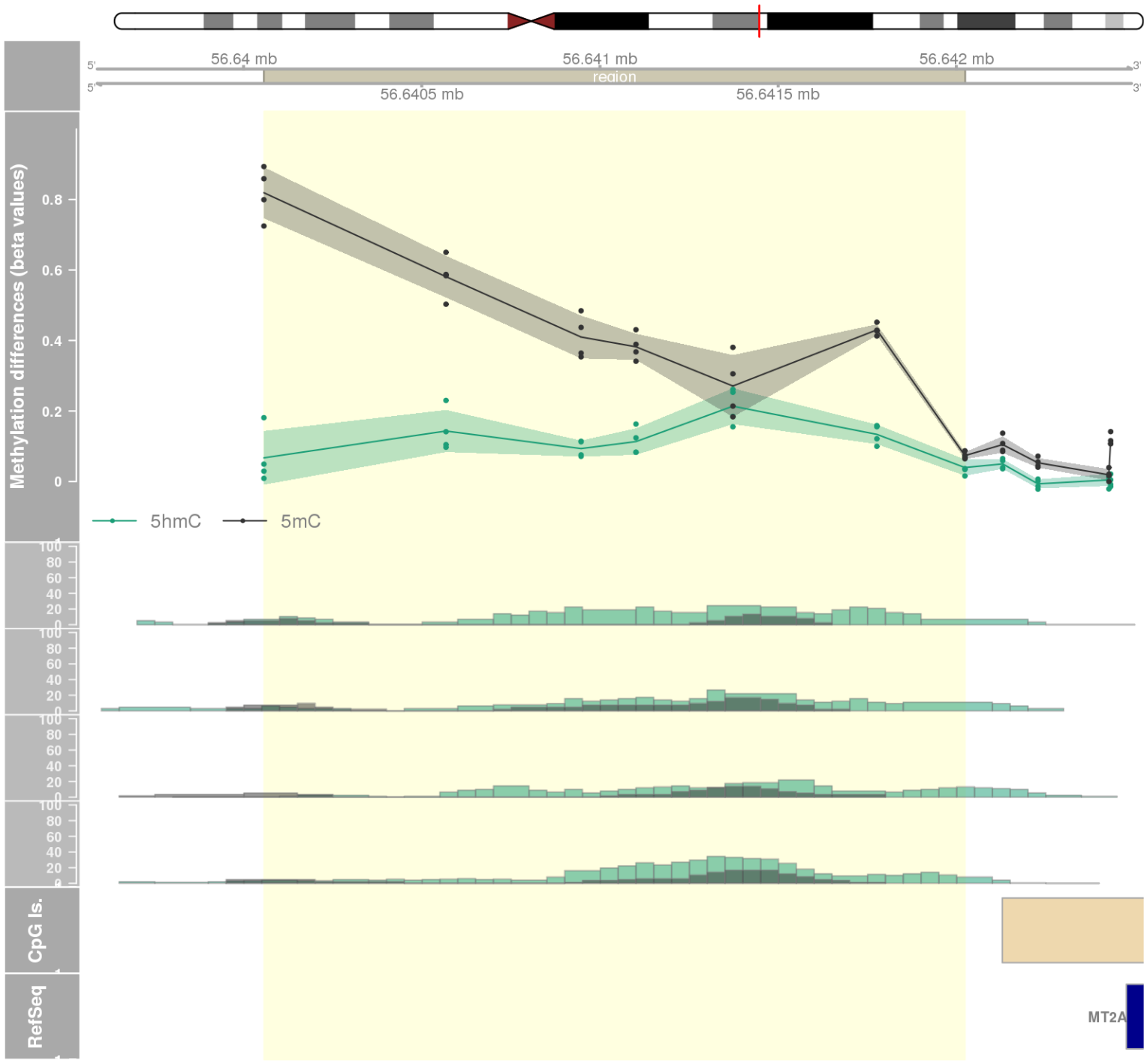


DMR 101 // chr6:125623414-125623573 // 159 pb. (5 probes) // pvalue: 0.001 // fwer: 0.422 // pvalueArea: 0.01 // fwerArea: 1

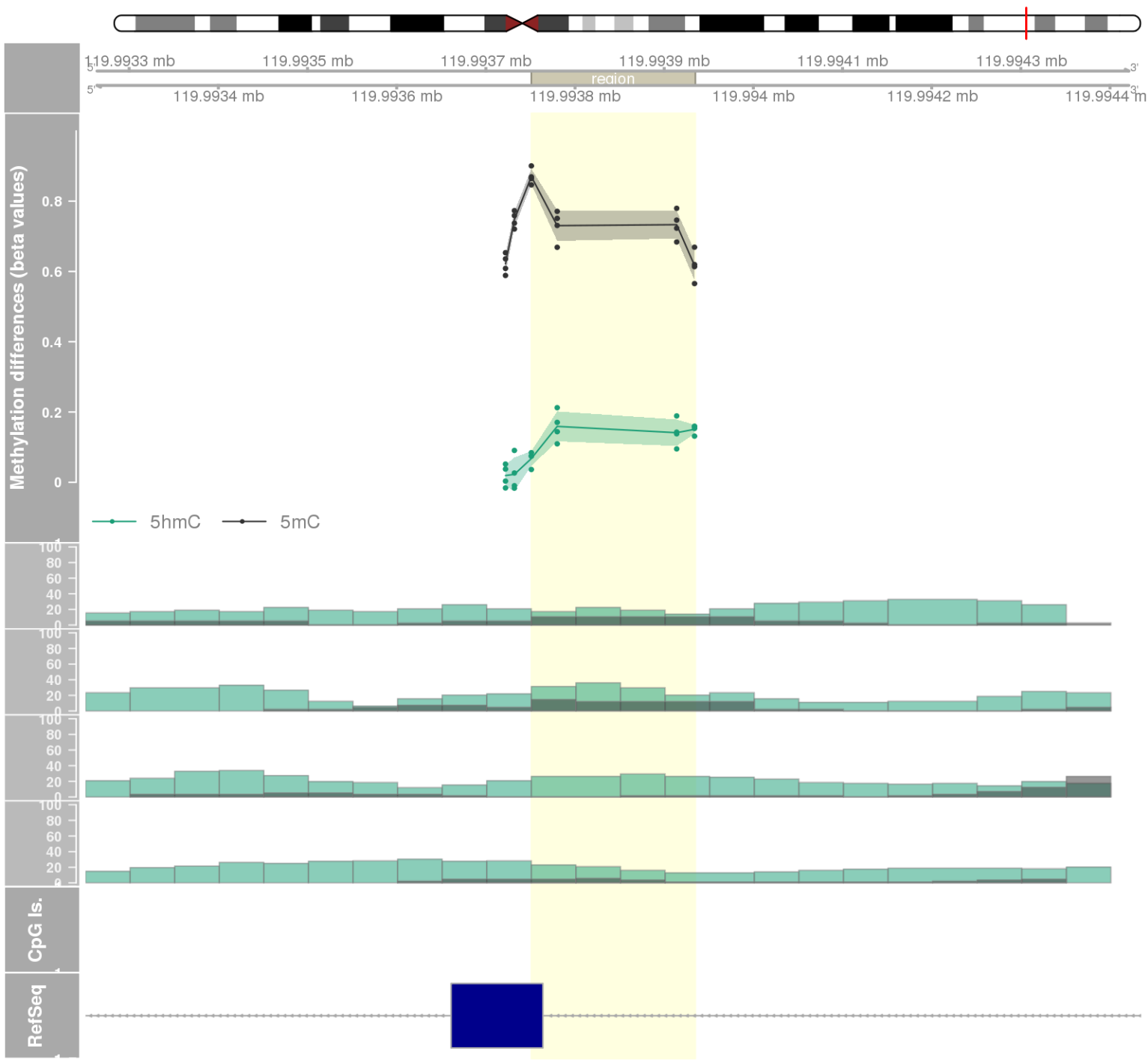


DMR 102 // chr7:105319437-105320396 // 959 pb. (7 probes) // pvalue: 0.003 // fwer: 0.615 // pvalueArea: 0.01 // fwerArea: 1
- genes: ATXN7L1 -

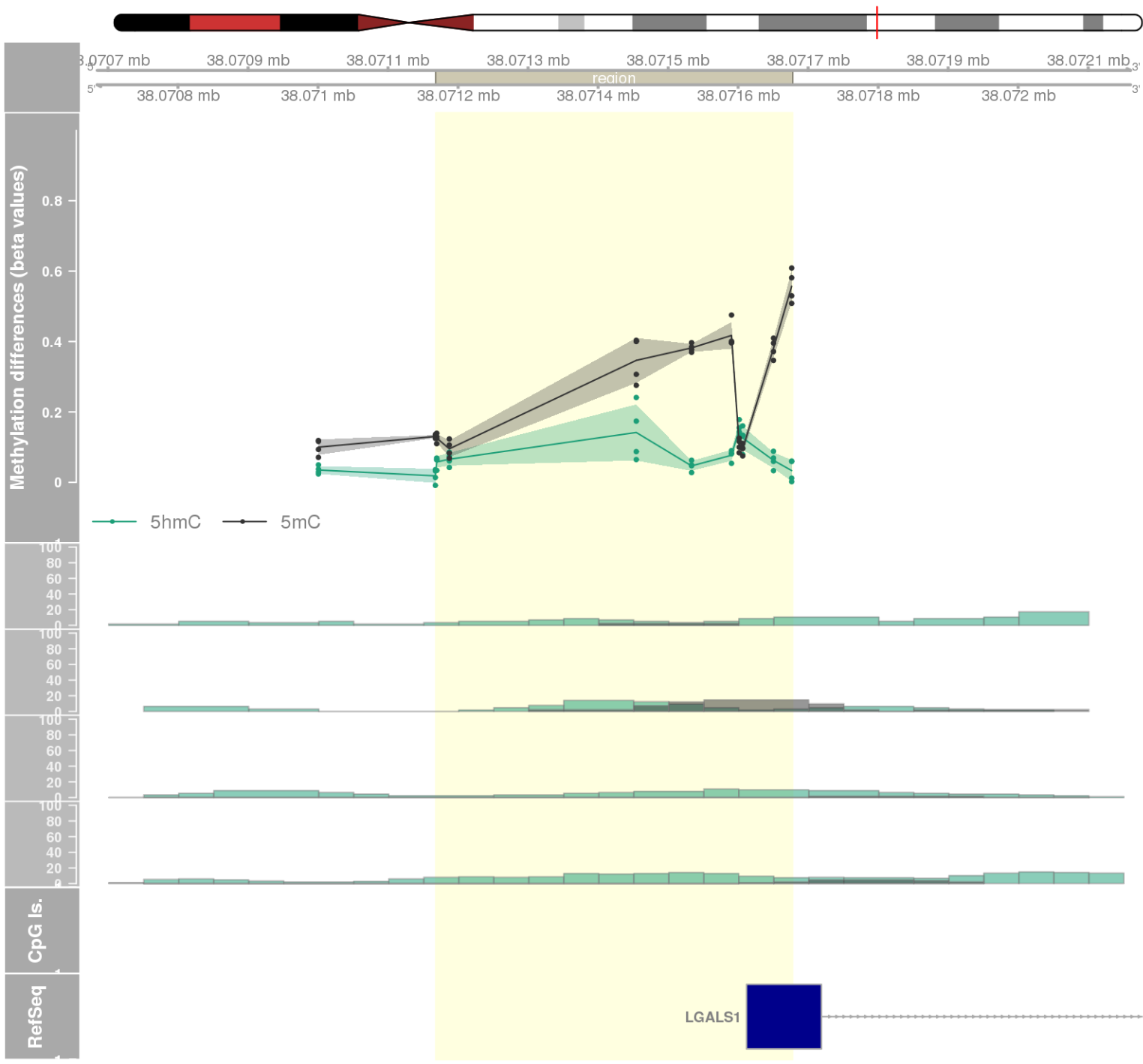




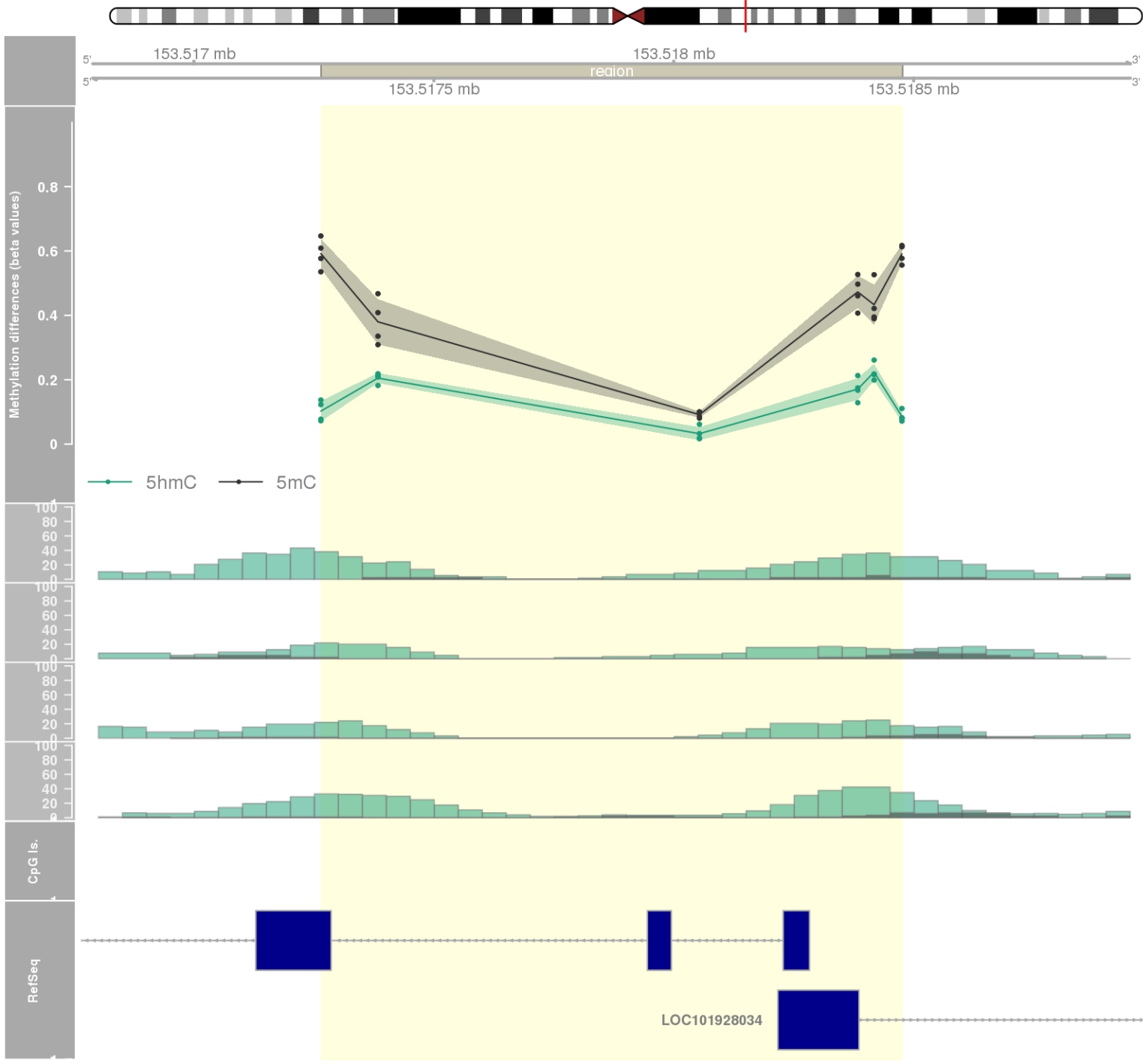
DMR 104 // chr11:119993751-119993934 // 183 pb. (4 probes) // pvalue: 0 // fwer: 0.595 // pvalueArea: 0.01 // fwerArea: 1
- genes: TRIM29 -



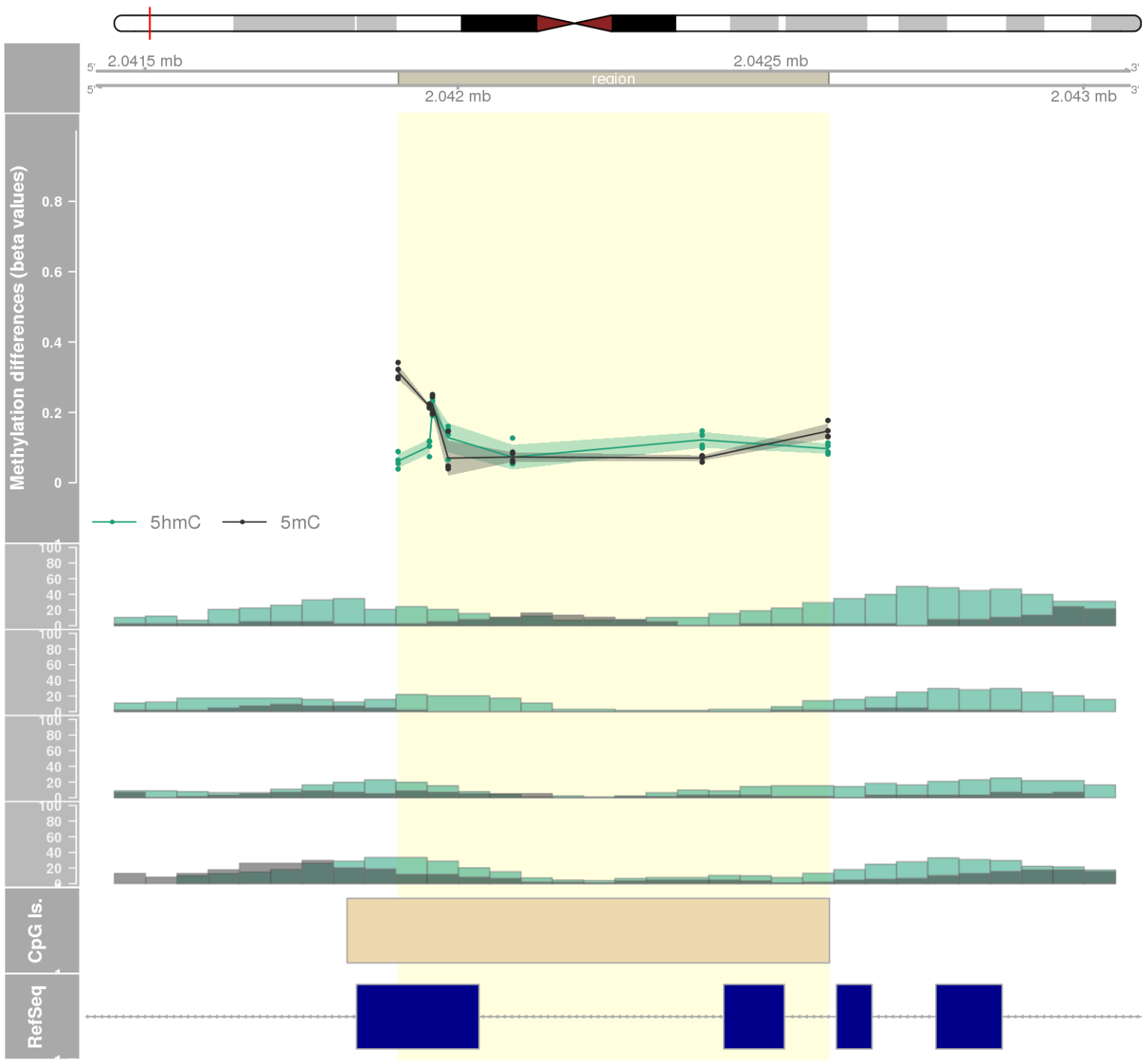
DMR 105 // chr22:38071168-38071677 // 509 pb. (10 probes) // pvalue: 0.004 // fwer: 0.788 // pvalueArea: 0.01 // fwerArea: 1
- genes: LGALS1 -



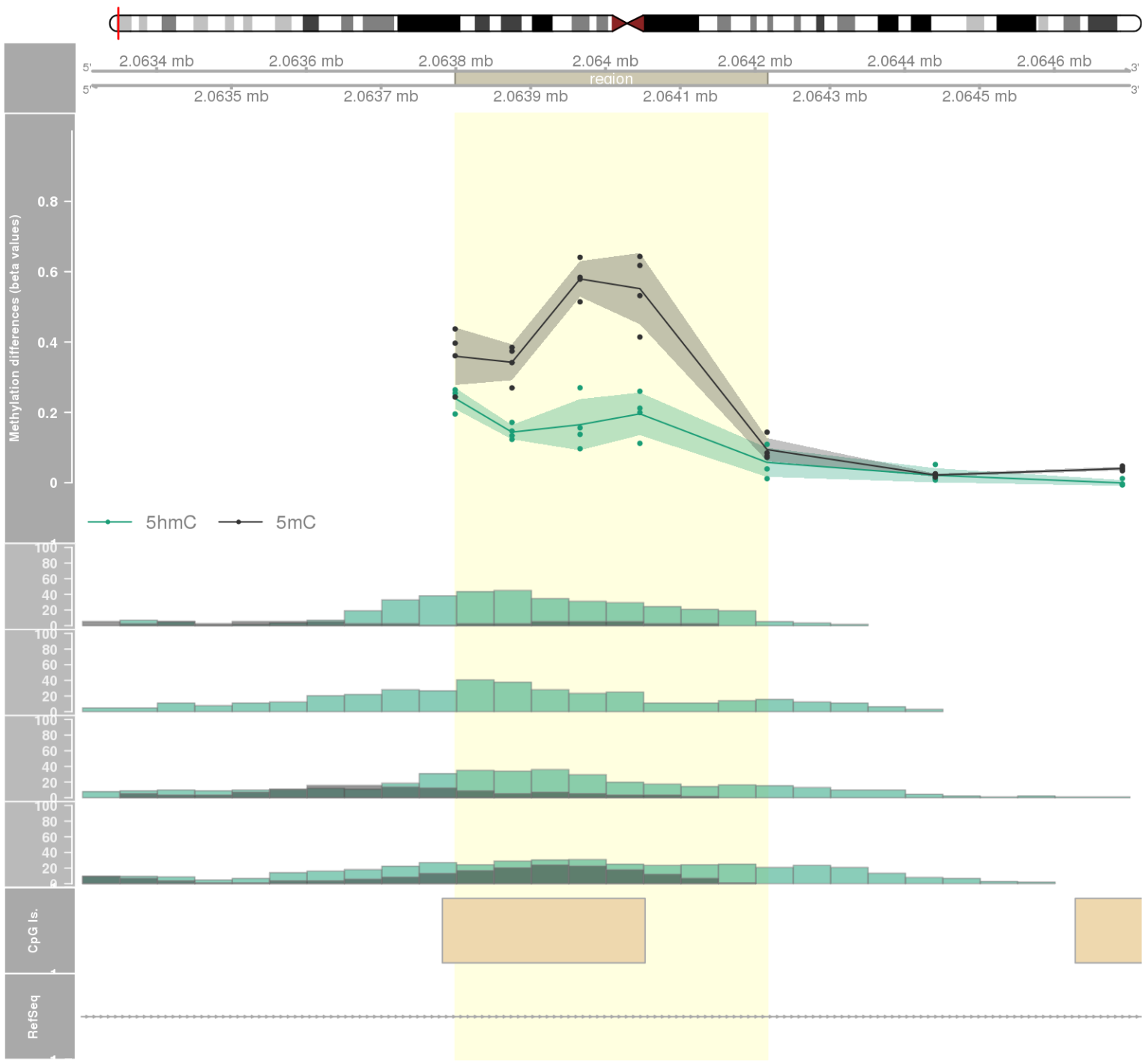
DMR 106 // chr1:153517265-153518476 // 1211 pb. (6 probes) // pvalue: 0.002 // fwer: 0.615 // pvalueArea: 0.01 // fwerArea: 1
- genes: S100A4 -

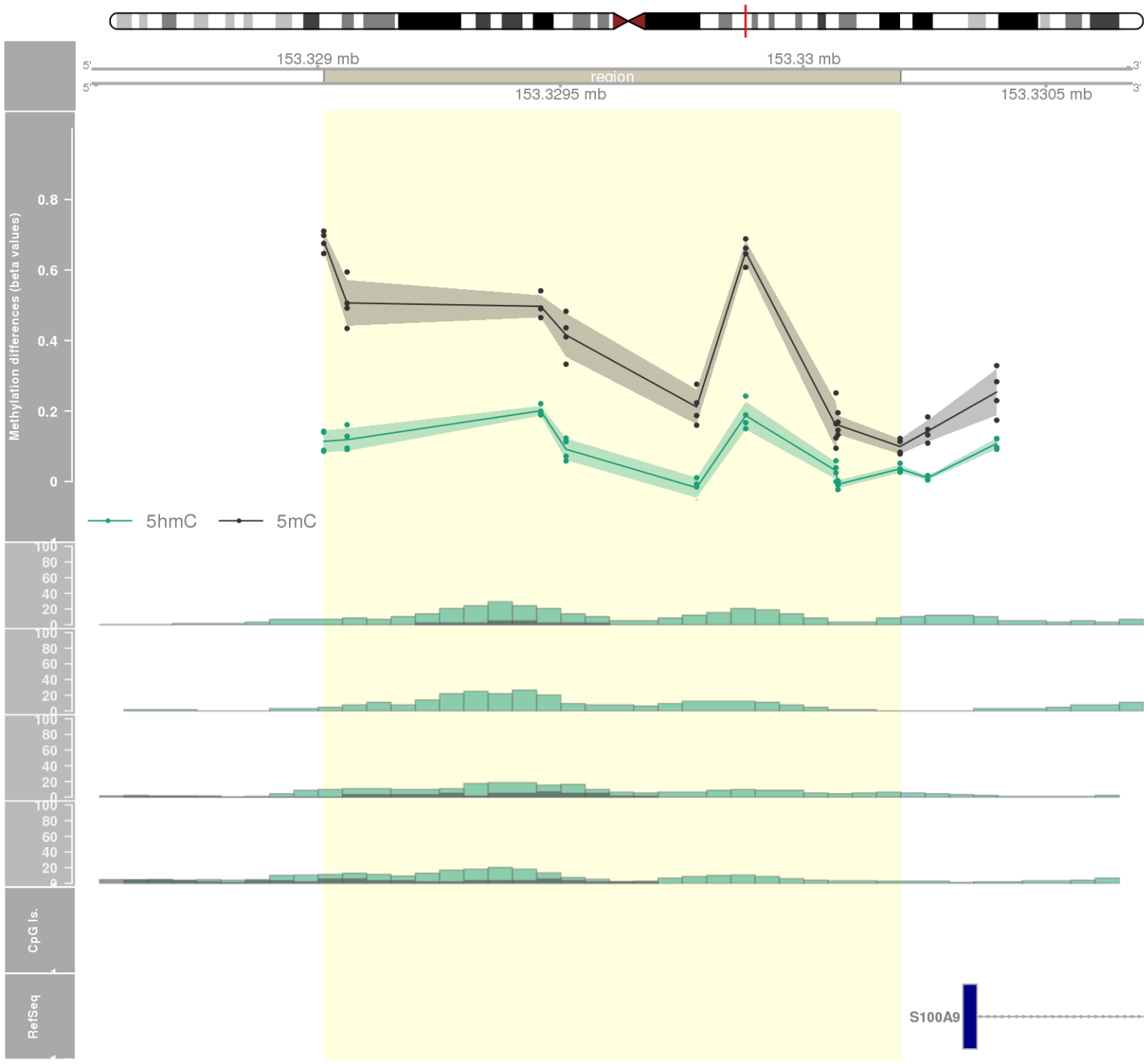


DMR 107 // chr19:2041905-2042592 // 687 pb. (7 probes) // pvalue: 0.003 // fwer: 0.615 // pvalueArea: 0.011 // fwerArea: 1
- genes: MKNK2 -

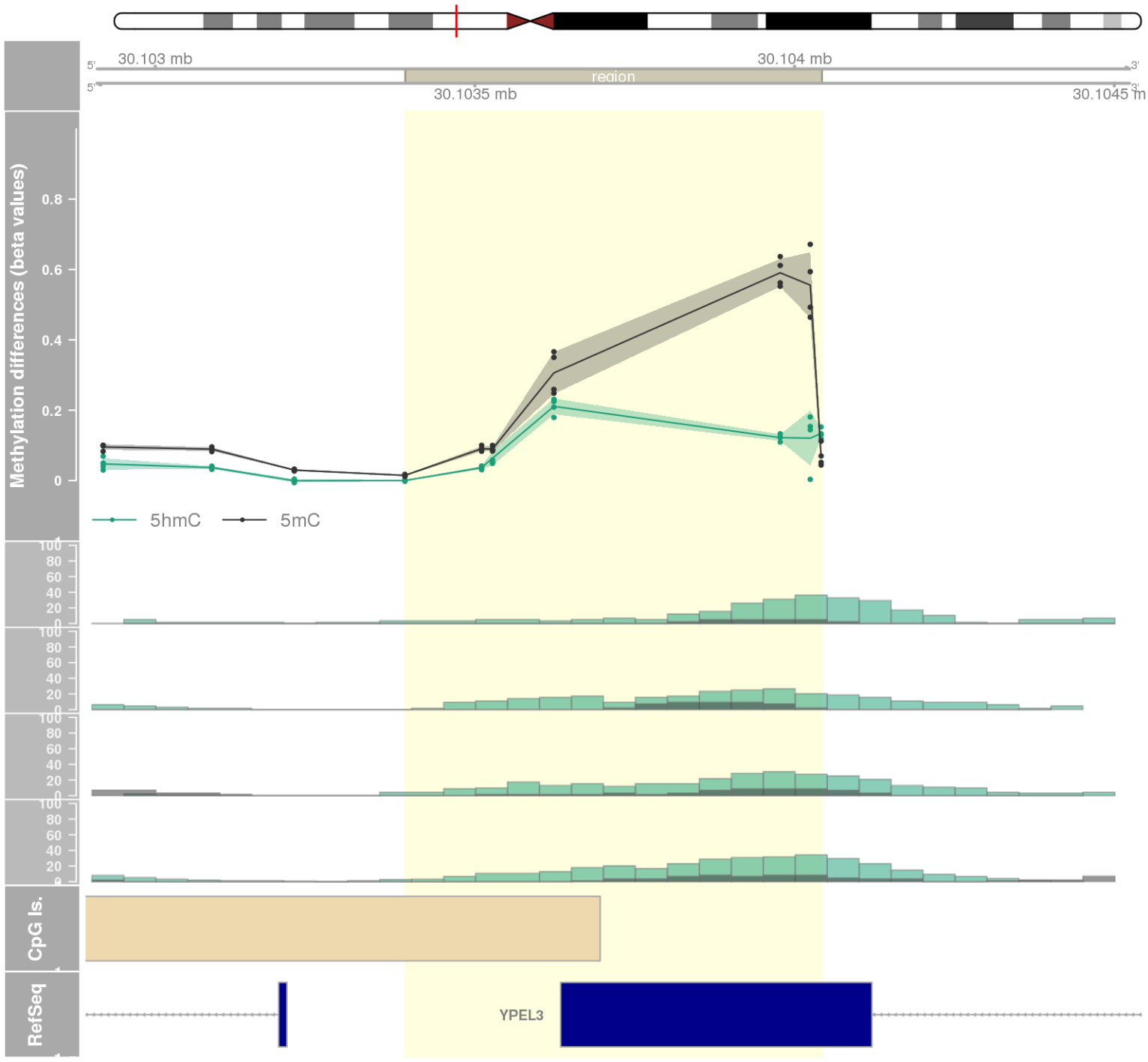


DMR 108 // chr1:2063799-2064216 // 417 pb. (5 probes) // pvalue: 0.001 // fwer: 0.422 // pvalueArea: 0.011 // fwerArea: 1
- genes: PRKCZ -

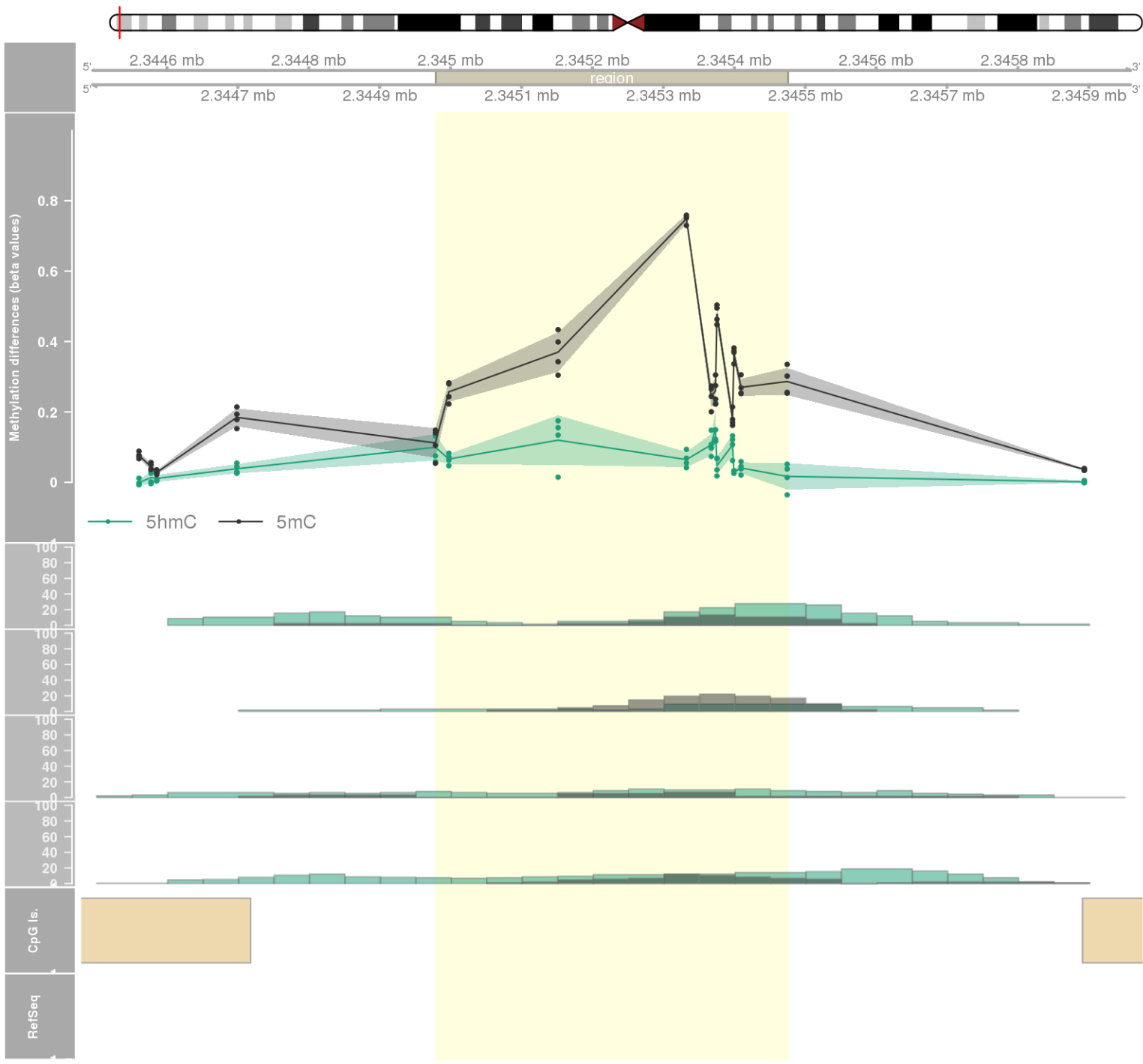


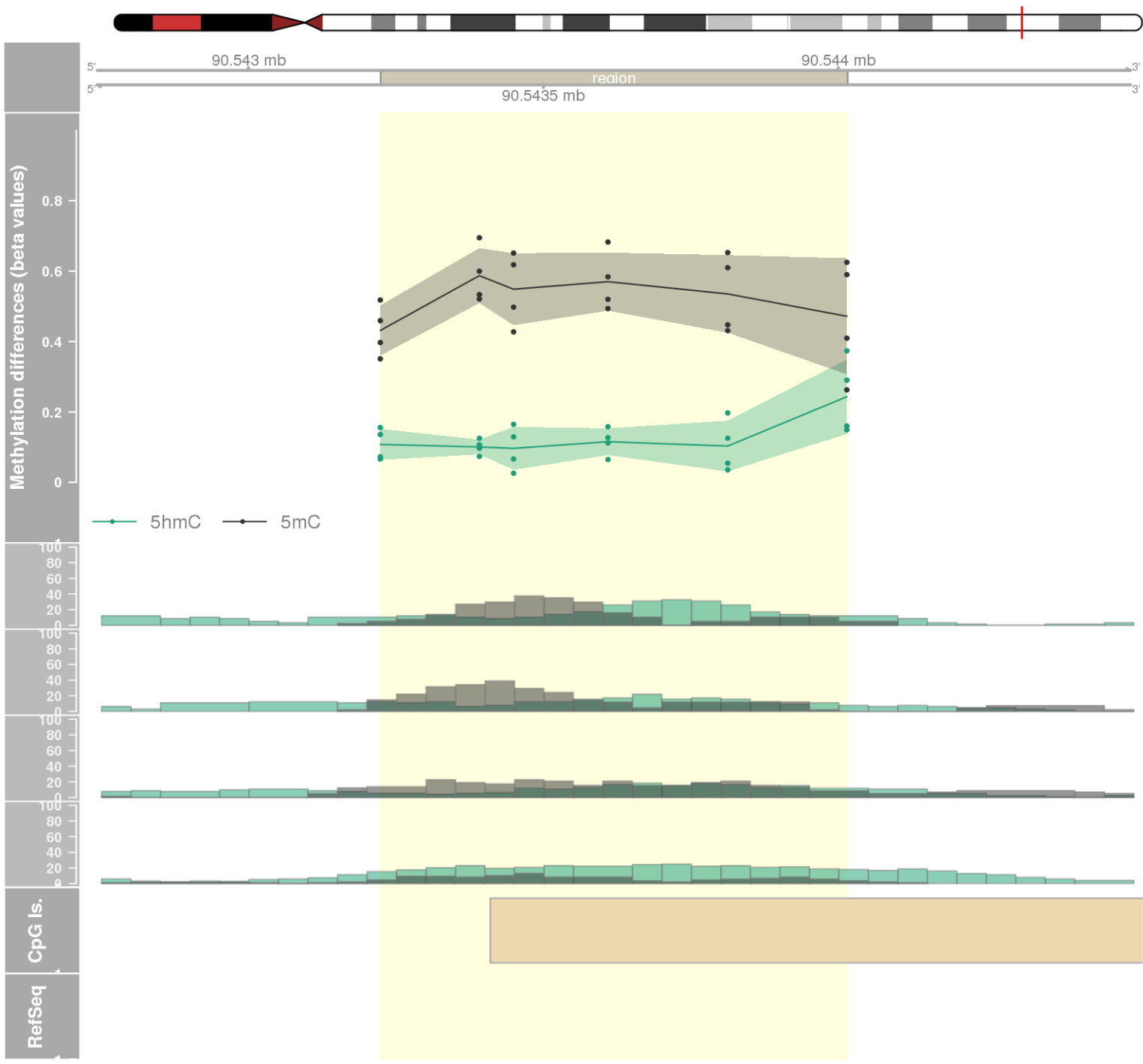


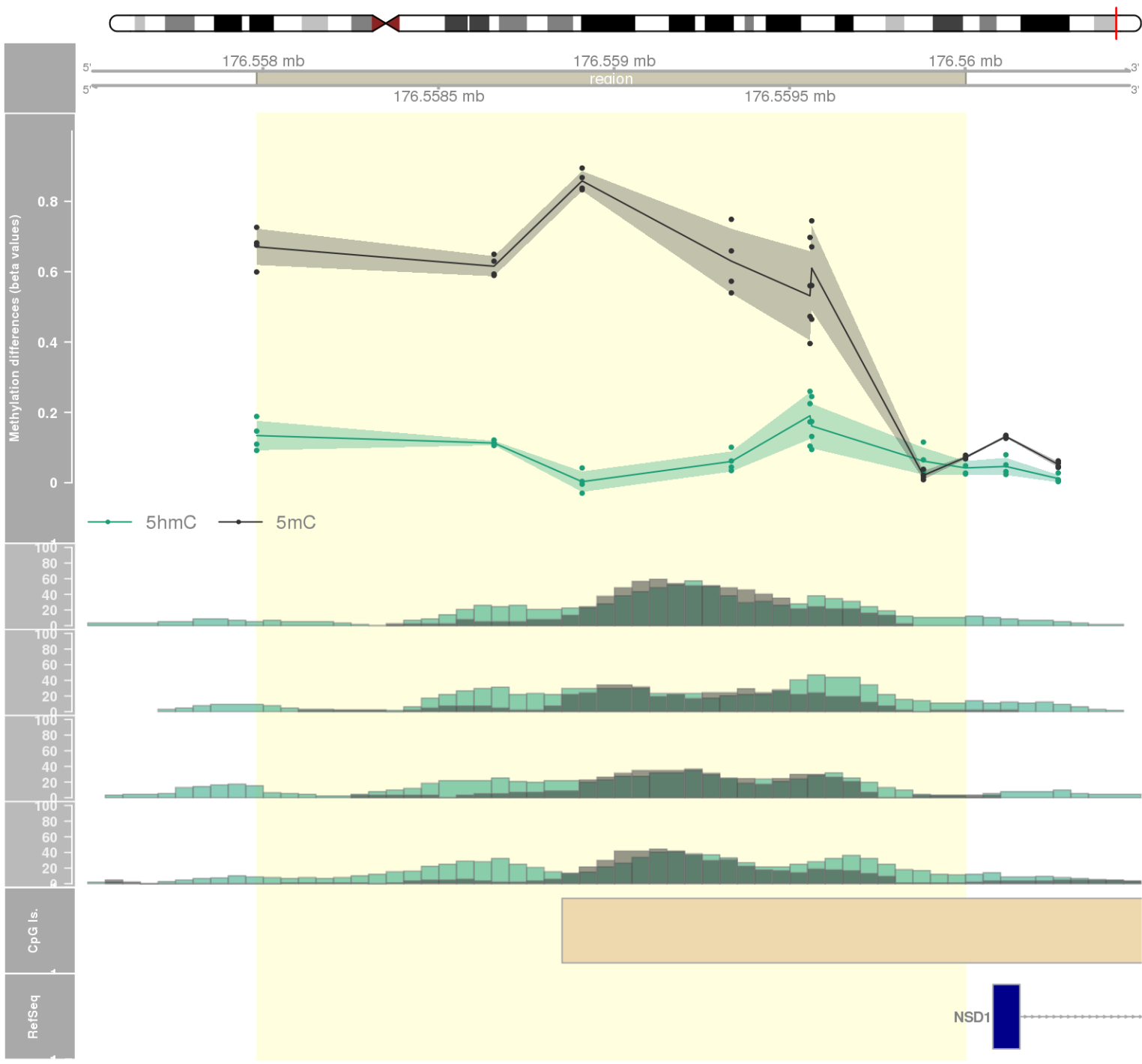
DMR 110 // chr16:30103391-30104042 // 651 pb. (7 probes) // pvalue: 0.003 // fwer: 0.615 // pvalueArea: 0.011 // fwerArea: 1
- genes: YPEL3 -



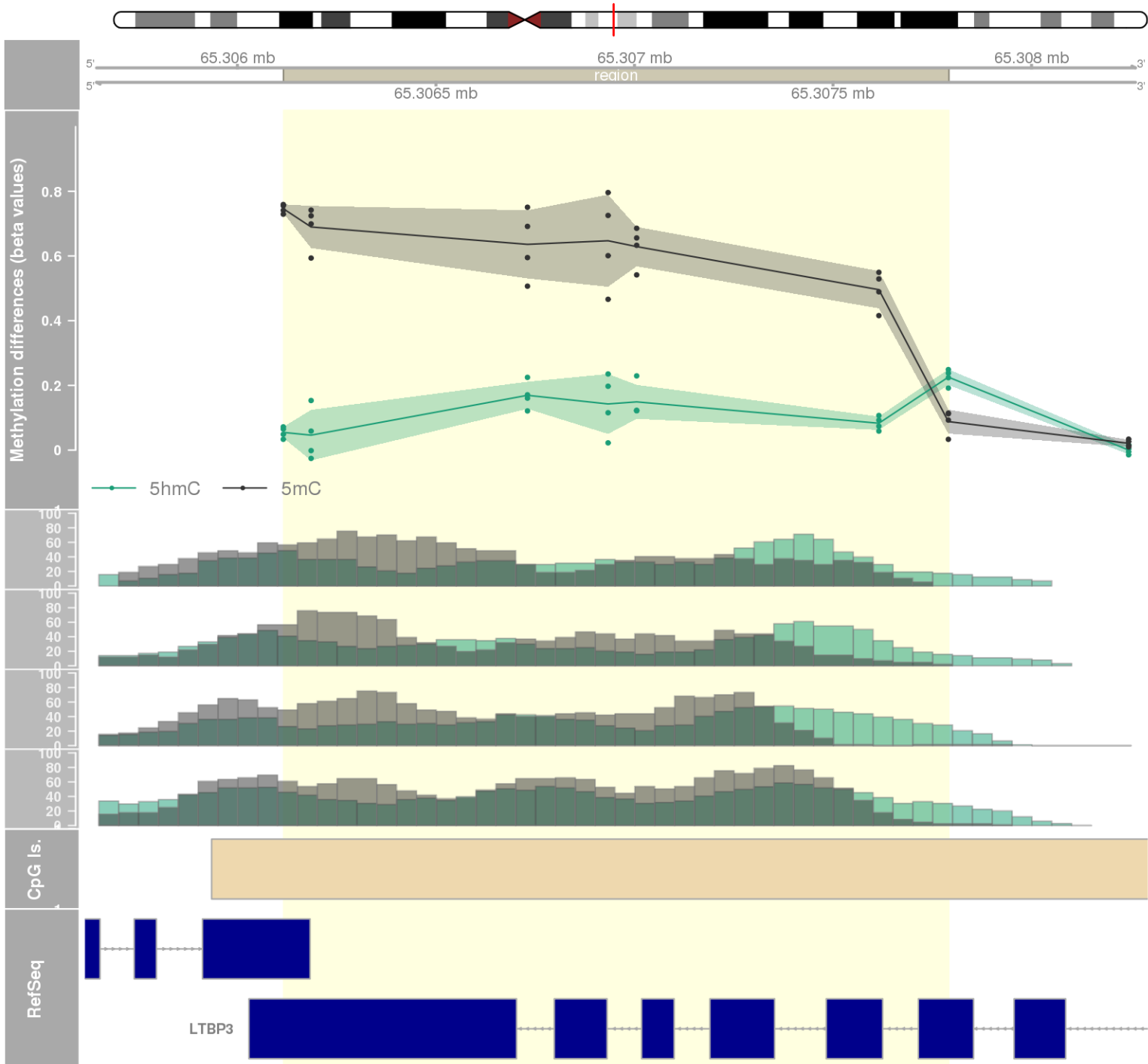
DMR 111 // chr1:2344979-2345475 // 496 pb. (11 probes) // pvalue: 0.004 // fwer: 1 // pvalueArea: 0.011 // fwerArea: 1
- genes: PEX10 -



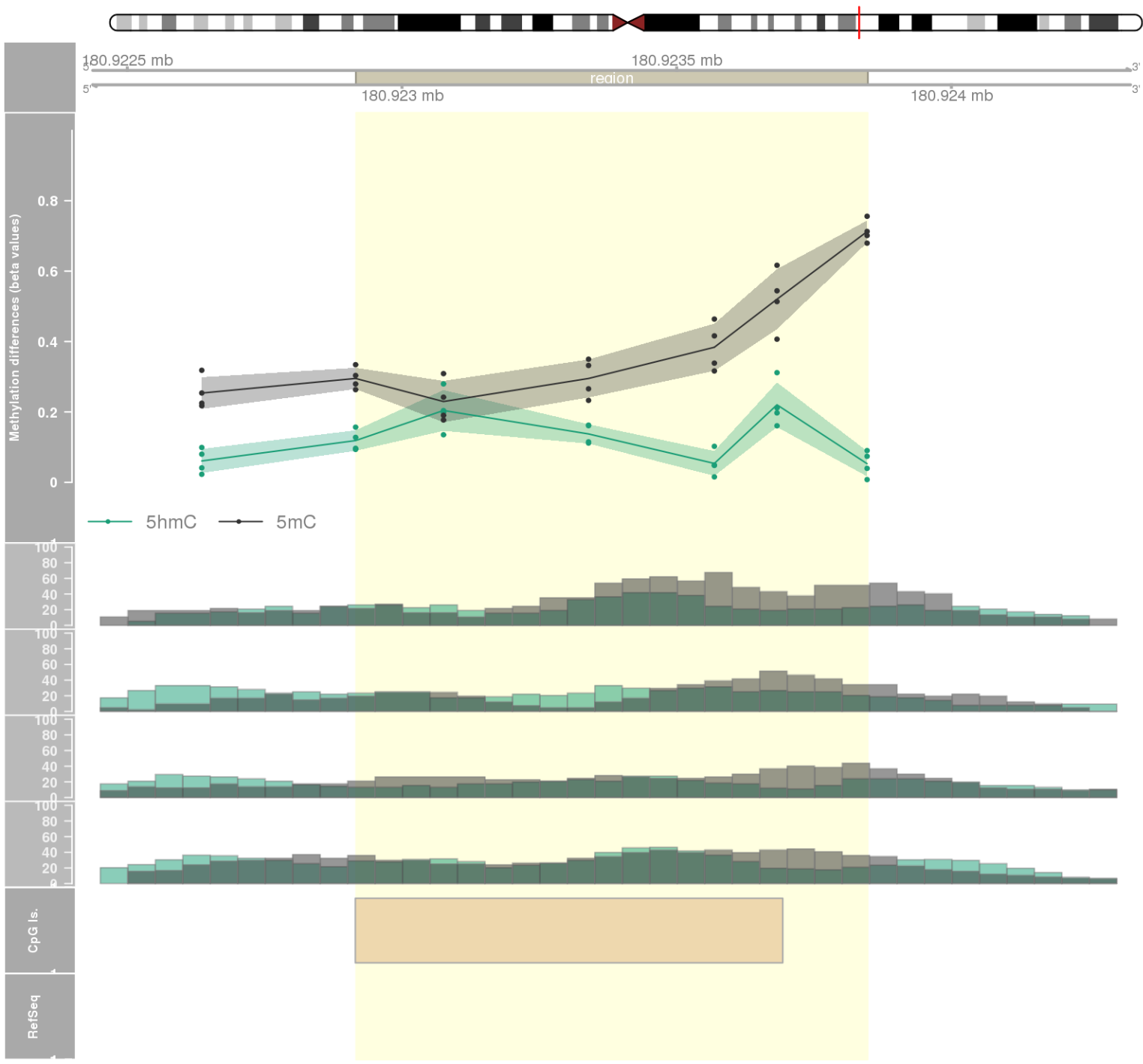


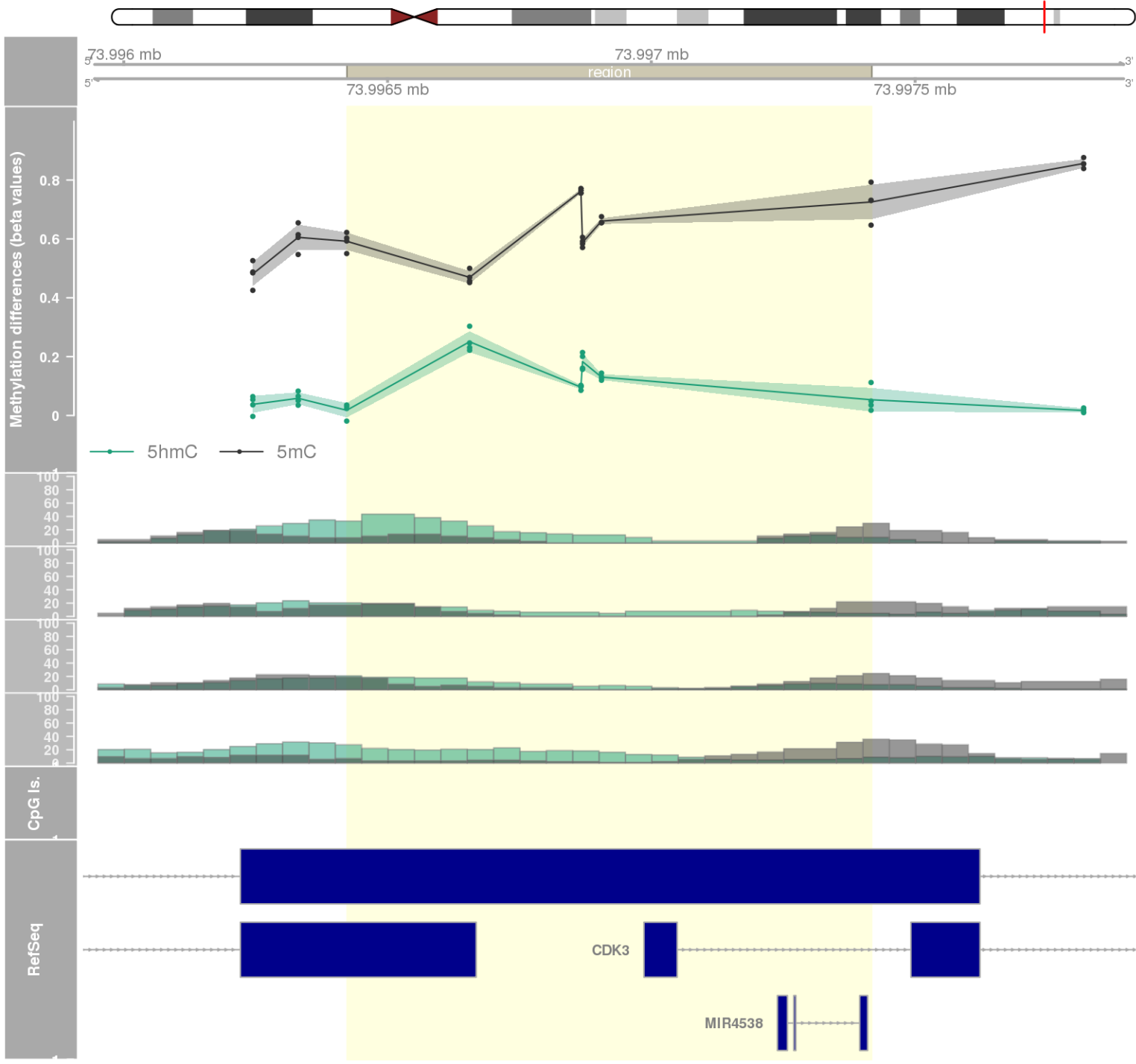


DMR 114 // chr11:65306116-65307791 // 1675 pb. (7 probes) // pvalue: 0.003 // fwer: 0.615 // pvalueArea: 0.011 // fwerArea: 1
- genes: SCYL1 / LTBP3 -

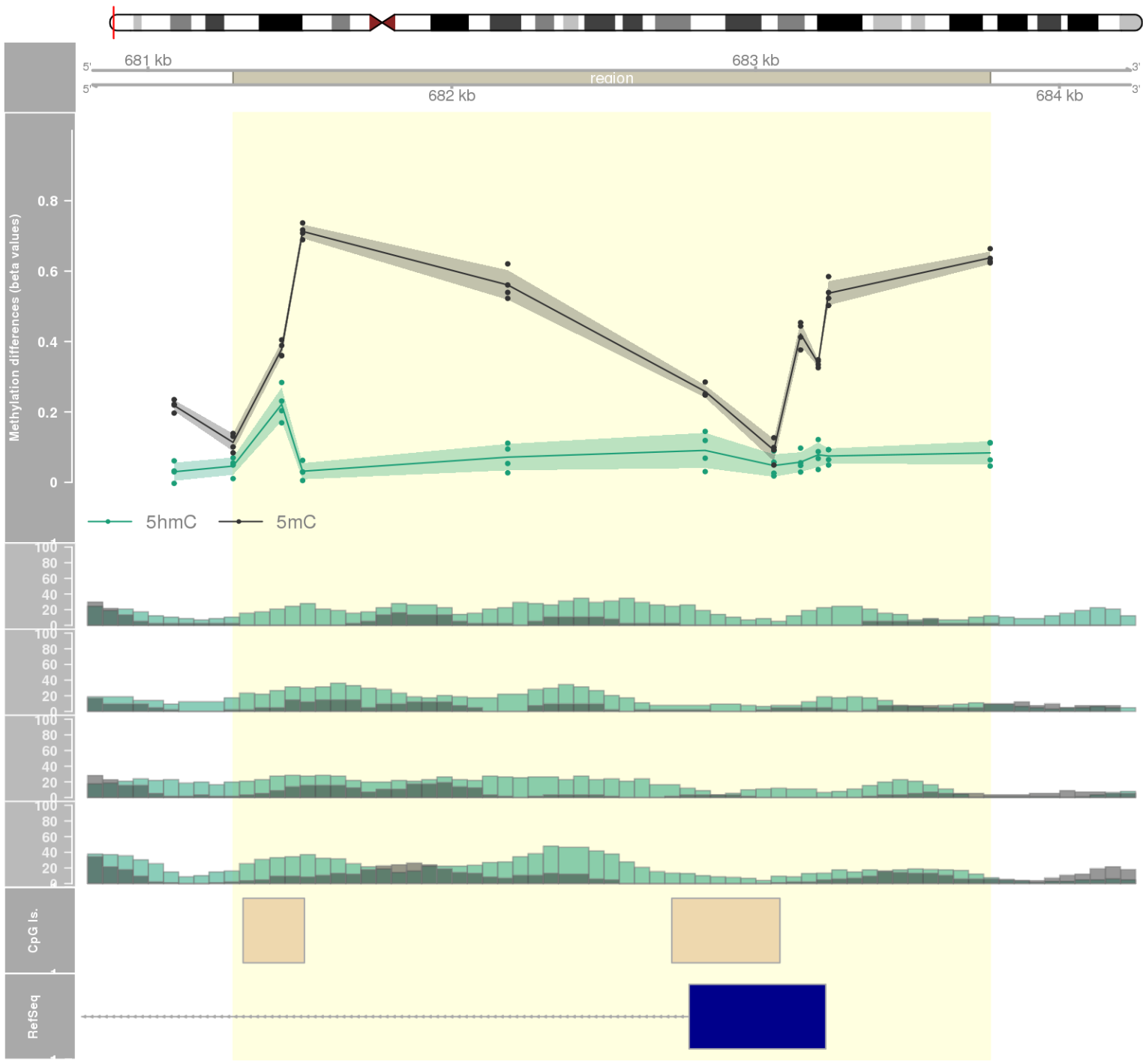


DMR 115 // chr1:180922916-180923847 // 931 pb. (6 probes) // pvalue: 0.002 // fwer: 0.615 // pvalueArea: 0.011 // fwerArea: 1

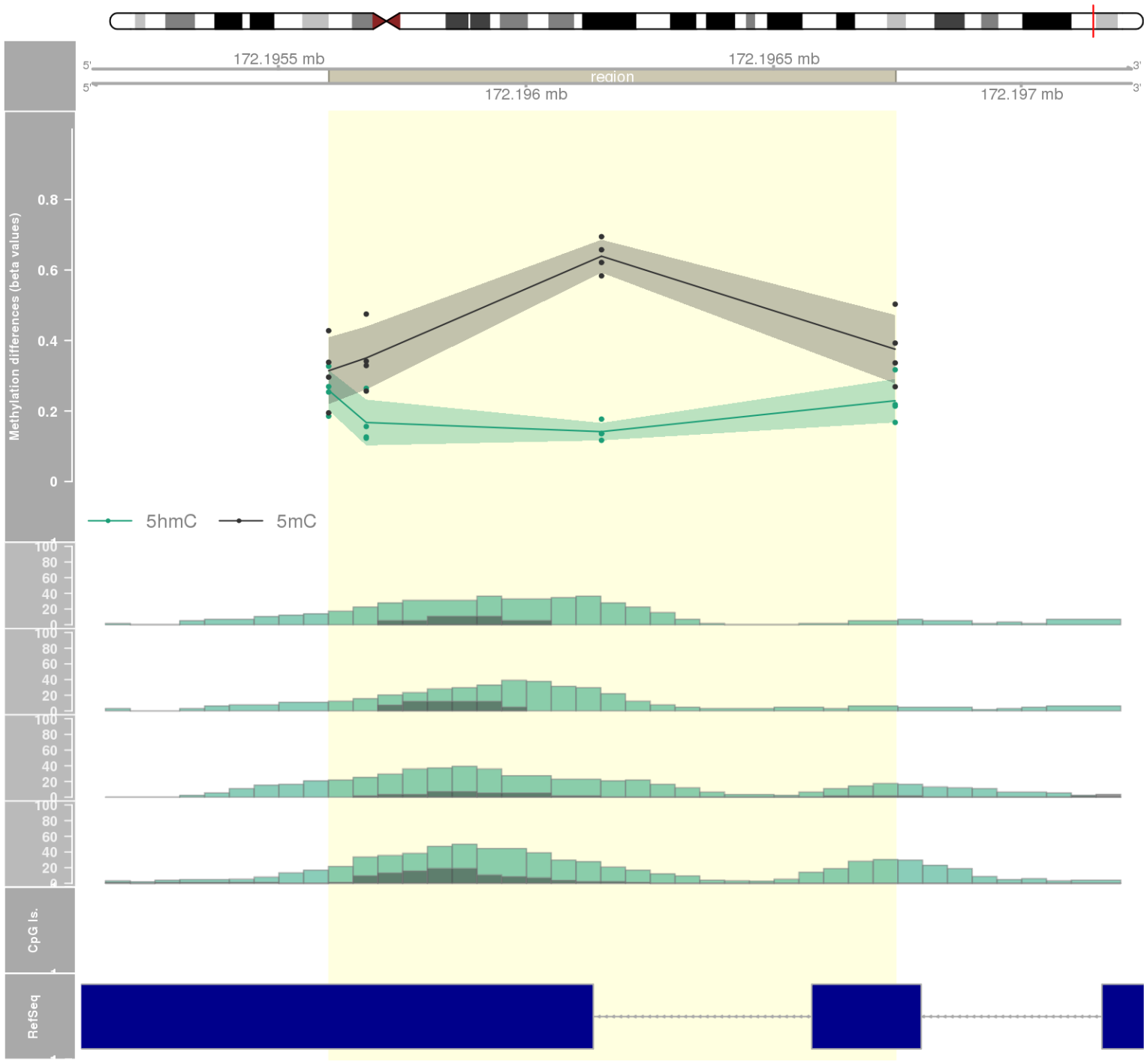




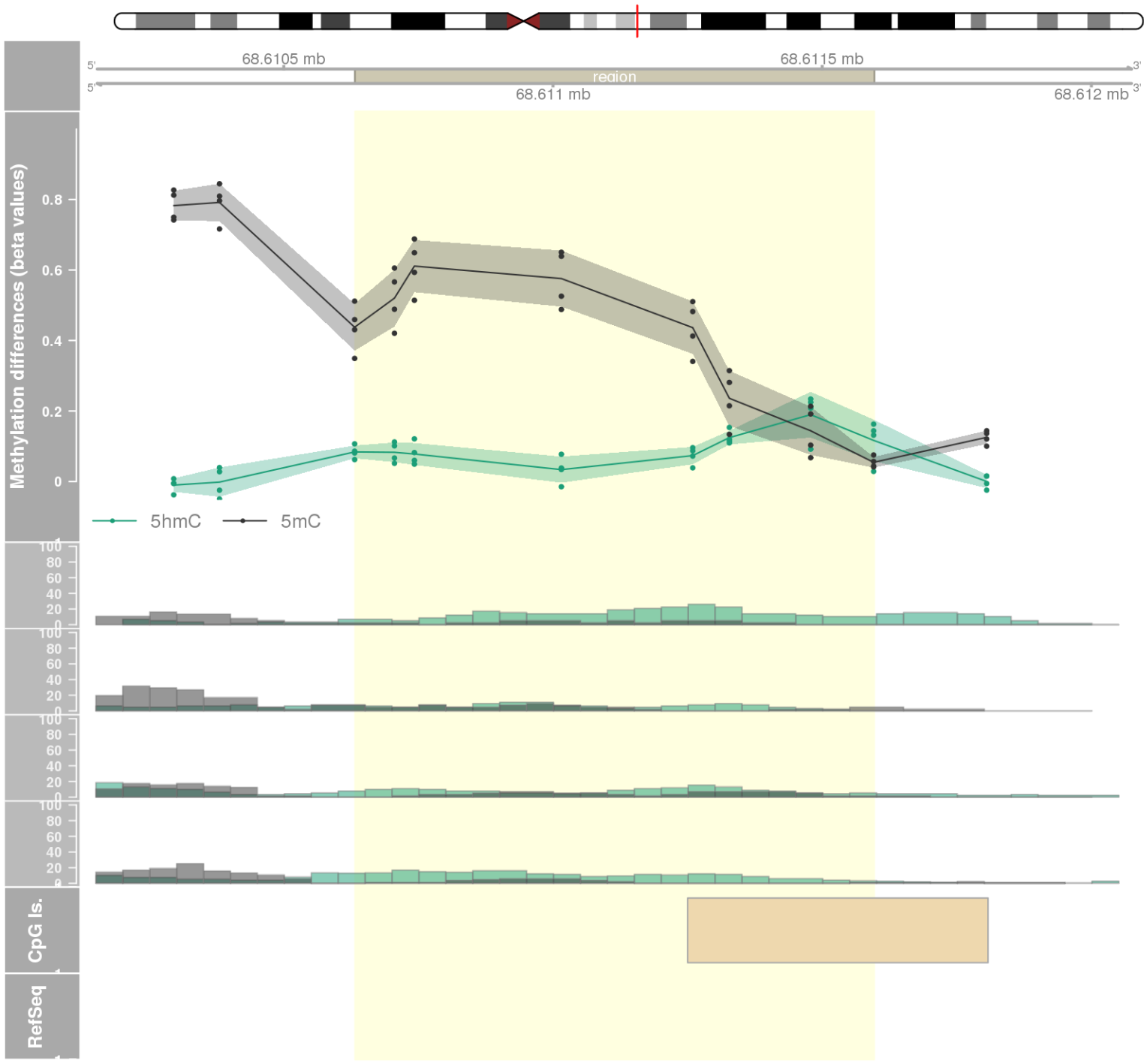
DMR 117 // chr4:681280-683772 // 2492 pb. (10 probes) // pvalue: 0.004 // fwer: 0.788 // pvalueArea: 0.011 // fwerArea: 1
- genes: MFSD7 -



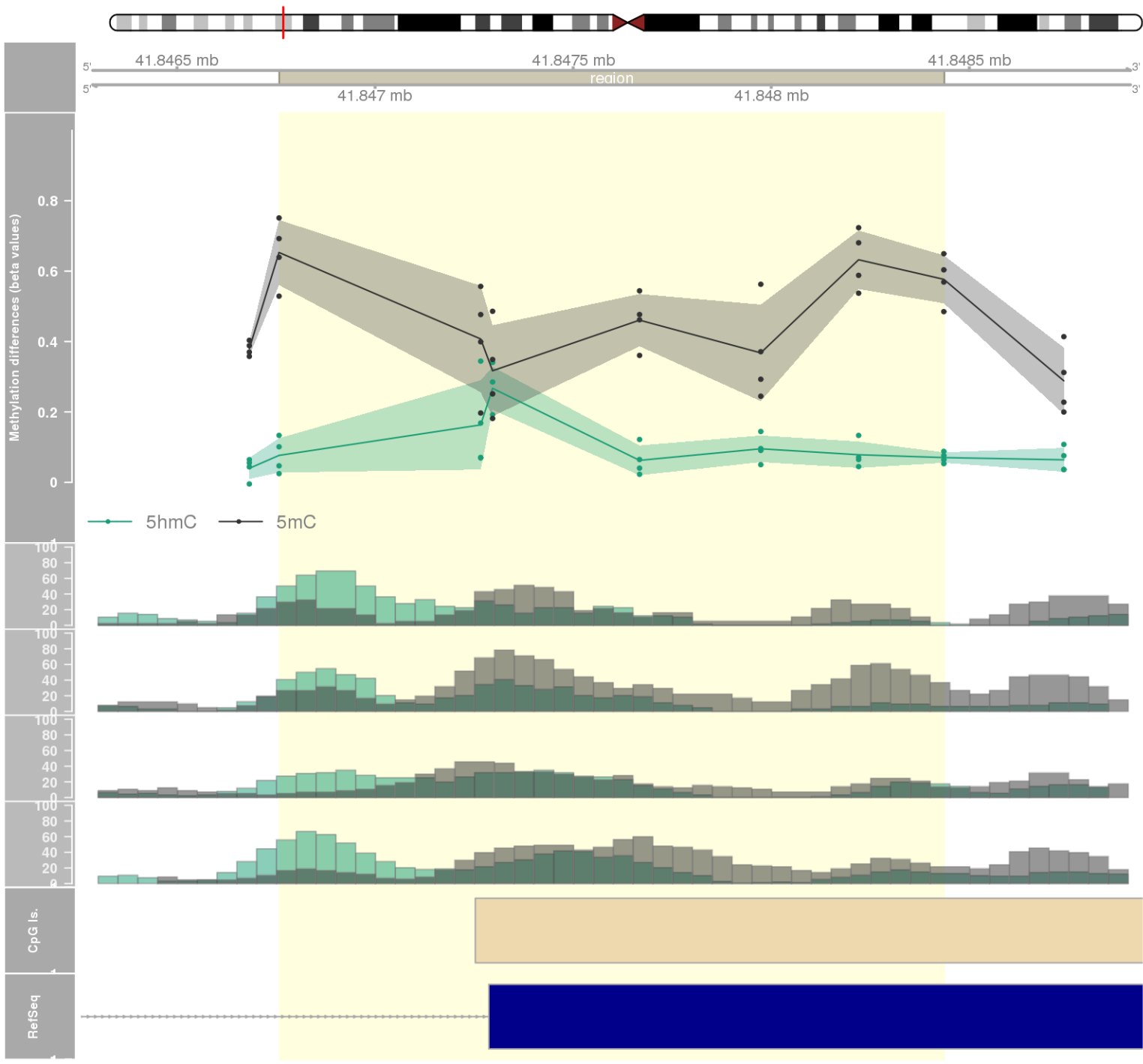
DMR 118 // chr5:172195602-172196746 // 1144 pb. (4 probes) // pvalue: 0 // fwer: 0.595 // pvalueArea: 0.011 // fwerArea: 1
- genes: DUSP1 -

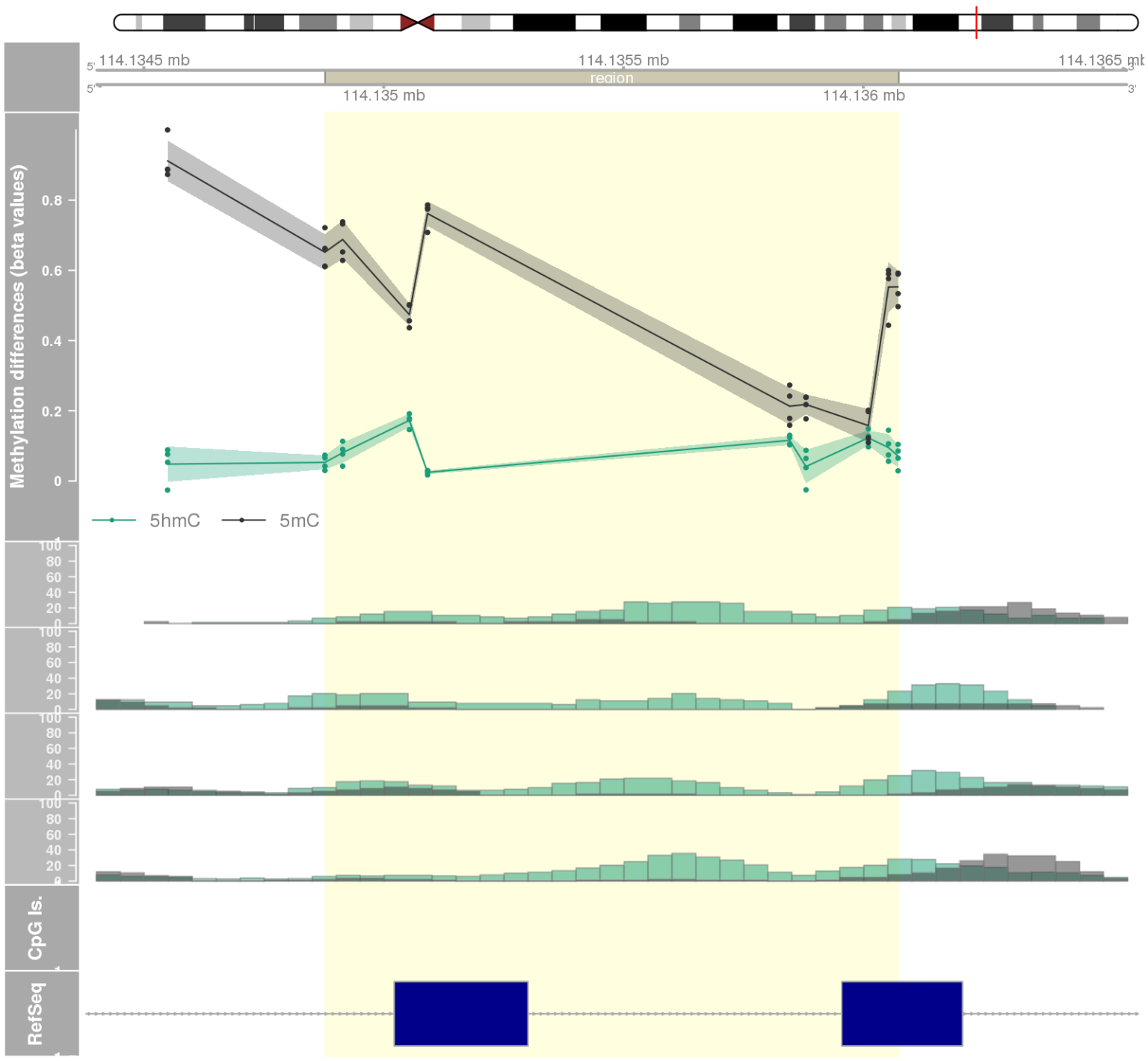


DMR 119 // chr11:68610632-68611596 // 964 pb. (8 probes) // pvalue: 0.003 // fwer: 0.797 // pvalueArea: 0.012 // fwerArea: 1
- genes: CPT1A -

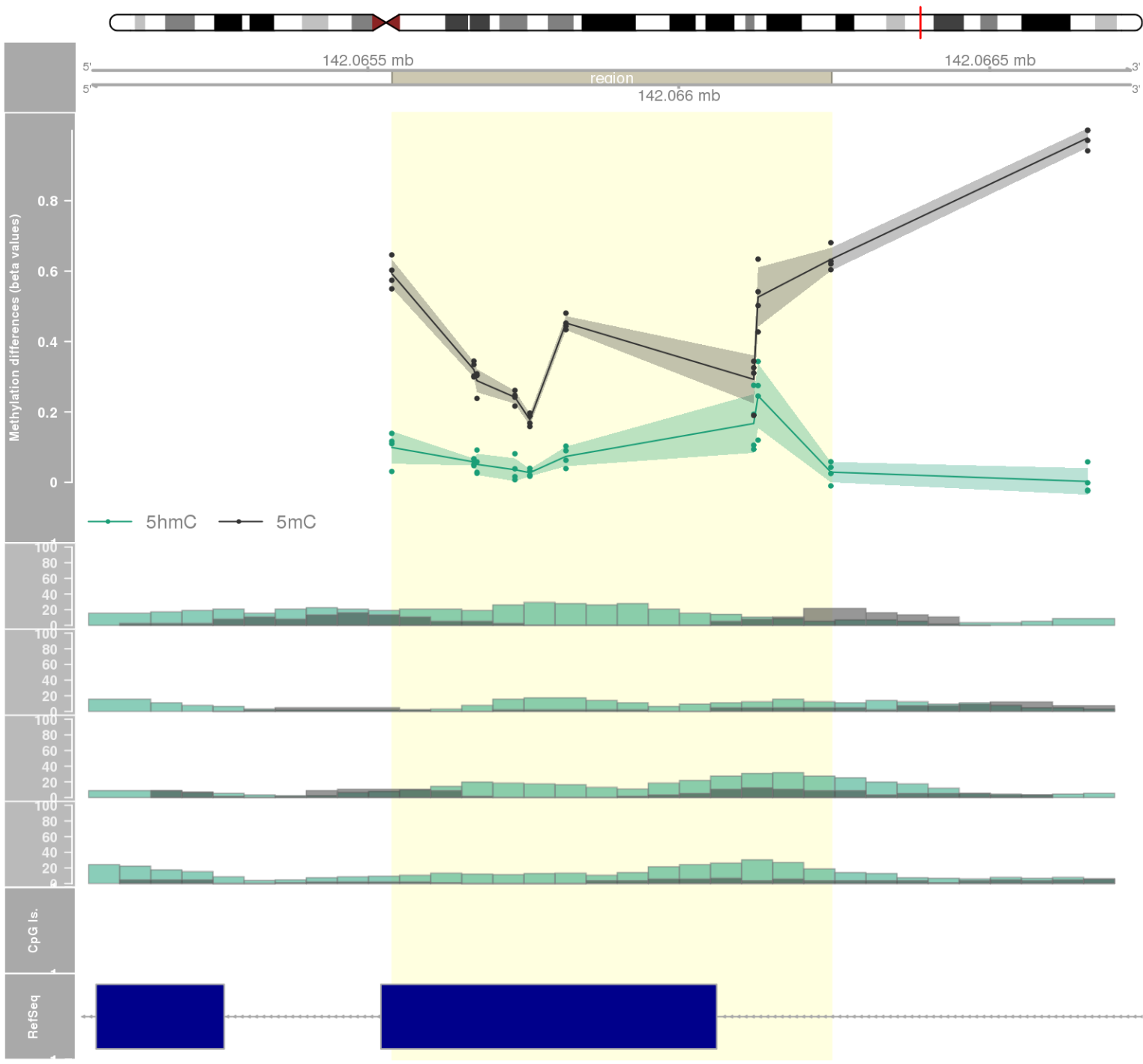


DMR 120 // chr1:41846758-41848436 // 1678 pb. (7 probes) // pvalue: 0.004 // fwer: 0.615 // pvalueArea: 0.012 // fwerArea: 1
- genes: FOXO6 -

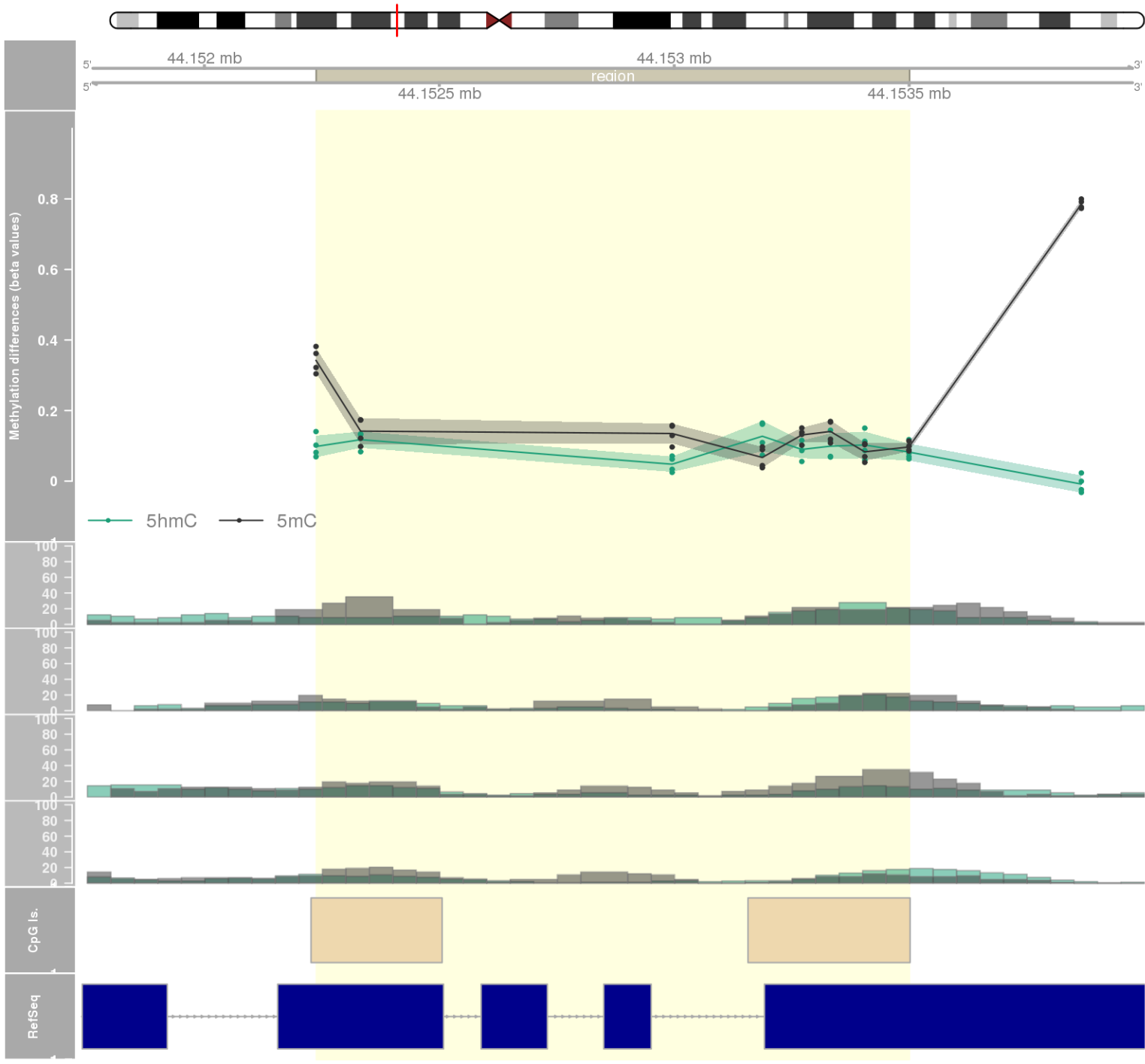




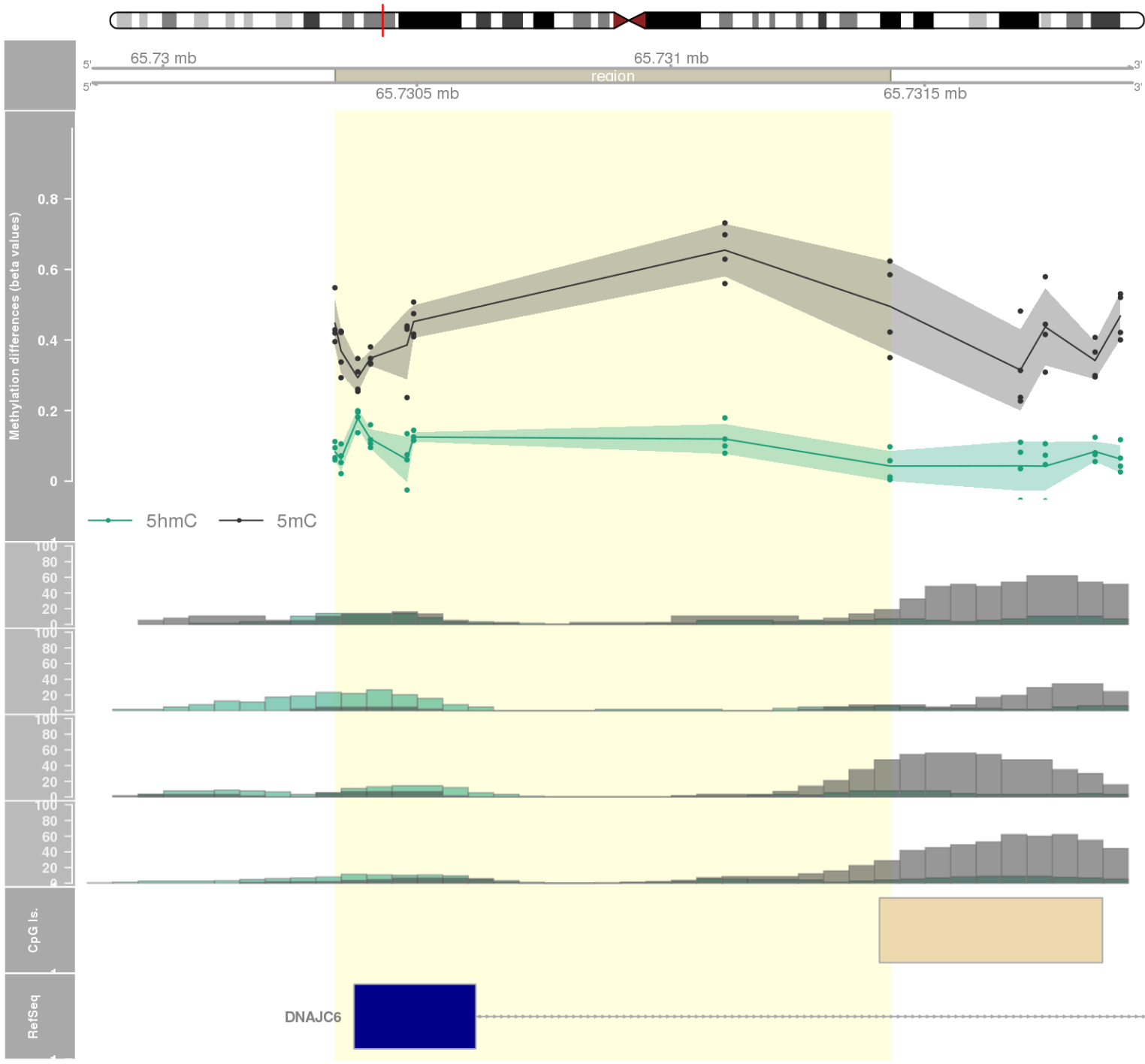
DMR 122 // chr5:142065539-142066245 // 706 pb. (9 probes) // pvalue: 0.004 // fwer: 0.585 // pvalueArea: 0.012 // fwerArea: 1
- genes: FGF1 -



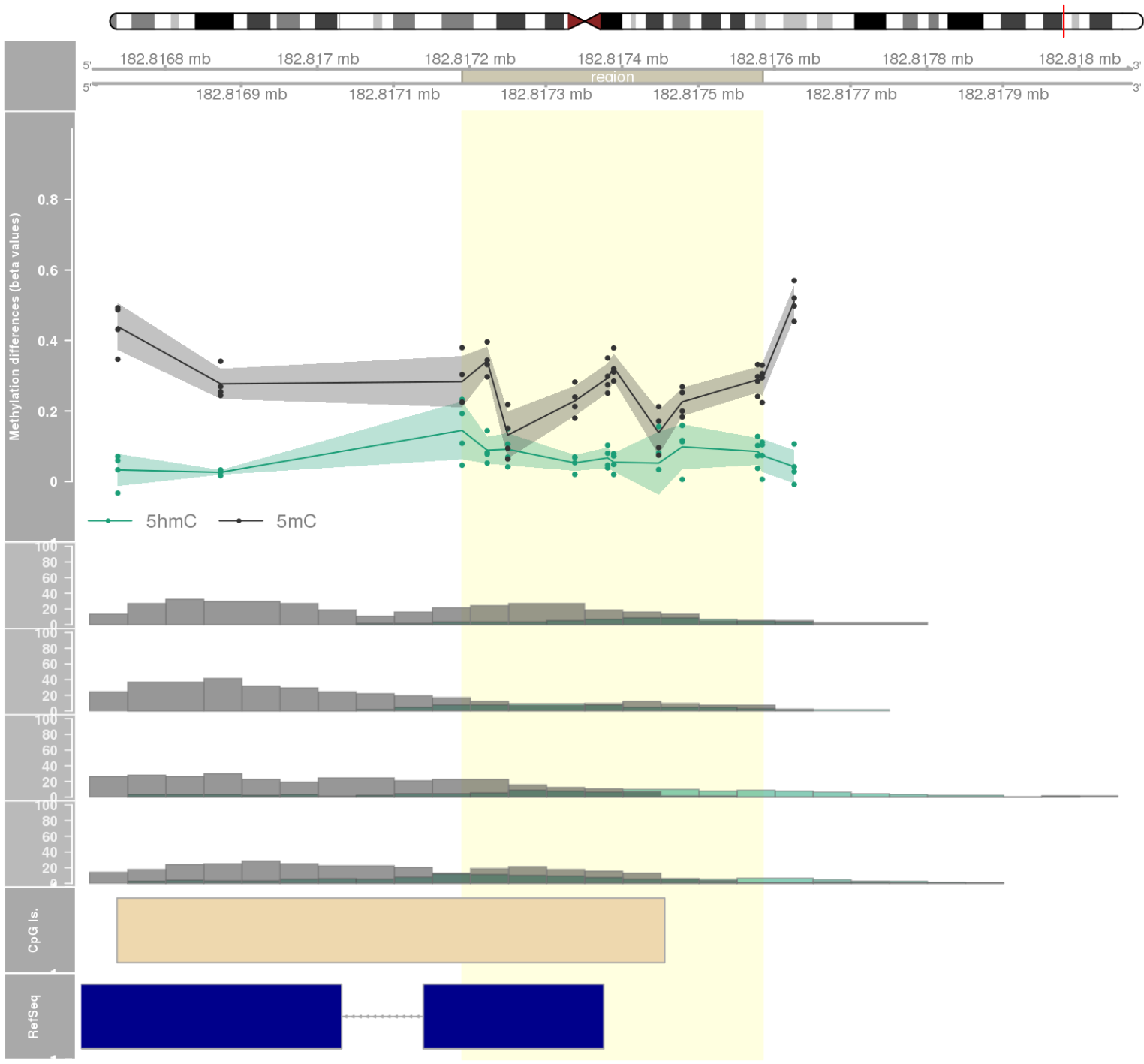
DMR 123 // chr7:44152238-44153500 // 1262 pb. (8 probes) // pvalue: 0.004 // fwer: 0.797 // pvalueArea: 0.012 // fwerArea: 1
- genes: AEBP1 -



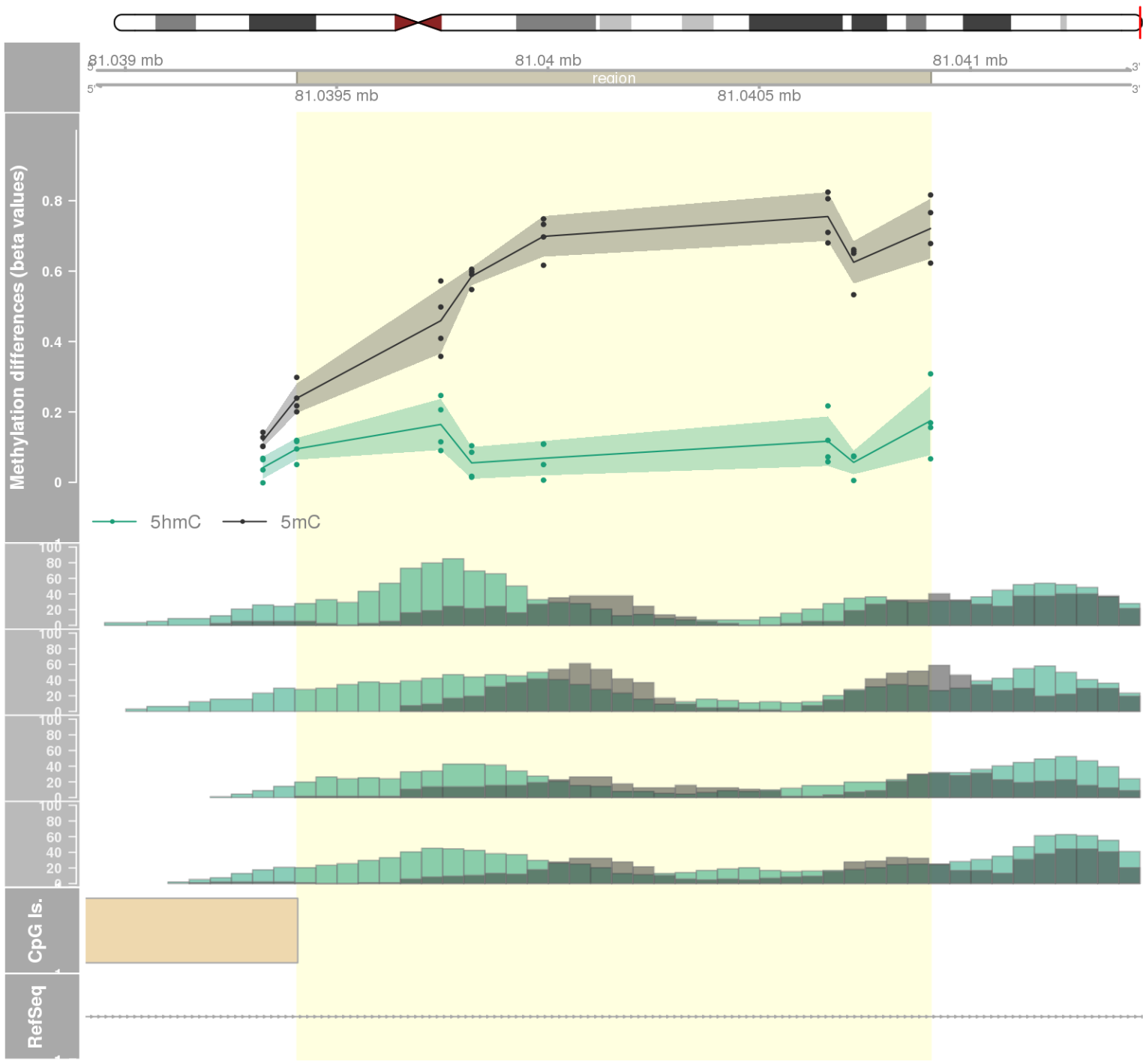
DMR 124 // chr1:65730339-65731432 // 1093 pb. (8 probes) // pvalue: 0.004 // fwer: 0.797 // pvalueArea: 0.012 // fwerArea: 1
- genes: DNAJC6 -



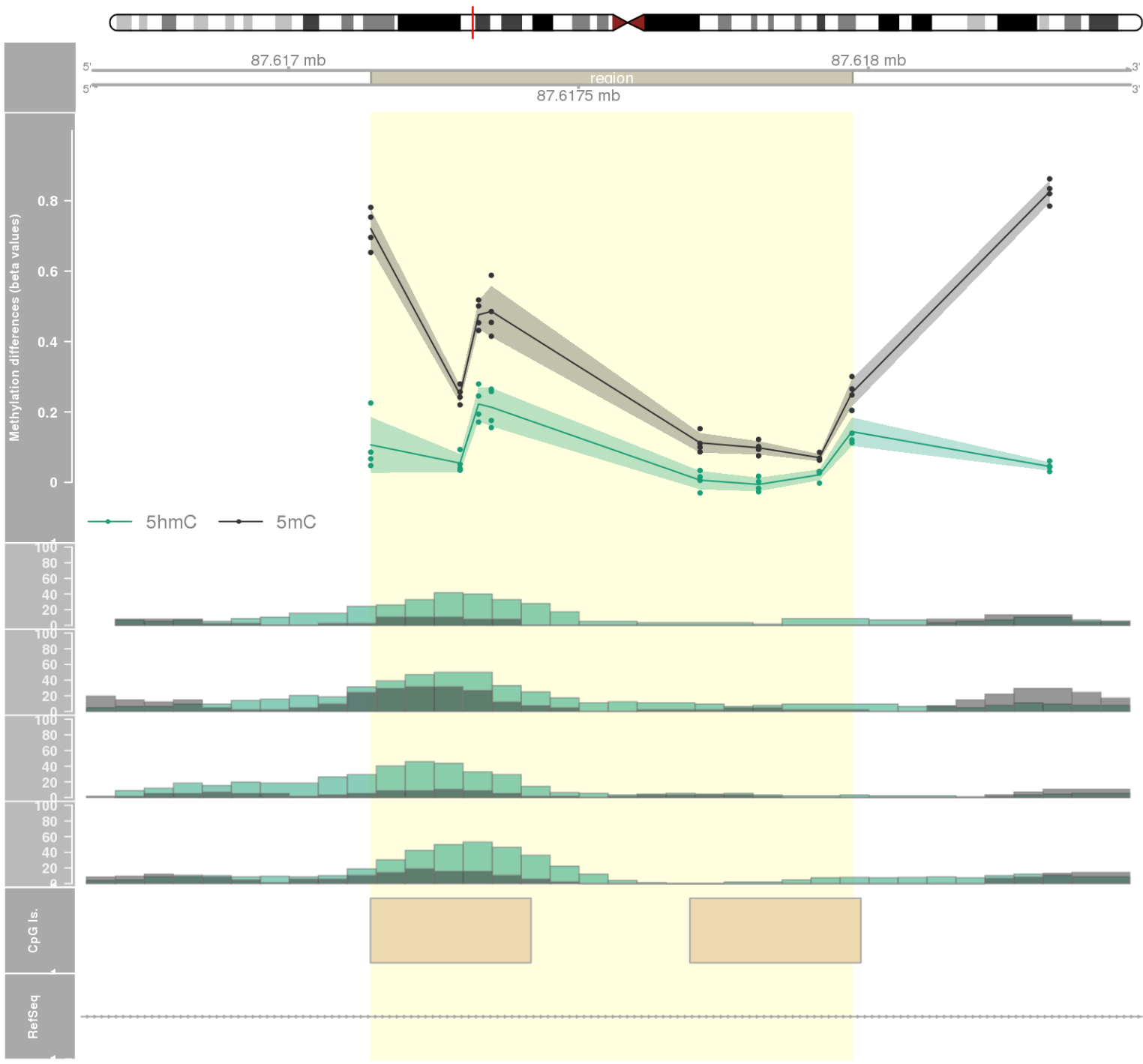
DMR 125 // chr3:182817190-182817584 // 394 pb. (10 probes) // pvalue: 0.004 // fwer: 0.788 // pvalueArea: 0.012 // fwerArea: 1
- genes: MCCC1 -



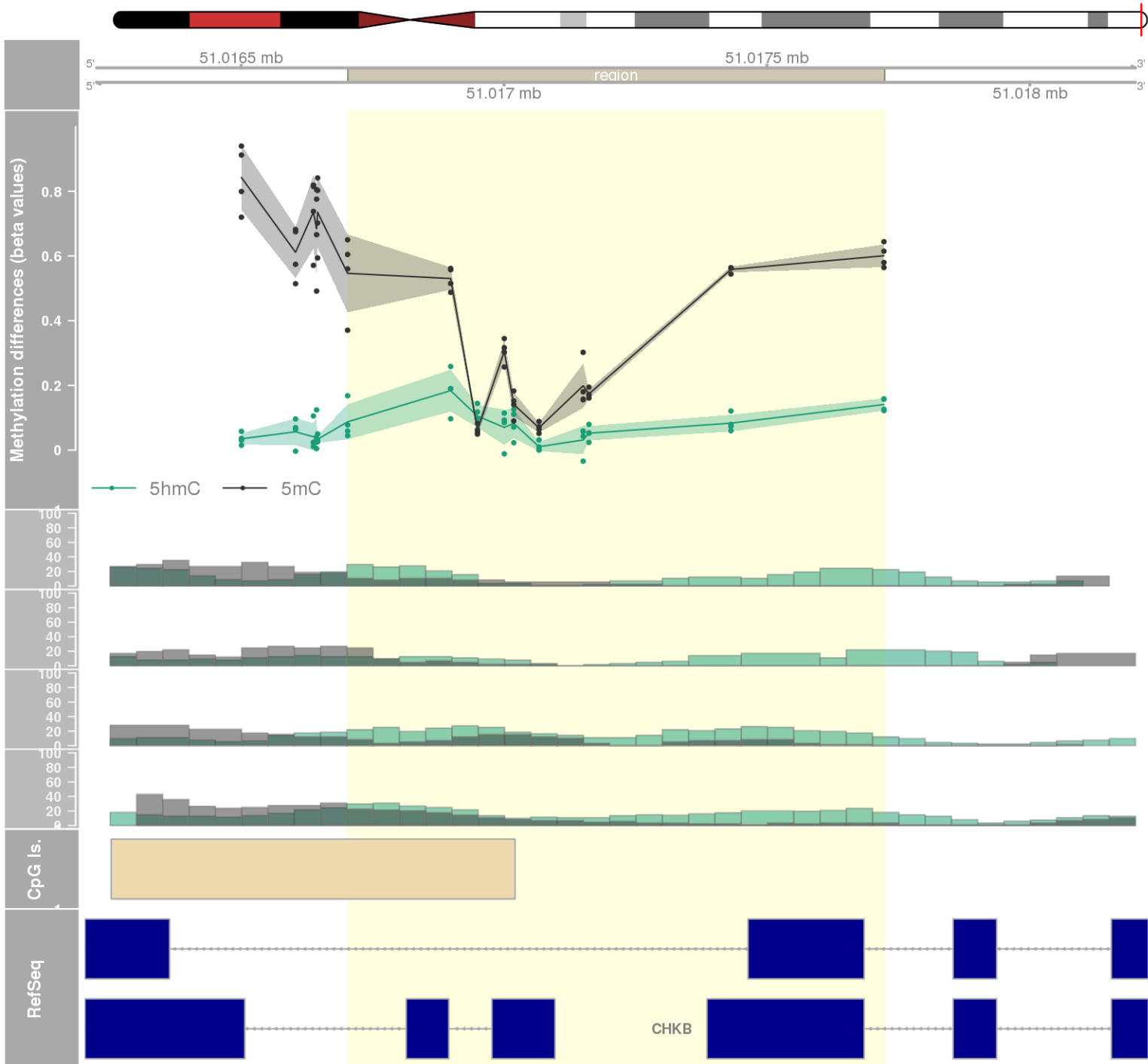
DMR 126 // chr17:81039406-81040906 // 1500 pb. (7 probes) // pvalue: 0.004 // fwer: 0.615 // pvalueArea: 0.012 // fwerArea: 1
- genes: METRNL -



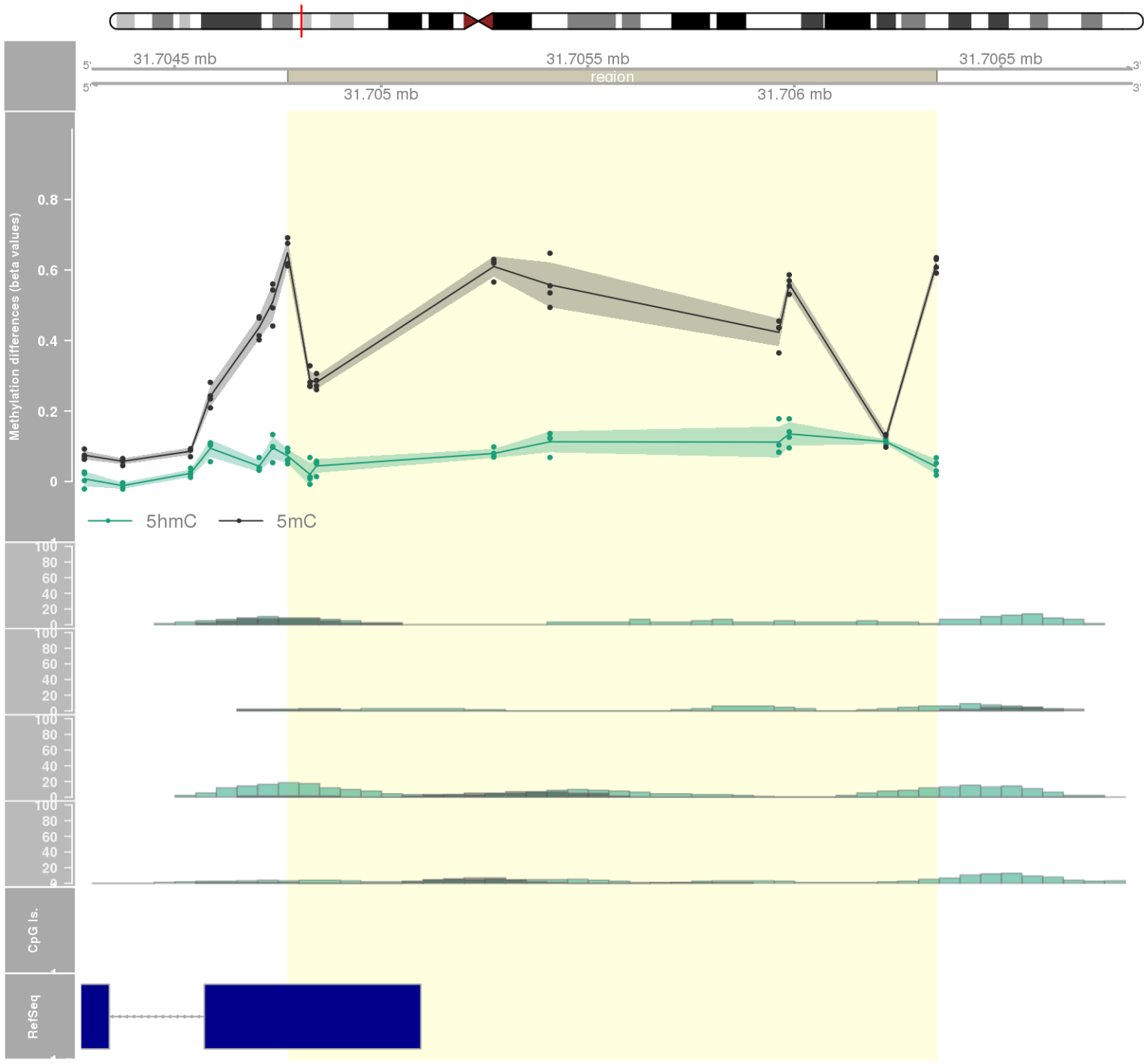
DMR 127 // chr1:87617142-87617972 // 830 pb. (8 probes) // pvalue: 0.004 // fwer: 0.615 // pvalueArea: 0.012 // fwerArea: 1
- genes: LINC01140 -



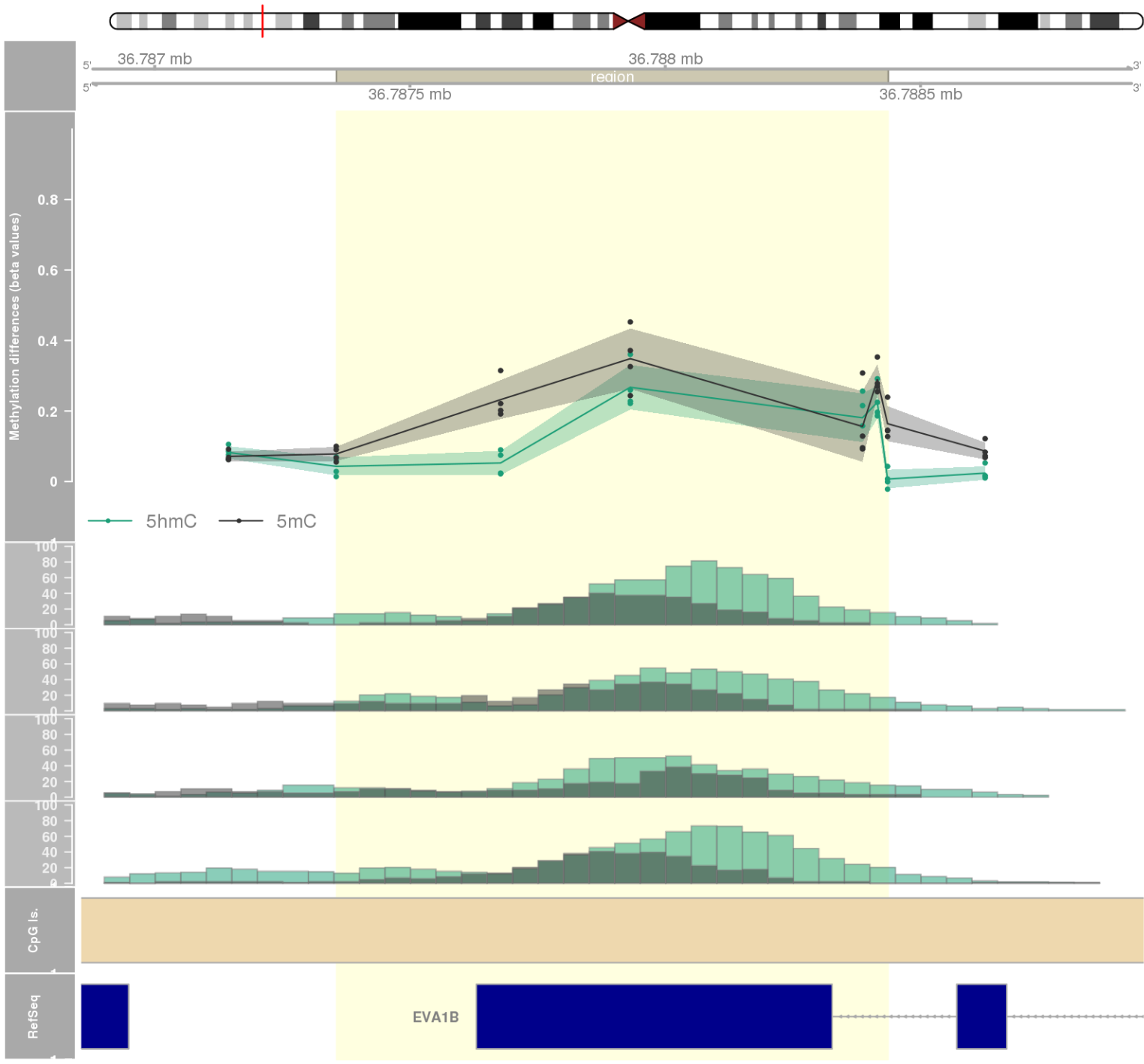
DMR 128 // chr22:51016703-51017723 // 1020 pb. (10 probes) // pvalue: 0.004 // fwer: 1 // pvalueArea: 0.012 // fwerArea: 1
- genes: CPT1B / CHKB-CPT1B / CHKB -



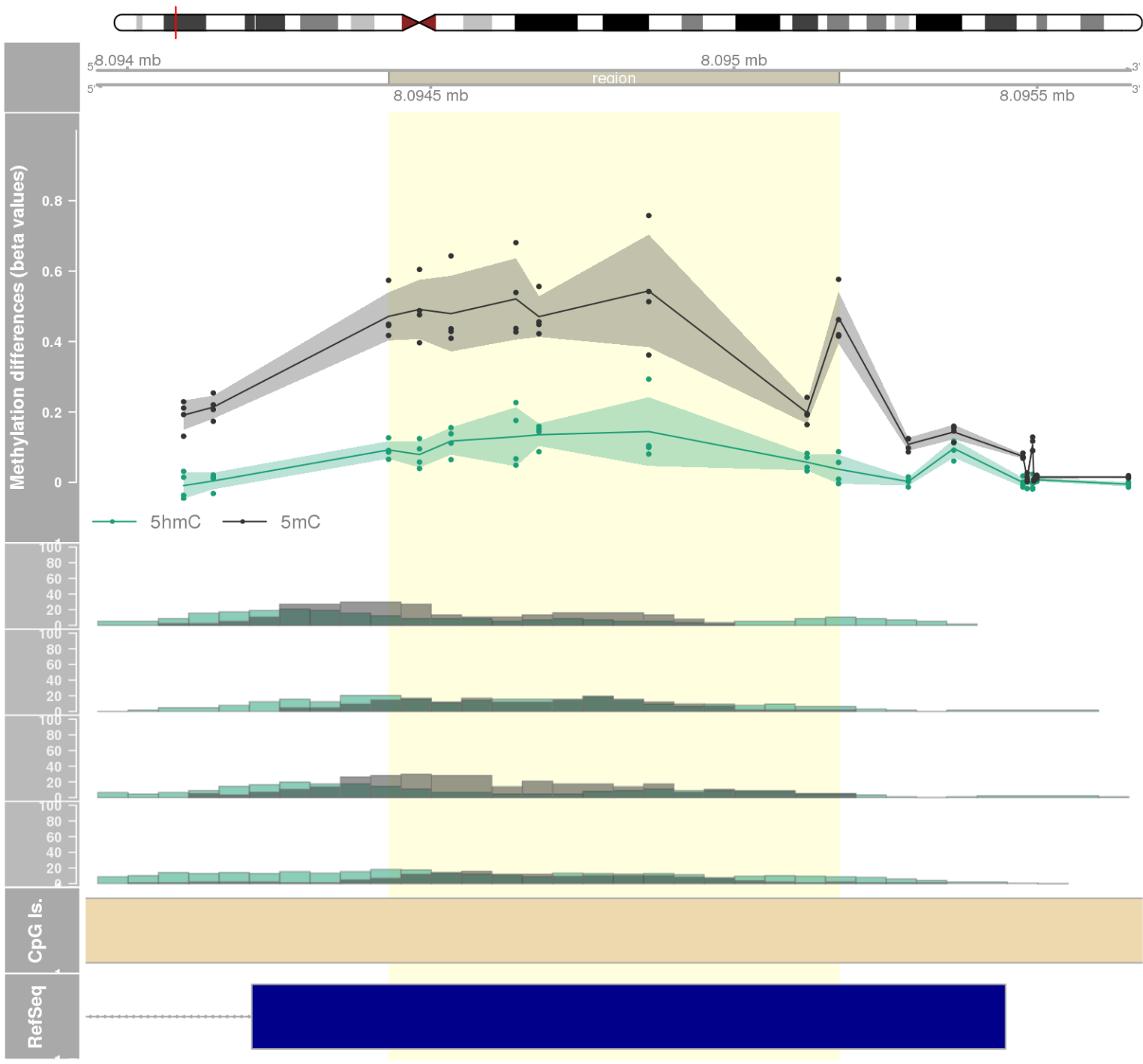
DMR 129 // chr6:31704774-31706344 // 1570 pb. (9 probes) // pvalue: 0.004 // fwer: 0.585 // pvalueArea: 0.012 // fwerArea: 1
- genes: CLIC1 -

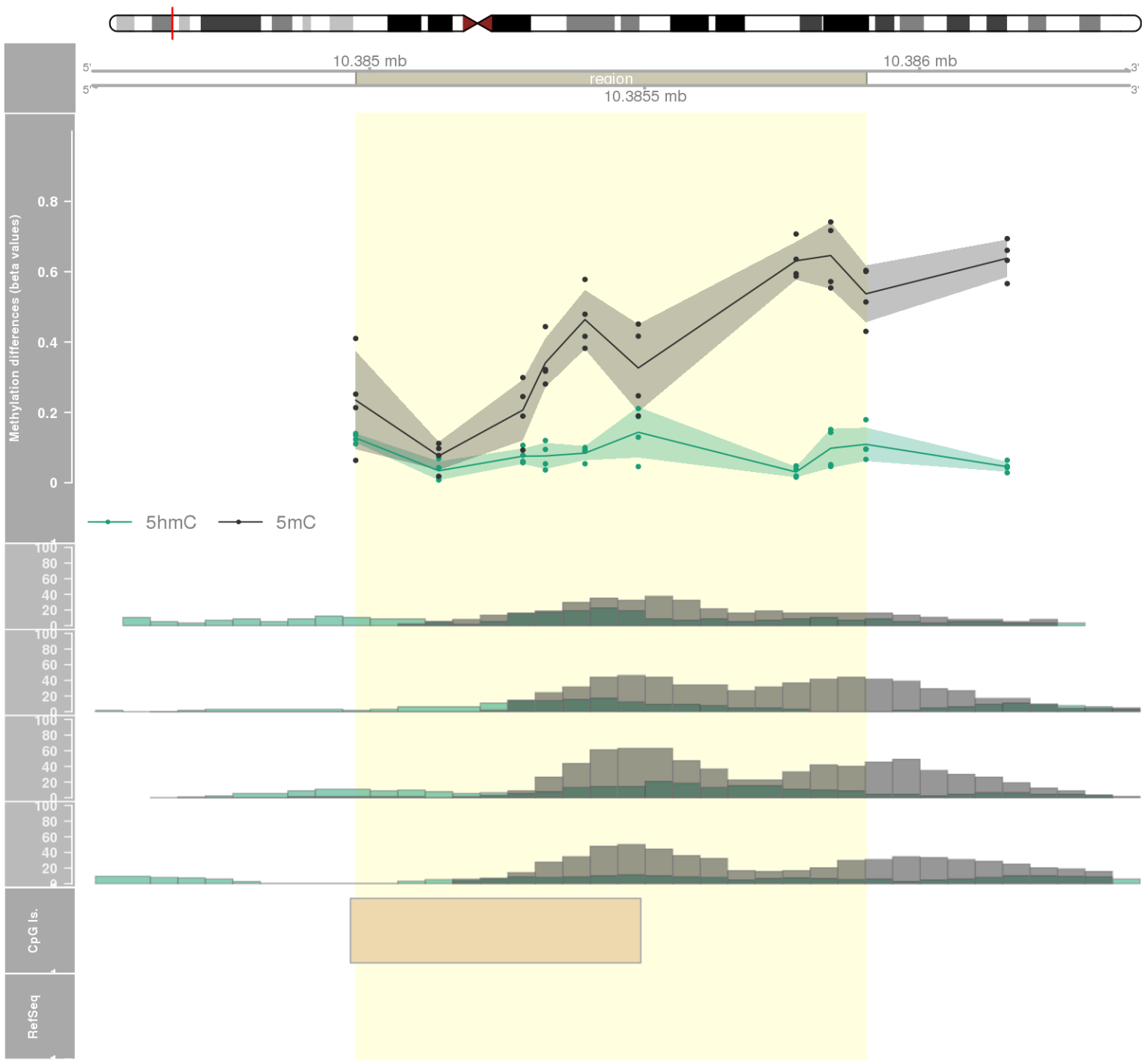


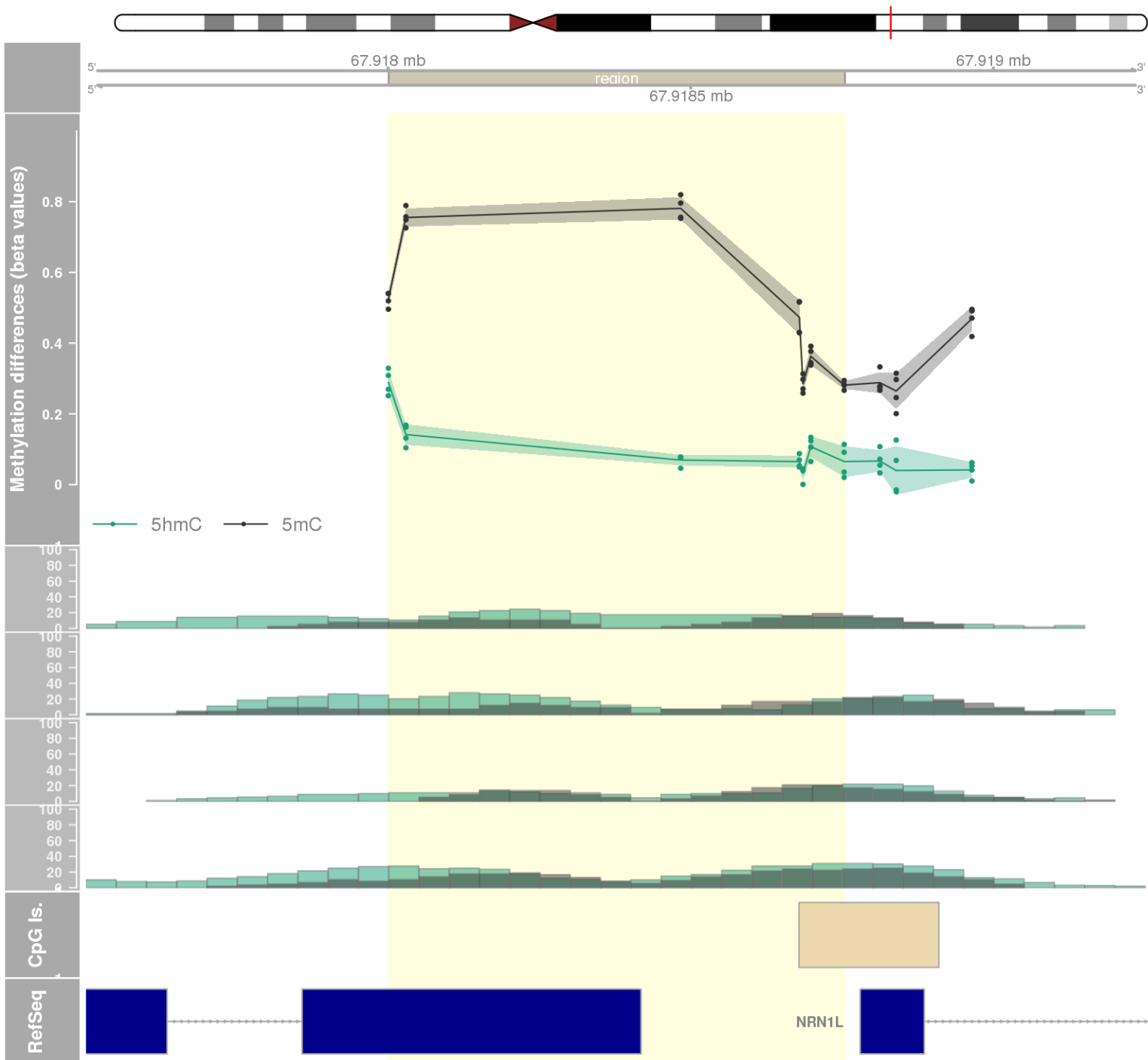
DMR 130 // chr1:36787356-36788436 // 1080 pb. (6 probes) // pvalue: 0.002 // fwer: 0.615 // pvalueArea: 0.012 // fwerArea: 1
- genes: SH3D21 / EVA1B -



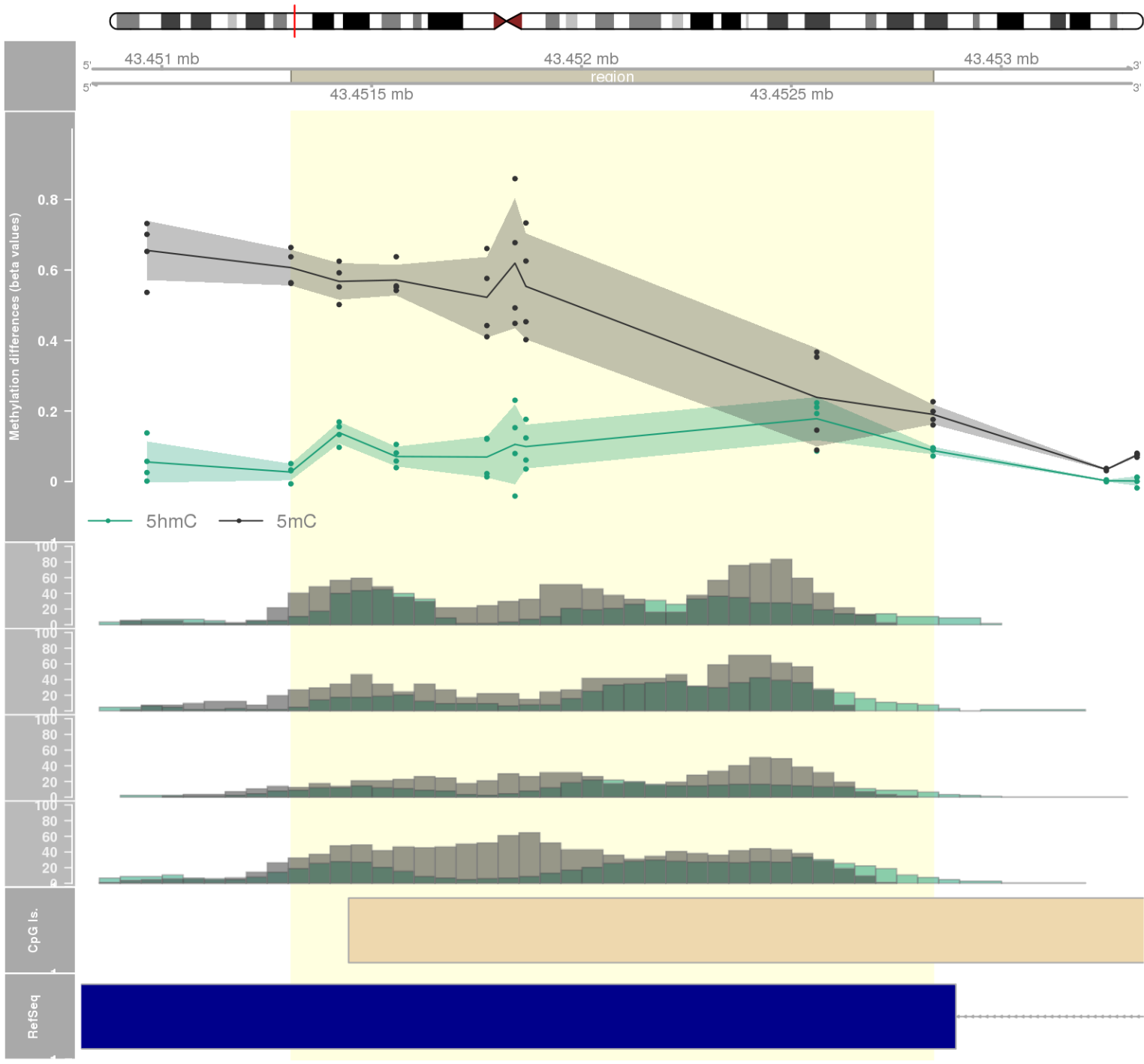
DMR 131 // chr10:8094431-8095173 // 742 pb. (8 probes) // pvalue: 0.004 // fwer: 0.797 // pvalueArea: 0.012 // fwerArea: 1
- genes: GATA3-AS1 -

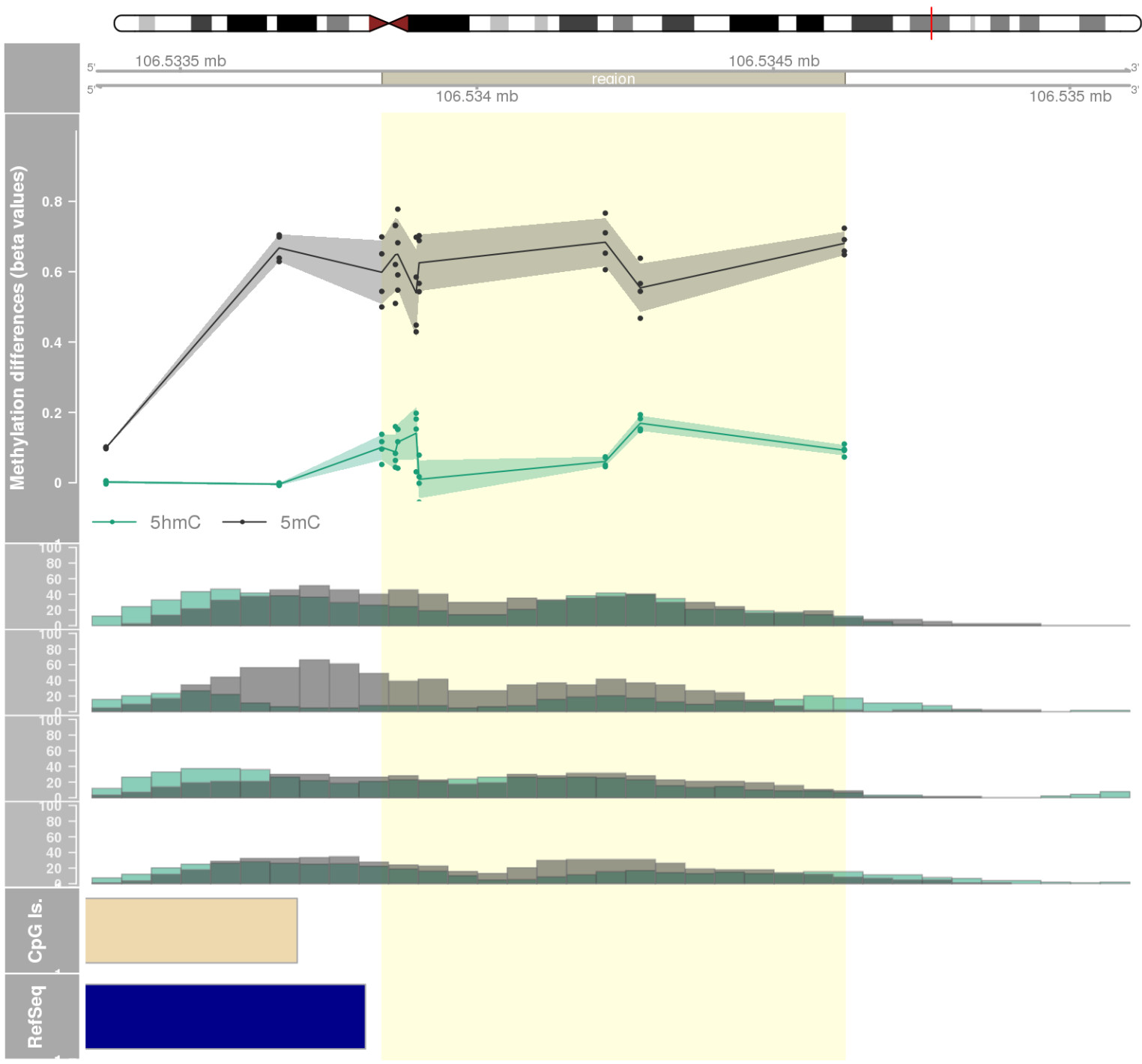




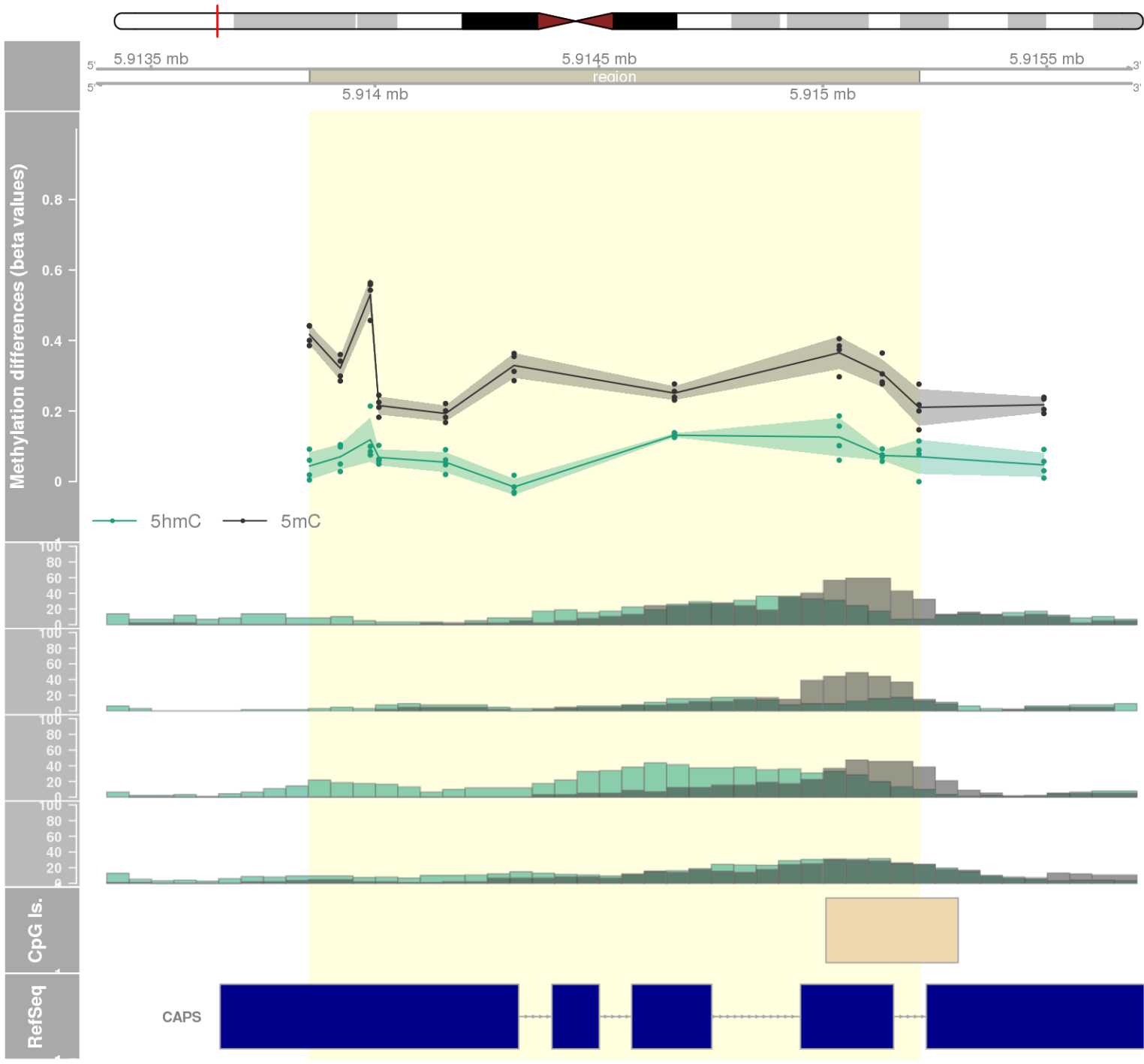


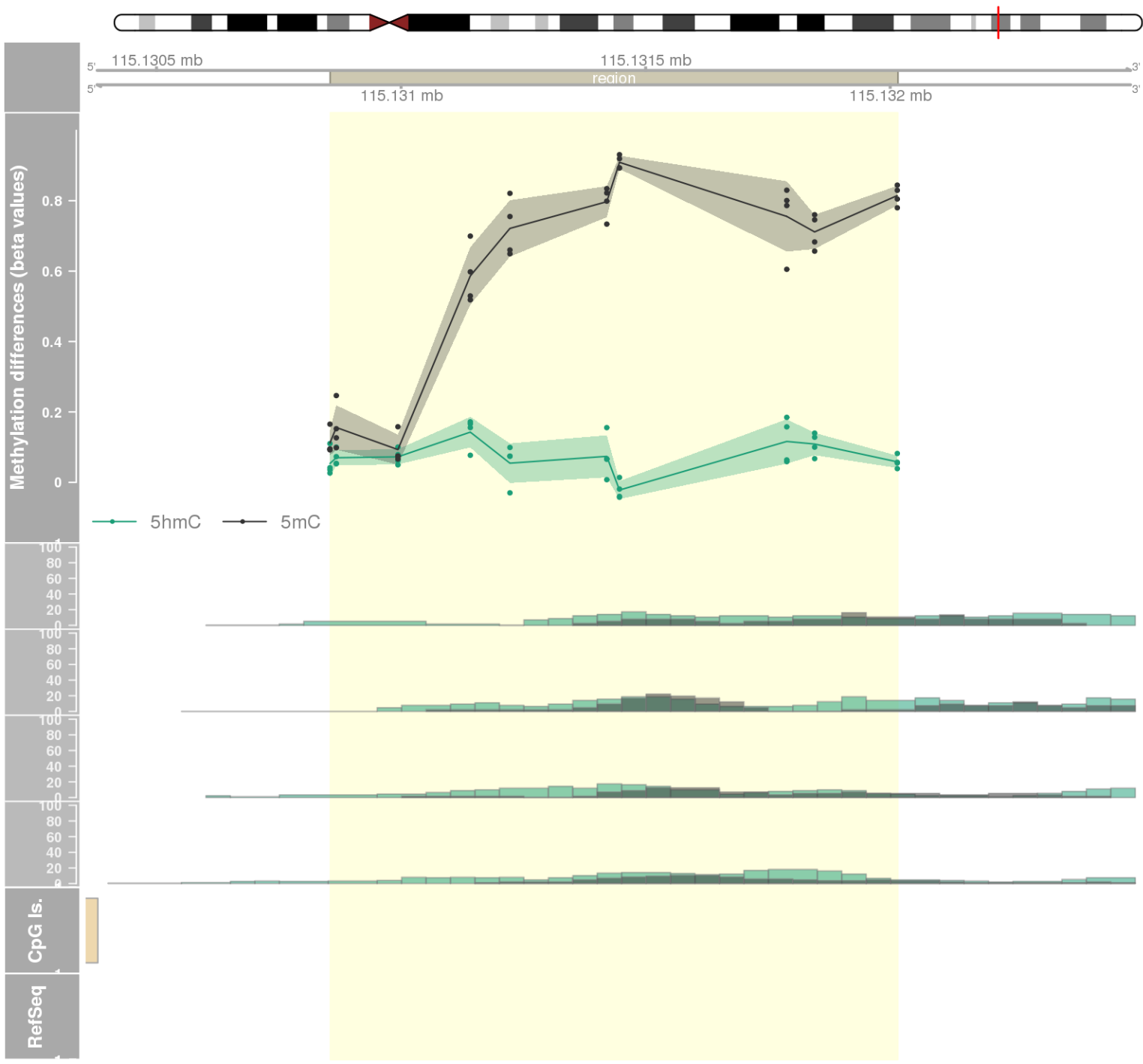
DMR 134 // chr2:43451308-43452838 // 1530 pb. (8 probes) // pvalue: 0.004 // fwer: 0.797 // pvalueArea: 0.013 // fwerArea: 1
- genes: THADA / ZFP36L2 -

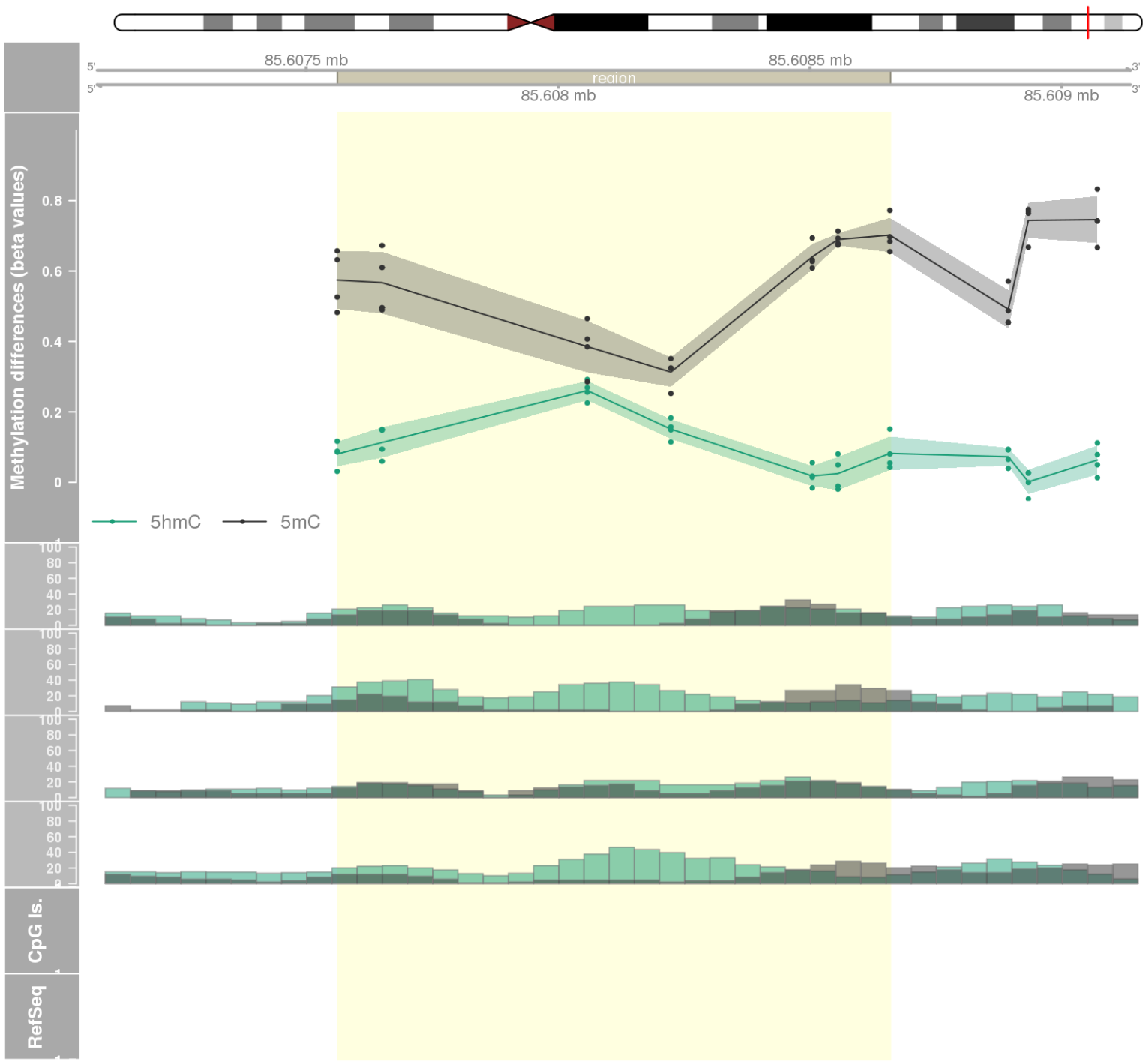




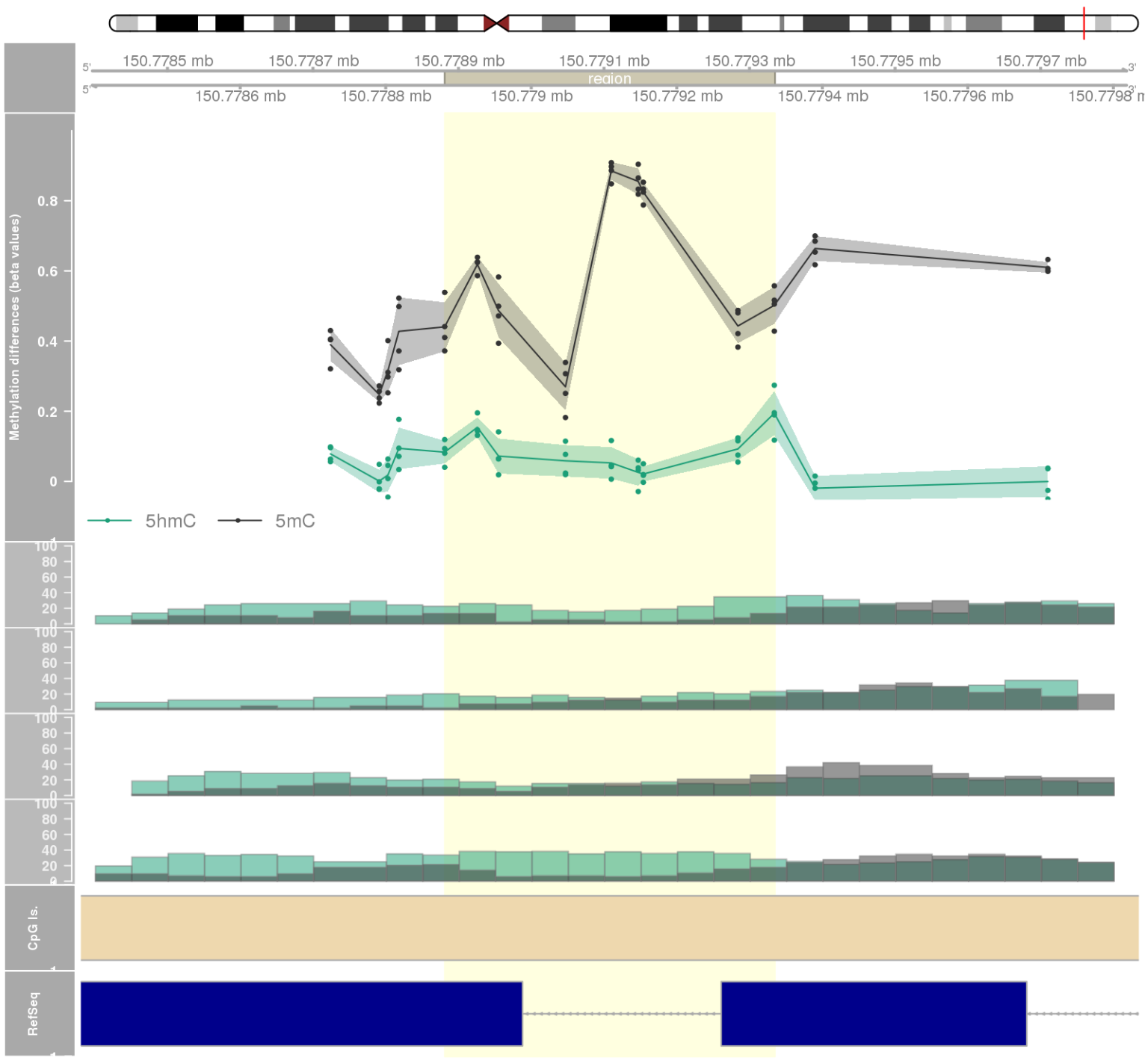
DMR 136 // chr19:5913854-5915215 // 1361 pb. (10 probes) // pvalue: 0.005 // fwer: 0.585 // pvalueArea: 0.013 // fwerArea: 1
- genes: CAPS -



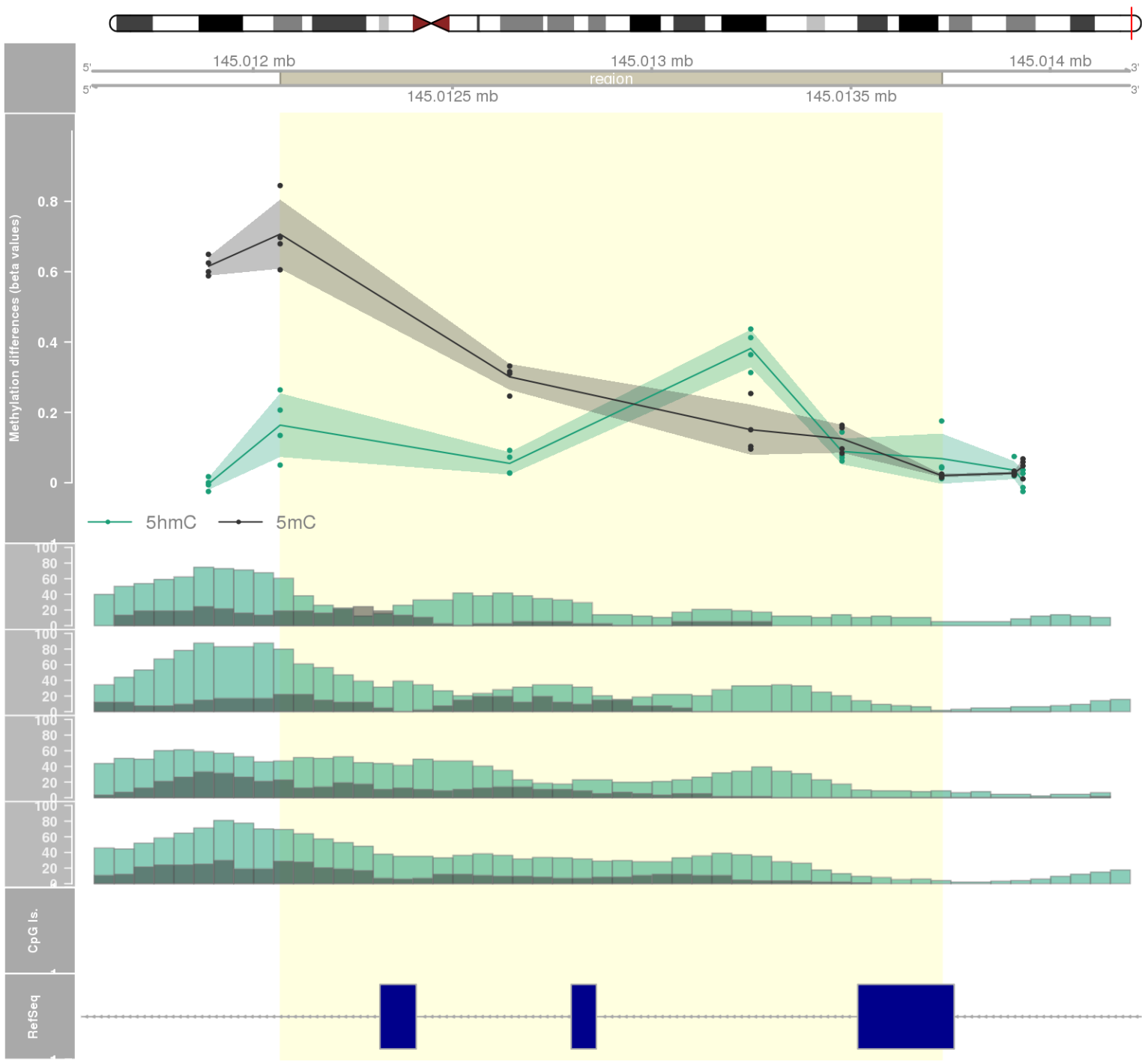




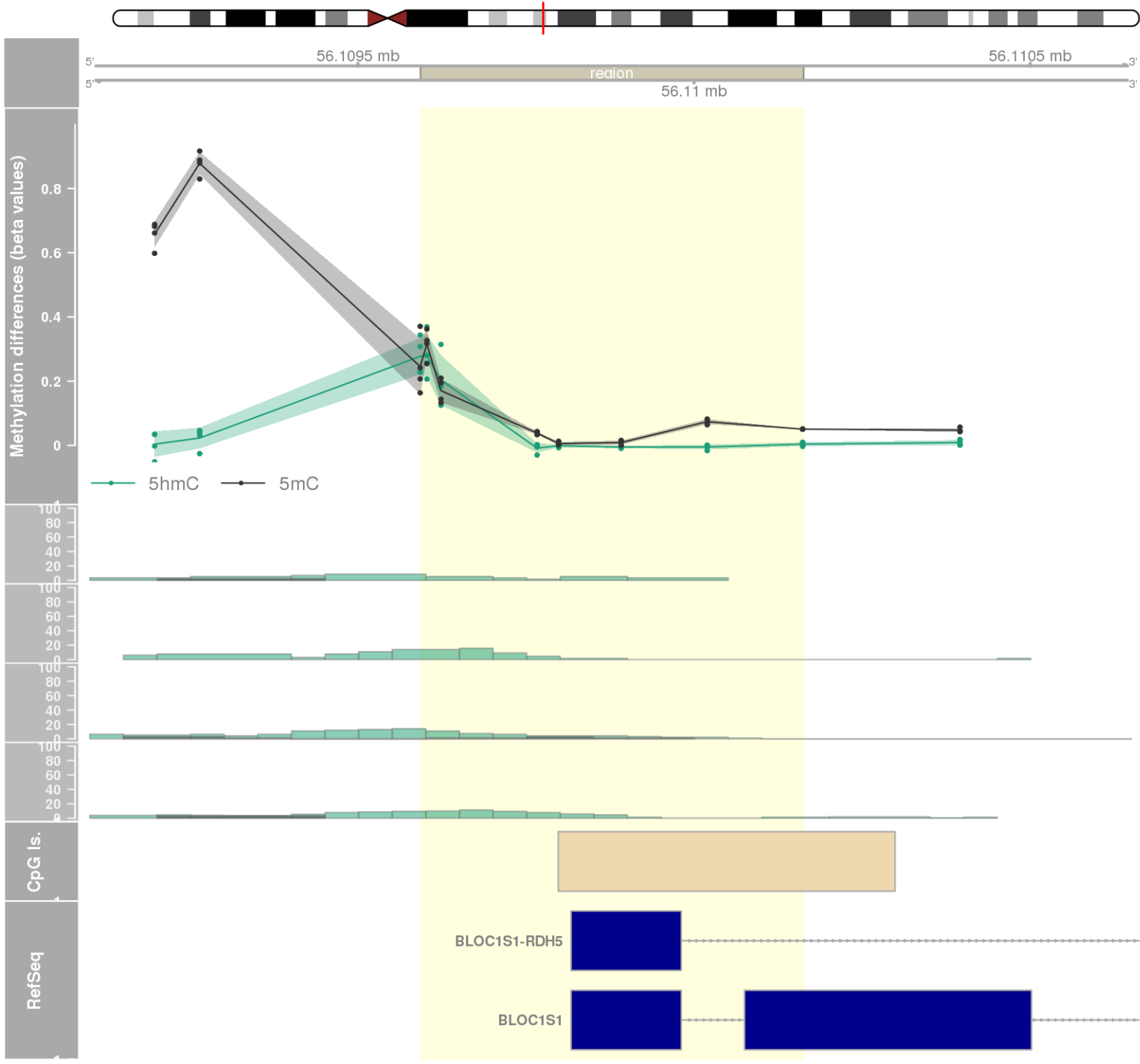
DMR 139 // chr7:150778881-150779334 // 453 pb. (9 probes) // pvalue: 0.005 // fwer: 0.788 // pvalueArea: 0.013 // fwerArea: 1
- genes: TMUB1 -



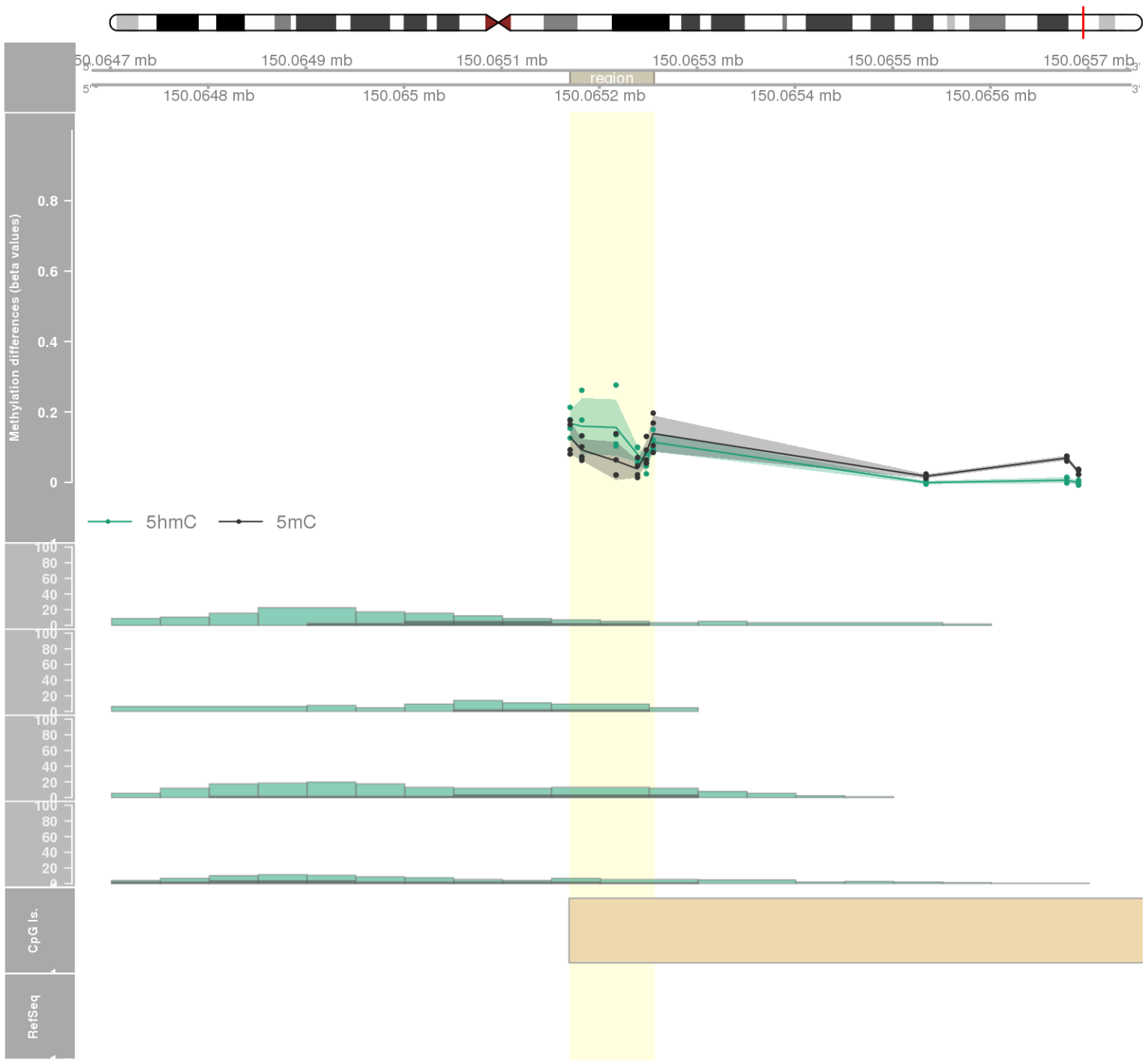
DMR 140 // chr8:145012068-145013728 // 1660 pb. (5 probes) // pvalue: 0.001 // fwer: 0.422 // pvalueArea: 0.013 // fwerArea: 1
- genes: PLEC -



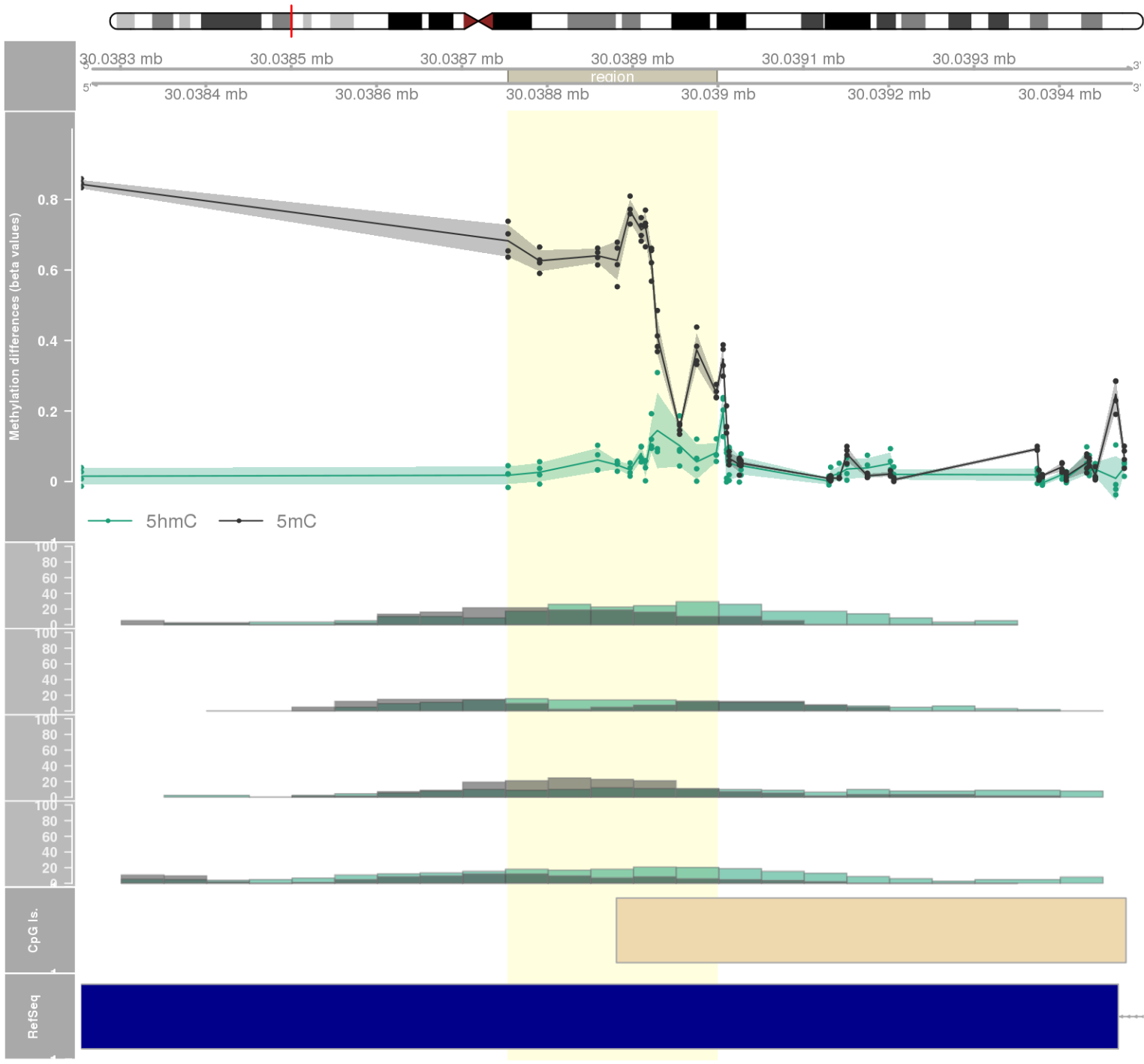
DMR 141 // chr12:56109593-56110162 // 569 pb. (8 probes) // pvalue: 0.001 // fwer: 0.595 // pvalueArea: 0.014 // fwerArea: 1
- genes: ITGA7 / BLOC1S1 -

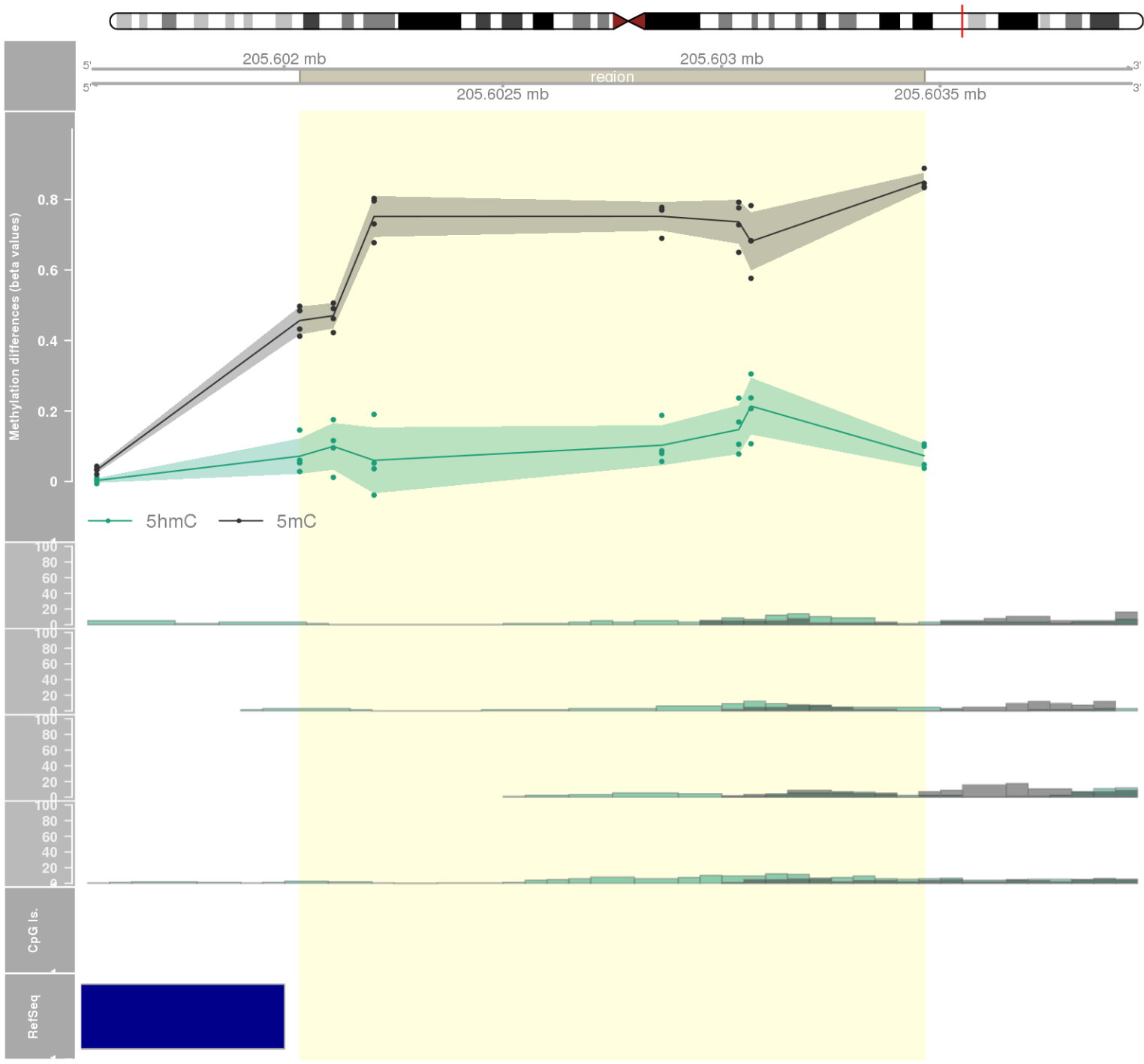


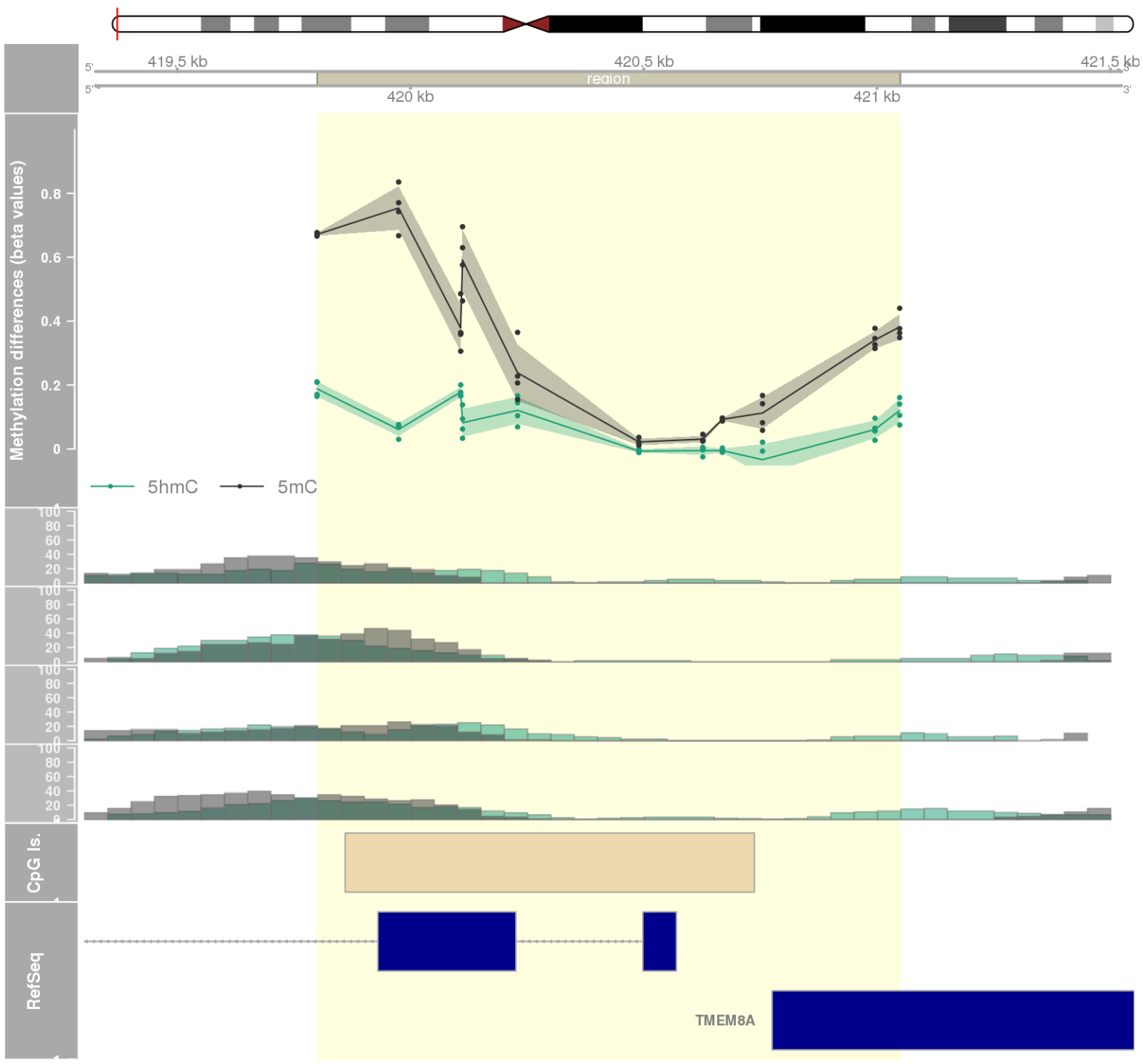
DMR 142 // chr7:150065170-150065255 // 85 pb. (6 probes) // pvalue: 0.003 // fwer: 0.615 // pvalueArea: 0.014 // fwerArea: 1



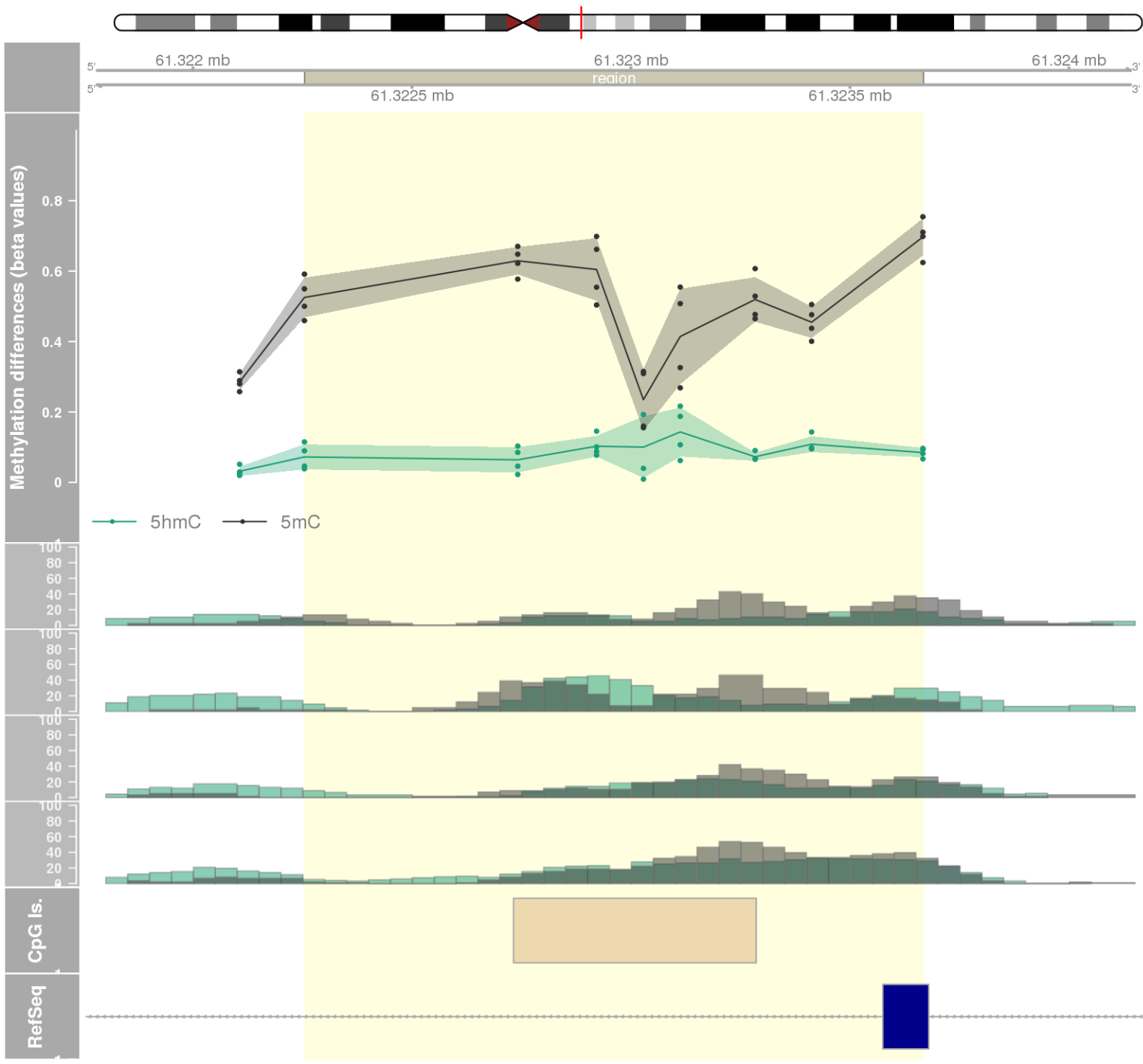
DMR 143 // chr6:30038754-30038998 // 244 pb. (12 probes) // pvalue: 0.004 // fwer: 1 // pvalueArea: 0.014 // fwerArea: 1
- genes: RNF39 -



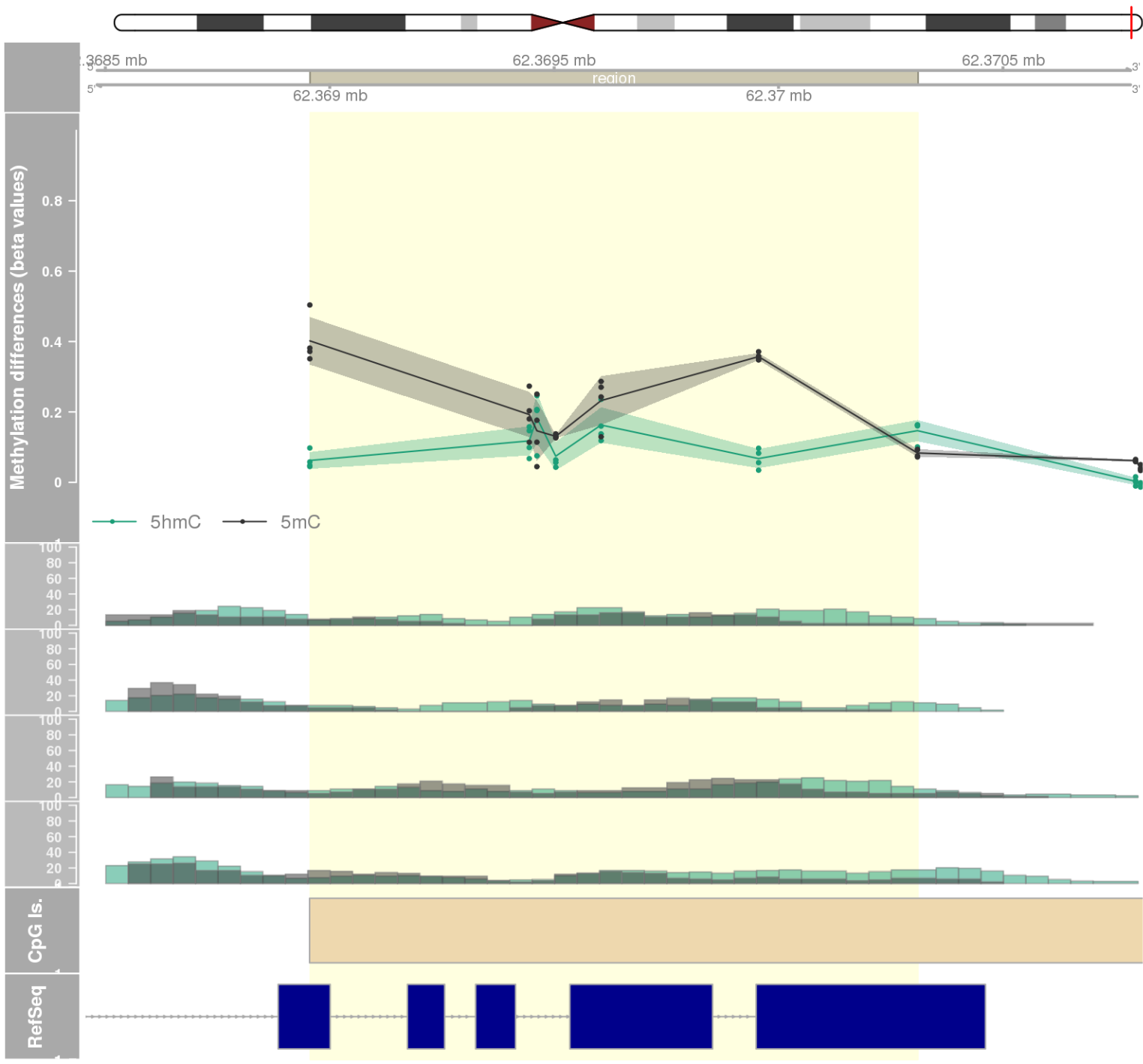




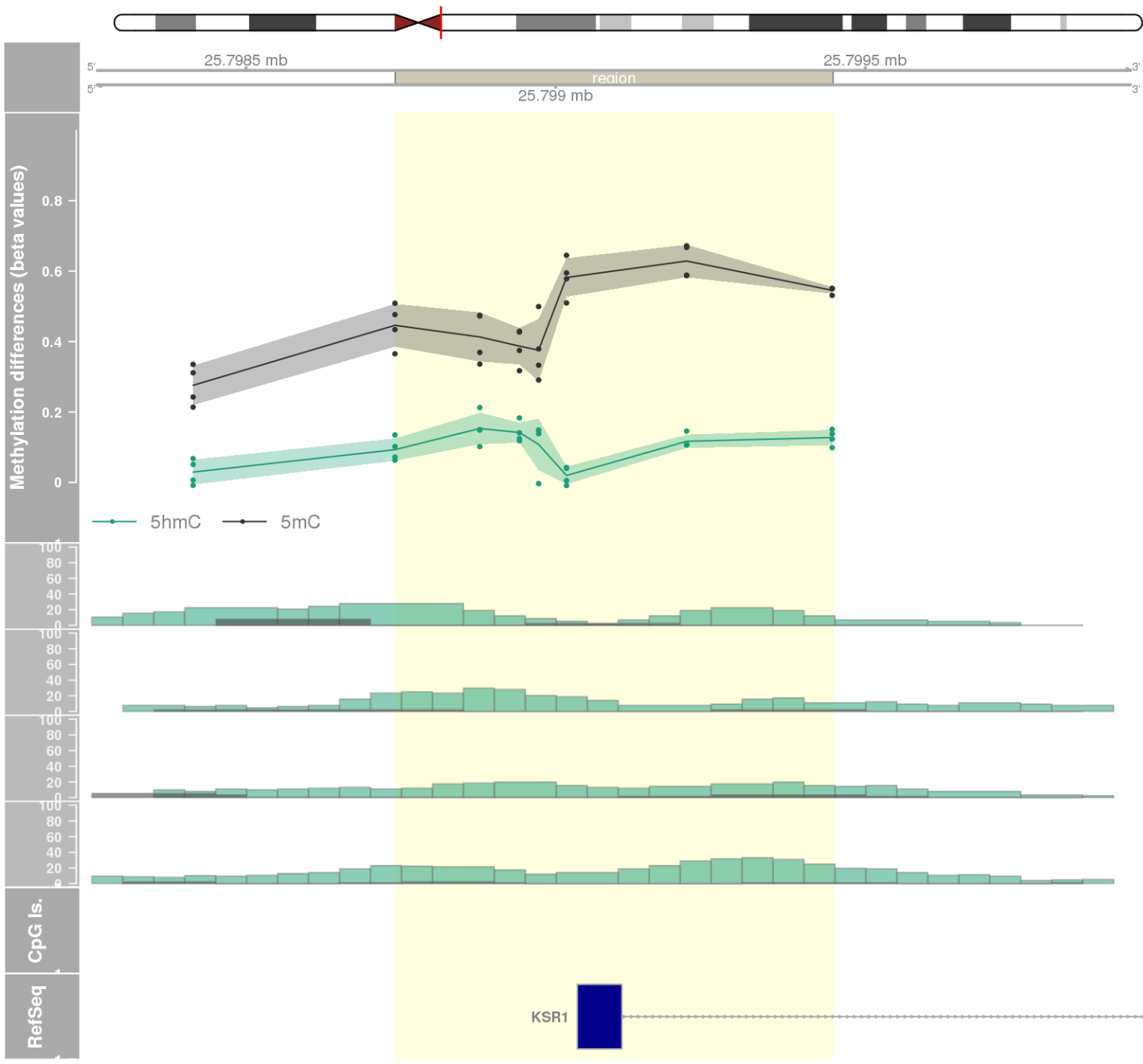
DMR 146 // chr11:61322255-61323667 // 1412 pb. (8 probes) // pvalue: 0.004 // fwer: 0.797 // pvalueArea: 0.014 // fwerArea: 1
- genes: SYT7 -

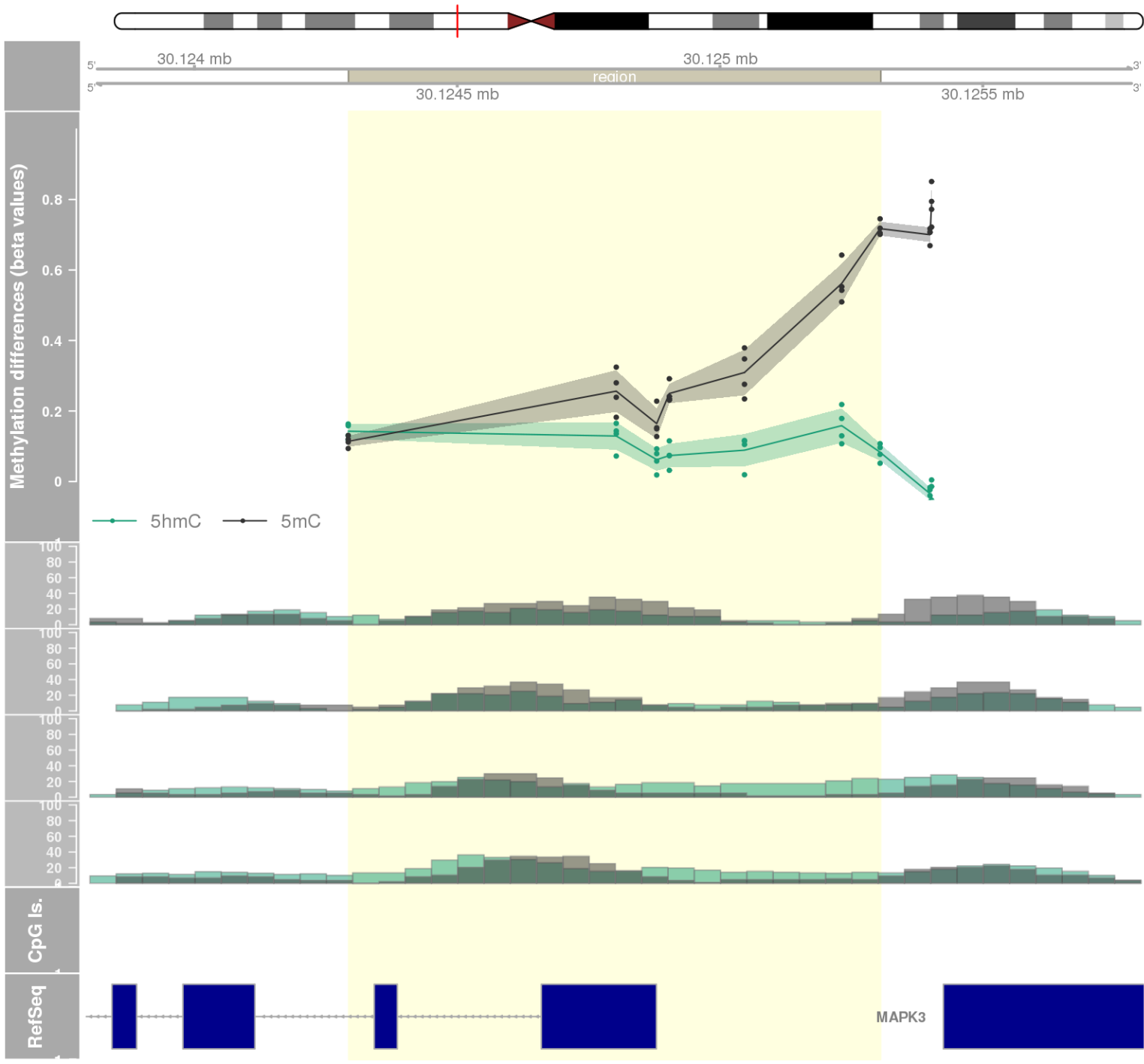


DMR 147 // chr20:62368956-62370310 // 1354 pb. (7 probes) // pvalue: 0.005 // fwer: 0.615 // pvalueArea: 0.014 // fwerArea: 1
- genes: LIME1 -

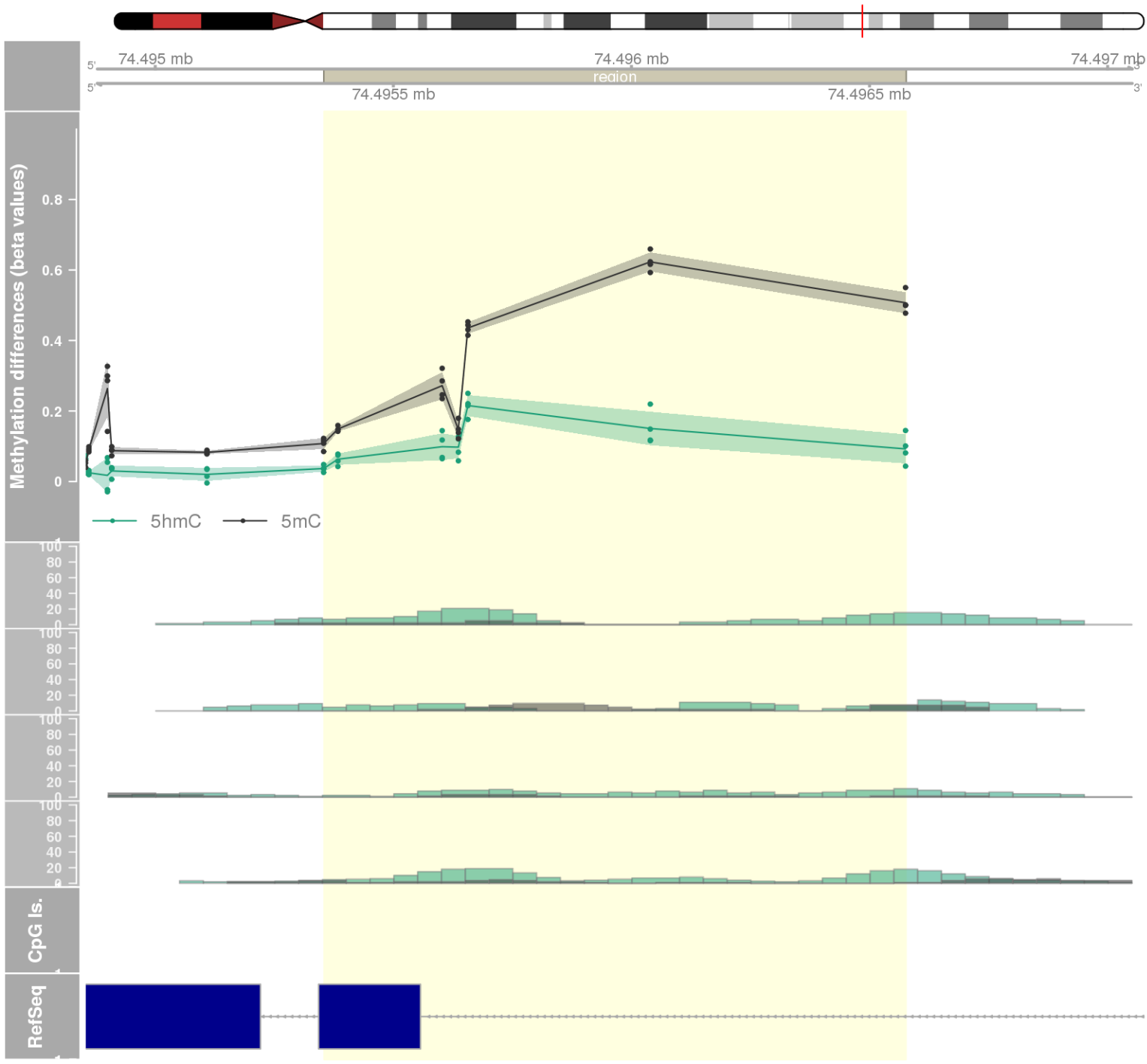


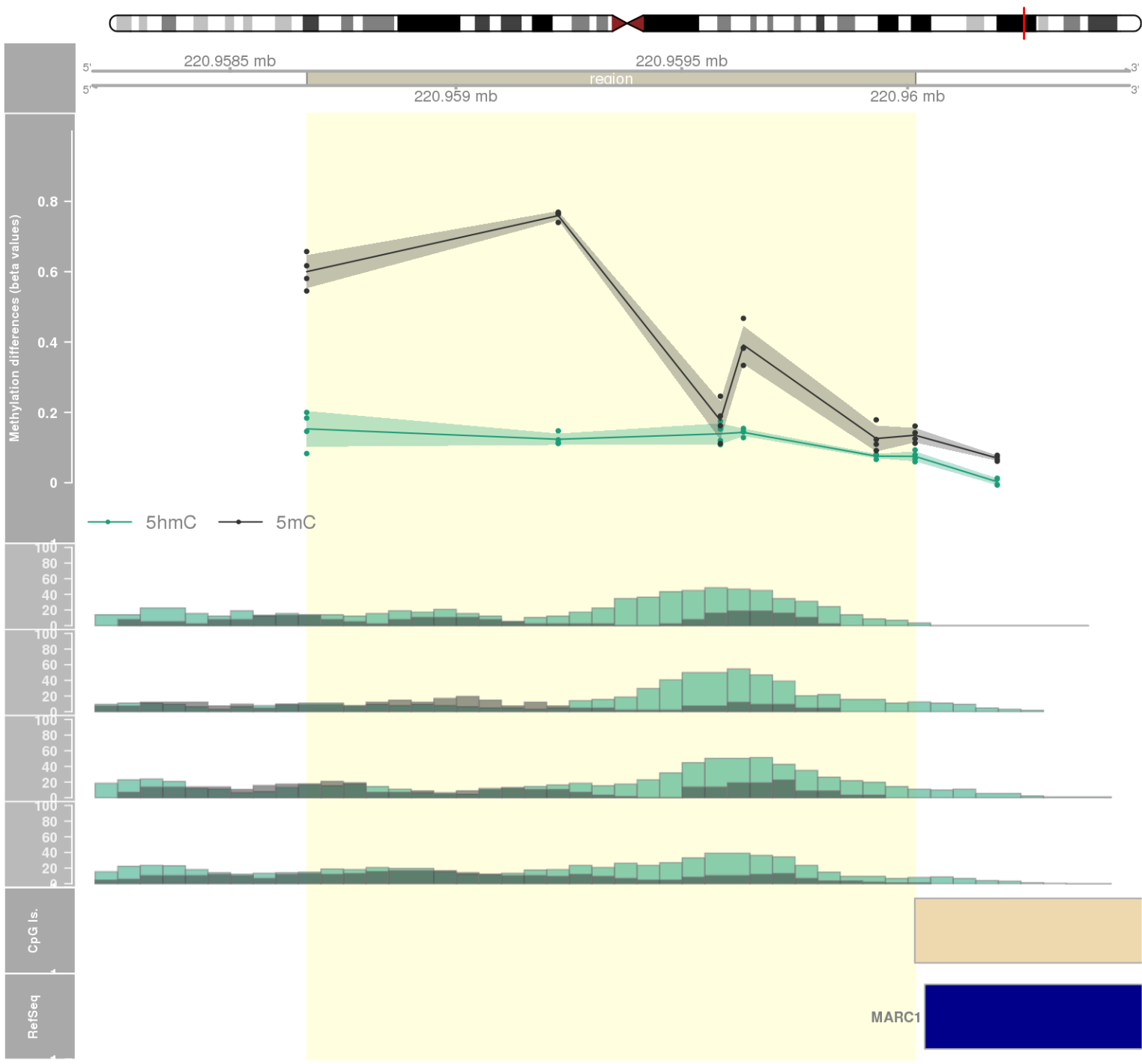
DMR 148 // chr17:25798741-25799447 // 706 pb. (7 probes) // pvalue: 0.005 // fwer: 0.615 // pvalueArea: 0.014 // fwerArea: 1
- genes: KSR1 -



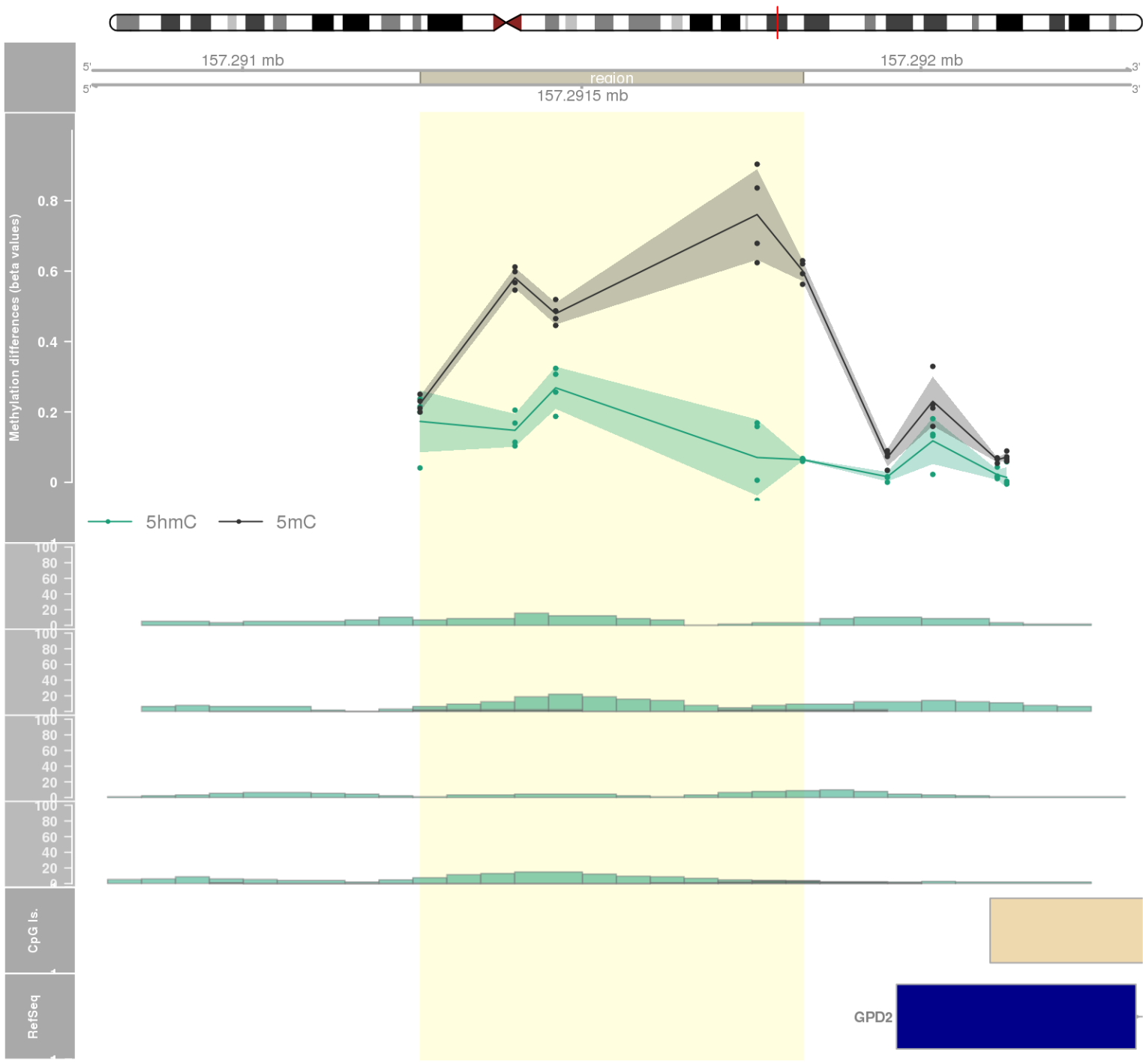


DMR 150 // chr15:74495354-74496576 // 1222 pb. (7 probes) // pvalue: 0.005 // fwer: 0.615 // pvalueArea: 0.015 // fwerArea: 1
- genes: STRA6 -

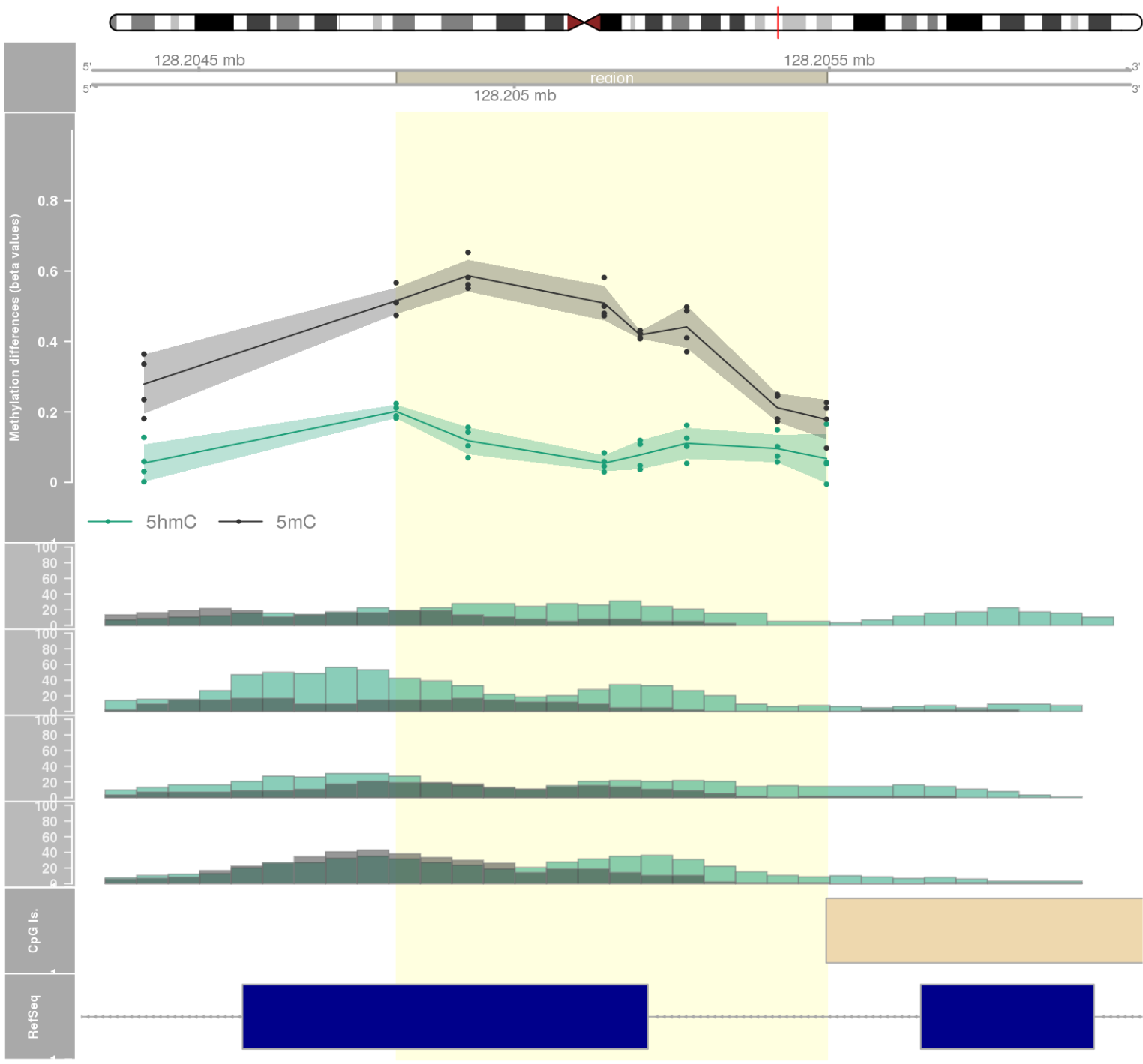


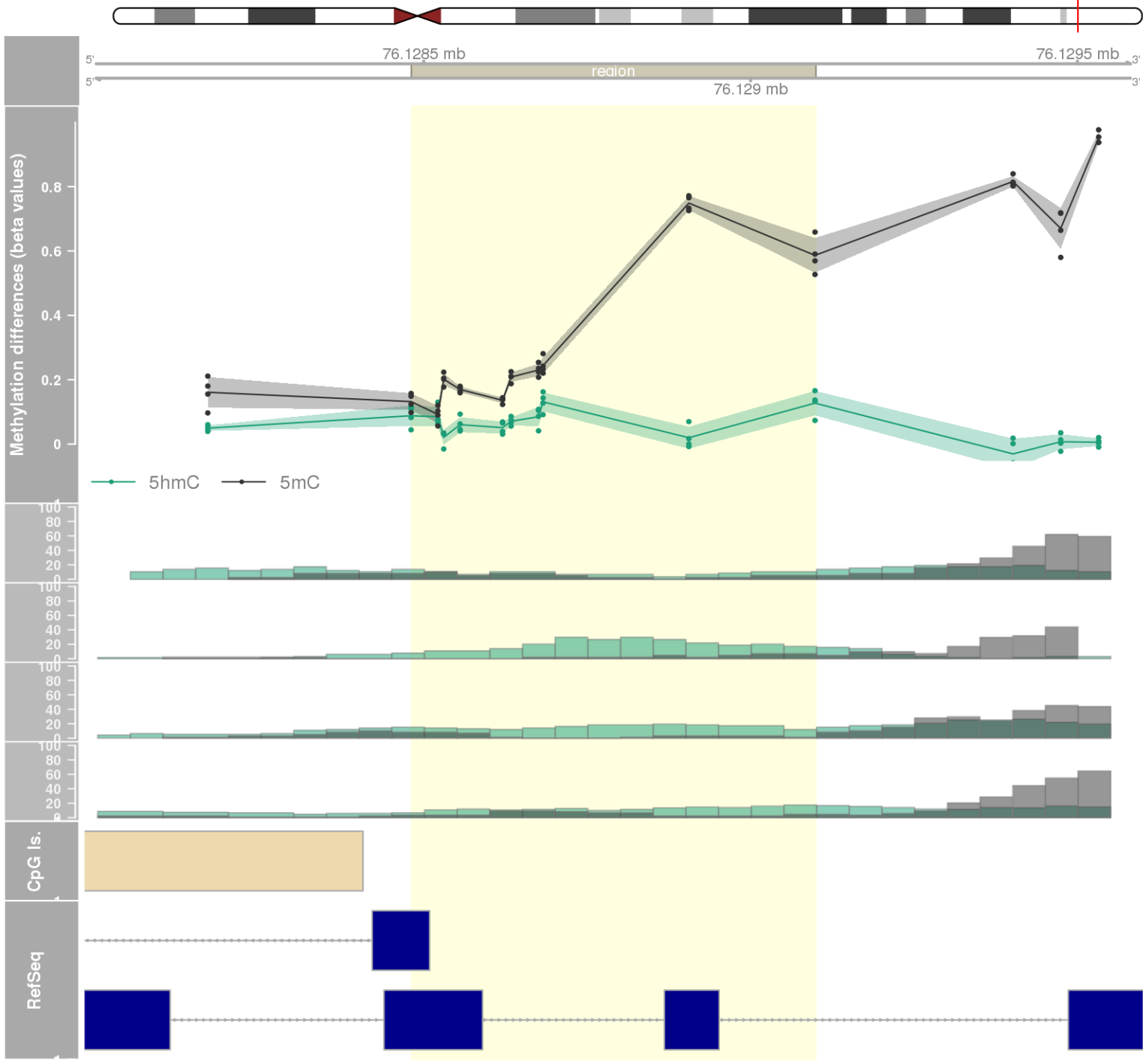


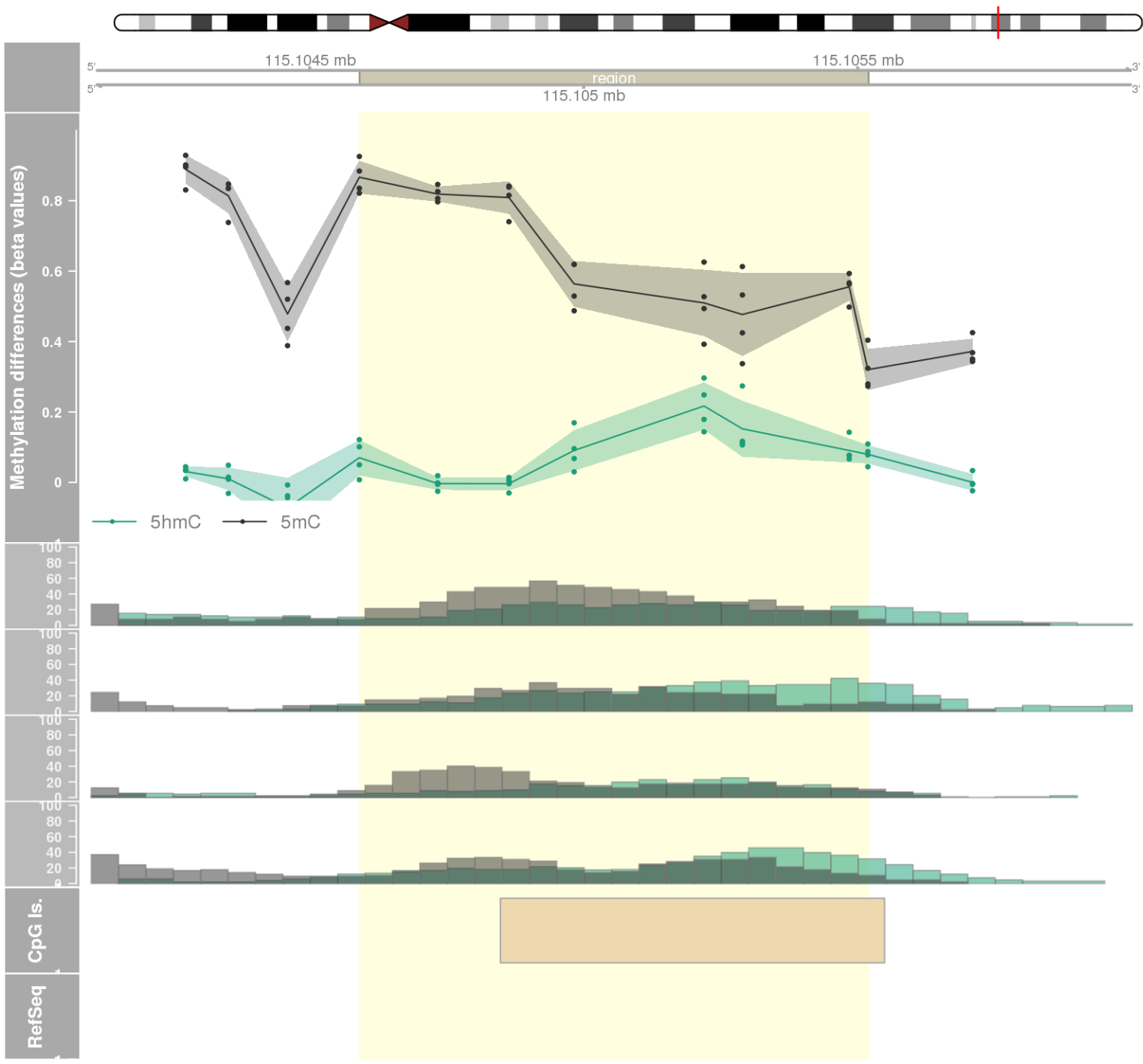
DMR 152 // chr2:157291262-157291826 // 564 pb. (5 probes) // pvalue: 0.002 // fwer: 0.827 // pvalueArea: 0.015 // fwerArea: 1
- genes: GPD2 -

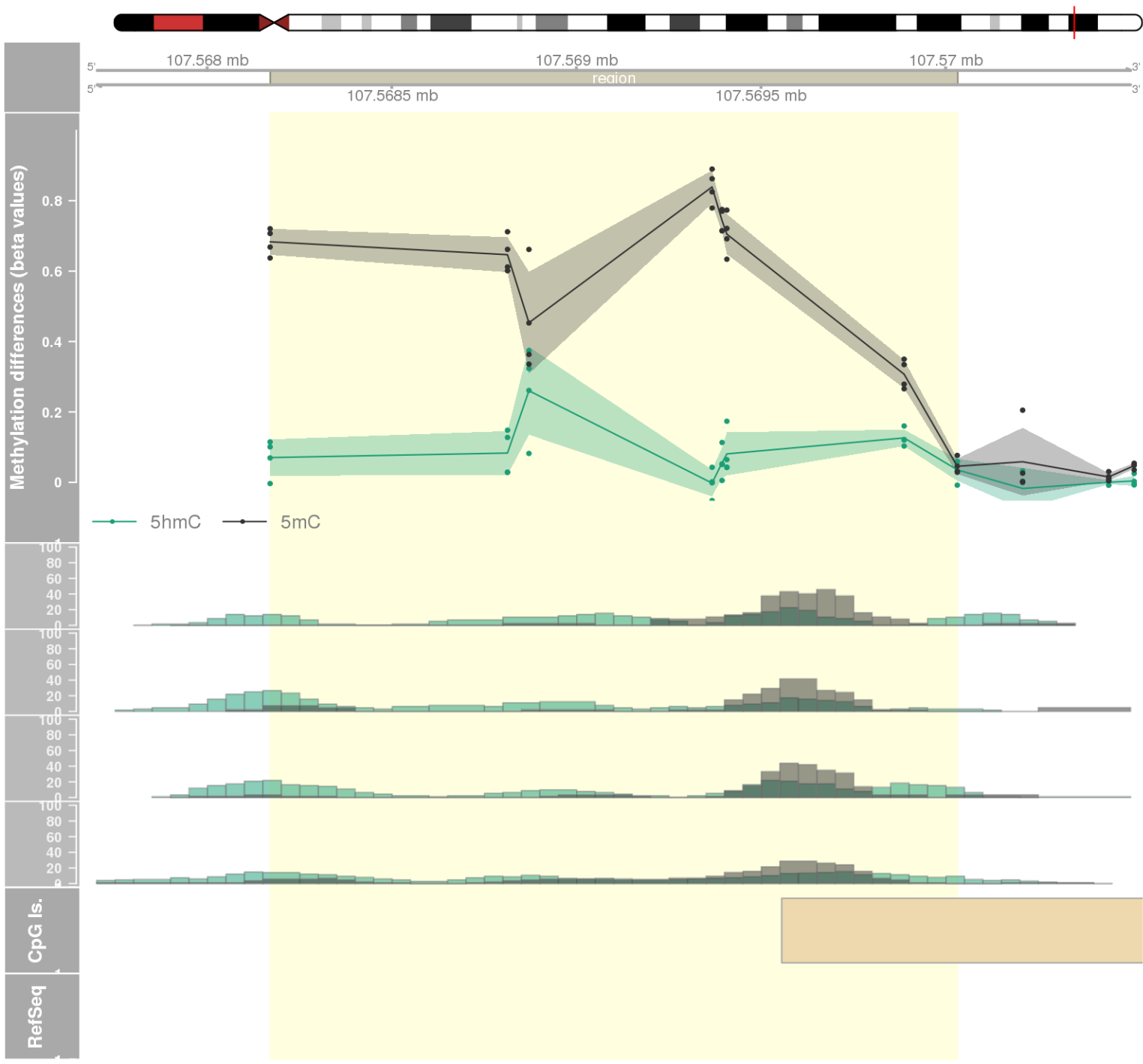


DMR 153 // chr3:128204813-128205496 // 683 pb. (7 probes) // pvalue: 0.005 // fwer: 0.615 // pvalueArea: 0.015 // fwerArea: 1
- genes: GATA2 -

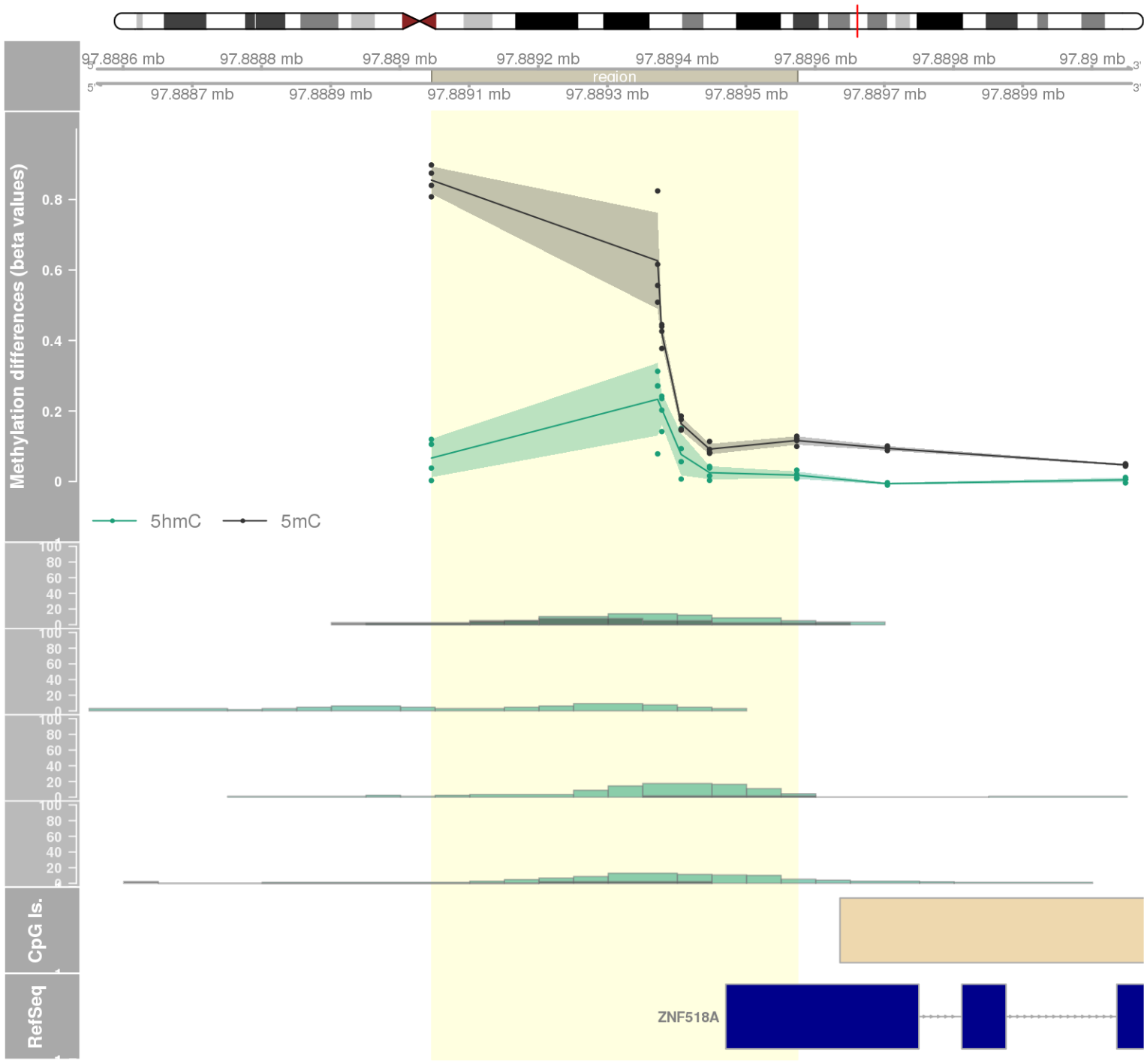


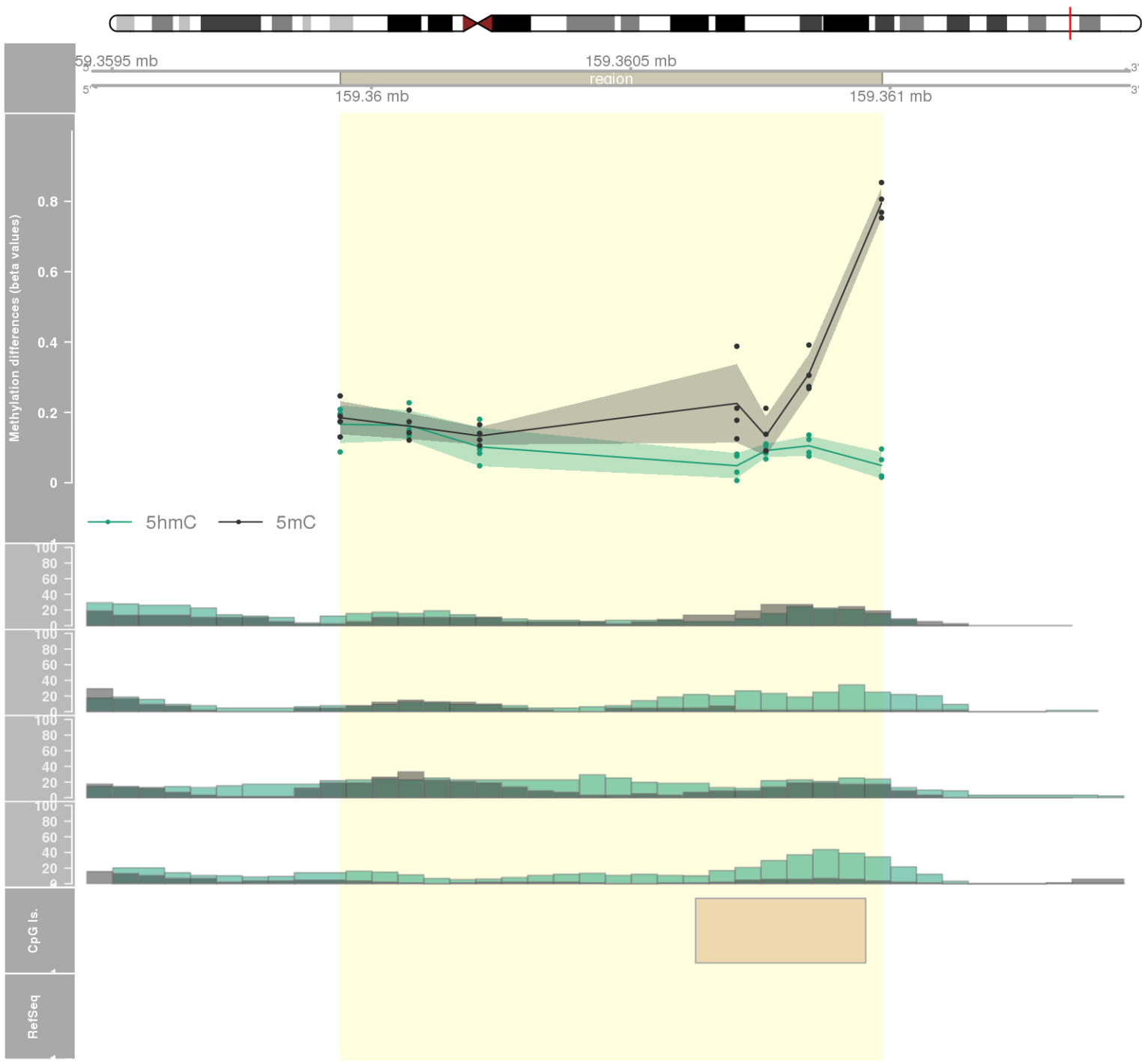




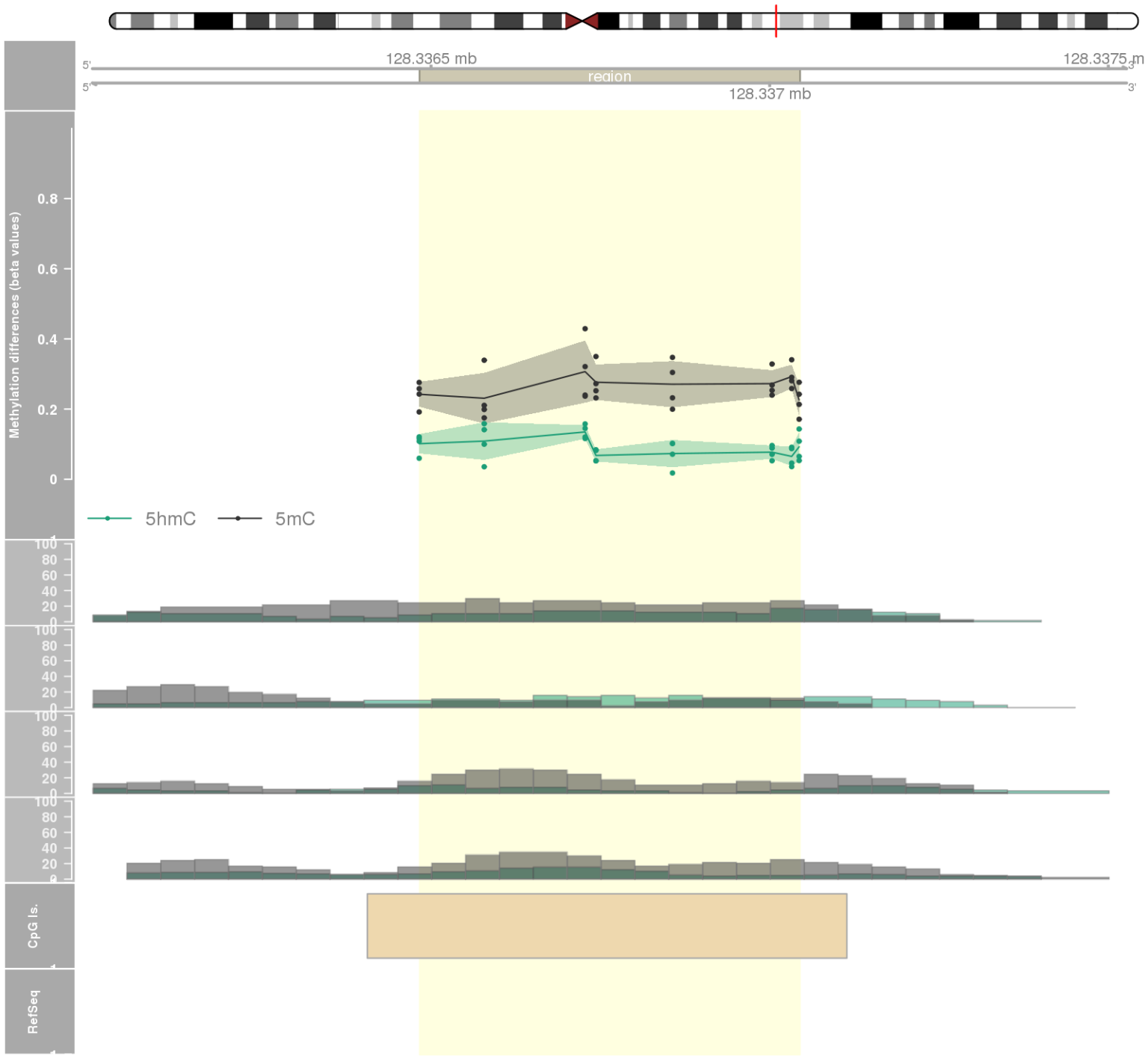


DMR 157 // chr10:97889046-97889574 // 528 pb. (6 probes) // pvalue: 0.003 // fwer: 0.615 // pvalueArea: 0.015 // fwerArea: 1
- genes: ZNF518A -

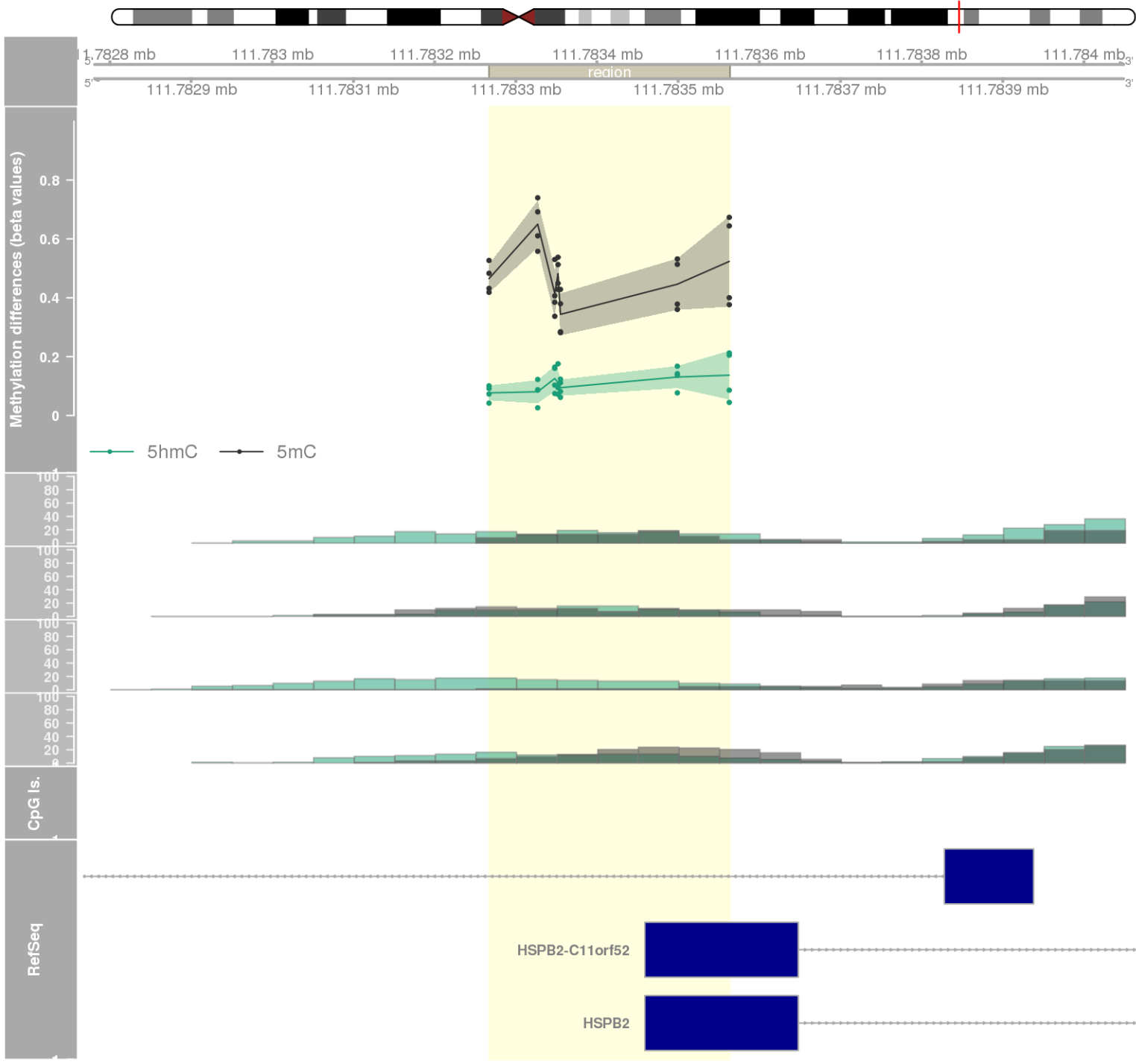




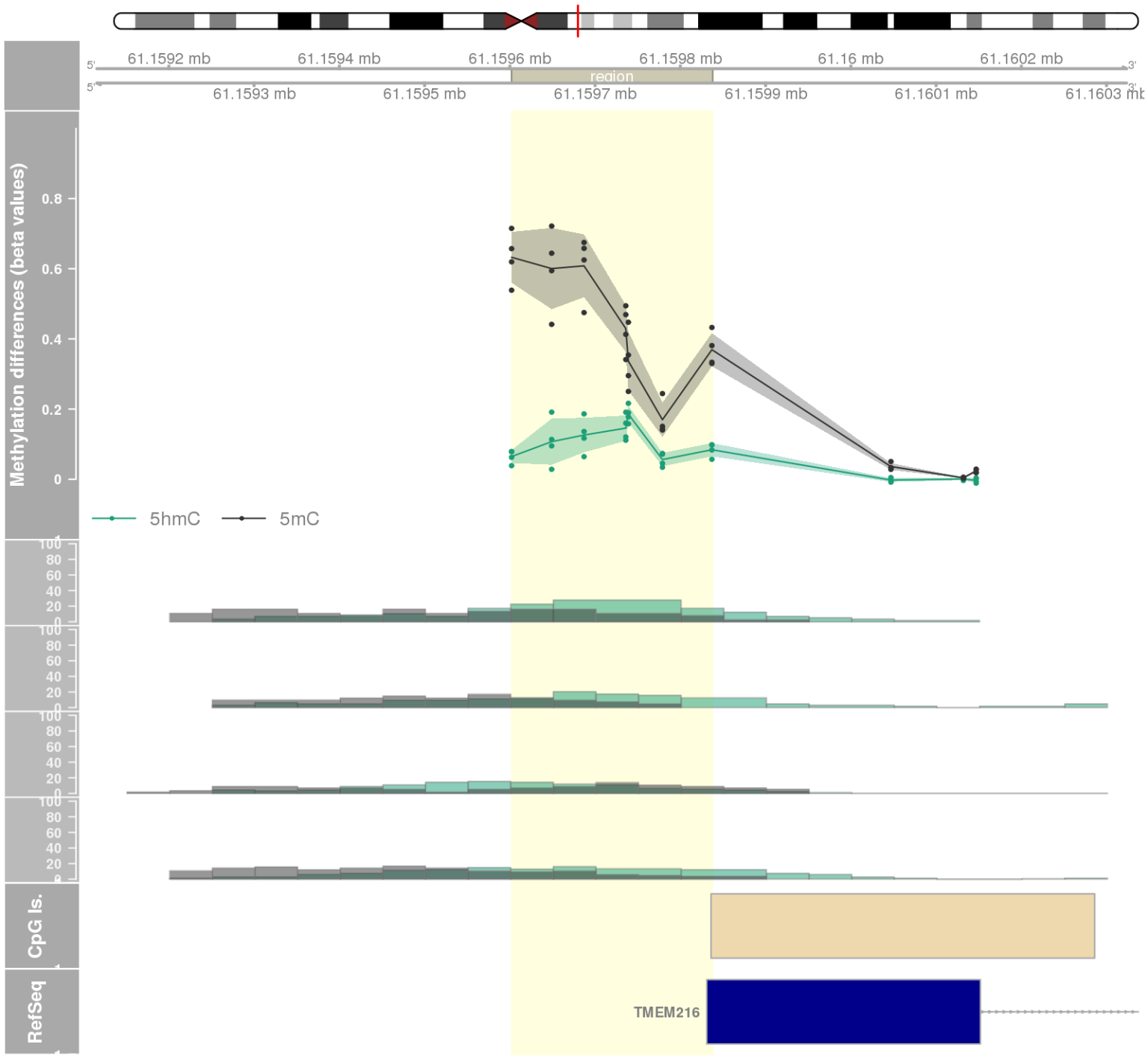
DMR 159 // chr3:128336483-128337044 // 561 pb. (8 probes) // pvalue: 0.005 // fwer: 0.797 // pvalueArea: 0.015 // fwerArea: 1



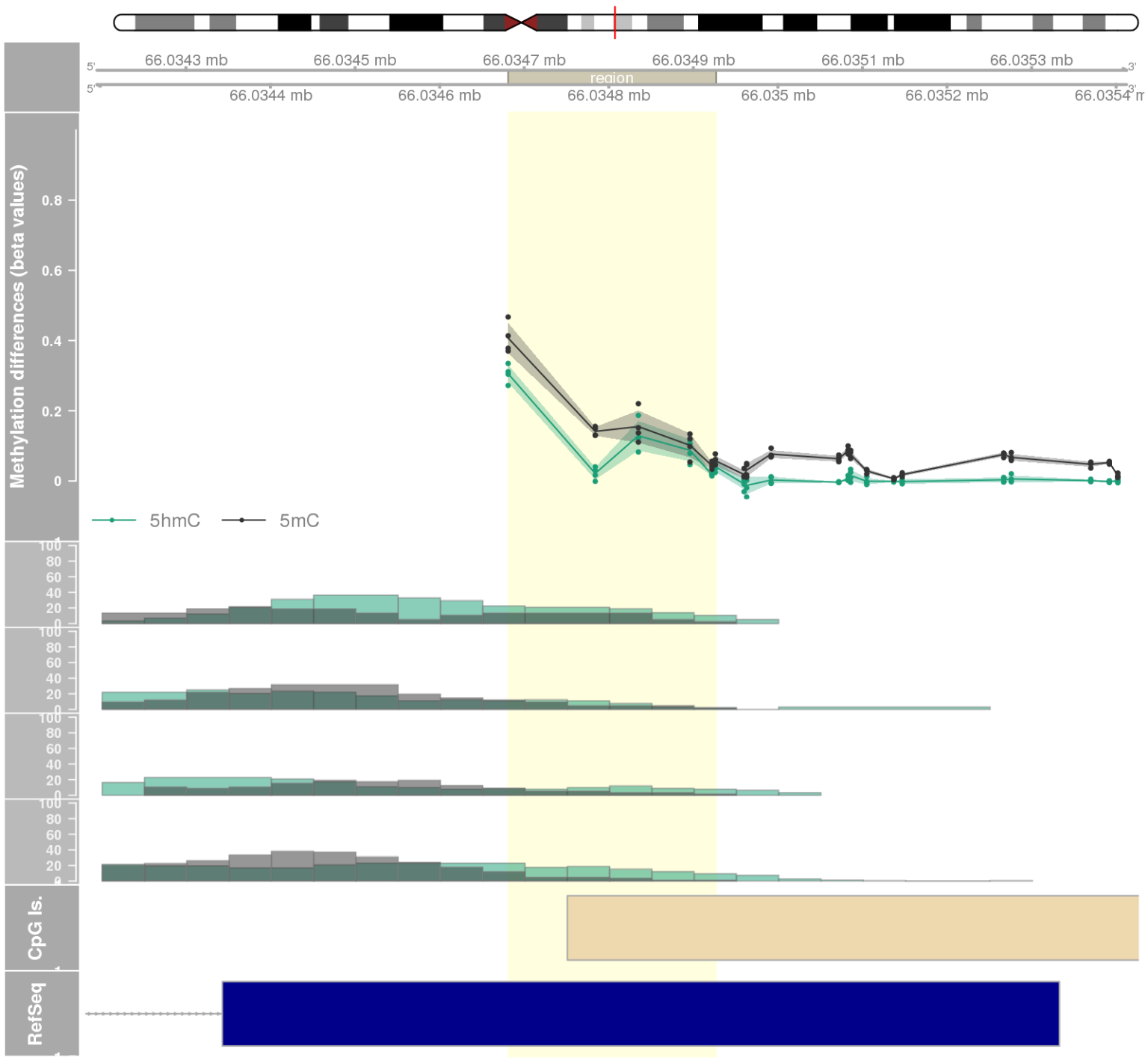
DMR 160 // chr11:111783267-111783563 // 296 pb. (7 probes) // pvalue: 0.005 // fwer: 0.615 // pvalueArea: 0.015 // fwerArea: 1
- genes: CRYAB / HSPB2-C11orf52 -



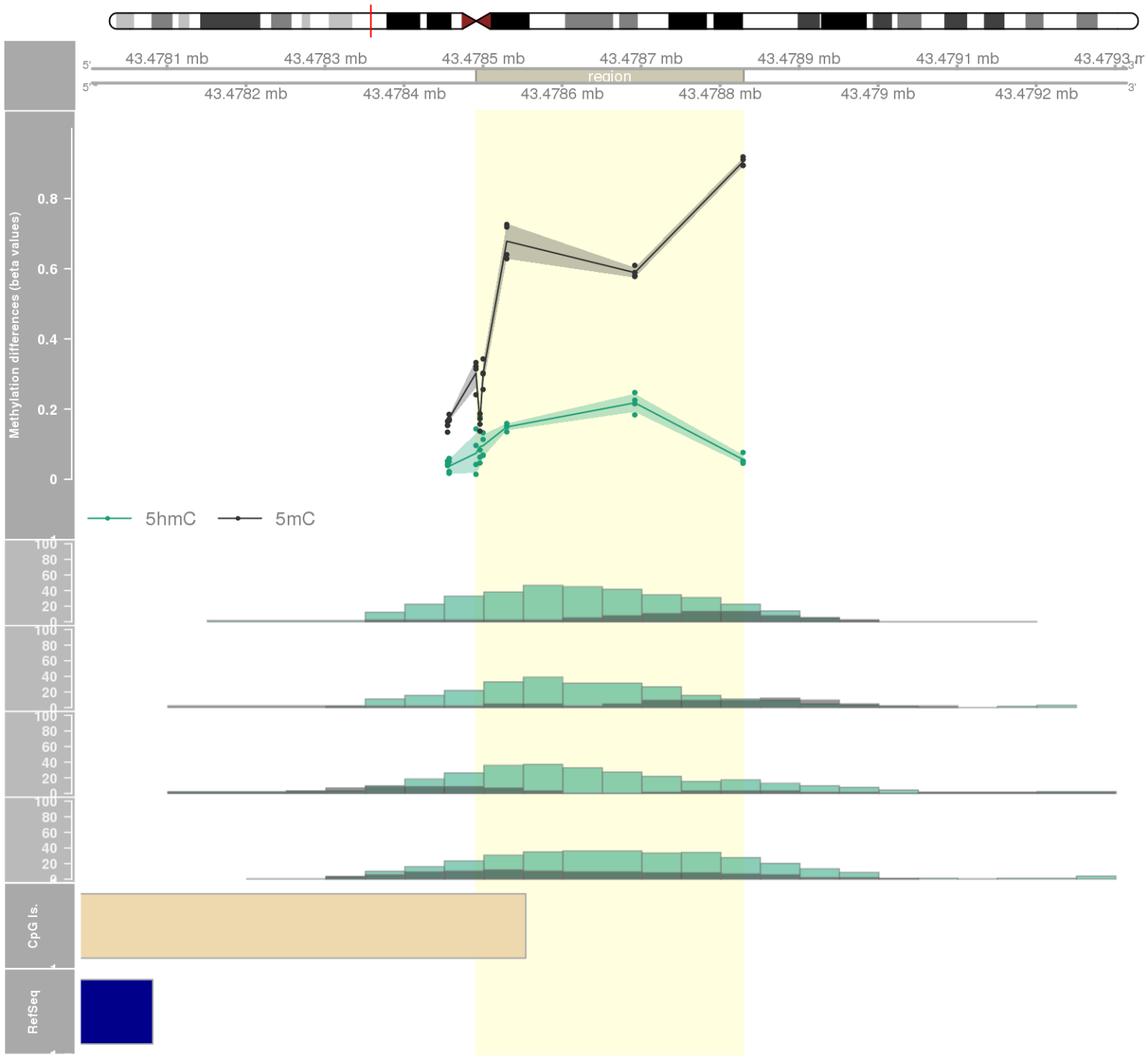
DMR 161 // chr11:61159602-61159837 // 235 pb. (7 probes) // pvalue: 0.005 // fwer: 0.615 // pvalueArea: 0.016 // fwerArea: 1
- genes: TMEM216 -



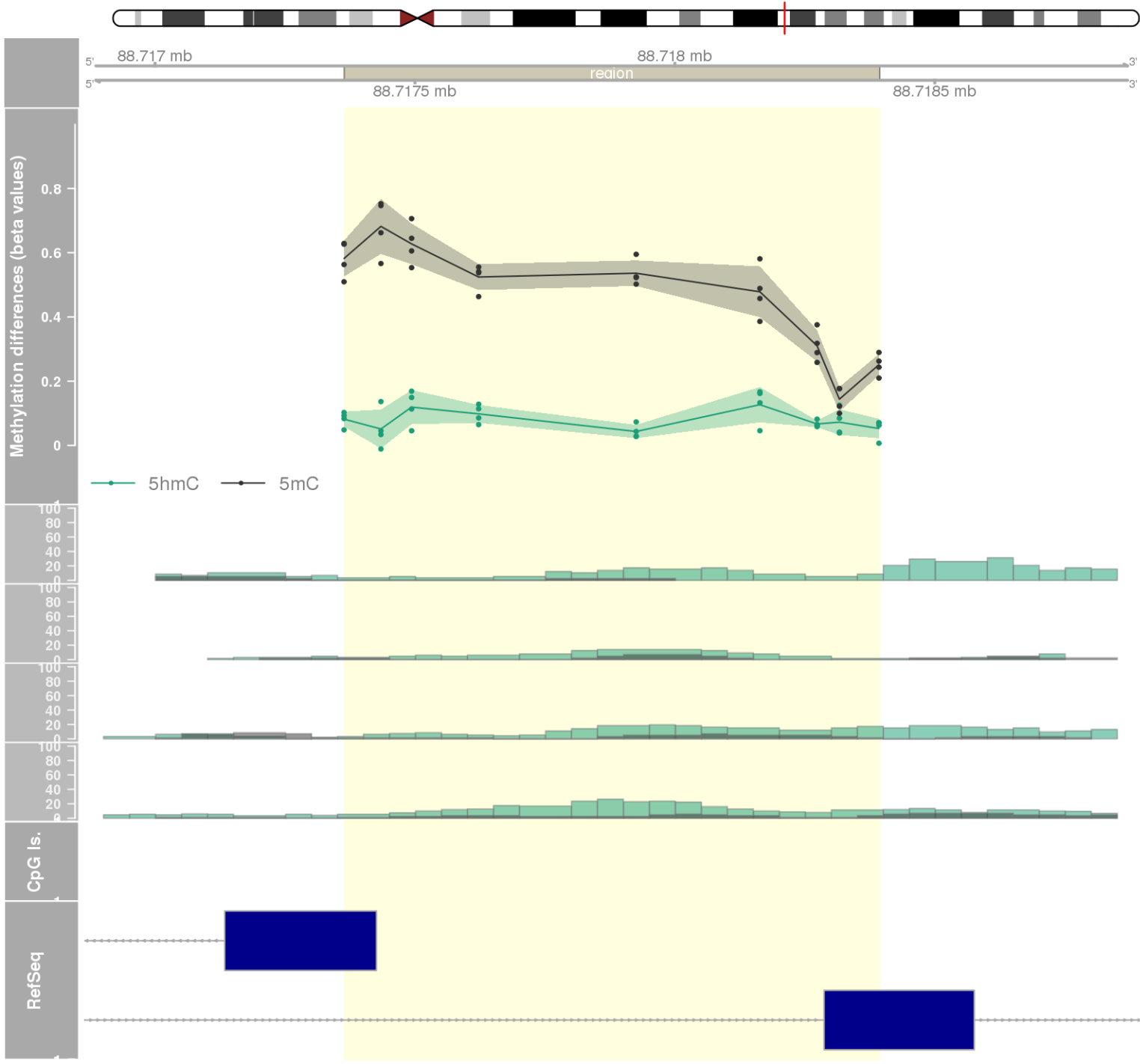
DMR 162 // chr11:66034681-66034926 // 245 pb. (6 probes) // pvalue: 0.004 // fwer: 0.615 // pvalueArea: 0.016 // fwerArea: 1
- genes: KLC2 -

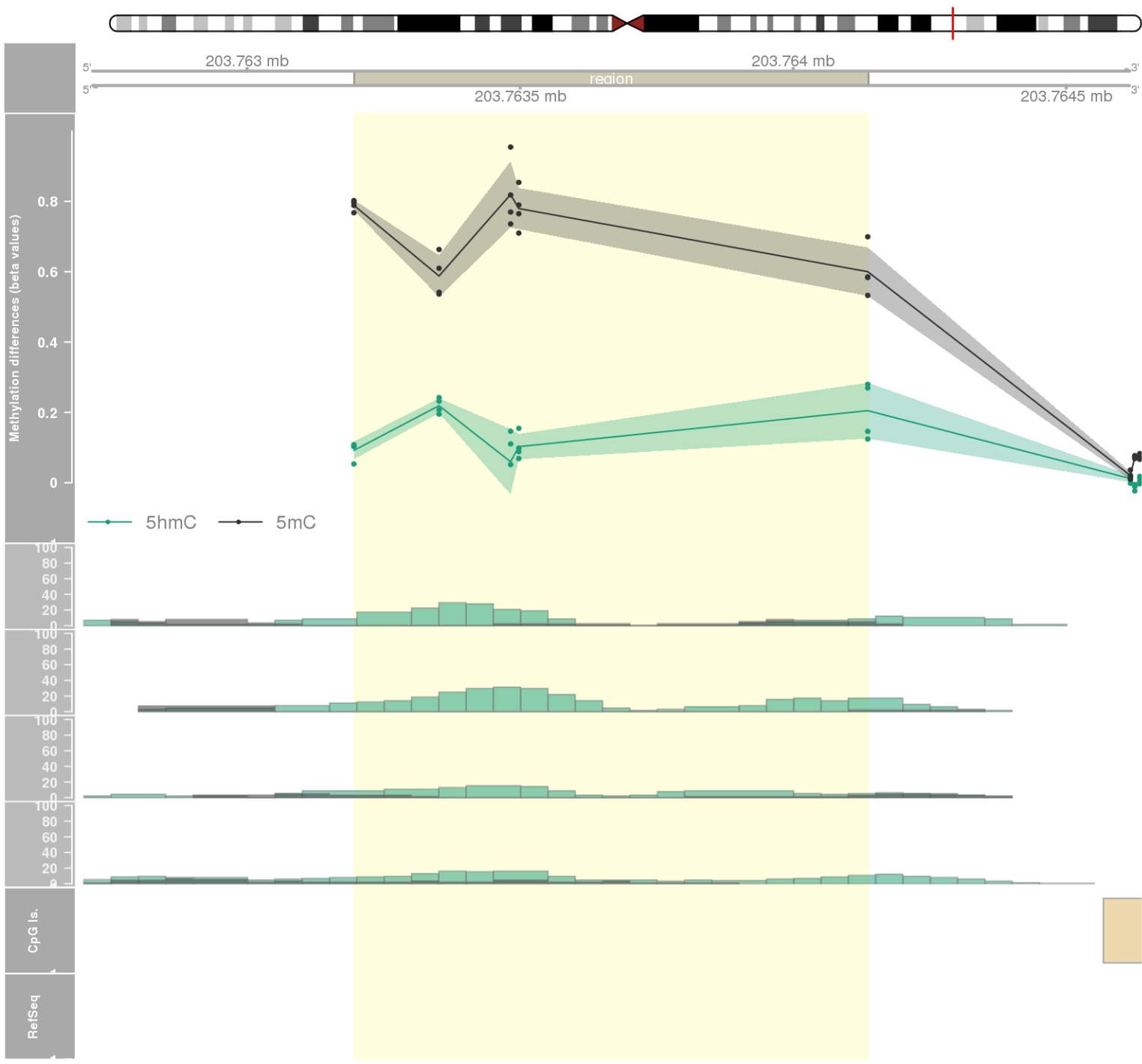


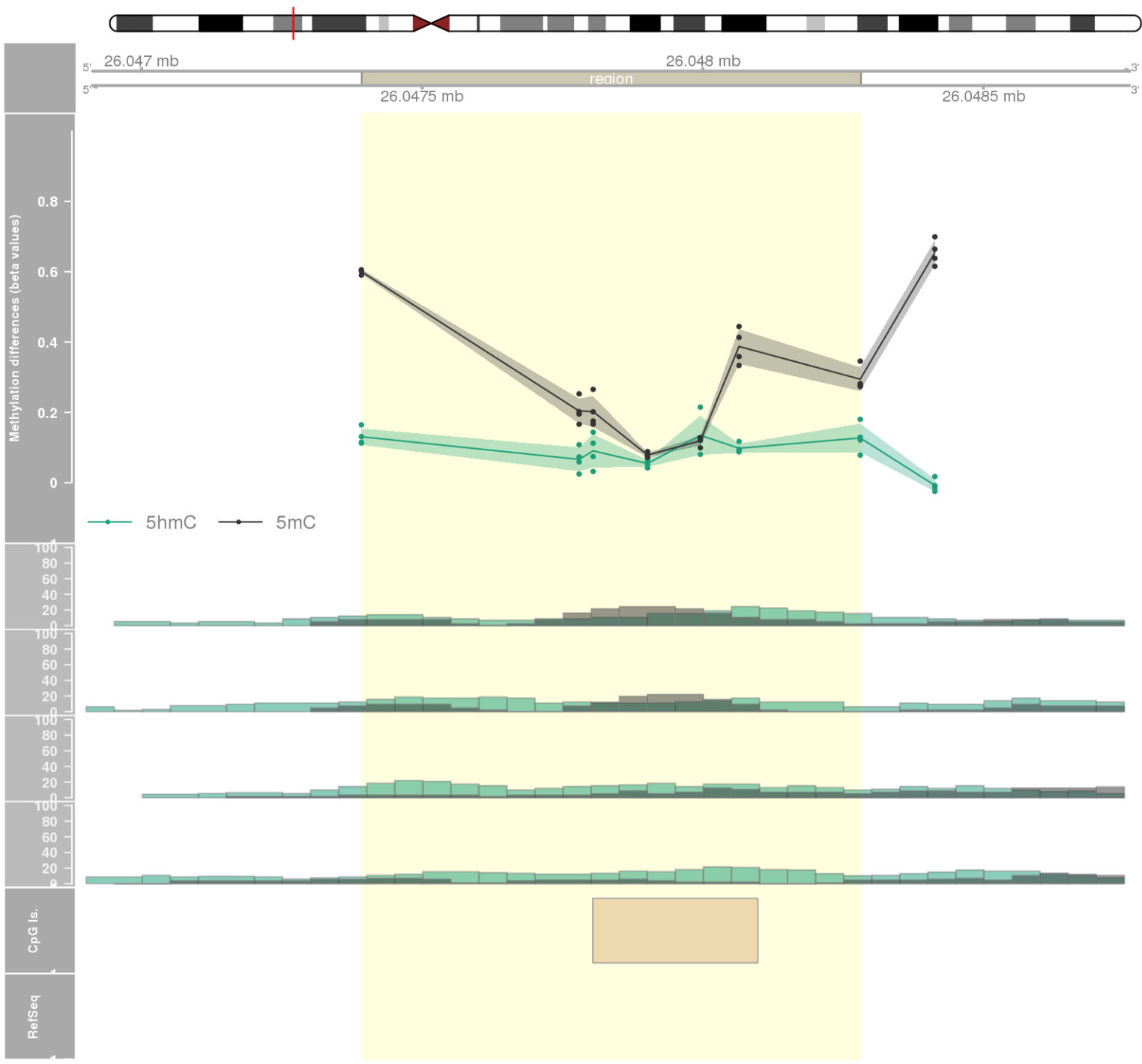
DMR 163 // chr6:43478491-43478829 // 338 pb. (6 probes) // pvalue: 0.004 // fwer: 0.615 // pvalueArea: 0.016 // fwerArea: 1
- genes: POLR1C -



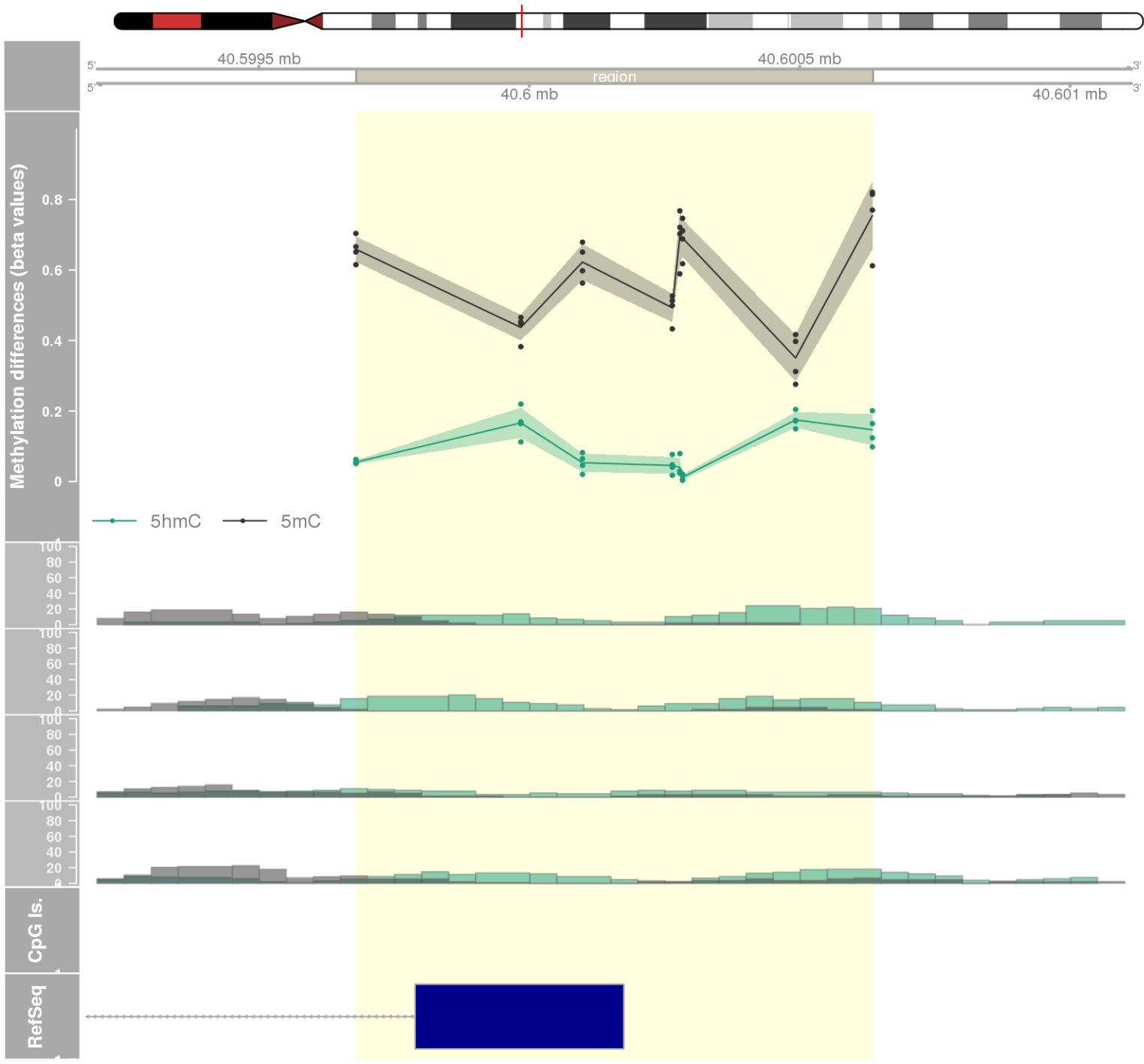
DMR 164 // chr10:88717364-88718393 // 1029 pb. (9 probes) // pvalue: 0.006 // fwer: 0.788 // pvalueArea: 0.016 // fwerArea: 1
- genes: MMRN2 / SNCG -

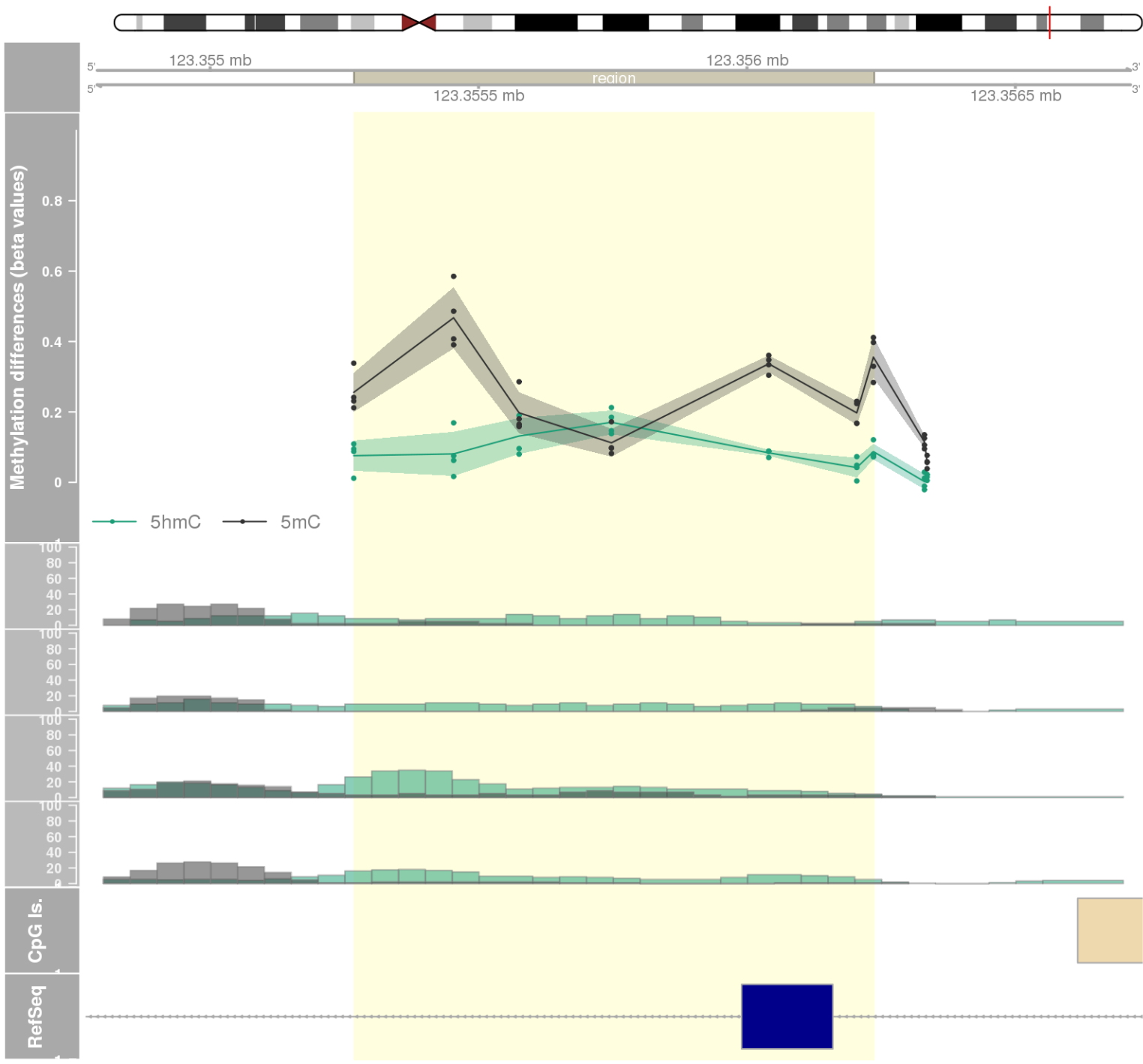




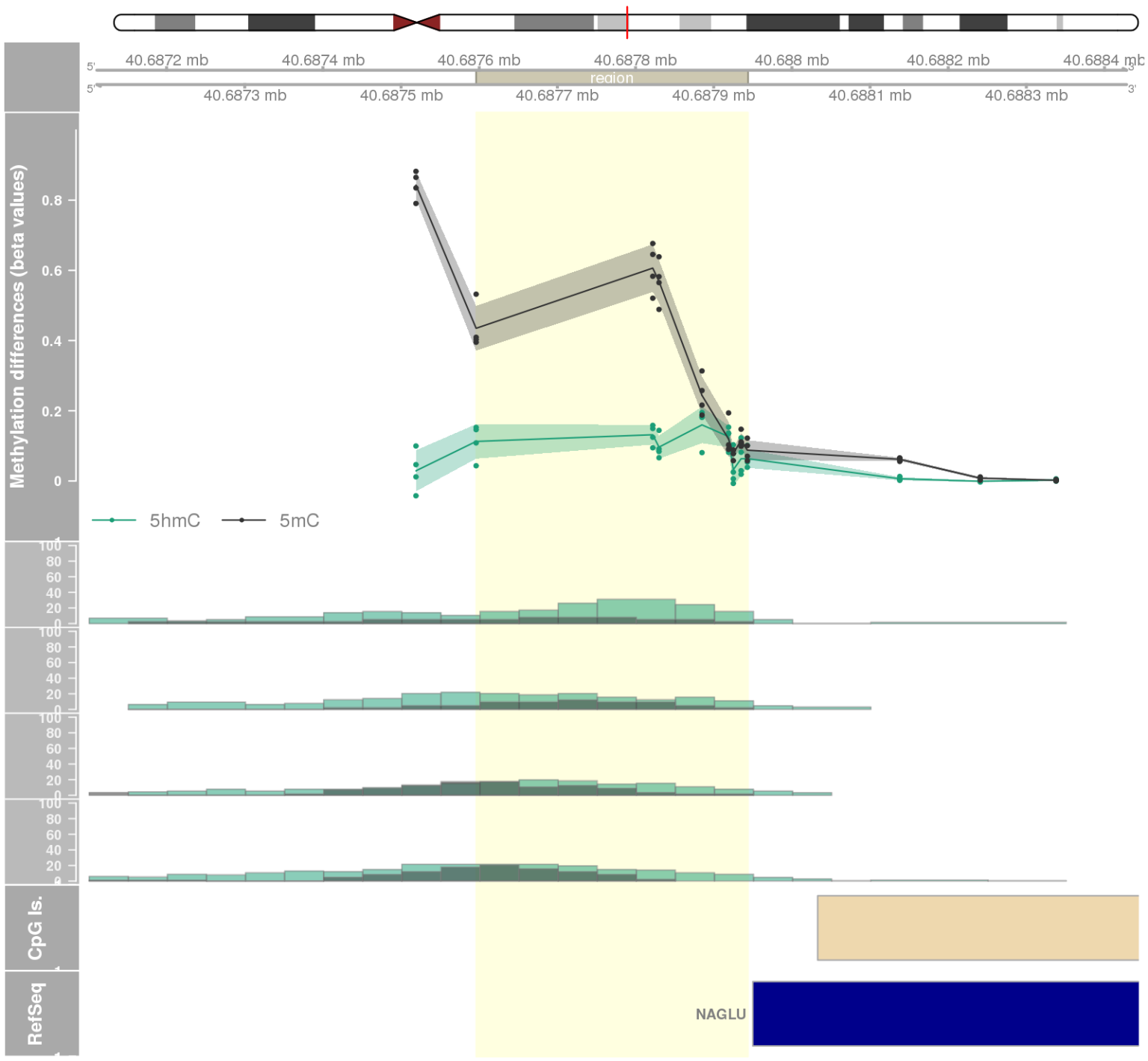


DMR 167 // chr15:40599680-40600635 // 955 pb. (8 probes) // pvalue: 0.005 // fwer: 0.797 // pvalueArea: 0.016 // fwerArea: 1
- genes: PLCB2 -

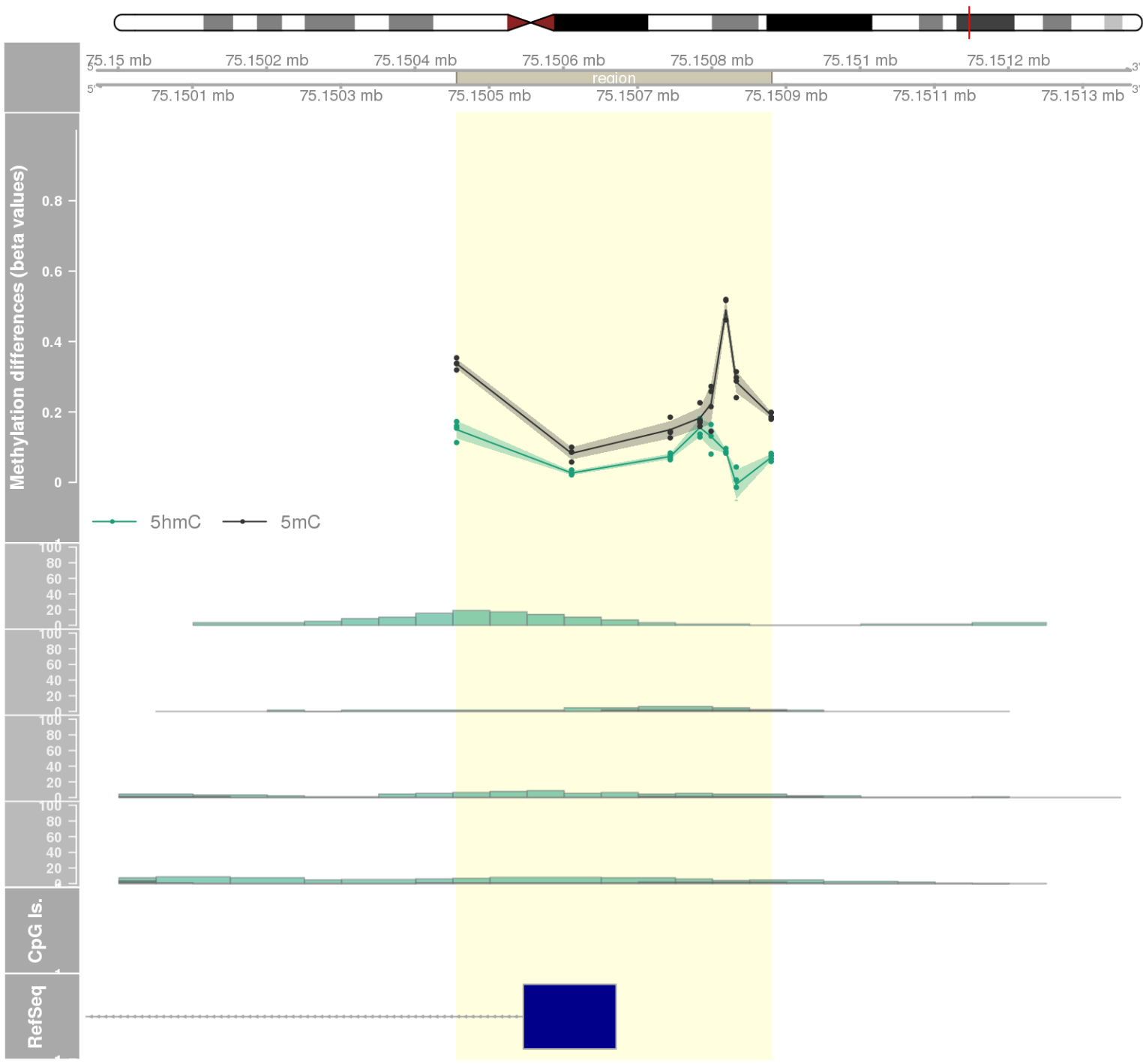


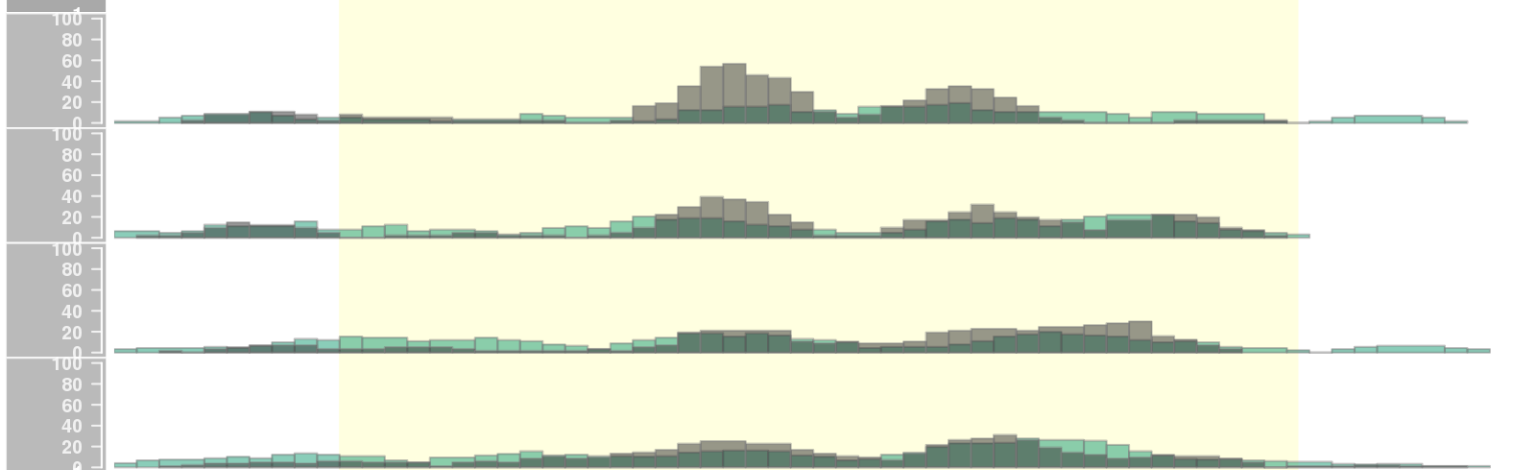
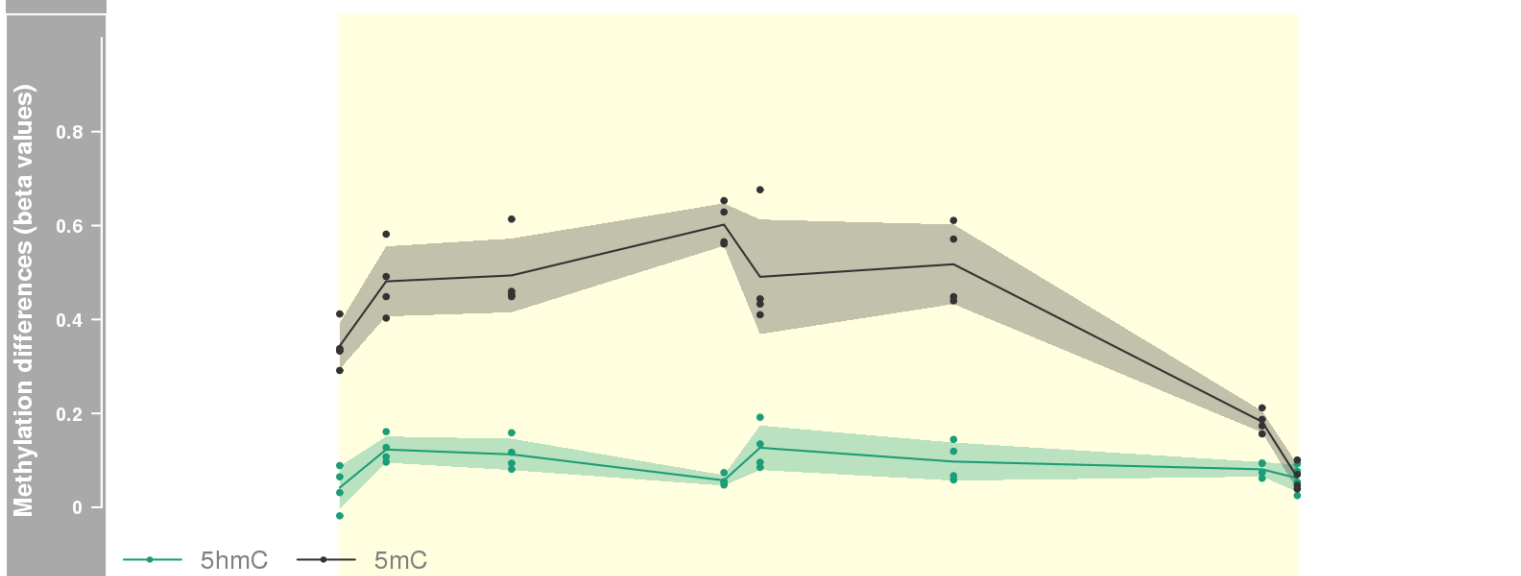


DMR 169 // chr17:40687596-40687943 // 347 pb. (8 probes) // pvalue: 0.006 // fwer: 0.797 // pvalueArea: 0.016 // fwerArea: 1

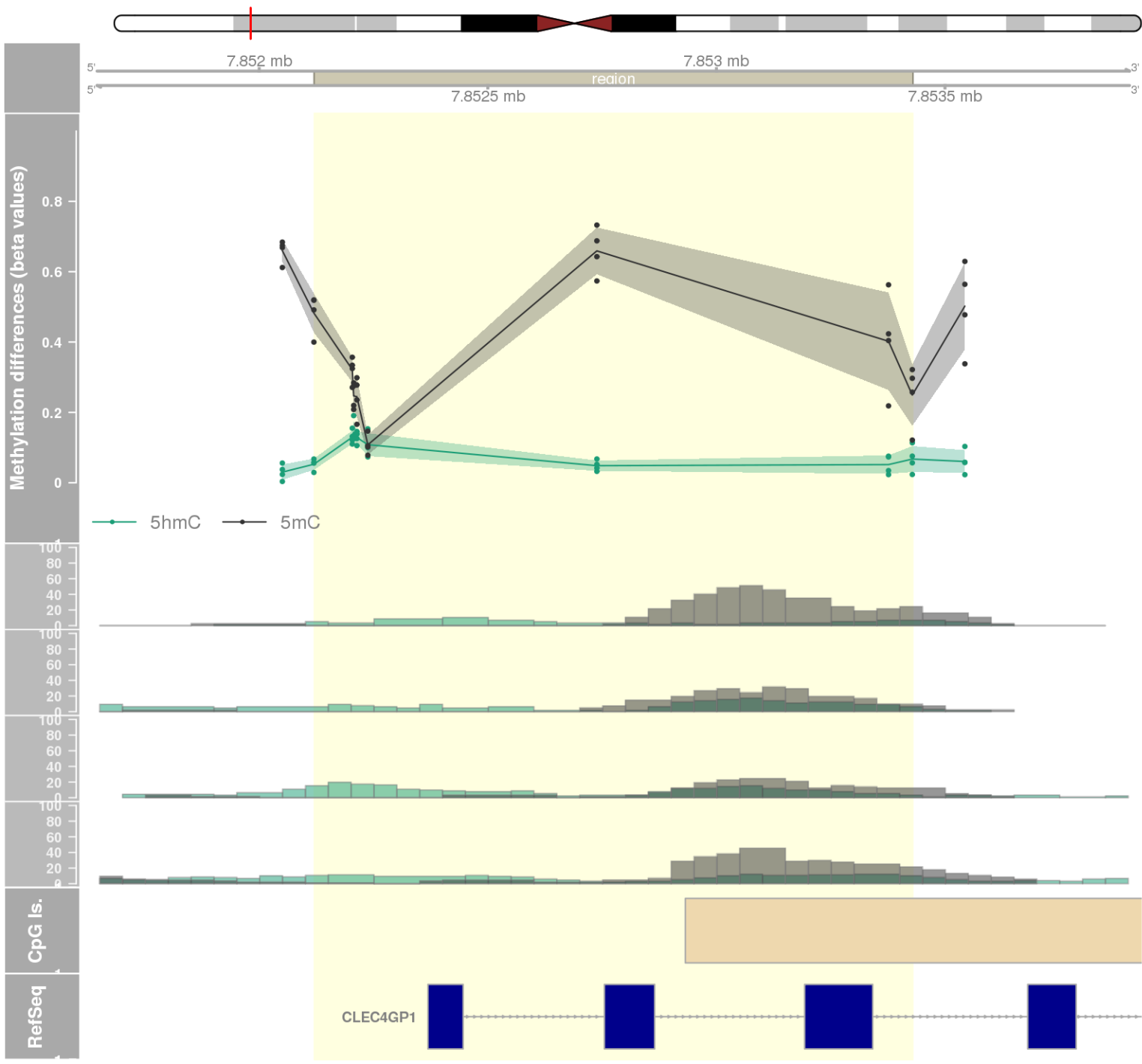


DMR 170 // chr16:75150456-75150880 // 424 pb. (8 probes) // pvalue: 0.006 // fwer: 1 // pvalueArea: 0.016 // fwerArea: 1
- genes: LDHD -

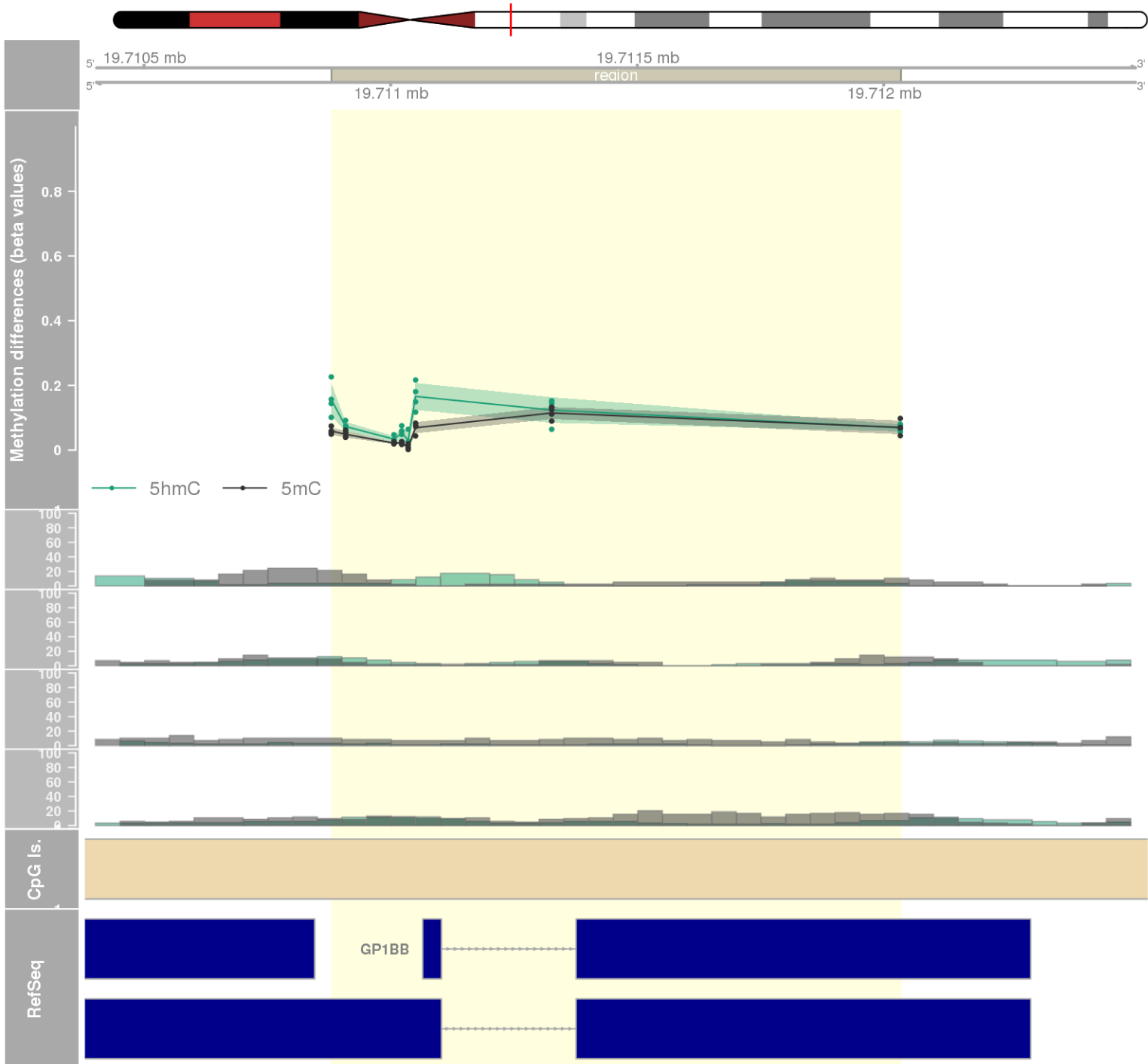




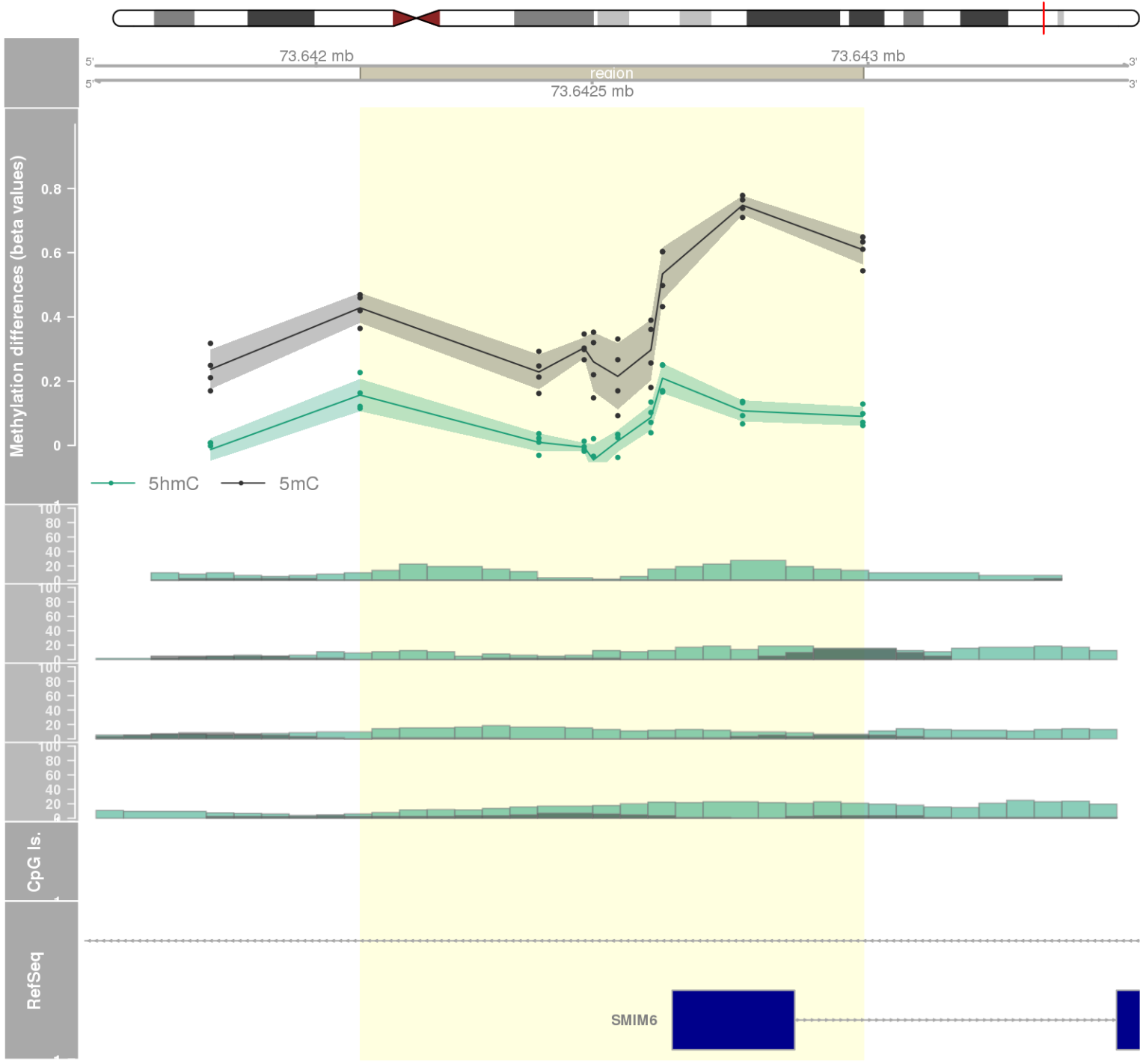
DMR 172 // chr19:7852120-7853429 // 1309 pb. (8 probes) // pvalue: 0.006 // fwer: 0.797 // pvalueArea: 0.017 // fwerArea: 1
- genes: CLEC4GP1 -



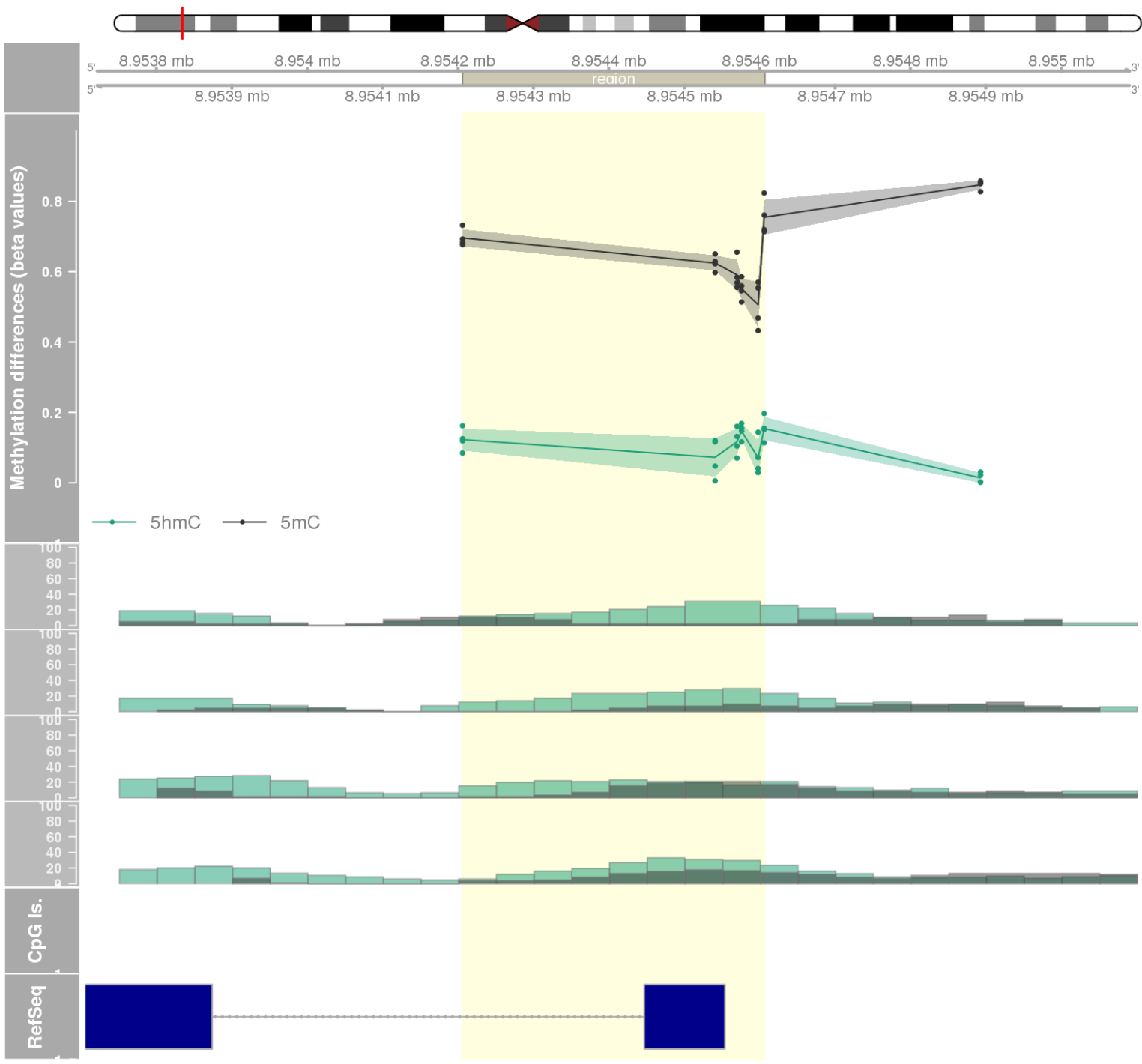
DMR 173 // chr22:19710880-19712034 // 1154 pb. (8 probes) // pvalue: 0.006 // fwer: 0.797 // pvalueArea: 0.017 // fwerArea: 1
- genes: SEPT5 / GP1BB -



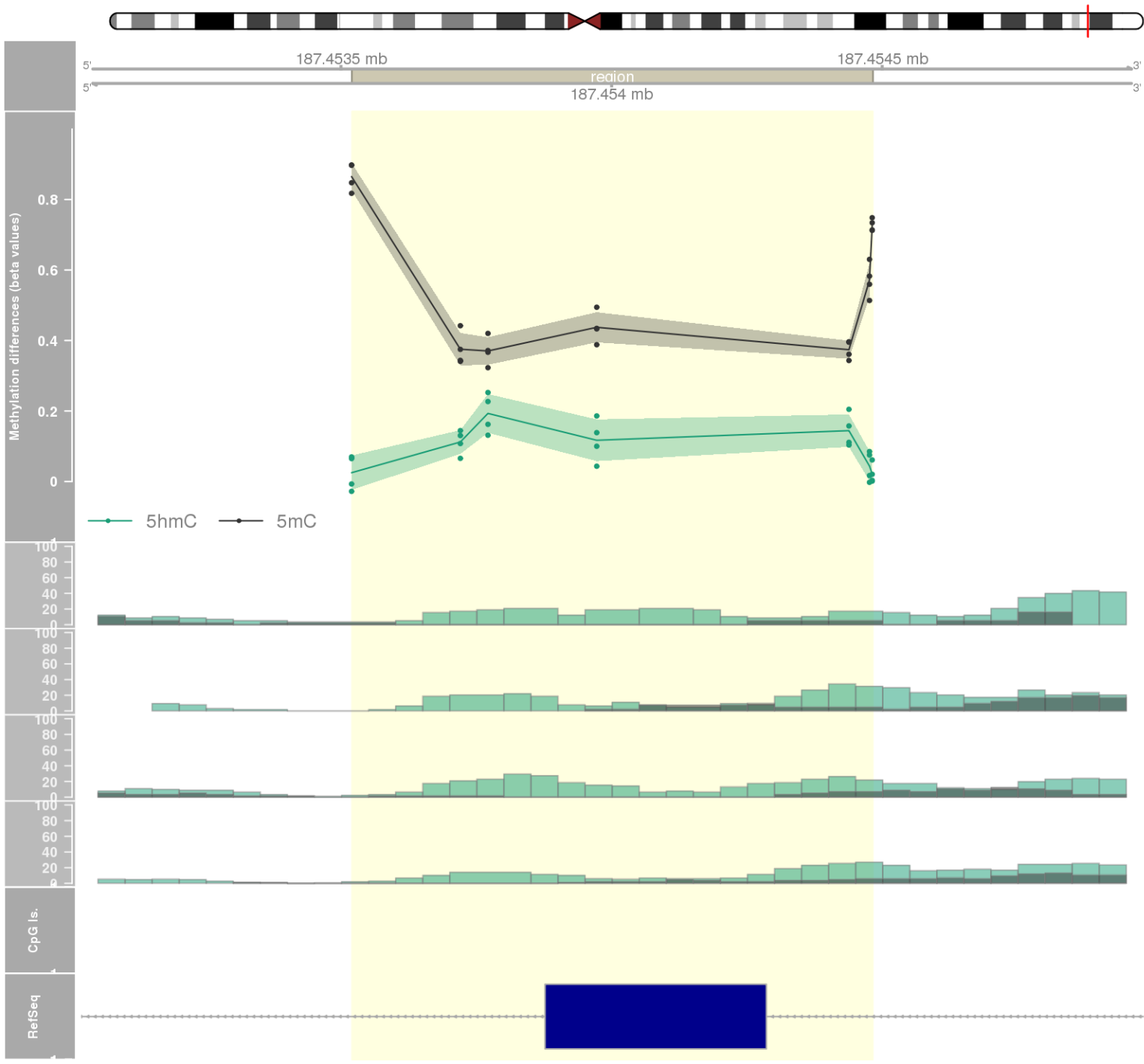
DMR 174 // chr17:73642080-73642991 // 911 pb. (9 probes) // pvalue: 0.007 // fwer: 1 // pvalueArea: 0.017 // fwerArea: 1
- genes: RECQL5 / SMIM6 -



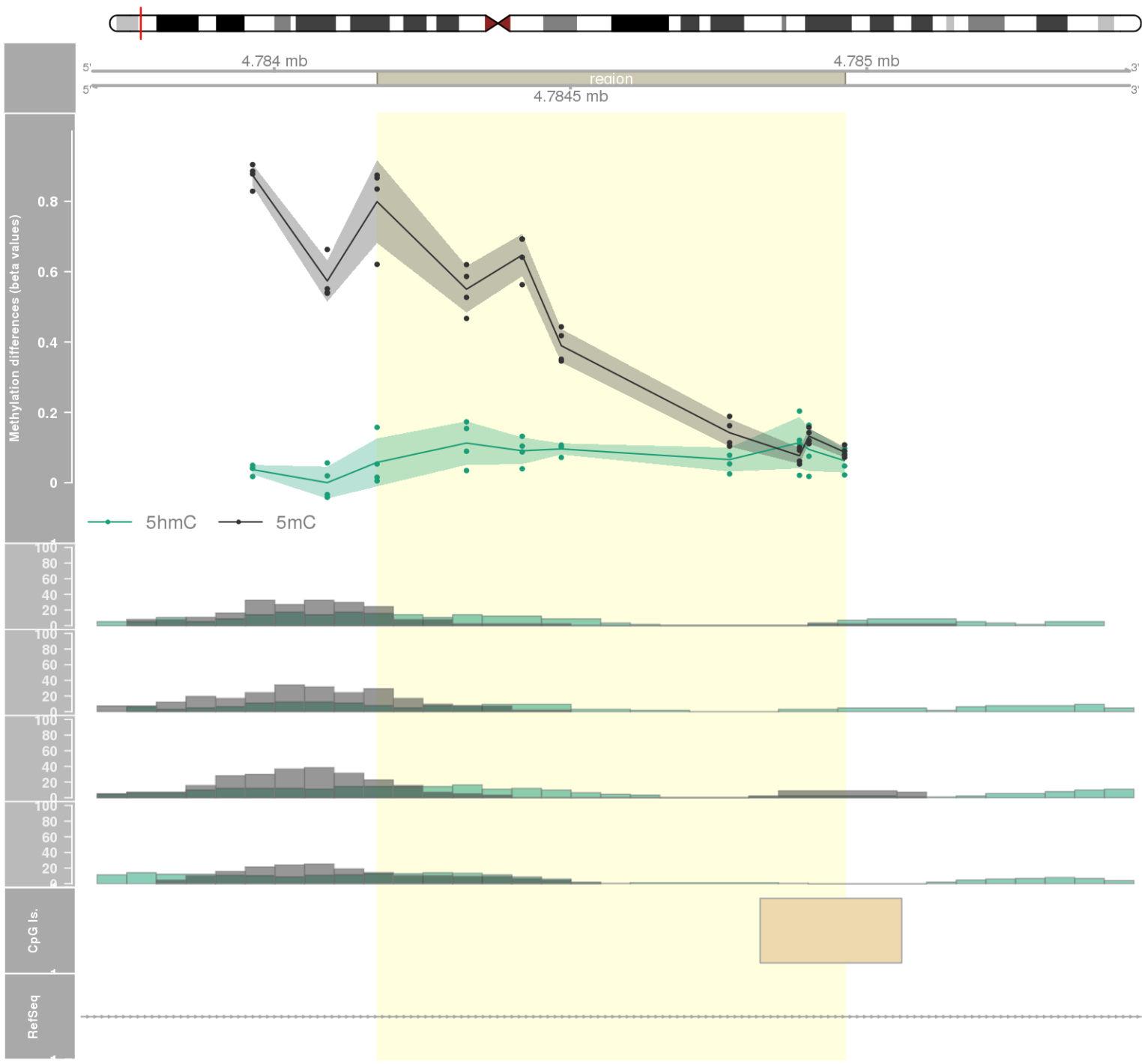
DMR 175 // chr11:8954206-8954606 // 400 pb. (6 probes) // pvalue: 0.005 // fwer: 0.827 // pvalueArea: 0.017 // fwerArea: 1
- genes: C11orf16 -



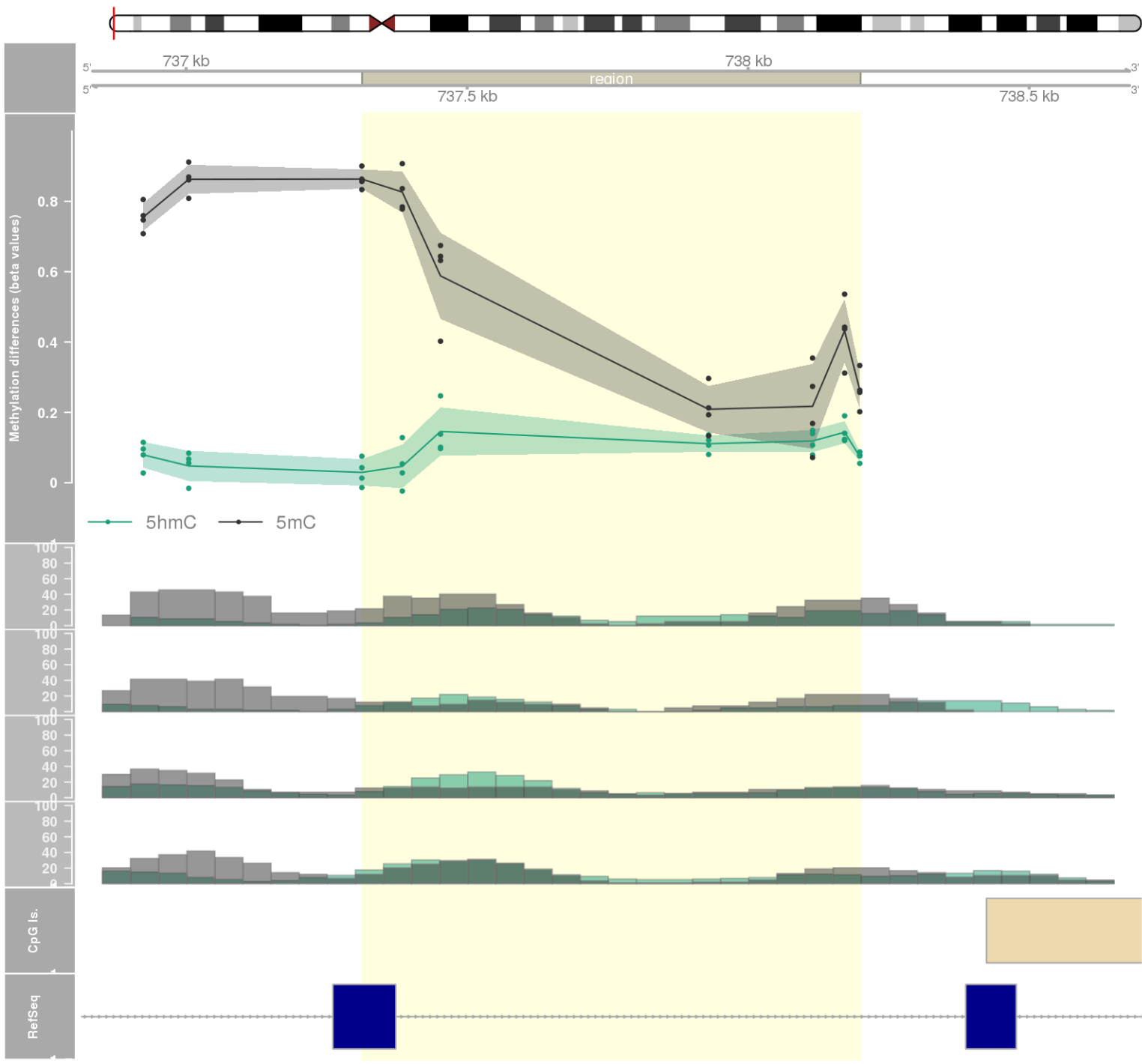
DMR 176 // chr3:187453520-187454482 // 962 pb. (7 probes) // pvalue: 0.007 // fwer: 1 // pvalueArea: 0.017 // fwerArea: 1
- genes: BCL6 -

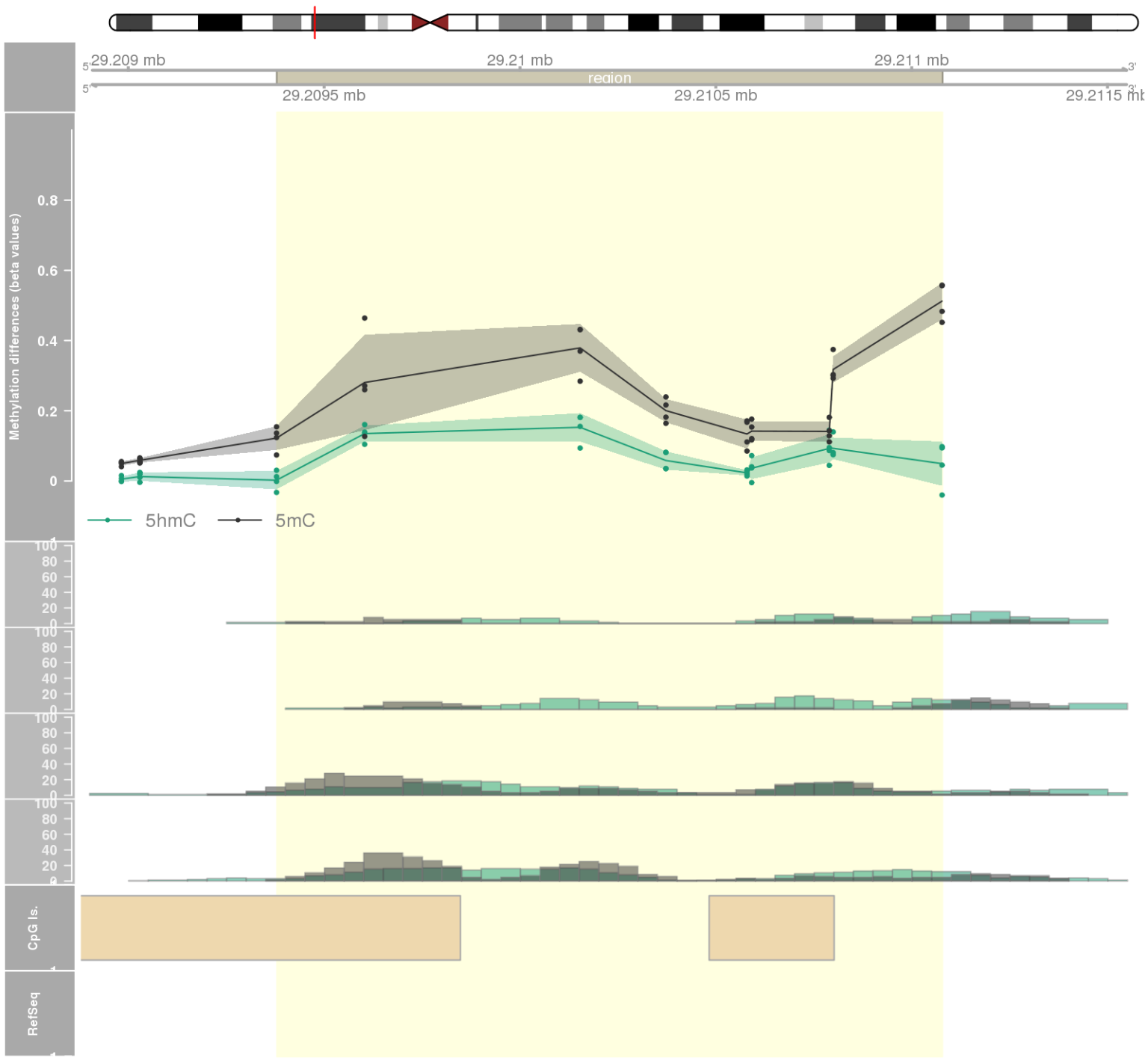


DMR 177 // chr7:4784174-4784963 // 789 pb. (8 probes) // pvalue: 0.007 // fwer: 1 // pvalueArea: 0.017 // fwerArea: 1
- genes: FOXC1 -

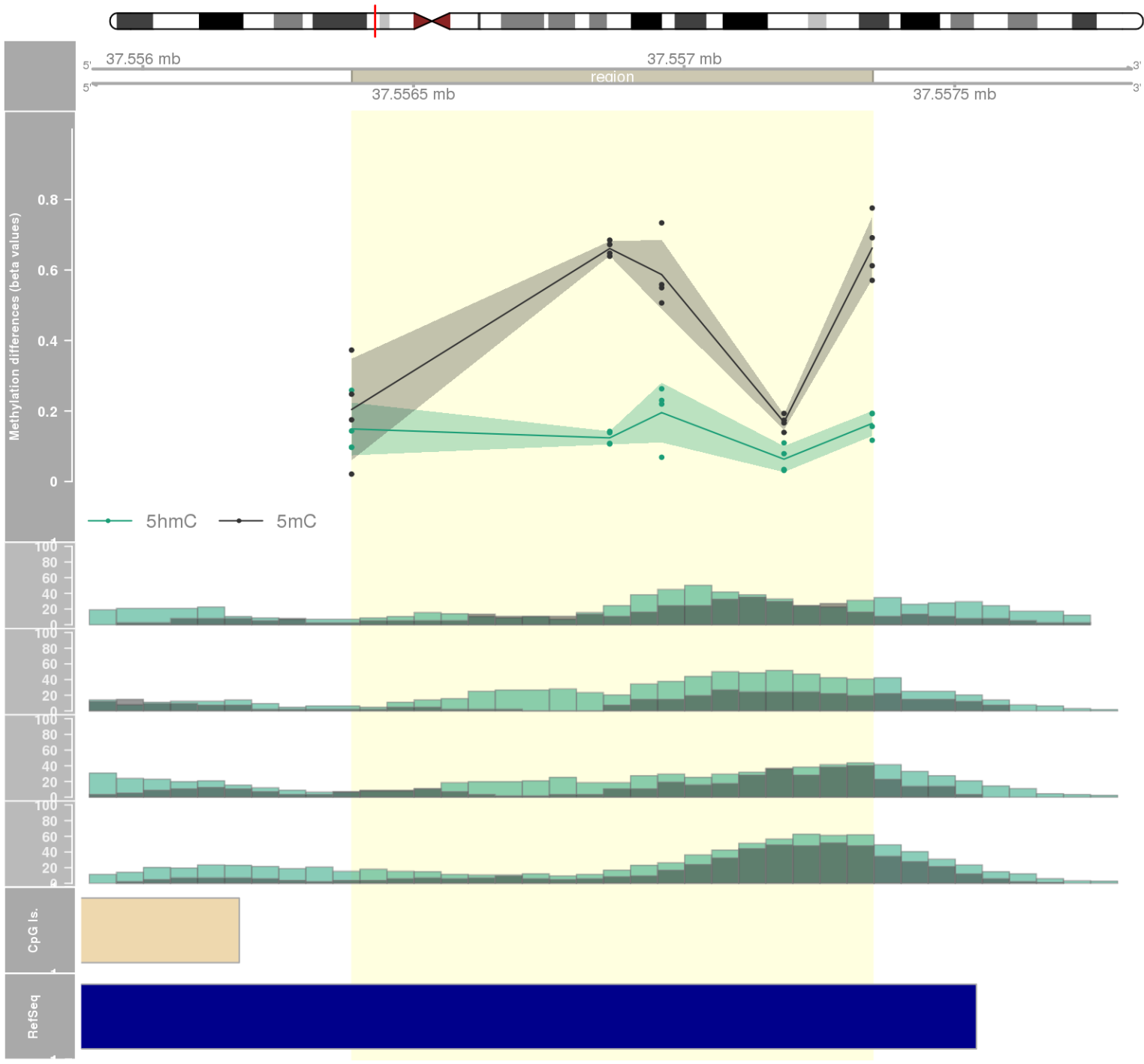


DMR 178 // chr4:737313-738199 // 886 pb. (7 probes) // pvalue: 0.007 // fwer: 1 // pvalueArea: 0.017 // fwerArea: 1
- genes: PCGF3 -

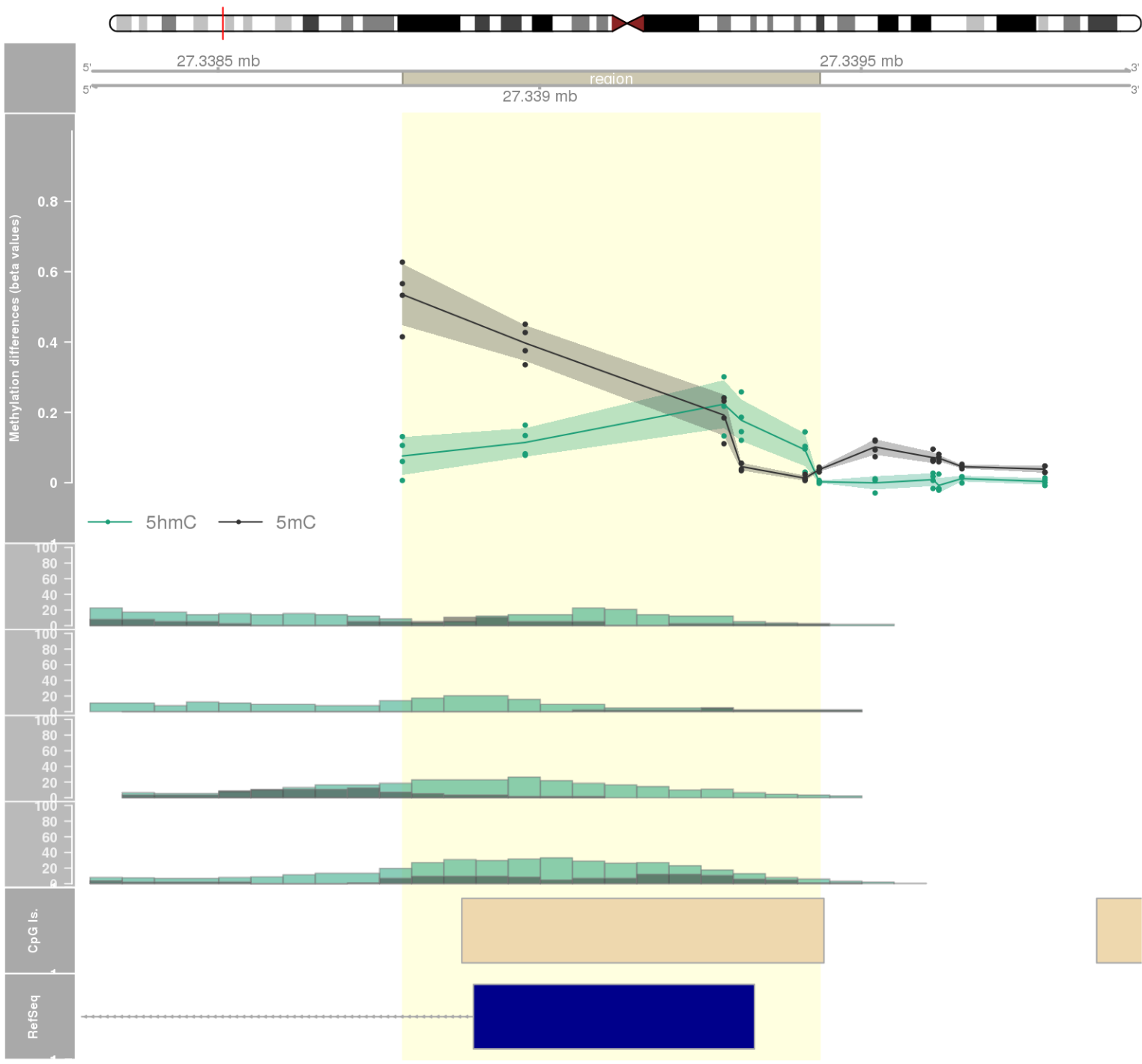




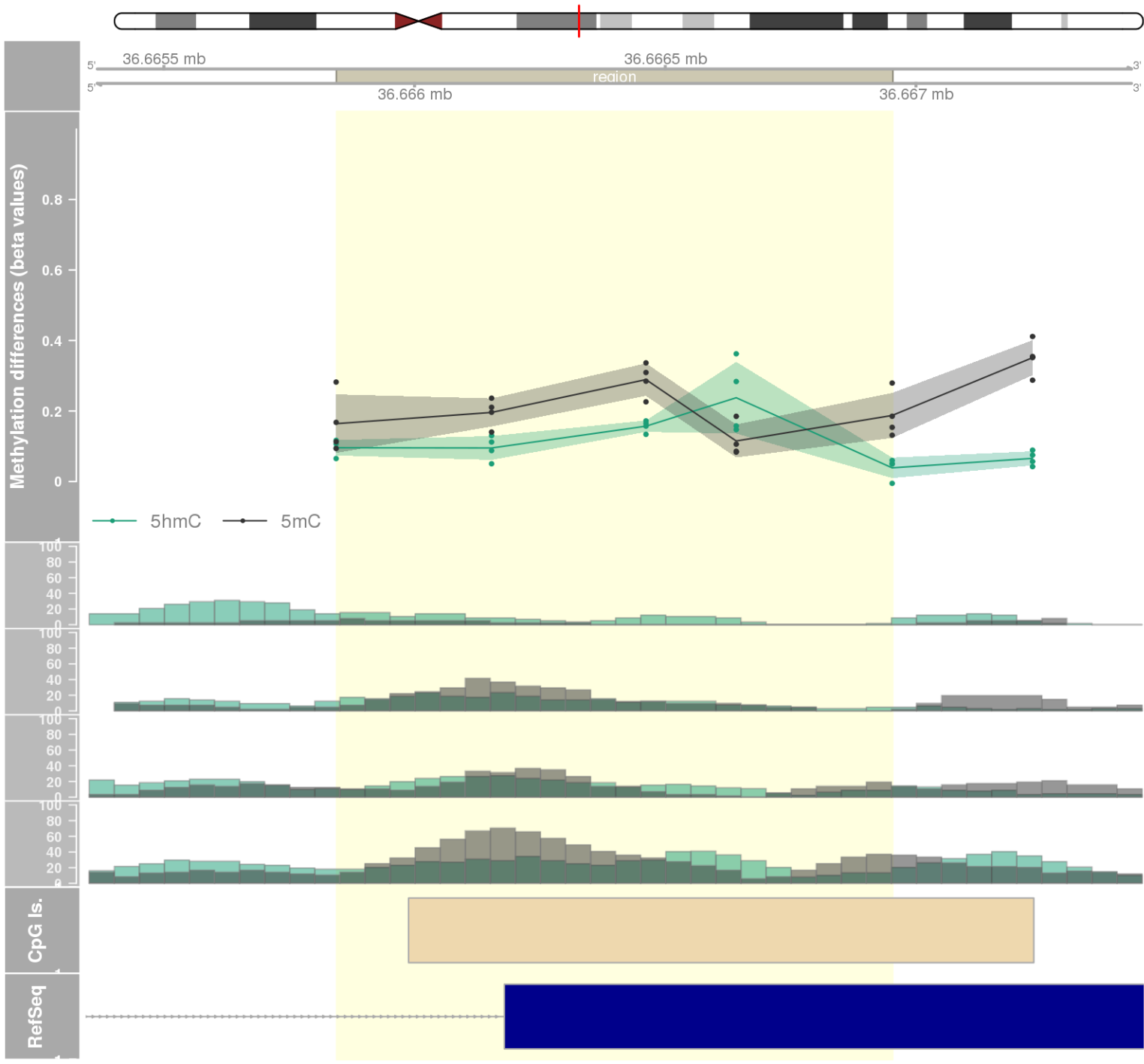
DMR 180 // chr8:37556386-37557348 // 962 pb. (5 probes) // pvalue: 0.003 // fwer: 0.827 // pvalueArea: 0.017 // fwerArea: 1
- genes: ZNF703 -



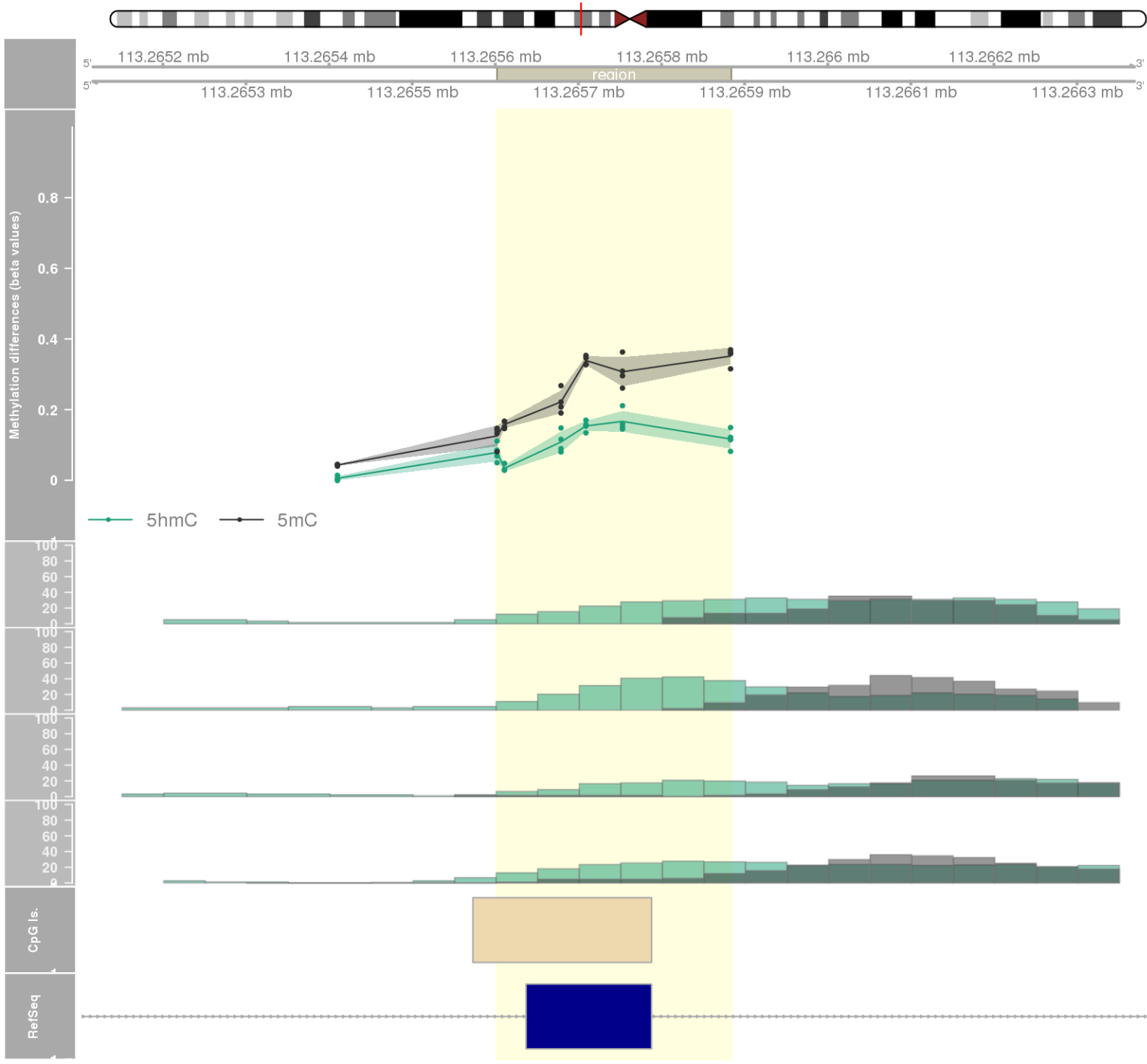
DMR 181 // chr1:27338787-27339435 // 648 pb. (6 probes) // pvalue: 0.005 // fwer: 1 // pvalueArea: 0.018 // fwerArea: 1
- genes: FAM46B -



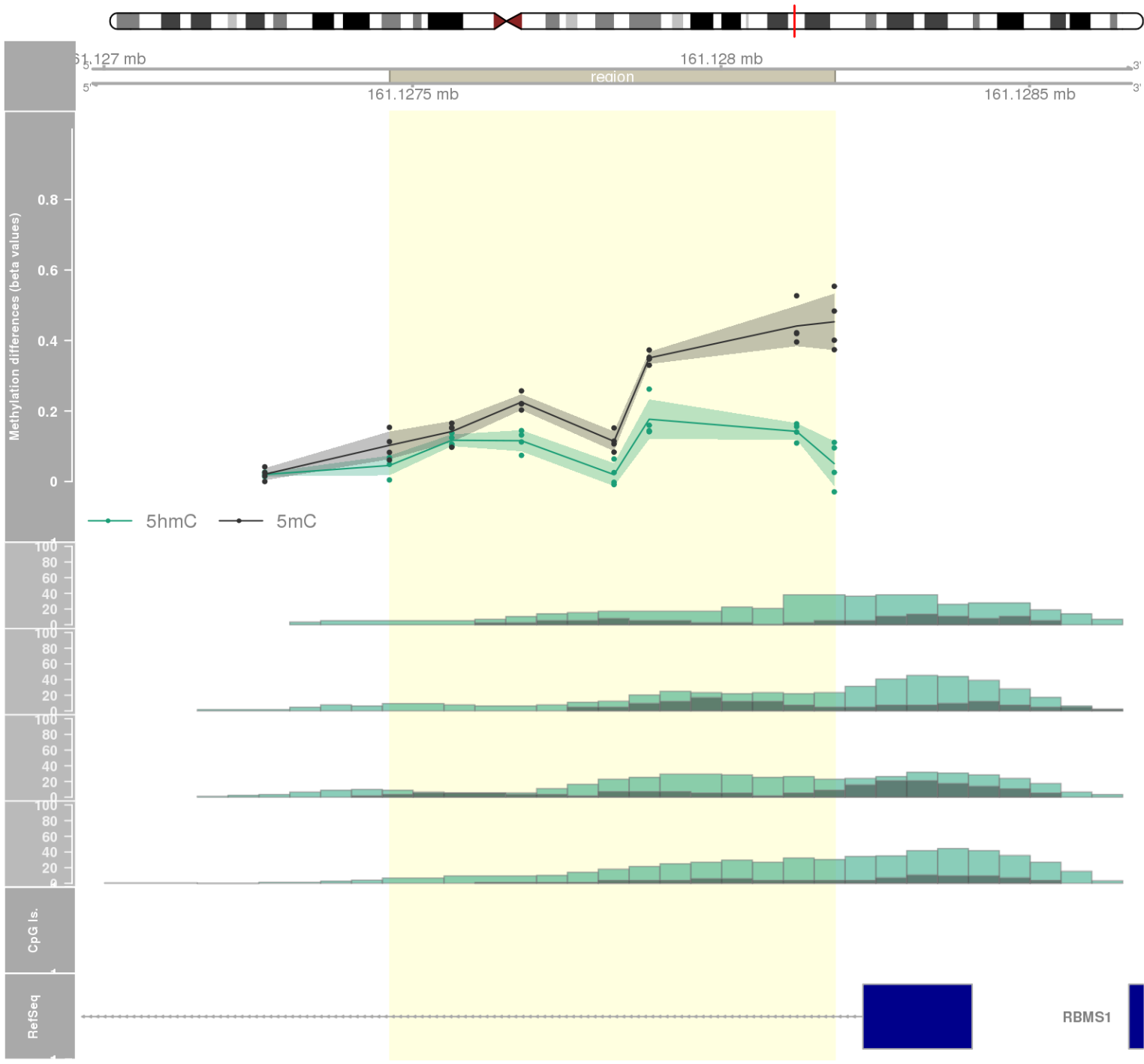
DMR 182 // chr17:36665844-36666953 // 1109 pb. (5 probes) // pvalue: 0.003 // fwer: 0.827 // pvalueArea: 0.018 // fwerArea: 1
- genes: ARHGAP23 -

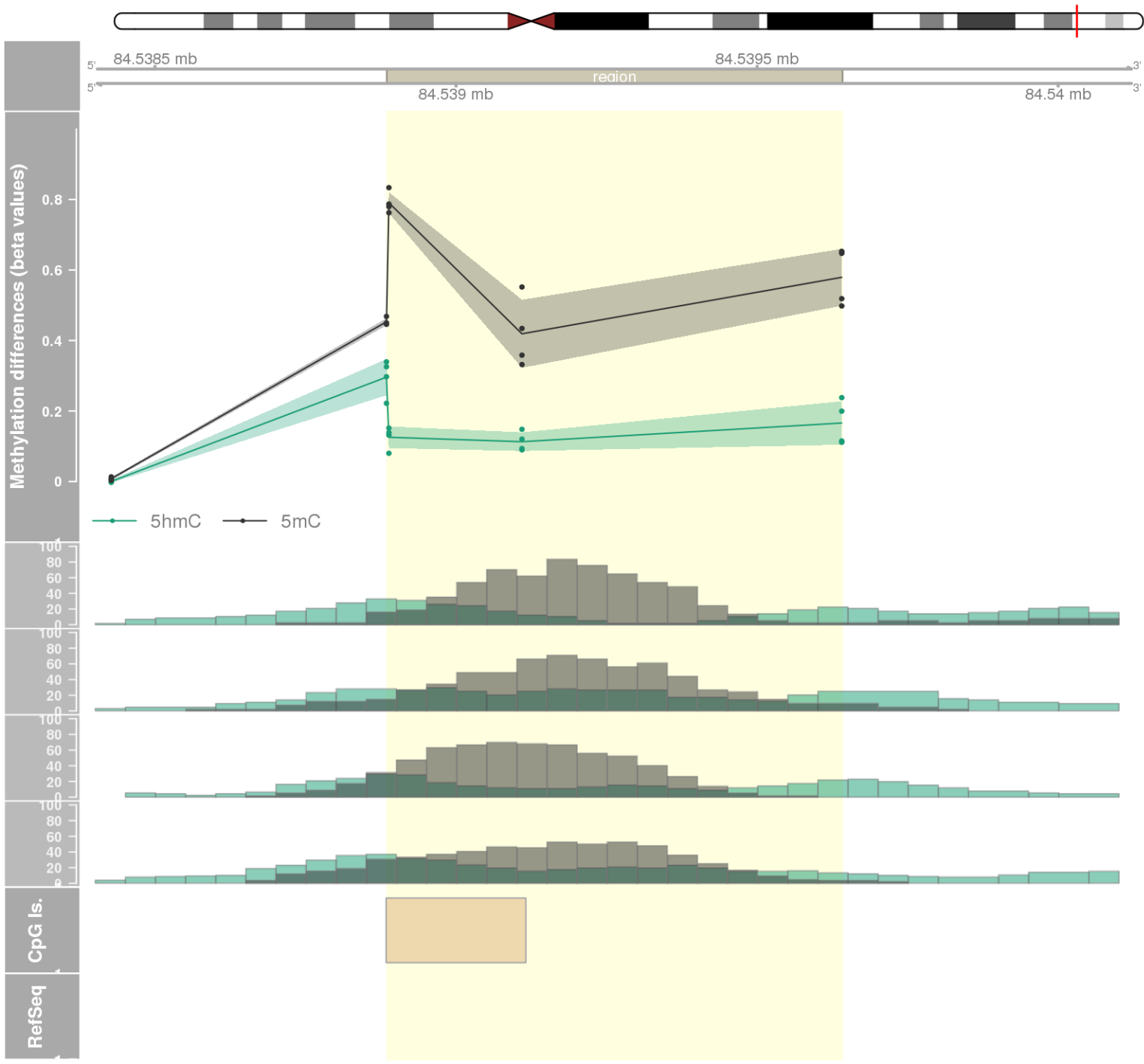


DMR 183 // chr1:113265602-113265883 // 281 pb. (6 probes) // pvalue: 0.005 // fwer: 1 // pvalueArea: 0.018 // fwerArea: 1
- genes: FAM19A3 -

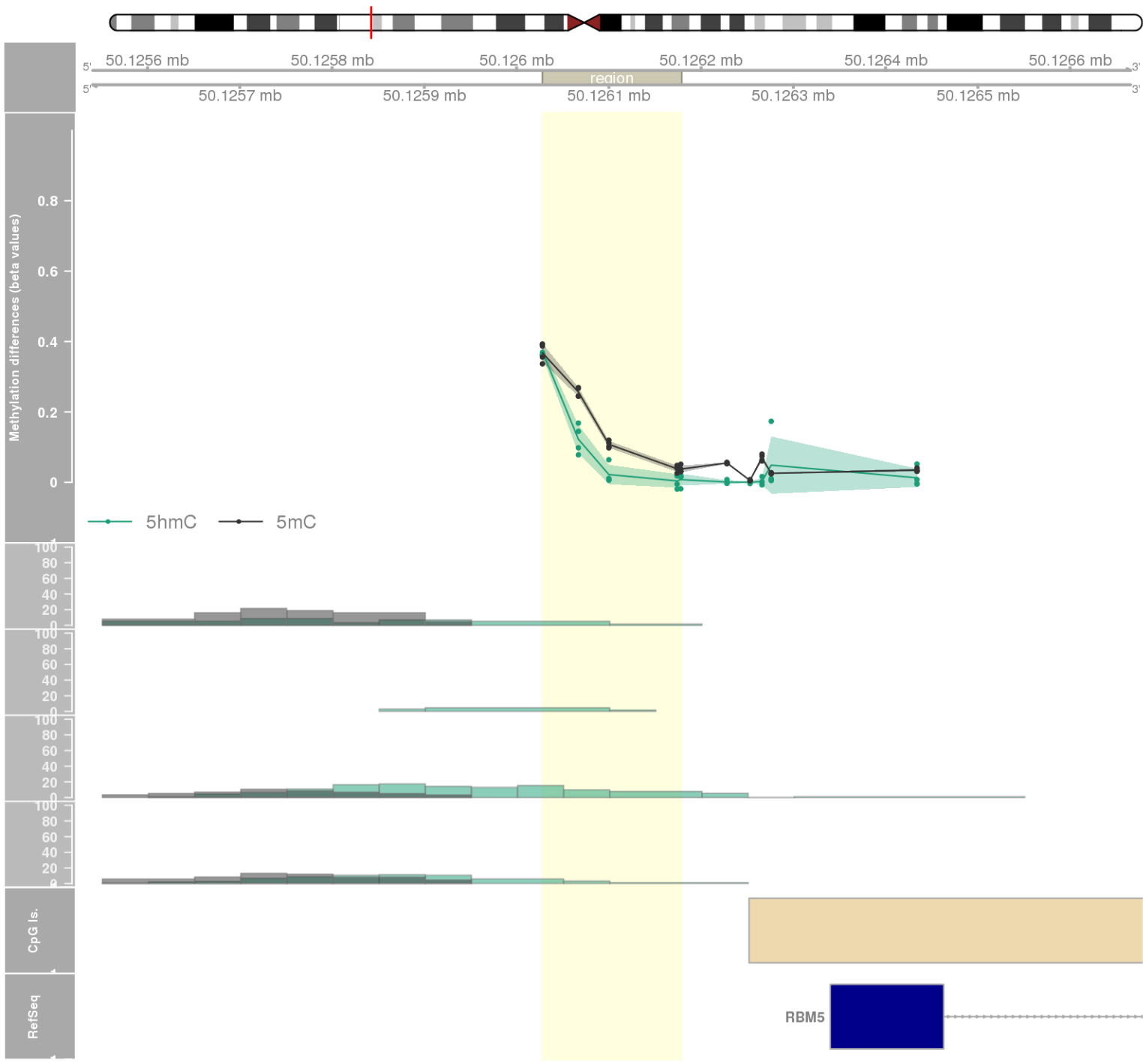


DMR 184 // chr2:161127463-161128184 // 721 pb. (7 probes) // pvalue: 0.007 // fwer: 1 // pvalueArea: 0.018 // fwerArea: 1
- genes: ITGB6 -

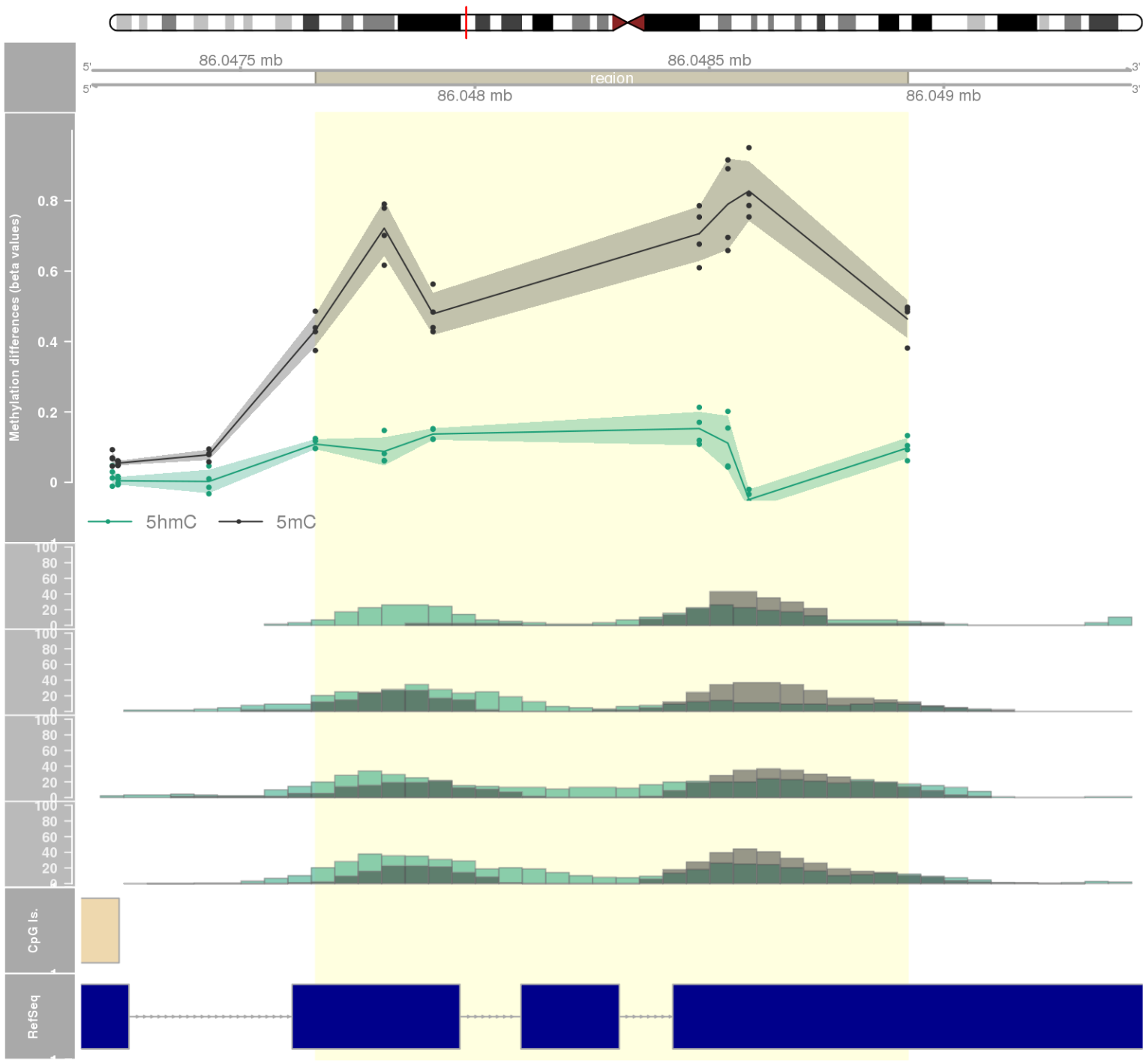




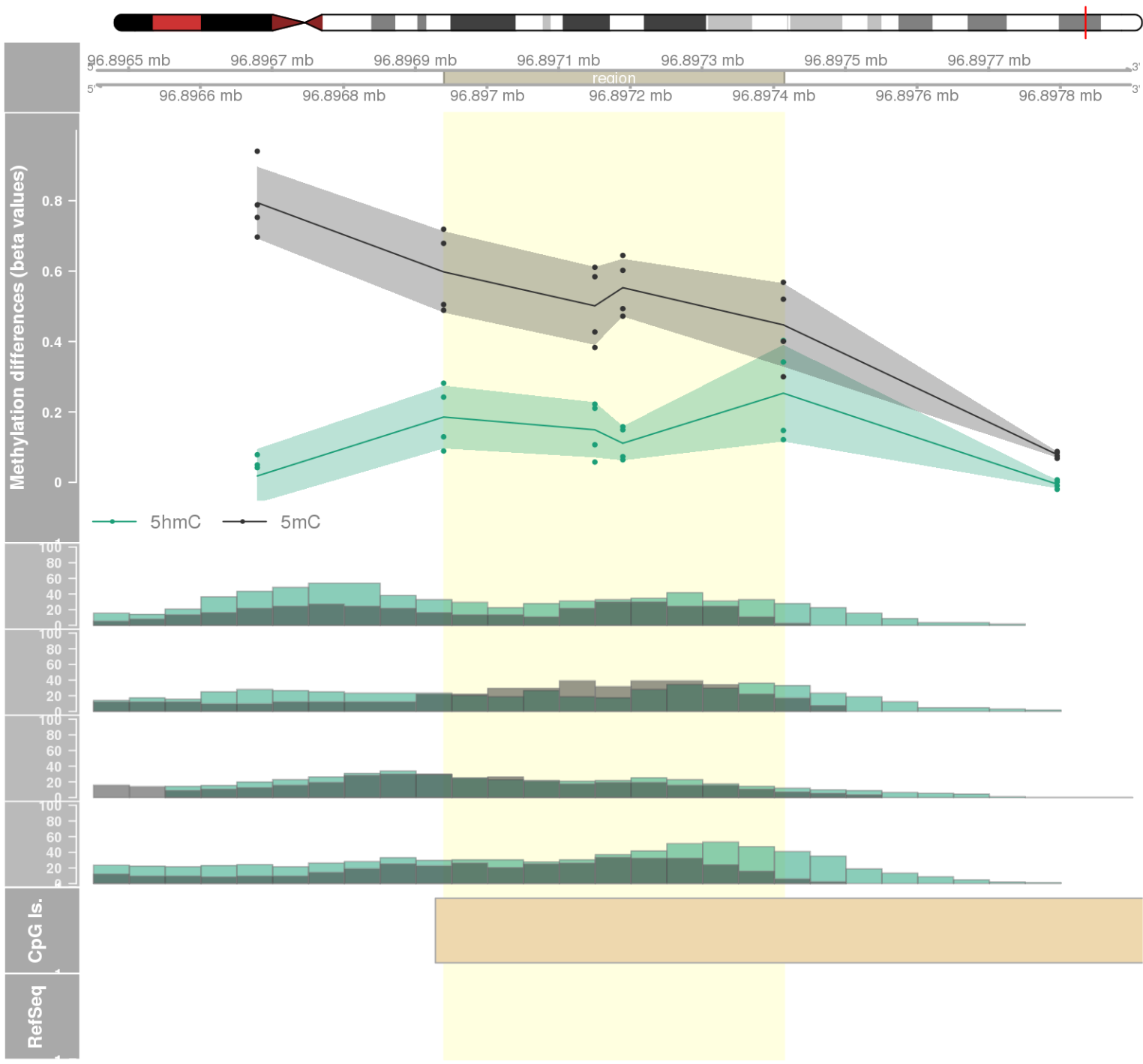
DMR 186 // chr3:50126028-50126178 // 150 pb. (5 probes) // pvalue: 0.003 // fwer: 0.827 // pvalueArea: 0.018 // fwerArea: 1
- genes: RBM6 -



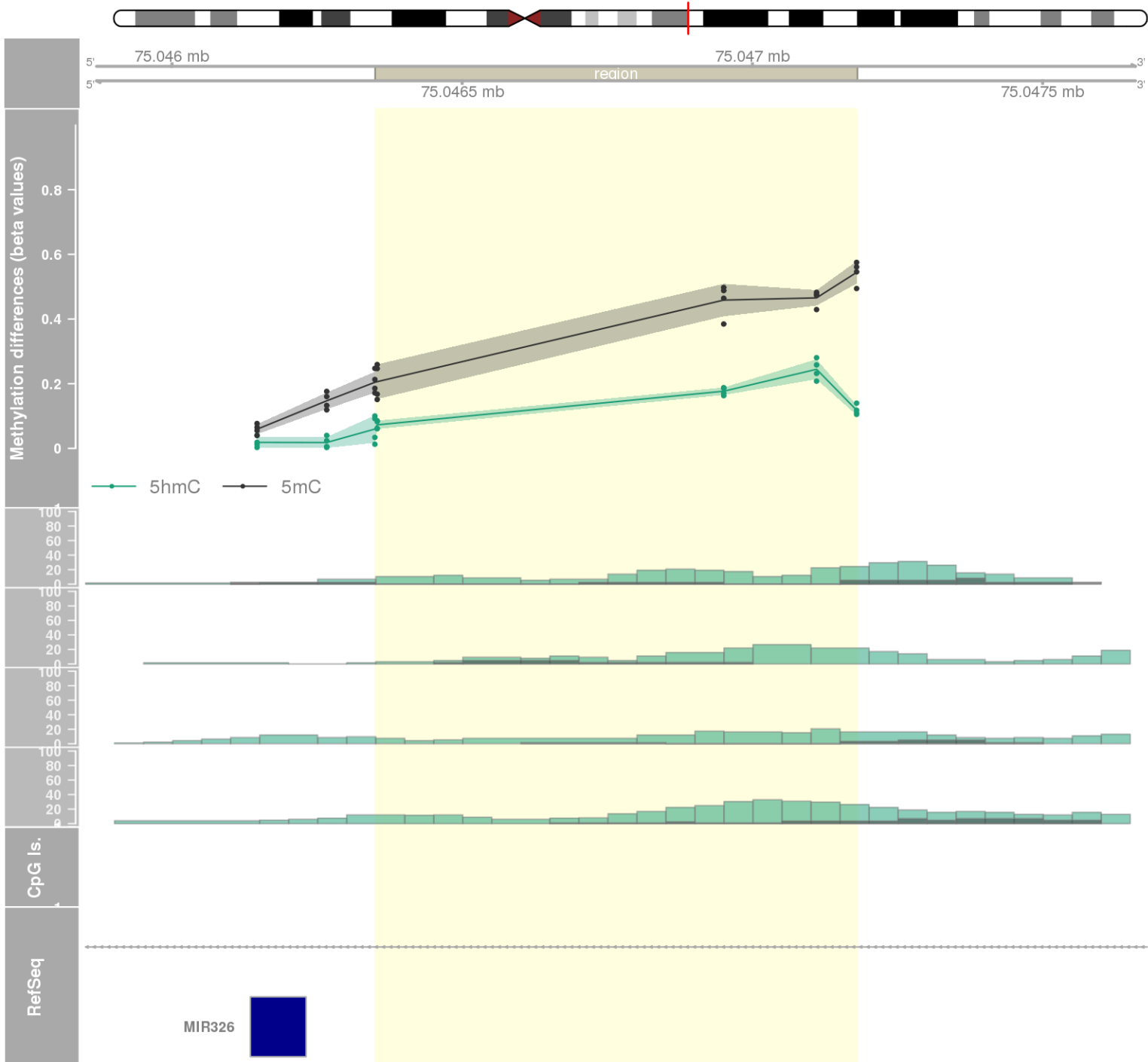
DMR 187 // chr1:86047660-86048923 // 1263 pb. (7 probes) // pvalue: 0.006 // fwer: 1 // pvalueArea: 0.018 // fwerArea: 1
- genes: CYR61 -



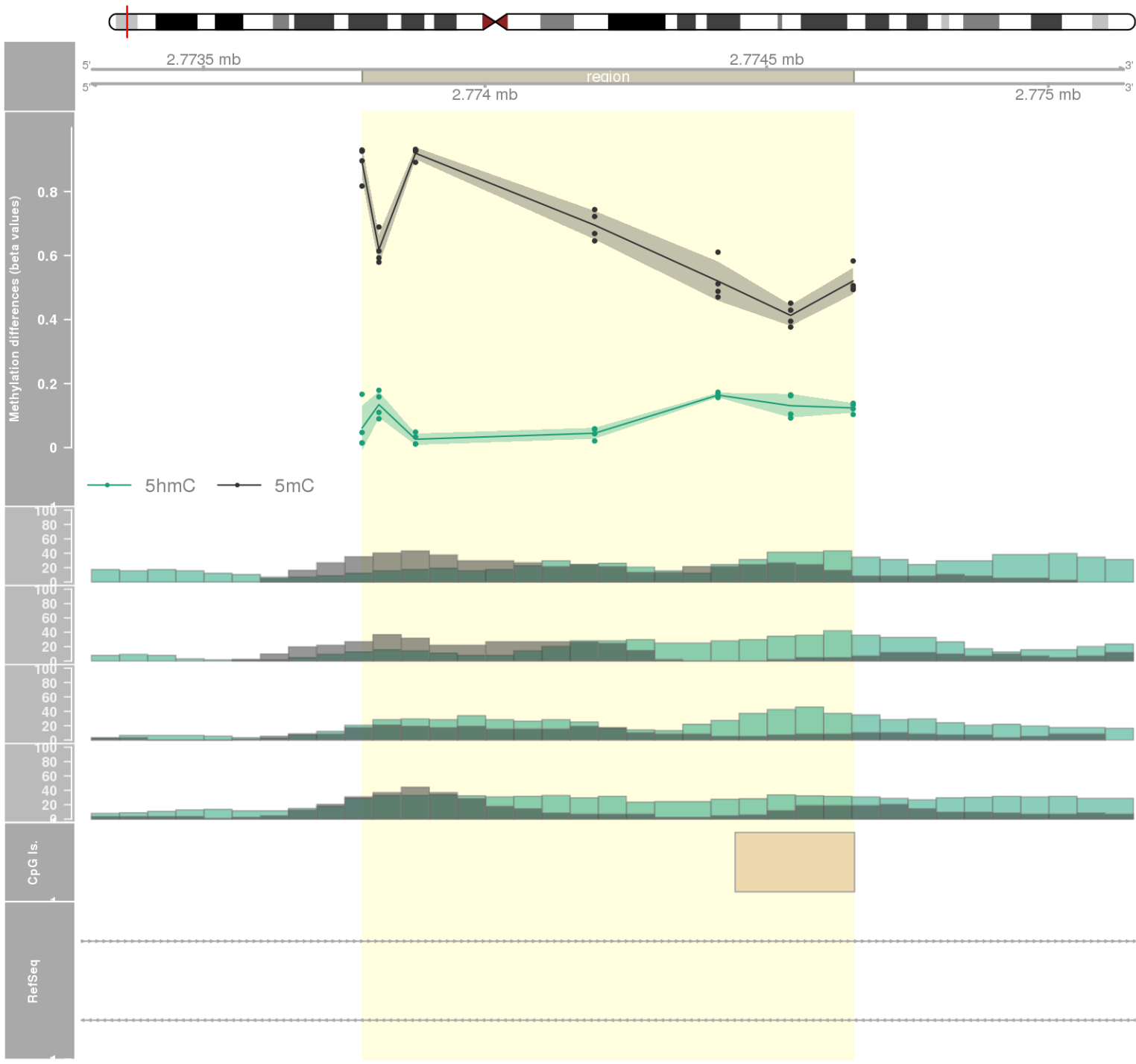
DMR 188 // chr15:96896940-96897414 // 474 pb. (4 probes) // pvalue: 0.001 // fwer: 0.595 // pvalueArea: 0.018 // fwerArea: 1



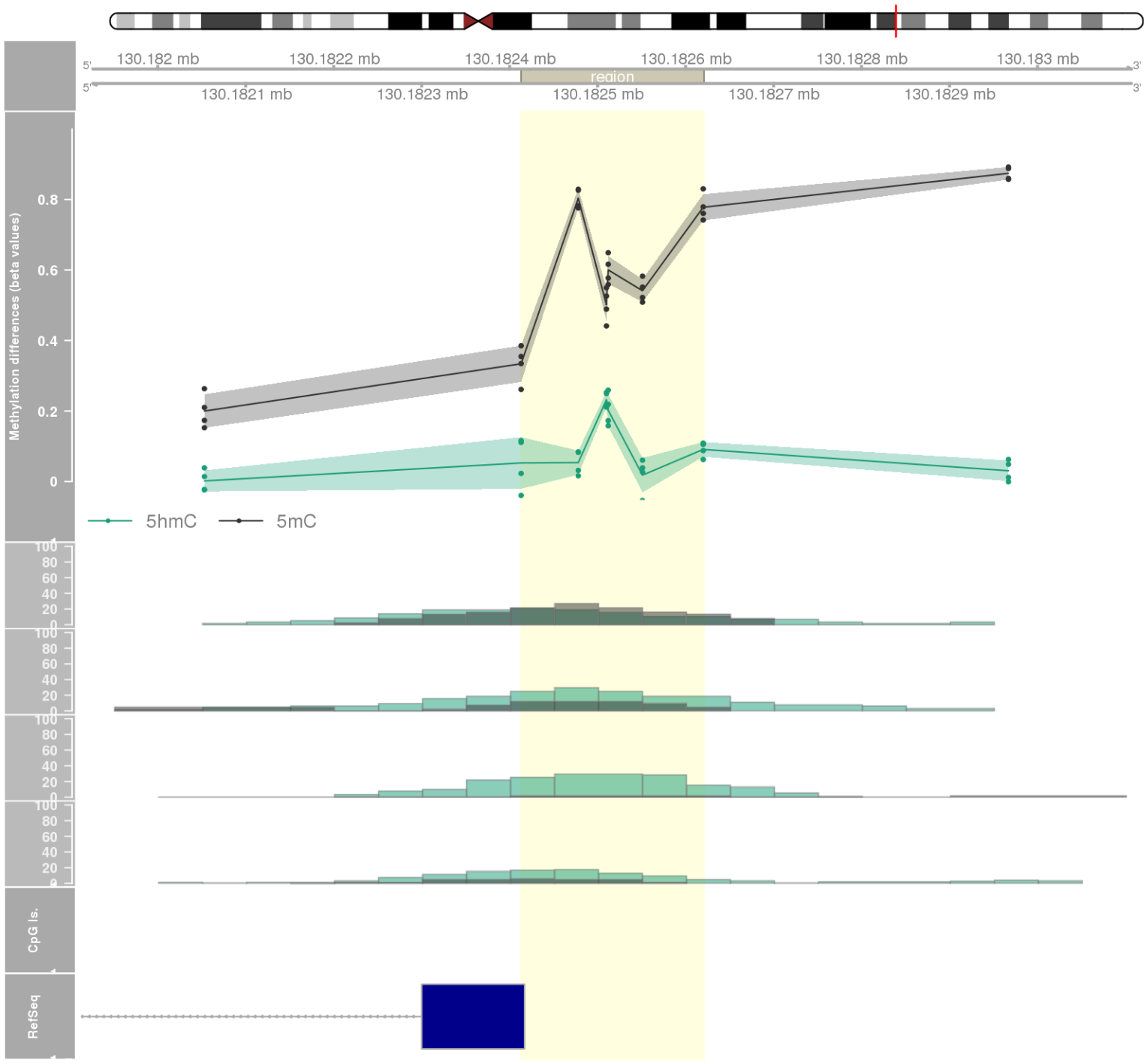
DMR 189 // chr11:75046350-75047180 // 830 pb. (5 probes) // pvalue: 0.003 // fwer: 0.827 // pvalueArea: 0.018 // fwerArea: 1
- genes: ARRB1 -



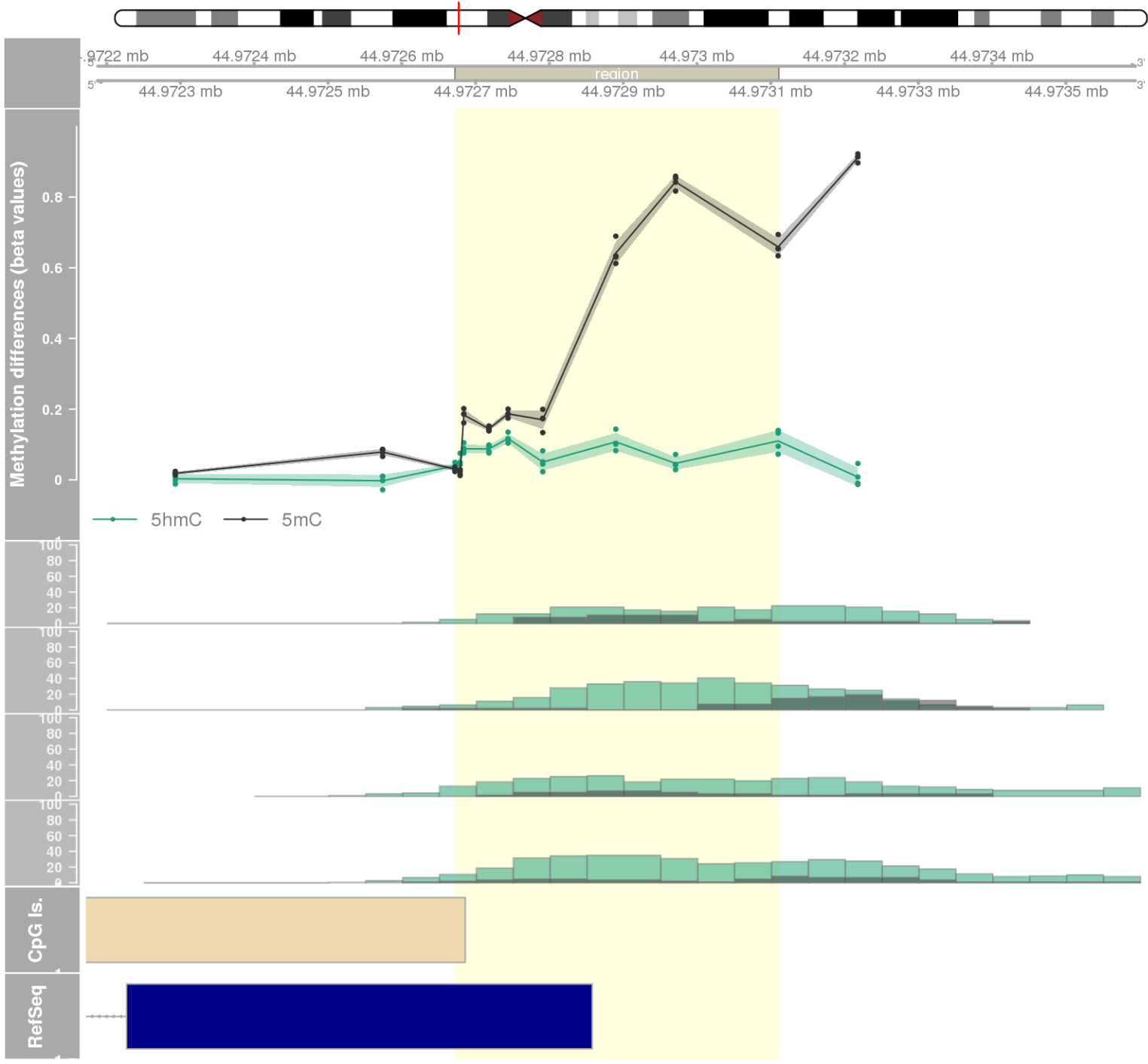
DMR 190 // chr7:2773782-2774654 // 872 pb. (7 probes) // pvalue: 0.007 // fwer: 1 // pvalueArea: 0.018 // fwerArea: 1
- genes: AMZ1 / GNA12 -

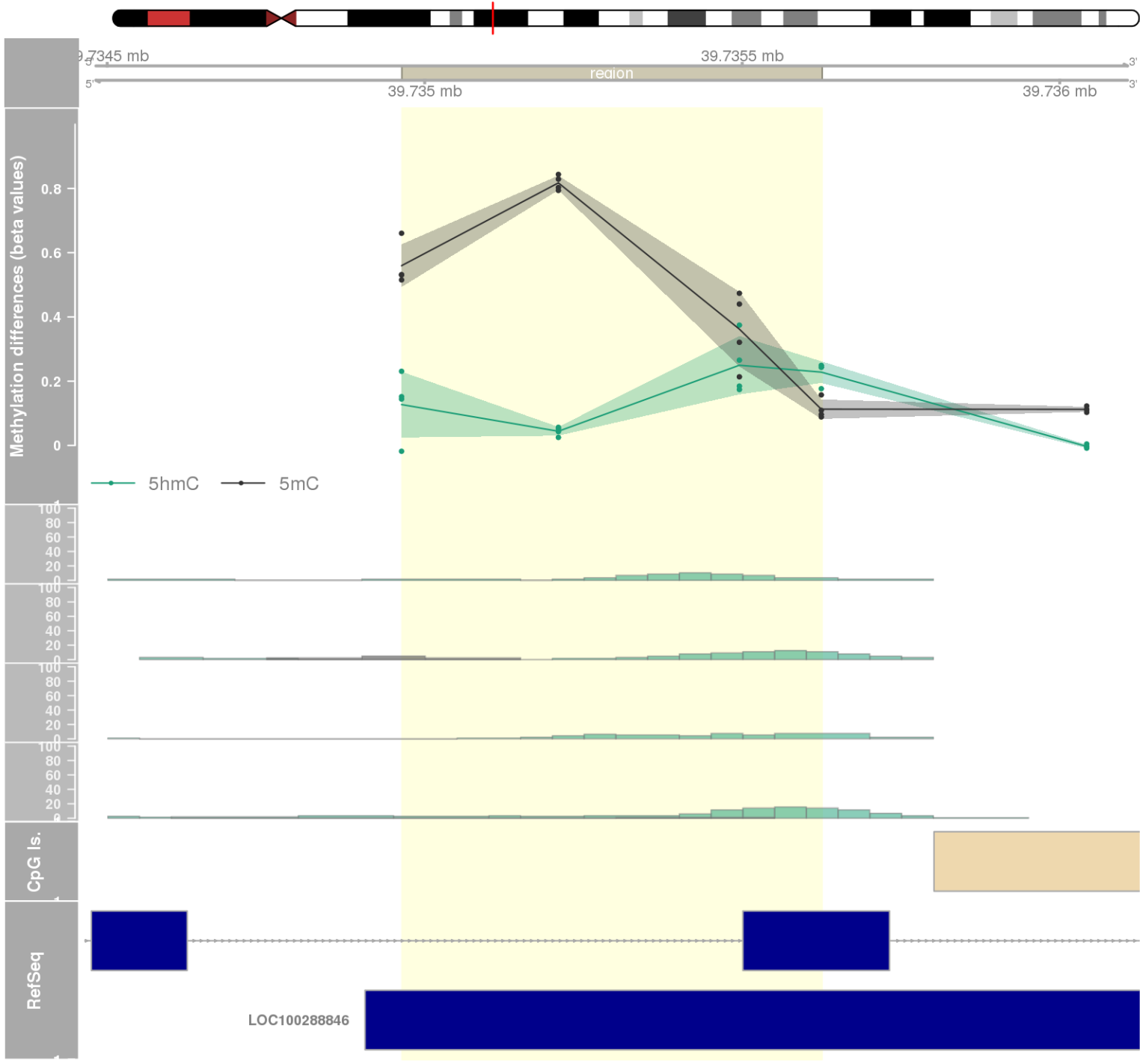


DMR 191 // chr6:130182413-130182620 // 207 pb. (6 probes) // pvalue: 0.006 // fwer: 1 // pvalueArea: 0.019 // fwerArea: 1
- genes: TMEM244 -

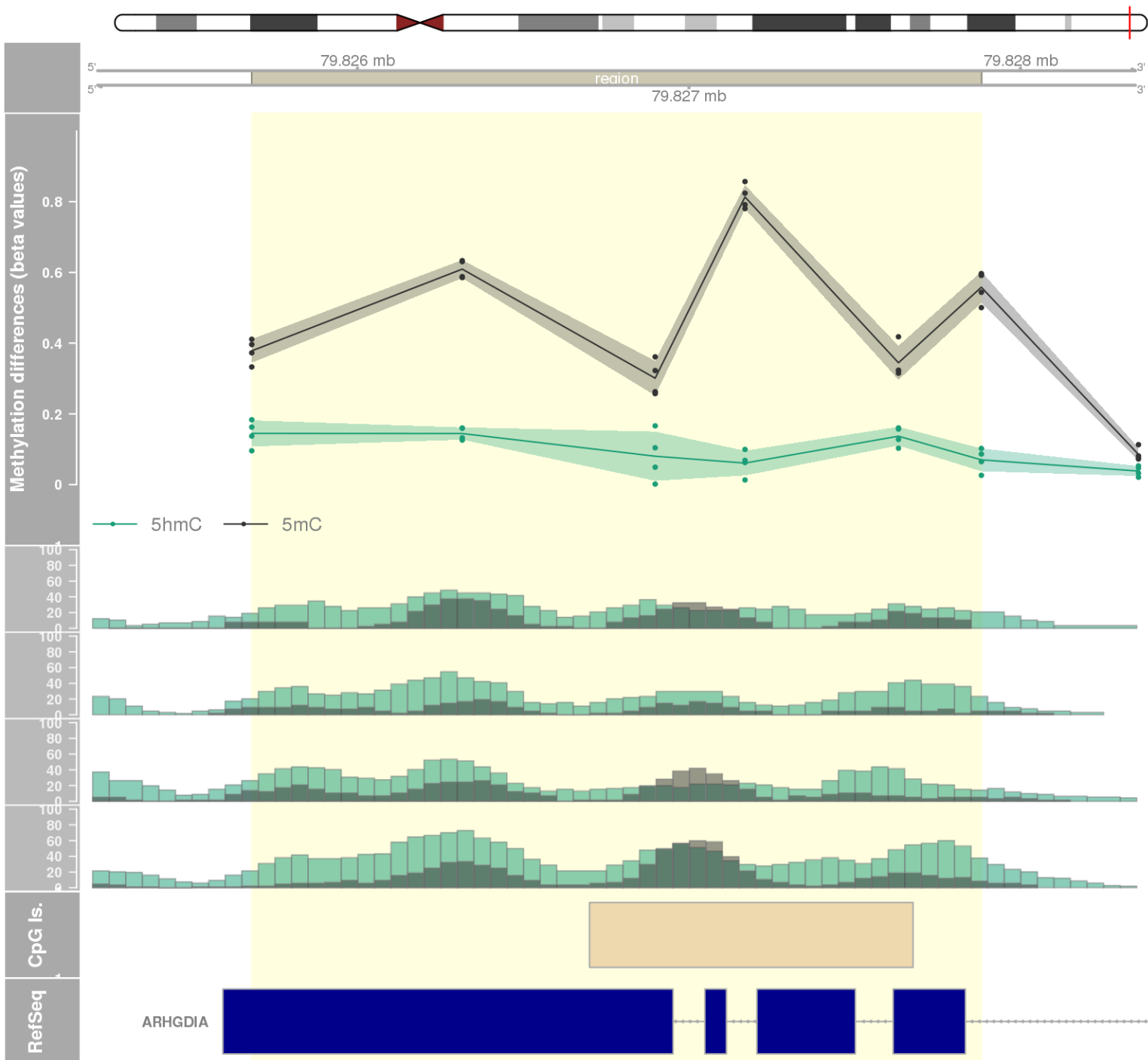


DMR 192 // chr11:44972672-44973110 // 438 pb. (9 probes) // pvalue: 0.007 // fwer: 1 // pvalueArea: 0.019 // fwerArea: 1
- genes: TP53I11 -

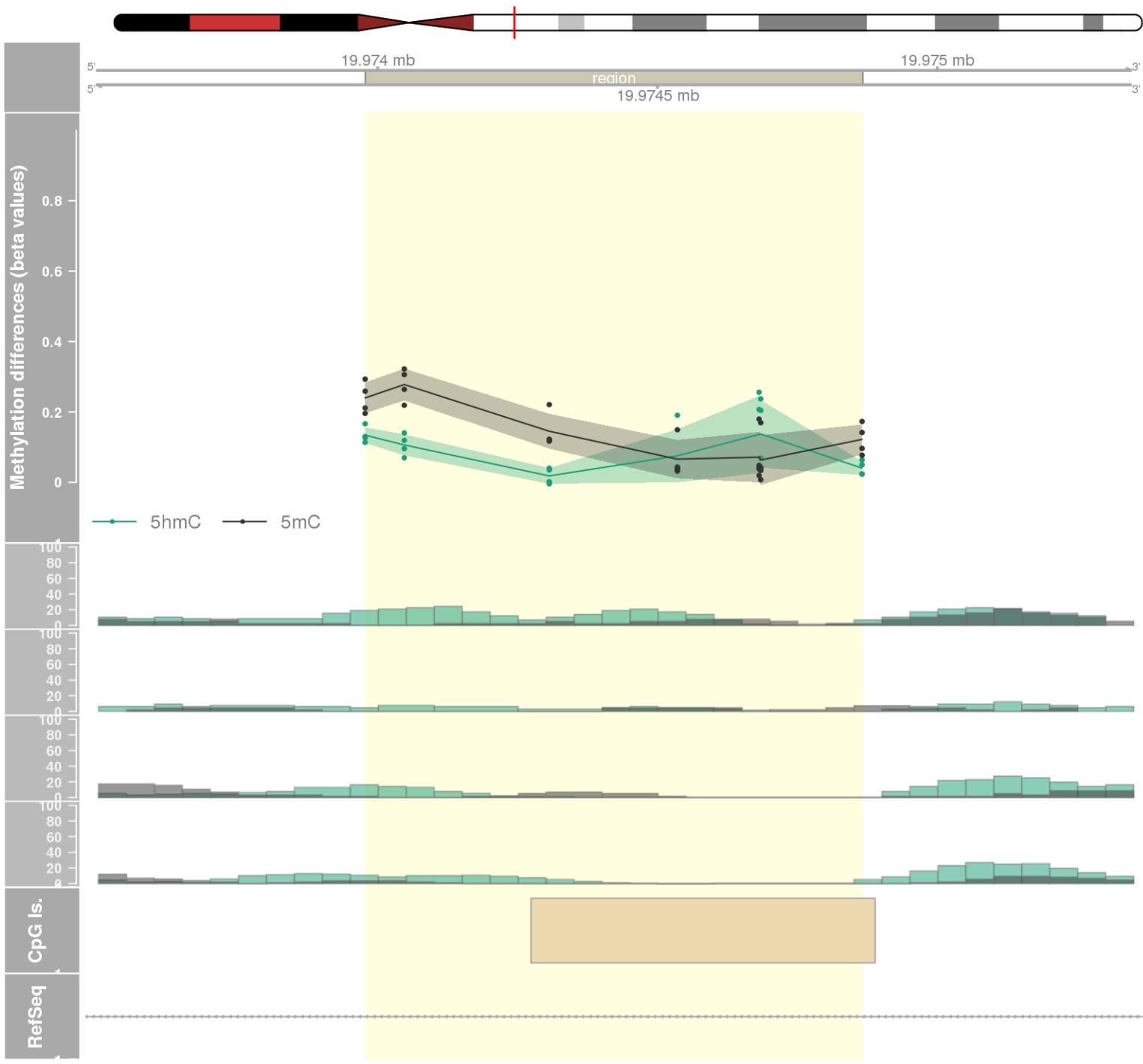




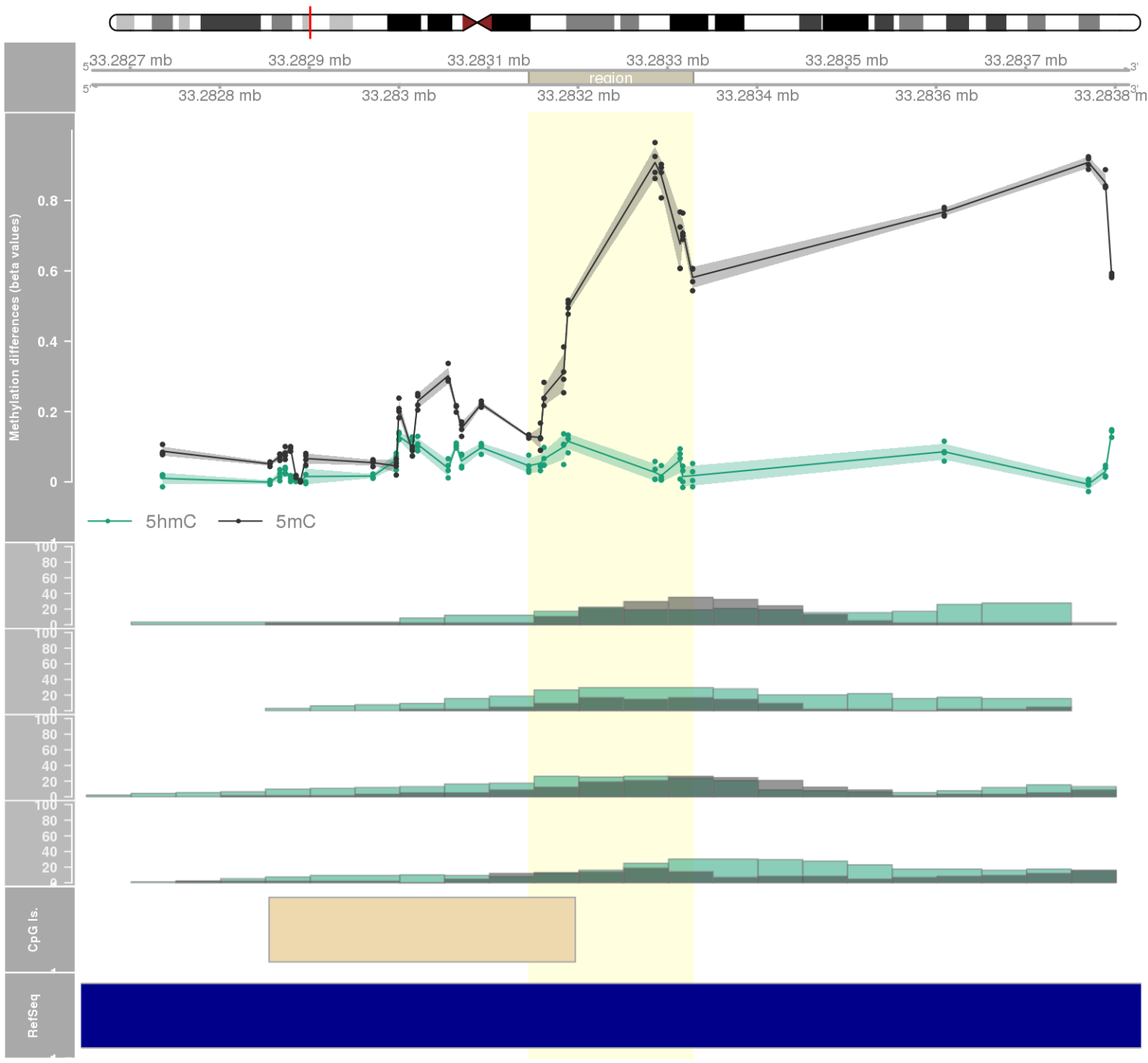
DMR 194 // chr17:79825681-79827882 // 2201 pb. (6 probes) // pvalue: 0.006 // fwer: 1 // pvalueArea: 0.019 // fwerArea: 1
- genes: ARHGDI A -



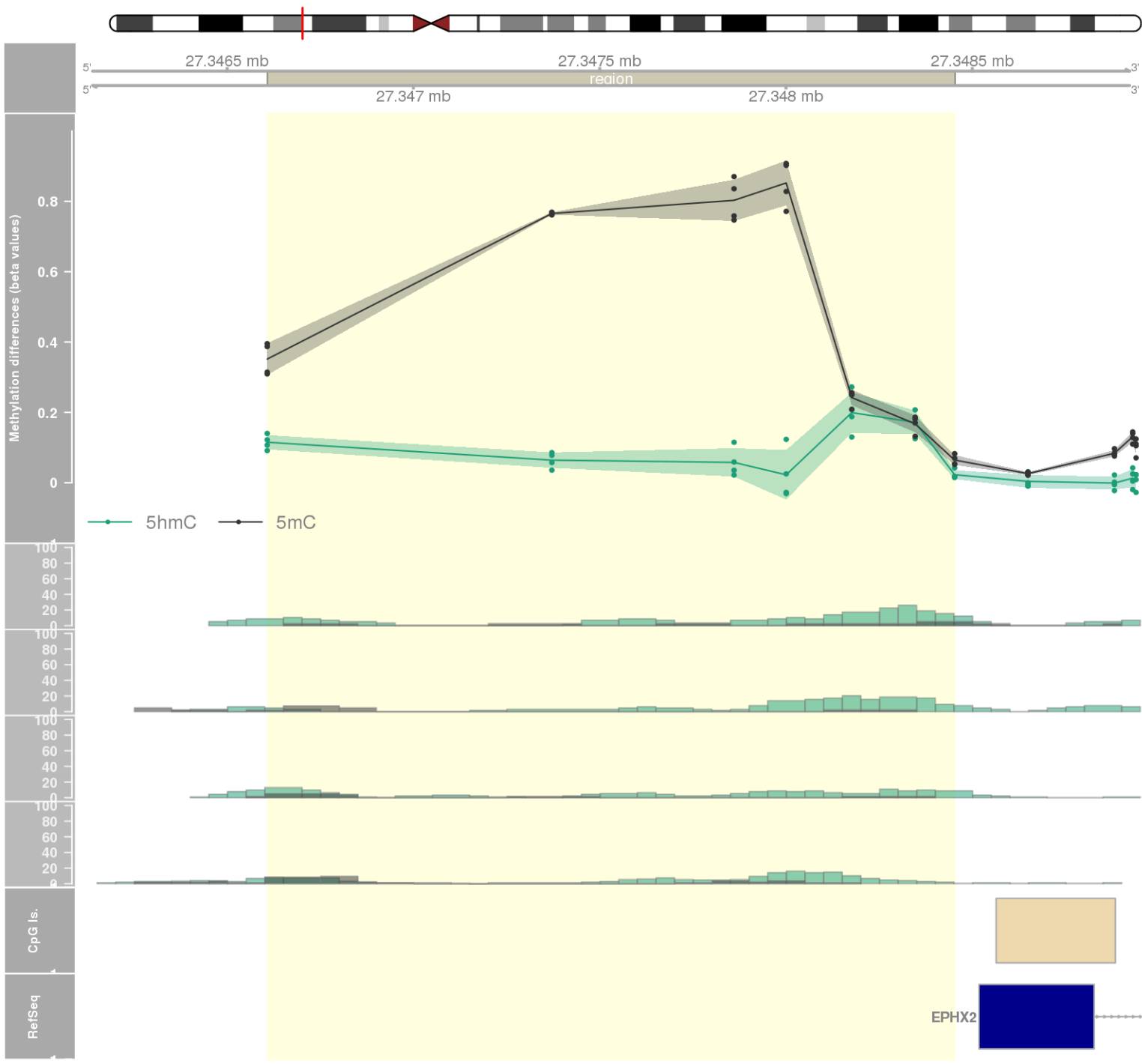
DMR 195 // chr22:19973978-19974866 // 888 pb. (7 probes) // pvalue: 0.008 // fwer: 1 // pvalueArea: 0.019 // fwerArea: 1
- genes: ARVCF -



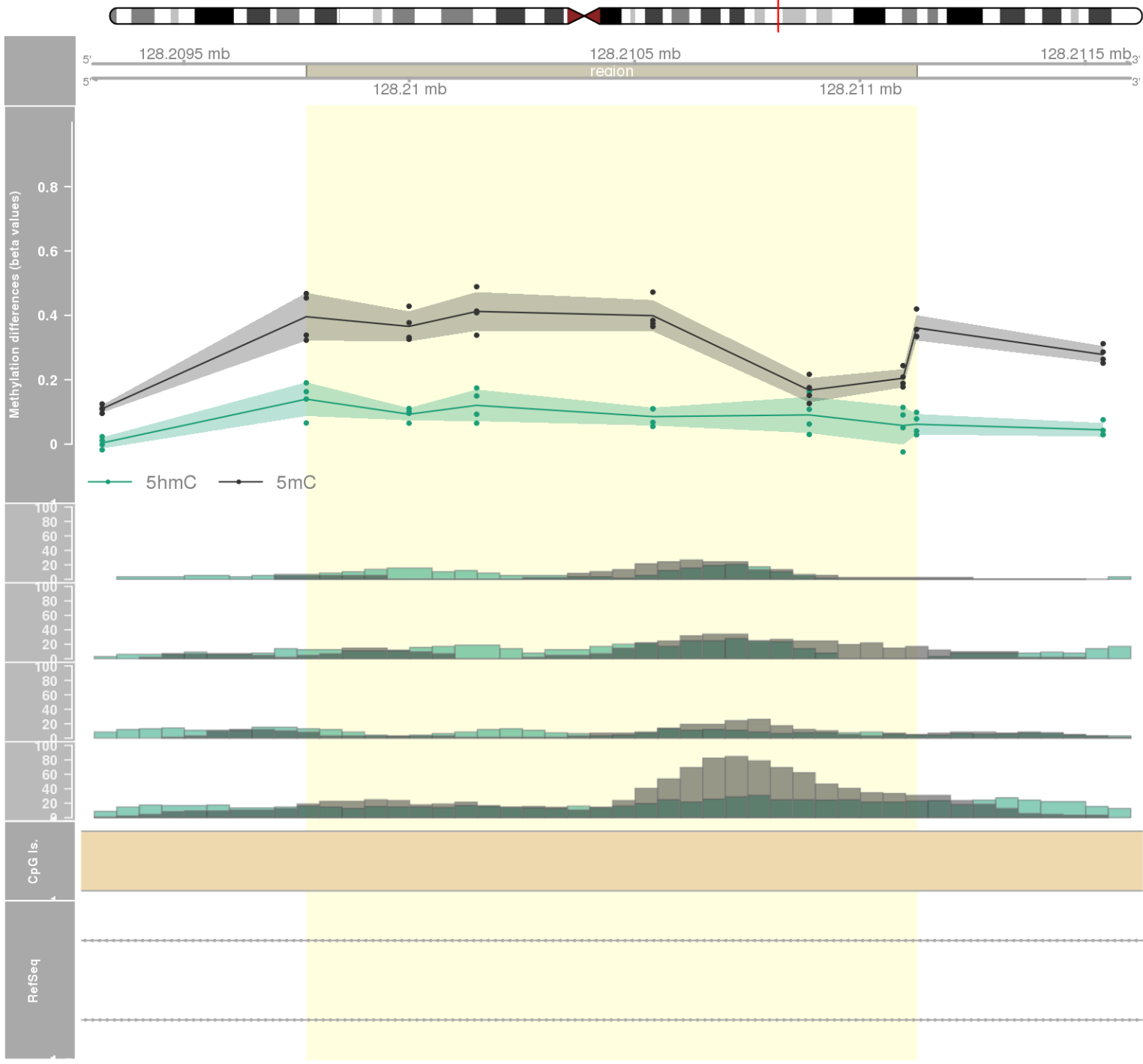
DMR 196 // chr6:33283145-33283328 // 183 pb. (10 probes) // pvalue: 0.006 // fwer: 1 // pvalueArea: 0.019 // fwerArea: 1
- genes: ZBTB22 -



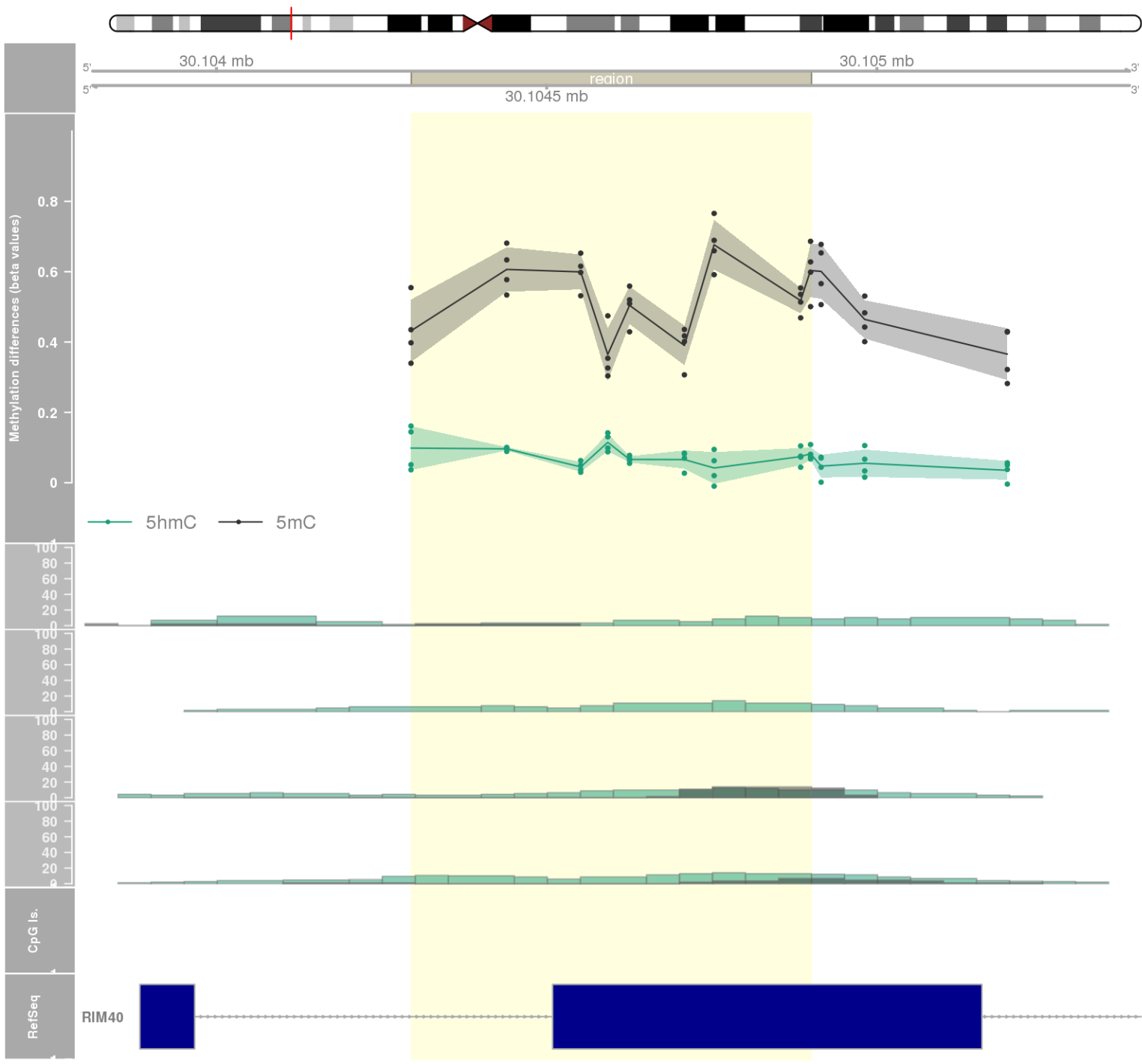
DMR 197 // chr8:27346608-27348453 // 1845 pb. (7 probes) // pvalue: 0.008 // fwer: 1 // pvalueArea: 0.019 // fwerArea: 1
- genes: EPHX2 -



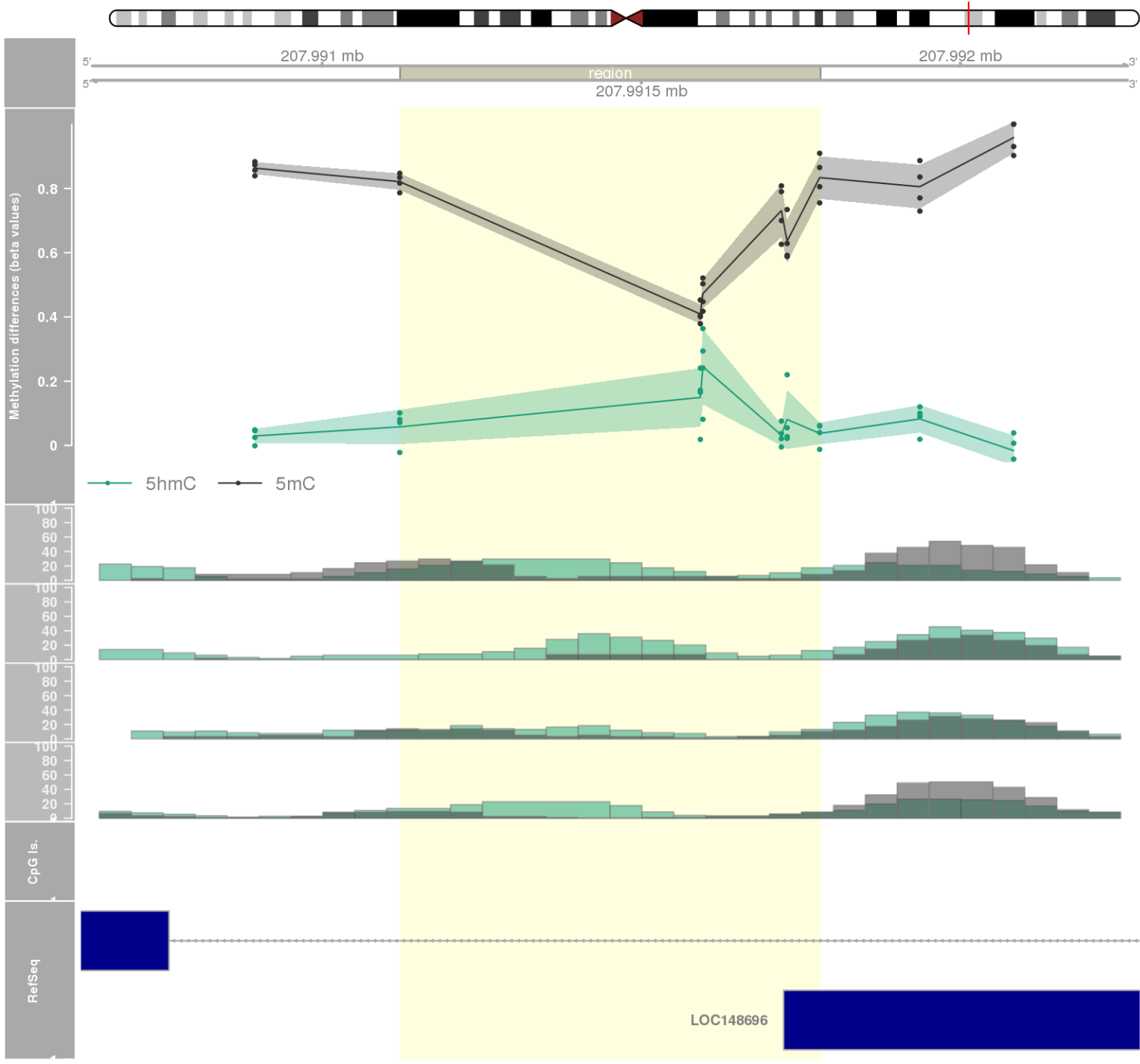
DMR 198 // chr3:128209772-128211126 // 1354 pb. (7 probes) // pvalue: 0.008 // fwer: 1 // pvalueArea: 0.019 // fwerArea: 1
- genes: GATA2 -



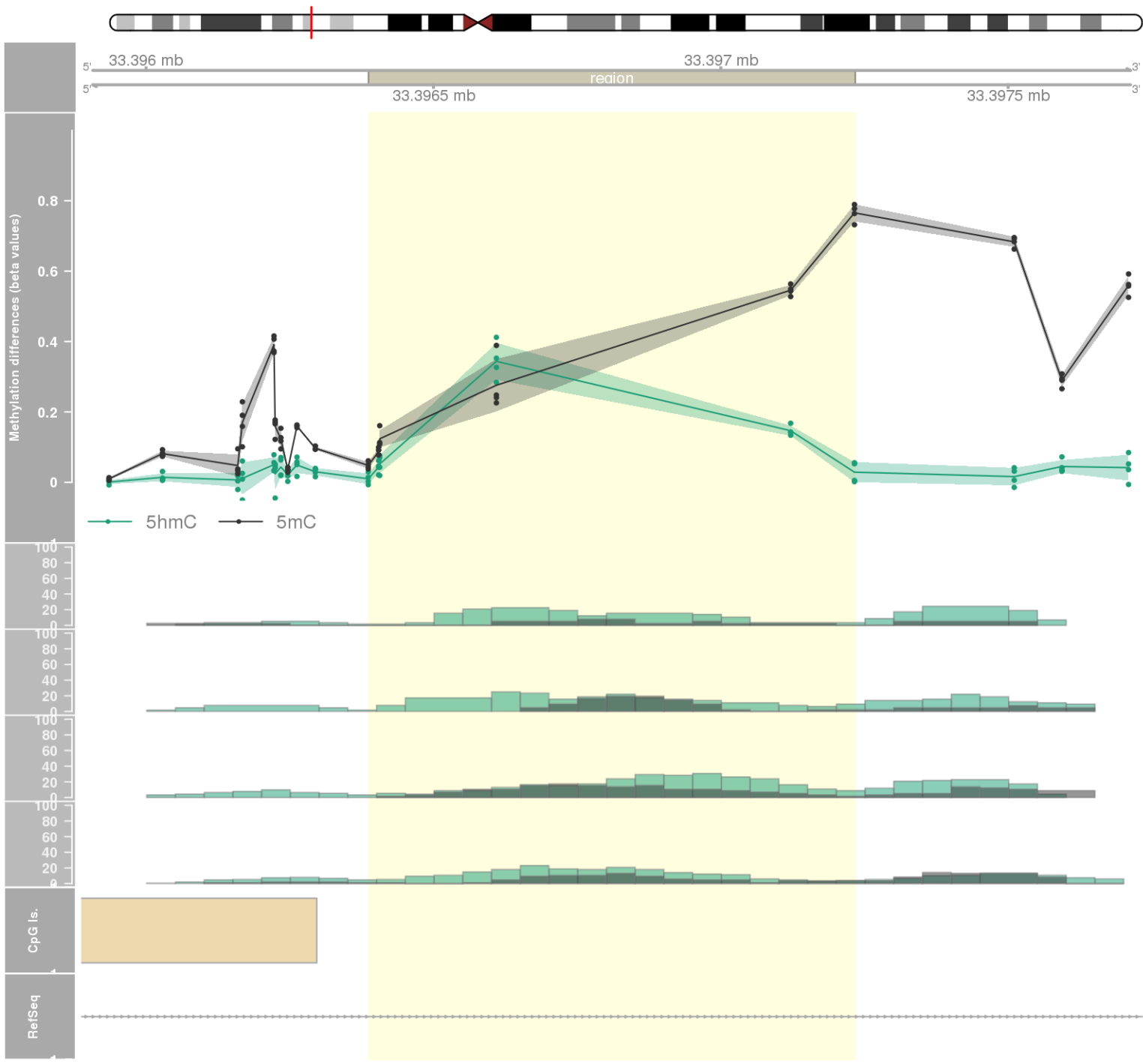
DMR 199 // chr6:30104295-30104900 // 605 pb. (9 probes) // pvalue: 0.007 // fwer: 1 // pvalueArea: 0.02 // fwerArea: 1
- genes: TRIM40 -



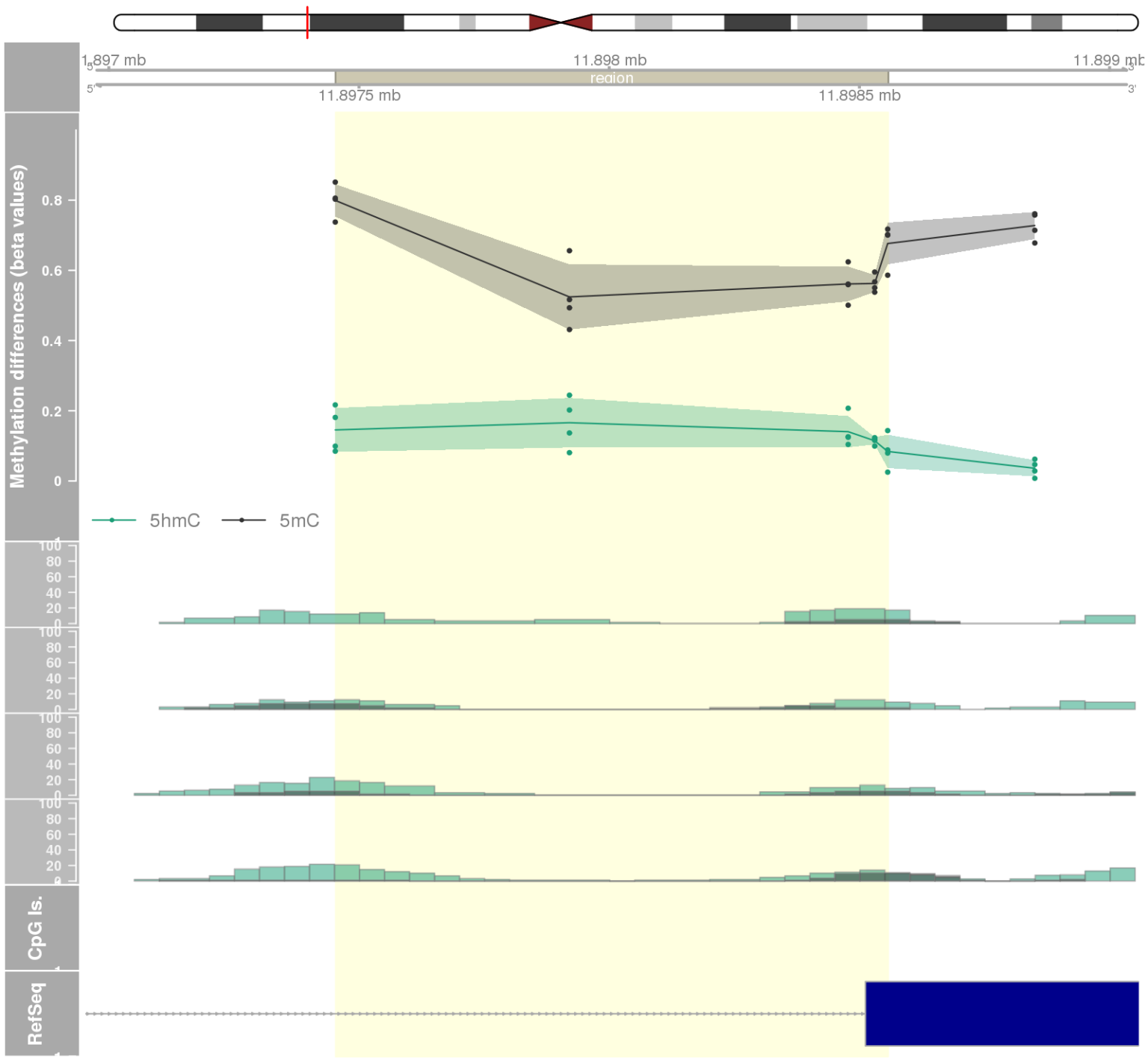
DMR 200 // chr1:207991122-207991780 // 658 pb. (6 probes) // pvalue: 0.007 // fwer: 1 // pvalueArea: 0.02 // fwerArea: 1
- genes: C1orf132 -



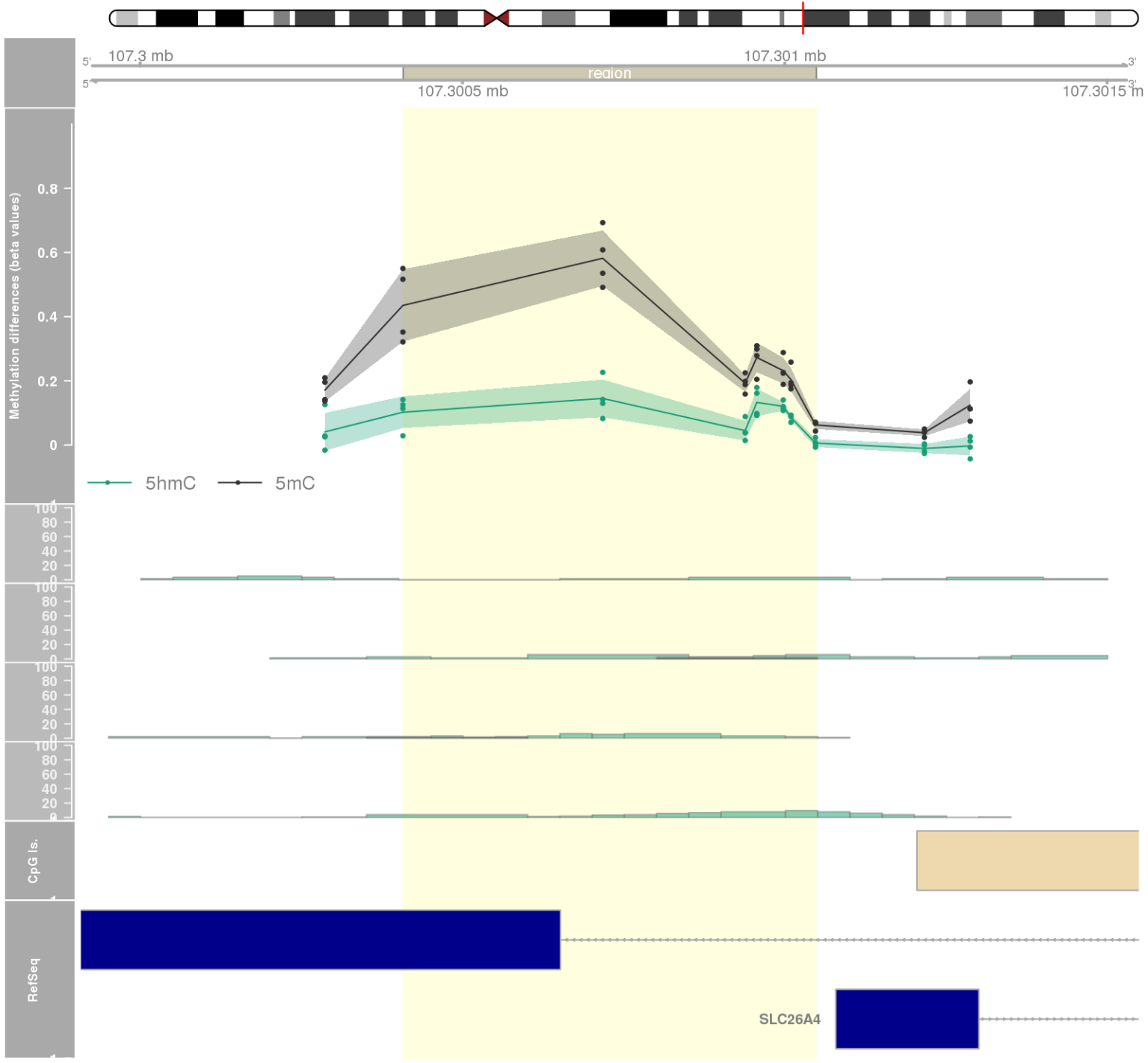
DMR 201 // chr6:33396387-33397233 // 846 pb. (6 probes) // pvalue: 0.007 // fwer: 1 // pvalueArea: 0.02 // fwerArea: 1
- genes: SYNGAP1 -

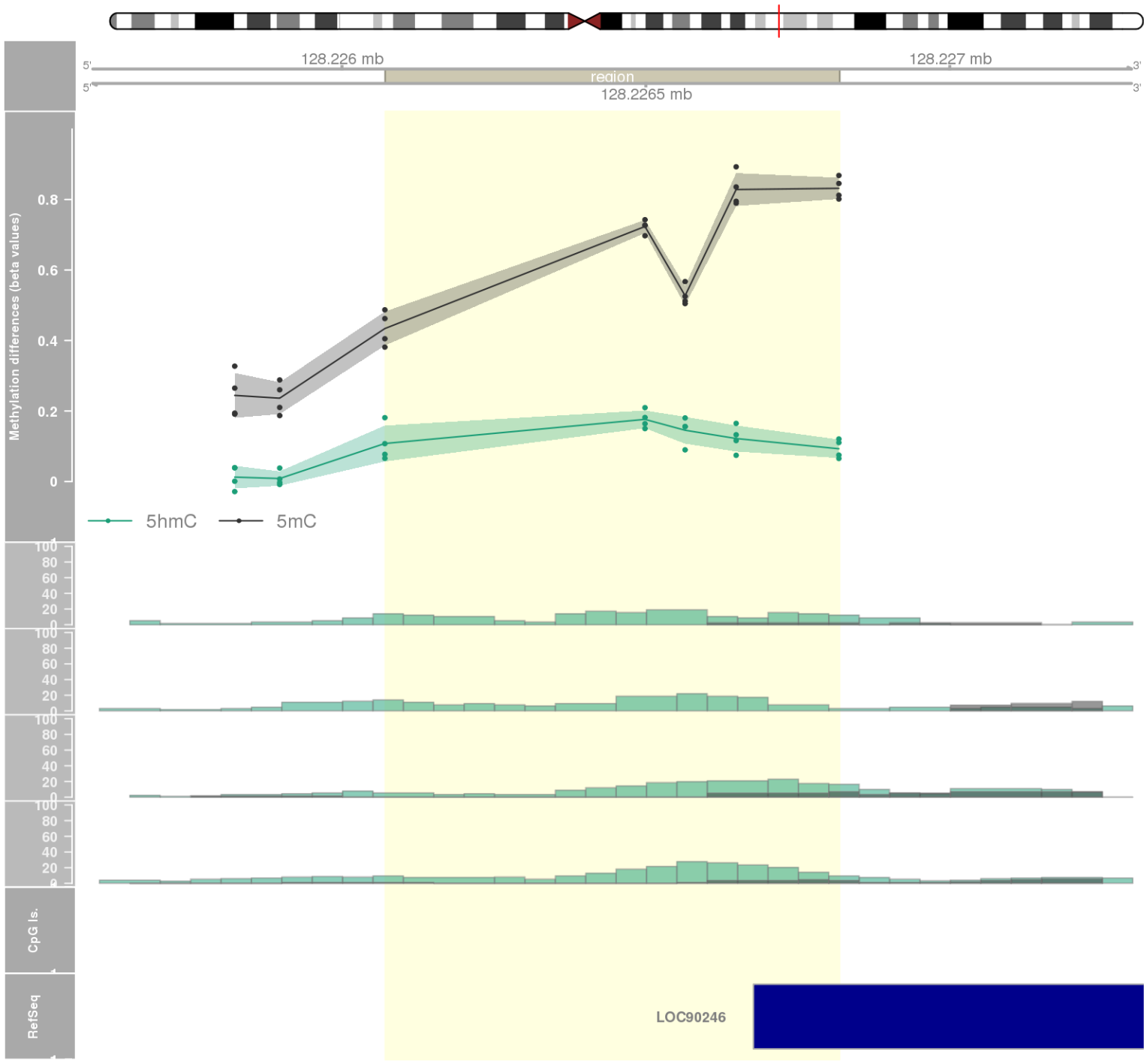


DMR 202 // chr20:11897453-11898557 // 1104 pb. (5 probes) // pvalue: 0.004 // fwer: 1 // pvalueArea: 0.02 // fwerArea: 1
- genes: BTBD3 -

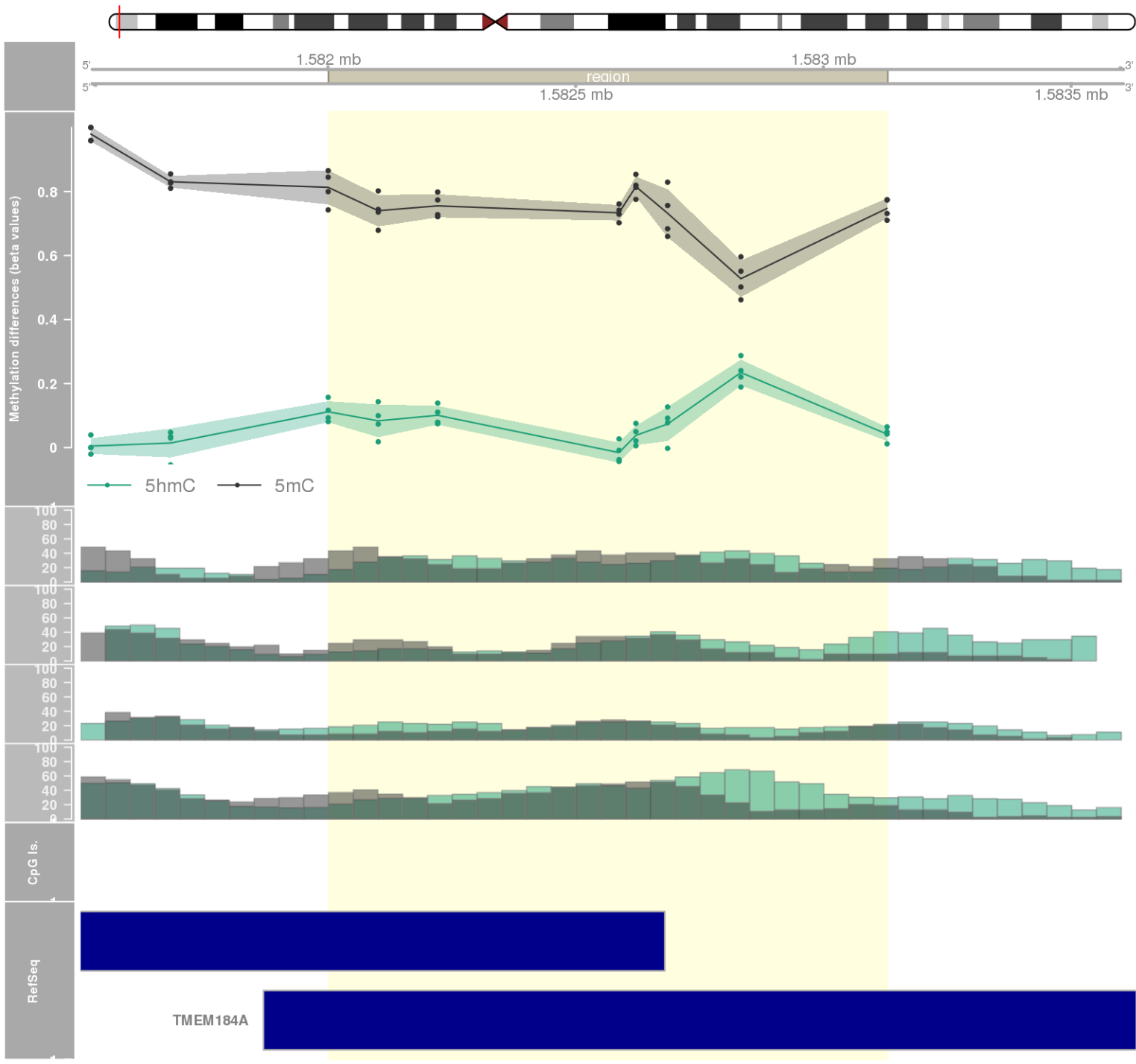


DMR 203 // chr7:107300408-107301048 // 640 pb. (7 probes) // pvalue: 0.008 // fwer: 1 // pvalueArea: 0.02 // fwerArea: 1
- genes: SLC26A4-AS1 -

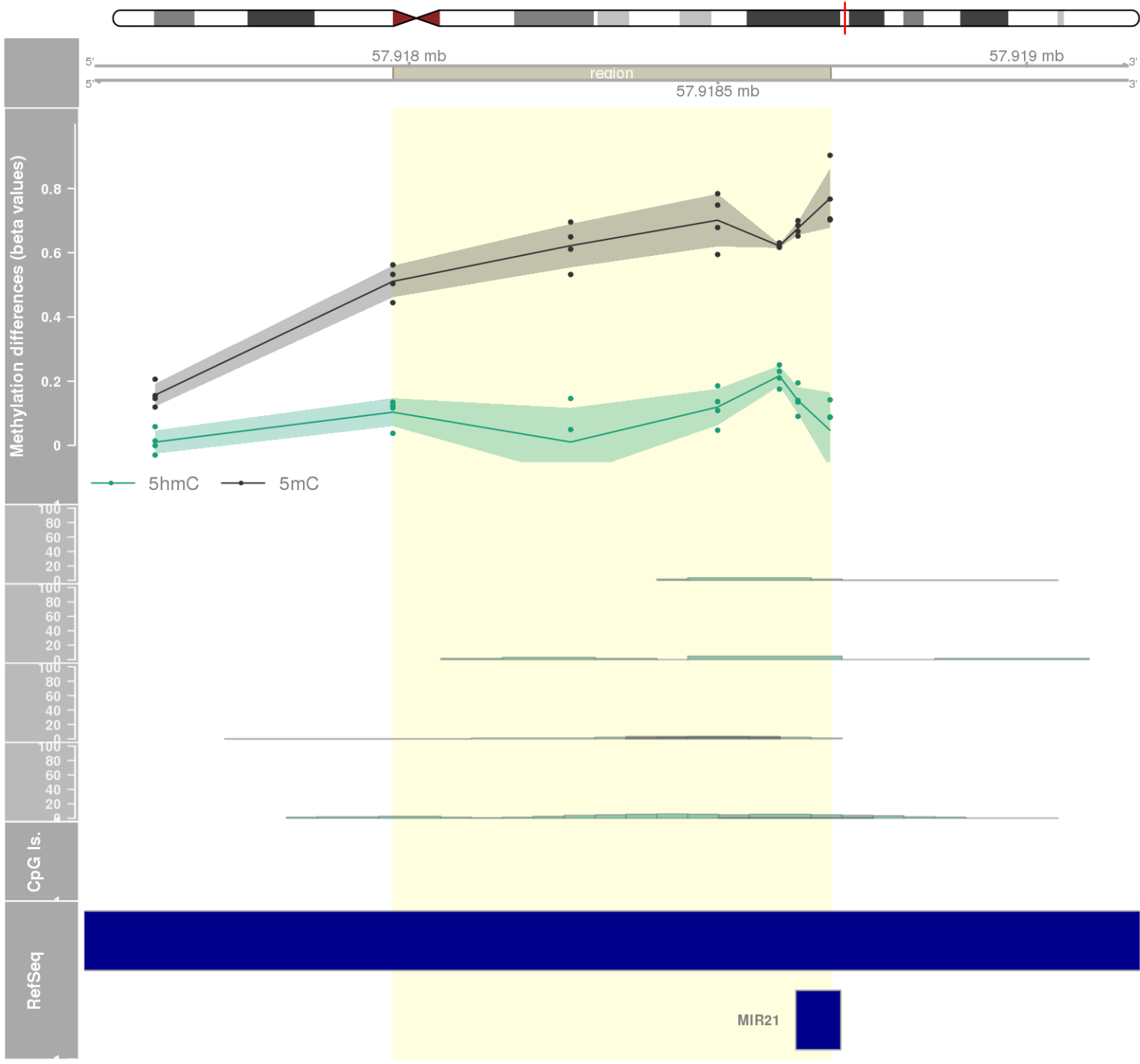




DMR 205 // chr7:1582001-1583129 // 1128 pb. (8 probes) // pvalue: 0.009 // fwer: 1 // pvalueArea: 0.02 // fwerArea: 1
- genes: MAFK / TMEM184A -



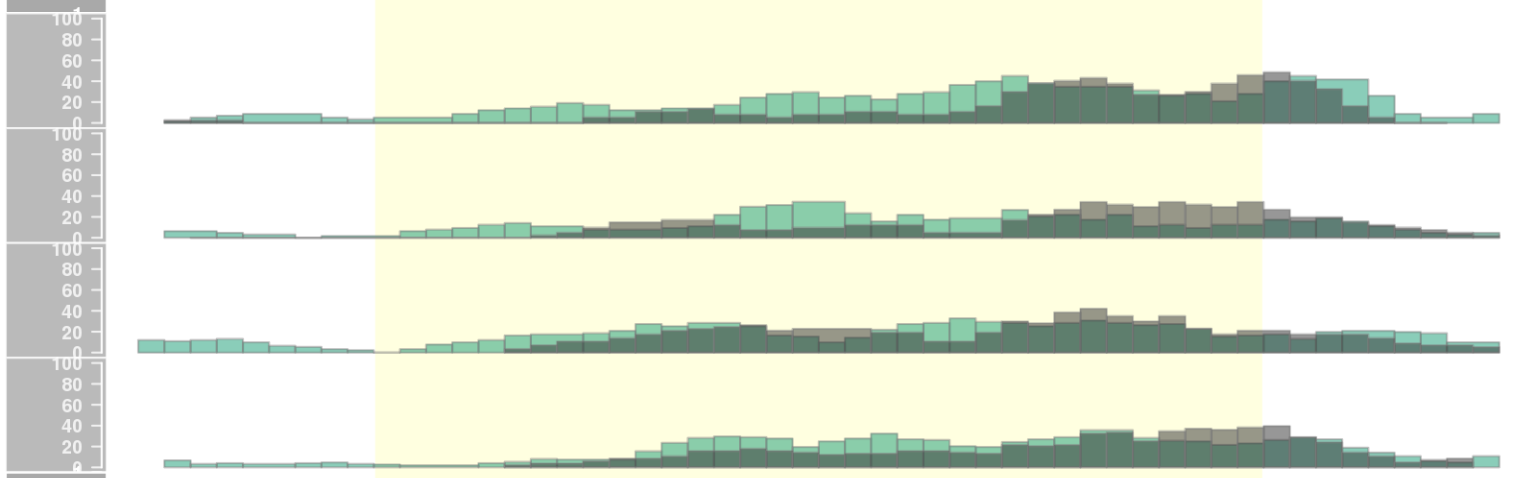
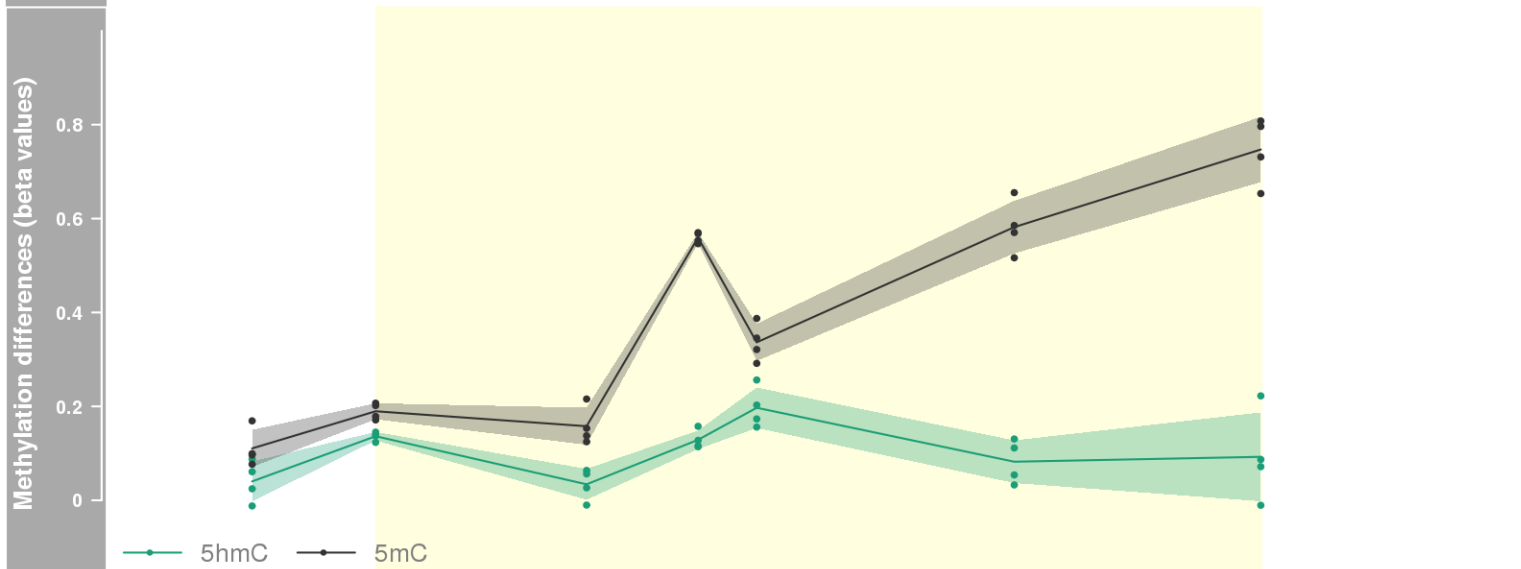
DMR 206 // chr17:57917974-57918682 // 708 pb. (6 probes) // pvalue: 0.007 // fwer: 1 // pvalueArea: 0.02 // fwerArea: 1
- genes: MIR21 / VMP1 -



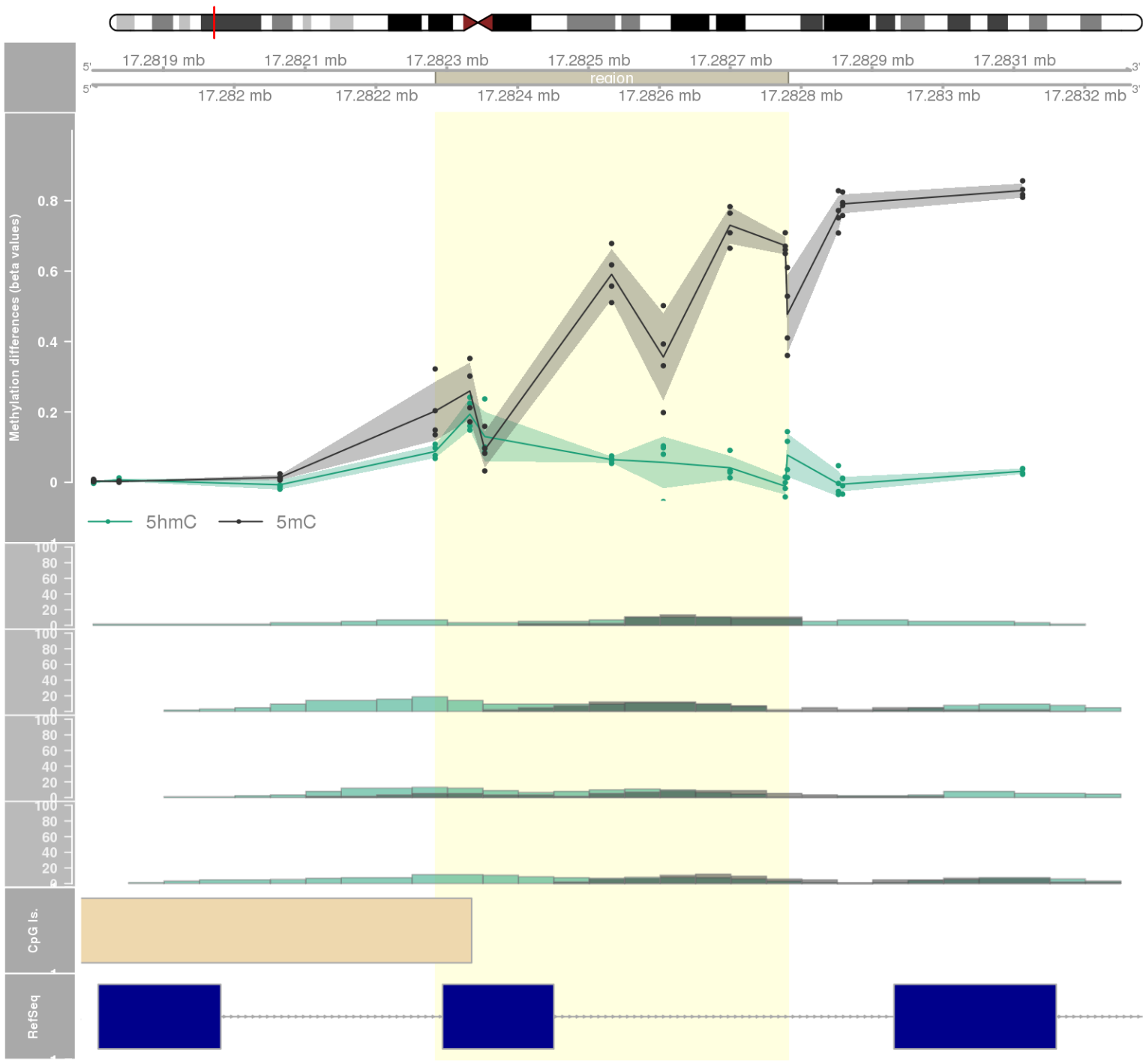
DMR 207 // chr11:68138505-68140196 // 1691 pb. (6 probes) // pvalue: 0.007 // fwer: 1 // pvalueArea: 0.021 // fwerArea: 1
- genes: LRP5 -



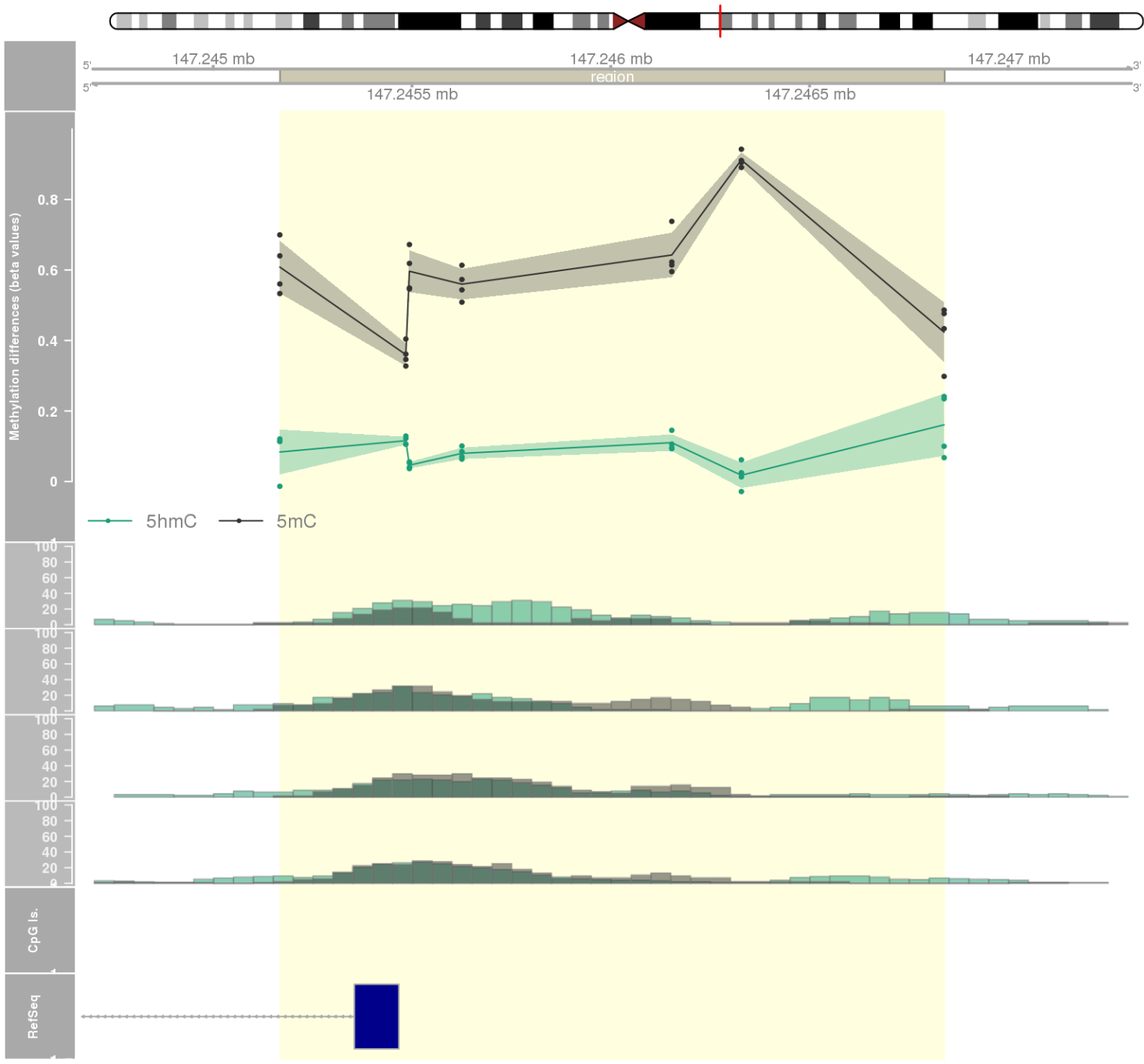
68.1385 mb 68.1395 mb 68.1405 mb
5' 5' 3' 3'
68.139 mb region 68.14 mb



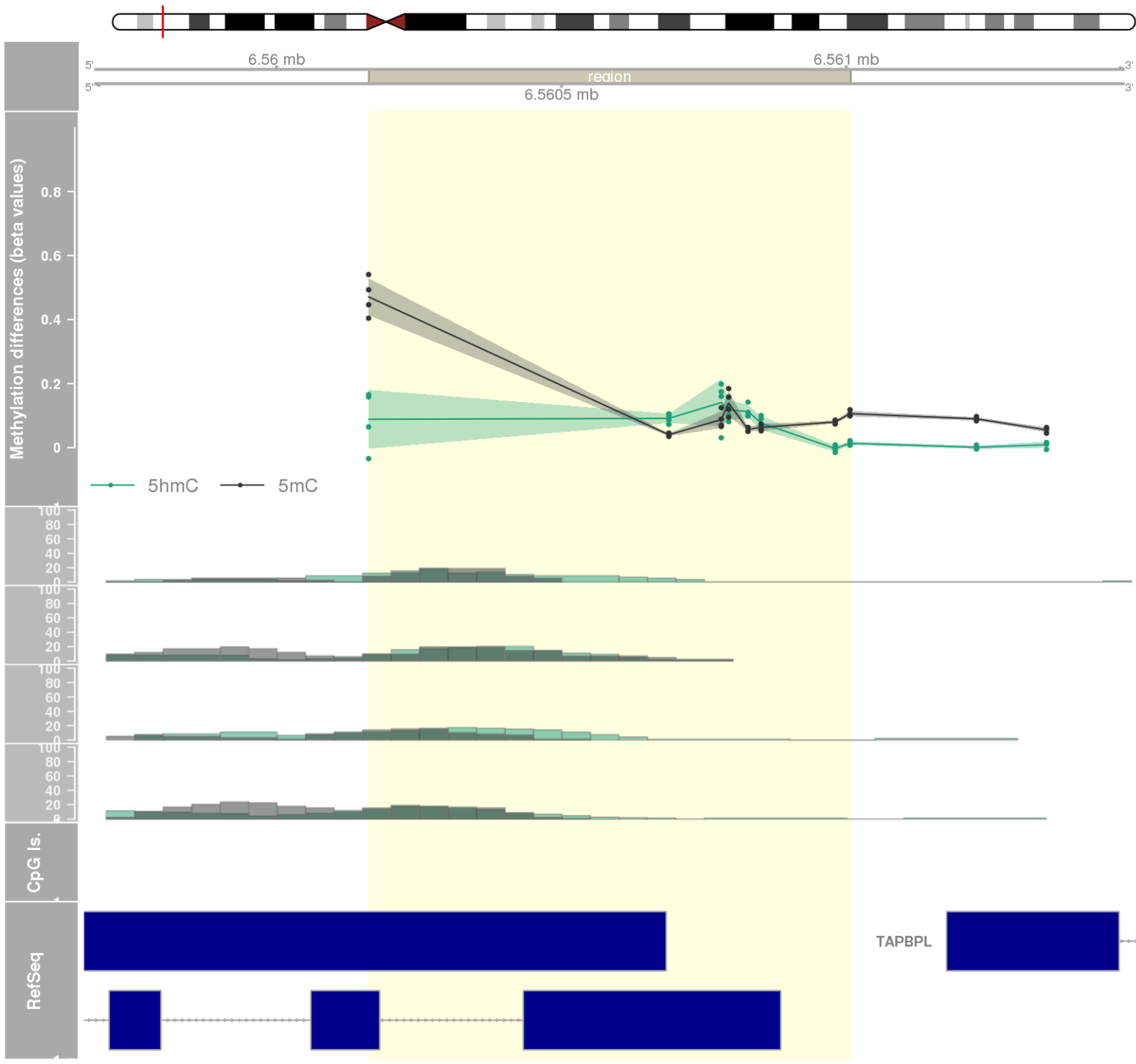
DMR 208 // chr6:17282284-17282781 // 497 pb. (8 probes) // pvalue: 0.009 // fwer: 1 // pvalueArea: 0.021 // fwerArea: 1
- genes: RBM24 -



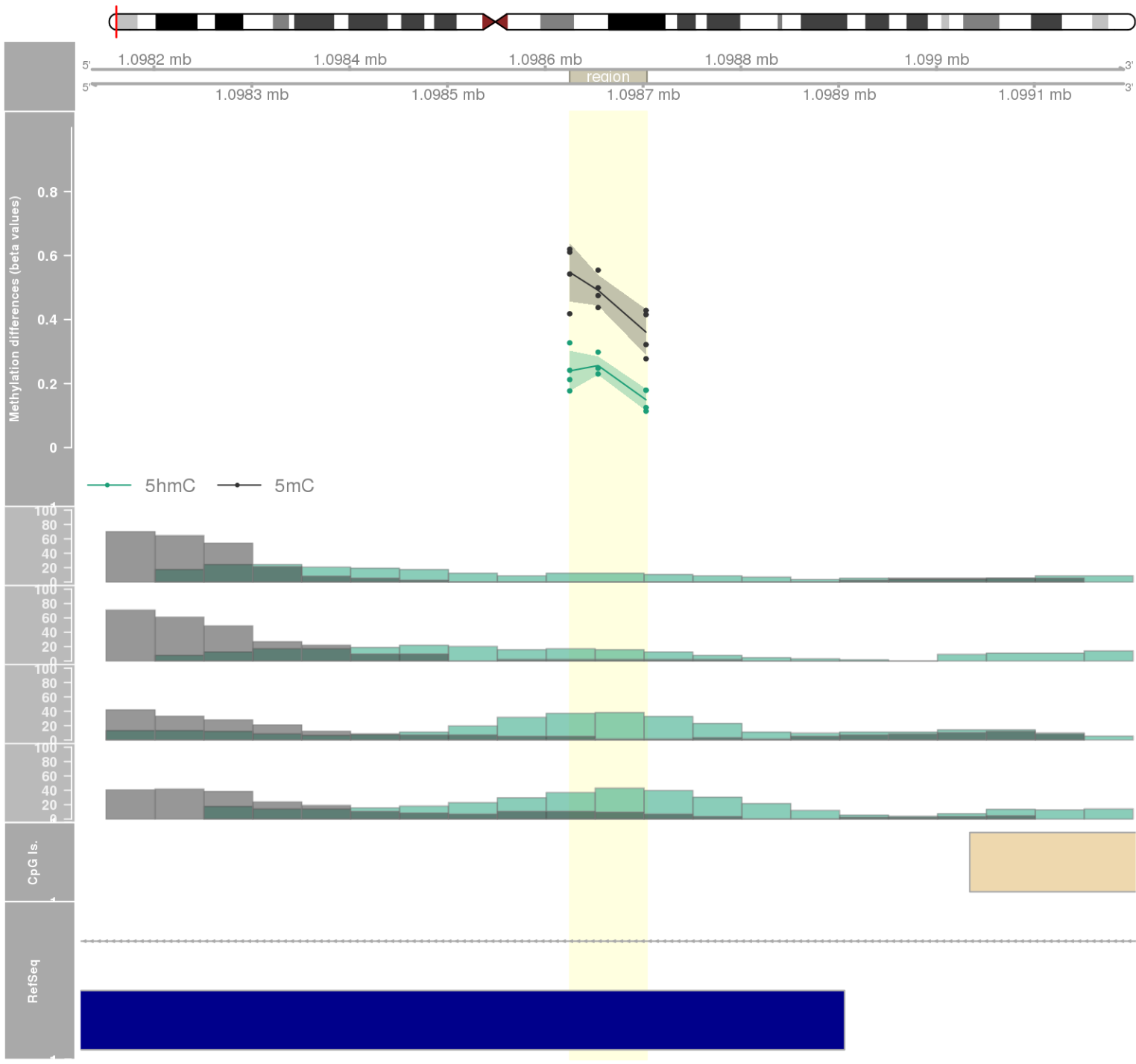
DMR 209 // chr1:147245168-147246839 // 1671 pb. (7 probes) // pvalue: 0.009 // fwer: 1 // pvalueArea: 0.021 // fwerArea: 1
- genes: GJA5 -



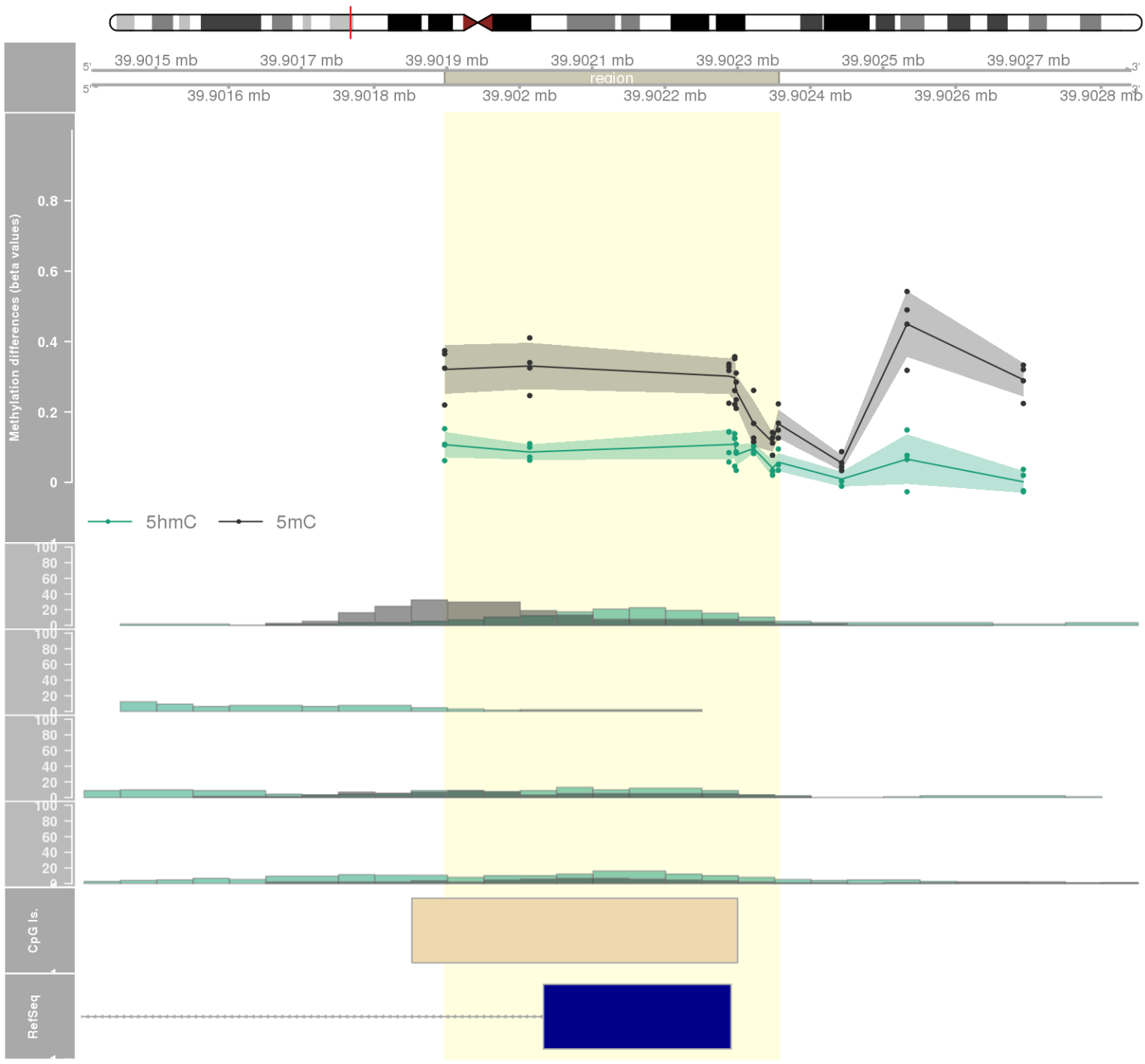
DMR 210 // chr12:6560162-6561007 // 845 pb. (8 probes) // pvalue: 0.009 // fwer: 1 // pvalueArea: 0.021 // fwerArea: 1
- genes: CD27-AS1 / CD27 / TAPBPL -



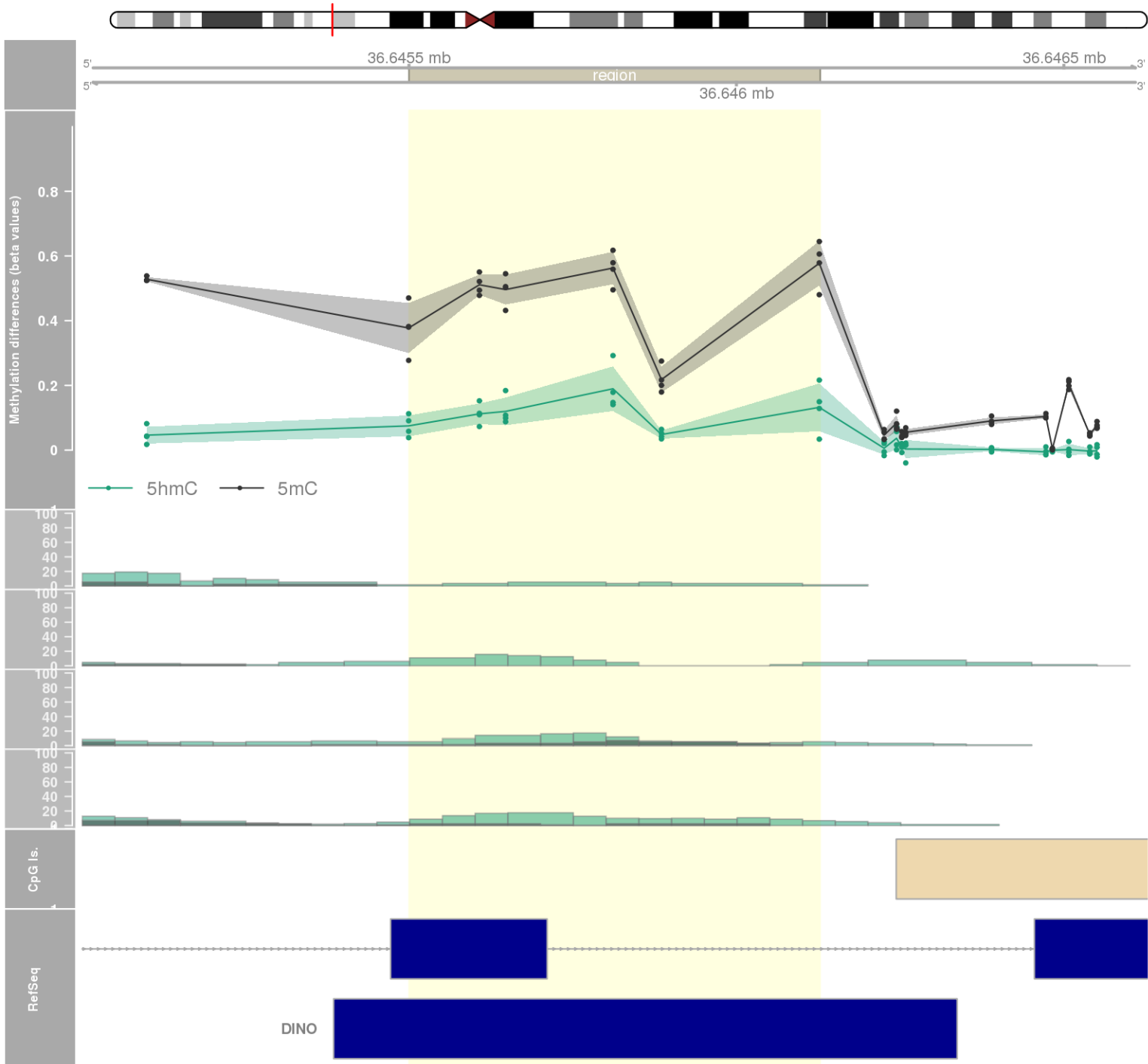
DMR 211 // chr7:1098625-1098703 // 78 pb. (3 probes) // pvalue: 0.001 // fwer: 0.807 // pvalueArea: 0.021 // fwerArea: 1
- genes: C7orf50 / GPR146 -



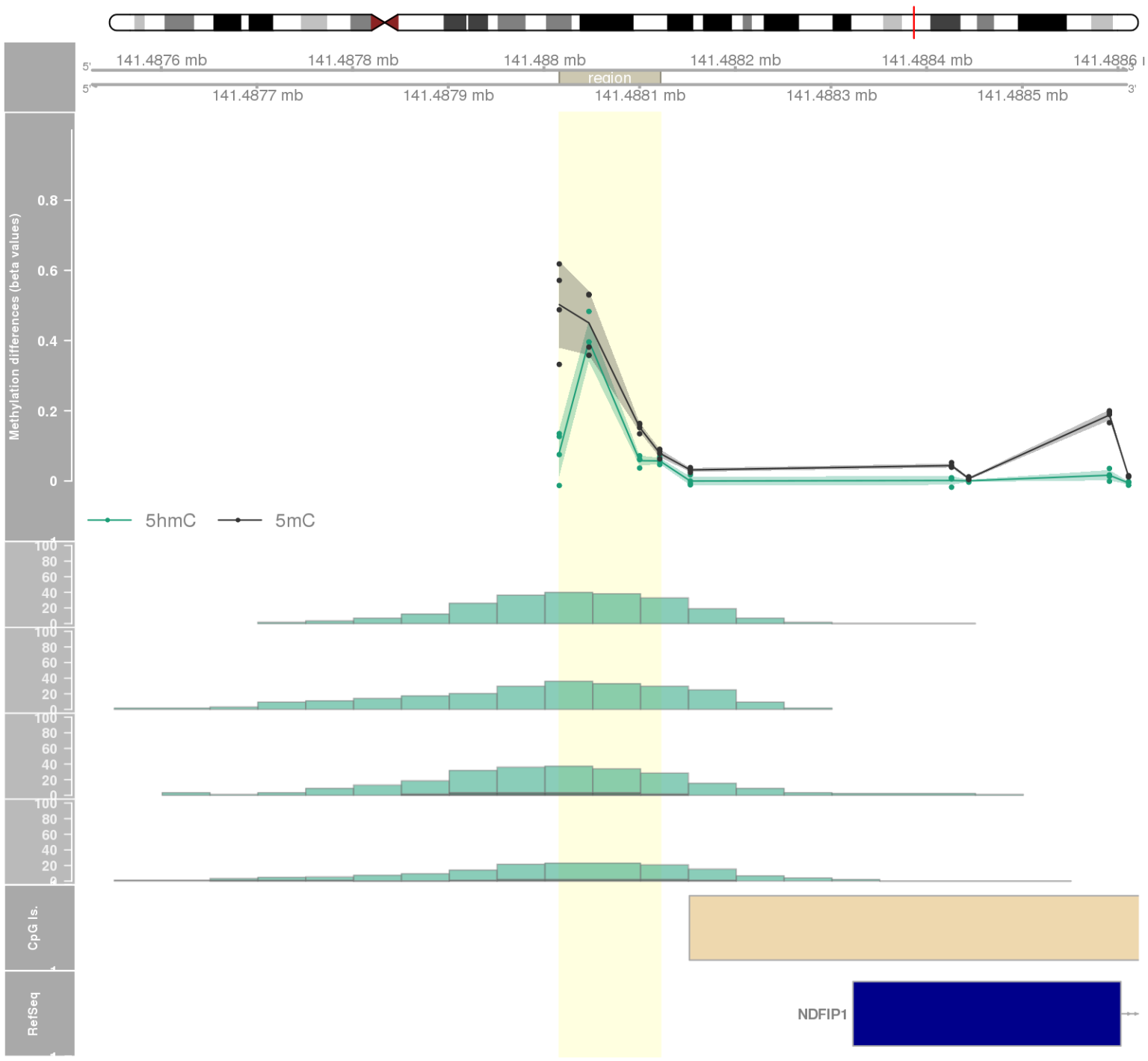
DMR 212 // chr6:39901897-39902356 // 459 pb. (8 probes) // pvalue: 0.008 // fwer: 1 // pvalueArea: 0.021 // fwerArea: 1
- genes: MOCS1 -



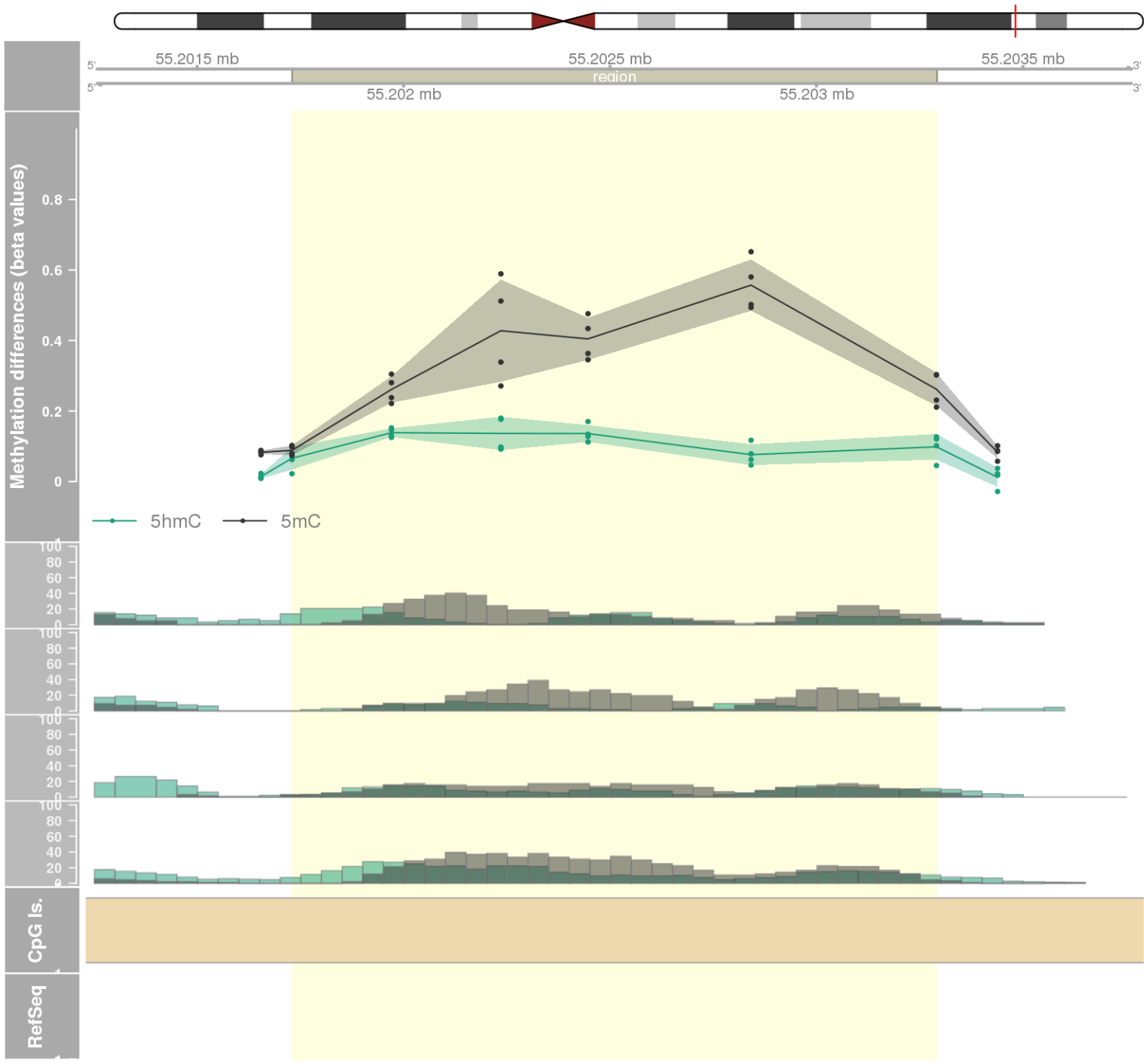
DMR 213 // chr6:36645500-36646127 // 627 pb. (6 probes) // pvalue: 0.008 // fwer: 1 // pvalueArea: 0.021 // fwerArea: 1
- genes: CDKN1A -



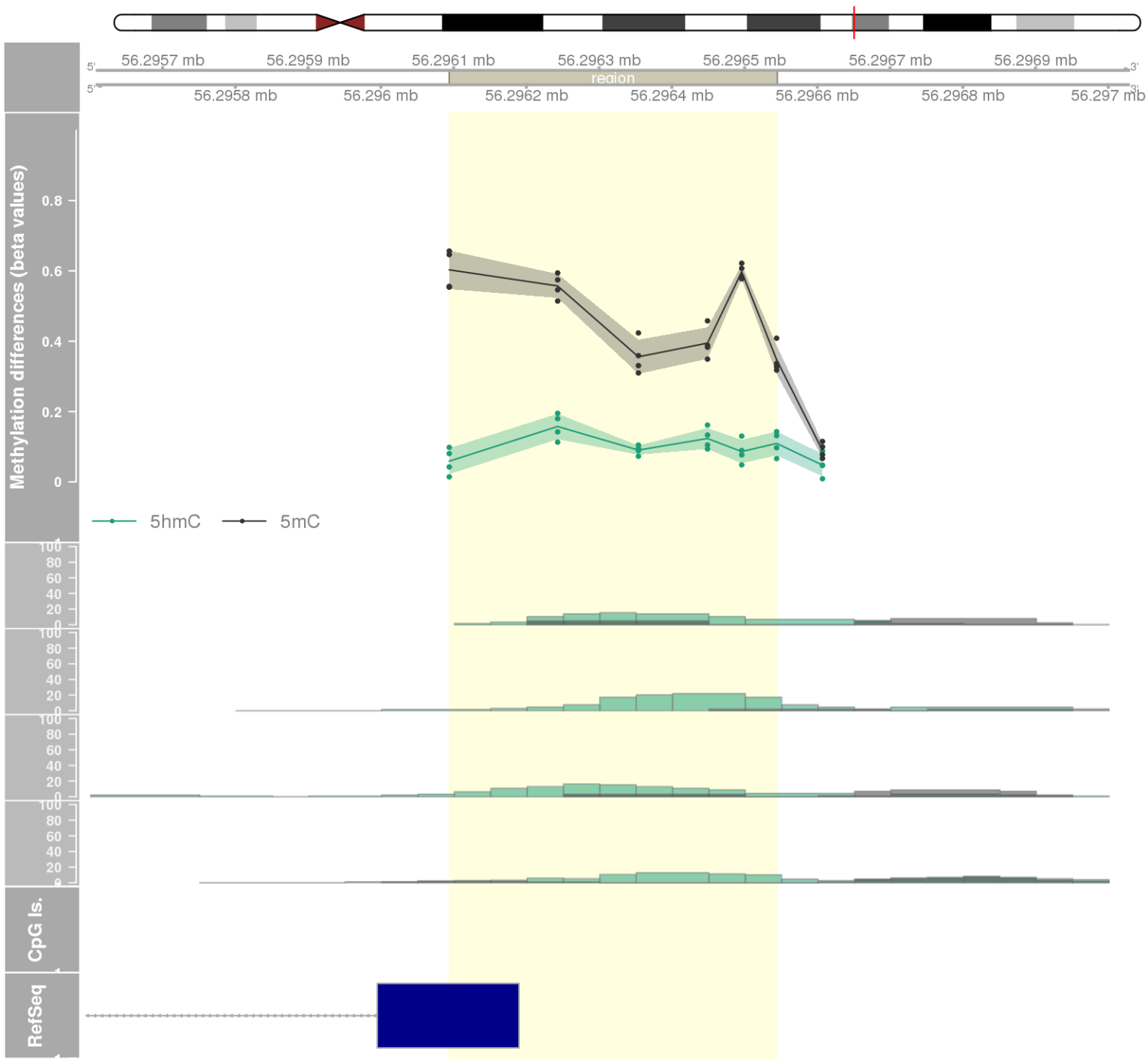
DMR 214 // chr5:141488016-141488121 // 105 pb. (4 probes) // pvalue: 0.002 // fwer: 0.595 // pvalueArea: 0.021 // fwerArea: 1
- genes: NDFIP1 -



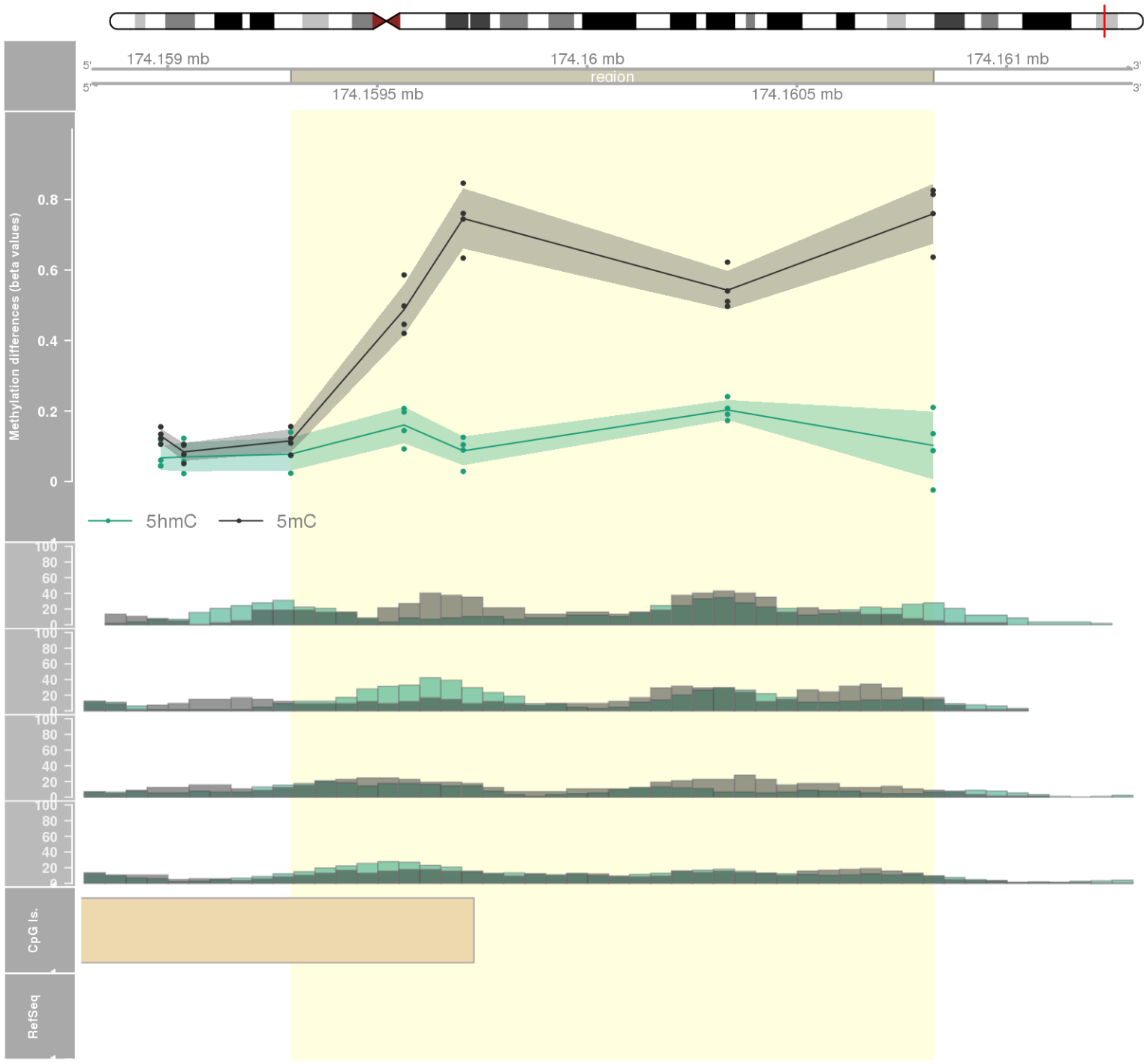
DMR 215 // chr20:55201730-55203291 // 1561 pb. (6 probes) // pvalue: 0.008 // fwer: 1 // pvalueArea: 0.021 // fwerArea: 1

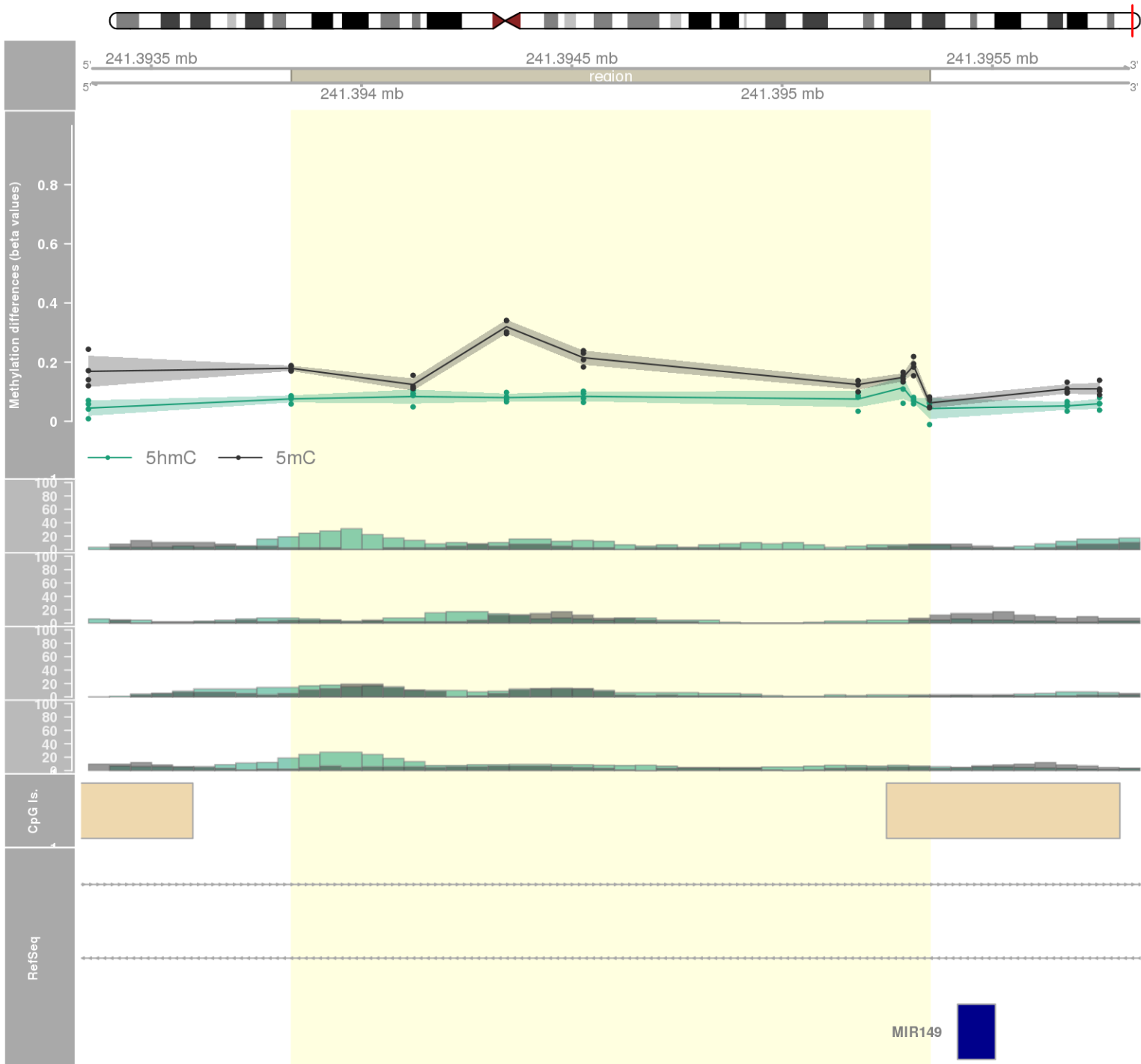


DMR 216 // chr18:56296094-56296544 // 450 pb. (6 probes) // pvalue: 0.008 // fwer: 1 // pvalueArea: 0.021 // fwerArea: 1
- genes: ALPK2 -

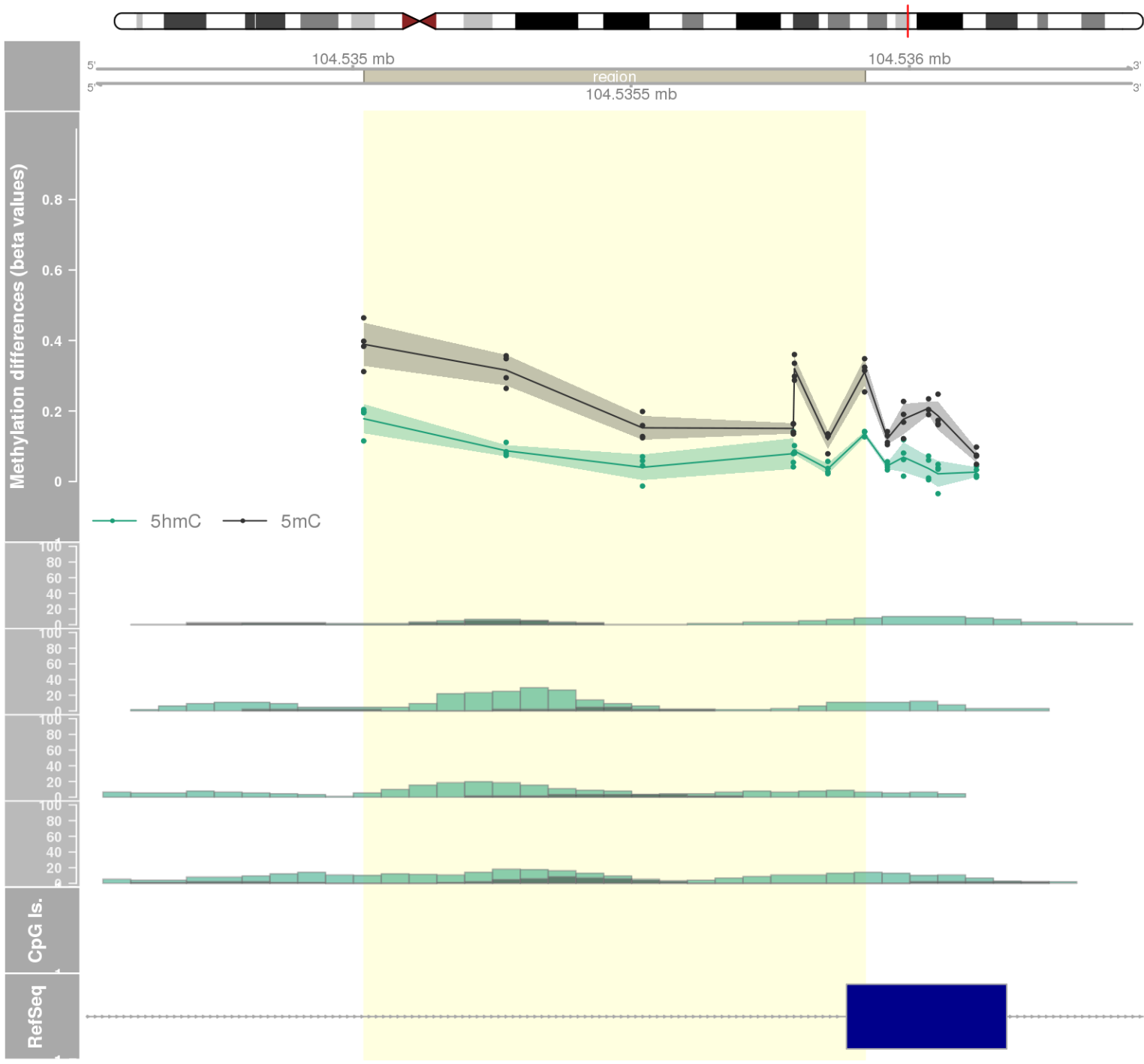


DMR 217 // chr5:174159294-174160825 // 1531 pb. (5 probes) // pvalue: 0.004 // fwer: 1 // pvalueArea: 0.022 // fwerArea: 1

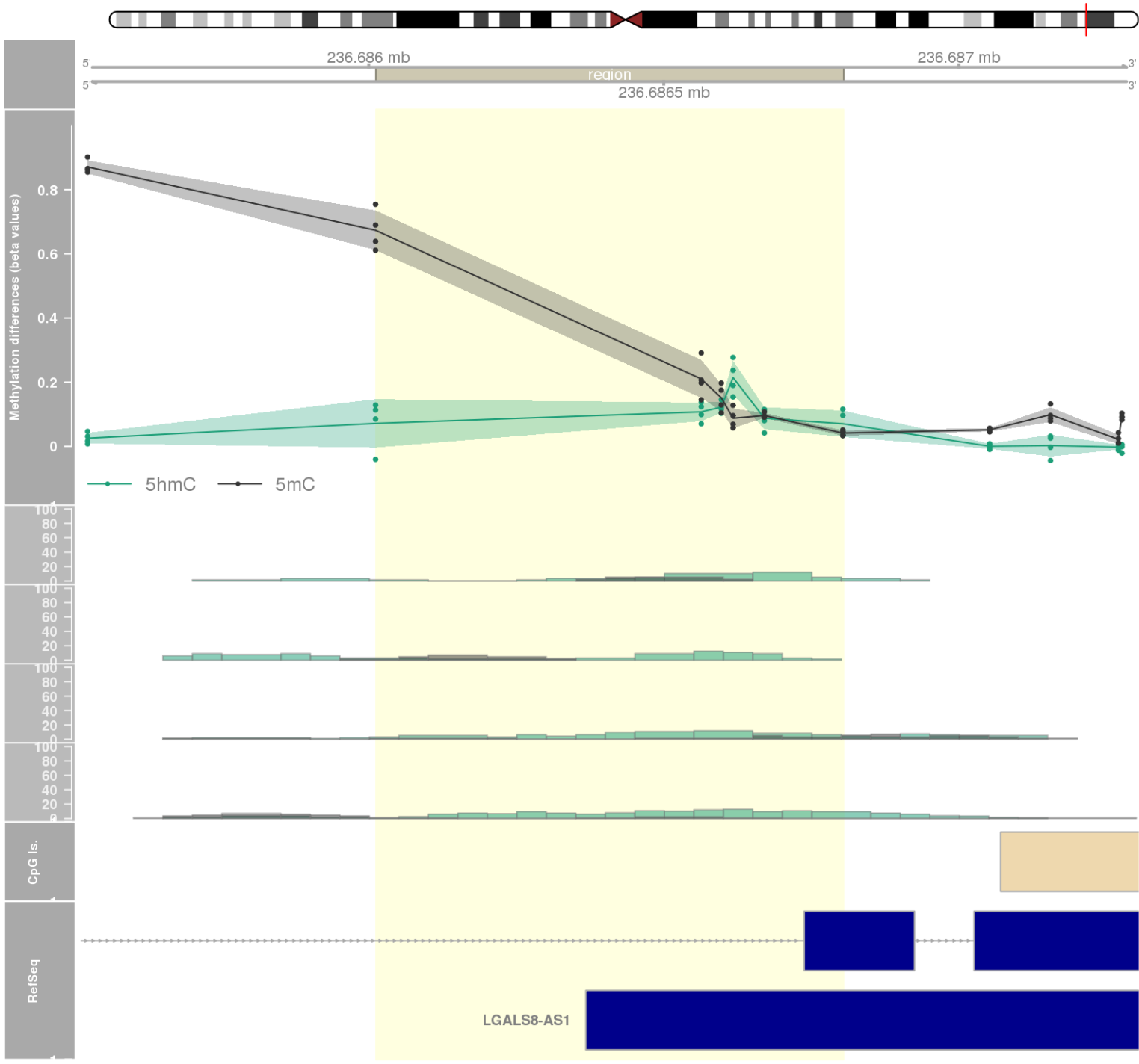




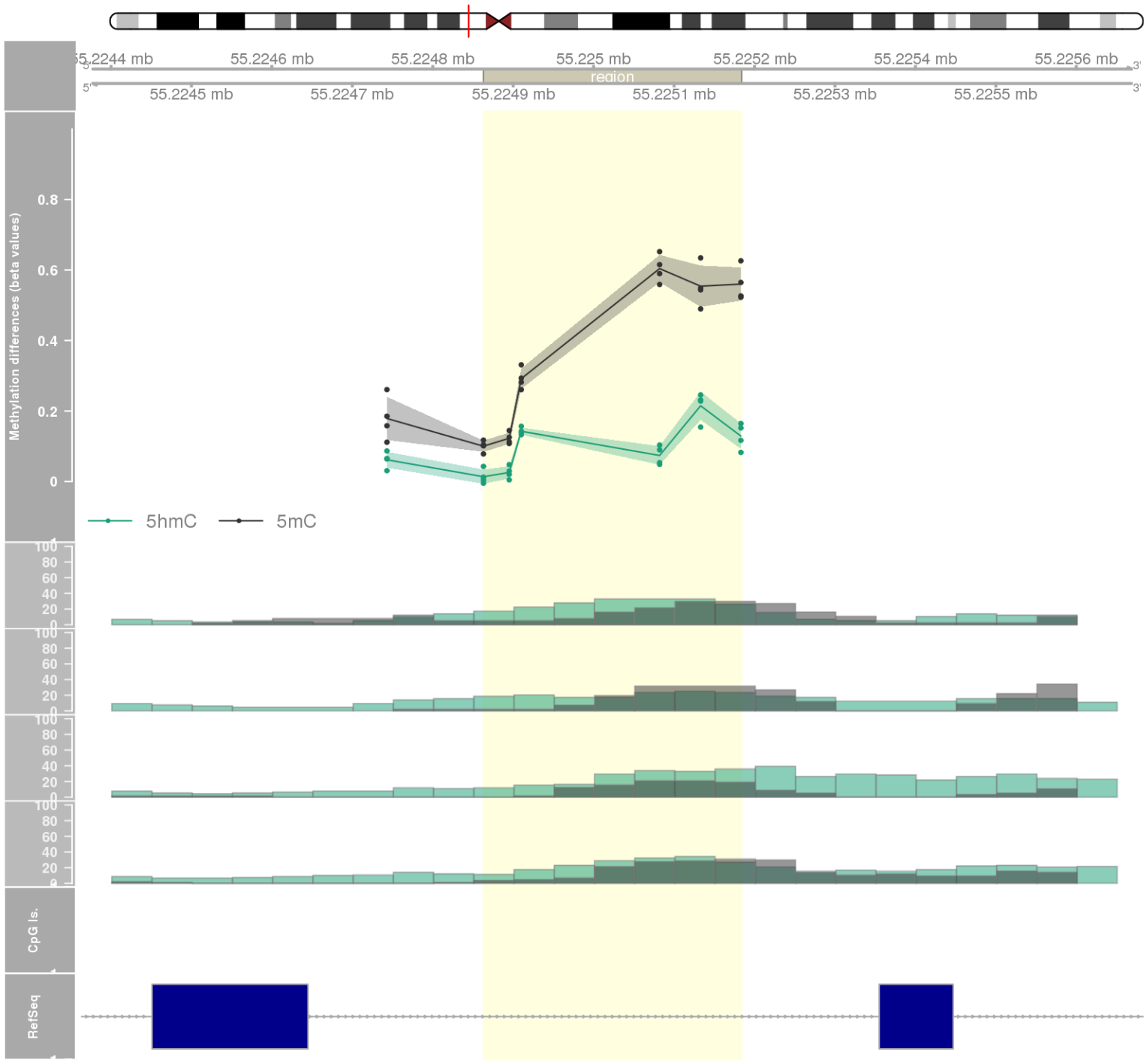
DMR 219 // chr10:104535020-104535920 // 900 pb. (7 probes) // pvalue: 0.009 // fwer: 1 // pvalueArea: 0.022 // fwerArea: 1
- genes: WBP1L -



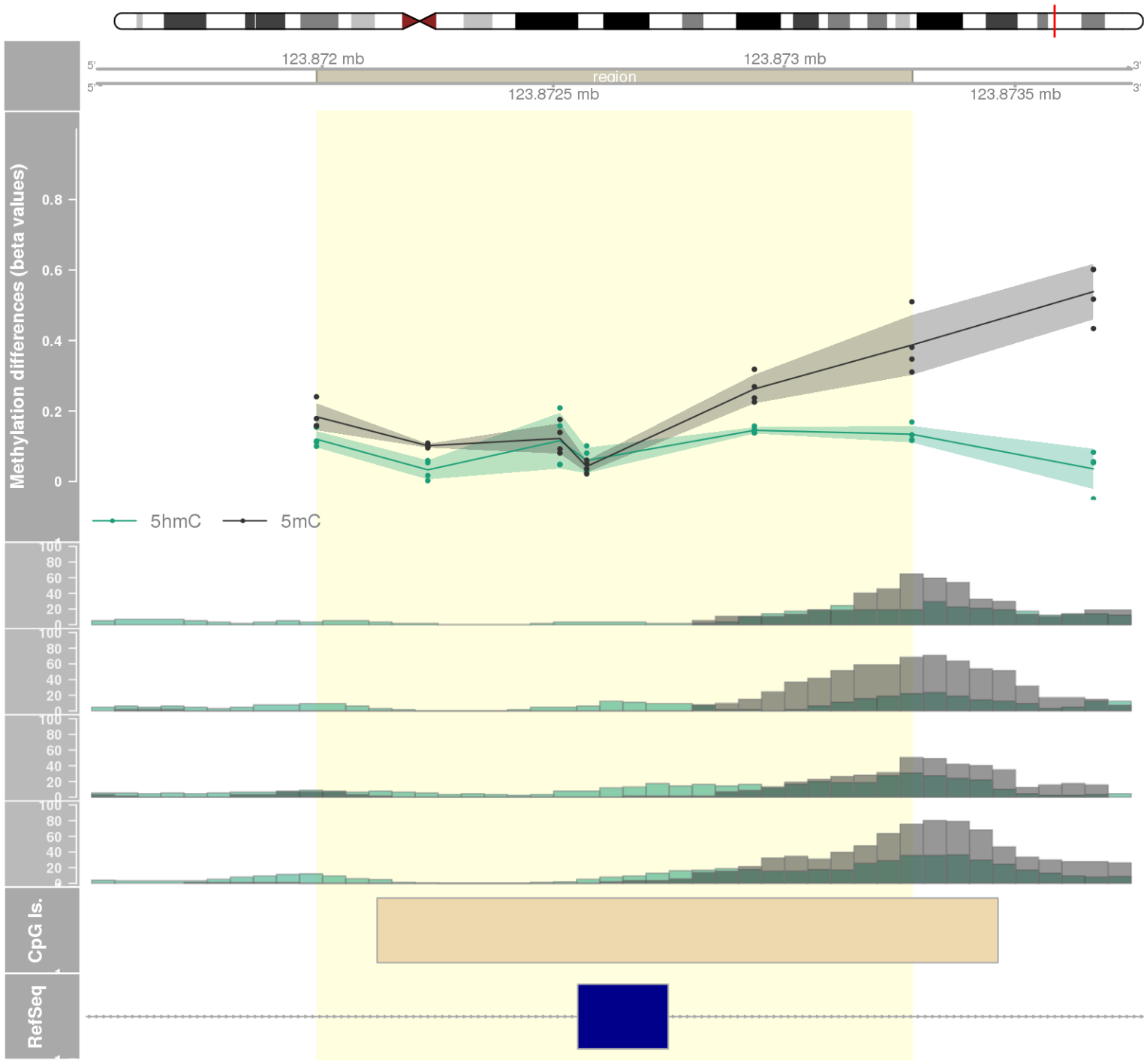
DMR 220 // chr1:236686012-236686804 // 792 pb. (6 probes) // pvalue: 0.009 // fwer: 1 // pvalueArea: 0.022 // fwerArea: 1
- genes: LGALS8-AS1 / LGALS8 -



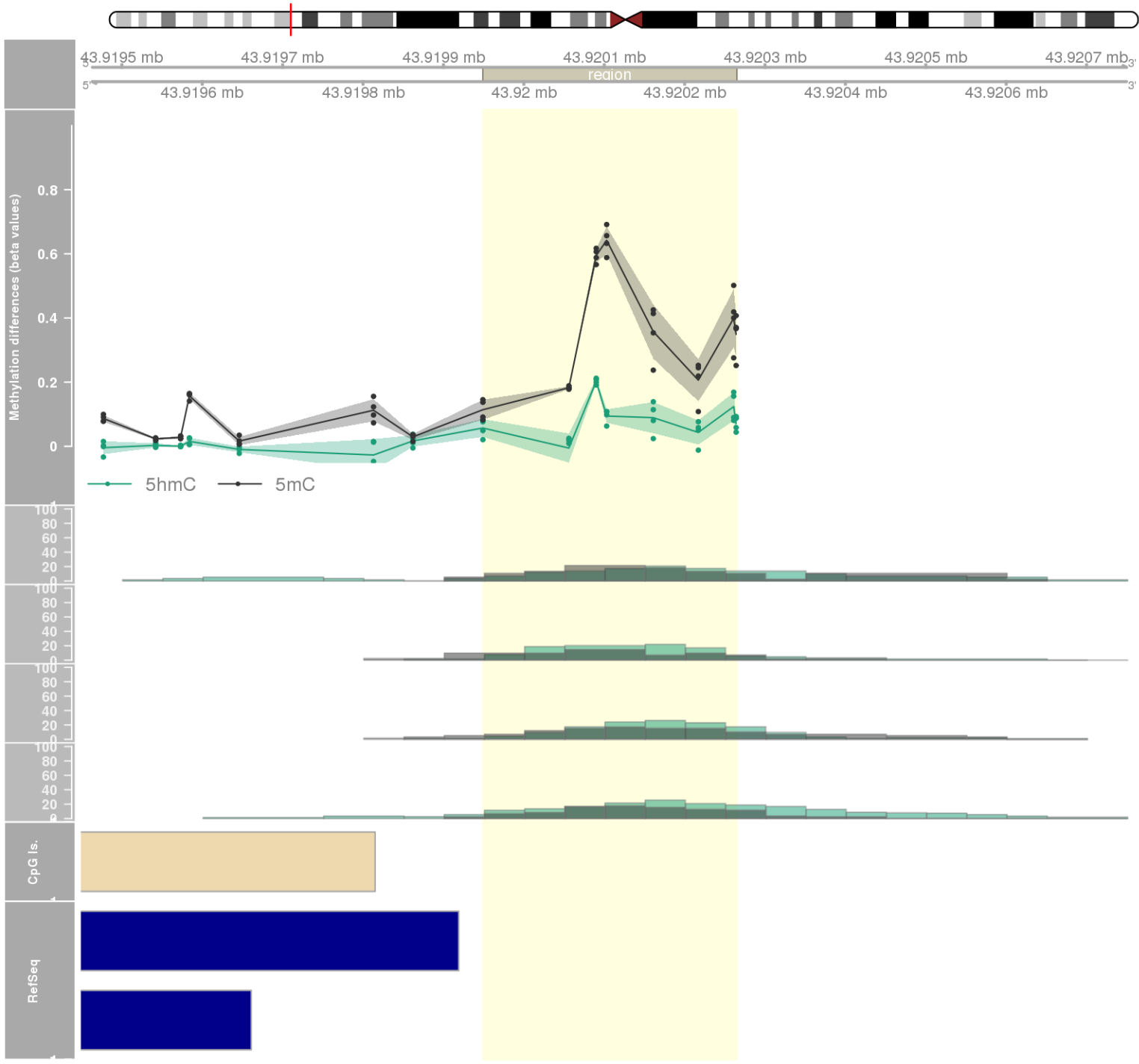
DMR 221 // chr7:55224863-55225183 // 320 pb. (6 probes) // pvalue: 0.009 // fwer: 1 // pvalueArea: 0.022 // fwerArea: 1
- genes: EGFR -



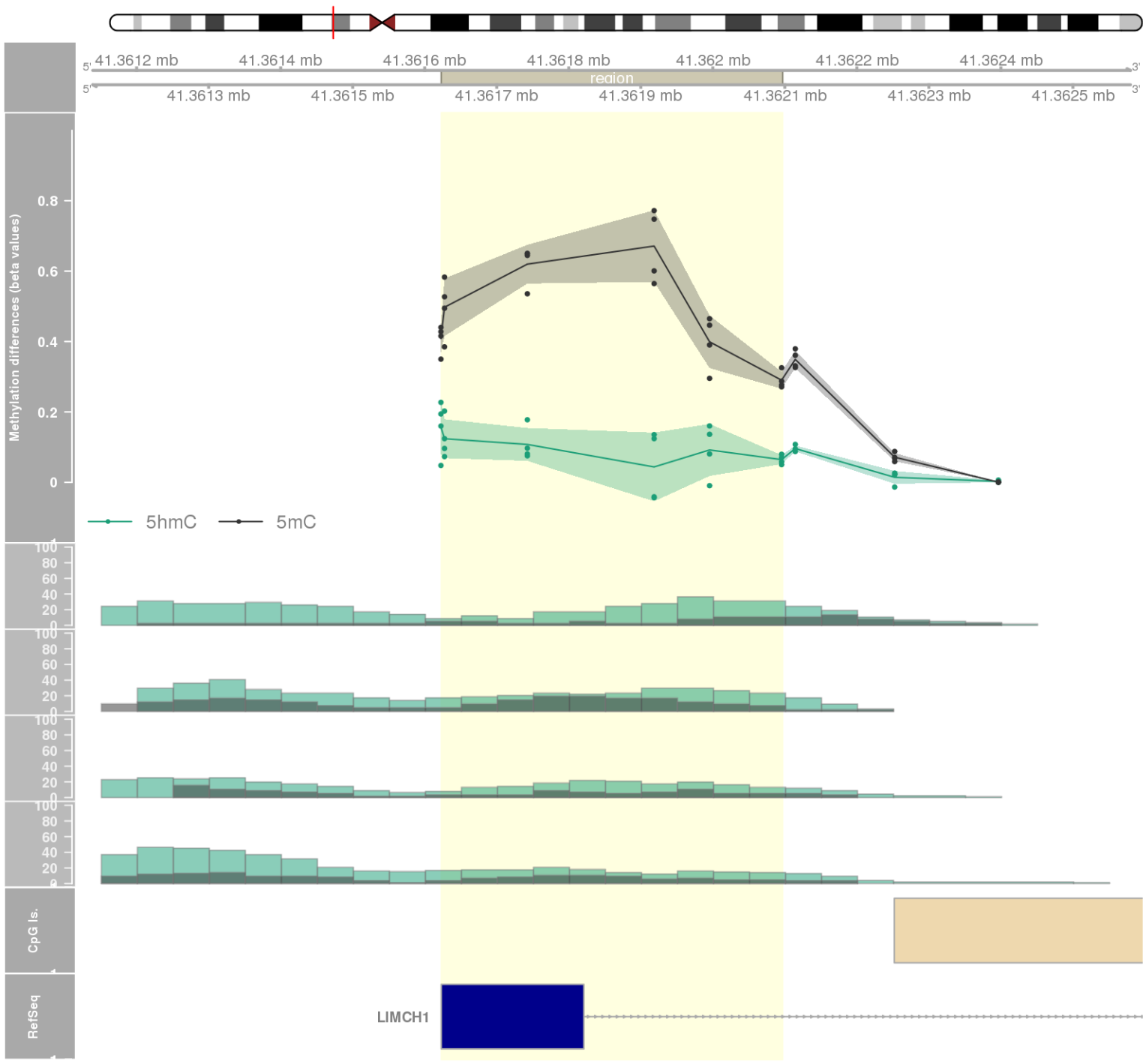
DMR 222 // chr10:123871988-123873277 // 1289 pb. (6 probes) // pvalue: 0.009 // fwer: 1 // pvalueArea: 0.022 // fwerArea: 1
- genes: TACC2 -



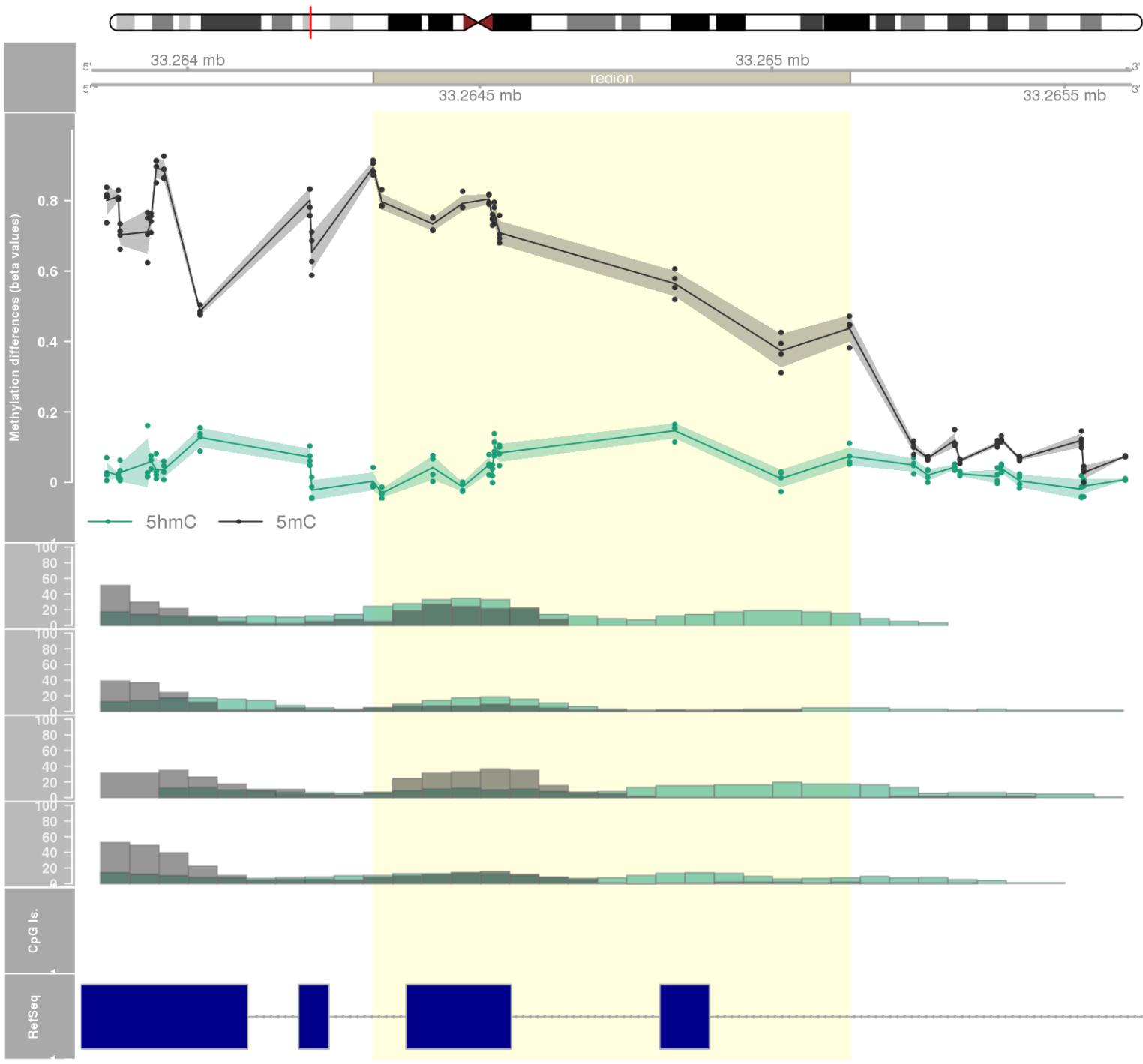
DMR 223 // chr1:43919949-43920264 // 315 pb. (8 probes) // pvalue: 0.01 // fwer: 1 // pvalueArea: 0.022 // fwerArea: 1
- genes: HYI-AS1 -



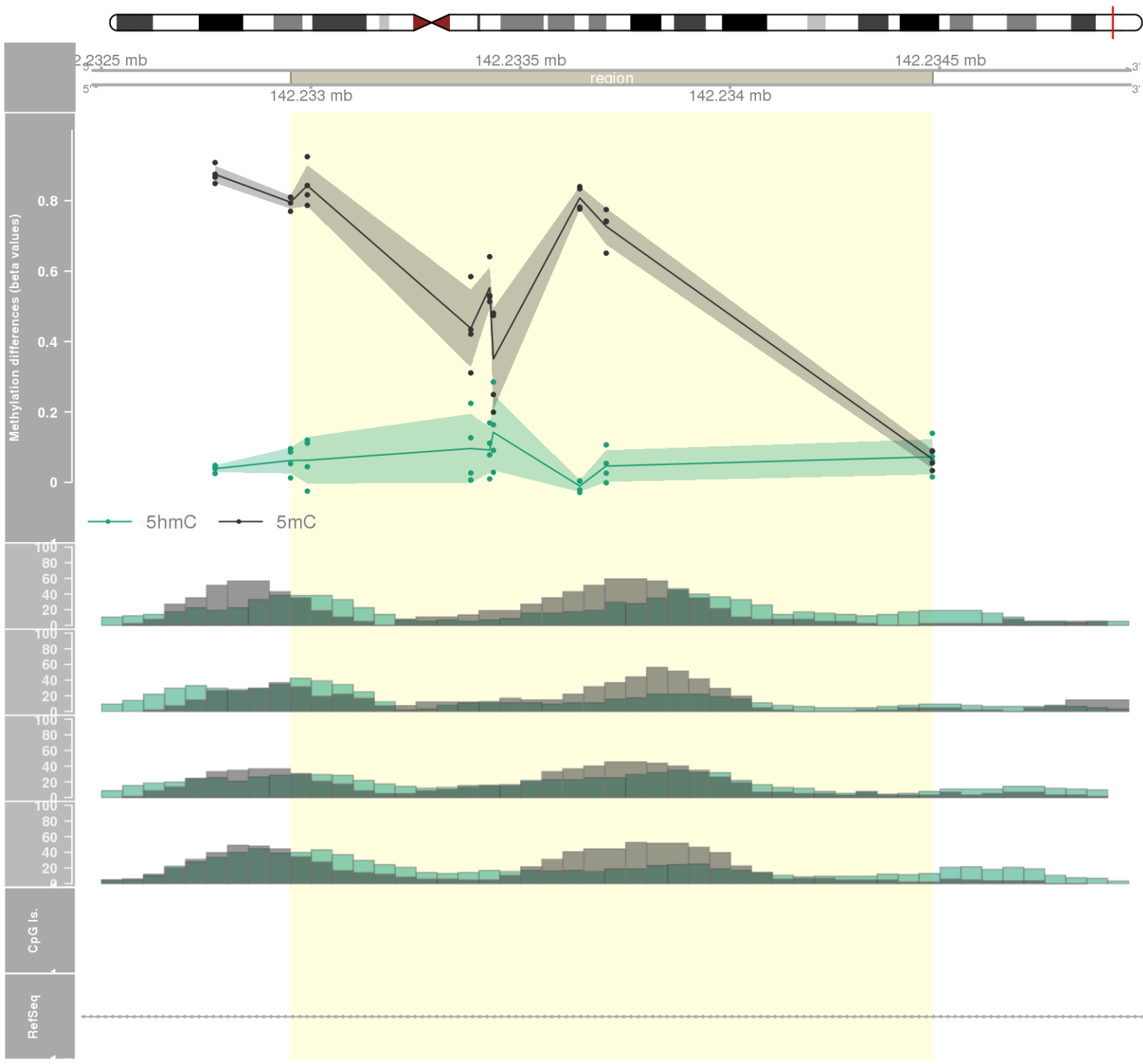
DMR 224 // chr4:41361623-41362096 // 473 pb. (6 probes) // pvalue: 0.009 // fwer: 1 // pvalueArea: 0.022 // fwerArea: 1
- genes: LIMCH1 -



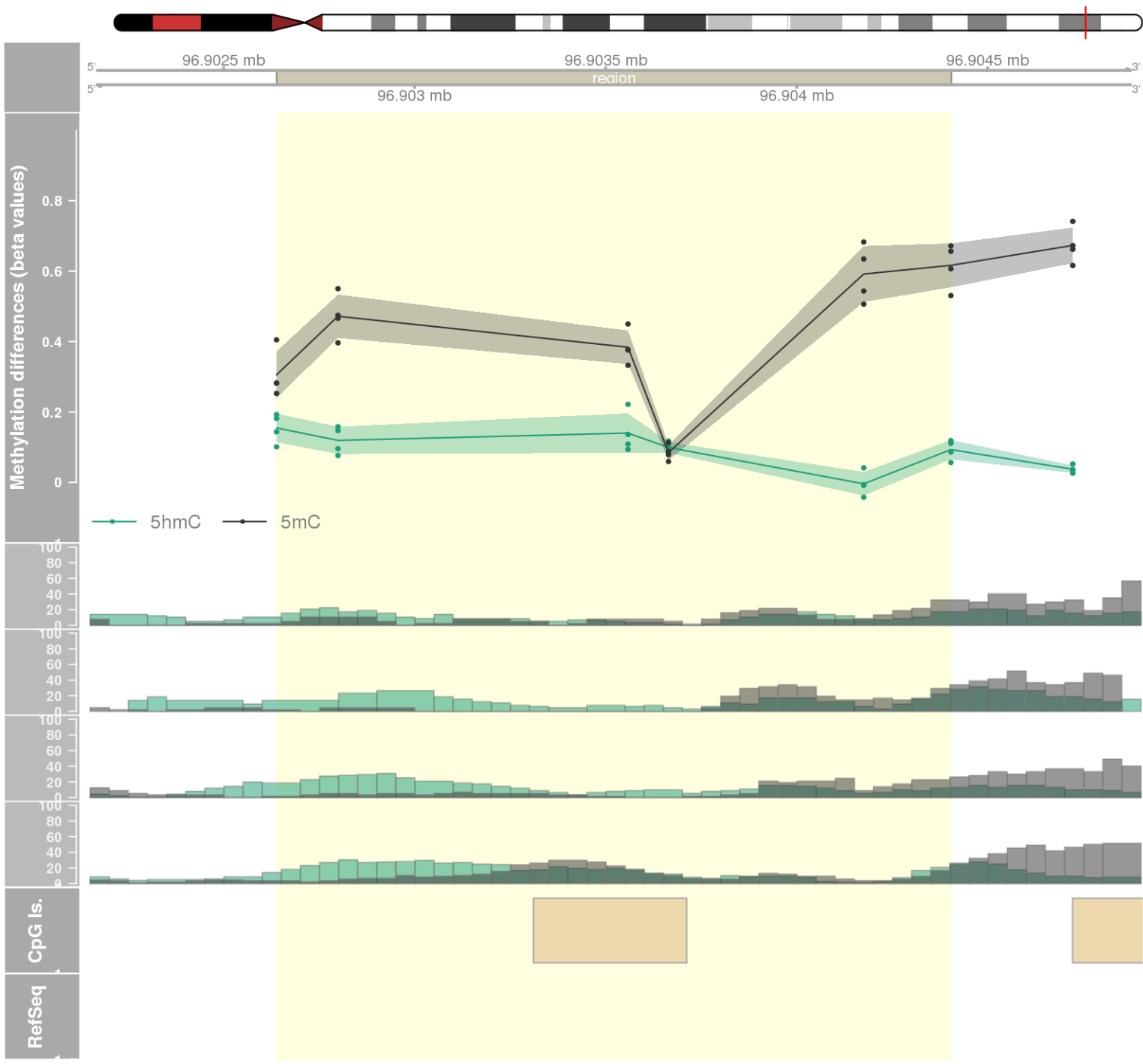
DMR 225 // chr6:33264318-33265133 // 815 pb. (11 probes) // pvalue: 0.008 // fwer: 1 // pvalueArea: 0.022 // fwerArea: 1
- genes: PFDN6 / RGL2 -



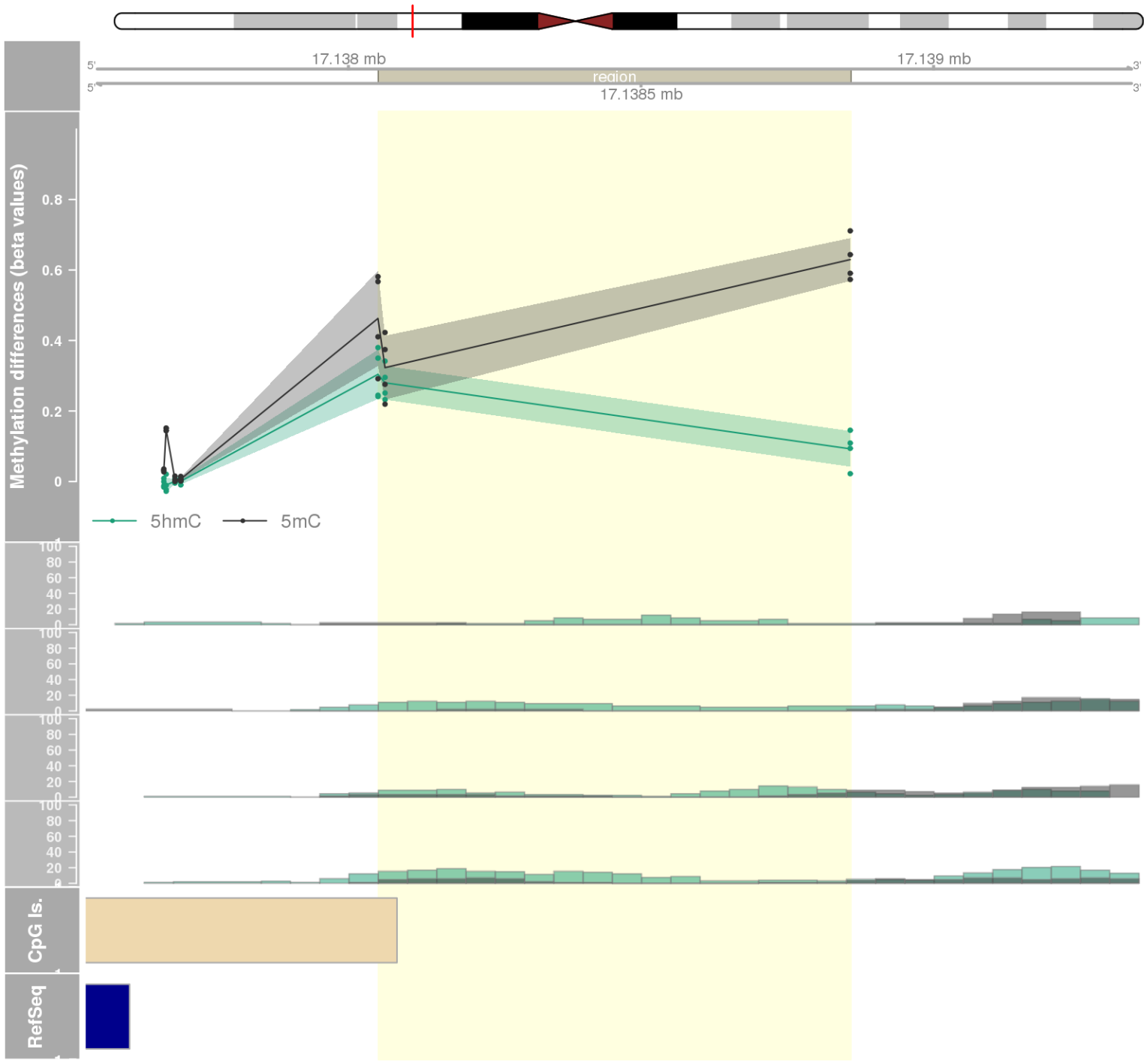
DMR 226 // chr8:142232952-142234483 // 1531 pb. (8 probes) // pvalue: 0.01 // fwer: 1 // pvalueArea: 0.022 // fwerArea: 1
- genes: SLC45A4 -

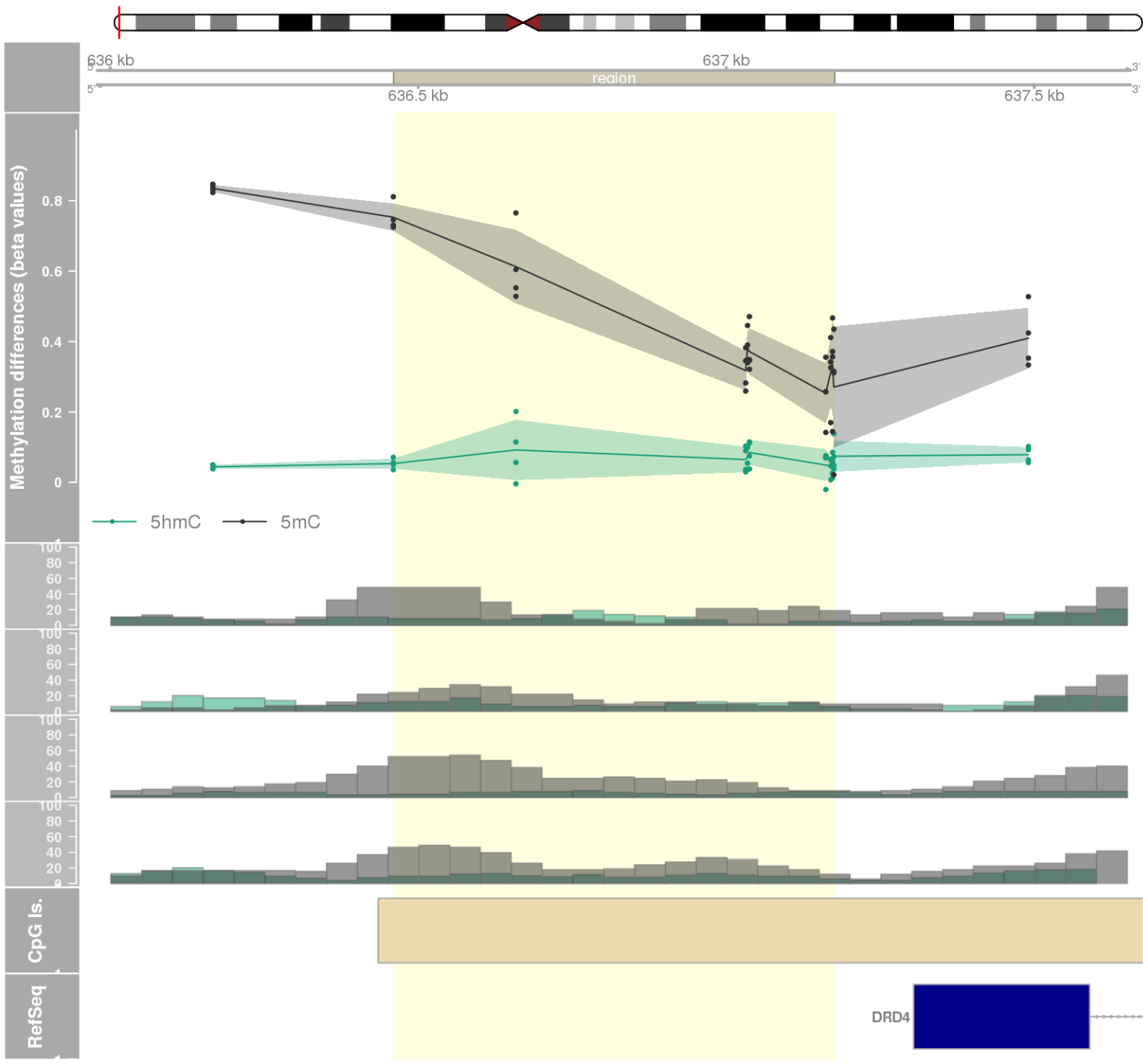


DMR 227 // chr15:96902639-96904404 // 1765 pb. (6 probes) // pvalue: 0.005 // fwer: 1 // pvalueArea: 0.023 // fwerArea: 1

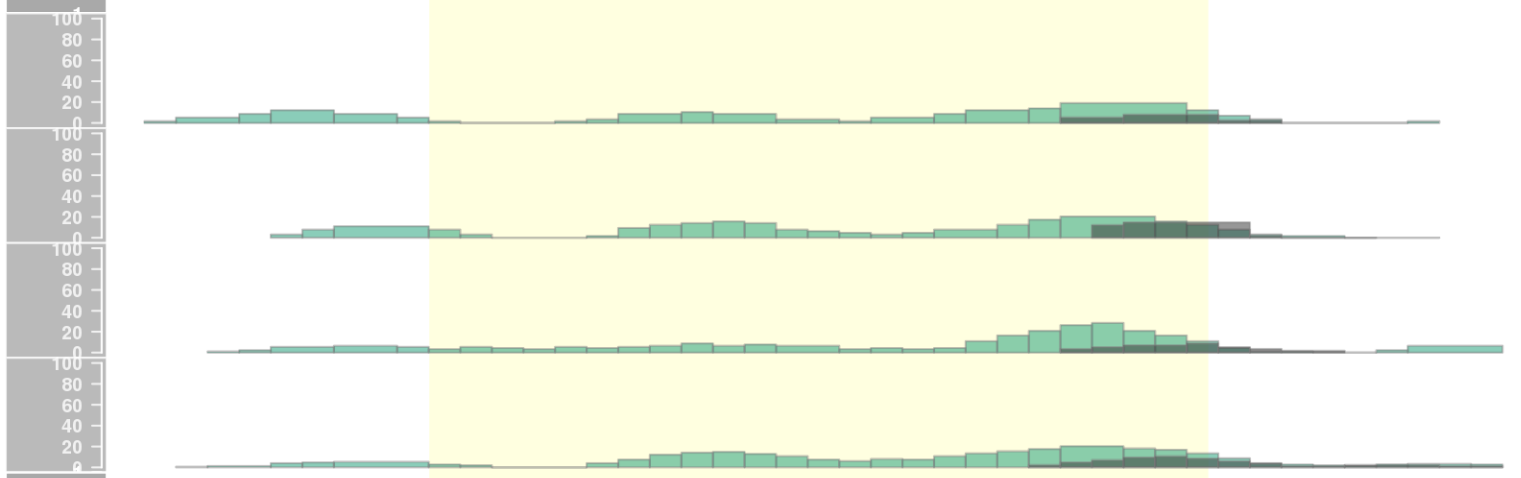
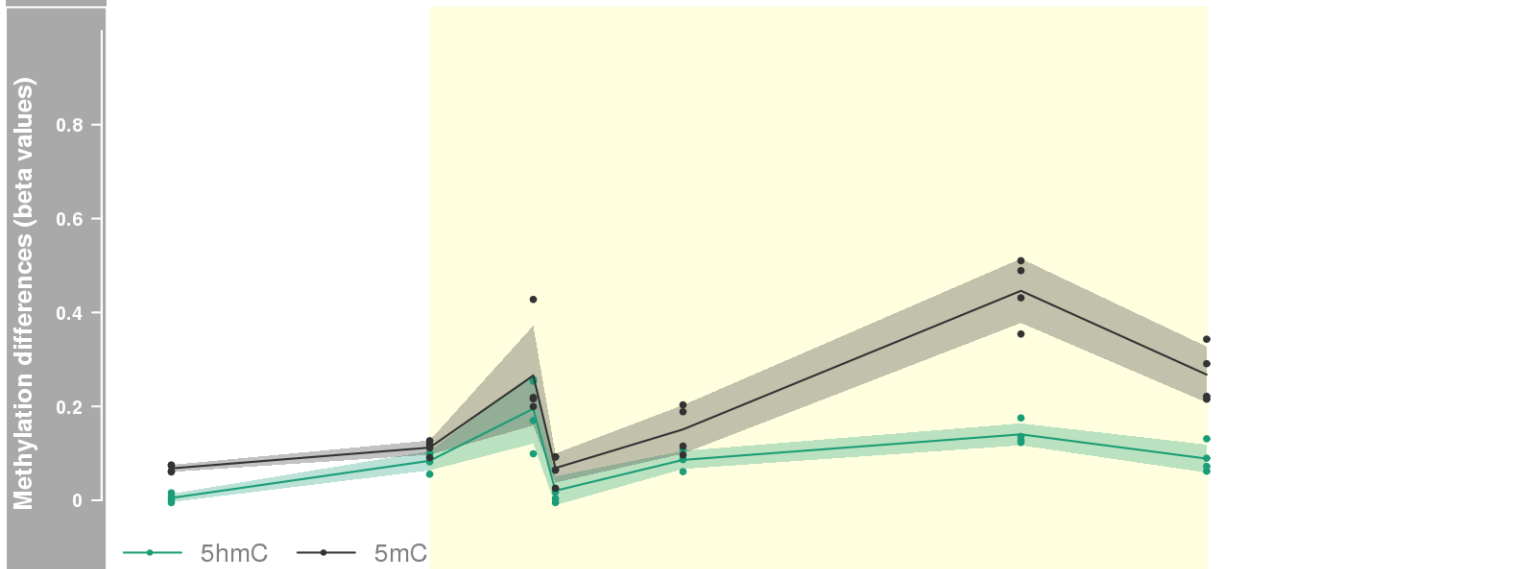


DMR 228 // chr19:17138051-17138858 // 807 pb. (3 probes) // pvalue: 0.001 // fwer: 0.807 // pvalueArea: 0.023 // fwerArea: 1

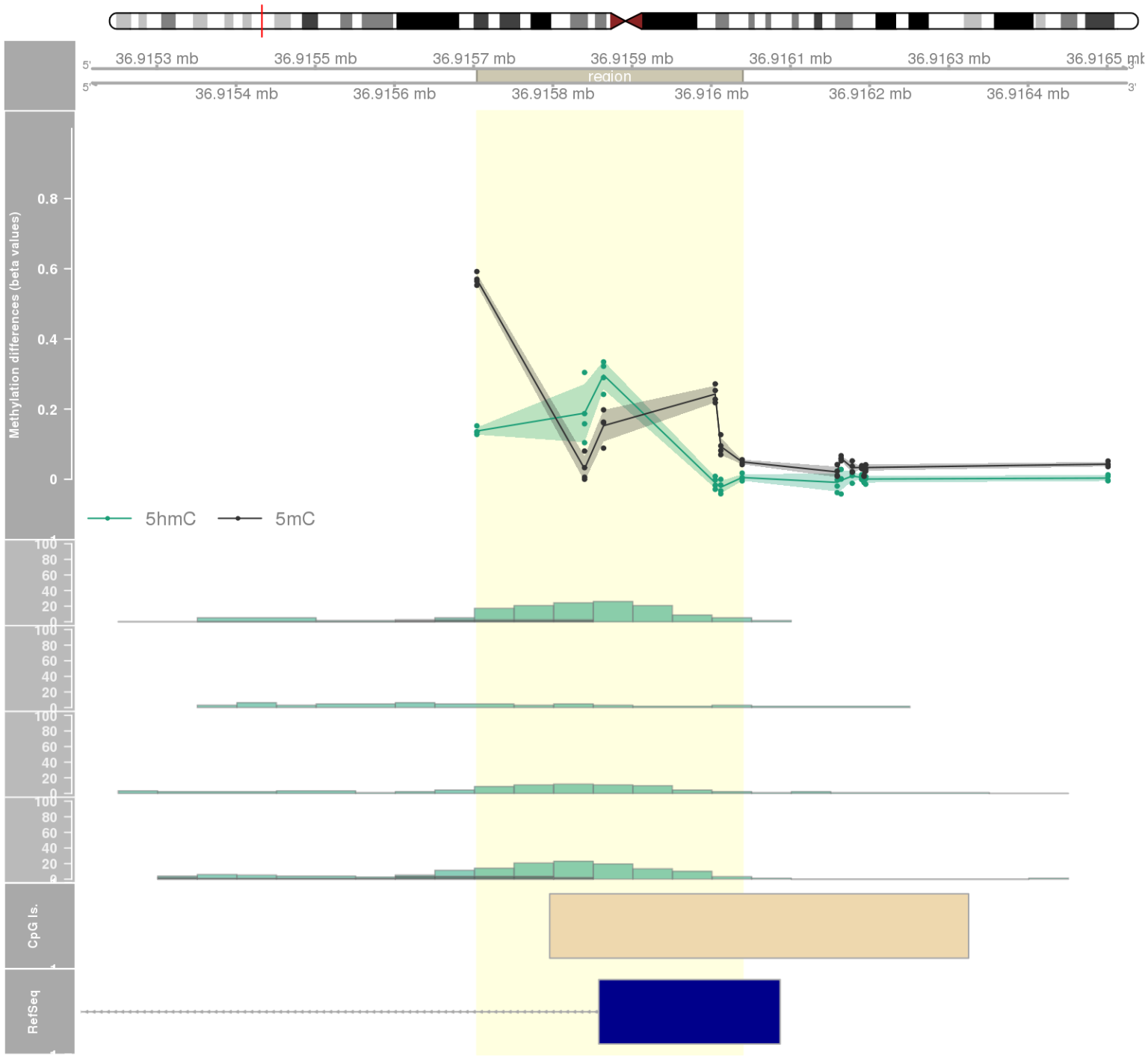




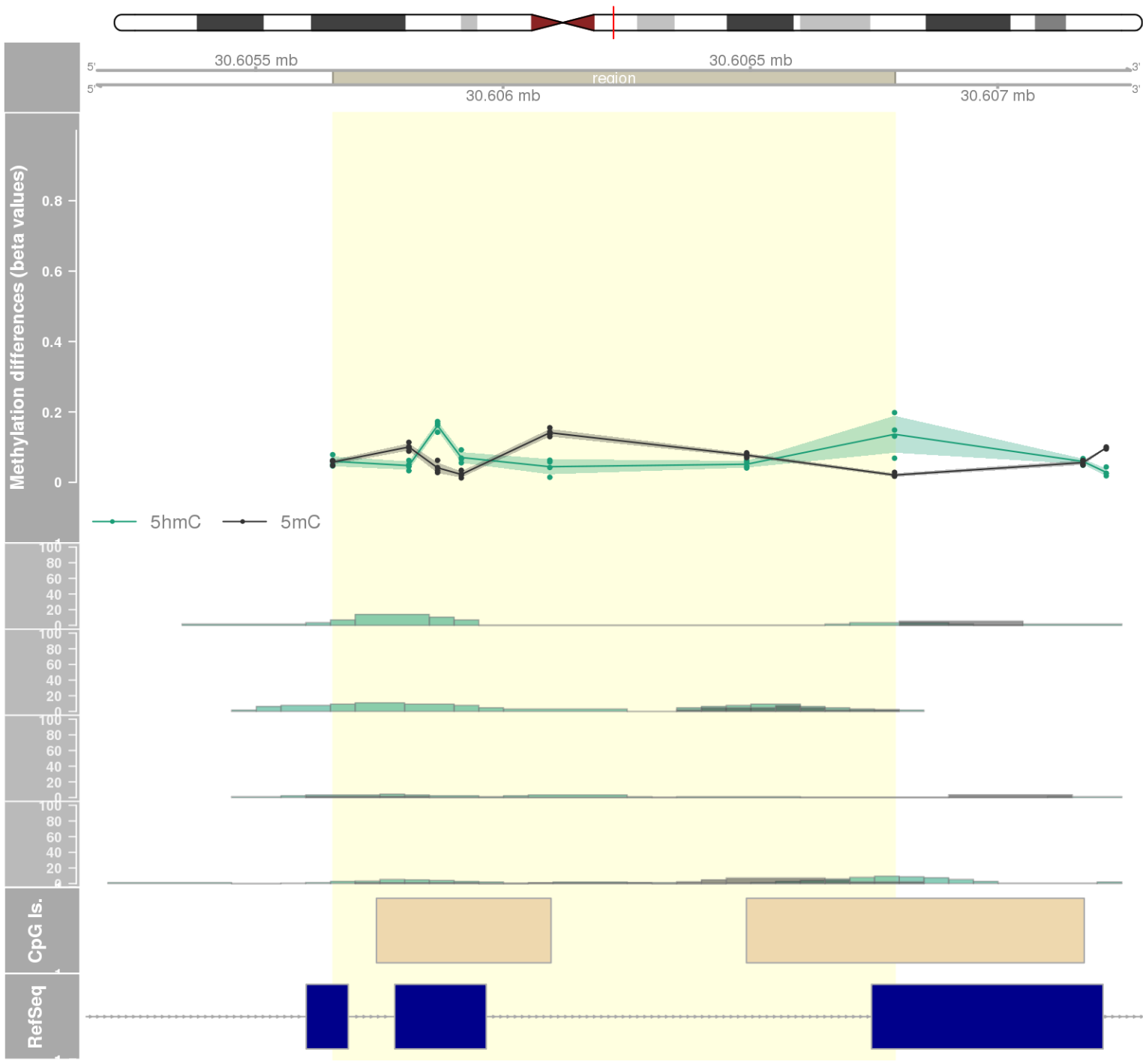
DMR 230 // chr14:69263103-69264333 // 1230 pb. (6 probes) // pvalue: 0.009 // fwer: 1 // pvalueArea: 0.023 // fwerArea: 1
- genes: ZFP36L1 -



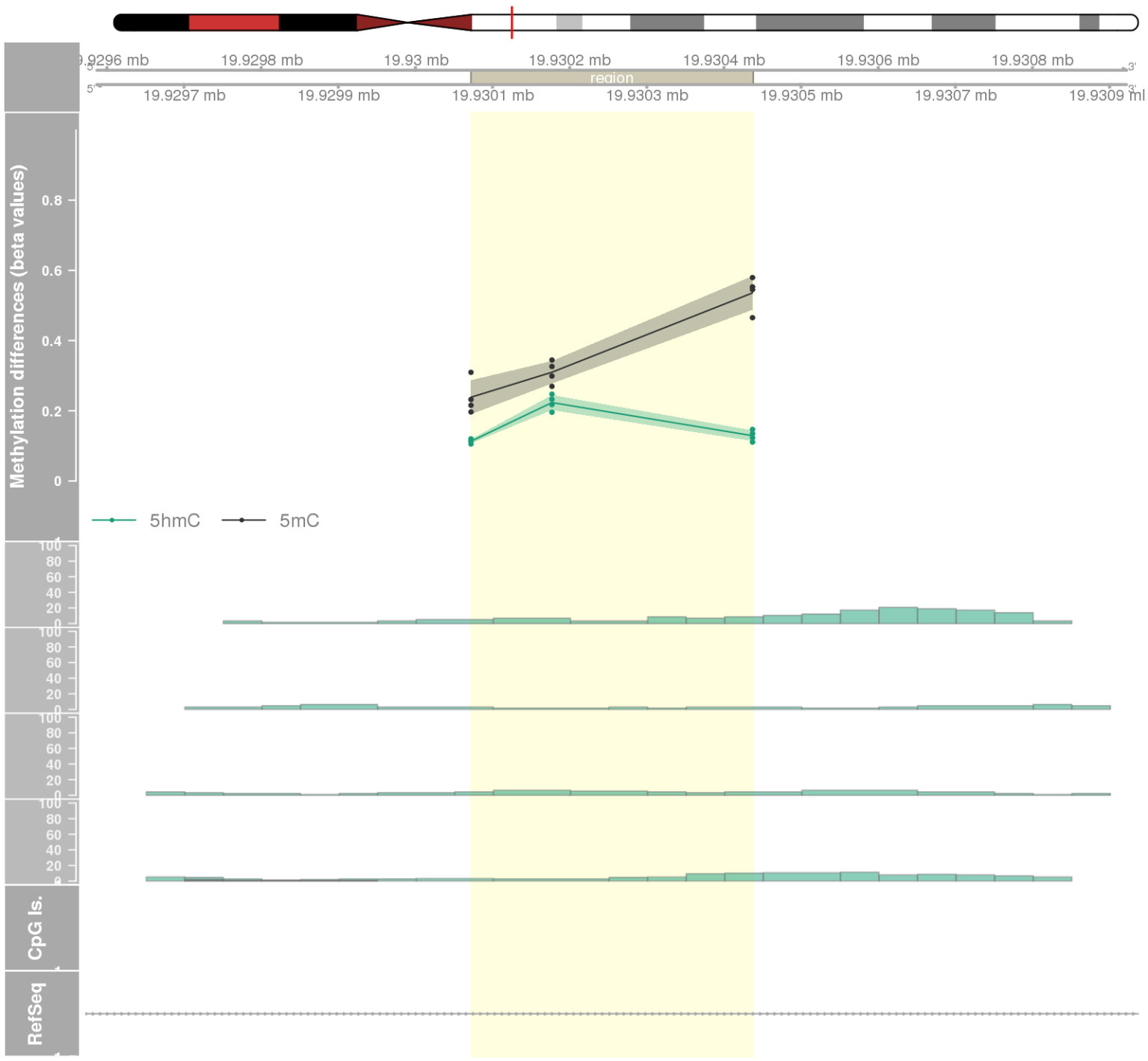
DMR 231 // chr1:36915704-36916039 // 335 pb. (6 probes) // pvalue: 0.002 // fwer: 1 // pvalueArea: 0.023 // fwerArea: 1
- genes: OSCP1 -



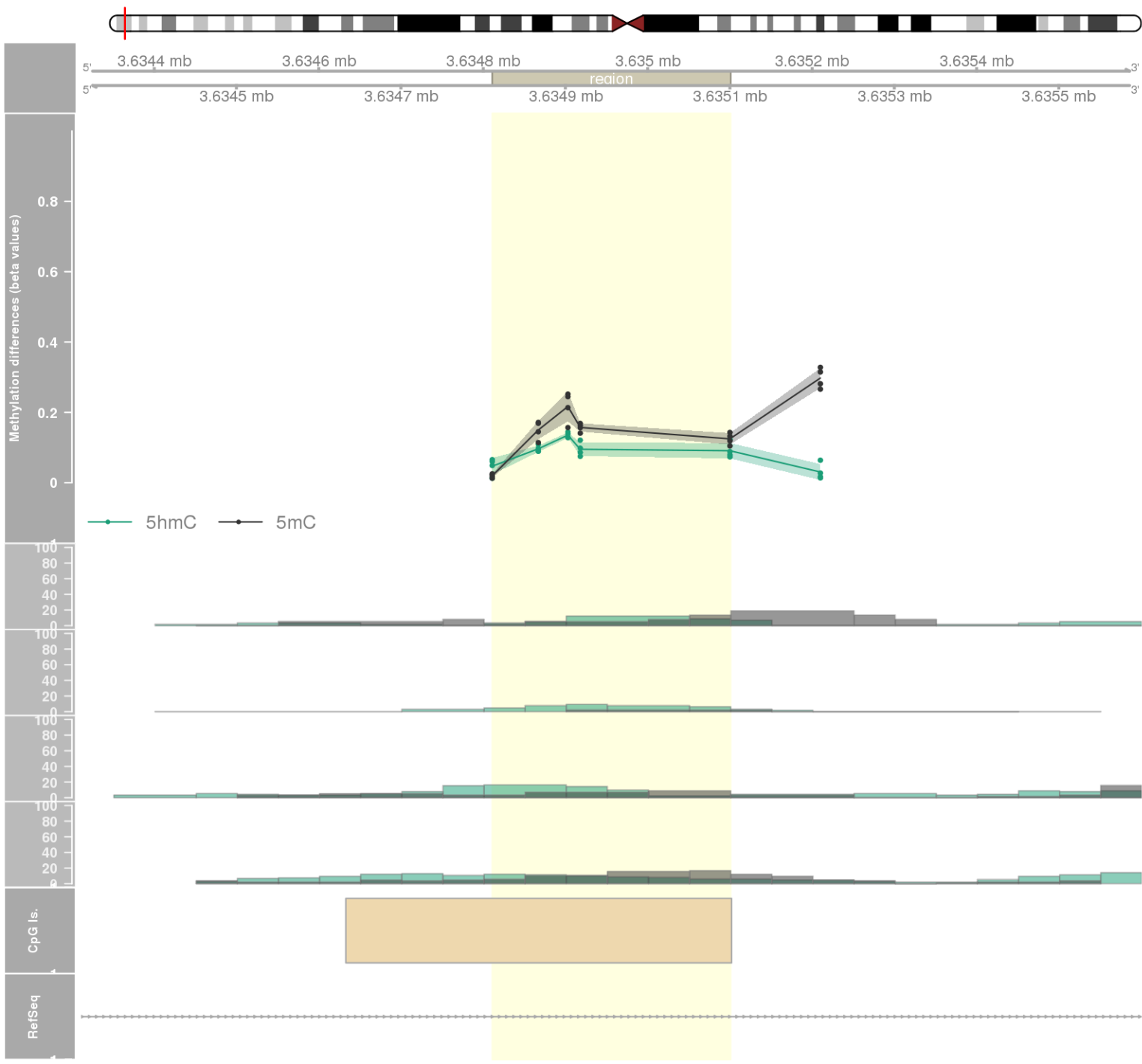
DMR 232 // chr20:30605656-30606792 // 1136 pb. (7 probes) // pvalue: 0.011 // fwer: 1 // pvalueArea: 0.023 // fwerArea: 1
- genes: CCM2L -



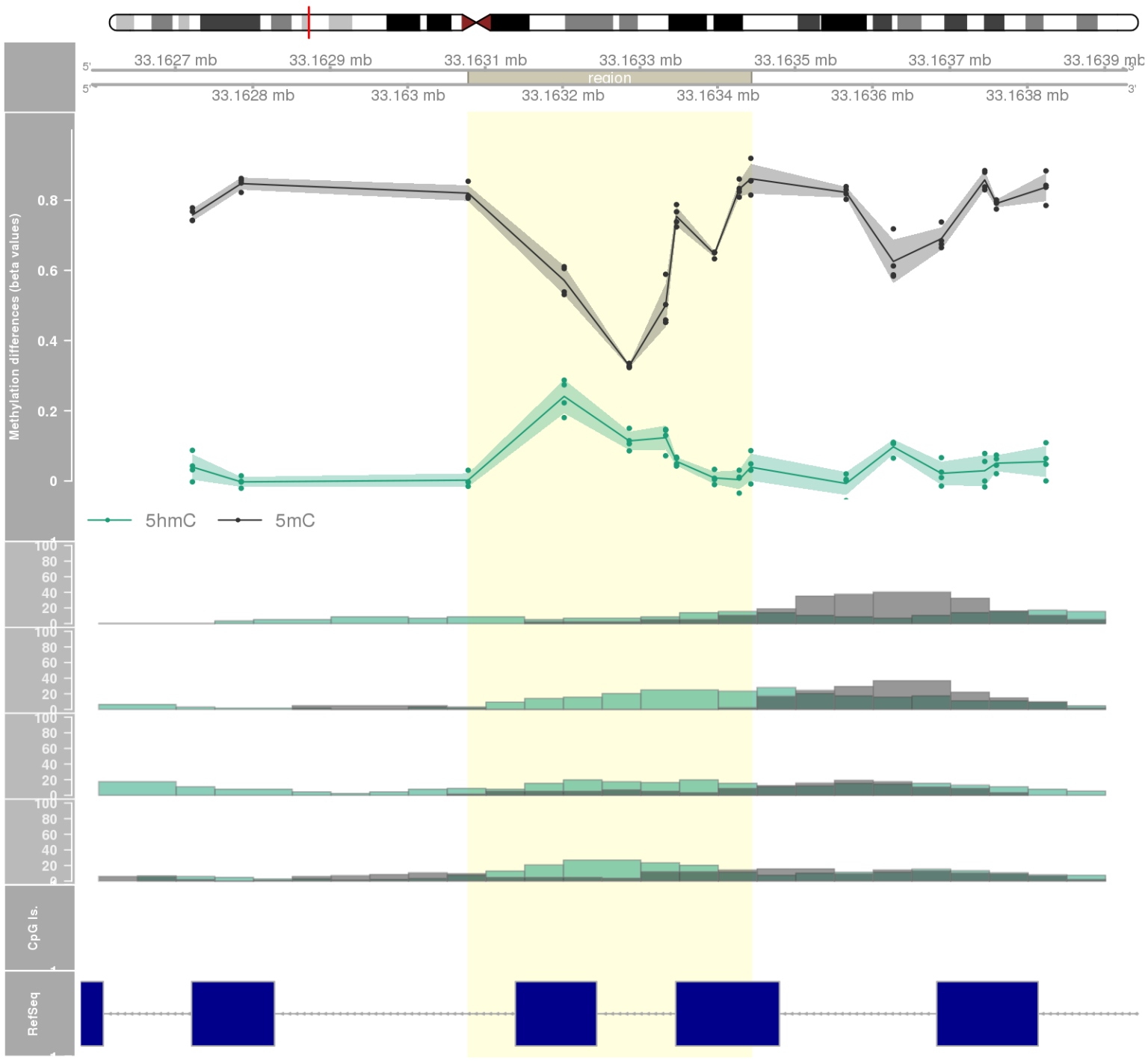
DMR 233 // chr22:19930072-19930437 // 365 pb. (3 probes) // pvalue: 0.001 // fwer: 0.807 // pvalueArea: 0.023 // fwerArea: 1
- genes: COMT -



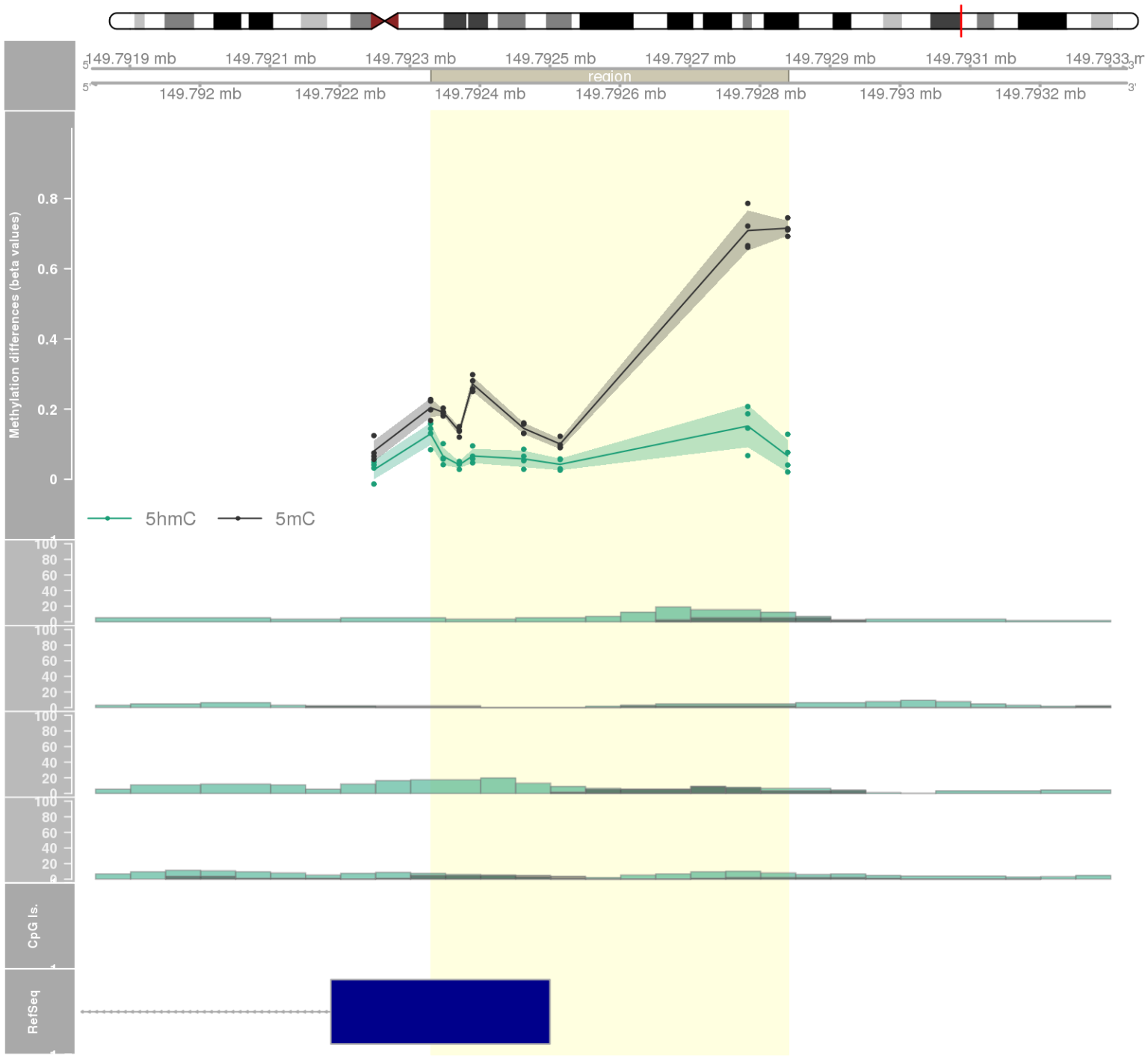
DMR 234 // chr1:3634811-3635100 // 289 pb. (5 probes) // pvalue: 0.005 // fwer: 1 // pvalueArea: 0.023 // fwerArea: 1
- genes: TP73 -



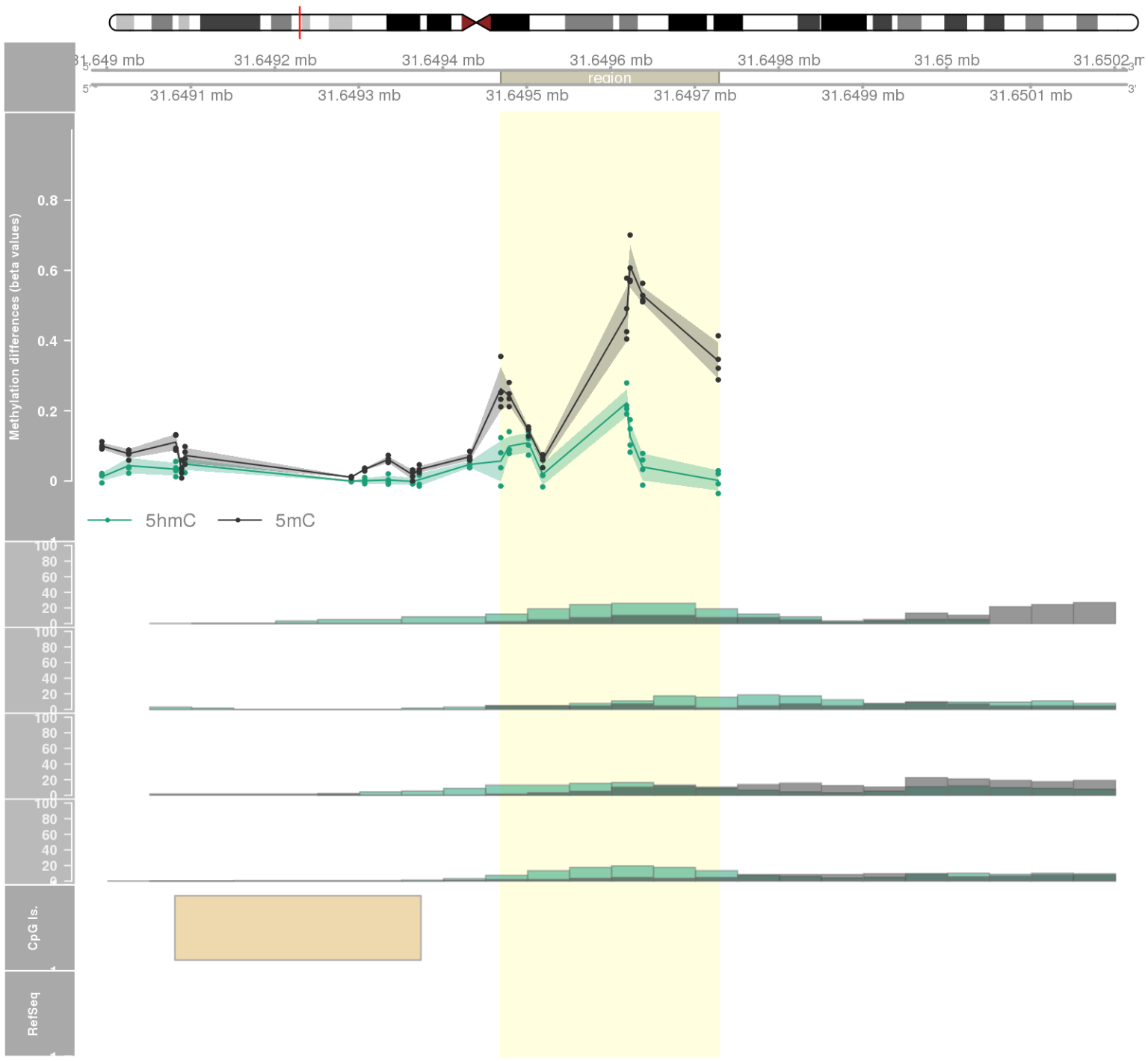
DMR 235 // chr6:33163078-33163443 // 365 pb. (8 probes) // pvalue: 0.009 // fwer: 1 // pvalueArea: 0.023 // fwerArea: 1
- genes: RXRB -



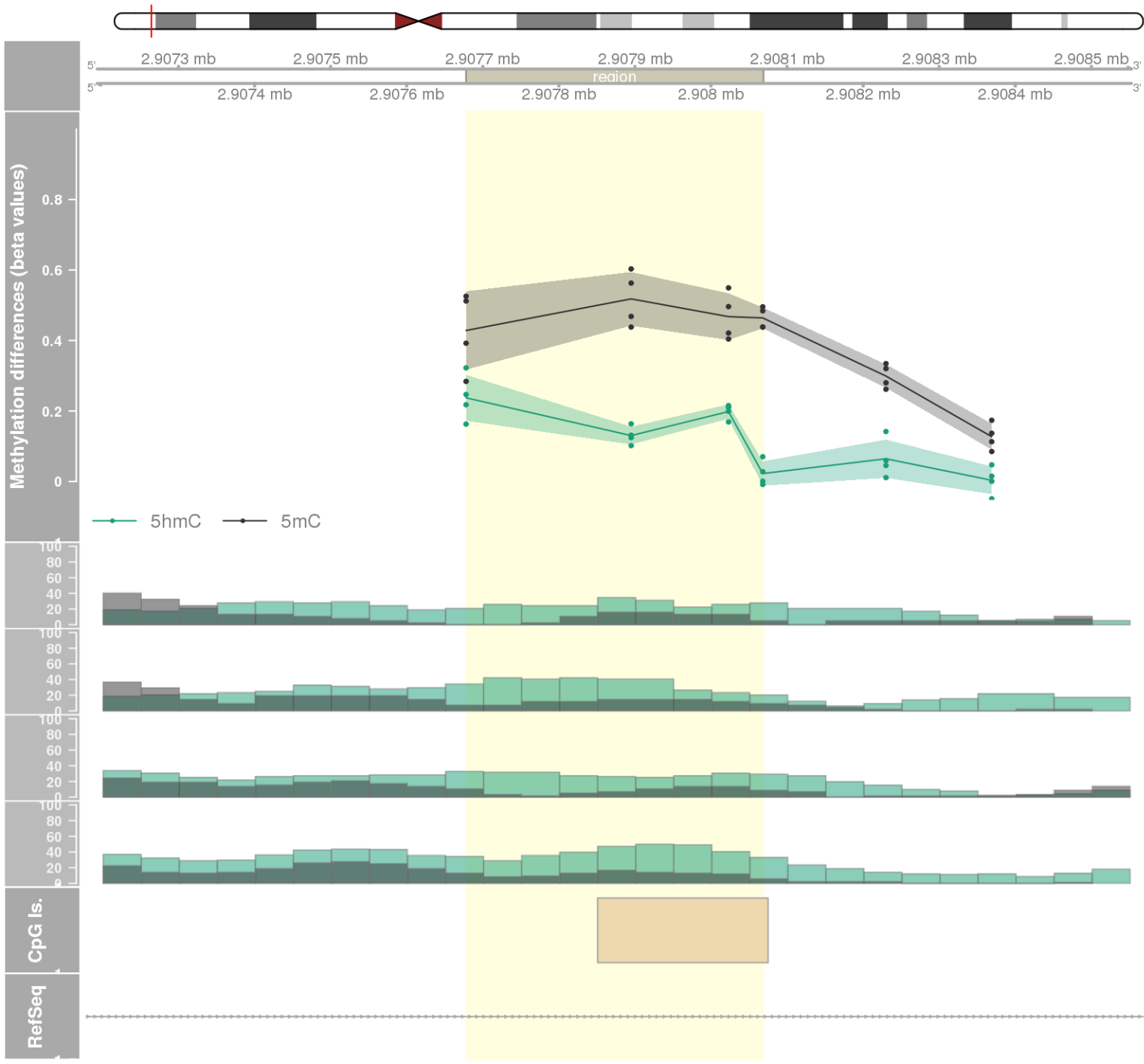
DMR 236 // chr5:149792330-149792840 // 510 pb. (8 probes) // pvalue: 0.009 // fwer: 1 // pvalueArea: 0.024 // fwerArea: 1
- genes: CD74 -



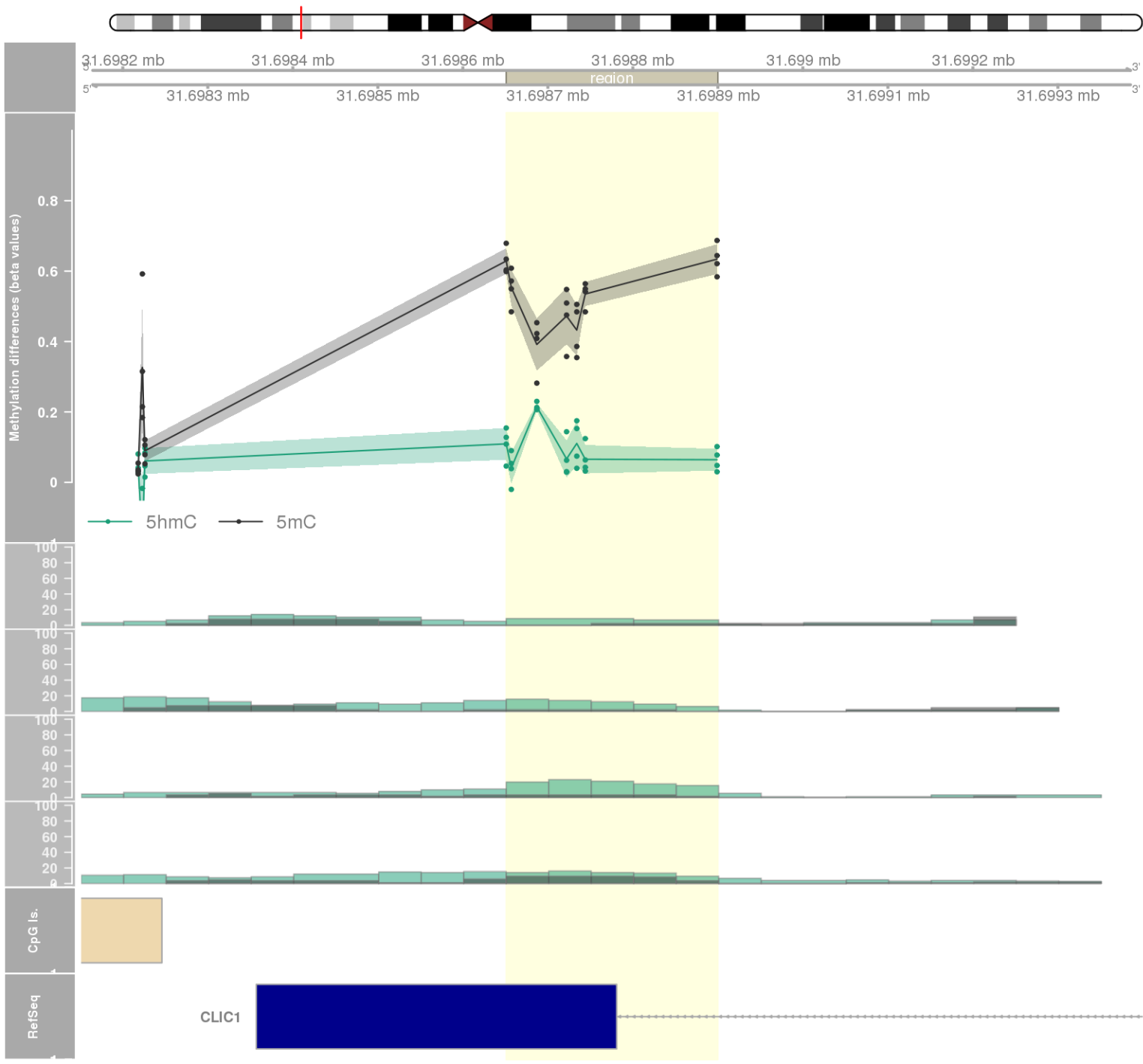
DMR 237 // chr6:31649469-31649728 // 259 pb. (8 probes) // pvalue: 0.009 // fwer: 1 // pvalueArea: 0.024 // fwerArea: 1
- genes: LY6G5C -

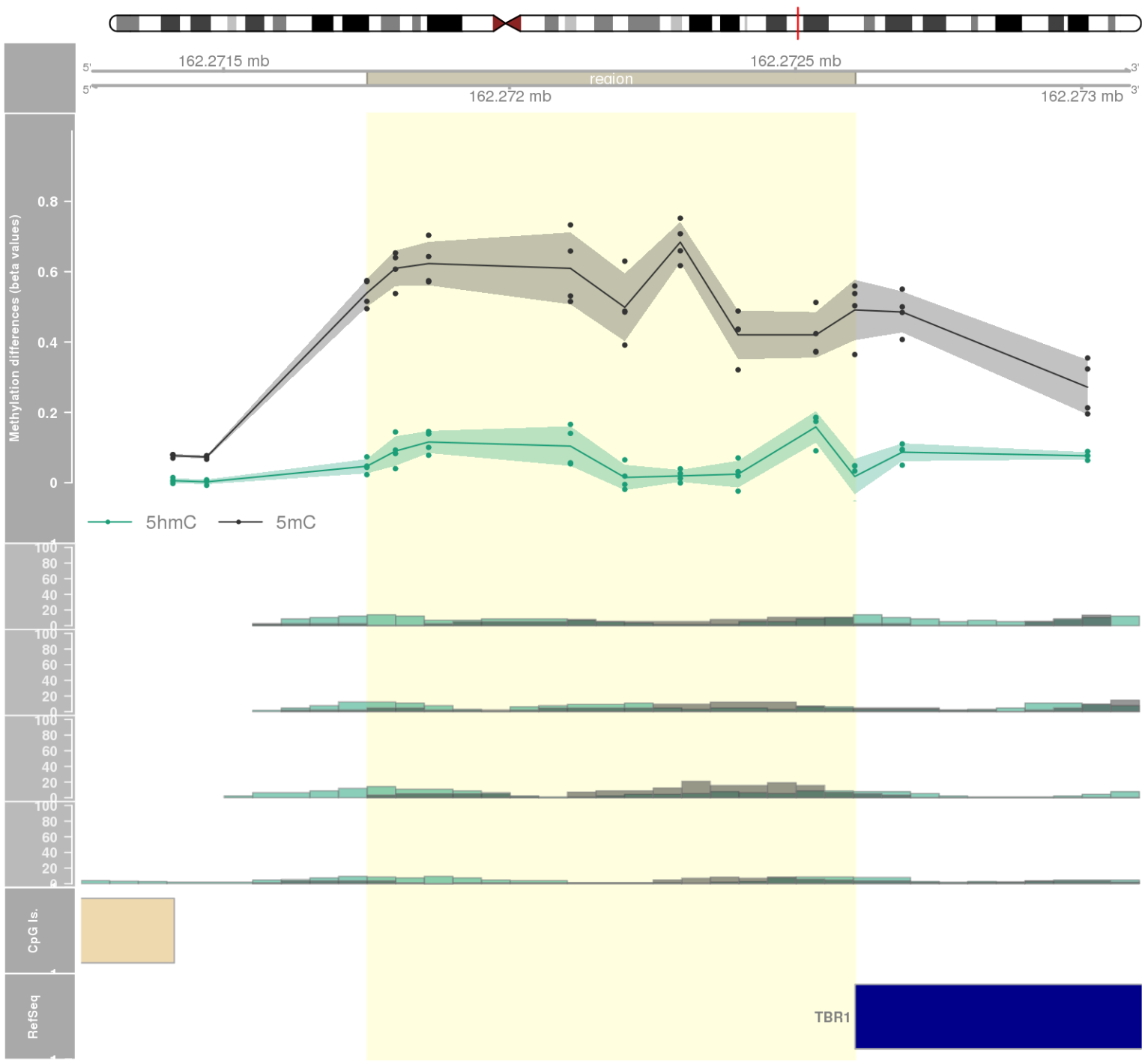


DMR 238 // chr17:2907678-2908068 // 390 pb. (4 probes) // pvalue: 0.002 // fwer: 1 // pvalueArea: 0.024 // fwerArea: 1
- genes: RAP1GAP2 -

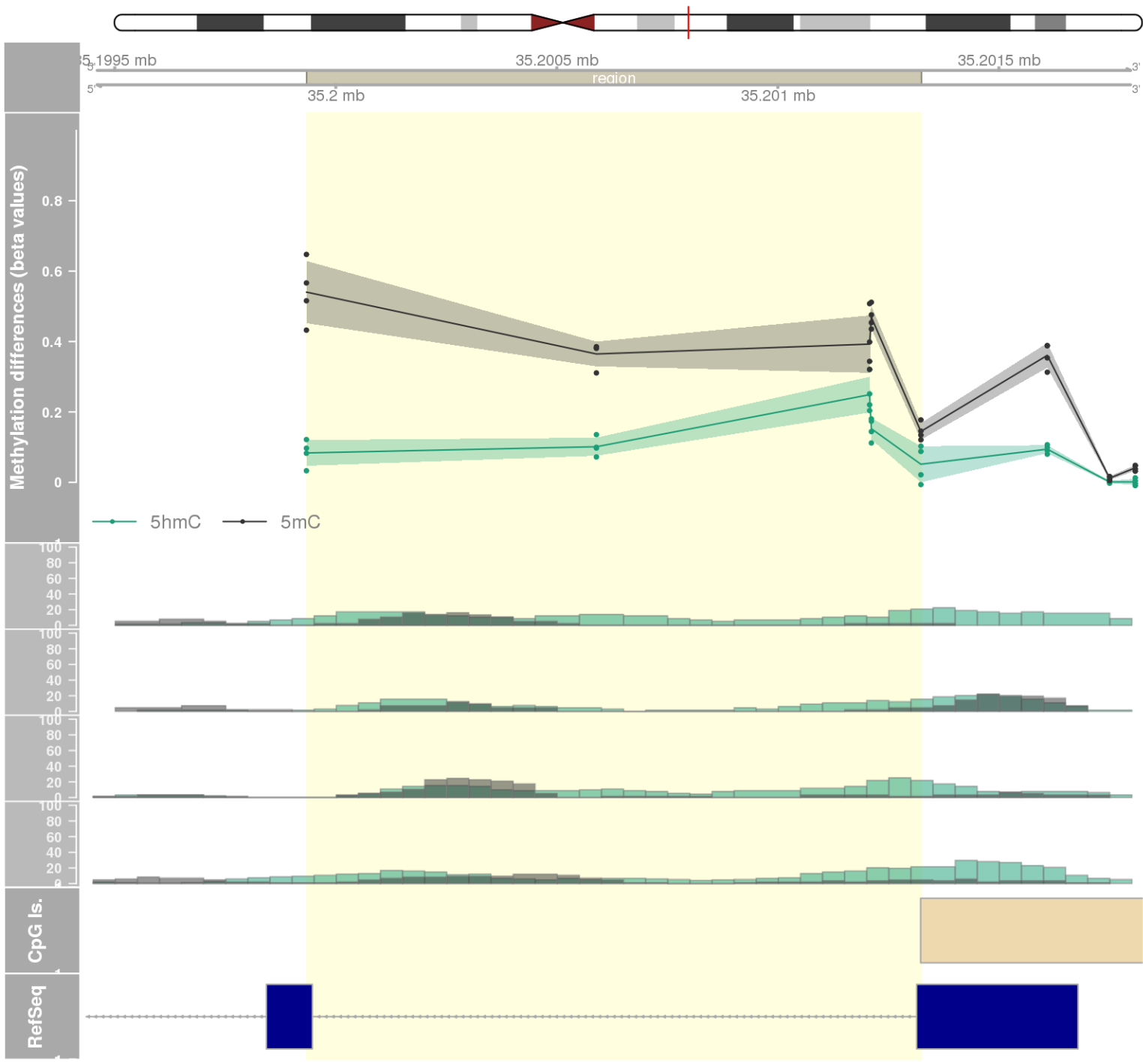


DMR 239 // chr6:31698651-31698899 // 248 pb. (7 probes) // pvalue: 0.011 // fwer: 1 // pvalueArea: 0.024 // fwerArea: 1
- genes: CLIC1 -

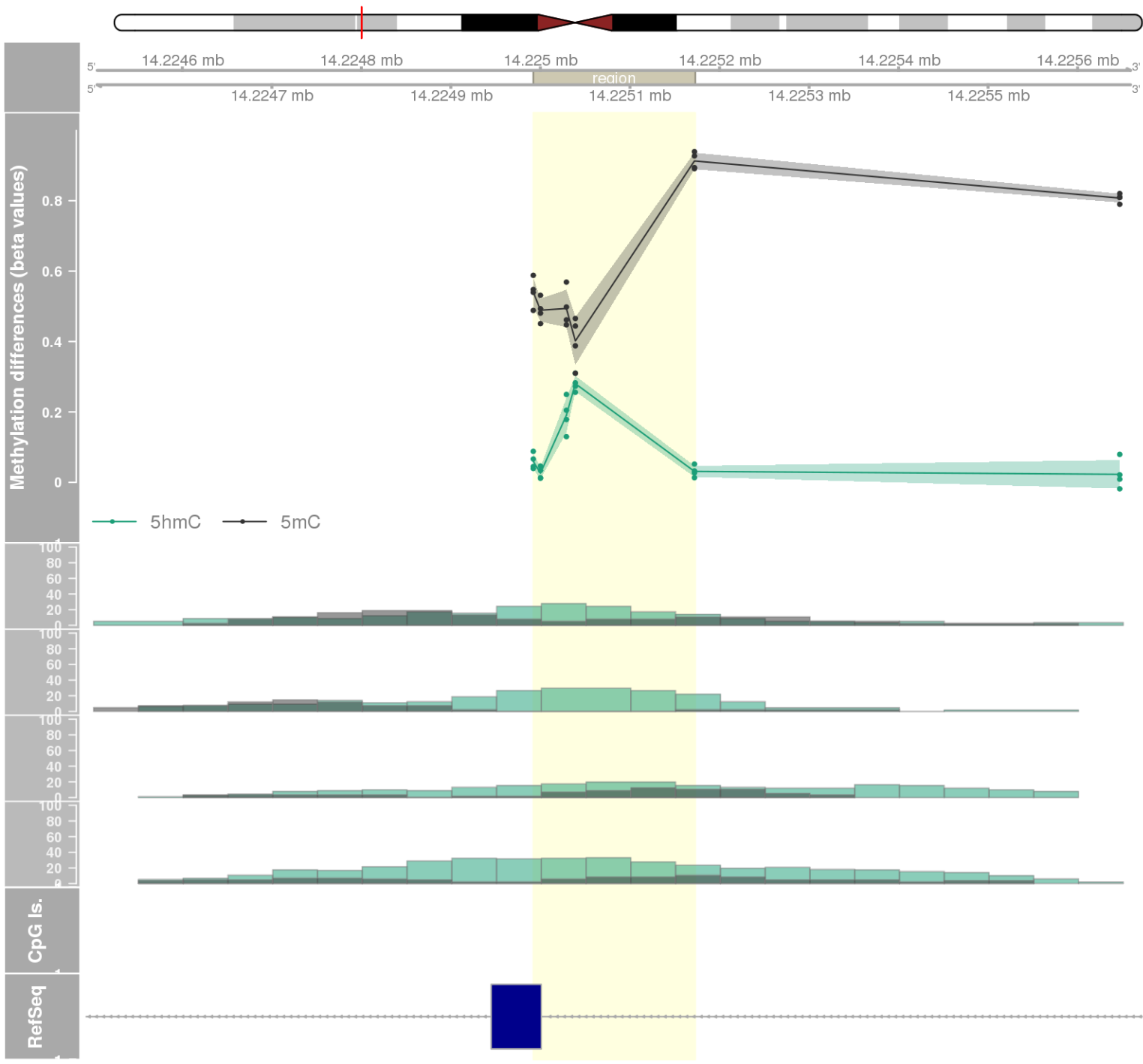




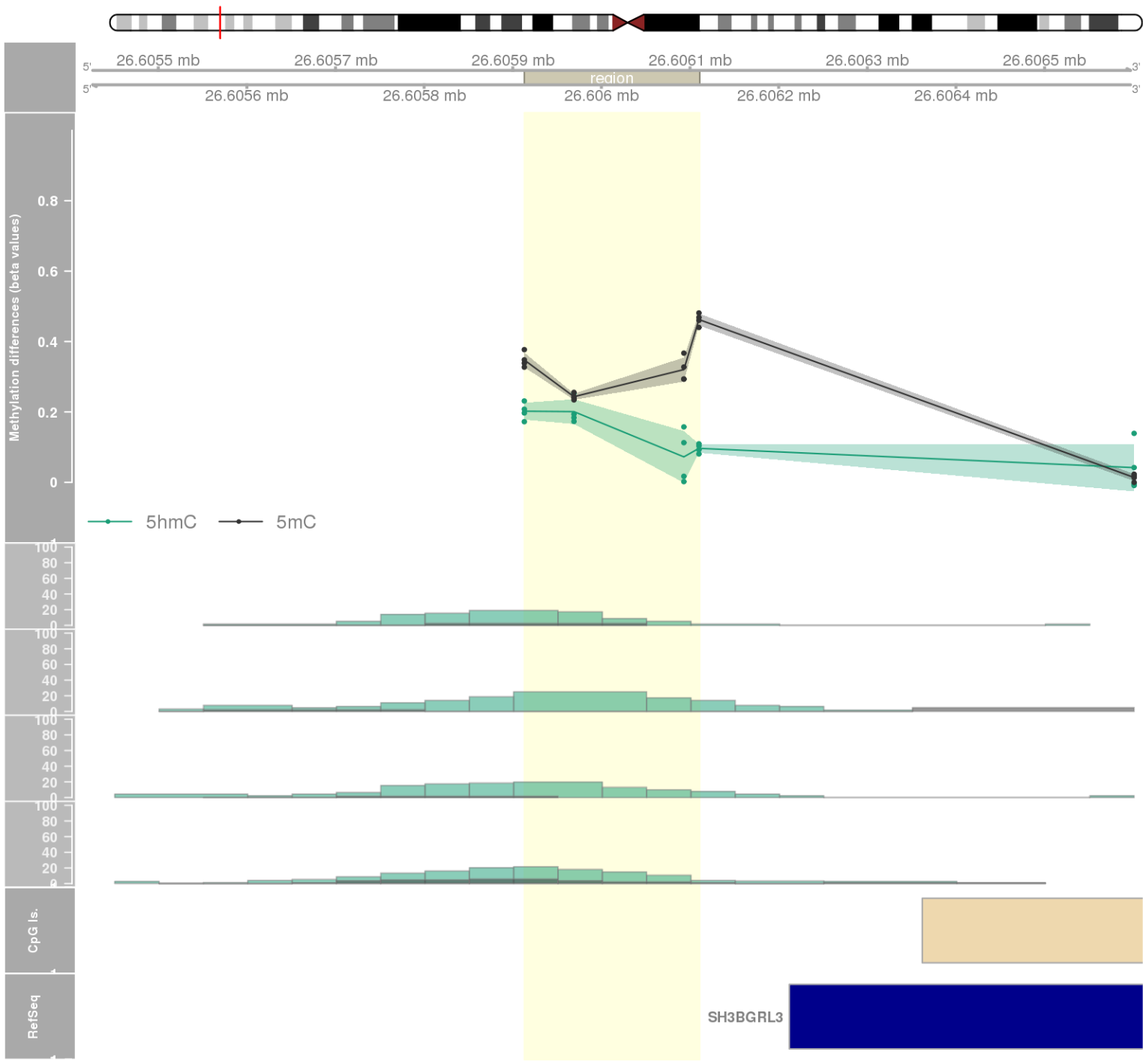
DMR 242 // chr20:35199934-35201324 // 1390 pb. (5 probes) // pvalue: 0.006 // fwer: 1 // pvalueArea: 0.024 // fwerArea: 1



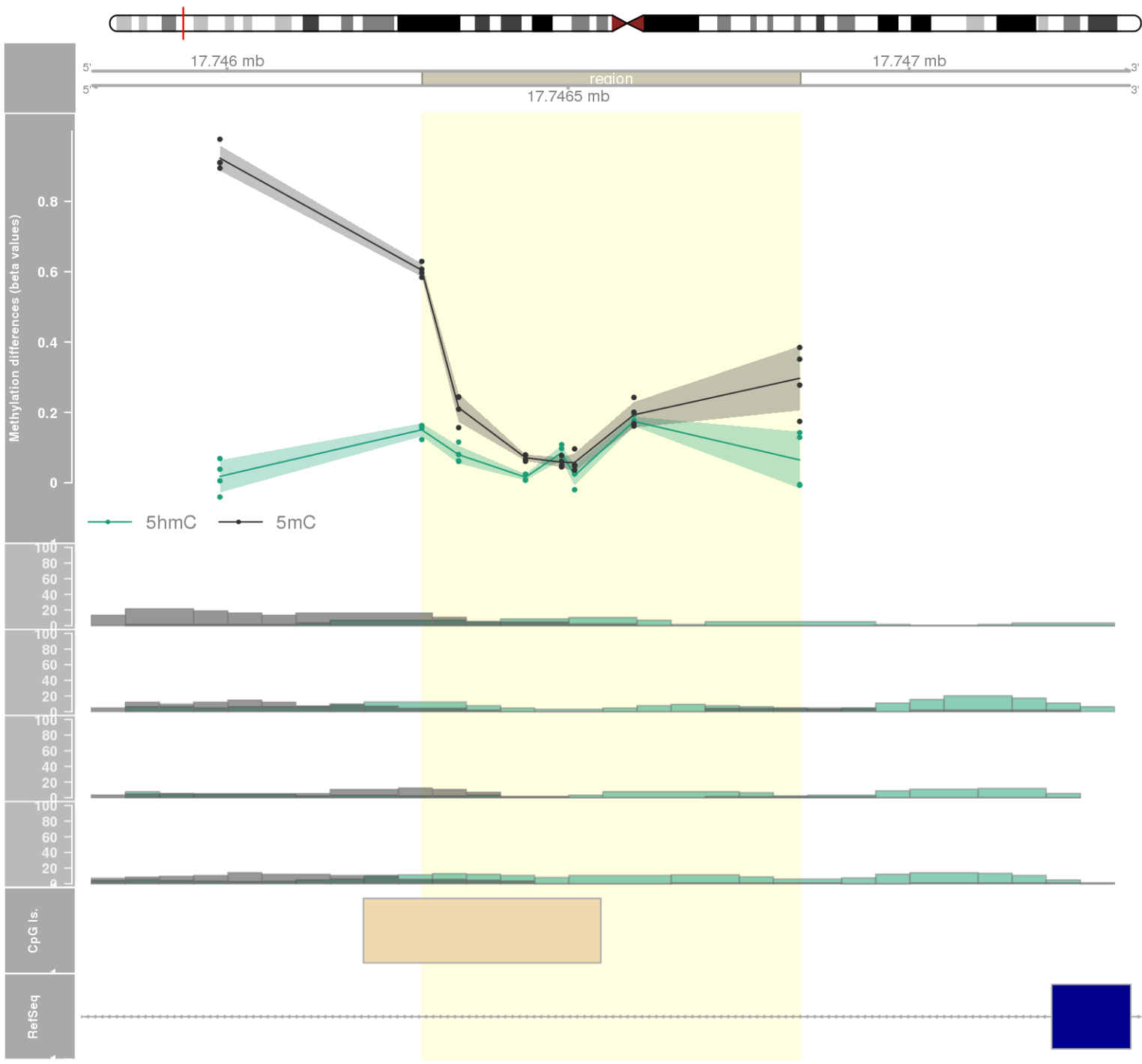
DMR 243 // chr19:14224992-14225172 // 180 pb. (5 probes) // pvalue: 0.006 // fwer: 1 // pvalueArea: 0.024 // fwerArea: 1
- genes: PRKACA -



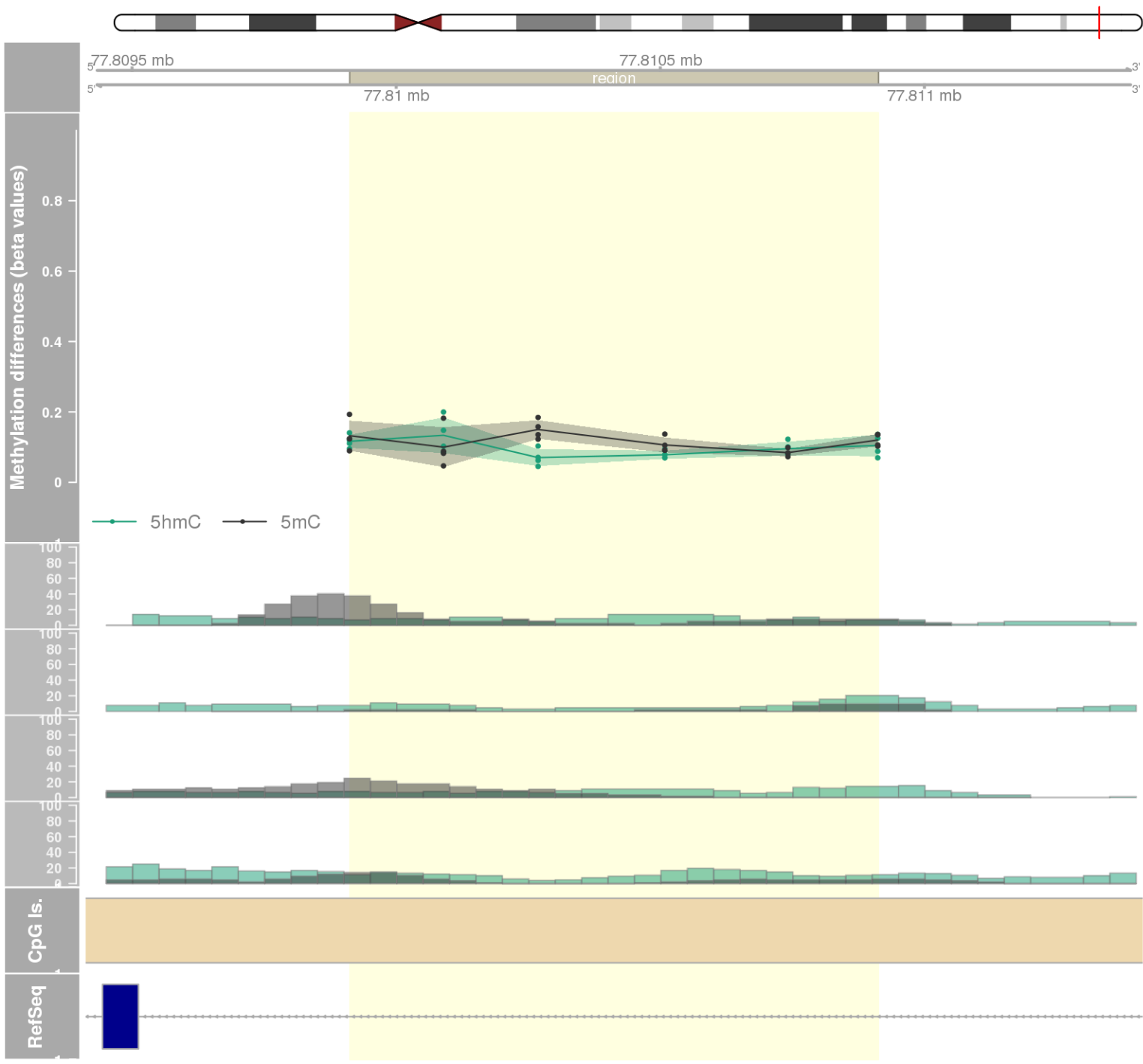
DMR 244 // chr1:26605913-26606110 // 197 pb. (4 probes) // pvalue: 0.002 // fwer: 1 // pvalueArea: 0.024 // fwerArea: 1
- genes: SH3BGRL3 -



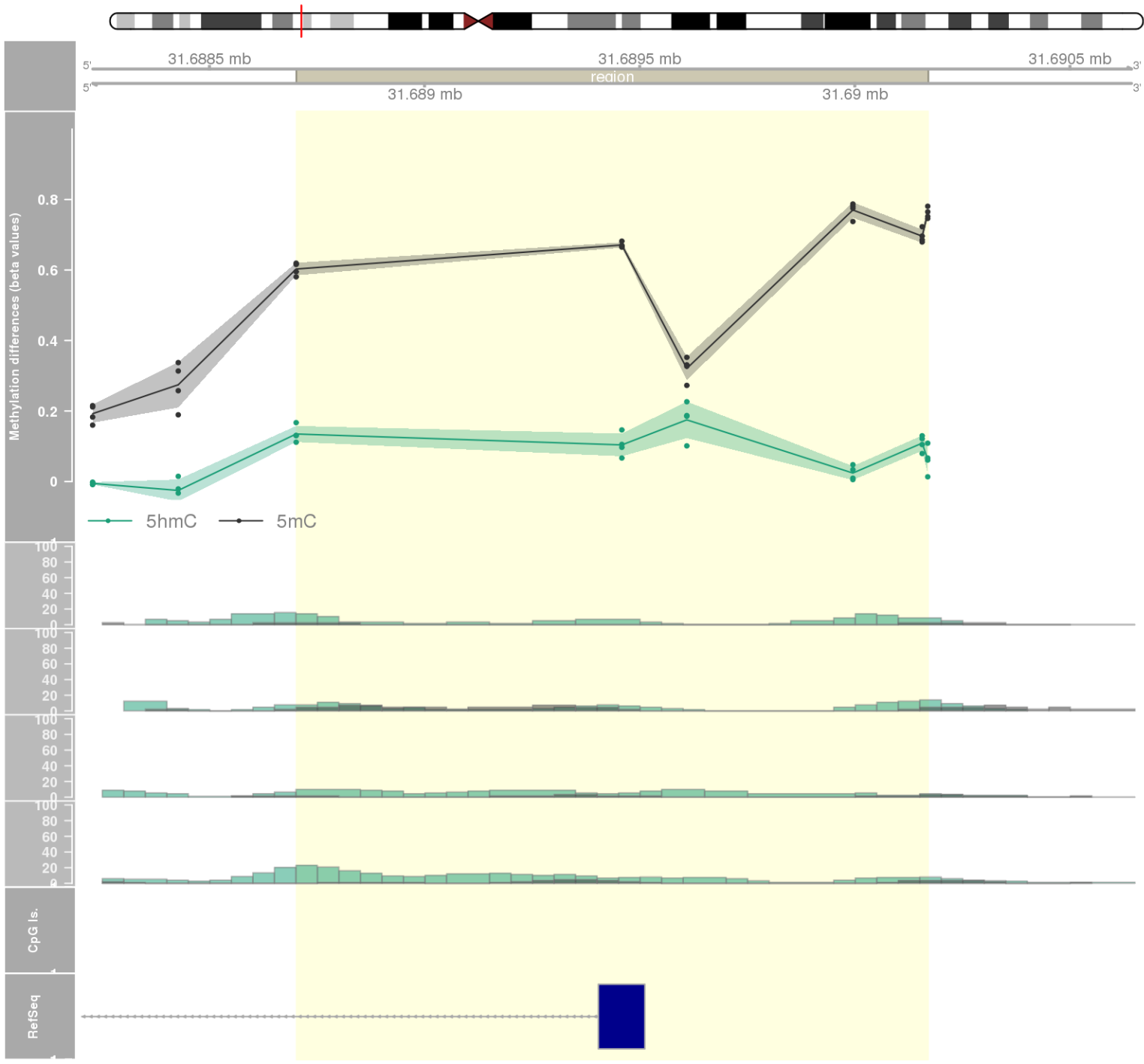
DMR 245 // chr1:17746286-17746840 // 554 pb. (7 probes) // pvalue: 0.012 // fwer: 1 // pvalueArea: 0.024 // fwerArea: 1
- genes: RCC2 -



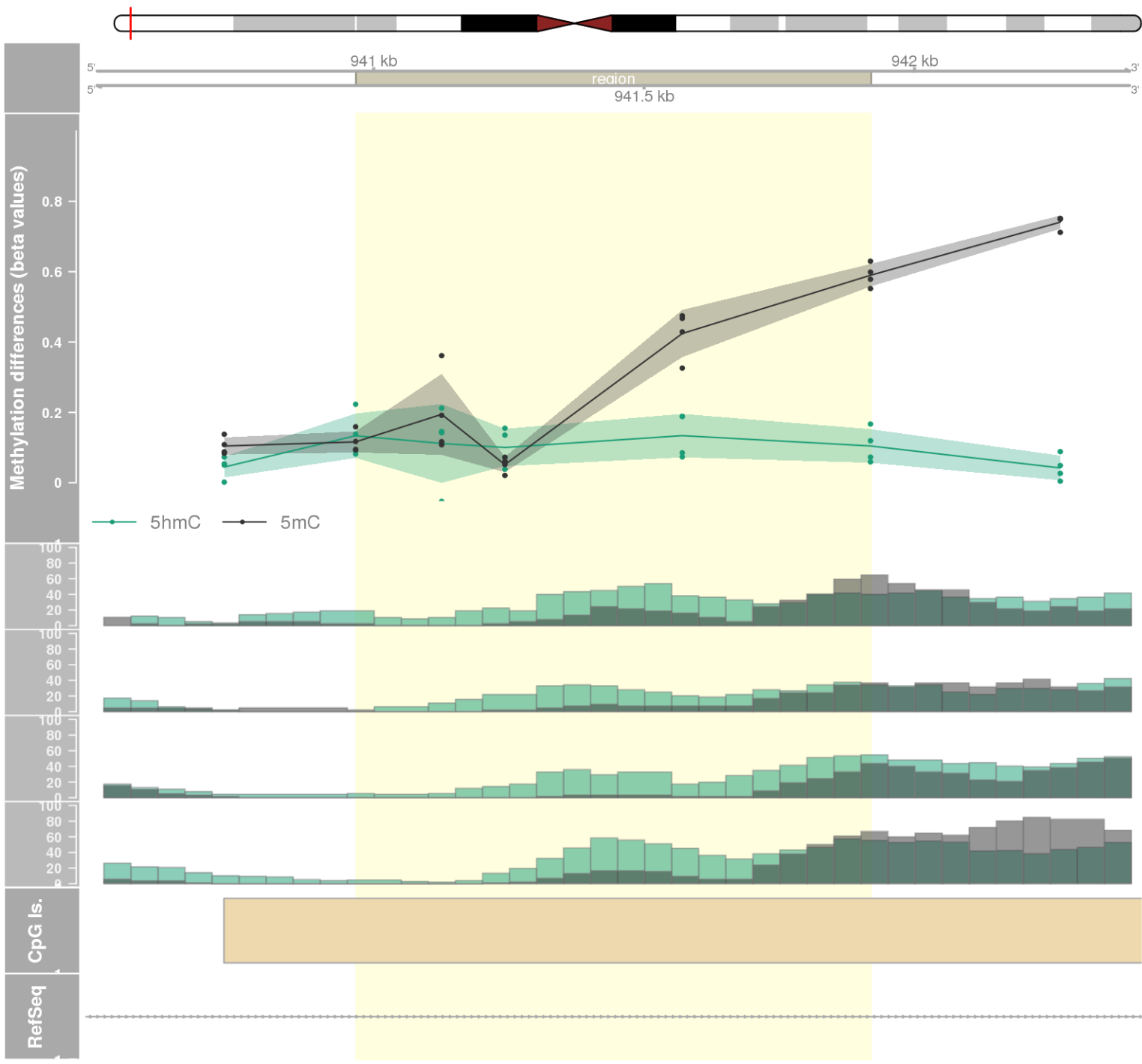
DMR 246 // chr17:77809912-77810912 // 1000 pb. (6 probes) // pvalue: 0.01 // fwer: 1 // pvalueArea: 0.024 // fwerArea: 1
- genes: CBX4 -



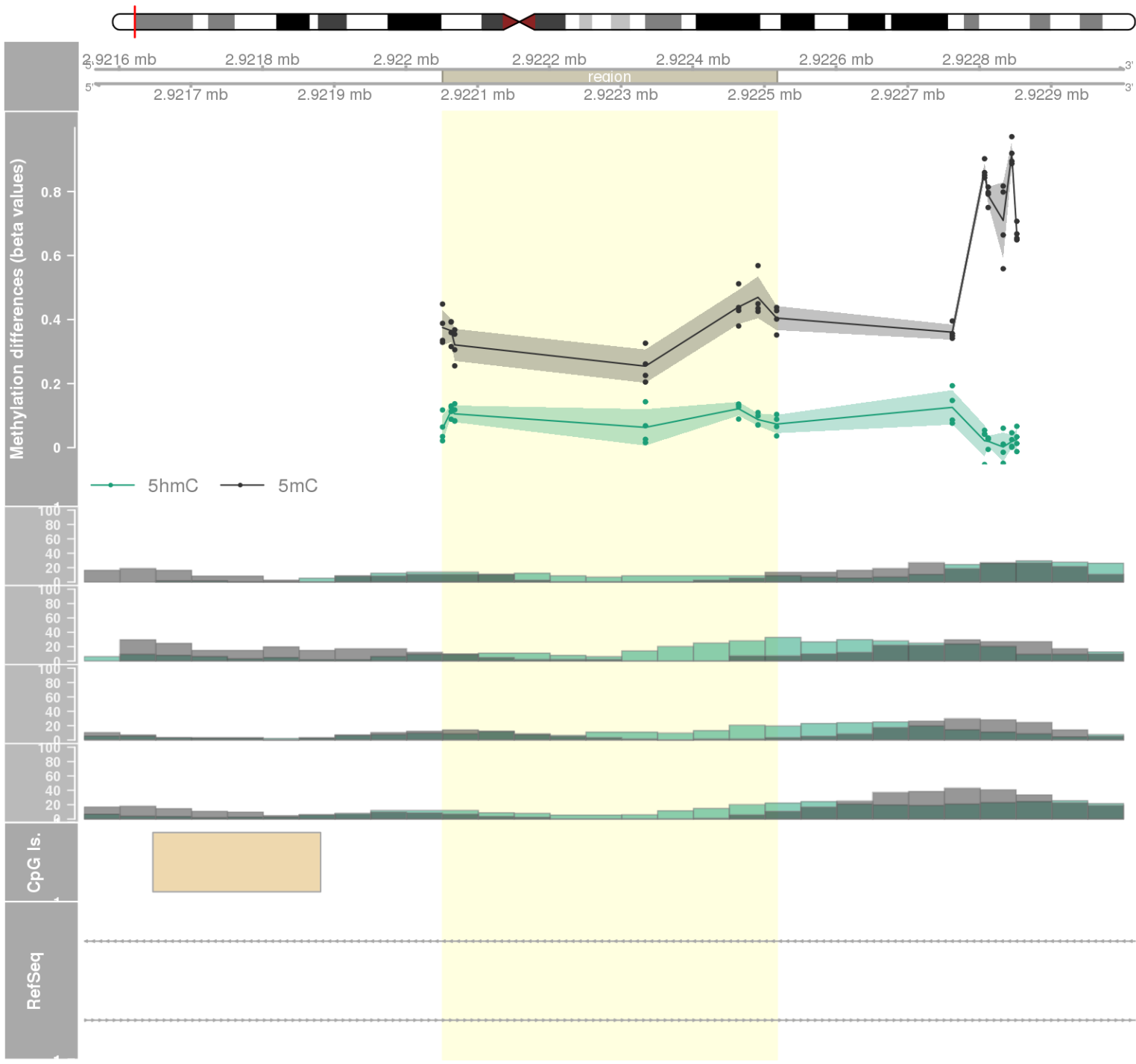
DMR 247 // chr6:31688702-31690170 // 1468 pb. (6 probes) // pvalue: 0.011 // fwer: 1 // pvalueArea: 0.025 // fwerArea: 1
- genes: C6orf25 / LY6G6C -



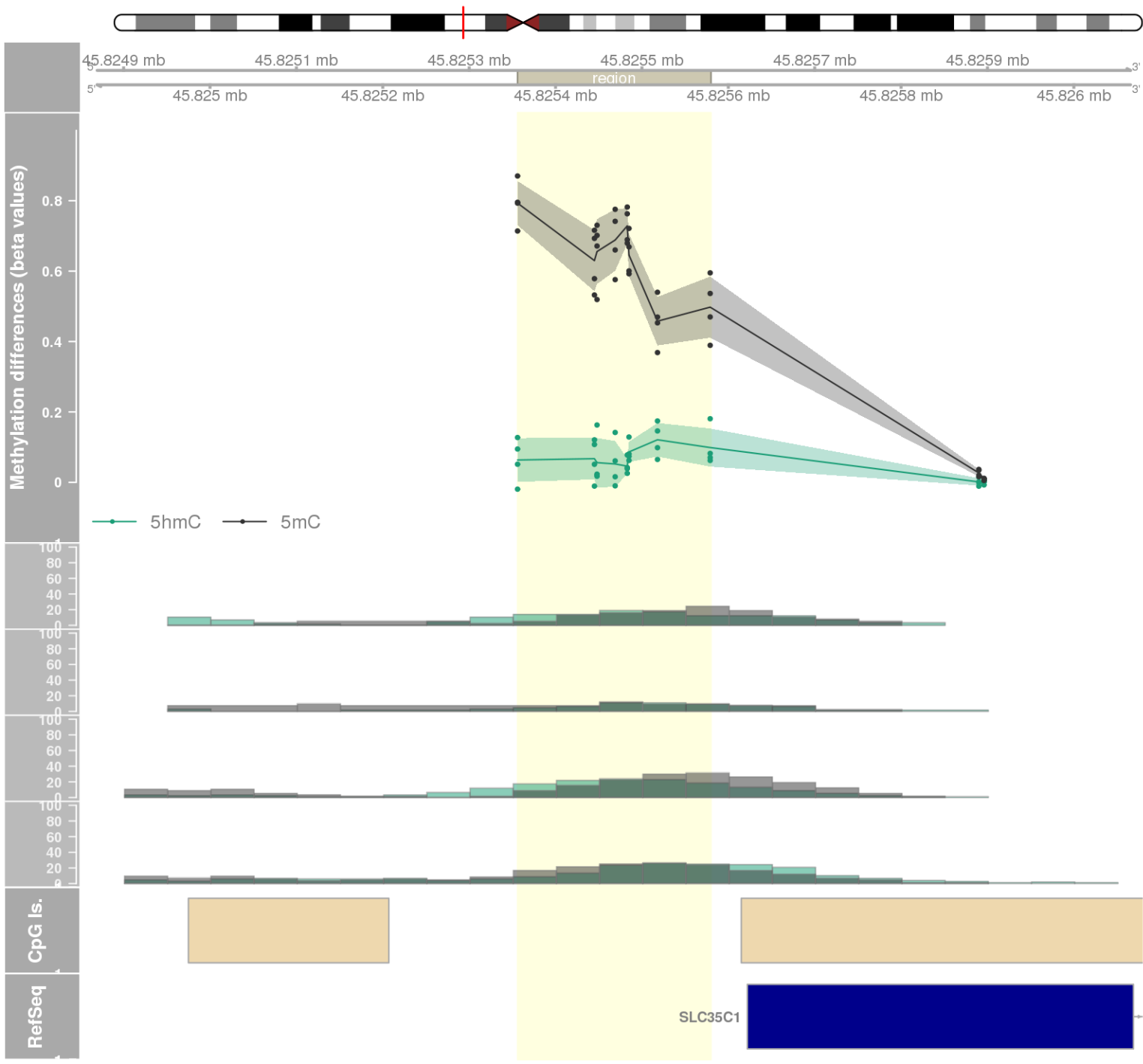
DMR 248 // chr19:940967-941919 // 952 pb. (5 probes) // pvalue: 0.006 // fwer: 1 // pvalueArea: 0.025 // fwerArea: 1
- genes: ARID3A -



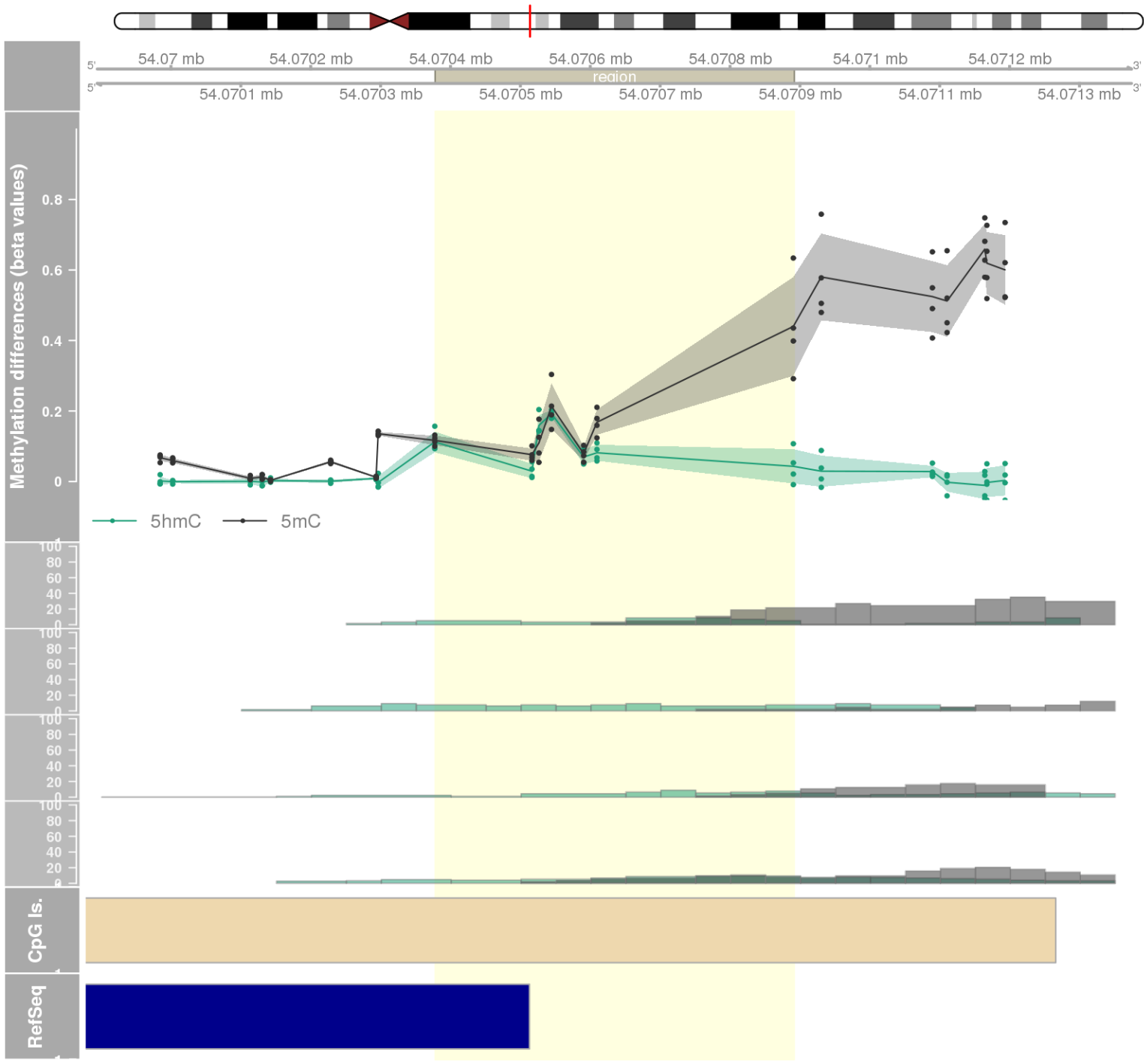
DMR 249 // chr11:2922051-2922517 // 466 pb. (7 probes) // pvalue: 0.012 // fwer: 1 // pvalueArea: 0.025 // fwerArea: 1
- genes: SLC22A18AS / SLC22A18 -



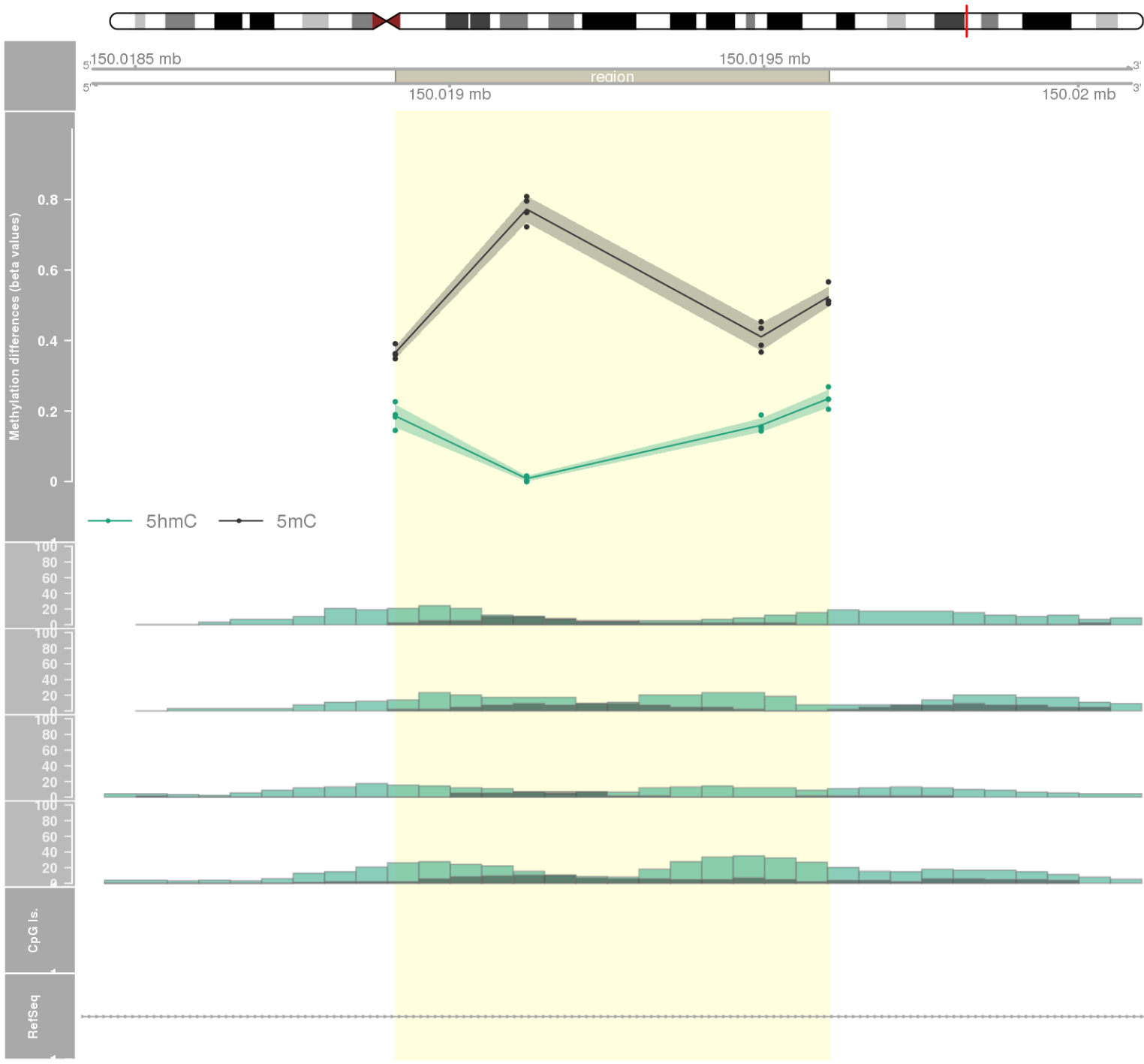
DMR 250 // chr11:45825356-45825579 // 223 pb. (8 probes) // pvalue: 0.01 // fwer: 1 // pvalueArea: 0.025 // fwerArea: 1



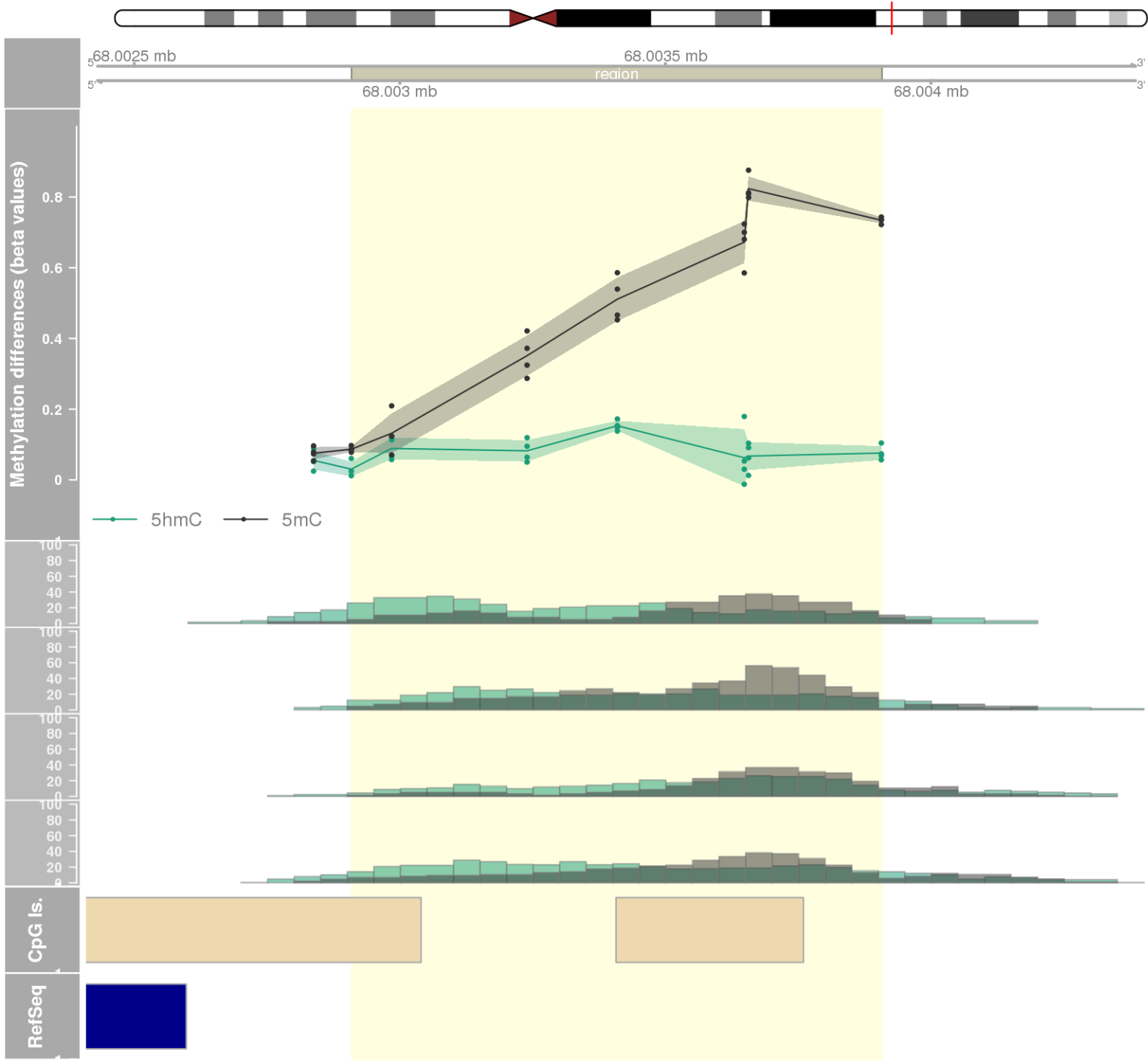
DMR 251 // chr12:54070378-54070891 // 513 pb. (7 probes) // pvalue: 0.012 // fwer: 1 // pvalueArea: 0.025 // fwerArea: 1
- genes: ATP5G2 -



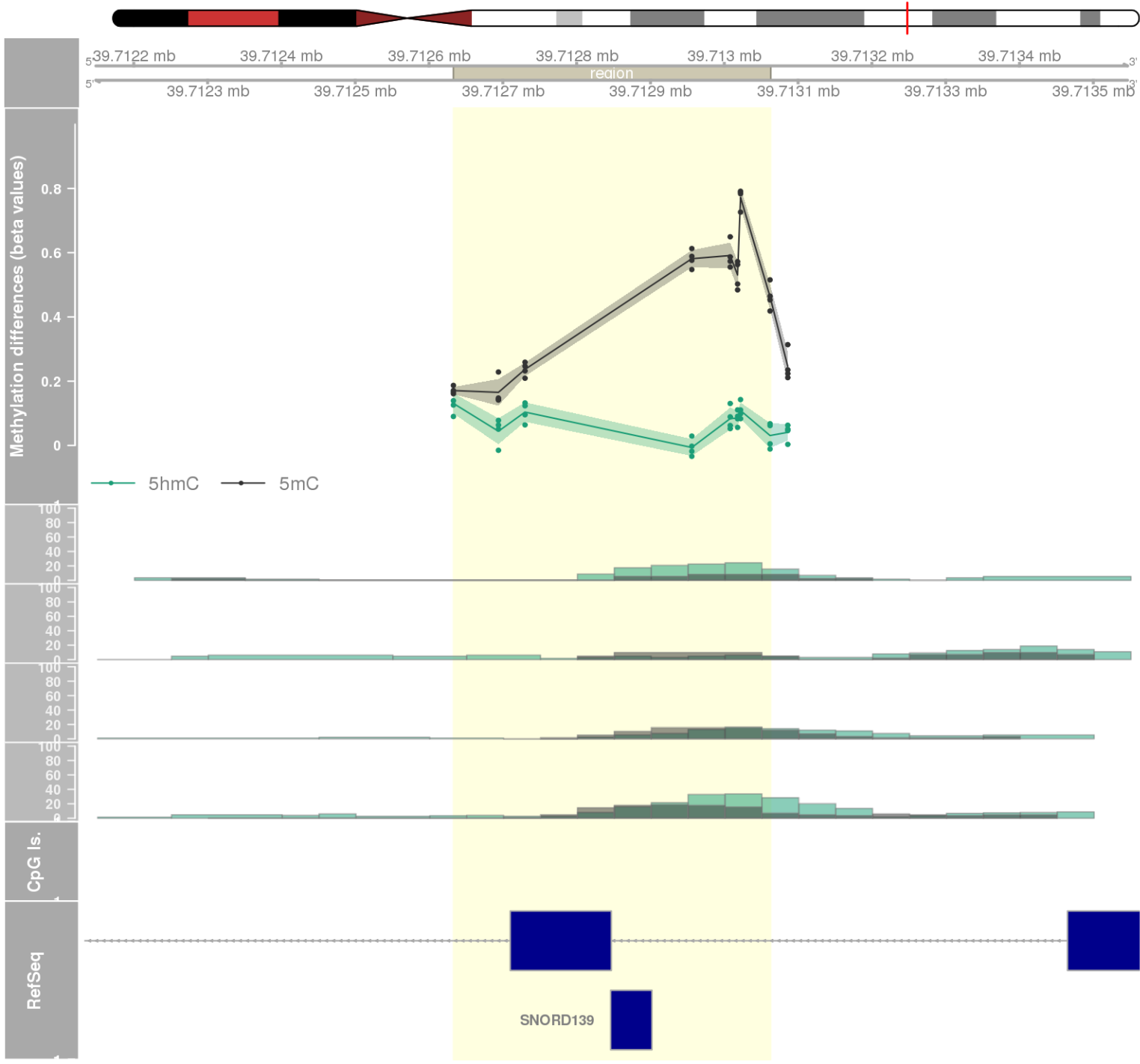
DMR 252 // chr5:150018914-150019603 // 689 pb. (4 probes) // pvalue: 0.003 // fwer: 1 // pvalueArea: 0.025 // fwerArea: 1
- genes: SYNPO -



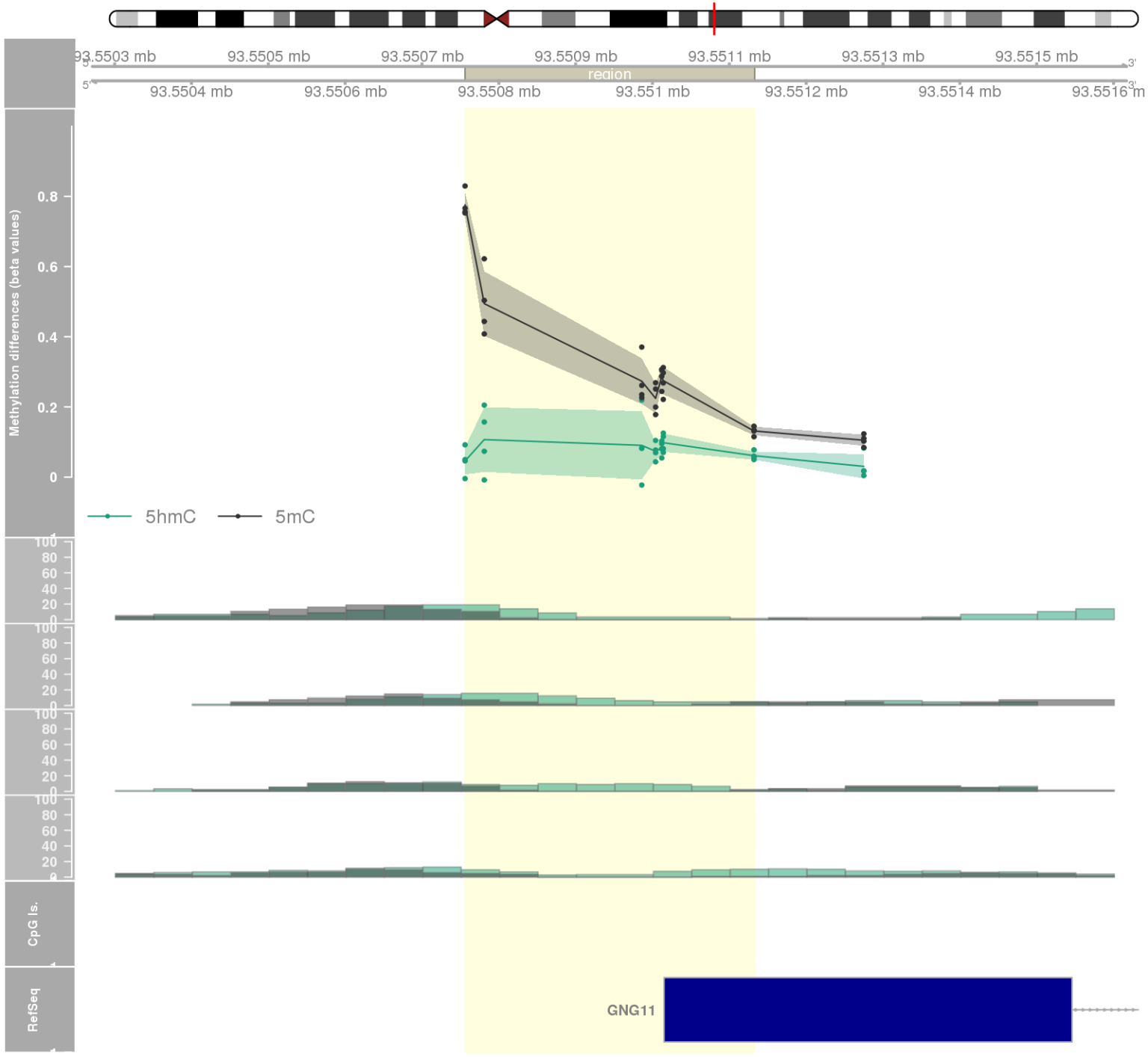
DMR 253 // chr16:68002909-68003907 // 998 pb. (7 probes) // pvalue: 0.012 // fwer: 1 // pvalueArea: 0.025 // fwerArea: 1
- genes: SLC12A4 -



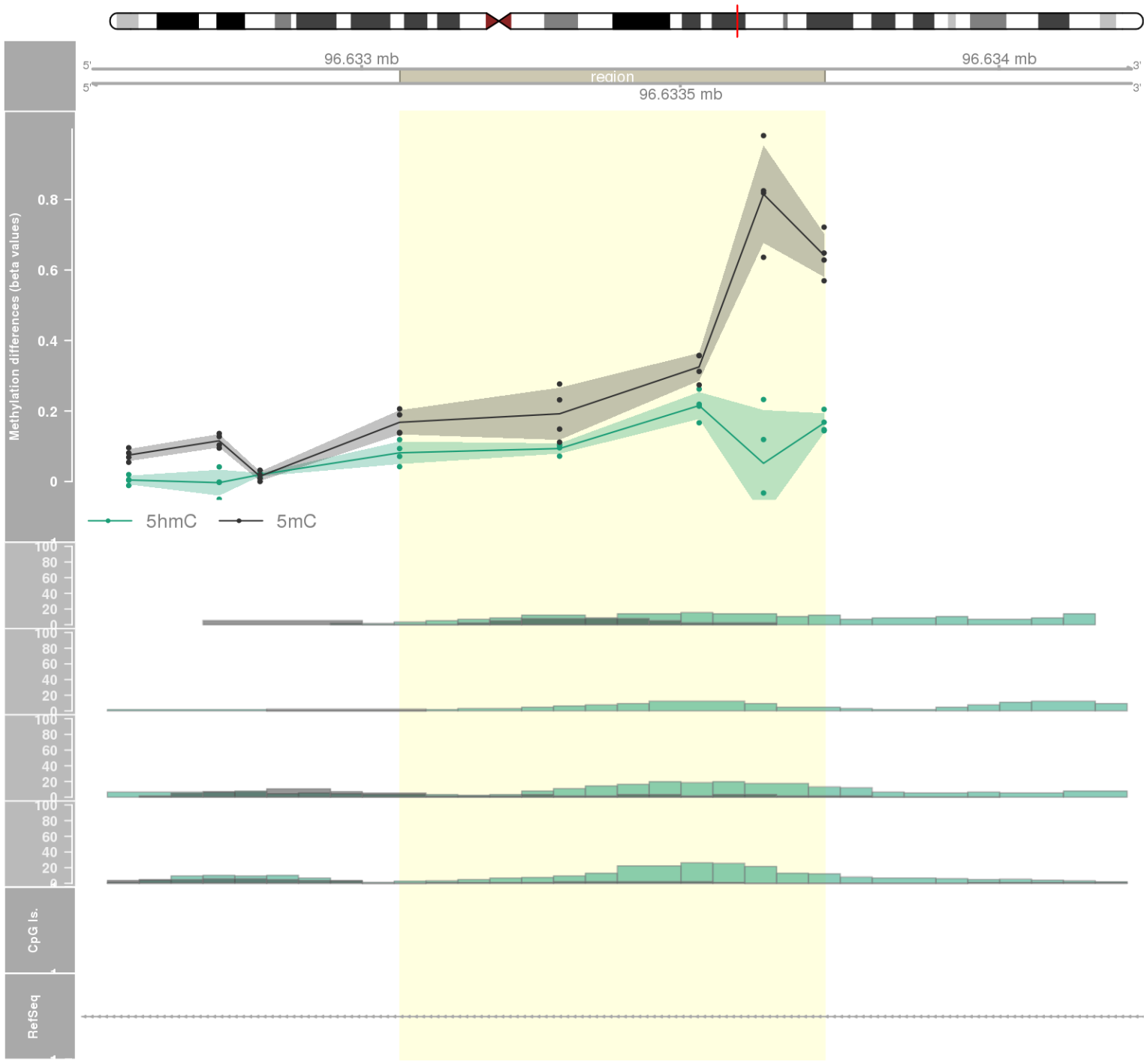
DMR 254 // chr22:39712633-39713062 // 429 pb. (8 probes) // pvalue: 0.012 // fwer: 1 // pvalueArea: 0.025 // fwerArea: 1
- genes: RPL3 -



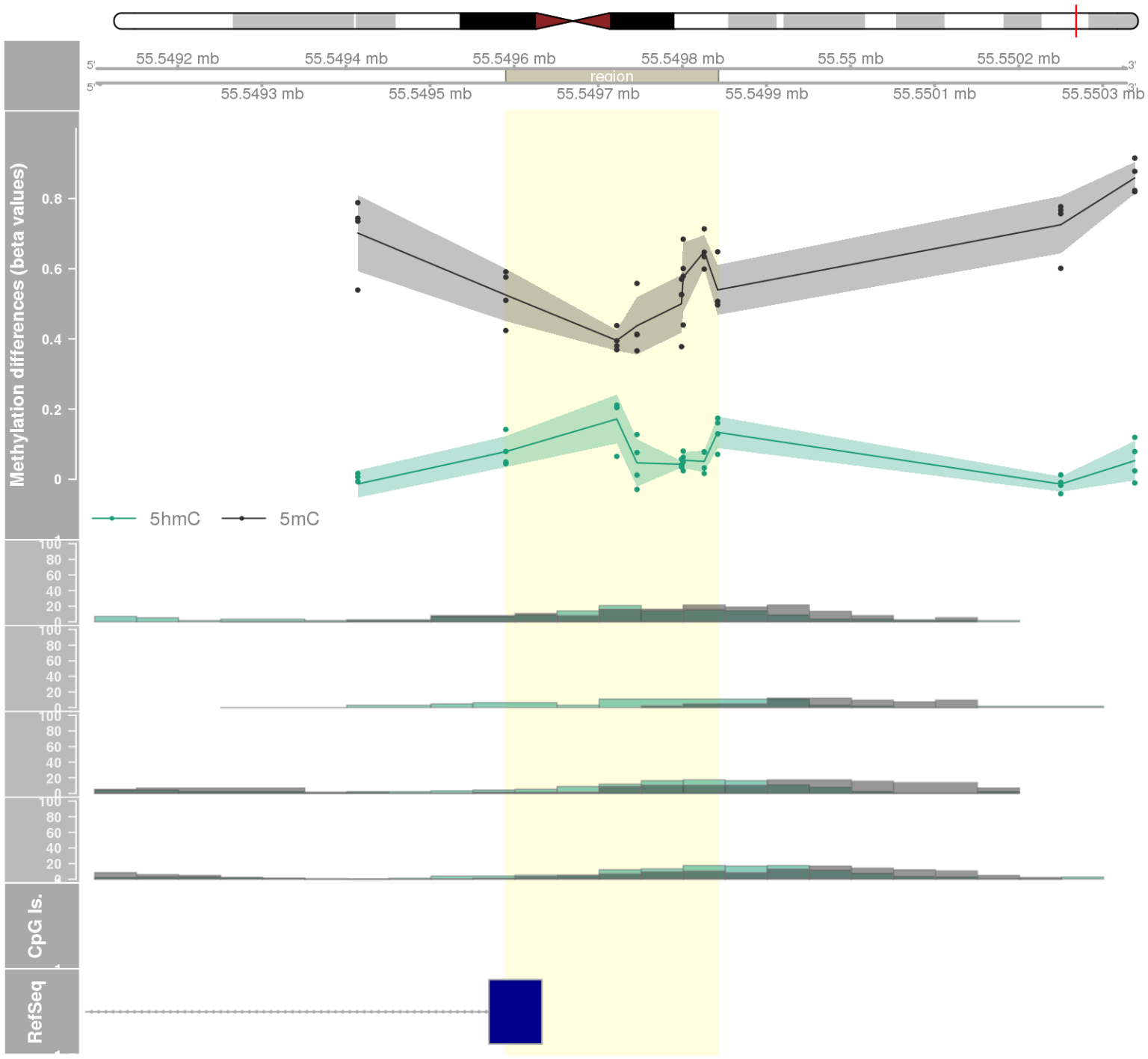
DMR 255 // chr7:93550756-93551132 // 376 pb. (7 probes) // pvalue: 0.012 // fwer: 1 // pvalueArea: 0.025 // fwerArea: 1
- genes: GNG11 -



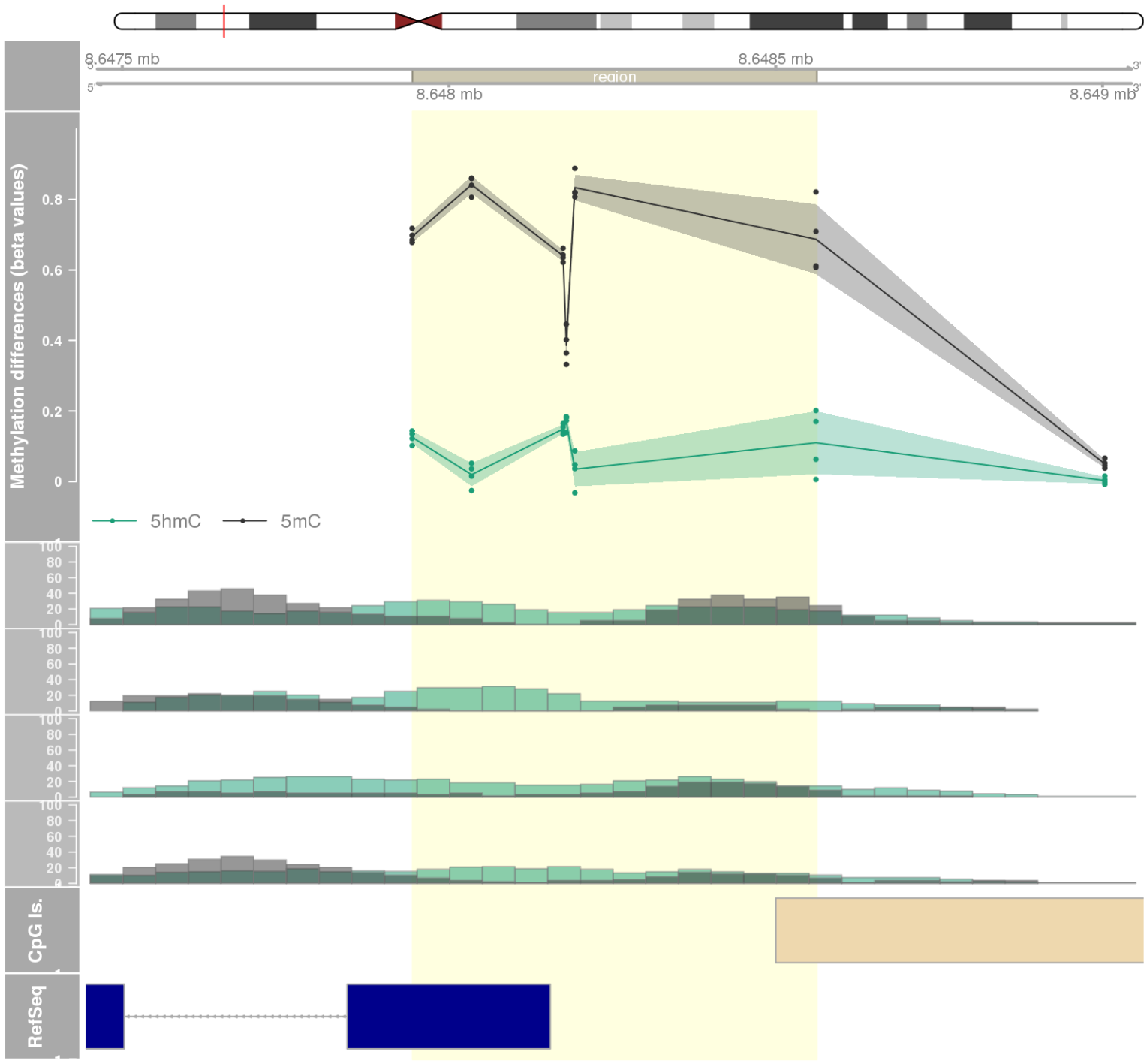
DMR 256 // chr7:96633060-96633726 // 666 pb. (5 probes) // pvalue: 0.007 // fwer: 1 // pvalueArea: 0.025 // fwerArea: 1
- genes: DLX6-AS1 -



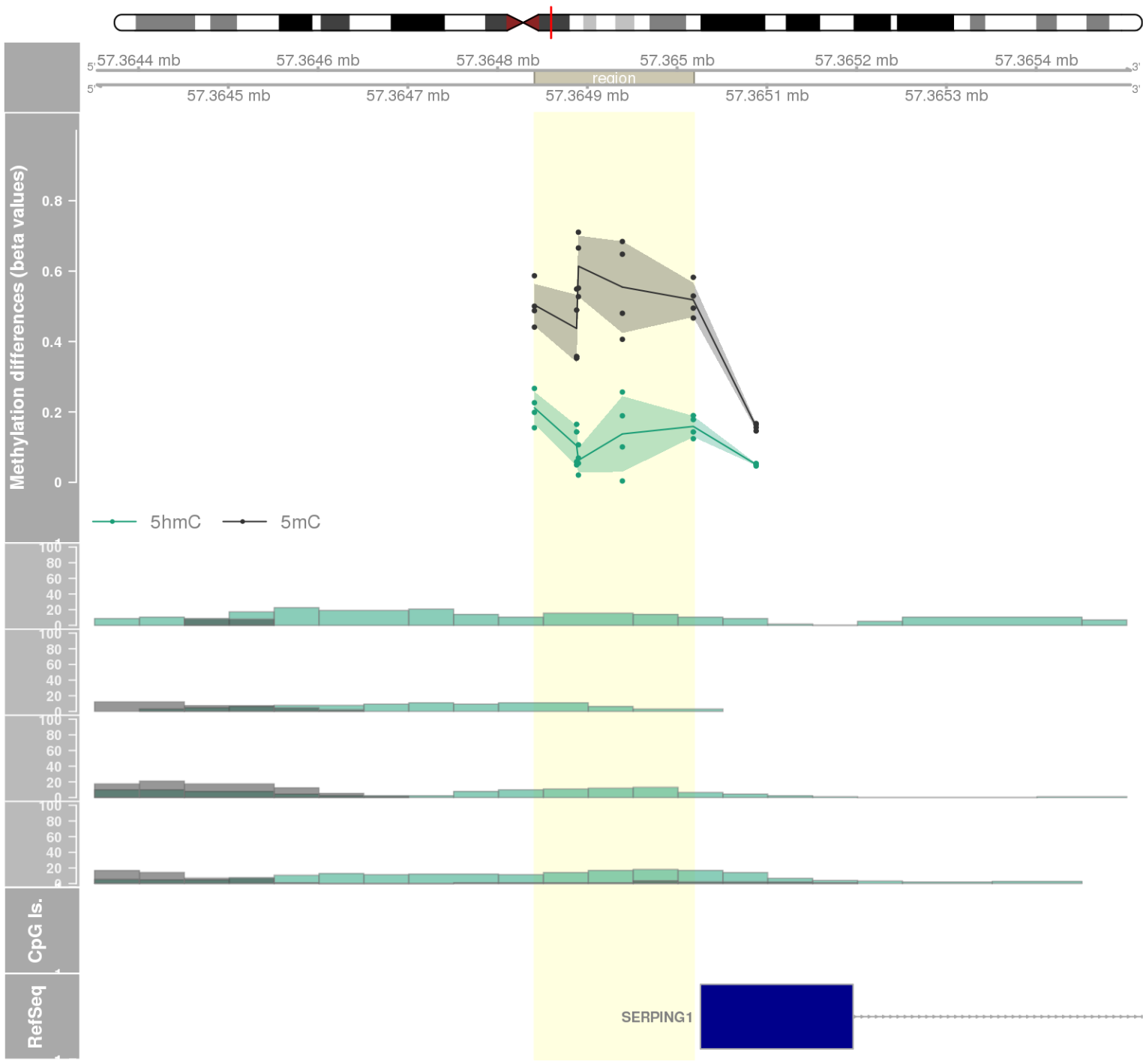
DMR 257 // chr19:55549590-55549842 // 252 pb. (7 probes) // pvalue: 0.012 // fwer: 1 // pvalueArea: 0.026 // fwerArea: 1
- genes: GP6 -



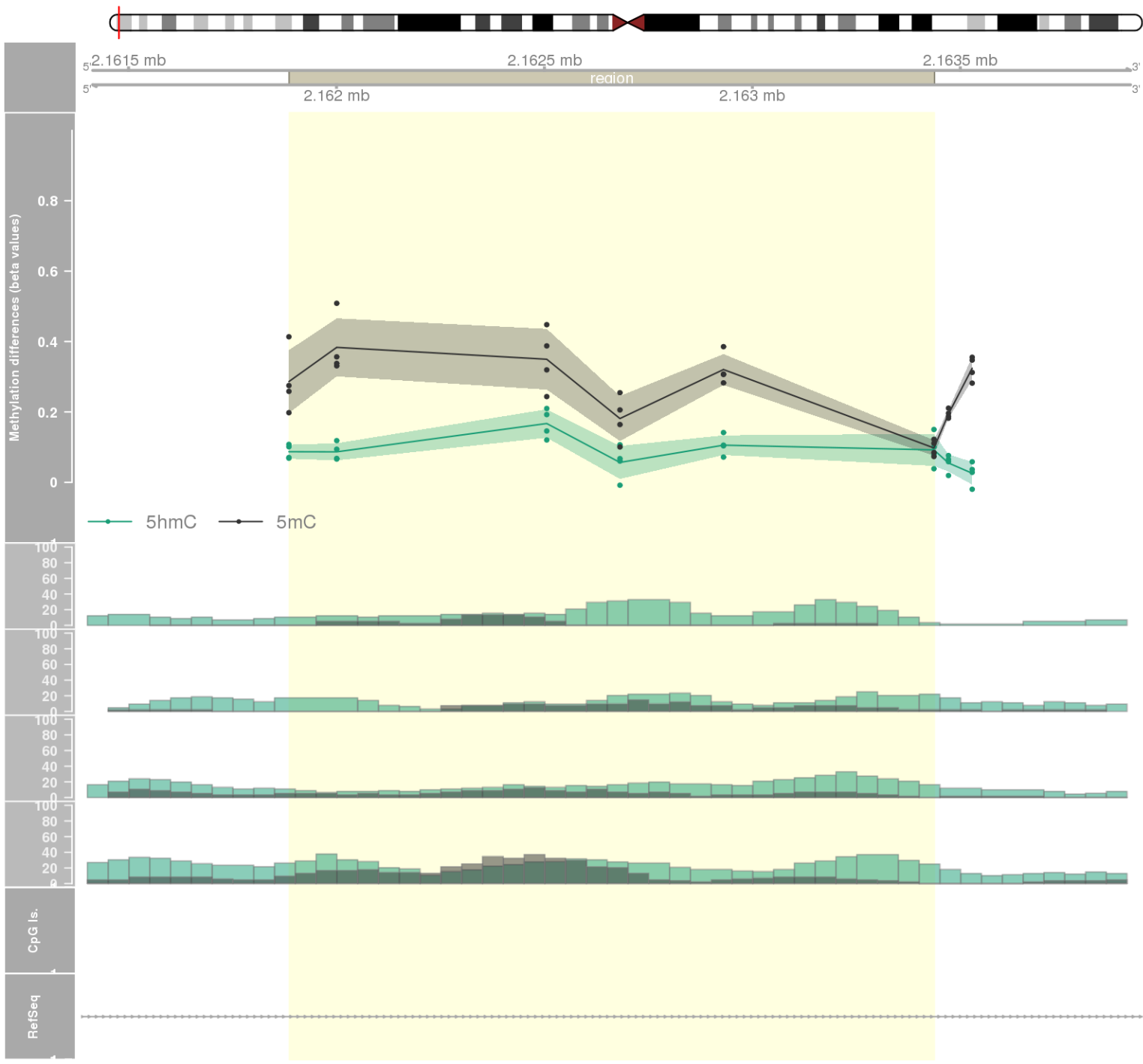
DMR 258 // chr17:8647944-8648562 // 618 pb. (6 probes) // pvalue: 0.011 // fwer: 1 // pvalueArea: 0.026 // fwerArea: 1
- genes: CCDC42 -

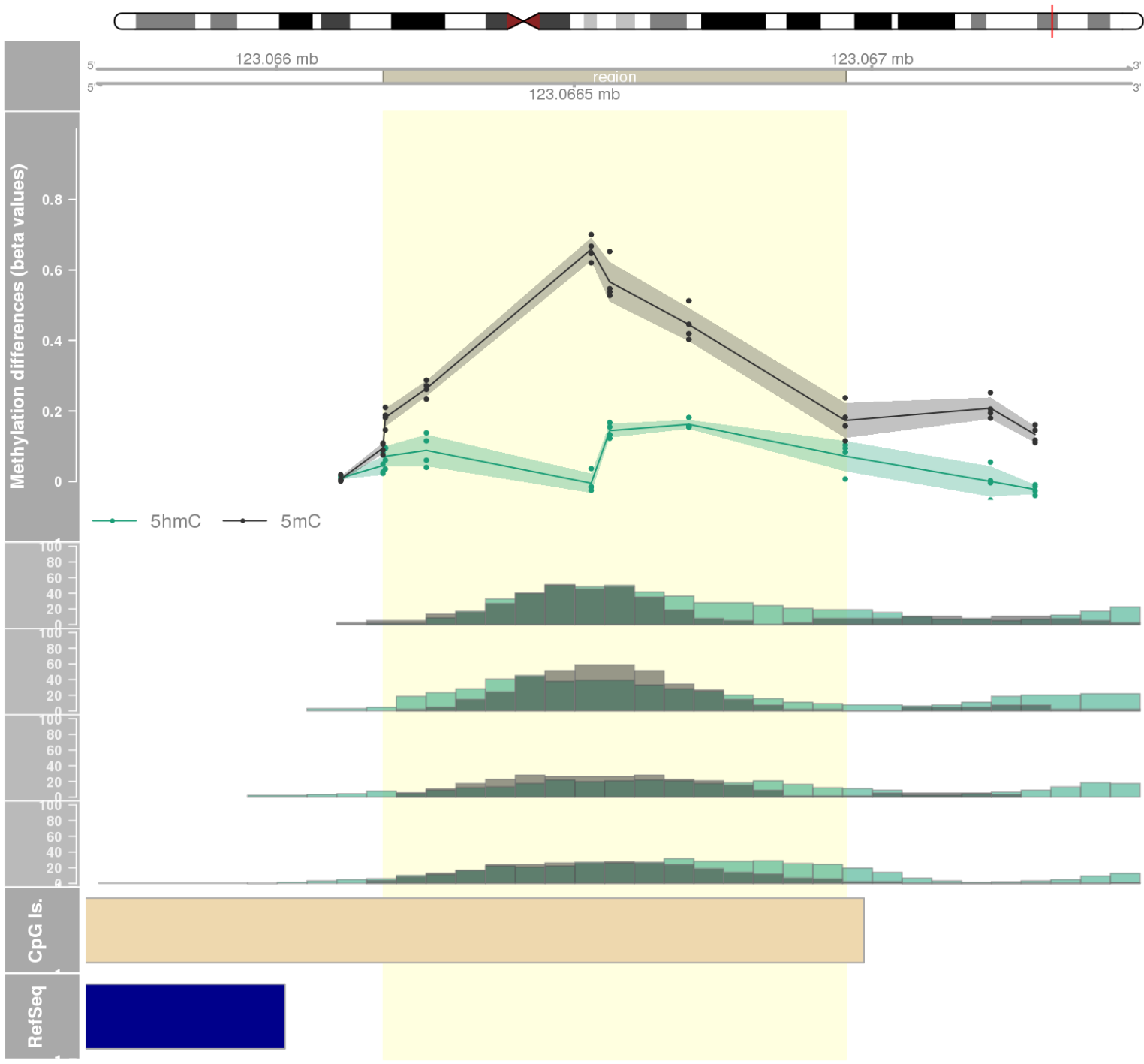


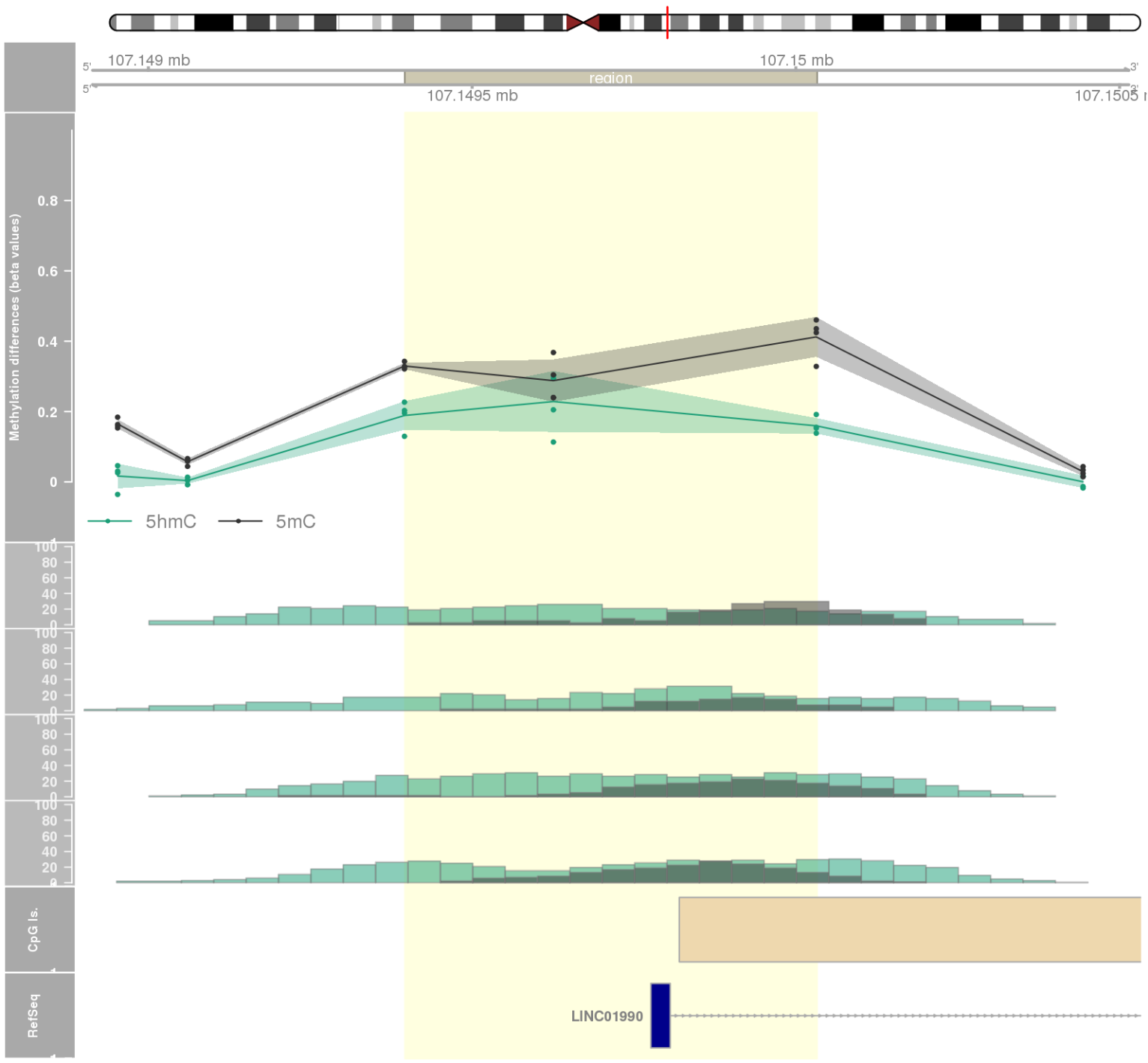
DMR 259 // chr11:57364841-57365018 // 177 pb. (5 probes) // pvalue: 0.007 // fwer: 1 // pvalueArea: 0.026 // fwerArea: 1
- genes: SERPING1 -



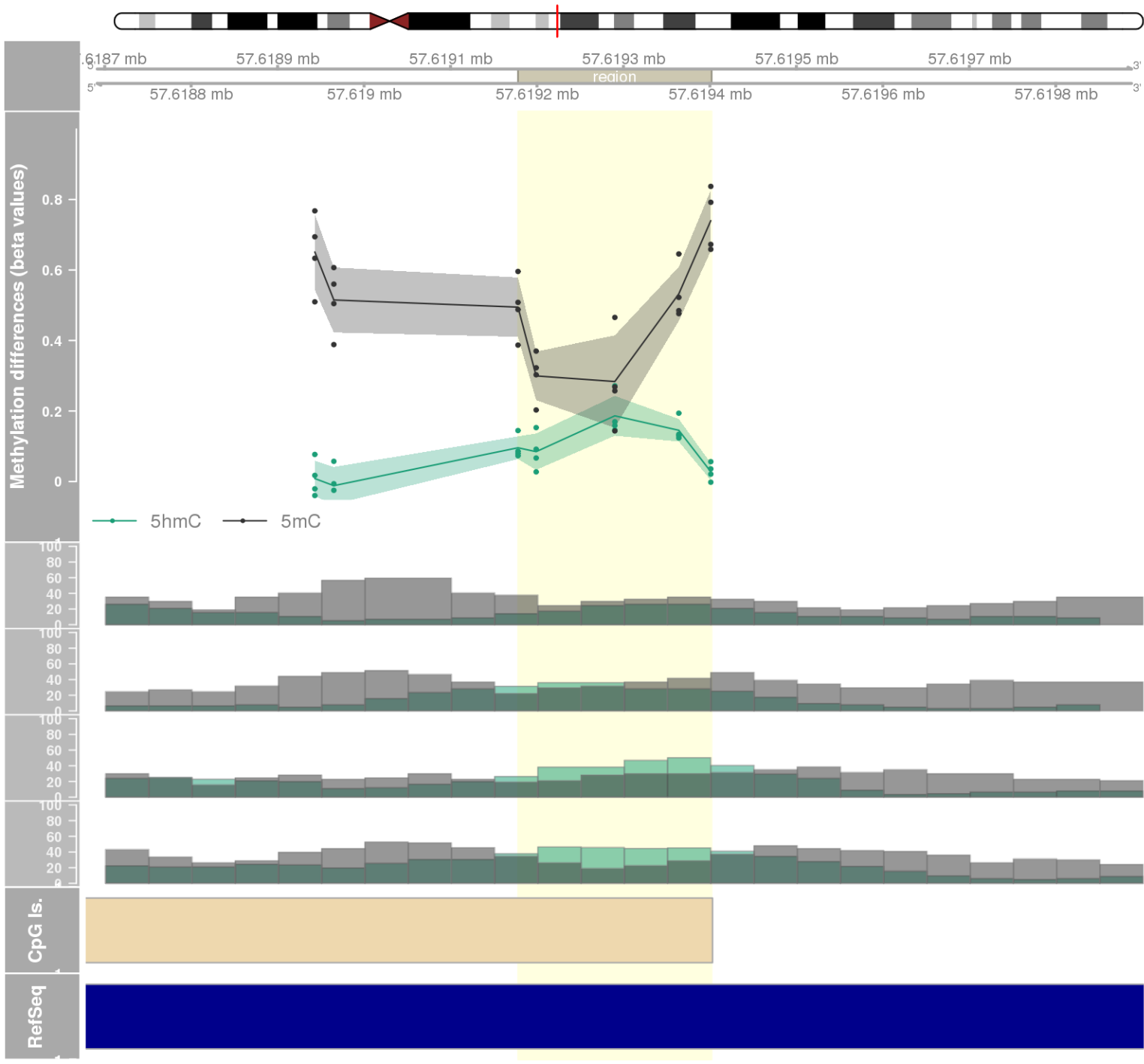
DMR 260 // chr1:2161886-2163437 // 1551 pb. (6 probes) // pvalue: 0.011 // fwer: 1 // pvalueArea: 0.026 // fwerArea: 1
- genes: SKI -



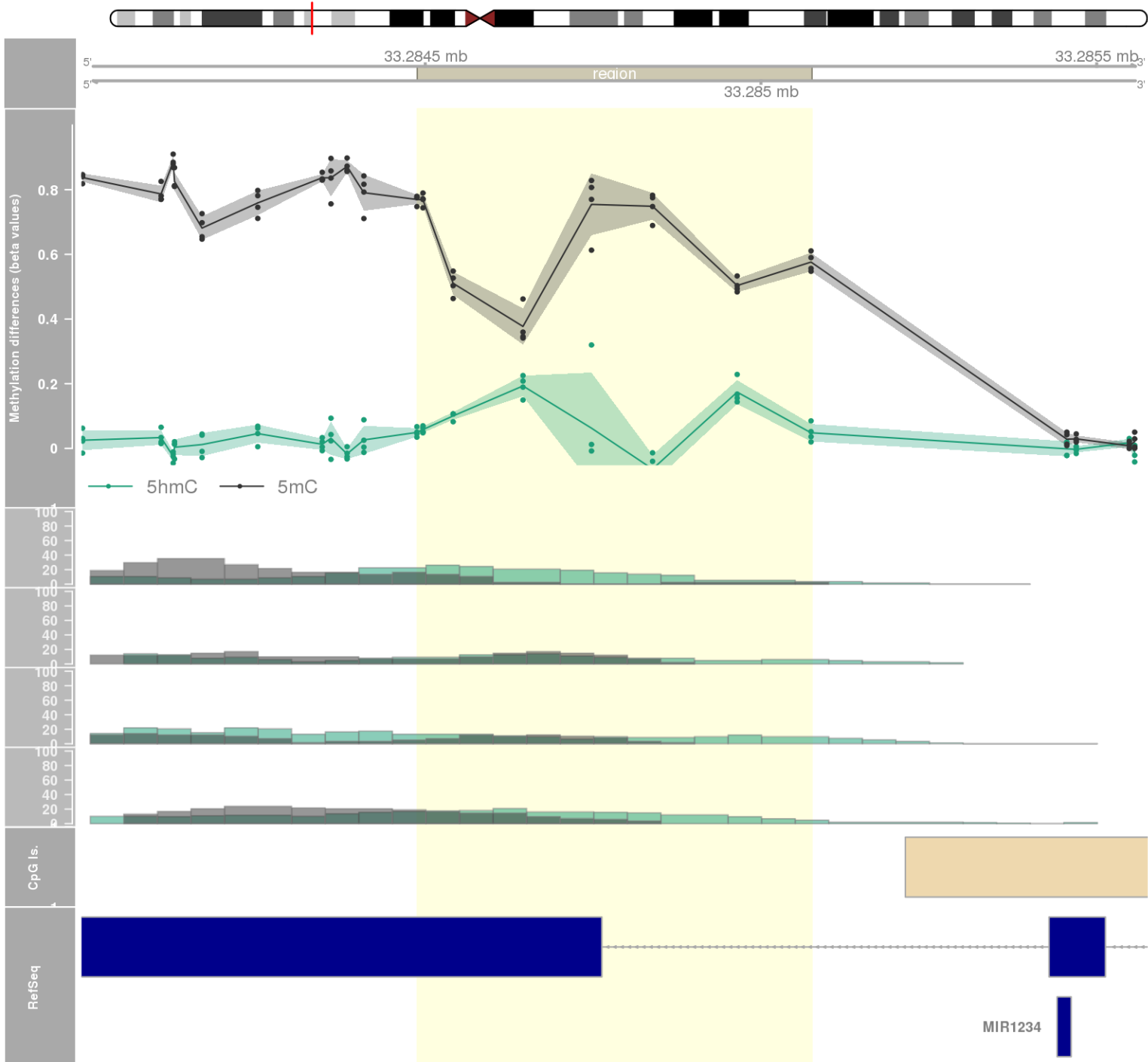


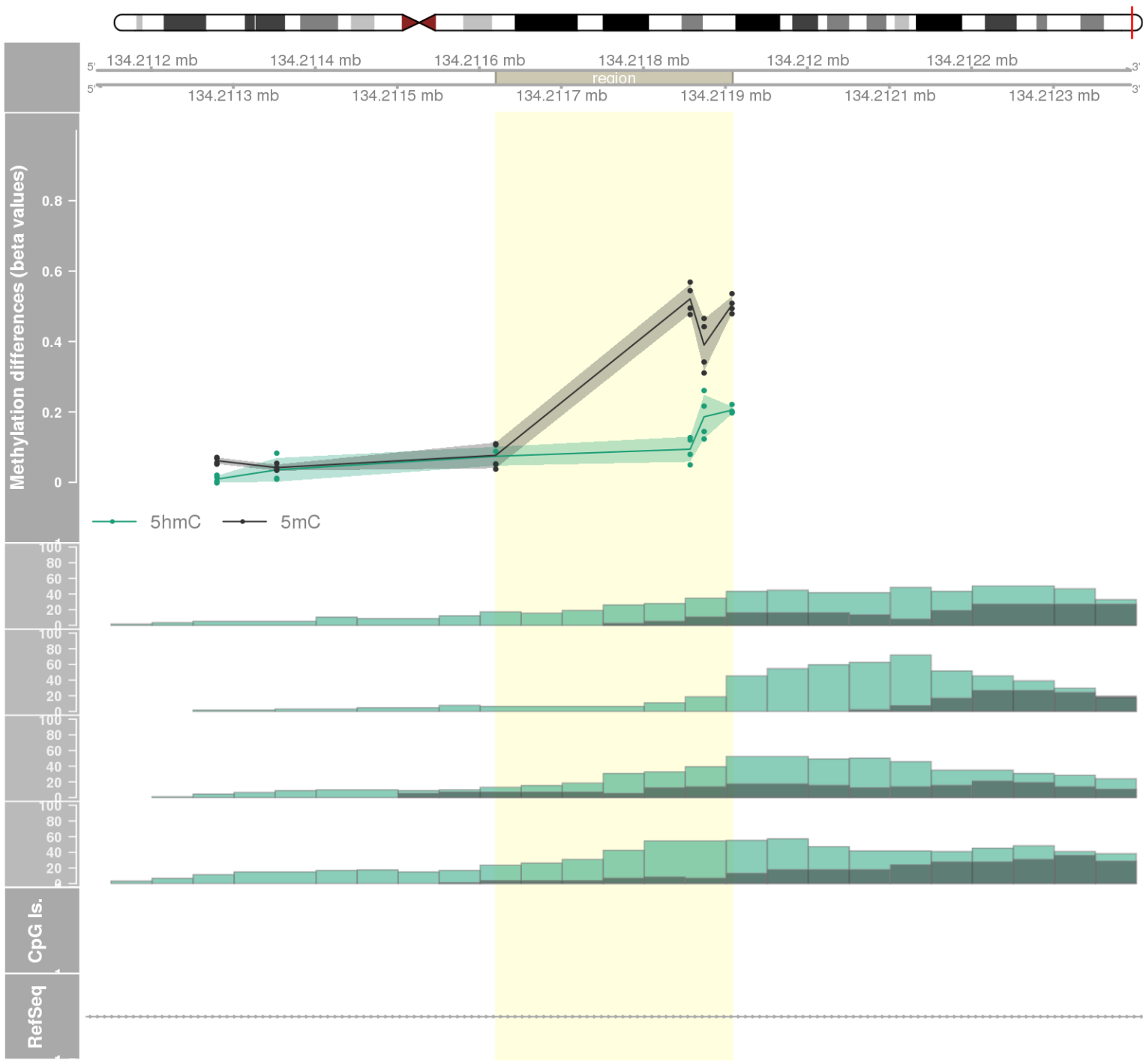


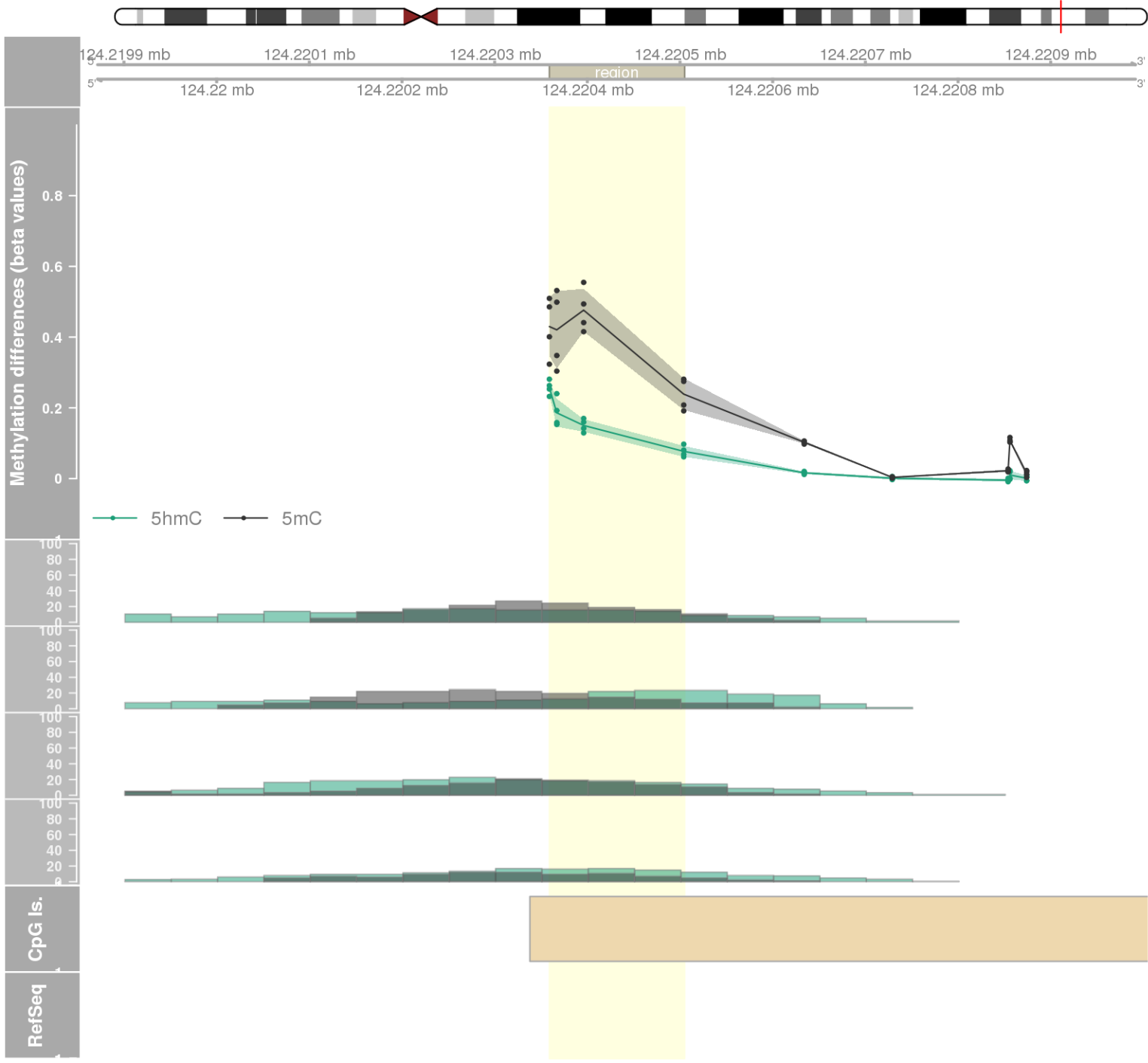
DMR 263 // chr12:57619178-57619401 // 223 pb. (5 probes) // pvalue: 0.007 // fwer: 1 // pvalueArea: 0.026 // fwerArea: 1
- genes: NXPH4 -

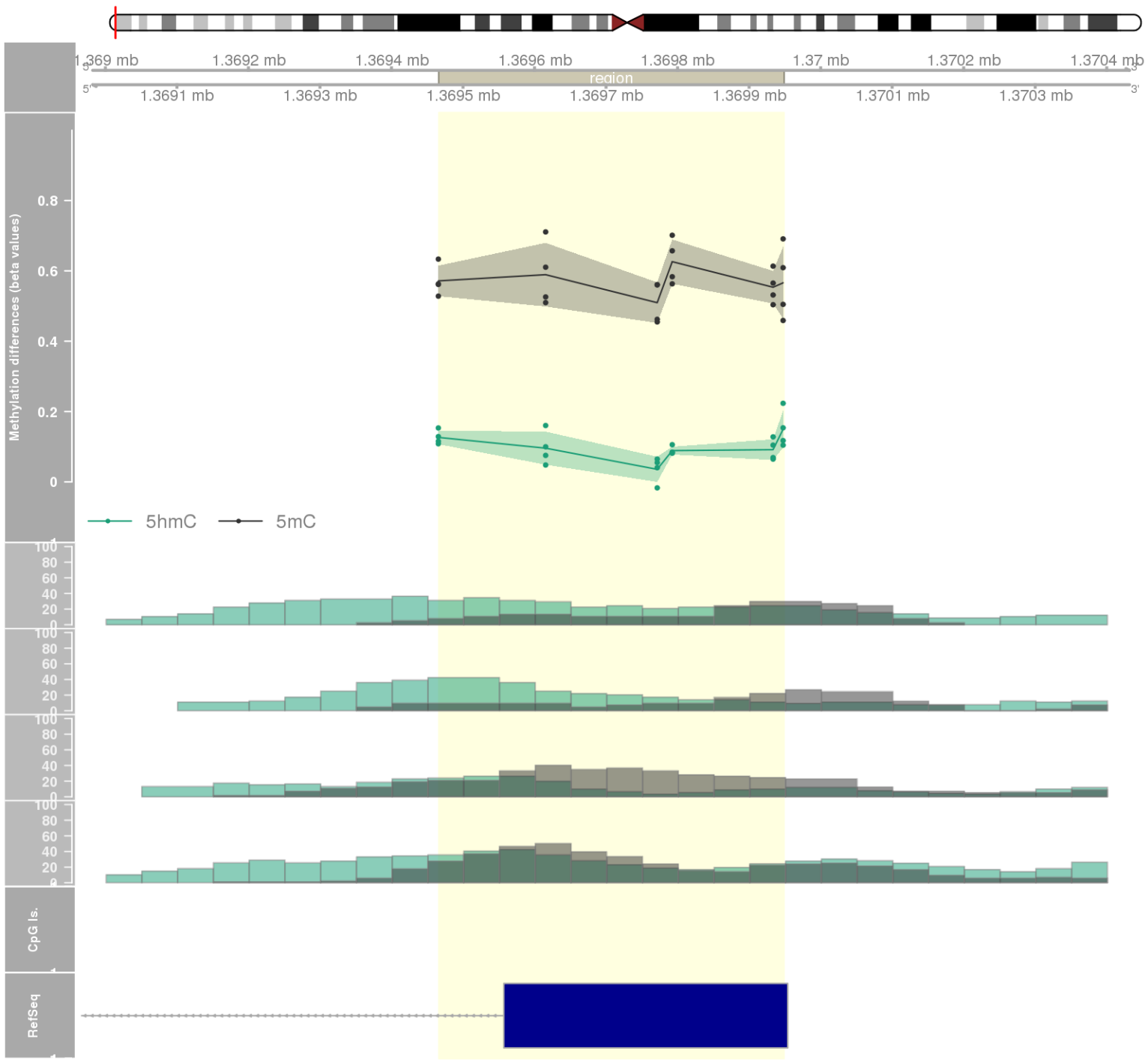


DMR 264 // chr6:33284488-33285075 // 587 pb. (8 probes) // pvalue: 0.013 // fwer: 1 // pvalueArea: 0.026 // fwerArea: 1
- genes: ZBTB22 -

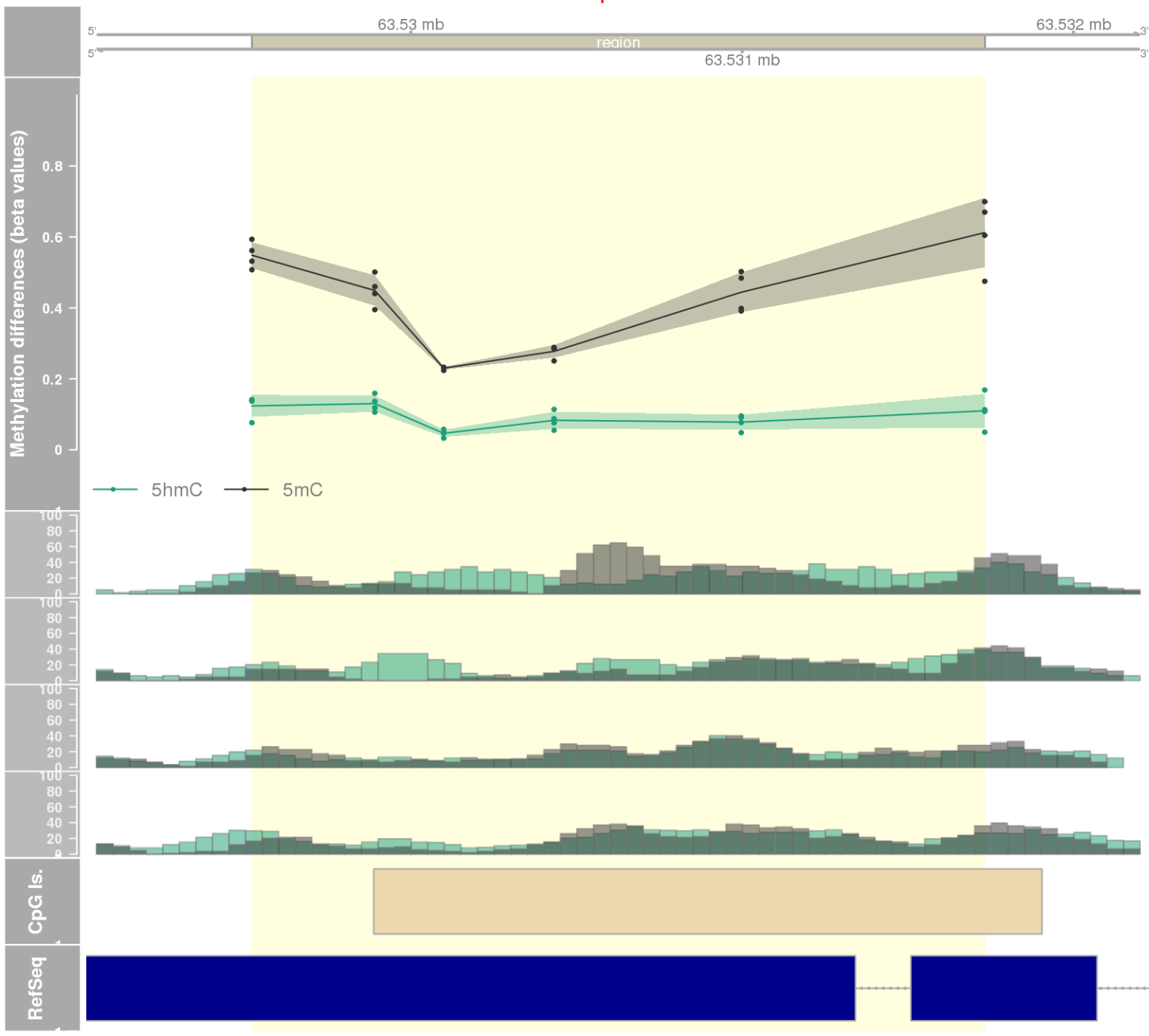




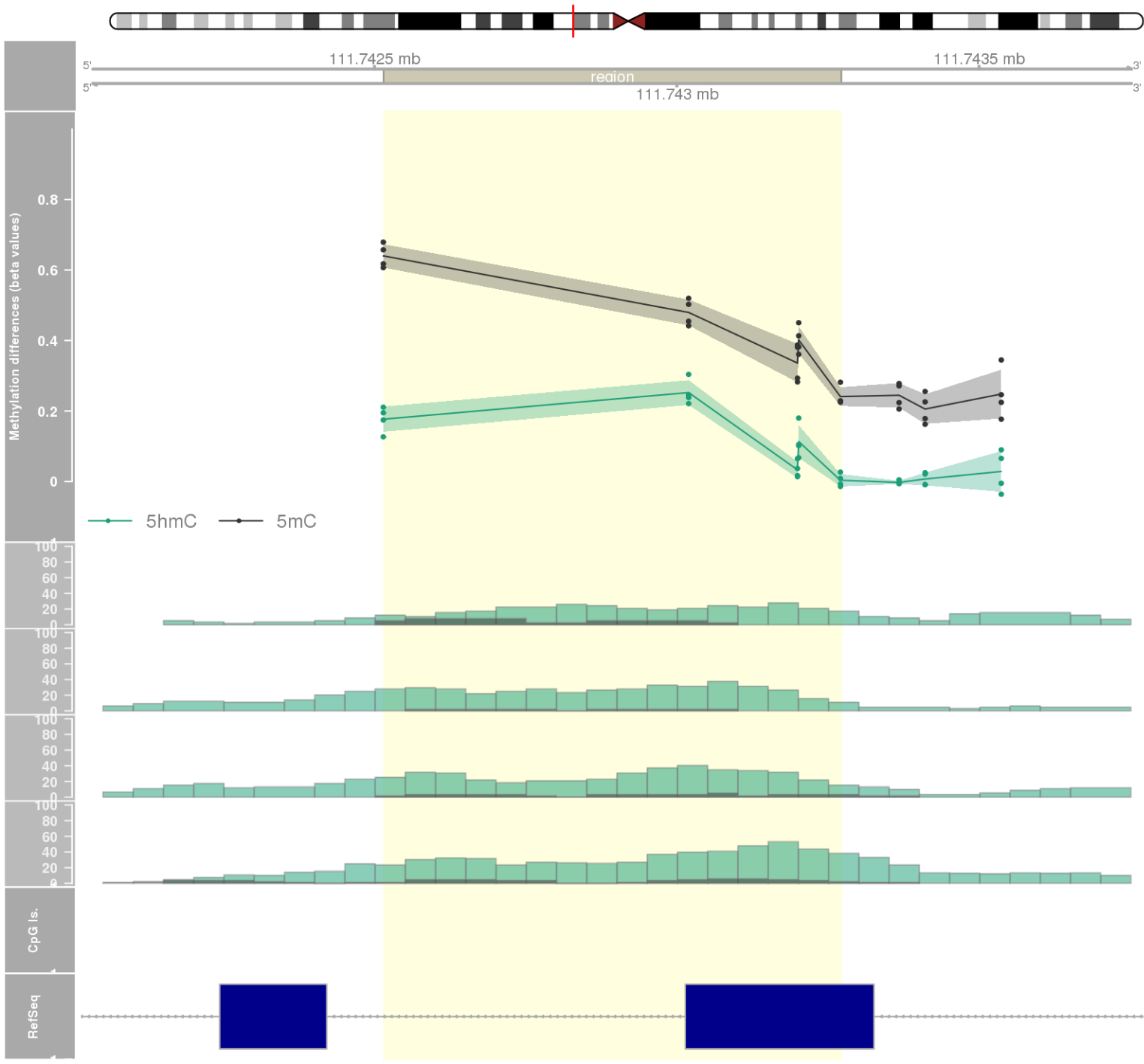




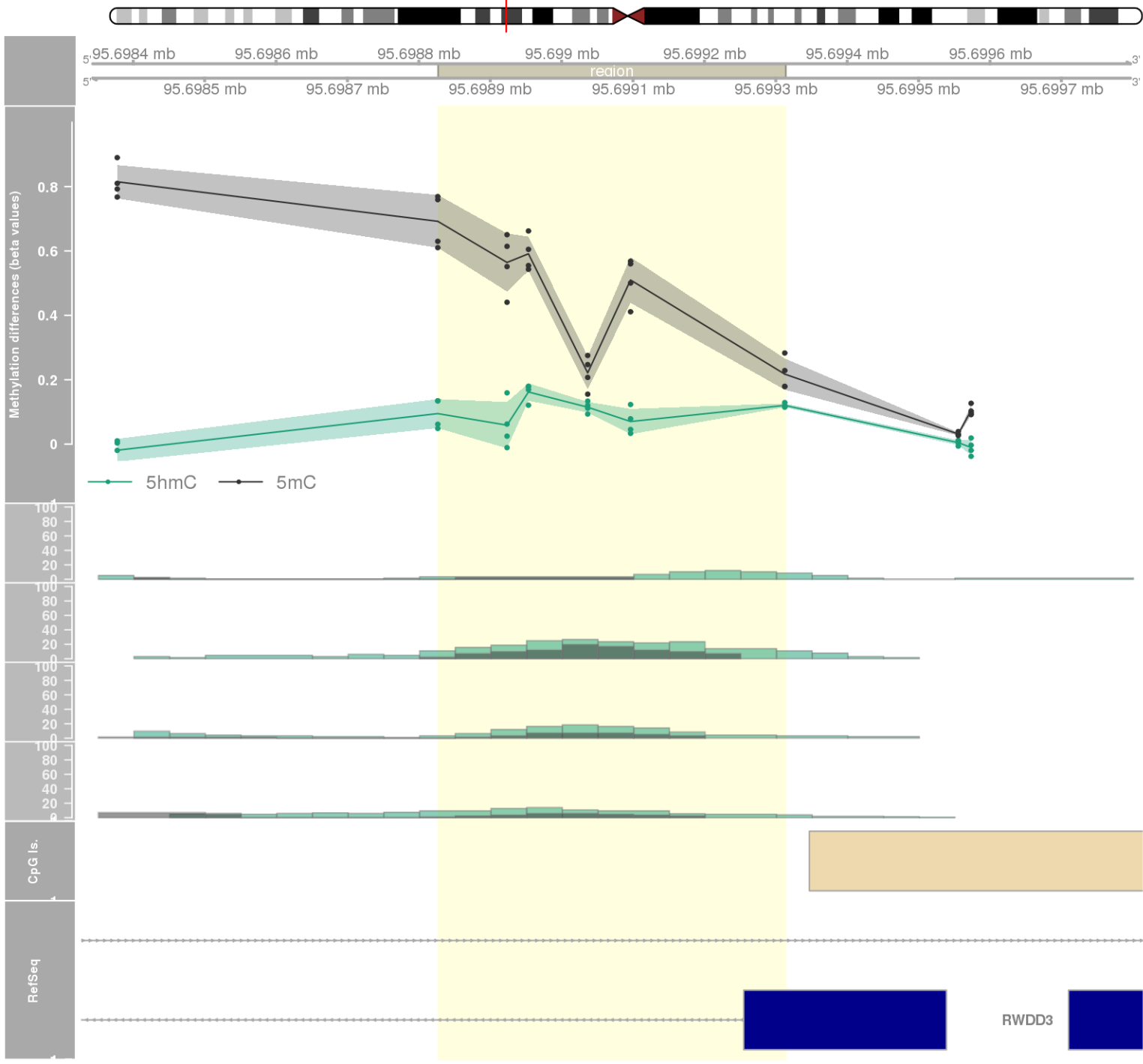
DMR 268 // chr11:63529520-63531732 // 2212 pb. (6 probes) // pvalue: 0.011 // fwer: 1 // pvalueArea: 0.027 // fwerArea: 1
- genes: C11orf95 -



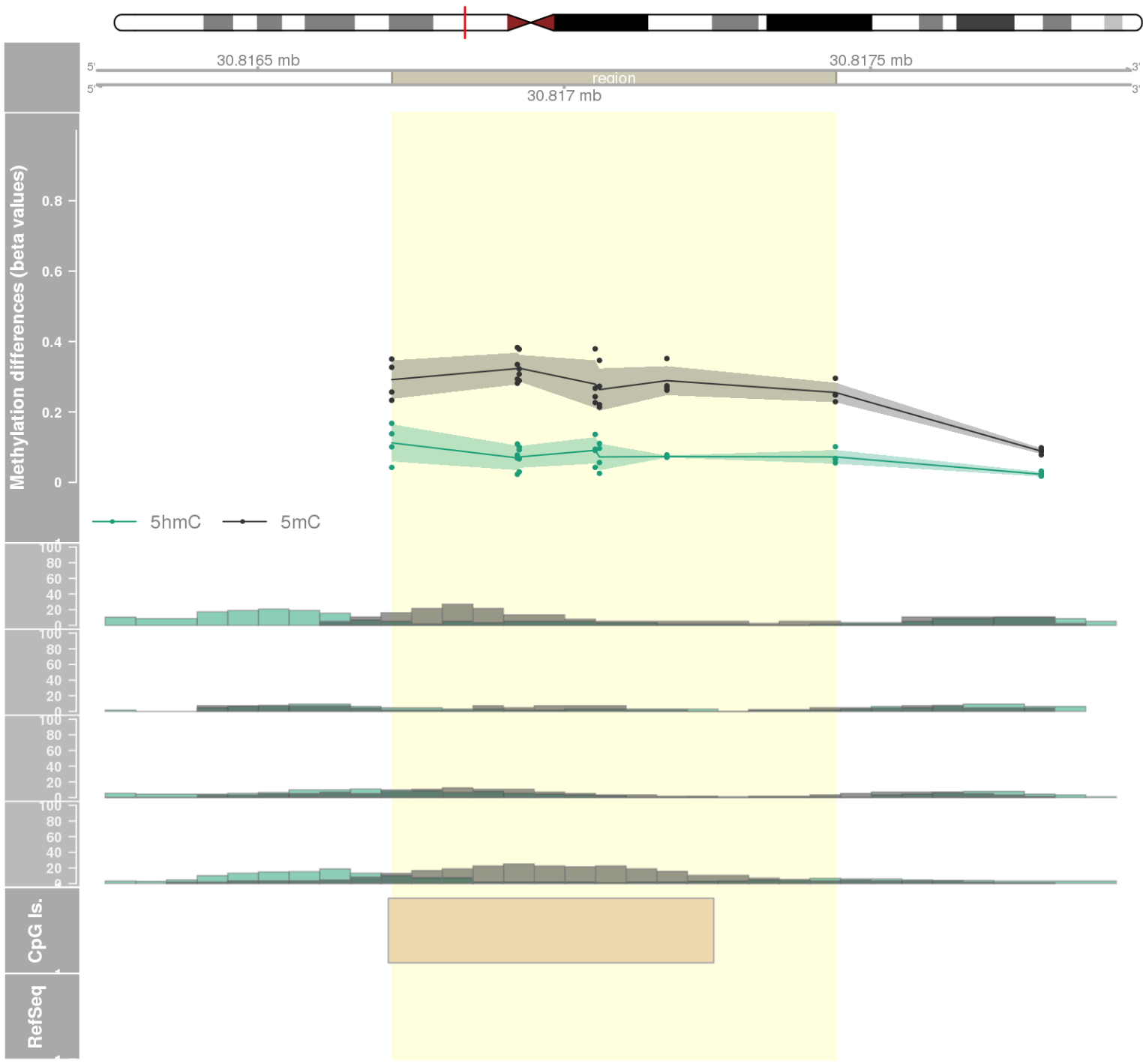
DMR 269 // chr1:111742515-111743271 // 756 pb. (5 probes) // pvalue: 0.007 // fwer: 1 // pvalueArea: 0.027 // fwerArea: 1
- genes: DENND2D -



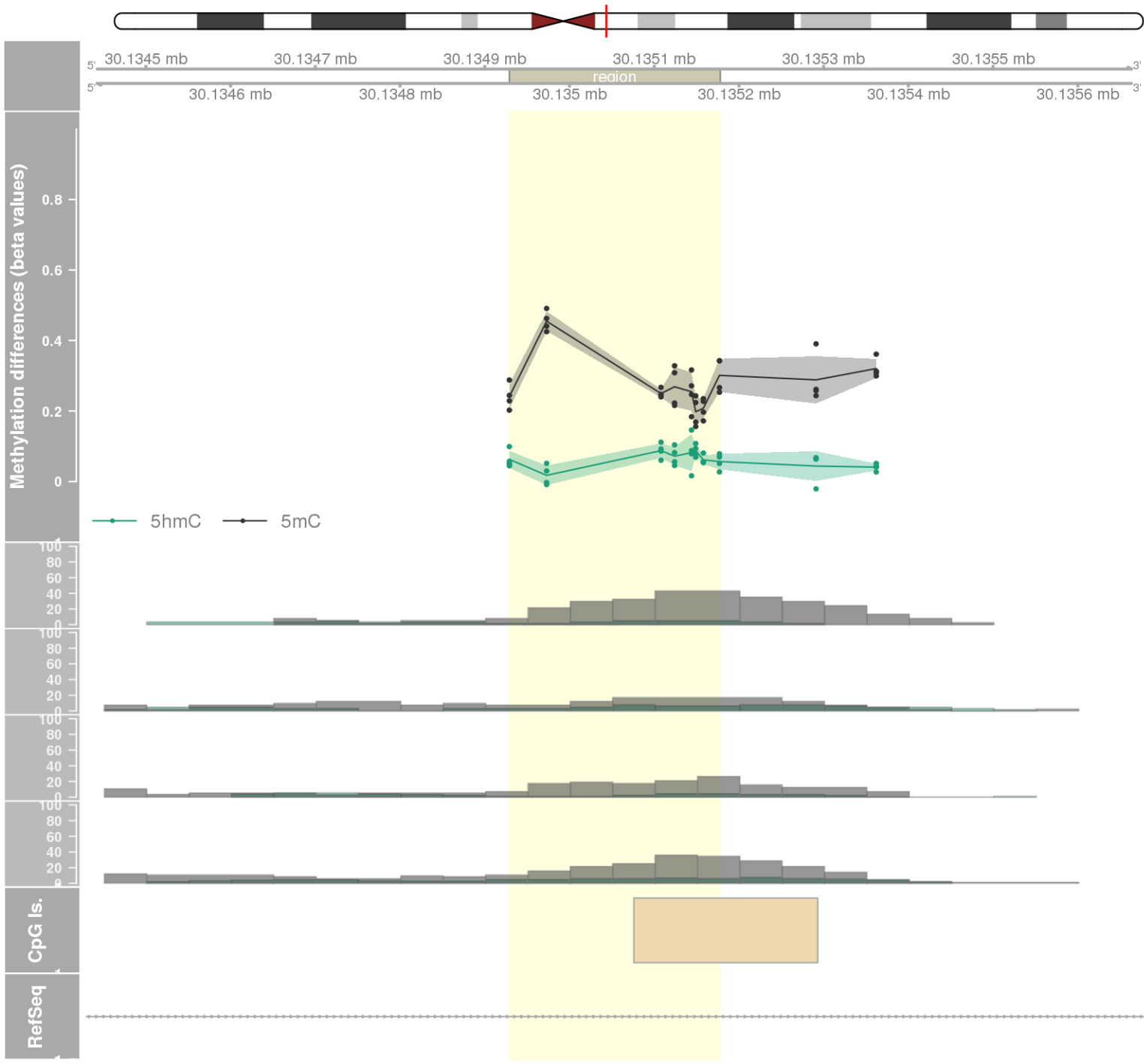
DMR 270 // chr1:95698827-95699313 // 486 pb. (6 probes) // pvalue: 0.012 // fwer: 1 // pvalueArea: 0.027 // fwerArea: 1
- genes: TMEM56-RWDD3 -



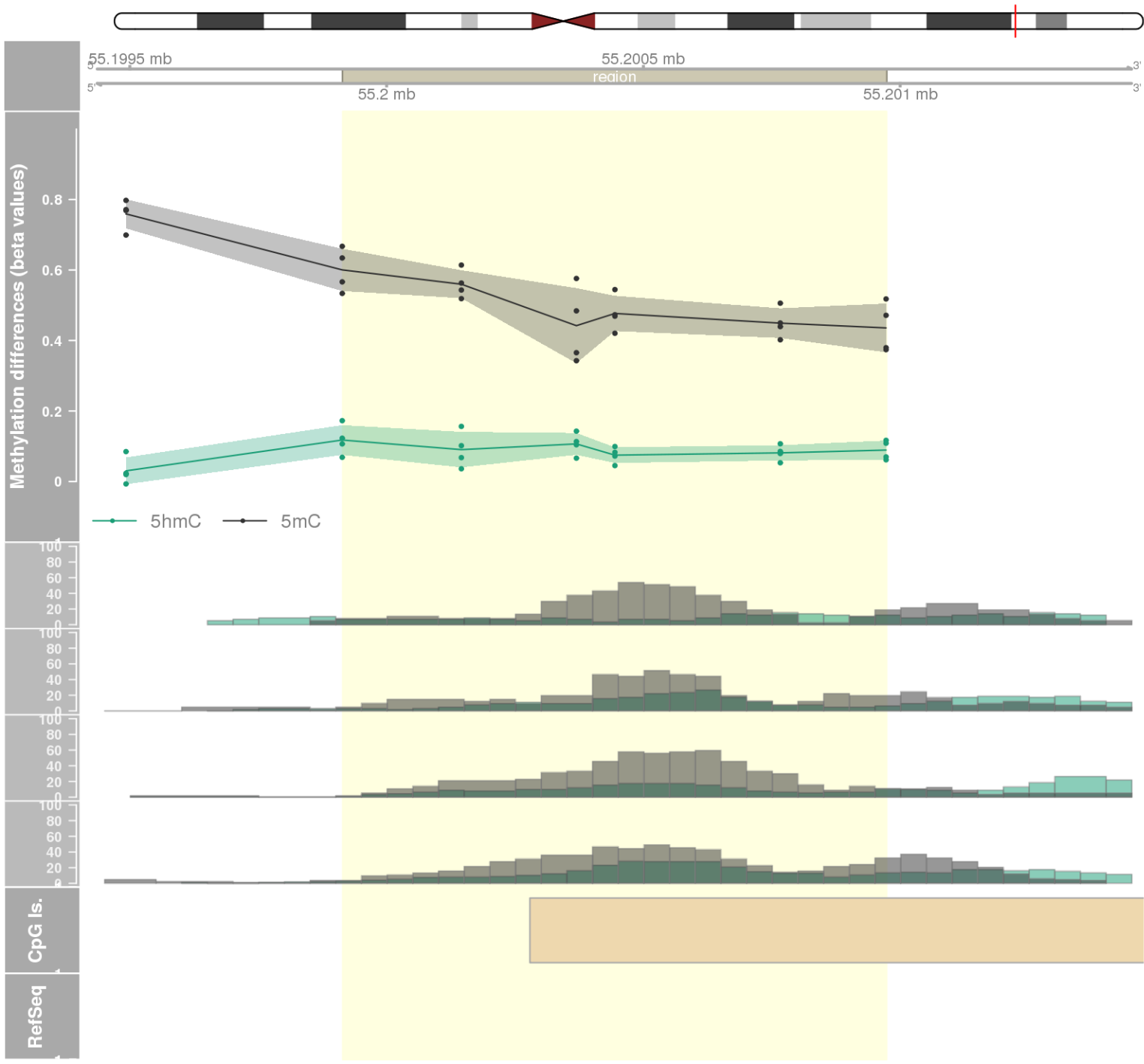
DMR 271 // chr16:30816719-30817443 // 724 pb. (7 probes) // pvalue: 0.013 // fwer: 1 // pvalueArea: 0.027 // fwerArea: 1



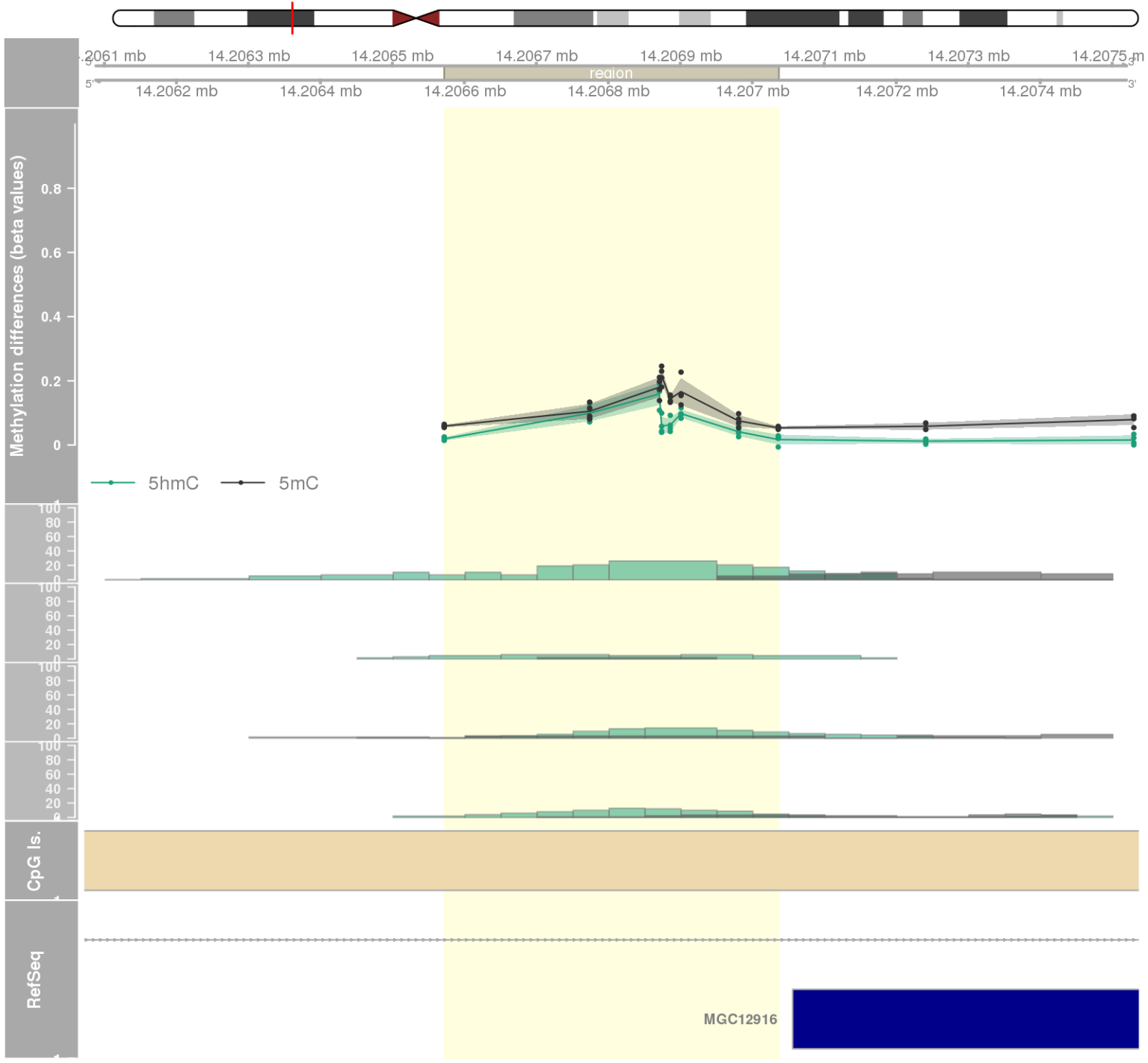
DMR 272 // chr20:30134929-30135177 // 248 pb. (8 probes) // pvalue: 0.01 // fwer: 1 // pvalueArea: 0.027 // fwerArea: 1
- genes: HM13 -



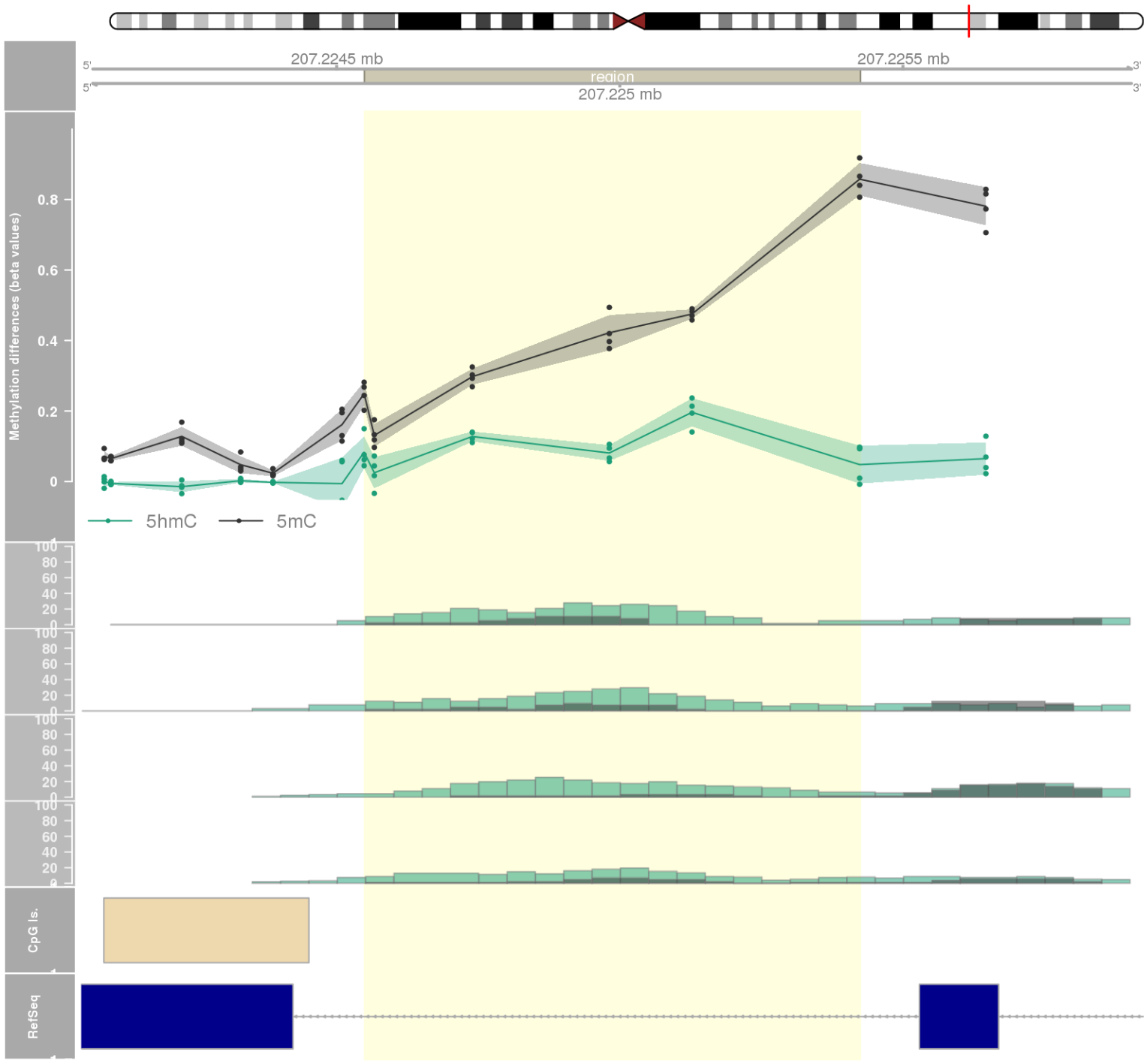
DMR 273 // chr20:55199914-55200973 // 1059 pb. (6 probes) // pvalue: 0.012 // fwer: 1 // pvalueArea: 0.027 // fwerArea: 1



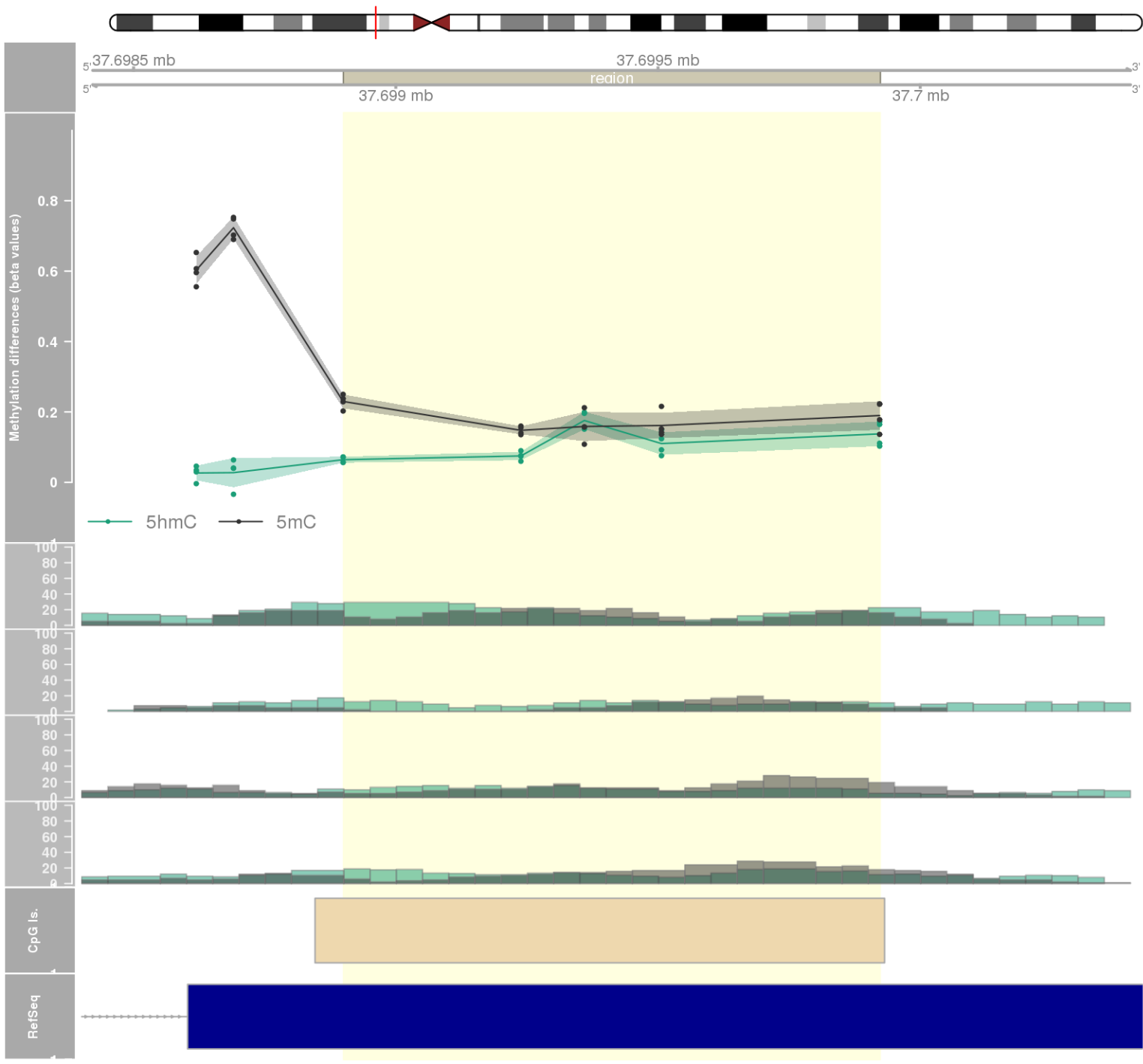
DMR 274 // chr17:14206572-14207036 // 464 pb. (8 probes) // pvalue: 0.01 // fwer: 1 // pvalueArea: 0.027 // fwerArea: 1
- genes: HS3ST3B1 -



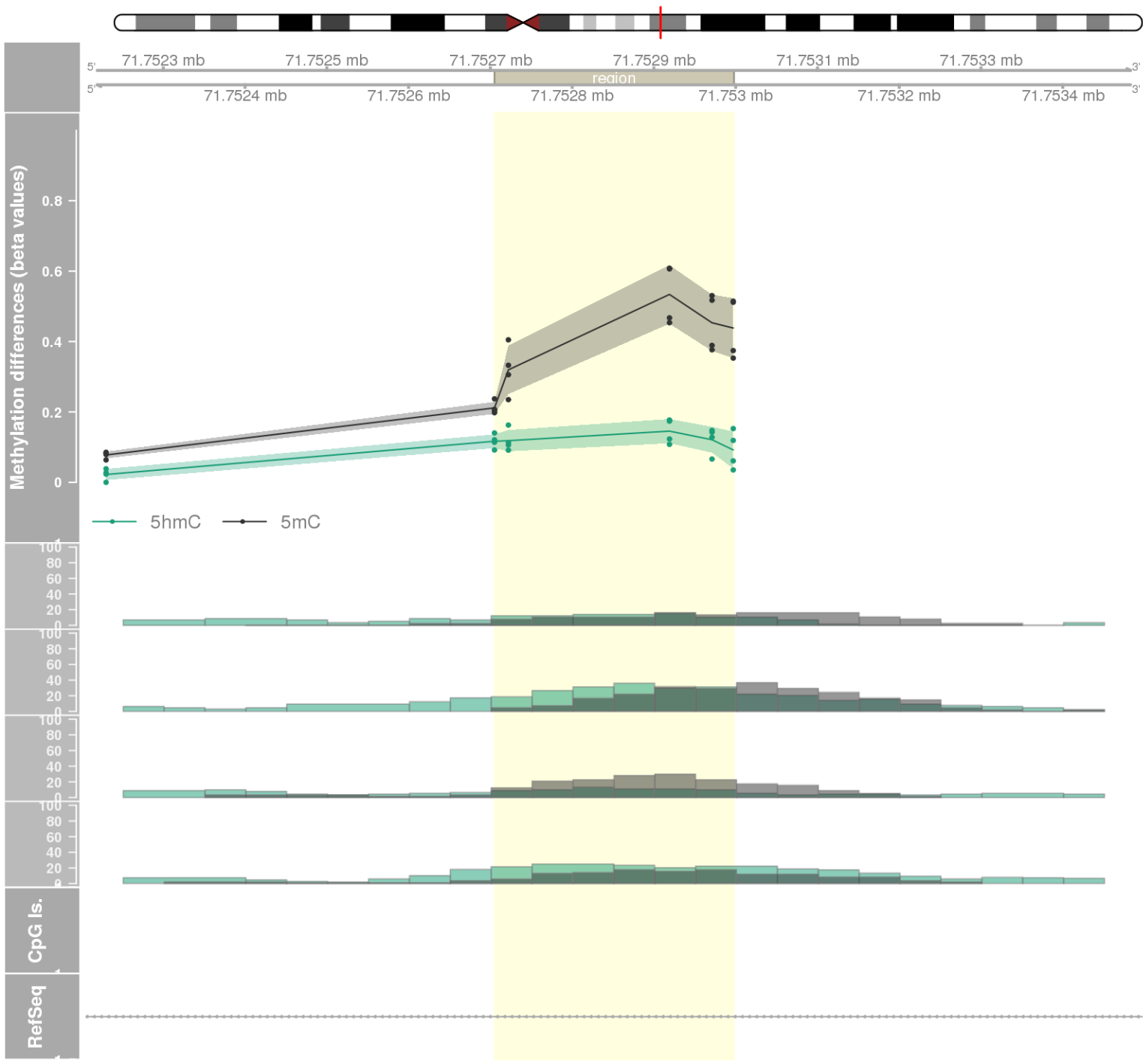
DMR 275 // chr1:207224549-207225424 // 875 pb. (6 probes) // pvalue: 0.012 // fwer: 1 // pvalueArea: 0.027 // fwerArea: 1
- genes: YOD1 / PFKFB2 -



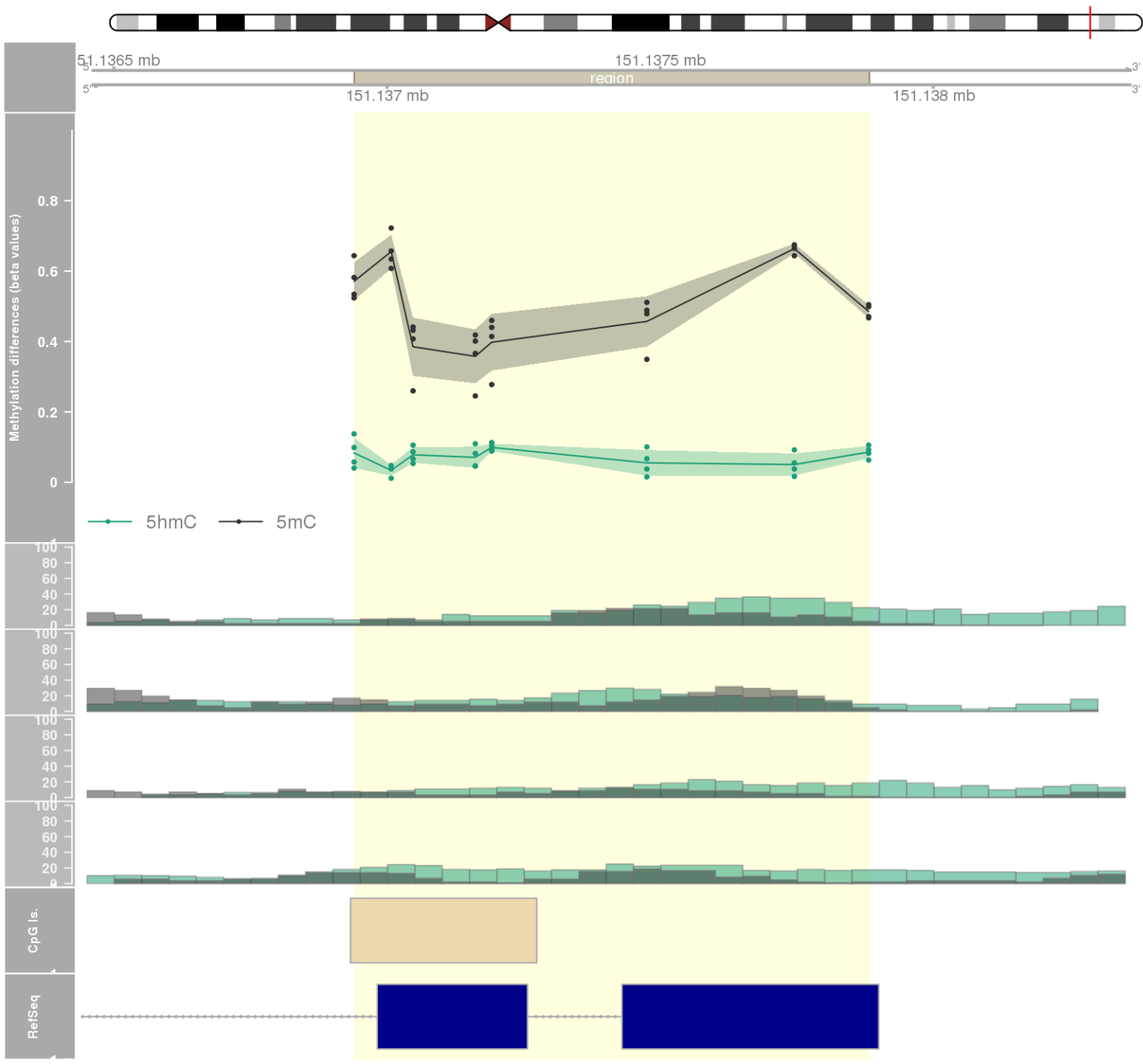
DMR 276 // chr8:37698900-37699923 // 1023 pb. (5 probes) // pvalue: 0.008 // fwer: 1 // pvalueArea: 0.027 // fwerArea: 1
- genes: GPR124 -



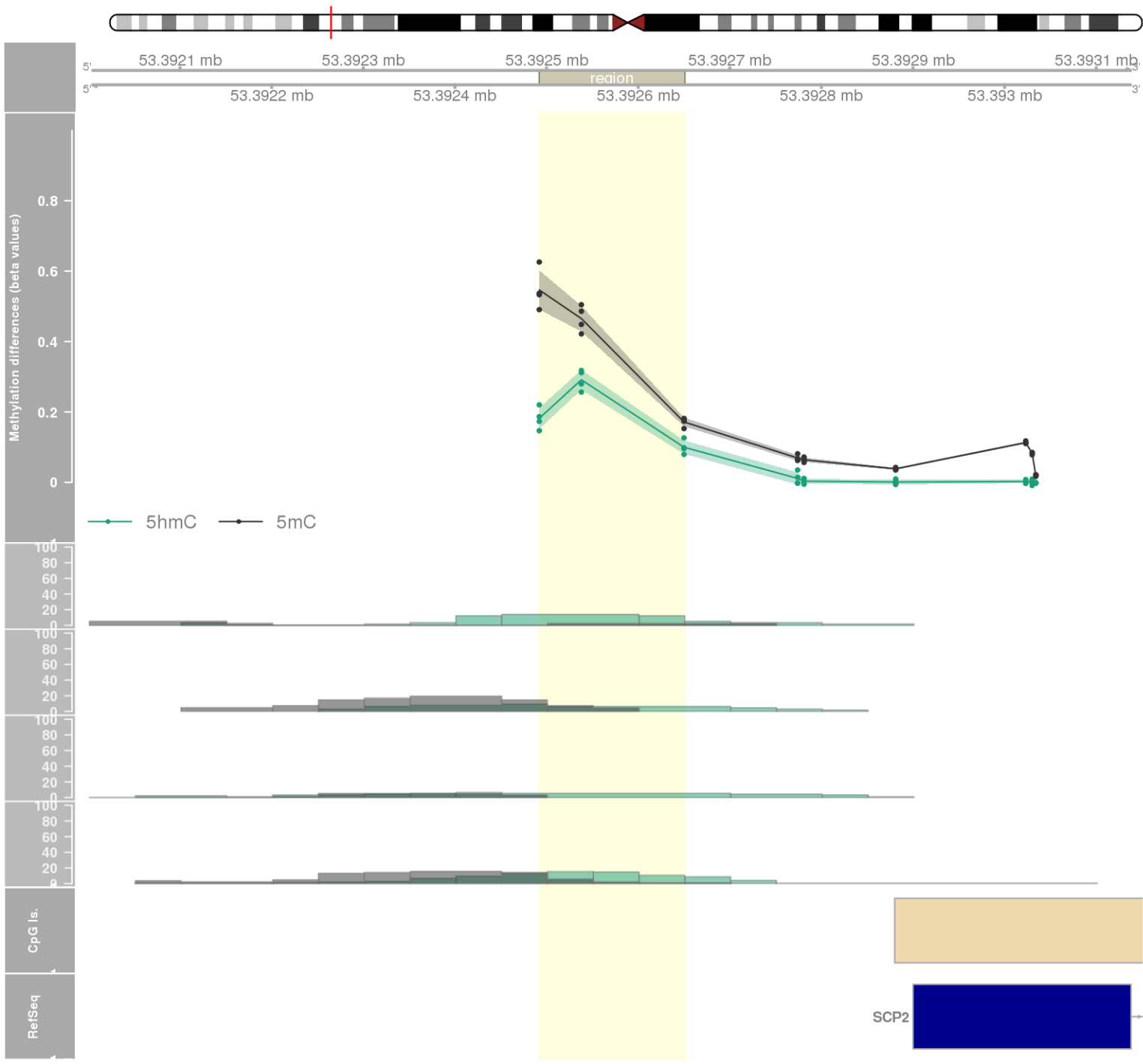
DMR 277 // chr11:71752705-71752997 // 292 pb. (5 probes) // pvalue: 0.008 // fwer: 1 // pvalueArea: 0.027 // fwerArea: 1
- genes: NUMA1 -



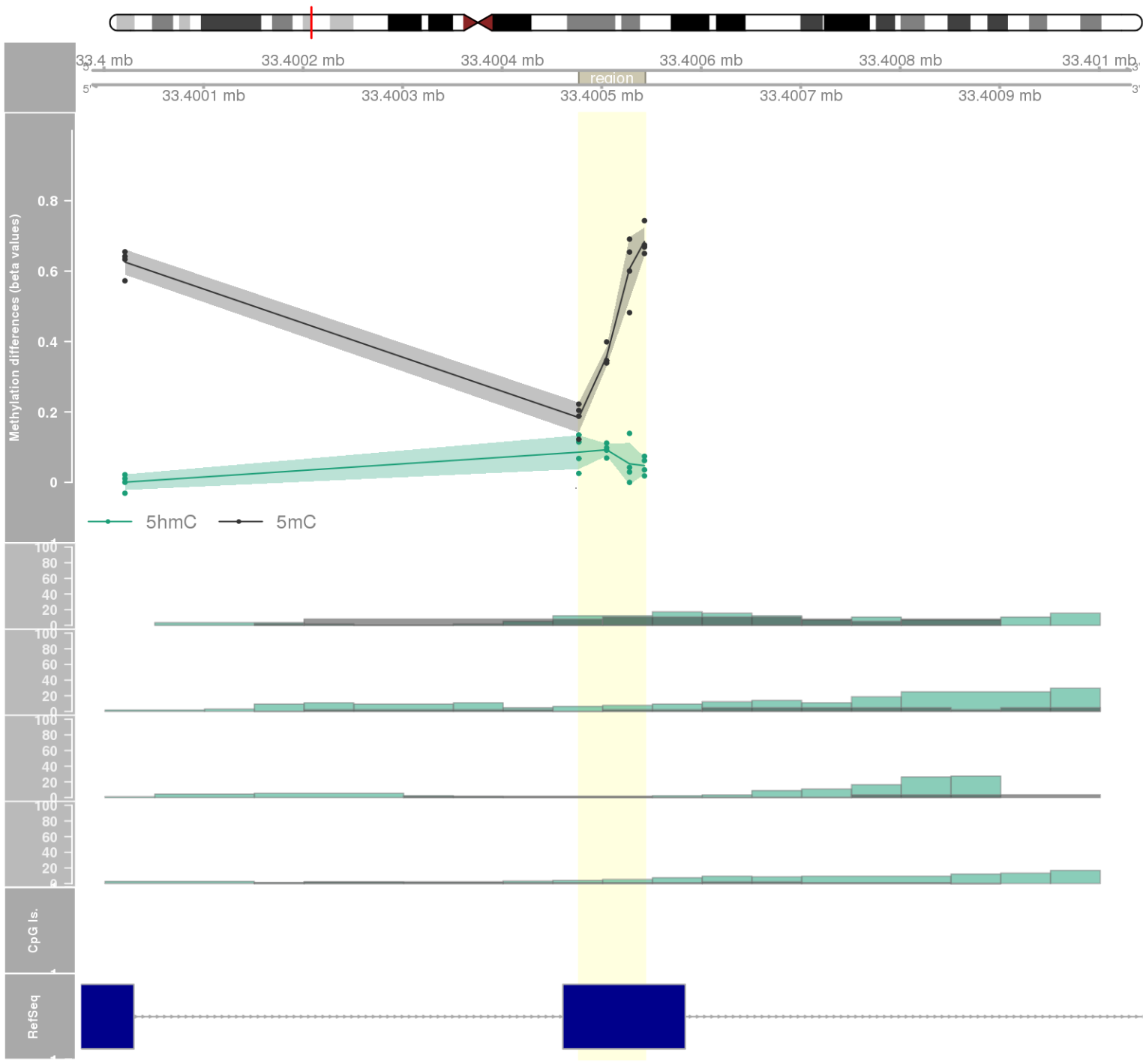
DMR 278 // chr7:151136940-151137882 // 942 pb. (8 probes) // pvalue: 0.01 // fwer: 1 // pvalueArea: 0.028 // fwerArea: 1
- genes: CRYGN -



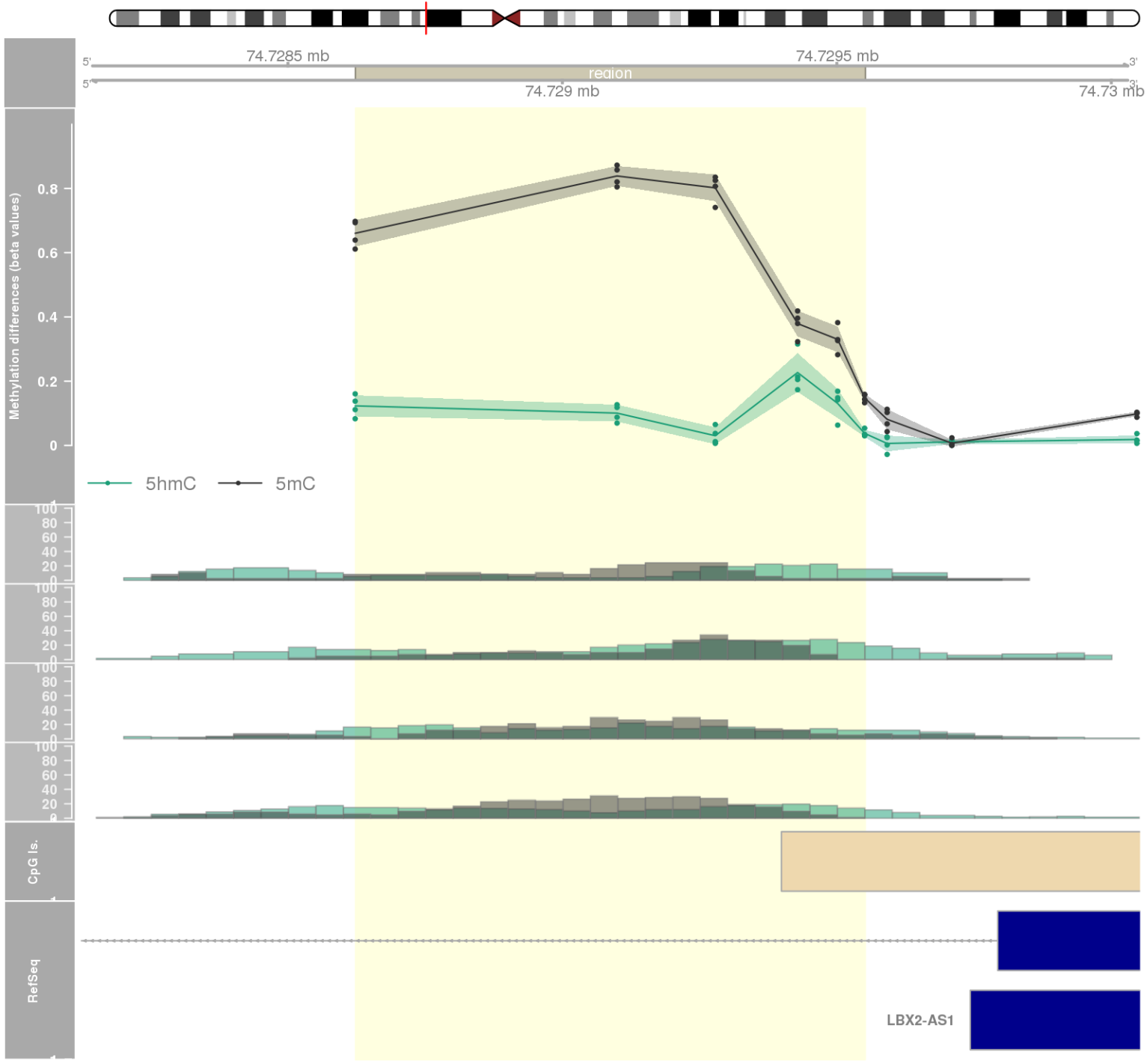
DMR 279 // chr1:53392492-53392650 // 158 pb. (3 probes) // pvalue: 0.002 // fwer: 0.807 // pvalueArea: 0.028 // fwerArea: 1
- genes: ECHDC2 -

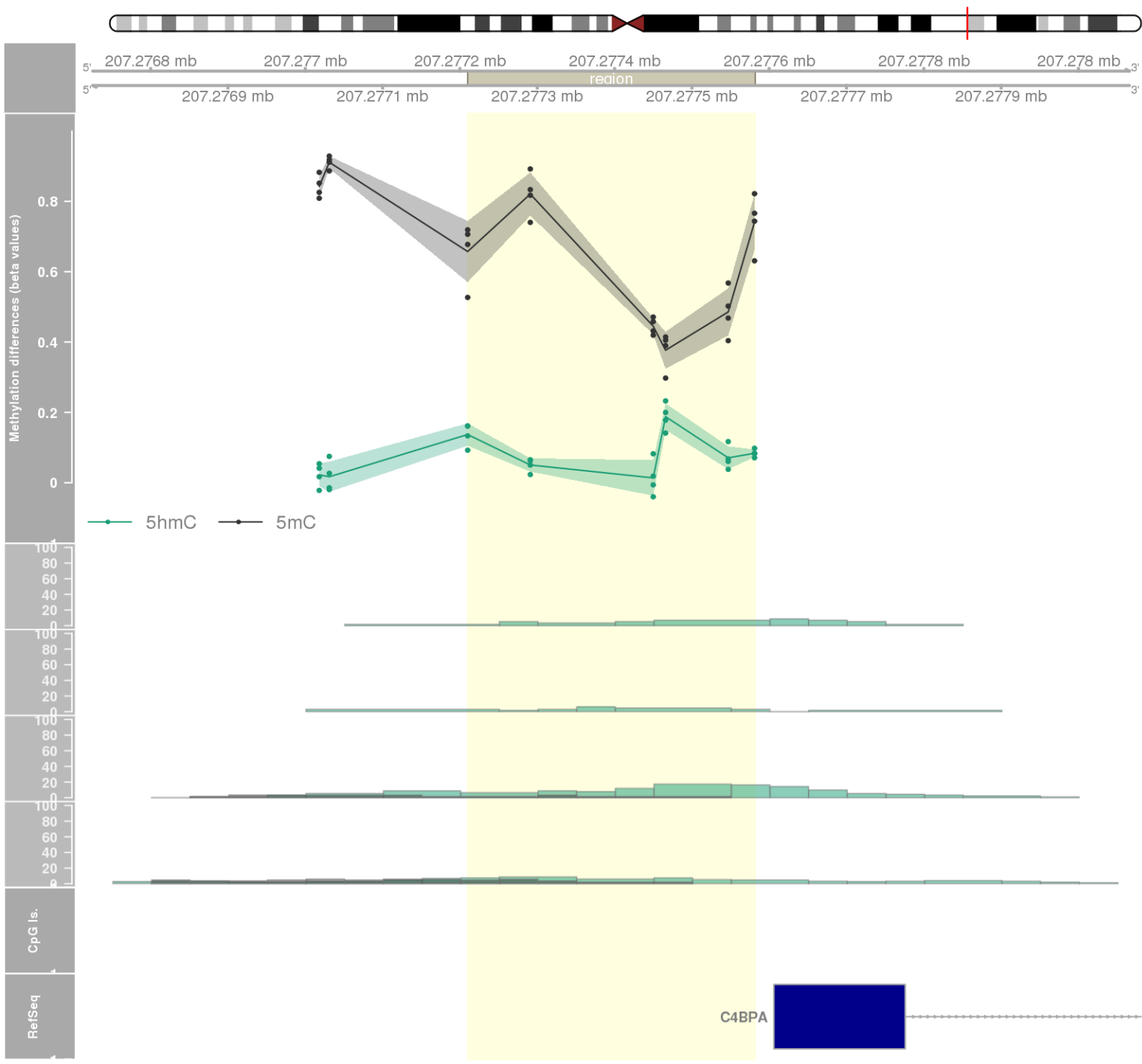


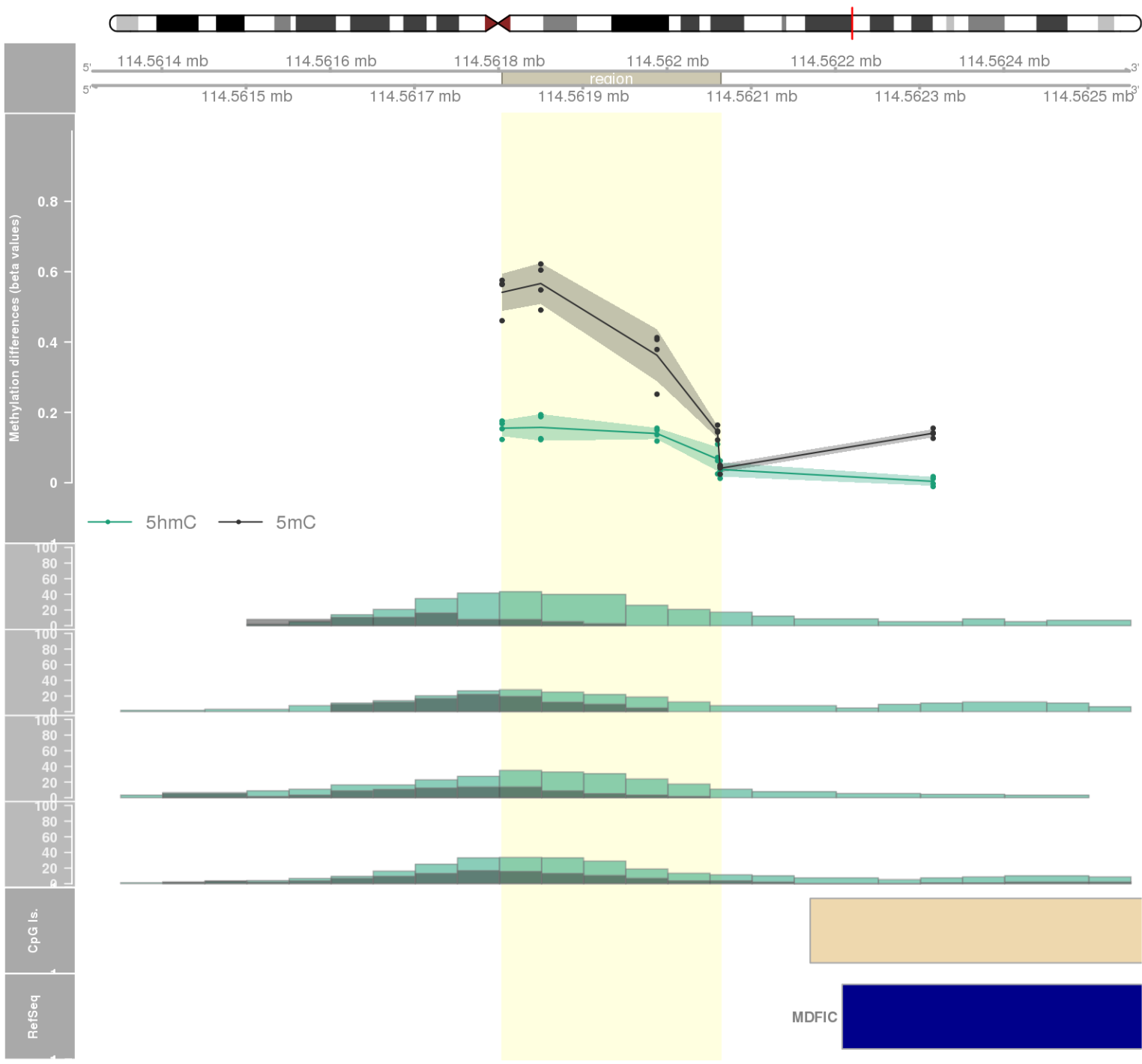
DMR 280 // chr6:33400477-33400543 // 66 pb. (4 probes) // pvalue: 0.003 // fwer: 1 // pvalueArea: 0.028 // fwerArea: 1
- genes: SYNGAP1 -



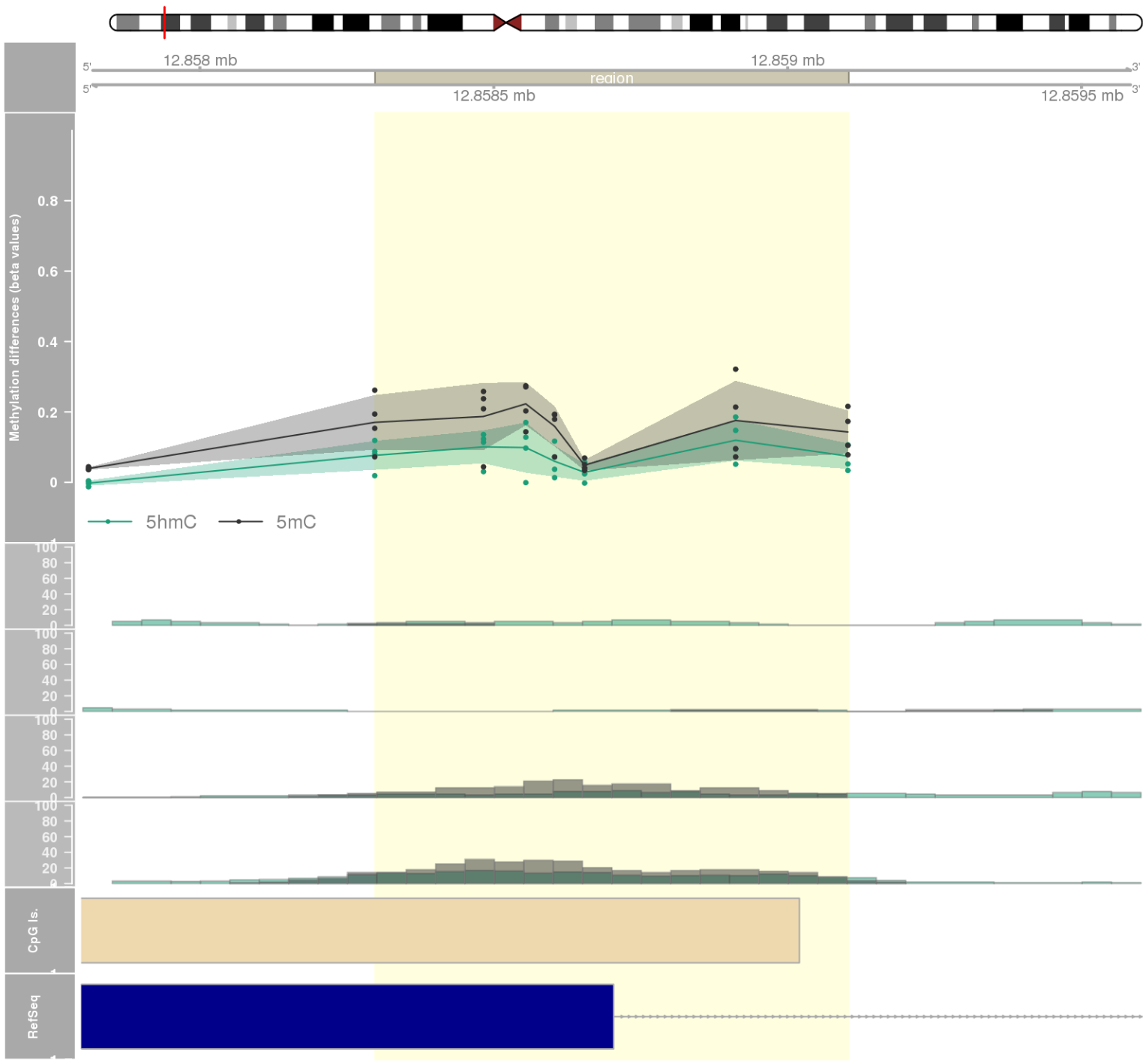
DMR 281 // chr2:74728623-74729551 // 928 pb. (6 probes) // pvalue: 0.012 // fwer: 1 // pvalueArea: 0.028 // fwerArea: 1
- genes: LBX2 -



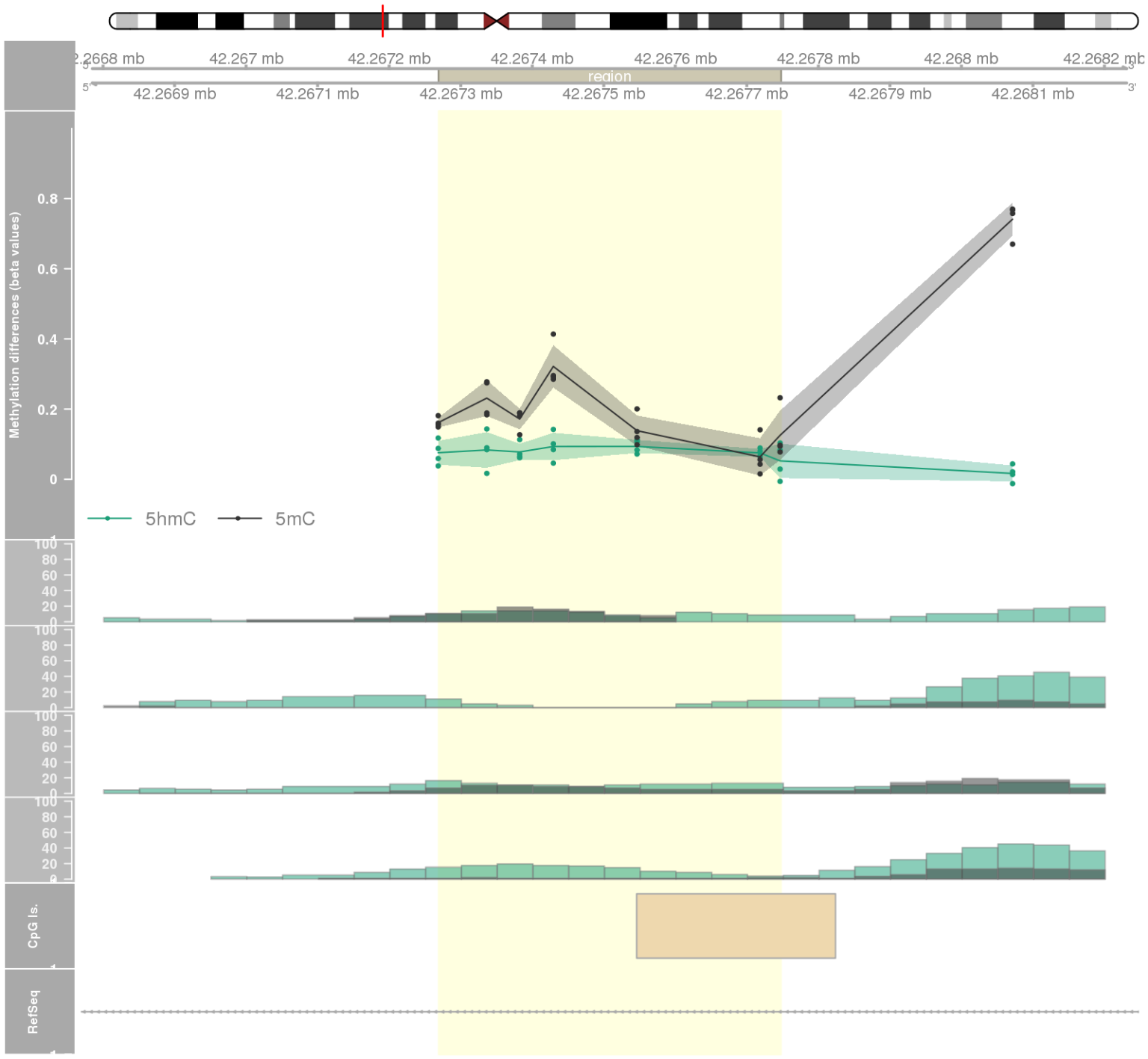




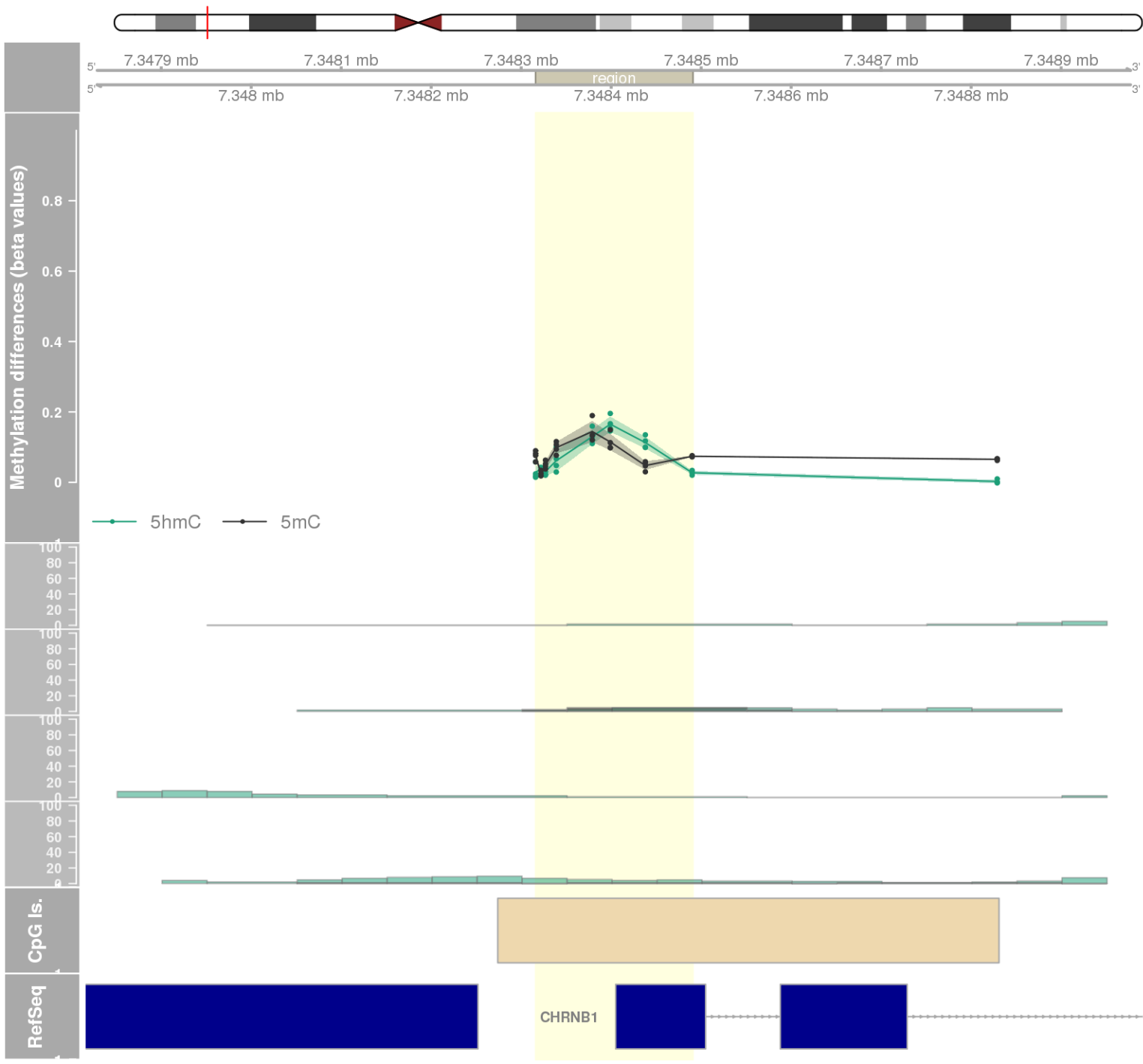
DMR 284 // chr2:12858298-12859103 // 805 pb. (7 probes) // pvalue: 0.013 // fwer: 1 // pvalueArea: 0.028 // fwerArea: 1
- genes: TRIB2 -



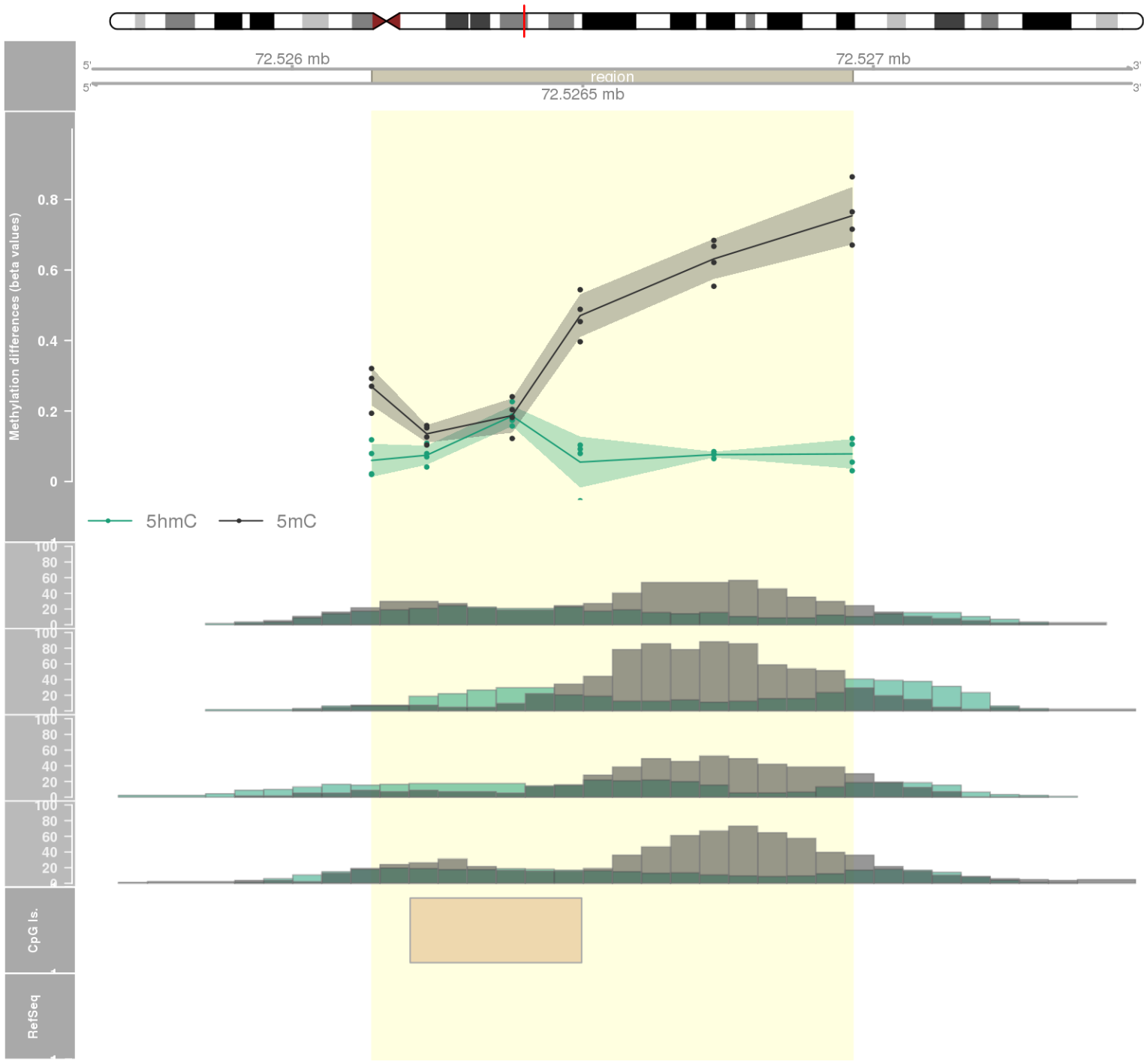
DMR 285 // chr7:42267269-42267747 // 478 pb. (7 probes) // pvalue: 0.013 // fwer: 1 // pvalueArea: 0.028 // fwerArea: 1
- genes: GLI3 -

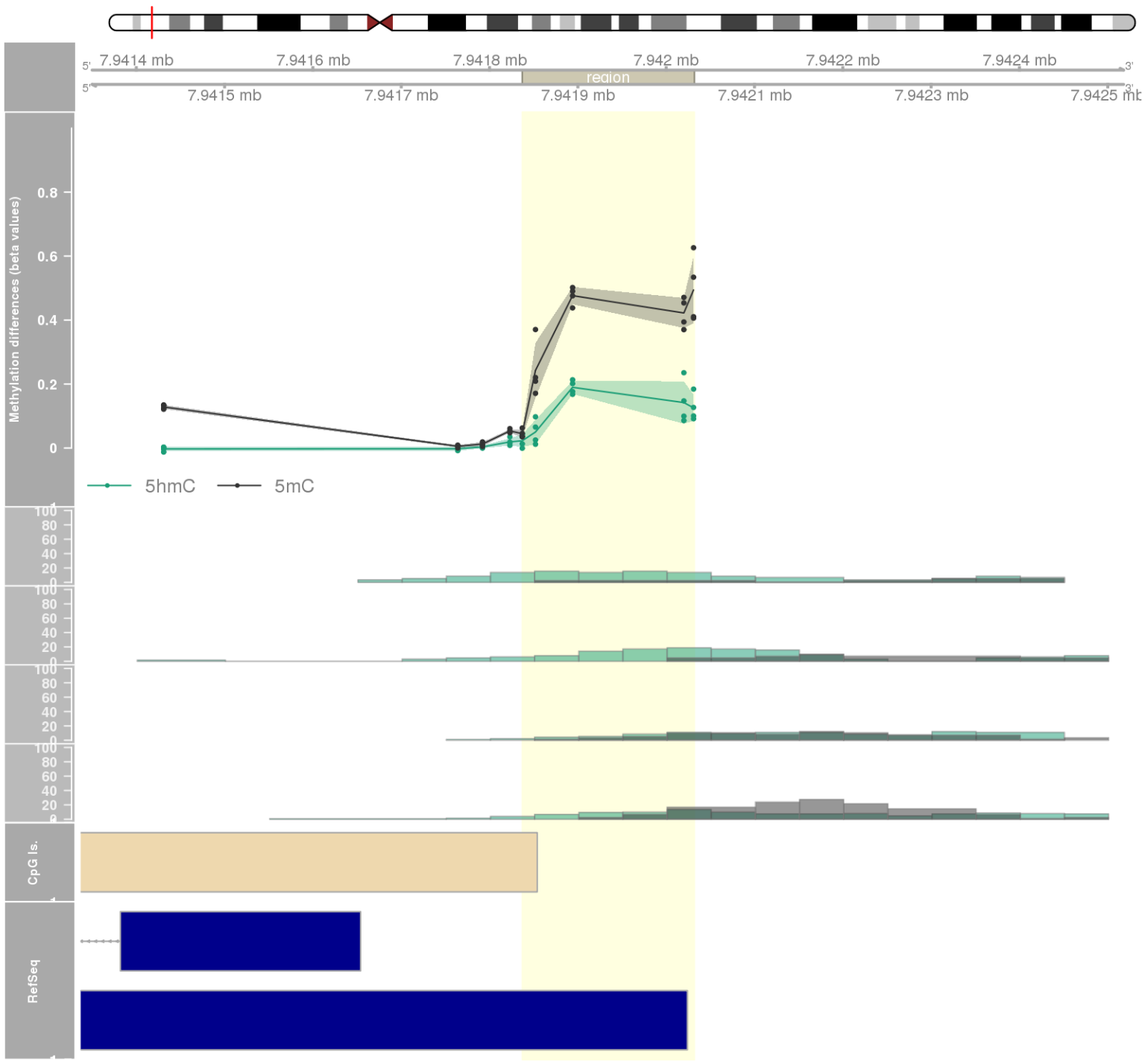


DMR 286 // chr17:7348316-7348490 // 174 pb. (8 probes) // pvalue: 0.011 // fwer: 1 // pvalueArea: 0.028 // fwerArea: 1
- genes: CHRNB1 -

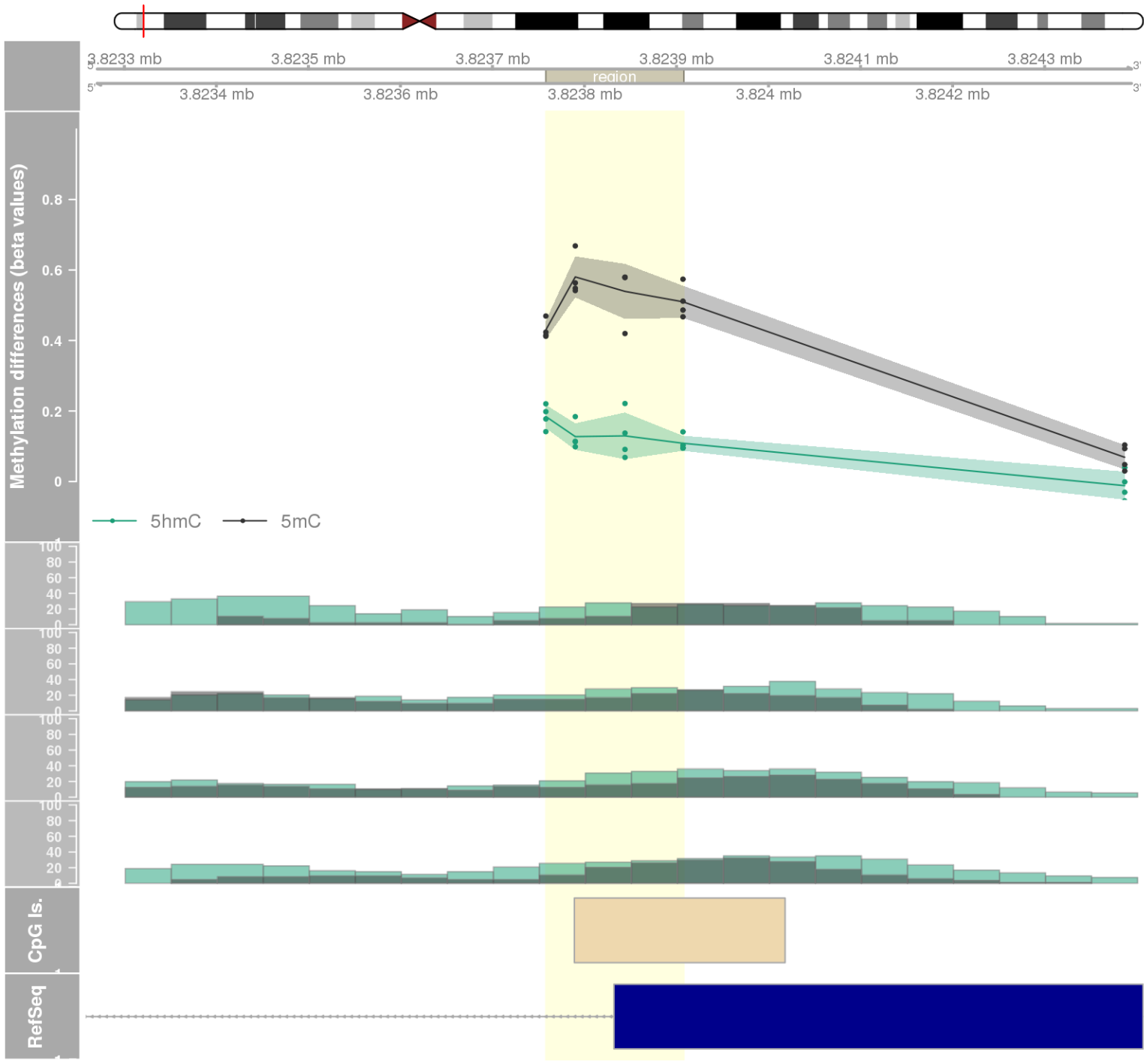


DMR 287 // chr5:72526137-72526964 // 827 pb. (6 probes) // pvalue: 0.013 // fwer: 1 // pvalueArea: 0.028 // fwerArea: 1

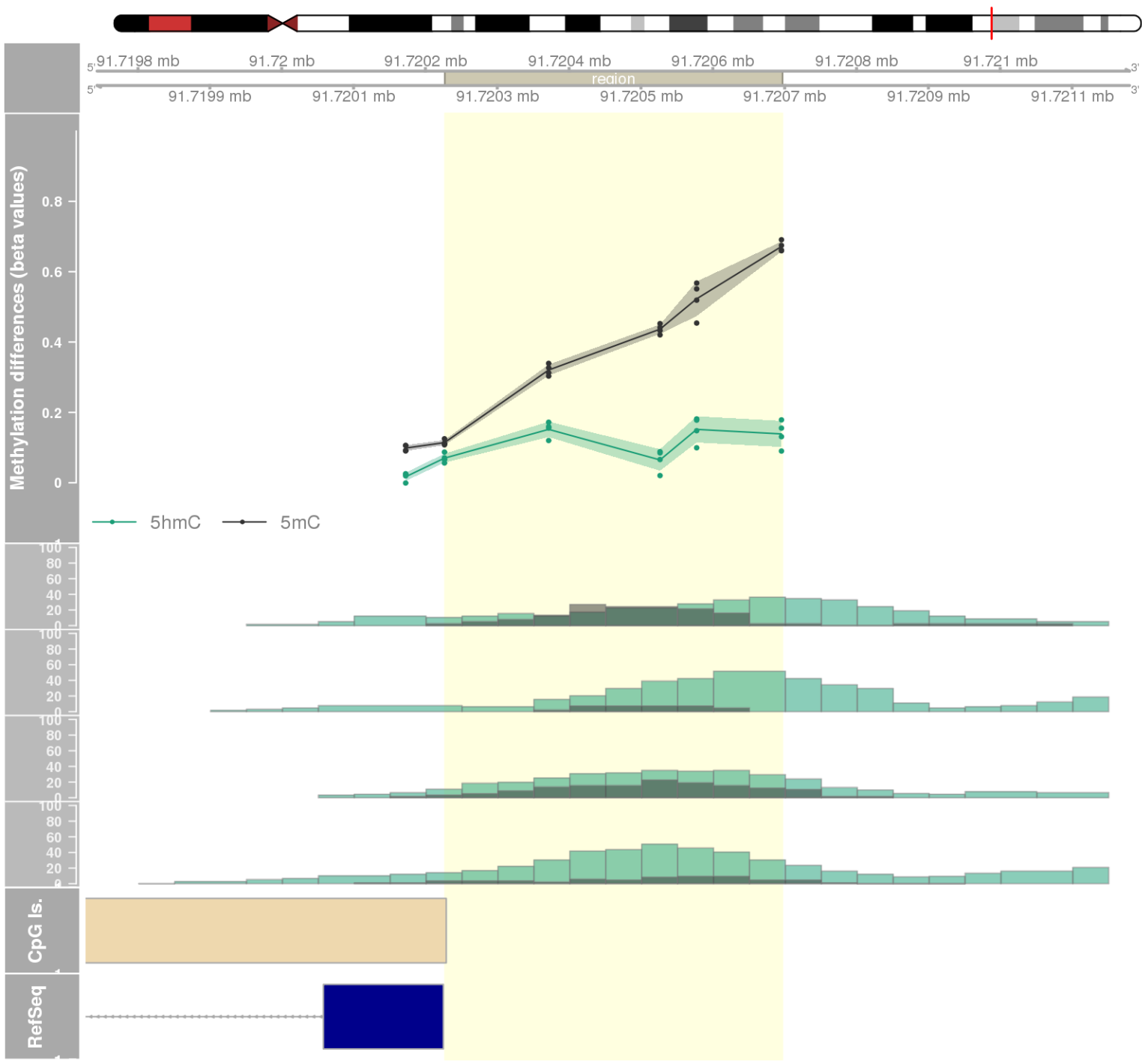




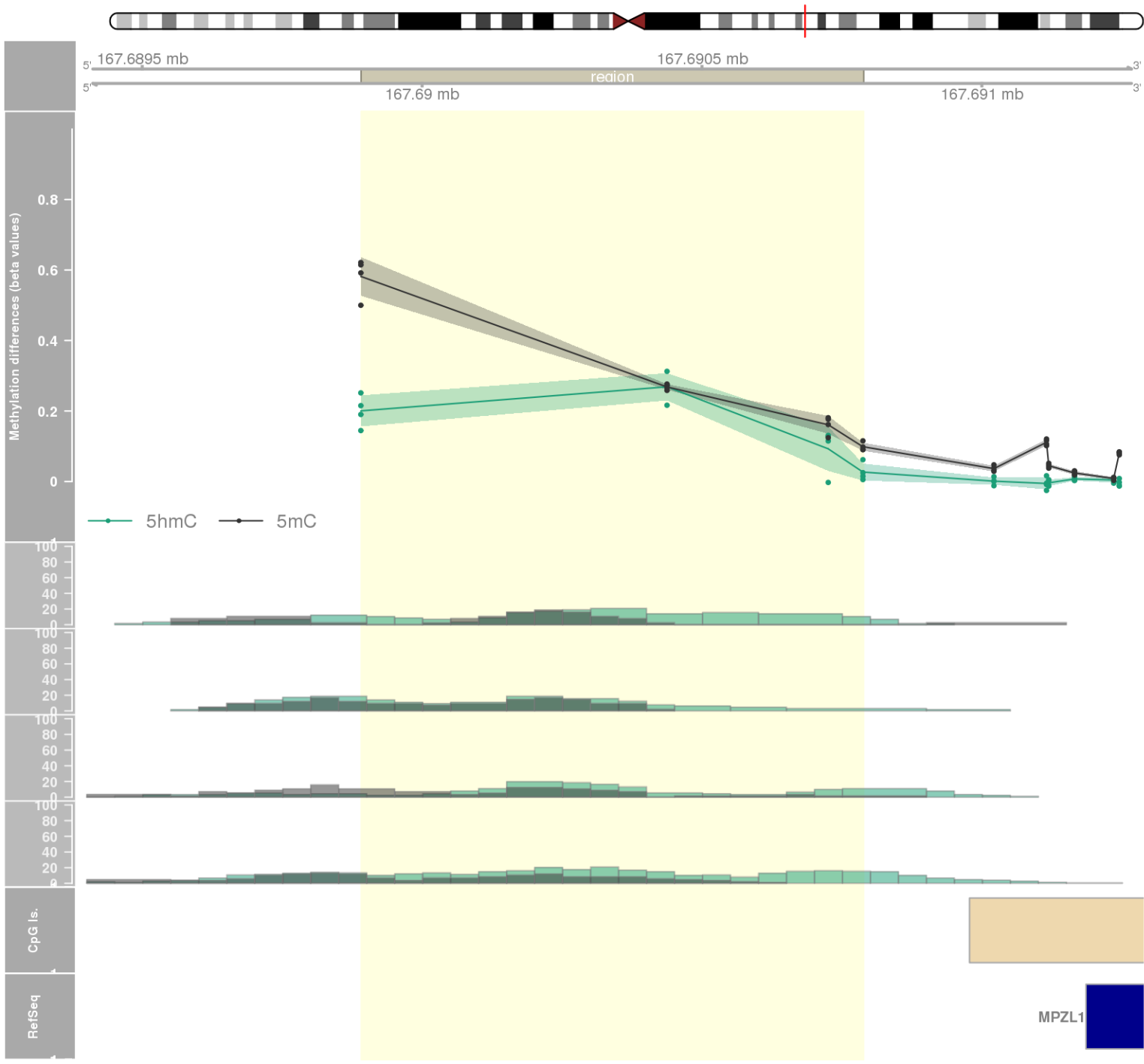
DMR 289 // chr10:3823758-3823907 // 149 pb. (4 probes) // pvalue: 0.004 // fwer: 1 // pvalueArea: 0.028 // fwerArea: 1
- genes: KLF6 -



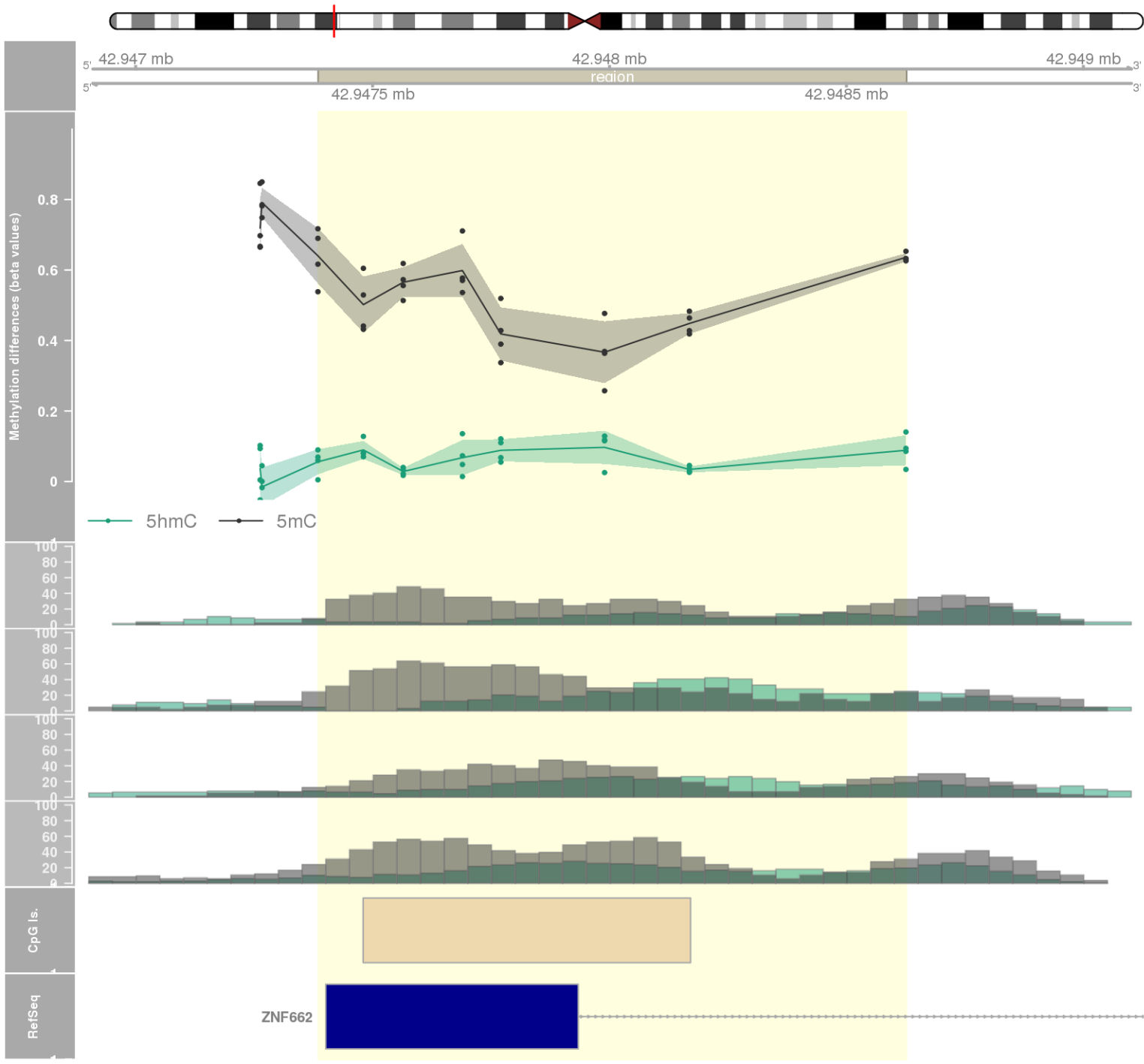
DMR 290 // chr14:91720227-91720696 // 469 pb. (5 probes) // pvalue: 0.009 // fwer: 1 // pvalueArea: 0.028 // fwerArea: 1
- genes: GPR68 -



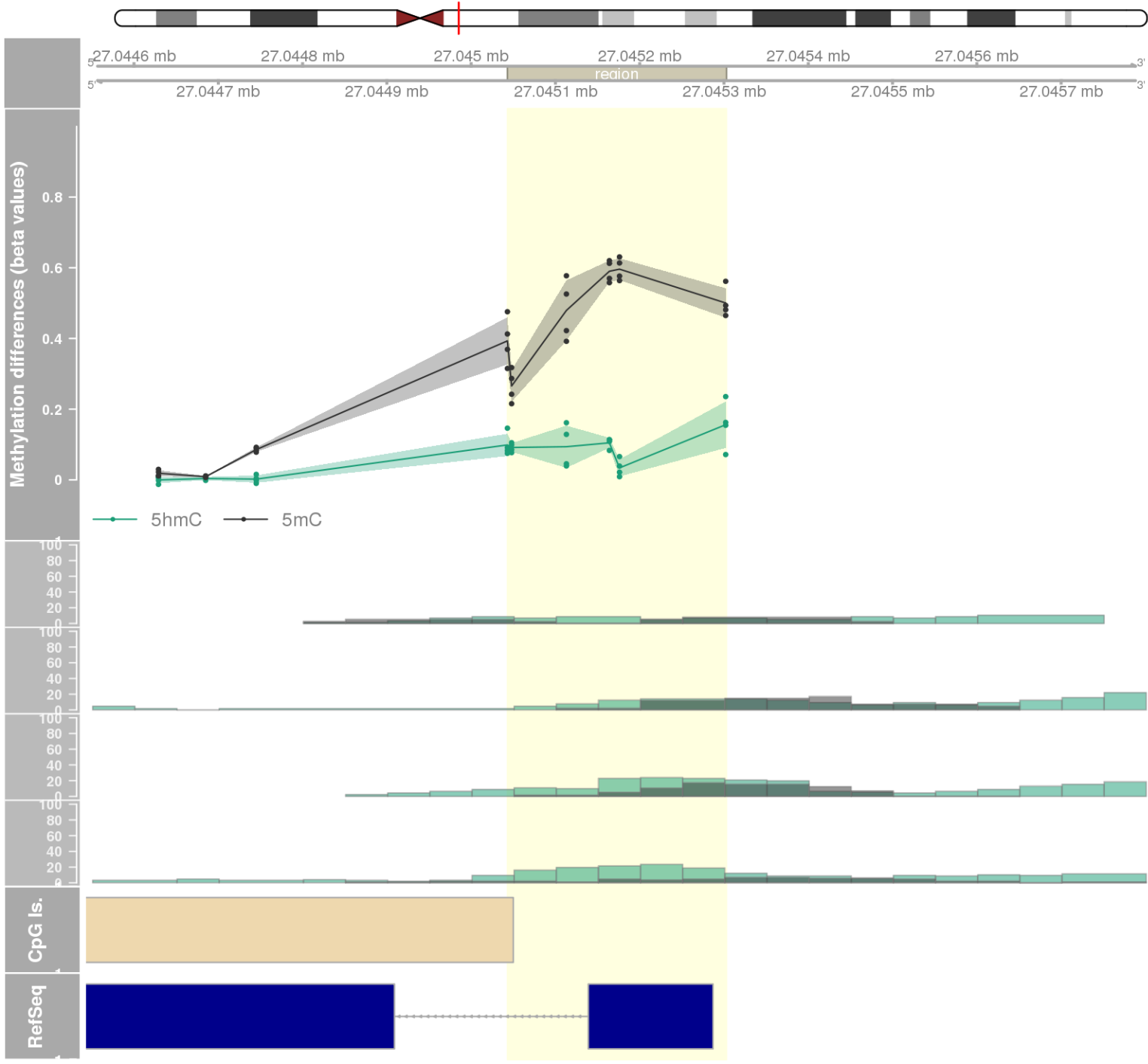
DMR 291 // chr1:167689891-167690788 // 897 pb. (4 probes) // pvalue: 0.004 // fwer: 1 // pvalueArea: 0.029 // fwerArea: 1
- genes: MPZL1 -



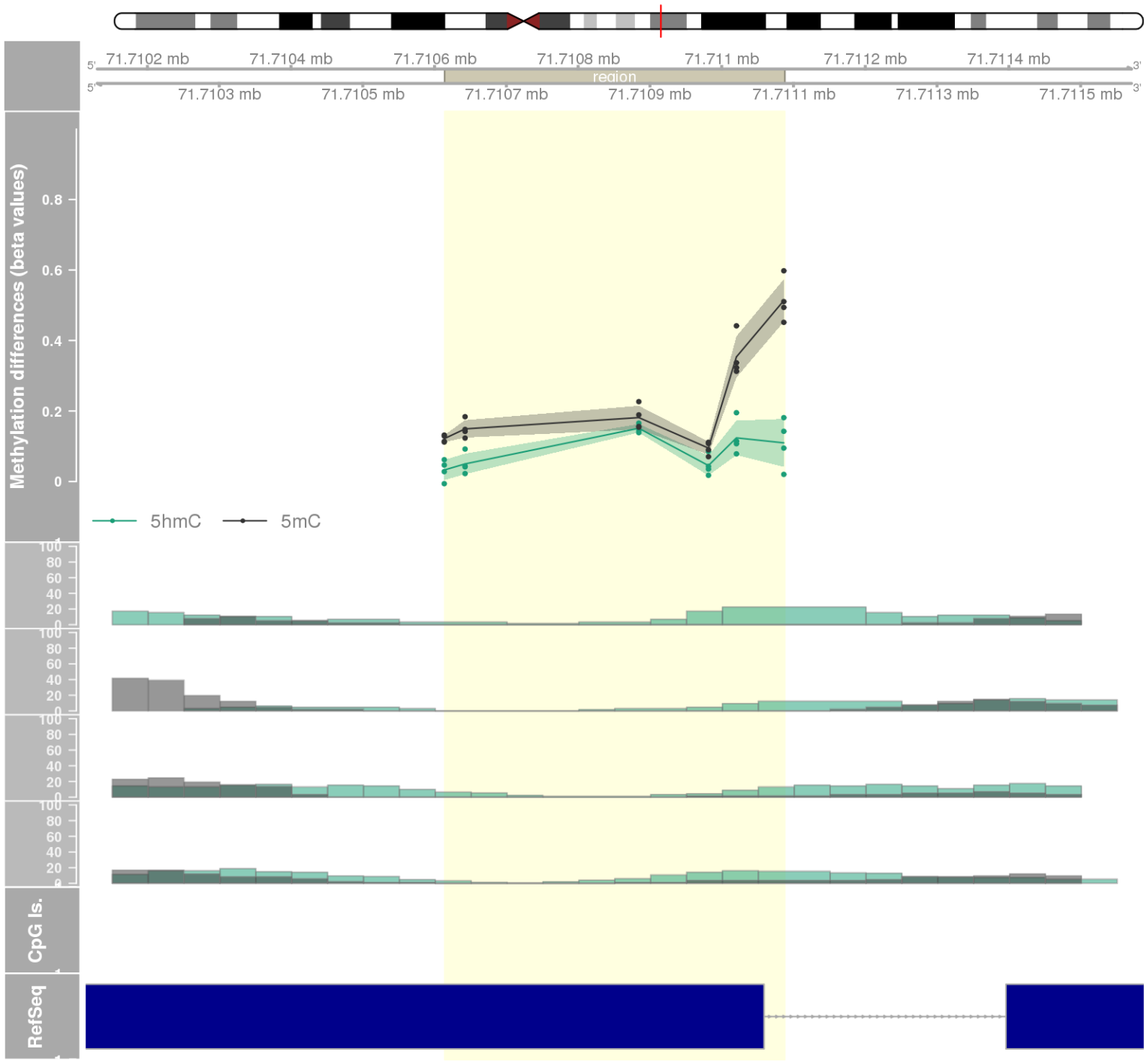
DMR 292 // chr3:42947385-42948626 // 1241 pb. (8 probes) // pvalue: 0.011 // fwer: 1 // pvalueArea: 0.029 // fwerArea: 1
- genes: KRBOX1 / ZNF662 -

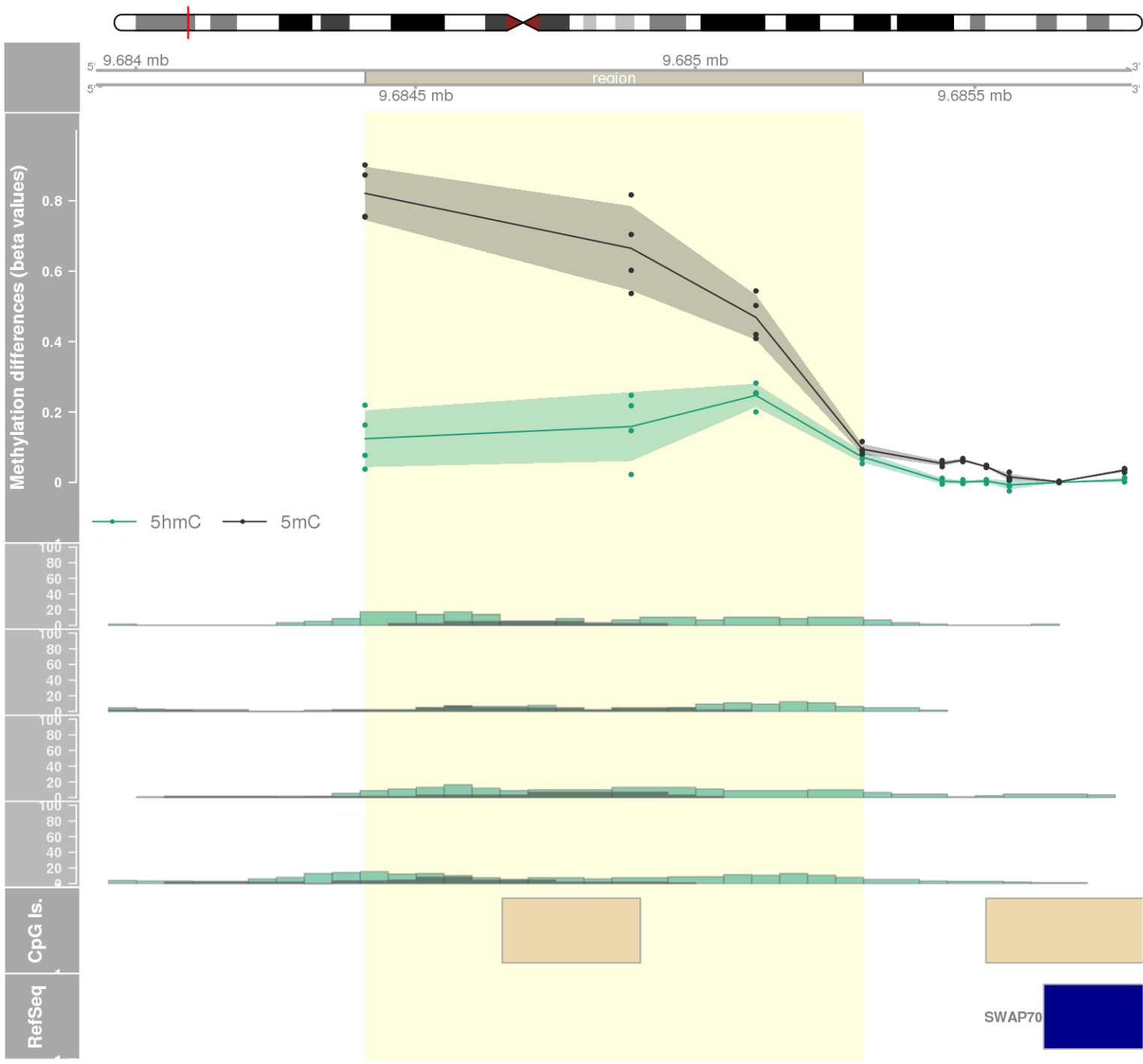


DMR 293 // chr17:27045043-27045302 // 259 pb. (6 probes) // pvalue: 0.013 // fwer: 1 // pvalueArea: 0.029 // fwerArea: 1
- genes: RAB34 -

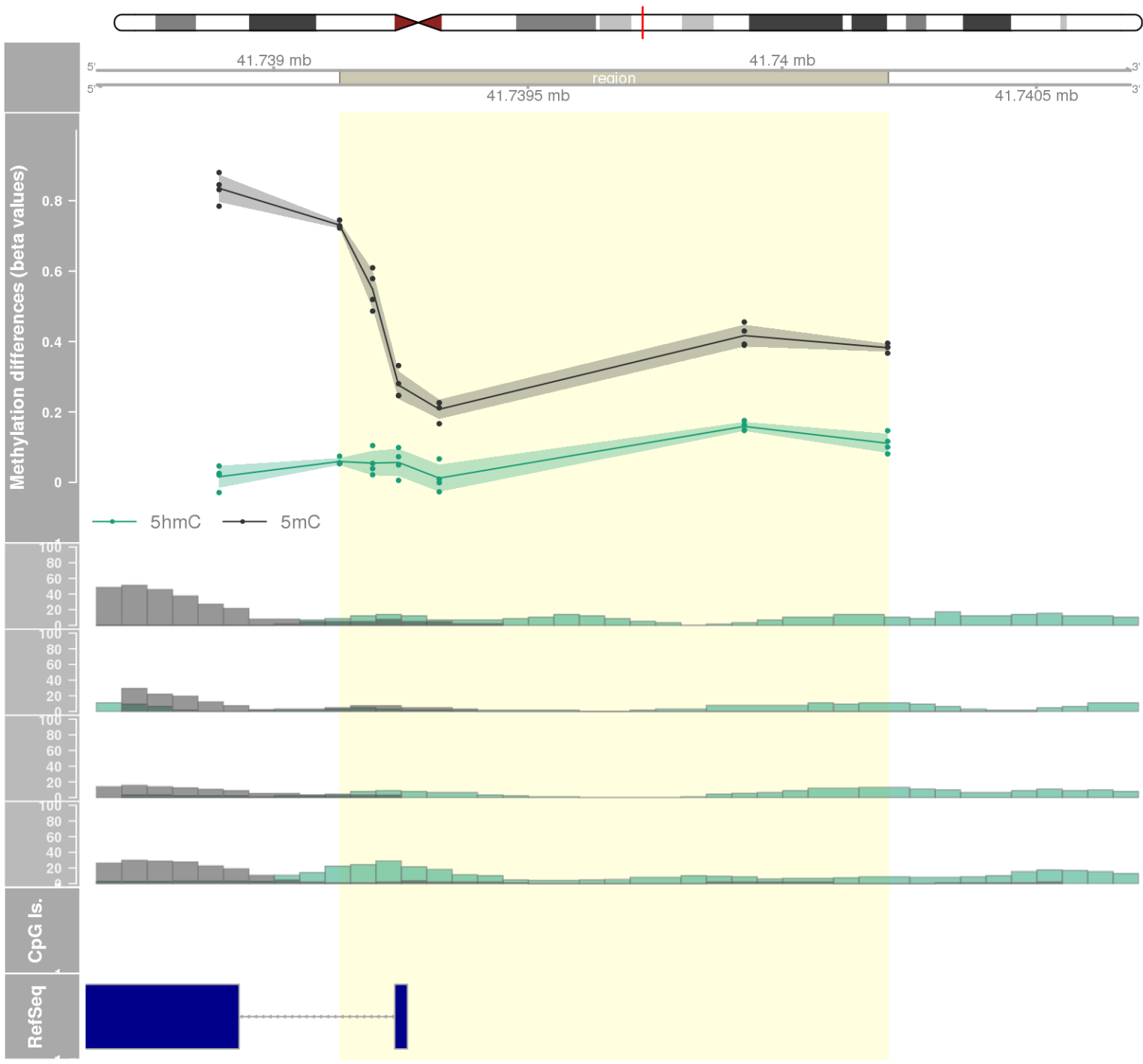


DMR 294 // chr11:71710614-71711087 // 473 pb. (6 probes) // pvalue: 0.013 // fwer: 1 // pvalueArea: 0.029 // fwerArea: 1
- genes: IL18BP -

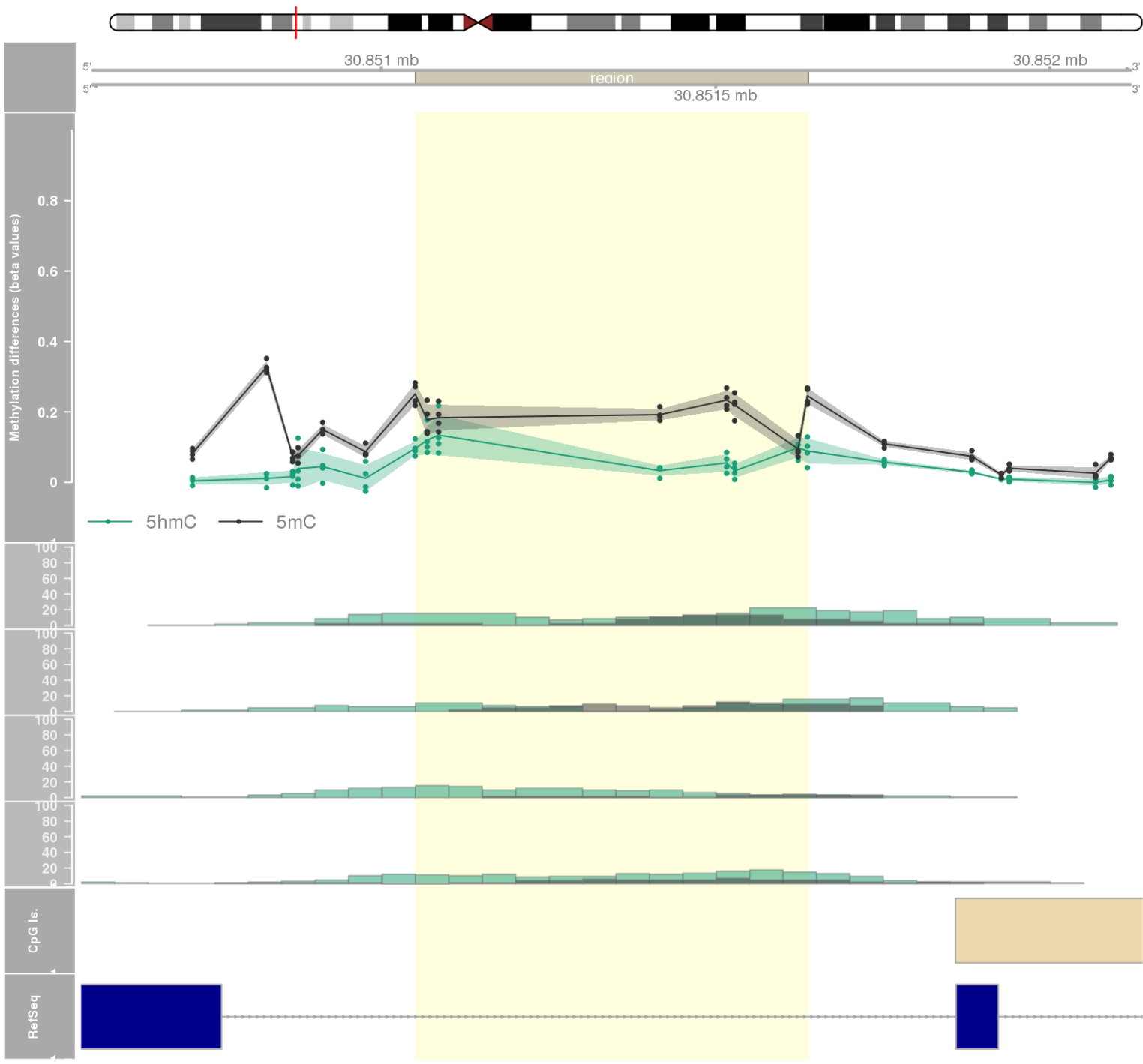




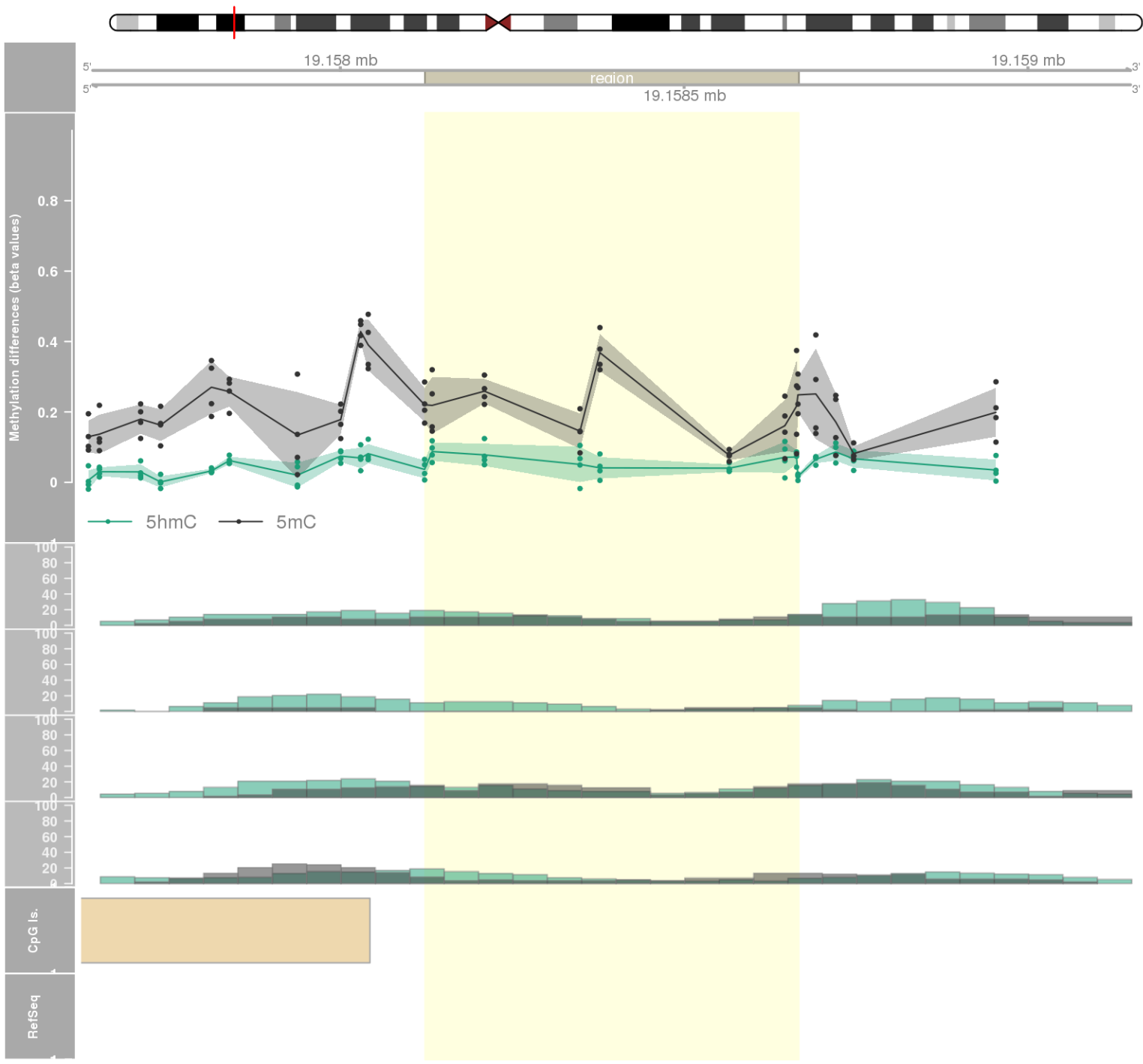
DMR 296 // chr17:41739130-41740208 // 1078 pb. (6 probes) // pvalue: 0.013 // fwer: 1 // pvalueArea: 0.029 // fwerArea: 1
- genes: MEOX1 -



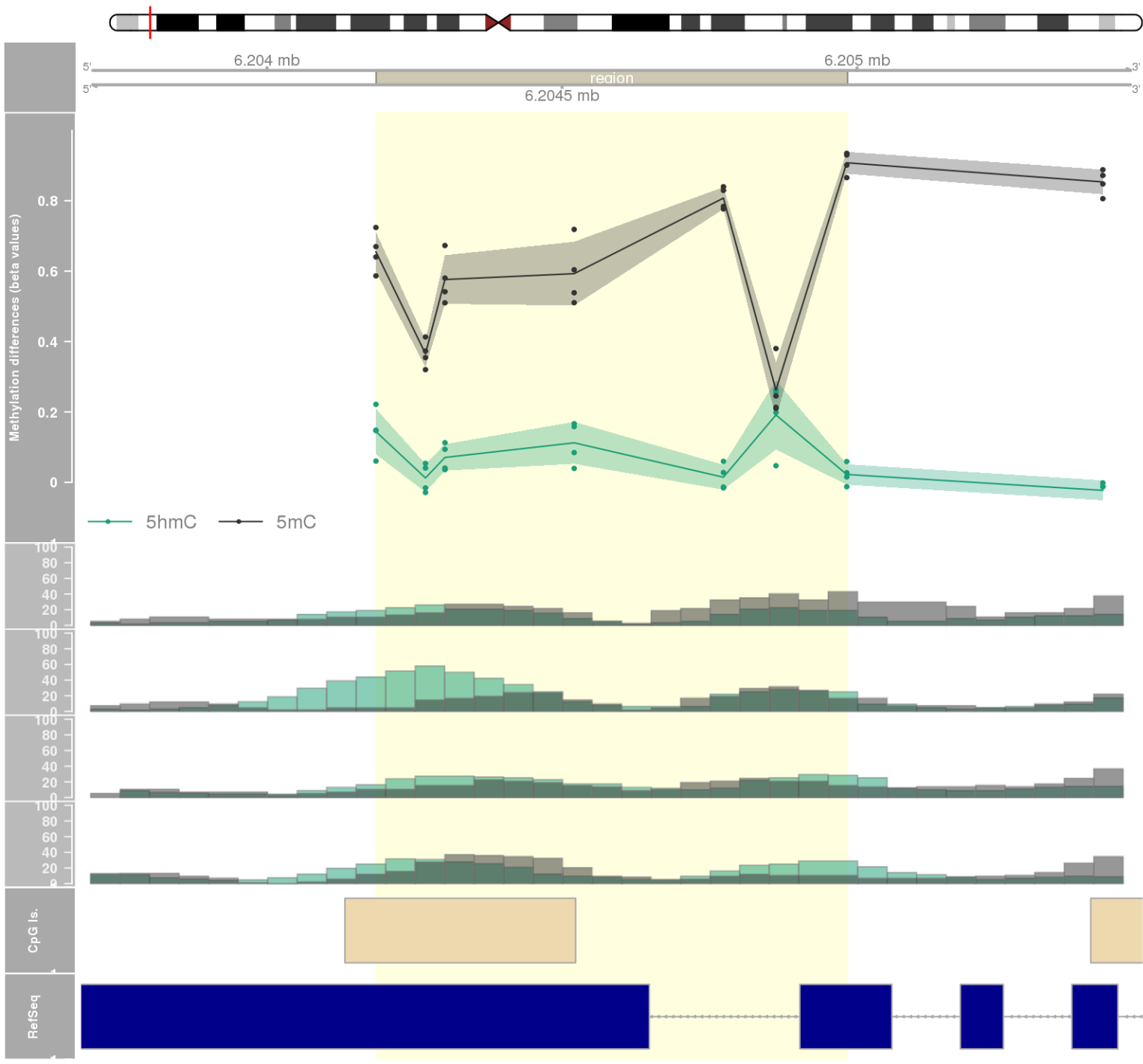
DMR 297 // chr6:30851051-30851638 // 587 pb. (8 probes) // pvalue: 0.011 // fwer: 1 // pvalueArea: 0.029 // fwerArea: 1
- genes: DDR1 -



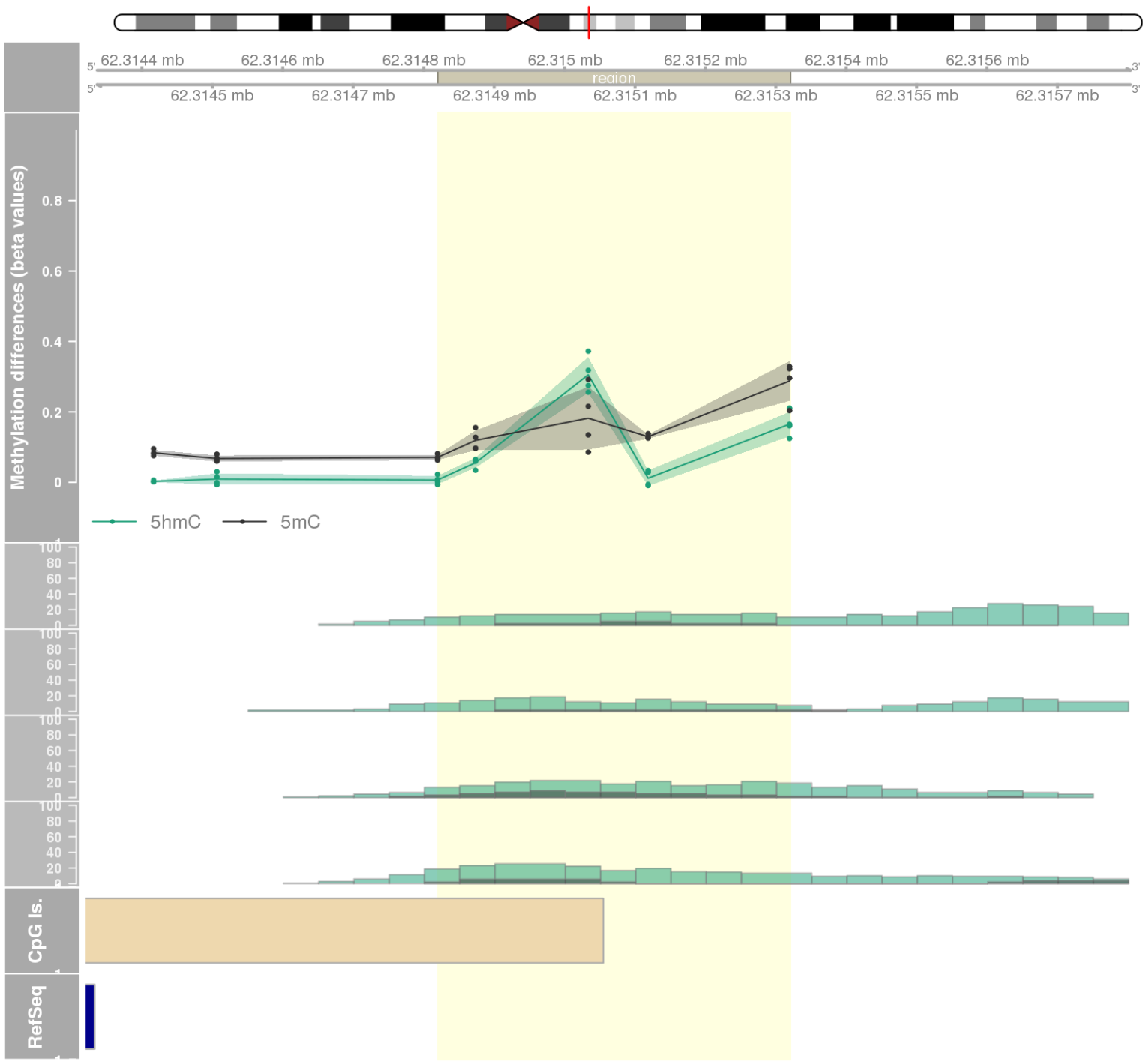
DMR 298 // chr7:19158123-19158666 // 543 pb. (9 probes) // pvalue: 0.009 // fwer: 1 // pvalueArea: 0.029 // fwerArea: 1



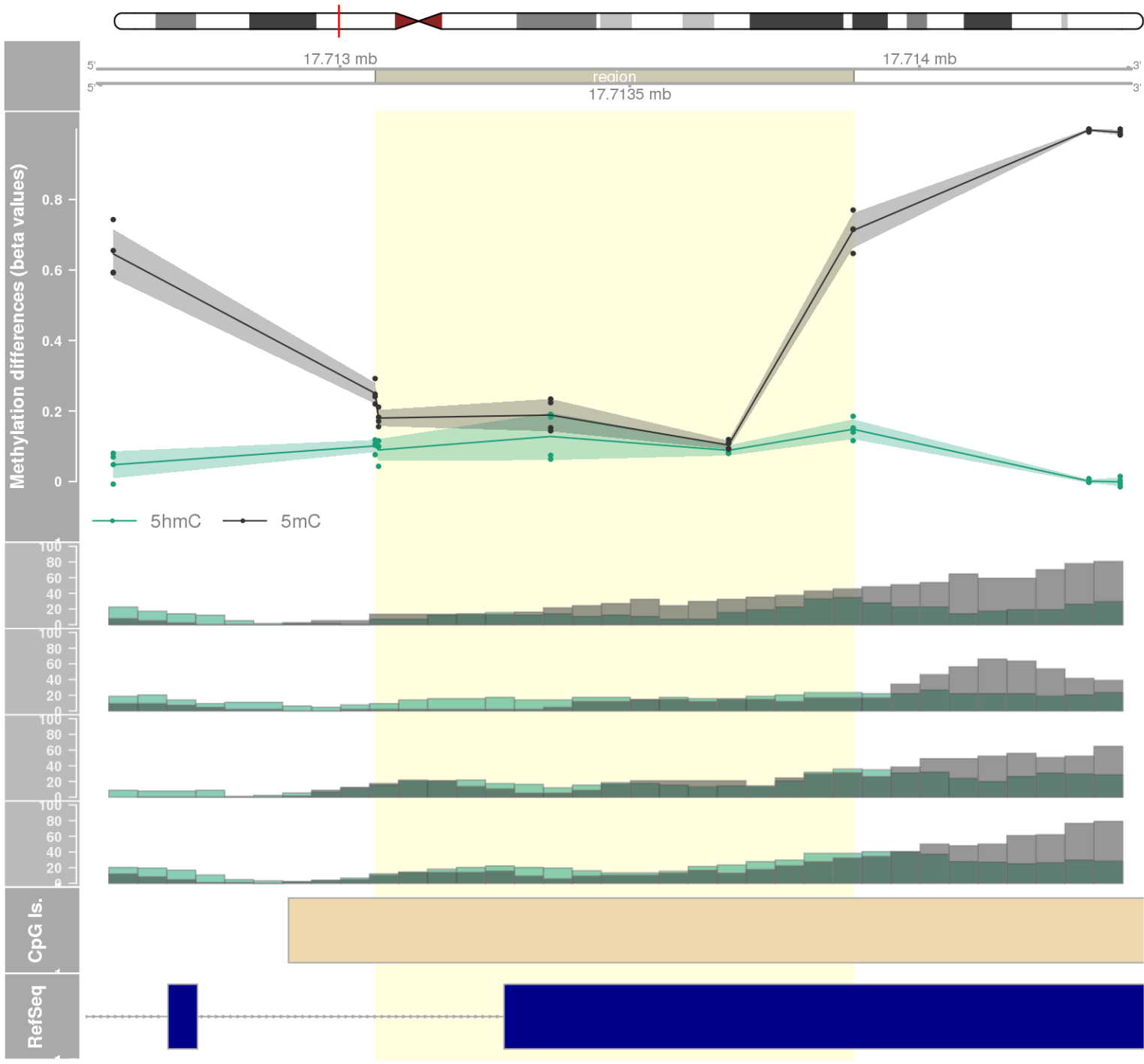
DMR 299 // chr7:6204185-6204983 // 798 pb. (7 probes) // pvalue: 0.014 // fwer: 1 // pvalueArea: 0.029 // fwerArea: 1
- genes: CYTH3 -

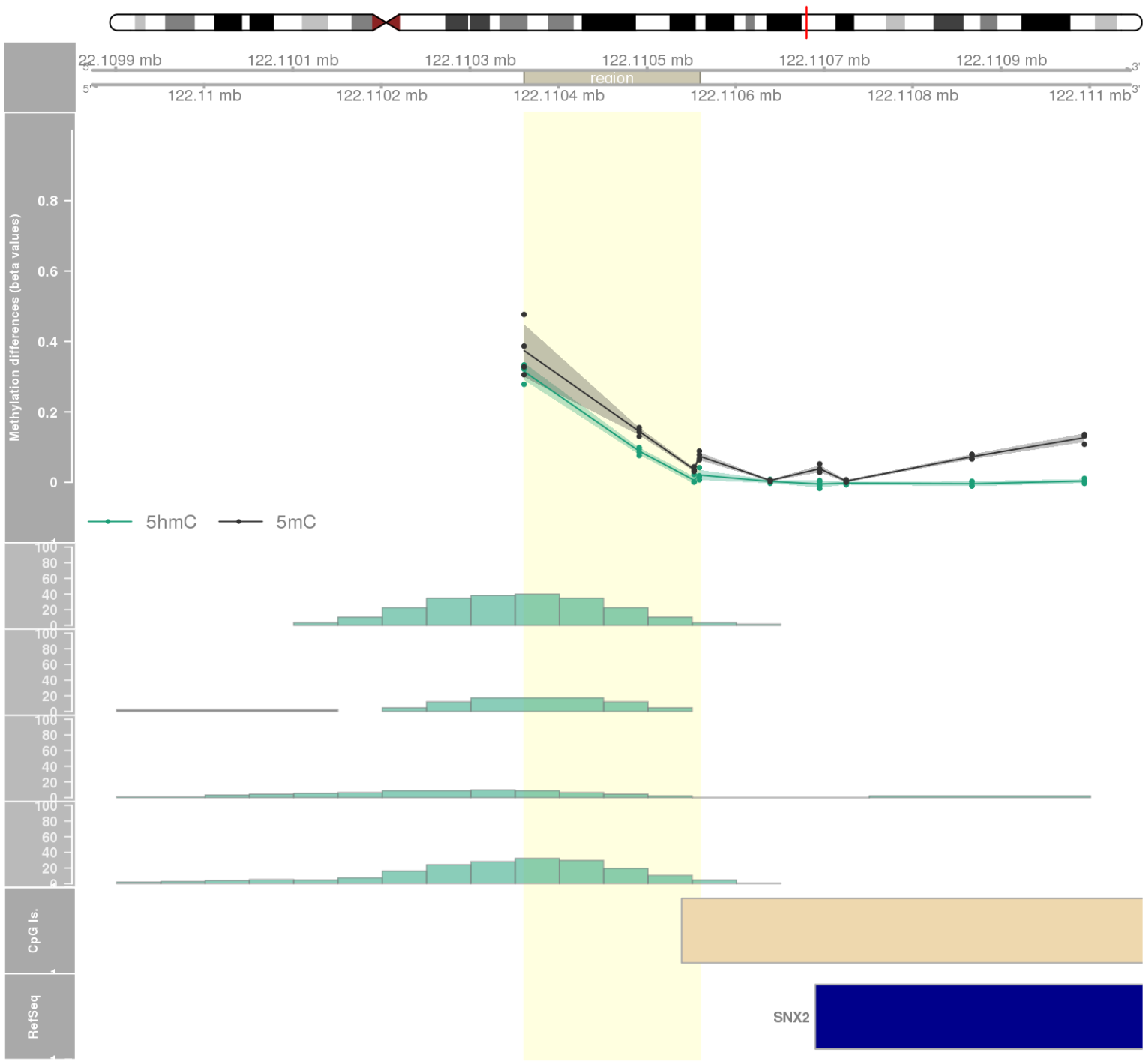


DMR 300 // chr11:62314820-62315320 // 500 pb. (5 probes) // pvalue: 0.009 // fwer: 1 // pvalueArea: 0.029 // fwerArea: 1
- genes: AHNAK -

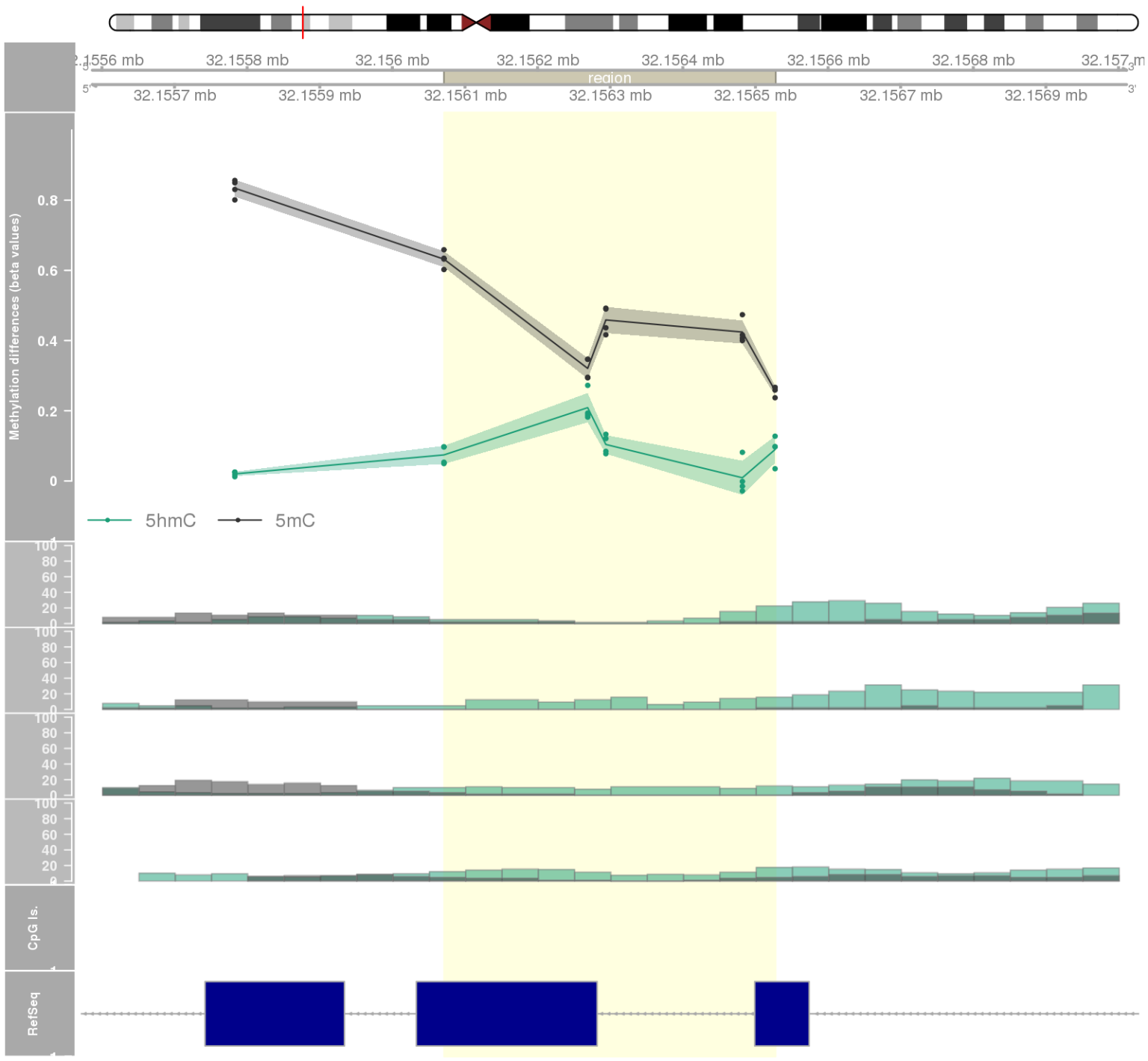


DMR 301 // chr17:17713061-17713886 // 825 pb. (5 probes) // pvalue: 0.009 // fwer: 1 // pvalueArea: 0.029 // fwerArea: 1
- genes: RAI1 / SREBF1 -

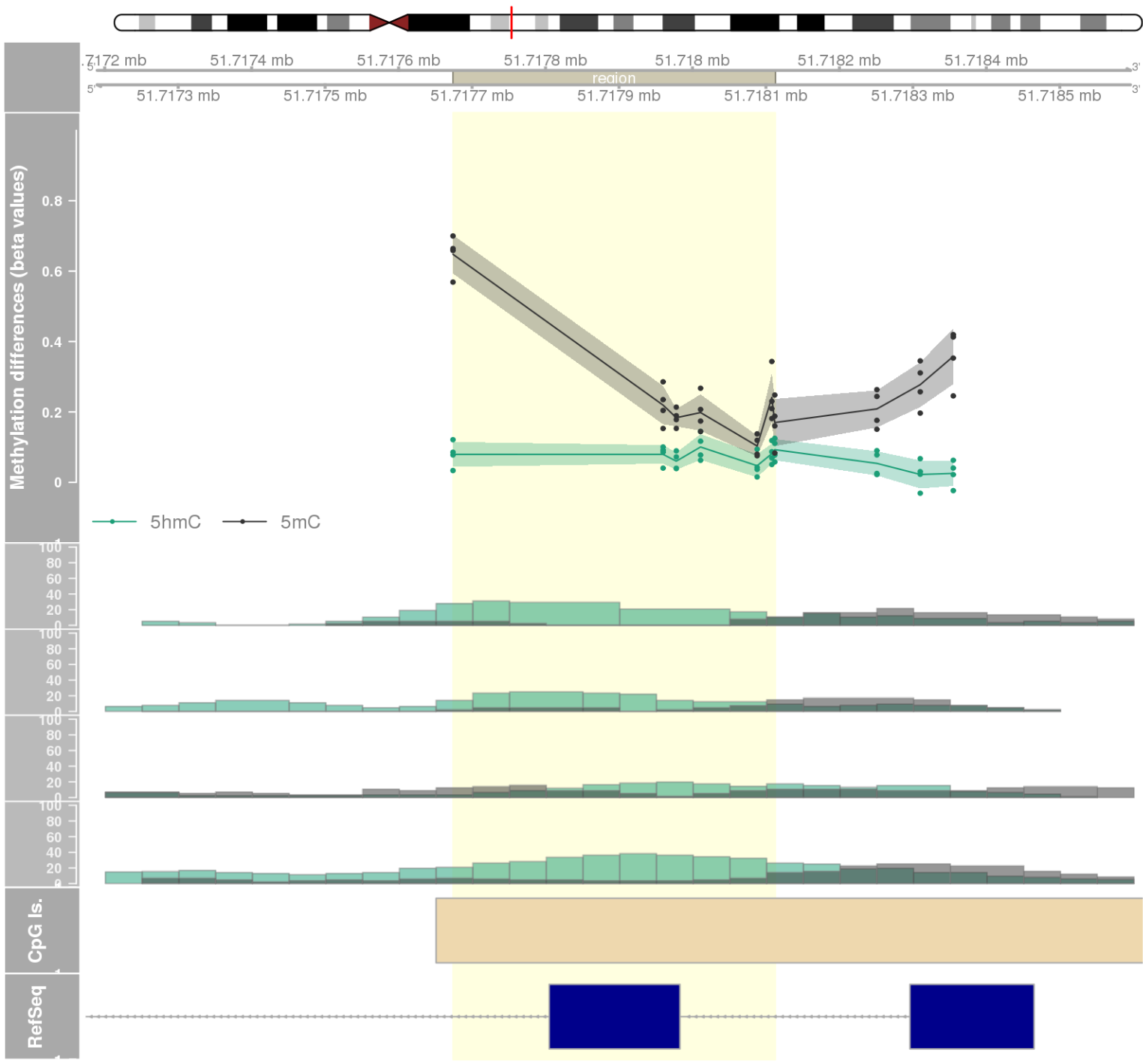




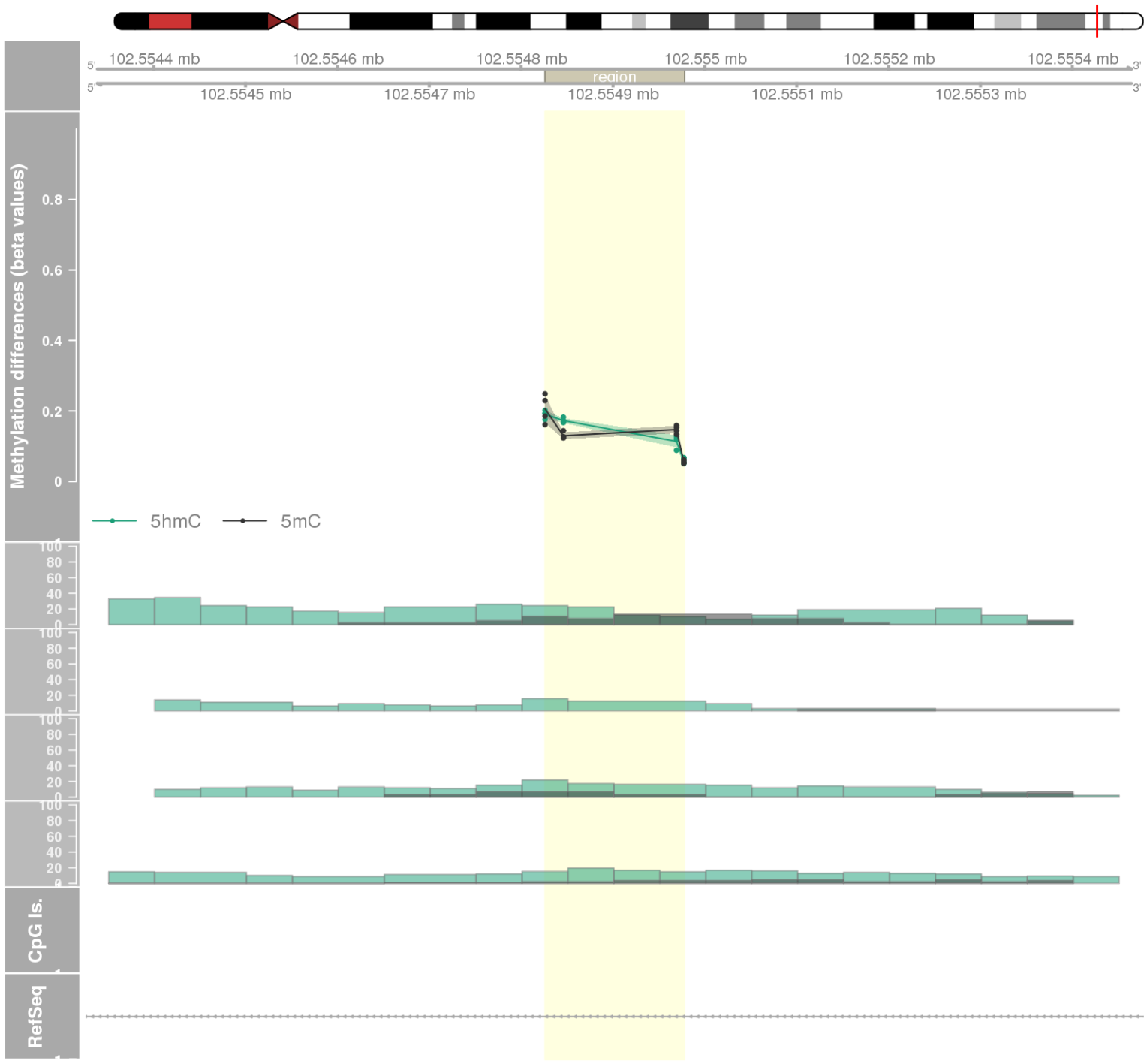
DMR 303 // chr6:32156071-32156527 // 456 pb. (5 probes) // pvalue: 0.01 // fwer: 1 // pvalueArea: 0.03 // fwerArea: 1
- genes: PBX2 -

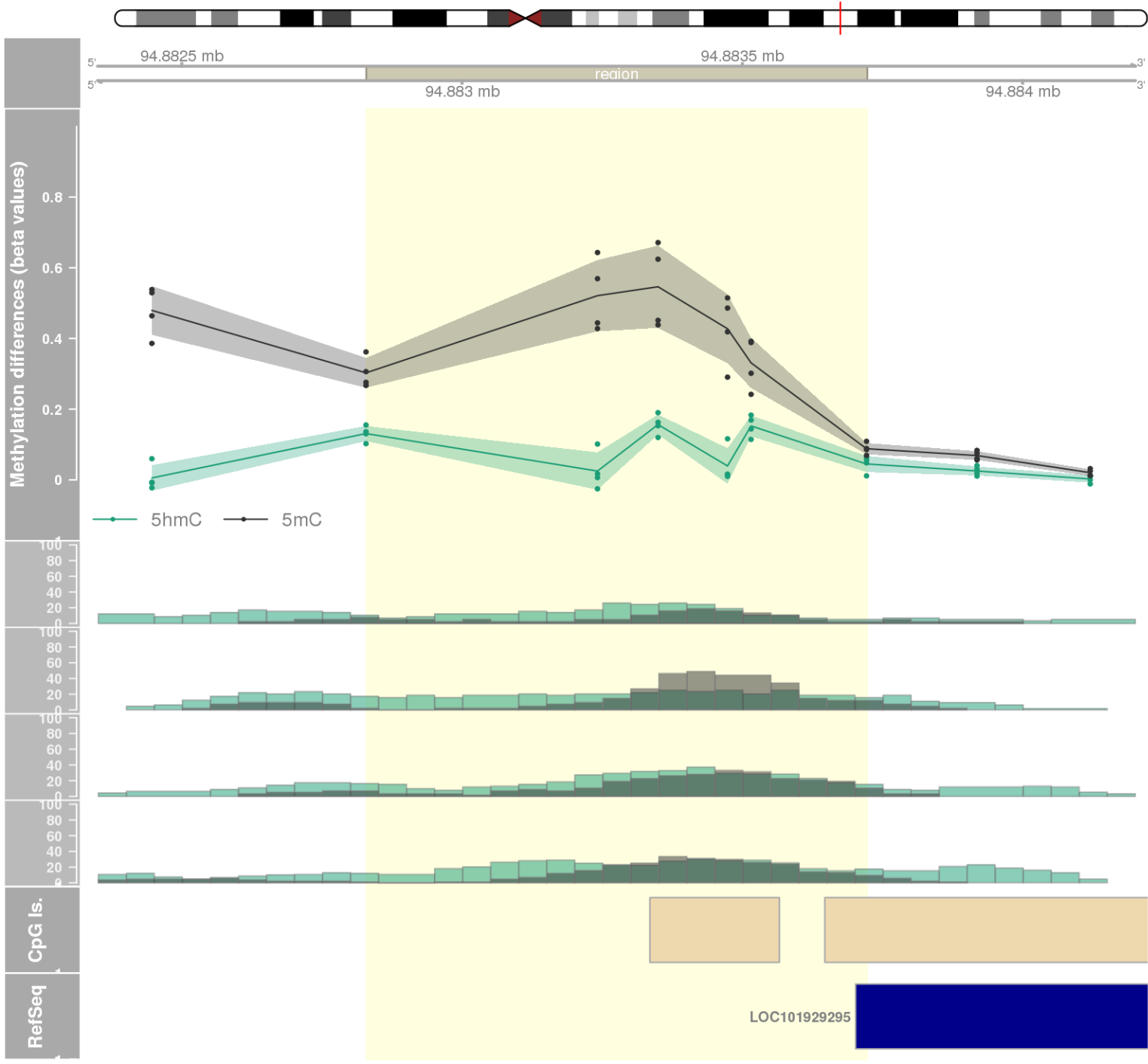


DMR 304 // chr12:51717674-51718112 // 438 pb. (7 probes) // pvalue: 0.014 // fwer: 1 // pvalueArea: 0.03 // fwerArea: 1
- genes: BIN2 -

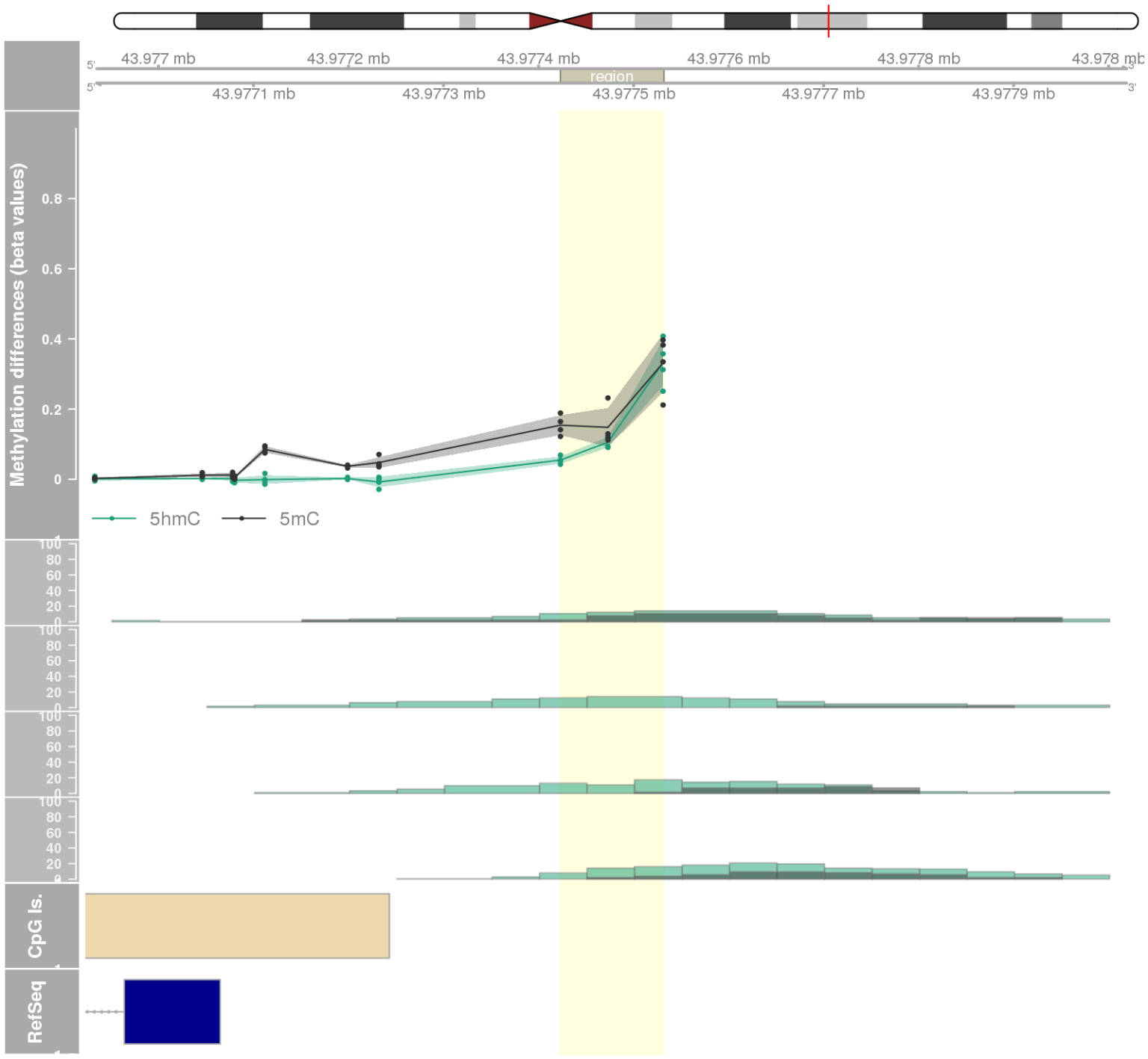


DMR 305 // chr14:102554826-102554977 // 151 pb. (4 probes) // pvalue: 0.004 // fwer: 1 // pvalueArea: 0.03 // fwerArea: 1
- genes: HSP90AA1 -

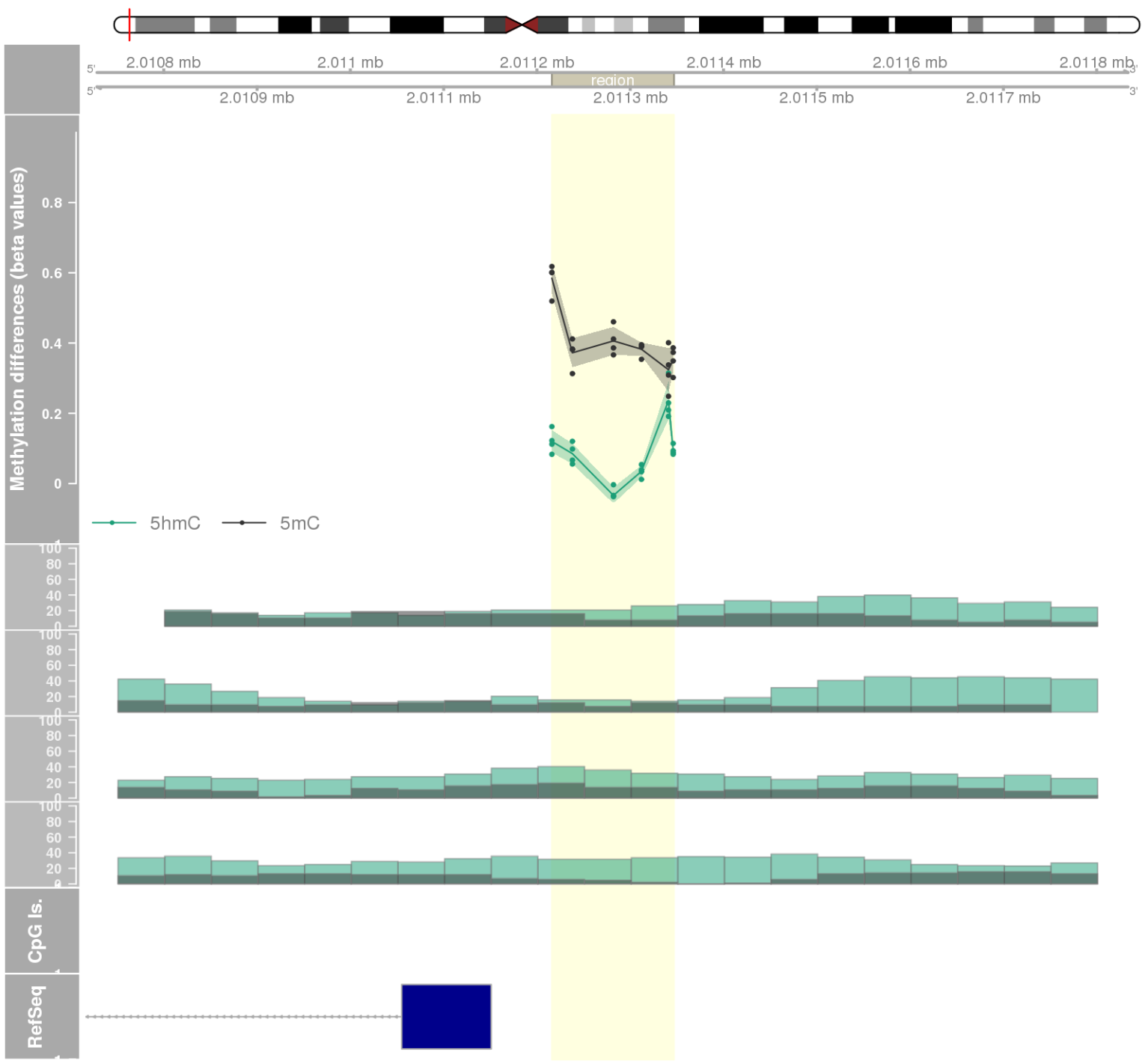




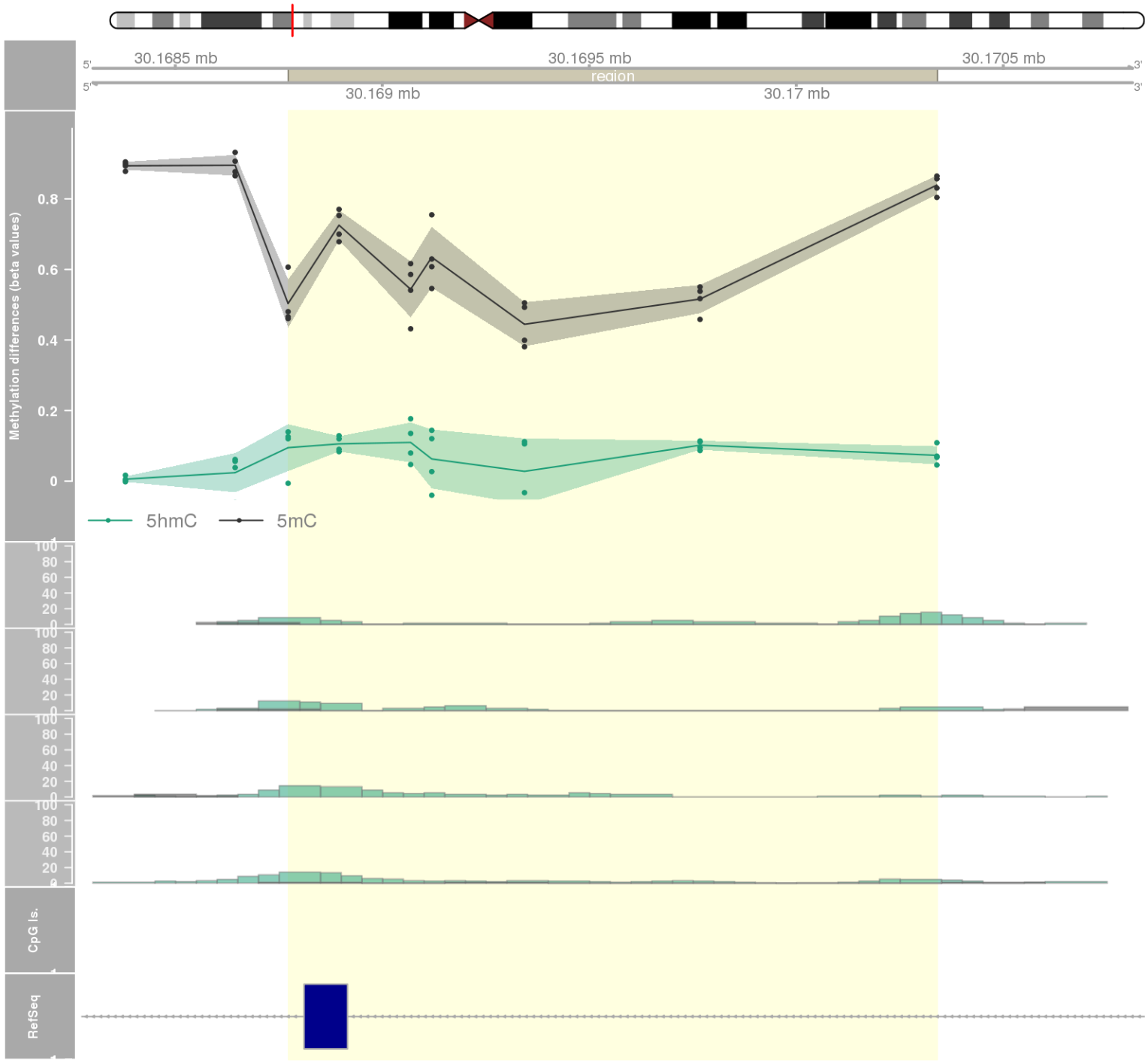
DMR 307 // chr20:43977423-43977531 // 108 pb. (3 probes) // pvalue: 0.002 // fwer: 1 // pvalueArea: 0.03 // fwerArea: 1



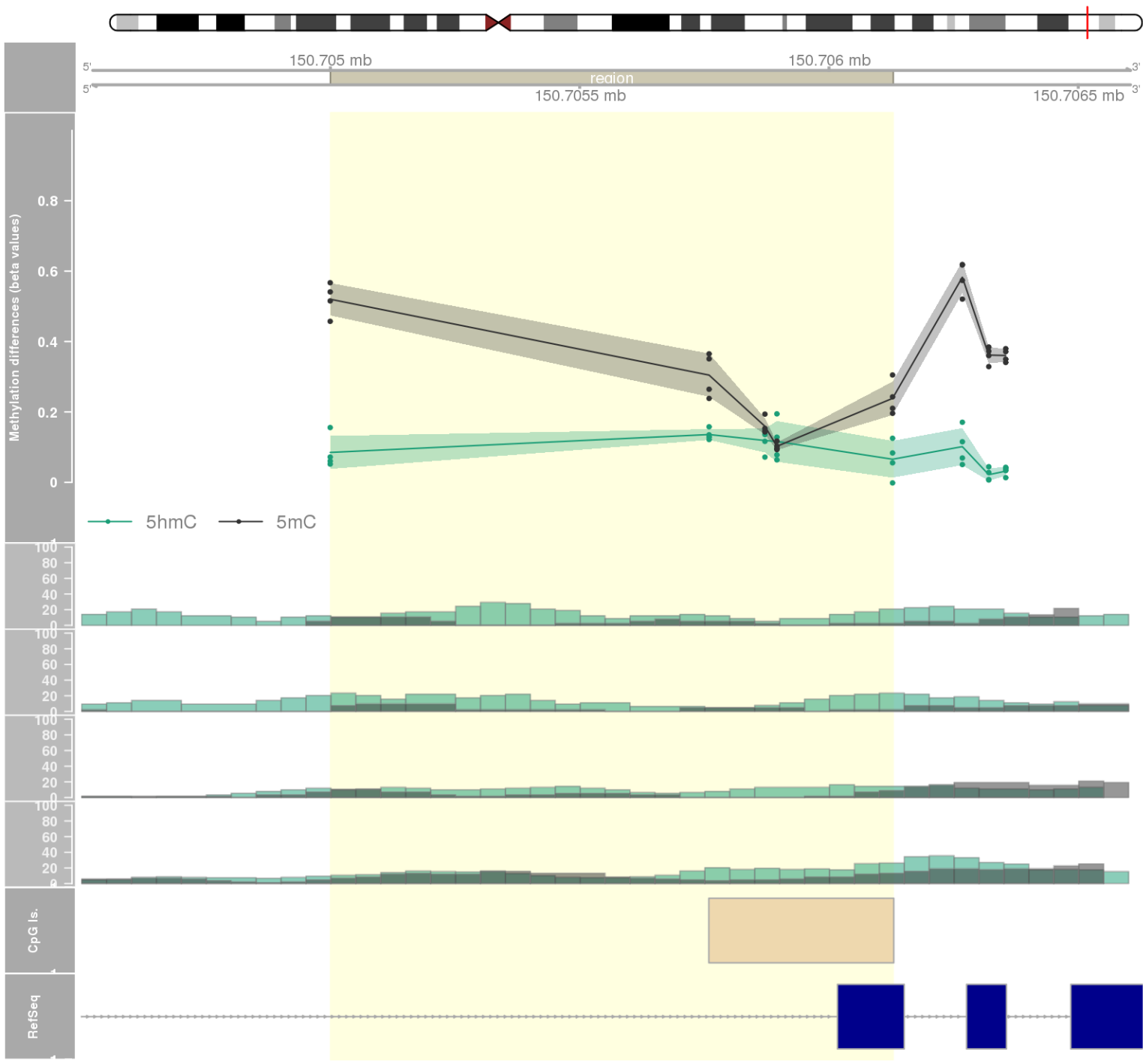
DMR 308 // chr11:2011216-2011346 // 130 pb. (6 probes) // pvalue: 0.01 // fwer: 1 // pvalueArea: 0.03 // fwerArea: 1



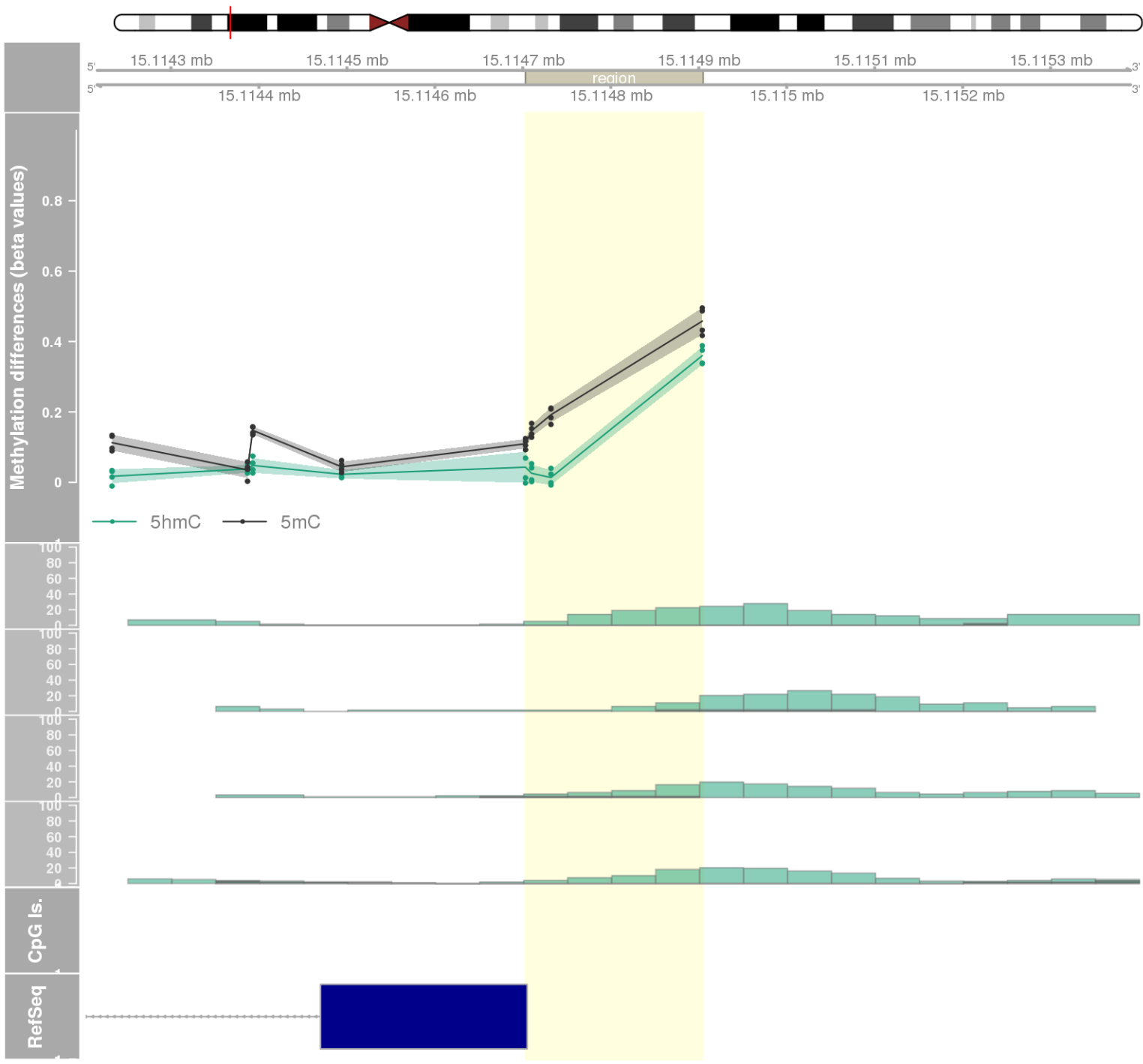
DMR 309 // chr6:30168773-30170340 // 1567 pb. (7 probes) // pvalue: 0.014 // fwer: 1 // pvalueArea: 0.03 // fwerArea: 1
- genes: TRIM26 -



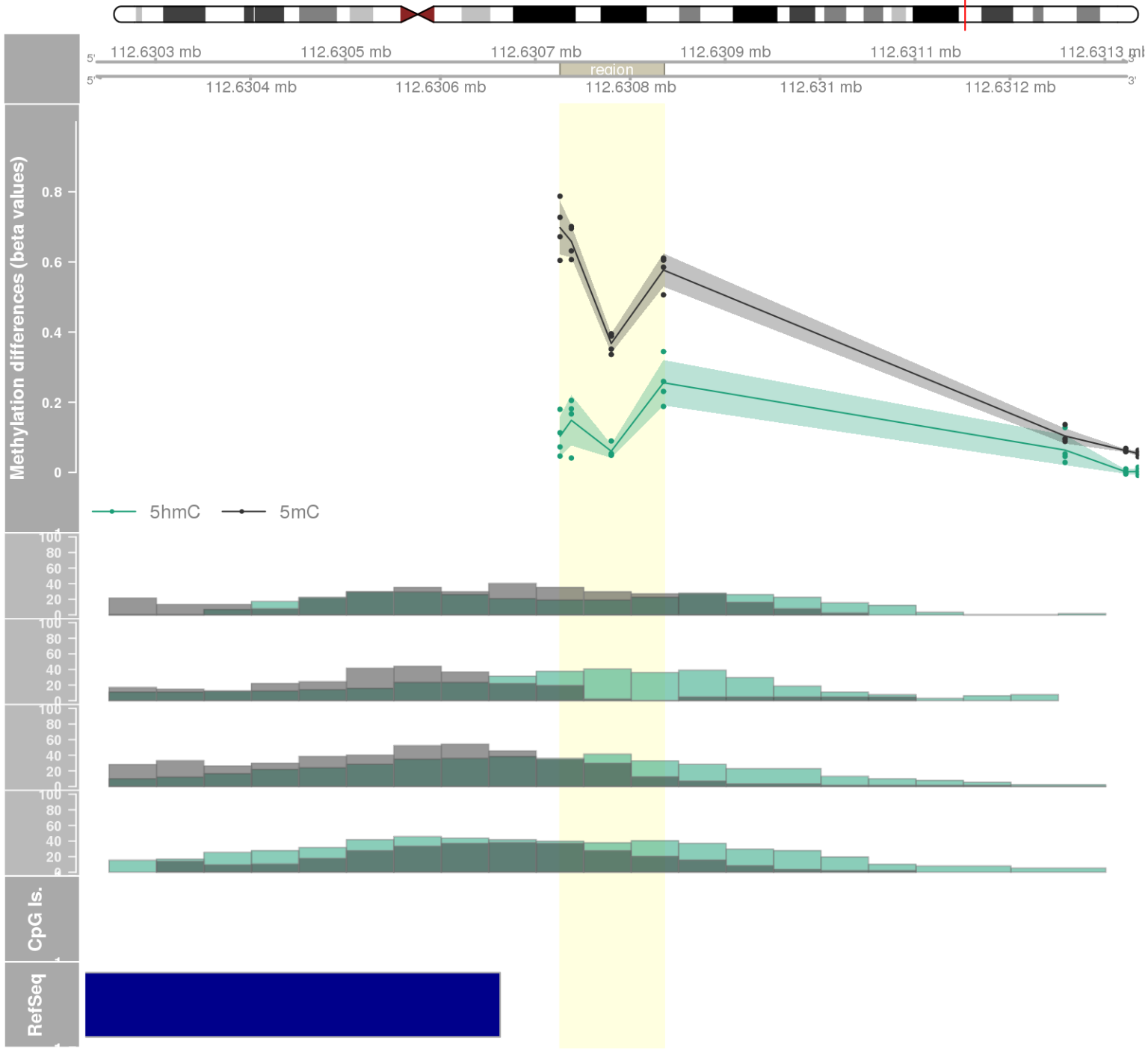
DMR 310 // chr7:150705000-150706128 // 1128 pb. (5 probes) // pvalue: 0.01 // fwer: 1 // pvalueArea: 0.03 // fwerArea: 1
- genes: NOS3 -



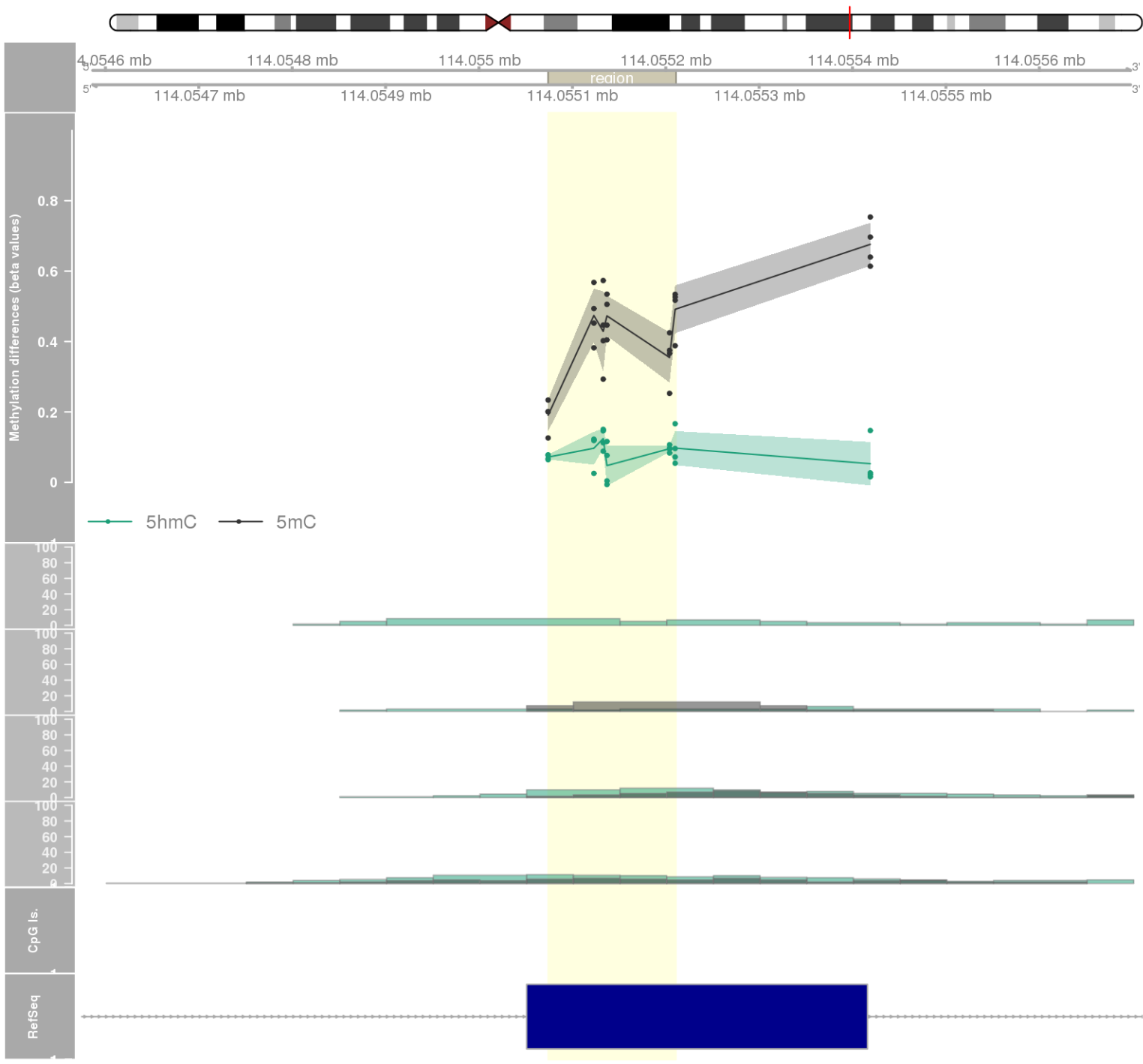
DMR 311 // chr12:15114703-15114904 // 201 pb. (4 probes) // pvalue: 0.004 // fwer: 1 // pvalueArea: 0.03 // fwerArea: 1



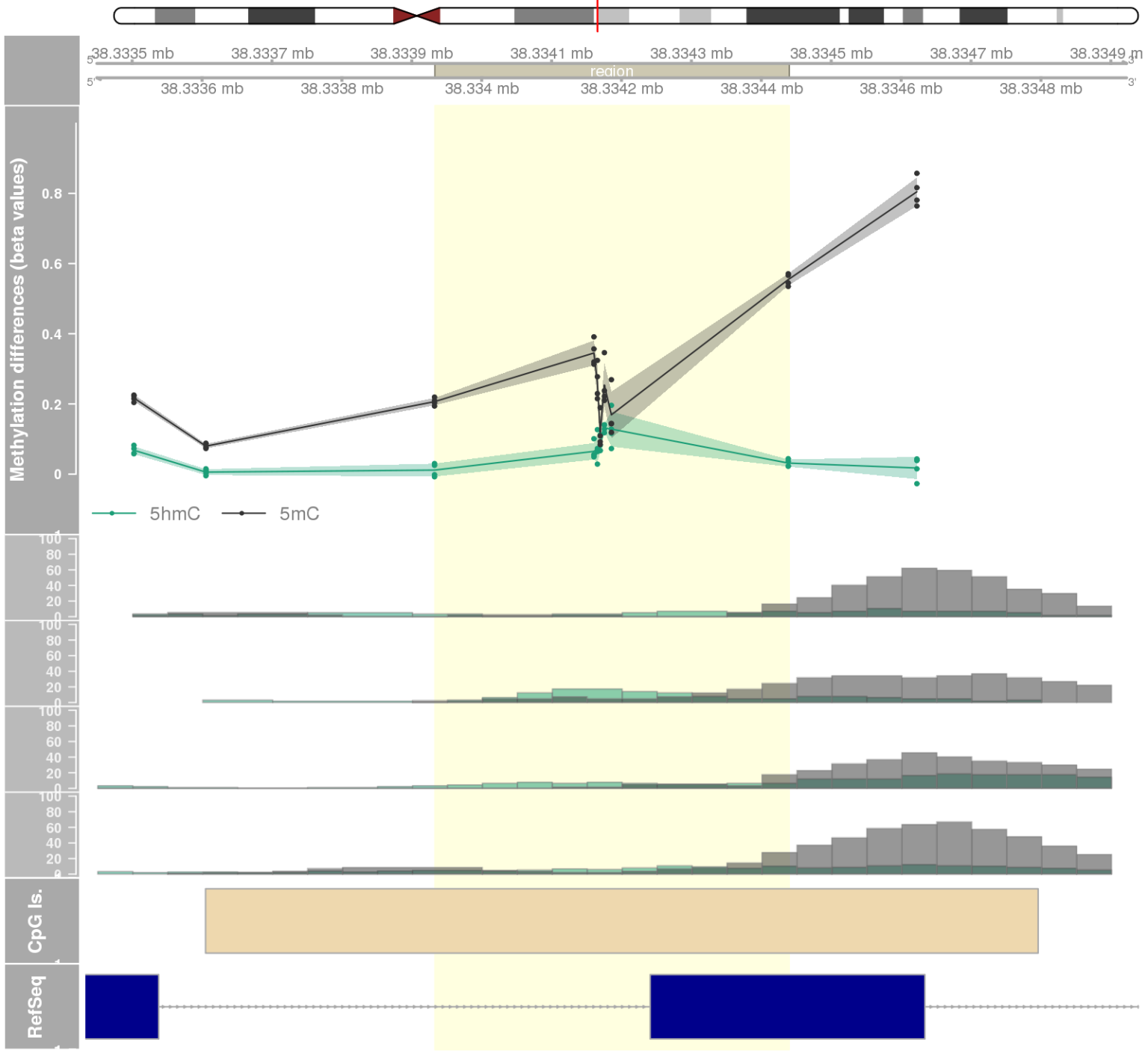
DMR 312 // chr10:112630726-112630835 // 109 pb. (4 probes) // pvalue: 0.005 // fwer: 1 // pvalueArea: 0.03 // fwerArea: 1
- genes: PDCD4-AS1 -



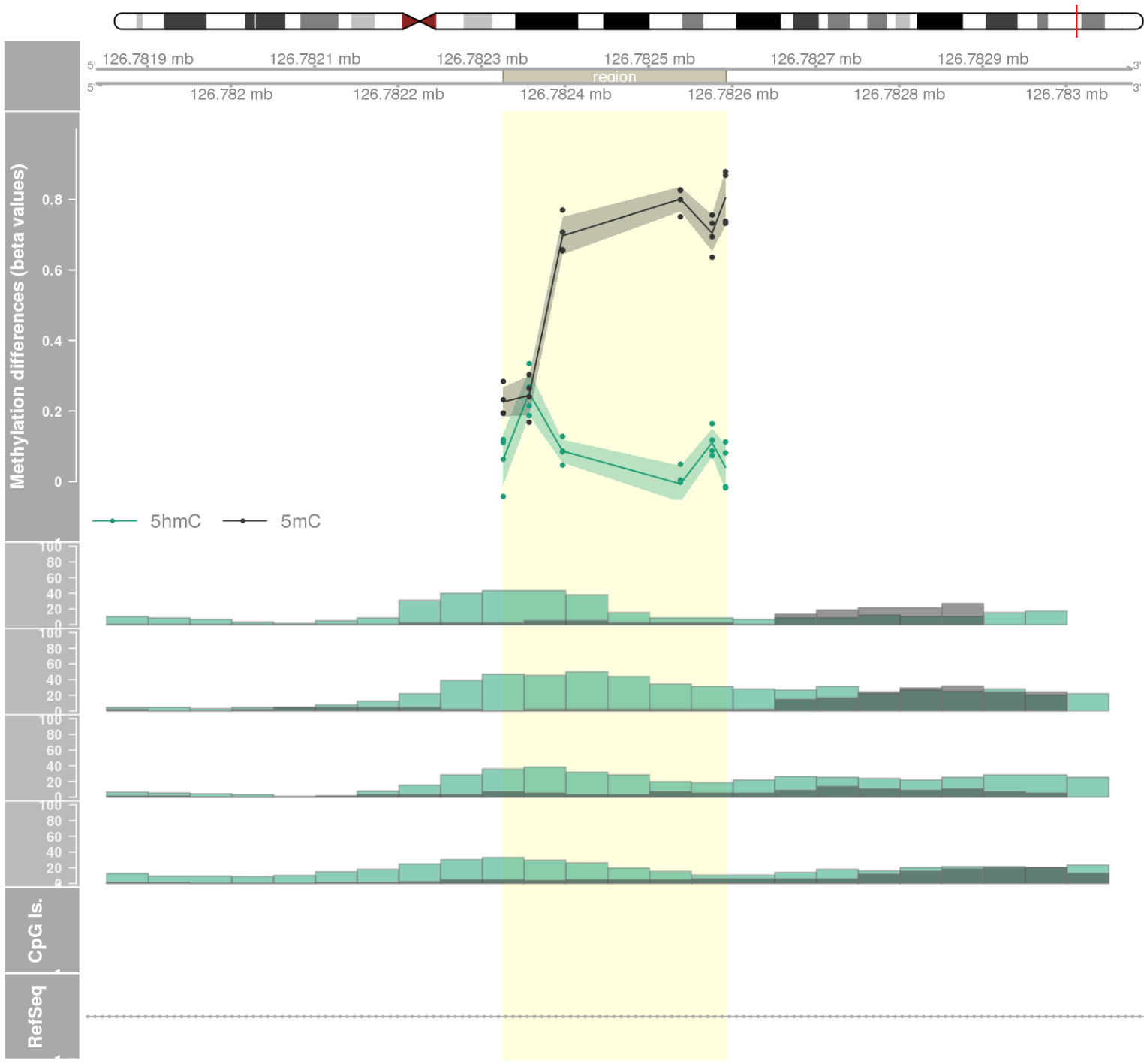
DMR 313 // chr7:114055074-114055210 // 136 pb. (6 probes) // pvalue: 0.014 // fwer: 1 // pvalueArea: 0.03 // fwerArea: 1
- genes: FOXP2 -



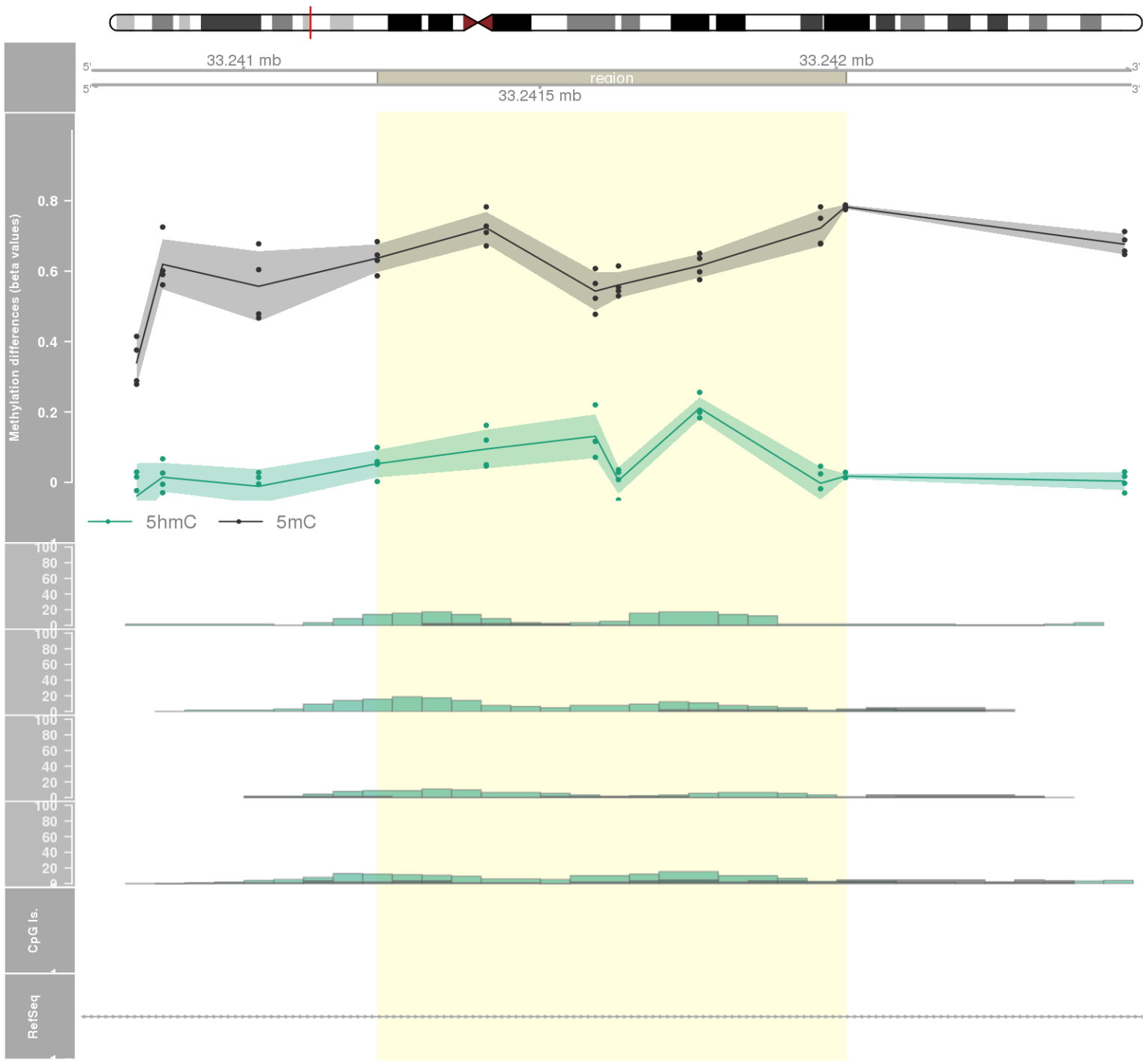
DMR 314 // chr17:38333933-38334439 // 506 pb. (7 probes) // pvalue: 0.014 // fwer: 1 // pvalueArea: 0.03 // fwerArea: 1
- genes: RAPGEFL1 -



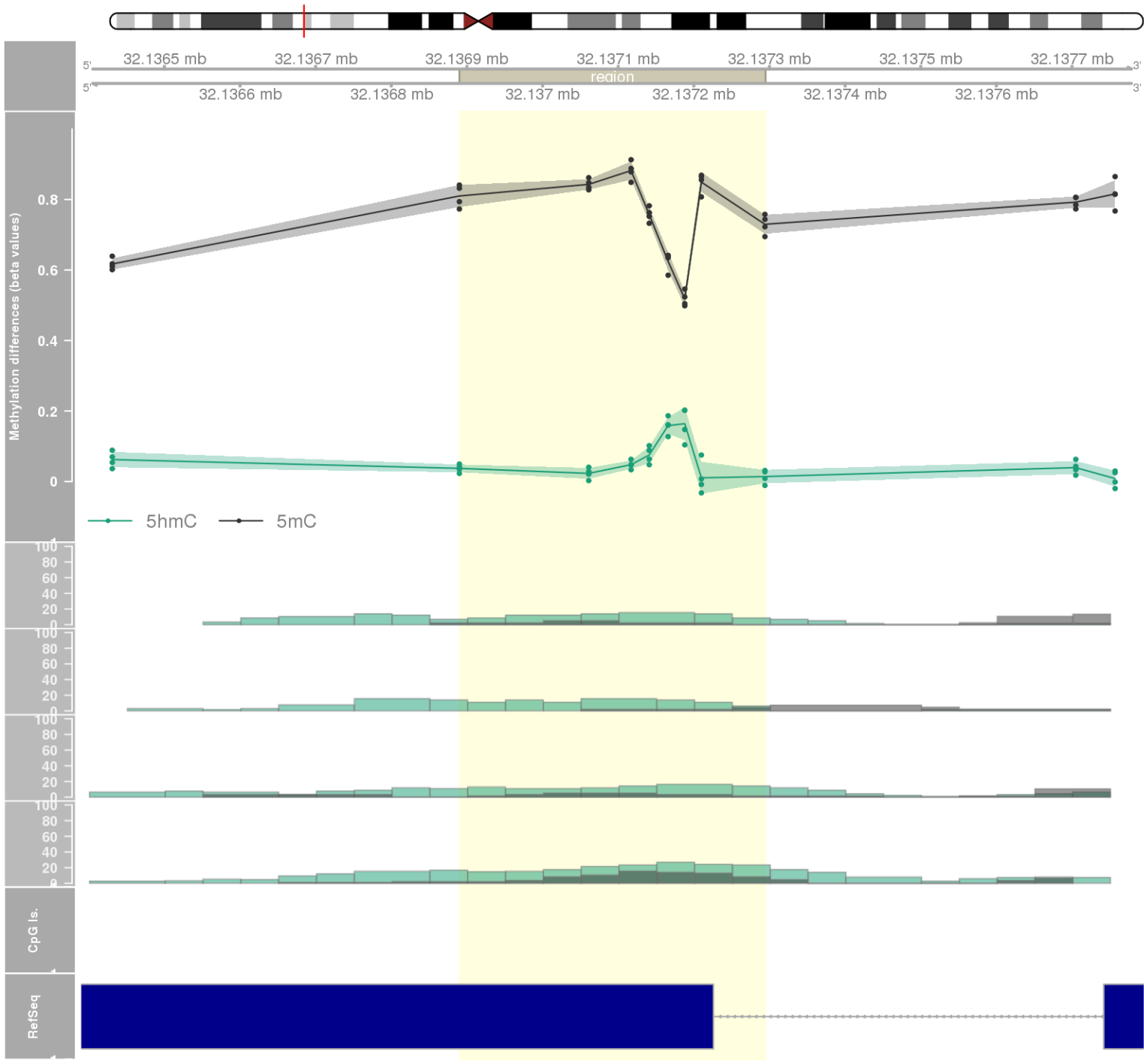
DMR 315 // chr10:126782326-126782592 // 266 pb. (6 probes) // pvalue: 0.01 // fwer: 1 // pvalueArea: 0.031 // fwerArea: 1
- genes: CTBP2 -



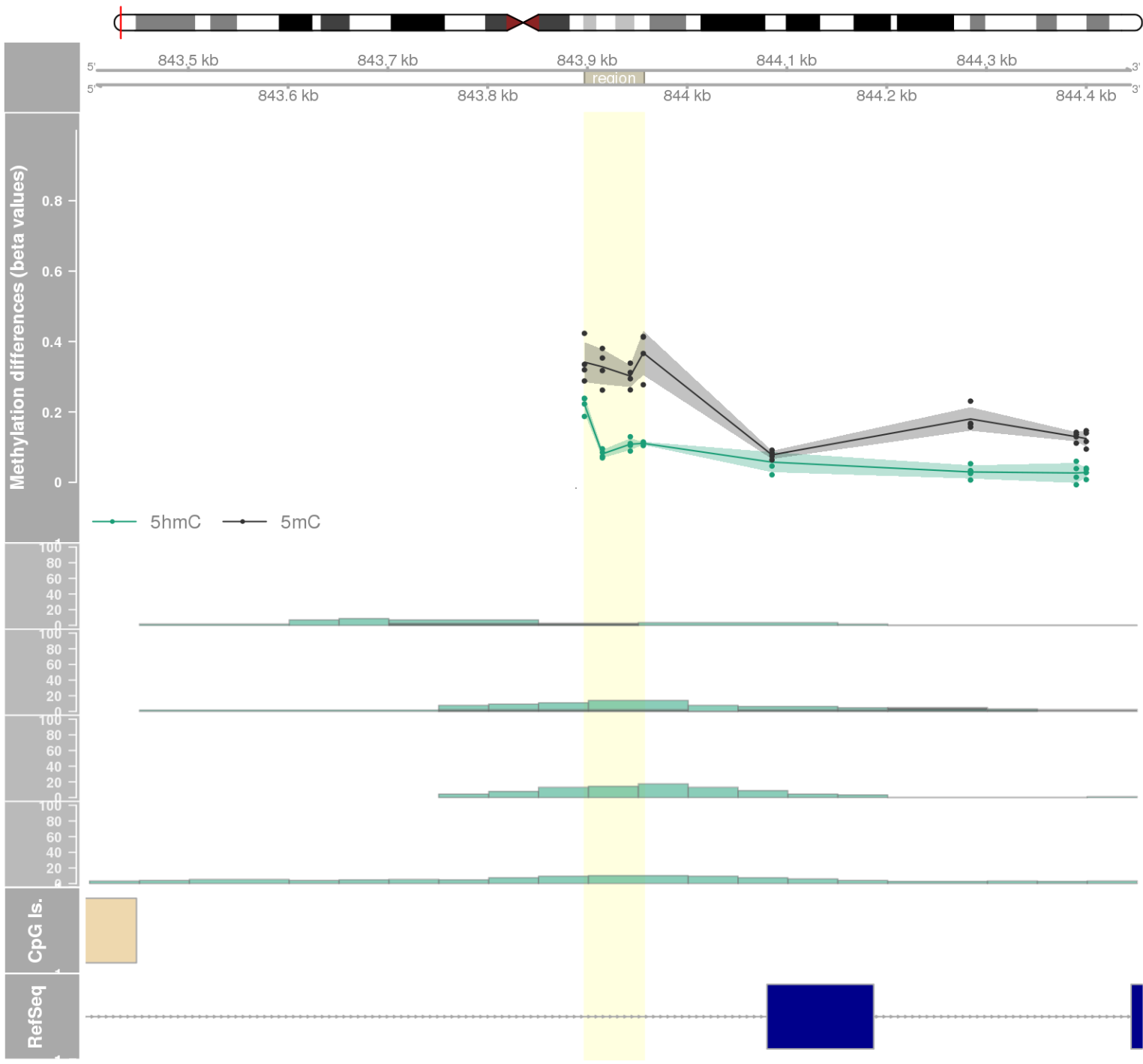
DMR 316 // chr6:33241226-33242016 // 790 pb. (7 probes) // pvalue: 0.014 // fwer: 1 // pvalueArea: 0.031 // fwerArea: 1
- genes: RPS18 -



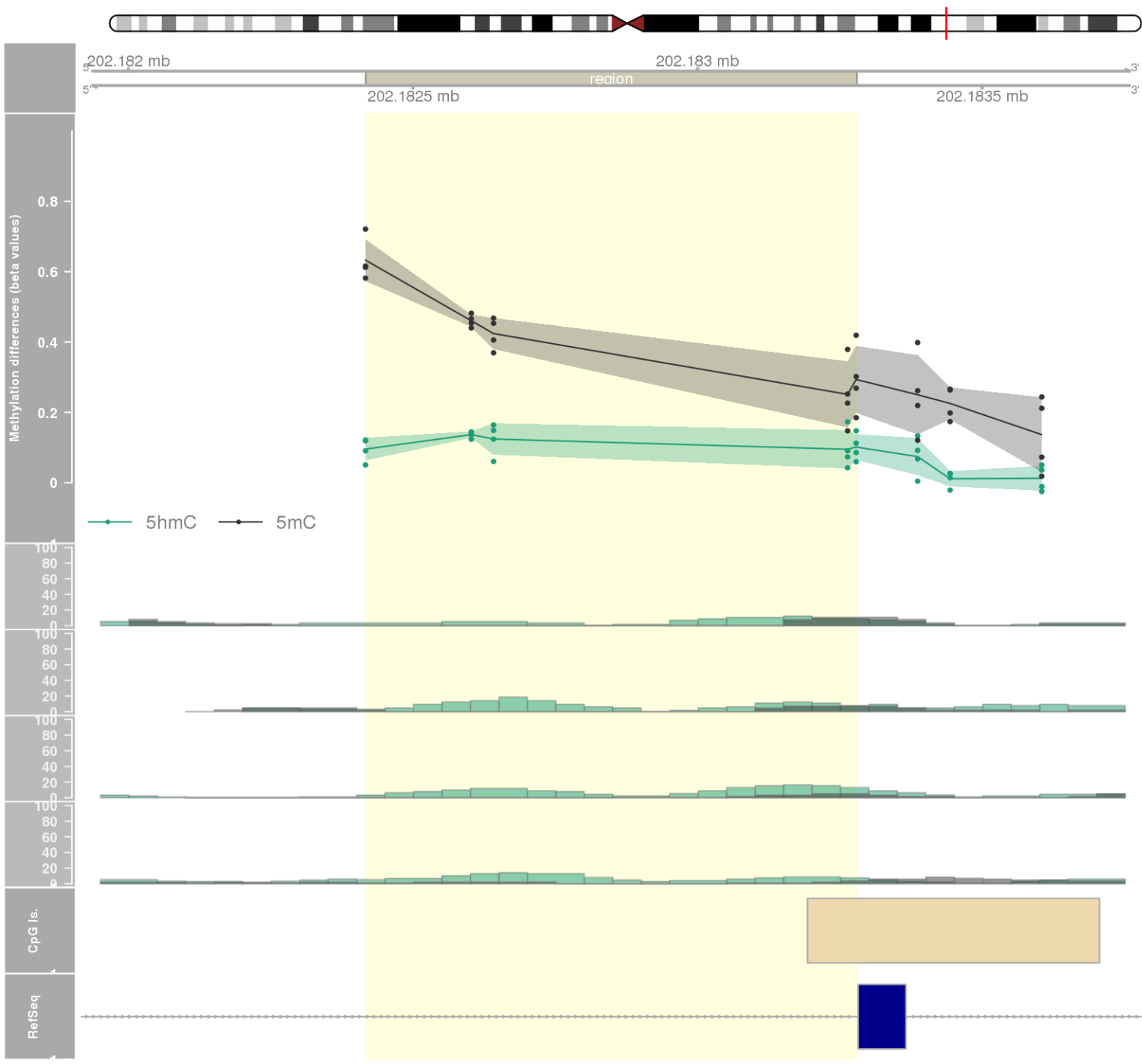
DMR 317 // chr6:32136890-32137294 // 404 pb. (8 probes) // pvalue: 0.011 // fwer: 1 // pvalueArea: 0.031 // fwerArea: 1
- genes: PPT2-EGFL8 / AGPAT1 -

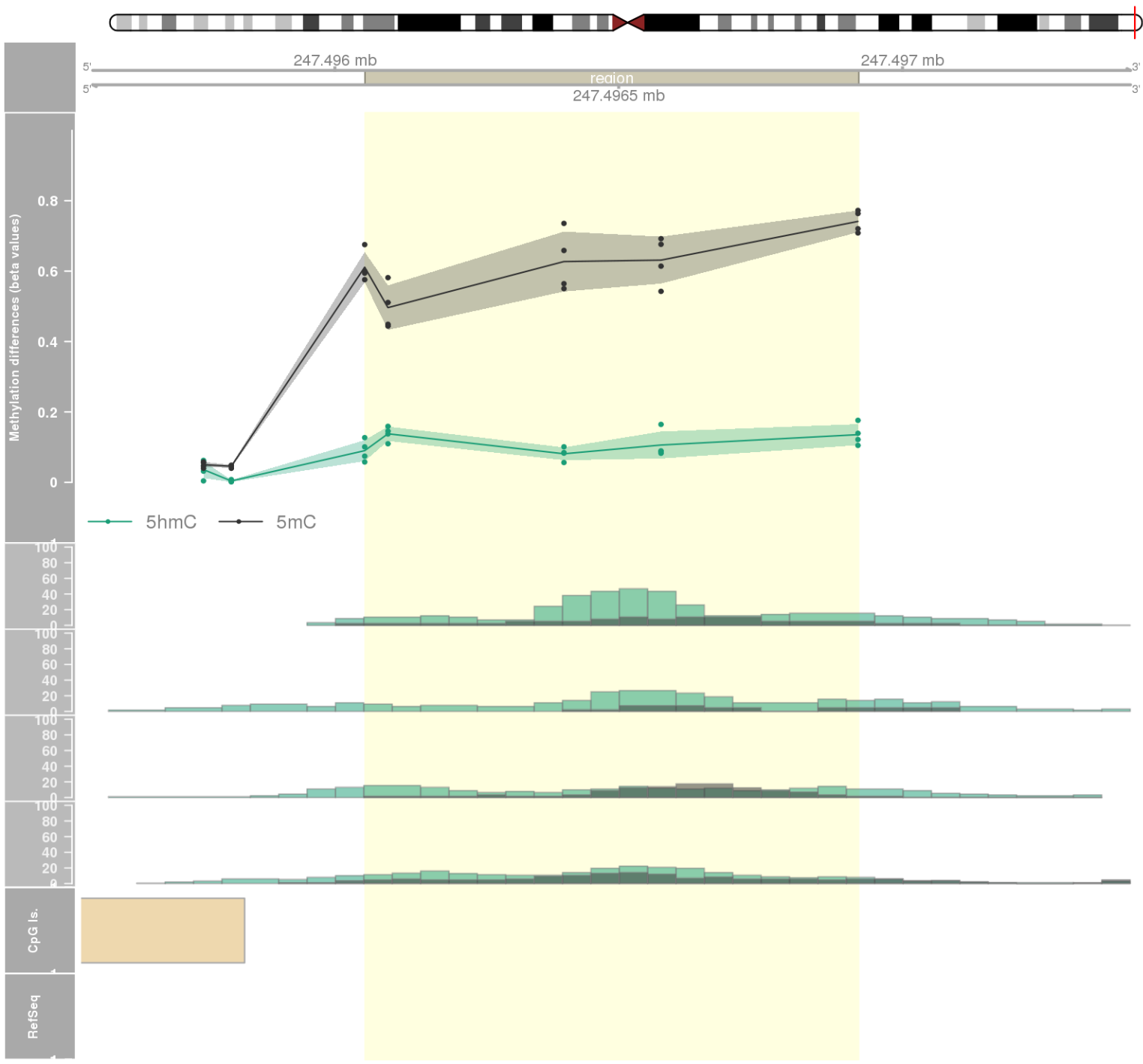


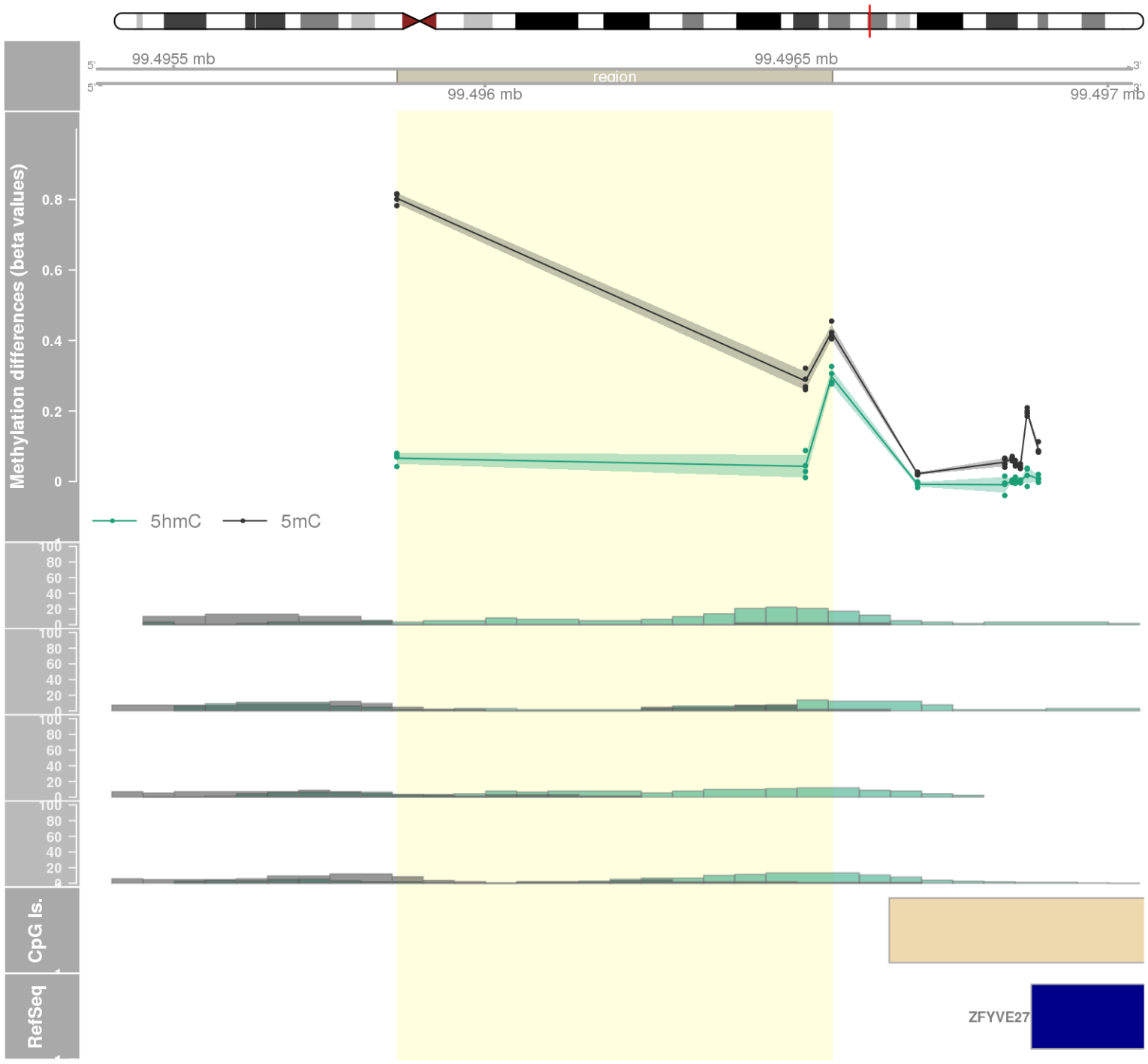
DMR 318 // chr11:843897-843956 // 59 pb. (4 probes) // pvalue: 0.005 // fwer: 1 // pvalueArea: 0.031 // fwerArea: 1
- genes: TSPAN4 -



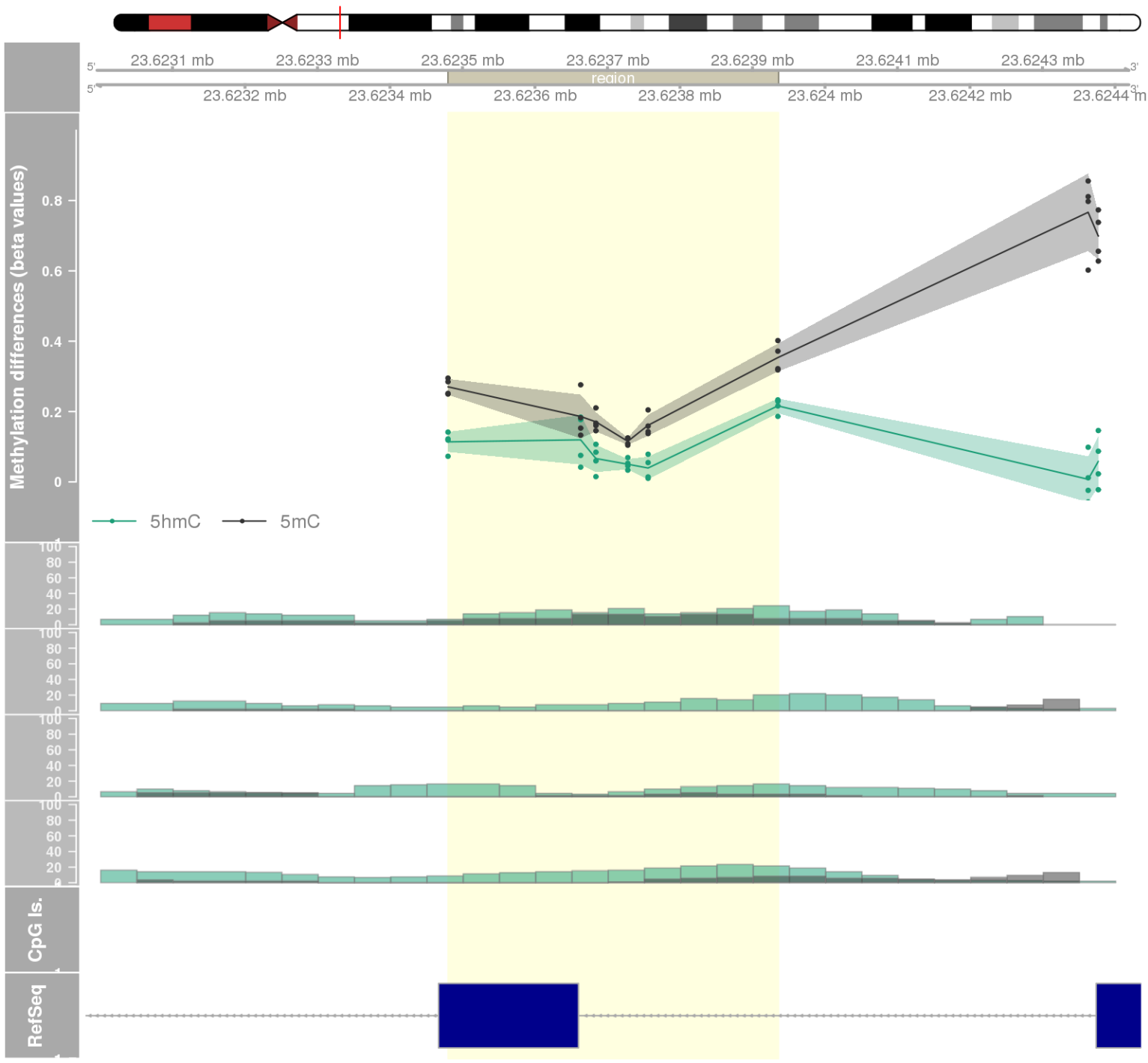
DMR 319 // chr1:202182417-202183279 // 862 pb. (5 probes) // pvalue: 0.01 // fwer: 1 // pvalueArea: 0.031 // fwerArea: 1
- genes: LGR6 -



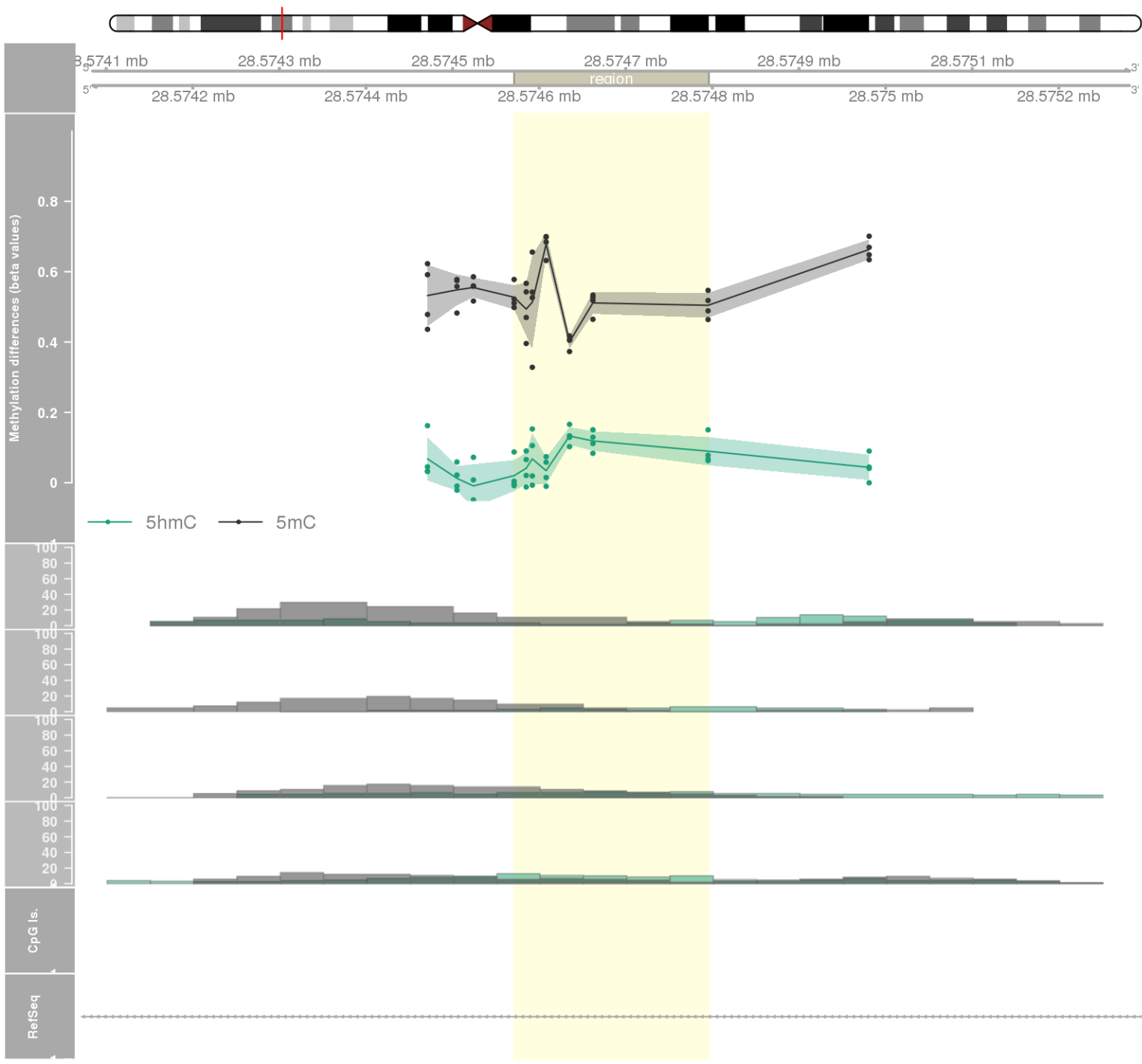


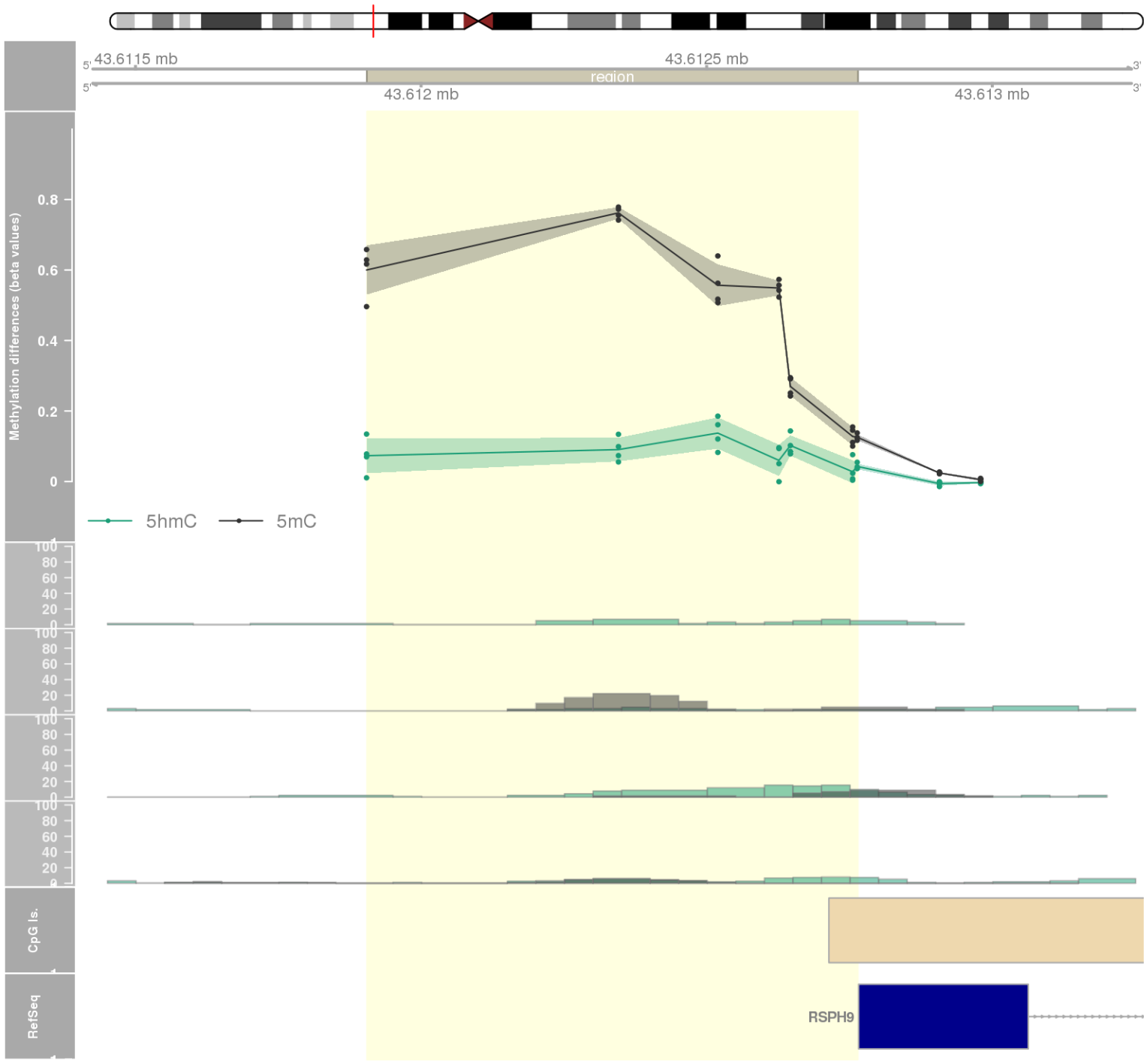


DMR 322 // chr14:23623480-23623935 // 455 pb. (6 probes) // pvalue: 0.015 // fwer: 1 // pvalueArea: 0.031 // fwerArea: 1
- genes: SLC7A8 -

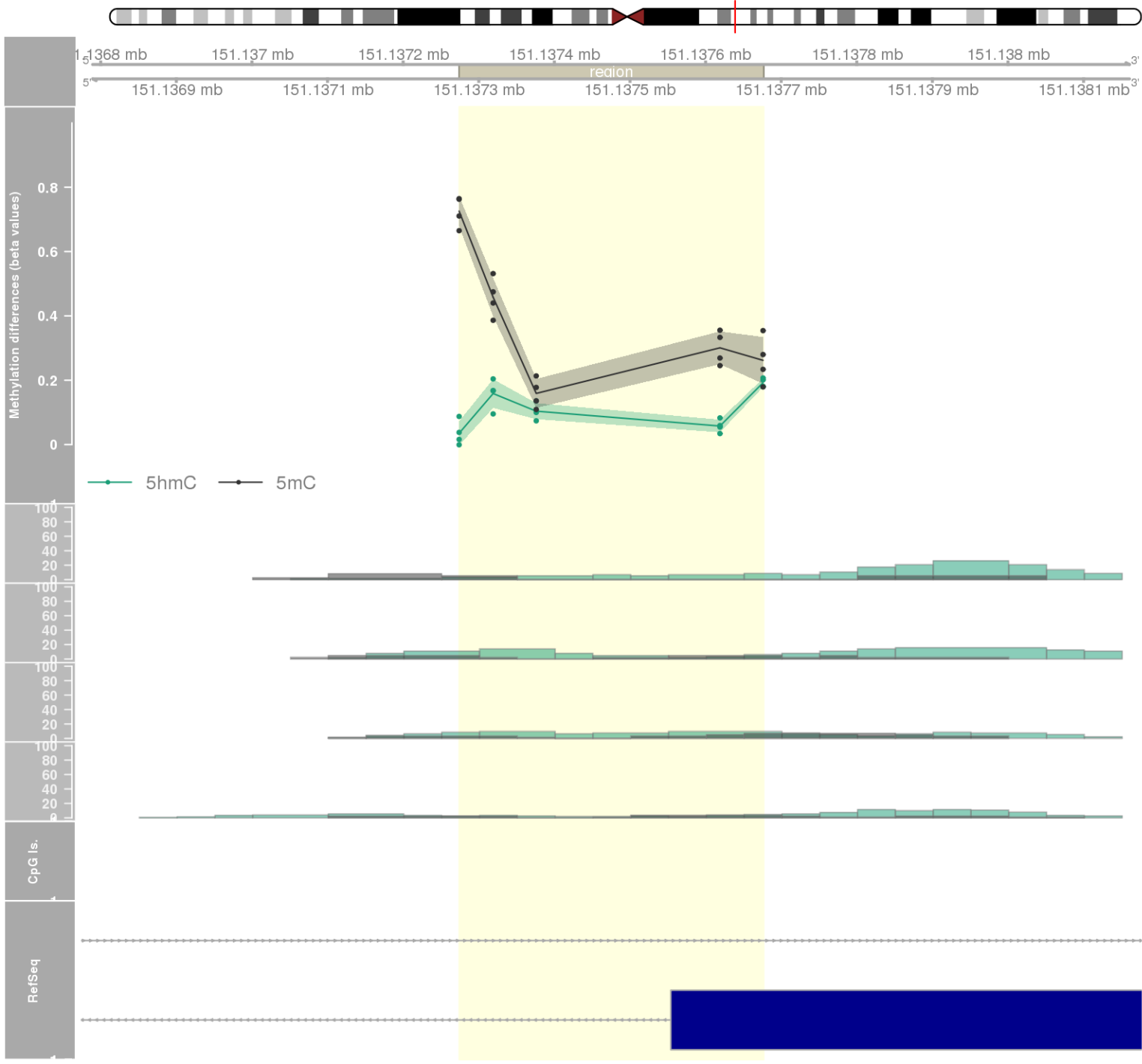


DMR 323 // chr6:28574571-28574795 // 224 pb. (7 probes) // pvalue: 0.015 // fwer: 1 // pvalueArea: 0.031 // fwerArea: 1
- genes: SCAND3 -

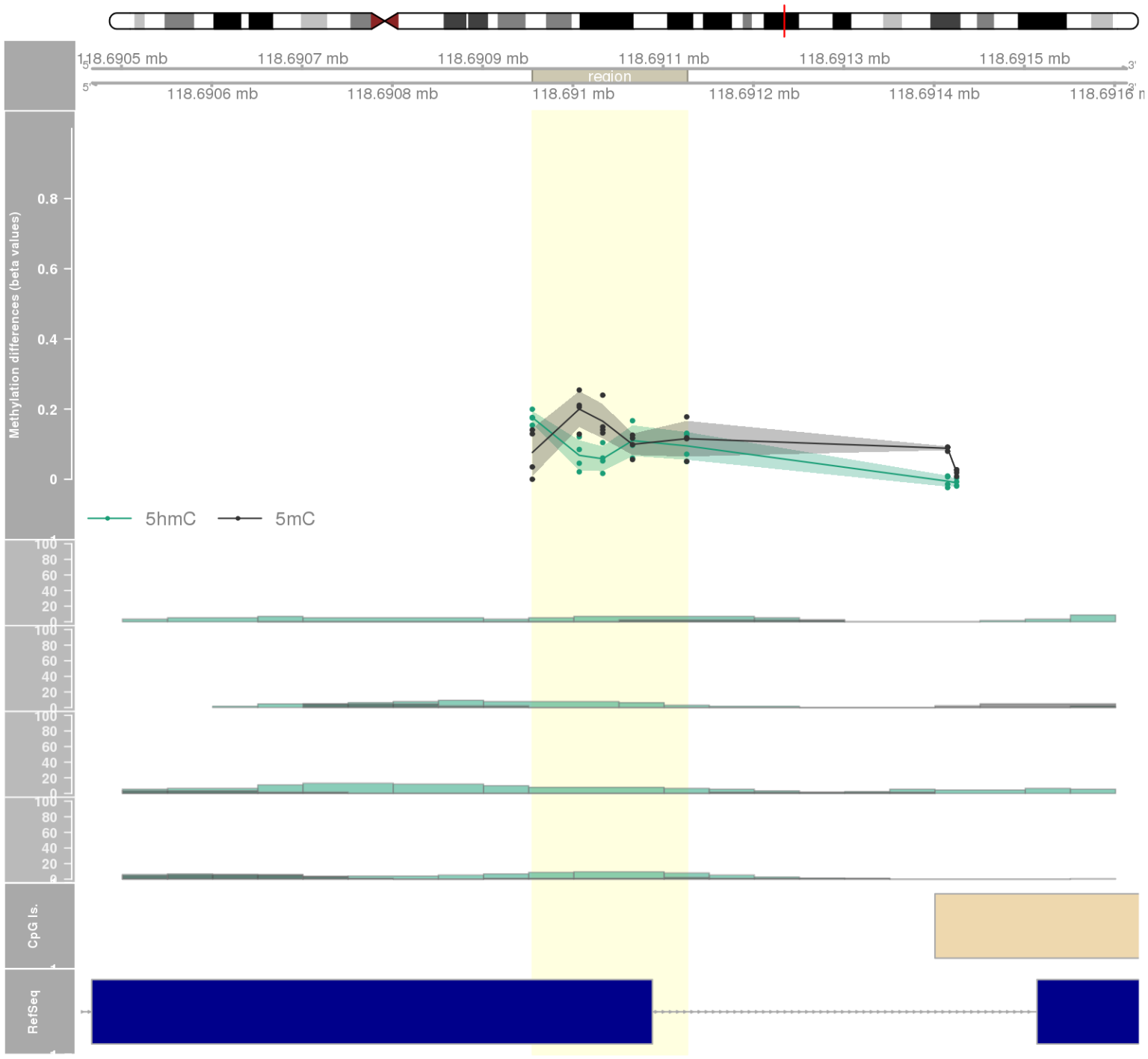




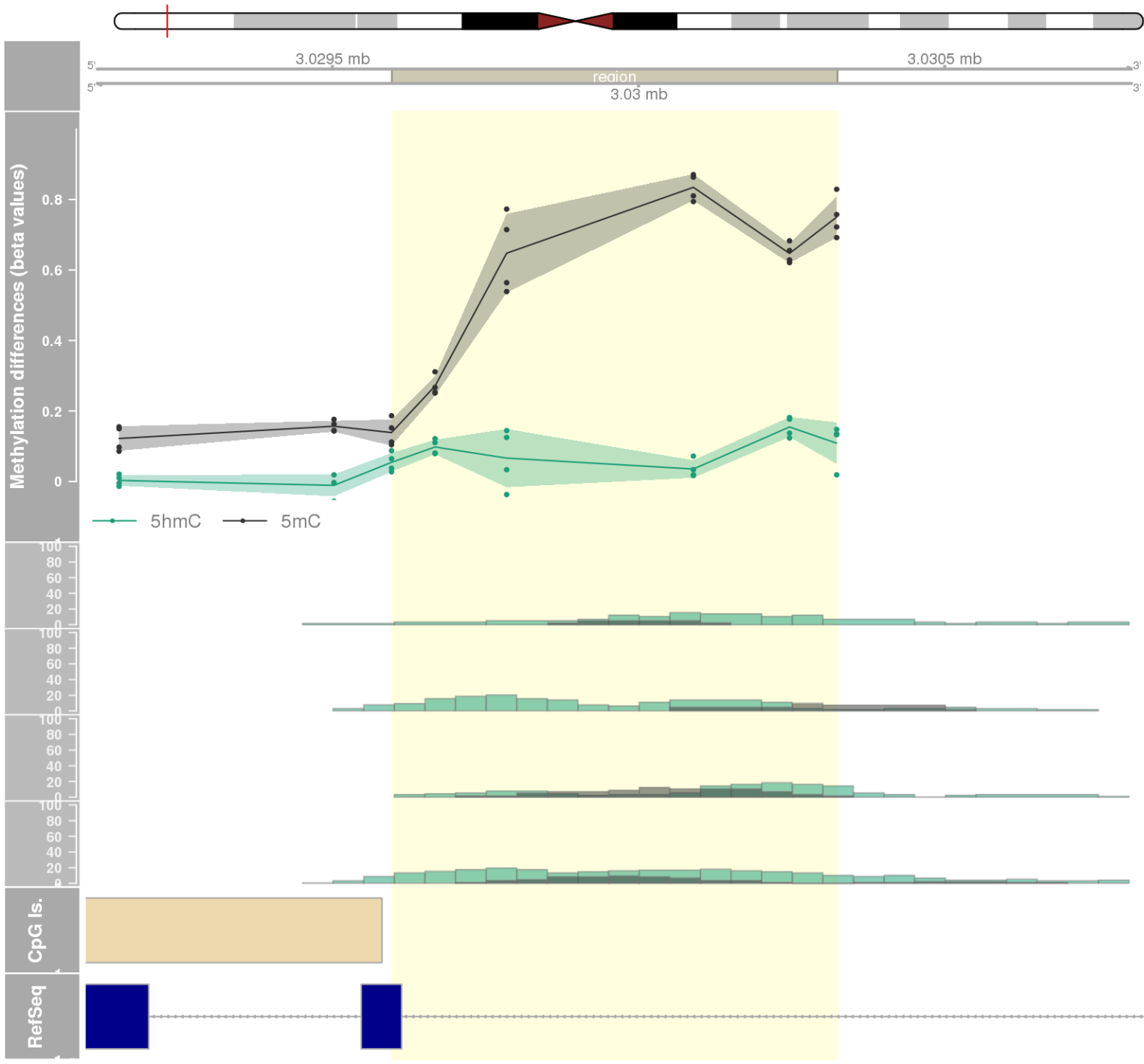
DMR 325 // chr1:151137274-151137676 // 402 pb. (5 probes) // pvalue: 0.011 // fwer: 1 // pvalueArea: 0.032 // fwerArea: 1
- genes: SCNM1 / LYSMD1 -



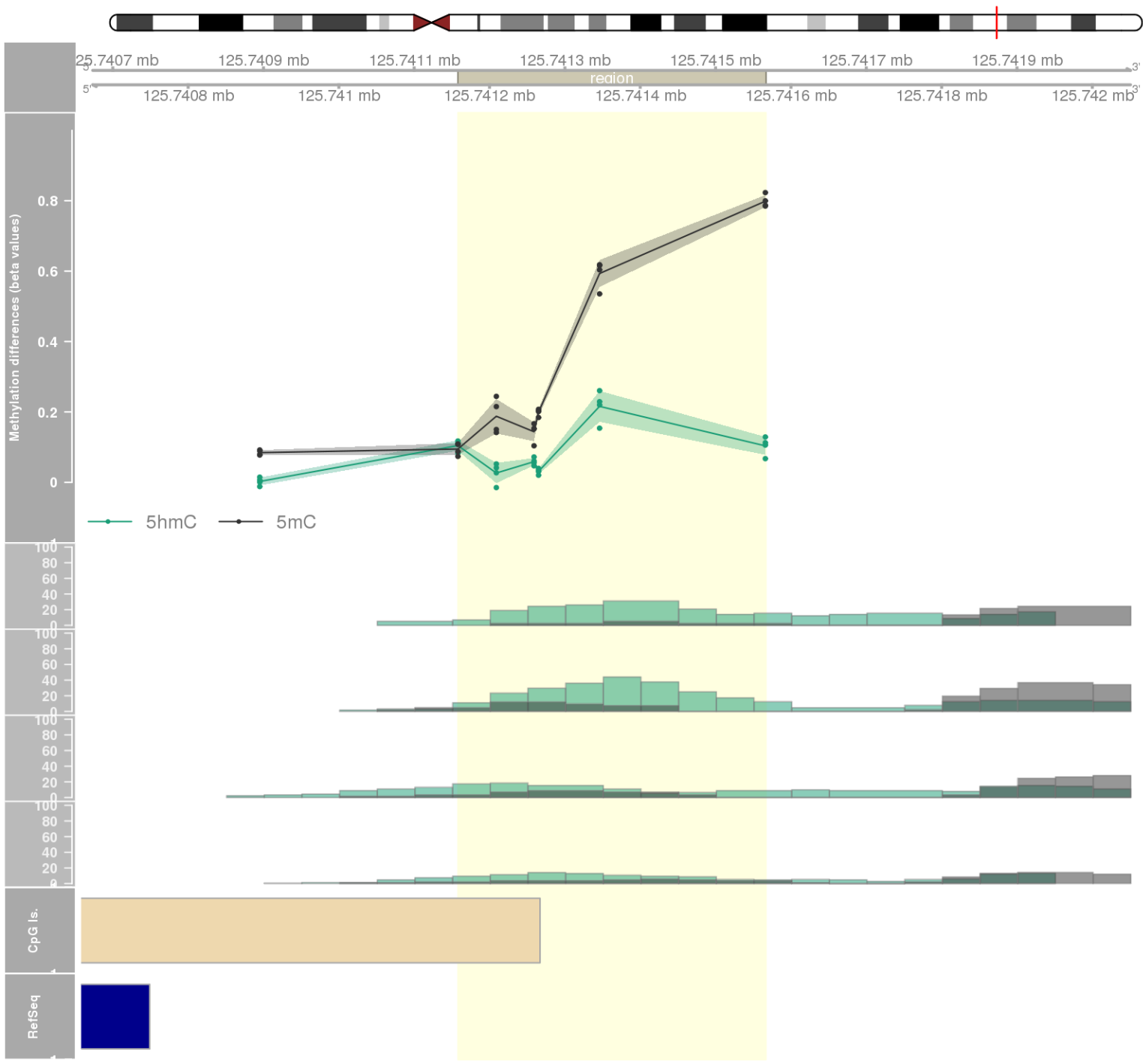
DMR 326 // chr5:118690955-118691126 // 171 pb. (5 probes) // pvalue: 0.011 // fwer: 1 // pvalueArea: 0.032 // fwerArea: 1
- genes: TNFAIP8 -



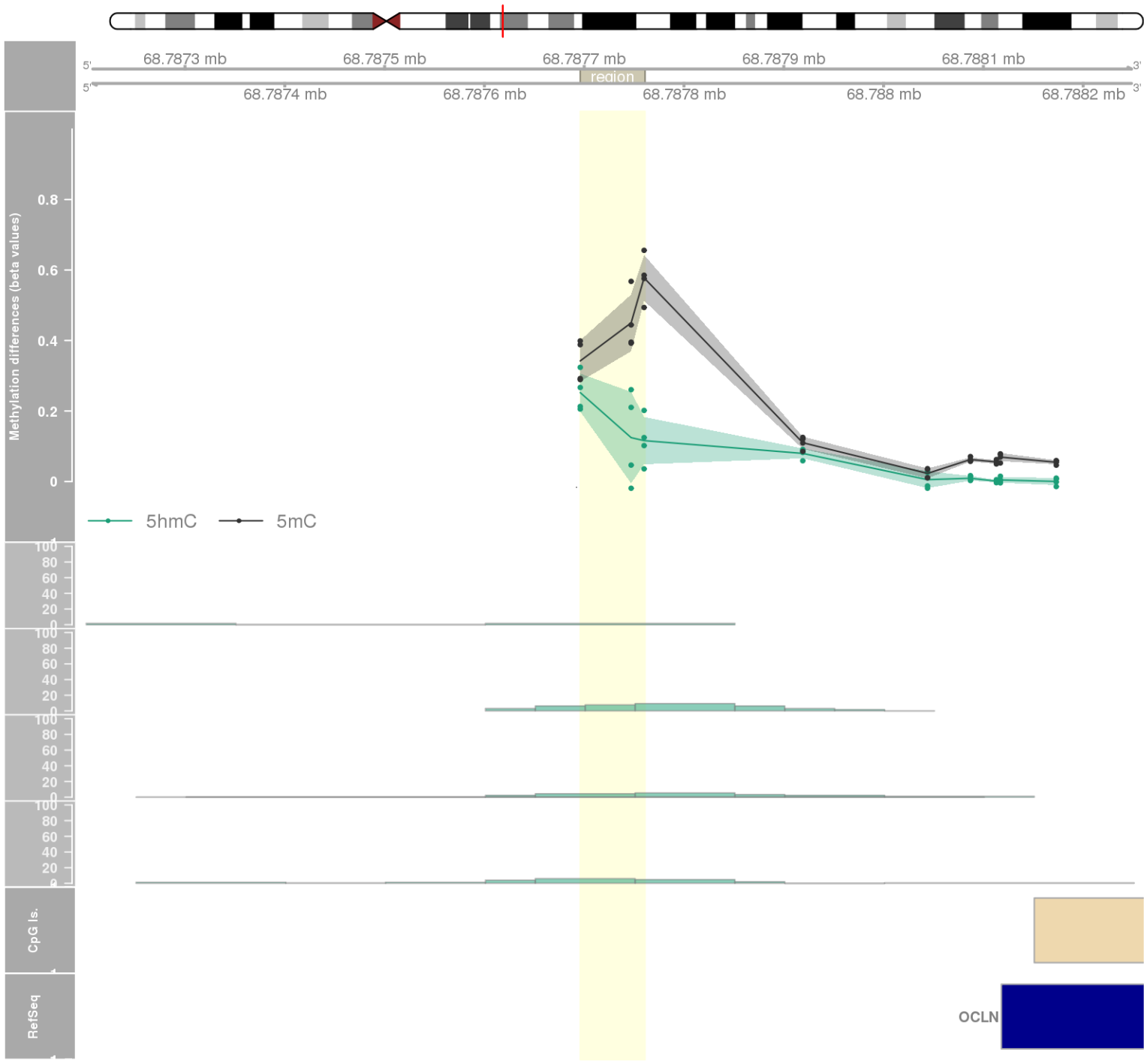
DMR 327 // chr19:3029597-3030324 // 727 pb. (6 probes) // pvalue: 0.015 // fwer: 1 // pvalueArea: 0.032 // fwerArea: 1
- genes: TLE2 -



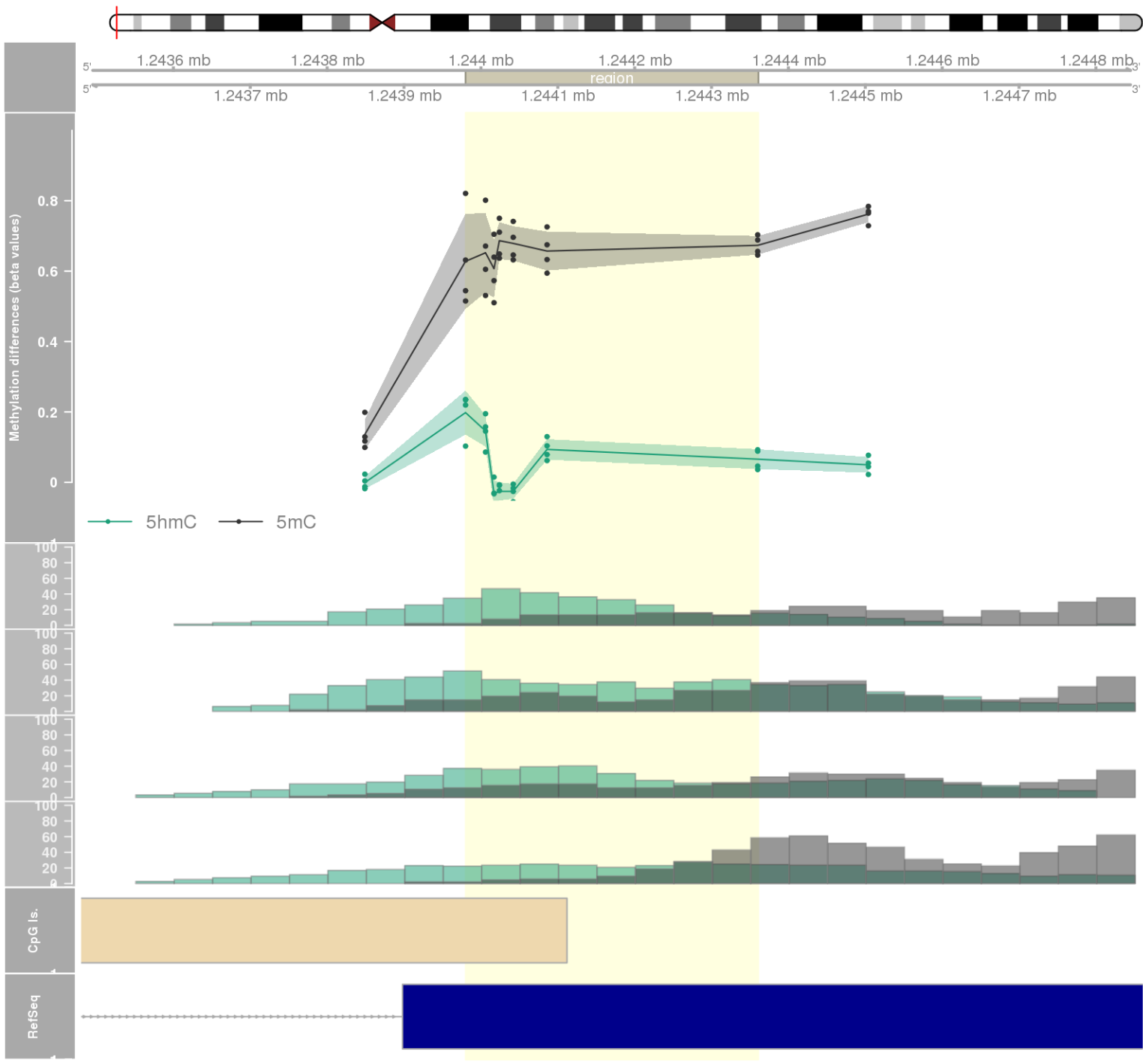
DMR 328 // chr8:125741158-125741566 // 408 pb. (6 probes) // pvalue: 0.015 // fwer: 1 // pvalueArea: 0.032 // fwerArea: 1



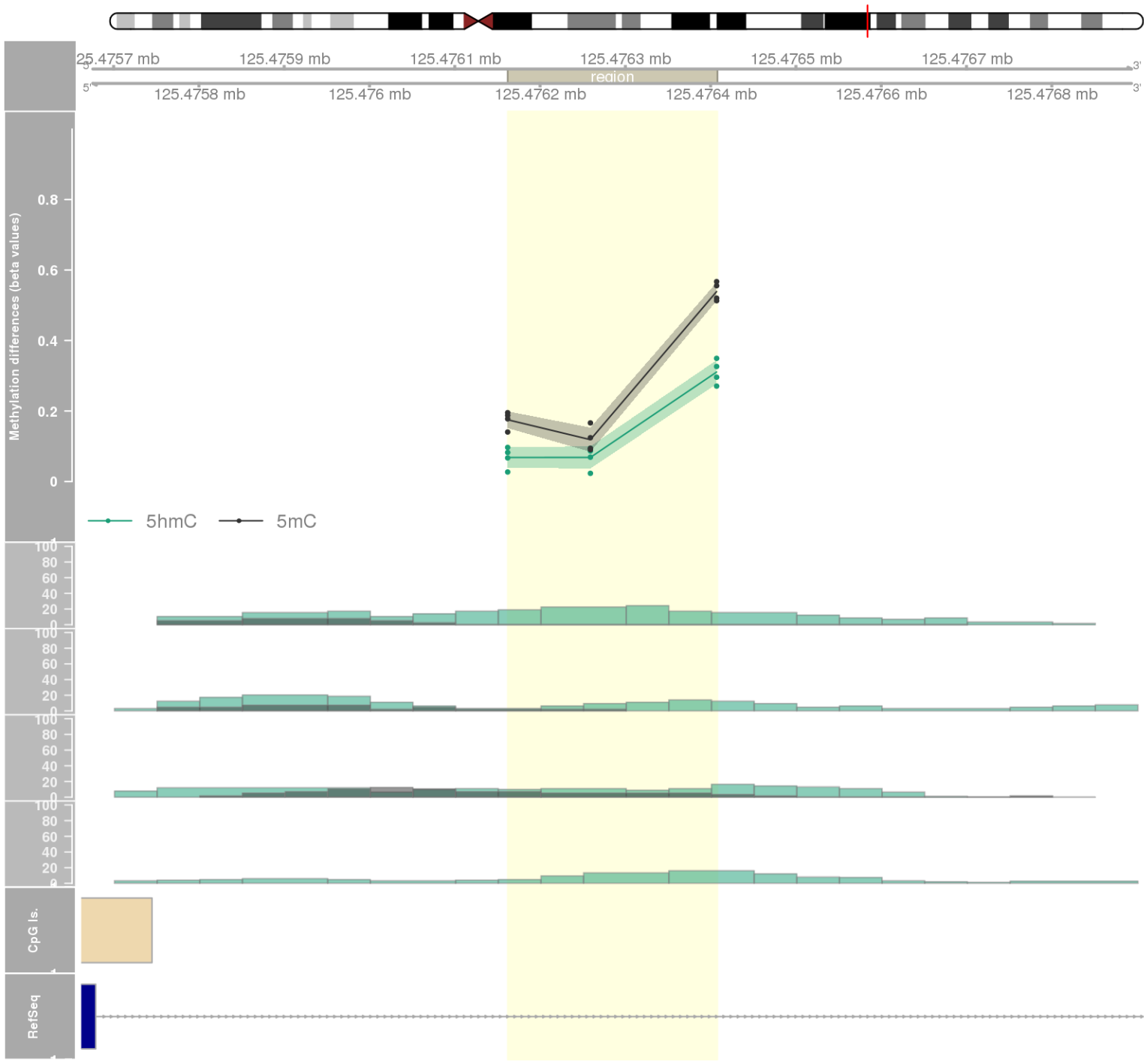
DMR 329 // chr5:68787696-68787760 // 64 pb. (3 probes) // pvalue: 0.002 // fwer: 1 // pvalueArea: 0.032 // fwerArea: 1



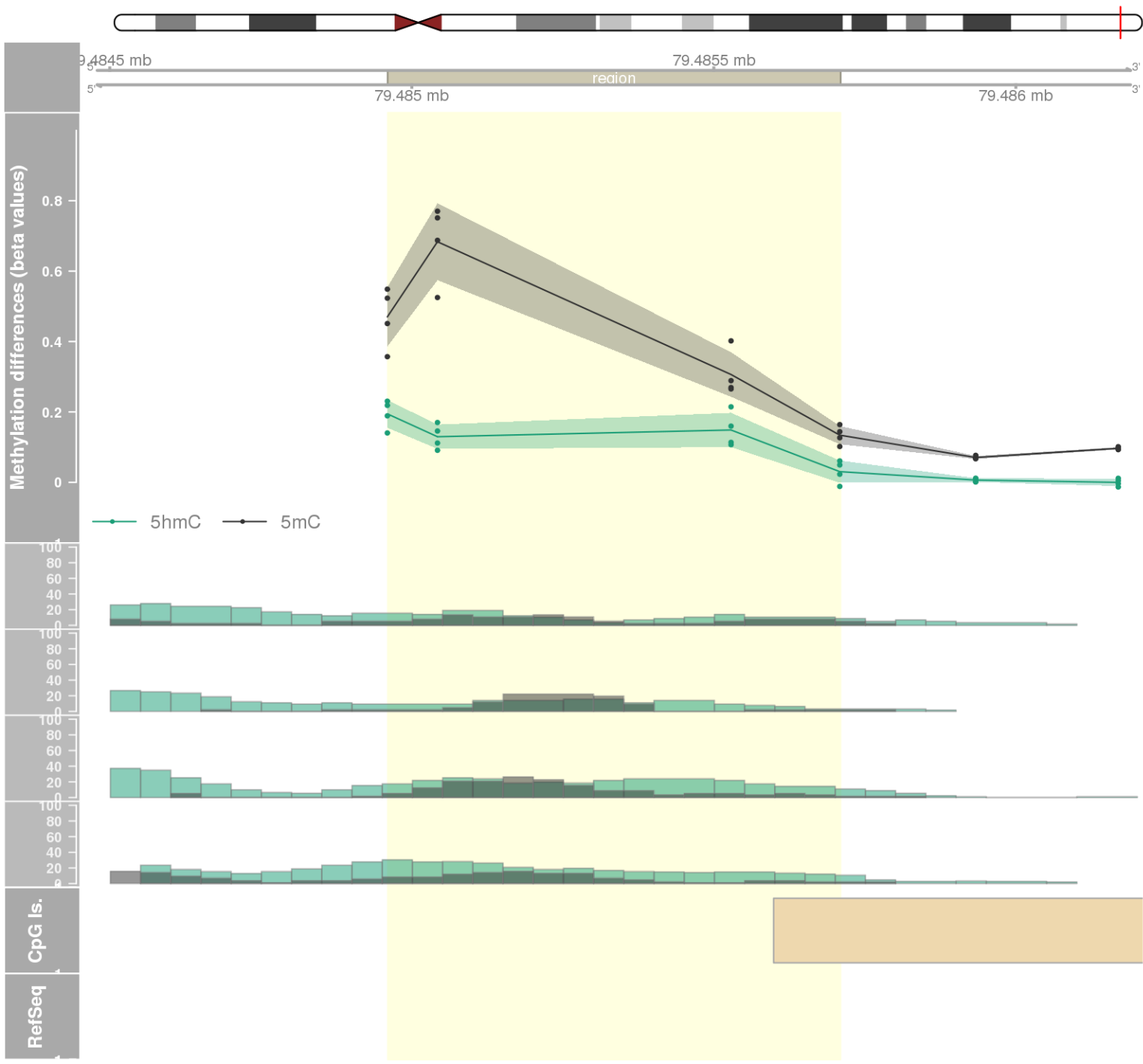
DMR 330 // chr4:1243980-1244360 // 380 pb. (7 probes) // pvalue: 0.005 // fwer: 1 // pvalueArea: 0.032 // fwerArea: 1
- genes: CTBP1-AS2 -

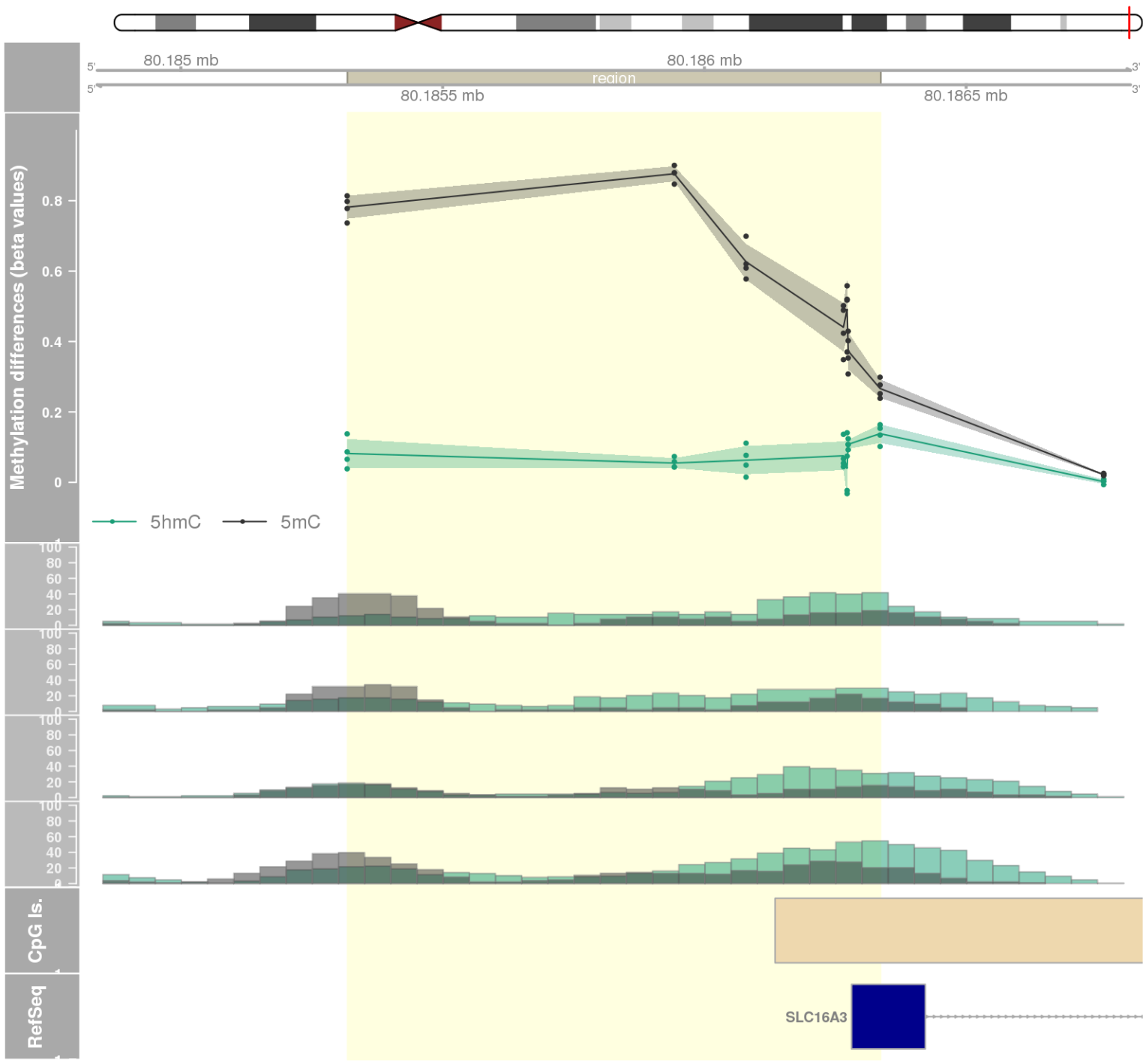


DMR 331 // chr6:125476162-125476407 // 245 pb. (3 probes) // pvalue: 0.002 // fwer: 1 // pvalueArea: 0.032 // fwerArea: 1
- genes: TPD52L1 -

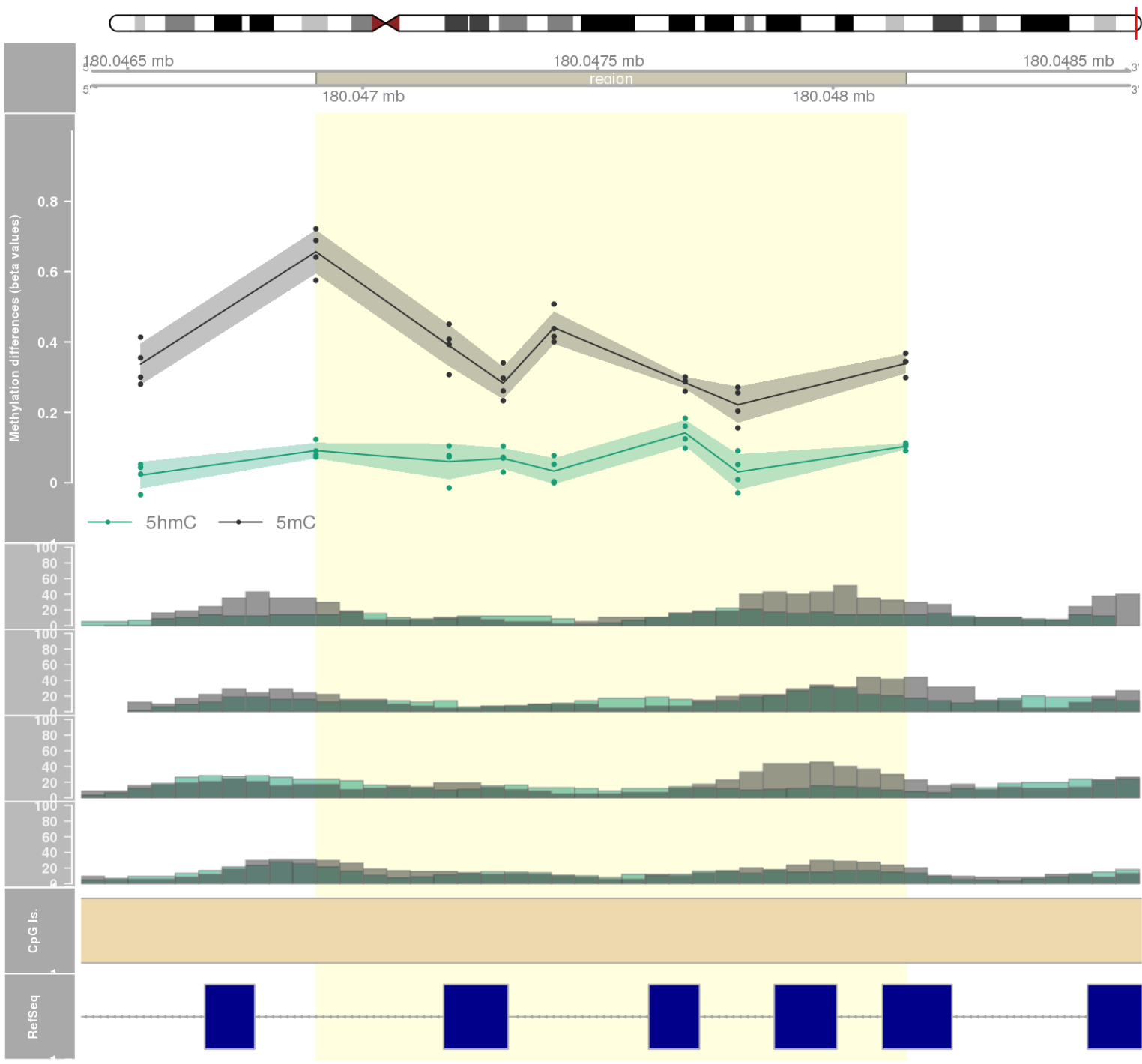


DMR 332 // chr17:79484960-79485709 // 749 pb. (4 probes) // pvalue: 0.006 // fwer: 1 // pvalueArea: 0.032 // fwerArea: 1
- genes: ACTG1 -

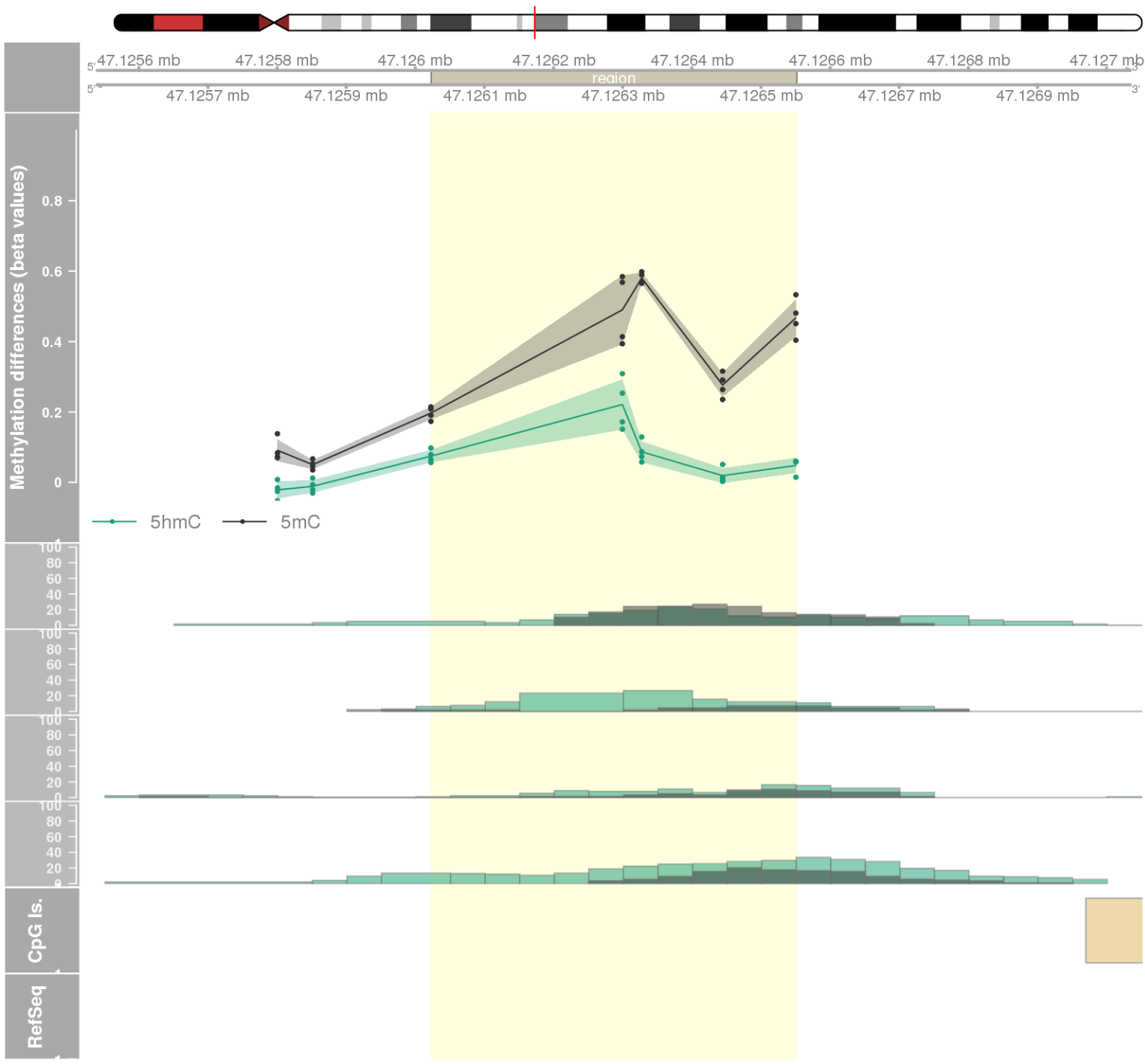




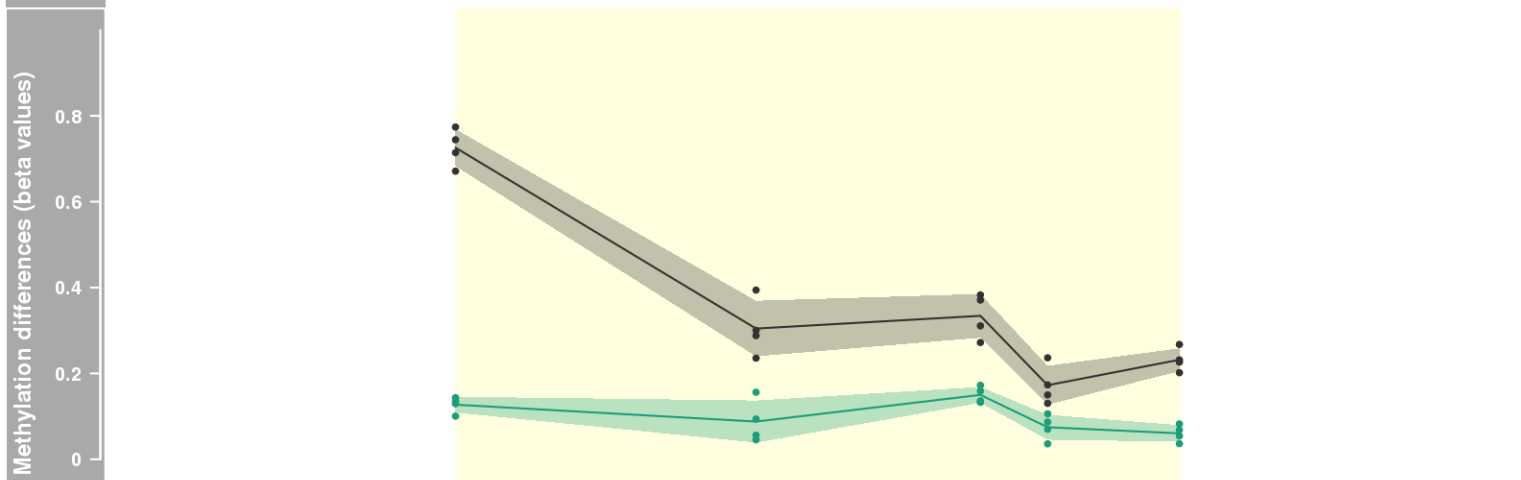
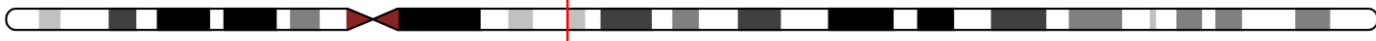
DMR 334 // chr5:180046901-180048155 // 1254 pb. (7 probes) // pvalue: 0.016 // fwer: 1 // pvalueArea: 0.032 // fwerArea: 1
- genes: FLT4 -



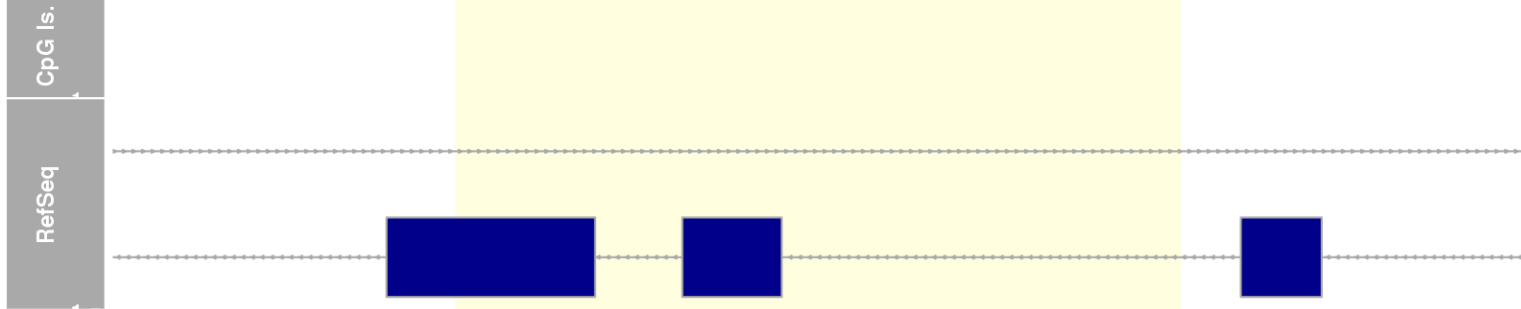
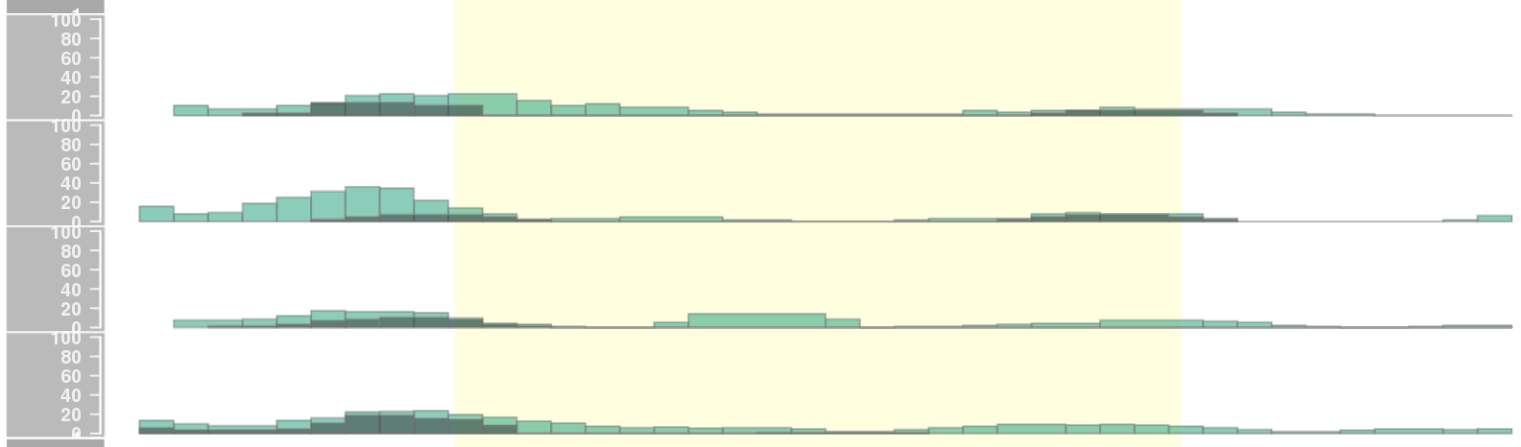
DMR 335 // chr13:47126023-47126551 // 528 pb. (5 probes) // pvalue: 0.012 // fwer: 1 // pvalueArea: 0.032 // fwerArea: 1



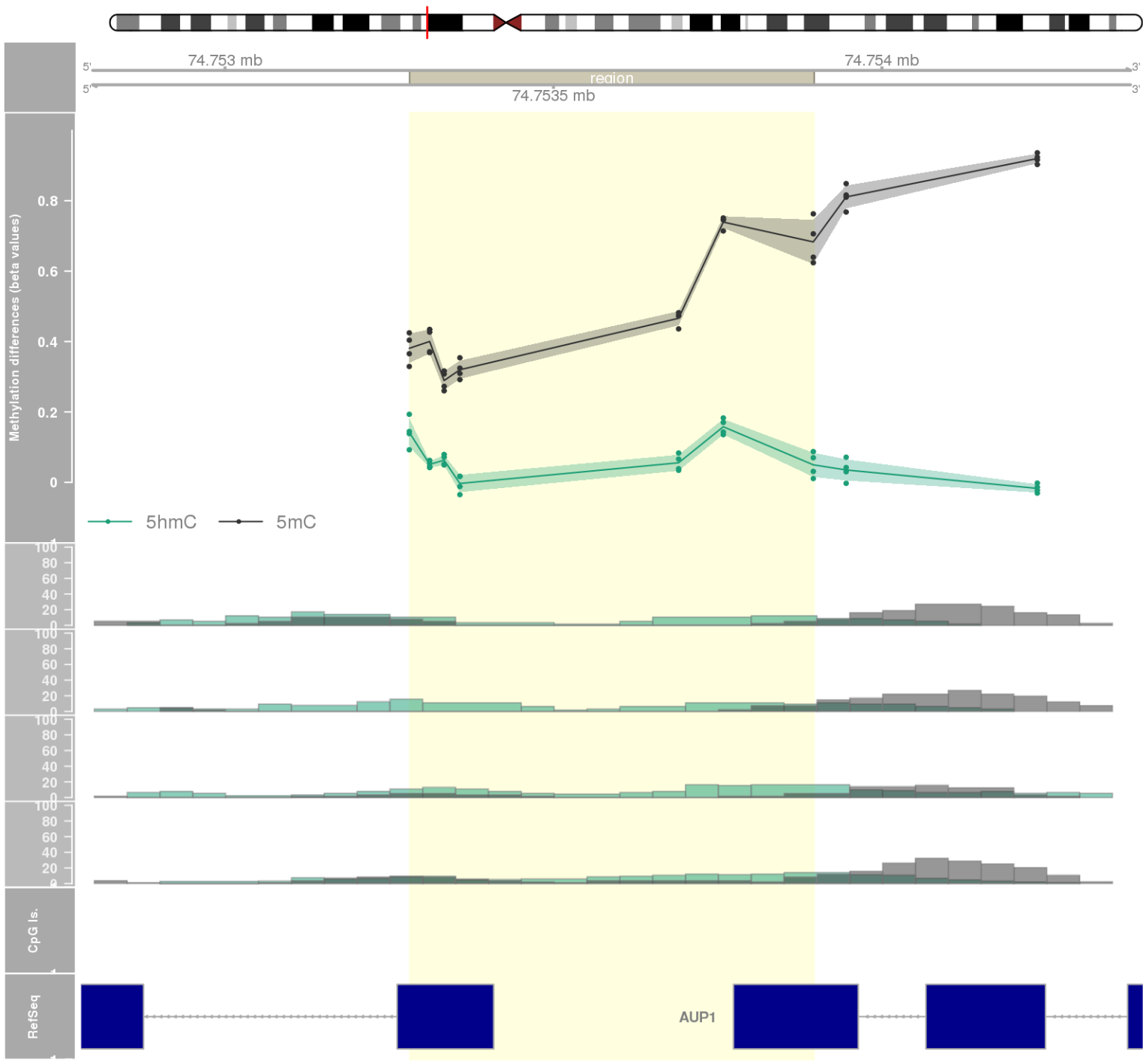
DMR 336 // chr12:54778312-54779367 // 1055 pb. (5 probes) // pvalue: 0.013 // fwer: 1 // pvalueArea: 0.033 // fwerArea: 1
- genes: ZNF385A -



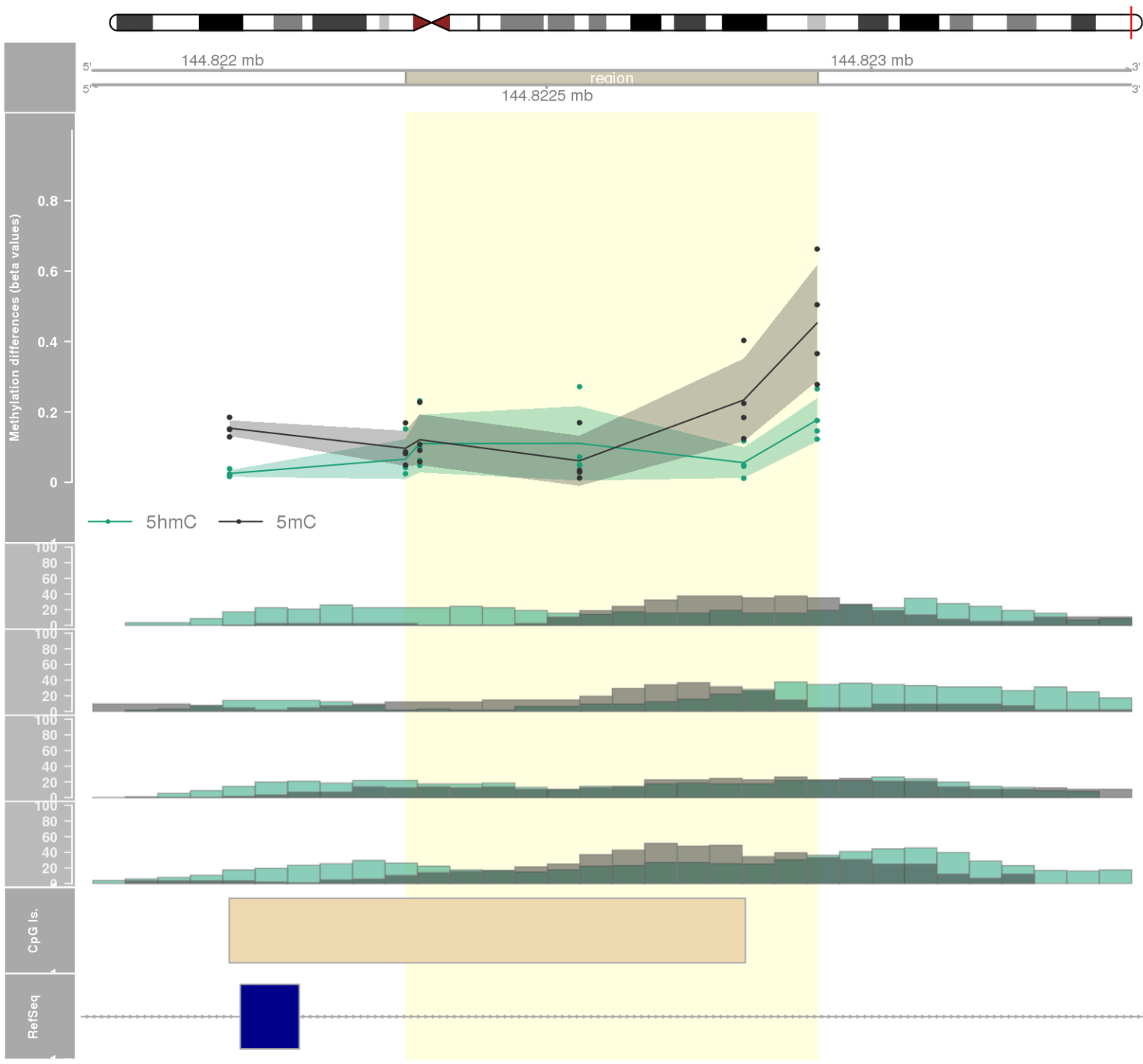
—●— 5hmC —●— 5mC



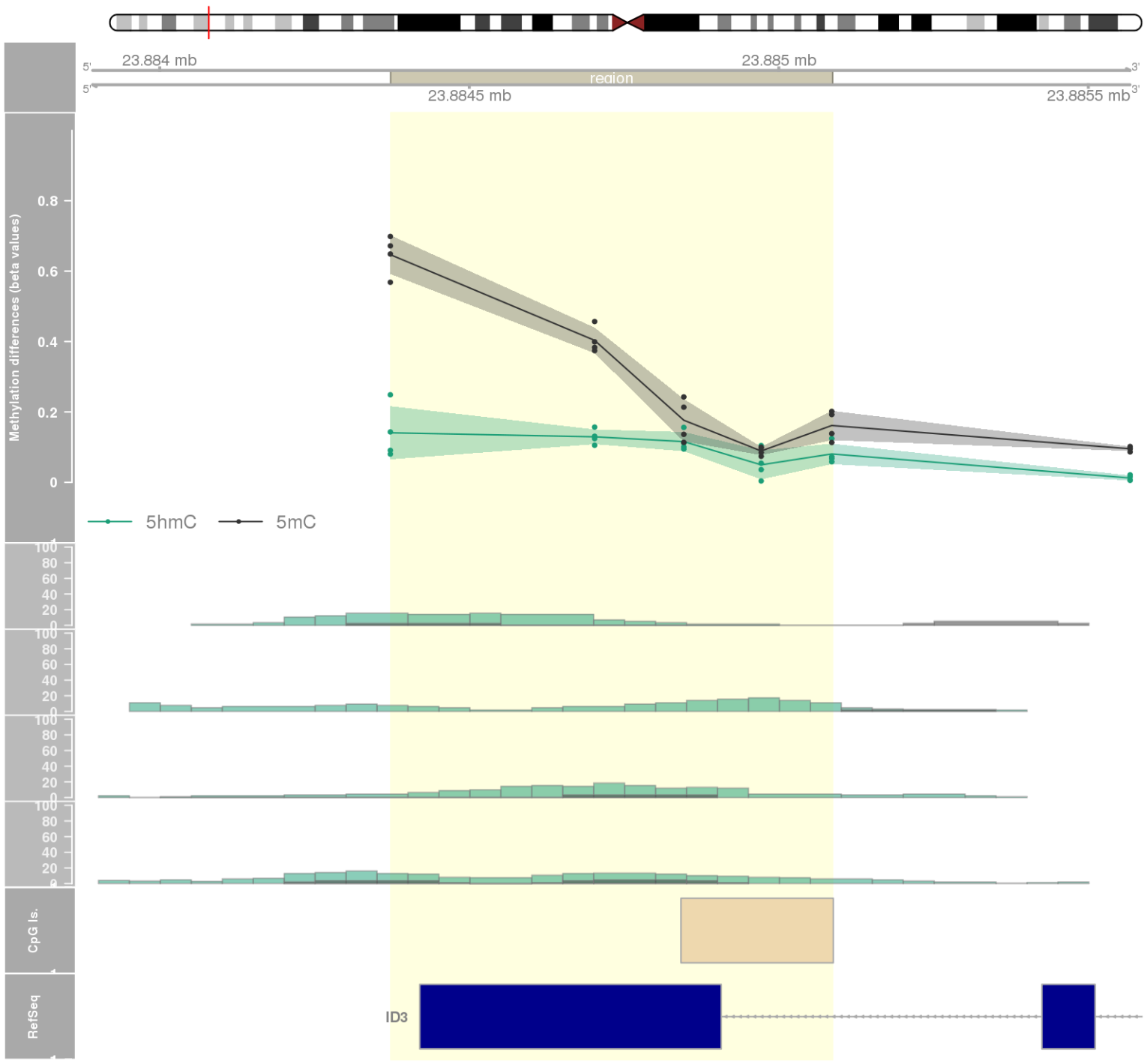
DMR 337 // chr2:74753281-74753896 // 615 pb. (7 probes) // pvalue: 0.016 // fwer: 1 // pvalueArea: 0.033 // fwerArea: 1
- genes: DQX1 / AUP1 -



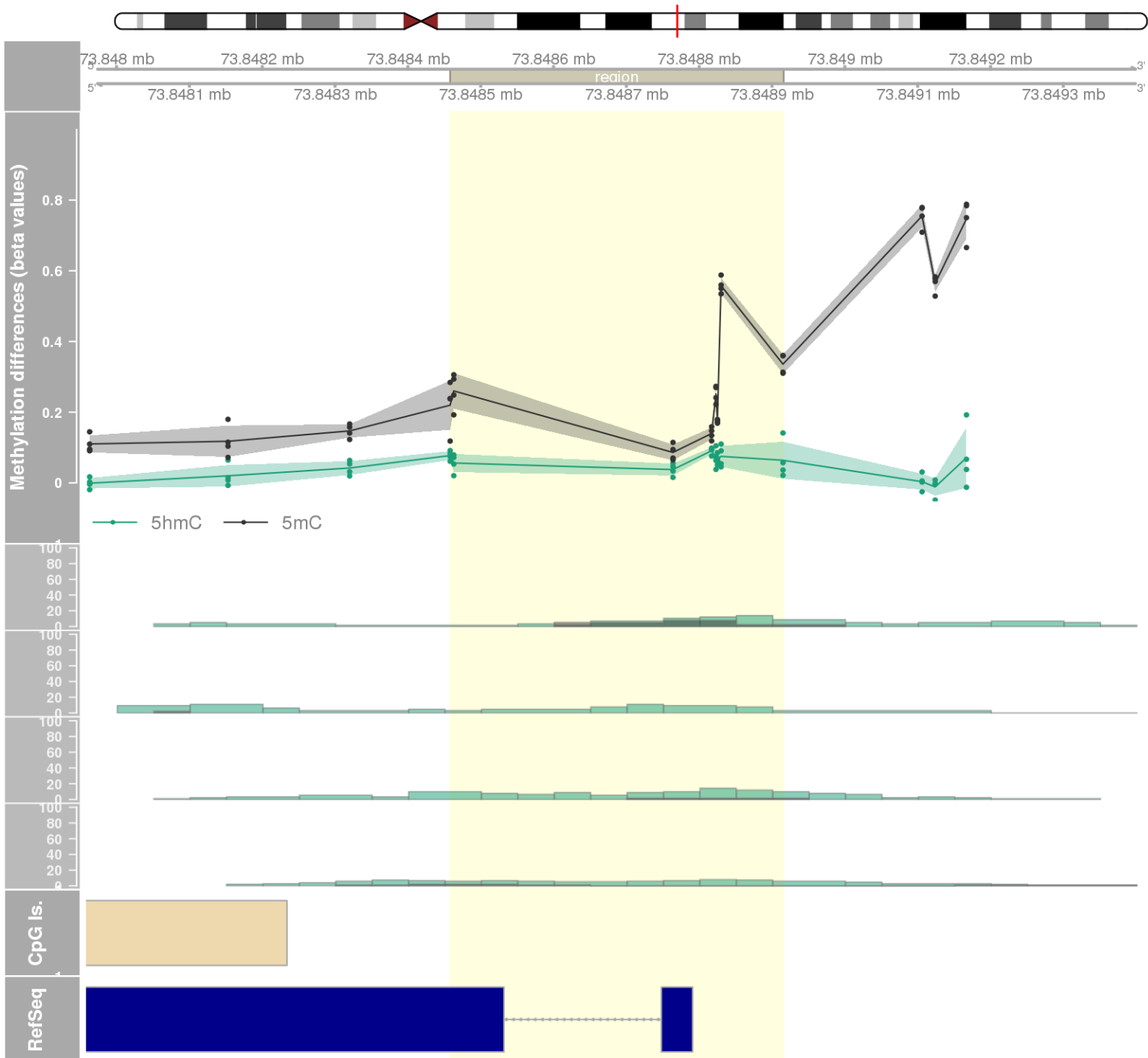
DMR 338 // chr8:144822283-144822917 // 634 pb. (5 probes) // pvalue: 0.013 // fwer: 1 // pvalueArea: 0.033 // fwerArea: 1
- genes: FAM83H-AS1 -



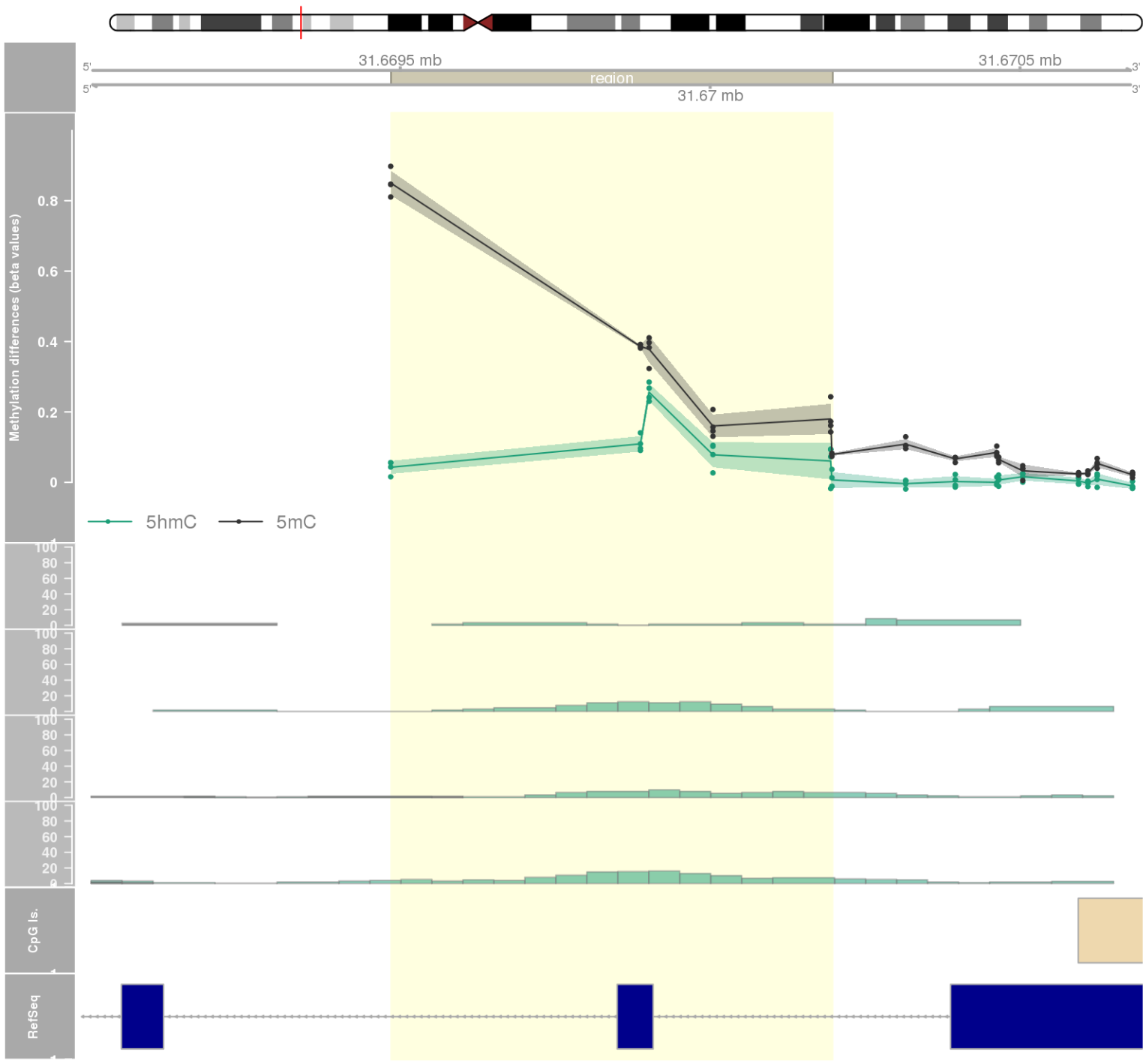
DMR 339 // chr1:23884373-23885086 // 713 pb. (5 probes) // pvalue: 0.013 // fwer: 1 // pvalueArea: 0.033 // fwerArea: 1
- genes: ID3 -



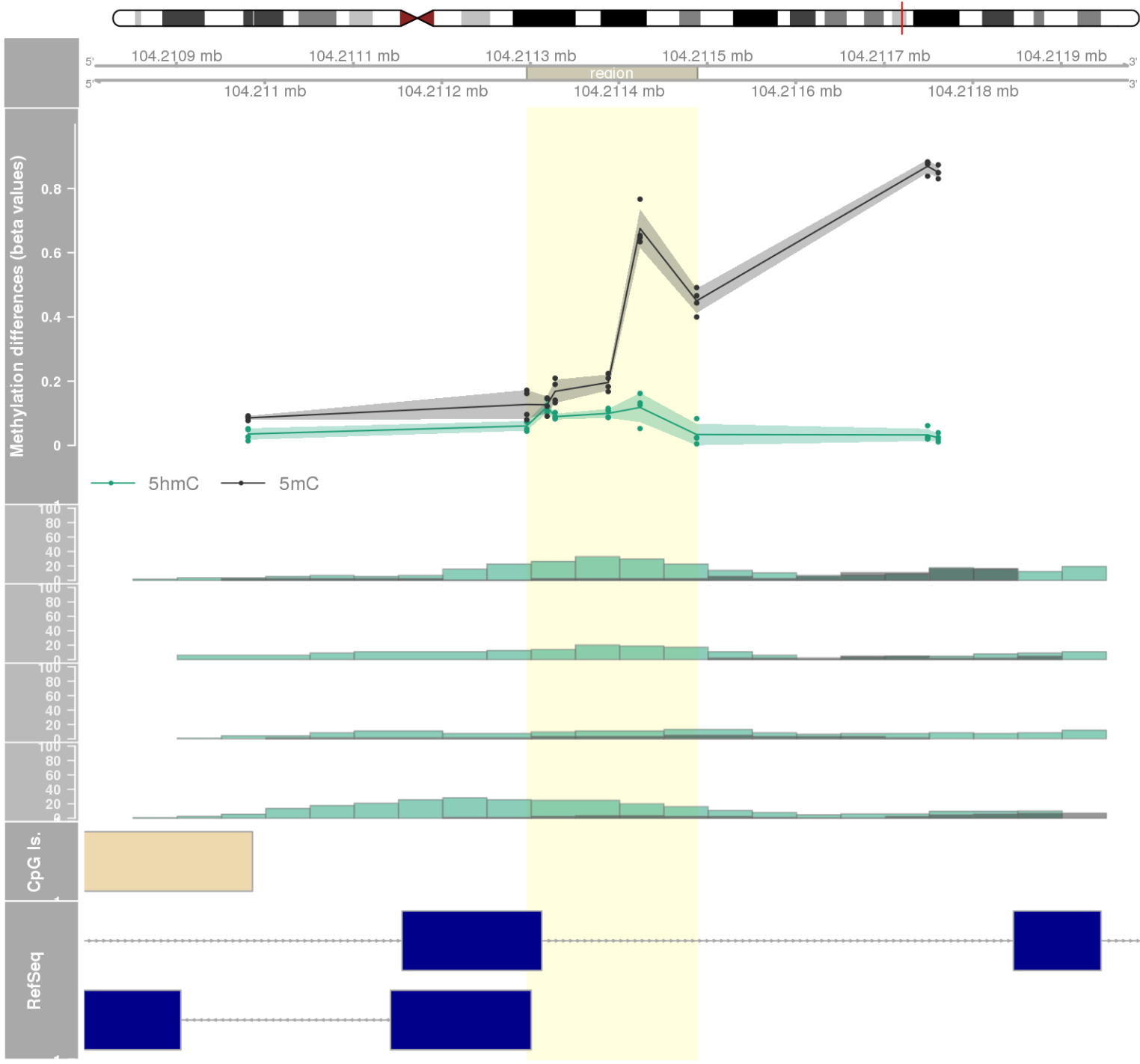
DMR 340 // chr10:73848458-73848915 // 457 pb. (8 probes) // pvalue: 0.012 // fwer: 1 // pvalueArea: 0.033 // fwerArea: 1
- genes: SPOCK2 -



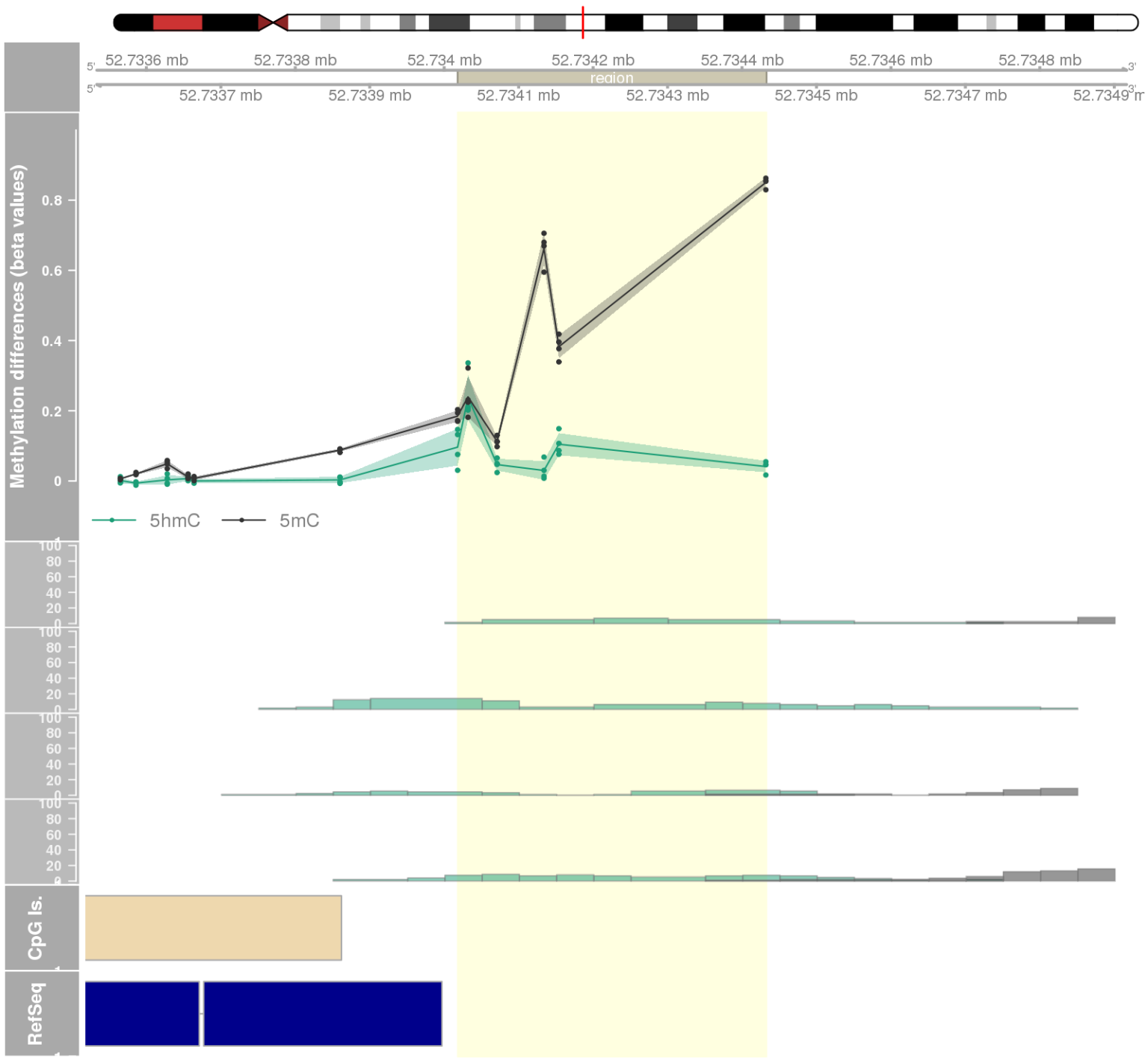
DMR 341 // chr6:31669485-31670197 // 712 pb. (6 probes) // pvalue: 0.017 // fwer: 1 // pvalueArea: 0.033 // fwerArea: 1
- genes: ABHD16A -

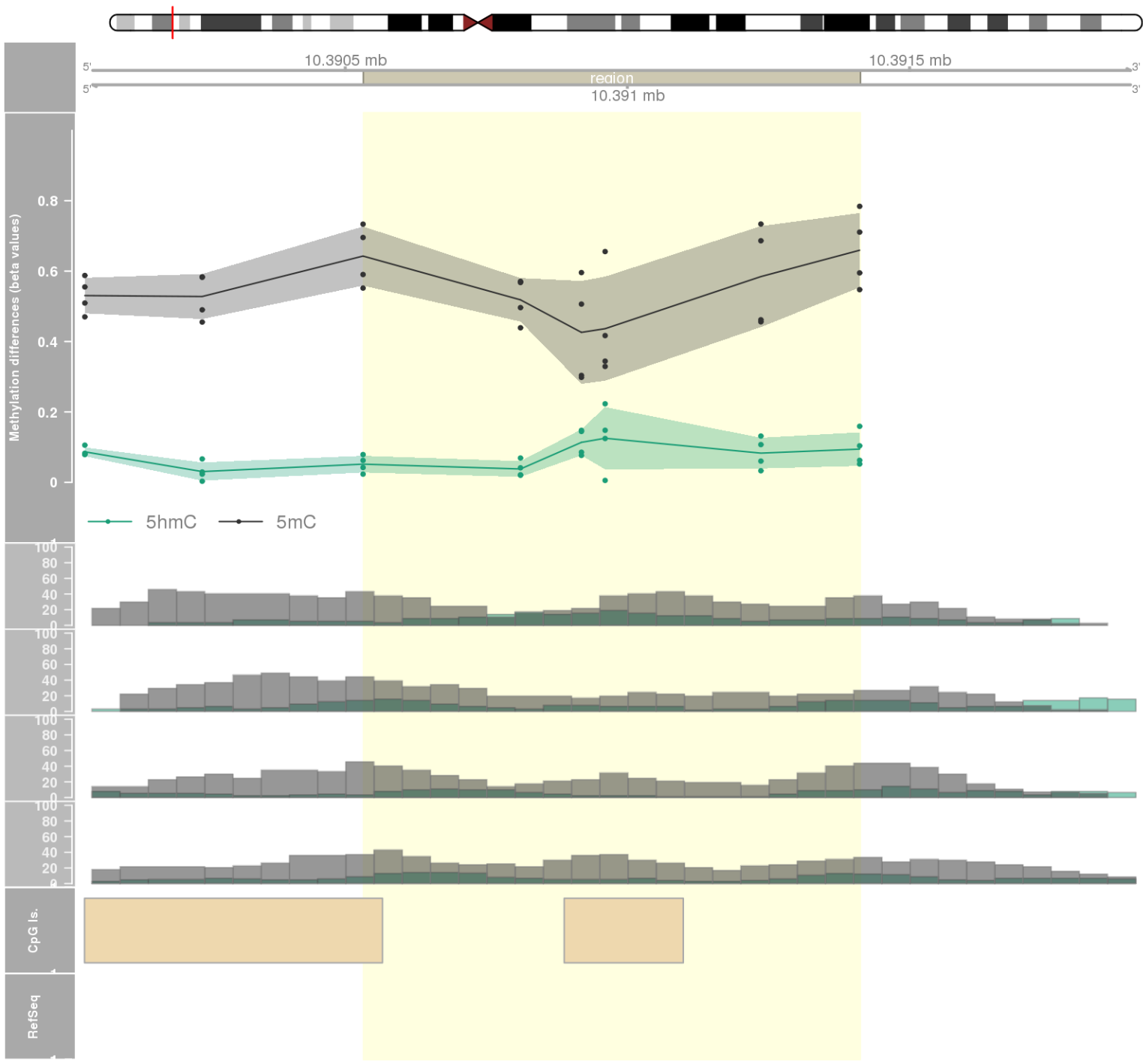


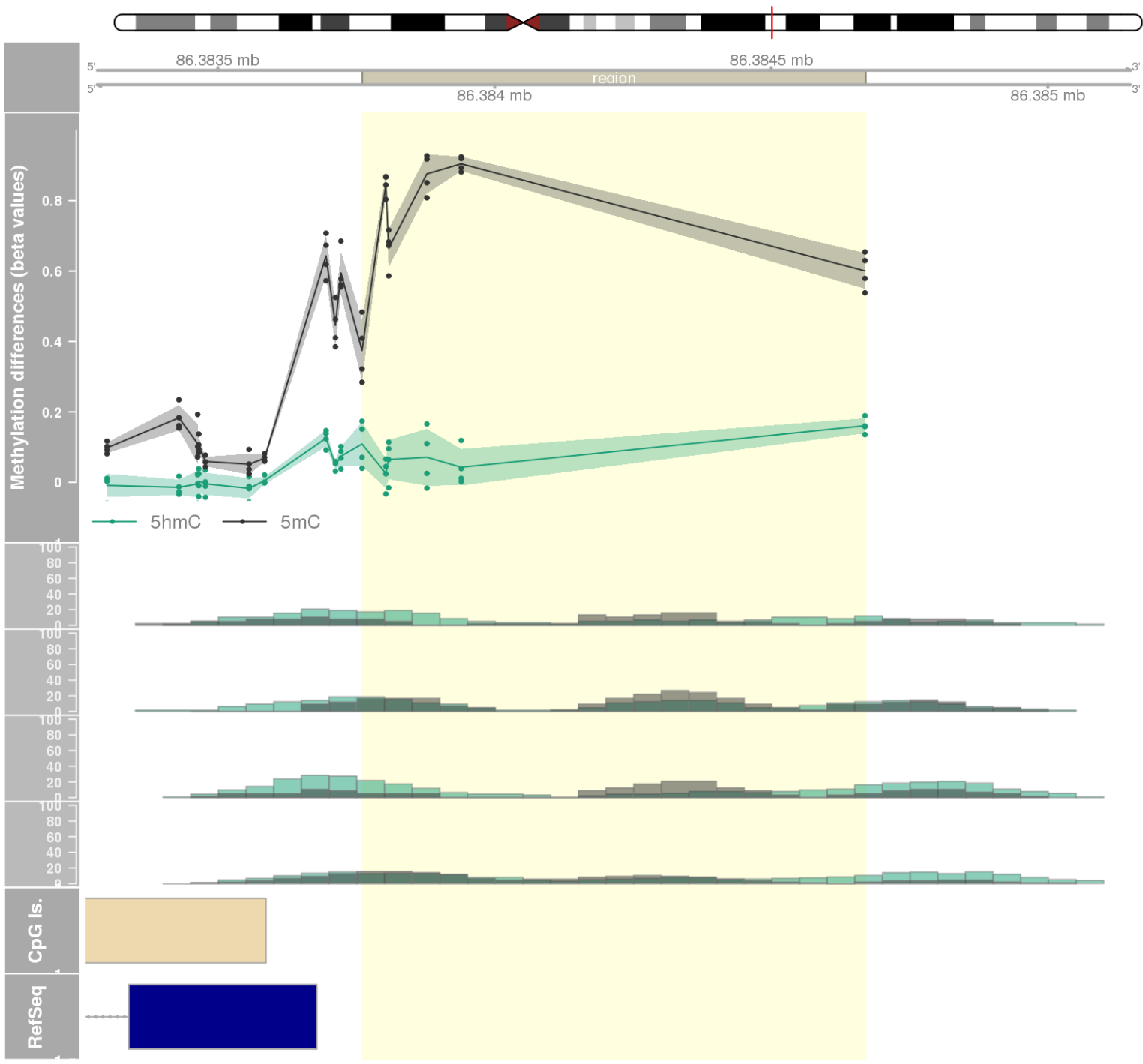
DMR 342 // chr10:104211296-104211488 // 192 pb. (6 probes) // pvalue: 0.017 // fwer: 1 // pvalueArea: 0.033 // fwerArea: 1
- genes: C10orf95 -



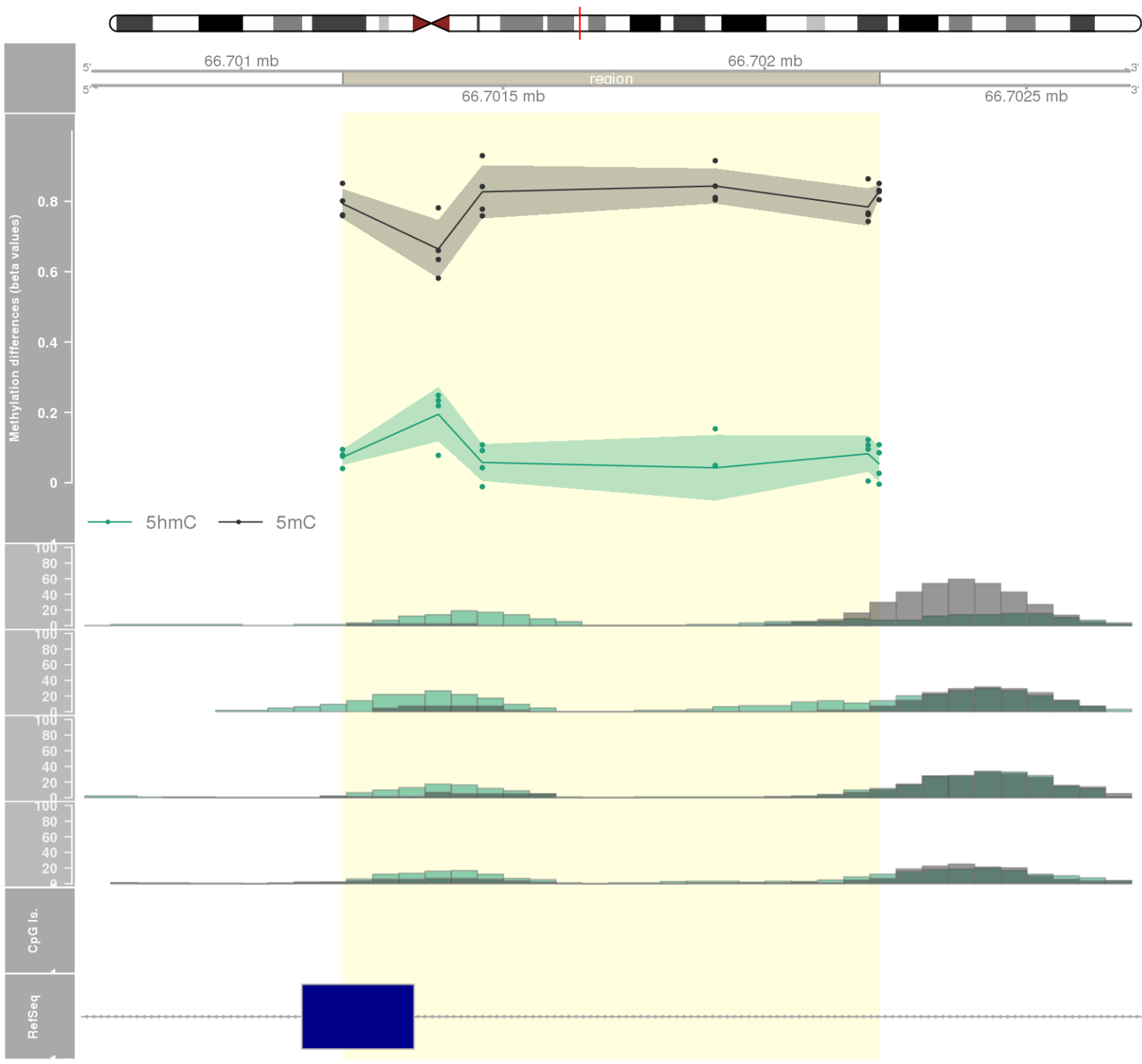
DMR 343 // chr13:52734018-52734432 // 414 pb. (6 probes) // pvalue: 0.017 // fwer: 1 // pvalueArea: 0.034 // fwerArea: 1



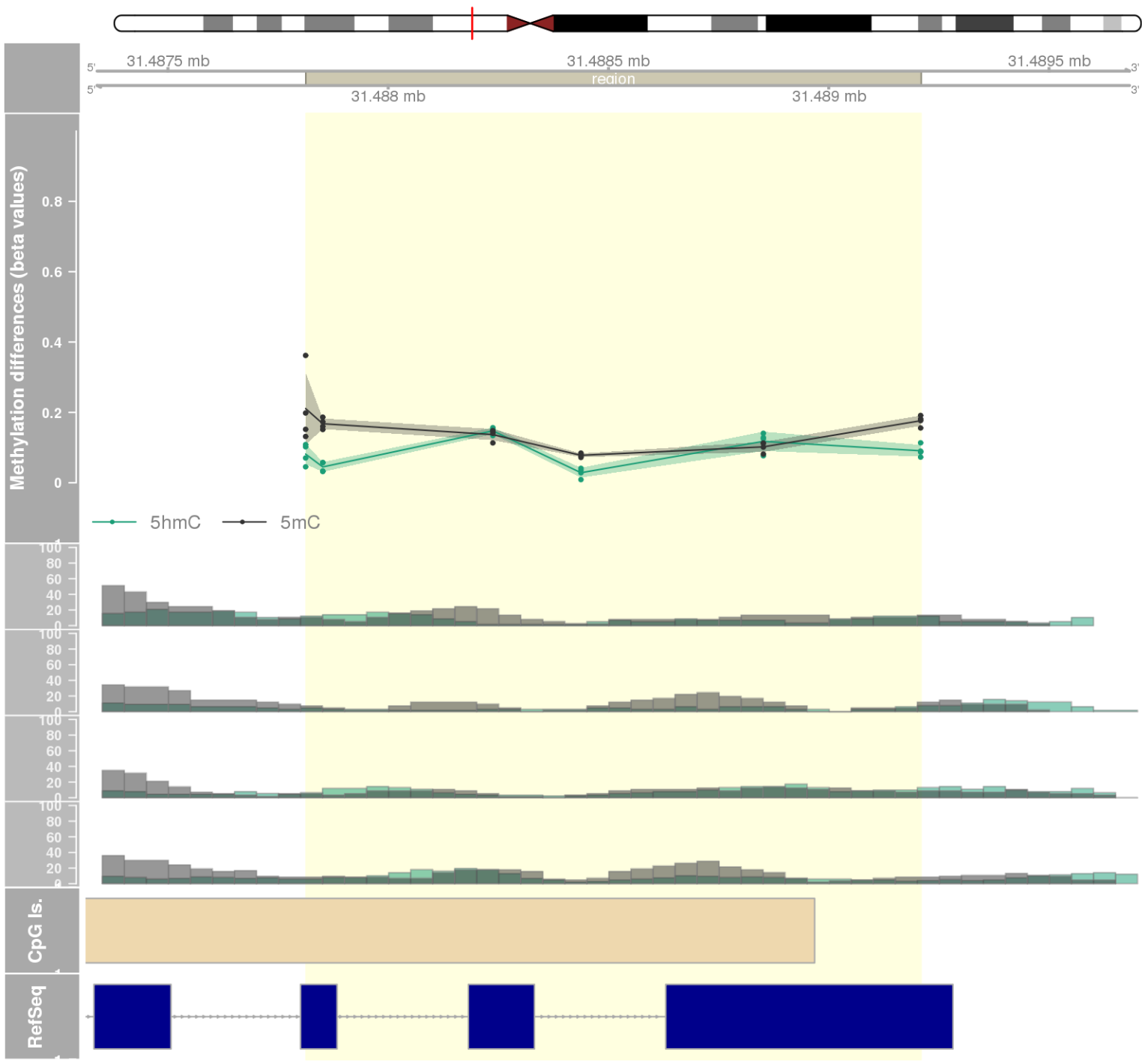


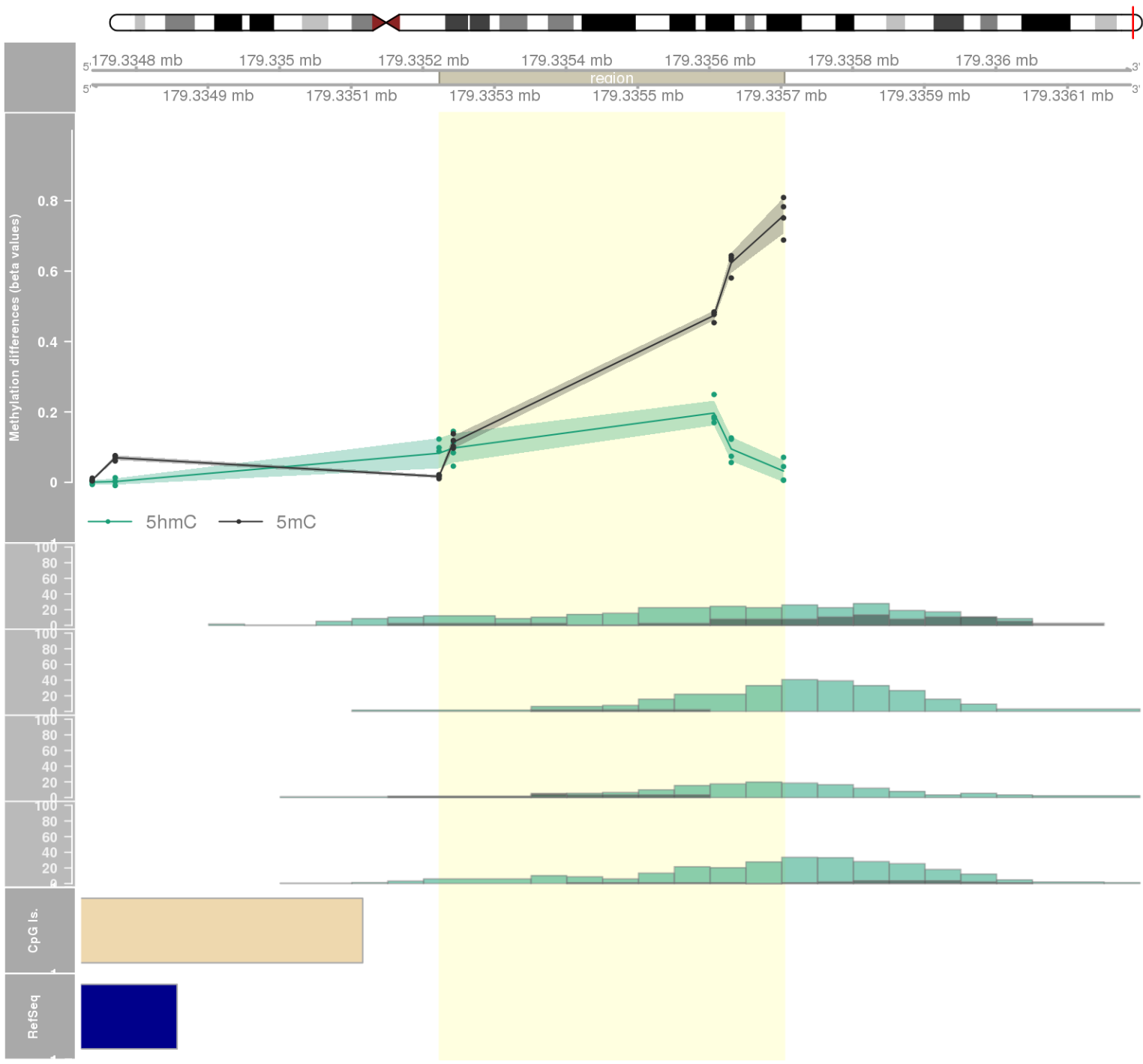


DMR 346 // chr8:66701194-66702219 // 1025 pb. (6 probes) // pvalue: 0.018 // fwer: 1 // pvalueArea: 0.034 // fwerArea: 1
- genes: PDE7A -

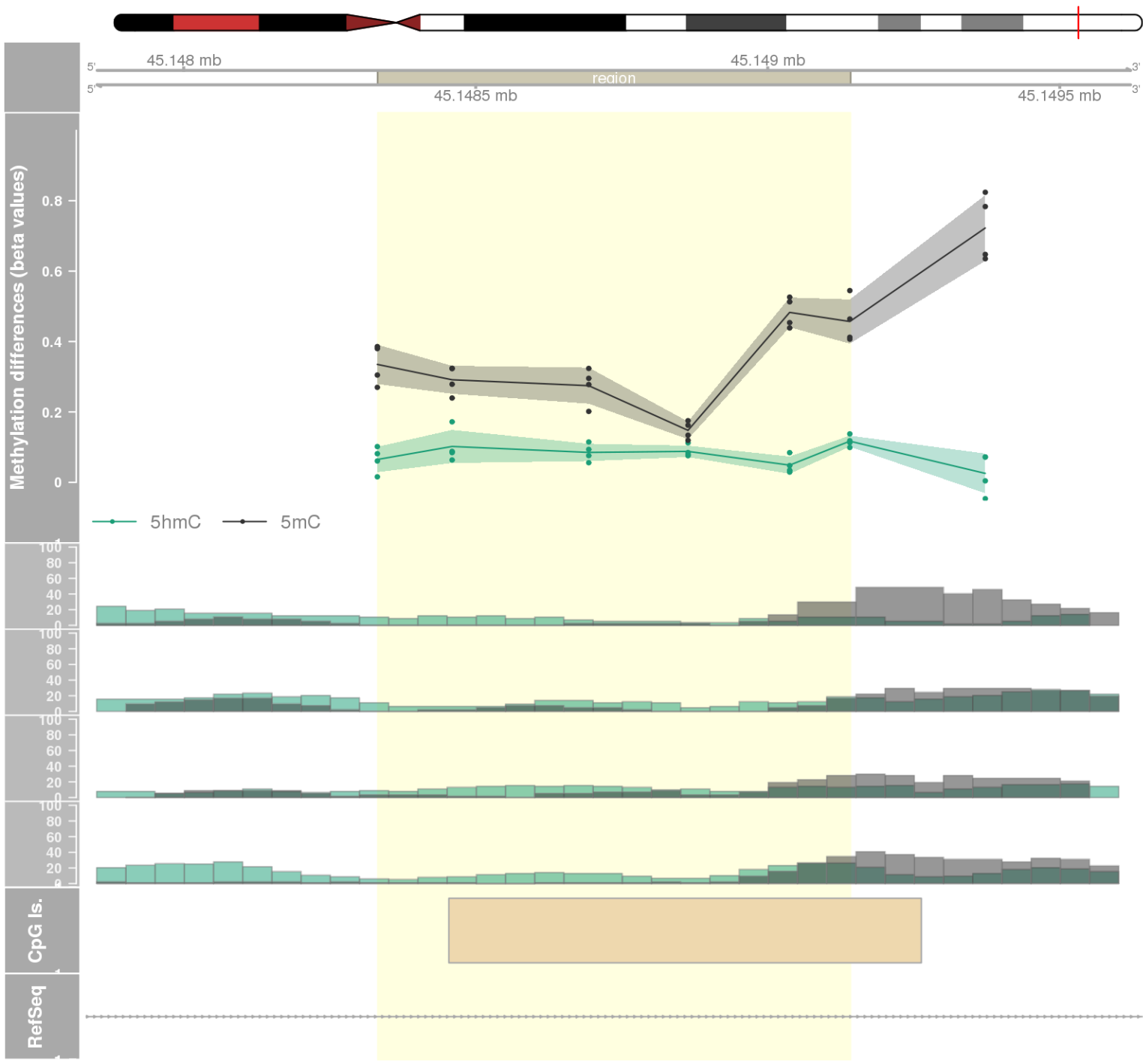


DMR 347 // chr16:31487813-31489209 // 1396 pb. (6 probes) // pvalue: 0.018 // fwer: 1 // pvalueArea: 0.034 // fwerArea: 1
- genes: TGFB111 -

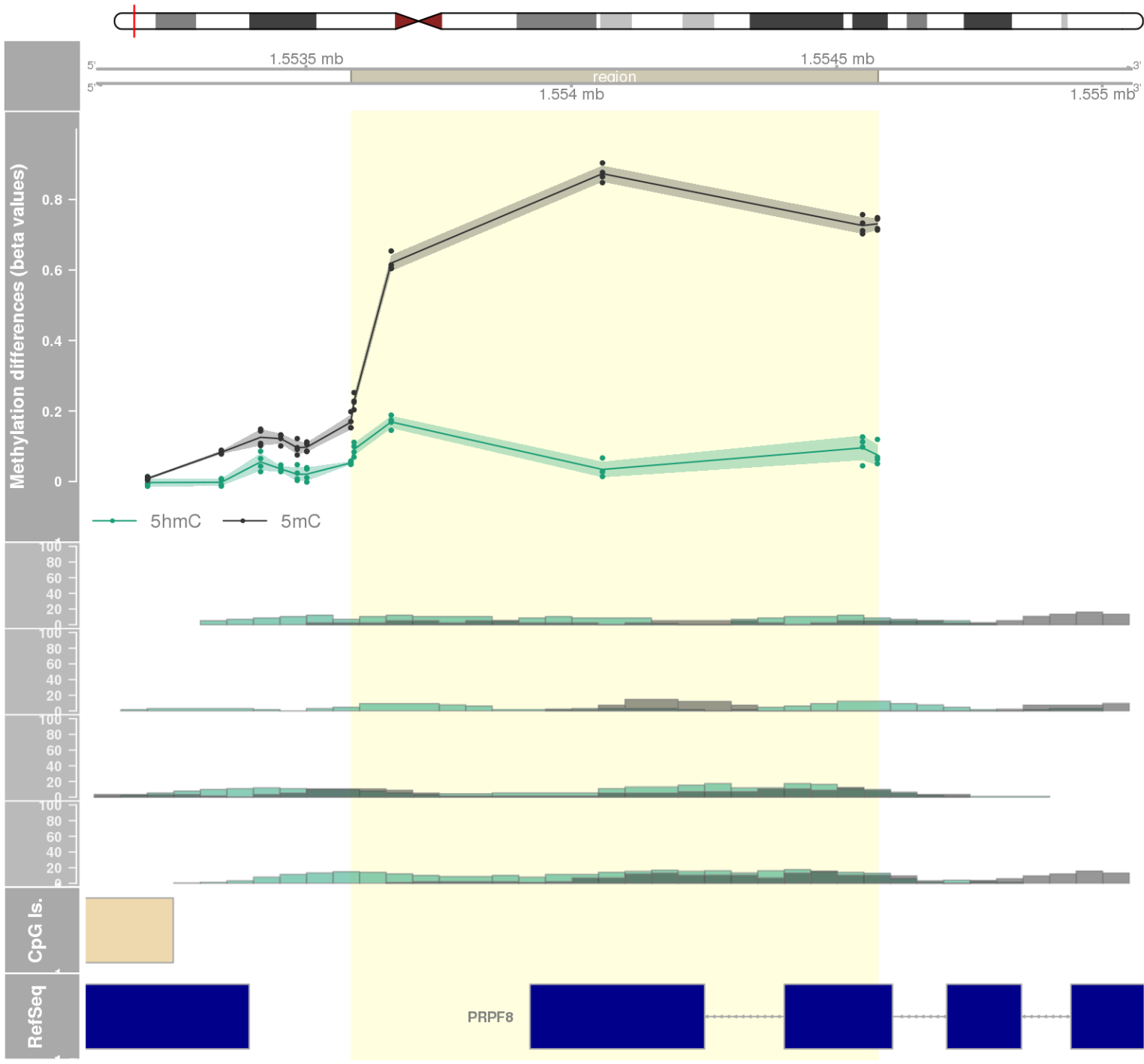




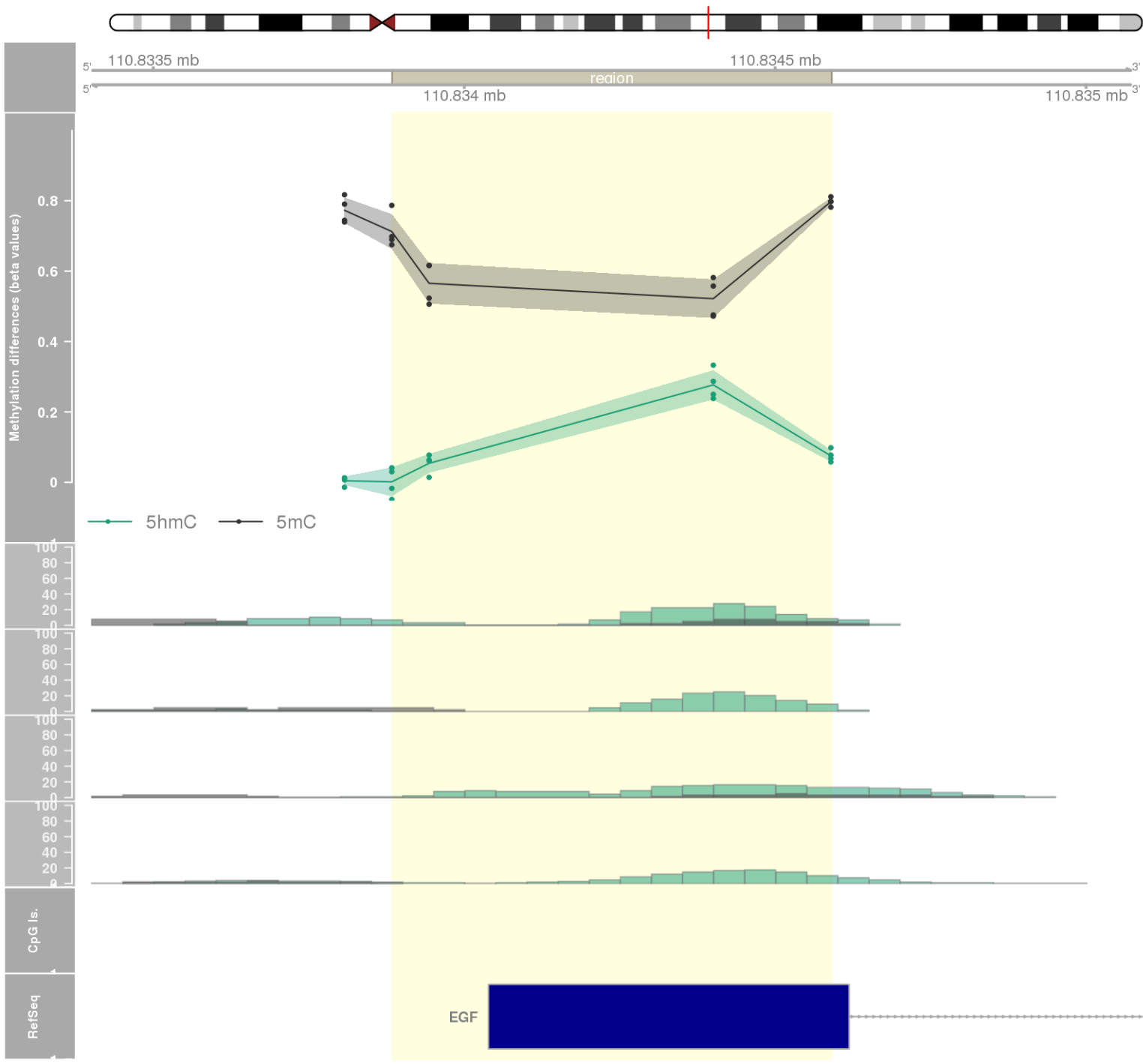
DMR 349 // chr21:45148332-45149141 // 809 pb. (6 probes) // pvalue: 0.018 // fwer: 1 // pvalueArea: 0.034 // fwerArea: 1
- genes: PDXK -



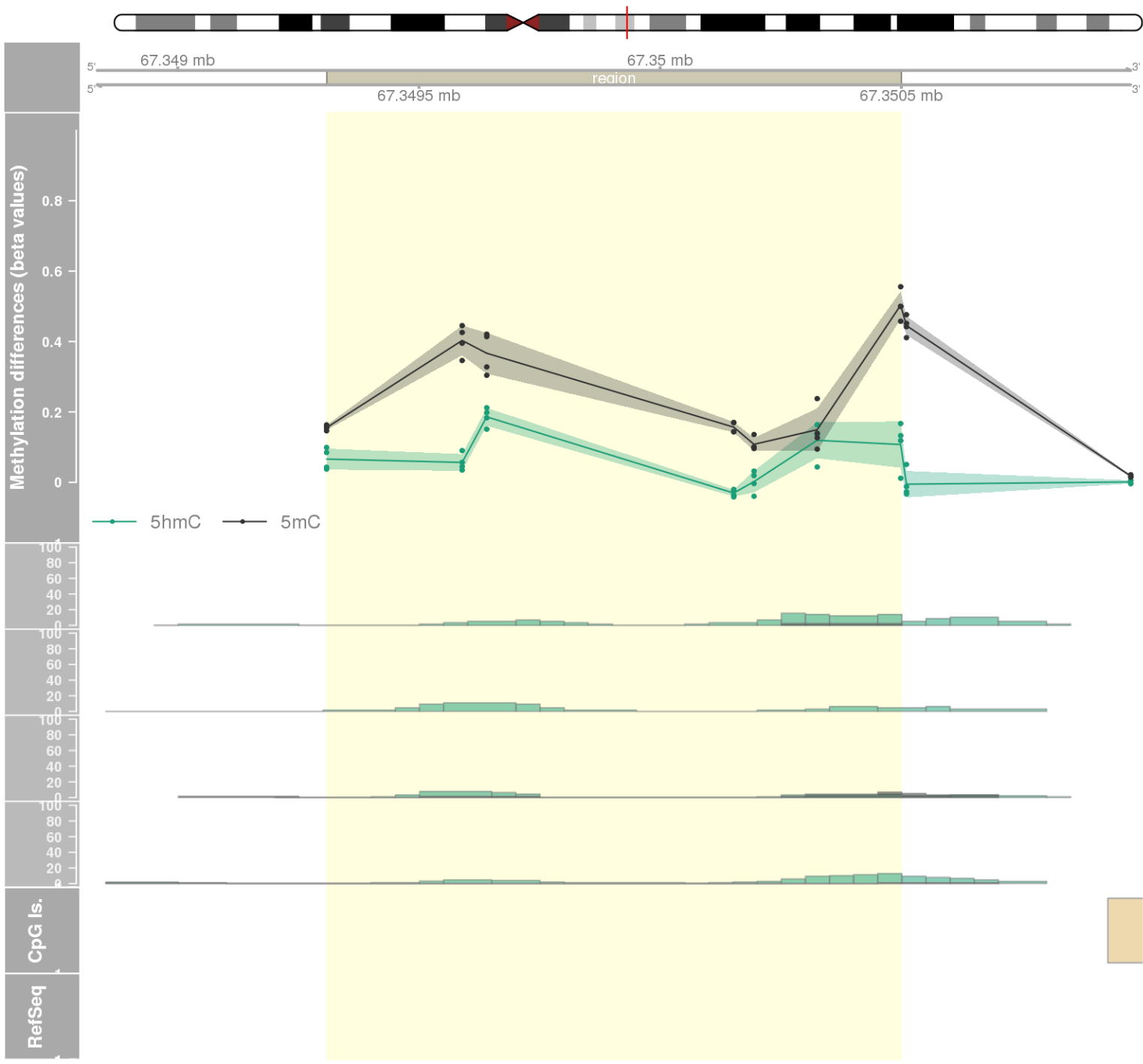
DMR 350 // chr17:1553585-1554577 // 992 pb. (6 probes) // pvalue: 0.018 // fwer: 1 // pvalueArea: 0.034 // fwerArea: 1
- genes: PRPF8 -



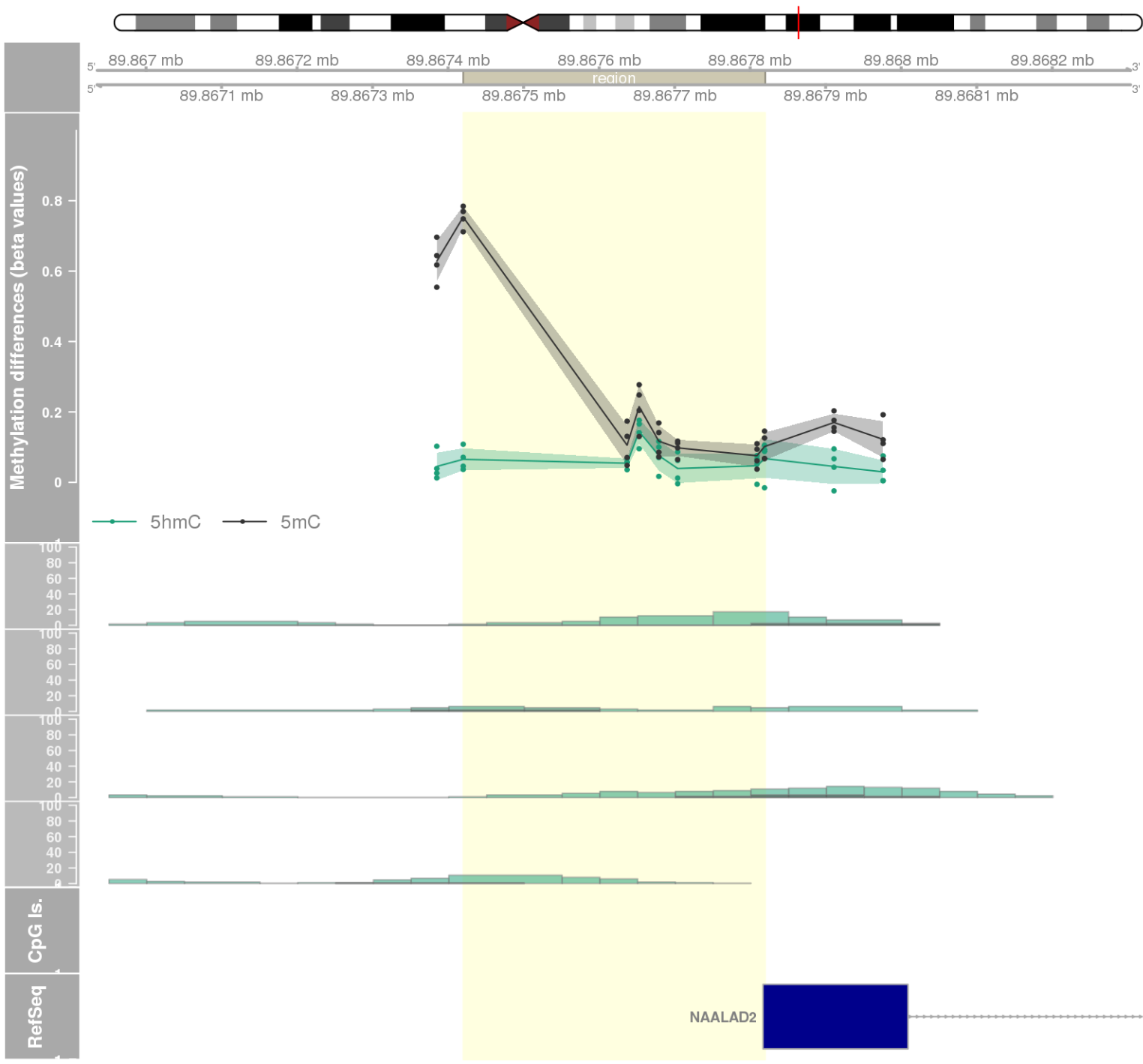
DMR 351 // chr4:110833884-110834590 // 706 pb. (4 probes) // pvalue: 0.006 // fwer: 1 // pvalueArea: 0.034 // fwerArea: 1
- genes: EGF -



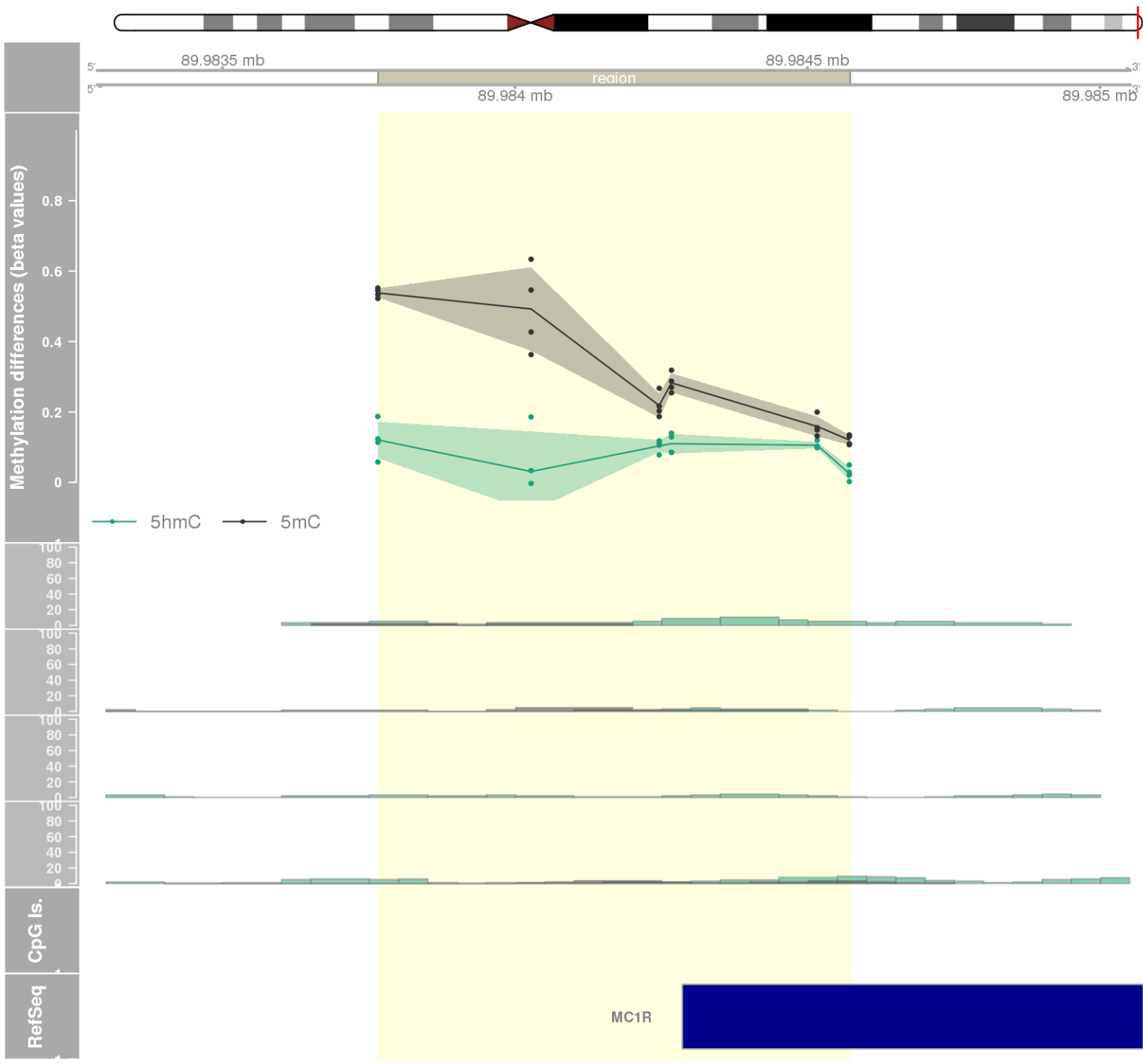
DMR 352 // chr11:67349309-67350499 // 1190 pb. (7 probes) // pvalue: 0.018 // fwer: 1 // pvalueArea: 0.034 // fwerArea: 1



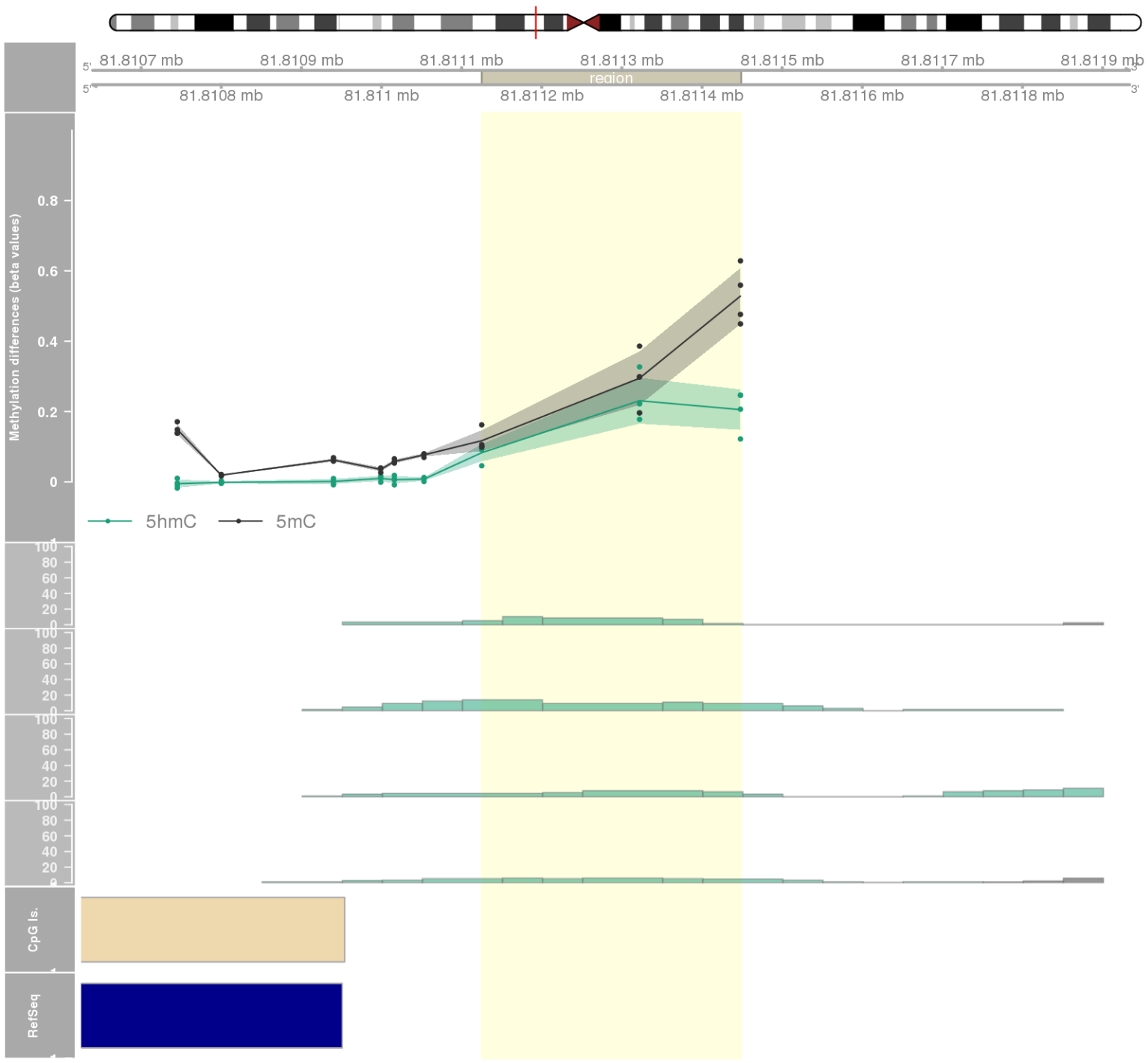
DMR 353 // chr11:89867420-89867819 // 399 pb. (7 probes) // pvalue: 0.017 // fwer: 1 // pvalueArea: 0.034 // fwerArea: 1
- genes: NAALAD2 -



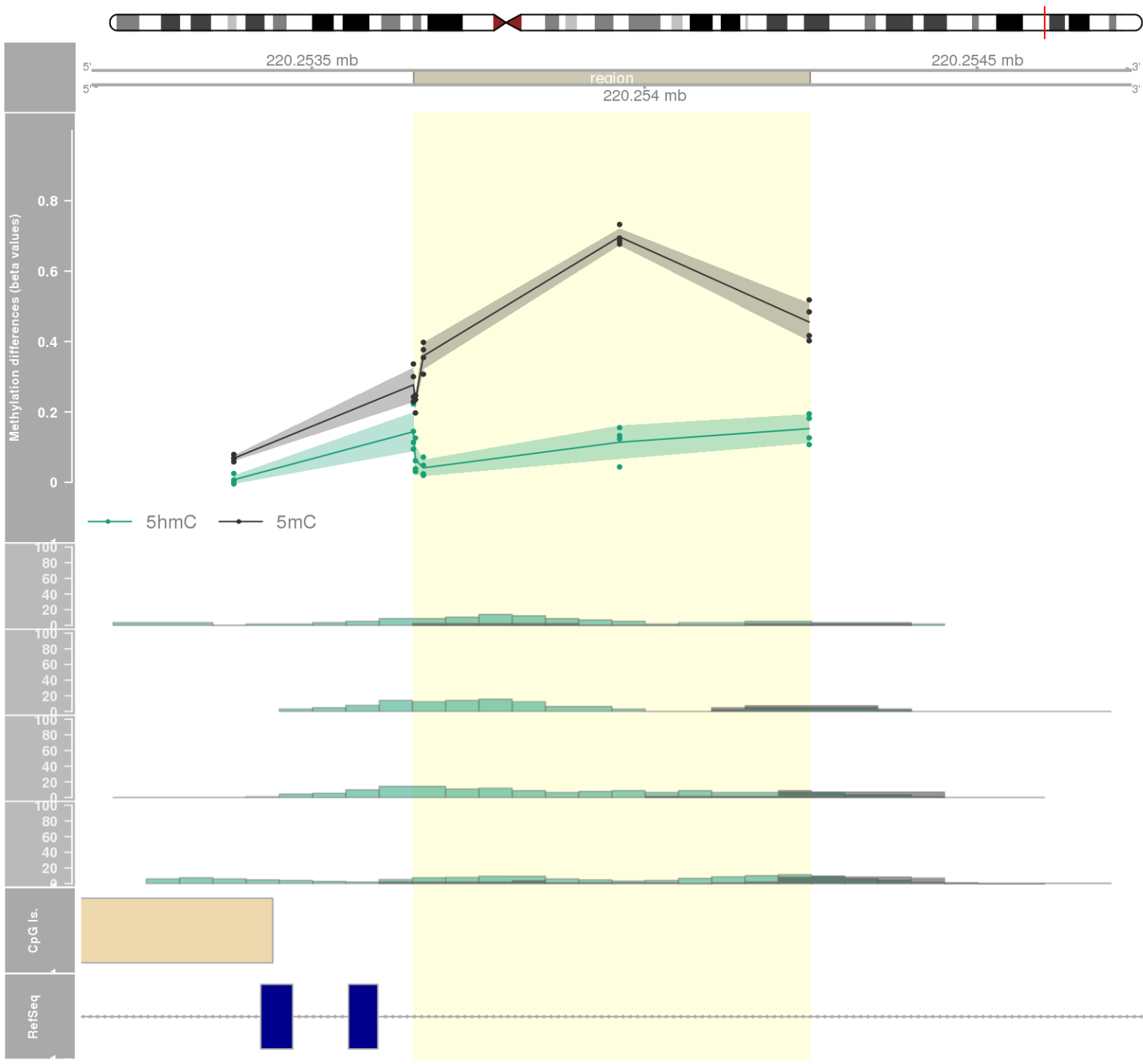
DMR 354 // chr16:89983766-89984572 // 806 pb. (6 probes) // pvalue: 0.018 // fwer: 1 // pvalueArea: 0.034 // fwerArea: 1
- genes: MC1R -



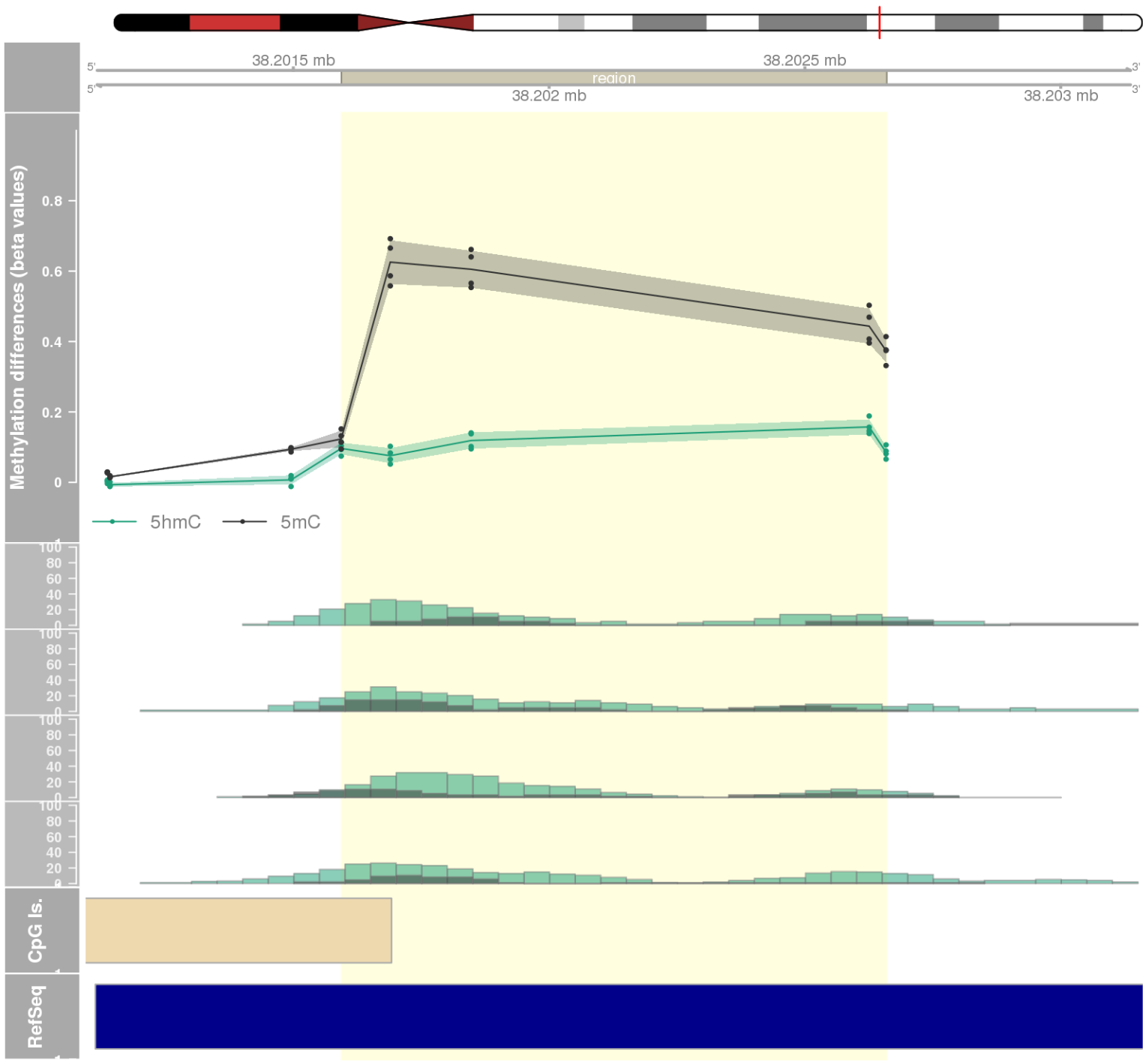
DMR 355 // chr3:81811125-81811448 // 323 pb. (3 probes) // pvalue: 0.003 // fwer: 1 // pvalueArea: 0.035 // fwerArea: 1
- genes: GBE1 -



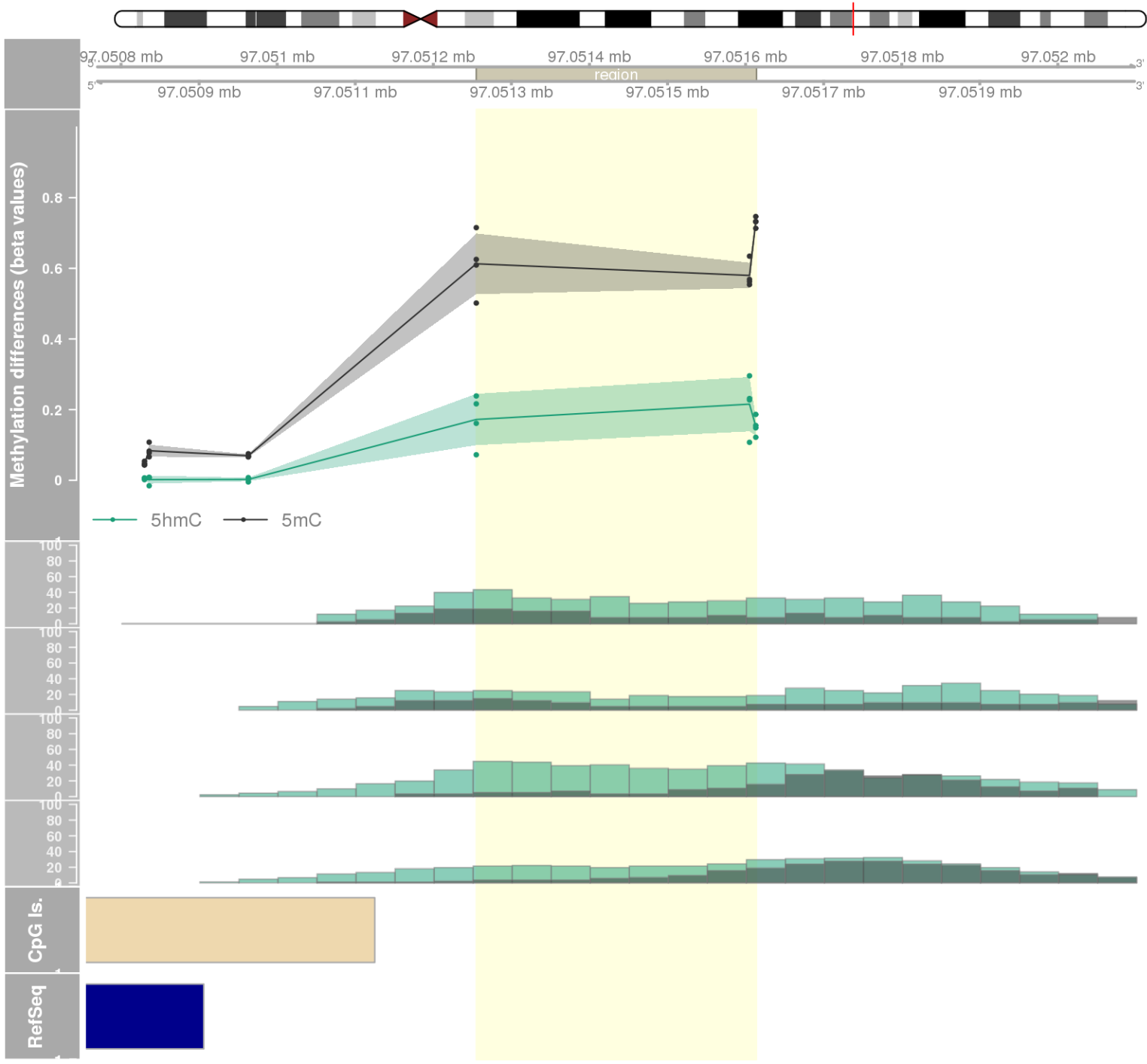
DMR 356 // chr2:220253653-220254248 // 595 pb. (5 probes) // pvalue: 0.014 // fwer: 1 // pvalueArea: 0.035 // fwerArea: 1
- genes: DNPEP -



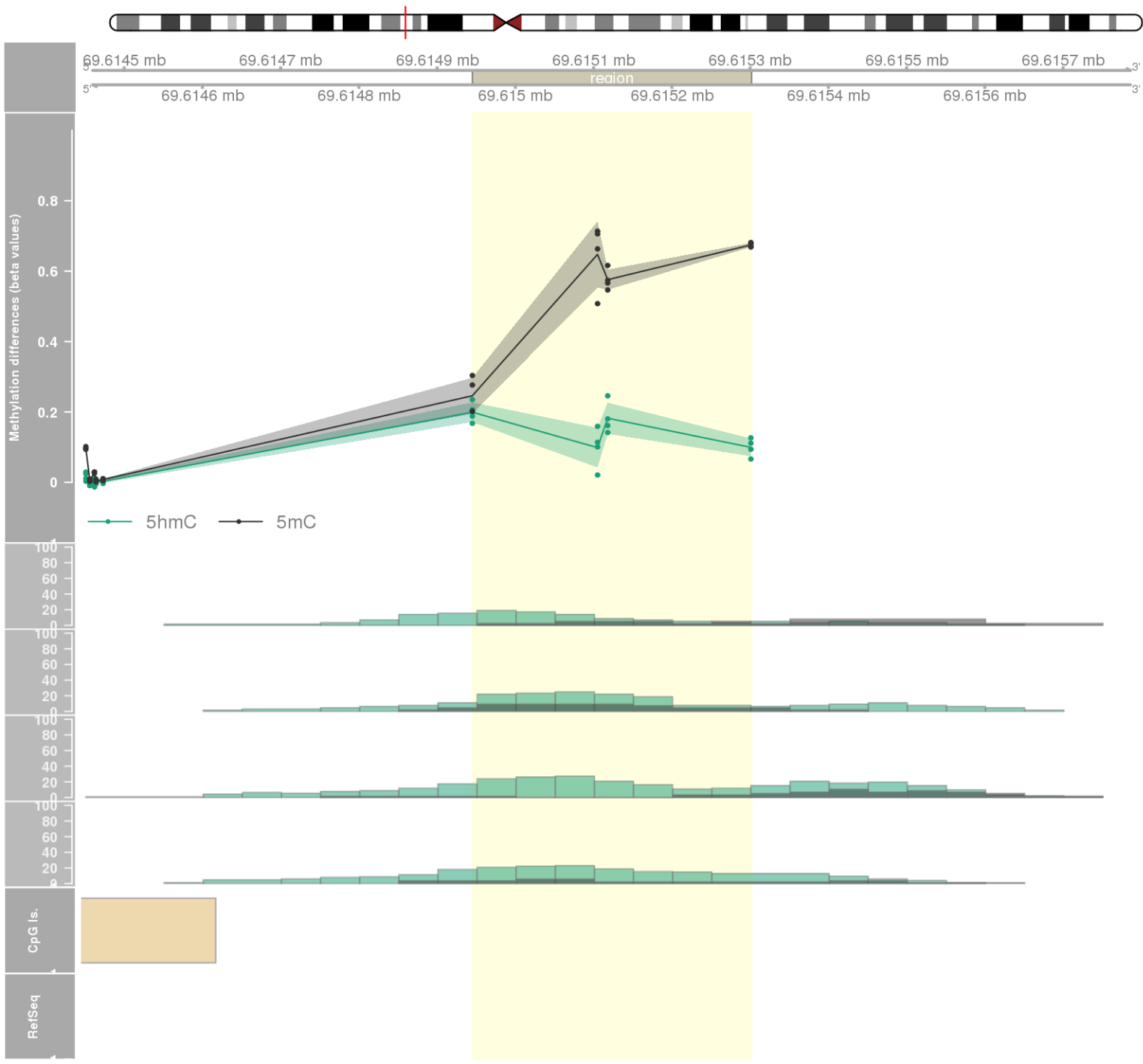
DMR 357 // chr22:38201594-38202659 // 1065 pb. (5 probes) // pvalue: 0.014 // fwer: 1 // pvalueArea: 0.035 // fwerArea: 1
- genes: H1FO -



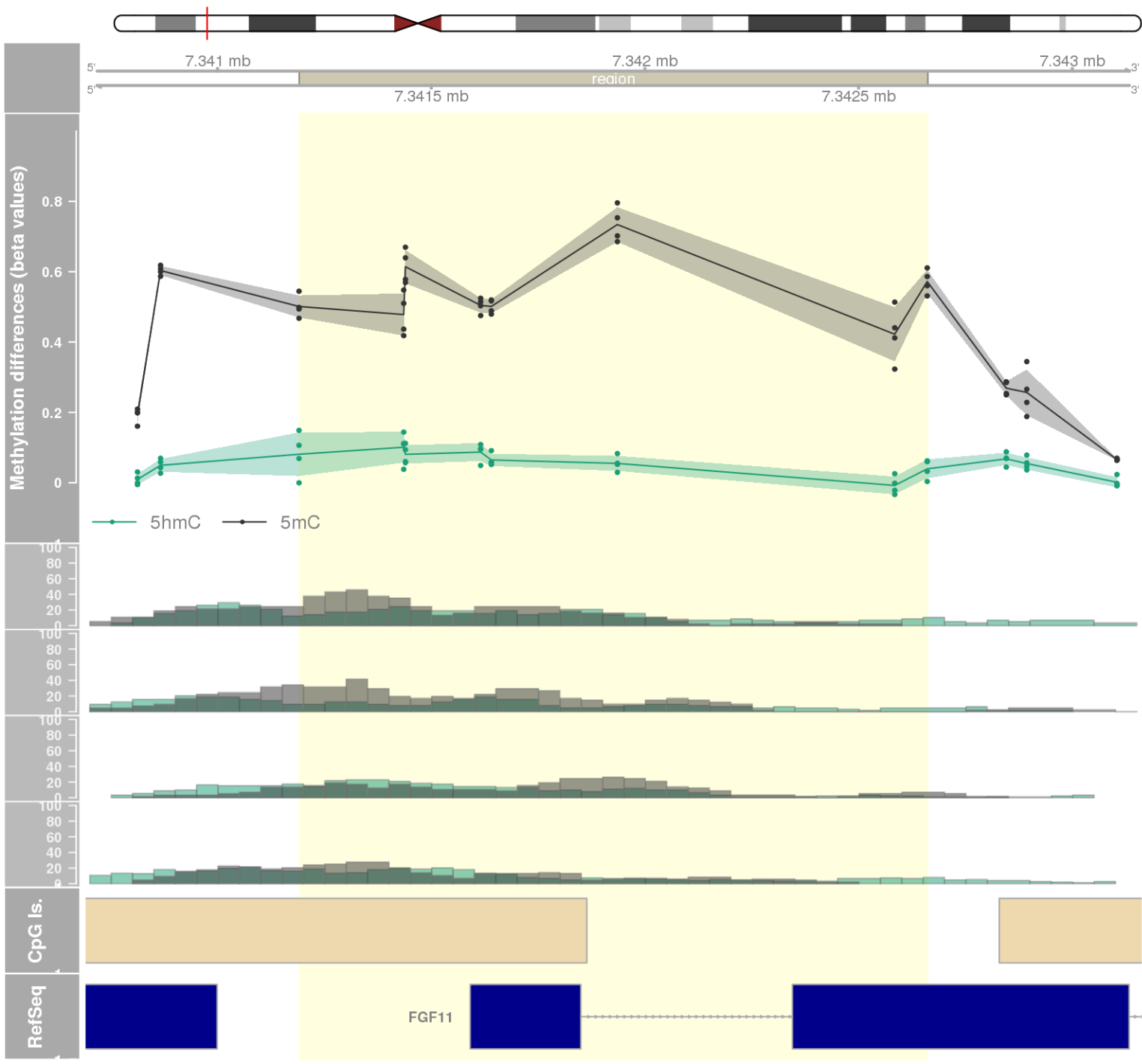
DMR 358 // chr10:97051255-97051613 // 358 pb. (3 probes) // pvalue: 0.003 // fwer: 1 // pvalueArea: 0.035 // fwerArea: 1



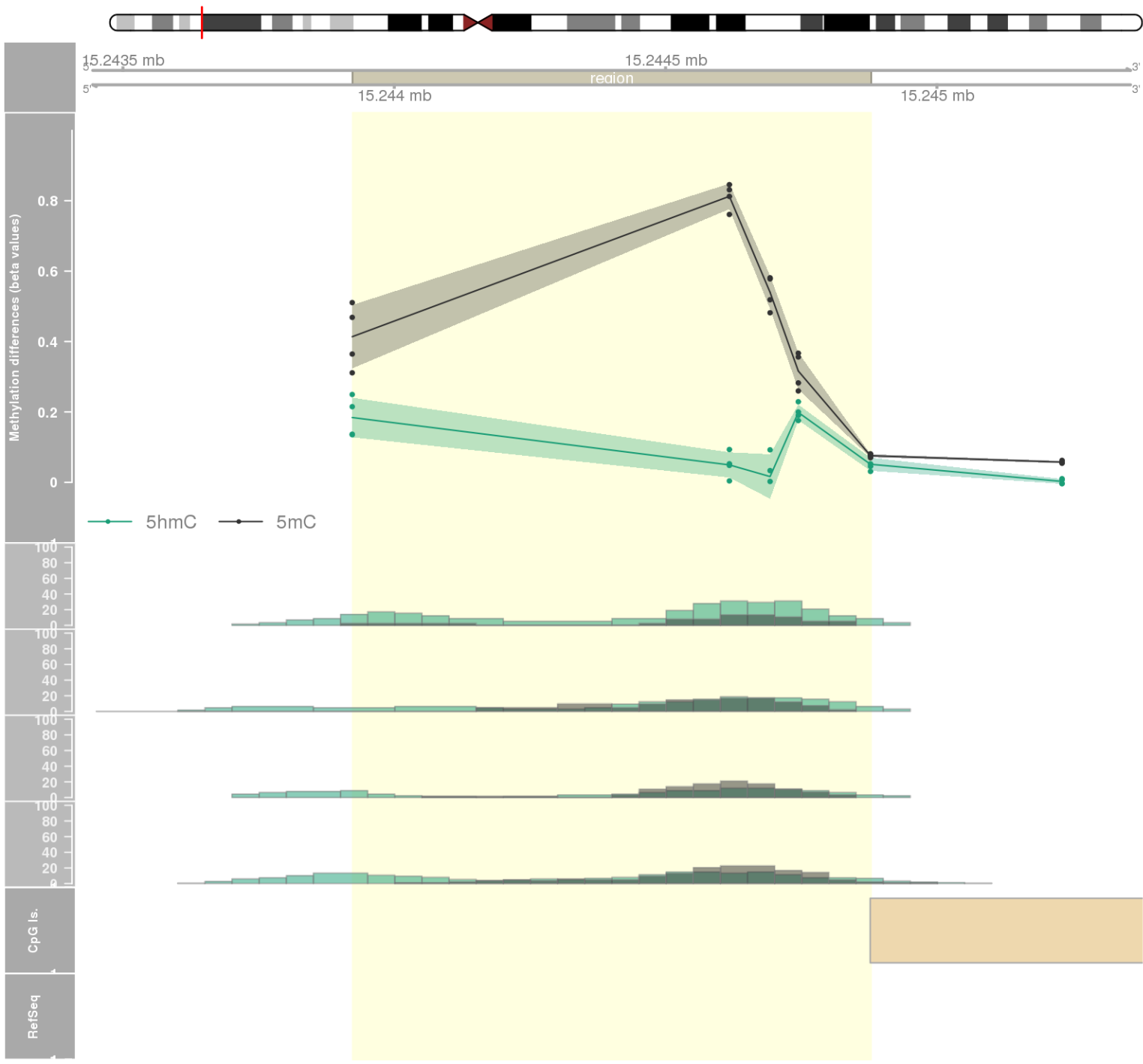
DMR 359 // chr2:69614945-69615301 // 356 pb. (4 probes) // pvalue: 0.007 // fwer: 1 // pvalueArea: 0.035 // fwerArea: 1



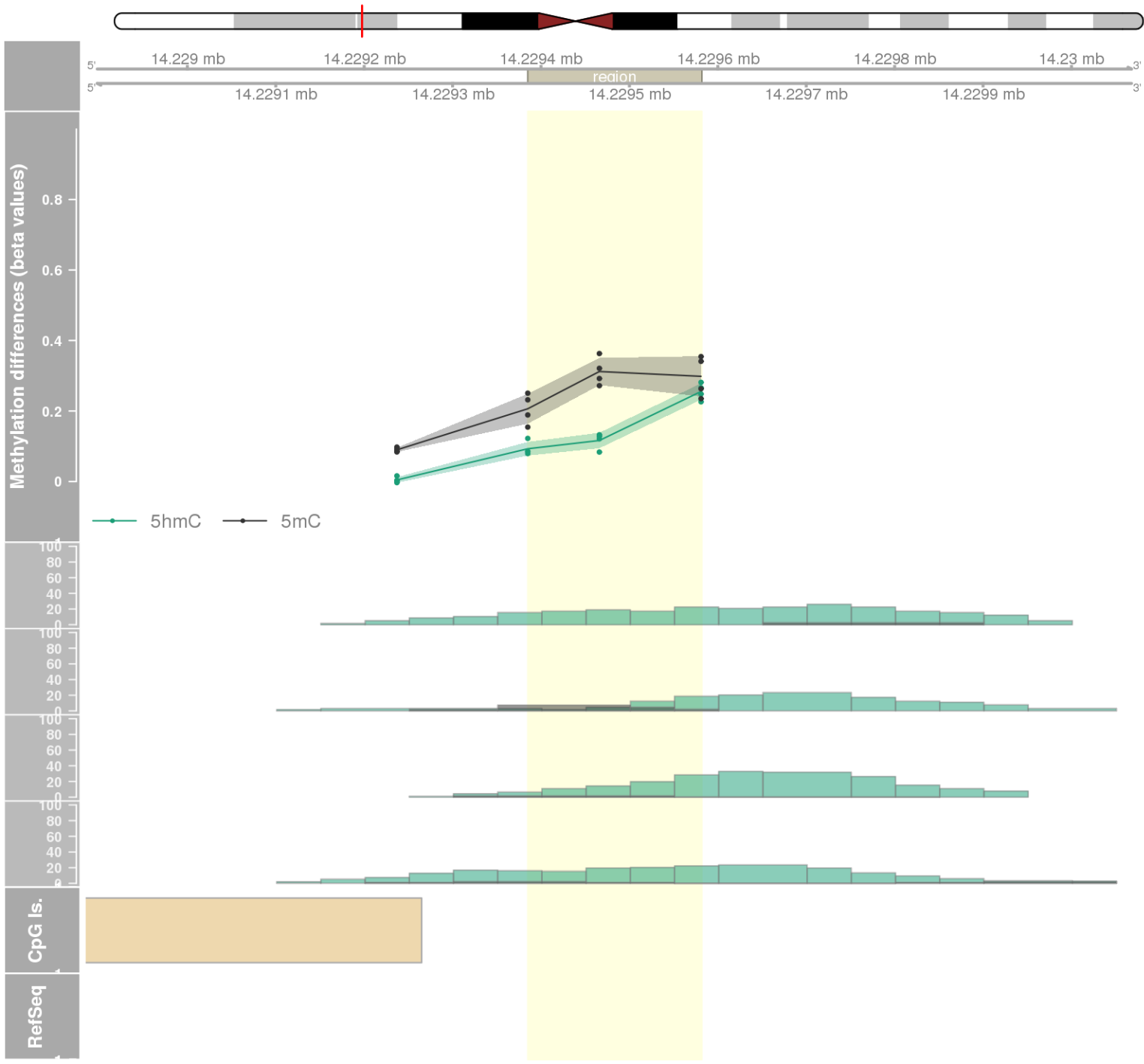
DMR 360 // chr17:7341191-7342661 // 1470 pb. (8 probes) // pvalue: 0.017 // fwer: 1 // pvalueArea: 0.035 // fwerArea: 1
- genes: FGF11 -



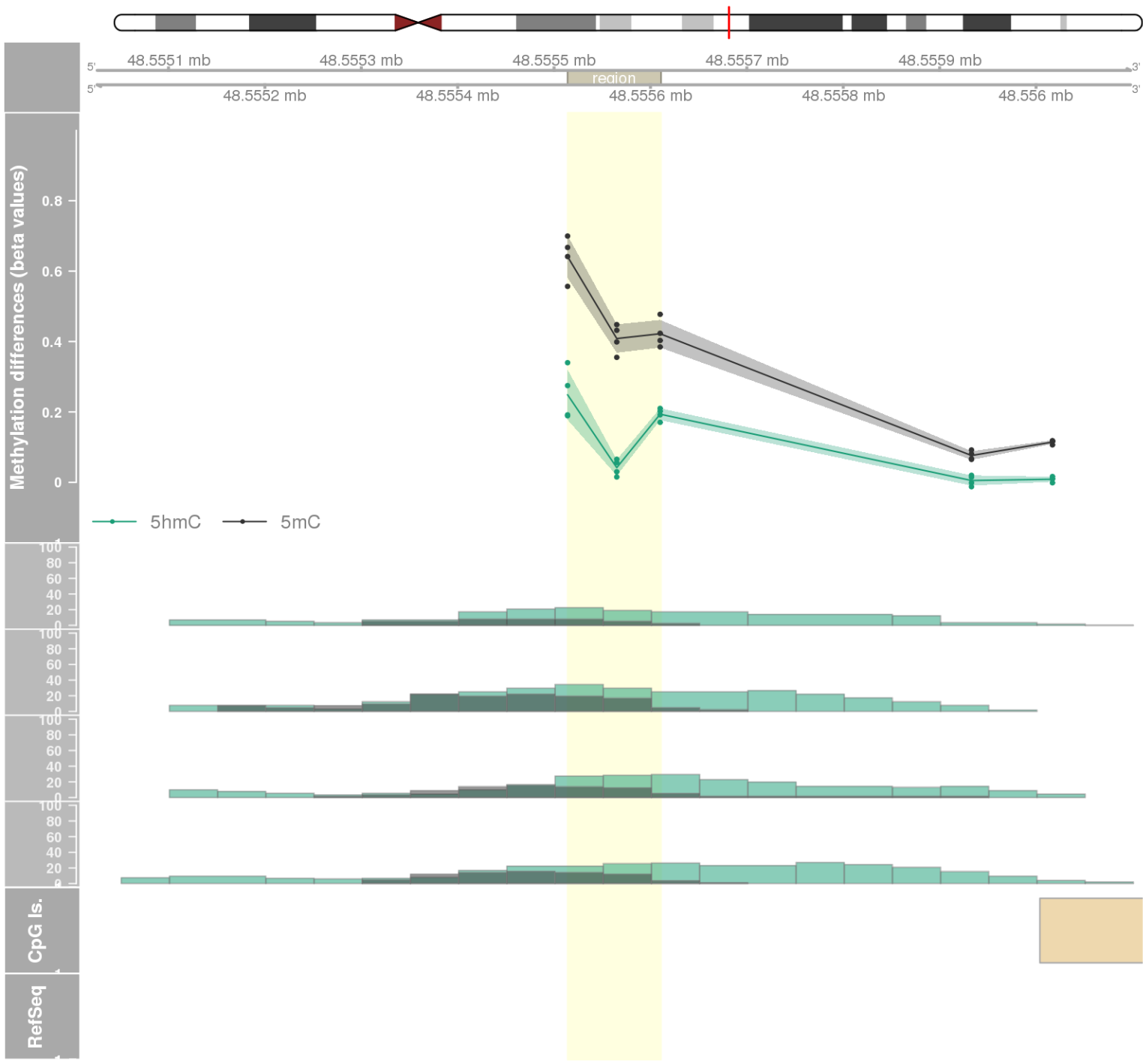
DMR 361 // chr6:15243923-15244878 // 955 pb. (5 probes) // pvalue: 0.014 // fwer: 1 // pvalueArea: 0.035 // fwerArea: 1



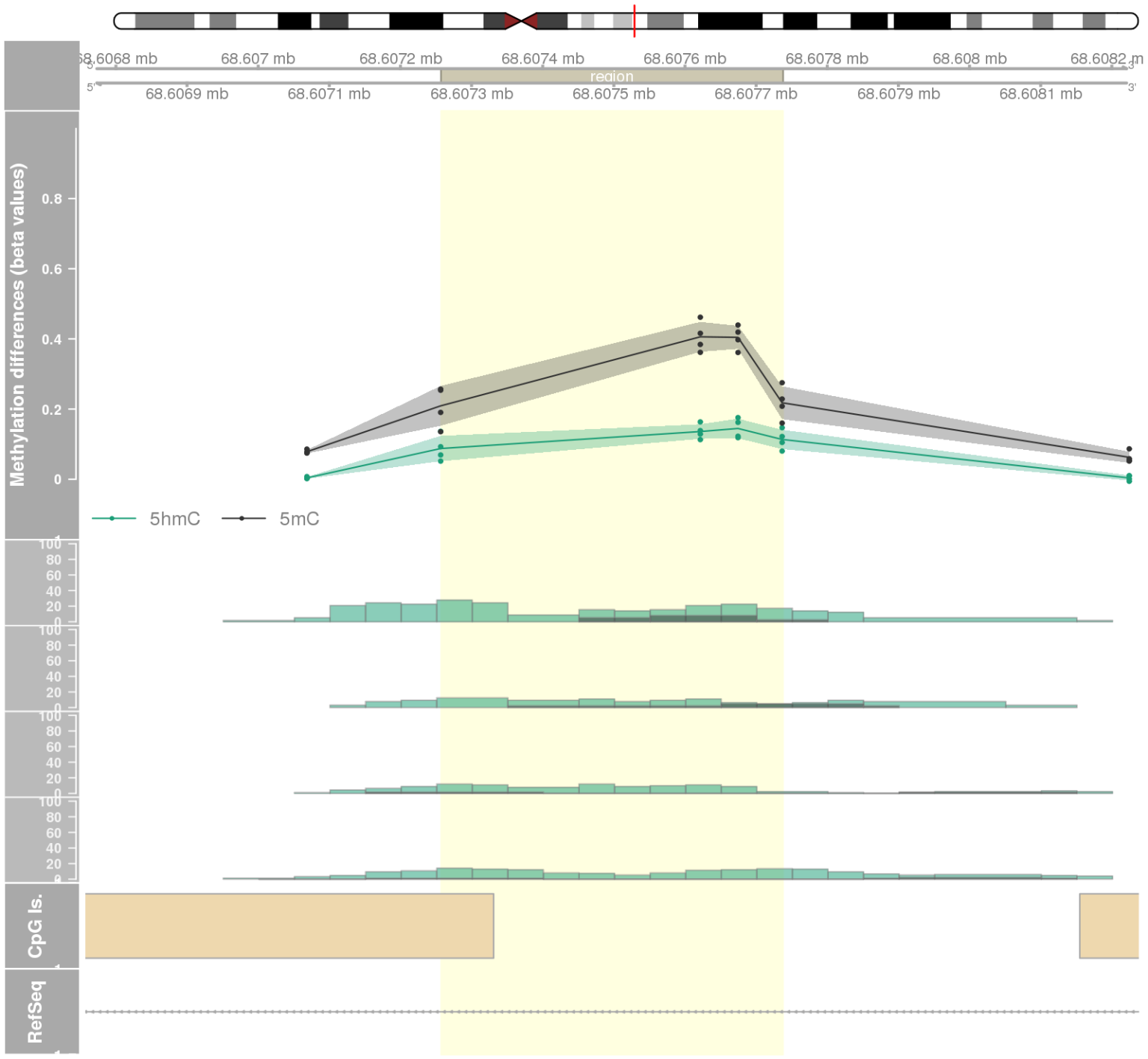
DMR 362 // chr19:14229385-14229581 // 196 pb. (3 probes) // pvalue: 0.003 // fwer: 1 // pvalueArea: 0.035 // fwerArea: 1



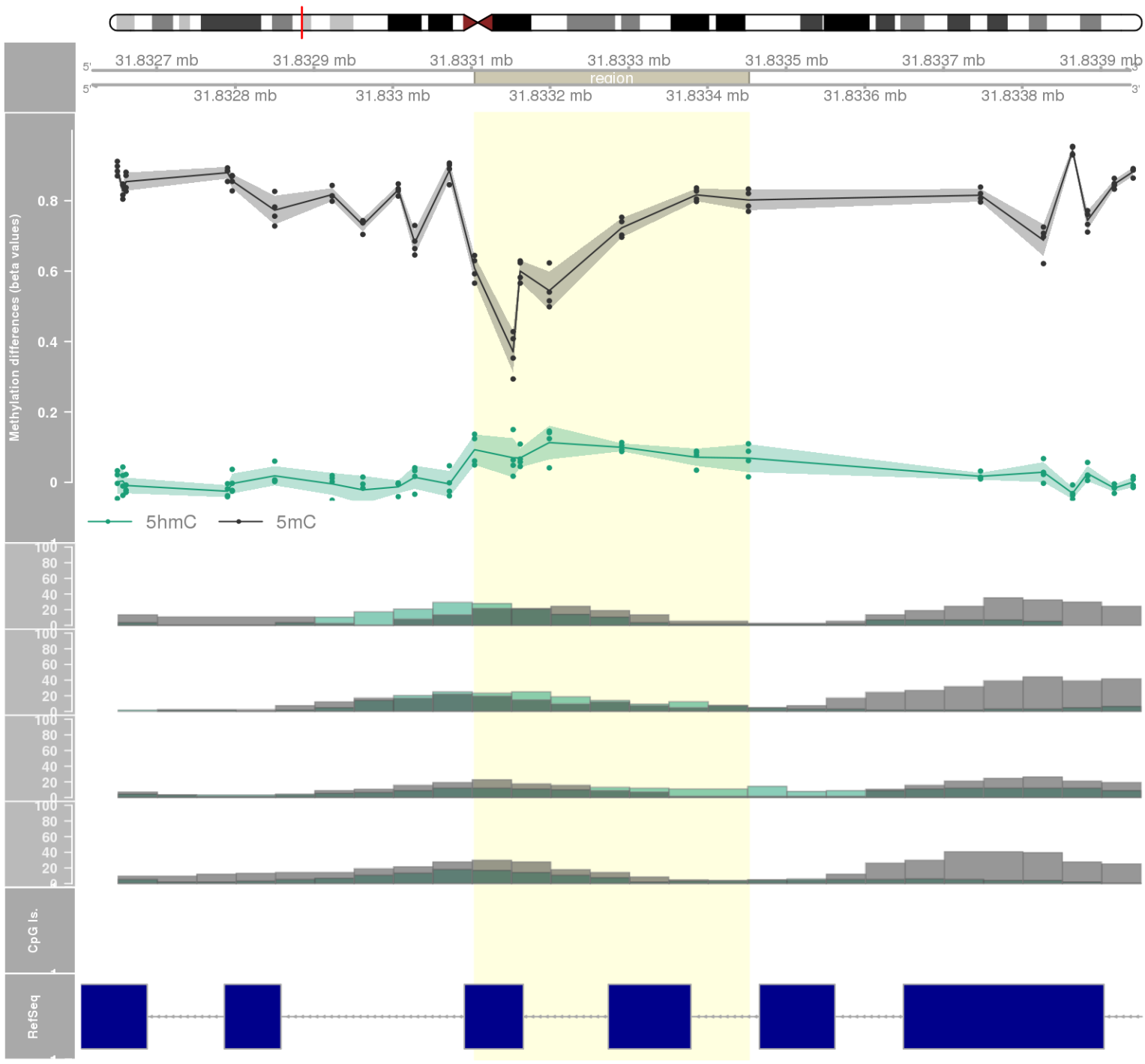
DMR 363 // chr17:48555514-48555610 // 96 pb. (3 probes) // pvalue: 0.003 // fwer: 1 // pvalueArea: 0.035 // fwerArea: 1



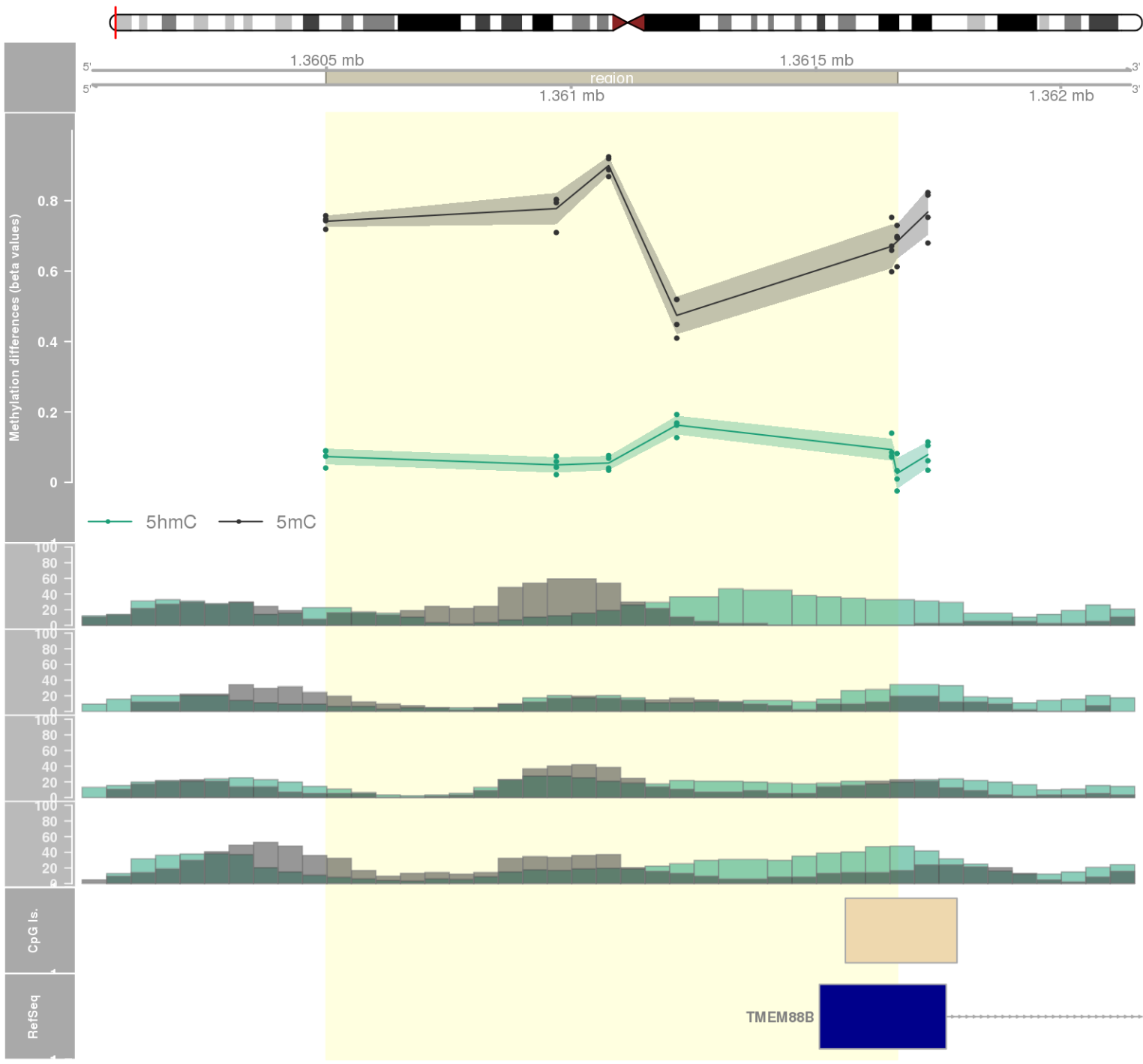
DMR 364 // chr11:68607257-68607737 // 480 pb. (4 probes) // pvalue: 0.007 // fwer: 1 // pvalueArea: 0.036 // fwerArea: 1
- genes: CPT1A -



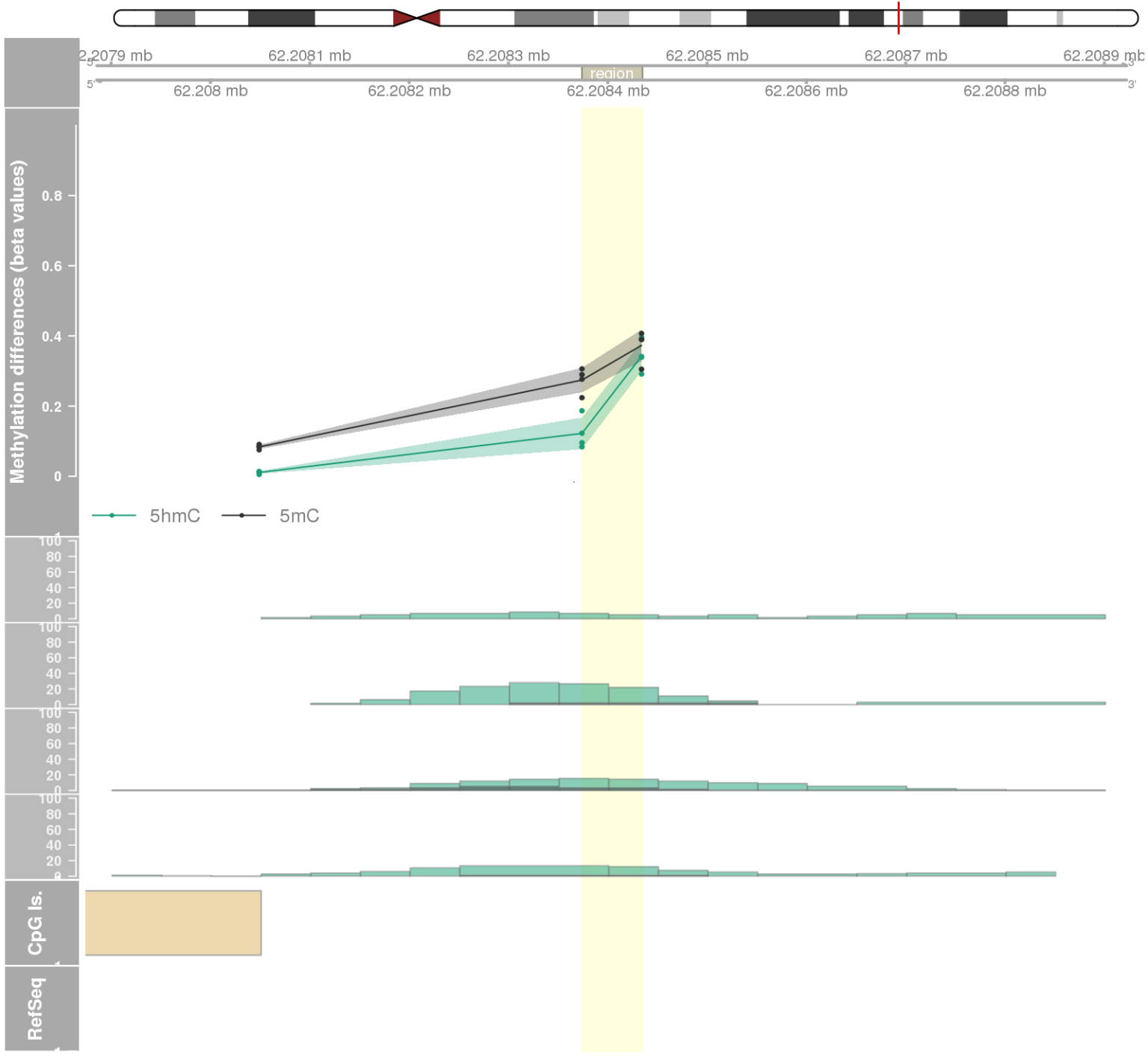
DMR 365 // chr6:31833104-31833452 // 348 pb. (7 probes) // pvalue: 0.018 // fwer: 1 // pvalueArea: 0.036 // fwerArea: 1
- genes: SLC44A4 -



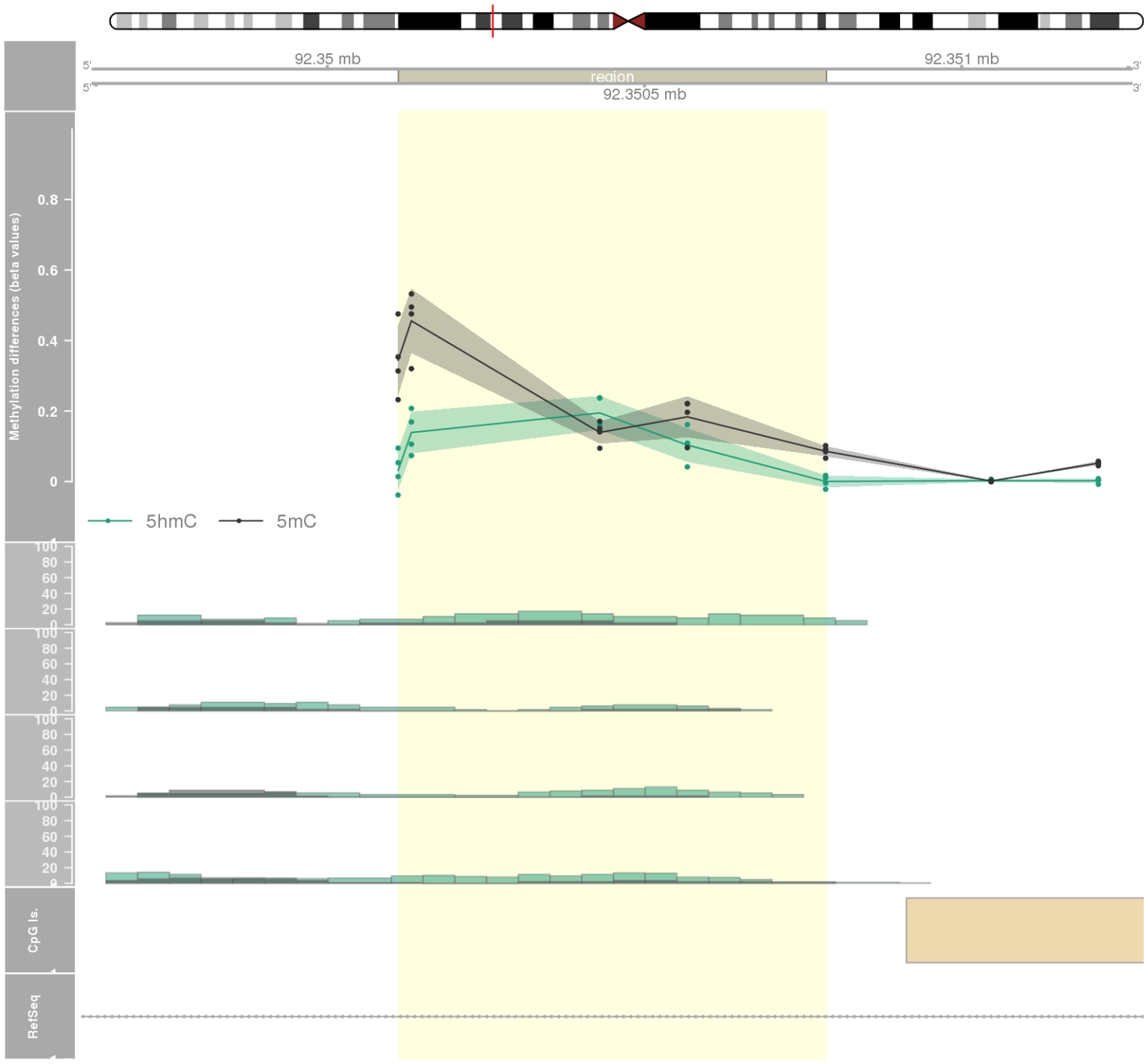
DMR 366 // chr1:1360499-1361666 // 1167 pb. (6 probes) // pvalue: 0.02 // fwer: 1 // pvalueArea: 0.036 // fwerArea: 1
- genes: TMEM88B -



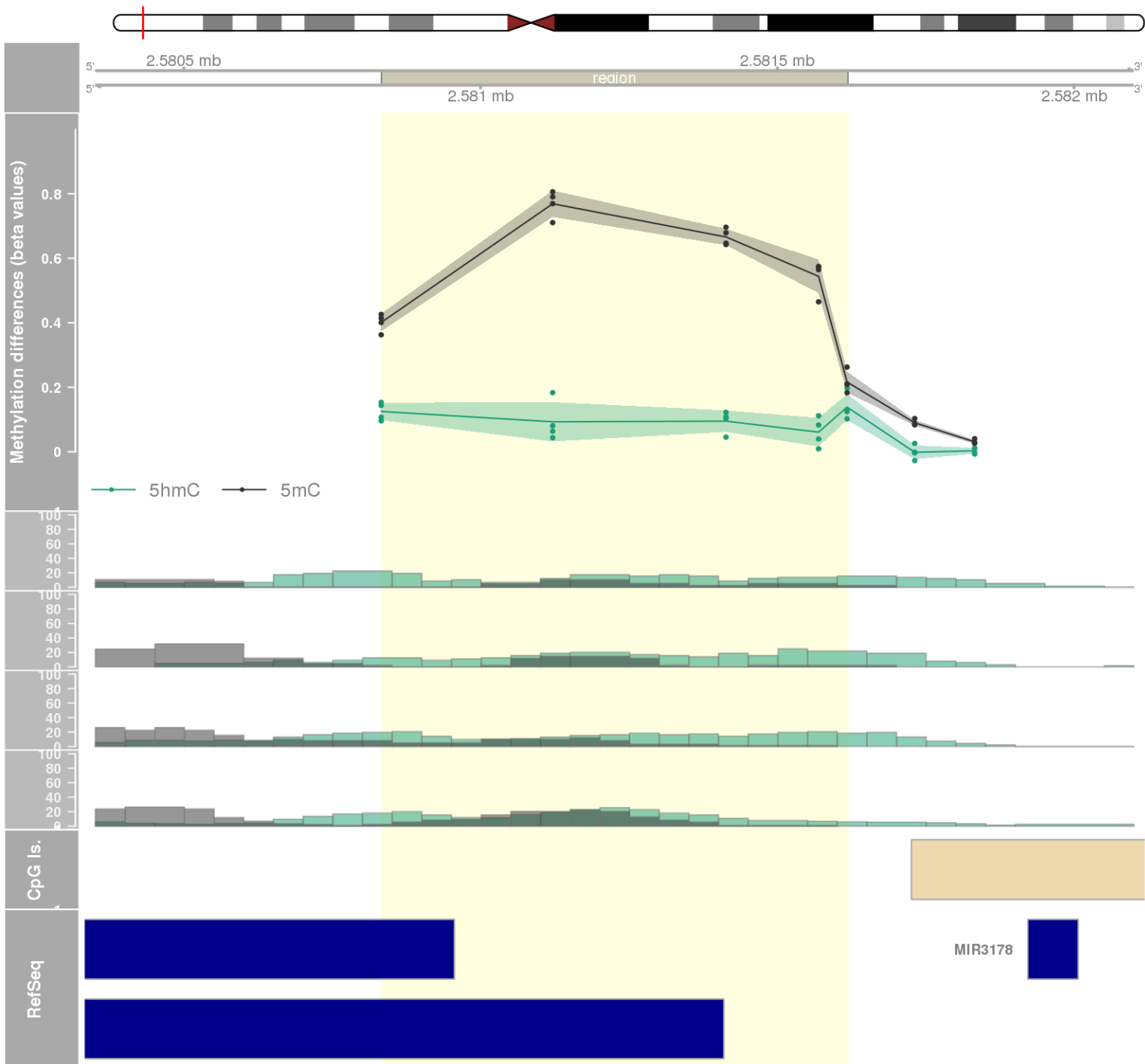
DMR 367 // chr17:62208374-62208434 // 60 pb. (2 probes) // pvalue: 0.002 // fwer: 1 // pvalueArea: 0.036 // fwerArea: 1



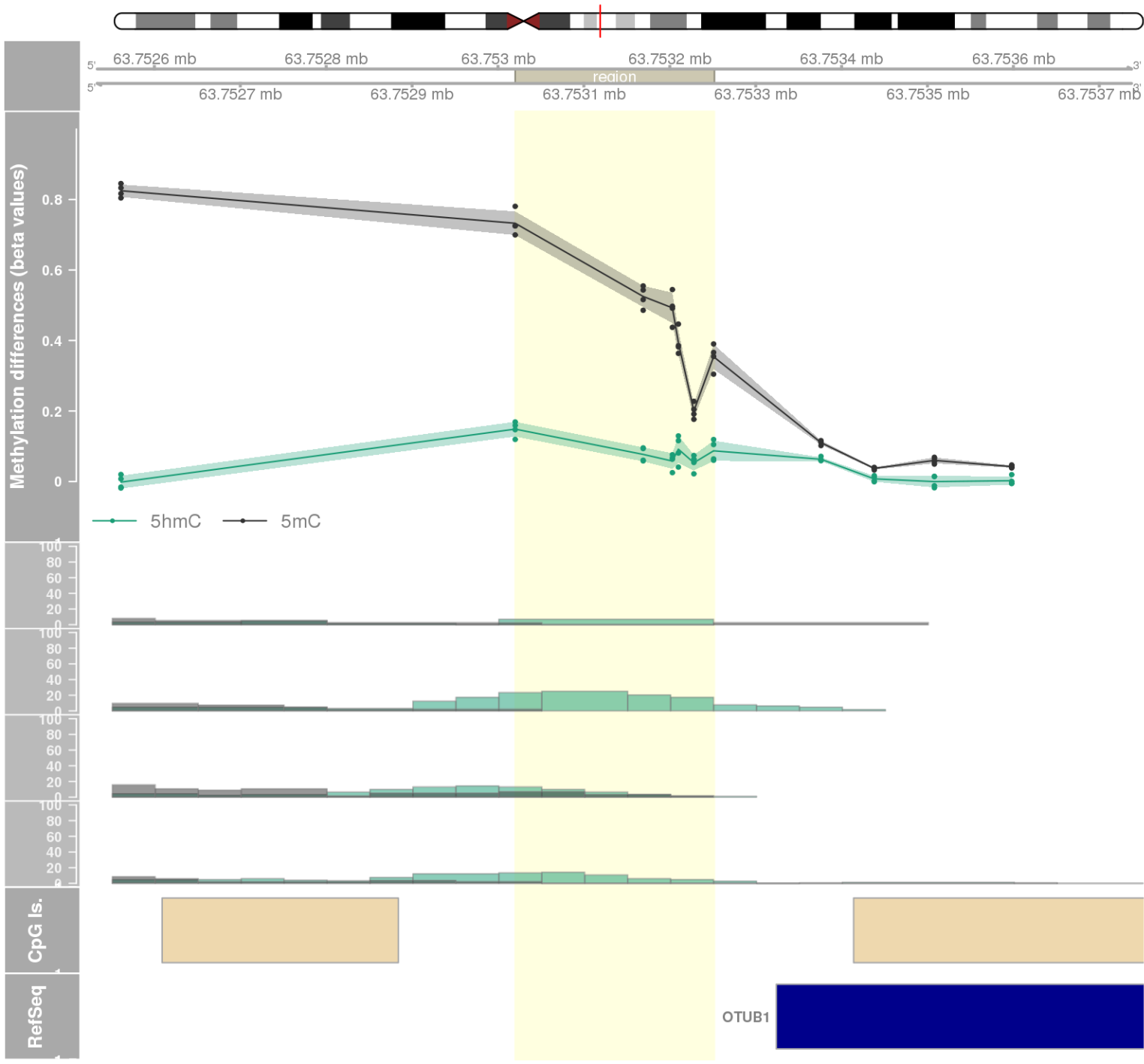
DMR 368 // chr1:92350112-92350786 // 674 pb. (5 probes) // pvalue: 0.015 // fwer: 1 // pvalueArea: 0.036 // fwerArea: 1
- genes: TGFBR3 -



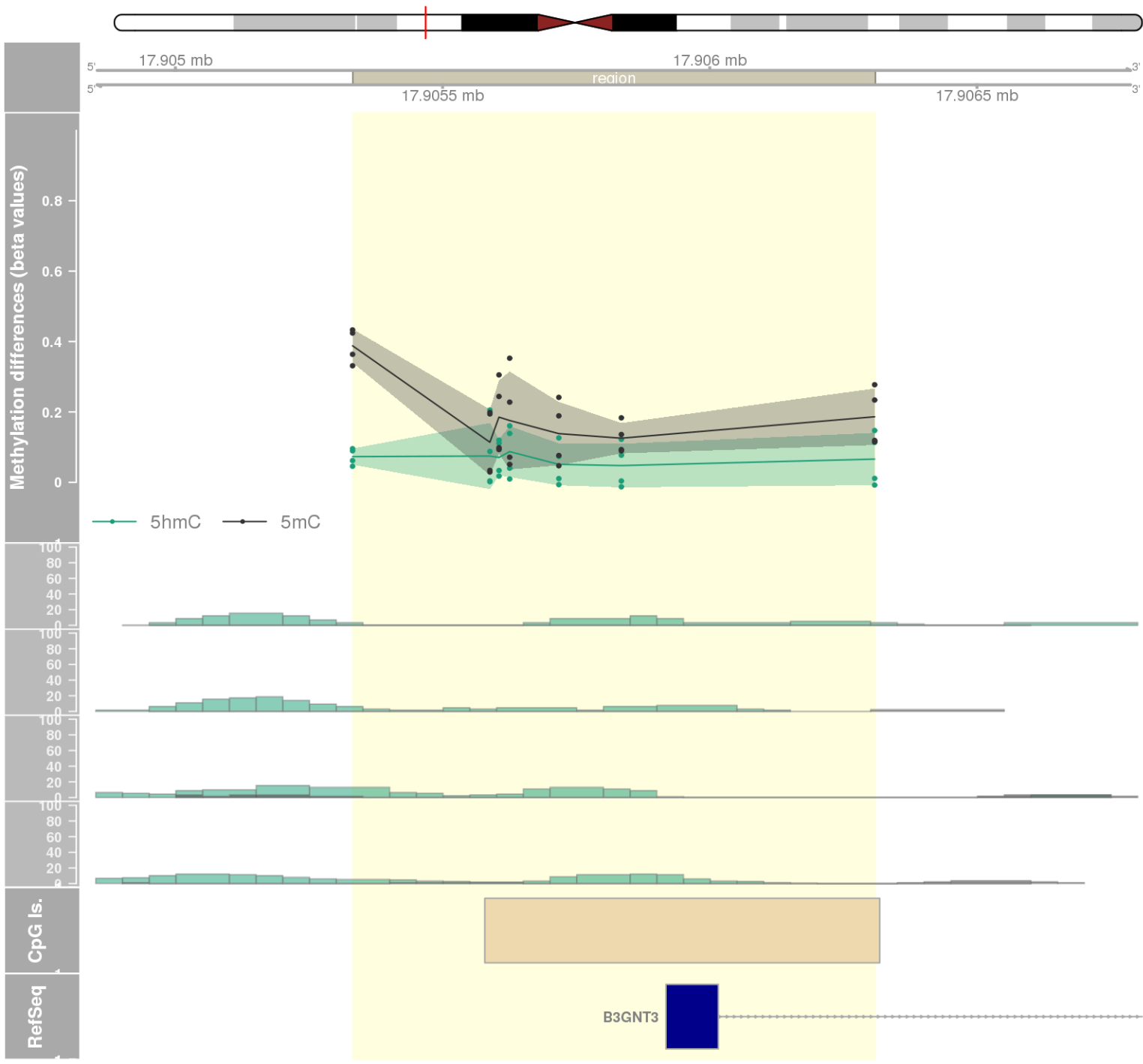
DMR 369 // chr16:2580833-2581618 // 785 pb. (5 probes) // pvalue: 0.016 // fwer: 1 // pvalueArea: 0.036 // fwerArea: 1
- genes: AMDHD2 / CEMP1 -



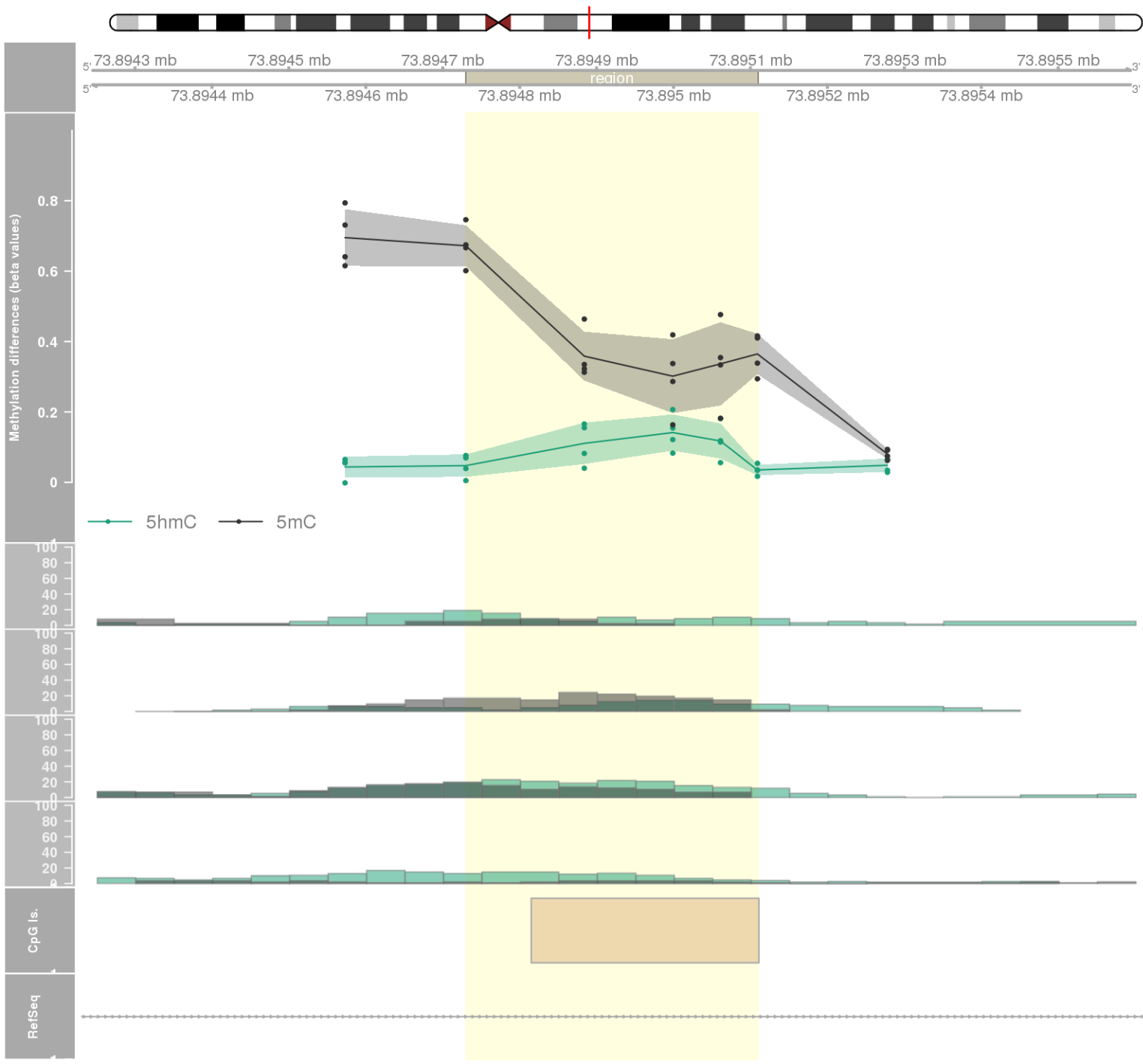
DMR 370 // chr11:63753020-63753251 // 231 pb. (6 probes) // pvalue: 0.02 // fwer: 1 // pvalueArea: 0.036 // fwerArea: 1



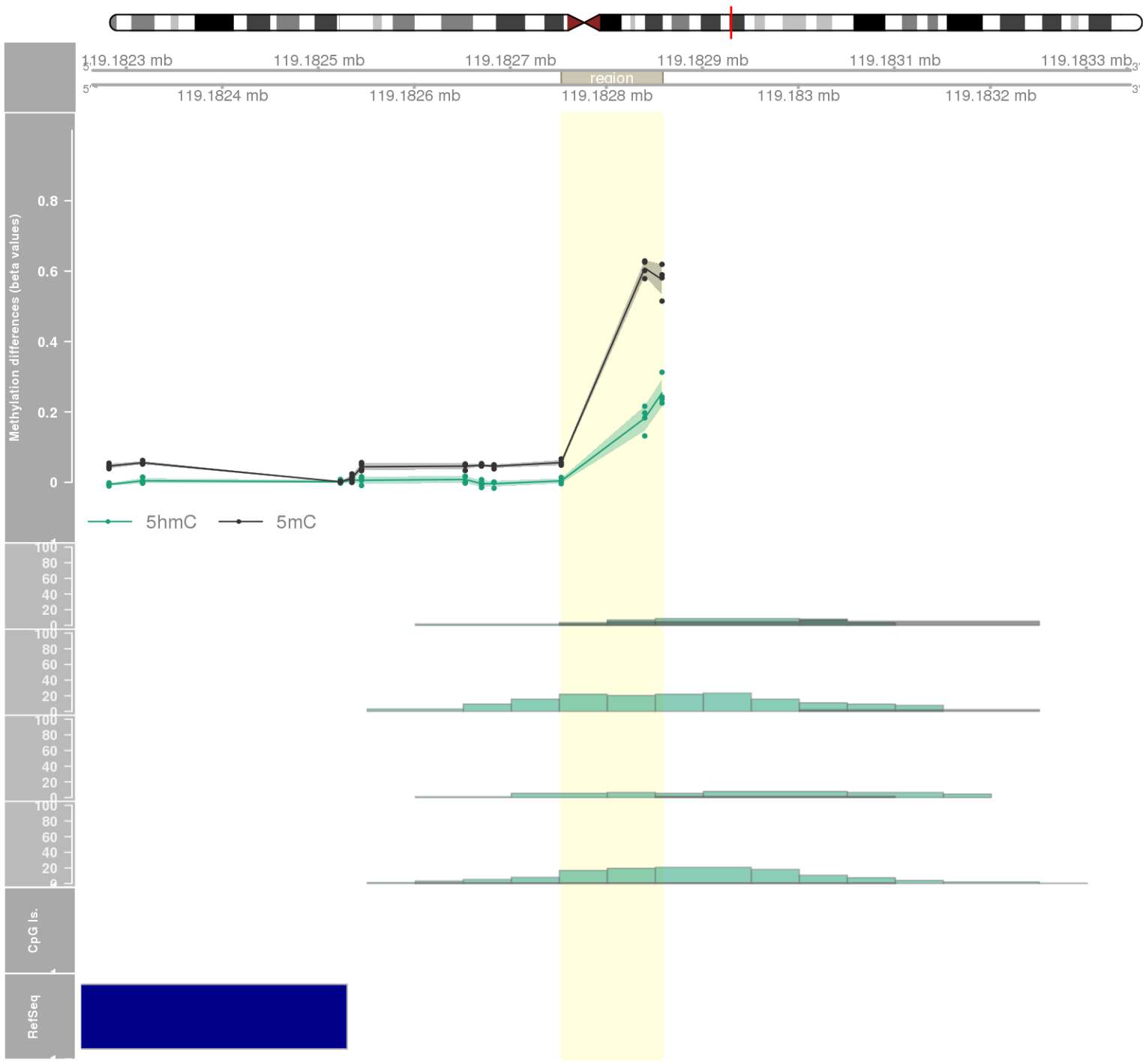
DMR 371 // chr19:17905332-17906309 // 977 pb. (7 probes) // pvalue: 0.018 // fwer: 1 // pvalueArea: 0.036 // fwerArea: 1
- genes: B3GNT3 -



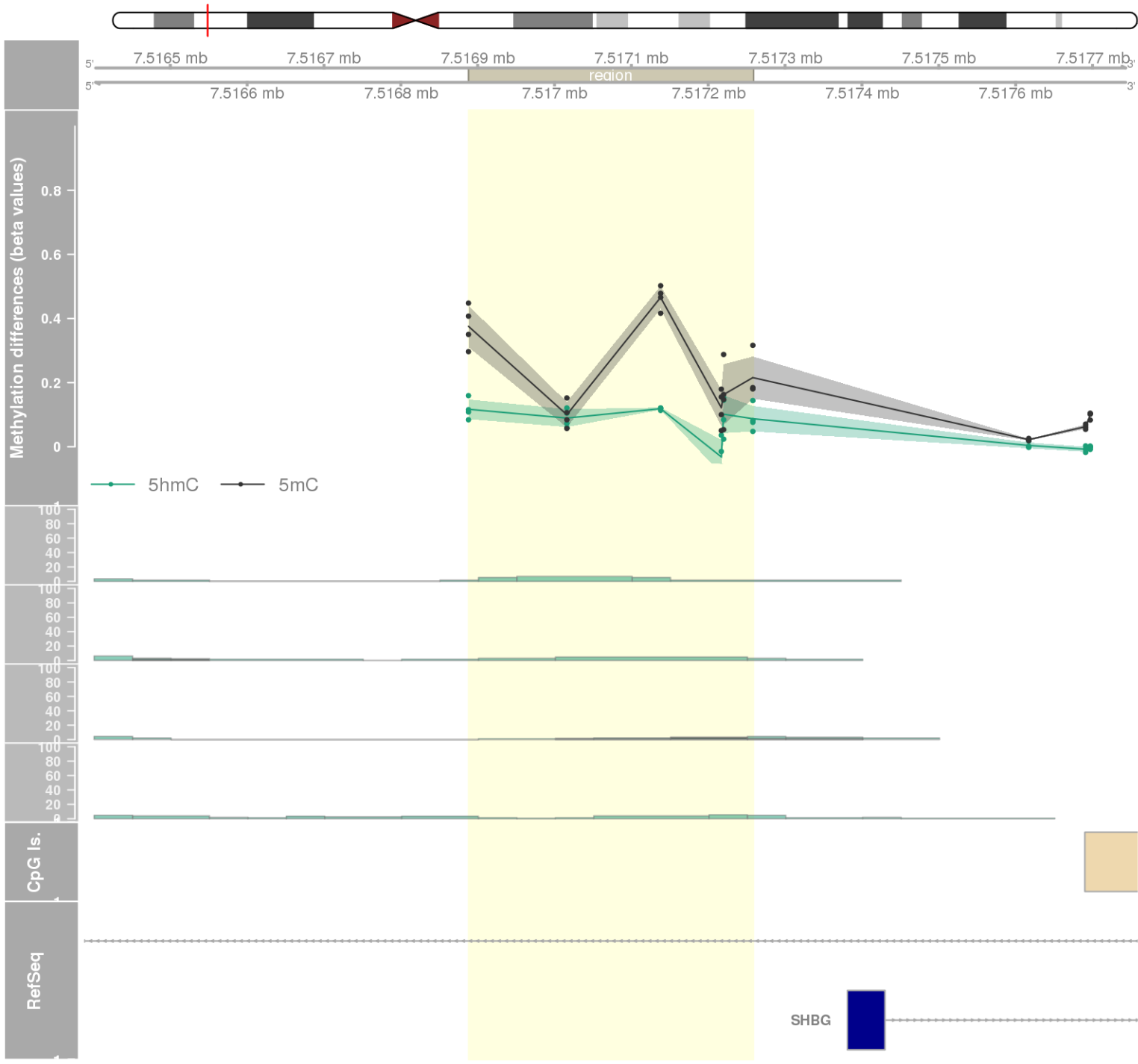
DMR 372 // chr7:73894730-73895109 // 379 pb. (5 probes) // pvalue: 0.016 // fwer: 1 // pvalueArea: 0.036 // fwerArea: 1
- genes: GTF2IRD1 -

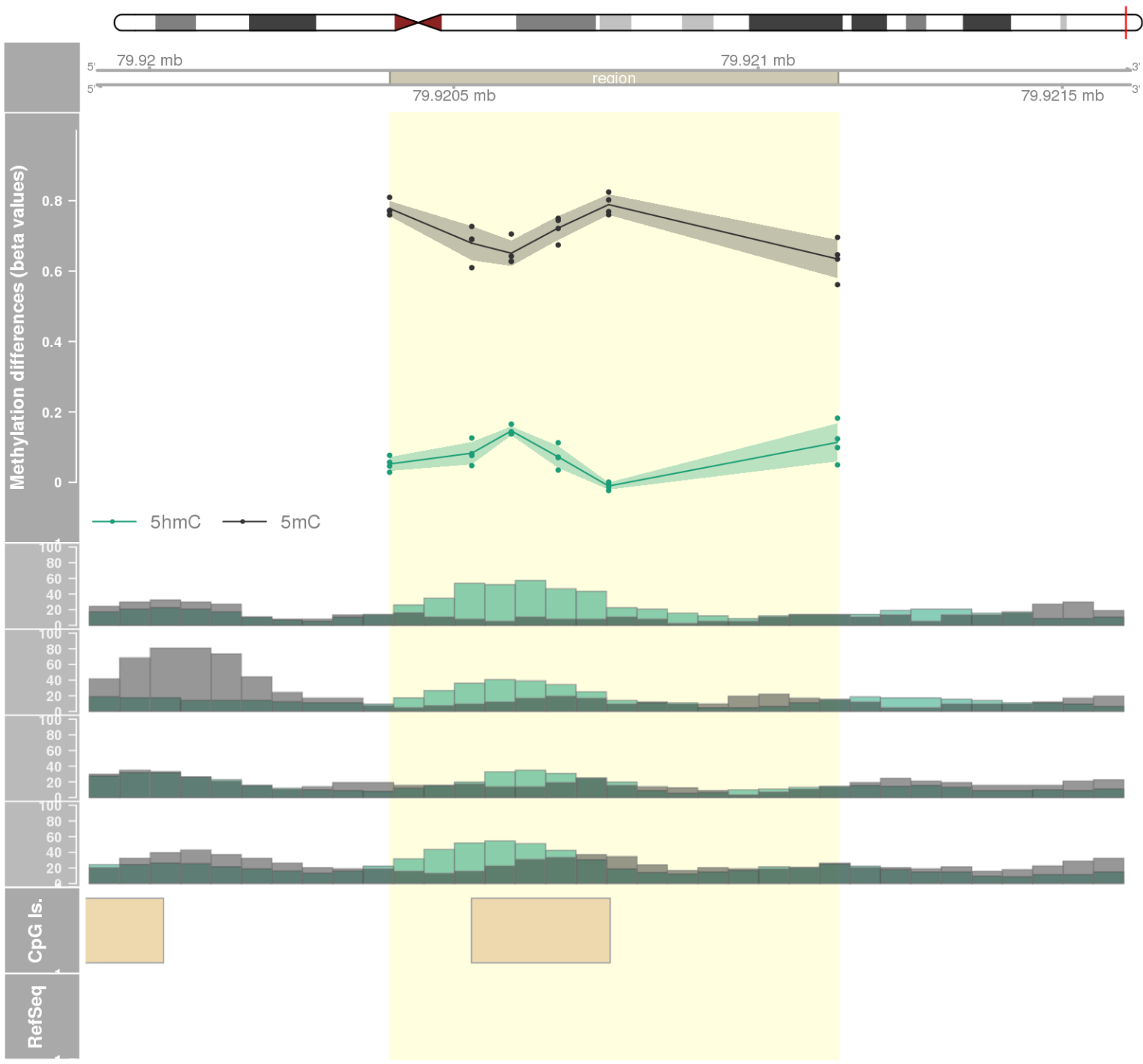


DMR 373 // chr3:119182753-119182858 // 105 pb. (3 probes) // pvalue: 0.003 // fwer: 1 // pvalueArea: 0.036 // fwerArea: 1
- genes: TMEM39A -

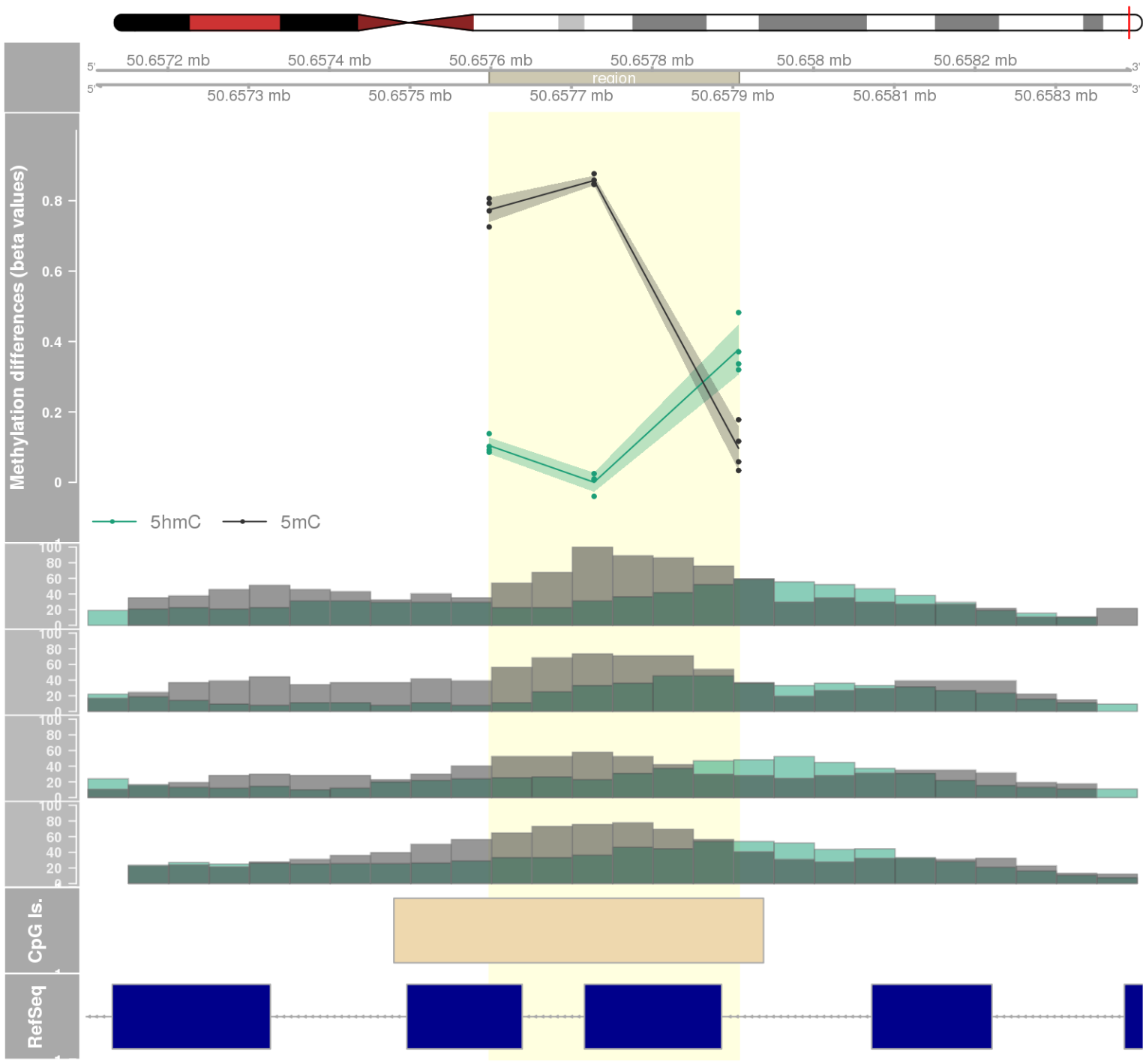


DMR 374 // chr17:7516888-7517258 // 370 pb. (6 probes) // pvalue: 0.016 // fwer: 1 // pvalueArea: 0.037 // fwerArea: 1
- genes: FXR2 -

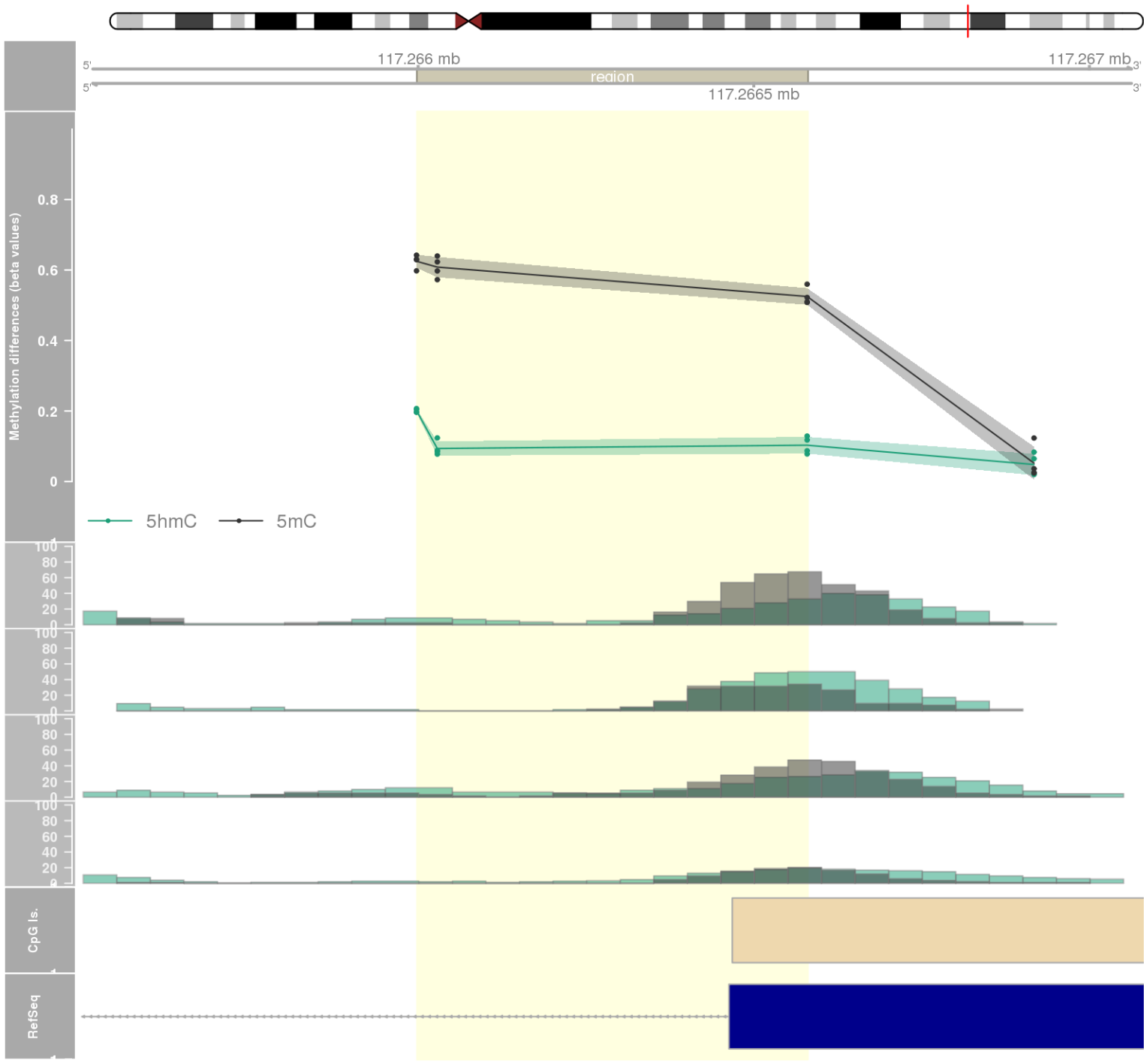




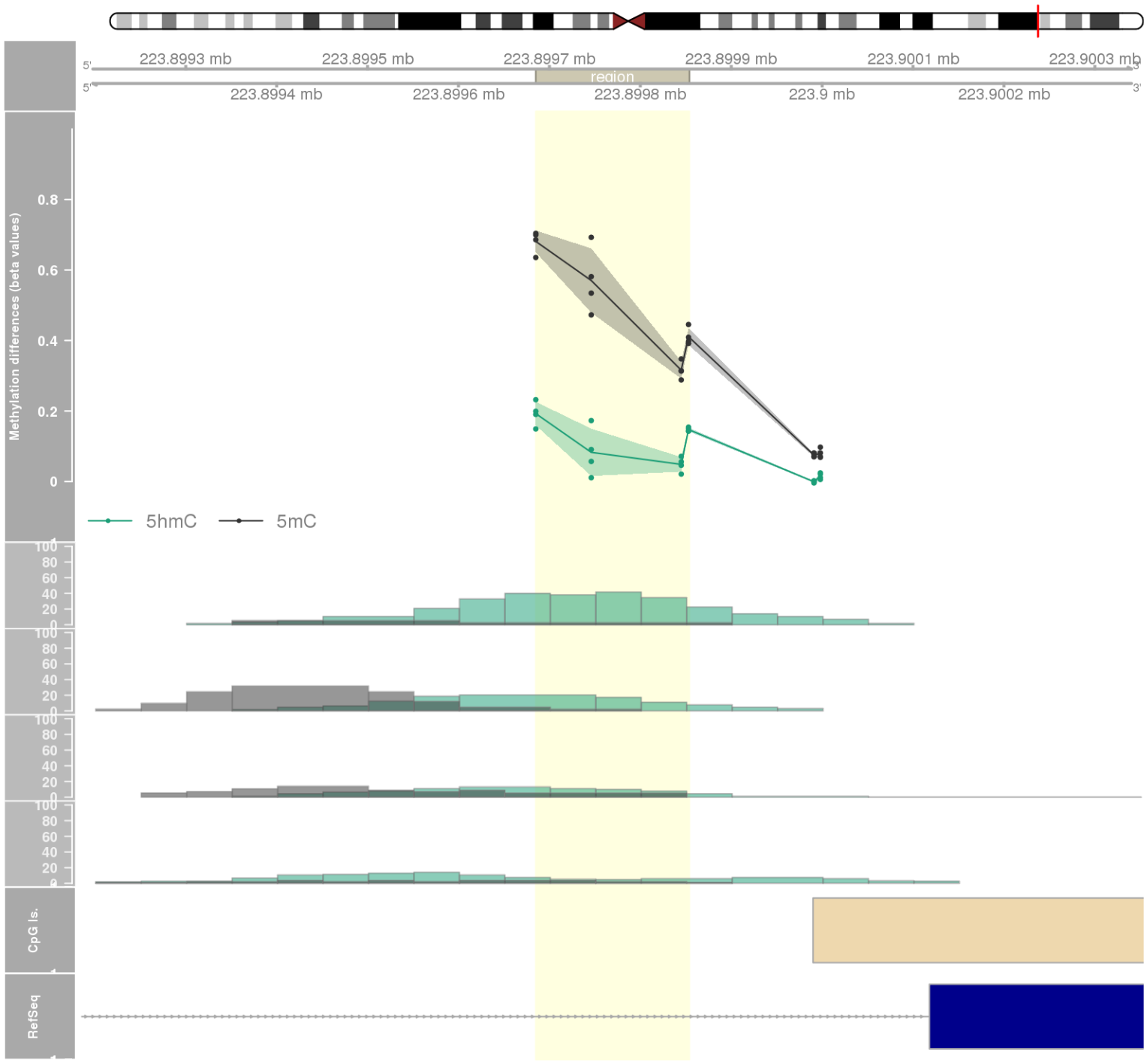
DMR 376 // chr22:50657598-50657907 // 309 pb. (3 probes) // pvalue: 0.003 // fwer: 1 // pvalueArea: 0.037 // fwerArea: 1
- genes: TUBGCP6 -

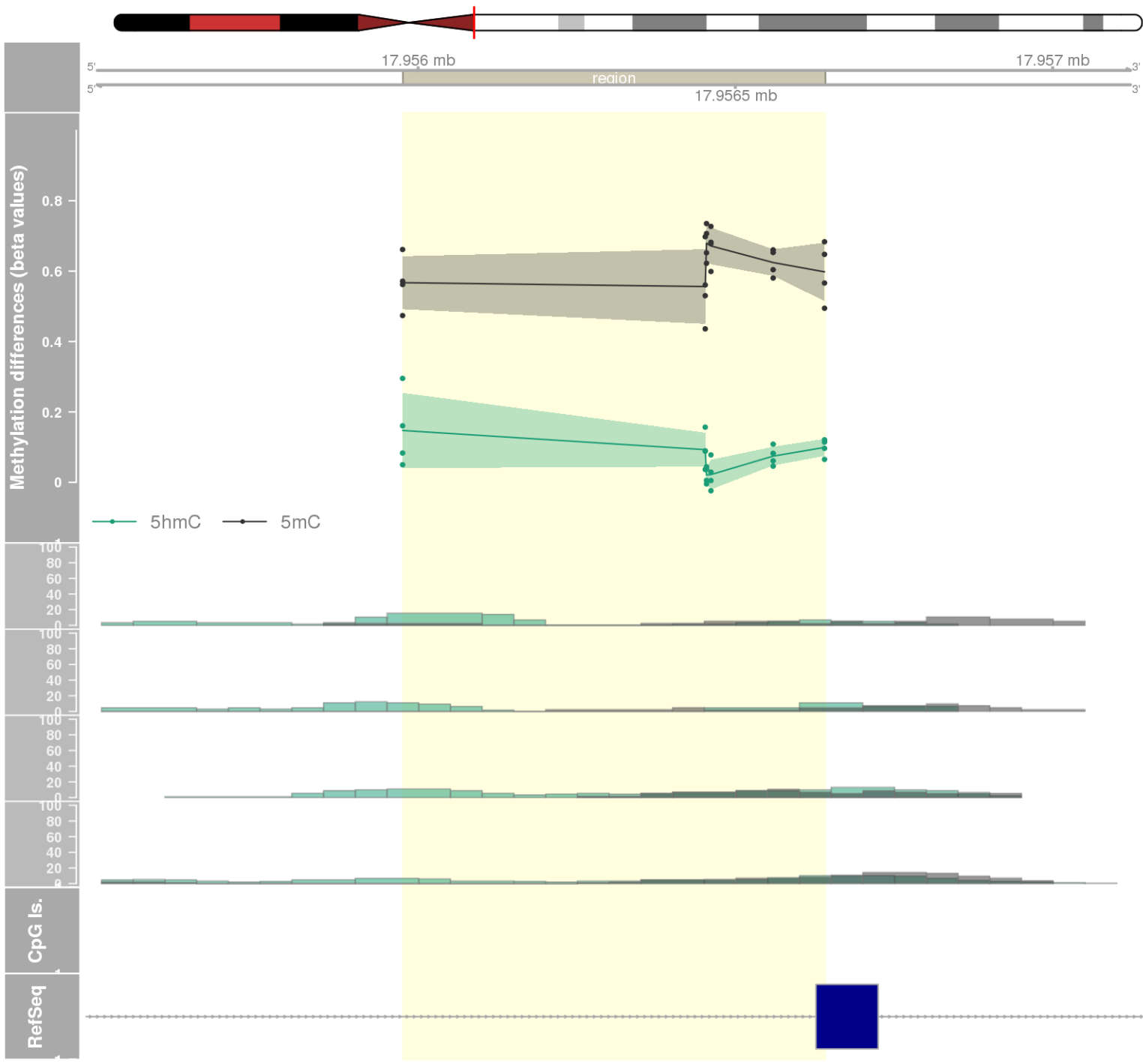


DMR 377 // chr9:117265998-117266580 // 582 pb. (3 probes) // pvalue: 0.004 // fwer: 1 // pvalueArea: 0.037 // fwerArea: 1
- genes: DFNB31 -

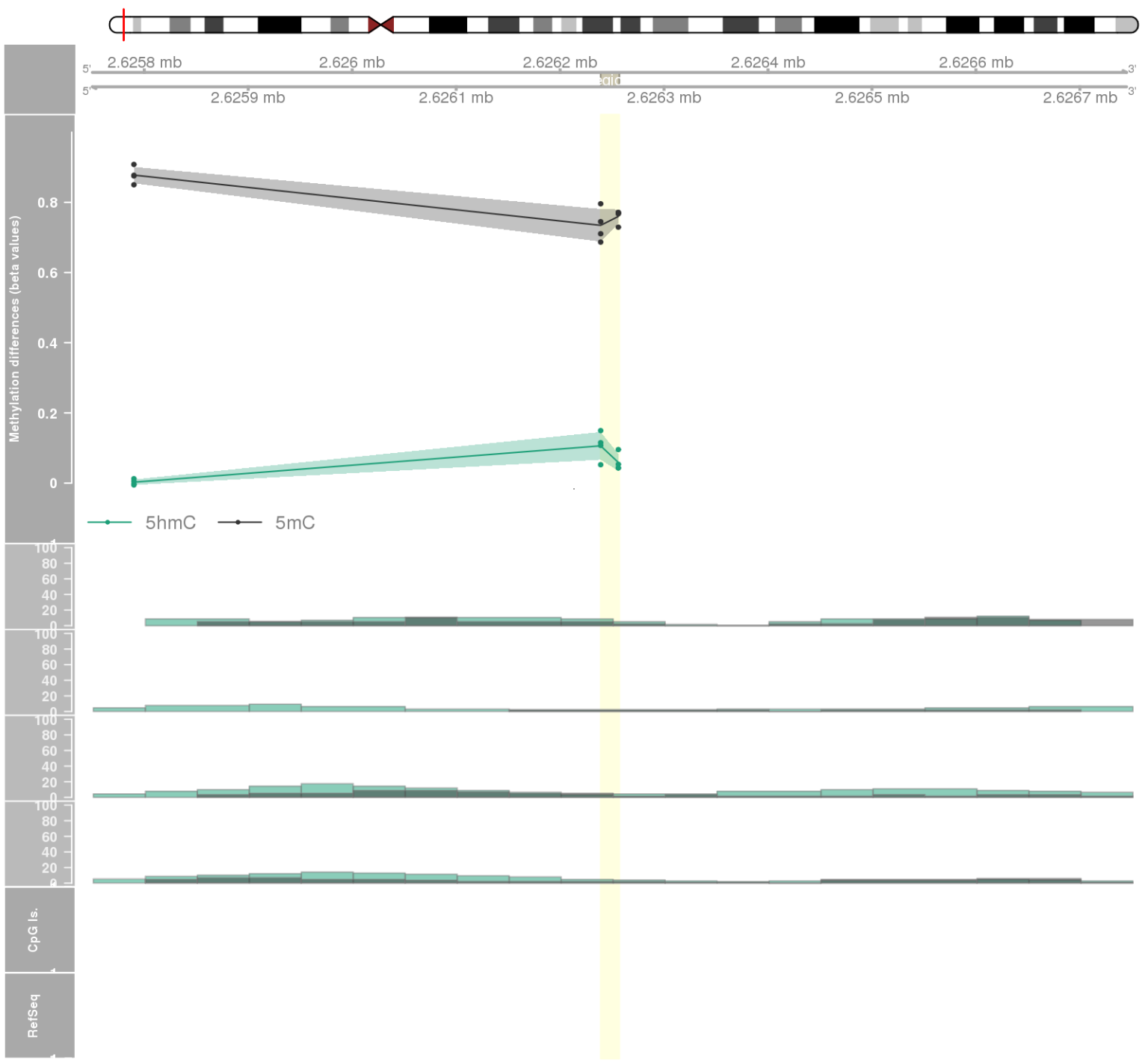


DMR 378 // chr1:223899685-223899853 // 168 pb. (4 probes) // pvalue: 0.008 // fwer: 1 // pvalueArea: 0.037 // fwerArea: 1
- genes: CAPN2 -

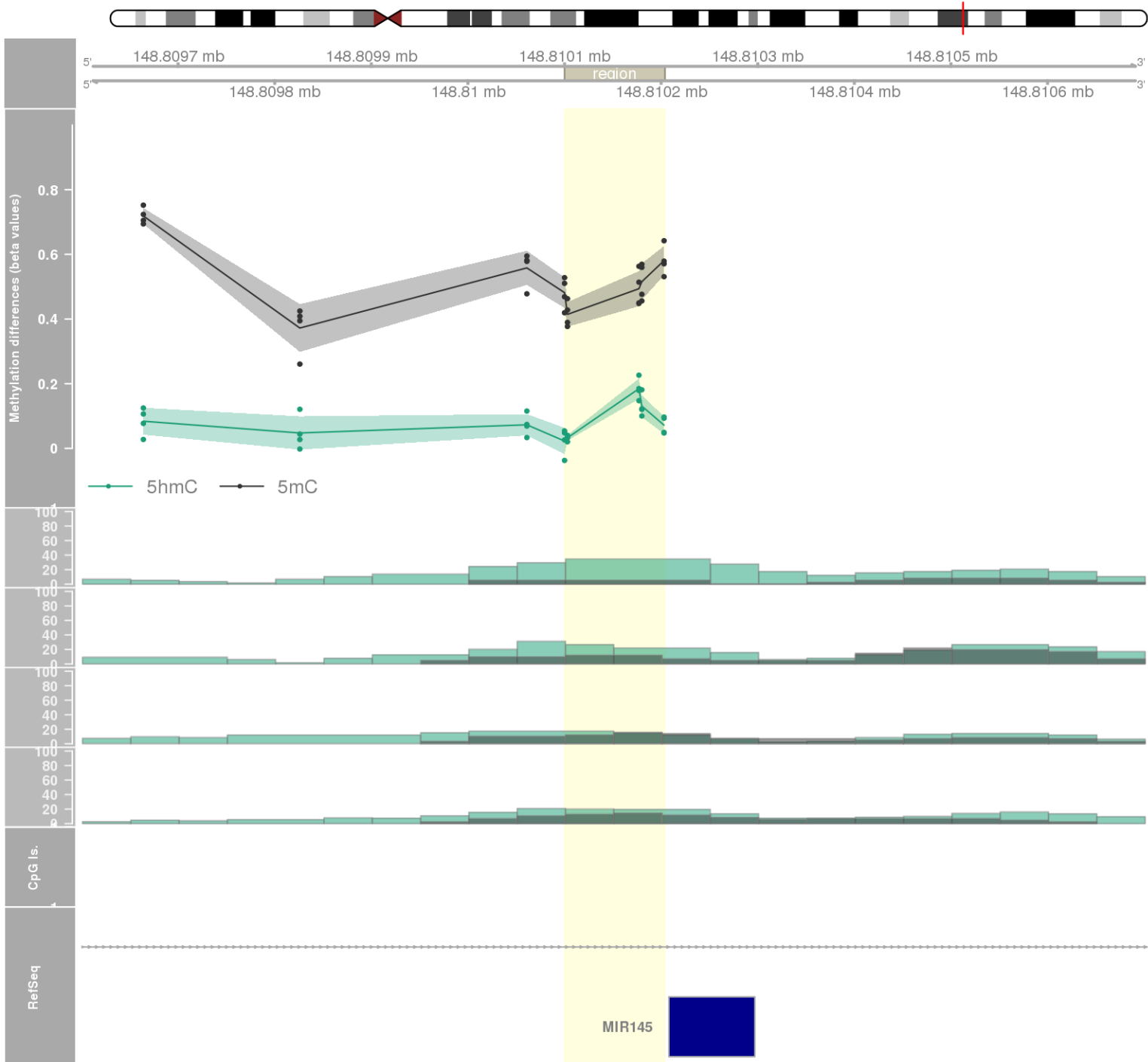


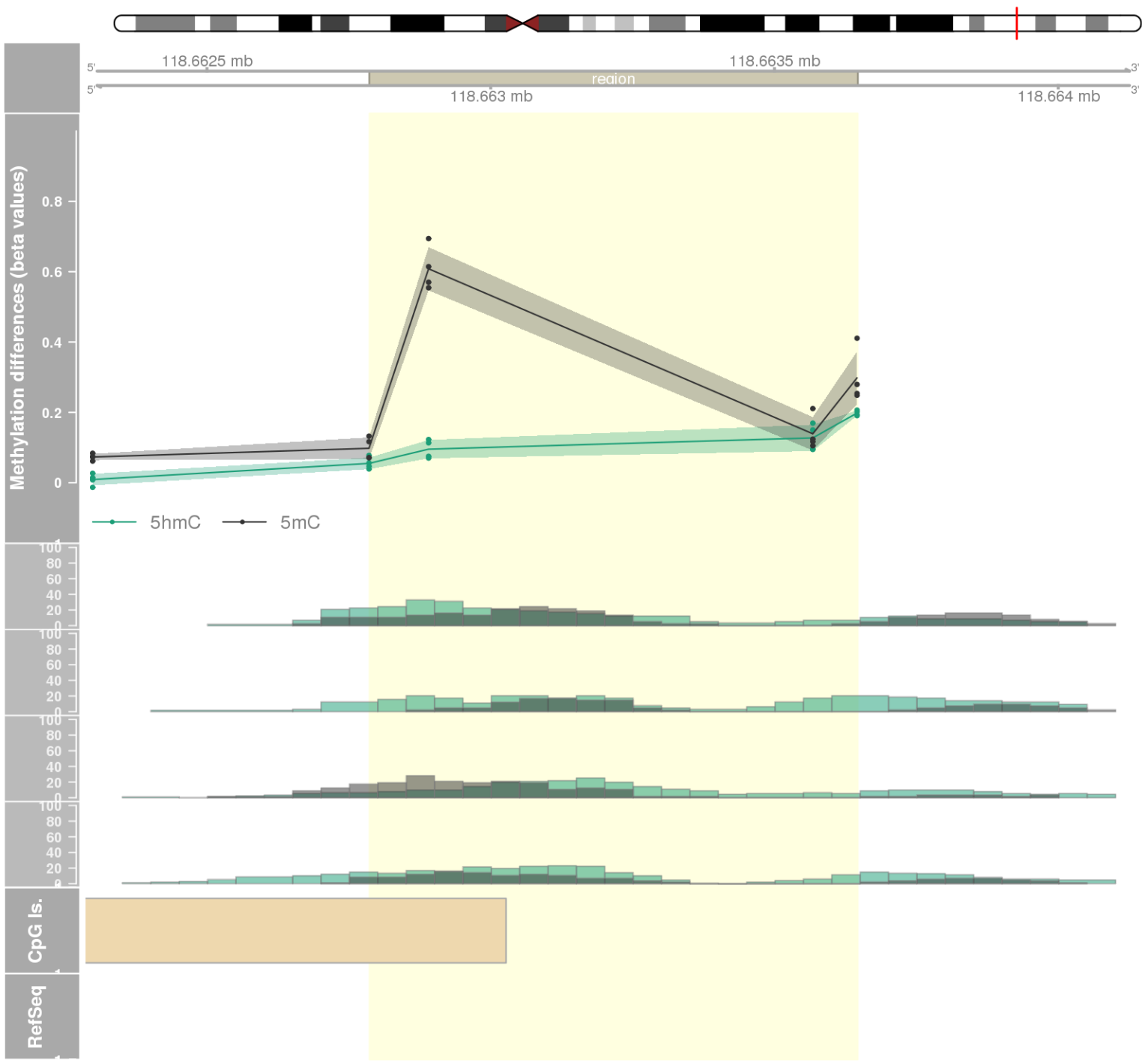


DMR 380 // chr4:2626239-2626256 // 17 pb. (2 probes) // pvalue: 0.002 // fwer: 1 // pvalueArea: 0.037 // fwerArea: 1
- genes: RNF4 -

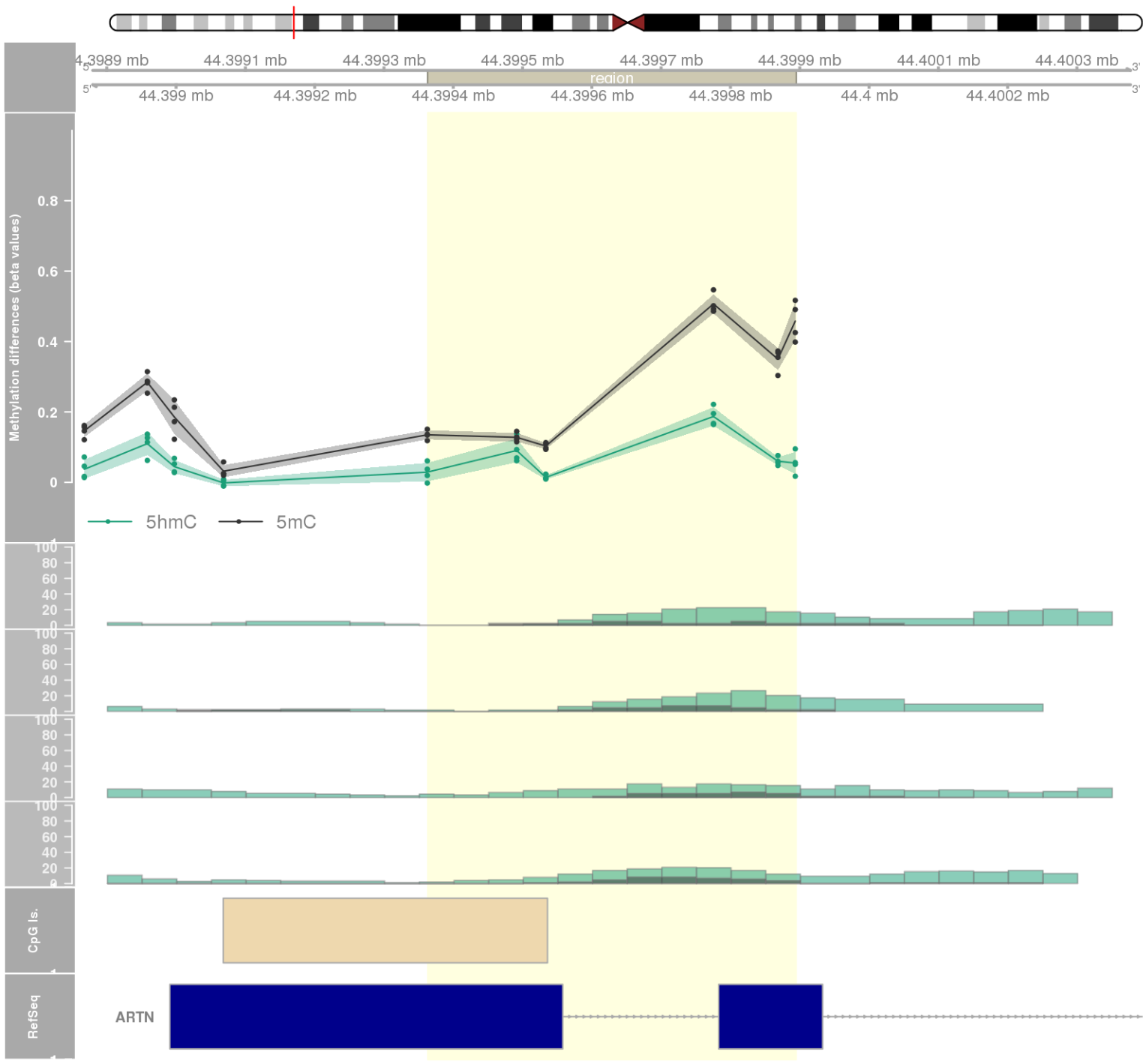


DMR 381 // chr5:148810100-148810203 // 103 pb. (5 probes) // pvalue: 0.016 // fwer: 1 // pvalueArea: 0.037 // fwerArea: 1
- genes: MIR145 -

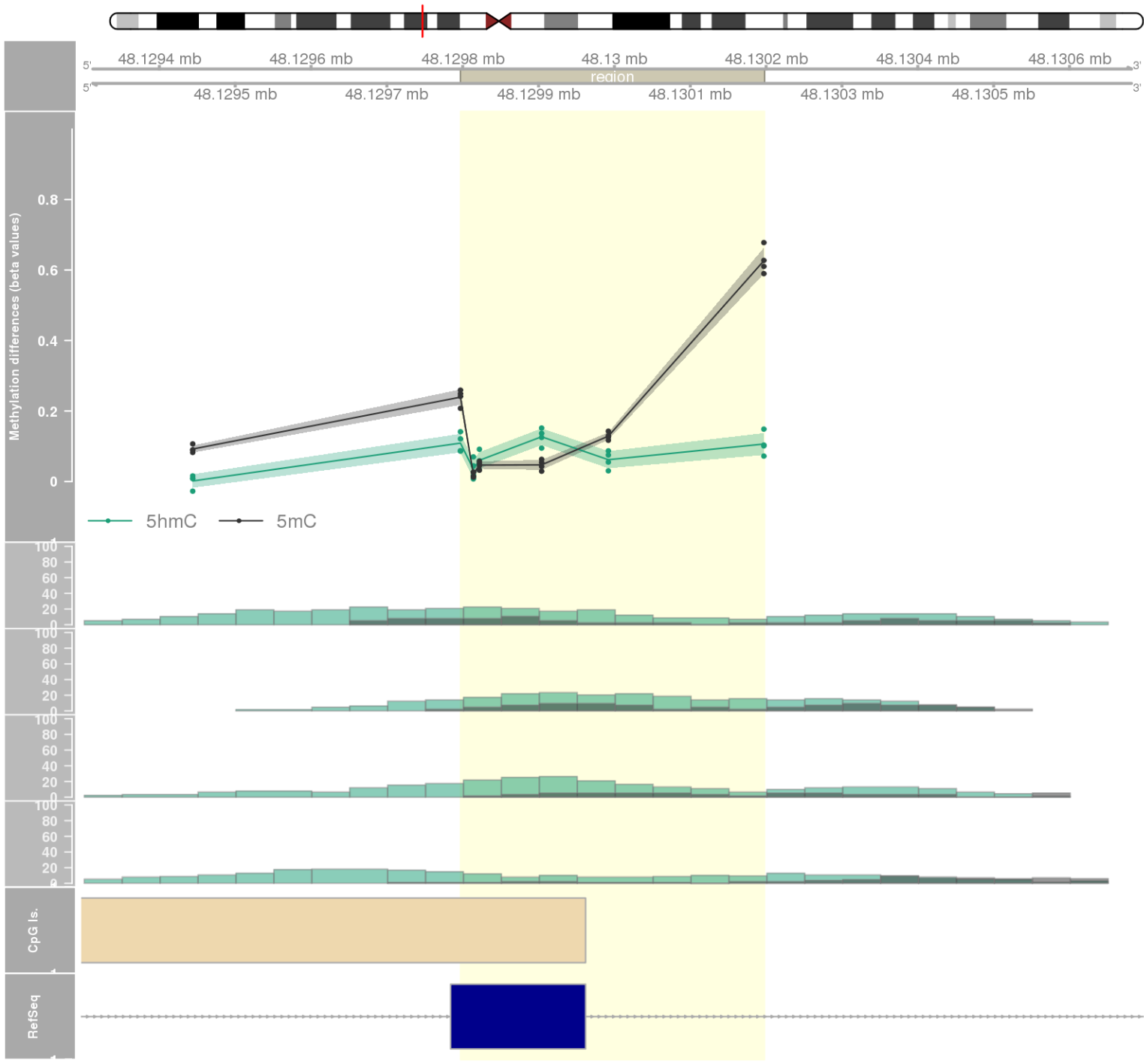




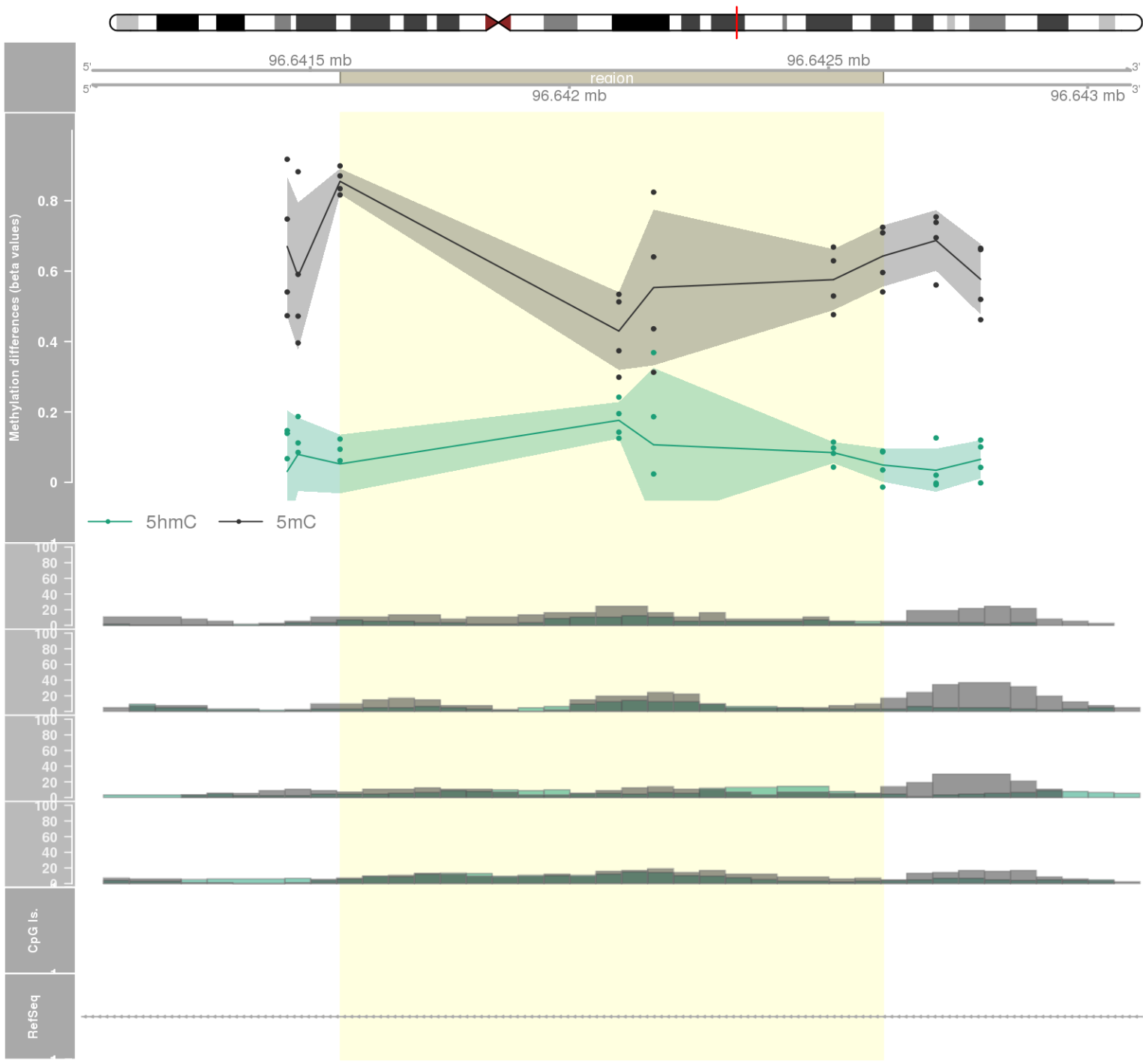
DMR 383 // chr1:44399363-44399894 // 531 pb. (6 probes) // pvalue: 0.02 // fwer: 1 // pvalueArea: 0.037 // fwerArea: 1
- genes: ARTN -



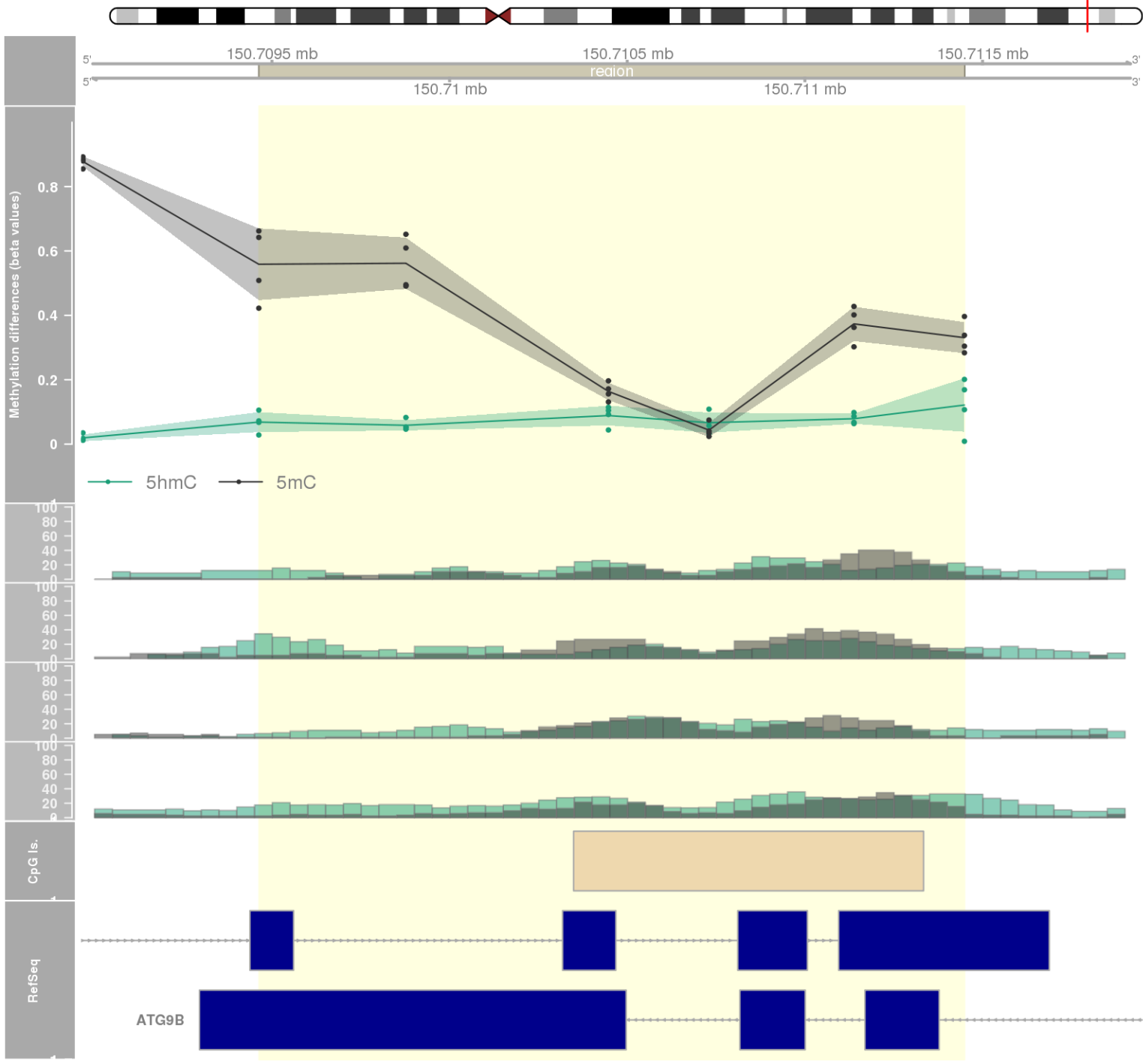
DMR 384 // chr7:48129797-48130197 // 400 pb. (6 probes) // pvalue: 0.021 // fwer: 1 // pvalueArea: 0.038 // fwerArea: 1
- genes: UPP1 -



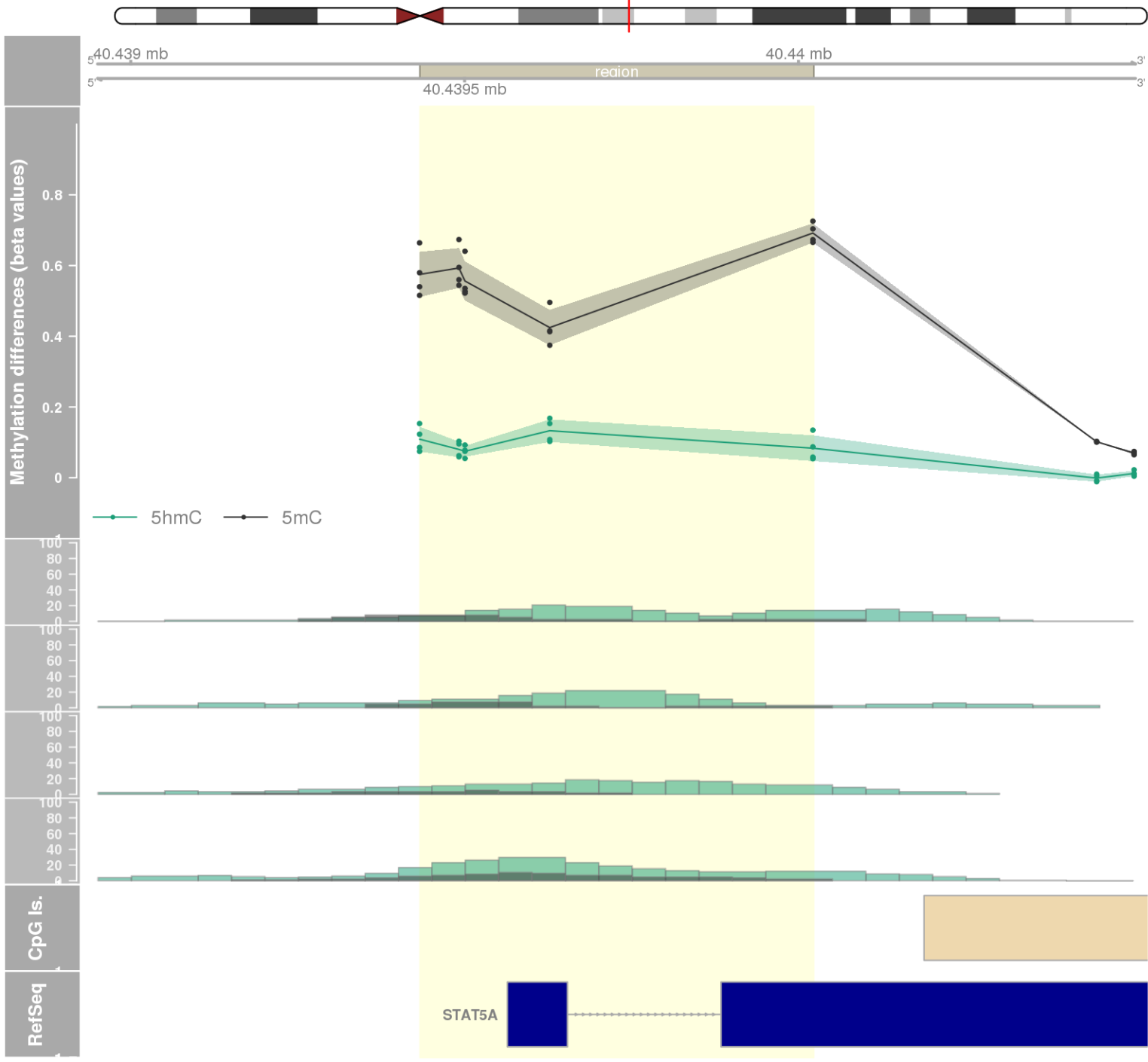
DMR 385 // chr7:96641558-96642605 // 1047 pb. (5 probes) // pvalue: 0.017 // fwer: 1 // pvalueArea: 0.038 // fwerArea: 1
- genes: DLX6-AS1 -



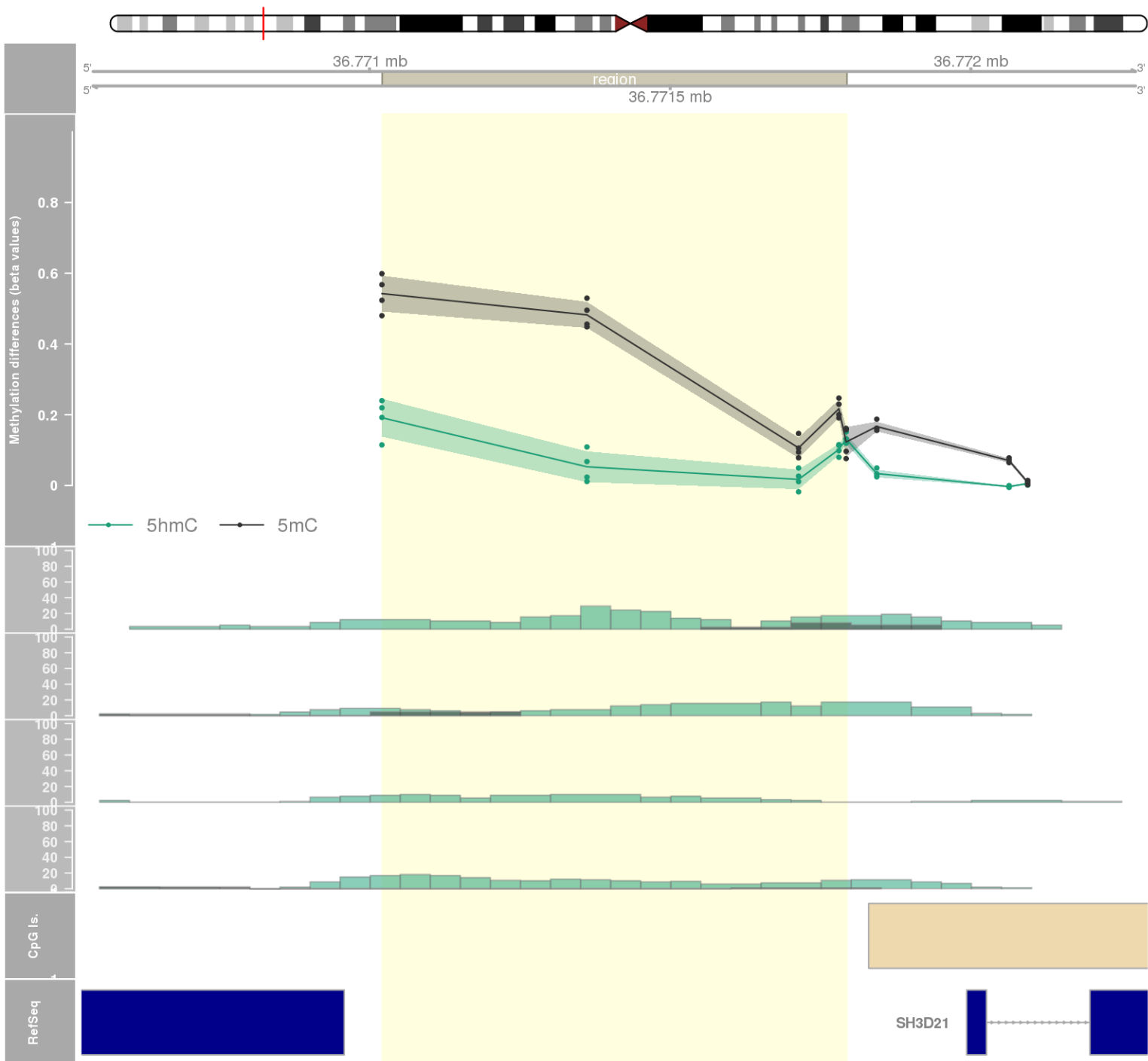
DMR 386 // chr7:150709463-150711449 // 1986 pb. (6 probes) // pvalue: 0.021 // fwer: 1 // pvalueArea: 0.038 // fwerArea: 1
- genes: NOS3 / ATG9B -

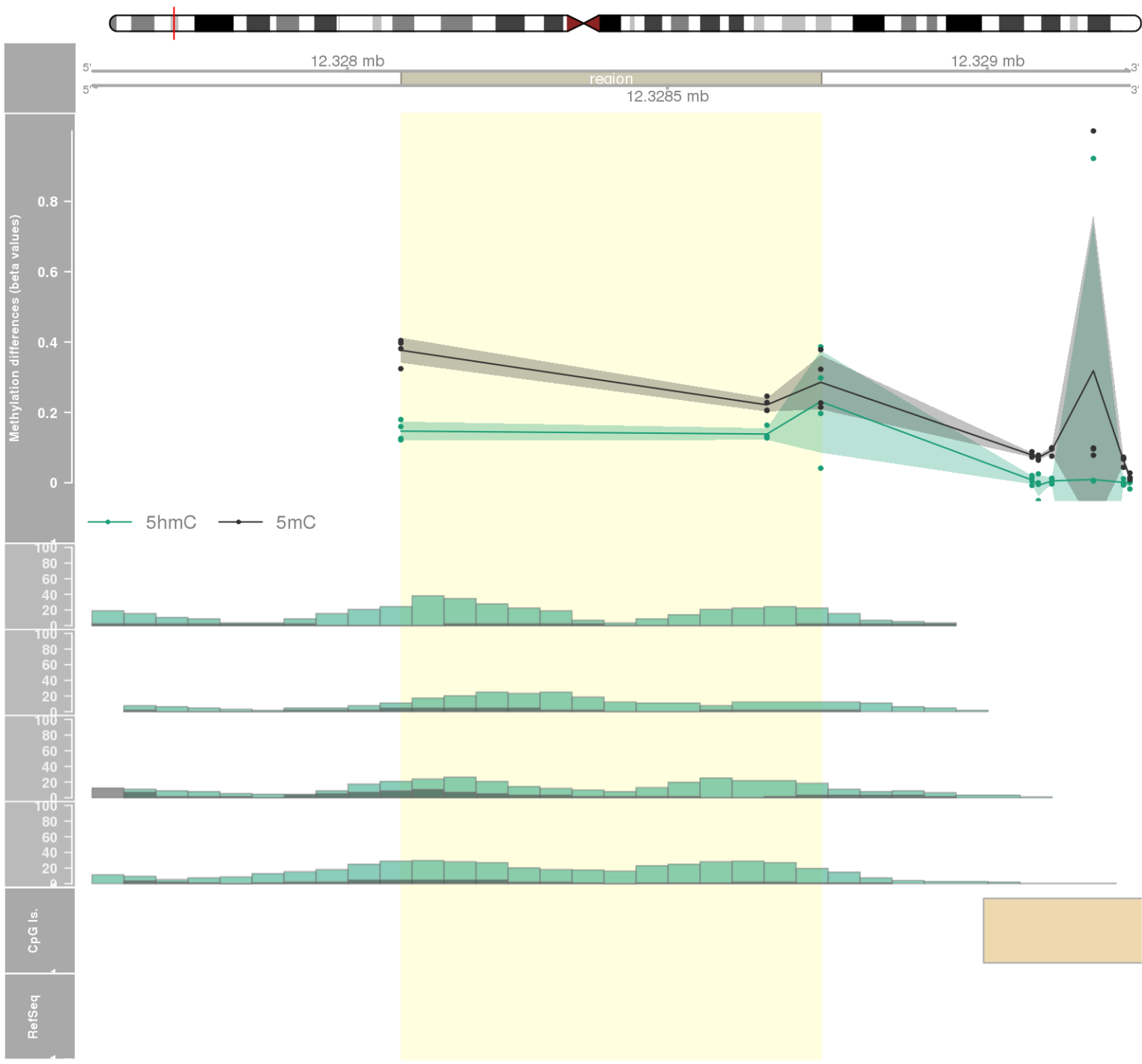


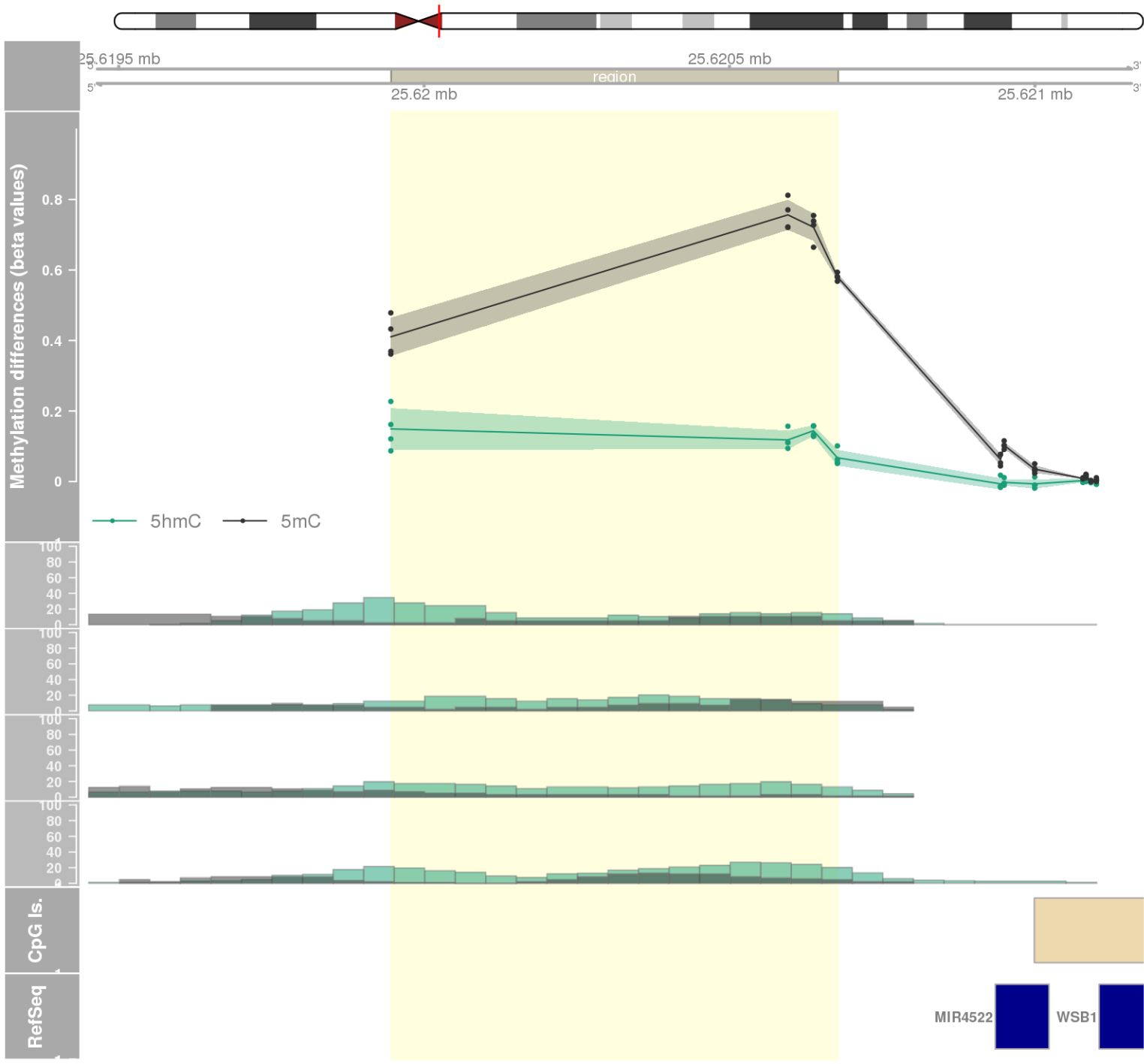
DMR 387 // chr17:40439433-40440022 // 589 pb. (5 probes) // pvalue: 0.017 // fwer: 1 // pvalueArea: 0.038 // fwerArea: 1
- genes: STAT5A -



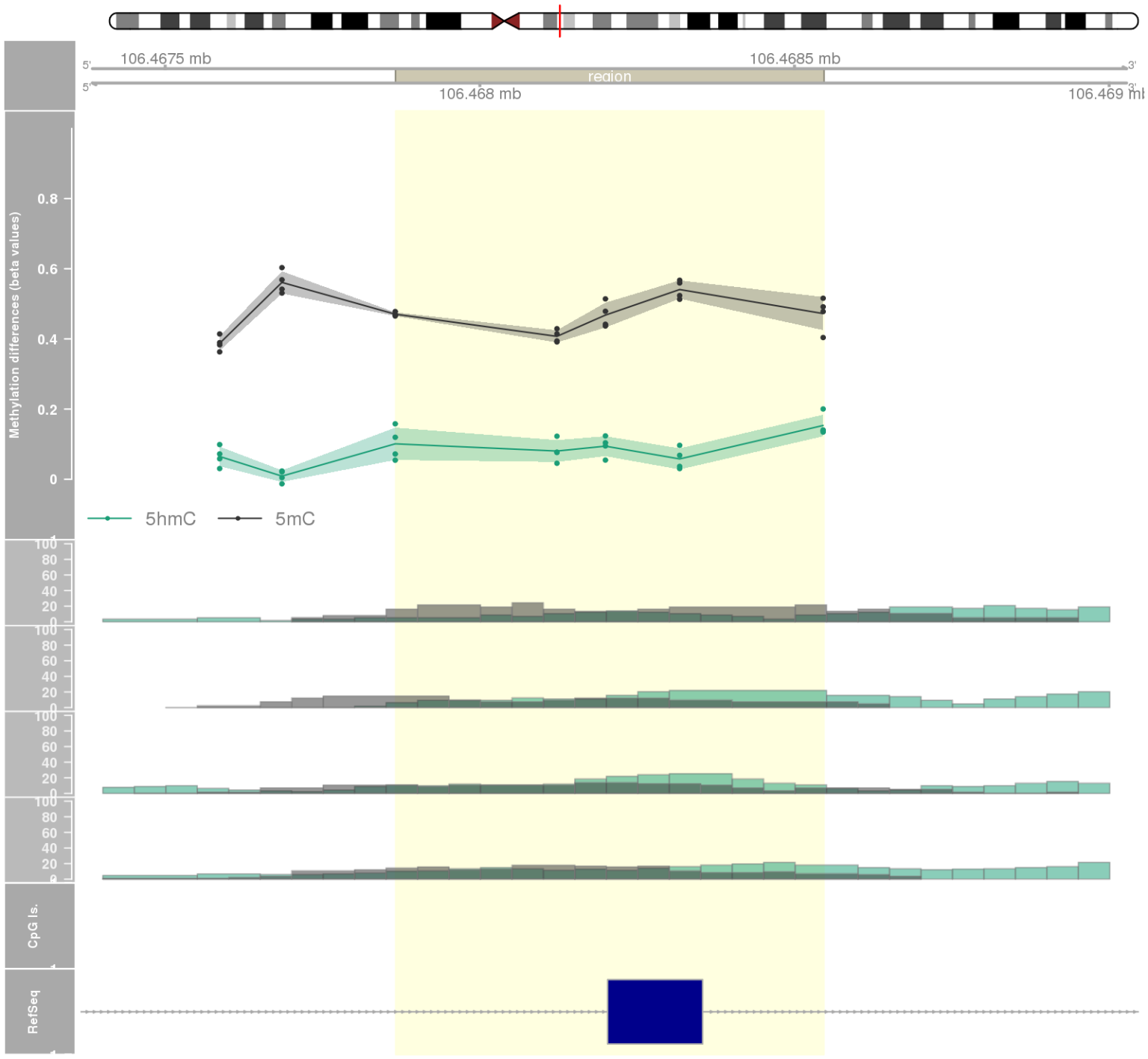
DMR 388 // chr1:36771021-36771793 // 772 pb. (5 probes) // pvalue: 0.017 // fwer: 1 // pvalueArea: 0.038 // fwerArea: 1



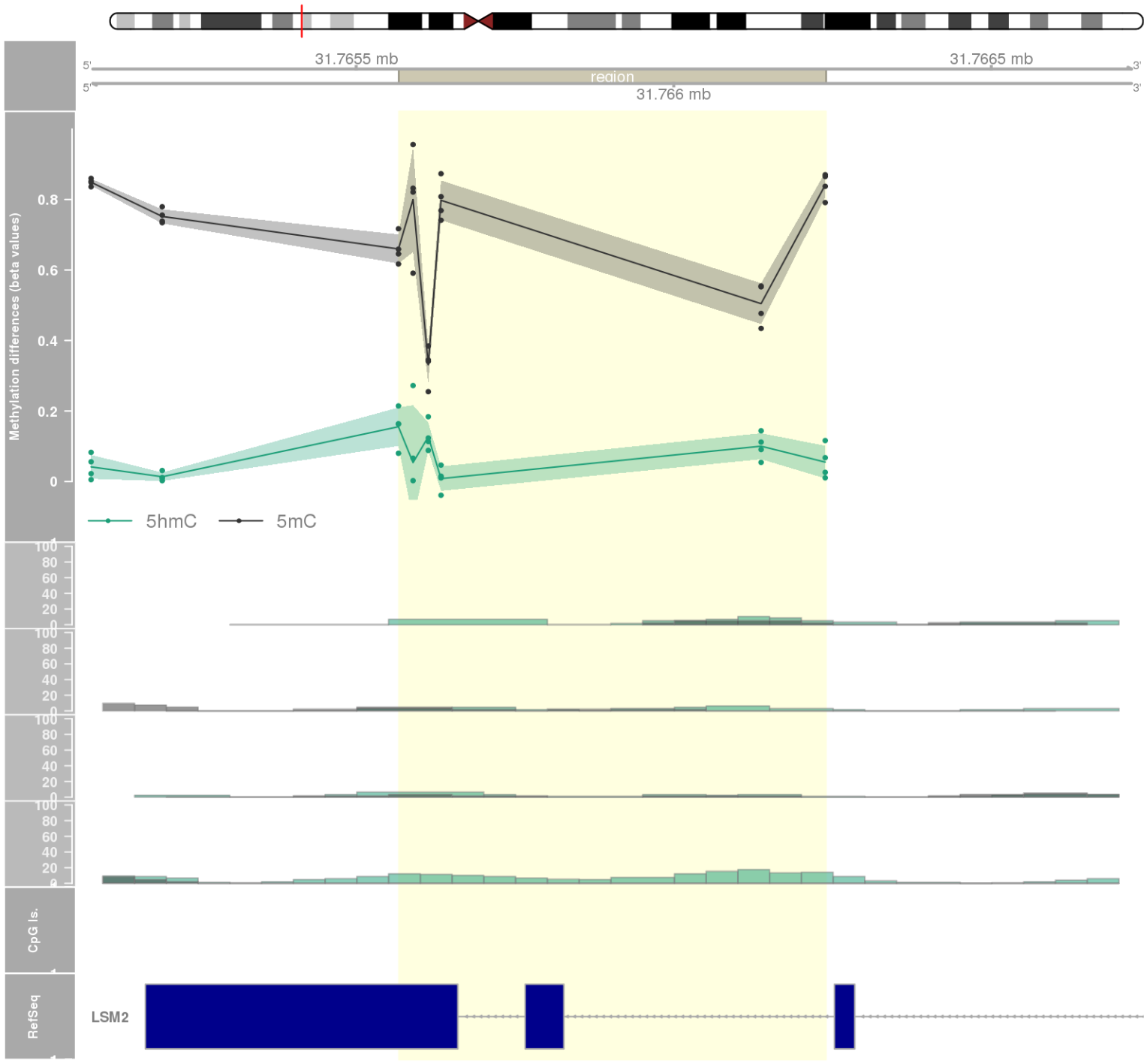




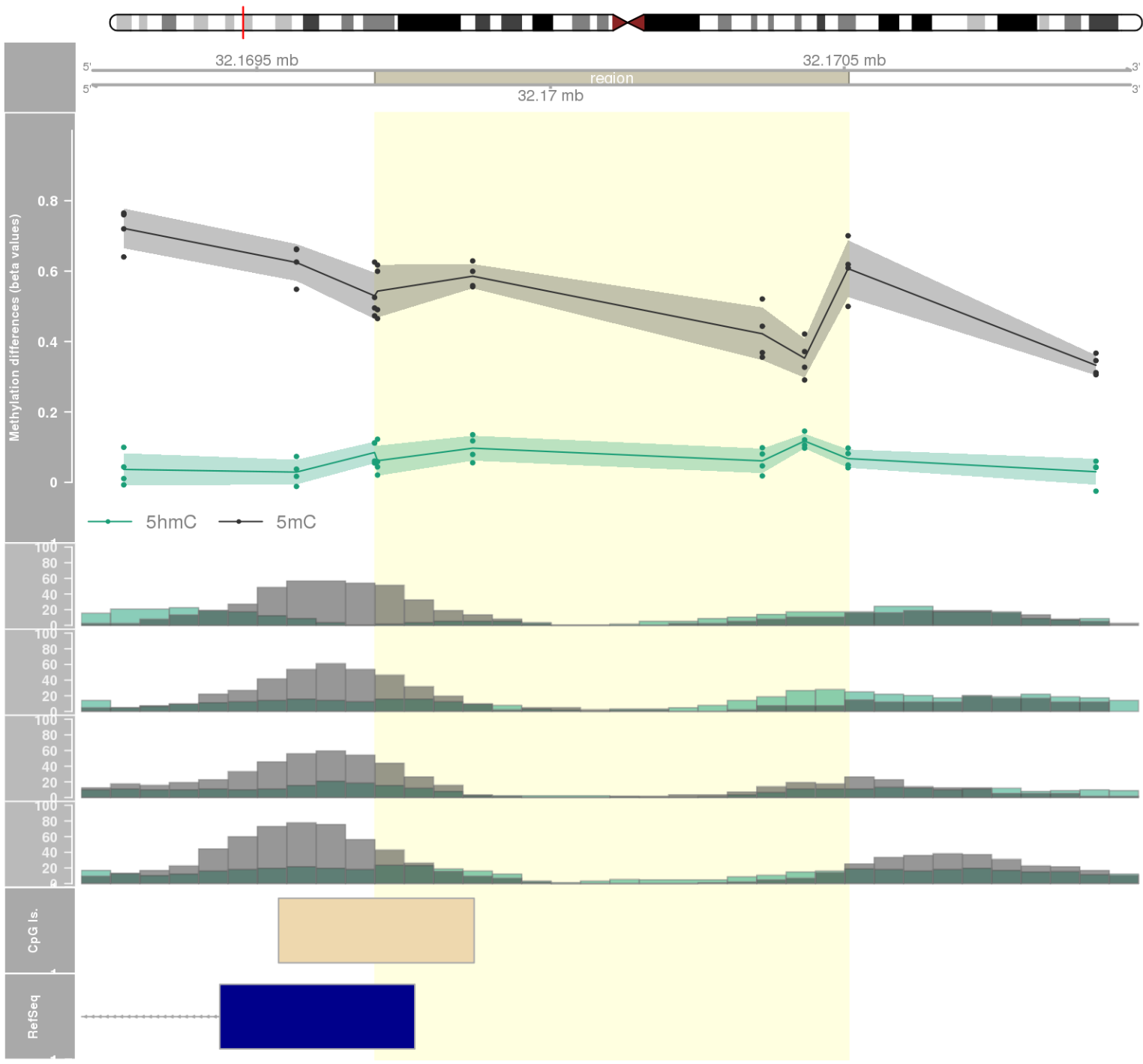
DMR 391 // chr2:106467866-106468546 // 680 pb. (5 probes) // pvalue: 0.017 // fwer: 1 // pvalueArea: 0.038 // fwerArea: 1
- genes: NCK2 -



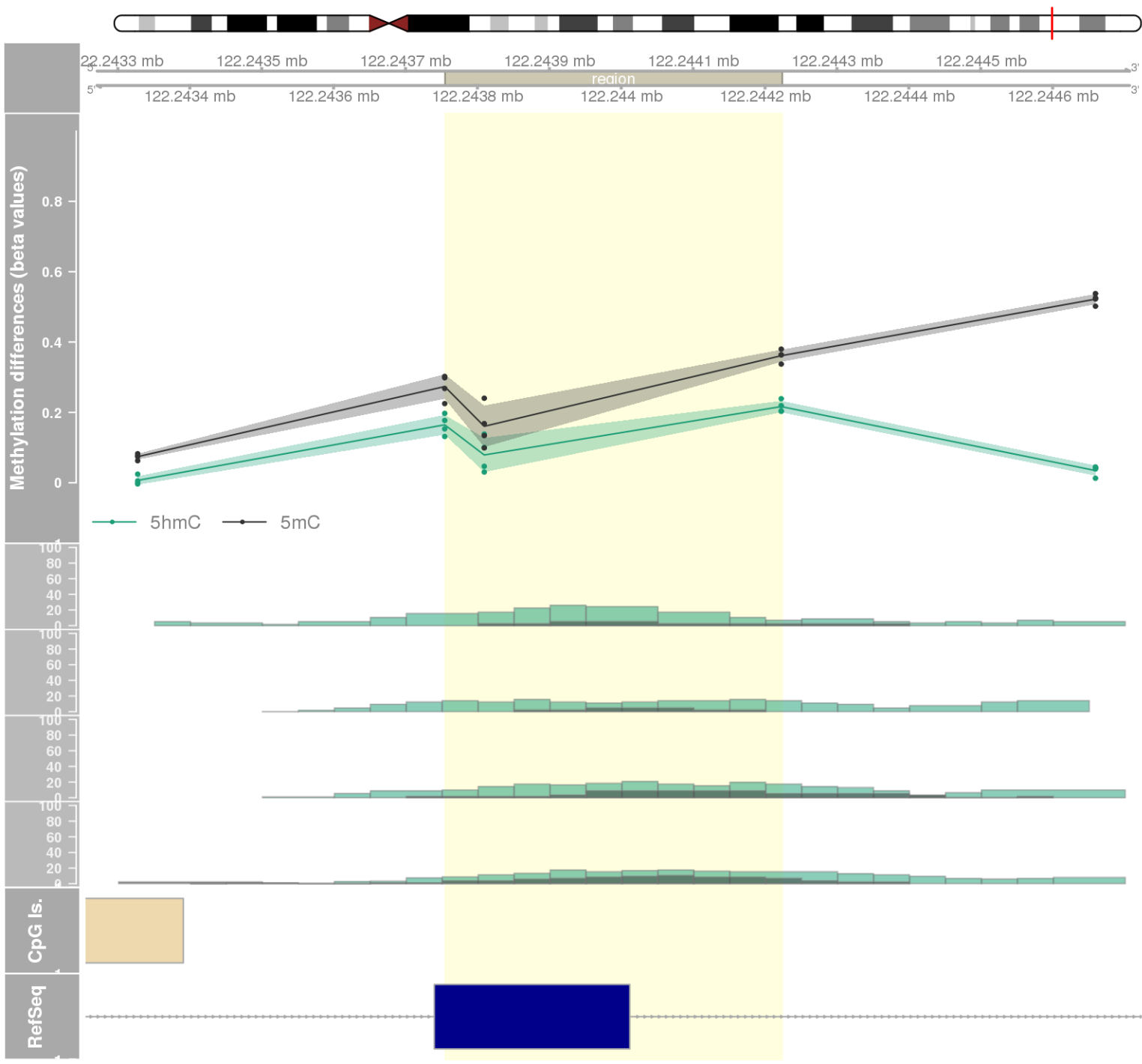
DMR 392 // chr6:31765567-31766239 // 672 pb. (6 probes) // pvalue: 0.021 // fwer: 1 // pvalueArea: 0.038 // fwerArea: 1
- genes: LSM2 -



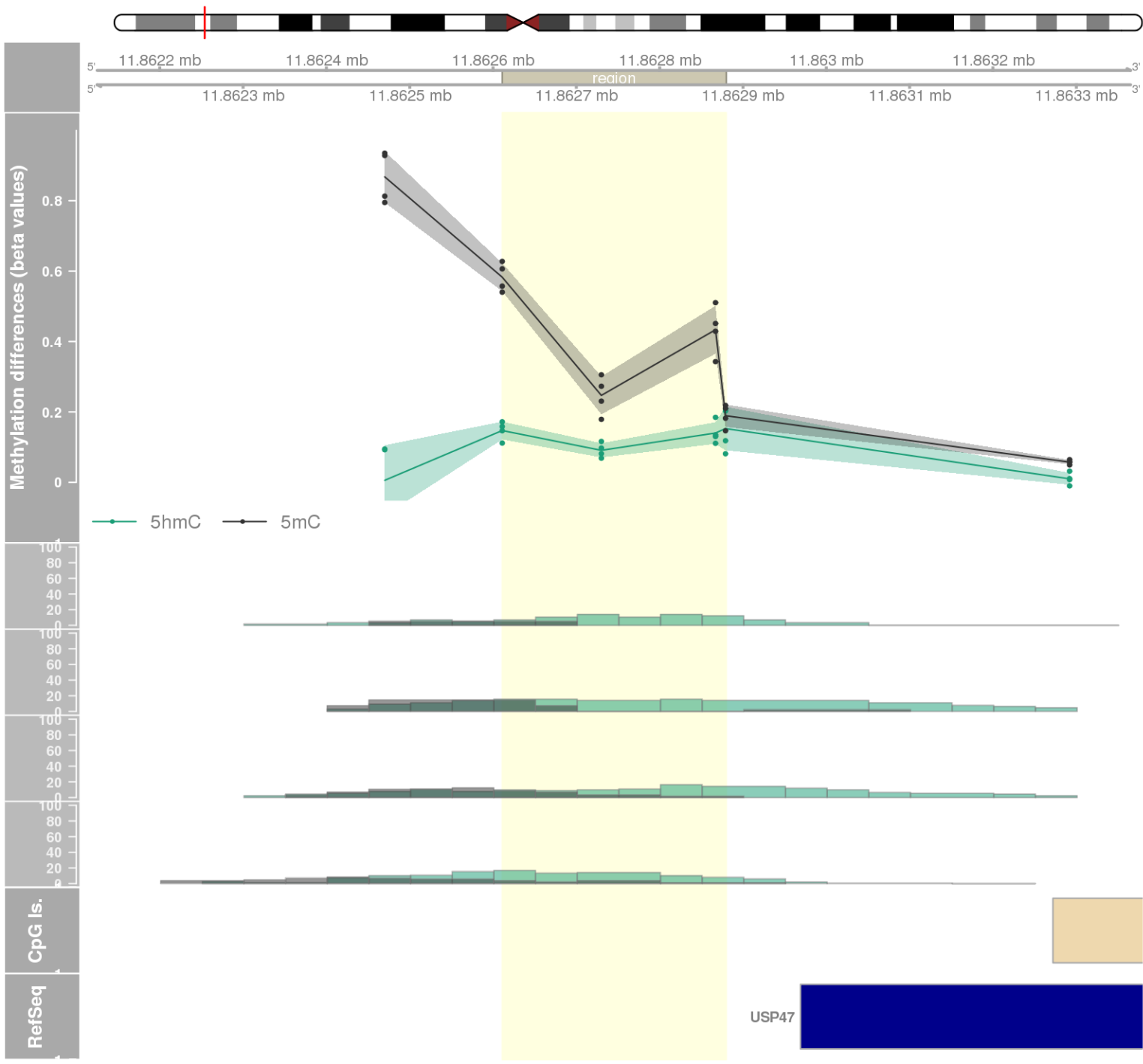
DMR 393 // chr1:32169701-32170507 // 806 pb. (6 probes) // pvalue: 0.021 // fwer: 1 // pvalueArea: 0.038 // fwerArea: 1
- genes: COL16A1 -



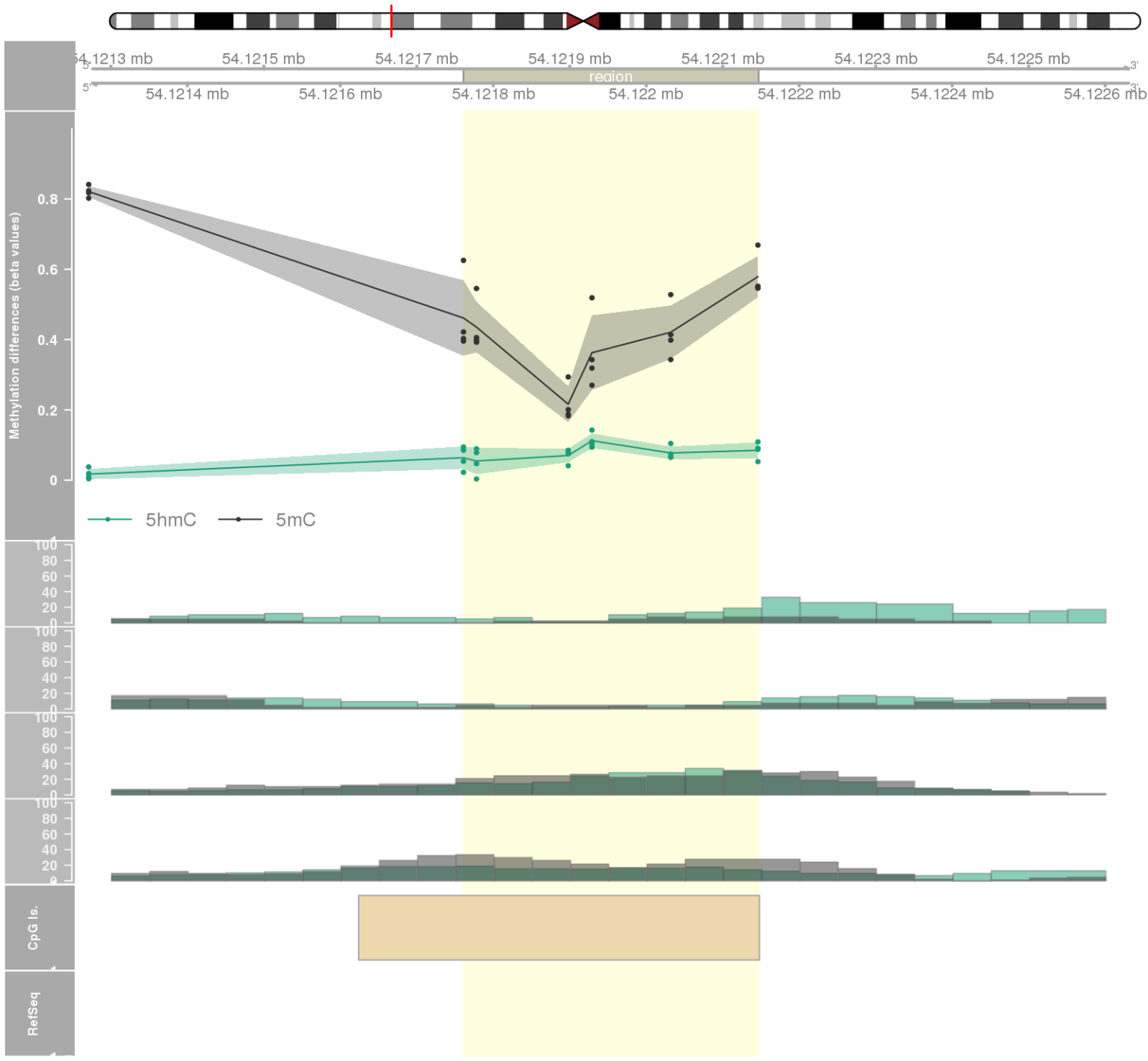
DMR 394 // chr12:122243755-122244223 // 468 pb. (3 probes) // pvalue: 0.004 // fwer: 1 // pvalueArea: 0.038 // fwerArea: 1
- genes: SETD1B -



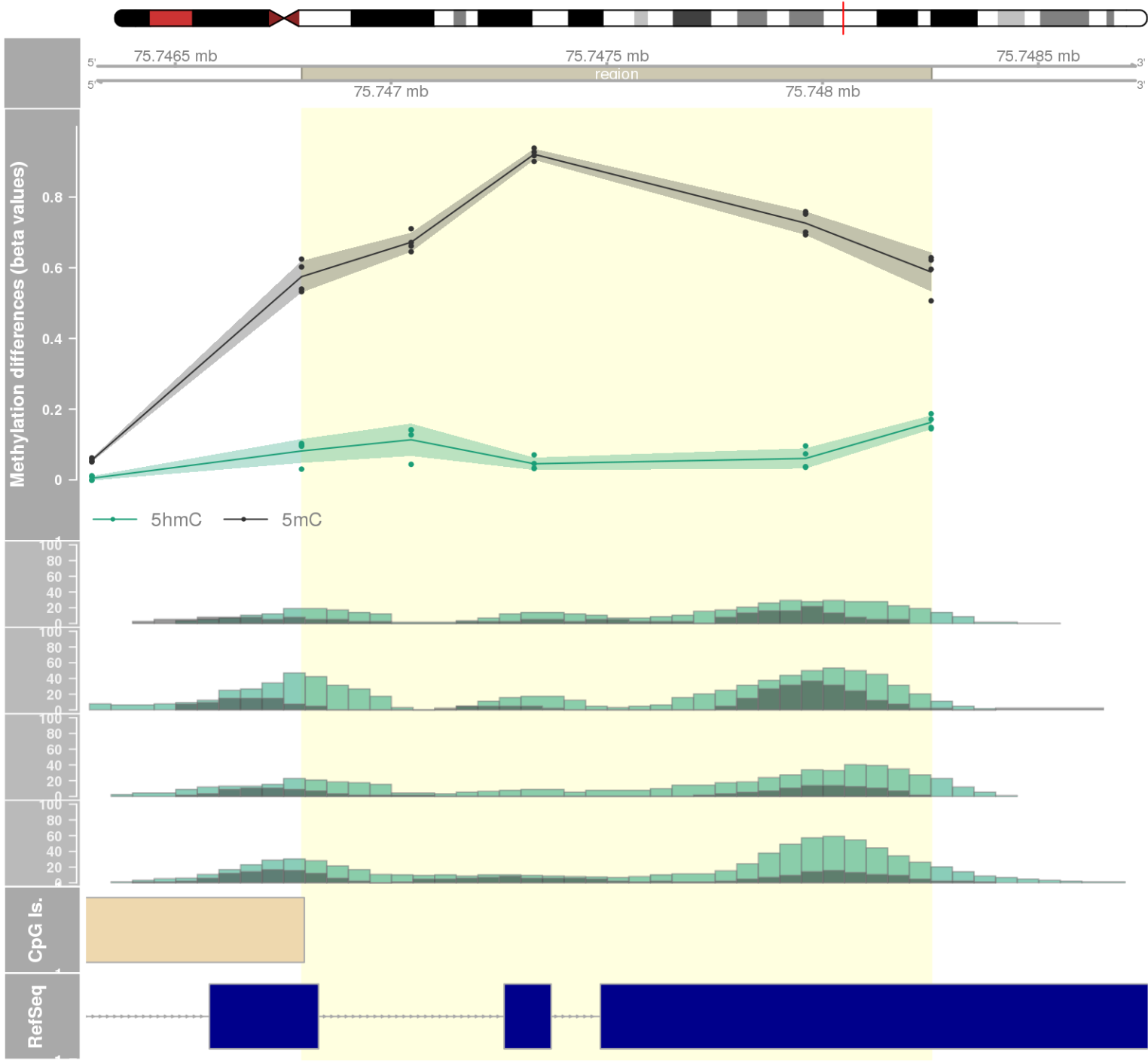
DMR 395 // chr11:11862611-11862879 // 268 pb. (4 probes) // pvalue: 0.009 // fwer: 1 // pvalueArea: 0.038 // fwerArea: 1



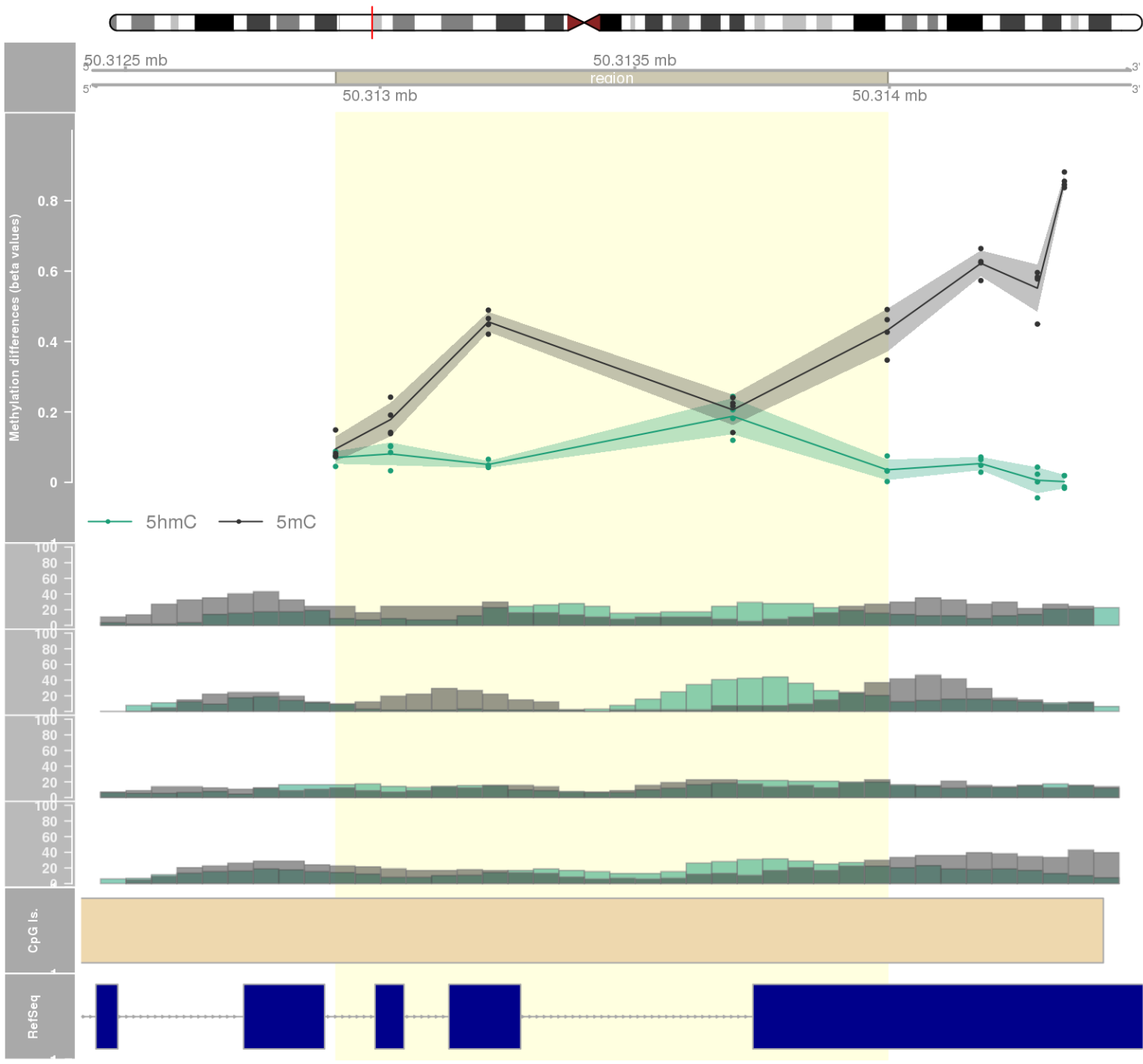
DMR 396 // chr3:54121761-54122146 // 385 pb. (6 probes) // pvalue: 0.021 // fwer: 1 // pvalueArea: 0.038 // fwerArea: 1



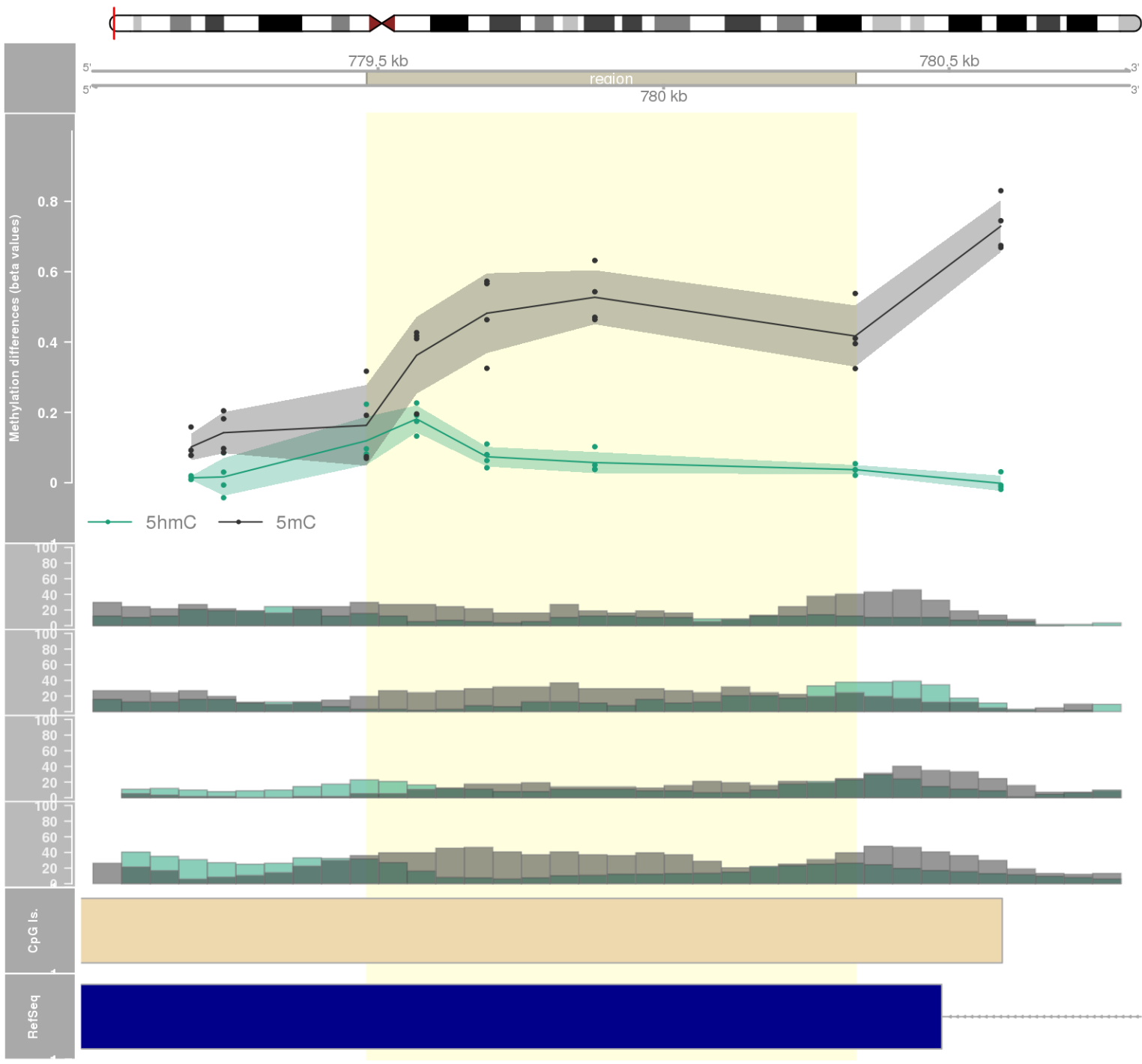
DMR 397 // chr14:75746793-75748252 // 1459 pb. (5 probes) // pvalue: 0.017 // fwer: 1 // pvalueArea: 0.039 // fwerArea: 1
- genes: FOS -



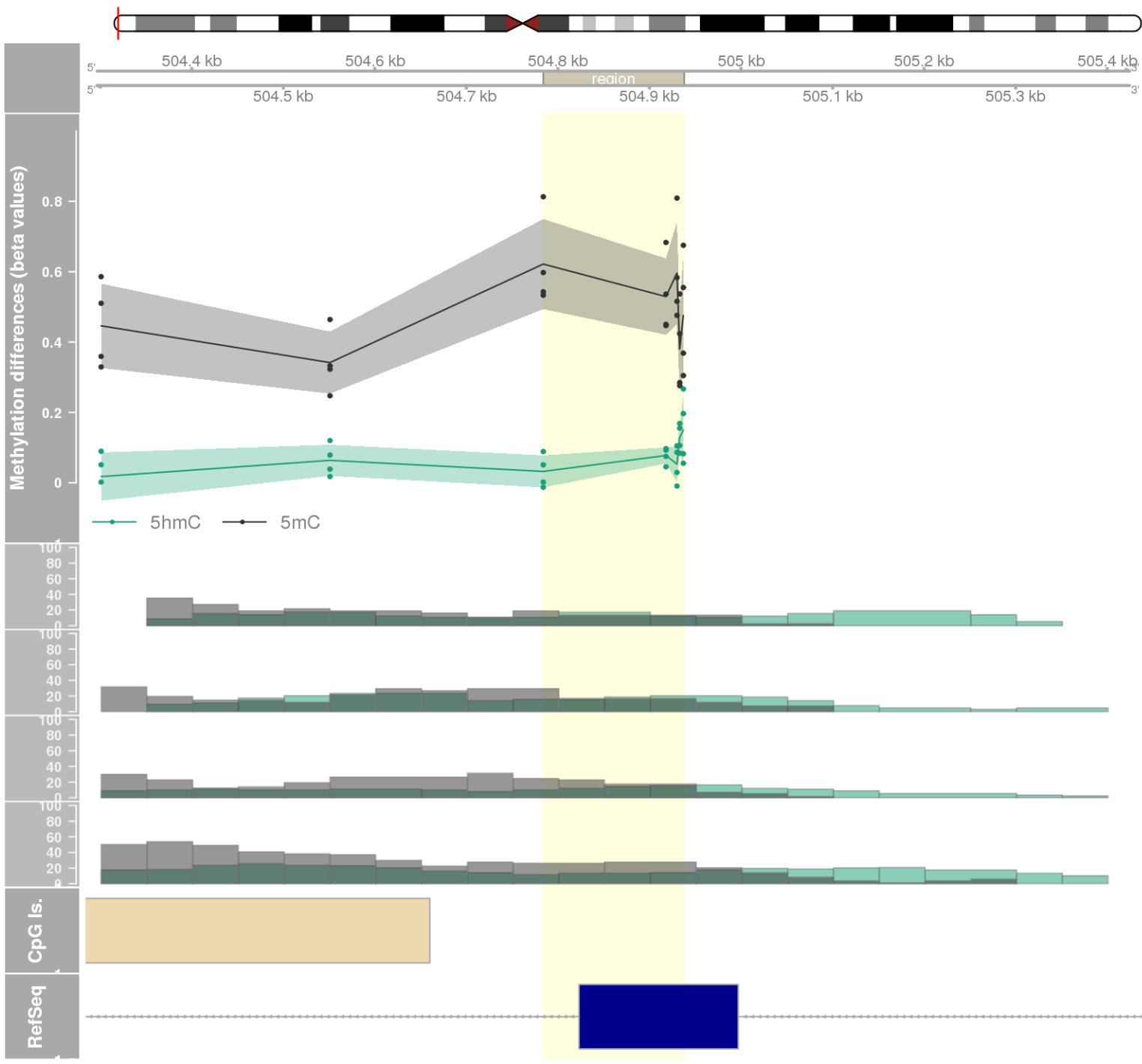
DMR 398 // chr3:50312913-50313996 // 1083 pb. (5 probes) // pvalue: 0.018 // fwer: 1 // pvalueArea: 0.039 // fwerArea: 1
- genes: SEMA3B -

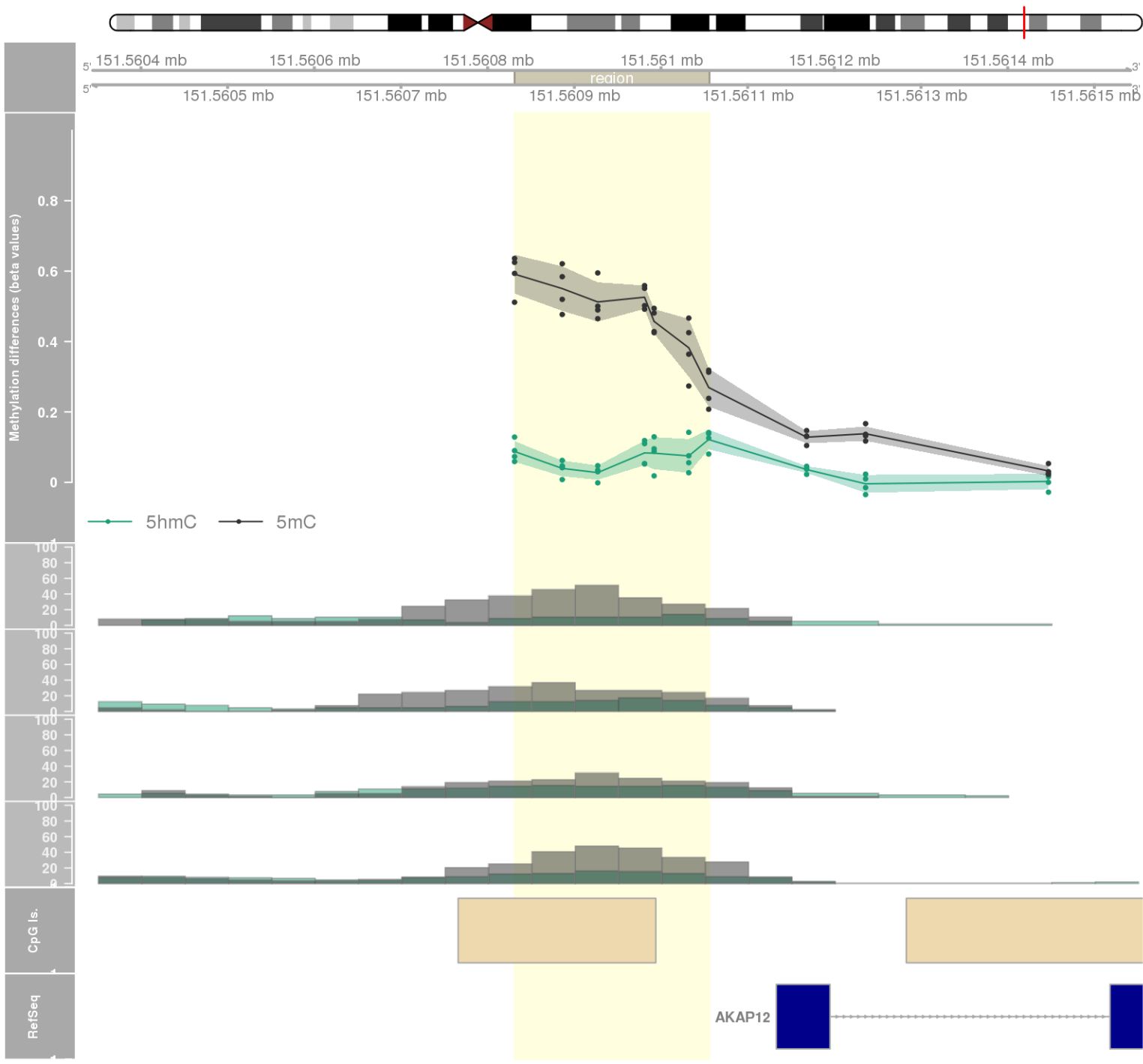


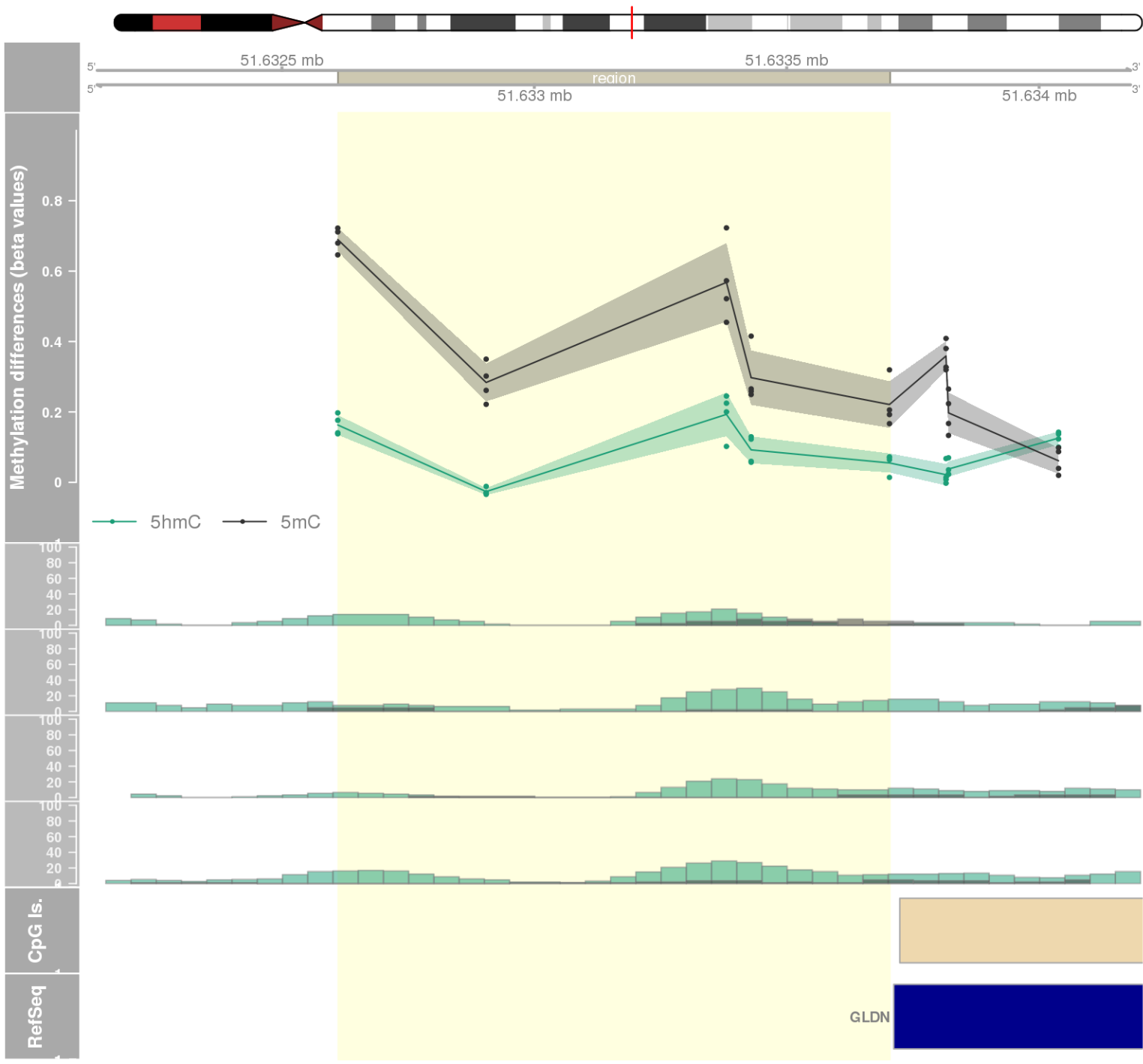
DMR 399 // chr4:779480-780336 // 856 pb. (5 probes) // pvalue: 0.018 // fwer: 1 // pvalueArea: 0.039 // fwerArea: 1
- genes: CPLX1 -



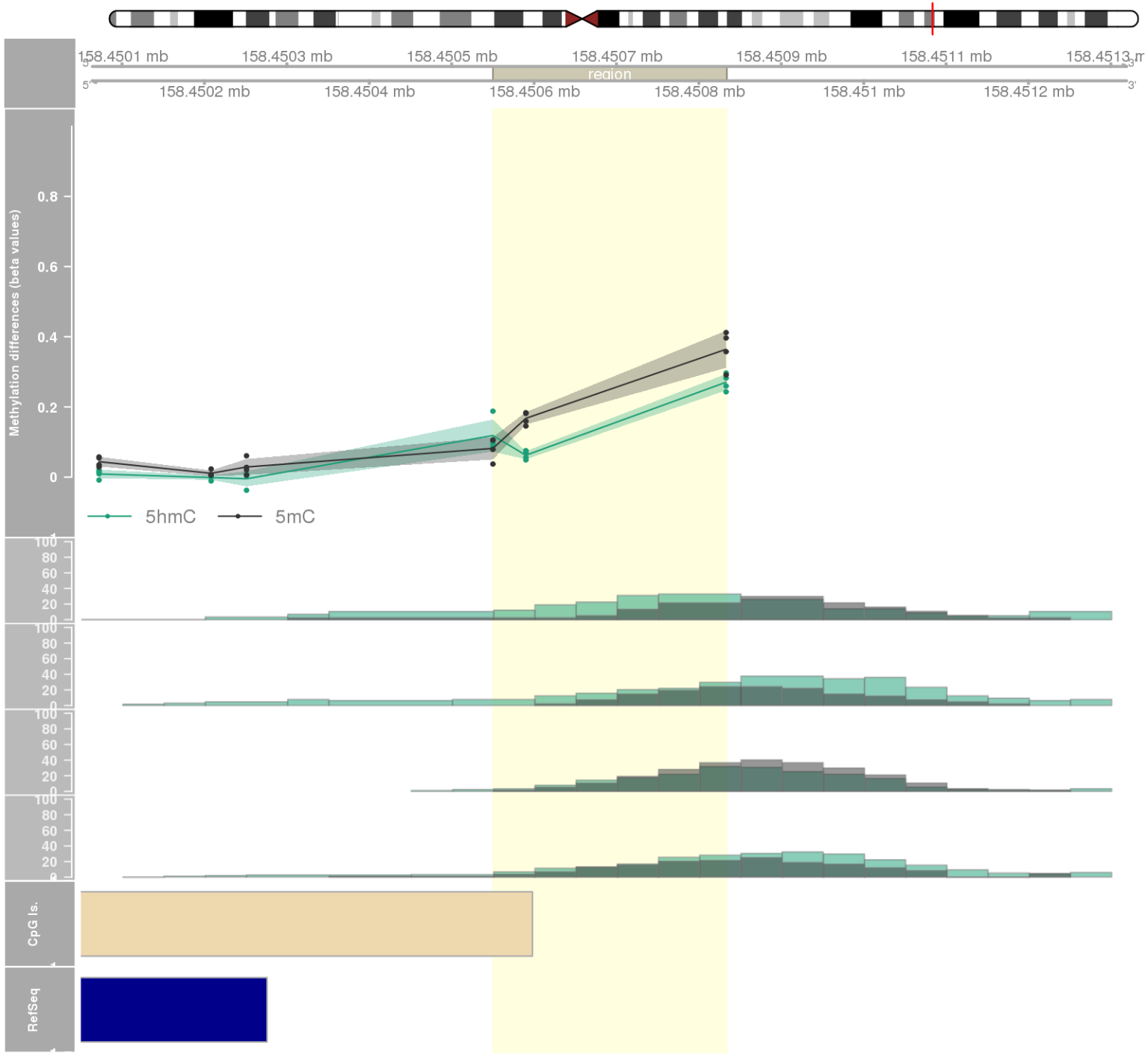
DMR 400 // chr11:504784-504937 // 153 pb. (5 probes) // pvalue: 0.018 // fwer: 1 // pvalueArea: 0.039 // fwerArea: 1
- genes: RNH1 -



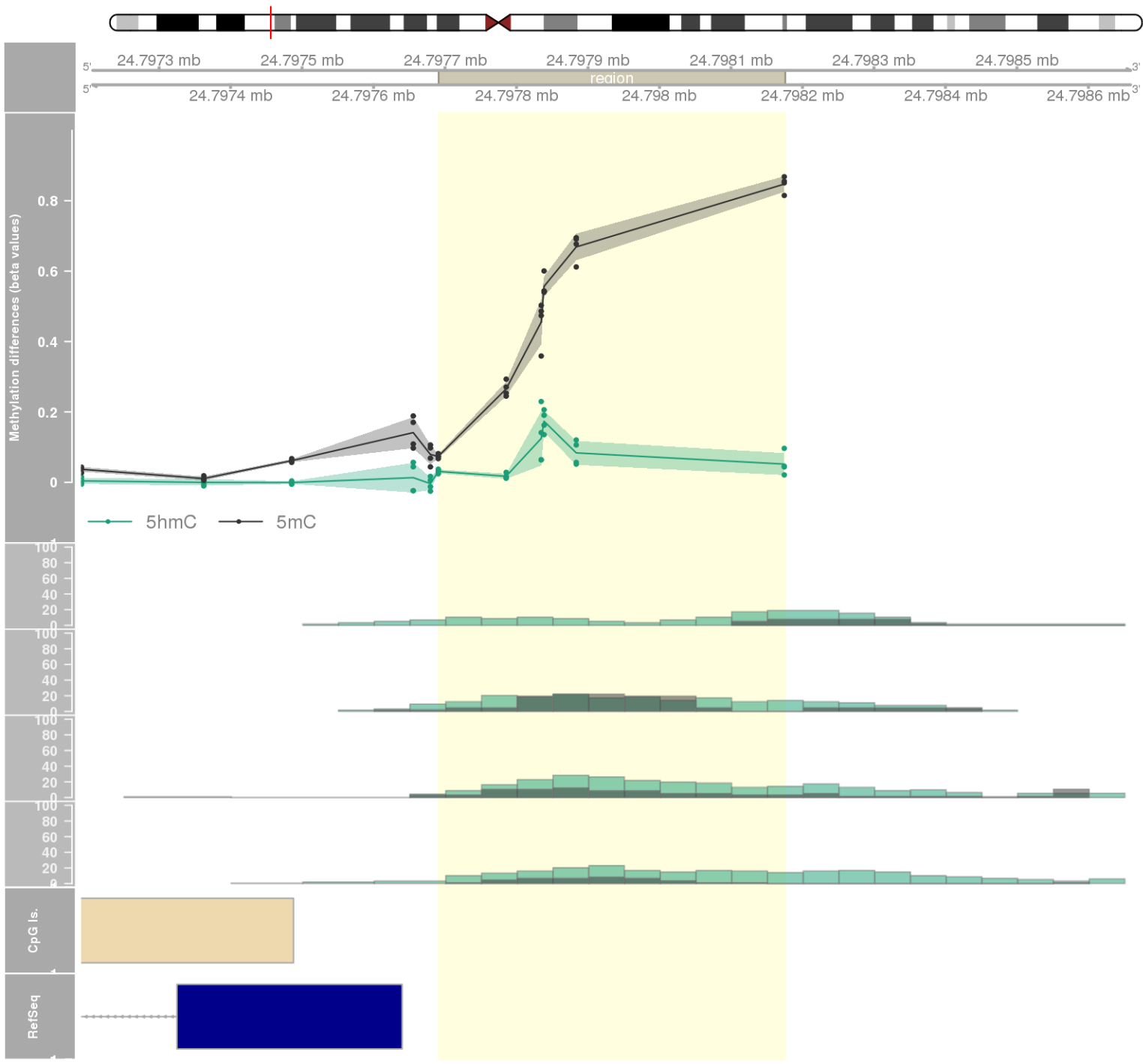


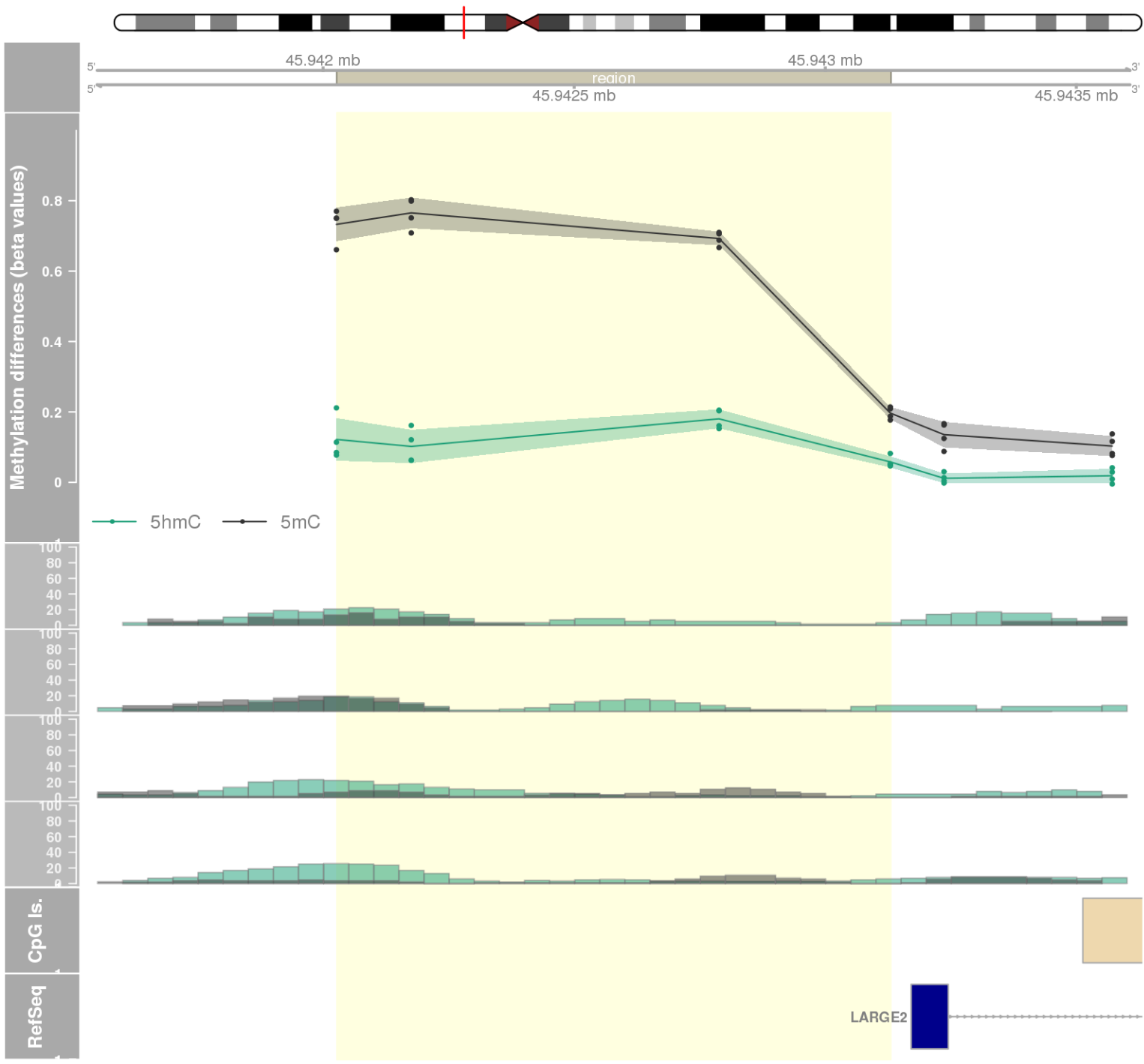


DMR 403 // chr3:158450550-158450833 // 283 pb. (3 probes) // pvalue: 0.004 // fwer: 1 // pvalueArea: 0.039 // fwerArea: 1
- genes: MFSD1 -

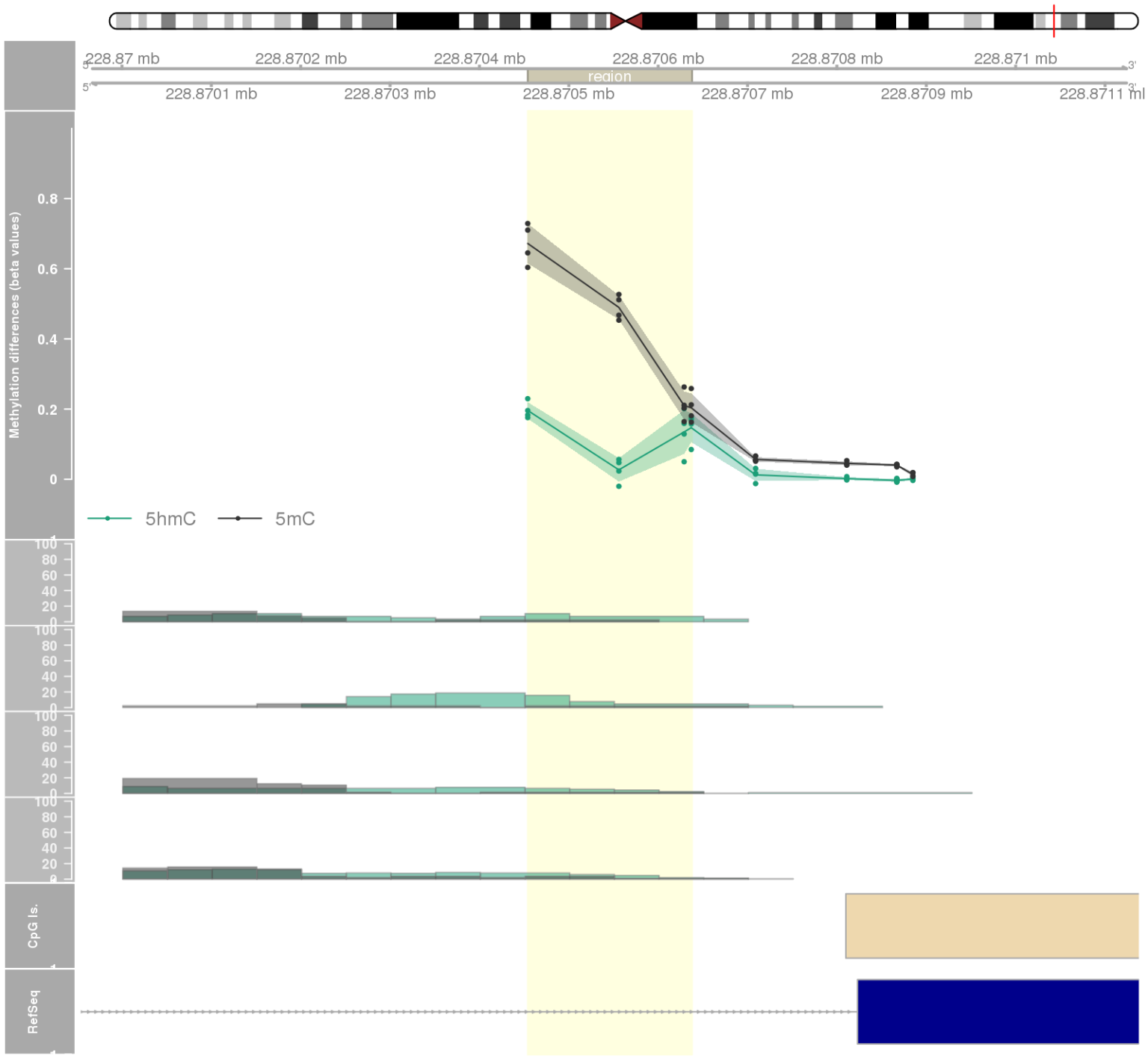


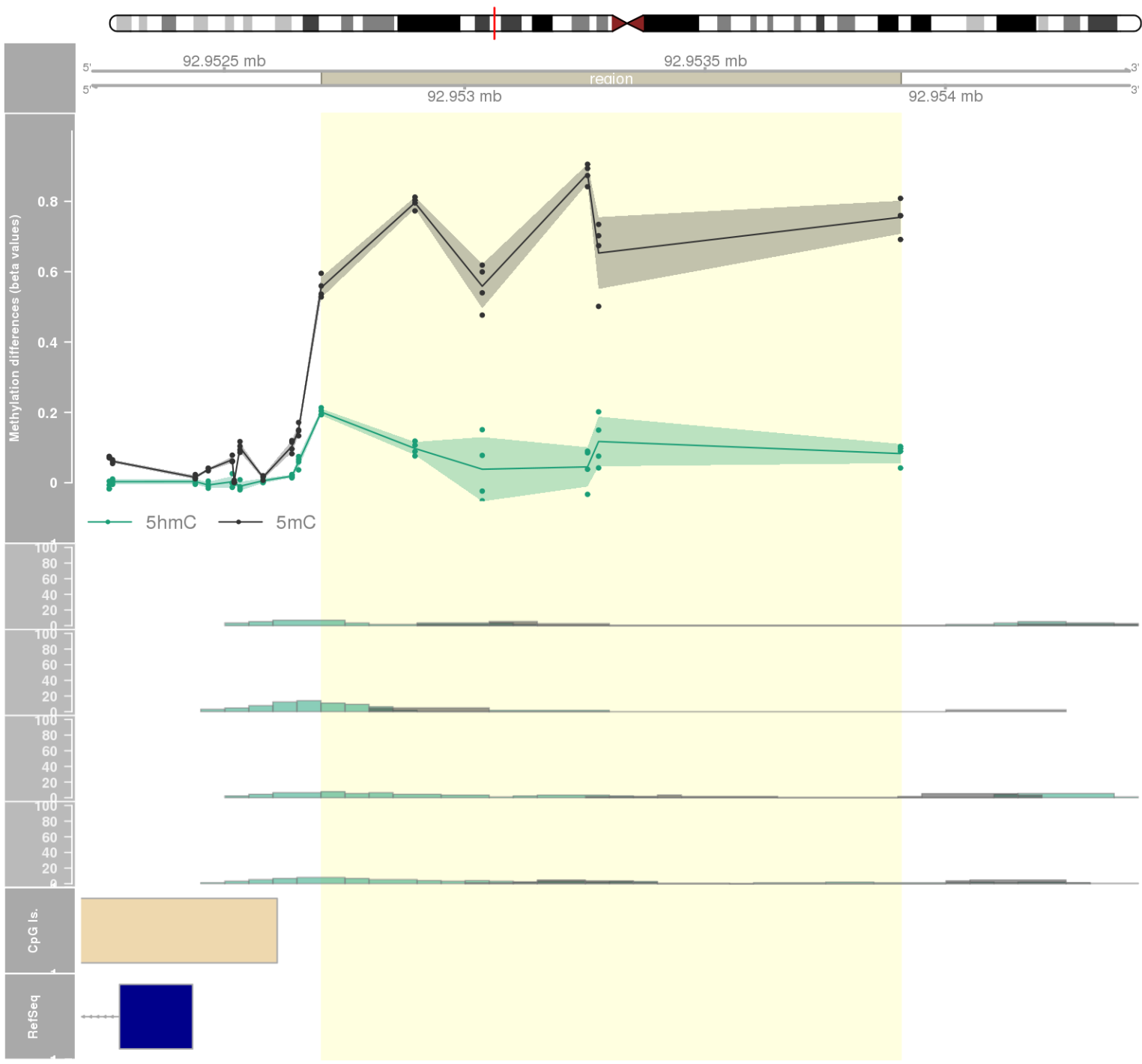
DMR 404 // chr7:24797691-24798175 // 484 pb. (6 probes) // pvalue: 0.022 // fwer: 1 // pvalueArea: 0.039 // fwerArea: 1
- genes: DFNA5 -



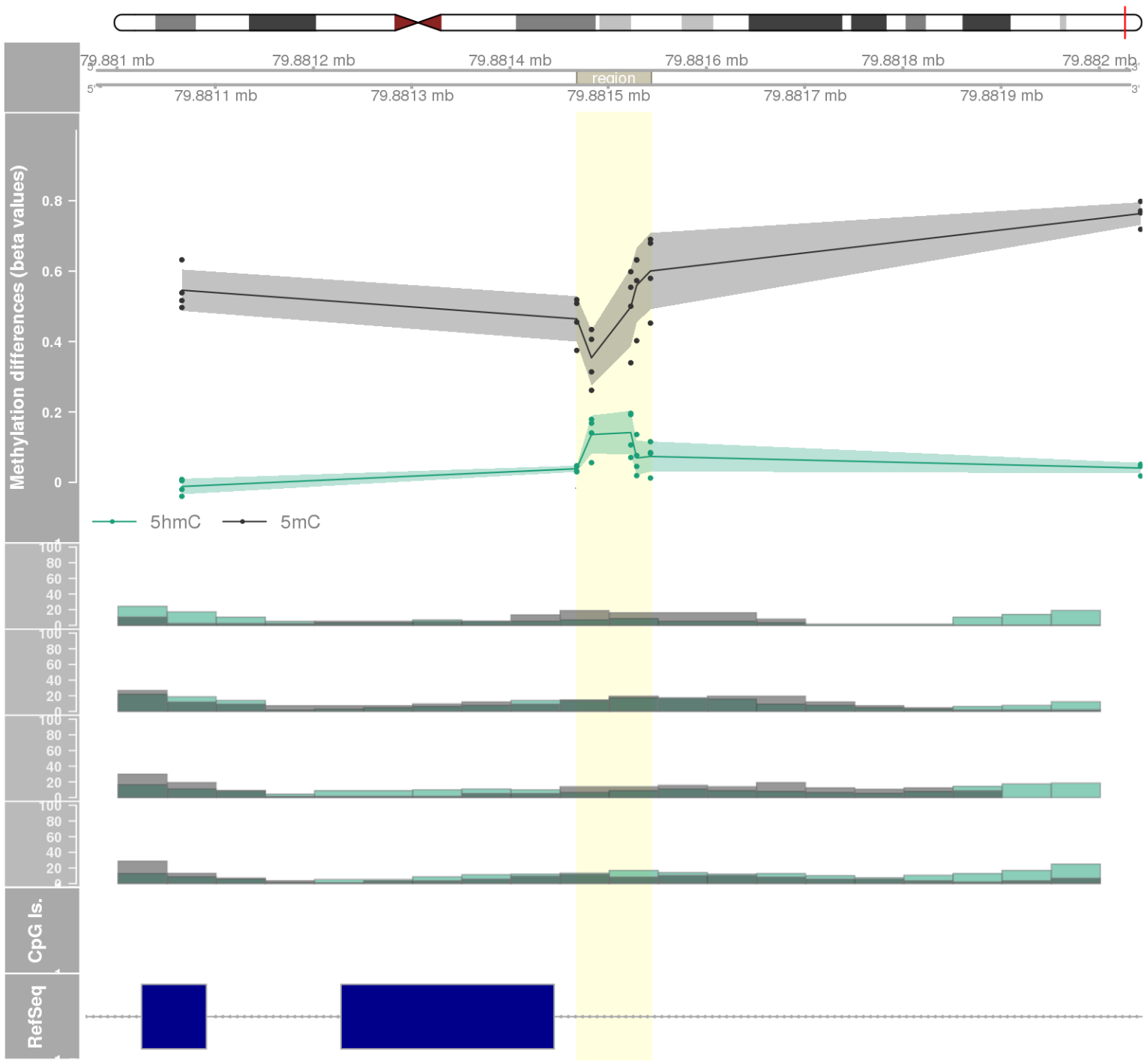


DMR 406 // chr1:228870454-228870637 // 183 pb. (4 probes) // pvalue: 0.01 // fwer: 1 // pvalueArea: 0.039 // fwerArea: 1

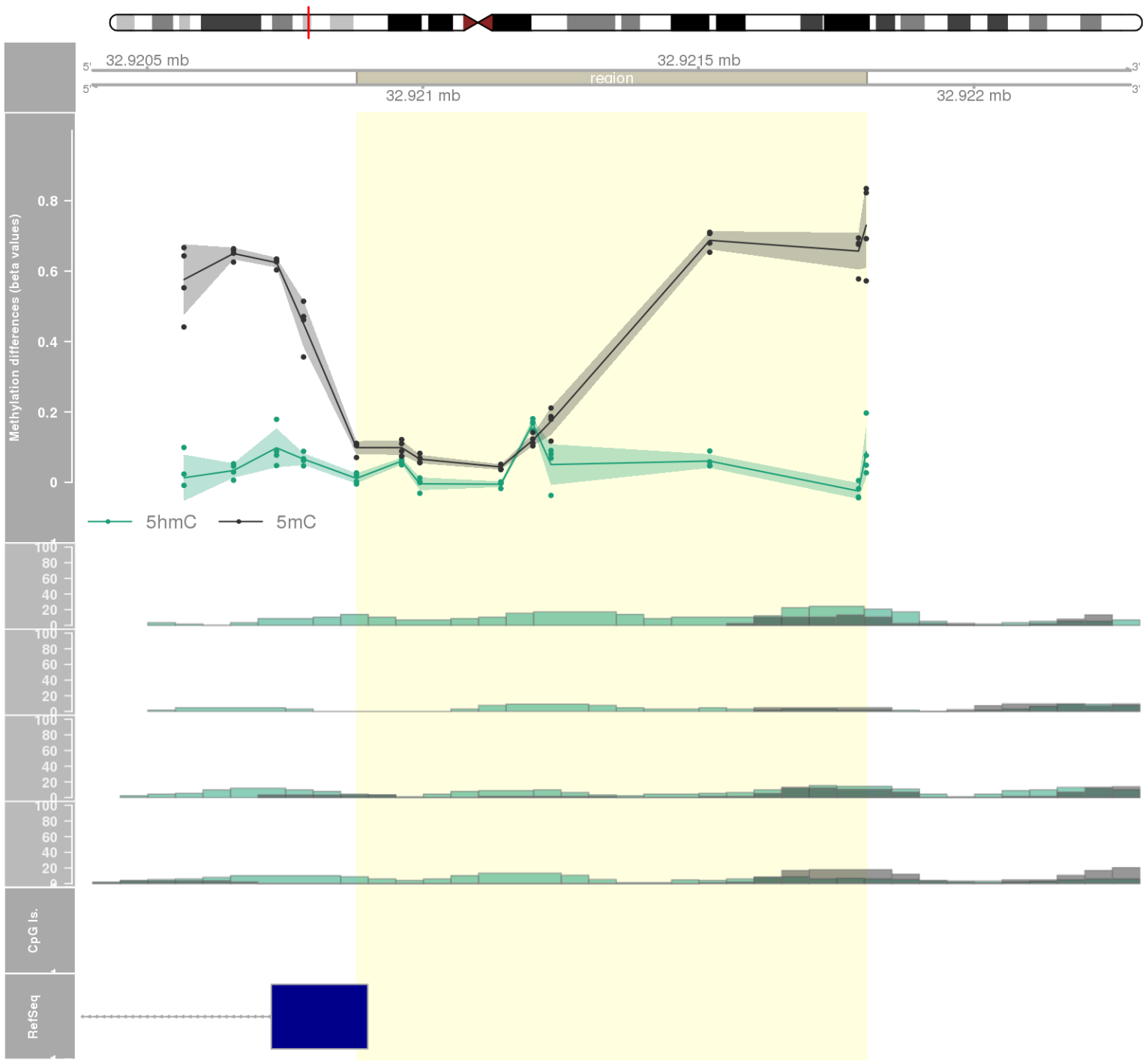




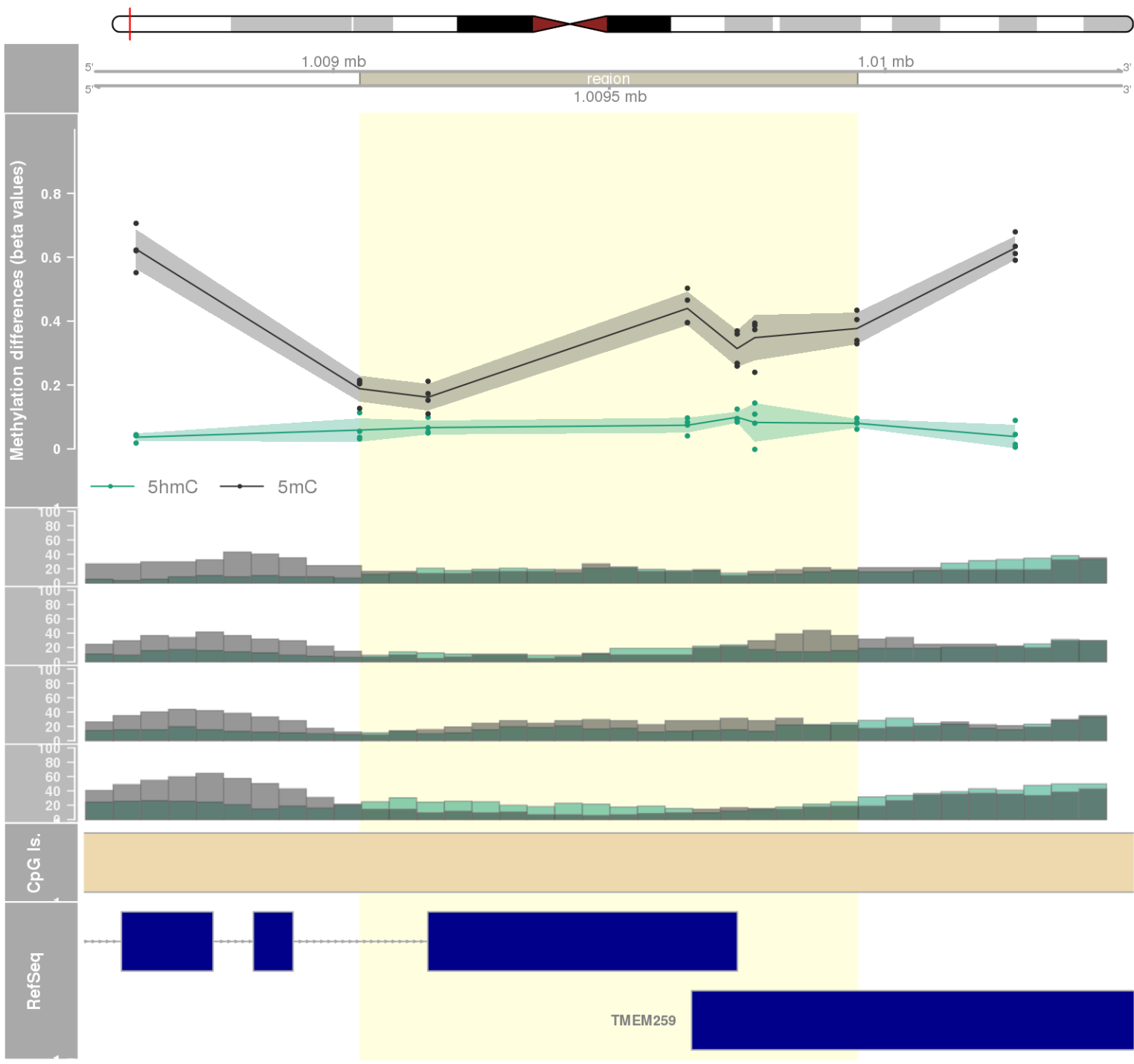
DMR 408 // chr17:79881468-79881543 // 75 pb. (5 probes) // pvalue: 0.019 // fwer: 1 // pvalueArea: 0.04 // fwerArea: 1
- genes: MAFG -



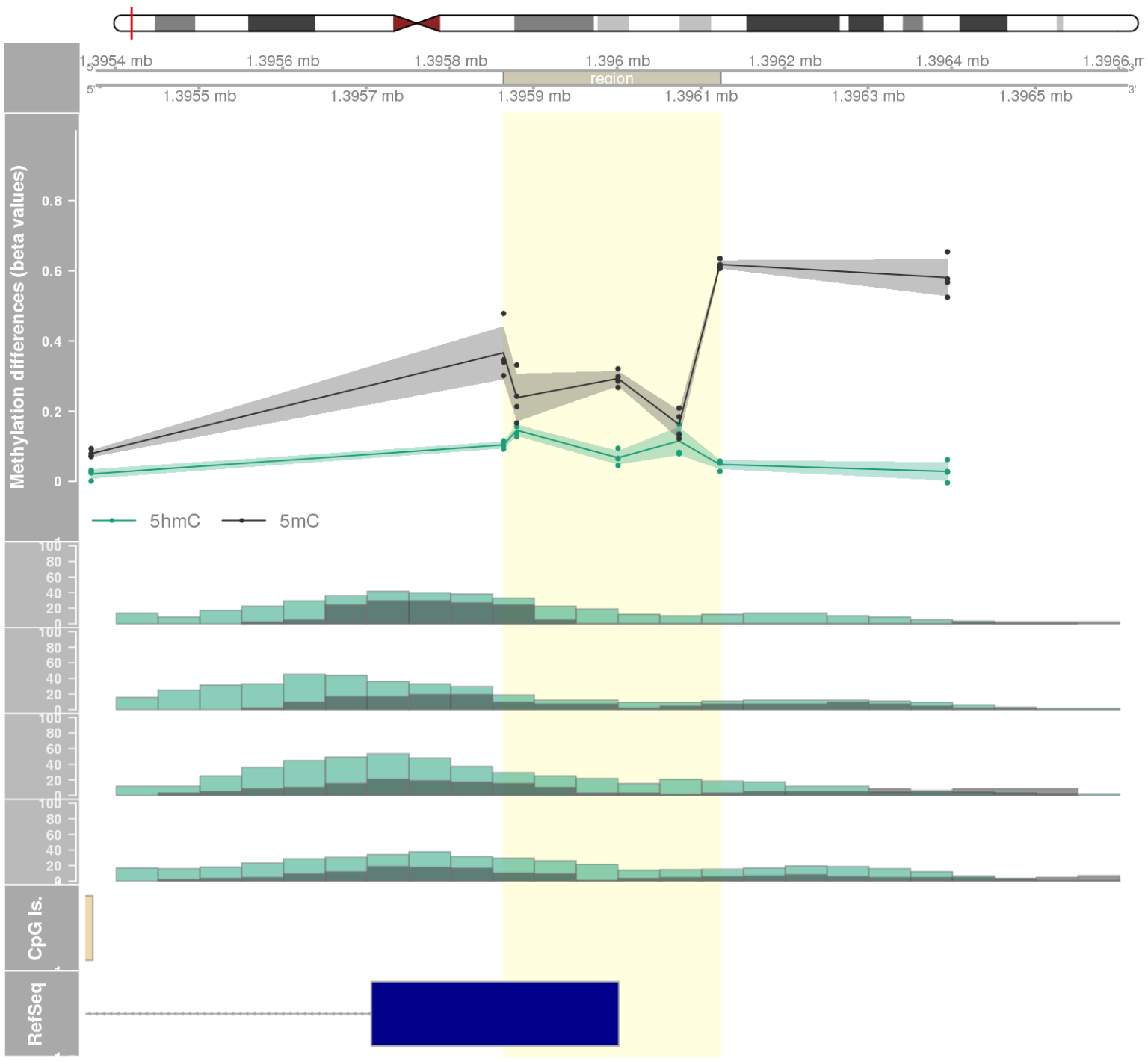
DMR 409 // chr6:32920880-32921805 // 925 pb. (9 probes) // pvalue: 0.022 // fwer: 1 // pvalueArea: 0.04 // fwerArea: 1
- genes: HLA-DMA -



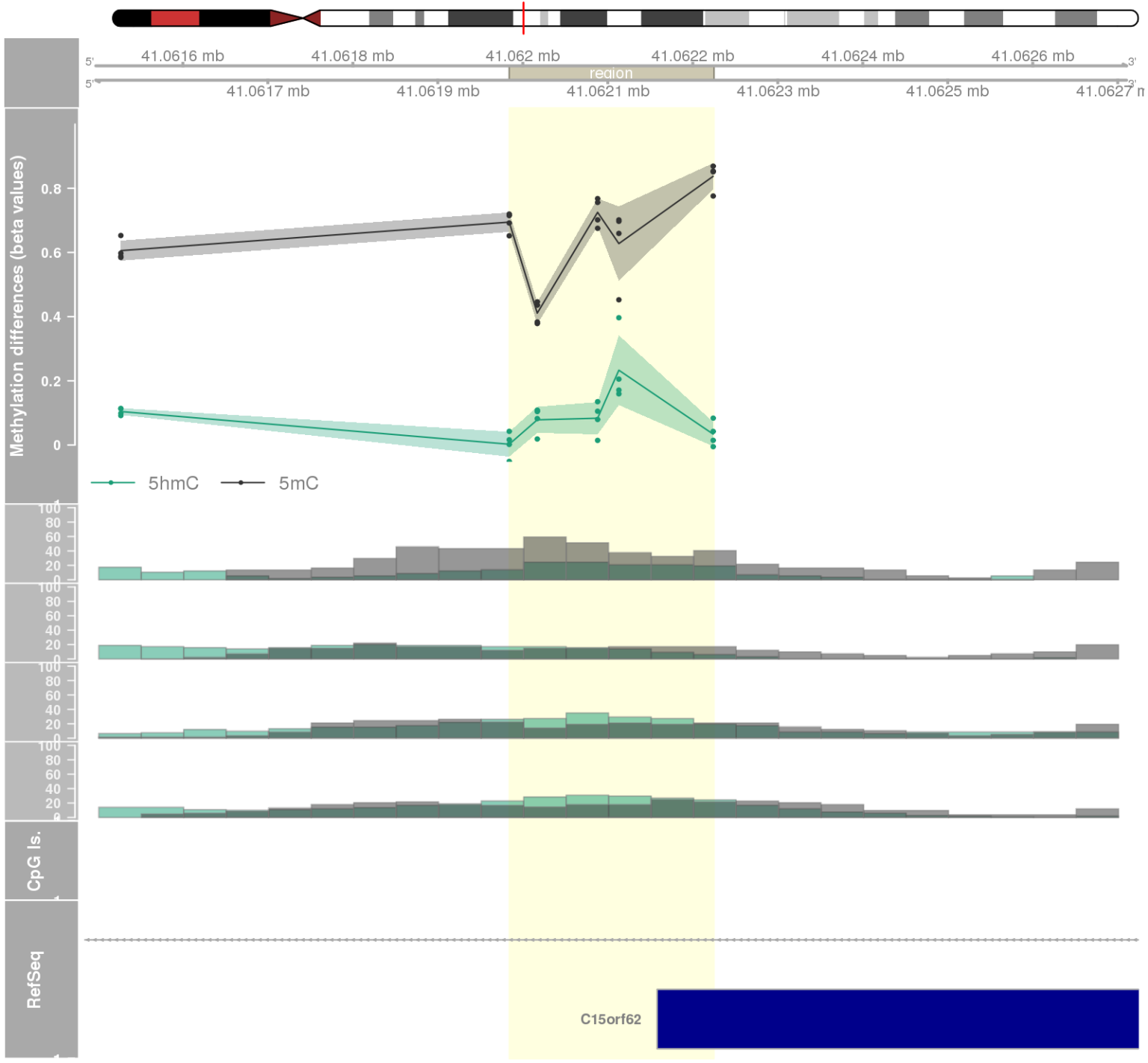
DMR 410 // chr19:1009048-1009949 // 901 pb. (6 probes) // pvalue: 0.022 // fwer: 1 // pvalueArea: 0.04 // fwerArea: 1
- genes: GRIN3B / TMEM259 -



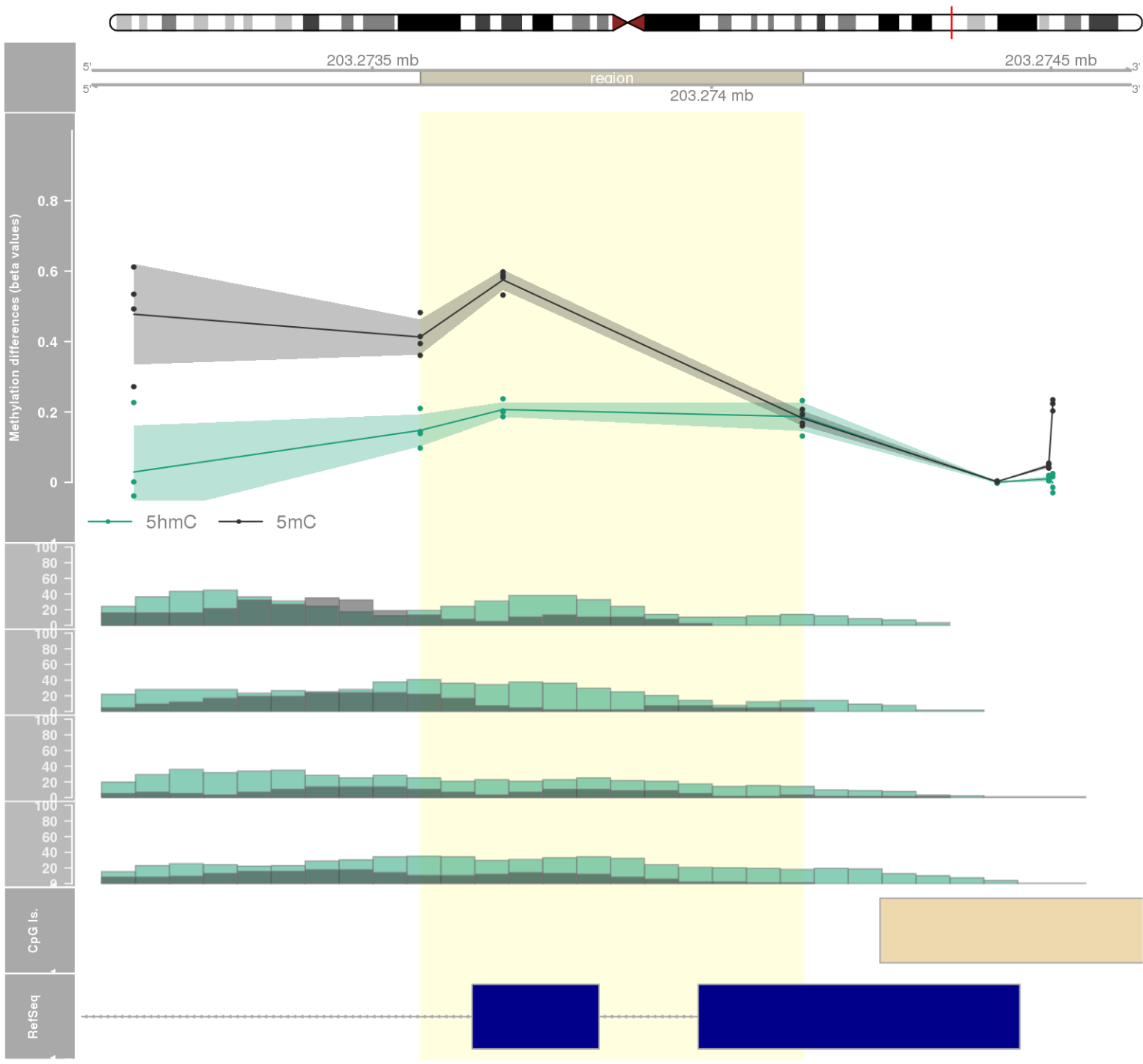
DMR 411 // chr17:1395864-1396123 // 259 pb. (5 probes) // pvalue: 0.019 // fwer: 1 // pvalueArea: 0.04 // fwerArea: 1
- genes: MYO1C -



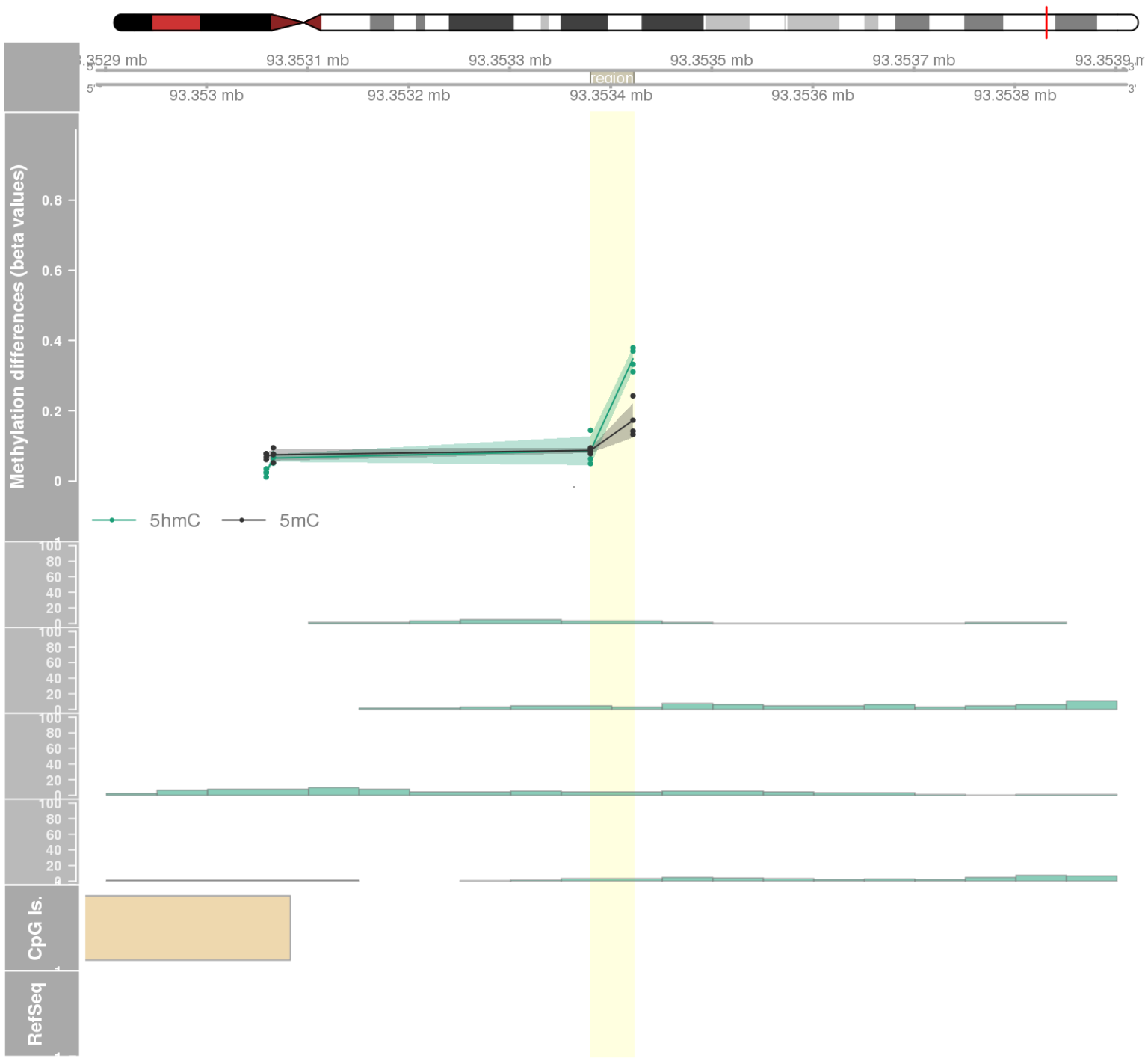
DMR 412 // chr15:41061984-41062224 // 240 pb. (5 probes) // pvalue: 0.019 // fwer: 1 // pvalueArea: 0.04 // fwerArea: 1
- genes: DNAJC17 / C15orf62 -



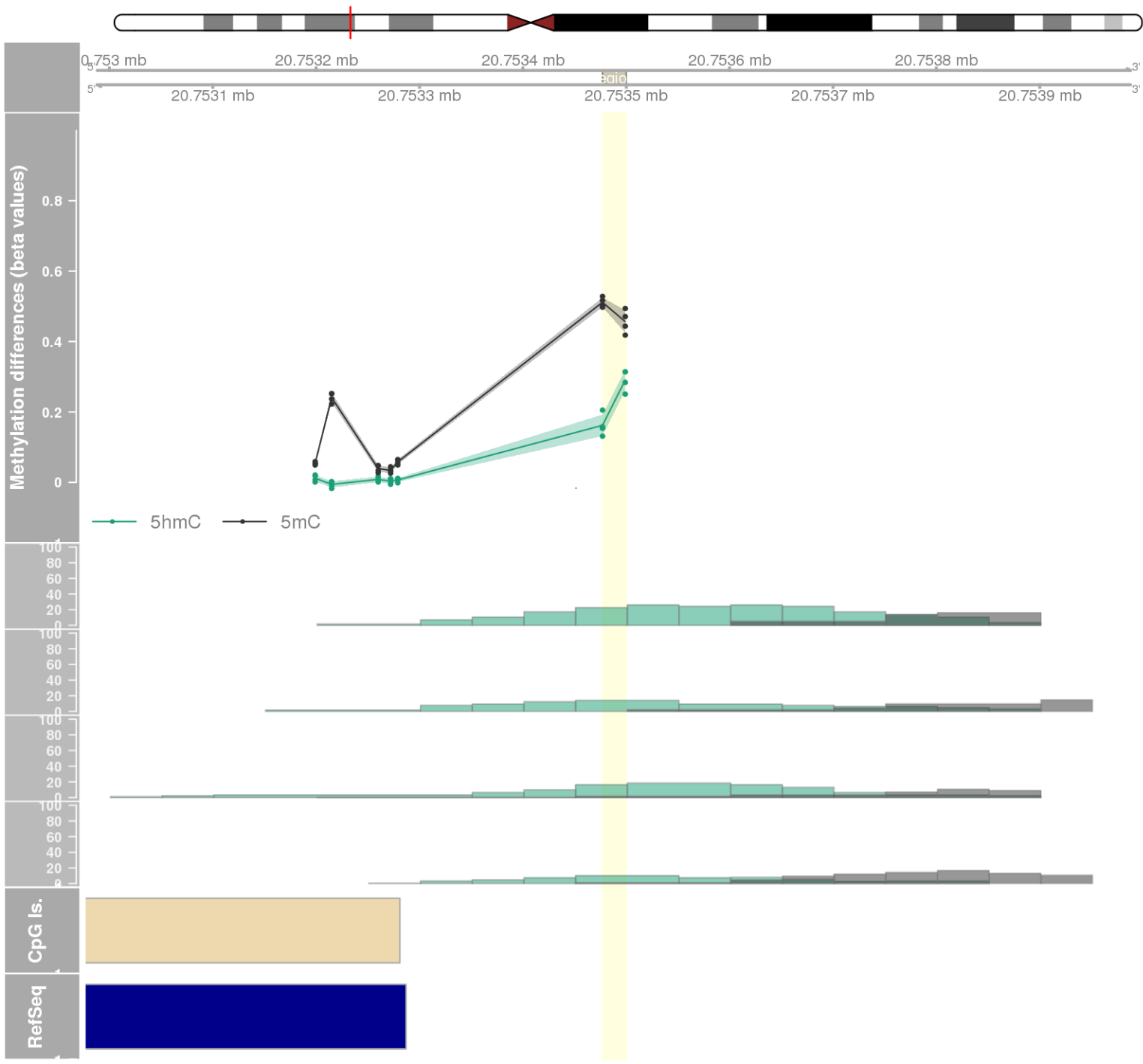
DMR 413 // chr1:203273571-203274134 // 563 pb. (3 probes) // pvalue: 0.004 // fwer: 1 // pvalueArea: 0.04 // fwerArea: 1
- genes: LINC01136 -



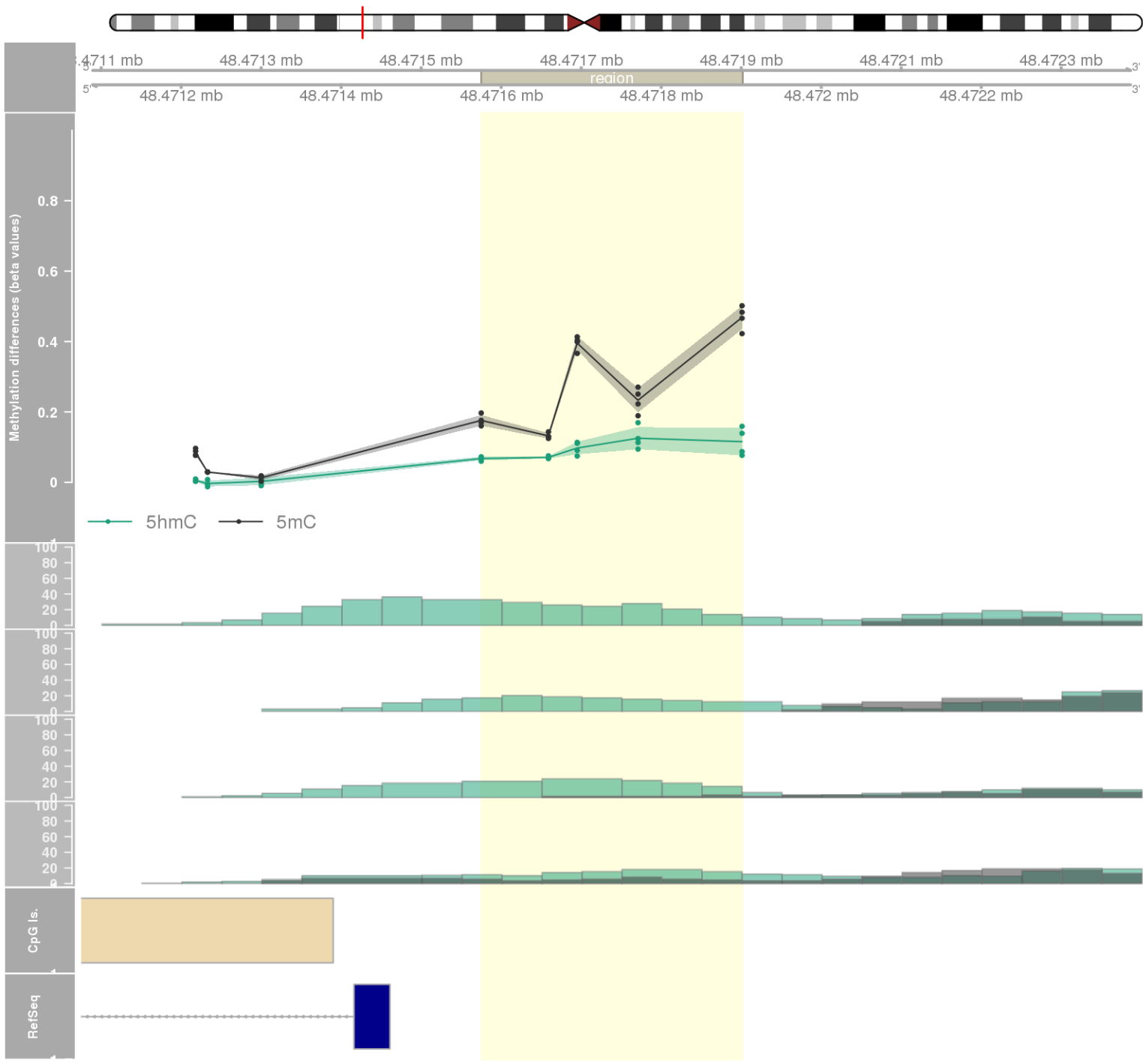
DMR 414 // chr15:93353380-93353422 // 42 pb. (2 probes) // pvalue: 0.002 // fwer: 1 // pvalueArea: 0.04 // fwerArea: 1



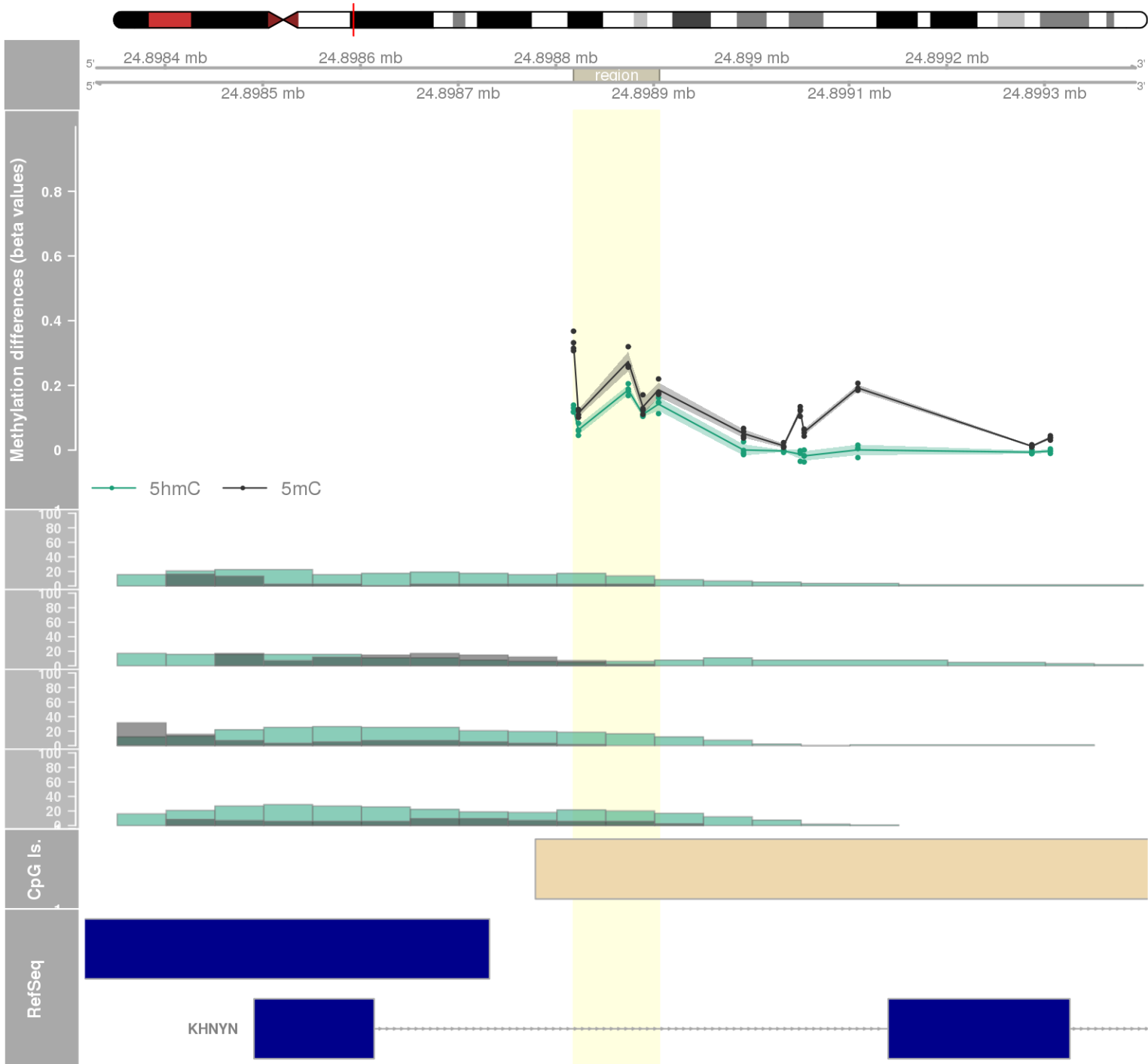
DMR 415 // chr16:20753477-20753499 // 22 pb. (2 probes) // pvalue: 0.002 // fwer: 1 // pvalueArea: 0.04 // fwerArea: 1
- genes: ACSM3 -



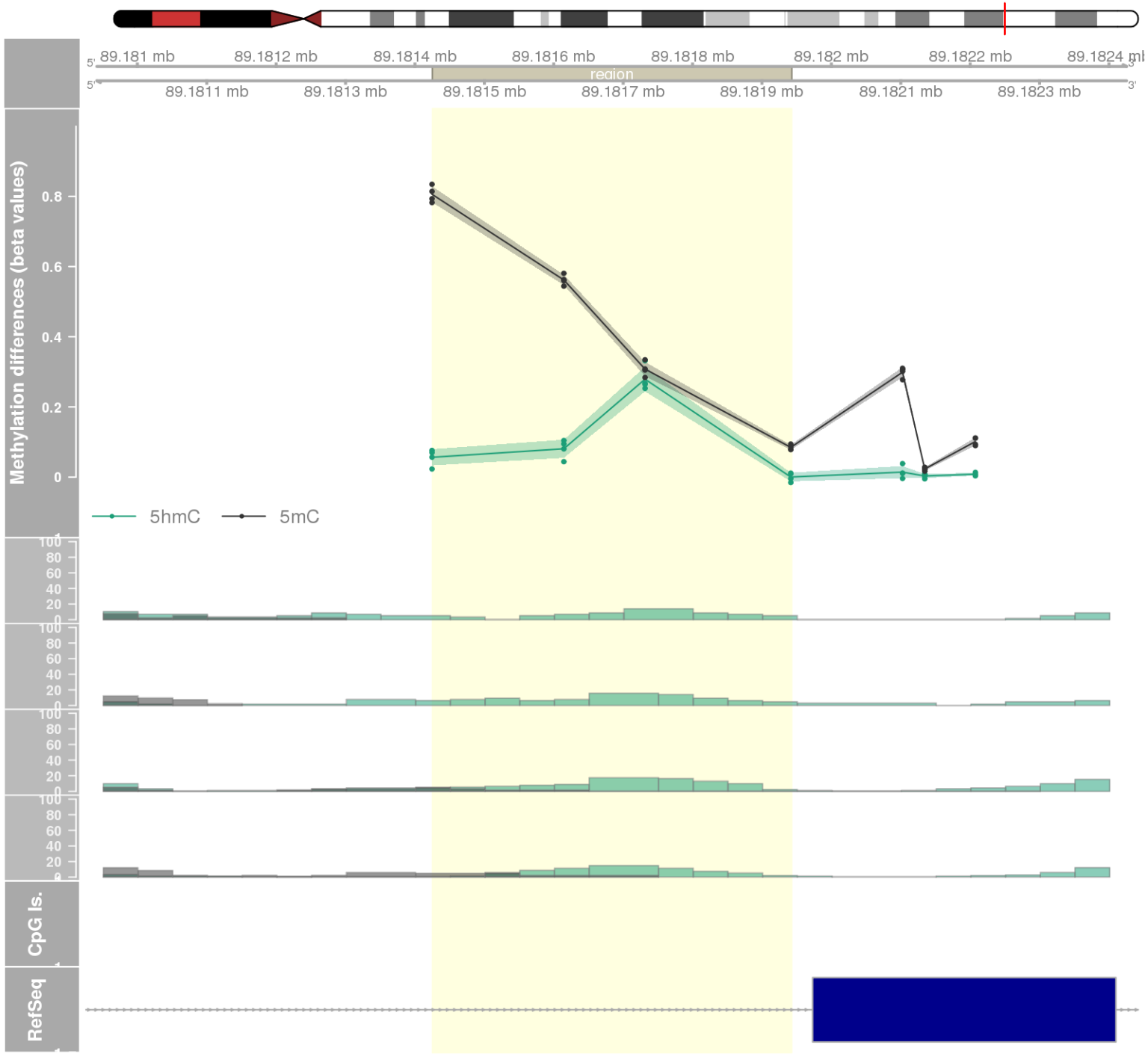
DMR 416 // chr3:48471575-48471901 // 326 pb. (5 probes) // pvalue: 0.02 // fwer: 1 // pvalueArea: 0.04 // fwerArea: 1
- genes: PLXNB1 -



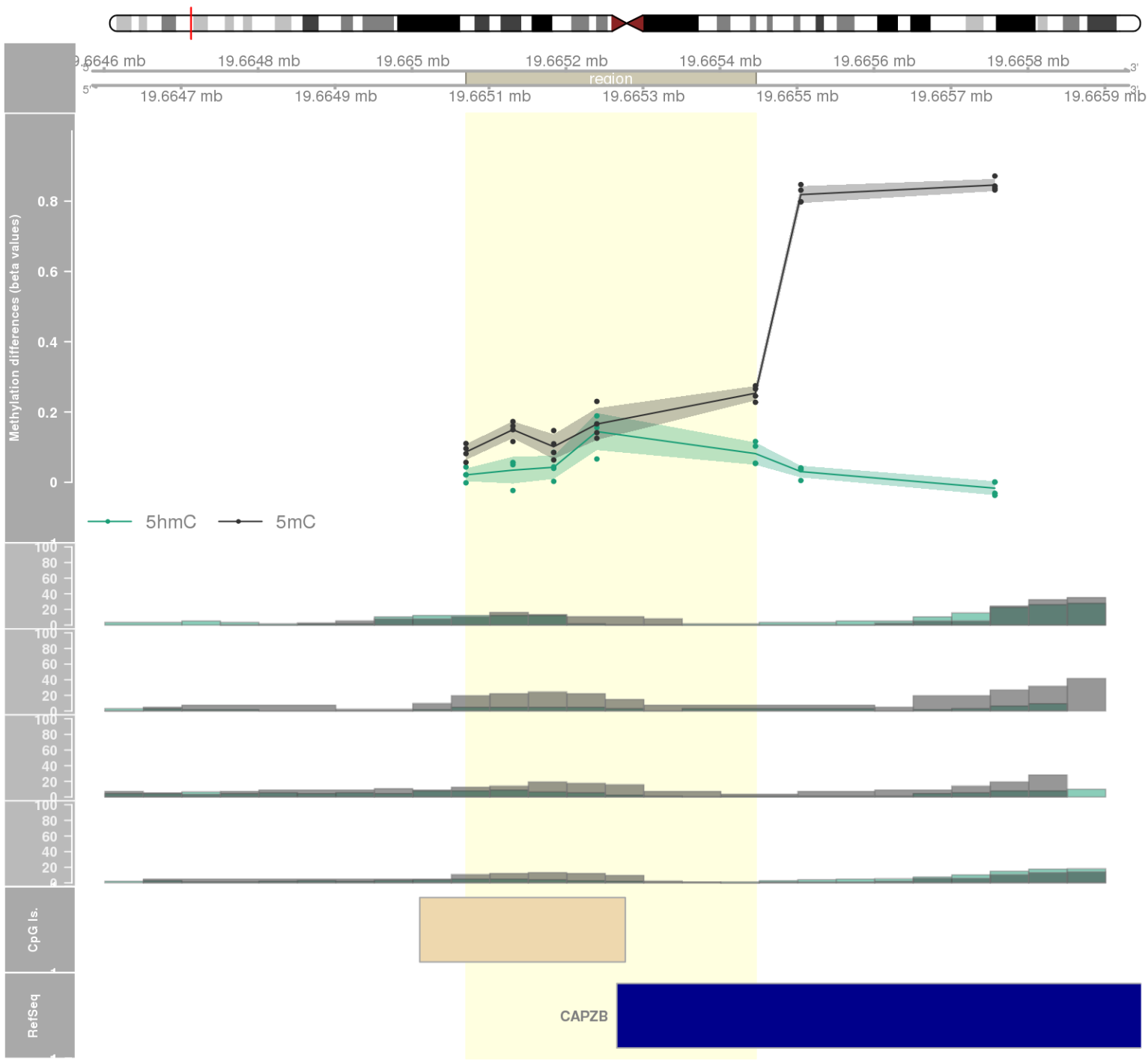
DMR 417 // chr14:24898818-24898905 // 87 pb. (5 probes) // pvalue: 0.02 // fwer: 1 // pvalueArea: 0.04 // fwerArea: 1
- genes: CBLN3 / KHNYN -



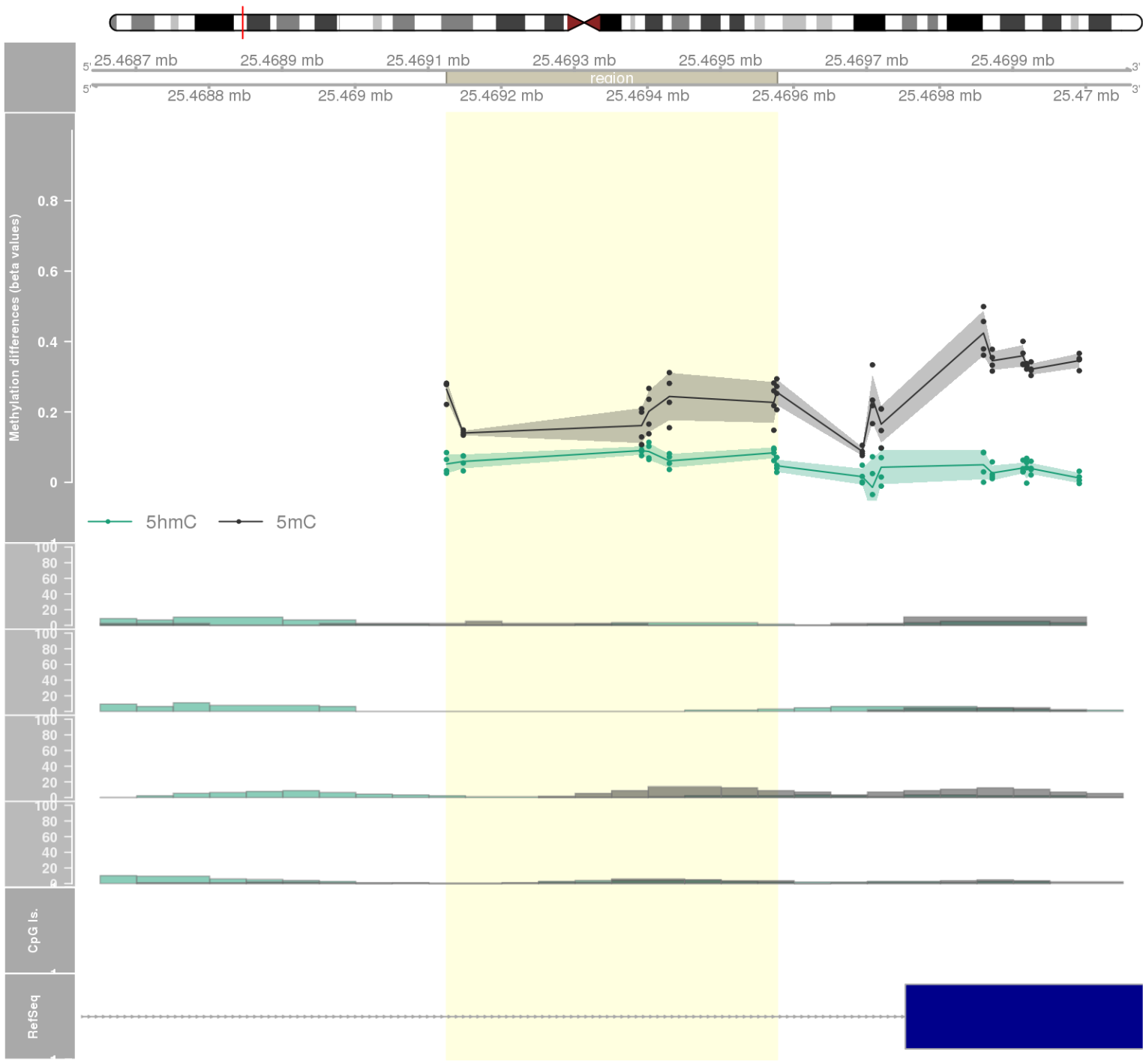
DMR 418 // chr15:89181425-89181942 // 517 pb. (4 probes) // pvalue: 0.01 // fwer: 1 // pvalueArea: 0.041 // fwerArea: 1
- genes: ISG20 -

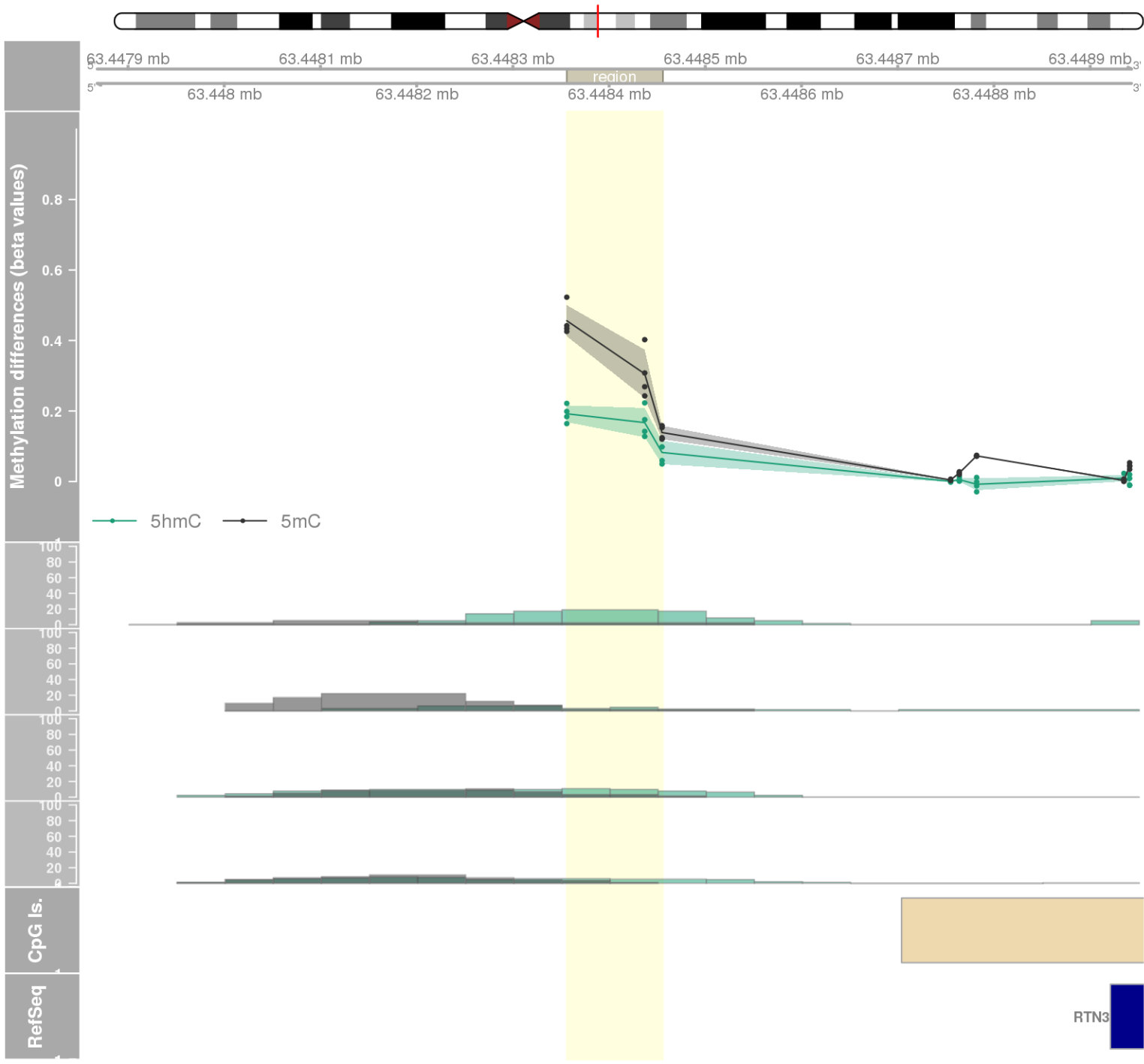


DMR 419 // chr1:19665070-19665446 // 376 pb. (5 probes) // pvalue: 0.02 // fwer: 1 // pvalueArea: 0.041 // fwerArea: 1
- genes: CAPZB -

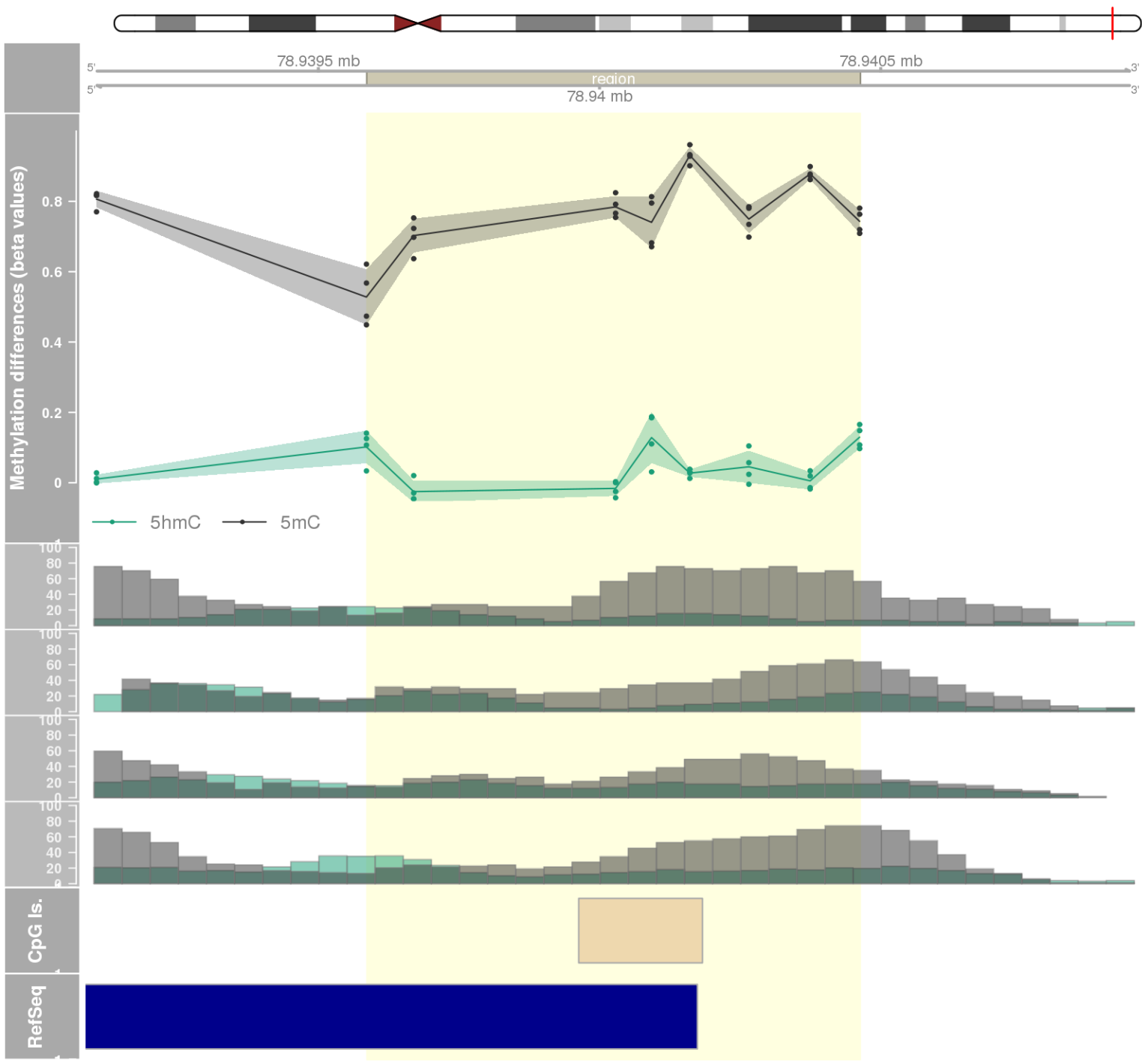


DMR 420 // chr3:25469125-25469577 // 452 pb. (7 probes) // pvalue: 0.019 // fwer: 1 // pvalueArea: 0.041 // fwerArea: 1
- genes: RARB -

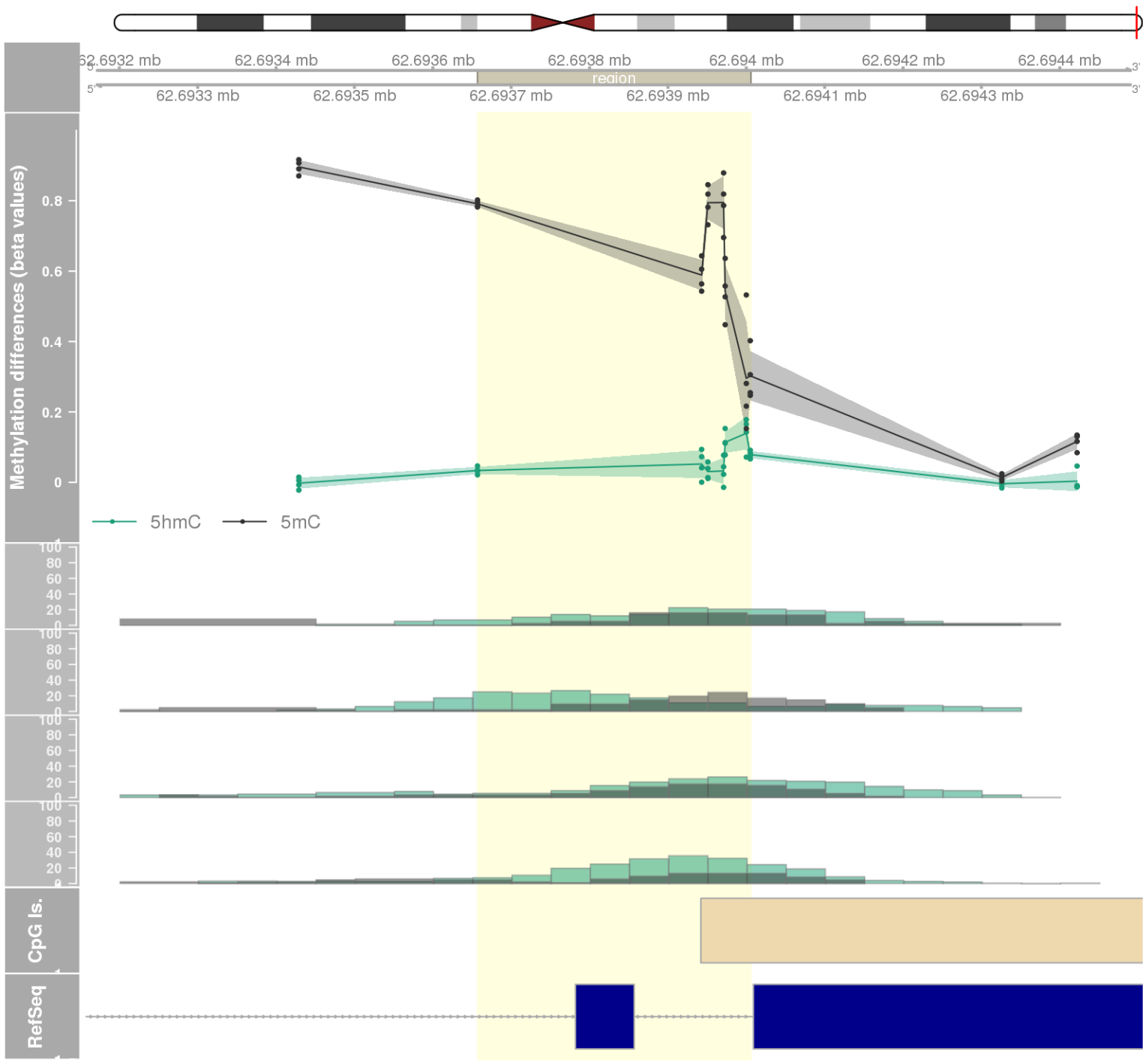




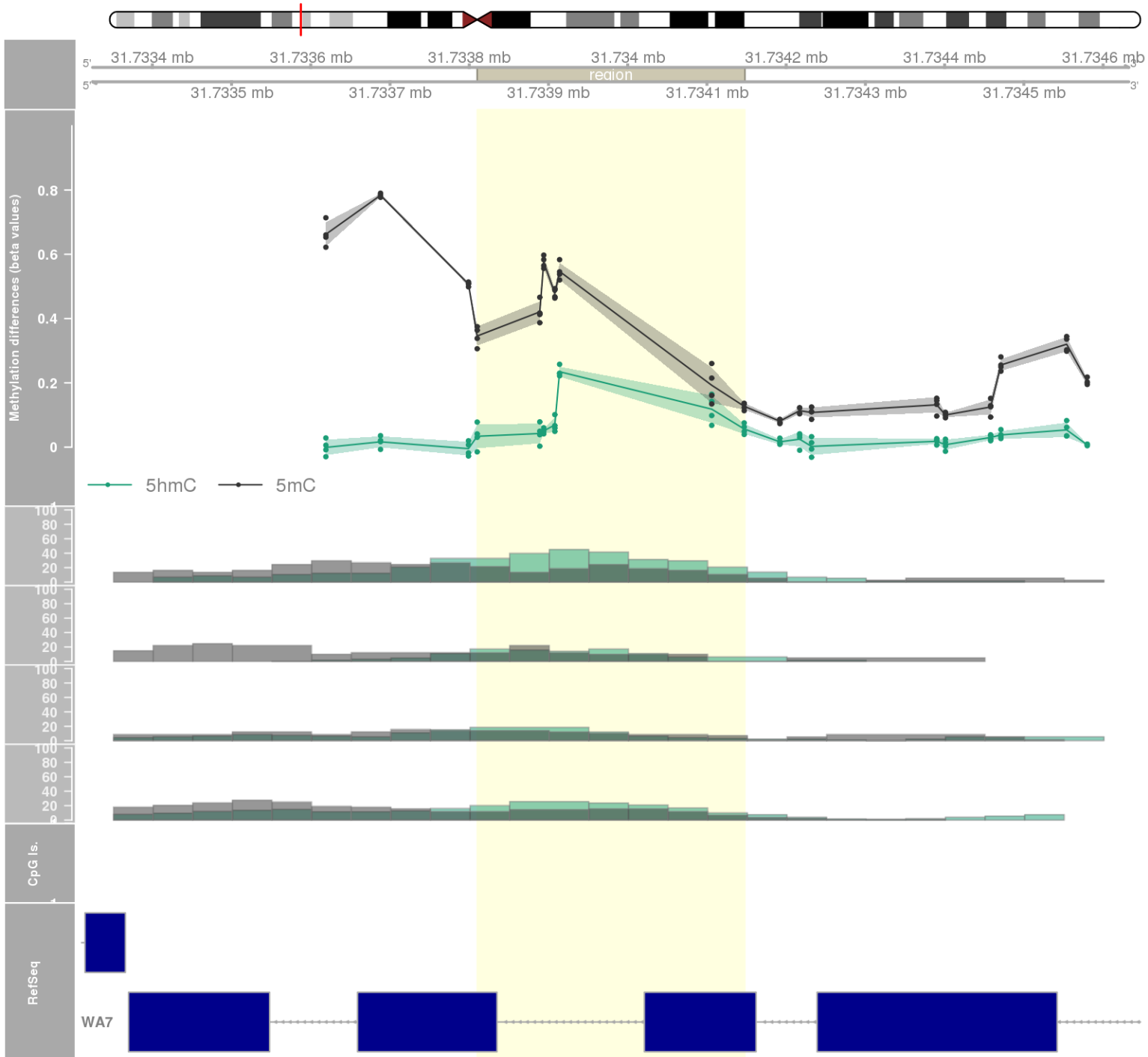
DMR 422 // chr17:78939586-78940463 // 877 pb. (8 probes) // pvalue: 0.023 // fwer: 1 // pvalueArea: 0.041 // fwerArea: 1
- genes: RPTOR -



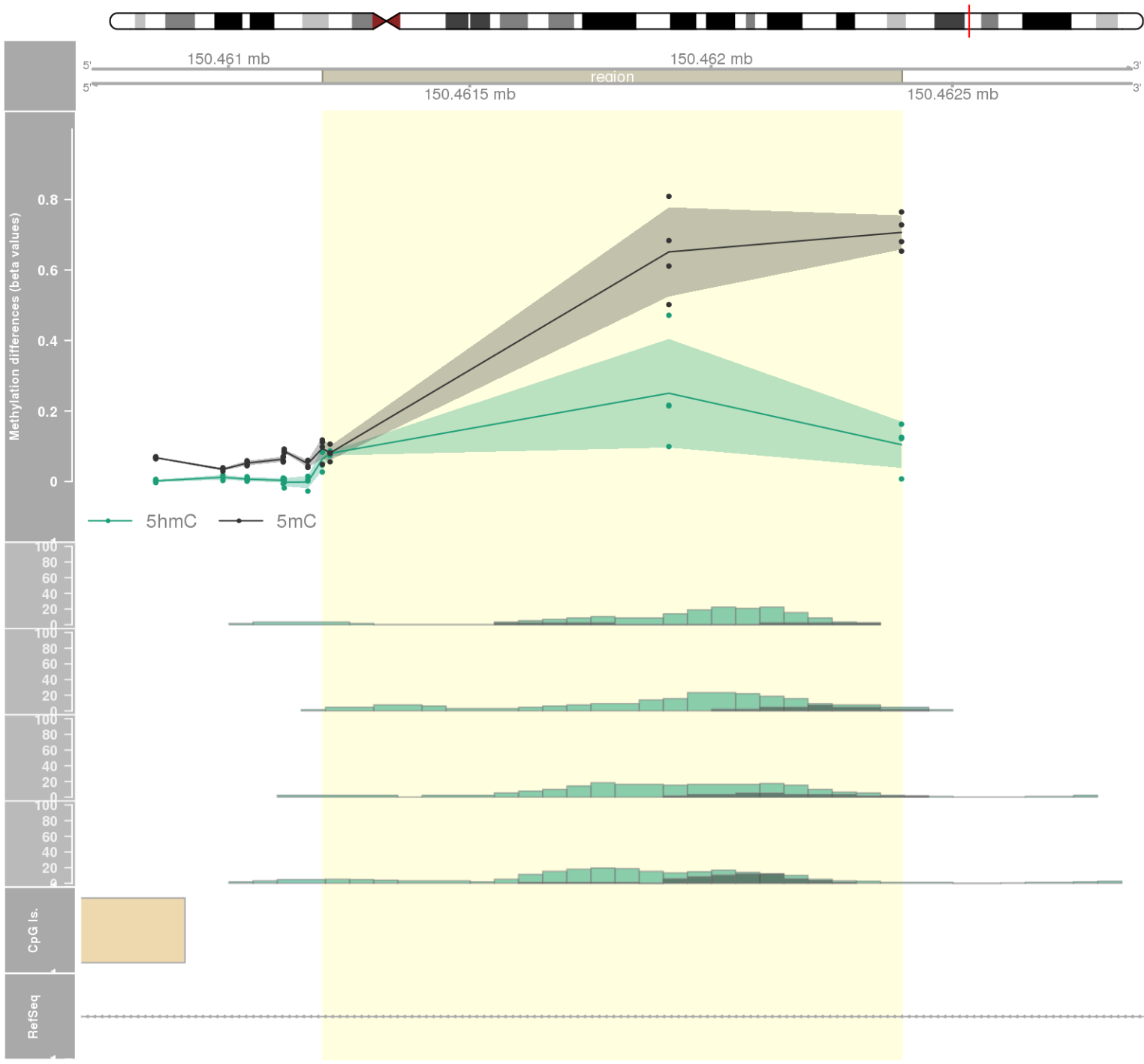
DMR 423 // chr20:62693657-62694005 // 348 pb. (7 probes) // pvalue: 0.019 // fwer: 1 // pvalueArea: 0.041 // fwerArea: 1
- genes: TCEA2 -

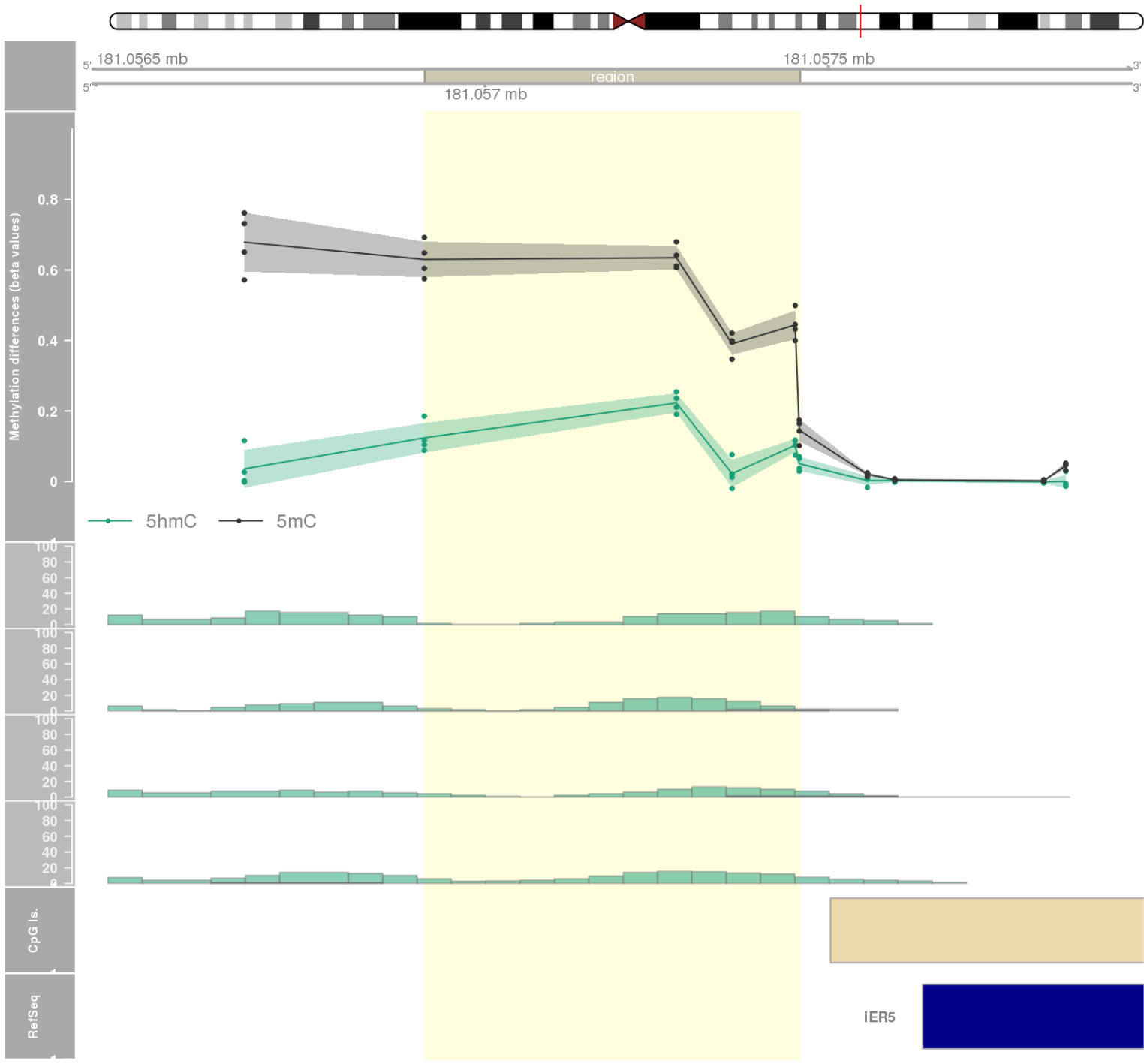


DMR 424 // chr6:31733810-31734147 // 337 pb. (7 probes) // pvalue: 0.019 // fwer: 1 // pvalueArea: 0.041 // fwerArea: 1
- genes: VWA7 -

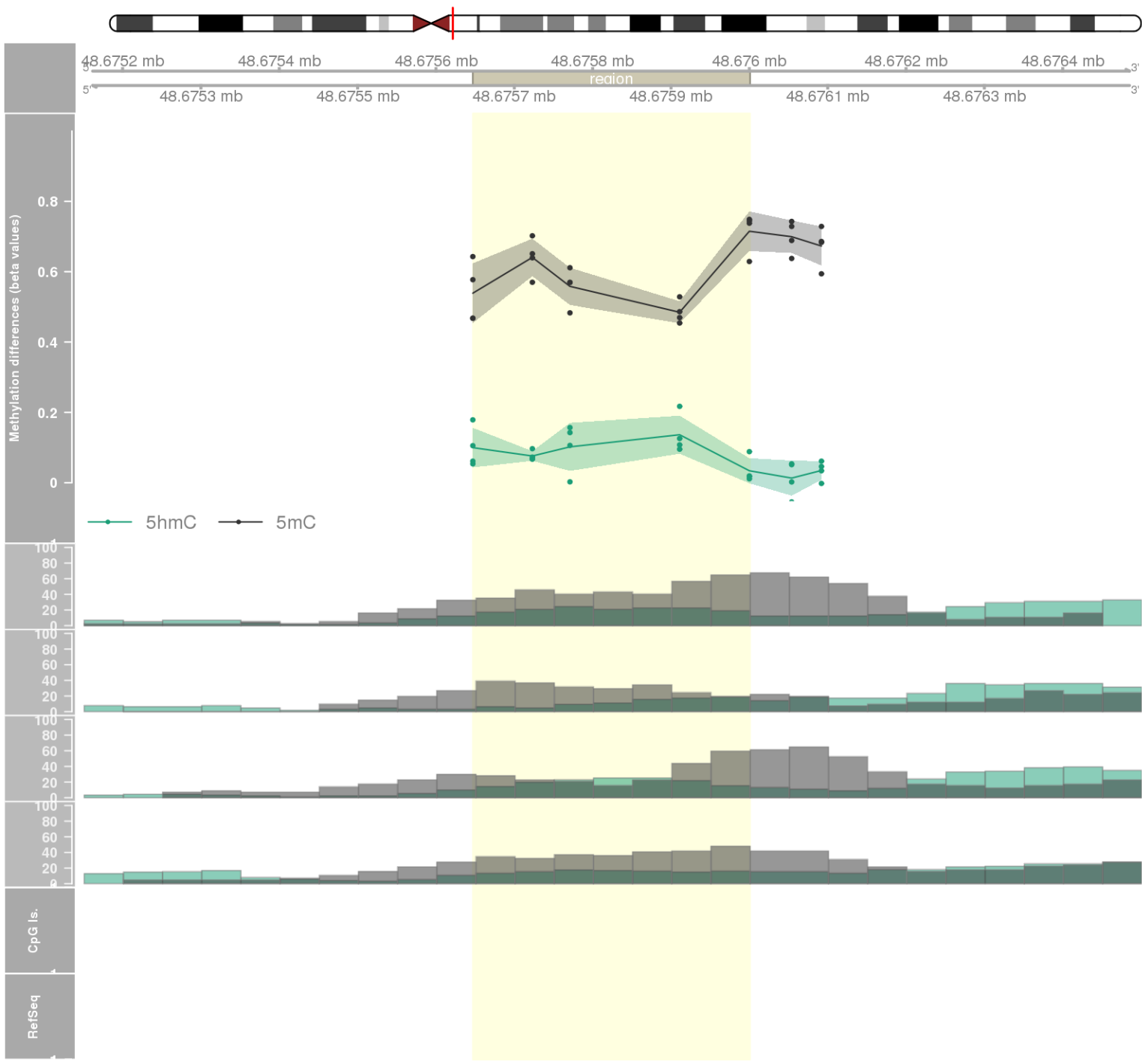


DMR 425 // chr5:150461195-150462395 // 1200 pb. (4 probes) // pvalue: 0.011 // fwer: 1 // pvalueArea: 0.041 // fwerArea: 1
- genes: TNIP1 -

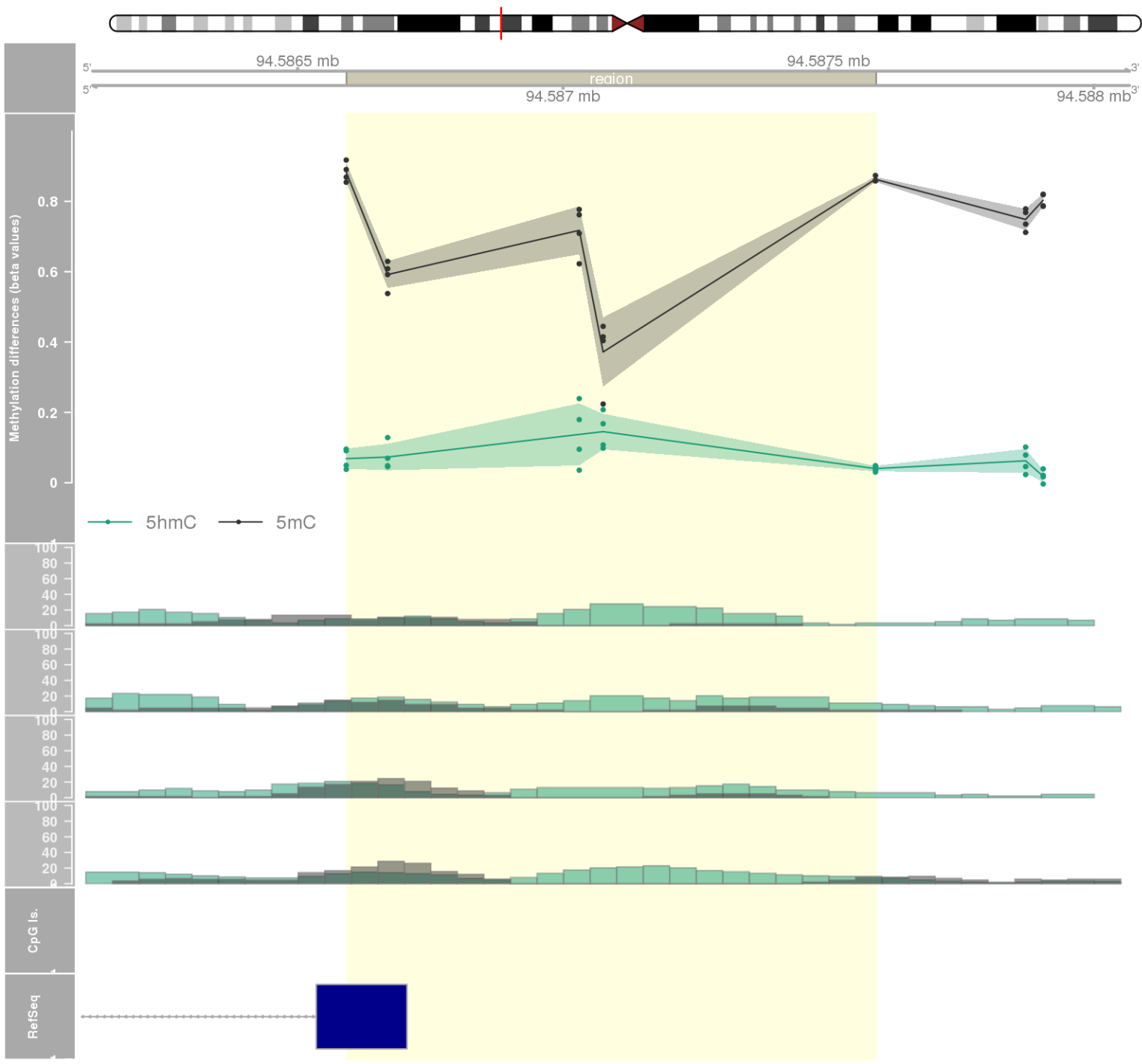




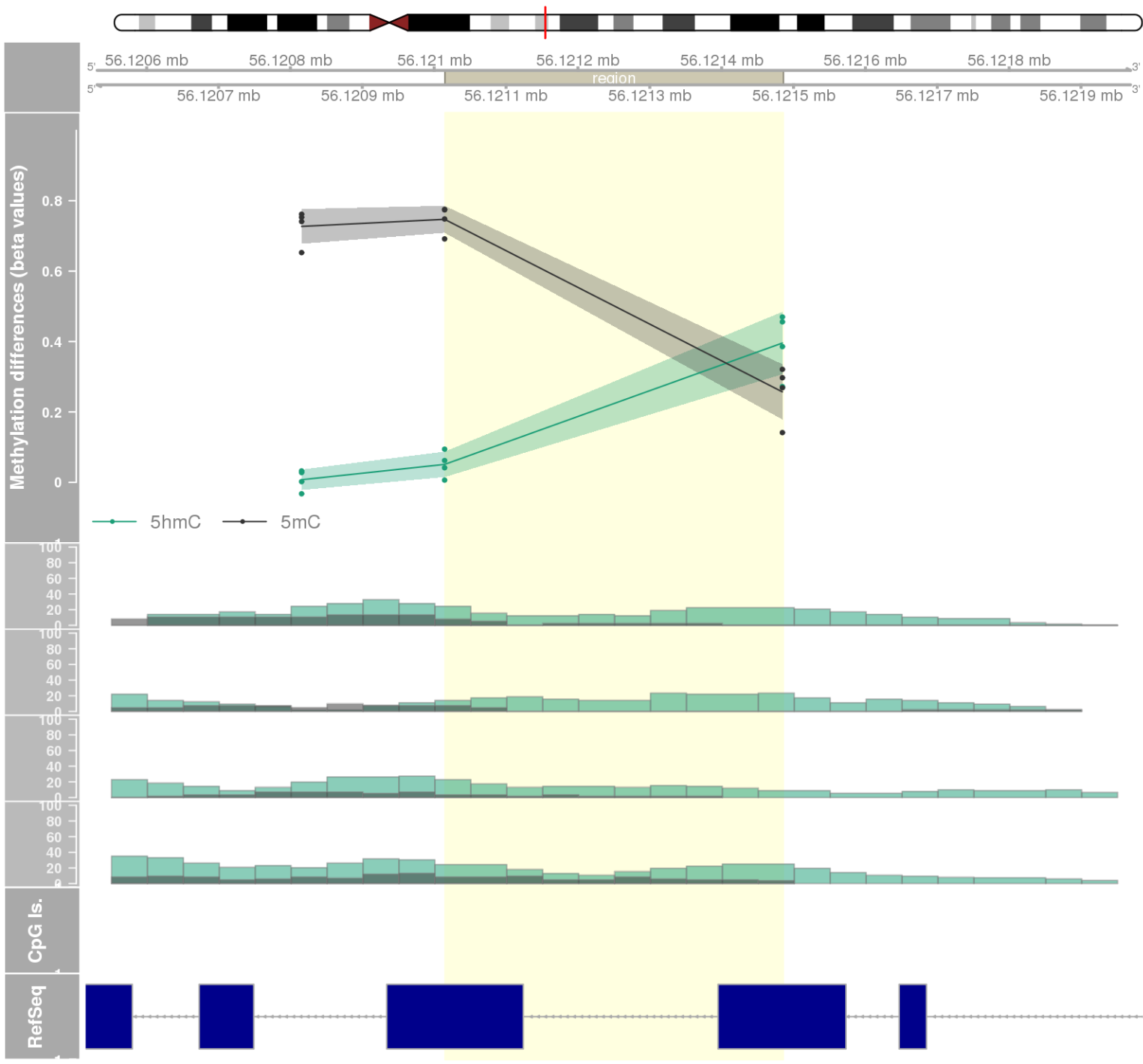
DMR 427 // chr8:48675647-48676000 // 353 pb. (5 probes) // pvalue: 0.02 // fwer: 1 // pvalueArea: 0.041 // fwerArea: 1



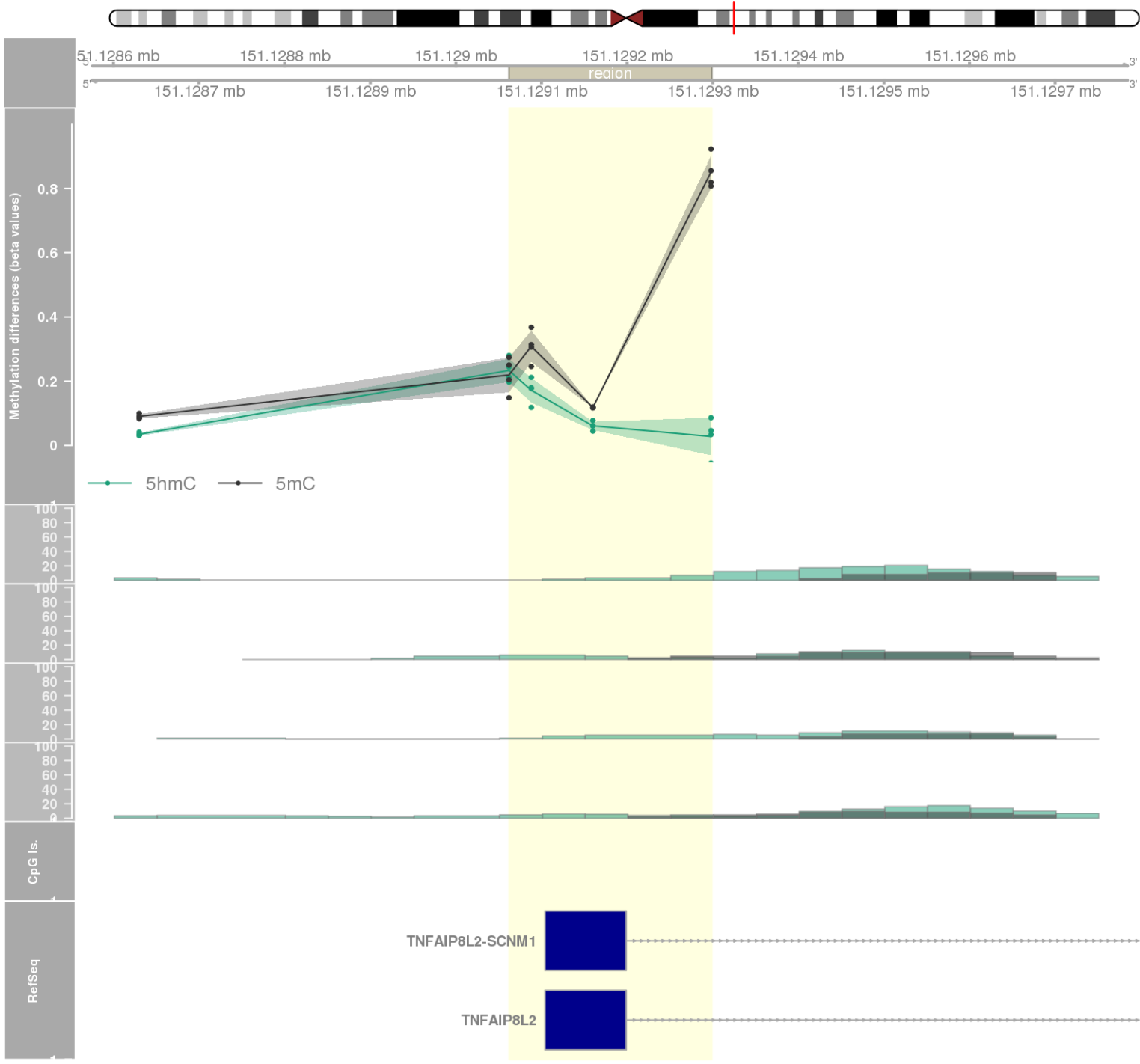
DMR 428 // chr1:94586592-94587589 // 997 pb. (5 probes) // pvalue: 0.02 // fwer: 1 // pvalueArea: 0.042 // fwerArea: 1
- genes: ABCA4 -

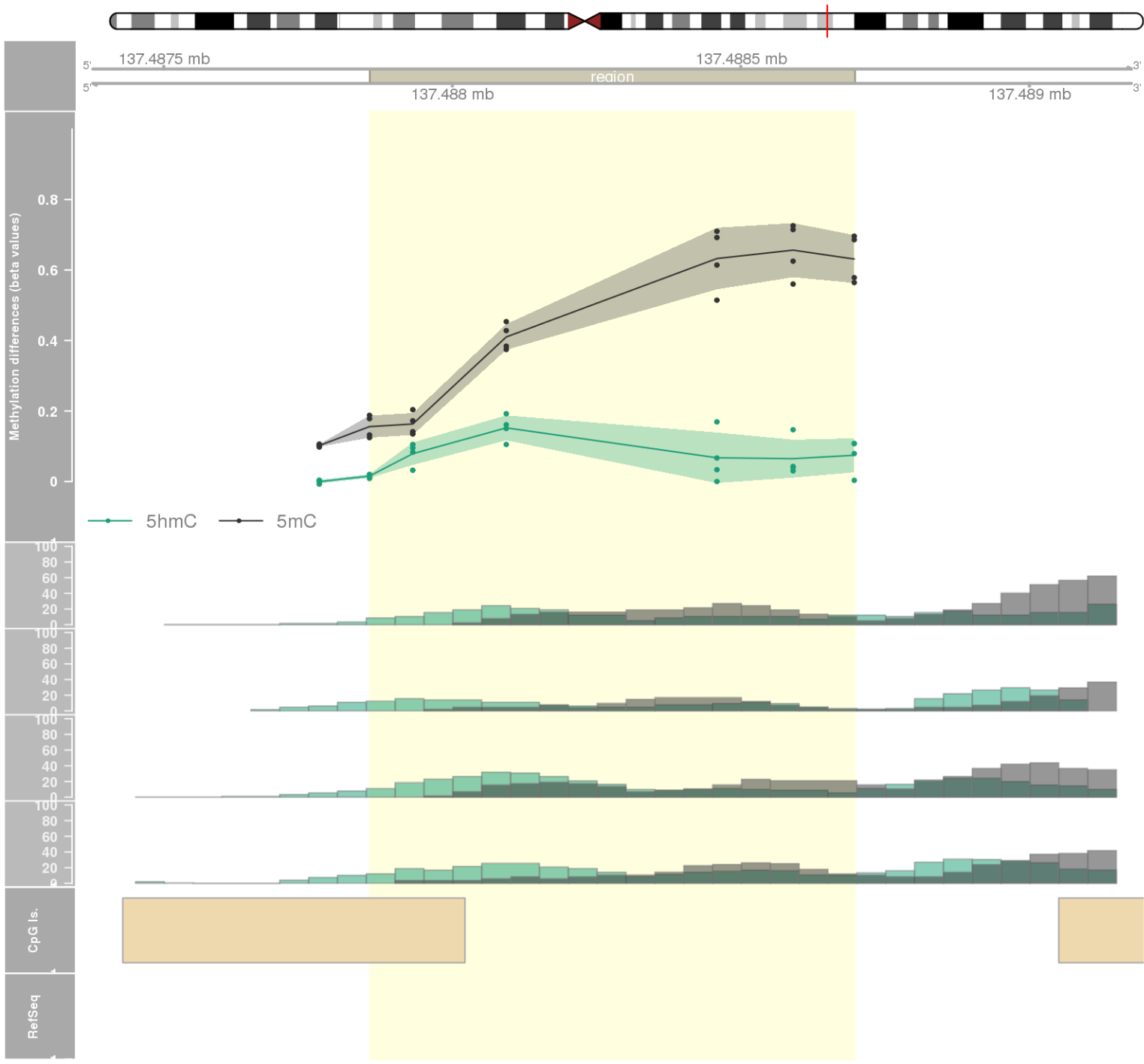


DMR 429 // chr12:56121015-56121485 // 470 pb. (2 probes) // pvalue: 0.002 // fwer: 1 // pvalueArea: 0.042 // fwerArea: 1
- genes: CD63 -

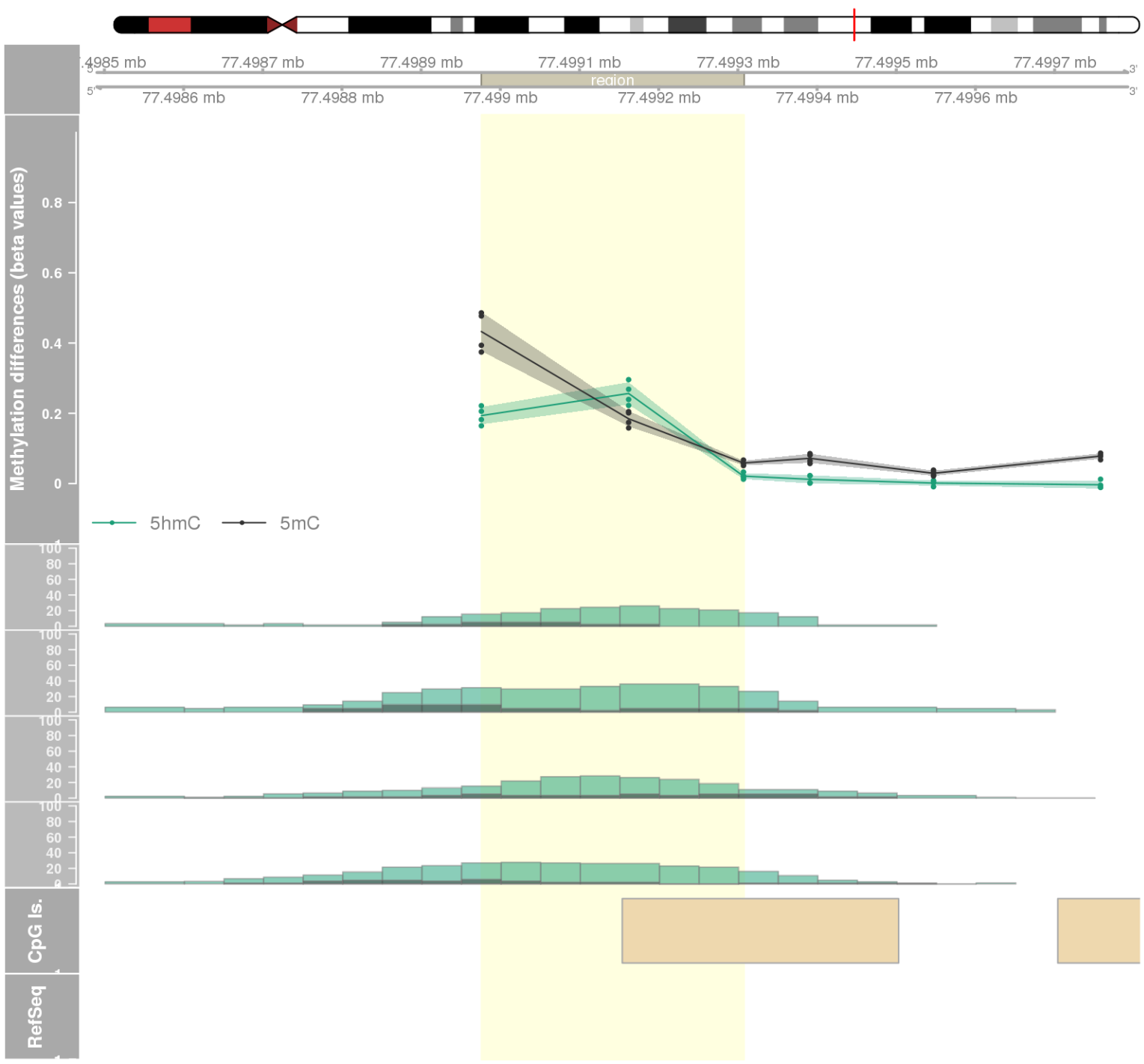


DMR 430 // chr1:151129062-151129298 // 236 pb. (4 probes) // pvalue: 0.011 // fwer: 1 // pvalueArea: 0.042 // fwerArea: 1
- genes: TNFAIP8L2 / SCN1 -

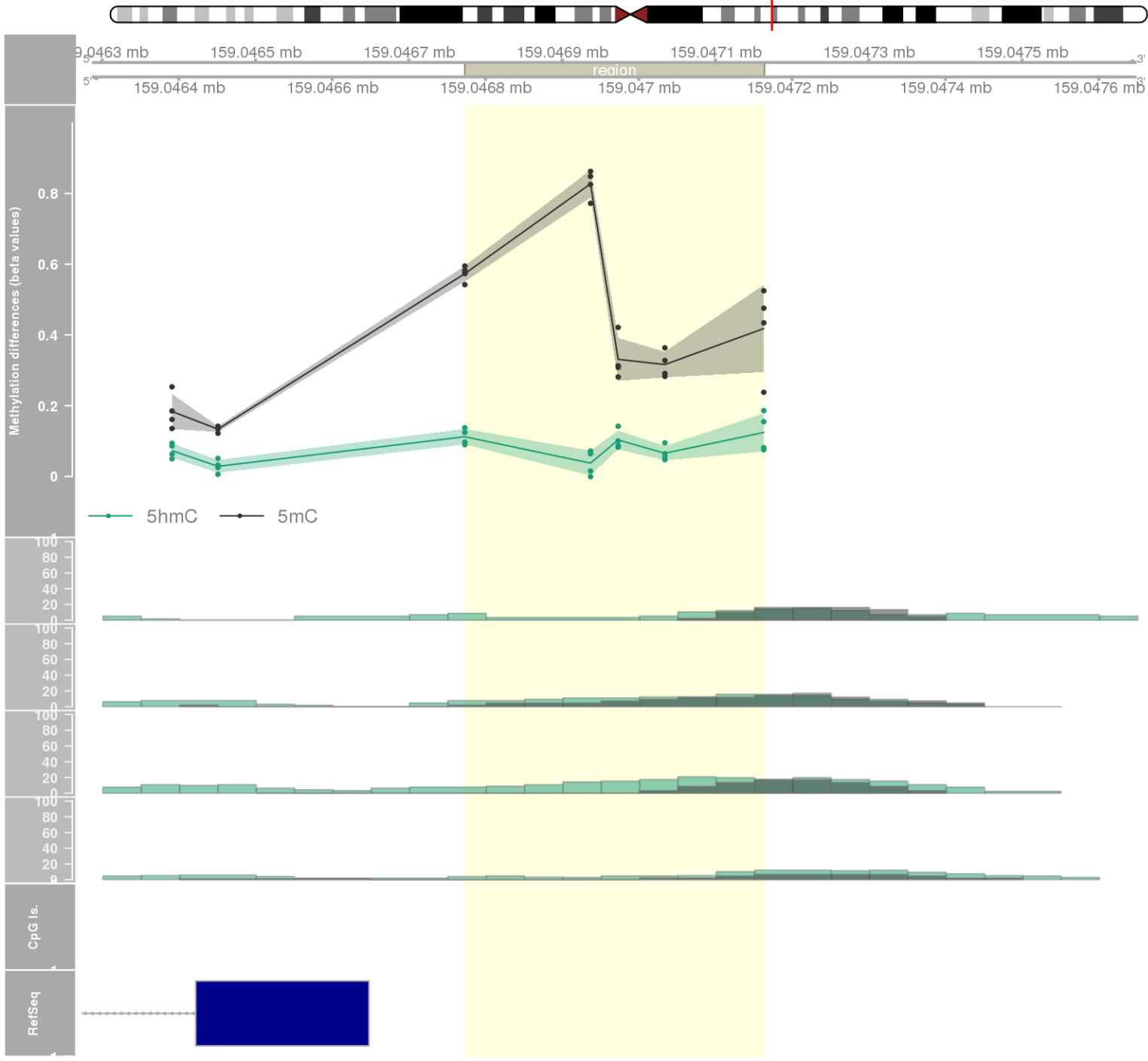


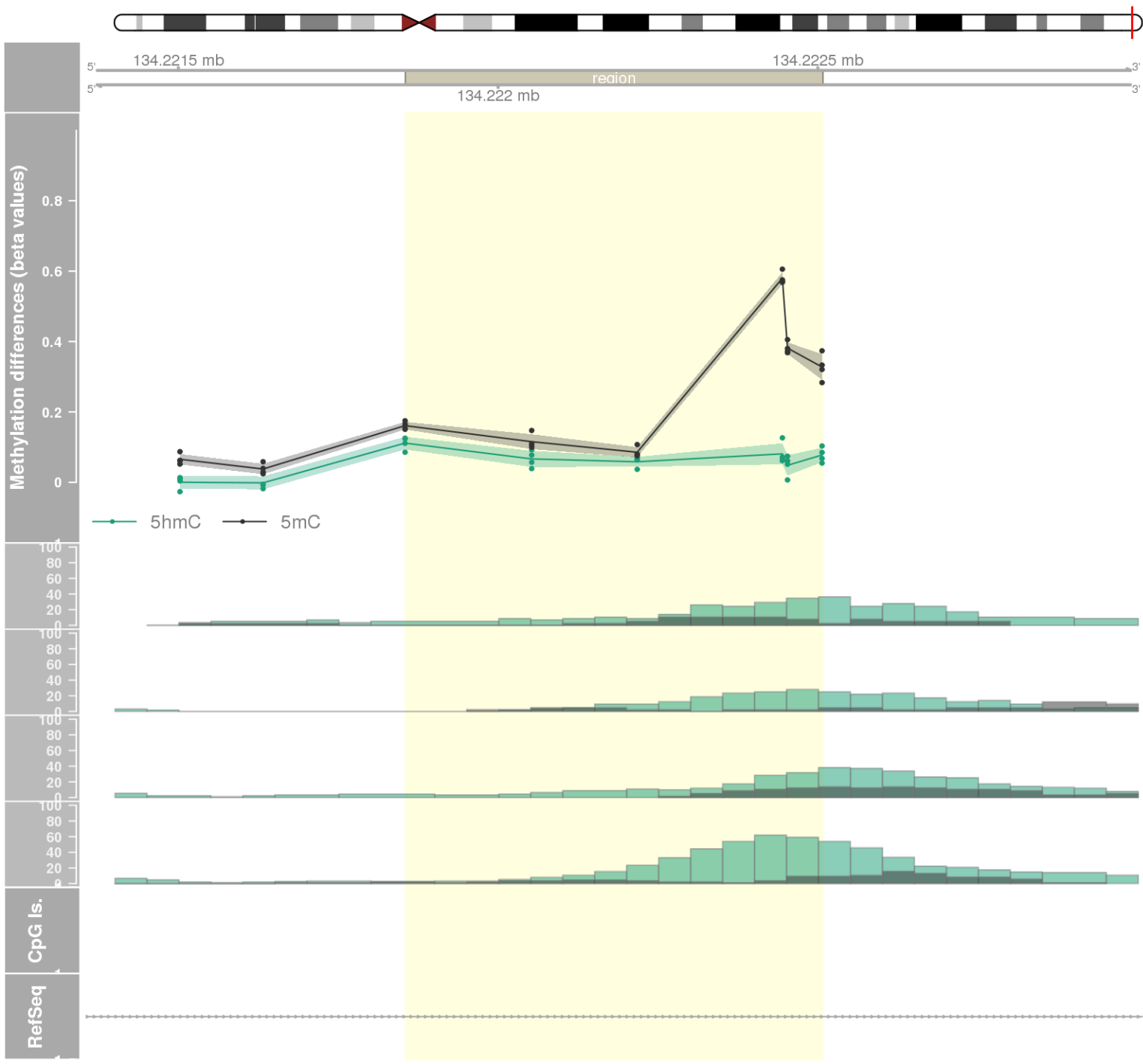


DMR 432 // chr14:77498976-77499307 // 331 pb. (3 probes) // pvalue: 0.005 // fwer: 1 // pvalueArea: 0.042 // fwerArea: 1

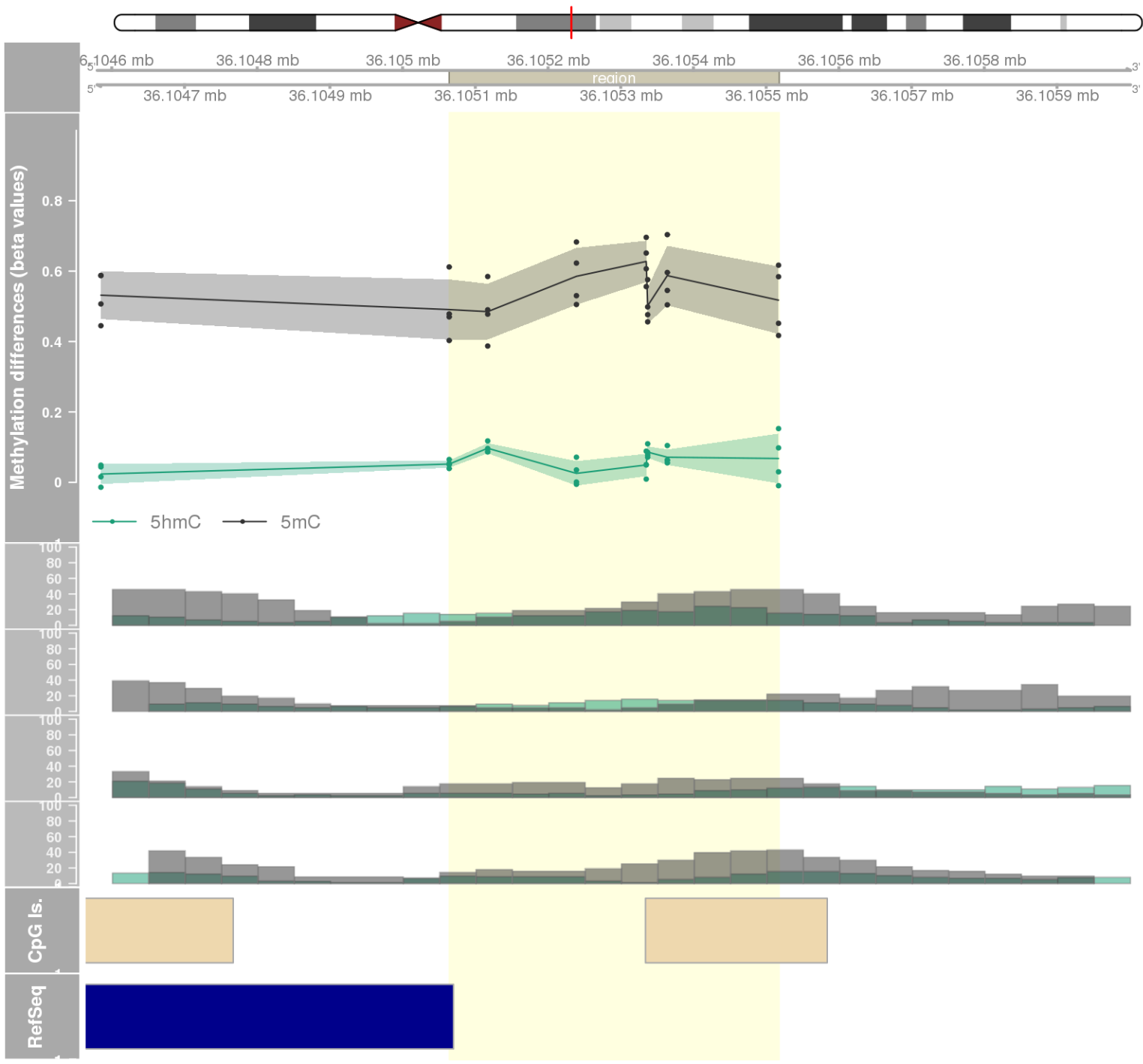


DMR 433 // chr1:159046773-159047163 // 390 pb. (5 probes) // pvalue: 0.021 // fwer: 1 // pvalueArea: 0.042 // fwerArea: 1
- genes: AIM2 -

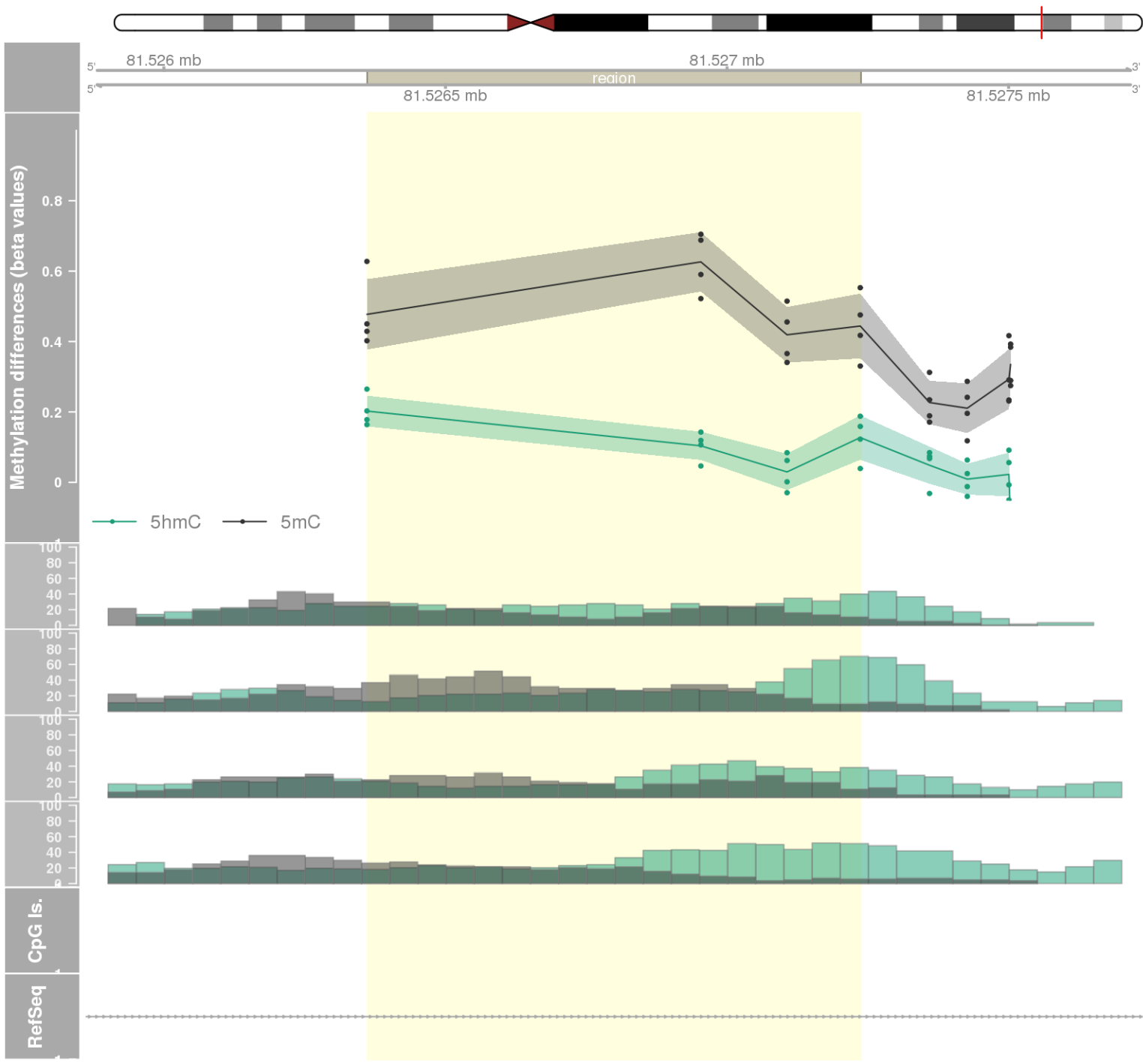




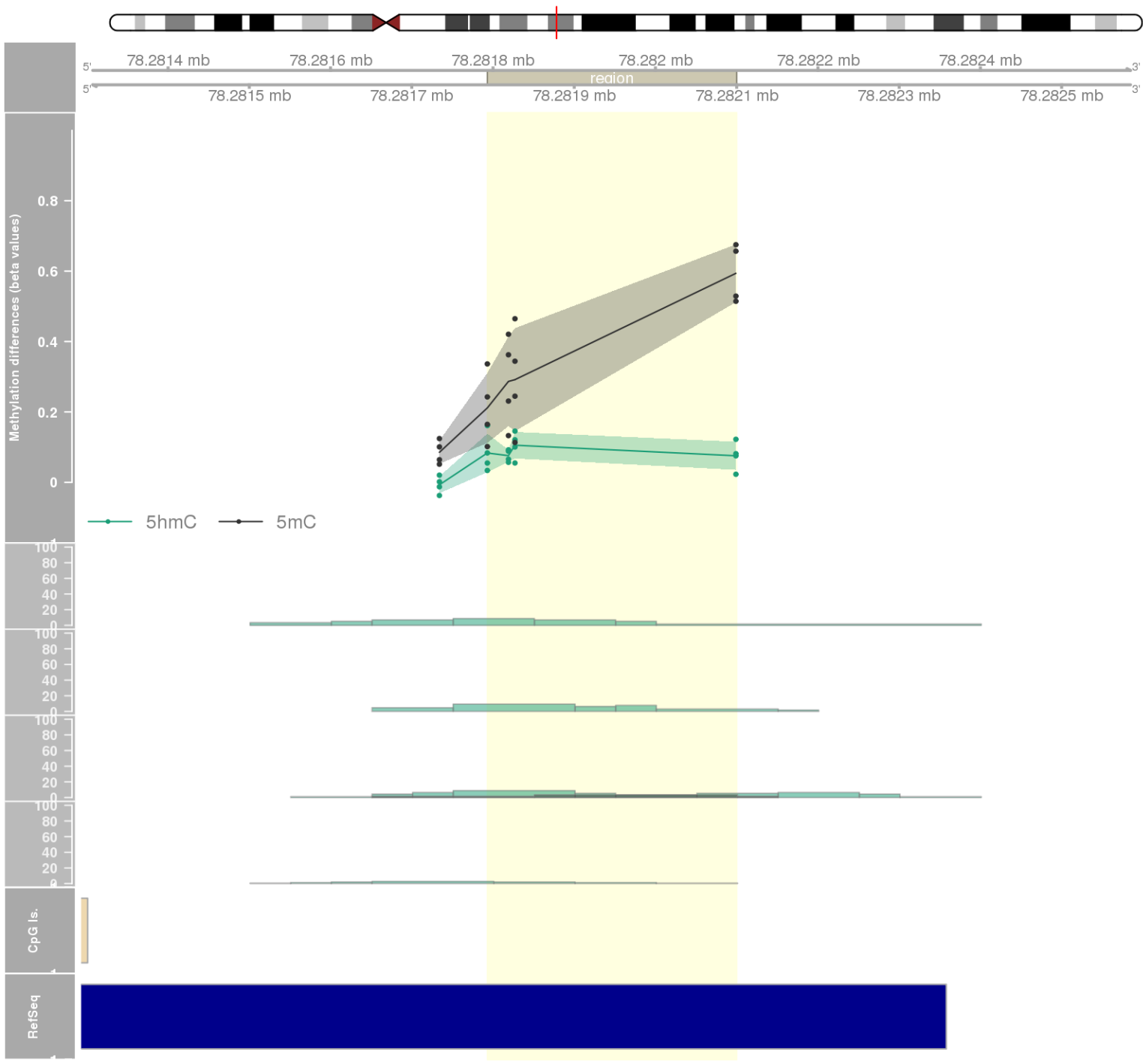
DMR 435 // chr17:36105064-36105517 // 453 pb. (7 probes) // pvalue: 0.019 // fwer: 1 // pvalueArea: 0.042 // fwerArea: 1
- genes: HNF1B -



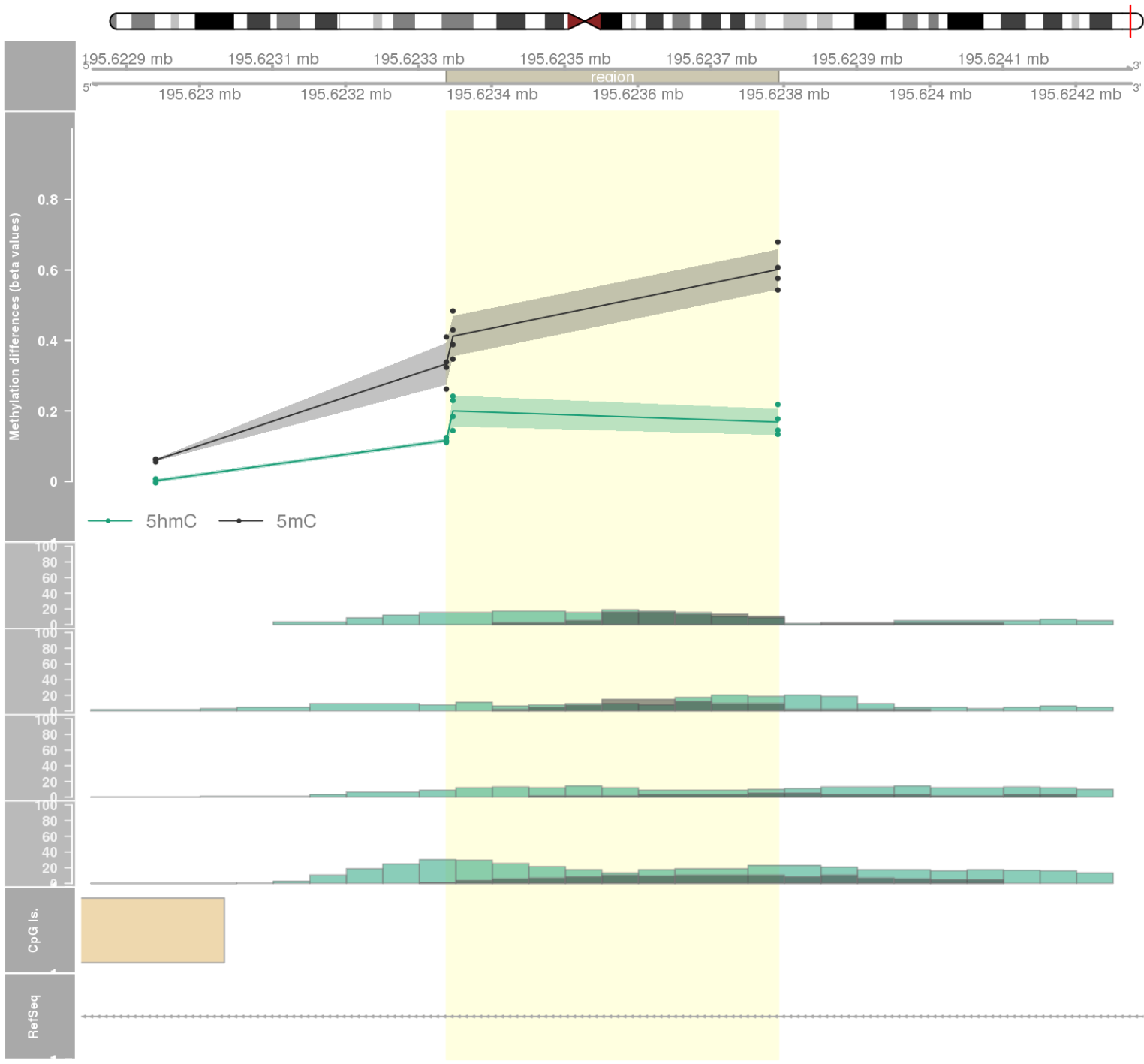
DMR 436 // chr16:81526361-81527237 // 876 pb. (4 probes) // pvalue: 0.011 // fwer: 1 // pvalueArea: 0.042 // fwerArea: 1
- genes: CMIP -



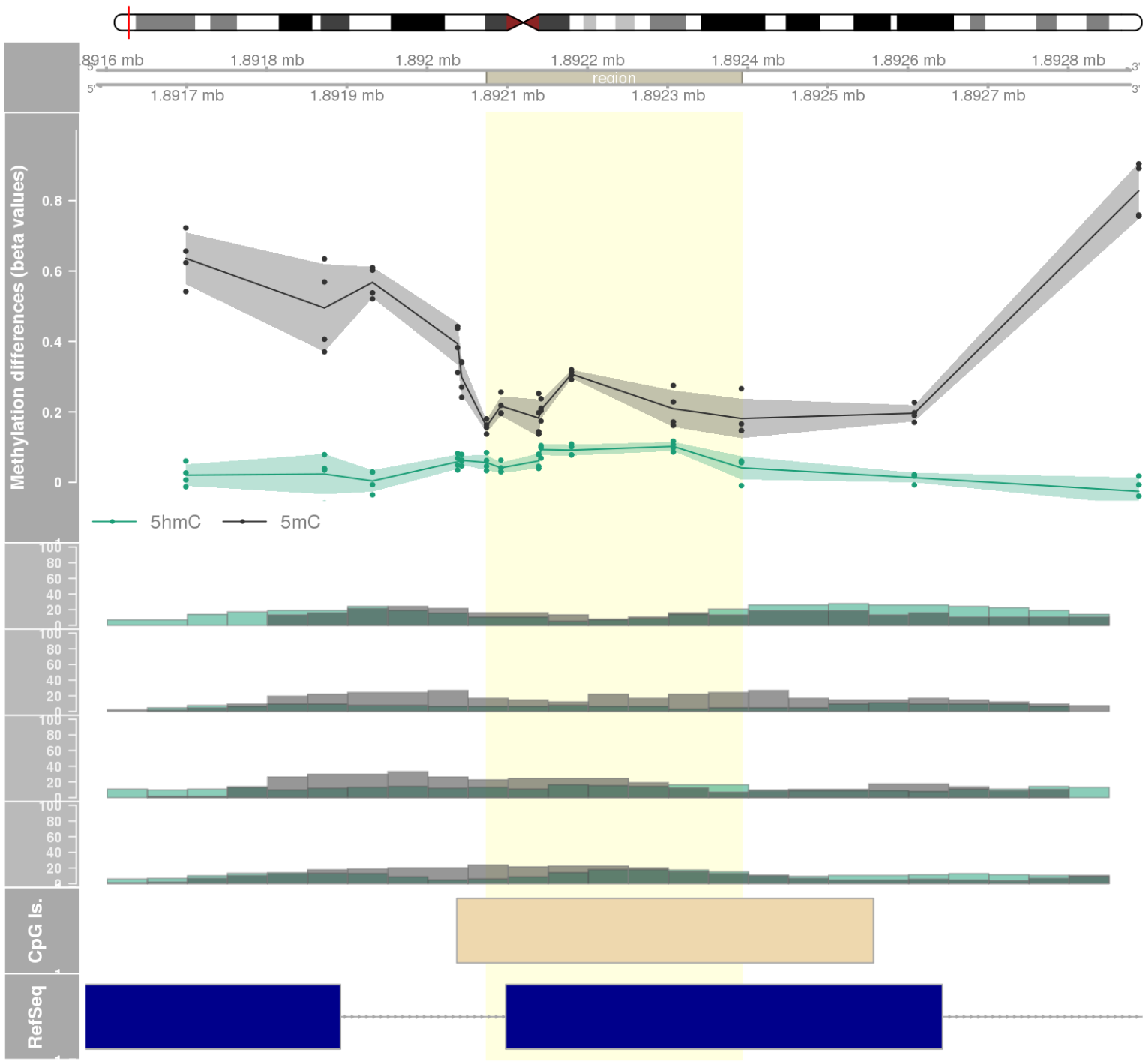
DMR 437 // chr5:78281793-78282099 // 306 pb. (4 probes) // pvalue: 0.012 // fwer: 1 // pvalueArea: 0.042 // fwerArea: 1
- genes: ARSB -



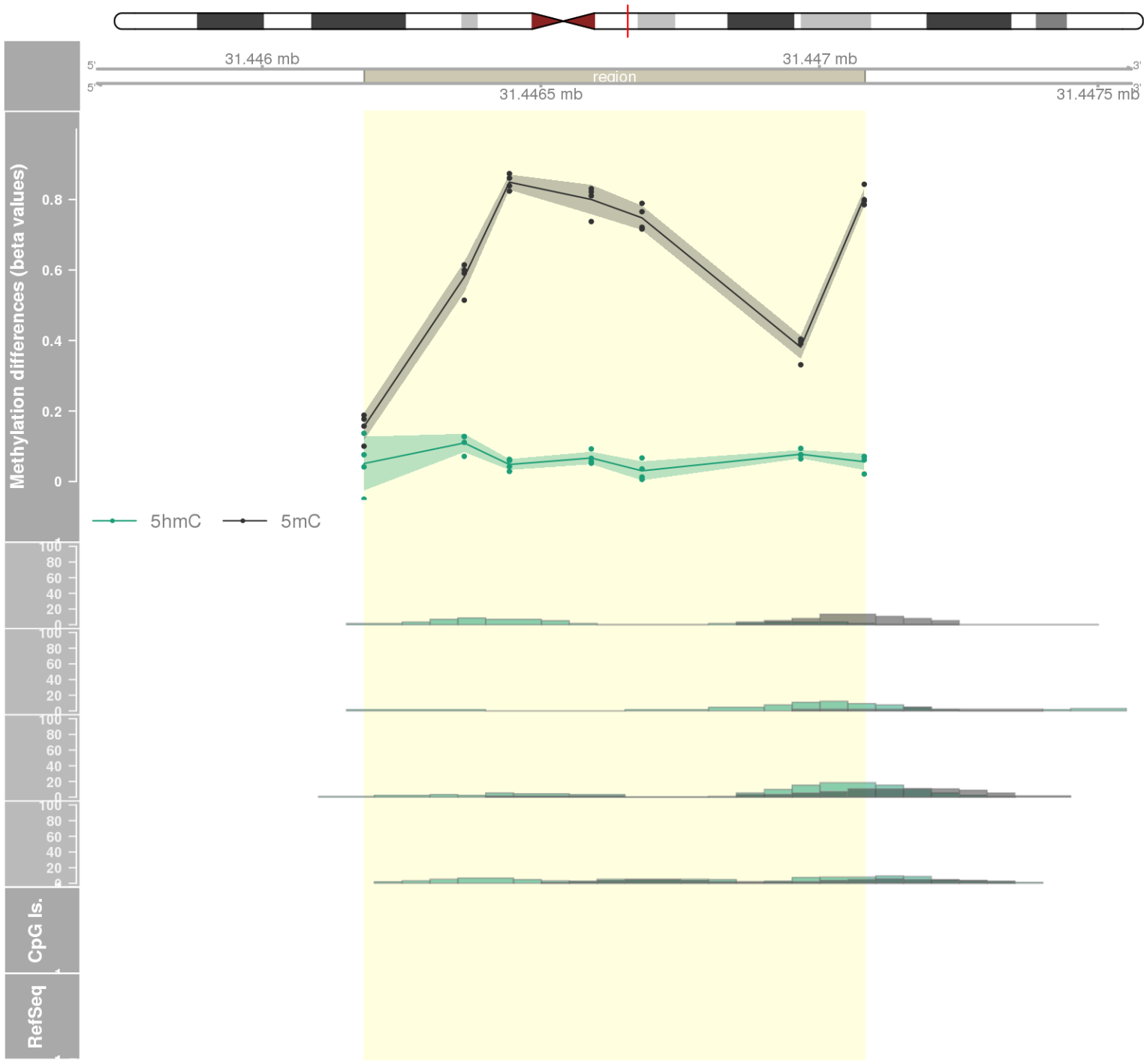
DMR 438 // chr3:195623338-195623792 // 454 pb. (3 probes) // pvalue: 0.005 // fwer: 1 // pvalueArea: 0.043 // fwerArea: 1
- genes: TNK2 -



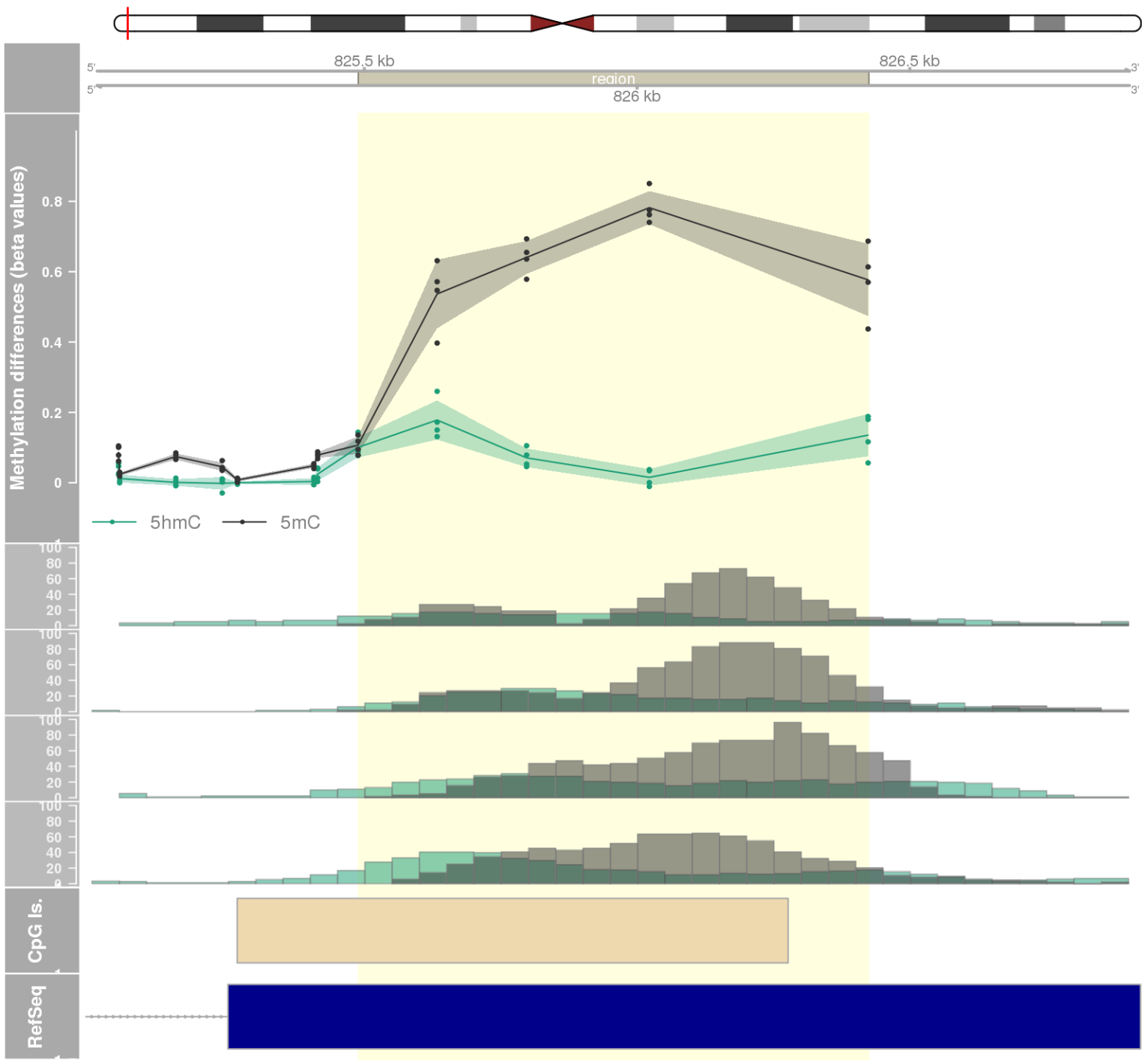
DMR 439 // chr11:1892074-1892392 // 318 pb. (7 probes) // pvalue: 0.02 // fwer: 1 // pvalueArea: 0.043 // fwerArea: 1
- genes: LSP1 -



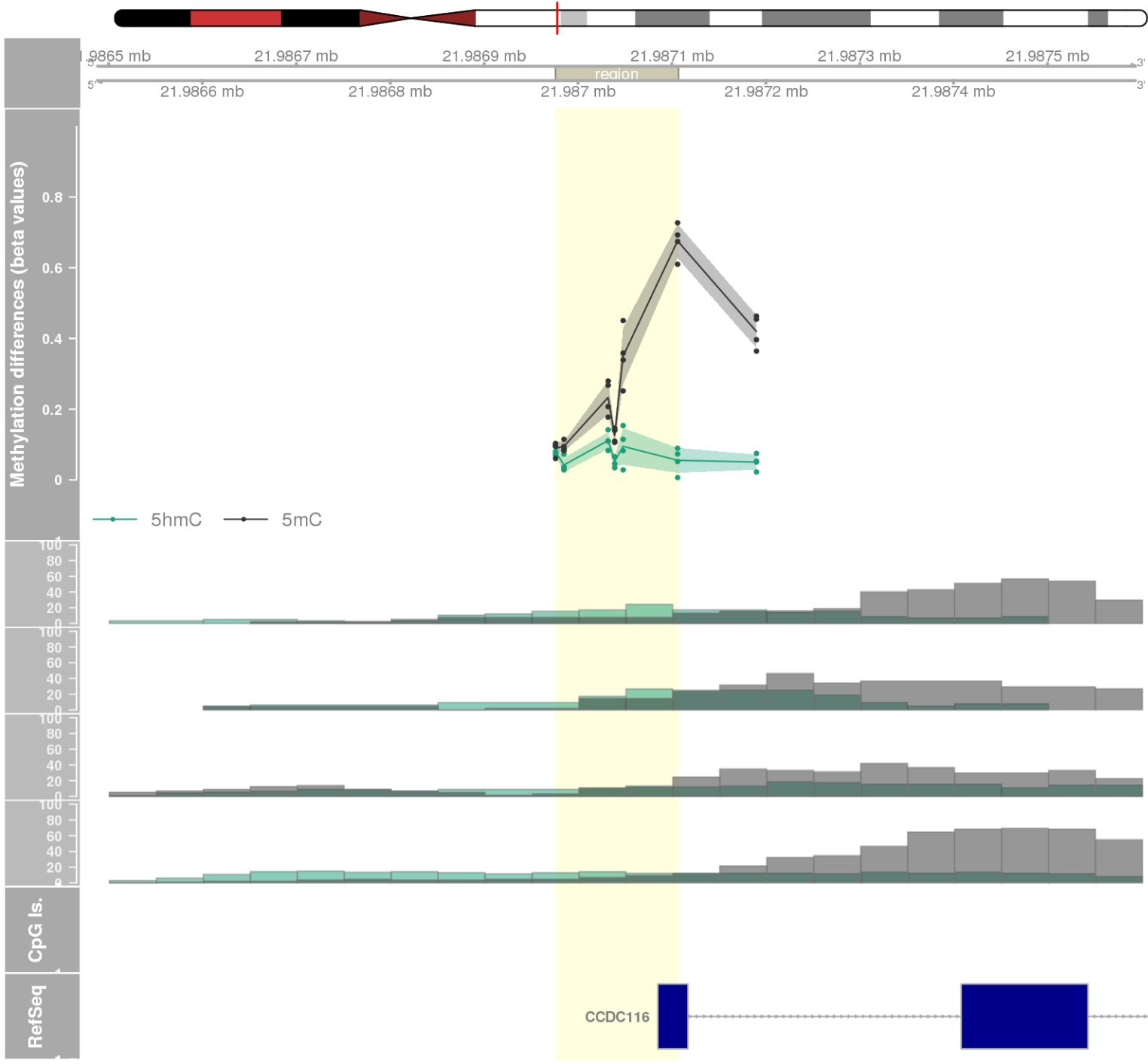
DMR 440 // chr20:31446183-31447081 // 898 pb. (7 probes) // pvalue: 0.02 // fwer: 1 // pvalueArea: 0.043 // fwerArea: 1
- genes: EFCAB8 -



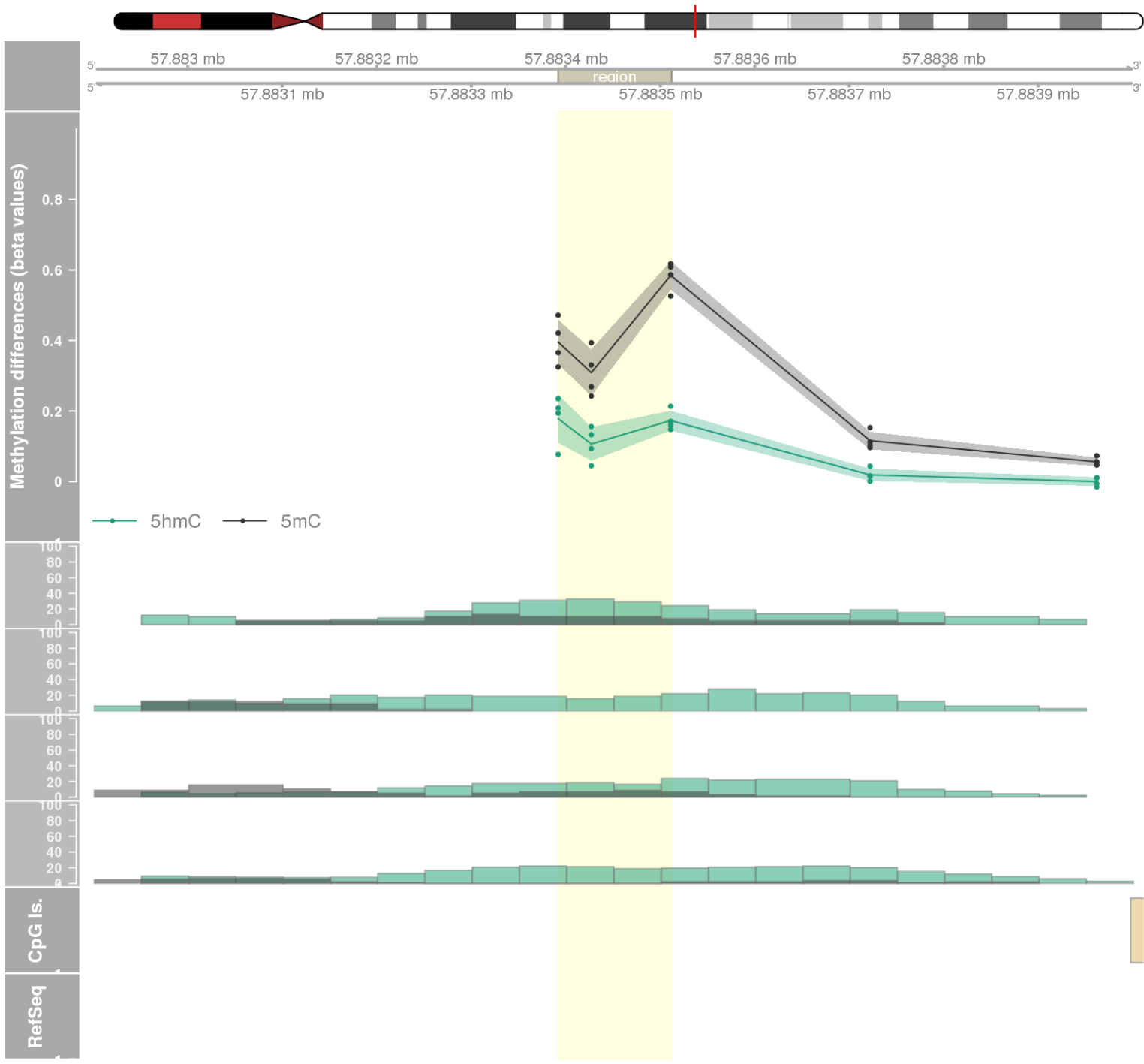
DMR 441 // chr20:825489-826424 // 935 pb. (5 probes) // pvalue: 0.021 // fwer: 1 // pvalueArea: 0.043 // fwerArea: 1
- genes: FAM110A -



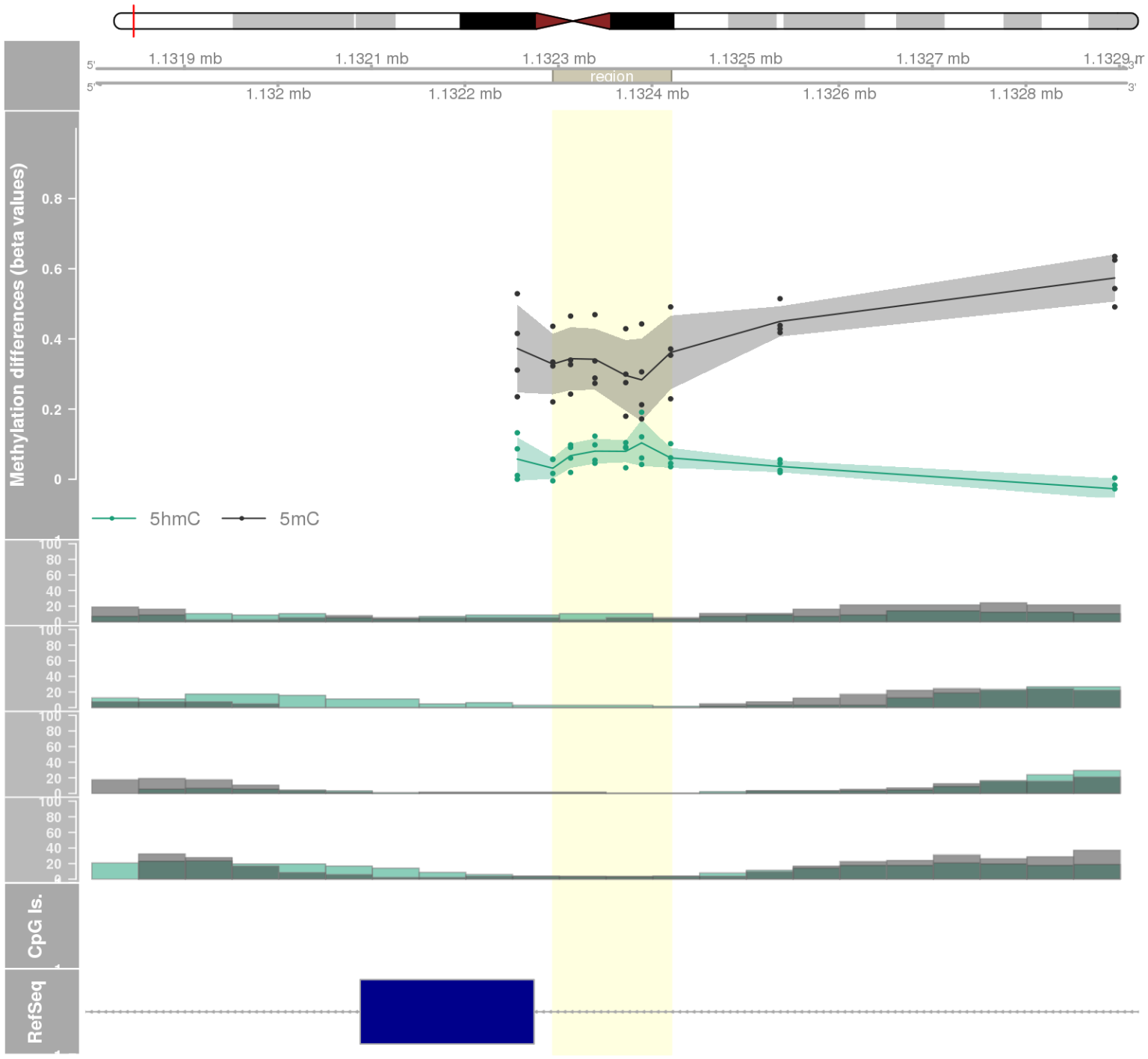
DMR 442 // chr22:21986976-21987106 // 130 pb. (6 probes) // pvalue: 0.024 // fwer: 1 // pvalueArea: 0.043 // fwerArea: 1
- genes: CCDC116 -



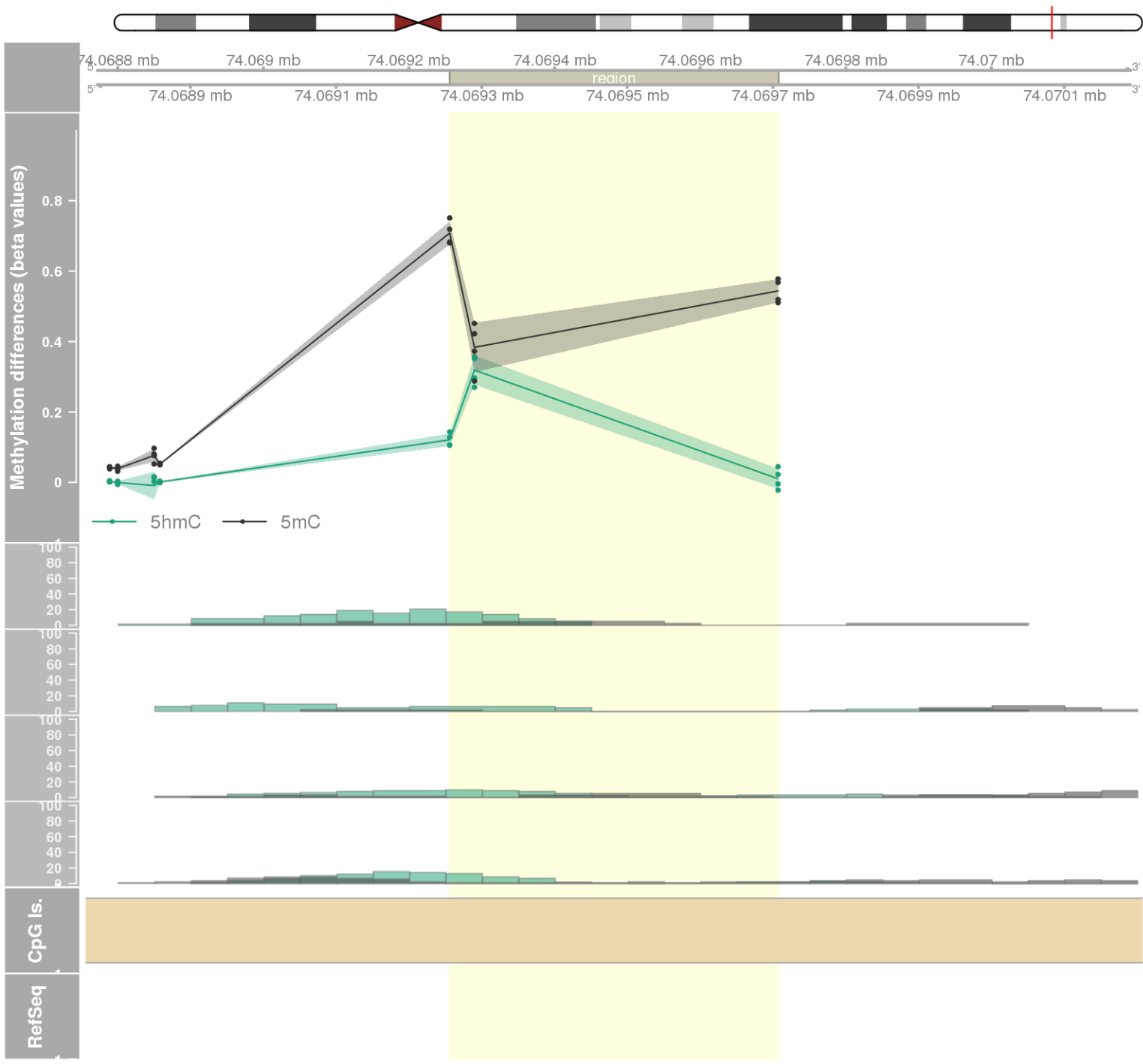
DMR 443 // chr15:57883392-57883511 // 119 pb. (3 probes) // pvalue: 0.005 // fwer: 1 // pvalueArea: 0.043 // fwerArea: 1



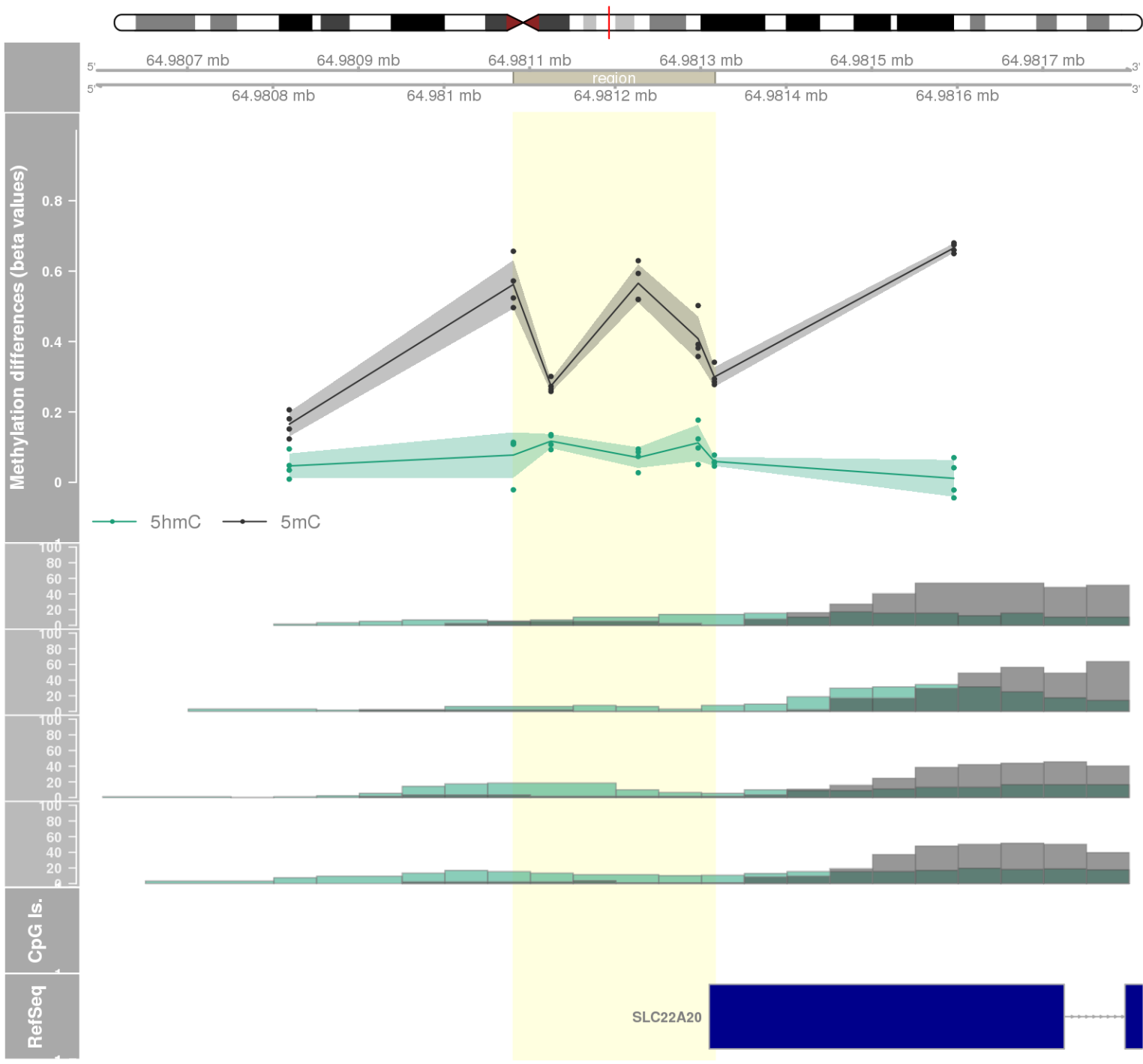
DMR 444 // chr19:1132294-1132420 // 126 pb. (6 probes) // pvalue: 0.024 // fwer: 1 // pvalueArea: 0.043 // fwerArea: 1
- genes: SBNO2 -



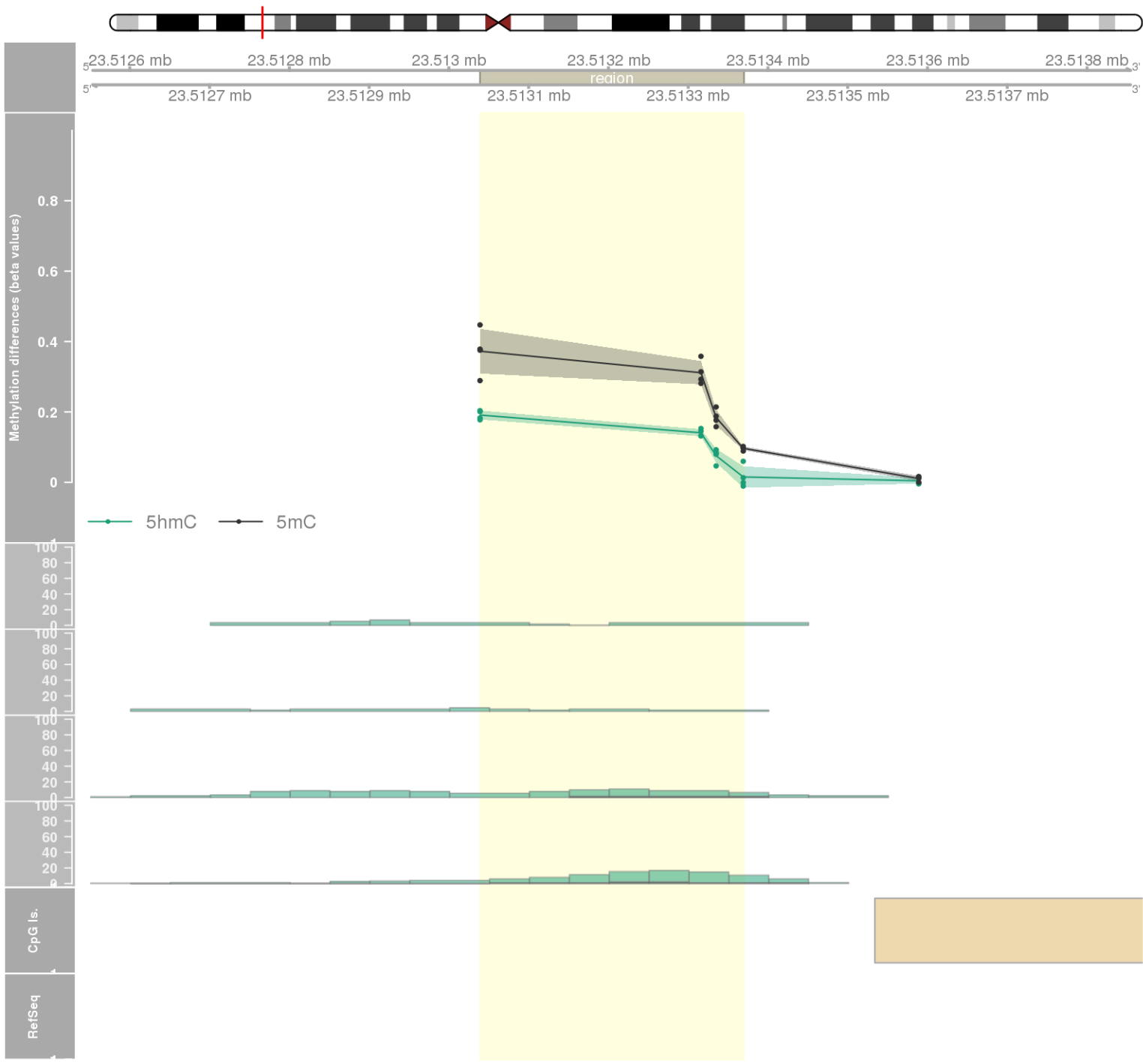
DMR 445 // chr17:74069256-74069707 // 451 pb. (3 probes) // pvalue: 0.005 // fwer: 1 // pvalueArea: 0.043 // fwerArea: 1
- genes: ZACN -



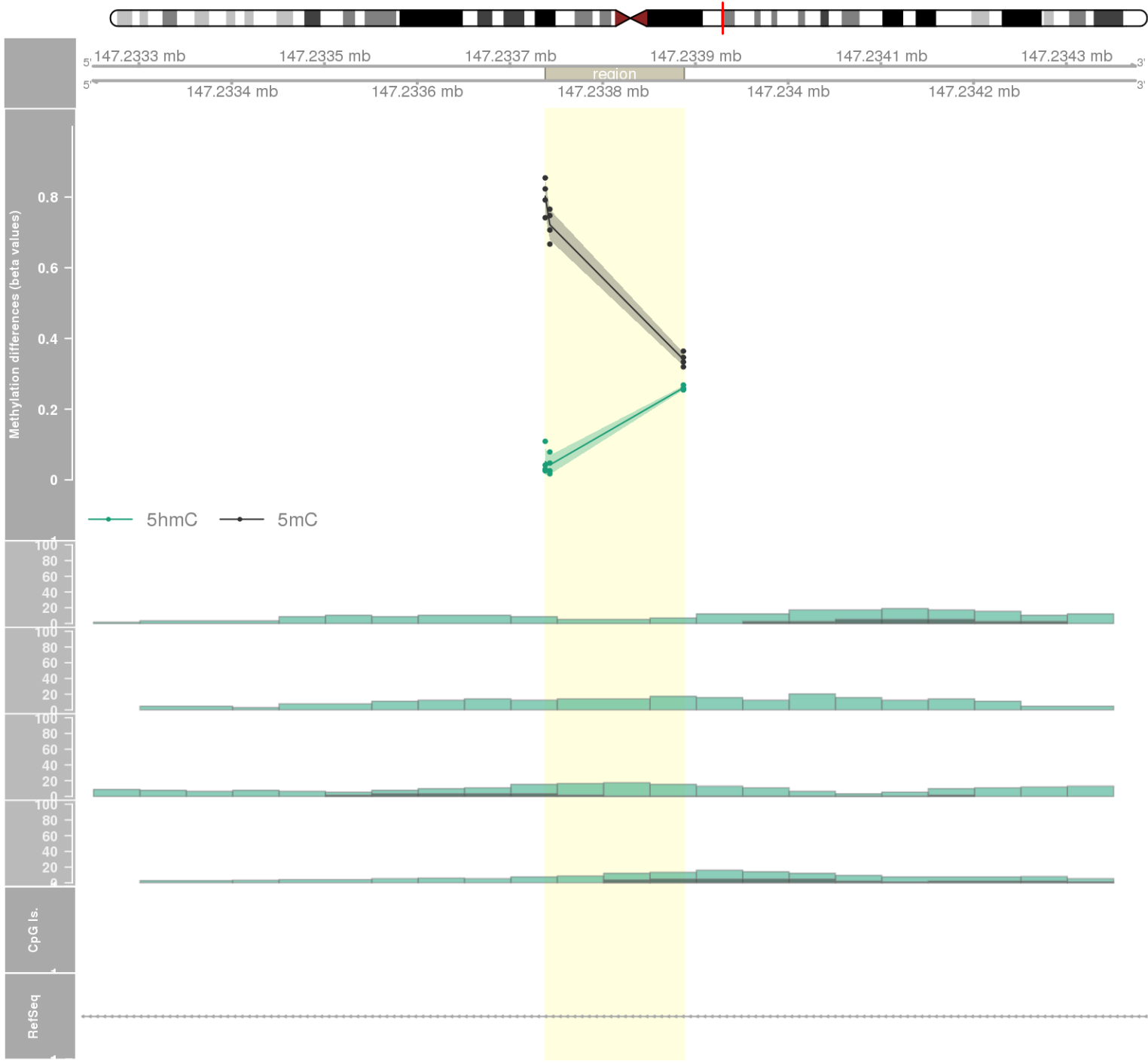
DMR 446 // chr11:64981081-64981316 // 235 pb. (5 probes) // pvalue: 0.022 // fwer: 1 // pvalueArea: 0.044 // fwerArea: 1
- genes: SLC22A20 -



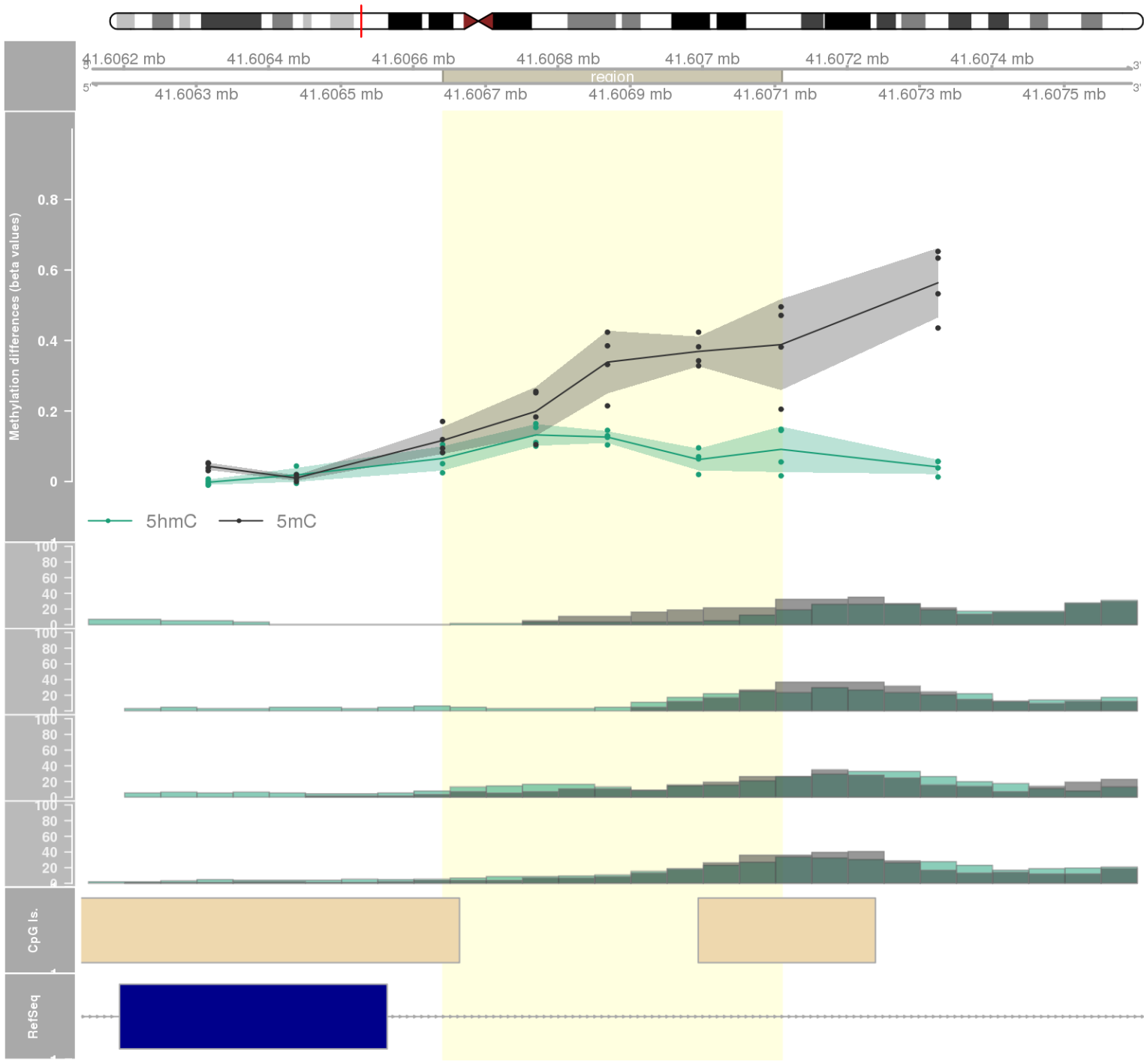
DMR 447 // chr7:23513039-23513369 // 330 pb. (4 probes) // pvalue: 0.013 // fwer: 1 // pvalueArea: 0.044 // fwerArea: 1



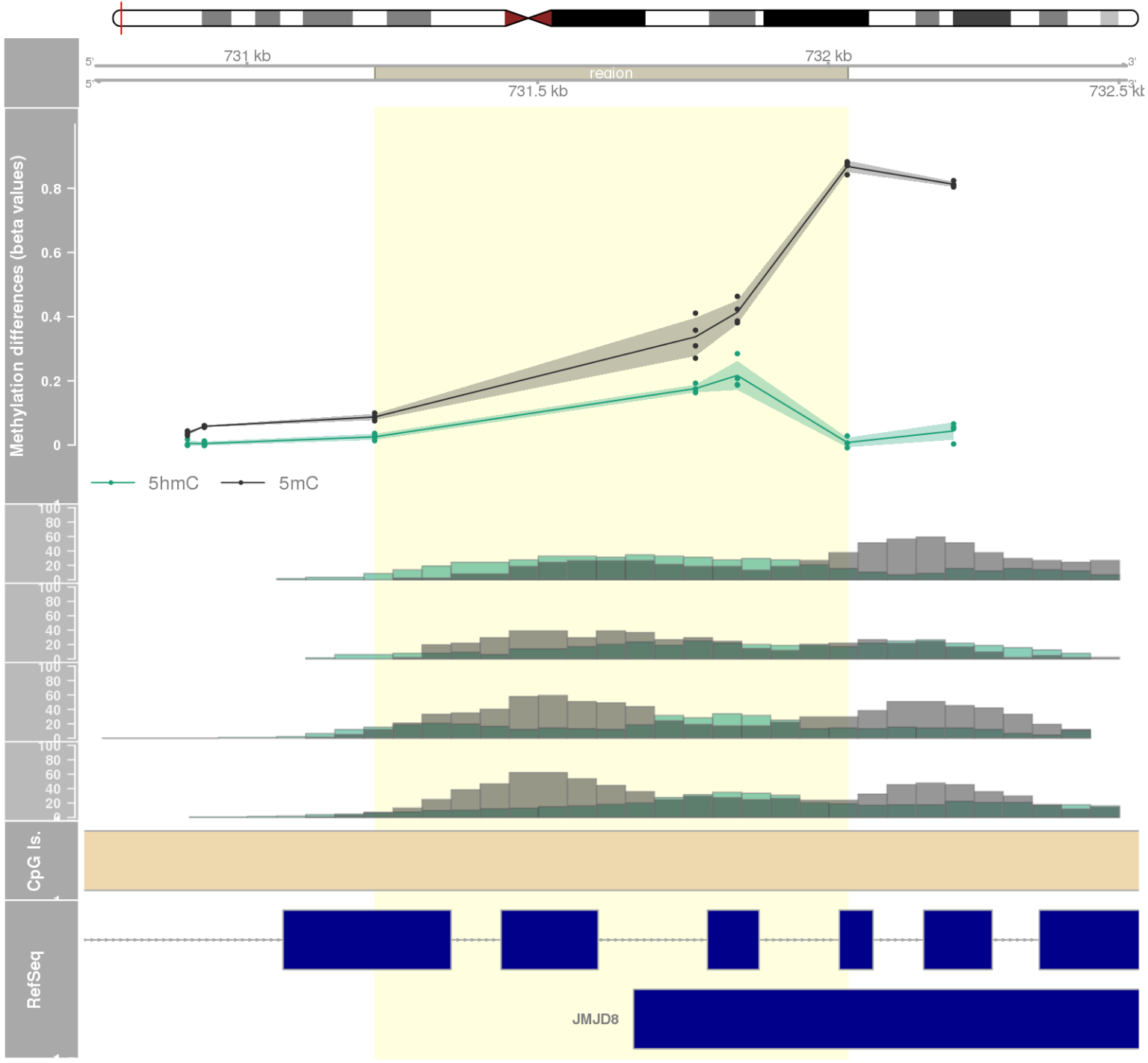
DMR 448 // chr1:147233738-147233887 // 149 pb. (3 probes) // pvalue: 0.006 // fwer: 1 // pvalueArea: 0.044 // fwerArea: 1
- genes: GJA5 -

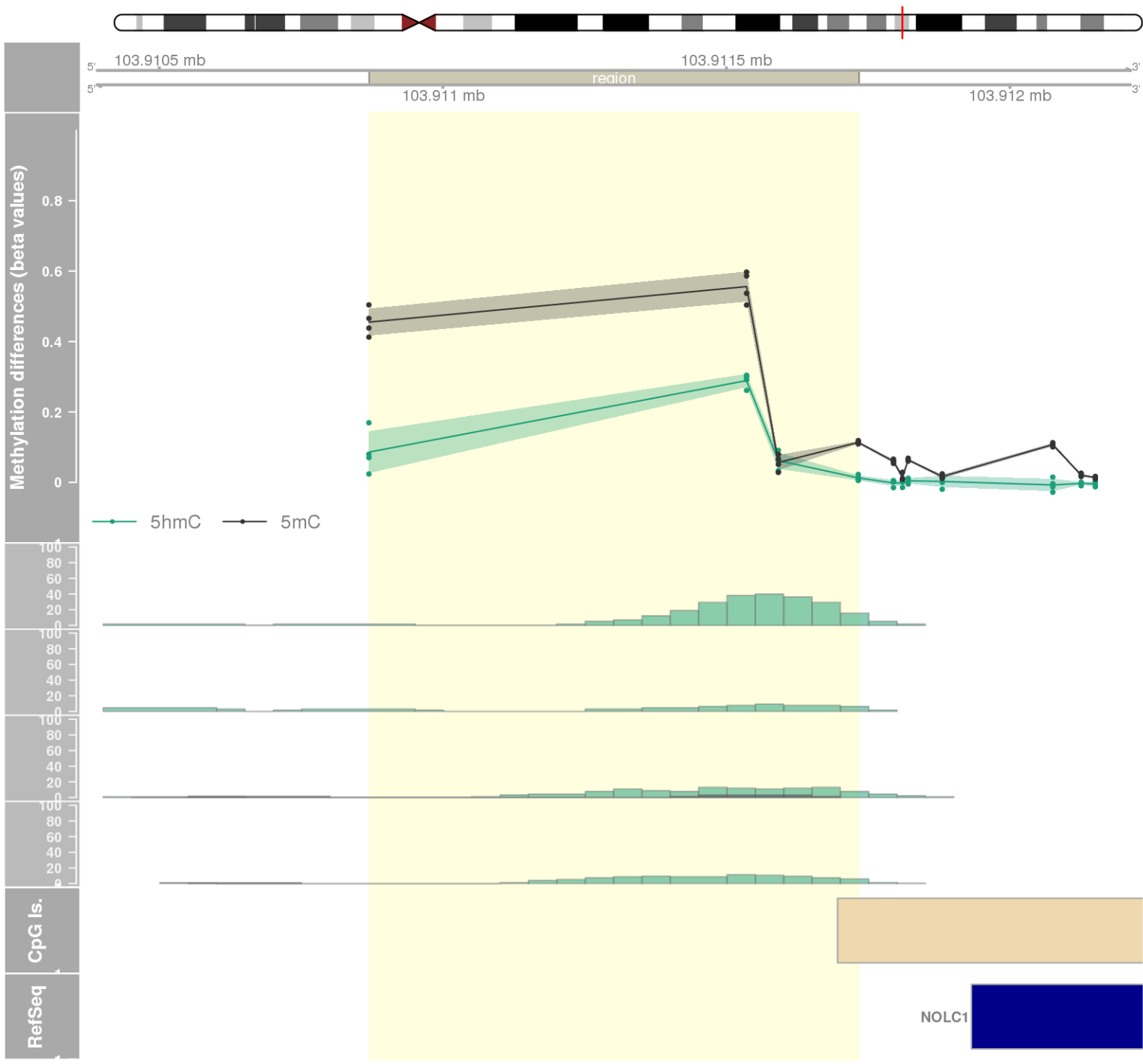


DMR 449 // chr6:41606641-41607109 // 468 pb. (5 probes) // pvalue: 0.022 // fwer: 1 // pvalueArea: 0.044 // fwerArea: 1
- genes: MDFI -

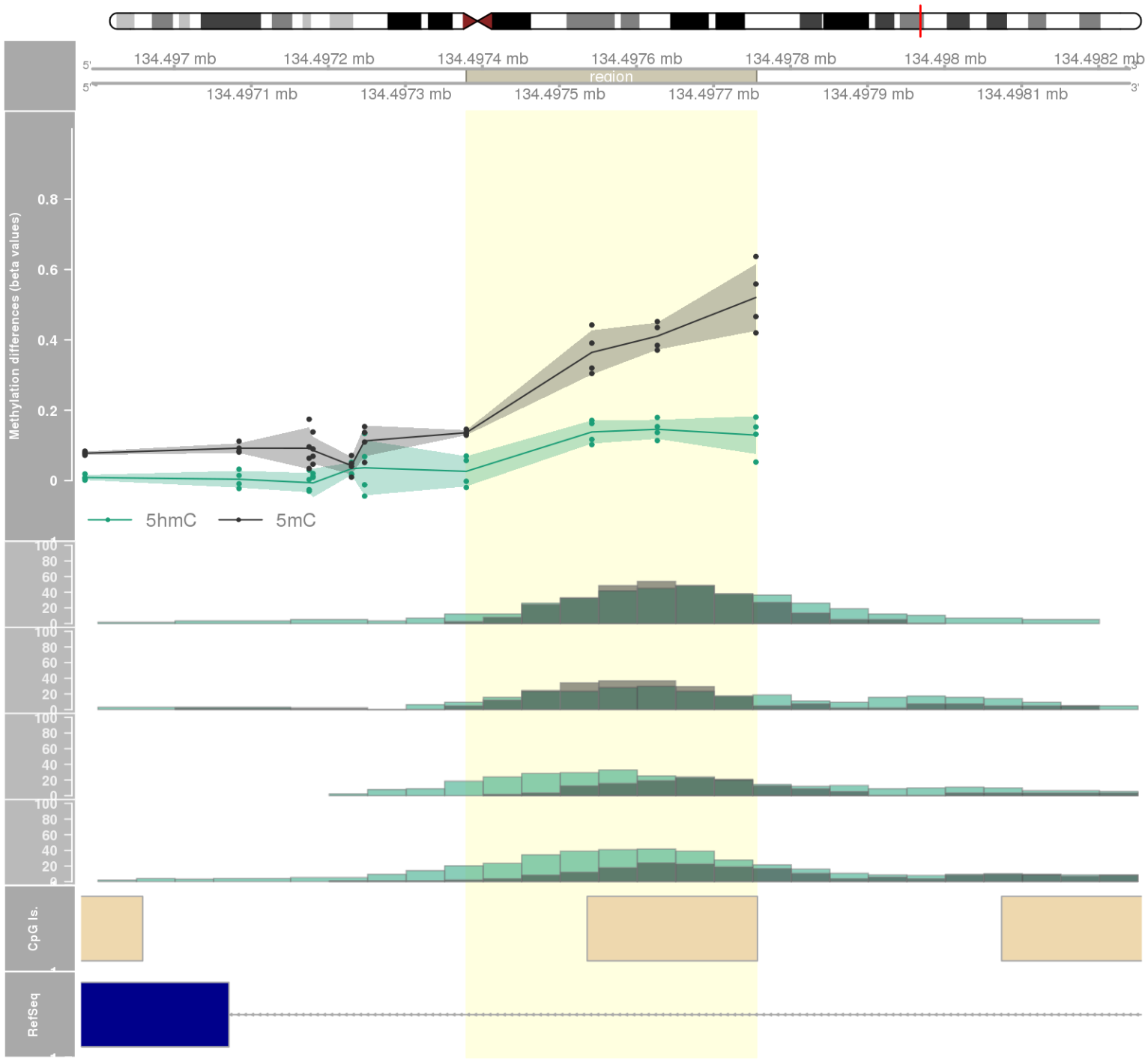


DMR 450 // chr16:731220-732033 // 813 pb. (4 probes) // pvalue: 0.013 // fwer: 1 // pvalueArea: 0.044 // fwerArea: 1
- genes: STUB1 / JMJD8 -

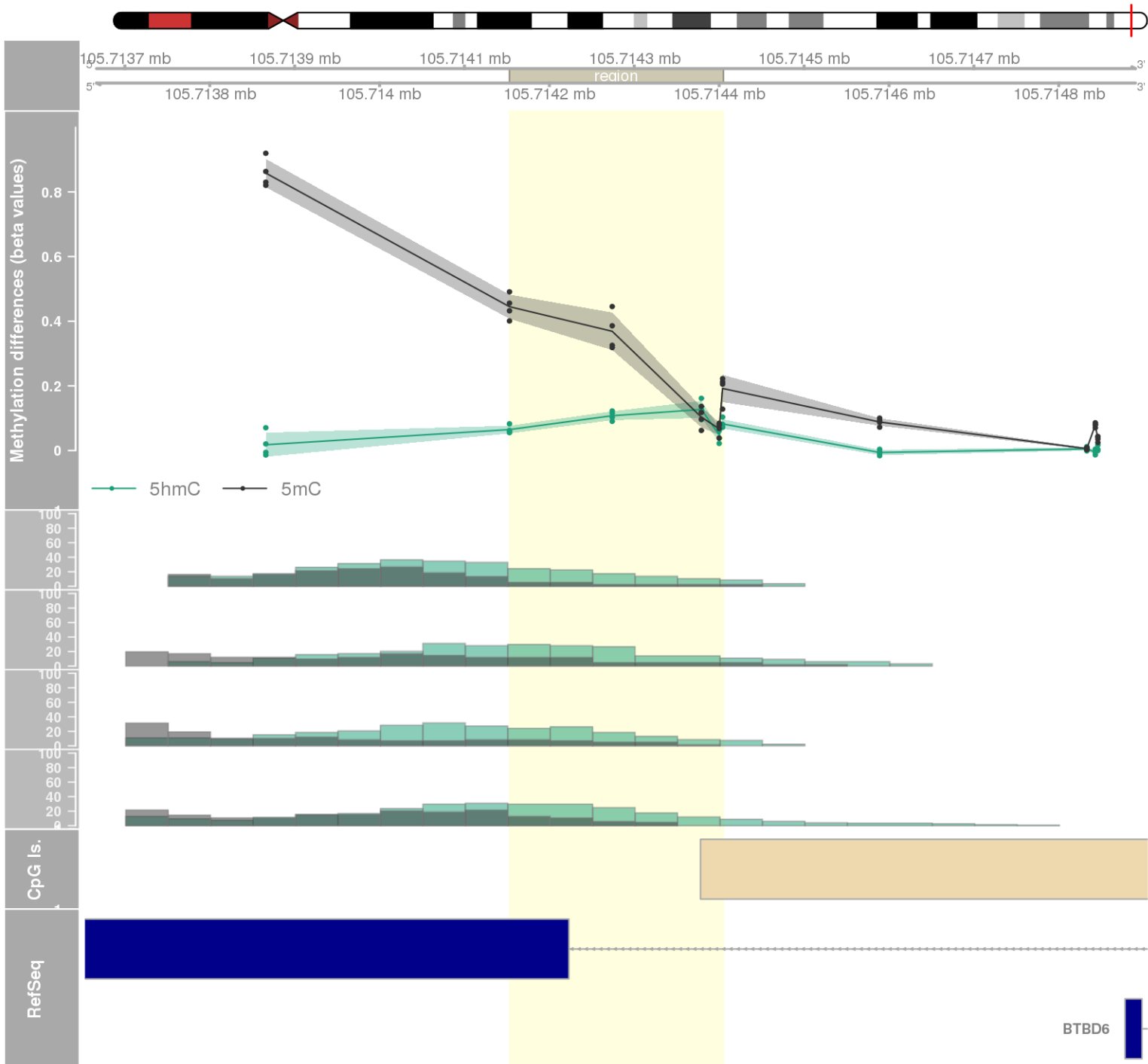




DMR 452 // chr6:134497379-134497755 // 376 pb. (4 probes) // pvalue: 0.013 // fwer: 1 // pvalueArea: 0.044 // fwerArea: 1
- genes: SGK1 -

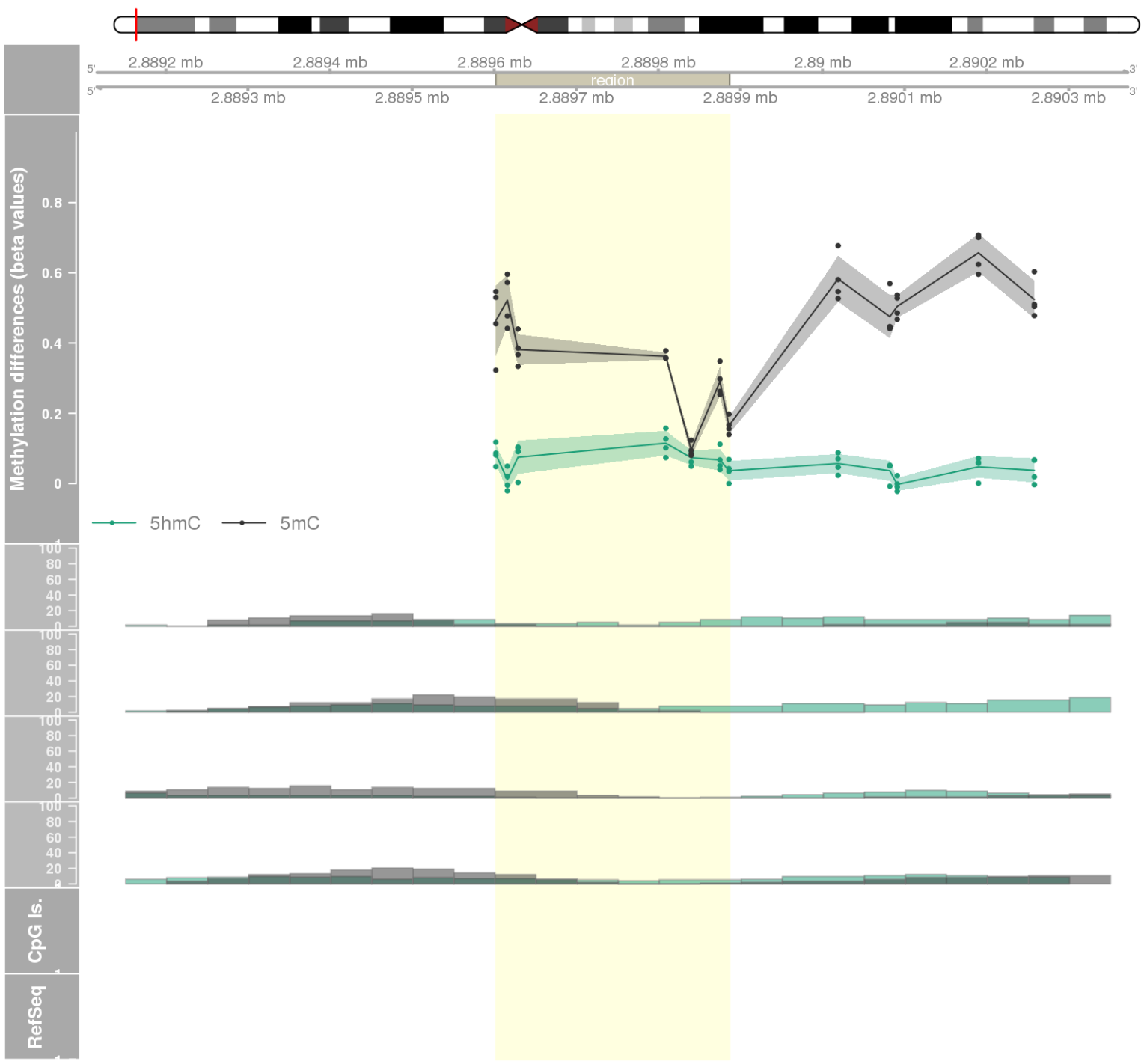


DMR 453 // chr14:105714153-105714404 // 251 pb. (5 probes) // pvalue: 0.022 // fwer: 1 // pvalueArea: 0.044 // fwerArea: 1
- genes: BRF1 -

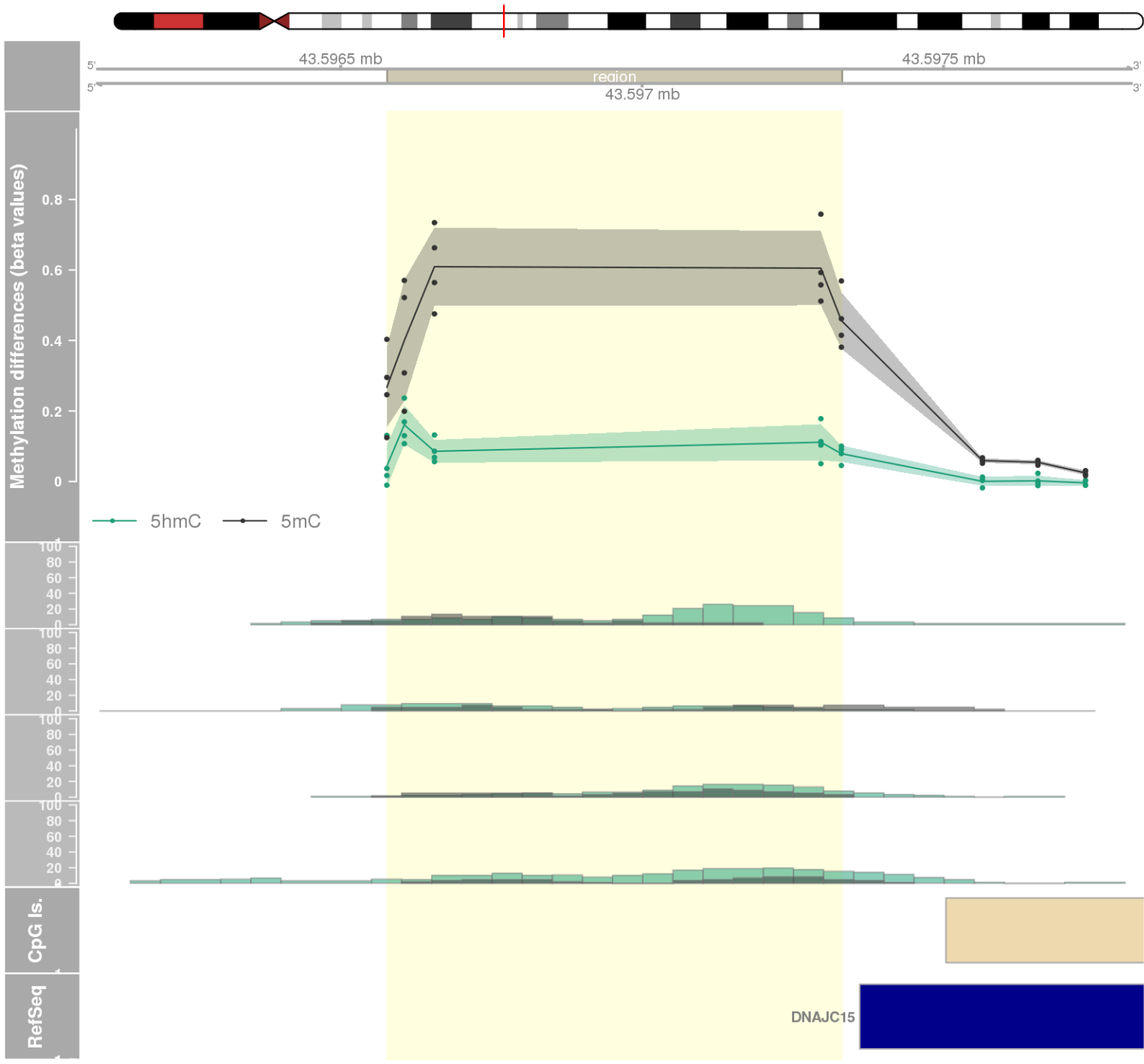


BTBD6

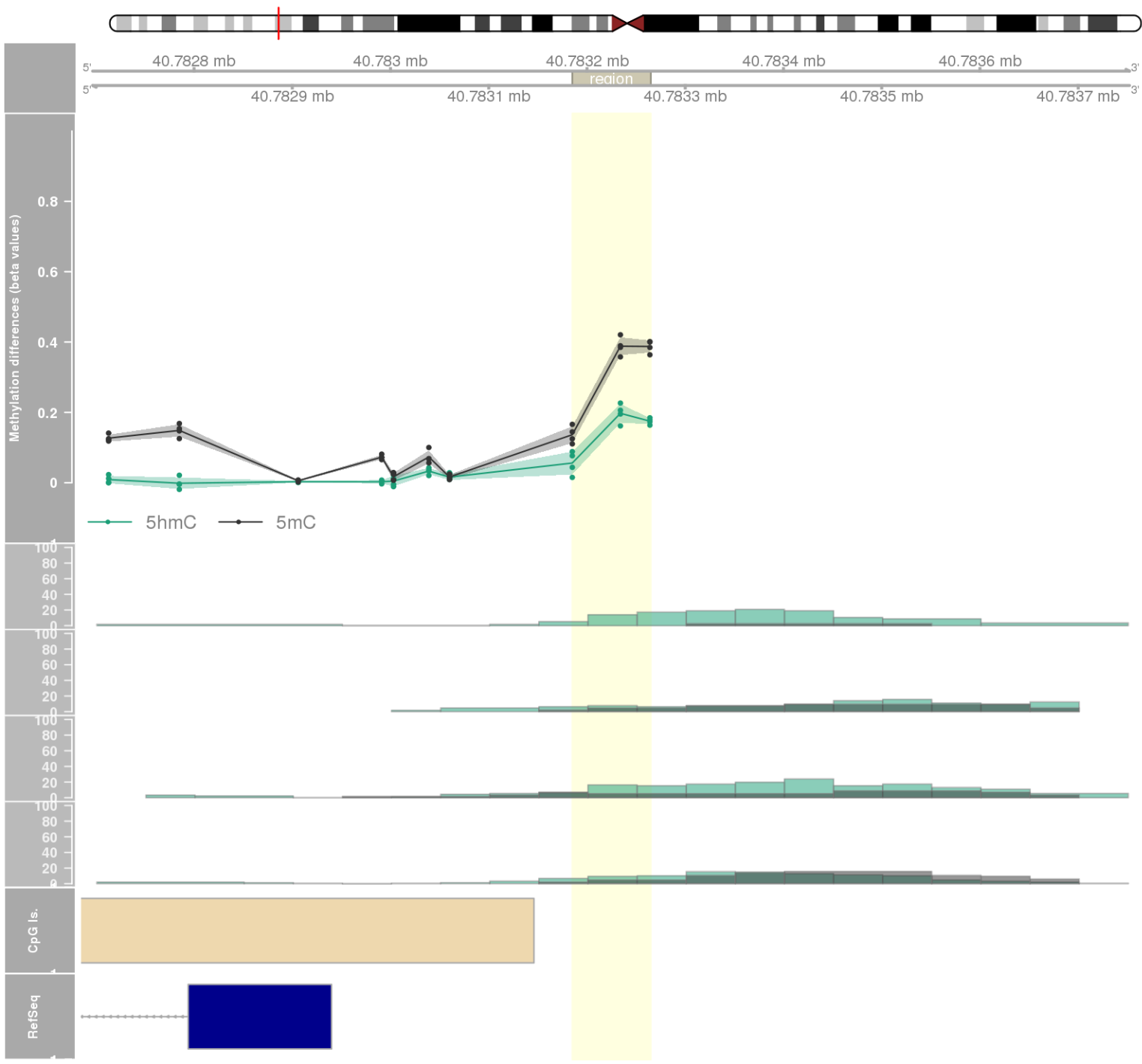
DMR 454 // chr11:2889602-2889886 // 284 pb. (7 probes) // pvalue: 0.02 // fwer: 1 // pvalueArea: 0.044 // fwerArea: 1



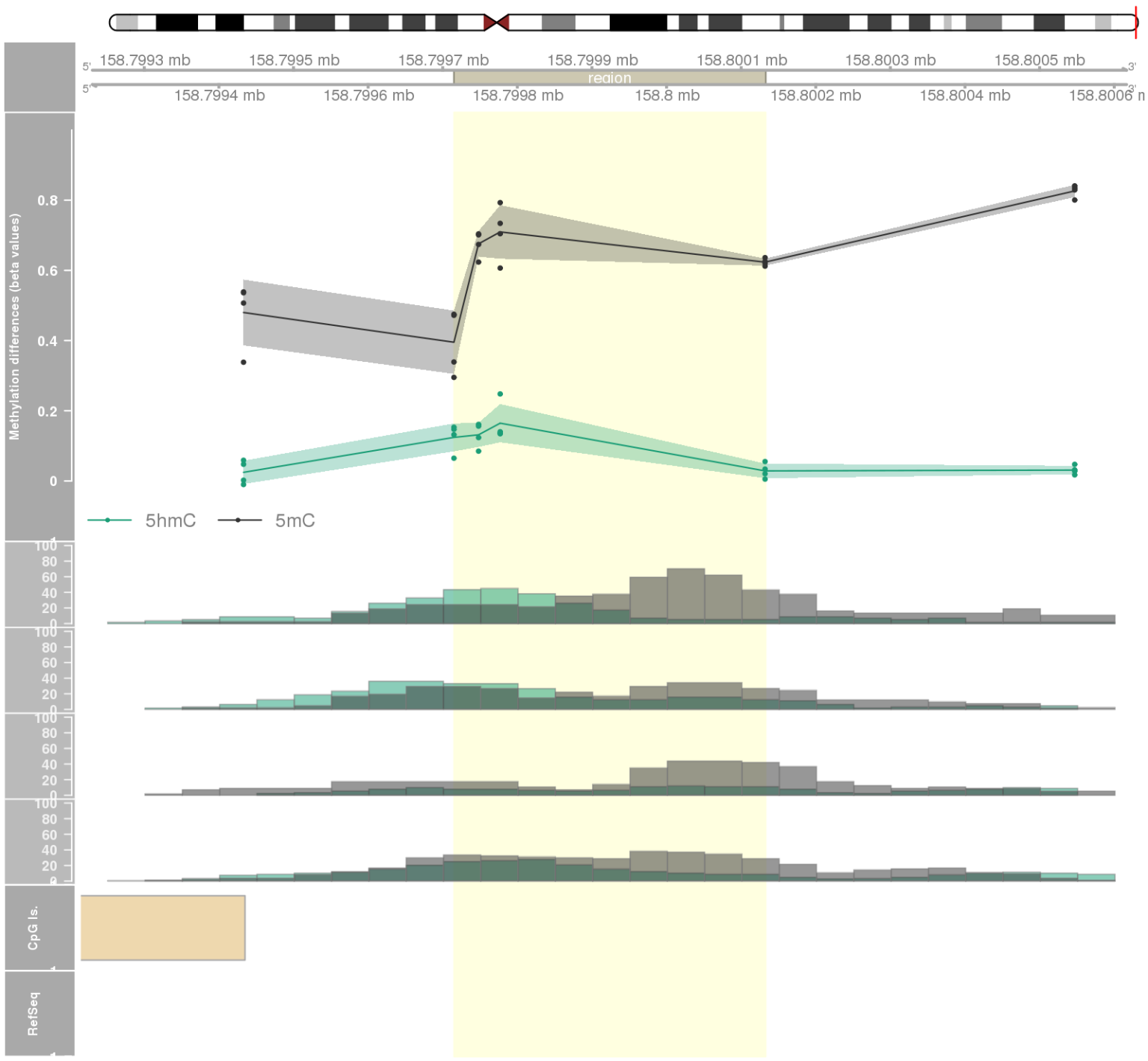
DMR 455 // chr13:43596577-43597331 // 754 pb. (5 probes) // pvalue: 0.023 // fwer: 1 // pvalueArea: 0.045 // fwerArea: 1



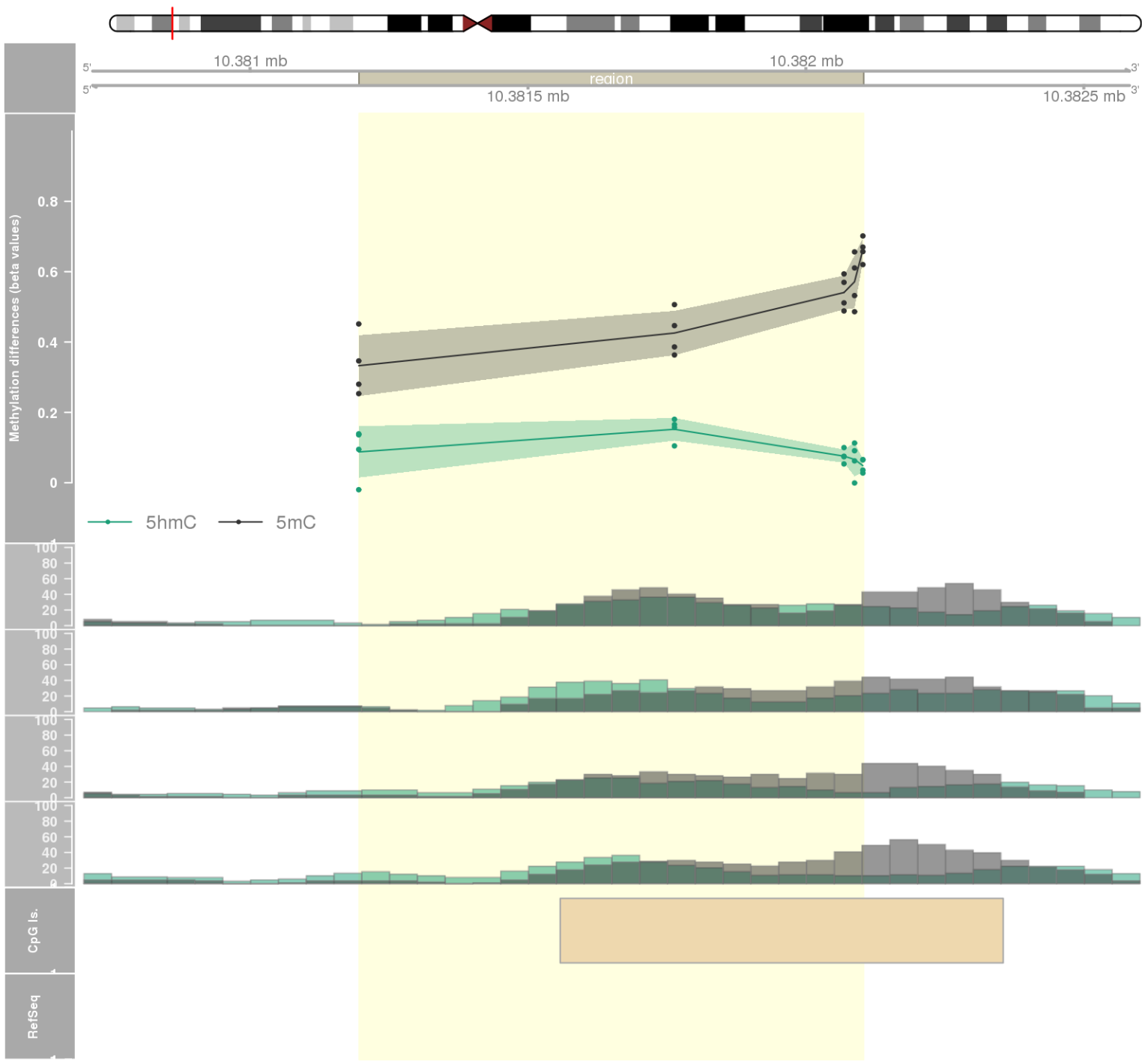
DMR 456 // chr1:40783185-40783264 // 79 pb. (3 probes) // pvalue: 0.006 // fwer: 1 // pvalueArea: 0.045 // fwerArea: 1
- genes: COL9A2 -



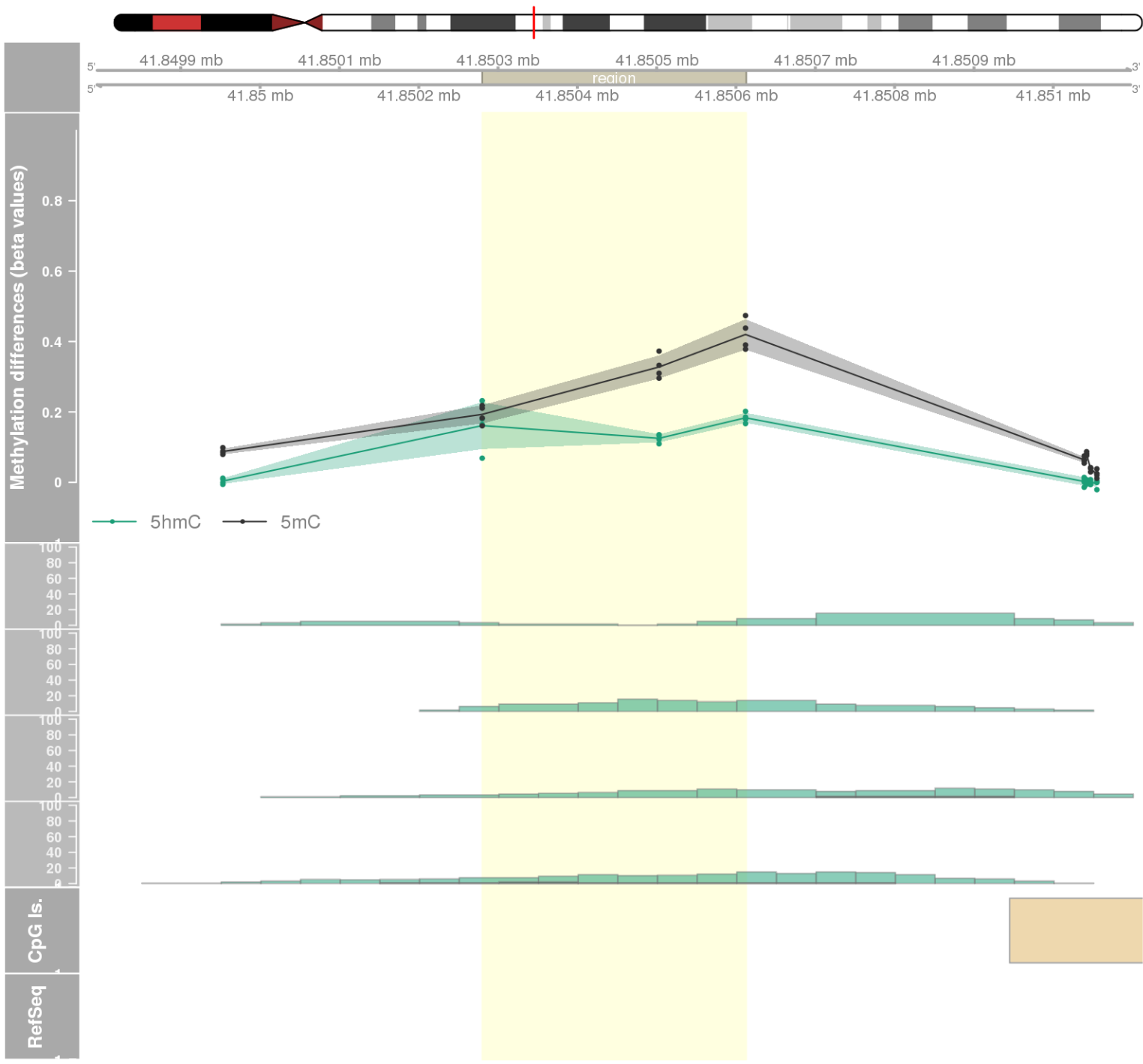
DMR 457 // chr7:158799715-158800132 // 417 pb. (4 probes) // pvalue: 0.013 // fwer: 1 // pvalueArea: 0.045 // fwerArea: 1
- genes: LINC00689 -

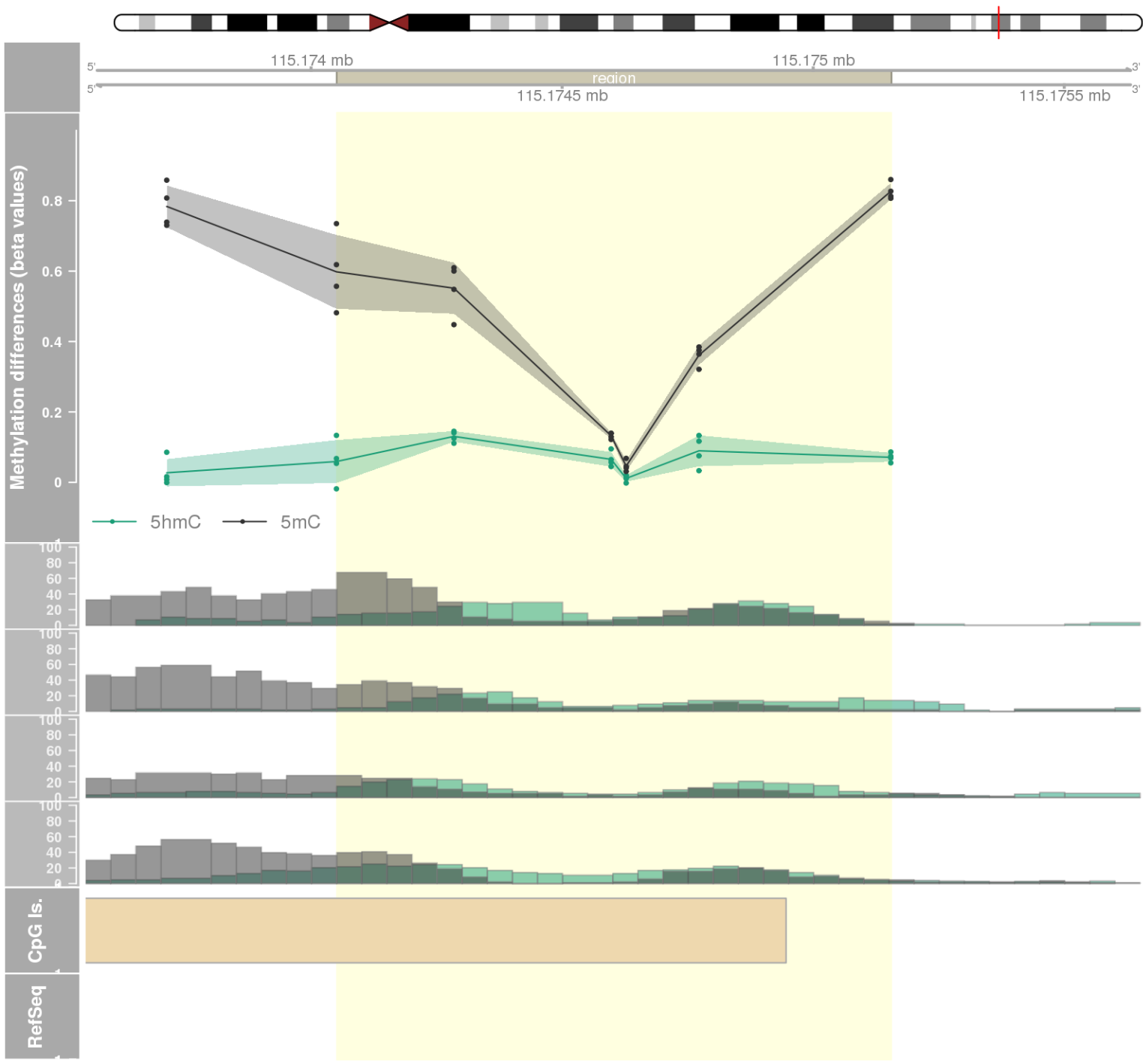


DMR 458 // chr6:10381196-10382103 // 907 pb. (5 probes) // pvalue: 0.023 // fwer: 1 // pvalueArea: 0.045 // fwerArea: 1

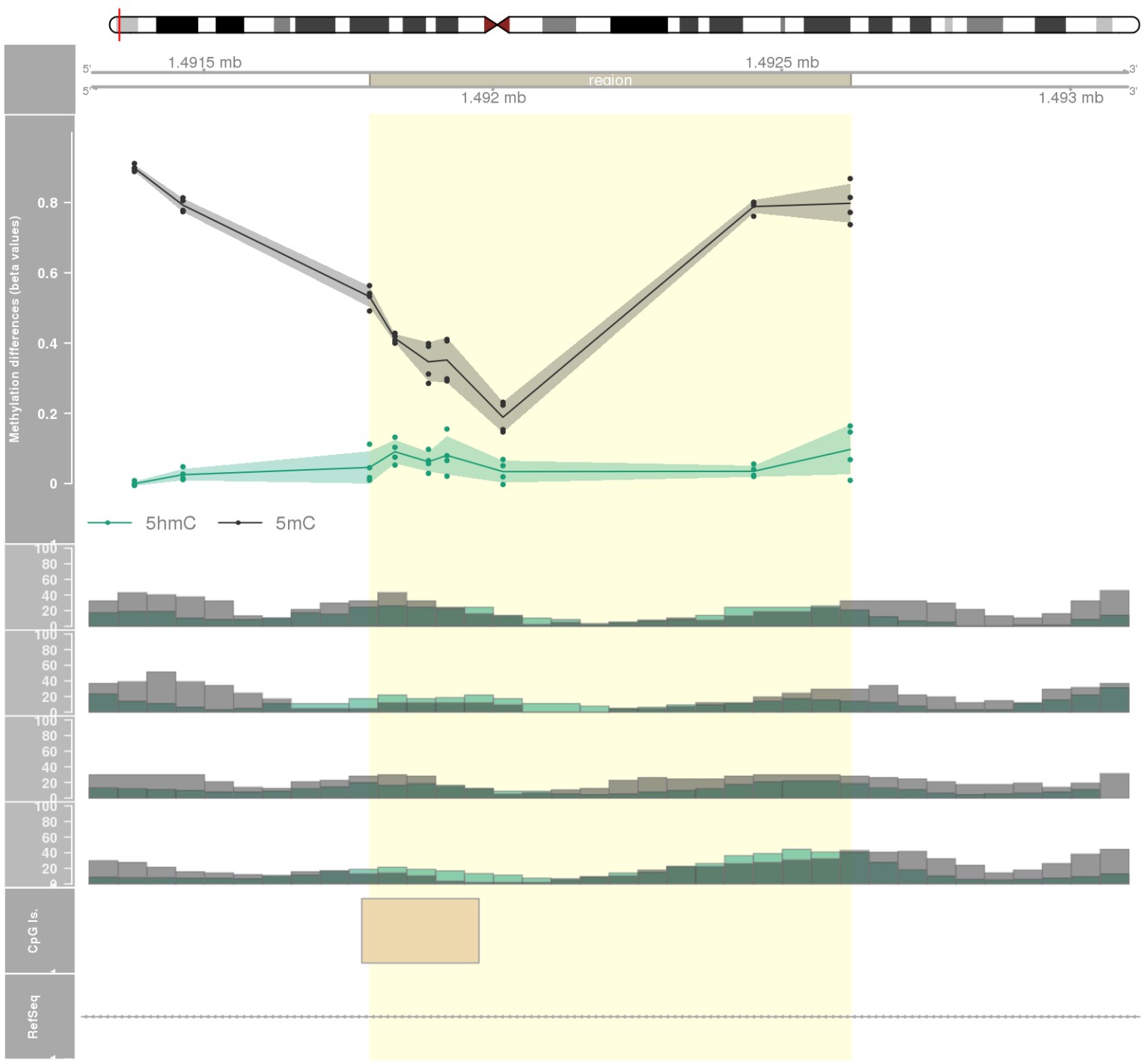


DMR 459 // chr15:41850280-41850612 // 332 pb. (3 probes) // pvalue: 0.006 // fwer: 1 // pvalueArea: 0.045 // fwerArea: 1
- genes: TYRO3 -

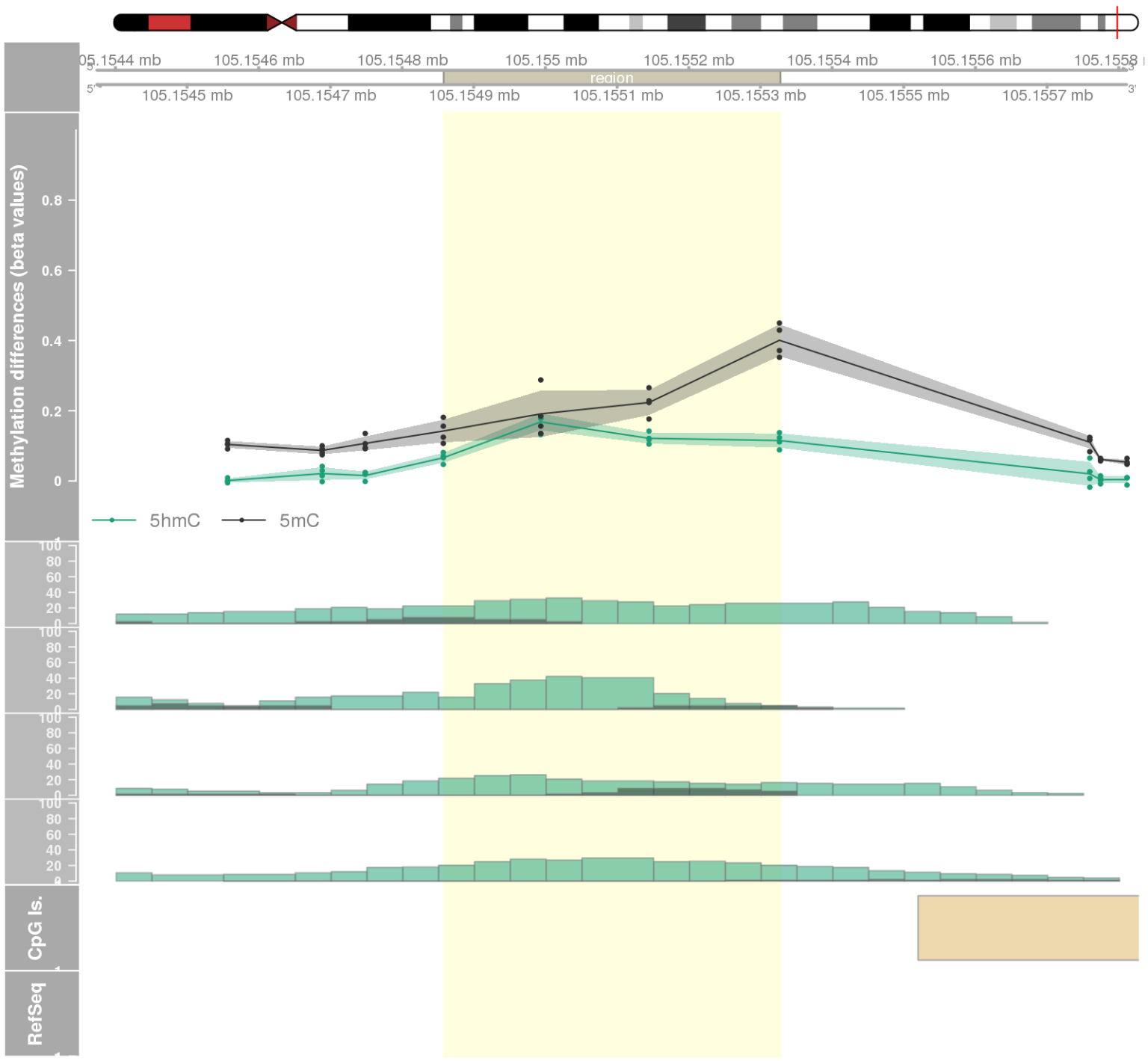




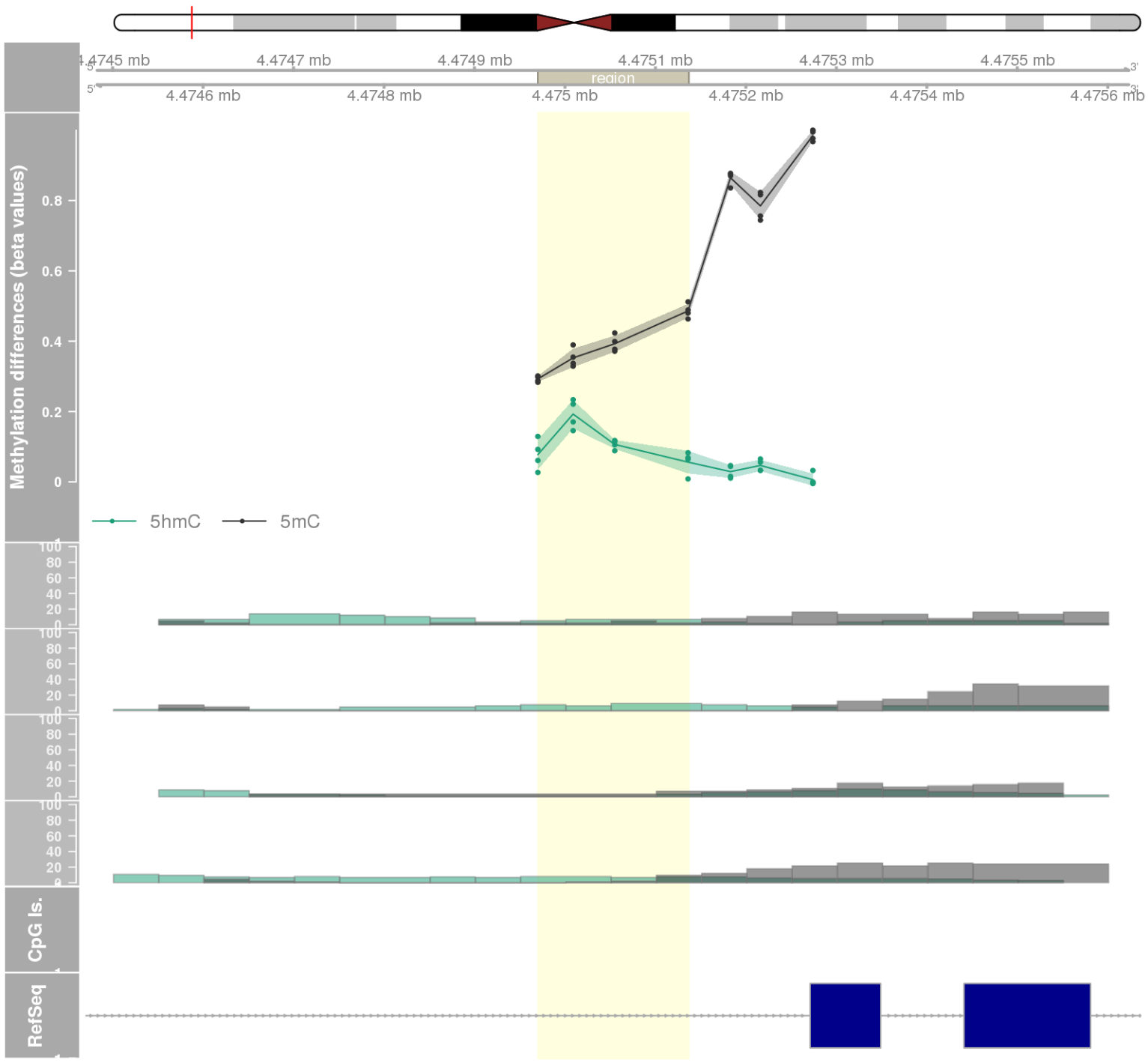
DMR 461 // chr7:1491787-1492619 // 832 pb. (7 probes) // pvalue: 0.02 // fwer: 1 // pvalueArea: 0.045 // fwerArea: 1
- genes: MICALL2 -



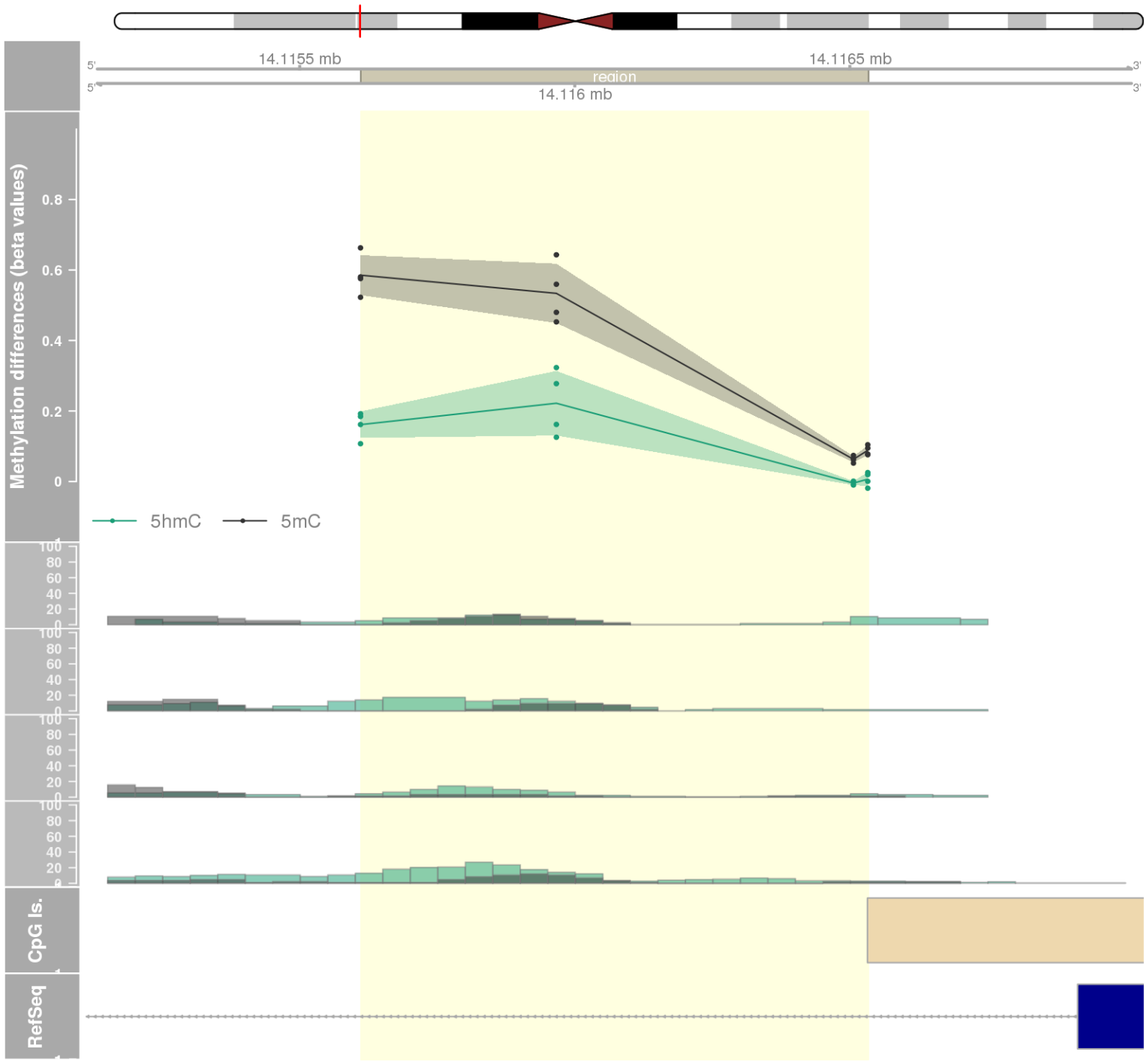
DMR 462 // chr14:105154858-105155327 // 469 pb. (4 probes) // pvalue: 0.014 // fwer: 1 // pvalueArea: 0.045 // fwerArea: 1



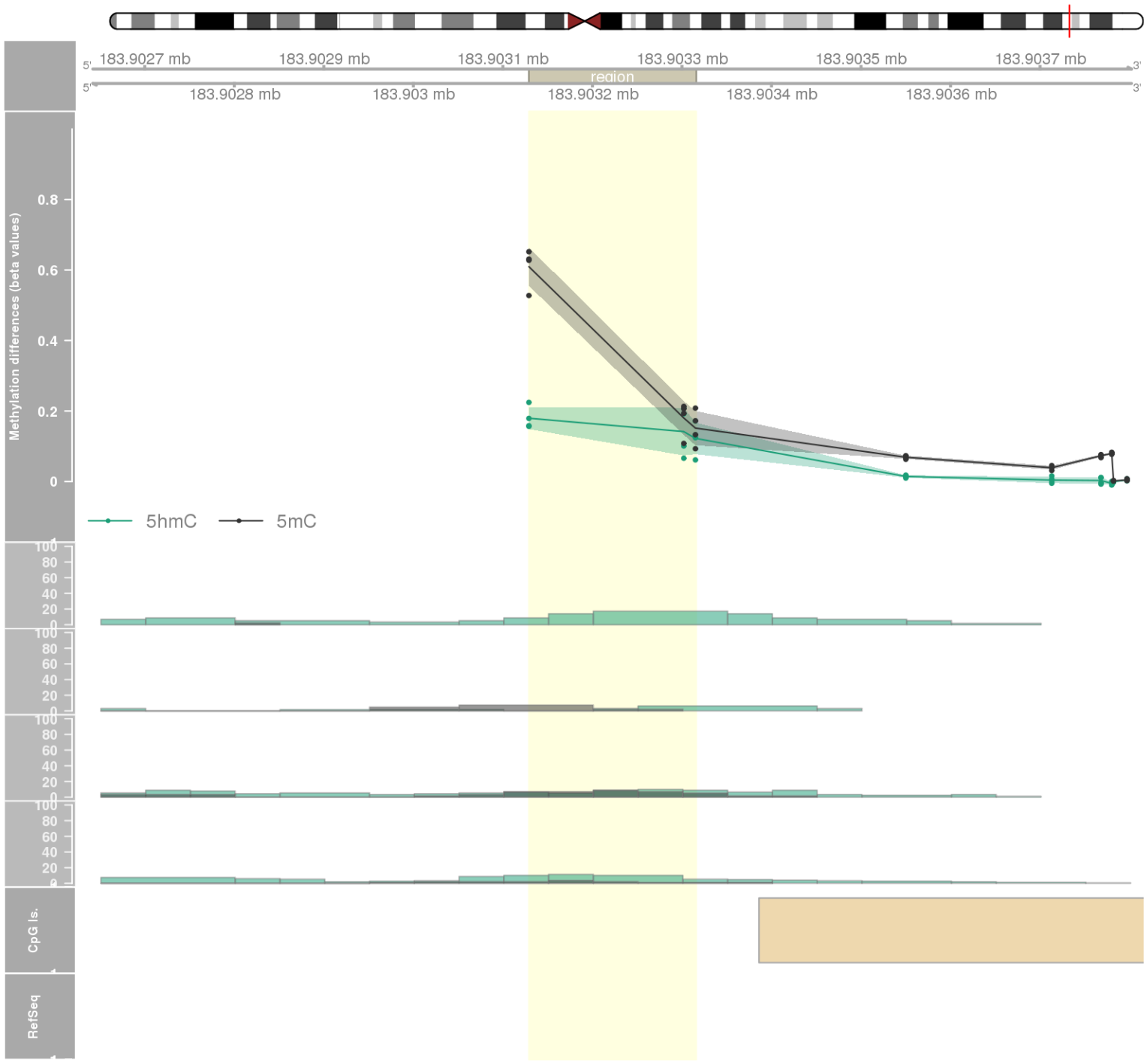
DMR 463 // chr19:4474970-4475136 // 166 pb. (4 probes) // pvalue: 0.014 // fwer: 1 // pvalueArea: 0.046 // fwerArea: 1



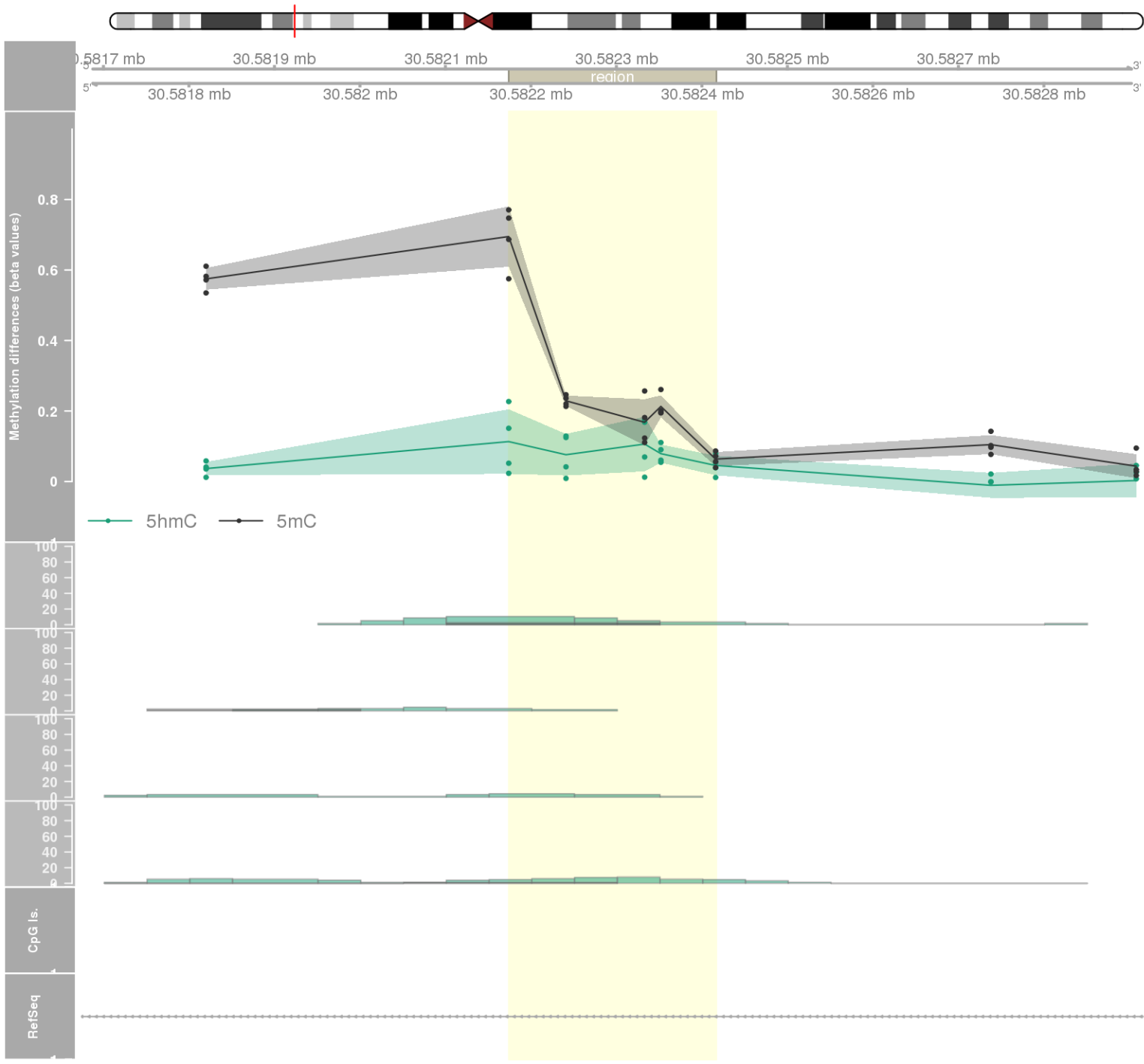
DMR 464 // chr19:14115611-14116533 // 922 pb. (4 probes) // pvalue: 0.006 // fwer: 1 // pvalueArea: 0.046 // fwerArea: 1
- genes: RFX1 -



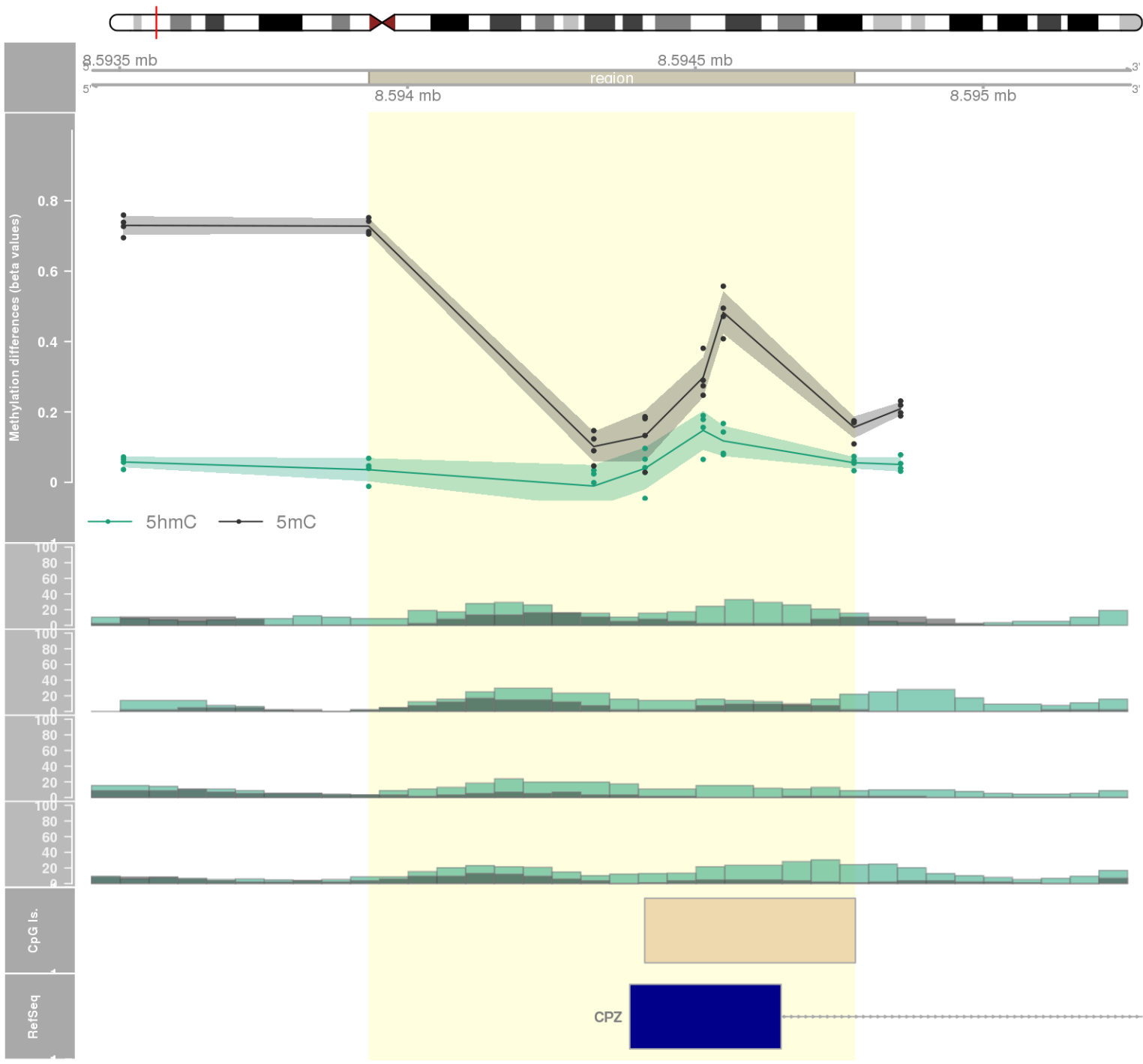
DMR 465 // chr3:183903129-183903315 // 186 pb. (3 probes) // pvalue: 0.006 // fwer: 1 // pvalueArea: 0.046 // fwerArea: 1
- genes: EIF2B5 -



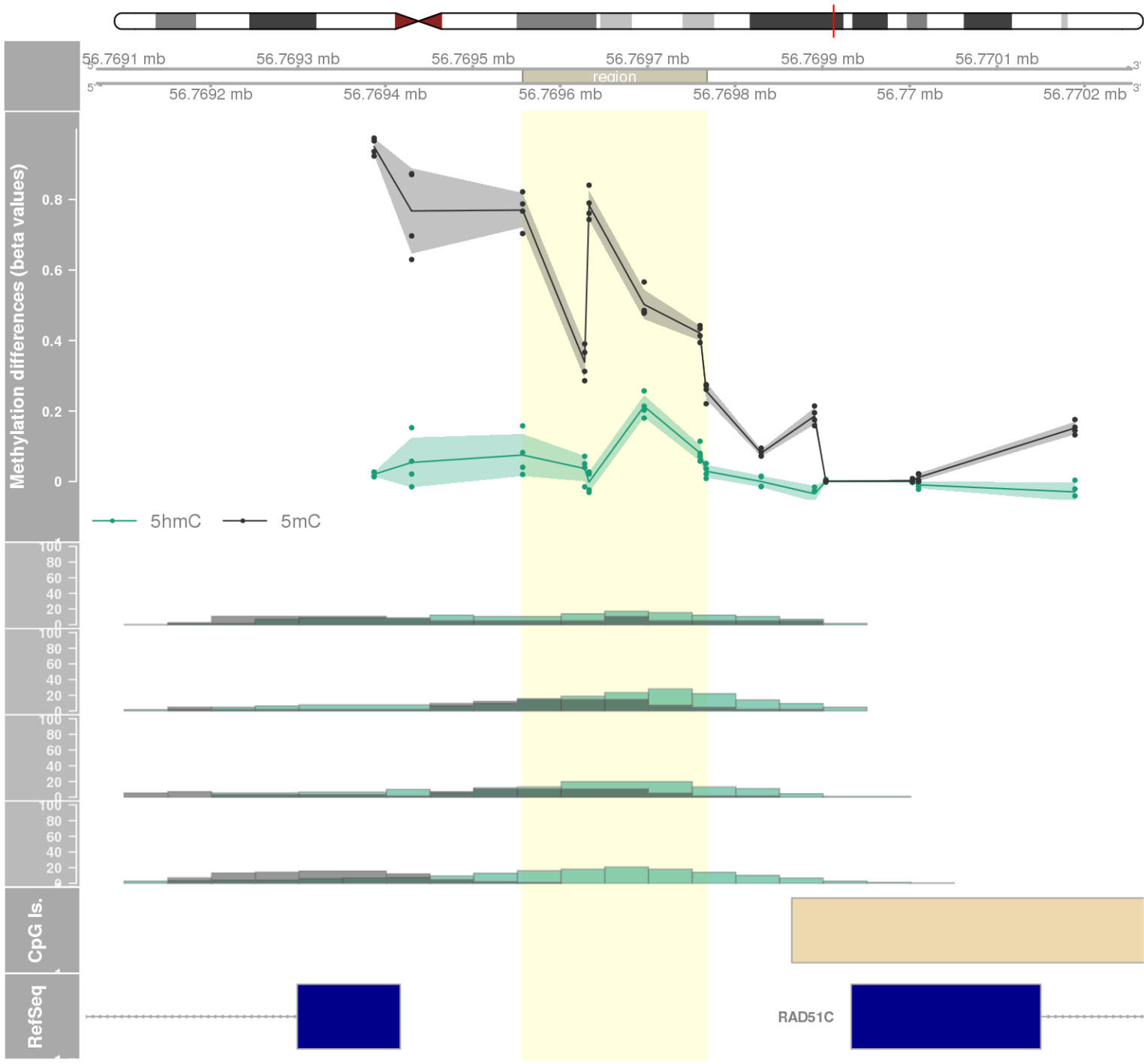
DMR 466 // chr6:30582174-30582416 // 242 pb. (5 probes) // pvalue: 0.023 // fwer: 1 // pvalueArea: 0.046 // fwerArea: 1
- genes: PPP1R10 -



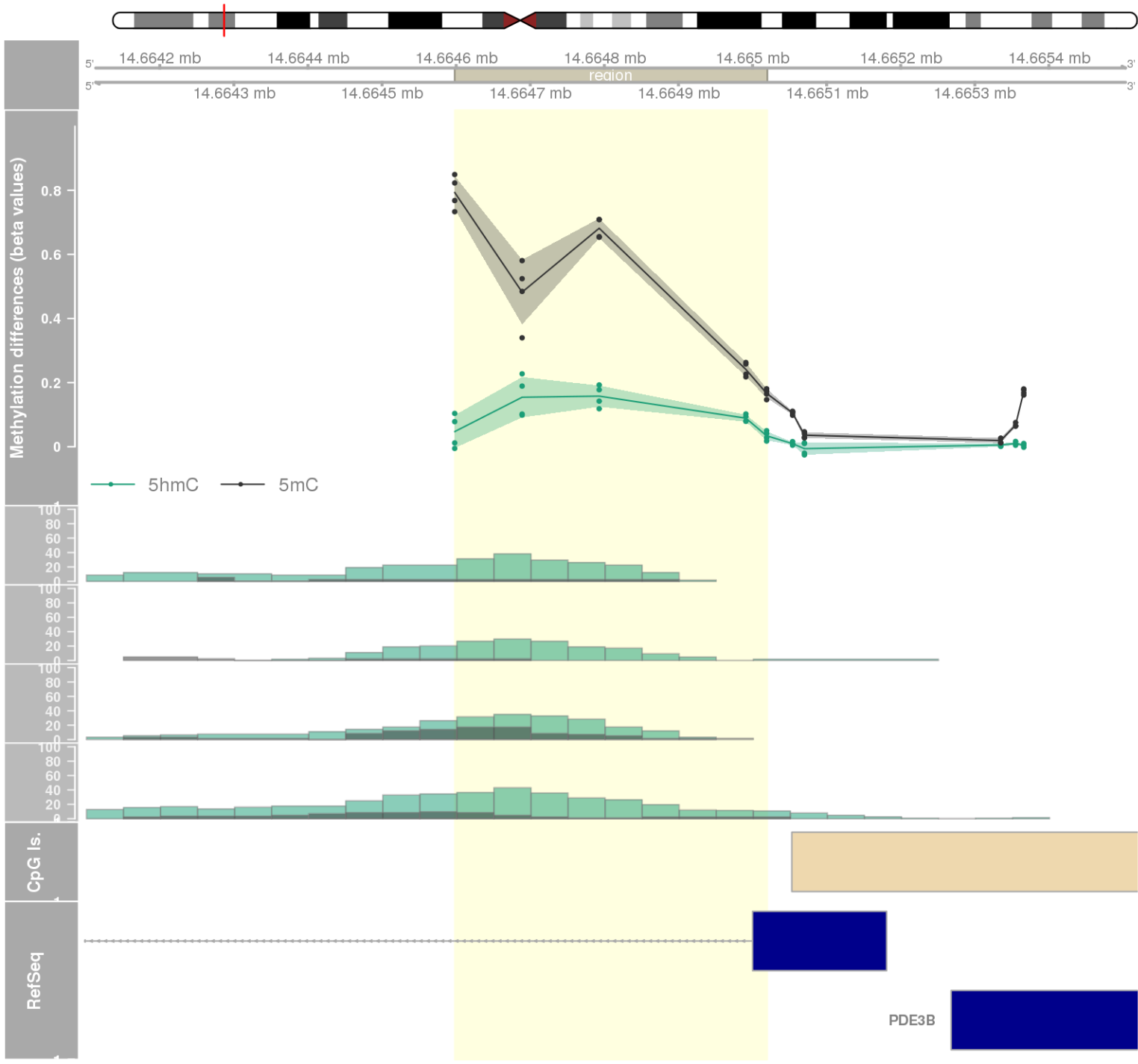
DMR 467 // chr4:8593933-8594776 // 843 pb. (6 probes) // pvalue: 0.024 // fwer: 1 // pvalueArea: 0.046 // fwerArea: 1
- genes: GPR78 / CPZ -



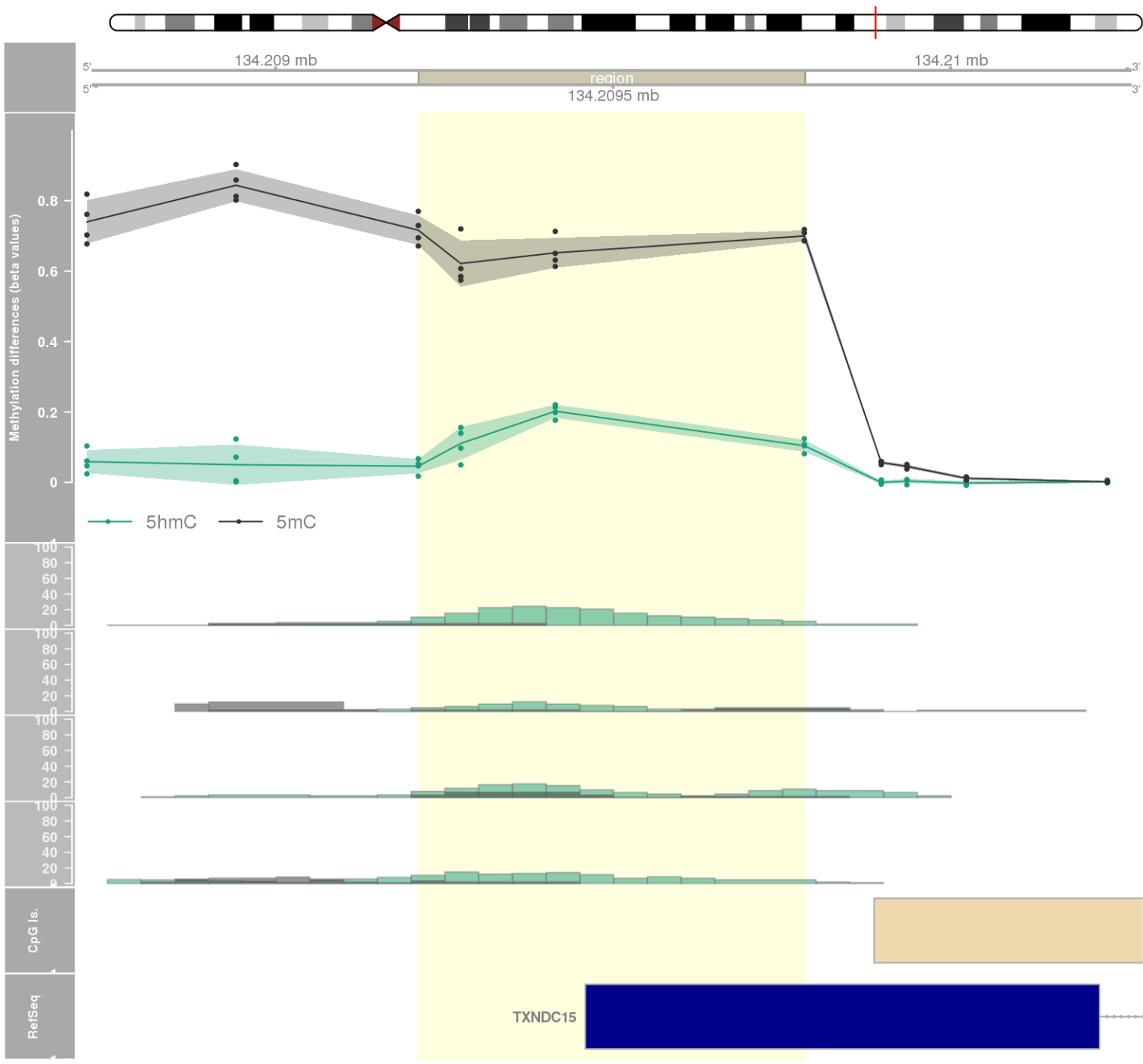
DMR 468 // chr17:56769557-56769767 // 210 pb. (6 probes) // pvalue: 0.024 // fwer: 1 // pvalueArea: 0.046 // fwerArea: 1



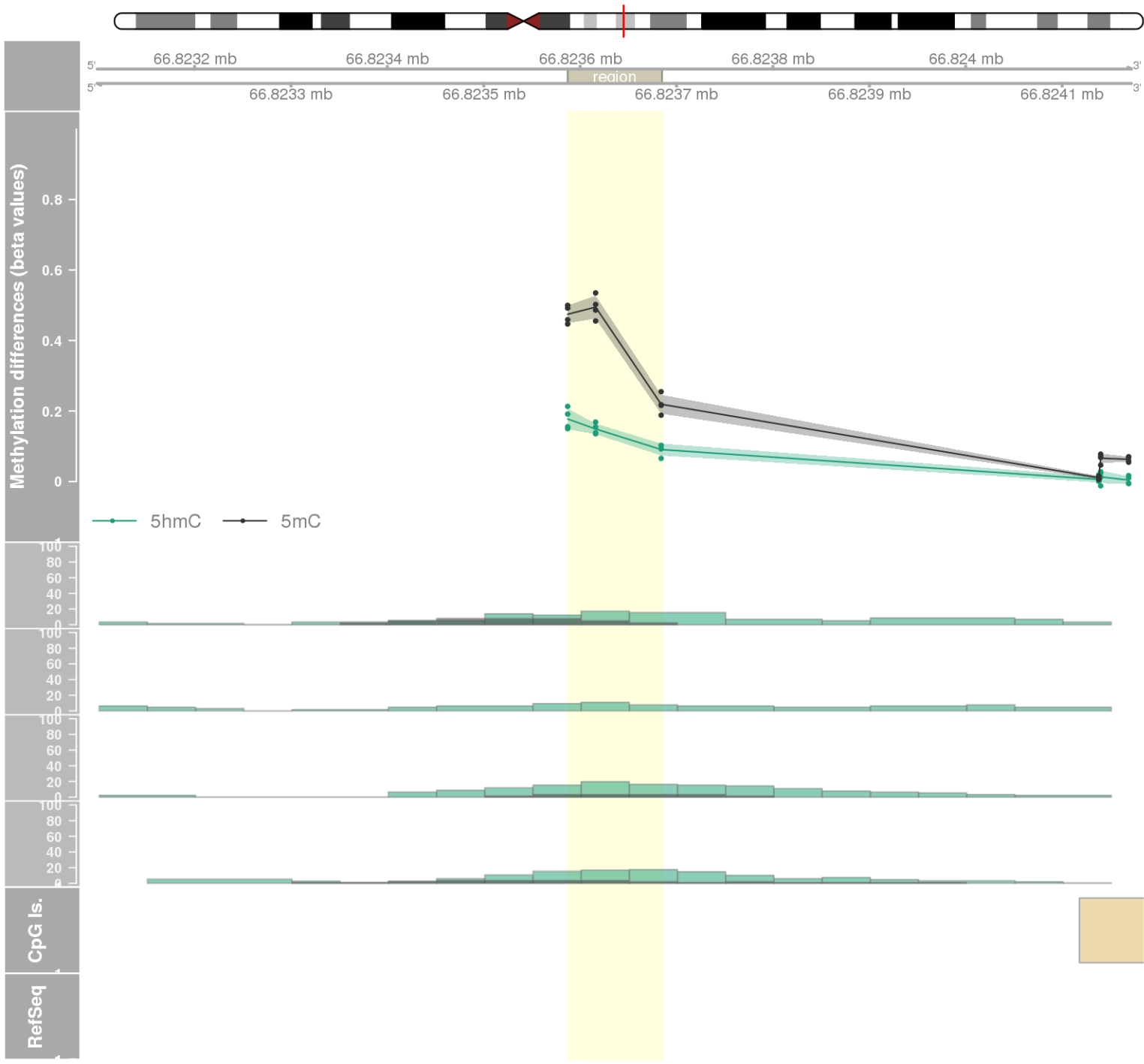
DMR 469 // chr11:14664598-14665019 // 421 pb. (5 probes) // pvalue: 0.024 // fwer: 1 // pvalueArea: 0.046 // fwerArea: 1
- genes: PSMA1 -



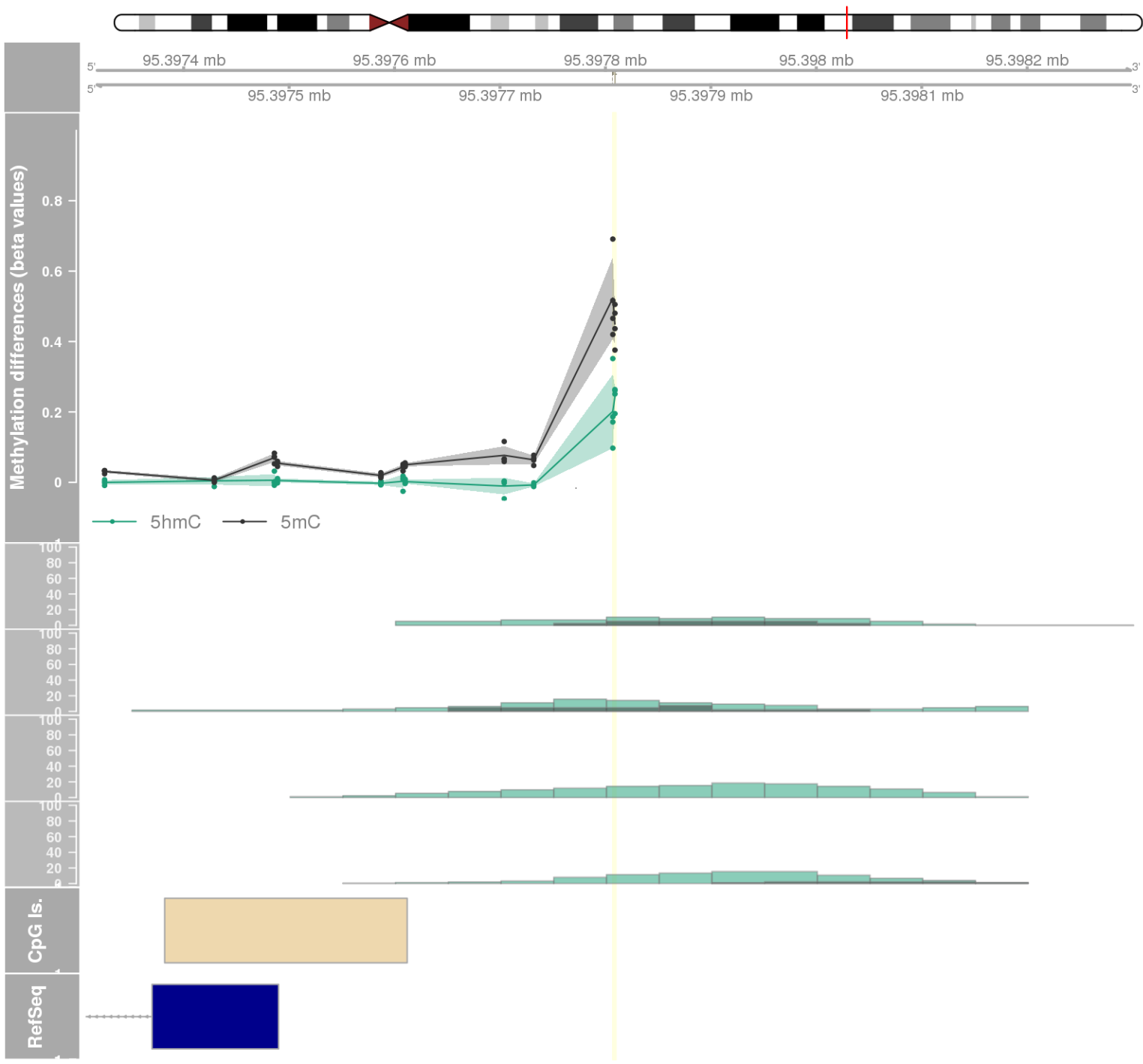
DMR 470 // chr5:134209212-134209784 // 572 pb. (4 probes) // pvalue: 0.014 // fwer: 1 // pvalueArea: 0.046 // fwerArea: 1
- genes: TXNDC15 -



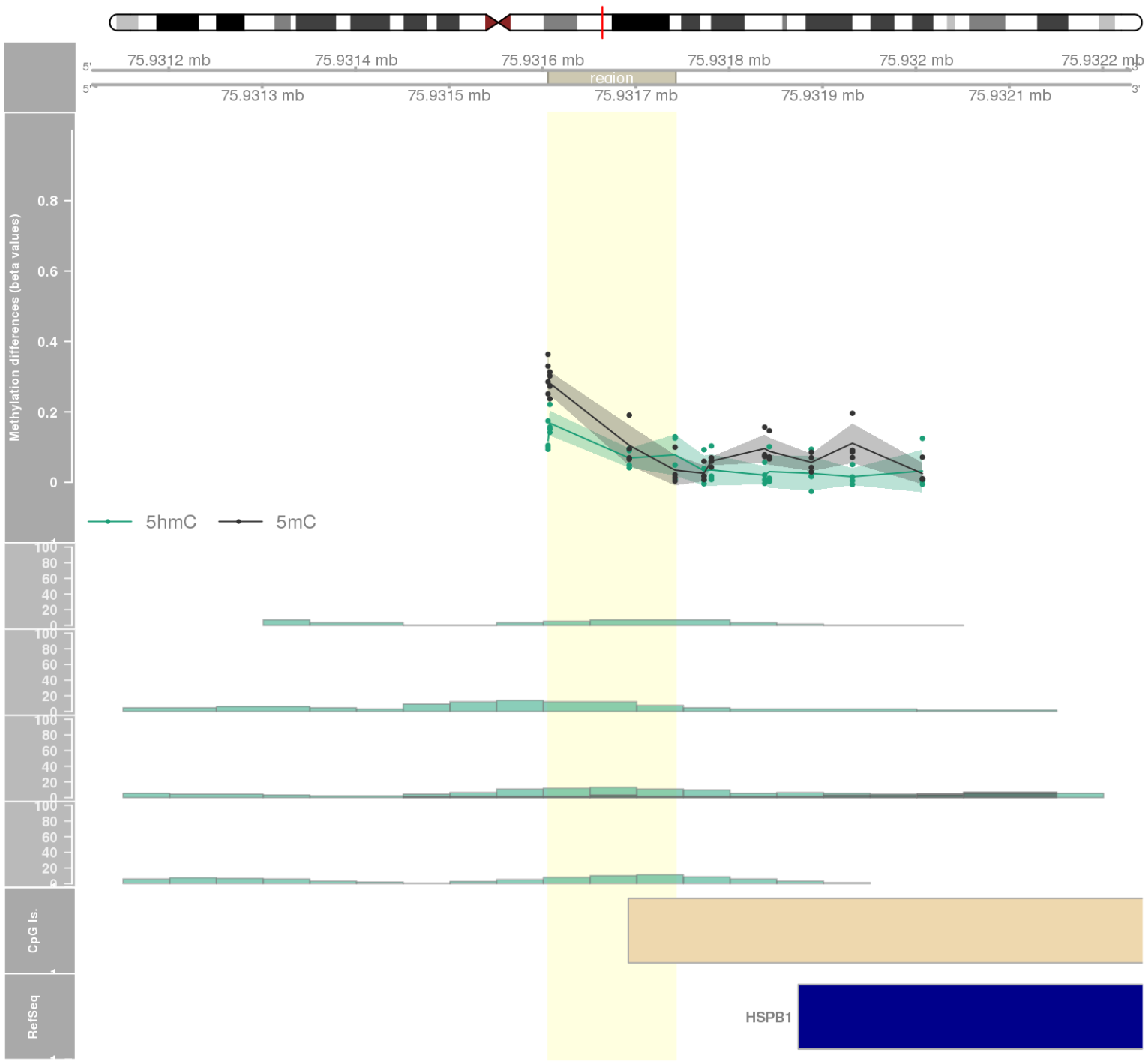
DMR 471 // chr11:66823587-66823684 // 97 pb. (3 probes) // pvalue: 0.006 // fwer: 1 // pvalueArea: 0.047 // fwerArea: 1



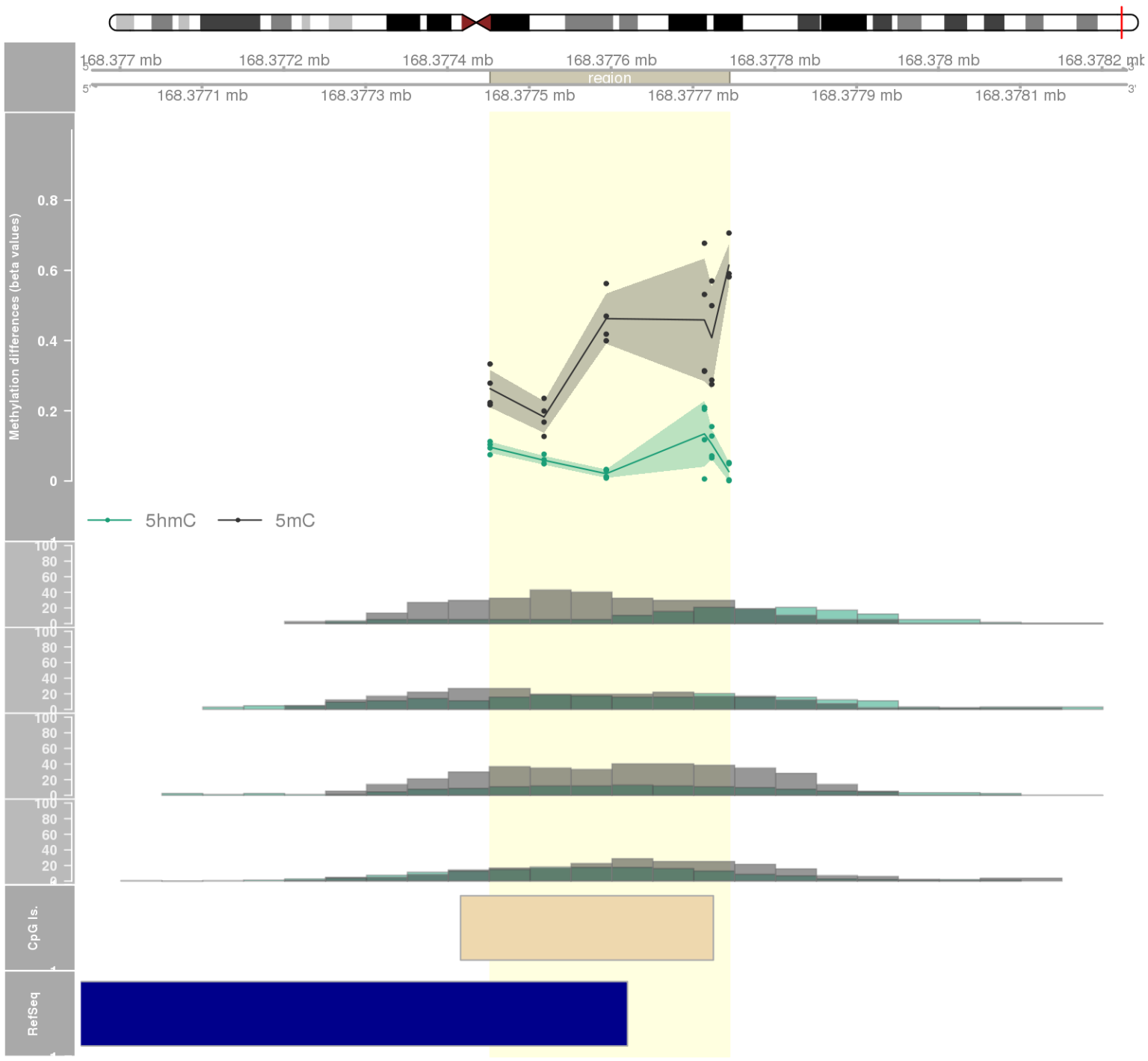
DMR 472 // chr12:95397807-95397809 // 2 pb. (2 probes) // pvalue: 0.003 // fwer: 1 // pvalueArea: 0.047 // fwerArea: 1



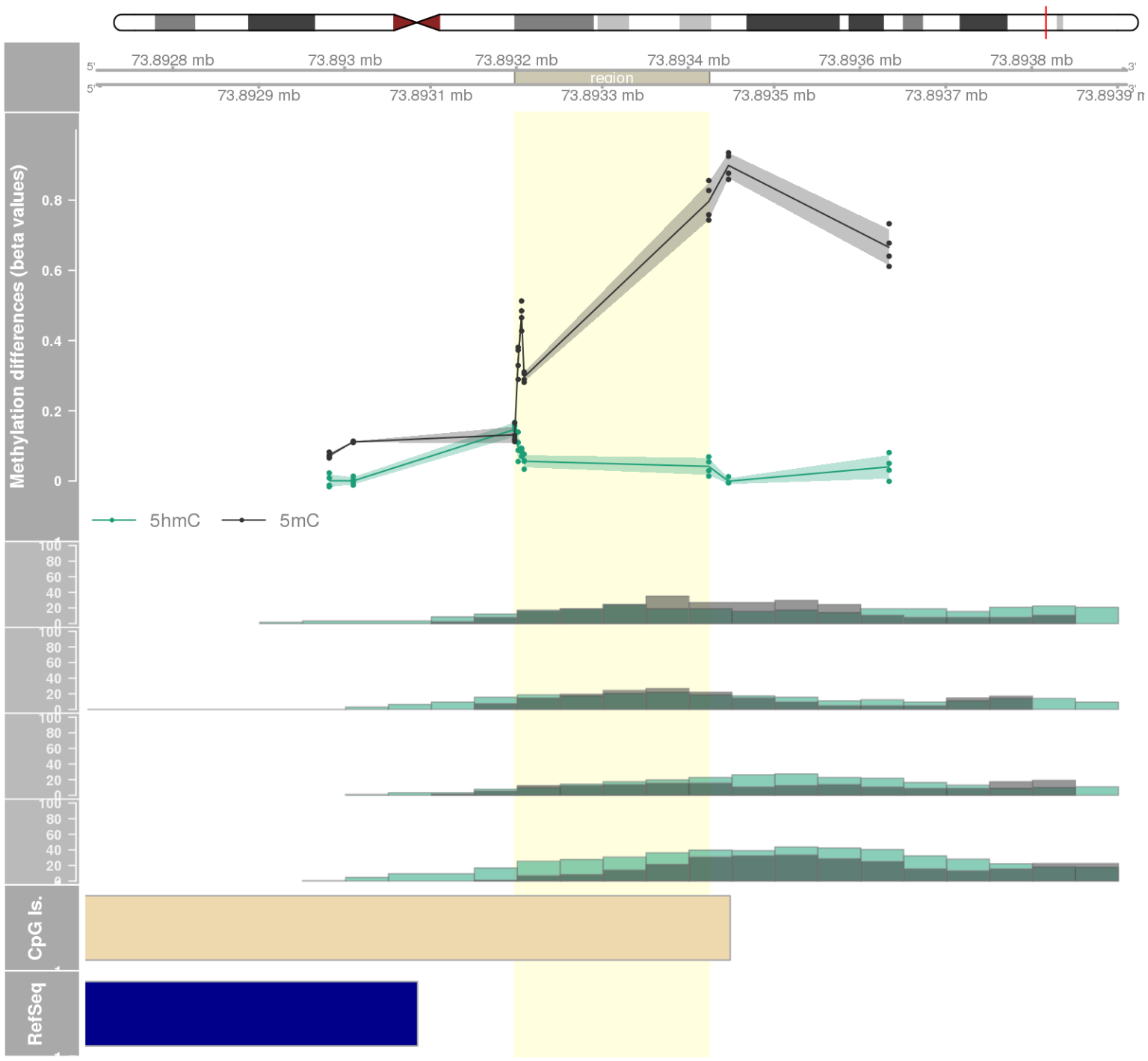
DMR 473 // chr7:75931606-75931742 // 136 pb. (4 probes) // pvalue: 0.015 // fwer: 1 // pvalueArea: 0.047 // fwerArea: 1



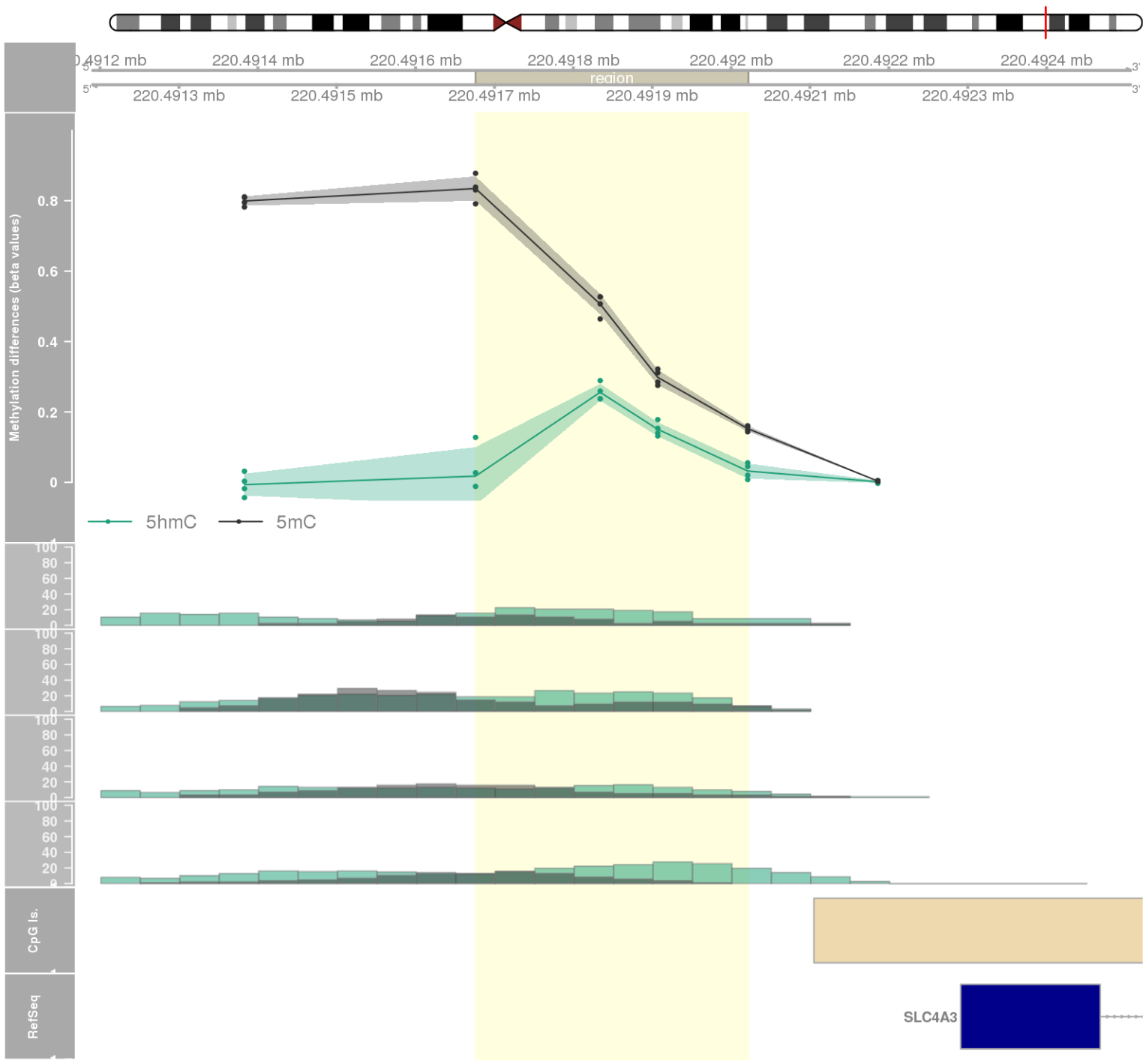
DMR 474 // chr6:168377452-168377744 // 292 pb. (6 probes) // pvalue: 0.026 // fwer: 1 // pvalueArea: 0.047 // fwerArea: 1



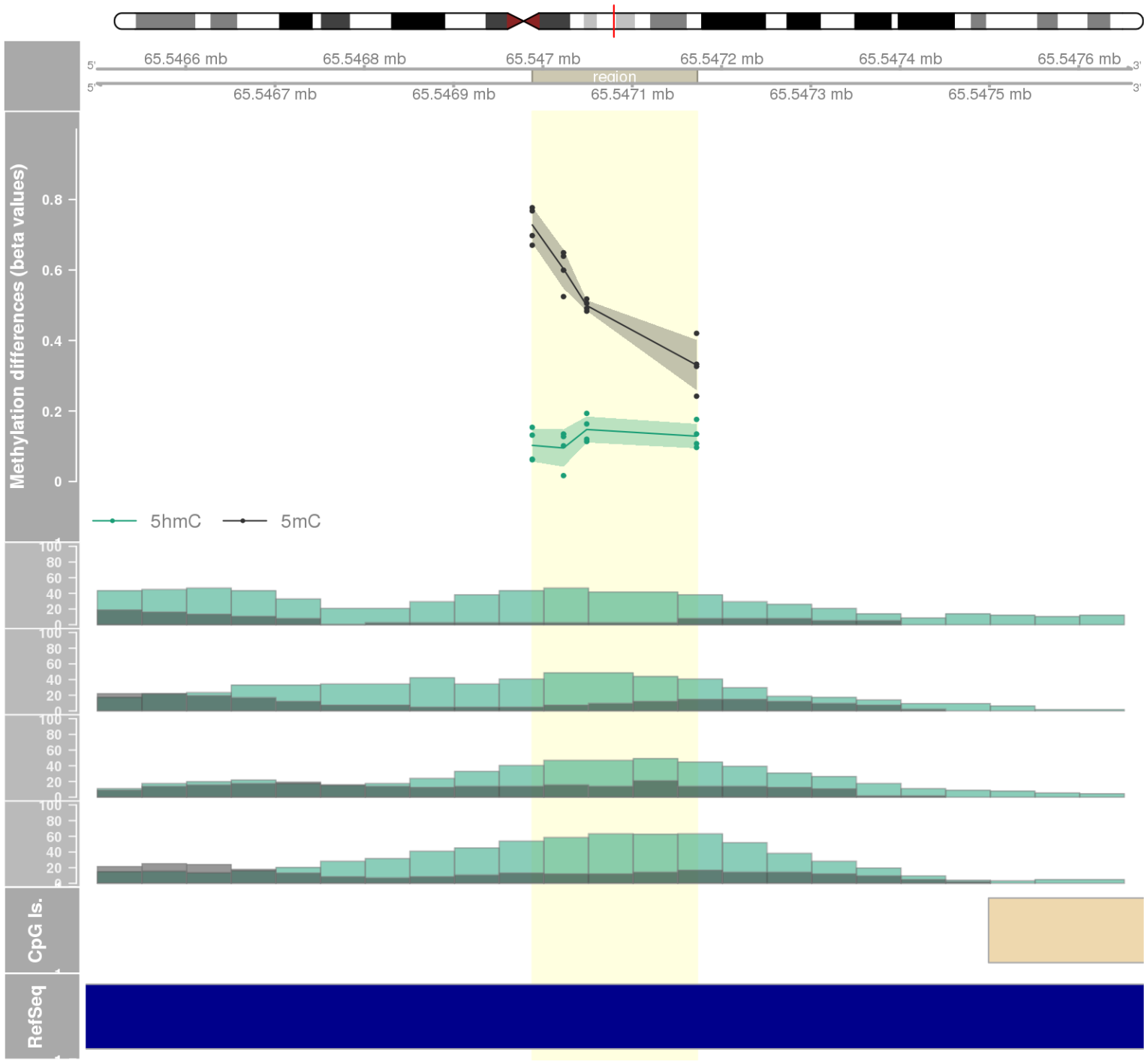
DMR 475 // chr17:73893198-73893424 // 226 pb. (5 probes) // pvalue: 0.024 // fwer: 1 // pvalueArea: 0.047 // fwerArea: 1



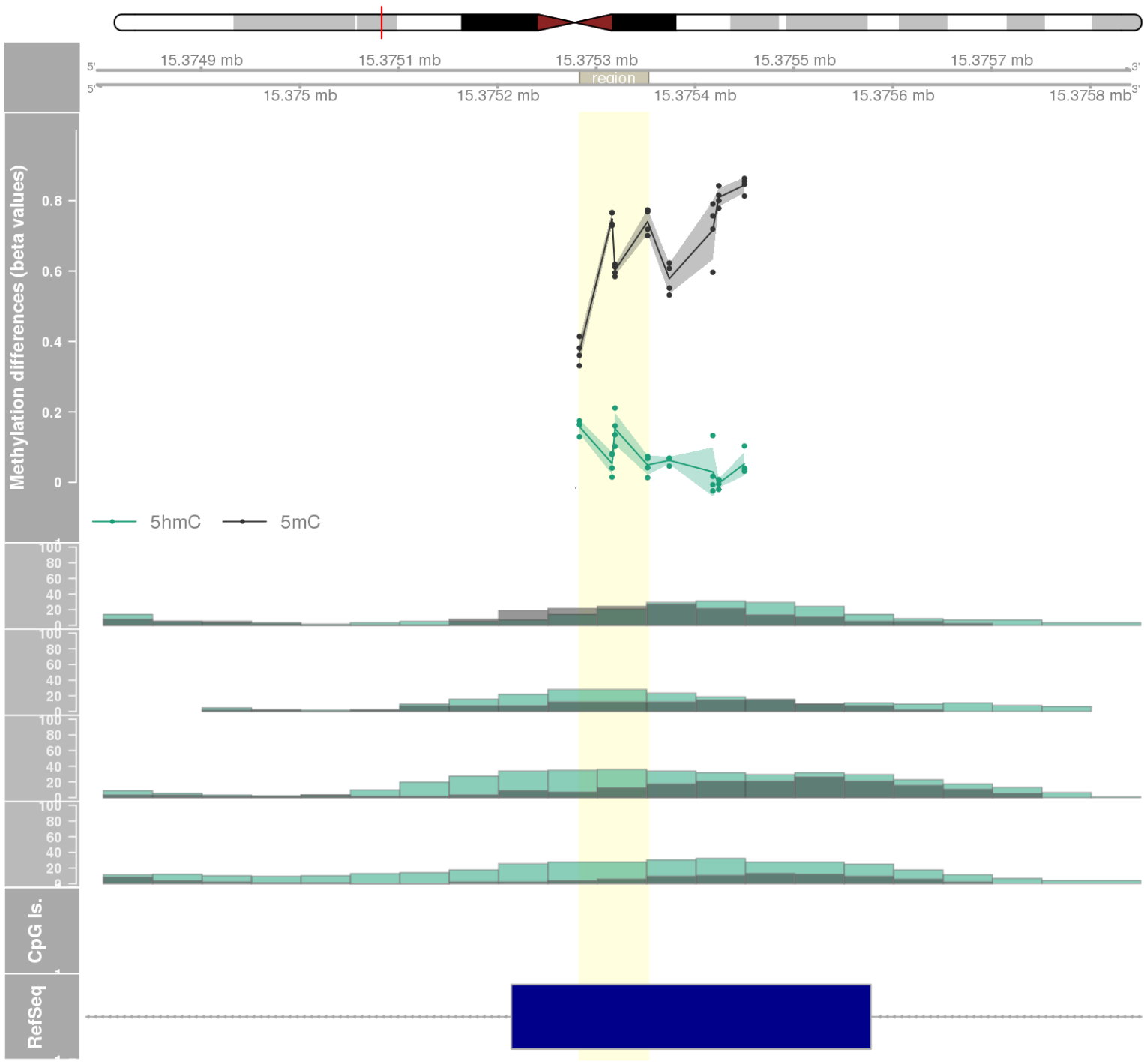
DMR 476 // chr2:220491676-220492021 // 345 pb. (4 probes) // pvalue: 0.015 // fwer: 1 // pvalueArea: 0.047 // fwerArea: 1



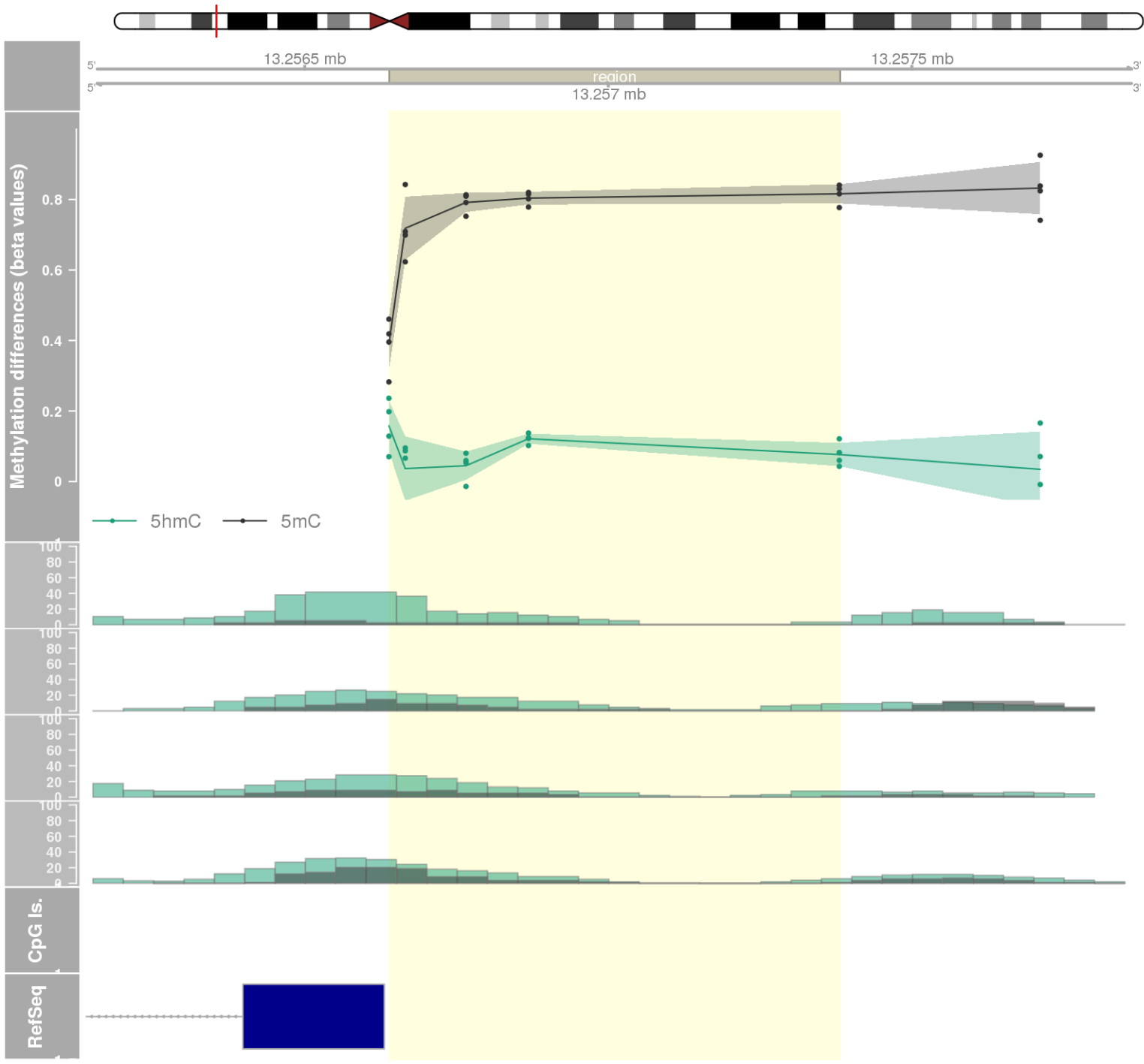
DMR 477 // chr11:65546988-65547172 // 184 pb. (4 probes) // pvalue: 0.015 // fwer: 1 // pvalueArea: 0.048 // fwerArea: 1
- genes: AP5B1 -



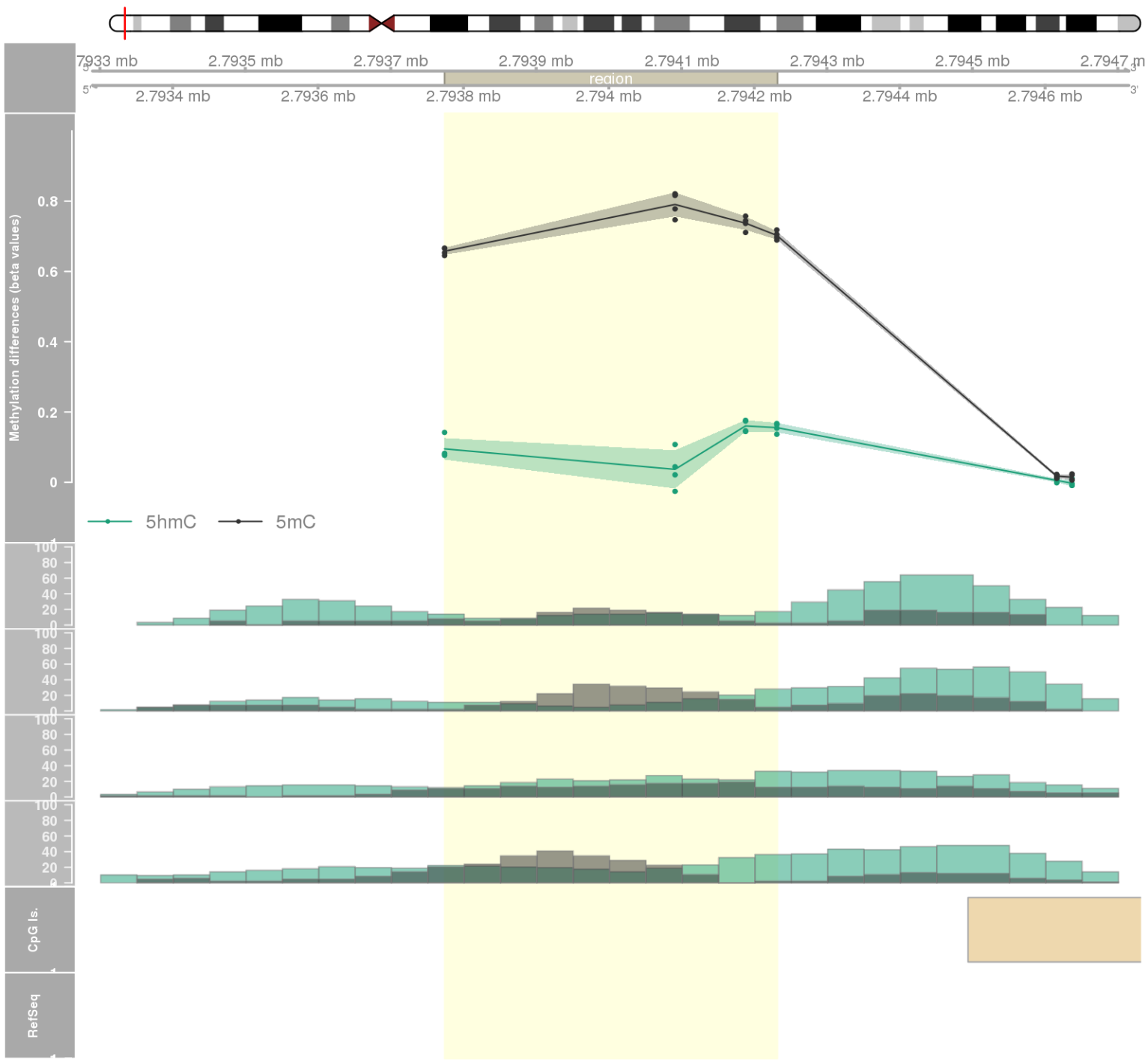
DMR 478 // chr19:15375283-15375352 // 69 pb. (4 probes) // pvalue: 0.016 // fwer: 1 // pvalueArea: 0.048 // fwerArea: 1
- genes: BRD4 -



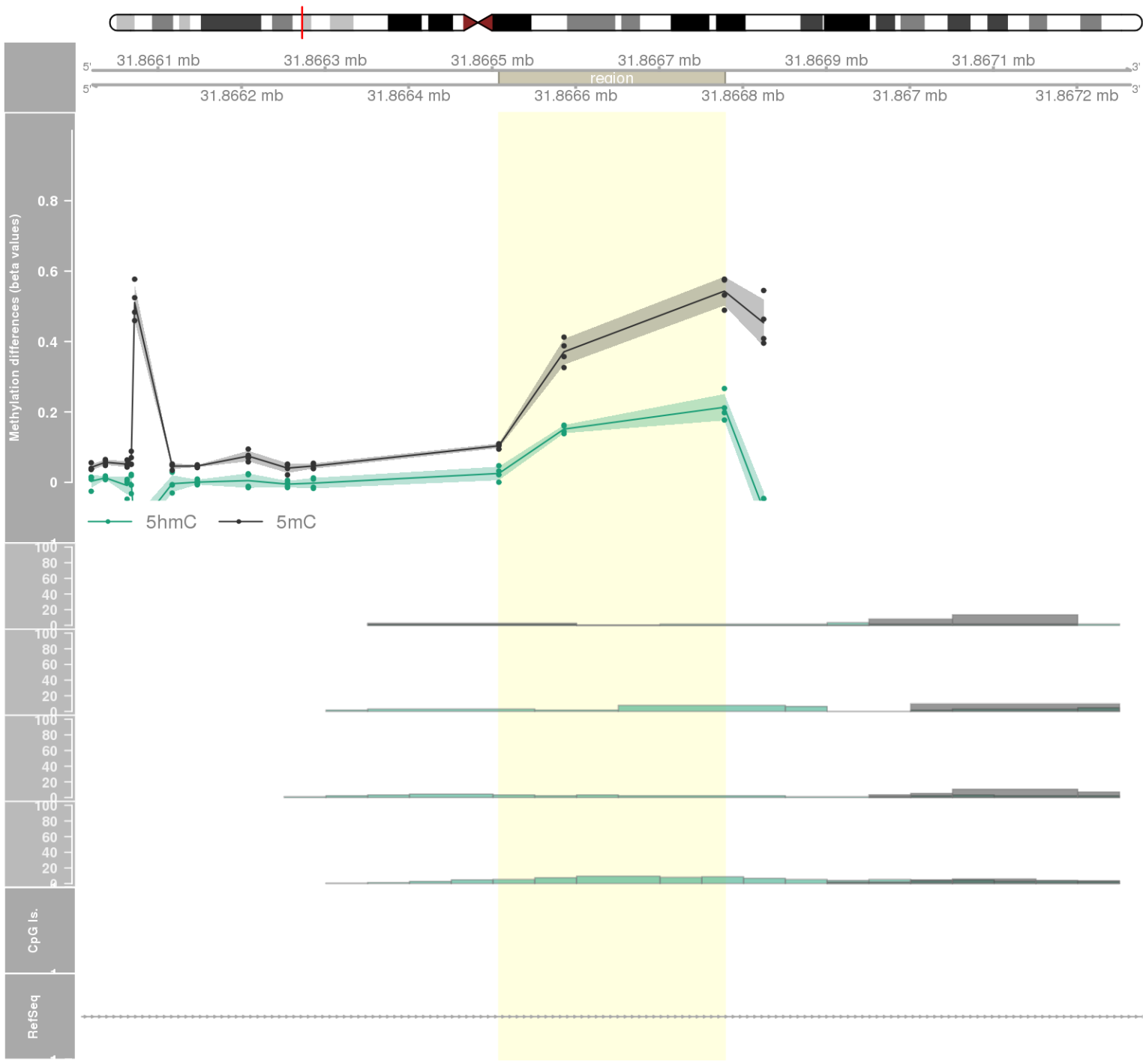
DMR 479 // chr12:13256639-13257381 // 742 pb. (5 probes) // pvalue: 0.025 // fwer: 1 // pvalueArea: 0.048 // fwerArea: 1
- genes: KIAA1467 -



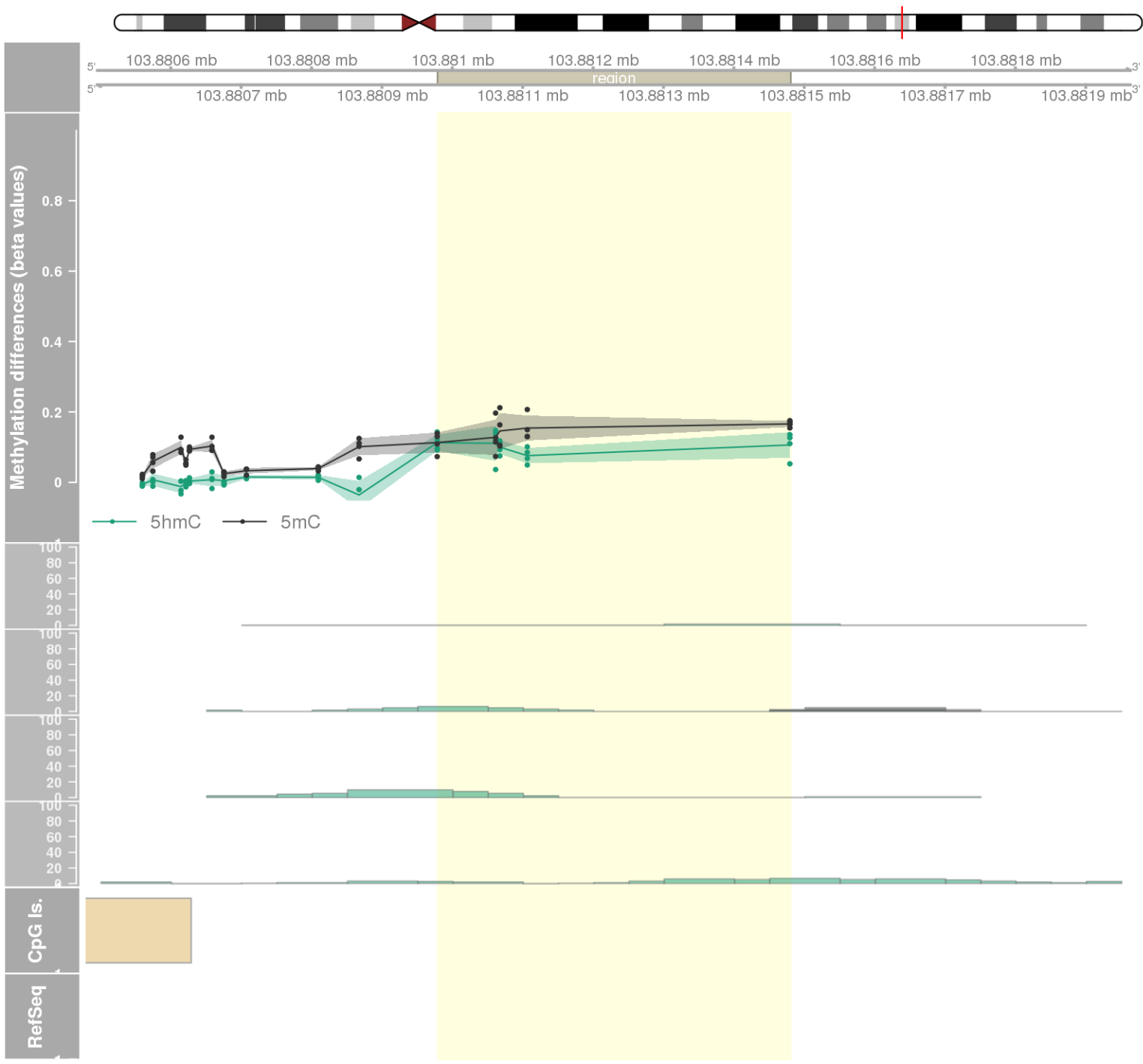
DMR 480 // chr4:2793774-2794231 // 457 pb. (4 probes) // pvalue: 0.016 // fwer: 1 // pvalueArea: 0.048 // fwerArea: 1



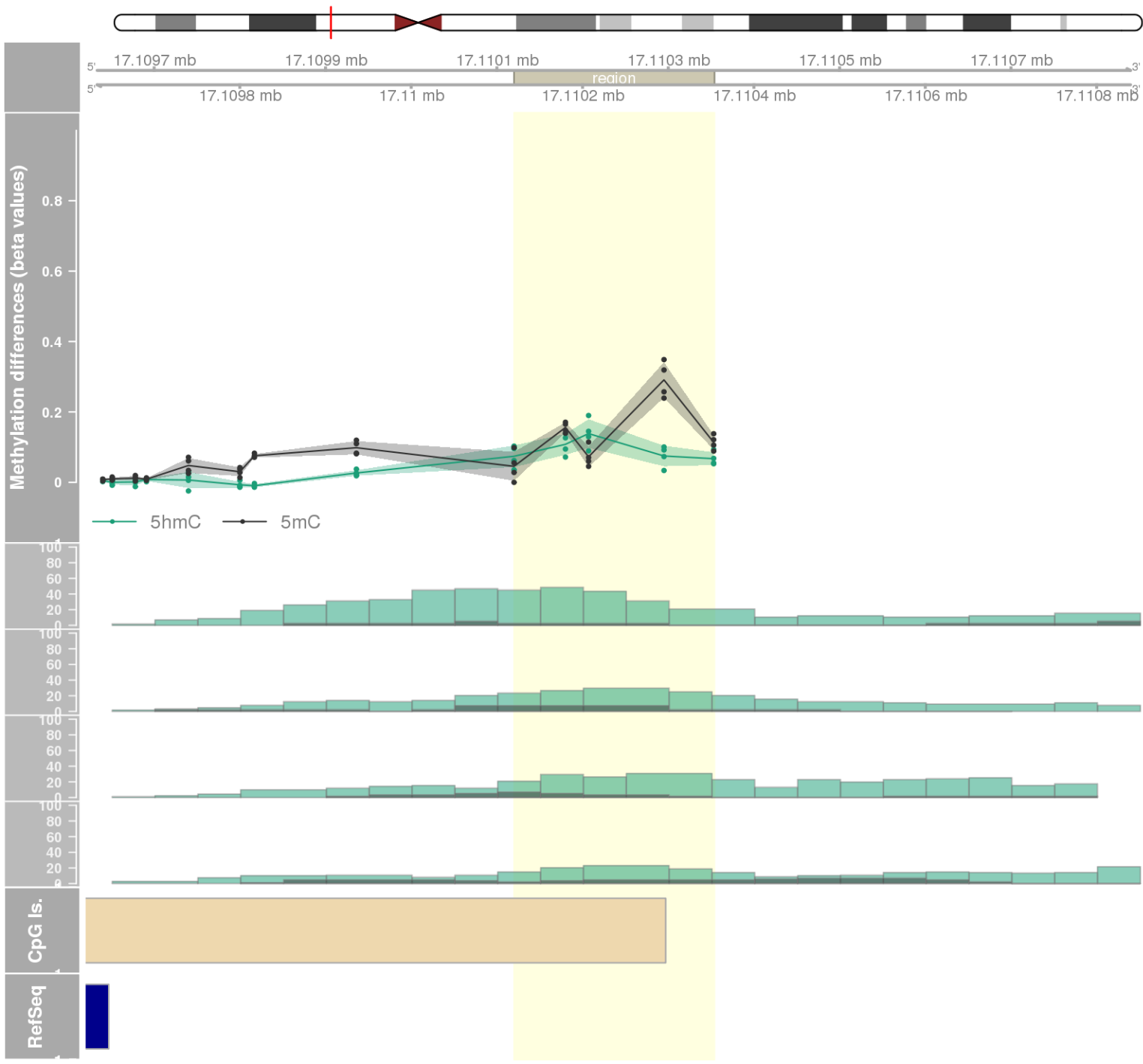
DMR 481 // chr6:31866508-31866778 // 270 pb. (3 probes) // pvalue: 0.007 // fwer: 1 // pvalueArea: 0.048 // fwerArea: 1
- genes: C2 -



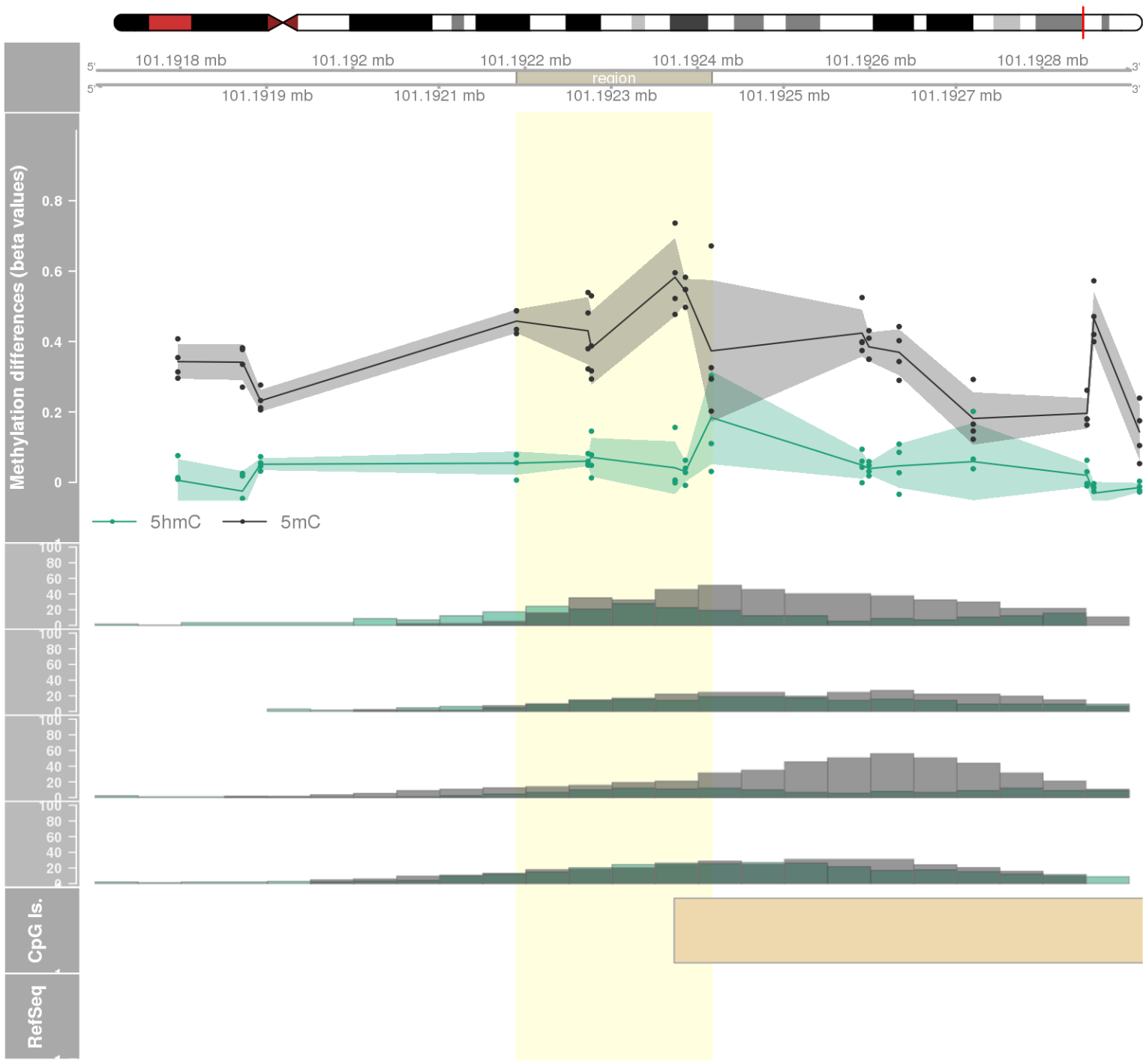
DMR 482 // chr10:103880979-103881480 // 501 pb. (5 probes) // pvalue: 0.025 // fwer: 1 // pvalueArea: 0.048 // fwerArea: 1



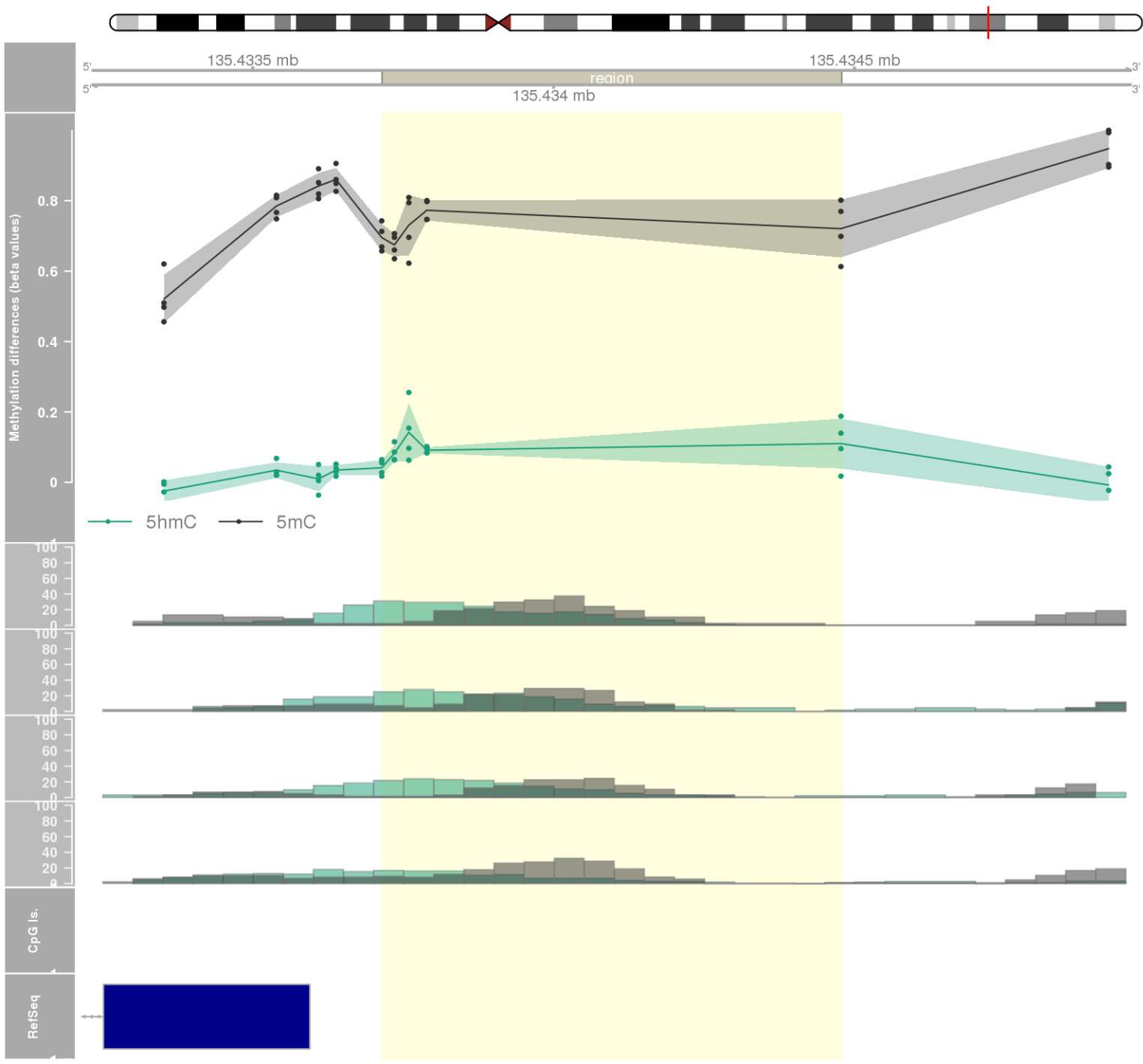
DMR 483 // chr17:17110120-17110353 // 233 pb. (5 probes) // pvalue: 0.025 // fwer: 1 // pvalueArea: 0.048 // fwerArea: 1
- genes: MPRIP -

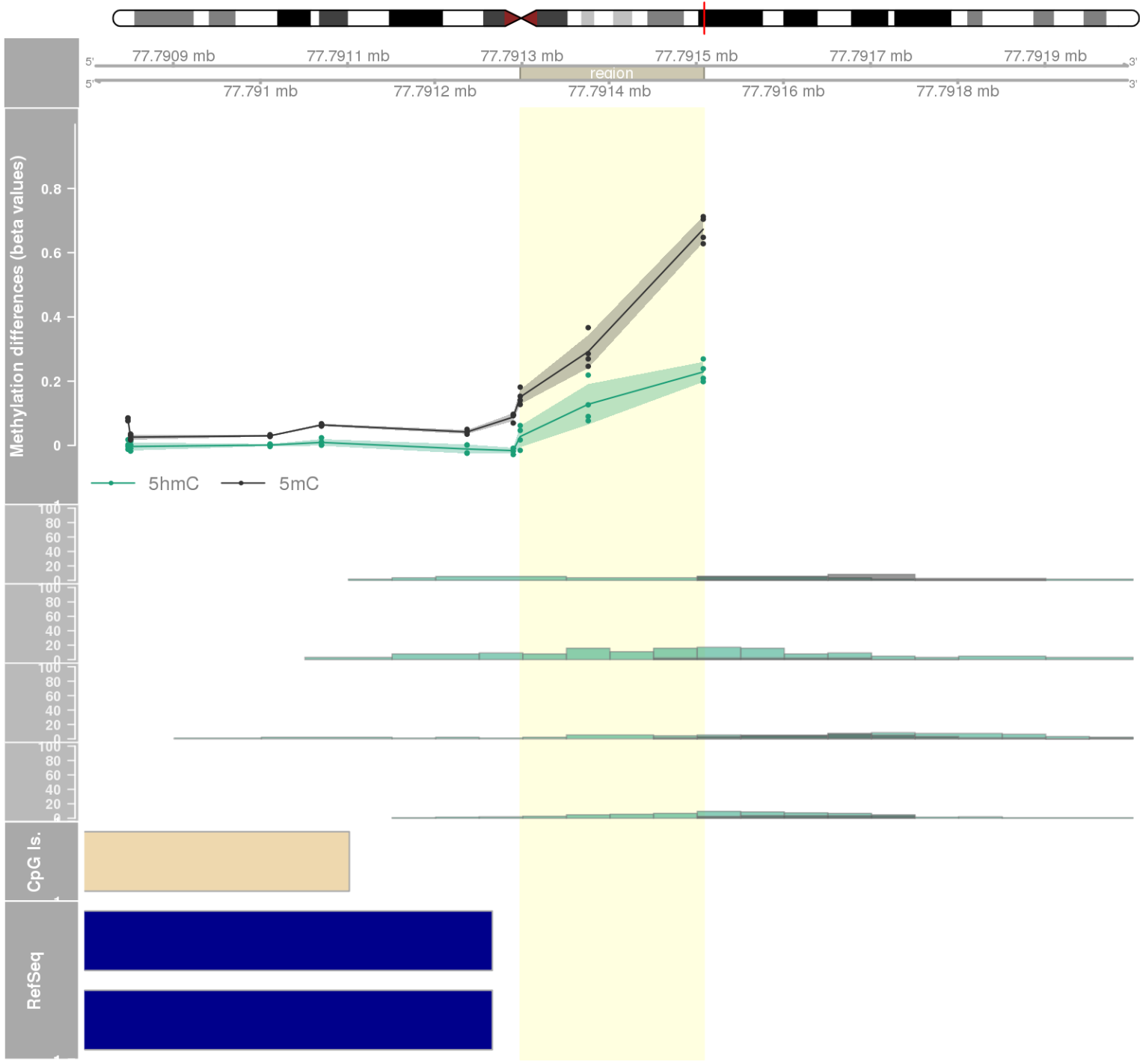


DMR 484 // chr14:101192190-101192416 // 226 pb. (6 probes) // pvalue: 0.027 // fwer: 1 // pvalueArea: 0.048 // fwerArea: 1
- genes: DLK1 -



DMR 485 // chr7:135433715-135434478 // 763 pb. (5 probes) // pvalue: 0.025 // fwer: 1 // pvalueArea: 0.048 // fwerArea: 1

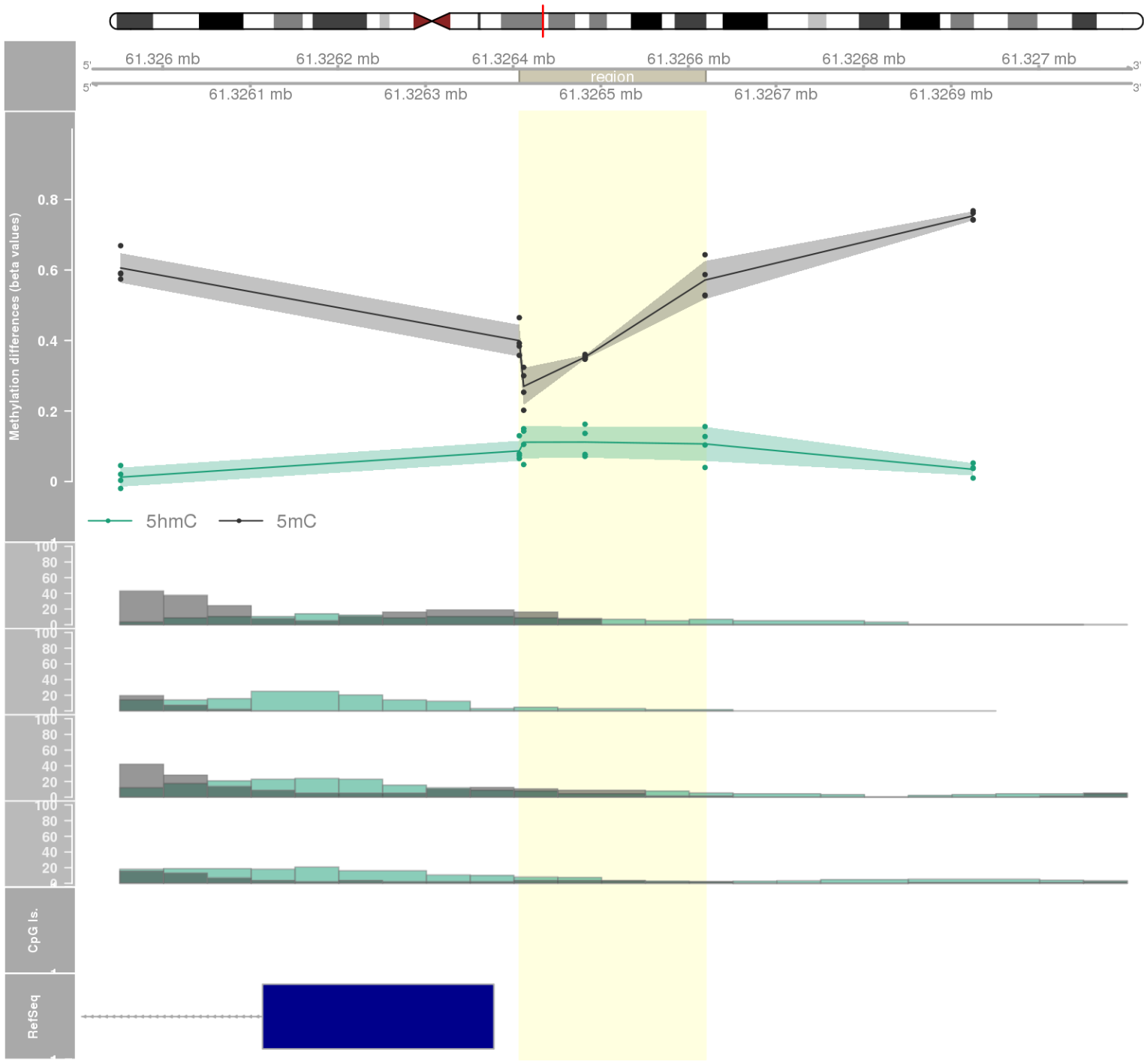




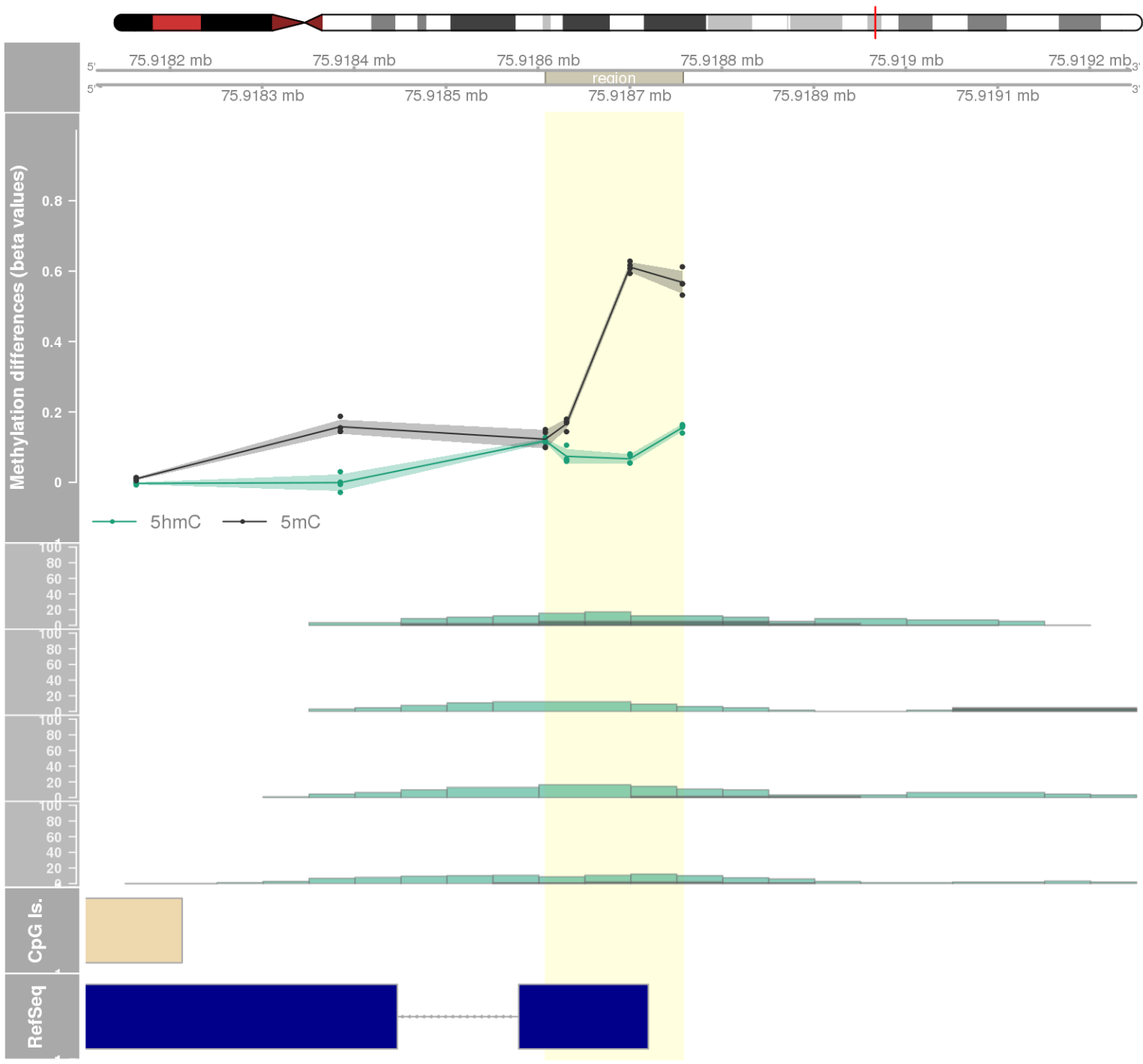
DMR 487 // chr19:49223814-49224165 // 351 pb. (5 probes) // pvalue: 0.026 // fwer: 1 // pvalueArea: 0.048 // fwerArea: 1
- genes: RASIP1 -



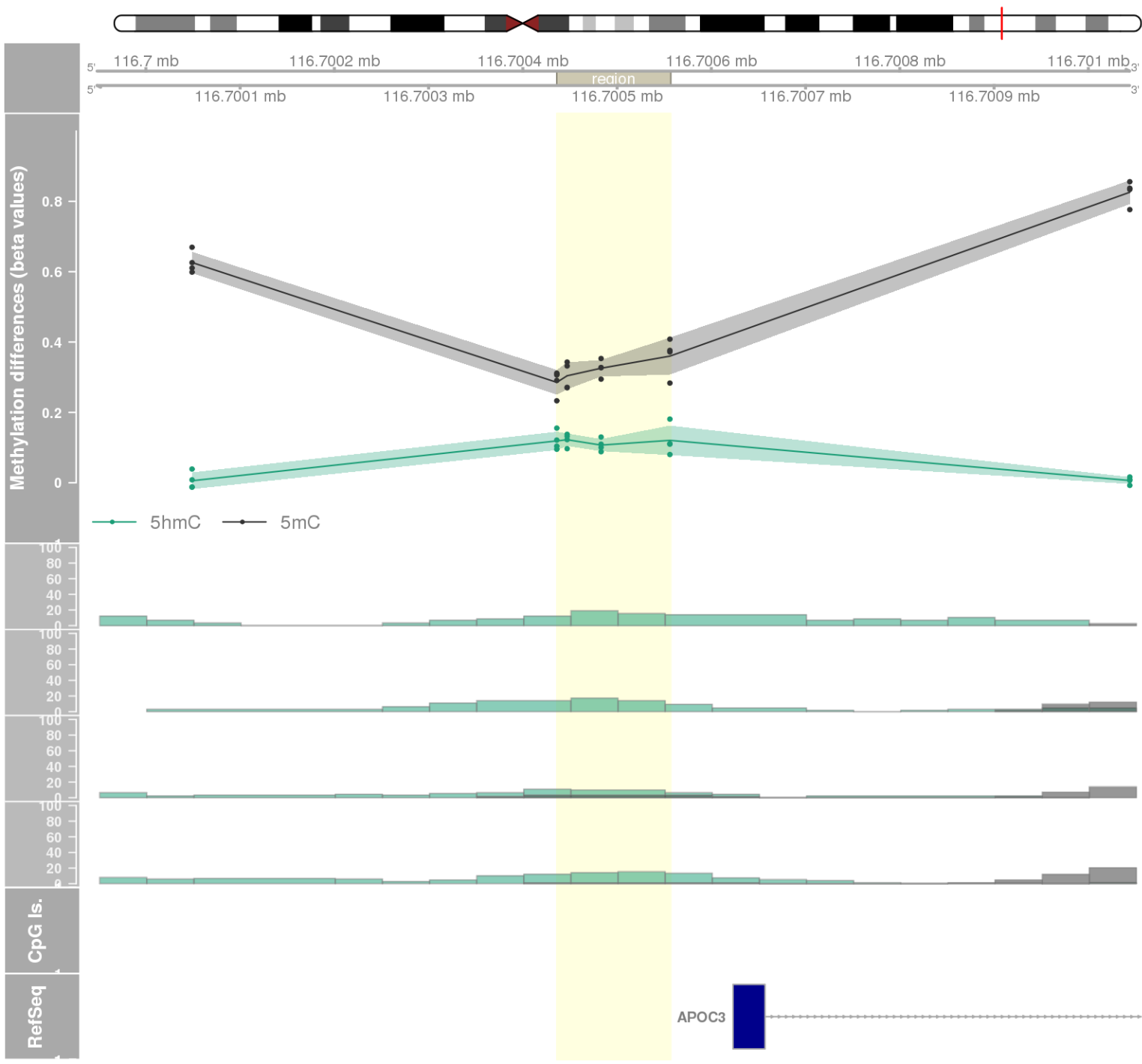
DMR 488 // chr8:61326407-61326619 // 212 pb. (4 probes) // pvalue: 0.016 // fwer: 1 // pvalueArea: 0.048 // fwerArea: 1



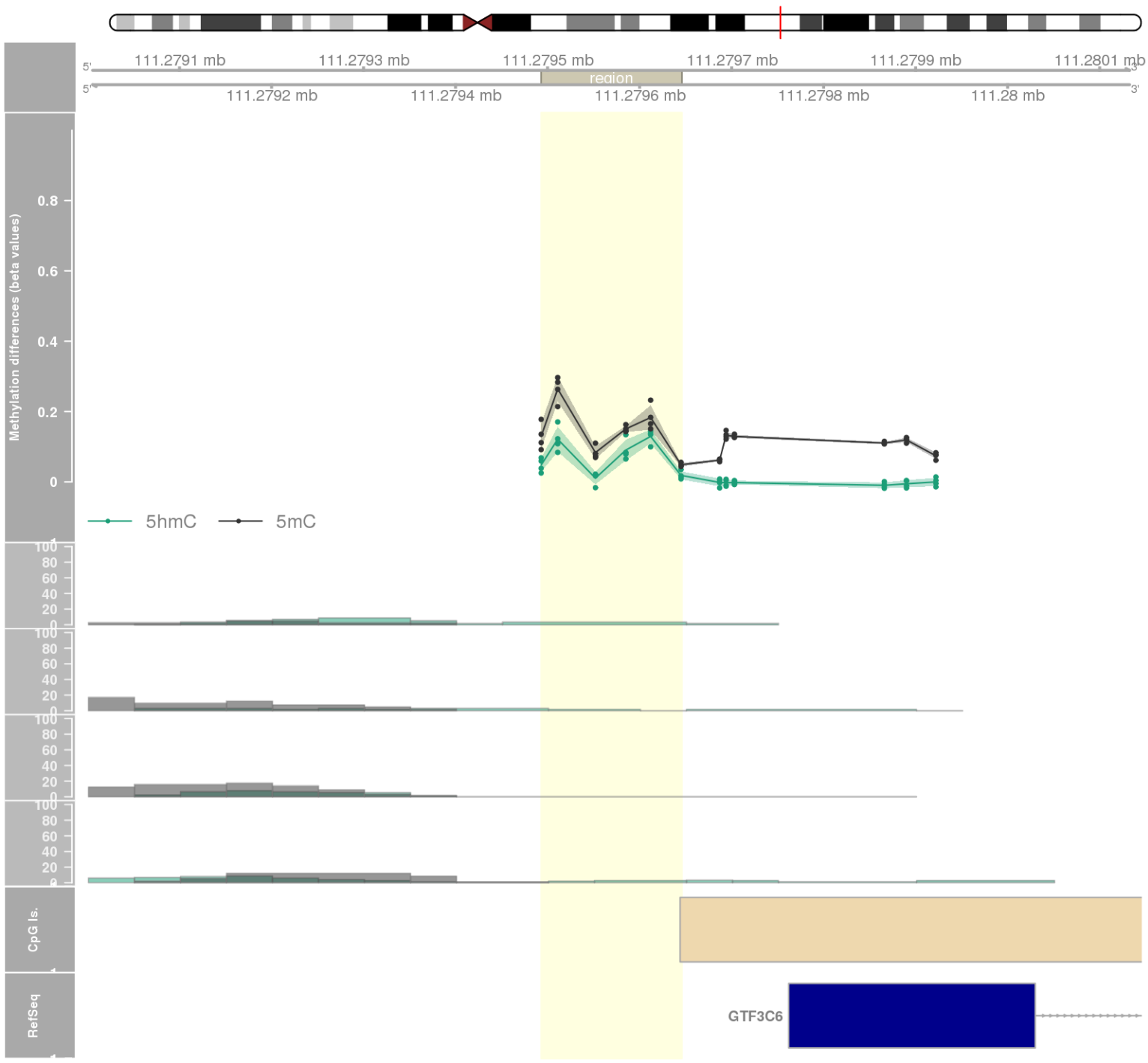
DMR 489 // chr15:75918608-75918757 // 149 pb. (4 probes) // pvalue: 0.016 // fwer: 1 // pvalueArea: 0.049 // fwerArea: 1
- genes: SNUPN -



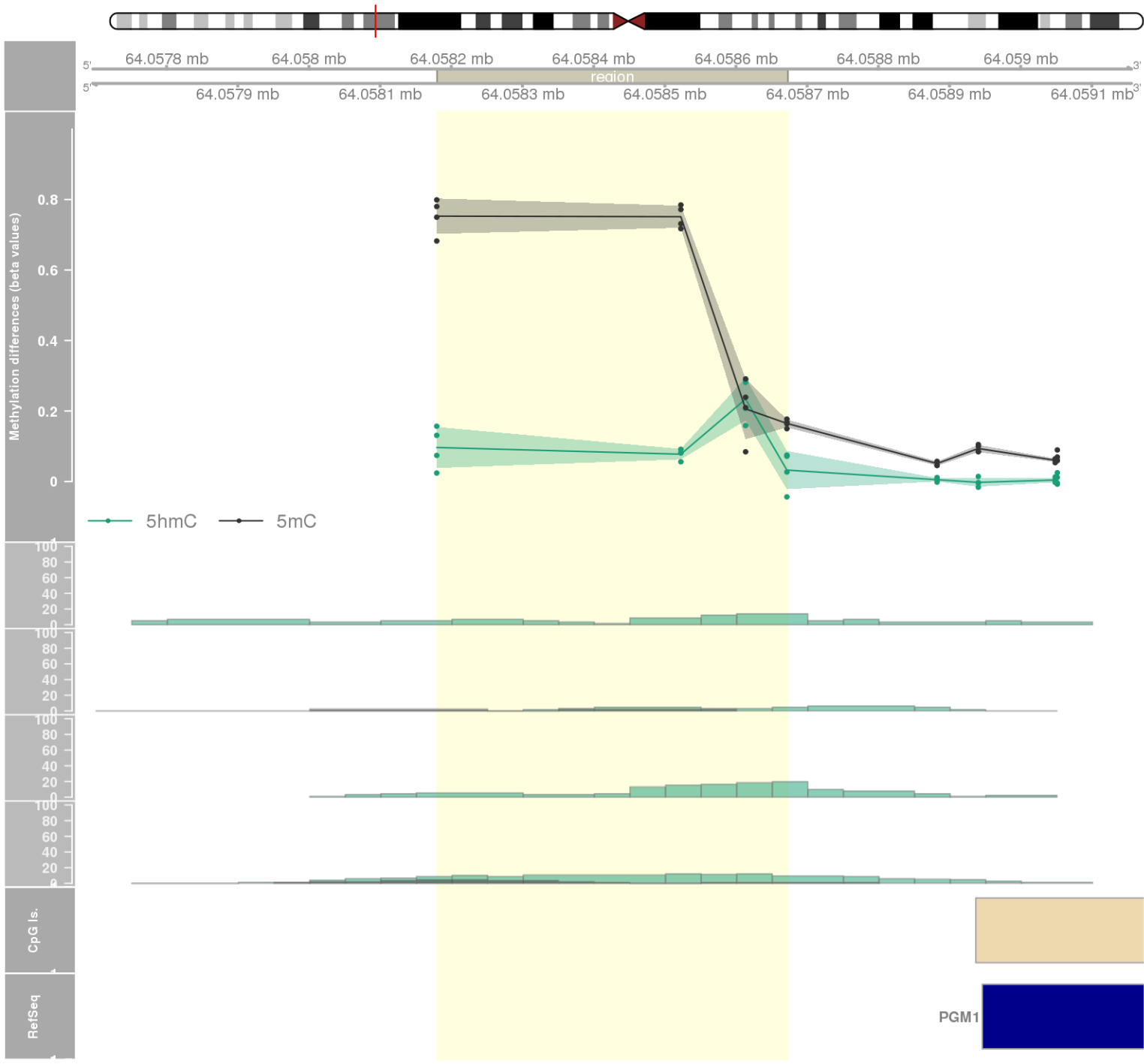
DMR 490 // chr11:116700436-116700556 // 120 pb. (4 probes) // pvalue: 0.017 // fwer: 1 // pvalueArea: 0.049 // fwerArea: 1
- genes: APOC3 -



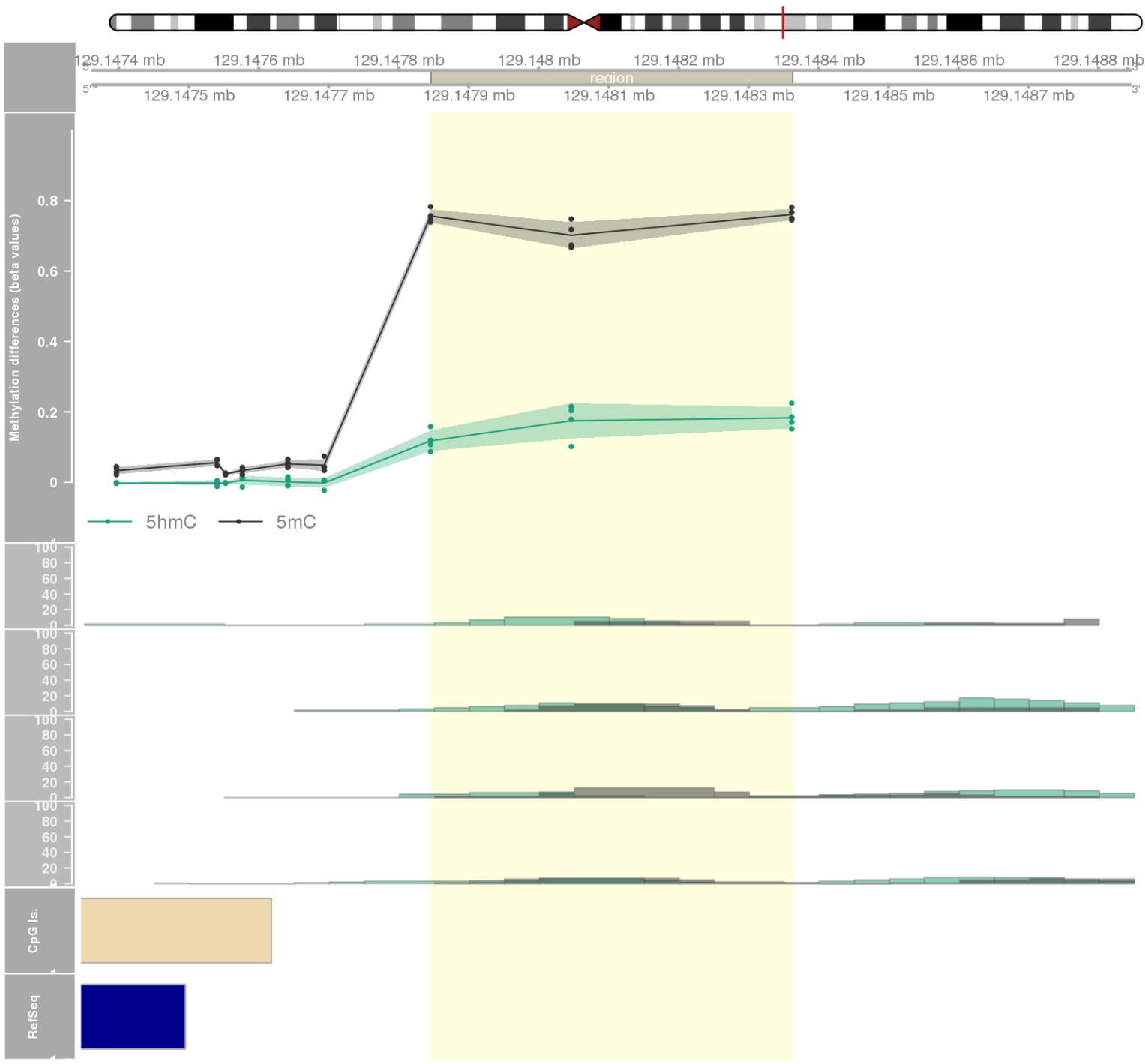
DMR 491 // chr6:111279493-111279645 // 152 pb. (6 probes) // pvalue: 0.027 // fwer: 1 // pvalueArea: 0.049 // fwerArea: 1



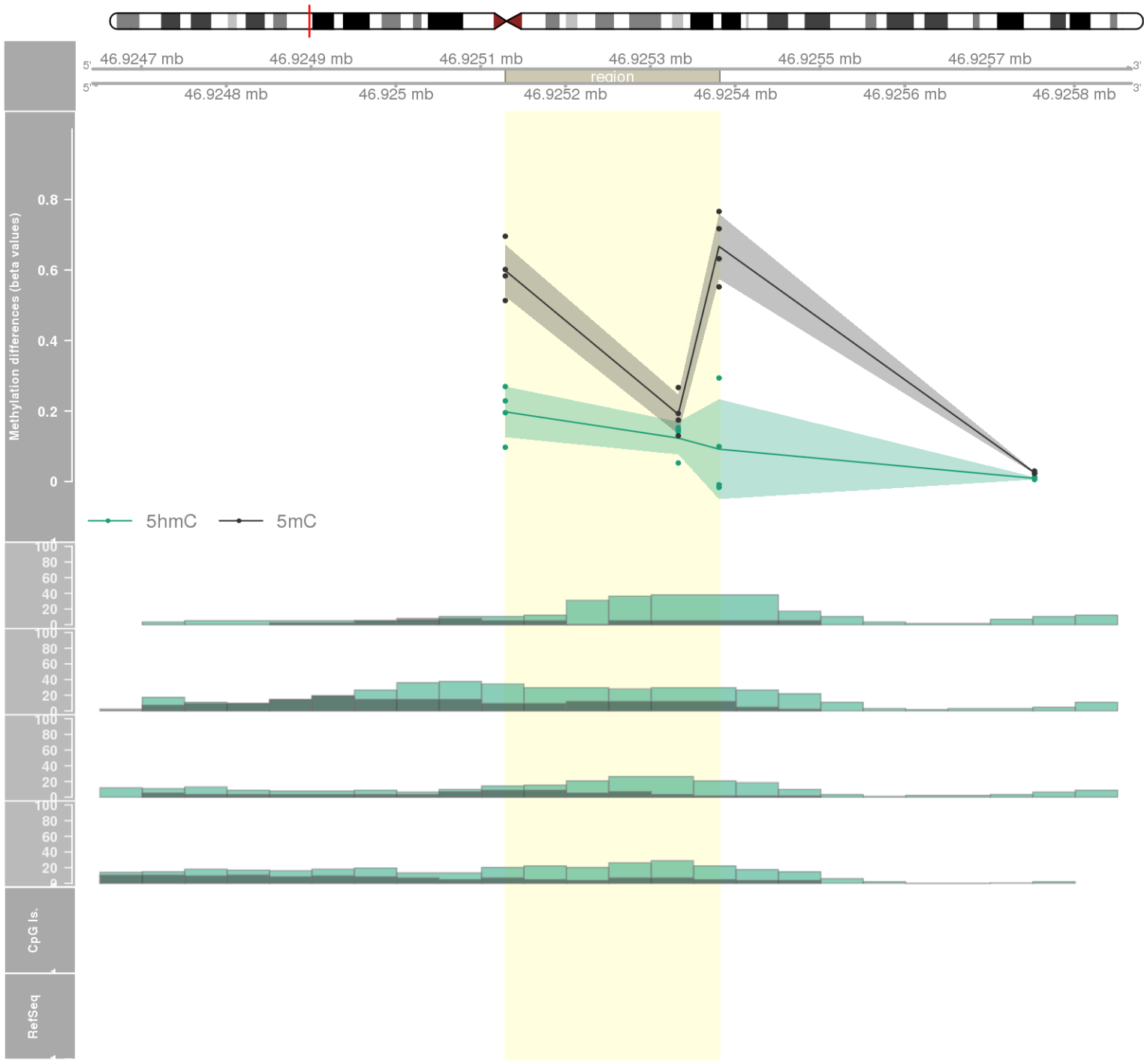
DMR 492 // chr1:64058180-64058672 // 492 pb. (4 probes) // pvalue: 0.017 // fwer: 1 // pvalueArea: 0.049 // fwerArea: 1
- genes: ITGB3BP -



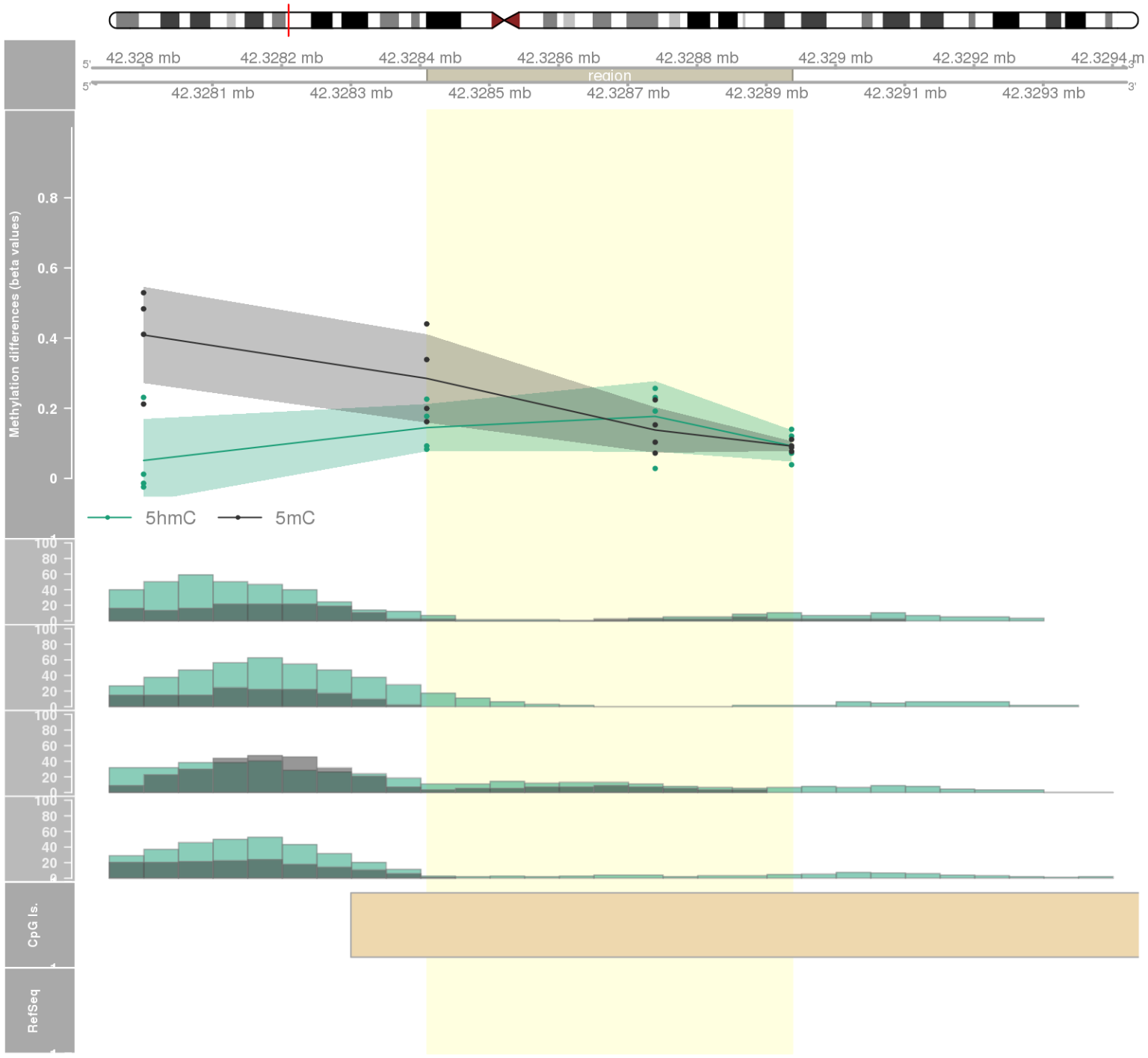
DMR 493 // chr3:129147846-129148362 // 516 pb. (3 probes) // pvalue: 0.007 // fwer: 1 // pvalueArea: 0.049 // fwerArea: 1



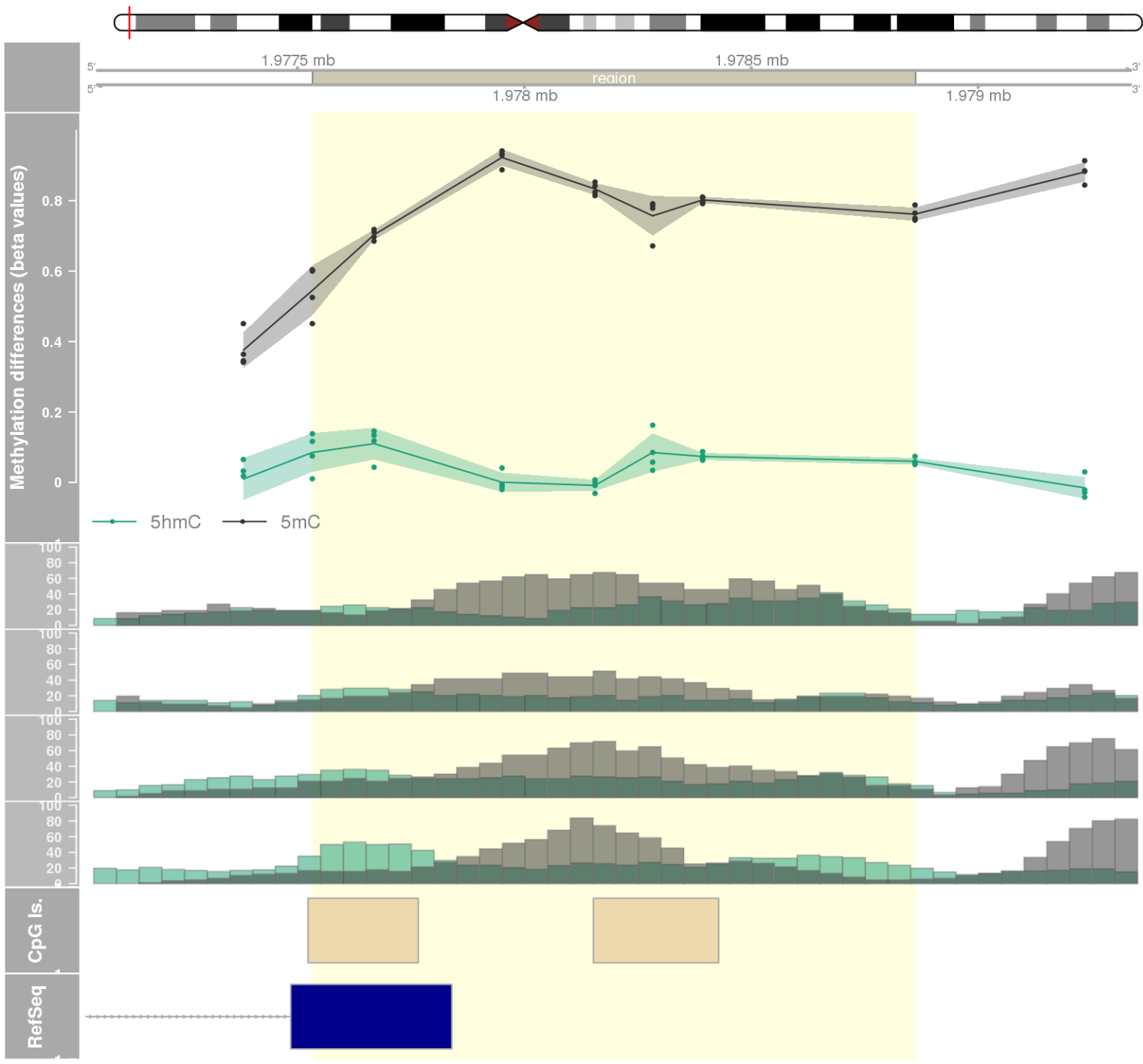
DMR 494 // chr2:46925129-46925381 // 252 pb. (3 probes) // pvalue: 0.007 // fwer: 1 // pvalueArea: 0.049 // fwerArea: 1



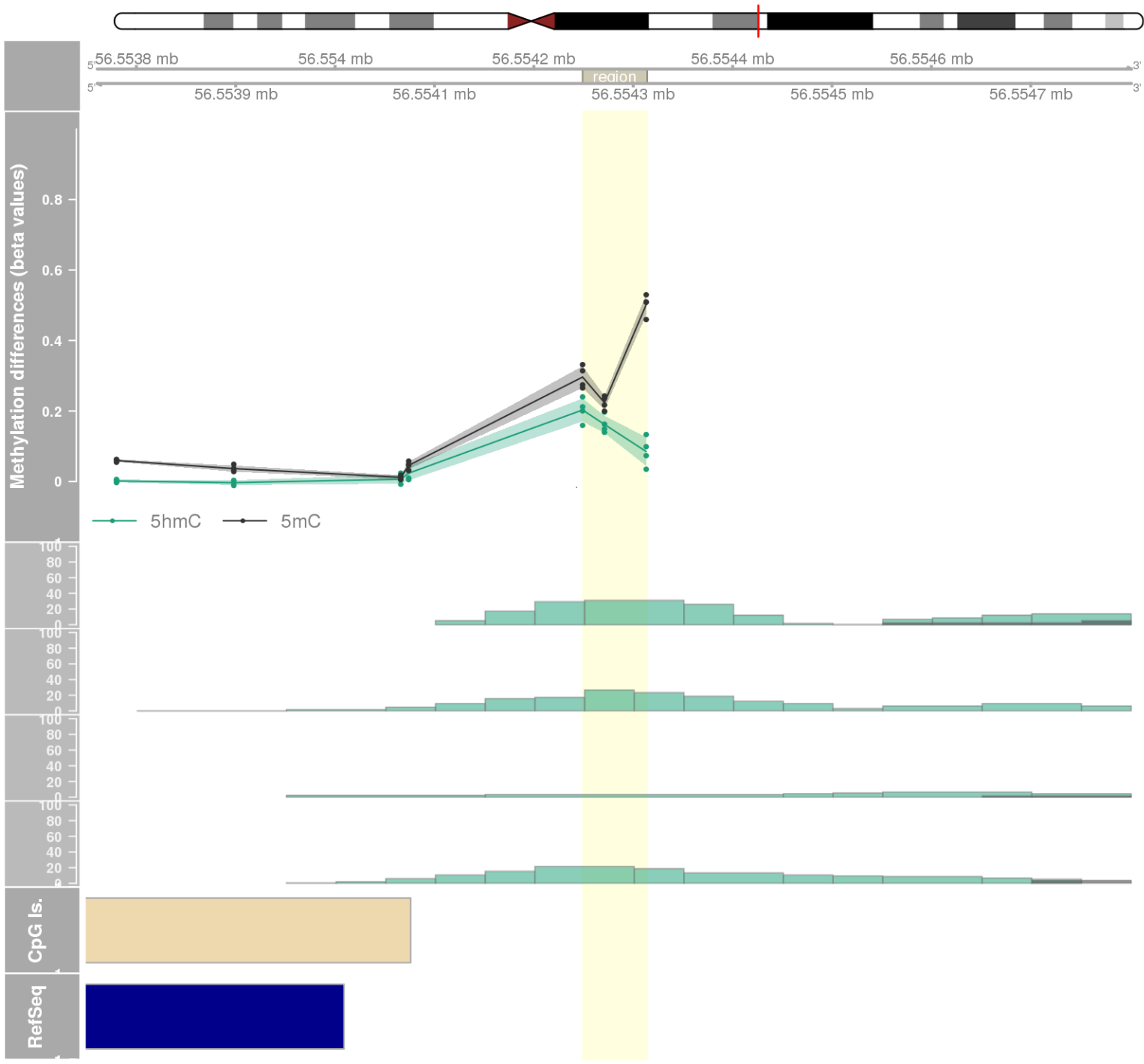
DMR 495 // chr2:42328410-42328937 // 527 pb. (3 probes) // pvalue: 0.008 // fwer: 1 // pvalueArea: 0.049 // fwerArea: 1



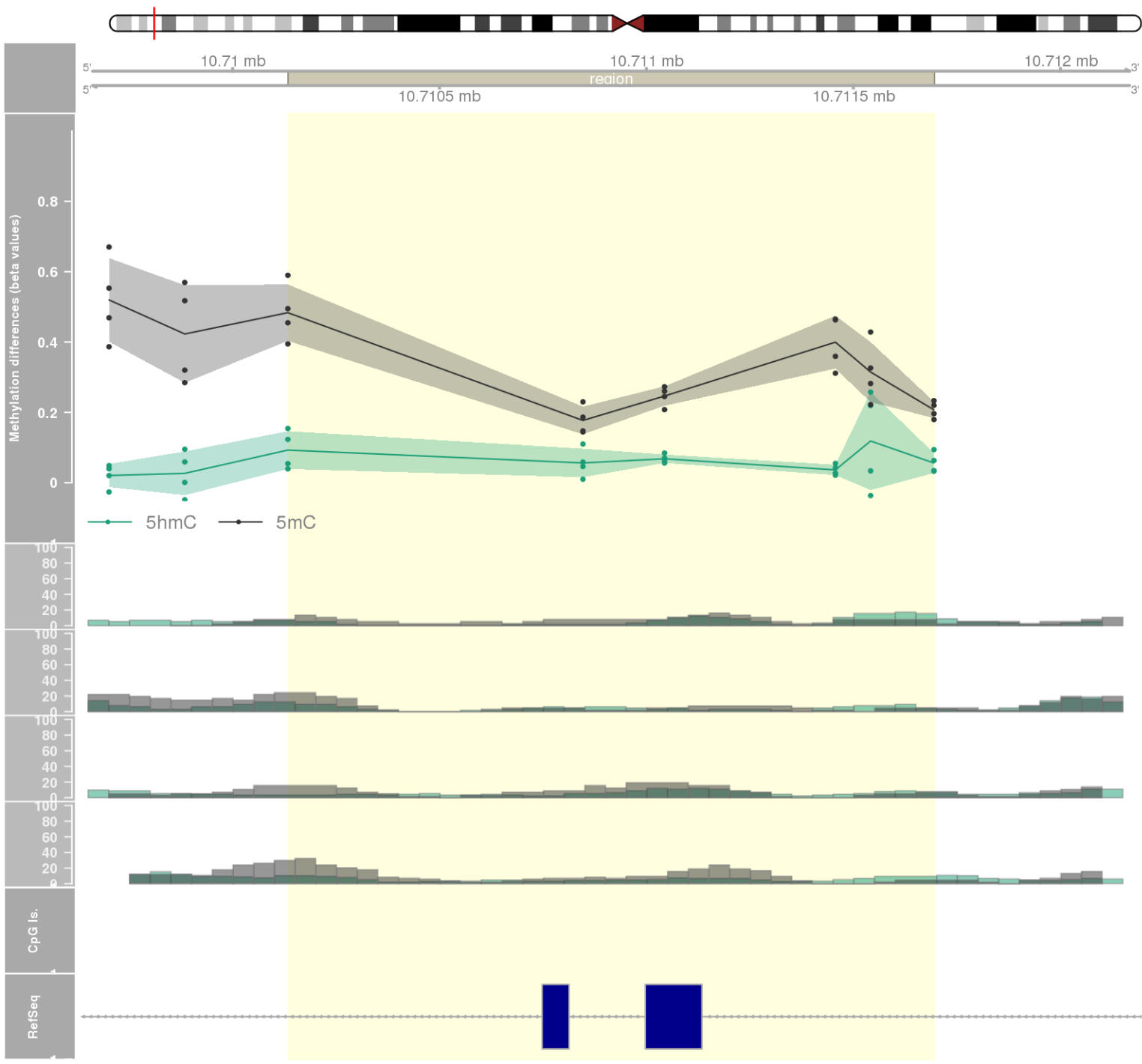
DMR 496 // chr11:1977533-1978861 // 1328 pb. (7 probes) // pvalue: 0.027 // fwer: 1 // pvalueArea: 0.049 // fwerArea: 1
- genes: MRPL23 -



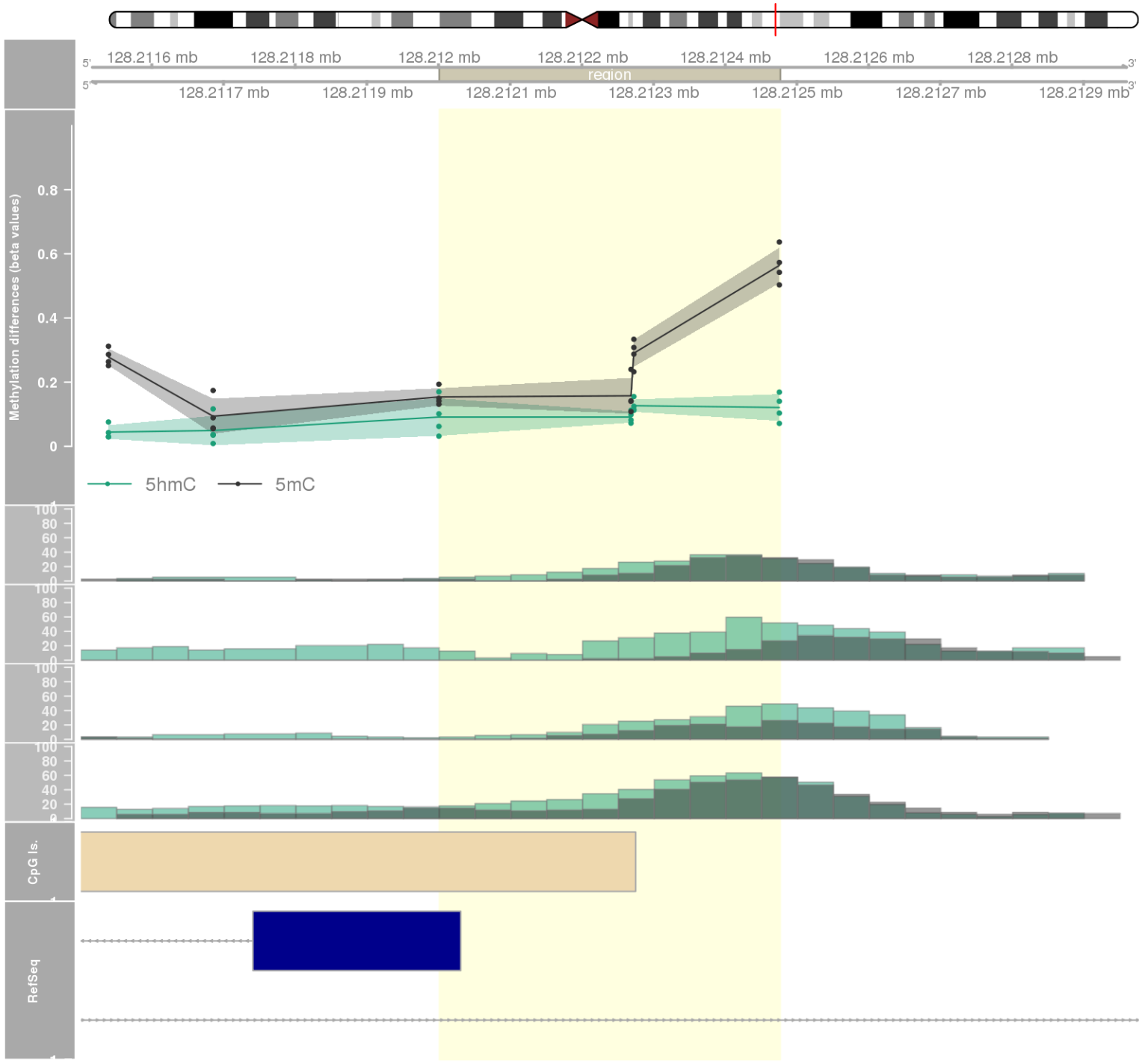
DMR 497 // chr16:56554249-56554313 // 64 pb. (3 probes) // pvalue: 0.008 // fwer: 1 // pvalueArea: 0.05 // fwerArea: 1



DMR 498 // chr1:10710134-10711695 // 1561 pb. (6 probes) // pvalue: 0.028 // fwer: 1 // pvalueArea: 0.05 // fwerArea: 1
- genes: CASZ1 -



DMR 499 // chr3:128212001-128212476 // 475 pb. (4 probes) // pvalue: 0.017 // fwer: 1 // pvalueArea: 0.05 // fwerArea: 1
- genes: GATA2 -



DMR 500 // chr1:201476502-201476775 // 273 pb. (5 probes) // pvalue: 0.027 // fwer: 1 // pvalueArea: 0.05 // fwerArea: 1
- genes: CSRP1 -

